Città di Rapallo

RIQUALIFICAZIONE DEL GOLFO DI RAPALLO
con ripristino delle vie d'acqua di accesso
al Molo dei Primeri ed al Molo Duca degli Abruzzi

CUP J63H19000210002 - LOTTO 1

PROGETTO DEFINITIVO - ESECUTIVO

ELABORATO:	MOLO S.FRANCESCO RELAZIONE E CALCOLI ESECUTIVI
ALL. 2.8	

RIF: 18-050

REVISIONI	DATA	OGGETTO
00	11/2020	VCT-161-20 RC 01 del 31/10/20
01		
02		
03		

RED.: AF VER.: AR APPR.: GR

CAPOGRUPPO:

Dott. Geo. Debellis Giovanni

Geol. GIOVANNI DEBELLIS
Via Antica Romana Occidentale 3/4
16039 - Sestri Levante (GE)
T: +39 338-6079760 F: 0187-816486
gvdebellis@gmail.com
g.debellis@epap.sicurezzapostale.it

MANDANTI:

MarTech
Marine Technical Systems
Viale Trieste, 65/i - 09123 Cagliari - Italy
Tel. +39 070 6848202 - Fax +39 070 6404743
www.martech.it e-mail: info@martech.it

SarLand Srls
ingegneria e architettura

COMMITTENTE:

Il R.u.p.

Geom. Marco GROSSO

Il presente progetto, o parte di esso, non può essere riprodotto in alcuna forma, in alcun modo e per nessuno scopo, senza autorizzazione.

CITTA’ DI RAPALLO

RIQUALIFICAZIONE DEL GOLFO DI RAPALLO

con ripristino delle vie d'acqua di accesso al Molo dei Primeri ed al Molo Duca degli Abruzzi
CUP J63H19000210002 – LOTTO 1

PROGETTO DEFINITIVO-ESECUTIVO

MOLO S. FRANCESCO
RELAZIONE E CALCOLI ESECUTIVI
PALI + IMPALCATO

Indice

1 PREMESSA 3

2 NORMATIVA DI RIFERIMENTO 5

3 CRITERI DI PROGETTAZIONE E VERIFICA 6

4 ANALISI DEI CARICHI 6

4.1 PREMESSA 6
4.1 PESI PROPRI E SOVRACCARICHI PERMANENTI 6
4.2 AZIONI VARIABILI DOVUTE AL TRANSITO SUL MOLO 6
4.3 AZIONI VARIABILI DOVUTE ALL'ORMEGGIO DEI NATANTI 6
4.4 AZIONE ECCEZIONALE DOVUTA AL MOTO ONDOSO 7
4.5 AZIONI DI NEVE E VENTO 7
4.5.1 Neve 7
4.5.2 Vento 7
4.6 AZIONE SISMICA 8
4.7 COMBINAZIONE DI CALCOLO DELLE AZIONI 9
4.7.1 Combinazioni di carico S.L.U. 9
4.7.2 Combinazioni di carico S.L.E. 10

5 CARATTERISTICHE DEI MATERIALI 10

5.1 CALCESTRUZZO 10
5.1.1 Calcestruzzo per l'impalcato 10
5.1.2 Calcestruzzo per pali C35/45 12
5.2 ACCIAIO 12
5.2.1 Acciaio per armatura delle strutture in calcestruzzo 12
5.3 TERRENO DI FONDAZIONE 12

6 MODELLO DI CALCOLO 13

6.1 RISULTATI E VERIFICHE DEGLI ELEMENTI STRUTTURALI 14
6.1.1 Giudizio motivato di accettabilità dei risultati dell'analisi 16

7 ALLEGATI 16

1 PREMESSA

La presente relazione contiene le considerazioni tecniche e i calcoli esecutivi della banchina e dei pali a sostegno del nuovo molo S. Francesco da realizzarsi nel contesto del più ampio progetto di riqualificazione del Golfo di Rapallo; Il nuovo pontile ha una larghezza di 5 metri e uno sviluppo longitudinale complessivo di 60 metri di cui 42 per la parte a mare il cui impalcato è sostenuta da pali trivellati da 12 metri di lunghezza e 60 cm di diametro posti ad interasse di 5,9 metri in senso longitudinale e di 1,80 m in senso trasversale

I pali, a gruppi di tre, sorreggono una trave- pulvino. La sezione trasversale dei pulvini, la cui realizzazione è prevista in opera, presenta due mensole per l'appoggio dell'impalcato (vedi elaborati grafici esecutivi). Quest'ultimo sarà realizzato in due fasi. Si prevede la messa in opera di lastre tralicciate autoportanti composte da lastre di calcestruzzo dello spessore di 10 cm della larghezza di 100 cm, armate con 5 tralicci per ogni soletta. Tali solette autoportanti, una volta messe in opera saranno in grado di sostenere il peso della armatura integrativa e del getto integrativo di 21 cm di calcestruzzo. Pertanto, l'impalcato avrà nel complesso uno spessore di 0,31 cm.

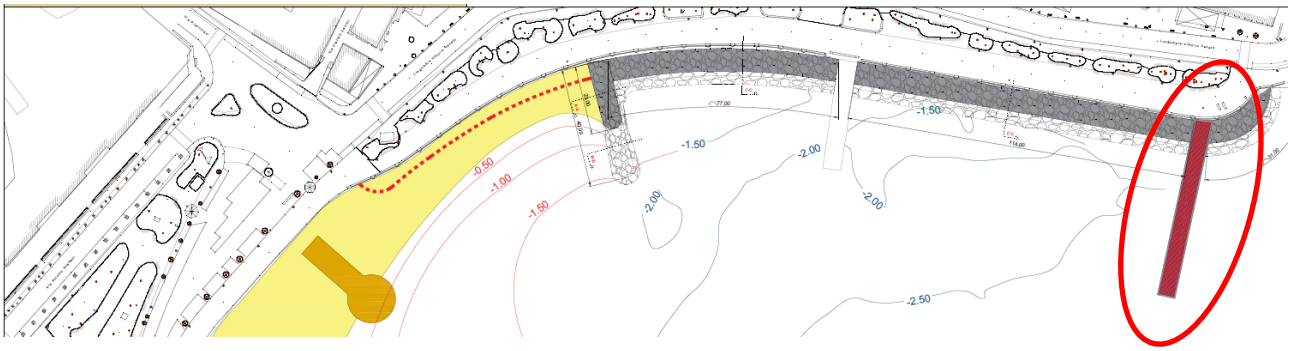


Figura 1: Lungomare di Rapallo: in rosso l'ubicazione del nuovo molo San Francesco (vedi anche Tavola 10)

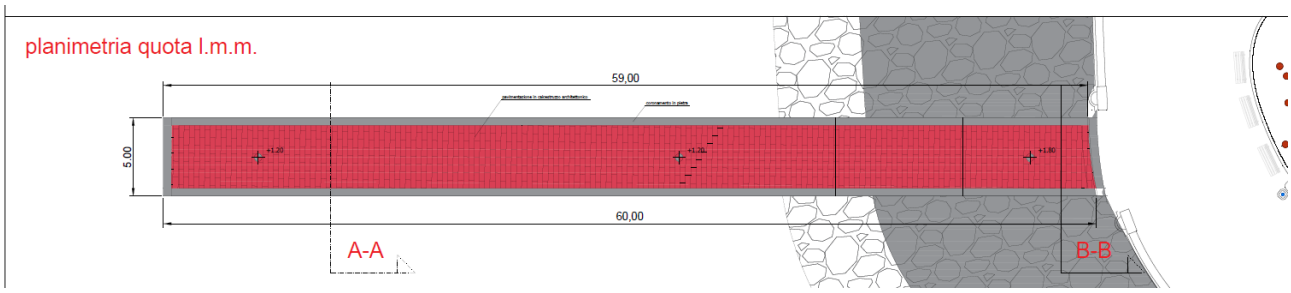


Figura 2: Planimetria e sezioni del Molo San Francesco (vedi anche Tavola 11A)

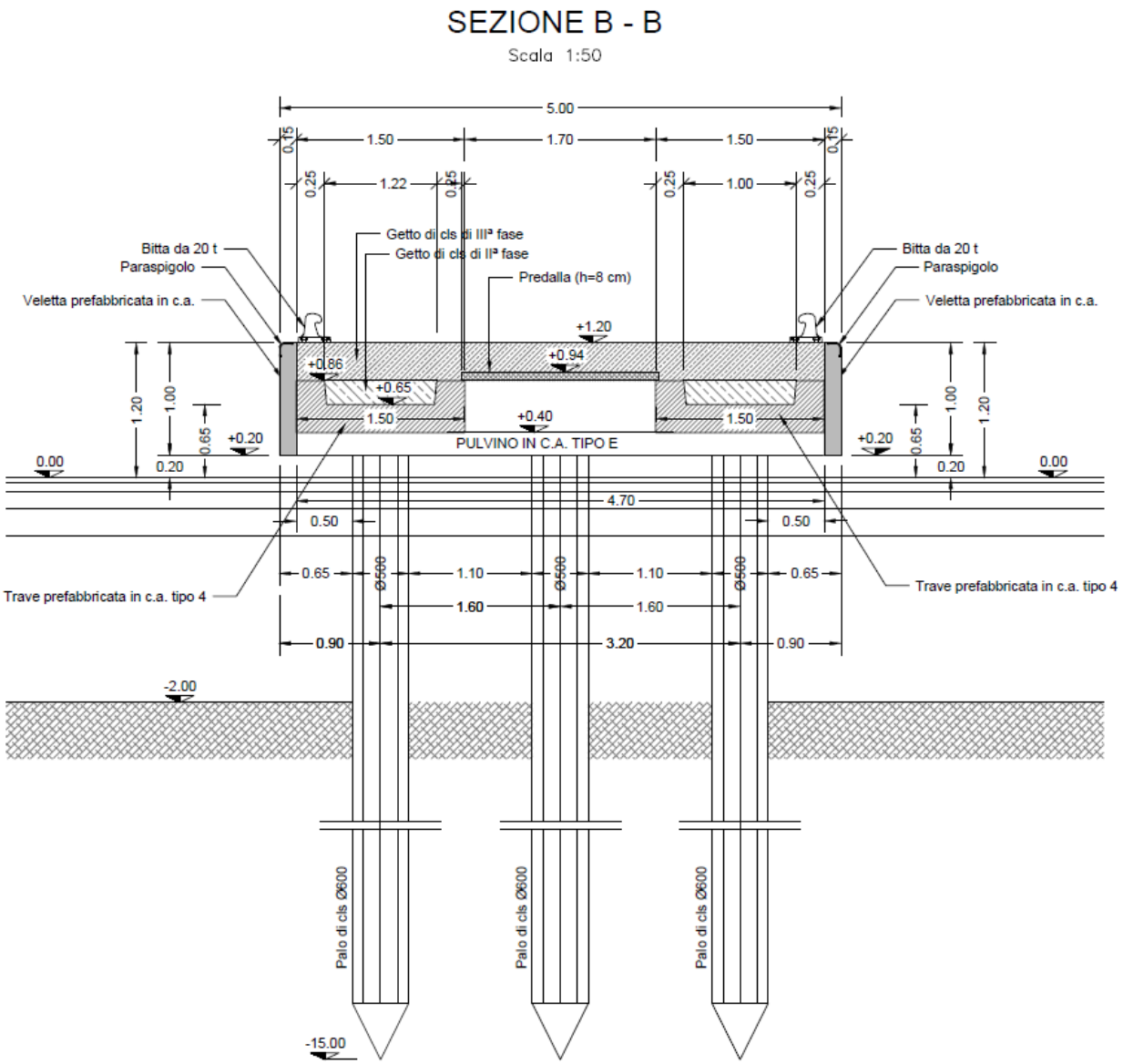


Figura 3Sezione tipo del molo.

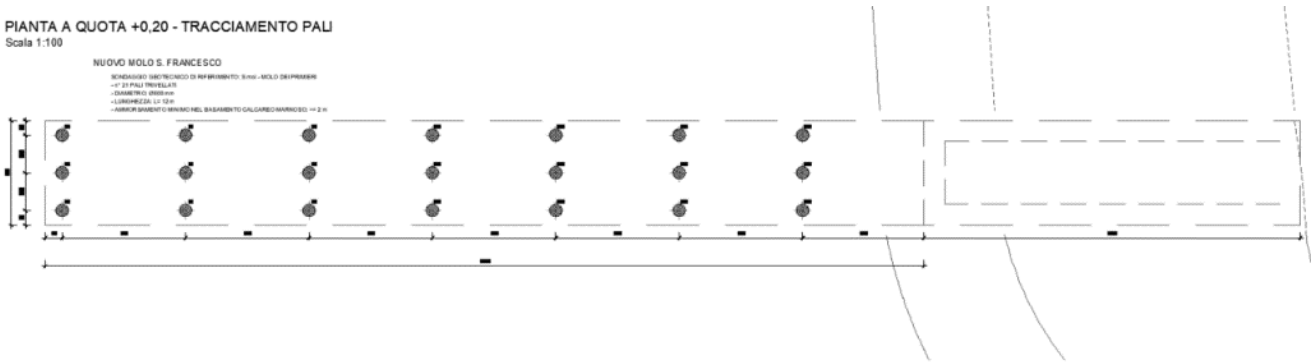


Figura 4: Pianta della disposizione dei pali

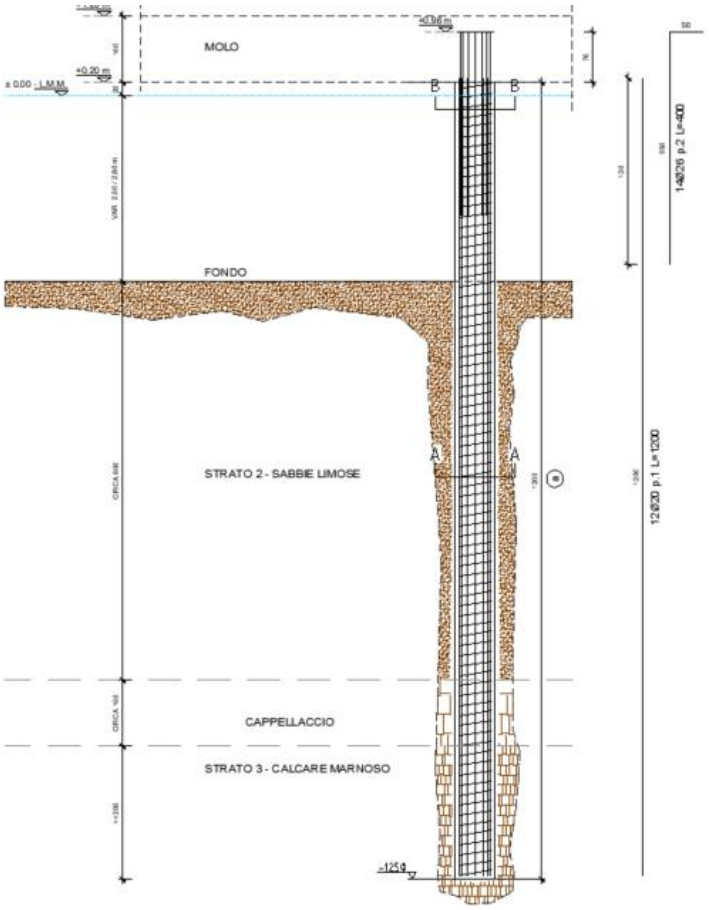


Figura 5. Sviluppo armature palo tipo

2 NORMATIVA DI RIFERIMENTO

La progettazione delle opere descritte verrà eseguita in ottemperanza alle seguenti norme e prescrizioni in materia strutturale:

- Decreto del Ministero delle Infrastrutture 17/01/2018 – *Aggiornamento delle Norme Tecniche per le Costruzioni*;

- Circolare del Ministro delle Infrastrutture e dei Trasporti 21 gennaio 2019, n. 7 - Istruzioni per l'applicazione dell'Aggiornamento delle «Norme tecniche per le costruzioni» di cui al decreto ministeriale 17 gennaio 2018 - (Supplemento Ordinario alla Gazzetta Ufficiale n. 35 del 11 febbraio 2019);

- UNI EN 206-1:2006 - *Calcestruzzo - Specificazione, prestazione, produzione e conformità*;

- UNI 11104 -Istruzioni complementari alla UNI EN 206-1

- UNI EN 1992-1-1:2005 "Eurocodice 2 - Progettazione delle strutture di calcestruzzo - Parte 1-1: Regole generali e regole per gli edifici"

3 CRITERI DI PROGETTAZIONE E VERIFICA

Si fa riferimento a quanto contenuto nel nuovo testo unico per le costruzioni NTC 2018, le nuove opere in progetto sono state verificate secondo i carichi e i criteri di combinazione e verifica riportati nella normativa vigente.

Le valutazioni della sicurezza strutturale sono state fatte con riferimento a quanto disposto al capitolo 2, § 2.4:

$V_N \geq 50$ anni	vita nominale dell'opera strutturale (Opere ordinarie … o di importanza normale);
Classe II	classe d'uso dell'edificio (costruzioni il cui uso preveda normali affollamenti)
$C_U = 1,0$	coefficiente d'uso dell'edificio (cfr. tab. 2.4.II, §2.4.3).

4 ANALISI DEI CARICHI

4.1 PREMESSA

Le sollecitazioni primarie sono quelle che provengono dall'applicazione dei carichi dovuti a peso proprio strutturale, carichi permanenti, carichi variabili dovuti al transito di persone e mezzi, all'ormeggio dei natanti, vento, neve e sisma, azioni eccezionali dovute al moto ondoso.

I carichi e i sovraccarichi permanenti sono desunti dall'analisi delle stratigrafie di progetto; quelli accidentali fanno riferimento alle disposizioni di cui al D.M. 17.01.2018; per il calcolo del carico dovuto all'ormeggio e al moto ondoso si rimanda alle relazioni specialistiche dedicate.

4.1 PESI PROPRI E SOVRACCARICHI PERMANENTI

I pesi propri e i sovraccarichi permanenti dell'impalcato sono stati valutati considerando la sezione effettiva di progetto alleggerita che equivale ad una sezione di conglomerato cementizio armato pieno di 76 cm di spessore (19 kN/mq); la parte in corrispondenza del pulvino sopra i pali per una larghezza di un metro è stata considerata priva di alleggerimenti con un peso di 25 kN/mc.

4.2 AZIONI VARIABILI DOVUTE AL TRANSITO SUL MOLO

Il sovraccarico accidentale previsto su tutto il molo è di 10 kN/mq.

4.3 AZIONI VARIABILI DOVUTE ALL'ORMEGGIO DEI NATANTI

Il sovraccarico accidentale previsto applicato all'estradosso dell'impalcato e agente in direzione trasversale rispetto all'asse principale del molo è di 21 kN/m.

4.4 AZIONE ECCEZIONALE DOVUTA AL MOTO ONDOSO

L'azione dovuta al moto ondoso massima vale 90 kN/m supposta agente ad una quota -0,65 m rispetto alla quota del livello medio del mare, in direzione trasversale rispetto all'asse principale del molo. A favore di sicurezza si considera un carico pari ad un terzo della risultante (30 kN/m) a quota impalcato e i restanti 2/3 come carico concentrato agente sui singoli pali del lato esposto (36 kN).

4.5 AZIONI DI NEVE E VENTO

Rispetto ai carichi derivanti al transito di mezzi sul molo le azioni verticali della neve sono molto inferiori e non significative ai fini del dimensionamento. Si riporta di seguito il calcolo delle azioni di neve e vento secondo quanto previsto dalla normativa.

4.5.1 Neve

Zona Neve = II

Periodo di ritorno, Tr = 50 anni

Ctr = 1 per Tr = 50 anni

Ce (coeff. di esposizione al vento) = 1,00

Valore caratteristico del carico al suolo = qsk Ce Ctr = 1,00 kN/mq

Copertura ad una falda:

Angolo di inclinazione della falda a = 0,0°

- Copertura piana W = 10.0 m, L = 50.0 m => Lc = 18.0, Cef = 1.000

m1 = 0,80 => Q1 = 0,80 kN/mq Zona Neve = III

4.5.2 Vento

Zona vento = 7

Velocità base della zona, Vb.o = 28 m/s (Tab. 3.3.I)

Altitudine base della zona, Ao = 1000 m (Tab. 3.3.I)

Altitudine del sito, As = 5 m

Velocità di riferimento, Vb = 28,00 m/s (Vb = Vb.o per As ≤ Ao)

Periodo di ritorno, Tr = 50 anni

Cr = 1 per Tr = 50 anni

Velocità riferita al periodo di ritorno di progetto, Vr = Vb Cr = 28,00 m/s

Classe di rugosità del terreno: D [Aree prive di ostacoli o con al di più rari ostacoli isolati (aperta campagna, aeroporti, aree agricole, zone paludose o sabbiose, superfici innevate o ghiacciate, mare, laghi,..)]

Esposizione: Cat. II - Mare entro 0,5 km dalla costa

(Kr = 0,19; Zo = 0,05 m; Zmin = 4 m)

Pressione cinetica di riferimento, qb = 0,49 kN/mq

Coefficiente di forma, Cp = 1,00

Coefficiente dinamico, Cd = 1,00

Coefficiente di esposizione, Ce = 1,80

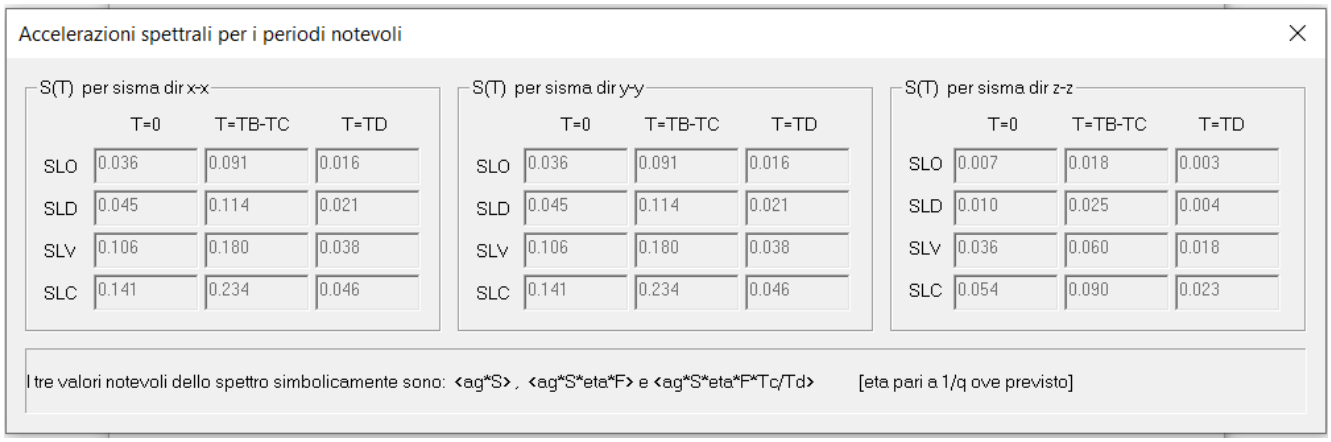
Coefficiente di esposizione topografica, Ct = 1,00

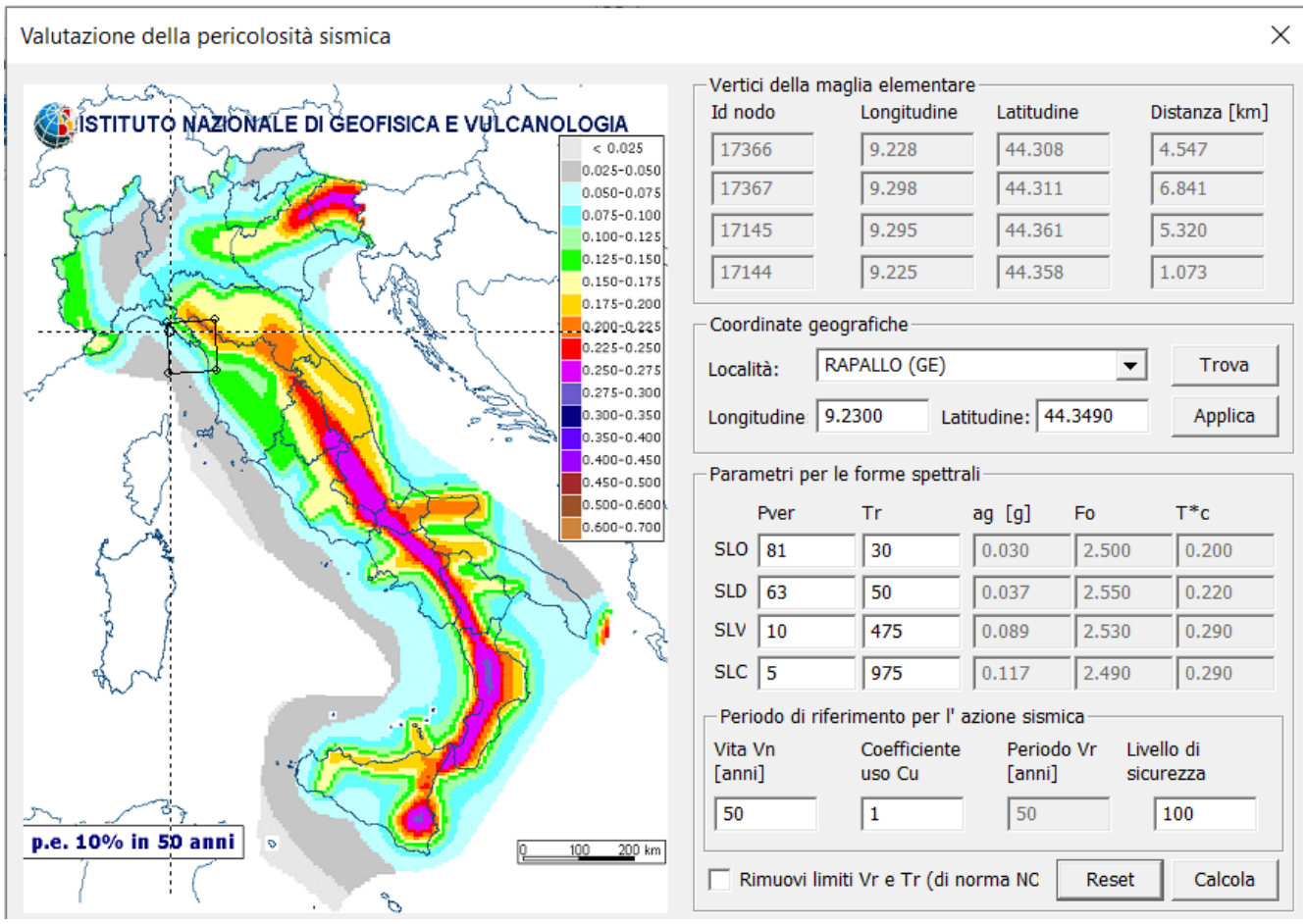
Altezza dell'edificio, h = 1,20 m

Pressione del vento, p = qb Ce Cp Cd = 0,88 kN/mq

4.6 AZIONE SISMICA

La costruzione verrà edificata in un sito caratterizzato da un'accelerazione al suolo per un Tr di 50 anni di 0,037 g; si riportano di seguito i parametri adottati per la determinazione degli spettri di progetto.





4.7 COMBINAZIONE DI CALCOLO DELLE AZIONI

Le azioni sono combinate secondo condizioni di carico tali da risultare le più sfavorevoli ai fini delle singole verifiche, tenendo conto della ridotta probabilità di intervento simultaneo di tutte le azioni con i rispettivi valori più sfavorevoli.

4.7.1 Combinazioni di carico S.L.U.

Si adottano le combinazioni espresse simbolicamente come segue:

$$F_d = \gamma_g G_k + \gamma_q Q_{1k} + \Sigma \gamma_q (\psi_{0i} Q_{ik})$$

dove i segni + e Σ indicano l'applicazione dei rispettivi addendi ed il coefficiente γ_q (pari a 1.5 oppure 0) va applicato a ciascun carico Q_{ik} con il valore appropriato.

Si assumono i seguenti coefficienti γ_f :

γ_g = 1,30 per peso proprio e carichi portati compiutamente definiti (1.0 se il suo contributo aumenta la sicurezza); 1,50 per carichi permanenti non strutturali (0 se il suo contributo aumenta la sicurezza);

γ_q = 1,5 (0 se il suo contributo aumenta la sicurezza);

ed essendo:

G_k il valore caratteristico delle azioni permanenti;

Q_{ik} il valore caratteristico dell'azione di base di ogni combinazione;

ψ_{0i} i valori caratteristici delle azioni variabili tra loro indipendenti;

coefficienti di combinazione allo stato limite ultimo.

4.7.2 Combinazioni di carico S.L.E.

Si prenderanno in esame le seguenti combinazioni:

rare: $F_d = G_k + Q_{1k} + \Sigma(\psi_{0i} Q_{ik})$

frequenti: $F_d = G_k + \psi_{1i} Q_{1k} + \Sigma(\psi_{2i} Q_{ik})$

quasi permanenti: $F_d = G_k + \Sigma(\psi_{2i} Q_{ik})$

essendo:

ψ_{1i} : coefficiente atto a definire i valori delle azioni variabili assimilabili ai frattali di ordine 0.95 delle distribuzioni dei valori istantanei;

ψ_{2i} : coefficiente atto a definire i valori quasi permanenti delle azioni variabili assimilabili ai valori medi delle distribuzioni dei valori istantanei.

Negli allegati di calcolo sono riportati e definiti tutti i coefficienti adottati.

5 CARATTERISTICHE DEI MATERIALI

Ai fini delle verifiche si assumono le seguenti caratteristiche per i materiali delle strutture in opera:

5.1 CALCESTRUZZO

5.1.1 Calcestruzzo per l'impalcato

Per le strutture di c.a. è previsto l'impiego dei seguenti calcestruzzi:

- Elementi prefabbricati: calcestruzzo idrofobizzato con impiego di cemento pozzolanico con fumi di silice classe di resistenza C45/55, classe di esposizione XS3, classe di consistenza S4, diametro massimo dell'aggregato 32mm e rapporto acqua cemento minore di 0,45.
- Elementi gettati in opera: calcestruzzo idrofobizzato con impiego di cemento pozzolanico con fumi di silice classe di resistenza C35/45, classe di esposizione XS3, classe di consistenza S4, diametro massimo dell'aggregato 32mm e rapporto acqua cemento minore di 0,45.

Le principali caratteristiche meccaniche dei calcestruzzi impiegati sono le seguenti:

Elementi prefabbricati	**Elementi gettati in opera**
• *Resistenza di calcolo a compressione del calcestruzzo:* R_{ck} = 55 MPa $f_{ck} = 0.83 \times R_{ck}$ = 45.65 MPa $f_{cm} = f_{ck}+8$ = 53.65 MPa $f_{cd} = \alpha_{cc} f_{ck} / \gamma_c$ = 25.87 MPa	• *Resistenza di calcolo a compressione del calcestruzzo:* R_{ck} = 45 MPa $f_{ck} = 0.83 \times R_{ck}$ = 37.35 MPa $f_{cm} = f_{ck}+8$ = 45.35 MPa $f_{cd} = \alpha_{cc} f_{ck} / \gamma_c$ = 21.17 MPa
• *Resistenza di calcolo a trazione del calcestruzzo:* $f_{ctm} = 0.30 \times f_{ck}^{2/3}$ = 3.83 MPa $f_{ctk} = 0.7 \times f_{ctm}$ = 2.68 MPa $f_{ctd} = f_{ctk} / \gamma_c$ = 1.79 MPa	• *Resistenza di calcolo a trazione del calcestruzzo:* $f_{ctm} = 0.30 \times f_{ck}^{2/3}$ = 3.35 MPa $f_{ctk} = 0.7 \times f_{ctm}$ = 2.35 MPa $f_{ctd} = f_{ctk} / \gamma_c$ = 1.56 MPa
• *Tensione tangenziale di aderenza acciaio-calcestruzzo:* $f_{bk} = 2.25 \times \eta \times f_{ctk}$ = 6.03 MPa $f_{bd} = f_{bk} / \gamma_c$ = 4.02 MPa	• *Tensione tangenziale di aderenza acciaio-calcestruzzo:* $f_{bk} = 2.25 \times \eta \times f_{ctk}$ = 5.29 MPa $f_{bd} = f_{bk} / \gamma_c$ = 3.53 MPa
• *Caratteristiche meccaniche:* $E_{cm} = 22000 \times [f_{cm}/10]^{0.3}$ = 36416 MPa $\nu_{cls\ fess.}$ = 0 $\nu_{cls\ non\ fess.}$ = 0.2 $\alpha = 10 \times 10^{-6}$ °C^{-1}	• *Caratteristiche meccaniche:* $E_{cm} = 22000 \times [f_{cm}/10]^{0.3}$ = 34625 MPa $\nu_{cls\ fess.}$ = 0 $\nu_{cls\ non\ fess.}$ = 0.2 $\alpha = 10 \times 10^{-6}$ °C^{-1}

Per il diagramma tensione-deformazione del calcestruzzo è stato adottato il modello σ-ε parabola rettangolo illustrato nella figura seguente con ε_{c2} = 0.20% e ε_{cu} = 0.35%

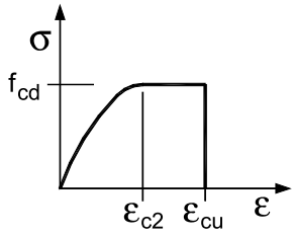


*Figura **Errore. Nel documento non esiste testo dello stile specificato.**.6 – diagramma tensione-deformazione del calcestruzzo*

5.1.2 Calcestruzzo per pali C35/45

Classe di esposizione XS3 secondo UNI 11104

Resistenza cubica caratteristica R_{ck} = 45 N/mm^2

Resistenza cilindrica caratteristica f_{ck} = 35 N/mm^2

5.2 ACCIAIO

5.2.1 Acciaio per armatura delle strutture in calcestruzzo

Barre a aderenza migliorata in acciaio tipo B 450 C:

Tensione di rottura f_{tk} = 540 MPa

Tensione di snervamento f_{yk} = 450 MPa

Modulo elastico E = 206 GPa

5.3 TERRENO DI FONDAZIONE

La caratterizzazione geomeccanica del sito si è basata su una campagna di indagini geognostiche per i cui esiti e per tutti i dettagli in merito alle caratteristiche geologiche e tecniche si rimanda alla relazione a firma del Dott. Geol. Giovanni Debellis; si riportano per estratto la descrizione della stratigrafia e i parametri geotecnici del terreno adottati per il dimensionamento e la verifica dei pali:

Indagine geognostica di riferimento: Sondaggio Smol:

"STRATO 1 – GHIAIA E SABBIA DEBOLMENTE LIMOSA

Questo strato è presente immediatamente al di sotto del molo in cls e ha uno spessore di circa 1.3 m, in base ai valori di SPT ottenuti alla profondità di 3 m può essere definito come "mediamente addensato" e possono essere valutati cautelativamente i seguenti parametri geotecnici:

- *angolo d'attrito efficace Ø' = 31°*
- *Cu = 75 KPa (0,76 Kg/cm2)*
- *peso di volume saturo γsat = 19.5 KN/m3 (1,98 t/m3)*

STRATO 2 – SABBIA DEBOLMENTE LIMOSA

Questo strato è stato ritrovato al di sopra del bedrock e presenta uno spessore di circa 6m. Risulta costituito prevalentemente da sabbia fine debolmente limosa con rare intercalazioni di ghiaia fine ed in base ai risultati delle prove eseguite il terreno risulta da mediamente addensato ad addensato per il quale si possono valutare cautelativamente i seguenti i seguenti parametri geotecnici medi:

- *angolo d'attrito efficace Ø' = 35°*

- *Cu = 92,19 KPa (0,94 Kg/cm2)*
- *peso di volume saturo γsat = 20.0 KN/m3 (2,04 t/m3)*

AMMASSO ROCCIOSO DA ALTERATO A MODERATAMENTE ALTERATO

- *angolo d'attrito dell'ammasso ϕ' = 35°*
- *coesione dell'ammasso c = 1.66 MPa*
- *peso di volume γ = 25.70 KN/m3 (2,62 t/m3*

Ai fini dell'analisi sismica la categoria del suolo è la **categoria sismica B**:" Rocce tenere e depositi di terreni a grana grossa molto addensati o terreni a grana fina molto consistenti, caratterizzati da un miglioramento delle proprietà meccaniche con la profondità e da valori di velocità equivalente compresi tra 360 m/s e 800 m/s.

6 MODELLO DI CALCOLO

Per le verifiche dei pali è stato realizzato un modello del molo che ne riproduce fedelmente la geometria, le caratteristiche dei materiali strutturali e il grado di vincolo mutuo tra le parti, la stratigrafia e le caratteristiche geo meccaniche del sito e le interazioni tra il manufatto e il terreno.

È stato realizzato un altro modello locale per studiare e verificare il comportamento sotto carico della soletta dell'impalcato.

Il codice di calcolo adottato che si basa sul metodo degli elementi finiti è Sismicad versione 12.13, prodotto da Concrete S.r.l., Via della Pieve,19 - 35121 Padova., utilizzato in forza di regolari licenze d'uso, software di ampia diffusione e comprovata affidabilità.

Si riporta di seguito un'immagine del modello di calcolo adottato:

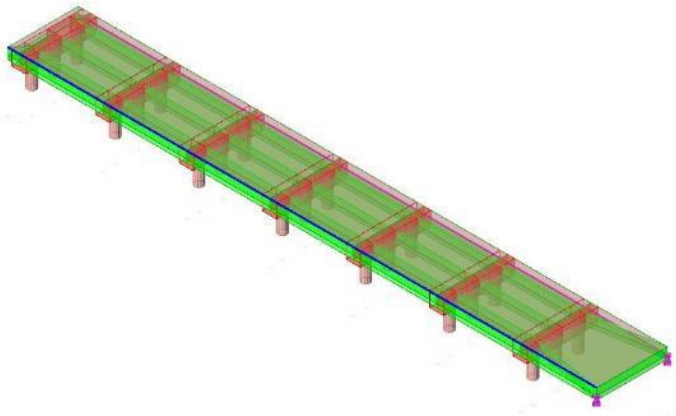


Figura 7. Modello di calcolo vista frontale

6.1 RISULTATI E VERIFICHE DEGLI ELEMENTI STRUTTURALI

Per le verifiche di tutti i pali e il report completo dei dati di input e output del modello si rimanda ai seguenti documenti allegati che sono parte integrante del presente documento:

- ALLEGATO 1 - APPENDICE NUMERICA DI CALCOLO PALI MOLO S. FRANCESCO.

Si riportano di seguito sotto forma di mappe cromatiche i risultati più significativi dell'analisi effettuata.

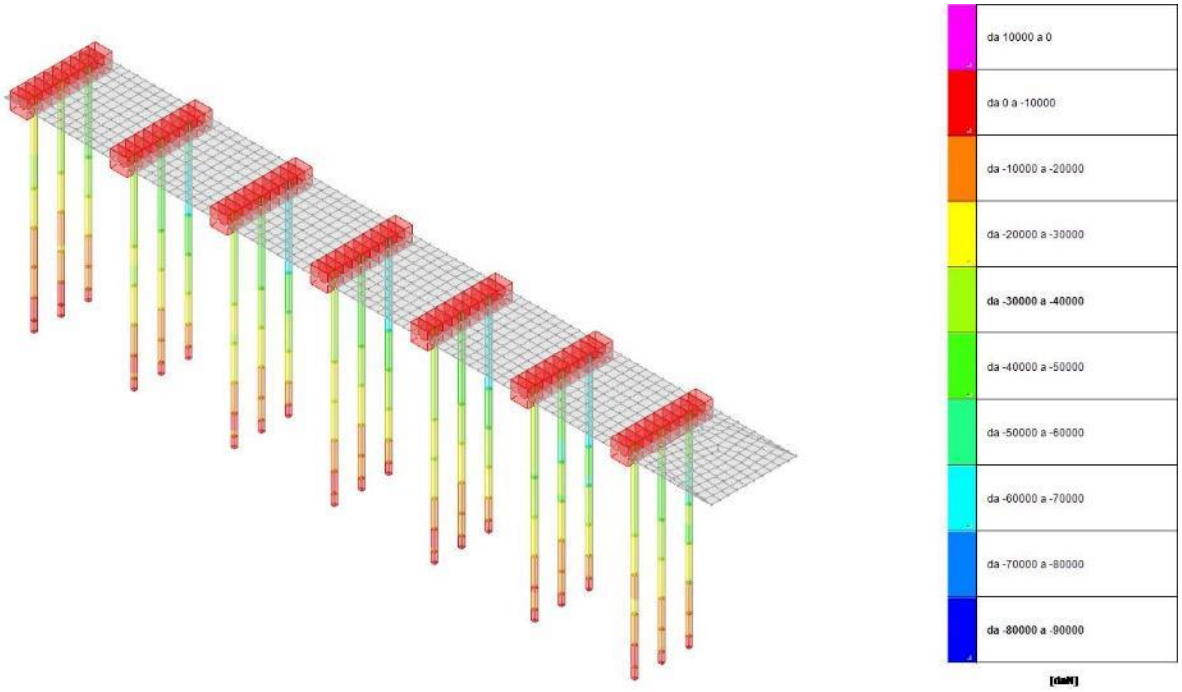


Figura 8. Carico assiale massimo sui pali (carico accidentale + ormeggio) – S.l.u.

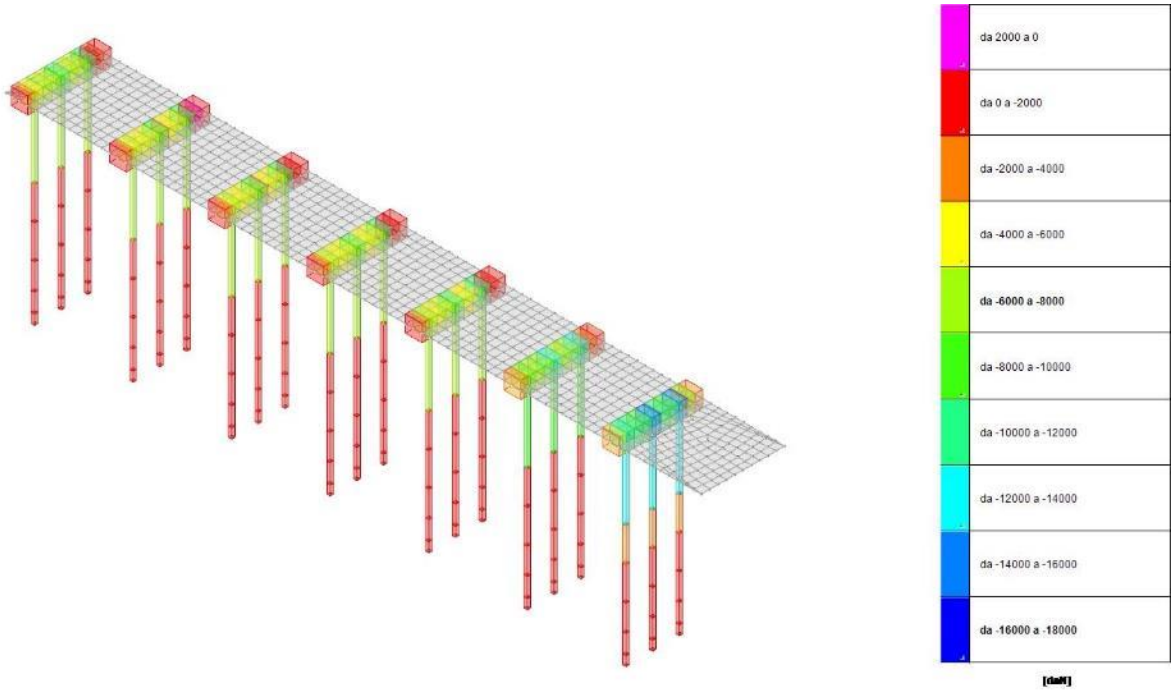


Figura 9. Taglio massimo sui pali (moto ondoso) – S.L.U. - eccezionale

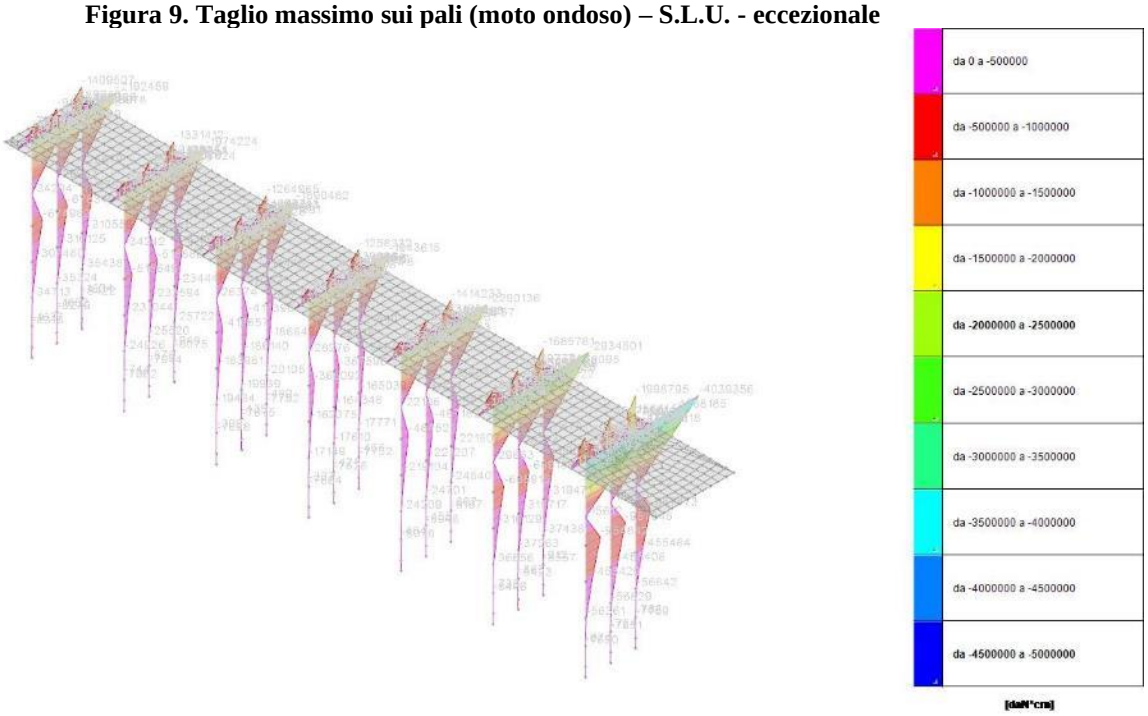


Figura 10. Momento flettente massimo sui pali (moto ondoso) – S.L.U. – eccezionale

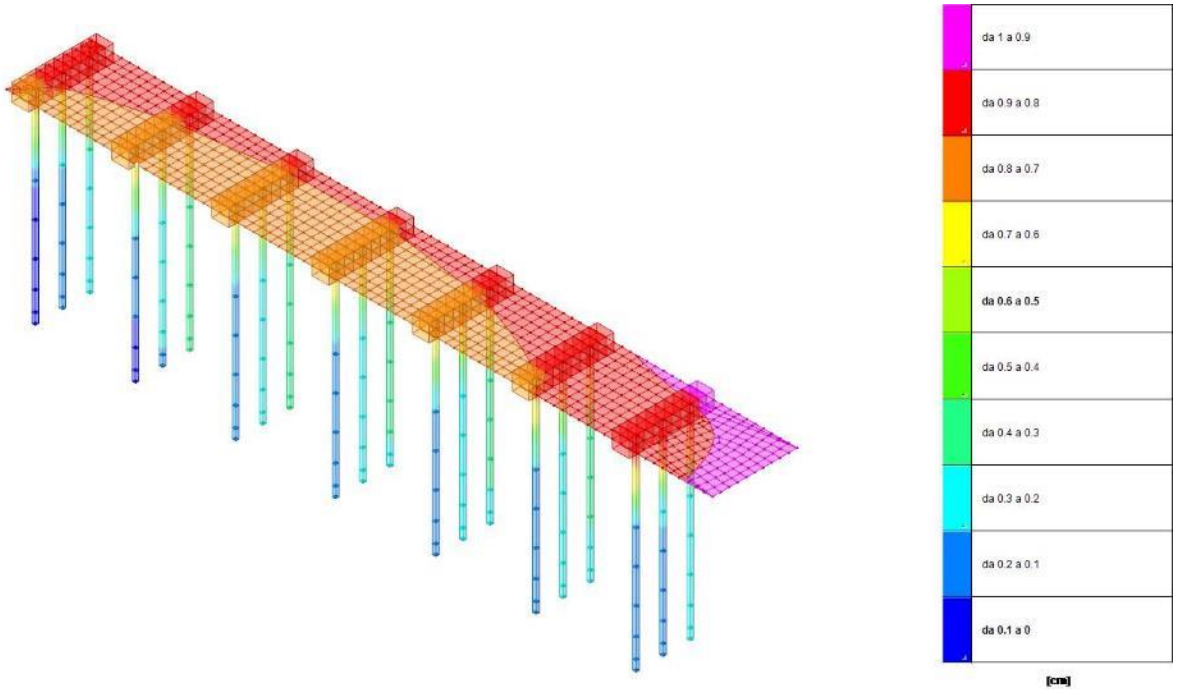


Figura 11. Spostamenti trasversali massimi in condizioni sismiche

6.1.1 Giudizio motivato di accettabilità dei risultati dell'analisi

I risultati ottenuti dal codice di calcolo sono stati controllati e confrontati con calcoli effettuati manualmente con riferimento a schemi o soluzioni utilizzate correntemente in letteratura per strutture analoghe e adottati, in fase di primo proporzionamento della parti portanti.

Le verifiche effettuate (controllo delle condizioni di equilibrio tra reazioni vincolari e carichi applicati e comparazione tra i risultati delle analisi e quelli delle valutazioni semplificate effettuate in fase di predimensionamento) hanno consentito di accertare la correttezza dell'ordine di grandezza e la bontà dei risultati ottenuti; per una valutazione più approfondita in merito si rimanda anche ai documenti di affidabilità e ai test presenti sul sito di riferimento della casa produttrice del software.

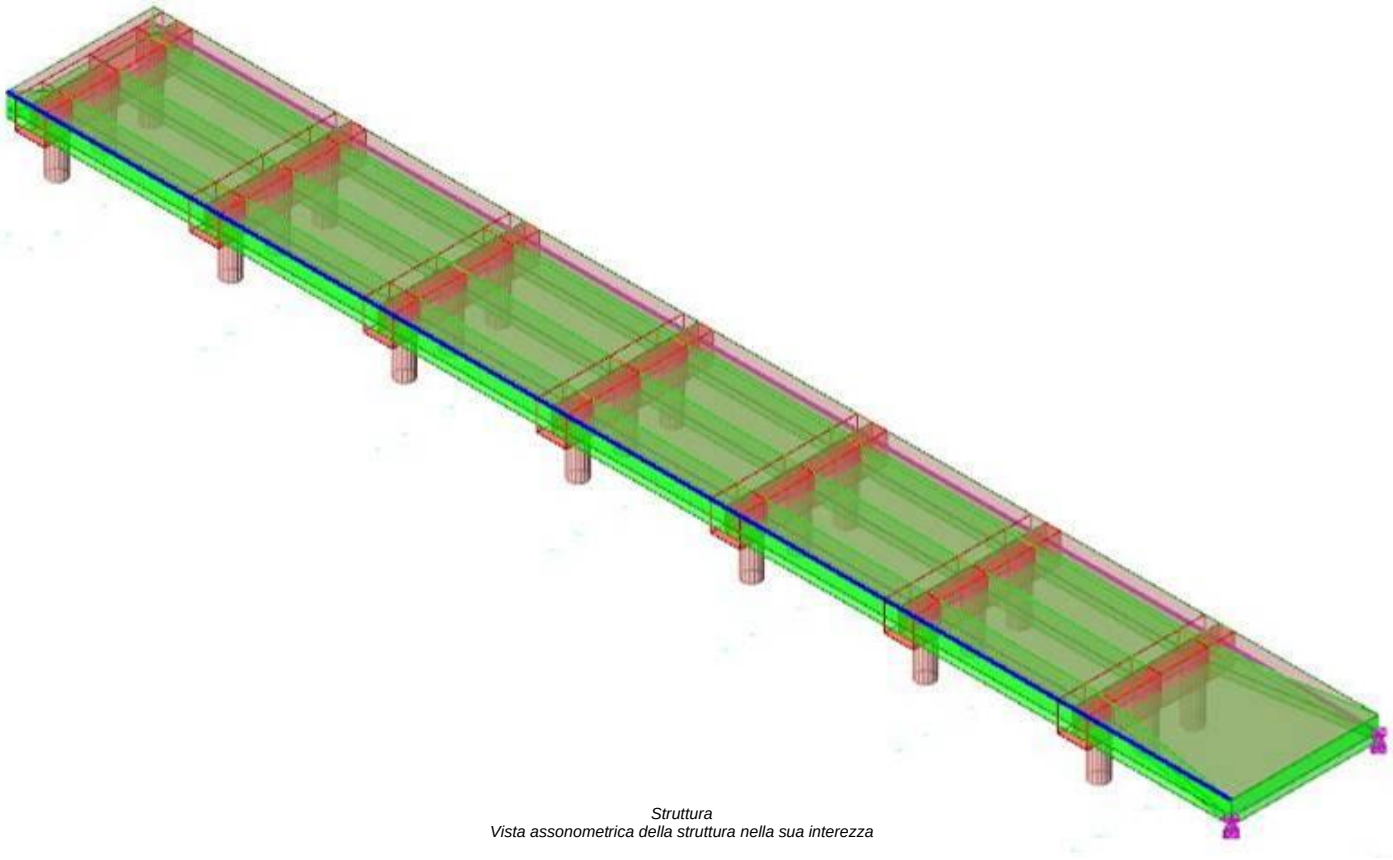
7 ALLEGATI

- ALLEGATO 1 - APPENDICE NUMERICA DI CALCOLO MOLO S. FRANCESCO

ALLEGATO 1

APPENDICE NUMERICA DI CALCOLO
MOLO S. FRANCESCO

1 Rappresentazione generale della struttura



Struttura
Vista assonometrica della struttura nella sua interezza

2 Normative

D.M. LL. PP. 11-03-88

Norme Tecniche riguardanti le indagini sui terreni e sulle rocce, la stabilità dei pendii naturali e delle scarpate, i criteri generali e le prescrizioni per la progettazione, l'esecuzione ed il collaudo delle opere di sostegno delle terre e delle opere di fondazione.

Circolare Ministeriale del 24-07-88, n. 30483/STC.

Legge 02-02-74 n. 64, art. 1 - D.M. 11-03-88

Norme Tecniche riguardanti le indagini sui terreni e sulle rocce, la stabilità dei pendii naturali e delle scarpate, i criteri generali e le prescrizioni per la progettazione, l'esecuzione ed il collaudo delle opere di sostegno delle terre e delle opere di fondazione.

Norme Tecniche per le Costruzioni - D.M. 17-01-18

Sicurezza e prestazioni attese (cap.2), Azioni sulle costruzioni (cap.3), Costruzioni in calcestruzzo (par.4.1), Costruzioni in legno (par.4.4), Costruzioni in muratura (par.4.5), Progettazione geotecnica (cap.6), Progettazione per azioni sismiche (cap.7), Costruzioni esistenti (cap.8), Riferimenti tecnici (cap.12), EC3.

Circolare 7 21-01-19 C.S.LL.PP

Istruzioni per l'applicazione dell'Aggiornamento delle N.T.C. di cui al decreto ministeriale 17 gennaio 2018.

3 Descrizione del software

Descrizione del programma Sismicad

Si tratta di un programma di calcolo strutturale che nella versione più estesa è dedicato al progetto e verifica degli elementi in cemento armato, acciaio, muratura e legno di opere civili. Il programma utilizza come analizzatore e solutore del modello strutturale un proprio solutore agli elementi finiti tridimensionale fornito col pacchetto. Il programma è sostanzialmente diviso in tre moduli: un pre processore che consente l'introduzione della geometria e dei carichi e crea il file dati di input al solutore; il solutore agli elementi finiti; un post processore che a soluzione avvenuta elabora i risultati eseguendo il progetto e la verifica delle membrature e producendo i grafici ed i tabulati di output.

Specifiche tecniche

Denominazione del software: Sismicad 12.16
Produttore del software: Concrete
Concrete srl, via della Pieve, 19, 35121 PADOVA - Italy
http://www.concrete.it
Rivenditore: CONCRETE SRL - Via della Pieve 19 - 35121 Padova - tel.049-8754720
Versione: 12.16
Identificatore licenza: SW-9253986
Intestatario della licenza: NAPOLEONE ING. FABRIZIO - VIA Chiara Lubich, 32 - CAGLIARI
Versione regolarmente licenziata

Schematizzazione strutturale e criteri di calcolo delle sollecitazioni

Il programma schematizza la struttura attraverso l'introduzione nell'ordine di fondazioni, poste anche a quote diverse, platee, platee nervate, plinti e travi di fondazione poggianti tutte su suolo elastico alla Winkler, di elementi verticali, pilastri e pareti in c.a. anche con fori, di orizzontamenti costituiti da solai orizzontali e inclinati (falde), e relative travi di piano e di falda; è ammessa anche l'introduzione di elementi prismatici in c.a. di interpiano con possibilità di collegamento in inclinato a solai posti a quote diverse. I nodi strutturali possono essere connessi solo a travi, pilastri e pareti, simulando così impalcati infinitamente deformabili nel piano, oppure a elementi lastra di spessore dichiarato dall'utente simulando in tal modo impalcati a rigidezza finita. I nodi appartenenti agli impalcati orizzontali possono essere connessi rigidamente ad uno o più nodi principali giacenti nel piano dell'impalcato; generalmente un nodo principale coincide con il baricentro delle masse. Tale opzione, oltre a ridurre significativamente i tempi di elaborazione, elimina le approssimazioni numeriche connesse all'utilizzo di elementi lastra quando si richiede l'analisi a impalcati infinitamente rigidi. Per quanto concerne i carichi, in fase di immissione dati, vengono definite, in numero a scelta dell'utente, condizioni di carico elementari le quali, in aggiunta alle azioni sismiche e variazioni termiche, vengono combinate attraverso coefficienti moltiplicativi per fornire le combinazioni richieste per le verifiche successive. L'effetto di disassamento delle forze orizzontali, indotto ad esempio dai torcenti di piano per costruzioni in zona sismica, viene simulato attraverso l'introduzione di eccentricità planari aggiuntive le quali costituiscono ulteriori condizioni elementari di carico da cumulare e combinare secondo i criteri del paragrafo precedente. Tipologicamente sono ammessi sulle travi e sulle pareti carichi uniformemente distribuiti e carichi trapezoidali; lungo le aste e nei nodi di incrocio delle membrature sono anche definibili componenti di forze e coppie concentrate comunque dirette nello spazio. Sono previste distribuzioni di temperatura, di intensità a scelta dell'utente, agenti anche su singole porzioni di struttura. Il calcolo delle sollecitazioni si basa sulle seguenti ipotesi e modalità: - travi e pilastri deformabili a sforzo normale, flessione deviata, taglio deviato e momento torcente. Sono previsti coefficienti riduttivi dei momenti di inerzia a scelta dell'utente per considerare la riduzione della rigidezza flessionale e torsionale per effetto della fessurazione del conglomerato cementizio. E' previsto un moltiplicatore della rigidezza assiale dei pilastri per considerare, se pure in modo approssimato, l'accorciamento dei pilastri per sforzo normale durante la costruzione. - le travi di fondazione su suolo alla Winkler sono risolte in forma chiusa tramite uno specifico elemento finito; - le pareti in c.a. sono analizzate schematizzandole come elementi lastra-piastra discretizzati con passo massimo assegnato in fase di immissione dati; - le pareti in muratura possono essere schematizzate con elementi lastra-piastra con spessore flessionale ridotto rispetto allo spessore membranale.- I plinti su suolo alla Winkler sono modellati con la introduzione di molle verticali elastoplastiche. La traslazione orizzontale a scelta dell'utente è bloccata o gestita da molle orizzontali di modulo di reazione proporzionale al verticale. - I pali sono modellati suddividendo l'asta in più aste immerse in terreni di stratigrafia definita dall'utente. Nei nodi di divisione tra le aste vengono inserite molle assialsimmetriche elastoplastiche precaricate dalla spinta a riposo che hanno come pressione limite minima la spinta attiva e come pressione limite massima la spinta passiva modificabile attraverso opportuni coefficienti. - i plinti su pali sono modellati attraverso aste di di rigidezza elevata che collegano un punto della struttura in elevazione con le aste che simulano la presenza dei pali;- le piastre sono discretizzate in un numero finito di elementi lastra-piastra con passo massimo assegnato in fase di immissione dati; nel caso di platee di fondazione i nodi sono collegati al suolo da molle aventi rigidezze alla traslazione verticale ed richiesta anche orizzontale.- La deformabilità nel proprio piano di piani dichiarati non infinitamente rigidi e di falde (piani inclinati) può essere controllata attraverso la introduzione di elementi membranali nelle zone di solaio. - I disassamenti tra elementi asta sono gestiti automaticamente dal programma attraverso la introduzione di collegamenti rigidi locali.- Alle estremità di elementi asta è possibile inserire svincolamenti tradizionali così come cerniere parziali (che trasmettono una quota di ciò che trasmetterebbero in condizioni di collegamento rigido) o cerniere plastiche.- Alle estremità di elementi bidimensionali è possibile inserire svincolamenti con cerniere parziali del momento flettente avente come asse il bordo dell'elemento.- Il calcolo degli effetti del sisma è condotto, a scelta dell'utente, con analisi statica lineare, con analisi dinamica modale o con analisi statica non lineare, in accordo alle varie normative adottate. Le masse, nel caso di impalcati dichiarati rigidi sono concentrate nei nodi principali di piano altrimenti vengono considerate diffuse nei nodi giacenti sull'impalcato stesso. Nel caso di analisi sismica vengono anche controllati gli spostamenti di interpiano.

Verifiche delle membrature in cemento armato

Nel caso più generale le verifiche degli elementi in c.a. possono essere condotte col metodo delle tensioni ammissibili (D.M. 14-1-92) o agli stati limite in accordo al D.M. 09-01-96, al D.M. 14-01-08, al D.M. 17-01-18 o secondo Eurocodice 2. Le travi sono progettate e verificate a flessione retta e taglio; a richiesta è possibile la verifica per le sei componenti della sollecitazione. I pilastri ed i pali sono verificati per le sei componenti della sollecitazione. Per gli elementi bidimensionali giacenti in un medesimo piano è disponibile la modalità di verifica che consente di analizzare lo stato di verifica nei singoli nodi degli elementi. Nelle verifiche (a presso flessione e punzonamento) è ammessa la introduzione dei momenti di calcolo modificati in base alle direttive dell'EC2, Appendice A.2.8. I plinti superficiali sono verificati assumendo lo schema statico di mensole con incastri posti a filo o in asse pilastro. Gli ancoraggi delle armature delle membrature in c.a. sono calcolati sulla base della effettiva tensione normale che ogni barra assume nella sezione di verifica distinguendo le zone di ancoraggio in zone di buona o cattiva aderenza. In particolare il programma valuta la tensione normale che ciascuna barra può assumere in una sezione sviluppando l'aderenza sulla superficie cilindrica posta a sinistra o a destra della sezione considerata; se in una

sezione una barra assume per effetto dell'aderenza una tensione normale minore di quella ammissibile, il suo contributo all'area complessiva viene ridotto dal programma nel rapporto tra la tensione normale che la barra può assumere per effetto dell'aderenza e quella ammissibile. Le verifiche sono effettuate a partire dalle aree di acciaio equivalenti così calcolate che vengono evidenziate in relazione.A seguito di analisi inelastiche eseguite in accordo a OPCM 3431 o D.M. 14-01-08, al D.M. 17-01-18 vengono condotte verifiche di resistenza per i meccanismi fragili (nodi e taglio) e verifiche di deformabilità per i meccanismi duttili.

4 Descrizione hardware

Processore	Intel(R) Core(TM) i7-3770 CPU @ 3.40GHz
Architettura	AMD64
Frequenza	3400 MHz
Memoria	15,95 GB
Sistema operativo	Microsoft Windows 7 Professional Service Pack 1 (64 bit)

5 Dati generali DB

5.1 Materiali

5.1.1 Materiali c.a.

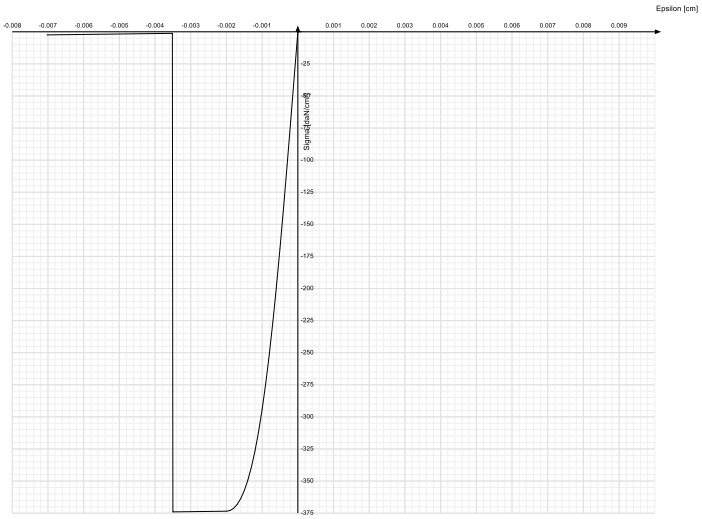
***Descrizione**: descrizione o nome assegnato all'elemento.*
***Rck**: resistenza caratteristica cubica; valore medio nel caso di edificio esistente. [daN/cm²]*
***E**: modulo di elasticità longitudinale del materiale per edifici o materiali nuovi. [daN/cm²]*
***G**: modulo di elasticità tangenziale del materiale, viene impiegato nella modellazione di aste e di elementi guscio a comportamento ortotropo. [daN/cm²]*
***v**: coefficiente di Poisson. Il valore è adimensionale.*
***γ**: peso specifico del materiale. [daN/cm³]*
***α**: coefficiente longitudinale di dilatazione termica. [°C-1]*

Descrizione	Rck	E	G	v	γ	α
C35/45	450	346255	Default (157388.57)	0.1	0.0025	0.00001

5.1.2 Curve di materiali c.a.

***Descrizione**: descrizione o nome assegnato all'elemento.*
***Curva**: curva caratteristica.*
***Reaz.traz.**: reagisce a trazione.*
***Comp.frag.**: ha comportamento fragile.*
***E.compr.**: modulo di elasticità a compressione. [daN/cm²]*
***Incr.compr.**: incrudimento di compressione. Il valore è adimensionale.*
***EpsEc**: ε elastico a compressione. Il valore è adimensionale.*
***EpsUc**: ε ultimo a compressione. Il valore è adimensionale.*
***E.traz.**: modulo di elasticità a trazione. [daN/cm²]*
***Incr.traz.**: incrudimento di trazione. Il valore è adimensionale.*
***EpsEt**: ε elastico a trazione. Il valore è adimensionale.*
***EpsUt**: ε ultimo a trazione. Il valore è adimensionale.*

Descrizione	Curva									
	Reaz.traz.	Comp.frag.	E.compr.	Incr.compr.	EpsEc	EpsUc	E.traz.	Incr.traz.	EpsEt	EpsUt
C35/45	No	Si	346254.85	0.001	-0.002	-0.0035	346254.85	0.001	0.0000678	0.0000745



5.1.3 Armature

***Descrizione**: descrizione o nome assegnato all'elemento.*
***fyk**: resistenza caratteristica. [daN/cm²]*
***σamm.**: tensione ammissibile. [daN/cm²]*
***Tipo**: tipo di barra.*
***E**: modulo di elasticità longitudinale del materiale per edifici o materiali nuovi. [daN/cm²]*
***γ**: peso specifico del materiale. [daN/cm³]*
***v**: coefficiente di Poisson. Il valore è adimensionale.*

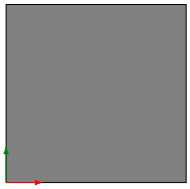
***α**: coefficiente longitudinale di dilatazione termica. [°C-1]*
***Livello di conoscenza**: indica se il materiale è nuovo o esistente, e in tal caso il livello di conoscenza secondo Circ.617 02/02/09 §C8A. Informazione impiegata solo in analisi D.M. 14-01-08 (N.T.C.) e D.M. 17-01-18 (N.T.C.).*

Descrizione	fyk	σamm.	Tipo	E	γ	ν	α	Livello di conoscenza
B450C	4500	2550	Aderenza migliorata	2060000	0.00785	0.3	0.000012	Nuovo

5.2 Sezioni

5.2.1 Sezioni C.A.

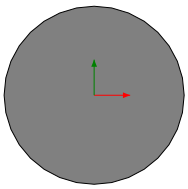
5.2.1.1 Sezioni rettangolari C.A.



***Descrizione**: descrizione o nome assegnato all'elemento.*
***Area Tx FEM**: area di taglio in direzione X per l'analisi FEM. [cm²]*
***Area Ty FEM**: area di taglio in direzione Y per l'analisi FEM. [cm²]*
***JxFEM**: momento di inerzia attorno all'asse X per l'analisi FEM. [cm4]*
***JyFEM**: momento di inerzia attorno all'asse Y per l'analisi FEM. [cm4]*
***JtFEM**: momento d'inerzia torsionale corretto con il fattore di forma per l'analisi FEM. [cm4]*
***H**: altezza della sezione. [cm]*
***B**: larghezza della sezione. [cm]*
***c.s.**: copriferro superiore della sezione. [cm]*
***c.i.**: copriferro inferiore della sezione. [cm]*
***c.l.**: copriferro laterale della sezione. [cm]*

Descrizione	Area Tx FEM	Area Ty FEM	JxFEM	JyFEM	JtFEM	H	B	c.s.	c.i.	c.l.
R 100x100	8333.33	8333.33	8.333E06	8.333E06	1.233E07	100	100	5	5	5

5.2.1.2 Sezioni circolari C.A.



***Descrizione**: descrizione o nome assegnato all'elemento.*
***Area Tx FEM**: area di taglio in direzione X per l'analisi FEM. [cm²]*
***Area Ty FEM**: area di taglio in direzione Y per l'analisi FEM. [cm²]*
***JxFEM**: momento di inerzia attorno all'asse X per l'analisi FEM. [cm4]*
***JyFEM**: momento di inerzia attorno all'asse Y per l'analisi FEM. [cm4]*
***JtFEM**: momento d'inerzia torsionale corretto con il fattore di forma per l'analisi FEM. [cm4]*
***Diametro**: diametro esterno della sezione. [cm]*
***Copriferro**: copriferro riferito alla superficie esterna della sezione. [cm]*

Descrizione	Area Tx FEM	Area Ty FEM	JxFEM	JyFEM	JtFEM	Diametro	Copriferro
Circolare (D=60)	2544.69	2544.69	628044.15	628044.15	1239688.89	60	5

5.2.1.3 Caratteristiche inerziali sezioni C.A.

***Descrizione**: descrizione o nome assegnato all'elemento.*
***Xg**: ascissa del baricentro definita rispetto al sistema geometrico in cui sono definiti i vertici del poligono. [cm]*
***Yg**: ordinata del baricentro definita rispetto al sistema geometrico in cui sono definiti i vertici del poligono. [cm]*
***Area**: area inerziale nel sistema geometrico centrato nel baricentro. [cm²]*
***Jx**: momento d'inerzia attorno all'asse orizzontale baricentrico di definizione della sezione. [cm4]*
***Jy**: momento d'inerzia attorno all'asse verticale baricentrico di definizione della sezione. [cm4]*
***Jxy**: momento centrifugo rispetto al sistema di riferimento baricentrico di definizione della sezione. [cm4]*
***Jm**: momento d'inerzia attorno all'asse baricentrico principale M. [cm4]*
***Jn**: momento d'inerzia attorno all'asse baricentrico principale N. [cm4]*
***α**: angolo tra gli assi del sistema di riferimento geometrico di definizione e quelli del sistema di riferimento principale. [deg]*
***Area Tx FEM**: area di taglio in direzione X per l'analisi FEM. [cm²]*
***Area Ty FEM**: area di taglio in direzione Y per l'analisi FEM. [cm²]*
***JxFEM**: momento di inerzia attorno all'asse X per l'analisi FEM. [cm4]*
***JyFEM**: momento di inerzia attorno all'asse Y per l'analisi FEM. [cm4]*

***JtFEM**: momento d'inerzia torsionale corretto con il fattore di forma per l'analisi FEM. [cm4]*

Descrizione	Xg	Yg	Area	Jx	Jy	Jxy	Jm	Jn	α	Area Tx FEM	Area Ty FEM	JxFEM	JyFEM	JtFEM
R 100x100	50	50	10000	8.3E6	8.3E6	0	8.3E6	8.3E6	0	8333.33	8333.33	8.33E06	8.33E06	1.23E07
Circolare (D=60)	0	0	2827.43	6.3E5	6.3E5	0	6.3E5	6.3E5	0	2544.69	2544.69	6.28E05	6.28E05	1.24E06

5.3 Fondazioni

5.3.1 Pali

5.3.1.1 Pali trivellati

***Descrizione**: descrizione o nome assegnato all'elemento.*
***Materiale**: materiale costituente il palo trivellato.*
***Sezione circolare C.A.**: sezione del palo trivellato definita nel database delle sezioni circolari C.A.*

Descrizione	Materiale	Sezione circolare C.A.
Trivellato D60	C35/45	Circolare (D=60)

5.4 Terreni

***Descrizione**: descrizione o nome assegnato all'elemento.*
***Natura geologica**: natura geologica del terreno (granulare, coesivo, roccia).*
***Coesione (c')**: coesione efficace del terreno. [daN/cm²]*
***Coesione non drenata (Cu)**: coesione non drenata (Cu), per terreni eminentemente coesivi (argille). [daN/cm²]*
***Angolo di attrito interno φ**: angolo di attrito interno del terreno. [deg]*
***Angolo di attrito di interfaccia δ**: angolo di attrito all'interfaccia tra terreno-cls. [deg]*
***Coeff. α di adesione della coesione (0;1)**: coeff. di adesione della coesione all'interfaccia terreno-cls, compreso tra 0 ed 1. Il valore è adimensionale.*
***Coeff. di spinta K0**: coefficiente di spinta a riposo del terreno. Il valore è adimensionale.*
***γ naturale**: peso specifico naturale del terreno in sito, assegnato alle zone non immerse. [daN/cm³]*
***γ saturo**: peso specifico saturo del terreno in sito, assegnato alle zone immerse. [daN/cm³]*
***E**: modulo elastico longitudinale del terreno. [daN/cm²]*
***v**: coefficiente di Poisson del terreno. Il valore è adimensionale.*
***Qualità roccia RQD (0;1)**: rock quality degree. Indice di qualità della roccia, assume valori nell'intervallo (0;1). Il valore è adimensionale.*

Descrizione	Natura geologica	Coesione (c')	Coesione non drenata (Cu)	Angolo di attrito interno φ	Angolo di attrito di interfaccia δ	Coeff. α di adesione della coesione (0;1)	Coeff. di spinta K0	γ naturale	γ saturo	E	v	Qualità roccia RQD (0;1)
Rapallo Strato 2	Eminentemente Coesivo (Argille)	0	0.94	35	23	1	0.43	0.00204	0.00204	125	0.3	0
Rapallo Strato 3	Roccia	16.6	0	35	25	1	0.43	0.00262	0.00262	5000	0.3	0.5

6 Dati di definizione

6.1 Preferenze commessa

6.1.1 Preferenze di analisi

Metodo di analisi	D.M. 17-01-18 (N.T.C.)	
Tipo di costruzione	2 - Costruzioni con livelli di prestazioni ordinari	
Vn	50	
Classe d'uso	II	
Vr	50	
Tipo di analisi	Lineare dinamica	
Considera sisma Z	Solo se Ag >= 0.15 g, conformemente a §3.2.3.1	
Località	Genova, Rapallo; Latitudine ED50 44,3521° (44° 21' 8''); Longitudine ED50 9,2307° (9° 13' 51''); Altitudine s.l.m. 9,29 m.	
Categoria del suolo	B - Rocce tenere e depositi di terreni a grana grossa molto addensati o terreni a grana fina molto consistenti	
Categoria topografica	T1 - Superficie pianeggiante, pendii e rilievi isolati con inclinazione media i<=15°	
Ss orizzontale SLD	1.2	
Tb orizzontale SLD	0.11	[s]
Tc orizzontale SLD	0.329	[s]
Td orizzontale SLD	1.749	[s]
Ss orizzontale SLV	1.2	
Tb orizzontale SLV	0.136	[s]
Tc orizzontale SLV	0.409	[s]
Td orizzontale SLV	1.953	[s]
St	1	
PVr SLD (%)	63	
Tr SLD	50	
Ag/g SLD	0.0373	
Fo SLD	2.552	
Tc* SLD	0.221	[s]
PVr SLV (%)	10	
Tr SLV	475	
Ag/g SLV	0.0882	
Fo SLV	2.529	
Tc* SLV	0.29	[s]
Smorzamento viscoso (%)	5	
Classe di duttilità	Non dissipativa	
Rotazione del sisma	0	[deg]
Quota dello '0' sismico	-420	[cm]
Regolarità in pianta	No	
Regolarità in elevazione	No	
Edificio C.A.	Si	
Edificio esistente	No	
Altezza costruzione	0	[cm]
T1,x	0.29796	[s]
T1,y	0.35525	[s]
λ SLD,x	1	
λ SLD,y	1	
λ SLV,x	1	
λ SLV,y	1	
Numero modi	10	
Metodo di Ritz	applicato	
Limite spostamenti interpiano SLD	0.005	
Fattore di comportamento per sisma SLD X	1.5	
Fattore di comportamento per sisma SLD Y	1.5	
Fattore di comportamento per sisma SLV X	1.5	
Fattore di comportamento per sisma SLV Y	1.5	
Coefficiente di sicurezza per carico limite (fondazioni superficiali)	2.3	
Coefficiente di sicurezza per scorrimento (fondazioni superficiali)	1.1	
Coefficiente di sicurezza portanza verticale pali infissi, punta	1.15	
Coefficiente di sicurezza portanza verticale pali infissi, laterale compressione	1.15	
Coefficiente di sicurezza portanza verticale pali infissi, laterale trazione	1.25	
Coefficiente di sicurezza portanza verticale pali trivellati, punta	1.35	
Coefficiente di sicurezza portanza verticale pali trivellati, laterale compressione	1.15	
Coefficiente di sicurezza portanza verticale pali trivellati, laterale trazione	1.25	
Coefficiente di sicurezza portanza verticale micropali, punta	1.35	
Coefficiente di sicurezza portanza verticale micropali, laterale compressione	1.15	
Coefficiente di sicurezza portanza verticale micropali, laterale trazione	1.25	
Coefficiente di sicurezza portanza trasversale pali	1.3	
Fattore di correlazione resistenza caratteristica dei pali in base alle verticali indagate	1.7	
Coefficiente di sicurezza per ribaltamento (plinti superficiali)	1.15	

6.1.2 Torsione accidentale NTC 08/NTC 18

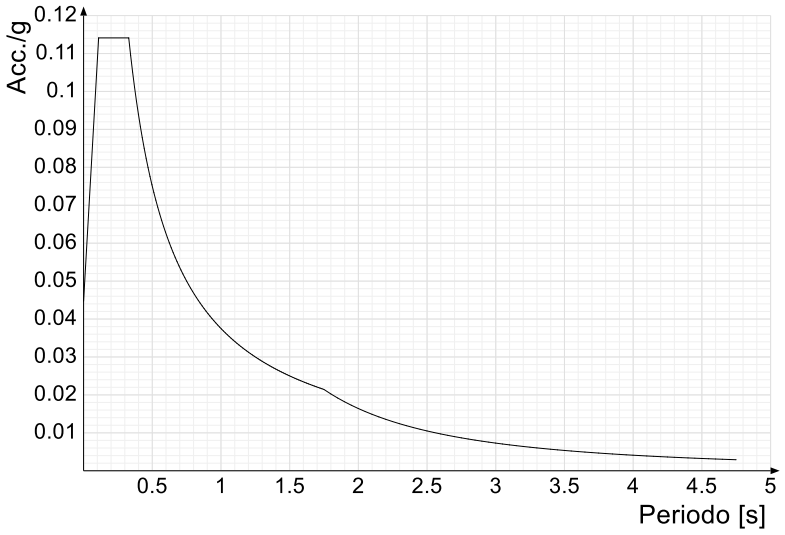
***Quota**: Livello o falda a cui si riferisce l'eccentricità.*
***Eccentricità X**: Eccentricità X per sisma Y attribuita alla quota. [cm]*
***Eccentricità Y**: Eccentricità Y per sisma X attribuita alla quota. [cm]*

Quota	Eccentricità X	Eccentricità Y
Fondo mare	0	0
Molo	208	24.97

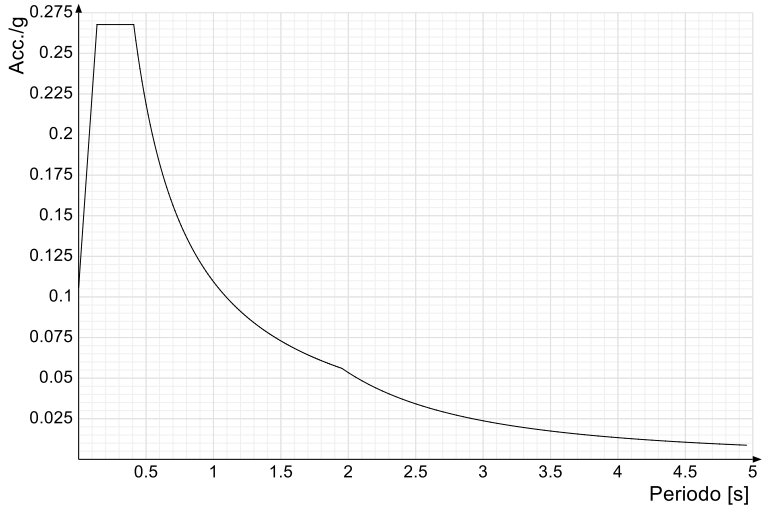
6.1.3 Spettri D.M. 17-01-18

***Acc./g**: Accelerazione spettrale normalizzata ottenuta dividendo l'accelerazione spettrale per l'accelerazione di gravità.*
***Periodo**: Periodo di vibrazione.*

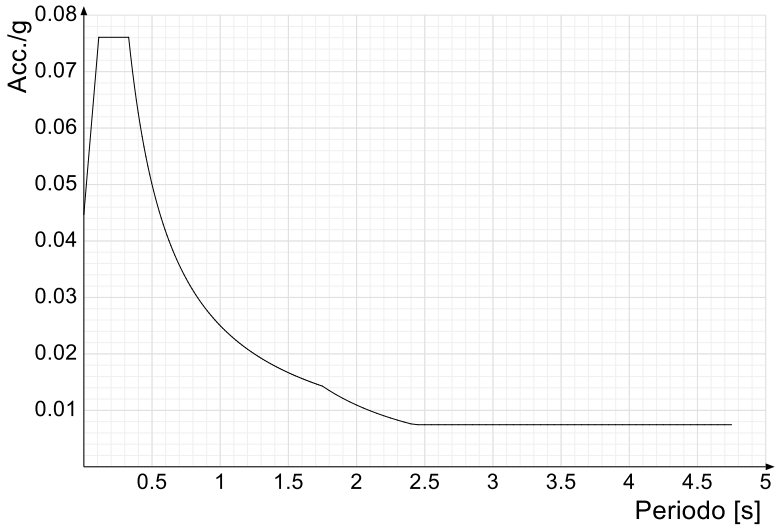
Spettro di risposta elastico in accelerazione delle componenti orizzontali SLD § 3.2.3.2.1 [3.2.2]



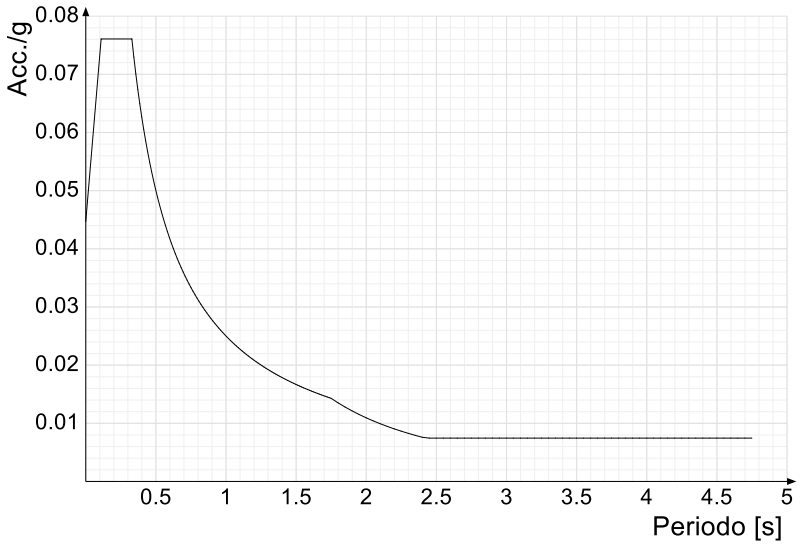
Spettro di risposta elastico in accelerazione delle componenti orizzontali SLV § 3.2.3.2.1 [3.2.2]



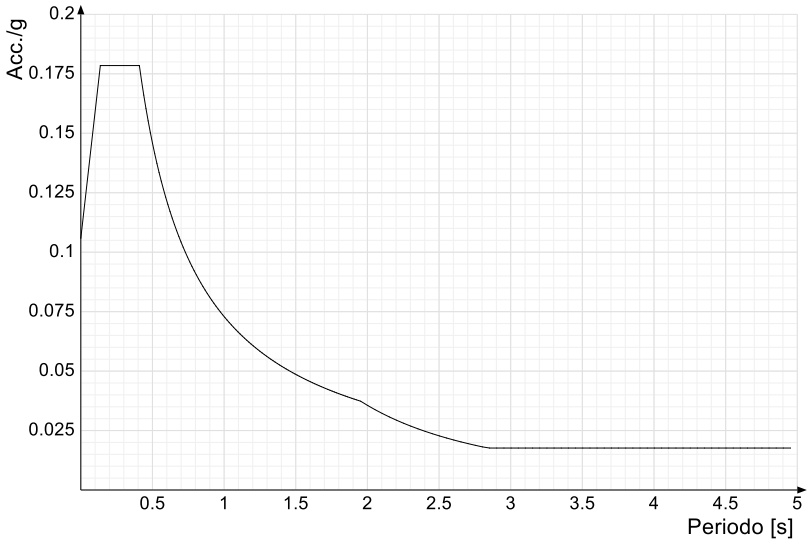
Spettro di risposta di progetto in accelerazione della componente X SLD § 3.2.3.5



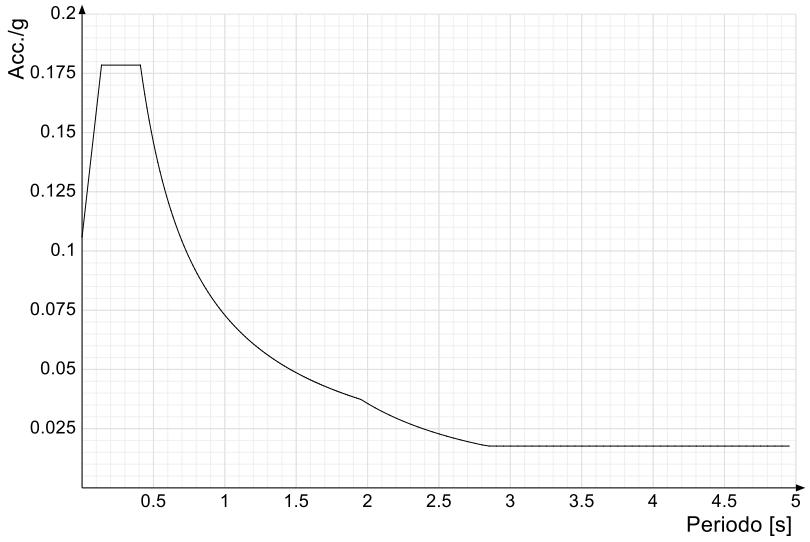
Spettro di risposta di progetto in accelerazione della componente Y SLD § 3.2.3.5



Spettro di risposta di progetto in accelerazione della componente X SLV § 3.2.3.5

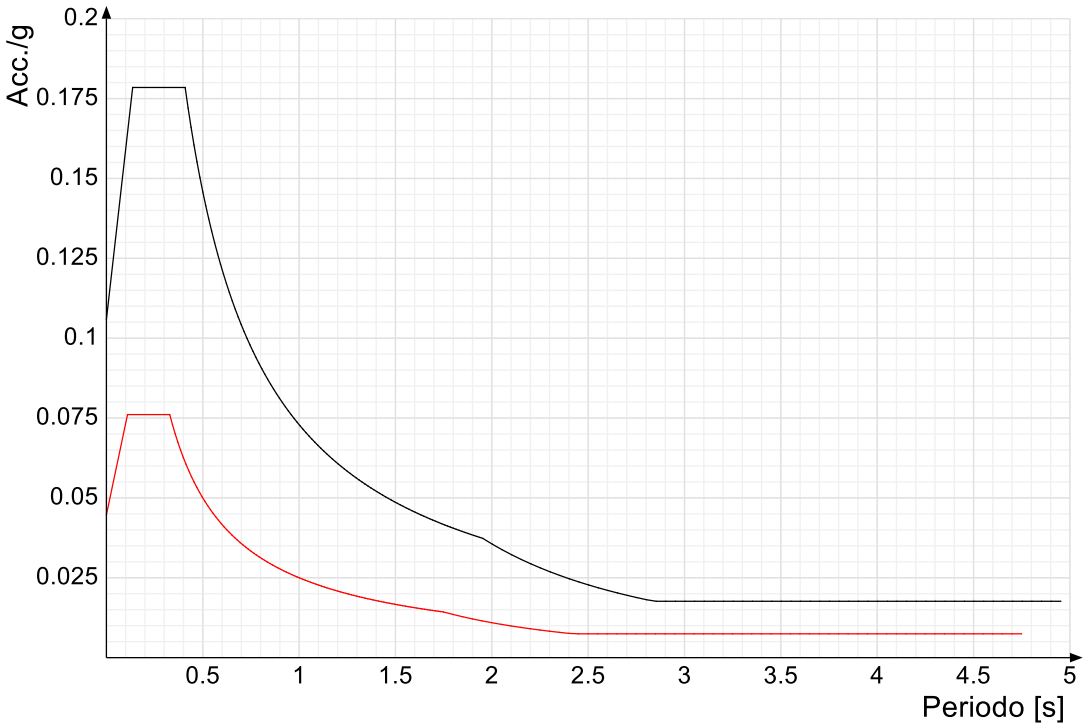


Spettro di risposta di progetto in accelerazione della componente Y SLV § 3.2.3.5

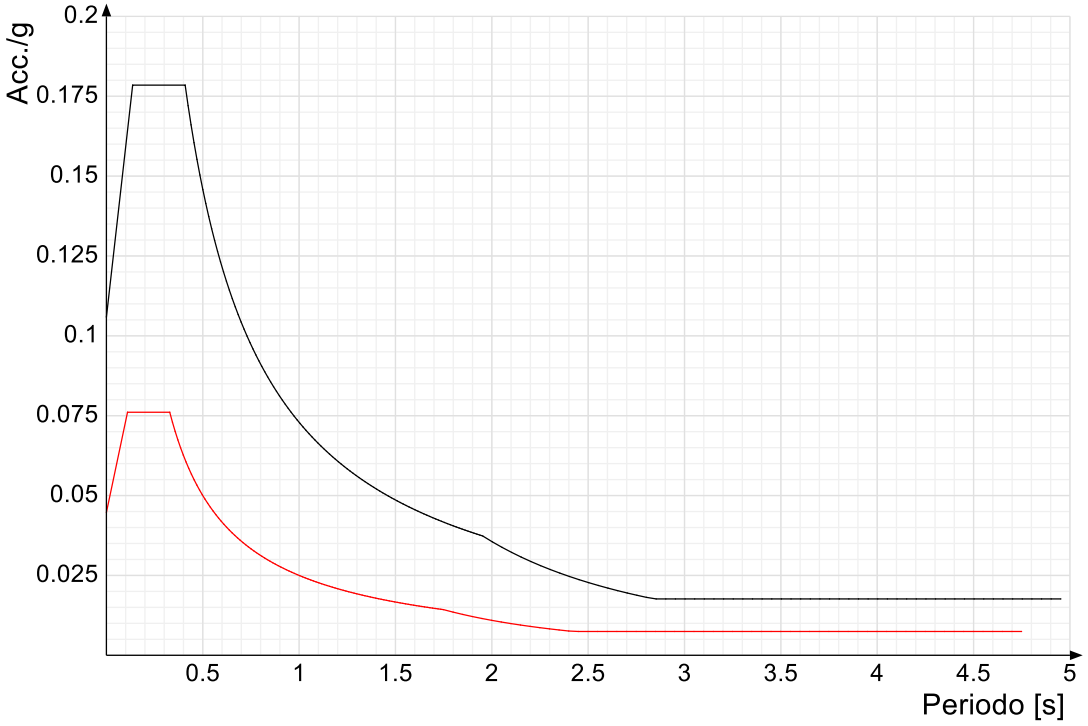


Confronti spettri SLV-SLD

Vengono confrontati lo spettro Spettro di risposta di progetto in accelerazione della componente X SLD § 3.2.3.5 (di colore rosso) e Spettro di risposta di progetto in accelerazione della componente X SLV § 3.2.3.5 (di colore nero).



Vengono confrontati lo spettro Spettro di risposta di progetto in accelerazione della componente Y SLD § 3.2.3.5 (di colore rosso) e Spettro di risposta di progetto in accelerazione della componente Y SLV § 3.2.3.5 (di colore nero).



6.1.4 Preferenze di verifica

6.1.4.1 Normativa di verifica in uso

Norma di verifica	D.M. 17-01-18 (N.T.C.)
Cemento armato	Preferenze comuni di verifica C.A. D.M. 17-01-18 (N.T.C.)
Acciaio	Preferenze di verifica acciaio D.M. 17-01-18 (N.T.C.)

6.1.4.2 Normativa di verifica C.A.

γs (fattore di sicurezza parziale per l'acciaio)	1.15	
γc (fattore di sicurezza parziale per il calcestruzzo)	1.5	
Limite σc/fck in combinazione rara	0.6	
Limite σc/fck in combinazione quasi permanente	0.45	
Limite σf/fyk in combinazione rara	0.8	
Coefficiente di riduzione della τ per cattiva aderenza	0.7	
Dimensione limite fessure w1 §4.1.2.2.4	0.02	[cm]
Dimensione limite fessure w2 §4.1.2.2.4	0.03	[cm]
Dimensione limite fessure w3 §4.1.2.2.4	0.04	[cm]
Fattori parziali di sicurezza unitari per meccanismi duttili di strutture esistenti con fattore q	Si	
Copriferro secondo EC2	No	
αcc elementi nuovi nelle combinazioni sismiche	0.85	
αcc elementi esistenti	0.85	

6.1.4.4 Normativa di verifica acciaio

γm0	1.05	
γm1	1.05	
γm2	1.25	
Coefficiente riduttivo per effetto vettoriale	0.7	
Calcolo coefficienti C1, C2, C3 per Mcr	automatico	
Coefficienti α, β per flessione deviata	unitari	
Verifica semplificata conservativa	si	
L/e0 iniziale per profili accoppiati compressi	500	
Metodo semplificato formula (4.2.82)	si	
Escludi 6.2.6.7 e 6.2.6.8 in 7.5.4.3 e 7.5.4.5	si	
Applica Nota 1 del prospetto 6.2	si	
Riduzione fy per tubi tondi di classe 4	no	
Effettua la verifica secondo 6.2.8 con irrigidimenti superiori (piastra di base)	si	
Limite spostamento relativo interpiano e monopiano colonne	0.00333	
Limite spostamento relativo complessivo multipiano colonne	0.002	
Considera taglio resistente estremità sagomati	no	
Fattori parziali di sicurezza unitari per meccanismi duttili di strutture esistenti con fattore q	si	

6.1.5 Preferenze FEM

Dimensione massima ottimale mesh pareti (default)	50	[cm]
Dimensione massima ottimale mesh piastre (default)	50	[cm]
Tipo di mesh dei gusci (default)	Quadrilateri o triangoli	
Tipo di mesh imposta ai gusci	Specifico dell'elemento	
Metodo P-Delta	non utilizzato	
Analisi buckling	non utilizzata	
Rapporto spessore flessionale/membranale gusci muratura verticali	0.2	
Spessori membranale e flessionale pareti XLAM da sole tavole verticali	No	
Moltiplicatore rigidezza connettori pannelli pareti legno a diaframma	1	
Tolleranza di parallelismo	4.99	[deg]
Tolleranza di unicità punti	10	[cm]
Tolleranza generazione nodi di aste	1	[cm]
Tolleranza di parallelismo in suddivisione aste	4.99	[deg]
Tolleranza generazione nodi di gusci	4	[cm]
Tolleranza eccentricità carichi concentrati	100	[cm]
Considera deformabilità a taglio negli elementi guscio	No	
Modello elastico pareti in muratura	Gusci	
Concentra masse pareti nei vertici	No	
Segno risultati analisi spettrale	Analisi statica	
Memoria utilizzabile dal solutore	8000000	
Metodo di risoluzione della matrice	Intel MKL PARDISO	
Scrivi commenti nel file di input	No	
Scrivi file di output in formato testo	No	
Solidi colle e corpi ruvidi (default)	Solidi reali	
Moltiplicatore rigidezza molla torsionale applicata ad aste di fondazione	1	
Modello trave su suolo alla Winkler nel caso di modellazione lineare	Equilibrio elastico	

6.1.6 Moltiplicatori inerziali

***Tipologia**: tipo di entità a cui si riferiscono i moltiplicatori inerziali.*
***J2**: moltiplicatore inerziale di J2. Il valore è adimensionale.*
***J3**: moltiplicatore inerziale di J3. Il valore è adimensionale.*
***Jt**: moltiplicatore inerziale di Jt. Il valore è adimensionale.*
***A**: moltiplicatore dell'area della sezione. Il valore è adimensionale.*
***A2**: moltiplicatore dell'area a taglio in direzione 2. Il valore è adimensionale.*
***A3**: moltiplicatore dell'area a taglio in direzione 3. Il valore è adimensionale.*
***Conci rigidi**: fattore di riduzione dei tronchi rigidi. Il valore è adimensionale.*

Tipologia	J2	J3	Jt	A	A2	A3	Conci rigidi
Trave C.A.	1	1	0.01	1	1	1	0.5
Pilastro C.A.	1	1	0.01	1	1	1	0.5
Trave di fondazione	1	1	0.01	1	1	1	0.5
Palo	1	1	0.01	1	1	1	0
Trave in legno	1	1	1	1	1	1	1
Colonna in legno	1	1	1	1	1	1	1

Tipologia	J2	J3	Jt	A	A2	A3	Conci rigidi
Trave in acciaio	1	1	1	1	1	1	1
Colonna in acciaio	1	1	1	1	1	1	1
Trave di reticolare in acciaio	1	1	1	1	1	1	1
Maschio in muratura	0	1	0	1	1	1	1
Trave di accoppiamento in muratura	0	1	0	1	1	1	1
Trave di scala C.A. nervata	1	1	1	1	1	1	0.5
Trave tralicciata	1	1	0.01	1	1	1	0.5

6.1.7 Preferenze di analisi non lineare FEM

Metodo iterativo	Secante
Tolleranza iterazione	0.00001
Numero massimo iterazioni	50

6.1.8 Preferenze di analisi carichi superficiali

Detrazione peso proprio solai nelle zone di sovrapposizione	non applicata	
Metodo di ripartizione	a zone d'influenza	
Percentuale carico calcolato a trave continua	0	
Esegui smoothing diagrammi di carico	applicata	
Tolleranza smoothing altezza trapezi	0.001	[daN/cm]
Tolleranza smoothing altezza media trapezi	0.001	[daN/cm]

6.1.9 Preferenze del suolo

Fondazioni non modellate e struttura bloccata alla base	no	
Fondazioni bloccate orizzontalmente	no	
Considera peso sismico delle fondazioni	no	
Fondazioni superficiali e profonde su suolo elastoplastico	no	
Coefficiente di sottofondo verticale per fondazioni superficiali (default)	3	[daN/cm³]
Rapporto di coefficiente sottofondo orizzontale/verticale	0.5	
Pressione verticale limite sul terreno per abbassamento (default)	10	[daN/cm²]
Pressione verticale limite sul terreno per innalzamento (default)	0.001	[daN/cm²]
Metodo di calcolo della K verticale	Vesic	
Metodo di calcolo della portanza e della pressione limite	Vesic	
Terreno laterale di riporto da piano posa fondazioni (default)	Rapallo Strato 2	
Dimensione massima della discretizzazione del palo (default)	200	[cm]
Moltiplicatore coesione per pressione orizzontale limite nei pali	1	
Moltiplicatore spinta passiva per pressione orizzontale pali	1	
K punta palo (default)	4	[daN/cm³]
Pressione limite punta palo (default)	10	[daN/cm²]
Pressione per verifica schiacciamento fondazioni superficiali	6	[daN/cm²]
Calcola cedimenti fondazioni superficiali	no	
Spessore massimo strato	100	[cm]
Profondità massima	3000	[cm]
Cedimento assoluto ammissibile	5	[cm]
Cedimento differenziale ammissibile	5	[cm]
Cedimento relativo ammissibile	5	[cm]
Rapporto di inflessione F/L ammissibile	0.003333	
Rotazione rigida ammissibile	0.191	[deg]
Rotazione assoluta ammissibile	0.191	[deg]
Distorsione positiva ammissibile	0.191	[deg]
Distorsione negativa ammissibile	0.095	[deg]
Considera fondazioni compensate	no	
Coefficiente di riduzione della a Max attesa	0.3	
Condizione per la valutazione della spinta su pareti	Lungo termine	
Considera l'azione sismica del terreno anche su pareti sotto lo zero sismico	no	
Calcola cedimenti teorici pali	no	
Considera accorciamento del palo	si	
Distanza influenza cedimento palo	1000	[cm]
Distribuzione attrito laterale	Attrito laterale uniforme	
Ripartizione del carico	Ripartizione come da modello FEM	
Scelta terreno laterale	Media pesata degli strati coinvolti	
Scelta terreno punta	Media pesata degli strati coinvolti	
Cedimento assoluto ammissibile	5	[cm]
Cedimento medio ammissibile	5	[cm]
Cedimento differenziale ammissibile	5	[cm]
Rotazione rigida ammissibile	0.191	[deg]
Trascura la coesione efficace in verifica allo scorrimento	si	
Considera inclinazione spinta del terreno contro pareti	no	
Esegui verifica a liquefazione	no	
Metodo di verifica liquefazione	Seed-Idriss (1982)	
Coeff. di sicurezza minimo a liquefazione	1.3	
Magnitudo scaling factor per liquefazione	1	

6.2 Azioni e carichi

6.2.1 Azione del vento

Ininfluente ai fini della presente verifica

6.2.2 Azione della neve

Ininfluente ai fini della presente verifica

6.2.3 Condizioni elementari di carico

***Descrizione**: nome assegnato alla condizione elementare.*
***Nome breve**: nome breve assegnato alla condizione elementare.*
***Durata**: descrive la durata della condizione (necessario per strutture in legno).*
***ψ0**: coefficiente moltiplicatore ψ0. Il valore è adimensionale.*
***ψ1**: coefficiente moltiplicatore ψ1. Il valore è adimensionale.*
***ψ2**: coefficiente moltiplicatore ψ2. Il valore è adimensionale.*
***Con segno**: descrive se la condizione elementare ha la possibilità di variare di segno.*

Descrizione	Nome breve	Durata	ψ0	ψ1	ψ2	Con segno
Pesi strutturali	Pesi	Permanente				
Permanenti portati	Port.	Permanente				
Variabile C	Variabile C	Media	0.7	0.7	0.6	
Eccezionale	Eccezionale	Istantaneo				
ΔT	ΔT	Media	0.6	0.5	0	No
Sisma X SLV	X SLV					
Sisma Y SLV	Y SLV					
Sisma Z SLV	Z SLV					
Eccentricità Y per sisma X SLV	EY SLV					
Eccentricità X per sisma Y SLV	EX SLV					
Sisma X SLD	X SLD					
Sisma Y SLD	Y SLD					
Sisma Z SLD	Z SLD					
Eccentricità Y per sisma X SLD	EY SLD					
Eccentricità X per sisma Y SLD	EX SLD					
Terreno sisma X SLV	Tr x SLV					
Terreno sisma Y SLV	Tr y SLV					
Terreno sisma Z SLV	Tr z SLV					
Terreno sisma X SLD	Tr x SLD					
Terreno sisma Y SLD	Tr y SLD					
Terreno sisma Z SLD	Tr z SLD					
Rig. Ux	R Ux					
Rig. Uy	R Uy					
Rig. Rz	R Rz					

6.2.4 Combinazioni di carico

***Nome**: E' il nome esteso che contraddistingue la condizione elementare di carico.*
***Nome breve**: E' il nome compatto della condizione elementare di carico, che viene utilizzato altrove nella relazione.*
***Pesi**: Pesi strutturali*
***Port.**: Permanenti portati*
***Variabile C**: Variabile C*
***ΔT**: ΔT*
***Eccezionale**: Eccezionale*
***X SLD**: Sisma X SLD*
***Y SLD**: Sisma Y SLD*
***Z SLD**: Sisma Z SLD*
***EY SLD**: Eccentricità Y per sisma X SLD*
***EX SLD**: Eccentricità X per sisma Y SLD*
***Tr x SLD**: Terreno sisma X SLD*
***Tr y SLD**: Terreno sisma Y SLD*
***Tr z SLD**: Terreno sisma Z SLD*
***X SLV**: Sisma X SLV*
***Y SLV**: Sisma Y SLV*
***Z SLV**: Sisma Z SLV*
***EY SLV**: Eccentricità Y per sisma X SLV*
***EX SLV**: Eccentricità X per sisma Y SLV*
***Tr x SLV**: Terreno sisma X SLV*
***Tr y SLV**: Terreno sisma Y SLV*
***Tr z SLV**: Terreno sisma Z SLV*
***R Ux**: Rig. Ux*
***R Uy**: Rig. Uy*
***R Rz**: Rig. Rz*

Tutte le combinazioni di carico vengono raggruppate per famiglia di appartenenza. Le celle di una riga contengono i coefficienti moltiplicatori della i-esima combinazione, dove il valore della prima cella è da intendersi come moltiplicatore associato alla prima condizione elementare, la seconda cella si riferisce alla seconda condizione elementare e così via.

Famiglia SLU

Il nome compatto della famiglia è SLU.

Nome	Nome breve	Pesi	Port.	Variabile C	ΔT
1	**SLU 1**	1	0.8	0	0
2	**SLU 2**	1	0.8	1.5	0
3	**SLU 3**	1	1.5	0	0

Nome	Nome breve	Pesi	Port.	Variabile C	ΔT
4	SLU 4	1	1.5	1.5	0
5	SLU 5	1.3	0.8	0	0
6	SLU 6	1.3	0.8	1.5	0
7	SLU 7	1.3	1.5	0	0
8	SLU 8	1.3	1.5	1.5	0

Famiglia SLE rara

Il nome compatto della famiglia è SLE RA.

Nome	Nome breve	Pesi	Port.	Variabile C	ΔT
1	SLE RA 1	1	1	0	0
2	SLE RA 2	1	1	1	0

Famiglia SLE frequente

Il nome compatto della famiglia è SLE FR.

Nome	Nome breve	Pesi	Port.	Variabile C	ΔT
1	SLE FR 1	1	1	0	0
2	SLE FR 2	1	1	0.7	0

Famiglia SLE quasi permanente

Il nome compatto della famiglia è SLE QP.

Nome	Nome breve	Pesi	Port.	Variabile C	ΔT
1	SLE QP 1	1	1	0	0
2	SLE QP 2	1	1	0.6	0

Famiglia SLU eccezionale

Il nome compatto della famiglia è SLU EX.

Nome	Nome breve	Pesi	Port.	Variabile C	Eccezionale	ΔT
1	SLU EX 1	1	1	0	1	0

Famiglia SLD

Il nome compatto della famiglia è SLD.

Nome	Nome breve	Pesi	Port.	Variabile C	ΔT	X SLD	Y SLD	Z SLD	EY SLD	EX SLD	Tr x SLD	Tr y SLD	Tr z SLD
1	SLD 1	1	1	0.6	0	-1	-0.3	0	-1	0.3	-1	-0.3	0
2	SLD 2	1	1	0.6	0	-1	-0.3	0	1	-0.3	-1	-0.3	0
3	SLD 3	1	1	0.6	0	-1	0.3	0	-1	0.3	-1	0.3	0
4	SLD 4	1	1	0.6	0	-1	0.3	0	1	-0.3	-1	0.3	0
5	SLD 5	1	1	0.6	0	-0.3	-1	0	-0.3	1	-0.3	-1	0
6	SLD 6	1	1	0.6	0	-0.3	-1	0	0.3	-1	-0.3	-1	0
7	SLD 7	1	1	0.6	0	-0.3	1	0	-0.3	1	-0.3	1	0
8	SLD 8	1	1	0.6	0	-0.3	1	0	0.3	-1	-0.3	1	0
9	SLD 9	1	1	0.6	0	0.3	-1	0	-0.3	1	0.3	-1	0
10	SLD 10	1	1	0.6	0	0.3	-1	0	0.3	-1	0.3	-1	0
11	SLD 11	1	1	0.6	0	0.3	1	0	-0.3	1	0.3	1	0
12	SLD 12	1	1	0.6	0	0.3	1	0	0.3	-1	0.3	1	0
13	SLD 13	1	1	0.6	0	1	-0.3	0	-1	0.3	1	-0.3	0
14	SLD 14	1	1	0.6	0	1	-0.3	0	1	-0.3	1	-0.3	0
15	SLD 15	1	1	0.6	0	1	0.3	0	-1	0.3	1	0.3	0
16	SLD 16	1	1	0.6	0	1	0.3	0	1	-0.3	1	0.3	0

Famiglia SLV

Il nome compatto della famiglia è SLV.

Nome	Nome breve	Pesi	Port.	Variabile C	ΔT	X SLV	Y SLV	Z SLV	EY SLV	EX SLV	Tr x SLV	Tr y SLV	Tr z SLV
1	SLV 1	1	1	0.6	0	-1	-0.3	0	-1	0.3	-1	-0.3	0
2	SLV 2	1	1	0.6	0	-1	-0.3	0	1	-0.3	-1	-0.3	0
3	SLV 3	1	1	0.6	0	-1	0.3	0	-1	0.3	-1	0.3	0
4	SLV 4	1	1	0.6	0	-1	0.3	0	1	-0.3	-1	0.3	0
5	SLV 5	1	1	0.6	0	-0.3	-1	0	-0.3	1	-0.3	-1	0
6	SLV 6	1	1	0.6	0	-0.3	-1	0	0.3	-1	-0.3	-1	0
7	SLV 7	1	1	0.6	0	-0.3	1	0	-0.3	1	-0.3	1	0
8	SLV 8	1	1	0.6	0	-0.3	1	0	0.3	-1	-0.3	1	0
9	SLV 9	1	1	0.6	0	0.3	-1	0	-0.3	1	0.3	-1	0
10	SLV 10	1	1	0.6	0	0.3	-1	0	0.3	-1	0.3	-1	0
11	SLV 11	1	1	0.6	0	0.3	1	0	-0.3	1	0.3	1	0
12	SLV 12	1	1	0.6	0	0.3	1	0	0.3	-1	0.3	1	0
13	SLV 13	1	1	0.6	0	1	-0.3	0	-1	0.3	1	-0.3	0
14	SLV 14	1	1	0.6	0	1	-0.3	0	1	-0.3	1	-0.3	0
15	SLV 15	1	1	0.6	0	1	0.3	0	-1	0.3	1	0.3	0
16	SLV 16	1	1	0.6	0	1	0.3	0	1	-0.3	1	0.3	0

Famiglia Calcolo rigidezza torsionale/flessionale di piano

Il nome compatto della famiglia è CRTFP.

Nome	Nome breve	R Ux	R Uy	R Rz
Rig. Ux+	CRTFP Ux+	1	0	0
Rig. Ux-	CRTFP Ux-	-1	0	0
Rig. Uy+	CRTFP Uy+	0	1	0
Rig. Uy-	CRTFP Uy-	0	-1	0
Rig. Rz+	CRTFP Rz+	0	0	1
Rig. Rz-	CRTFP Rz-	0	0	-1

6.2.5 Definizioni di carichi concentrati

***Nome**: nome identificativo della definizione di carico.*
***Valori**: valori associati alle condizioni di carico.*
***Condizione**: condizione di carico a cui sono associati i valori.*
***Descrizione**: nome assegnato alla condizione elementare.*

***Fx**: componente X del carico concentrato. [daN]*
***Fy**: componente Y del carico concentrato. [daN]*
***Fz**: componente Z del carico concentrato. [daN]*
***Mx**: componente di momento della coppia concentrata attorno all'asse X. [daN*cm]*
***My**: componente di momento della coppia concentrata attorno all'asse Y. [daN*cm]*
***Mz**: componente di momento della coppia concentrata attorno all'asse Z. [daN*cm]*

Nome	Valori						
	Condizione	Fx	Fy	Fz	Mx	My	Mz
	Descrizione						
Moto ondoso	Pesi strutturali	0	0	0	0	0	0
	Permanenti portati	0	0	0	0	0	0
	Variabile C	0	0	0	0	0	0
	Eccezionale	0	3600	0	0	0	0

6.2.6 Definizioni di carichi lineari

***Nome**: nome identificativo della definizione di carico.*
***Valori**: valori associati alle condizioni di carico.*
***Condizione**: condizione di carico a cui sono associati i valori.*
***Descrizione**: nome assegnato alla condizione elementare.*
***Fx i.**: valore iniziale della forza, per unità di lunghezza, agente in direzione X. [daN/cm]*
***Fx f.**: valore finale della forza, per unità di lunghezza, agente in direzione X. [daN/cm]*
***Fy i.**: valore iniziale della forza, per unità di lunghezza, agente in direzione Y. [daN/cm]*
***Fy f.**: valore finale della forza, per unità di lunghezza, agente in direzione Y. [daN/cm]*
***Fz i.**: valore iniziale della forza, per unità di lunghezza, agente in direzione Z. [daN/cm]*
***Fz f.**: valore finale della forza, per unità di lunghezza, agente in direzione Z. [daN/cm]*
***Mx i.**: valore iniziale della coppia, per unità di lunghezza, agente attorno l'asse X. [daN]*
***Mx f.**: valore finale della coppia, per unità di lunghezza, agente attorno l'asse X. [daN]*
***My i.**: valore iniziale della coppia, per unità di lunghezza, agente attorno l'asse Y. [daN]*
***My f.**: valore finale della coppia, per unità di lunghezza, agente attorno l'asse Y. [daN]*
***Mz i.**: valore iniziale della coppia, per unità di lunghezza, agente attorno l'asse Z. [daN]*
***Mz f.**: valore finale della coppia, per unità di lunghezza, agente attorno l'asse Z. [daN]*

Nome	Valori											
	Condizione	Fx i.	Fx f.	Fy i.	Fy f.	Fz i.	Fz f.	Mx i.	Mx f.	My i.	My f.	Mz i.	Mz f.
	Descrizione												
Ormeggio	Pesi strutturali	0	0	0	0	0	0	0	0	0	0	0	0
	Permanenti portati	0	0	0	0	0	0	0	0	0	0	0	0
	Variabile C	0	0	21	21	0	0	0	0	0	0	0	0
	Eccezionale	0	0	0	0	0	0	0	0	0	0	0	0
Moto ondoso	Pesi strutturali	0	0	0	0	0	0	0	0	0	0	0	0
	Permanenti portati	0	0	0	0	0	0	0	0	0	0	0	0
	Variabile C	0	0	0	0	0	0	0	0	0	0	0	0
	Eccezionale	0	0	30	30	0	0	0	0	0	0	0	0

6.2.7 Definizioni di carichi superficiali

***Nome**: nome identificativo della definizione di carico.*
***Valori**: valori associati alle condizioni di carico.*
***Condizione**: condizione di carico a cui sono associati i valori.*
***Descrizione**: nome assegnato alla condizione elementare.*
***Valore**: modulo del carico superficiale applicato alla superficie. [daN/cm²]*
***Applicazione**: modalità con cui il carico è applicato alla superficie.*

Nome	Valori		
	Condizione	Valore	Applicazione
	Descrizione		
Carico molo	Pesi strutturali	0	Verticale
	Permanenti portati	0	Verticale
	Variabile C	0.1	Verticale
	Eccezionale	0	Verticale

6.3 Quote

6.3.1 Livelli

***Descrizione breve**: nome sintetico assegnato al livello.*
***Descrizione**: nome assegnato al livello.*
***Quota**: quota superiore espressa nel sistema di riferimento assoluto. [cm]*
***Spessore**: spessore del livello. [cm]*

Descrizione breve	Descrizione	Quota	Spessore
L1	Fondo mare	-420	0
L2	Molo	0	100

6.3.2 Tronchi

***Descrizione breve**: nome sintetico assegnato al tronco.*

***Descrizione**: nome assegnato al tronco.*
***Quota 1**: riferimento della prima quota di definizione del tronco. esprimibile come livello, falda, piano orizzontale alla Z specificata. [cm]*
***Quota 2**: riferimento della seconda quota di definizione del tronco. esprimibile come livello, falda, piano orizzontale alla Z specificata. [cm]*

Descrizione breve	Descrizione	Quota 1	Quota 2
T1	Fondo mare - Molo	Fondo mare	Molo

6.4 Sondaggi del sito

Vengono elencati in modo sintetico tutti i sondaggi risultanti dalle verticali di indagine condotte in sito, con l'indicazione dei terreni incontrati, degli spessori e dell'eventuale falda acquifera.
Nome attribuito al sondaggio: Sondaggio
Coordinate planimetriche del sondaggio nel sistema globale scelto: 1340, 4800
Quota della sommità del sondaggio (P.C.) nel sistema globale scelto: -420

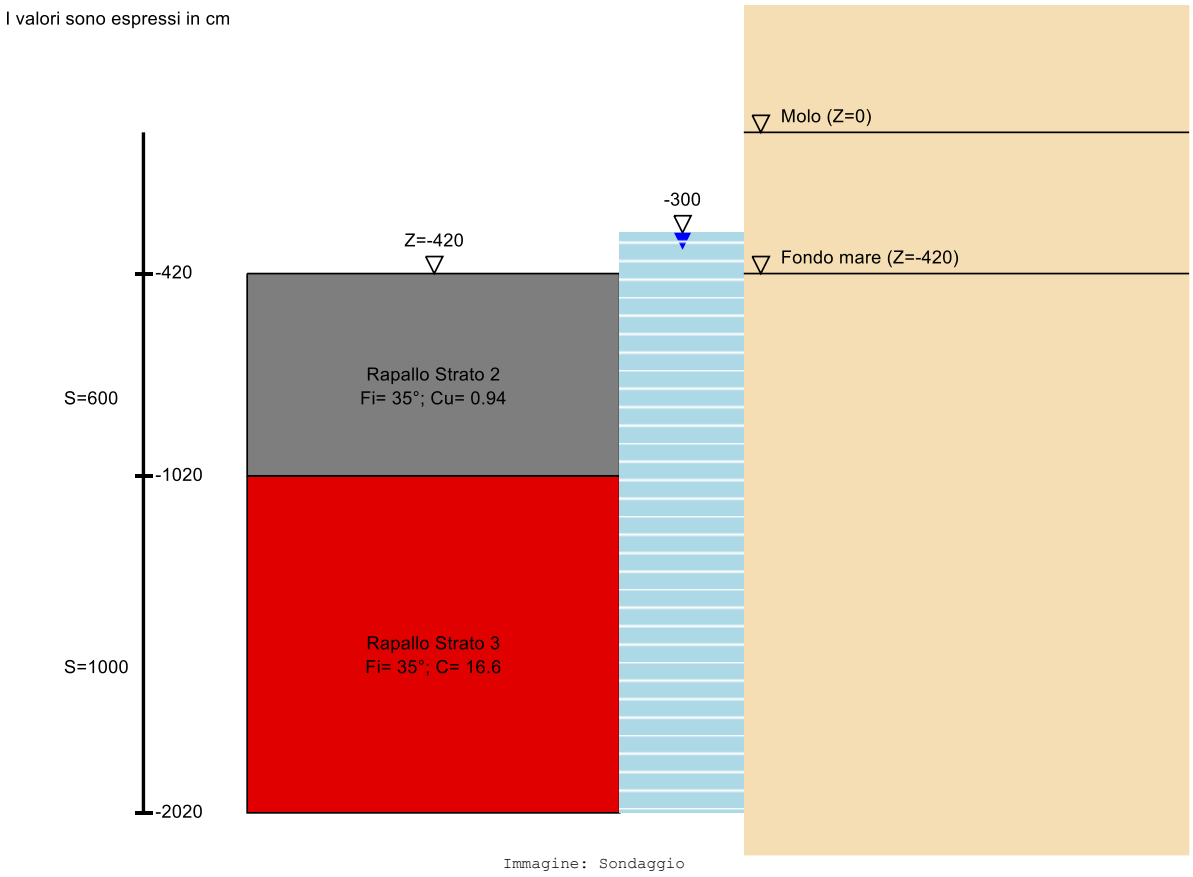


Immagine: Sondaggio

Stratigrafie

***Terreno**: terreno mediamente uniforme presente nello strato.*
***Sp.**: spessore dello strato. [cm]*
***Liqf**: indica se considerare lo strato come liquefacibile nelle combinazioni sismiche.Con 'Da verifica' viene considerato quanto risulta dalla verifica condotta a fine calcolo solutore.*
***Kor,i**: coefficiente K orizzontale al livello inferiore dello strato per modellazione palo. [daN/cm³]*
***Kor,s**: coefficiente K orizzontale al livello superiore dello strato per modellazione palo. [daN/cm³]*
***Kve,i**: coefficiente K verticale al livello inferiore dello strato per modellazione palo. [daN/cm³]*
***Kve,s**: coefficiente K verticale al livello superiore dello strato per modellazione palo. [daN/cm³]*
***Eel,s**: modulo elastico al livello superiore dello strato per calcolo cedimenti istantanei; 0 per non calcolarli. [daN/cm²]*
***Eel,i**: modulo elastico al livello inferiore dello strato per calcolo cedimenti istantanei; 0 per non calcolarli. [daN/cm²]*
***Eed,s**: modulo edometrico al livello superiore per calcolo cedimenti complessivi; 0 per non calcolarli. [daN/cm²]*
***Eed,i**: modulo edometrico al livello inferiore per calcolo cedimenti complessivi; 0 per non calcolarli. [daN/cm²]*
***CC,s**: coefficiente di compressione vergine CC al livello superiore per calcolo cedimenti di consolidazione; 0 per non calcolarli. Il valore è adimensionale.*
***CC,i**: coefficiente di compressione vergine CC al livello inferiore per calcolo cedimenti di consolidazione; 0 per non calcolarli. Il valore è adimensionale.*
***CR,s**: coefficiente di ricompressione CR al livello superiore per calcolo cedimenti di consolidazione; 0 per non calcolarli. Il valore è adimensionale.*
***CR,i**: coefficiente di ricompressione CR al livello inferiore per calcolo cedimenti di consolidazione; 0 per non calcolarli. Il valore è adimensionale.*
***E0,s**: indice dei vuoti E0 al livello superiore per calcolo cedimenti di consolidazione. Il valore è adimensionale.*
***E0,i**: indice dei vuoti E0 al livello inferiore per calcolo cedimenti di consolidazione. Il valore è adimensionale.*
***OCR,s**: indice di sovraconsolidazione OCR al livello superiore per calcolo cedimenti di consolidazione; 1 per terreno NC. Il valore è adimensionale.*
***OCR,i**: indice di sovraconsolidazione OCR al livello inferiore per calcolo cedimenti di consolidazione; 1 per terreno NC. Il valore è adimensionale.*

Terreno	Sp.	Liqf	Kor,i	Kor,s	Kve,i	Kve,s	Eel,s	Eel,i	Eed,s	Eed,i	CC,s	CC,i	CR,s	CR,i	E0,s	E0,i	OCR,s	OCR,i
Rapallo Strato 2	600	No	10	7.5	1	1	125	125	0	0	0	0	0	0	0	0	1	1
Rapallo Strato 3	1000	No	10	10	1	1	5000	5000	0	0	0	0	0	0	0	0	1	1

Falde acquifere

***Profondità**: profondità della superficie superiore della falda dalla quota del punto di riferimento. [cm]*
***Carico piezometrico**: carico piezometrico rispetto alla superficie superiore, 0 per falde freatiche. [cm]*
***Spessore**: spessore dell'acquifero.*

Profondità	Carico piezometrico	Spessore
-120	0	Fino in fondo

6.5 Elementi di input

6.5.1 Fili fissi

6.5.1.1 Fili fissi di piano

***Livello**: quota di inserimento espressa con notazione breve esprimibile come livello, falda, piano orizzontale alla Z specificata. [cm]*
***Punto**: punto di inserimento.*
***X**: coordinata X. [cm]*
***Y**: coordinata Y. [cm]*
***Estradosso**: distanza dalla quota di inserimento misurata in direzione ortogonale al piano della quota e con verso positivo verso l'alto. [cm]*
***Angolo**: angolo misurato dal semiasse positivo delle ascisse in verso antiorario. [deg]*
***Tipo**: tipo di simbolo.*
***T.c.**: testo completo visualizzato accanto al filo fisso, costituito dalla concatenazione del prefisso e del testo.*

Livello	Punto		Estradosso	Angolo	Tipo	T.c.
	X	Y				
L1	1260.1	4599.1	0	0	Croce	2
L1	4880.1	4189.8	0	0	Croce	34
L1	4880.1	4509.8	0	0	Croce	36
L1	4290.1	4599.1	0	0	Croce	32
L1	4290.1	4349.8	0	0	Croce	30
L1	1930	4599.1	0	0	Croce	12
L1	1340	4099.8	0	0	Croce	3
L1	2520	4099.8	0	0	Croce	13
L1	3700.1	4099.8	0	0	Croce	23
L1	4290.1	4099.8	0	0	Croce	28
L1	3700.1	4349.8	0	0	Croce	25
L1	1340	4349.8	0	0	Croce	5
L1	1260	4099.8	0	0	Croce	1
L1	1930	4349.8	0	0	Croce	10
L1	3700.1	4509.8	0	0	Croce	26
L1	2520	4189.8	0	0	Croce	14
L1	2520	4509.8	0	0	Croce	16
L1	3110.1	4349.8	0	0	Croce	20
L1	3700.1	4189.8	0	0	Croce	24
L1	4880.1	4099.8	0	0	Croce	33

Livello	Punto		Estradosso	Angolo	Tipo	T.c.
	X	Y				
L1	4290.1	4509.8	0	0	Croce	31
L1	4880.1	4349.8	0	0	Croce	35
L1	4880.1	4599.1	0	0	Croce	37
L1	3700.1	4599.1	0	0	Croce	27
L1	3110.1	4599.1	0	0	Croce	22
L1	1340	4599.1	0	0	Croce	7
L1	1930	4099.8	0	0	Croce	8
L1	3110.1	4099.8	0	0	Croce	18
L1	2520	4599.1	0	0	Croce	17
L1	4290.1	4189.8	0	0	Croce	29
L1	1340	4509.8	0	0	Croce	6
L1	1340	4189.8	0	0	Croce	4
L1	1930	4189.8	0	0	Croce	9
L1	1930	4509.8	0	0	Croce	11
L1	5420	4599.1	0	0	Croce	39
L1	2520	4349.8	0	0	Croce	15
L1	3110.1	4189.8	0	0	Croce	19
L1	3110.1	4509.8	0	0	Croce	21
L1	5420	4099.8	0	0	Croce	38

6.5.2 Travi C.A.

6.5.2.1 Travi C.A. di piano

***Sezione**: riferimento ad una definizione di sezione C.A..*
***P.i.**: posizione dei punti d'inserimento rispetto alla geometria della sezione. SA=Sinistra anima, CA=Centro anima, DA=Destra anima*
***Liv.**: quota del punto di inserimento iniziale. esprimibile come livello, falda, piano orizzontale alla Z specificata. [cm]*
***Punto i.**: punto di inserimento iniziale.*
***X**: coordinata X. [cm]*
***Y**: coordinata Y. [cm]*
***Punto f.**: punto di inserimento finale.*
***X**: coordinata X. [cm]*
***Y**: coordinata Y. [cm]*
***Estr.**: distanza dalla quota di inserimento misurata in direzione ortogonale al piano della quota e con verso positivo verso l'alto. [cm]*
***Mat.**: riferimento ad una definizione di materiale calcestruzzo.*
***Car.lin.**: riferimento alla definizione di un carico lineare.L: valori del carico espressi nel sistema locale dell'elemento.G: valori del carico espressi nel sistema globale.*
***Sovr.**: aliquota di sovraresistenza da assicurare in verifica.*
***S.Z**: indica se l'elemento deve essere verificato considerando il sisma verticale.*
***C.i.**: svincolo o cerniera da applicare al relativo estremo dell'asta nel modello.*
***C.f.**: svincolo o cerniera da applicare al relativo estremo dell'asta nel modello.*
***P.lin.**: peso per unità di lunghezza. [daN/cm]*

Sezione	P.i.	Liv.	Punto i.		Punto f.		Estr.	Mat.	Car.lin.	Sovr.	S.Z	C.i.	C.f.	P.lin.
			X	Y	X	Y								
R 100x100	CA	L2	1340	4509.8	1340	4349.8	0	C35/45	Nessuno; G	0	No	No	No	25
R 100x100	CA	L2	4880.1	4509.8	4880.1	4349.8	0	C35/45	Nessuno; G	0	No	No	No	25
R 100x100	CA	L2	4880.1	4349.8	4880.1	4189.8	0	C35/45	Nessuno; G	0	No	No	No	25
R 100x100	CA	L2	4290.1	4189.8	4290.1	4099.8	0	C35/45	Nessuno; G	0	No	No	No	25
R 100x100	CA	L2	4290.1	4599.1	4290.1	4509.8	0	C35/45	Nessuno; G	0	No	No	No	25
R 100x100	CA	L2	4290.1	4509.8	4290.1	4349.8	0	C35/45	Nessuno; G	0	No	No	No	25
R 100x100	CA	L2	4290.1	4349.8	4290.1	4189.8	0	C35/45	Nessuno; G	0	No	No	No	25
R 100x100	CA	L2	3700.1	4189.8	3700.1	4099.8	0	C35/45	Nessuno; G	0	No	No	No	25
R 100x100	CA	L2	3700.1	4599.1	3700.1	4509.8	0	C35/45	Nessuno; G	0	No	No	No	25
R 100x100	CA	L2	3700.1	4509.8	3700.1	4349.8	0	C35/45	Nessuno; G	0	No	No	No	25
R 100x100	CA	L2	3700.1	4349.8	3700.1	4189.8	0	C35/45	Nessuno; G	0	No	No	No	25
R 100x100	CA	L2	3110.1	4189.8	3110.1	4099.8	0	C35/45	Nessuno; G	0	No	No	No	25
R 100x100	CA	L2	3110.1	4599.1	3110.1	4509.8	0	C35/45	Nessuno; G	0	No	No	No	25
R 100x100	CA	L2	3110.1	4509.8	3110.1	4349.8	0	C35/45	Nessuno; G	0	No	No	No	25
R 100x100	CA	L2	3110.1	4349.8	3110.1	4189.8	0	C35/45	Nessuno; G	0	No	No	No	25
R 100x100	CA	L2	2520	4189.8	2520	4099.8	0	C35/45	Nessuno; G	0	No	No	No	25
R 100x100	CA	L2	2520	4599.1	2520	4509.8	0	C35/45	Nessuno; G	0	No	No	No	25

Sezione	P.i.	Liv.	Punto i.		Punto f.		Estr.	Mat.	Car.lin.	Sovr.	S.Z	C.i.	C.f.	P.lin.
			X	Y	X	Y								
R 100x100	CA	L2	2520	4509.8	2520	4349.8	0	C35/45	Nessuno; G	0	No	No	No	25
R 100x100	CA	L2	2520	4349.8	2520	4189.8	0	C35/45	Nessuno; G	0	No	No	No	25
R 100x100	CA	L2	1340	4189.8	1340	4099.8	0	C35/45	Nessuno; G	0	No	No	No	25
R 100x100	CA	L2	1340	4599.1	1340	4509.8	0	C35/45	Nessuno; G	0	No	No	No	25
R 100x100	CA	L2	1930	4189.8	1930	4099.8	0	C35/45	Nessuno; G	0	No	No	No	25
R 100x100	CA	L2	1930	4599.1	1930	4509.8	0	C35/45	Nessuno; G	0	No	No	No	25
R 100x100	CA	L2	1930	4509.8	1930	4349.8	0	C35/45	Nessuno; G	0	No	No	No	25
R 100x100	CA	L2	1930	4349.8	1930	4189.8	0	C35/45	Nessuno; G	0	No	No	No	25
R 100x100	CA	L2	1340	4349.8	1340	4189.8	0	C35/45	Nessuno; G	0	No	No	No	25
R 100x100	CA	L2	4880.1	4599.1	4880.1	4509.8	0	C35/45	Nessuno; G	0	No	No	No	25
R 100x100	CA	L2	4880.1	4189.8	4880.1	4099.8	0	C35/45	Nessuno; G	0	No	No	No	25

6.5.3 Piastre C.A.

6.5.3.1 Piastre C.A. di piano

***Livello**: quota di inserimento espressa con notazione breve esprimibile come livello, falda, piano orizzontale alla Z specificata. [cm]*
***Sp.**: spessore misurato in direzione ortogonale al piano medio dell'elemento. [cm]*
***Punti**: punti di definizione in pianta.*
***I.**: indice del punto corrente nell'insieme dei punti di definizione dell'elemento.*
***X**: coordinata X. [cm]*
***Y**: coordinata Y. [cm]*
***Estr.**: distanza dalla quota di inserimento misurata in direzione ortogonale al piano della quota e con verso positivo verso l'alto. [cm]*
***Mat.**: riferimento ad una definizione di calcestruzzo.*
***Car.sup.**: riferimento alla definizione di un carico superficiale. Accetta anche il valore "Nessuno".*
***Car.pot.**: riferimento alla definizione di un carico potenziale. Accetta anche il valore "Nessuno".*
***DeltaT**: riferimento alla definizione di una variazione termica. Accetta anche il valore "Nessuno".*
***Sovr.**: aliquota di sovraresistenza da assicurare in verifica.*
***S.Z**: indica se l'elemento deve essere verificato considerando il sisma verticale.*
***P.sup.**: peso per unità di superficie. [daN/cm²]*
***Fond.**: riferimento alla fondazione sottostante l'elemento.*
***Fori**: riferimenti a tutti gli elementi che forano la piastra.*

Livello	Sp.	Punti			Estr.	Mat.	Car.sup.	Car.pot.	DeltaT	Sovr.	S.Z	P.sup.	Fond.	Fori
		I.	X	Y										
L2	76	1	4880.1	4509.8	0	C35/45	Carico molo			0	No	0.19		
		2	4880	4349.8										
		3	4880.1	4189.8										
		4	5420	4099.8										
		5	5420	4599.1										
L2	76	1	4290.1	4189.8	0	C35/45	Carico molo			0	No	0.19		
		2	4880.1	4189.8										
		3	4880.1	4349.8										
		4	4290.1	4349.8										
L2	76	1	4290.1	4349.8	0	C35/45	Carico molo			0	No	0.19		
		2	4880.1	4349.8										
		3	4880.1	4509.8										
		4	4290.1	4509.8										
L2	76	1	4290.1	4099.8	0	C35/45	Carico molo			0	No	0.19		
		2	4880.1	4099.8										
		3	4880.1	4189.8										
		4	4290.1	4189.8										
L2	76	1	4290.1	4509.8	0	C35/45	Carico molo			0	No	0.19		
		2	4880.1	4509.8										
		3	4880.1	4599.1										
		4	4290.1	4599.1										
L2	76	1	3700.1	4189.8	0	C35/45	Carico molo			0	No	0.19		
		2	4290.1	4189.8										
		3	4290.1	4349.8										
		4	3700.1	4349.8										
L2	76	1	3700.1	4349.8	0	C35/45	Carico molo			0	No	0.19		
		2	4290.1	4349.8										
		3	4290.1	4509.8										
		4	3700.1	4509.8										
L2	76	1	3700.1	4099.8	0	C35/45	Carico molo			0	No	0.19		
		2	4290.1	4099.8										
		3	4290.1	4189.8										
		4	3700.1	4189.8										
L2	76	1	3700.1	4509.8	0	C35/45	Carico molo			0	No	0.19		
		2	4290.1	4509.8										
		3	4290.1	4599.1										
		4	3700.1	4599.1										
L2	76	1	3110.1	4189.8	0	C35/45	Carico molo			0	No	0.19		
		2	3700.1	4189.8										
		3	3700.1	4349.8										
		4	3110.1	4349.8										

Livello	Sp.	Punti			Estr.	Mat.	Car.sup.	Car.pot.	DeltaT	Sovr.	S.Z	P.sup.	Fond.	Fori
		I.	X	Y										
L2	76	1	3110.1	4349.8	0	C35/45	Carico molo			0	No	0.19		
		2	3700.1	4349.8										
		3	3700.1	4509.8										
		4	3110.1	4509.8										
L2	76	1	3110.1	4099.8	0	C35/45	Carico molo			0	No	0.19		
		2	3700.1	4099.8										
		3	3700.1	4189.8										
		4	3110.1	4189.8										
L2	76	1	3110.1	4509.8	0	C35/45	Carico molo			0	No	0.19		
		2	3700.1	4509.8										
		3	3700.1	4599.1										
		4	3110.1	4599.1										
L2	76	1	2520	4189.8	0	C35/45	Carico molo			0	No	0.19		
		2	3110.1	4189.8										
		3	3110.1	4349.8										
		4	2520	4349.8										
L2	76	1	2520	4349.8	0	C35/45	Carico molo			0	No	0.19		
		2	3110.1	4349.8										
		3	3110.1	4509.8										
		4	2520	4509.8										
L2	76	1	2520	4099.8	0	C35/45	Carico molo			0	No	0.19		
		2	3110.1	4099.8										
		3	3110.1	4189.8										
		4	2520	4189.8										
L2	76	1	2520	4509.8	0	C35/45	Carico molo			0	No	0.19		
		2	3110.1	4509.8										
		3	3110.1	4599.1										
		4	2520	4599.1										
L2	76	1	1930	4189.8	0	C35/45	Carico molo			0	No	0.19		
		2	2520	4189.8										
		3	2520	4349.8										
		4	1930	4349.8										
L2	76	1	1930	4349.8	0	C35/45	Carico molo			0	No	0.19		
		2	2520	4349.8										
		3	2520	4509.8										
		4	1930	4509.8										
L2	76	1	1930	4099.8	0	C35/45	Carico molo			0	No	0.19		
		2	2520	4099.8										
		3	2520	4189.8										
		4	1930	4189.8										
L2	76	1	1930	4509.8	0	C35/45	Carico molo			0	No	0.19		
		2	2520	4509.8										
		3	2520	4599.1										
		4	1930	4599.1										
L2	76	1	1340	4189.8	0	C35/45	Carico molo			0	No	0.19		
		2	1930	4189.8										
		3	1930	4349.8										
		4	1340	4349.8										
L2	76	1	1340	4349.8	0	C35/45	Carico molo			0	No	0.19		
		2	1930	4349.8										
		3	1930	4509.8										
		4	1340	4509.8										
L2	76	1	1260.1	4099.8	0	C35/45	Carico molo			0	No	0.19		
		2	1340	4099.8										
		3	1340	4189.8										
L2	76	1	1340	4099.8	0	C35/45	Carico molo			0	No	0.19		
		2	1930	4099.8										
		3	1930	4189.8										
		4	1340	4189.8										
L2	76	1	1340	4509.8	0	C35/45	Carico molo			0	No	0.19		
		2	1930	4509.8										
		3	1930	4599.1										
		4	1340	4599.1										
L2	76	1	1340	4509.8	0	C35/45	Carico molo			0	No	0.19		
		2	1340	4599.1										
		3	1260.1	4599.1										
L2	76	1	1260	4099.8	0	C35/45	Carico molo			0	No	0.19		
		2	1340	4189.8										
		3	1340	4349.8										
		4	1340	4509.8										
		5	1260.1	4599.1										
L2	76	1	4880.1	4509.8	0	C35/45	Carico molo			0	No	0.19		
		2	5420	4599.1										

Livello	Sp.	Punti			Estr.	Mat.	Car.sup.	Car.pot.	DeltaT	Sovr.	S.Z	P.sup.	Fond.	Fori
		I.	X	Y										
		3	4880.1	4599.1										
L2	76	1	4880.1	4099.8	0	C35/45	Carico molo			0	No	0.19		
		2	5420	4099.8										
		3	4880.1	4189.8										

6.5.4 Fondazioni profonde

***Descrizione breve**: descrizione breve usata nelle tabelle dei capitoli dei pali e plinti su pali.*
***Stratigrafia**: stratigrafia del terreno nel punto medio in pianta dell'elemento.*
***Sondaggio**: è possibile indicare esplicitamente un sondaggio definito nelle preferenze oppure richiedere di estrapolare il sondaggio dalla definizione del sito espressa nelle preferenze.*
***Estradosso**: distanza dalla quota superiore del sondaggio misurata in verticale con verso positivo verso l'alto. [cm]*
***Deformazione volumetrica**: valore della deformazione volumetrica impiegato nel calcolo della pressione limite a rottura con la formula di Vesic. Il valore è adimensionale. Accetta anche il valore di default espresso nelle preferenze.*
***K punta**: coefficiente di sottofondo verticale del terreno in punta palo. [daN/cm³]*
***Pressione limite punta**: valore limite di pressione del terreno in punta palo. [daN/cm²]*

Descrizione breve	Stratigrafia			K punta	Pressione limite punta
	Sondaggio	Estradosso	Deformazione volumetrica		
FPP1	Piu' vicino in sito	0	Default (0.096)	Default (4)	Default (10)

6.5.5 Pali

6.5.5.1 Pali di piano

***Palo**: riferimento ad una definizione di palo.*
***Liv.**: quota di inserimento espressa con notazione breve esprimibile come livello, falda, piano orizzontale alla Z specificata. [cm]*
***Punto**: punto di inserimento.*
***X**: coordinata X. [cm]*
***Y**: coordinata Y. [cm]*
***Estr.**: distanza dalla quota di inserimento misurata in direzione ortogonale al piano della quota e con verso positivo verso l'alto. [cm]*
***Lungh.**: lunghezza del palo. [cm]*
***Coll. testa**: tipo di collegamento fra la testa del palo e l'eventuale sovrastruttura.*
***Capacita portante palo**: capacità portante ultima palo singolo, somma di quella laterale e quella alla punta; ciascuna delle due capacità può essere calcolata in automatico con formule statiche oppure può esserne specificato direttamente il valore numerico.*
***Fond.**: riferimento alla fondazione sottostante l'elemento.*

Palo	Liv.	Punto		Estr.	Lungh.	Coll. testa	Capacita portante palo	Fond.
		X	Y					
Trivellato D60	L2	1340	4189.8	0	1200	Incastro	769152 = Default (740878) + Default (28274); 864839 = Default (836565) + Default (28274)	FPP1
Trivellato D60	L2	4880.1	4509.8	0	1200	Incastro	769152 = Default (740878) + Default (28274); 864839 = Default (836565) + Default (28274)	FPP1
Trivellato D60	L2	4290.1	4189.8	0	1200	Incastro	769152 = Default (740878) + Default (28274); 864839 = Default (836565) + Default (28274)	FPP1
Trivellato D60	L2	4290.1	4349.8	0	1200	Incastro	769152 = Default (740878) + Default (28274); 864839 = Default (836565) + Default (28274)	FPP1
Trivellato D60	L2	4290.1	4509.8	0	1200	Incastro	769152 = Default (740878) + Default (28274); 864839 = Default (836565) + Default (28274)	FPP1
Trivellato D60	L2	3700.1	4189.8	0	1200	Incastro	769152 = Default (740878) + Default (28274); 864839 = Default (836565) + Default (28274)	FPP1
Trivellato D60	L2	3700.1	4349.8	0	1200	Incastro	769152 = Default (740878) + Default (28274); 864839 = Default (836565) + Default (28274)	FPP1
Trivellato D60	L2	3700.1	4509.8	0	1200	Incastro	769152 = Default (740878) + Default (28274); 864839 = Default (836565) + Default (28274)	FPP1
Trivellato D60	L2	3110.1	4189.8	0	1200	Incastro	769152 = Default (740878) + Default (28274); 864839 = Default (836565) + Default (28274)	FPP1

Palo	Liv.	Punto		Estr.	Lungh.	Coll. testa	Capacita portante palo	Fond.
		X	Y					
Trivellato D60	L2	4880.1	4349.8	0	1200	Incastro	769152 = Default (740878) + Default (28274); 864839 = Default (836565) + Default (28274)	FPP1
Trivellato D60	L2	3110.1	4349.8	0	1200	Incastro	769152 = Default (740878) + Default (28274); 864839 = Default (836565) + Default (28274)	FPP1
Trivellato D60	L2	2520	4189.8	0	1200	Incastro	769152 = Default (740878) + Default (28274); 864839 = Default (836565) + Default (28274)	FPP1
Trivellato D60	L2	2520	4349.8	0	1200	Incastro	769152 = Default (740878) + Default (28274); 864839 = Default (836565) + Default (28274)	FPP1
Trivellato D60	L2	2520	4509.8	0	1200	Incastro	769152 = Default (740878) + Default (28274); 864839 = Default (836565) + Default (28274)	FPP1
Trivellato D60	L2	1930	4189.8	0	1200	Incastro	769152 = Default (740878) + Default (28274); 864839 = Default (836565) + Default (28274)	FPP1
Trivellato D60	L2	1930	4349.8	0	1200	Incastro	769152 = Default (740878) + Default (28274); 864839 = Default (836565) + Default (28274)	FPP1
Trivellato D60	L2	1930	4509.8	0	1200	Incastro	769152 = Default (740878) + Default (28274); 864839 = Default (836565) + Default (28274)	FPP1
Trivellato D60	L2	1340	4509.8	0	1200	Incastro	769152 = Default (740878) + Default (28274); 864839 = Default (836565) + Default (28274)	FPP1
Trivellato D60	L2	1340	4349.8	0	1200	Incastro	769152 = Default (740878) + Default (28274); 864839 = Default (836565) + Default (28274)	FPP1
Trivellato D60	L2	3110.1	4509.8	0	1200	Incastro	769152 = Default (740878) + Default (28274); 864839 = Default (836565) + Default (28274)	FPP1
Trivellato D60	L2	4880.1	4189.8	0	1200	Incastro	769152 = Default (740878) + Default (28274); 864839 = Default (836565) + Default (28274)	FPP1

6.5.6 Carichi concentrati

6.5.6.1 Carichi concentrati di piano

***Carico**: riferimento alla definizione di un carico concentrato.*
***Liv.**: quota di inserimento espressa con notazione breve esprimibile come livello, falda, piano orizzontale alla Z specificata. [cm]*
***Punto**: punto di inserimento.*
***X**: coordinata X. [cm]*
***Y**: coordinata Y. [cm]*
***Estradosso**: distanza dalla quota di inserimento misurata in direzione ortogonale al piano della quota e con verso positivo verso l'alto. [cm]*

Carico	Liv.	Punto		Estradosso
		X	Y	
Moto ondoso	L2	1340	4189.8	-25
Moto ondoso	L2	1930	4189.8	-25
Moto ondoso	L2	2520	4189.8	-25
Moto ondoso	L2	3110.1	4189.8	-25
Moto ondoso	L2	3700.1	4189.8	-25
Moto ondoso	L2	4290.1	4189.8	-25
Moto ondoso	L2	4880.1	4189.8	-25

6.5.7 Carichi lineari

6.5.7.1 Carichi lineari di piano

***Carico**: riferimento alla definizione di un carico lineare.*
***Livello**: quota del punto di inserimento iniziale. esprimibile come livello, falda, piano orizzontale alla Z specificata. [cm]*
***Punto i.**: punto di inserimento iniziale.*
***X**: coordinata X. [cm]*

***Y**: coordinata Y. [cm]*
***Punto f.**: punto di inserimento finale.*
***X**: coordinata X. [cm]*
***Y**: coordinata Y. [cm]*
***Estr.**: distanza dalla quota di inserimento misurata in direzione ortogonale al piano della quota e con verso positivo verso l'alto. [cm]*

Carico	Livello	Punto i.		Punto f.		Estr.
		X	Y	X	Y	
Ormeggio	Molo	1260	4099.8	1340	4099.8	50
Ormeggio	Molo	1340	4099.8	1930	4099.8	50
Ormeggio	Molo	1930	4099.8	2520	4099.8	50
Ormeggio	Molo	2520	4099.8	3110.1	4099.8	50
Ormeggio	Molo	3110.1	4099.8	3700.1	4099.8	50
Ormeggio	Molo	3700.1	4099.8	4290.1	4099.8	50
Ormeggio	Molo	4290.1	4099.8	4880.1	4099.8	50
Ormeggio	Molo	4880.1	4099.8	5420	4099.8	50
Moto ondoso	Molo	1260.1	4599.1	1340	4599.1	0
Moto ondoso	Molo	1340	4599.1	1930	4599.1	0
Moto ondoso	Molo	1930	4599.1	2520	4599.1	0
Moto ondoso	Molo	2520	4599.1	3110.1	4599.1	0
Moto ondoso	Molo	3110.1	4599.1	3560.1	4599.1	0
Moto ondoso	Molo	3560.1	4599.1	4290.1	4599.1	0
Moto ondoso	Molo	4290.1	4599.1	4880.1	4599.1	0
Moto ondoso	Molo	4880.1	4599.1	5420	4599.1	0

6.5.8 Vincoli

6.5.8.1 Vincoli di piano

***Livello**: quota di inserimento espressa con notazione breve esprimibile come livello, falda, piano orizzontale alla Z specificata. [cm]*
***Punto**: punto di inserimento.*
***X**: coordinata X. [cm]*
***Y**: coordinata Y. [cm]*
***Estr.**: distanza dalla quota di inserimento misurata in direzione ortogonale al piano della quota e con verso positivo verso l'alto. [cm]*
***Ux**: limitazione al GDL oppure rigidezza della molla elastica-lineare. [daN/cm]*
***Uy**: limitazione al GDL oppure rigidezza della molla elastica-lineare. [daN/cm]*
***Uz**: limitazione al GDL oppure rigidezza della molla elastica-lineare. [daN/cm]*
***Rx**: limitazione al GDL oppure rigidezza della molla elastica-lineare. [daN*cm/deg]*
***Ry**: limitazione al GDL oppure rigidezza della molla elastica-lineare. [daN*cm/deg]*
***Rz**: limitazione al GDL oppure rigidezza della molla elastica-lineare. [daN*cm/deg]*

Livello	Punto		Estr.	Ux	Uy	Uz	Rx	Ry	Rz
	X	Y							
L2	5420	4599.1	0	Libero	Libero	Bloccato	Libero	Libero	Libero
L2	5420	4099.8	0	Libero	Libero	Bloccato	Libero	Libero	Libero

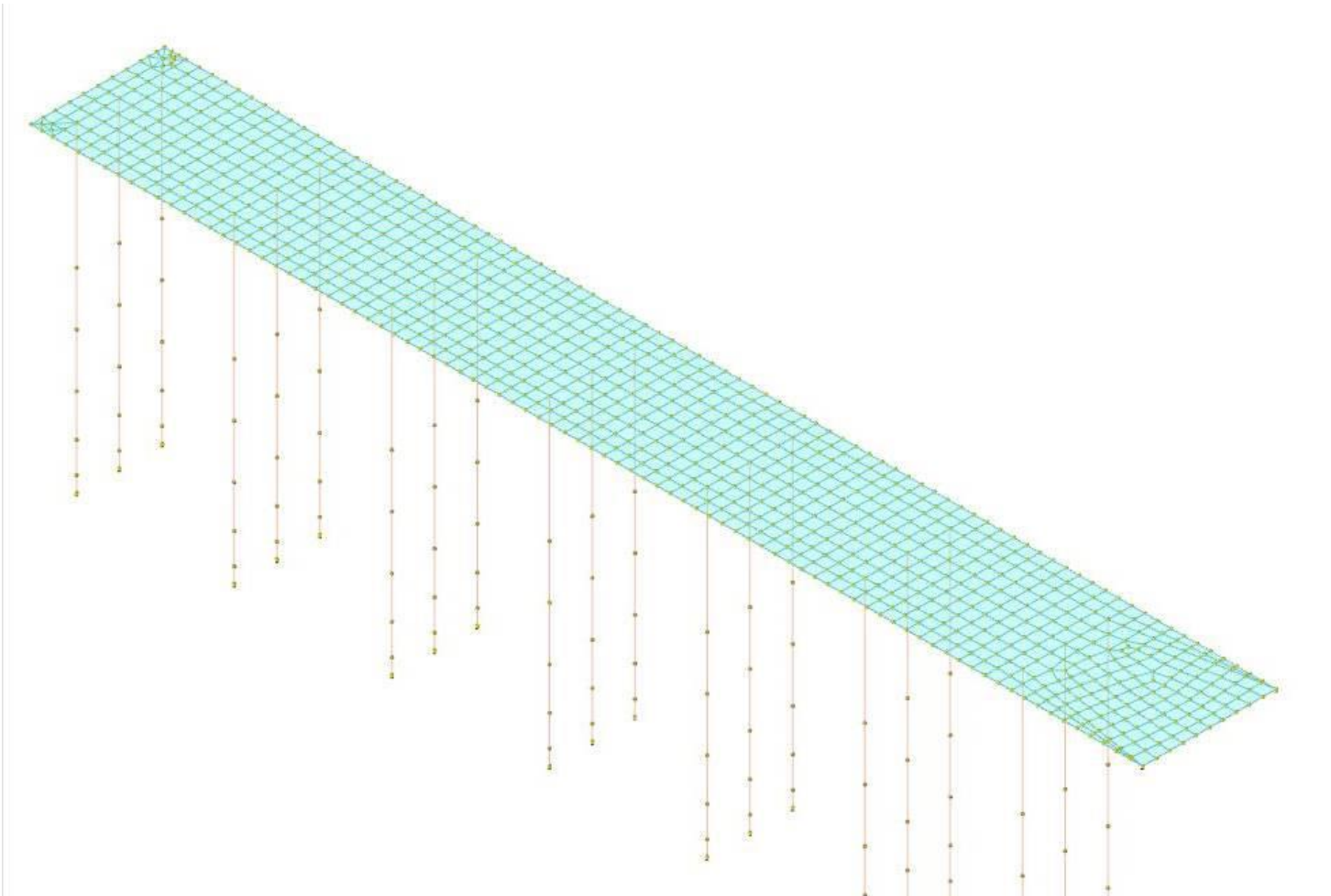


Fig.1: Vista assonometrica del modello agli elementi finiti

7 Dati di modellazione

7.1 Nodi

7.1.1 Nodi di definizione

***Indice**: numero dell'elemento nell'insieme che lo contiene.*
***Posizione**: coordinate del nodo.*
***X**: coordinata X. [cm]*
***Y**: coordinata Y. [cm]*
***Z**: coordinata Z. [cm]*

Indice	Posizione			Indice	Posizione			Indice	Posizione			Indice	Posizione		
	X	Y	Z		X	Y	Z		X	Y	Z		X	Y	Z
2	1340	4189.8	-1250	3	1930	4189.8	-1250	4	2520	4189.8	-1250	5	3110.1	4189.8	-1250
6	3700.1	4189.8	-1250	7	4290.1	4189.8	-1250	8	4880.1	4189.8	-1250	9	4880	4349.8	-1250
10	1340	4349.8	-1250	11	1930	4349.8	-1250	12	2520	4349.8	-1250	13	3110.1	4349.8	-1250
14	3700.1	4349.8	-1250	15	4290.1	4349.8	-1250	16	1340	4509.8	-1250	17	1930	4509.8	-1250
18	2520	4509.8	-1250	19	3110.1	4509.8	-1250	20	3700.1	4509.8	-1250	21	4290.1	4509.8	-1250
22	4880.1	4509.8	-1250	23	1340	4189.8	-1192.5	24	1930	4189.8	-1192.5	25	2520	4189.8	-1192.5
26	3110.1	4189.8	-1192.5	27	3700.1	4189.8	-1192.5	28	4290.1	4189.8	-1192.5	29	4880.1	4189.8	-1192.5
30	4880	4349.8	-1192.5	31	1340	4349.8	-1192.5	32	1930	4349.8	-1192.5	33	2520	4349.8	-1192.5
34	3110.1	4349.8	-1192.5	35	3700.1	4349.8	-1192.5	36	4290.1	4349.8	-1192.5	37	1340	4509.8	-1192.5
38	1930	4509.8	-1192.5	39	2520	4509.8	-1192.5	40	3110.1	4509.8	-1192.5	41	3700.1	4509.8	-1192.5
42	4290.1	4509.8	-1192.5	43	4880.1	4509.8	-1192.5	44	1340	4189.8	-1077.5	45	1930	4189.8	-1077.5
46	2520	4189.8	-1077.5	47	3110.1	4189.8	-1077.5	48	3700.1	4189.8	-1077.5	49	4290.1	4189.8	-1077.5
50	4880.1	4189.8	-1077.5	51	4880	4349.8	-1077.5	52	1340	4349.8	-1077.5	53	1930	4349.8	-1077.5
54	2520	4349.8	-1077.5	55	3110.1	4349.8	-1077.5	56	3700.1	4349.8	-1077.5	57	4290.1	4349.8	-1077.5
58	1340	4509.8	-1077.5	59	1930	4509.8	-1077.5	60	2520	4509.8	-1077.5	61	3110.1	4509.8	-1077.5
62	3700.1	4509.8	-1077.5	63	4290.1	4509.8	-1077.5	64	4880.1	4509.8	-1077.5	65	1340	4189.8	-920
66	1930	4189.8	-920	67	2520	4189.8	-920	68	3110.1	4189.8	-920	69	3700.1	4189.8	-920
70	4290.1	4189.8	-920	71	4880.1	4189.8	-920	72	4880	4349.8	-920	73	1340	4349.8	-920
74	1930	4349.8	-920	75	2520	4349.8	-920	76	3110.1	4349.8	-920	77	3700.1	4349.8	-920
78	4290.1	4349.8	-920	79	1340	4509.8	-920	80	1930	4509.8	-920	81	2520	4509.8	-920
82	3110.1	4509.8	-920	83	3700.1	4509.8	-920	84	4290.1	4509.8	-920	85	4880.1	4509.8	-920
86	1340	4189.8	-720	87	1930	4189.8	-720	88	2520	4189.8	-720	89	3110.1	4189.8	-720
90	3700.1	4189.8	-720	91	4290.1	4189.8	-720	92	4880.1	4189.8	-720	93	4880	4349.8	-720
94	1340	4349.8	-720	95	1930	4349.8	-720	96	2520	4349.8	-720	97	3110.1	4349.8	-720
98	3700.1	4349.8	-720	99	4290.1	4349.8	-720	100	1340	4509.8	-720	101	1930	4509.8	-720
102	2520	4509.8	-720	103	3110.1	4509.8	-720	104	3700.1	4509.8	-720	105	4290.1	4509.8	-720
106	4880.1	4509.8	-720	107	1340	4189.8	-520	108	1930	4189.8	-520	109	2520	4189.8	-520
110	3110.1	4189.8	-520	111	3700.1	4189.8	-520	112	4290.1	4189.8	-520	113	4880.1	4189.8	-520
114	4880	4349.8	-520	115	1340	4349.8	-520	116	1930	4349.8	-520	117	2520	4349.8	-520
118	3110.1	4349.8	-520	119	3700.1	4349.8	-520	120	4290.1	4349.8	-520	121	1340	4509.8	-520
122	1930	4509.8	-520	123	2520	4509.8	-520	124	3110.1	4509.8	-520	125	3700.1	4509.8	-520
126	4290.1	4509.8	-520	127	4880.1	4509.8	-520	128	1260	4099.8	-50	129	1300	4099.8	-50
130	1340	4099.8	-50	131	1389.2	4099.8	-50	132	1438.3	4099.8	-50	133	1487.5	4099.8	-50
134	1536.7	4099.8	-50	135	1585.8	4099.8	-50	136	1635	4099.8	-50	137	1684.2	4099.8	-50
138	1733.3	4099.8	-50	139	1782.5	4099.8	-50	140	1831.7	4099.8	-50	141	1880.8	4099.8	-50
142	1930	4099.8	-50	143	1979.2	4099.8	-50	144	2028.3	4099.8	-50	145	2077.5	4099.8	-50
146	2126.7	4099.8	-50	147	2175.9	4099.8	-50	148	2225	4099.8	-50	149	2274.2	4099.8	-50
150	2323.4	4099.8	-50	151	2372.5	4099.8	-50	152	2421.7	4099.8	-50	153	2470.9	4099.8	-50
154	2520	4099.8	-50	155	2569.2	4099.8	-50	156	2618.4	4099.8	-50	157	2667.5	4099.8	-50
158	2716.7	4099.8	-50	159	2765.9	4099.8	-50	160	2815	4099.8	-50	161	2864.2	4099.8	-50
162	2913.4	4099.8	-50	163	2962.5	4099.8	-50	164	3011.7	4099.8	-50	165	3060.9	4099.8	-50
166	3110.1	4099.8	-50	167	3159.2	4099.8	-50	168	3208.4	4099.8	-50	169	3257.6	4099.8	-50
170	3306.7	4099.8	-50	171	3355.9	4099.8	-50	172	3405.1	4099.8	-50	173	3454.2	4099.8	-50
174	3503.4	4099.8	-50	175	3552.6	4099.8	-50	176	3601.7	4099.8	-50	177	3650.9	4099.8	-50
178	3700.1	4099.8	-50	179	3749.2	4099.8	-50	180	3798.4	4099.8	-50	181	3847.6	4099.8	-50
182	3896.7	4099.8	-50	183	3945.9	4099.8	-50	184	3995.1	4099.8	-50	185	4044.3	4099.8	-50
186	4093.4	4099.8	-50	187	4142.6	4099.8	-50	188	4191.8	4099.8	-50	189	4240.9	4099.8	-50
190	4290.1	4099.8	-50	191	4339.3	4099.8	-50	192	4388.4	4099.8	-50	193	4437.6	4099.8	-50
194	4486.8	4099.8	-50	195	4535.9	4099.8	-50	196	4585.1	4099.8	-50	197	4634.3	4099.8	-50
198	4683.4	4099.8	-50	199	4732.6	4099.8	-50	200	4781.8	4099.8	-50	201	4830.9	4099.8	-50
202	4880.1	4099.8	-50	203	4929.2	4099.8	-50	204	4978.3	4099.8	-50	205	5027.3	4099.8	-50
206	5076.4	4099.8	-50	207	5125.5	4099.8	-50	208	5174.6	4099.8	-50	209	5223.7	4099.8	-50
210	5272.7	4099.8	-50	211	5321.8	4099.8	-50	212	5370.9	4099.8	-50	213	5420	4099.8	-50
214	5362.3	4104.6	-50	215	5321.8	4108	-50	216	5370.9	4108	-50	217	5272.7	4112.1	-50
218	5223.6	4116.2	-50	219	5321.8	4116.2	-50	220	1277.6	4119.6	-50	221	1317.6	4119.6	-50
222	5174.6	4120.2	-50	223	5272.7	4124.3	-50	224	5125.3	4124.4	-50	225	5076.3	4128.5	-50
226	5223.7	4132.5	-50	227	5027.3	4132.5	-50	228	4978.1	4136.6	-50	229	1295.2	4139.5	-50
230	5174.6	4140.7	-50	231	4929.1	4140.7	-50	232	1340	4144.8	-50	233	1389.2	4144.8	-50
234	1438.3	4144.8	-50	235	1487.5	4144.8	-50	236	1536.7	4144.8	-50	237	1585.8	4144.8	-50
238	1635	4144.8	-50	239	1684.2	4144.8	-50	240	1733.3	4144.8	-50	241	1782.5	4144.8	-50
242	1831.7	4144.8	-50	243	1880.8	4144.8	-50	244	1930	4144.8	-50	245	1979.2	4144.8	-50
246	2028.3	4144.8	-50	247	2077.5	4144.8	-50	248	2126.7	4144.8	-50	249	2175.9	4144.8	-50
250	2225	4144.8	-50	251	2274.2	4144.8	-50	252	2323.4	4144.8	-50	253	2372.5	4144.8	-50
254	2421.7	4144.8	-50	255	2470.9	4144.8	-50	256	2520	4144.8	-50	257	2569.2	4144.8	-50
258	2618.4	4144.8	-50	259	2667.5	4144.8	-50	260	2716.7	4144.8	-50	261	2765.9	4144.8	-50
262	2815	4144.8	-50	263	2864.2	4144.8	-50	264	2913.4	4144.8	-50	265	2962.5	4144.8	-50

Indice	Posizione			Indice	Posizione			Indice	Posizione			Indice	Posizione		
	X	Y	Z		X	Y	Z		X	Y	Z		X	Y	Z
266	3011.7	4144.8	-50	267	3060.9	4144.8	-50	268	3110.1	4144.8	-50	269	3159.2	4144.8	-50
270	3208.4	4144.8	-50	271	3257.6	4144.8	-50	272	3306.7	4144.8	-50	273	3355.9	4144.8	-50
274	3405.1	4144.8	-50	275	3454.2	4144.8	-50	276	3503.4	4144.8	-50	277	3552.6	4144.8	-50
278	3601.7	4144.8	-50	279	3650.9	4144.8	-50	280	3700.1	4144.8	-50	281	3749.2	4144.8	-50
282	3798.4	4144.8	-50	283	3847.6	4144.8	-50	284	3896.7	4144.8	-50	285	3945.9	4144.8	-50
286	3995.1	4144.8	-50	287	4044.3	4144.8	-50	288	4093.4	4144.8	-50	289	4142.6	4144.8	-50
290	4191.8	4144.8	-50	291	4240.9	4144.8	-50	292	4290.1	4144.8	-50	293	4339.3	4144.8	-50
294	4388.4	4144.8	-50	295	4437.6	4144.8	-50	296	4486.8	4144.8	-50	297	4535.9	4144.8	-50
298	4585.1	4144.8	-50	299	4634.3	4144.8	-50	300	4683.4	4144.8	-50	301	4732.6	4144.8	-50
302	4781.8	4144.8	-50	303	4830.9	4144.8	-50	304	4880.1	4144.8	-50	305	1260	4144.8	-50
306	5125.5	4148.9	-50	307	5420	4149.7	-50	308	5374.7	4155	-50	309	5076.4	4157.1	-50
310	5328	4160.5	-50	311	5027.3	4165.3	-50	312	5278.9	4167.7	-50	313	4978.3	4173.5	-50
314	5229.7	4175.2	-50	315	4929.2	4181.7	-50	316	5180.8	4182	-50	317	5131.9	4189.4	-50
318	1340	4189.8	-50	319	1389.2	4189.8	-50	320	1438.3	4189.8	-50	321	1487.5	4189.8	-50
322	1536.7	4189.8	-50	323	1585.8	4189.8	-50	324	1635	4189.8	-50	325	1684.2	4189.8	-50
326	1733.3	4189.8	-50	327	1782.5	4189.8	-50	328	1831.7	4189.8	-50	329	1880.8	4189.8	-50
330	1930	4189.8	-50	331	1979.2	4189.8	-50	332	2028.3	4189.8	-50	333	2077.5	4189.8	-50
334	2126.7	4189.8	-50	335	2175.9	4189.8	-50	336	2225	4189.8	-50	337	2274.2	4189.8	-50
338	2323.4	4189.8	-50	339	2372.5	4189.8	-50	340	2421.7	4189.8	-50	341	2470.9	4189.8	-50
342	2520	4189.8	-50	343	2569.2	4189.8	-50	344	2618.4	4189.8	-50	345	2667.5	4189.8	-50
346	2716.7	4189.8	-50	347	2765.9	4189.8	-50	348	2815	4189.8	-50	349	2864.2	4189.8	-50
350	2913.4	4189.8	-50	351	2962.5	4189.8	-50	352	3011.7	4189.8	-50	353	3060.9	4189.8	-50
354	3110.1	4189.8	-50	355	3159.2	4189.8	-50	356	3208.4	4189.8	-50	357	3257.6	4189.8	-50
358	3306.7	4189.8	-50	359	3355.9	4189.8	-50	360	3405.1	4189.8	-50	361	3454.2	4189.8	-50
362	3503.4	4189.8	-50	363	3552.6	4189.8	-50	364	3601.7	4189.8	-50	365	3650.9	4189.8	-50
366	3700.1	4189.8	-50	367	3749.2	4189.8	-50	368	3798.4	4189.8	-50	369	3847.6	4189.8	-50
370	3896.7	4189.8	-50	371	3945.9	4189.8	-50	372	3995.1	4189.8	-50	373	4044.3	4189.8	-50
374	4093.4	4189.8	-50	375	4142.6	4189.8	-50	376	4191.8	4189.8	-50	377	4240.9	4189.8	-50
378	4290.1	4189.8	-50	379	4339.3	4189.8	-50	380	4388.4	4189.8	-50	381	4437.6	4189.8	-50
382	4486.8	4189.8	-50	383	4535.9	4189.8	-50	384	4585.1	4189.8	-50	385	4634.3	4189.8	-50
386	4683.4	4189.8	-50	387	4732.6	4189.8	-50	388	4781.8	4189.8	-50	389	4830.9	4189.8	-50
390	4880.1	4189.8	-50	391	1300	4189.9	-50	392	1260	4189.9	-50	393	5083.1	4197.2	-50
394	5420	4199.6	-50	395	5377.7	4202.9	-50	396	5034.7	4205.8	-50	397	5331.5	4207.5	-50
398	5284.4	4212.2	-50	399	4986.9	4217.9	-50	400	5235.4	4218.6	-50	401	5187	4223.9	-50
402	5138.1	4230.2	-50	403	5089.4	4236.5	-50	404	4937	4239.8	-50	405	4880.1	4243.1	-50
406	1340	4243.2	-50	407	1389.2	4243.2	-50	408	1438.3	4243.2	-50	409	1487.5	4243.2	-50
410	1536.7	4243.2	-50	411	1585.8	4243.2	-50	412	1635	4243.2	-50	413	1684.2	4243.2	-50
414	1733.3	4243.2	-50	415	1782.5	4243.2	-50	416	1831.7	4243.2	-50	417	1880.8	4243.2	-50
418	1930	4243.2	-50	419	1979.2	4243.2	-50	420	2028.3	4243.2	-50	421	2077.5	4243.2	-50
422	2126.7	4243.2	-50	423	2175.9	4243.2	-50	424	2225	4243.2	-50	425	2274.2	4243.2	-50
426	2323.4	4243.2	-50	427	2372.5	4243.2	-50	428	2421.7	4243.2	-50	429	2470.9	4243.2	-50
430	2520	4243.2	-50	431	2569.2	4243.2	-50	432	2618.4	4243.2	-50	433	2667.5	4243.2	-50
434	2716.7	4243.2	-50	435	2765.9	4243.2	-50	436	2815	4243.2	-50	437	2864.2	4243.2	-50
438	2913.4	4243.2	-50	439	2962.5	4243.2	-50	440	3011.7	4243.2	-50	441	3060.9	4243.2	-50
442	3110.1	4243.2	-50	443	3159.2	4243.2	-50	444	3208.4	4243.2	-50	445	3257.6	4243.2	-50
446	3306.7	4243.2	-50	447	3355.9	4243.2	-50	448	3405.1	4243.2	-50	449	3454.2	4243.2	-50
450	3503.4	4243.2	-50	451	3552.6	4243.2	-50	452	3601.7	4243.2	-50	453	3650.9	4243.2	-50
454	3700.1	4243.2	-50	455	3749.2	4243.2	-50	456	3798.4	4243.2	-50	457	3847.6	4243.2	-50
458	3896.7	4243.2	-50	459	3945.9	4243.2	-50	460	3995.1	4243.2	-50	461	4044.3	4243.2	-50
462	4093.4	4243.2	-50	463	4142.6	4243.2	-50	464	4191.8	4243.2	-50	465	4240.9	4243.2	-50
466	4290.1	4243.2	-50	467	4339.3	4243.2	-50	468	4388.4	4243.2	-50	469	4437.6	4243.2	-50
470	4486.8	4243.2	-50	471	4535.9	4243.2	-50	472	4585.1	4243.2	-50	473	4634.3	4243.2	-50
474	4683.4	4243.2	-50	475	4732.6	4243.2	-50	476	4781.8	4243.2	-50	477	4830.9	4243.2	-50
478	1300	4243.2	-50	479	1260	4243.2	-50	480	5041.8	4244.2	-50	481	5420	4249.6	-50
482	5380.1	4251.9	-50	483	4998	4253.2	-50	484	5334.5	4255.6	-50	485	5288.2	4259.2	-50
486	5240.5	4263.6	-50	487	4965.9	4263.9	-50	488	5192.5	4268.5	-50	489	5144.4	4273.7	-50
490	5097.1	4281.5	-50	491	5050.4	4289.1	-50	492	5005.2	4295.8	-50	493	4926.1	4296.4	-50
494	4880	4296.5	-50	495	1340	4296.5	-50	496	1389.2	4296.5	-50	497	1438.3	4296.5	-50
498	1487.5	4296.5	-50	499	1536.7	4296.5	-50	500	1585.8	4296.5	-50	501	1635	4296.5	-50
502	1684.2	4296.5	-50	503	1733.3	4296.5	-50	504	1782.5	4296.5	-50	505	1831.7	4296.5	-50
506	1880.8	4296.5	-50	507	1930	4296.5	-50	508	1979.2	4296.5	-50	509	2028.3	4296.5	-50
510	2077.5	4296.5	-50	511	2126.7	4296.5	-50	512	2175.9	4296.5	-50	513	2225	4296.5	-50
514	2274.2	4296.5	-50	515	2323.4	4296.5	-50	516	2372.5	4296.5	-50	517	2421.7	4296.5	-50
518	2470.9	4296.5	-50	519	2520	4296.5	-50	520	2569.2	4296.5	-50	521	2618.4	4296.5	-50
522	2667.5	4296.5	-50	523	2716.7	4296.5	-50	524	2765.9	4296.5	-50	525	2815	4296.5	-50
526	2864.2	4296.5	-50	527	2913.4	4296.5	-50	528	2962.5	4296.5	-50	529	3011.7	4296.5	-50
530	3060.9	4296.5	-50	531	3110.1	4296.5	-50	532	3159.2	4296.5	-50	533	3208.4	4296.5	-50
534	3257.6	4296.5	-50	535	3306.7	4296.5	-50	536	3355.9	4296.5	-50	537	3405.1	4296.5	-50
538	3454.2	4296.5	-50	539	3503.4	4296.5	-50	540	3552.6	4296.5	-50	541	3601.7	4296.5	-50
542	3650.9	4296.5	-50	543	3700.1	4296.5	-50	544	3749.2	4296.5	-50	545	3798.4	4296.5	-50
546	3847.6	4296.5	-50	547	3896.7	4296.5	-50	548	3945.9	4296.5	-50	549	3995.1	4296.5	-50
550	4044.3	4296.5	-50	551	4093.4	4296.5	-50	552	4142.6	4296.5	-50	553	4191.8	4296.5	-50
554	4240.9	4296.5	-50	555	4290.1	4296.5	-50	556	4339.3	4296.5	-50	557	4388.4	4296.5	-50
558	4437.6	4296.5	-50	559	4486.8	4296.5	-50	560	4535.9	4296.5	-50	561	4585.1	4296.5	-50
562	4634.3	4296.5	-50	563	4683.4	4296.5	-50	564	4732.6	4296.5	-50	565	4781.8	4296.5	-50
566	4830.9	4296.5	-50	567	1300	4296.5	-50	568	1260	4296.5	-50	569	4963.2	4299.4	-50
570	5420	4299.5	-50	571	5380.3	4301.8	-50	572	5337.3	4304.4	-50	573	5290.7	4307.3	-50
574	5243.5	4310.7	-50	575	5196.8	4314.4	-50	576	5150.7	4319.5	-50	577	5105.3	4327.6	-50
578	5057.8	4335	-50	579	5009.2	4341.7	-50	580	5420	4349.4	-50	581	4880	4349.8	-50
582	1340	4349.8	-50	583	1389.2	4349.8	-50	584	1438.3	4349.8	-50	585	1487.5	4349.8	-50
586	1536.7	4349.8	-50	587	1585.8	4349.8	-50	588	1635	4349.8	-50	589	1684.2	4349.8	-50
590	1733.3	4349.8	-50	591	1782.5	4349.8	-50	592	1831.7	4349.8	-50	593	1880.8	4349.8	-50
594	1930	4349.8	-50	595	1979.2	4349.8	-50	596	2028.3	4349.8	-50	597	2077.5	4349.8	-50
598	2126.7	4349.8	-50	599	2175.9	4349.8	-50	600	2225	4349.8	-50	601	2274.2	4349.8	-50
602	2323.4	4349.8	-50	603	2372.5	4349.8	-50	604	2421.7	4349.8	-50	605	2470.9	4349.8	-50
606	2520	4349.8	-50	607	2569.2	4349.8	-50	608	2618.4	4349.8	-50	609	2667.5	4349.8	-50
610	2716.7	4349.8	-50	611	2765.9	4349.8	-50	612	2815	4349.8	-50	613	2864.2	4349.8	-50
614	2913.4	4349.8	-50	615	2962.5	4349.8	-50	616	3011.7	4349.8	-50	617	3060.9	4349.8	-50
618	3110.1	4349.8	-50	619	3159.2	4349.8	-50	620	3208.4	4349.8	-50	621	3257.6	4349.8	-50

Indice	Posizione			Indice	Posizione			Indice	Posizione			Indice	Posizione		
	X	Y	Z		X	Y	Z		X	Y	Z		X	Y	Z
622	3306.7	4349.8	-50	623	3355.9	4349.8	-50	624	3405.1	4349.8	-50	625	3454.2	4349.8	-50
626	3503.4	4349.8	-50	627	3552.6	4349.8	-50	628	3601.7	4349.8	-50	629	3650.9	4349.8	-50
630	3700.1	4349.8	-50	631	3749.2	4349.8	-50	632	3798.4	4349.8	-50	633	3847.6	4349.8	-50
634	3896.7	4349.8	-50	635	3945.9	4349.8	-50	636	3995.1	4349.8	-50	637	4044.3	4349.8	-50
638	4093.4	4349.8	-50	639	4142.6	4349.8	-50	640	4191.8	4349.8	-50	641	4240.9	4349.8	-50
642	4290.1	4349.8	-50	643	4339.3	4349.8	-50	644	4388.4	4349.8	-50	645	4437.6	4349.8	-50
646	4486.8	4349.8	-50	647	4535.9	4349.8	-50	648	4585.1	4349.8	-50	649	4634.3	4349.8	-50
650	4683.4	4349.8	-50	651	4732.6	4349.8	-50	652	4781.8	4349.8	-50	653	4830.9	4349.8	-50
654	1300	4349.8	-50	655	1260	4349.8	-50	656	4967.8	4350.7	-50	657	4925.2	4351	-50
658	5380.1	4351.8	-50	659	5337.7	4353.9	-50	660	5292.4	4355.9	-50	661	5245.6	4357.4	-50
662	5200.1	4359.4	-50	663	5156.9	4363.7	-50	664	5115.6	4374.4	-50	665	5068	4382.2	-50
666	5022.7	4391.6	-50	667	5163.1	4396.4	-50	668	5420	4399.4	-50	669	5199.1	4401.2	-50
670	5381.5	4401.7	-50	671	4880	4403.1	-50	672	1340	4403.1	-50	673	1389.2	4403.1	-50
674	1438.3	4403.1	-50	675	1487.5	4403.1	-50	676	1536.7	4403.1	-50	677	1585.8	4403.1	-50
678	1635	4403.1	-50	679	1684.2	4403.1	-50	680	1733.3	4403.1	-50	681	1782.5	4403.1	-50
682	1831.7	4403.1	-50	683	1880.8	4403.1	-50	684	1930	4403.1	-50	685	1979.2	4403.1	-50
686	2028.3	4403.1	-50	687	2077.5	4403.1	-50	688	2126.7	4403.1	-50	689	2175.9	4403.1	-50
690	2225	4403.1	-50	691	2274.2	4403.1	-50	692	2323.4	4403.1	-50	693	2372.5	4403.1	-50
694	2421.7	4403.1	-50	695	2470.9	4403.1	-50	696	2520	4403.1	-50	697	2569.2	4403.1	-50
698	2618.4	4403.1	-50	699	2667.5	4403.1	-50	700	2716.7	4403.1	-50	701	2765.9	4403.1	-50
702	2815	4403.1	-50	703	2864.2	4403.1	-50	704	2913.4	4403.1	-50	705	2962.5	4403.1	-50
706	3011.7	4403.1	-50	707	3060.9	4403.1	-50	708	3110.1	4403.1	-50	709	3159.2	4403.1	-50
710	3208.4	4403.1	-50	711	3257.6	4403.1	-50	712	3306.7	4403.1	-50	713	3355.9	4403.1	-50
714	3405.1	4403.1	-50	715	3454.2	4403.1	-50	716	3503.4	4403.1	-50	717	3552.6	4403.1	-50
718	3601.7	4403.1	-50	719	3650.9	4403.1	-50	720	3700.1	4403.1	-50	721	3749.2	4403.1	-50
722	3798.4	4403.1	-50	723	3847.6	4403.1	-50	724	3896.7	4403.1	-50	725	3945.9	4403.1	-50
726	3995.1	4403.1	-50	727	4044.3	4403.1	-50	728	4093.4	4403.1	-50	729	4142.6	4403.1	-50
730	4191.8	4403.1	-50	731	4240.9	4403.1	-50	732	4290.1	4403.1	-50	733	4339.3	4403.1	-50
734	4388.4	4403.1	-50	735	4437.6	4403.1	-50	736	4486.8	4403.1	-50	737	4535.9	4403.1	-50
738	4585.1	4403.1	-50	739	4634.3	4403.1	-50	740	4683.4	4403.1	-50	741	4732.6	4403.1	-50
742	4781.8	4403.1	-50	743	4830.9	4403.1	-50	744	1300	4403.1	-50	745	1260	4403.2	-50
746	5338	4403.2	-50	747	5245.3	4403.9	-50	748	5292.8	4404.2	-50	749	4928.3	4407.2	-50
750	4980.5	4411.7	-50	751	5133.2	4424.3	-50	752	5075.8	4428	-50	753	5033.8	4430.7	-50
754	5005.1	4434.5	-50	755	5188.4	4437.5	-50	756	5238.4	4444.4	-50	757	5287	4448.3	-50
758	5420	4449.3	-50	759	5333.3	4449.7	-50	760	5378.1	4450.3	-50	761	4880.1	4456.4	-50
762	1340	4456.5	-50	763	1389.2	4456.5	-50	764	1438.3	4456.5	-50	765	1487.5	4456.5	-50
766	1536.7	4456.5	-50	767	1585.8	4456.5	-50	768	1635	4456.5	-50	769	1684.2	4456.5	-50
770	1733.3	4456.5	-50	771	1782.5	4456.5	-50	772	1831.7	4456.5	-50	773	1880.8	4456.5	-50
774	1930	4456.5	-50	775	1979.2	4456.5	-50	776	2028.3	4456.5	-50	777	2077.5	4456.5	-50
778	2126.7	4456.5	-50	779	2175.9	4456.5	-50	780	2225	4456.5	-50	781	2274.2	4456.5	-50
782	2323.4	4456.5	-50	783	2372.5	4456.5	-50	784	2421.7	4456.5	-50	785	2470.9	4456.5	-50
786	2520	4456.5	-50	787	2569.2	4456.5	-50	788	2618.4	4456.5	-50	789	2667.5	4456.5	-50
790	2716.7	4456.5	-50	791	2765.9	4456.5	-50	792	2815	4456.5	-50	793	2864.2	4456.5	-50
794	2913.4	4456.5	-50	795	2962.5	4456.5	-50	796	3011.7	4456.5	-50	797	3060.9	4456.5	-50
798	3110.1	4456.5	-50	799	3159.2	4456.5	-50	800	3208.4	4456.5	-50	801	3257.6	4456.5	-50
802	3306.7	4456.5	-50	803	3355.9	4456.5	-50	804	3405.1	4456.5	-50	805	3454.2	4456.5	-50
806	3503.4	4456.5	-50	807	3552.6	4456.5	-50	808	3601.7	4456.5	-50	809	3650.9	4456.5	-50
810	3700.1	4456.5	-50	811	3749.2	4456.5	-50	812	3798.4	4456.5	-50	813	3847.6	4456.5	-50
814	3896.7	4456.5	-50	815	3945.9	4456.5	-50	816	3995.1	4456.5	-50	817	4044.3	4456.5	-50
818	4093.4	4456.5	-50	819	4142.6	4456.5	-50	820	4191.8	4456.5	-50	821	4240.9	4456.5	-50
822	4290.1	4456.5	-50	823	4339.3	4456.5	-50	824	4388.4	4456.5	-50	825	4437.6	4456.5	-50
826	4486.8	4456.5	-50	827	4535.9	4456.5	-50	828	4585.1	4456.5	-50	829	4634.3	4456.5	-50
830	4683.4	4456.5	-50	831	4732.6	4456.5	-50	832	4781.8	4456.5	-50	833	4830.9	4456.5	-50
834	1300	4456.5	-50	835	1260.1	4456.5	-50	836	5005.7	4459.9	-50	837	4927.8	4463.3	-50
838	5033	4468.4	-50	839	5079	4469.5	-50	840	5130.7	4471.4	-50	841	4981	4474.3	-50
842	5182.6	4479.1	-50	843	5233	4487	-50	844	5282.7	4494.2	-50	845	5029.7	4496	-50
846	5329.8	4496.5	-50	847	5420	4499.2	-50	848	5376.1	4499.3	-50	849	5078.2	4505.4	-50
850	1340	4509.8	-50	851	1389.2	4509.8	-50	852	1438.3	4509.8	-50	853	1487.5	4509.8	-50
854	1536.7	4509.8	-50	855	1585.8	4509.8	-50	856	1635	4509.8	-50	857	1684.2	4509.8	-50
858	1733.3	4509.8	-50	859	1782.5	4509.8	-50	860	1831.7	4509.8	-50	861	1880.8	4509.8	-50
862	1930	4509.8	-50	863	1979.2	4509.8	-50	864	2028.3	4509.8	-50	865	2077.5	4509.8	-50
866	2126.7	4509.8	-50	867	2175.9	4509.8	-50	868	2225	4509.8	-50	869	2274.2	4509.8	-50
870	2323.4	4509.8	-50	871	2372.5	4509.8	-50	872	2421.7	4509.8	-50	873	2470.9	4509.8	-50
874	2520	4509.8	-50	875	2569.2	4509.8	-50	876	2618.4	4509.8	-50	877	2667.5	4509.8	-50
878	2716.7	4509.8	-50	879	2765.9	4509.8	-50	880	2815	4509.8	-50	881	2864.2	4509.8	-50
882	2913.4	4509.8	-50	883	2962.5	4509.8	-50	884	3011.7	4509.8	-50	885	3060.9	4509.8	-50
886	3110.1	4509.8	-50	887	3159.2	4509.8	-50	888	3208.4	4509.8	-50	889	3257.6	4509.8	-50
890	3306.7	4509.8	-50	891	3355.9	4509.8	-50	892	3405.1	4509.8	-50	893	3454.2	4509.8	-50
894	3503.4	4509.8	-50	895	3552.6	4509.8	-50	896	3601.7	4509.8	-50	897	3650.9	4509.8	-50
898	3700.1	4509.8	-50	899	3749.2	4509.8	-50	900	3798.4	4509.8	-50	901	3847.6	4509.8	-50
902	3896.7	4509.8	-50	903	3945.9	4509.8	-50	904	3995.1	4509.8	-50	905	4044.3	4509.8	-50
906	4093.4	4509.8	-50	907	4142.6	4509.8	-50	908	4191.8	4509.8	-50	909	4240.9	4509.8	-50
910	4290.1	4509.8	-50	911	4339.3	4509.8	-50	912	4388.4	4509.8	-50	913	4437.6	4509.8	-50
914	4486.8	4509.8	-50	915	4535.9	4509.8	-50	916	4585.1	4509.8	-50	917	4634.3	4509.8	-50
918	4683.4	4509.8	-50	919	4732.6	4509.8	-50	920	4781.8	4509.8	-50	921	4830.9	4509.8	-50
922	4880.1	4509.8	-50	923	1300	4509.8	-50	924	1260.1	4509.8	-50	925	5128.1	4511.9	-50
926	4929.2	4517.9	-50	927	5178.3	4519.7	-50	928	4978.3	4526	-50	929	5228.2	4528	-50
930	5027.3	4534.1	-50	931	1317.8	4534.6	-50	932	5277.8	4536.8	-50	933	1260.1	4539.6	-50
934	5326	4541.1	-50	935	5076.4	4542.3	-50	936	5373.5	4545.9	-50	937	5420	4549.2	-50
938	5125.5	4550.4	-50	939	1340	4554.4	-50	940	1389.2	4554.4	-50	941	1438.3	4554.4	-50
942	1487.5	4554.4	-50	943	1536.7	4554.4	-50	944	1585.8	4554.4	-50	945	1635	4554.4	-50
946	1684.2	4554.4	-50	947	1733.3	4554.4	-50	948	1782.5	4554.4	-50	949	1831.7	4554.4	-50
950	1880.8	4554.4	-50	951	1930	4554.4	-50	952	1979.2	4554.4	-50	953	2028.3	4554.4	-50
954	2077.5	4554.4	-50	955	2126.7	4554.4	-50	956	2175.9	4554.4	-50	957	2225	4554.4	-50
958	2274.2	4554.4	-50	959	2323.4	4554.4	-50	960	2372.5	4554.4	-50	961	2421.7	4554.4	-50
962	2470.9	4554.4	-50	963	2520	4554.4	-50	964	2569.2	4554.4	-50	965	2618.4	4554.4	-50
966	2667.5	4554.4	-50	967	2716.7	4554.4	-50	968	2765.9	4554.4	-50	969	2815	4554.4	-50
970	2864.2	4554.4	-50	971	2913.4	4554.4	-50	972	2962.5	4554.4	-50	973	3011.7	4554.4	-50
974	3060.9	4554.4	-50	975	3110.1	4554.4	-50	976	3159.6	4554.4	-50	977	3209.2	4554.4	-50

Indice	Posizione			Indice	Posizione			Indice	Posizione			Indice	Posizione		
	X	Y	Z		X	Y	Z		X	Y	Z		X	Y	Z
978	3258.8	4554.4	-50	979	3308.4	4554.4	-50	980	3358	4554.4	-50	981	3407.6	4554.4	-50
982	3457.1	4554.4	-50	983	3506.6	4554.4	-50	984	3555.8	4554.4	-50	985	3604.1	4554.4	-50
986	3652.1	4554.4	-50	987	3700.1	4554.4	-50	988	3749.2	4554.4	-50	989	3798.4	4554.4	-50
990	3847.6	4554.4	-50	991	3896.7	4554.4	-50	992	3945.9	4554.4	-50	993	3995.1	4554.4	-50
994	4044.3	4554.4	-50	995	4093.4	4554.4	-50	996	4142.6	4554.4	-50	997	4191.8	4554.4	-50
998	4240.9	4554.4	-50	999	4290.1	4554.4	-50	1000	4339.3	4554.4	-50	1001	4388.4	4554.4	-50
1002	4437.6	4554.4	-50	1003	4486.8	4554.4	-50	1004	4535.9	4554.4	-50	1005	4585.1	4554.4	-50
1006	4634.3	4554.4	-50	1007	4683.4	4554.4	-50	1008	4732.6	4554.4	-50	1009	4781.8	4554.4	-50
1010	4830.9	4554.4	-50	1011	4880.1	4554.4	-50	1012	1325.2	4556.1	-50	1013	4929.1	4558.5	-50
1014	5174.6	4558.5	-50	1015	1295.6	4559.4	-50	1016	4978.1	4562.5	-50	1017	5027.3	4566.6	-50
1018	5223.7	4566.6	-50	1019	1260.1	4569.3	-50	1020	5076.3	4570.7	-50	1021	5125.3	4574.7	-50
1022	5272.7	4574.7	-50	1023	1317.6	4575.3	-50	1024	5174.6	4578.8	-50	1025	1297.3	4581.7	-50
1026	5321.8	4582.9	-50	1027	5223.6	4582.9	-50	1028	1309.4	4585.4	-50	1029	5272.7	4586.9	-50
1030	5370.9	4591	-50	1031	5321.8	4591	-50	1032	5362.3	4594.3	-50	1033	1260.1	4599.1	-50
1034	1286.7	4599.1	-50	1035	1313.4	4599.1	-50	1036	1340	4599.1	-50	1037	1389.2	4599.1	-50
1038	1438.3	4599.1	-50	1039	1487.5	4599.1	-50	1040	1536.7	4599.1	-50	1041	1585.8	4599.1	-50
1042	1635	4599.1	-50	1043	1684.2	4599.1	-50	1044	1733.3	4599.1	-50	1045	1782.5	4599.1	-50
1046	1831.7	4599.1	-50	1047	1880.8	4599.1	-50	1048	1930	4599.1	-50	1049	1979.2	4599.1	-50
1050	2028.3	4599.1	-50	1051	2077.5	4599.1	-50	1052	2126.7	4599.1	-50	1053	2175.9	4599.1	-50
1054	2225	4599.1	-50	1055	2274.2	4599.1	-50	1056	2323.4	4599.1	-50	1057	2372.5	4599.1	-50
1058	2421.7	4599.1	-50	1059	2470.9	4599.1	-50	1060	2520	4599.1	-50	1061	2569.2	4599.1	-50
1062	2618.4	4599.1	-50	1063	2667.5	4599.1	-50	1064	2716.7	4599.1	-50	1065	2765.9	4599.1	-50
1066	2815	4599.1	-50	1067	2864.2	4599.1	-50	1068	2913.4	4599.1	-50	1069	2962.5	4599.1	-50
1070	3011.7	4599.1	-50	1071	3060.9	4599.1	-50	1072	3110.1	4599.1	-50	1073	3160.1	4599.1	-50
1074	3210.1	4599.1	-50	1075	3260.1	4599.1	-50	1076	3310.1	4599.1	-50	1077	3360.1	4599.1	-50
1078	3410.1	4599.1	-50	1079	3460.1	4599.1	-50	1080	3510.1	4599.1	-50	1081	3560.1	4599.1	-50
1082	3606.7	4599.1	-50	1083	3653.4	4599.1	-50	1084	3700.1	4599.1	-50	1085	3749.2	4599.1	-50
1086	3798.4	4599.1	-50	1087	3847.6	4599.1	-50	1088	3896.7	4599.1	-50	1089	3945.9	4599.1	-50
1090	3995.1	4599.1	-50	1091	4044.3	4599.1	-50	1092	4093.4	4599.1	-50	1093	4142.6	4599.1	-50
1094	4191.8	4599.1	-50	1095	4240.9	4599.1	-50	1096	4290.1	4599.1	-50	1097	4339.3	4599.1	-50
1098	4388.4	4599.1	-50	1099	4437.6	4599.1	-50	1100	4486.8	4599.1	-50	1101	4535.9	4599.1	-50
1102	4585.1	4599.1	-50	1103	4634.3	4599.1	-50	1104	4683.4	4599.1	-50	1105	4732.6	4599.1	-50
1106	4781.8	4599.1	-50	1107	4830.9	4599.1	-50	1108	4880.1	4599.1	-50	1109	4929.2	4599.1	-50
1110	4978.3	4599.1	-50	1111	5027.3	4599.1	-50	1112	5076.4	4599.1	-50	1113	5125.5	4599.1	-50
1114	5174.6	4599.1	-50	1115	5223.7	4599.1	-50	1116	5272.7	4599.1	-50	1117	5321.8	4599.1	-50
1118	5370.9	4599.1	-50	1119	5420	4599.1	-50								

7.2 Carichi concentrati

***Indice**: numero dell'elemento nell'insieme che lo contiene.*
***Nodo**: nodo su cui agisce il carico.*
***Condizione**: condizione elementare mappata nella quale agisce il carico.*
***Fx**: componente della forza lungo l'asse X. [daN]*
***Fy**: componente della forza lungo l'asse Y. [daN]*
***Fz**: componente della forza lungo l'asse Z. [daN]*
***Mx**: componente del momento attorno all'asse X. [daN*cm]*
***My**: componente del momento attorno all'asse Y. [daN*cm]*
***Mz**: componente del momento attorno all'asse Z. [daN*cm]*

Indice	Nodo	Condizione	Fx	Fy	Fz	Mx	My	Mz	Indice	Nodo	Condizione	Fx	Fy	Fz	Mx	My	Mz
1	313	Variabile C	0	0	-1.2E2	0	0	0	2	311	Variabile C	0	0	-1.0E2	0	0	0
3	396	Variabile C	0	0	-2.0E2	0	0	0	4	399	Variabile C	0	0	-2.2E2	0	0	0
5	309	Variabile C	0	0	-1.0E2	0	0	0	6	393	Variabile C	0	0	-2.0E2	0	0	0
7	306	Variabile C	0	0	-102	0	0	0	8	317	Variabile C	0	0	-203	0	0	0
9	230	Variabile C	0	0	-1.0E2	0	0	0	10	316	Variabile C	0	0	-2.1E2	0	0	0
11	226	Variabile C	0	0	-1.1E2	0	0	0	12	314	Variabile C	0	0	-2.1E2	0	0	0
13	223	Variabile C	0	0	-1.1E2	0	0	0	14	312	Variabile C	0	0	-2.2E2	0	0	0
15	219	Variabile C	0	0	-111	0	0	0	16	310	Variabile C	0	0	-2.2E2	0	0	0
17	216	Variabile C	0	0	-1.1E2	0	0	0	18	308	Variabile C	0	0	-2.2E2	0	0	0
19	213	Variabile C	0	0	-59.4	0	0	0	20	307	Variabile C	0	0	-112	0	0	0
21	394	Variabile C	0	0	-105	0	0	0	22	395	Variabile C	0	0	-2.2E2	0	0	0
23	481	Variabile C	0	0	-1.0E2	0	0	0	24	482	Variabile C	0	0	-2.1E2	0	0	0
25	570	Variabile C	0	0	-99.2	0	0	0	26	571	Variabile C	0	0	-2.1E2	0	0	0
27	580	Variabile C	0	0	-99.1	0	0	0	28	658	Variabile C	0	0	-2.0E2	0	0	0
29	668	Variabile C	0	0	-97.2	0	0	0	30	670	Variabile C	0	0	-2.1E2	0	0	0
31	758	Variabile C	0	0	-1.0E2	0	0	0	32	760	Variabile C	0	0	-2.1E2	0	0	0
33	847	Variabile C	0	0	-1.1E2	0	0	0	34	848	Variabile C	0	0	-2.1E2	0	0	0
35	937	Variabile C	0	0	-111	0	0	0	36	936	Variabile C	0	0	-2.2E2	0	0	0
37	1119	Variabile C	0	0	-59.1	0	0	0	38	1030	Variabile C	0	0	-1.1E2	0	0	0
39	1026	Variabile C	0	0	-1.0E2	0	0	0	40	934	Variabile C	0	0	-2.1E2	0	0	0
41	1022	Variabile C	0	0	-96.4	0	0	0	42	932	Variabile C	0	0	-2.1E2	0	0	0
43	1018	Variabile C	0	0	-96.8	0	0	0	44	929	Variabile C	0	0	-2.0E2	0	0	0
45	1014	Variabile C	0	0	-96.9	0	0	0	46	927	Variabile C	0	0	-2.0E2	0	0	0
47	938	Variabile C	0	0	-95.5	0	0	0	48	925	Variabile C	0	0	-1.9E2	0	0	0
49	935	Variabile C	0	0	-92.2	0	0	0	50	849	Variabile C	0	0	-1.8E2	0	0	0
51	930	Variabile C	0	0	-98.4	0	0	0	52	845	Variabile C	0	0	-1.8E2	0	0	0
53	928	Variabile C	0	0	-126	0	0	0	54	841	Variabile C	0	0	-2.5E2	0	0	0
55	926	Variabile C	0	0	-1.3E2	0	0	0	56	837	Variabile C	0	0	-2.8E2	0	0	0
57	922	Variabile C	0	0	-65.3	0	0	0	58	761	Variabile C	0	0	-1.3E2	0	0	0
59	671	Variabile C	0	0	-129	0	0	0	60	749	Variabile C	0	0	-2.7E2	0	0	0
61	581	Variabile C	0	0	-123	0	0	0	62	657	Variabile C	0	0	-2.5E2	0	0	0
63	494	Variabile C	0	0	-1.3E2	0	0	0	64	493	Variabile C	0	0	-2.4E2	0	0	0
65	405	Variabile C	0	0	-152	0	0	0	66	404	Variabile C	0	0	-2.7E2	0	0	0

Indice	Nodo	Condizione	Fx	Fy	Fz	Mx	My	Mz	Indice	Nodo	Condizione	Fx	Fy	Fz	Mx	My	Mz
67	390	Variabile C	0	0	-69.9	0	0	0	68	315	Variabile C	0	0	-1.4E2	0	0	0
69	753	Variabile C	0	0	-1.4E2	0	0	0	70	838	Variabile C	0	0	-1.3E2	0	0	0
71	836	Variabile C	0	0	-71.9	0	0	0	72	754	Variabile C	0	0	-78	0	0	0
73	750	Variabile C	0	0	-2.8E2	0	0	0	74	666	Variabile C	0	0	-2.1E2	0	0	0
75	665	Variabile C	0	0	-2.3E2	0	0	0	76	752	Variabile C	0	0	-2.2E2	0	0	0
77	664	Variabile C	0	0	-2.2E2	0	0	0	78	751	Variabile C	0	0	-2.6E2	0	0	0
79	839	Variabile C	0	0	-1.9E2	0	0	0	80	840	Variabile C	0	0	-2.2E2	0	0	0
81	403	Variabile C	0	0	-2.1E2	0	0	0	82	480	Variabile C	0	0	-2.0E2	0	0	0
83	490	Variabile C	0	0	-2.2E2	0	0	0	84	491	Variabile C	0	0	-2.1E2	0	0	0
85	577	Variabile C	0	0	-2.2E2	0	0	0	86	578	Variabile C	0	0	-229	0	0	0
87	483	Variabile C	0	0	-1.7E2	0	0	0	88	492	Variabile C	0	0	-2.0E2	0	0	0
89	569	Variabile C	0	0	-1.7E2	0	0	0	90	487	Variabile C	0	0	-1.2E2	0	0	0
91	579	Variabile C	0	0	-2.2E2	0	0	0	92	656	Variabile C	0	0	-2.4E2	0	0	0
93	842	Variabile C	0	0	-2.2E2	0	0	0	94	843	Variabile C	0	0	-2.1E2	0	0	0
95	755	Variabile C	0	0	-2.1E2	0	0	0	96	663	Variabile C	0	0	-1.8E2	0	0	0
97	662	Variabile C	0	0	-1.9E2	0	0	0	98	669	Variabile C	0	0	-1.7E2	0	0	0
99	667	Variabile C	0	0	-1.2E2	0	0	0	100	661	Variabile C	0	0	-2.2E2	0	0	0
101	747	Variabile C	0	0	-2.0E2	0	0	0	102	756	Variabile C	0	0	-2.1E2	0	0	0
103	660	Variabile C	0	0	-2.2E2	0	0	0	104	748	Variabile C	0	0	-2.1E2	0	0	0
105	659	Variabile C	0	0	-2.2E2	0	0	0	106	746	Variabile C	0	0	-2.1E2	0	0	0
107	757	Variabile C	0	0	-2.1E2	0	0	0	108	759	Variabile C	0	0	-2.1E2	0	0	0
109	844	Variabile C	0	0	-2.1E2	0	0	0	110	846	Variabile C	0	0	-2.1E2	0	0	0
111	576	Variabile C	0	0	-2.1E2	0	0	0	112	489	Variabile C	0	0	-2.2E2	0	0	0
113	402	Variabile C	0	0	-2.1E2	0	0	0	114	575	Variabile C	0	0	-2.1E2	0	0	0
115	488	Variabile C	0	0	-2.2E2	0	0	0	116	401	Variabile C	0	0	-2.1E2	0	0	0
117	574	Variabile C	0	0	-2.2E2	0	0	0	118	486	Variabile C	0	0	-2.2E2	0	0	0
119	400	Variabile C	0	0	-2.2E2	0	0	0	120	573	Variabile C	0	0	-2.3E2	0	0	0
121	485	Variabile C	0	0	-2.2E2	0	0	0	122	398	Variabile C	0	0	-221	0	0	0
123	572	Variabile C	0	0	-219	0	0	0	124	484	Variabile C	0	0	-2.2E2	0	0	0
125	397	Variabile C	0	0	-2.2E2	0	0	0	126	923	Variabile C	0	0	-1.9E2	0	0	0
127	1015	Variabile C	0	0	-82.6	0	0	0	128	933	Variabile C	0	0	-68.3	0	0	0
129	1019	Variabile C	0	0	-35.3	0	0	0	130	1033	Variabile C	0	0	-17.6	0	0	0
131	924	Variabile C	0	0	-73.1	0	0	0	132	850	Variabile C	0	0	-69.8	0	0	0
133	931	Variabile C	0	0	-33	0	0	0	134	229	Variabile C	0	0	-91.8	0	0	0
135	305	Variabile C	0	0	-71.5	0	0	0	136	220	Variabile C	0	0	-26.5	0	0	0
137	128	Variabile C	0	0	-13.2	0	0	0	138	318	Variabile C	0	0	-86.9	0	0	0
139	391	Variabile C	0	0	-1.9E2	0	0	0	140	582	Variabile C	0	0	-1.1E2	0	0	0
141	672	Variabile C	0	0	-1.1E2	0	0	0	142	744	Variabile C	0	0	-2.1E2	0	0	0
143	654	Variabile C	0	0	-2.1E2	0	0	0	144	745	Variabile C	0	0	-1.1E2	0	0	0
145	655	Variabile C	0	0	-1.1E2	0	0	0	146	762	Variabile C	0	0	-1.1E2	0	0	0
147	834	Variabile C	0	0	-2.1E2	0	0	0	148	835	Variabile C	0	0	-1.1E2	0	0	0
149	568	Variabile C	0	0	-1.1E2	0	0	0	150	567	Variabile C	0	0	-2.1E2	0	0	0
151	495	Variabile C	0	0	-1.1E2	0	0	0	152	479	Variabile C	0	0	-1.1E2	0	0	0
153	478	Variabile C	0	0	-2.1E2	0	0	0	154	406	Variabile C	0	0	-1.1E2	0	0	0
155	392	Variabile C	0	0	-95.7	0	0	0	156	2	Pesi strutturali	0	0	2635	0	0	0
157	10	Pesi strutturali	0	0	2635	0	0	0	158	16	Pesi strutturali	0	0	2635	0	0	0
159	17	Pesi strutturali	0	0	2635	0	0	0	160	11	Pesi strutturali	0	0	2635	0	0	0
161	3	Pesi strutturali	0	0	2635	0	0	0	162	1023	Variabile C	0	0	-48.3	0	0	0
163	1015	Variabile C	0	0	-47.4	0	0	0	164	931	Variabile C	0	0	-27.1	0	0	0
165	1012	Variabile C	0	0	-53.1	0	0	0	166	850	Variabile C	0	0	-20.6	0	0	0
167	939	Variabile C	0	0	-23.7	0	0	0	168	1036	Variabile C	0	0	-33.3	0	0	0
169	1033	Variabile C	0	0	-21.5	0	0	0	170	1025	Variabile C	0	0	-31.7	0	0	0
171	1034	Variabile C	0	0	-20	0	0	0	172	1028	Variabile C	0	0	-24.3	0	0	0
173	1035	Variabile C	0	0	-16	0	0	0	174	850	Variabile C	0	0	-54.9	0	0	0
175	851	Variabile C	0	0	-1.1E2	0	0	0	176	940	Variabile C	0	0	-2.2E2	0	0	0
177	939	Variabile C	0	0	-1.1E2	0	0	0	178	1037	Variabile C	0	0	-1.1E2	0	0	0
179	1036	Variabile C	0	0	-54.9	0	0	0	180	852	Variabile C	0	0	-1.1E2	0	0	0
181	941	Variabile C	0	0	-2.2E2	0	0	0	182	1038	Variabile C	0	0	-1.1E2	0	0	0
183	853	Variabile C	0	0	-1.1E2	0	0	0	184	942	Variabile C	0	0	-2.2E2	0	0	0
185	1039	Variabile C	0	0	-1.1E2	0	0	0	186	854	Variabile C	0	0	-1.1E2	0	0	0
187	943	Variabile C	0	0	-2.2E2	0	0	0	188	1040	Variabile C	0	0	-1.1E2	0	0	0
189	855	Variabile C	0	0	-1.1E2	0	0	0	190	944	Variabile C	0	0	-2.2E2	0	0	0
191	1041	Variabile C	0	0	-1.1E2	0	0	0	192	856	Variabile C	0	0	-1.1E2	0	0	0
193	945	Variabile C	0	0	-2.2E2	0	0	0	194	1042	Variabile C	0	0	-1.1E2	0	0	0
195	857	Variabile C	0	0	-1.1E2	0	0	0	196	946	Variabile C	0	0	-2.2E2	0	0	0
197	1043	Variabile C	0	0	-1.1E2	0	0	0	198	858	Variabile C	0	0	-1.1E2	0	0	0
199	947	Variabile C	0	0	-2.2E2	0	0	0	200	1044	Variabile C	0	0	-1.1E2	0	0	0
201	859	Variabile C	0	0	-1.1E2	0	0	0	202	948	Variabile C	0	0	-2.2E2	0	0	0
203	1045	Variabile C	0	0	-1.1E2	0	0	0	204	860	Variabile C	0	0	-1.1E2	0	0	0
205	949	Variabile C	0	0	-2.2E2	0	0	0	206	1046	Variabile C	0	0	-1.1E2	0	0	0
207	861	Variabile C	0	0	-1.1E2	0	0	0	208	950	Variabile C	0	0	-2.2E2	0	0	0
209	1047	Variabile C	0	0	-1.1E2	0	0	0	210	862	Variabile C	0	0	-54.9	0	0	0
211	951	Variabile C	0	0	-1.1E2	0	0	0	212	1048	Variabile C	0	0	-54.9	0	0	0
213	130	Variabile C	0	0	-55.4	0	0	0	214	131	Variabile C	0	0	-1.1E2	0	0	0
215	233	Variabile C	0	0	-2.2E2	0	0	0	216	232	Variabile C	0	0	-1.1E2	0	0	0
217	319	Variabile C	0	0	-1.1E2	0	0	0	218	318	Variabile C	0	0	-55.4	0	0	0
219	132	Variabile C	0	0	-1.1E2	0	0	0	220	234	Variabile C	0	0	-2.2E2	0	0	0
221	320	Variabile C	0	0	-1.1E2	0	0	0	222	133	Variabile C	0	0	-1.1E2	0	0	0
223	235	Variabile C	0	0	-2.2E2	0	0	0	224	321	Variabile C	0	0	-1.1E2	0	0	0
225	134	Variabile C	0	0	-1.1E2	0	0	0	226	236	Variabile C	0	0	-2.2E2	0	0	0
227	322	Variabile C	0	0	-1.1E2	0	0	0	228	135	Variabile C	0	0	-1.1E2	0	0	0
229	237	Variabile C	0	0	-2.2E2	0	0	0	230	323	Variabile C	0	0	-1.1E2	0	0	0
231	136	Variabile C	0	0	-1.1E2	0	0	0	232	238	Variabile C	0	0	-2.2E2	0	0	0
233	324	Variabile C	0	0	-1.1E2	0	0	0	234	137	Variabile C	0	0	-1.1E2	0	0	0
235	239	Variabile C	0	0	-2.2E2	0	0	0	236	325	Variabile C	0	0	-1.1E2	0	0	0
237	138	Variabile C	0	0	-1.1E2	0	0	0	238	240	Variabile C	0	0	-2.2E2	0	0	0
239	326	Variabile C	0	0	-1.1E2	0	0	0	240	139	Variabile C	0	0	-1.1E2	0	0	0

Indice	Nodo	Condizione	Fx	Fy	Fz	Mx	My	Mz	Indice	Nodo	Condizione	Fx	Fy	Fz	Mx	My	Mz
241	241	Variabile C	0	0	-2.2E2	0	0	0	242	327	Variabile C	0	0	-1.1E2	0	0	0
243	140	Variabile C	0	0	-1.1E2	0	0	0	244	242	Variabile C	0	0	-2.2E2	0	0	0
245	328	Variabile C	0	0	-1.1E2	0	0	0	246	141	Variabile C	0	0	-1.1E2	0	0	0
247	243	Variabile C	0	0	-2.2E2	0	0	0	248	329	Variabile C	0	0	-1.1E2	0	0	0
249	142	Variabile C	0	0	-55.4	0	0	0	250	244	Variabile C	0	0	-1.1E2	0	0	0
251	330	Variabile C	0	0	-55.4	0	0	0	252	220	Variabile C	0	0	-39.7	0	0	0
253	221	Variabile C	0	0	-73.3	0	0	0	254	229	Variabile C	0	0	-63.6	0	0	0
255	129	Variabile C	0	0	-39.7	0	0	0	256	130	Variabile C	0	0	-30	0	0	0
257	128	Variabile C	0	0	-13.3	0	0	0	258	232	Variabile C	0	0	-67.1	0	0	0
259	318	Variabile C	0	0	-33.6	0	0	0	260	594	Variabile C	0	0	-65.5	0	0	0
261	684	Variabile C	0	0	-1.3E2	0	0	0	262	683	Variabile C	0	0	-2.6E2	0	0	0
263	593	Variabile C	0	0	-1.3E2	0	0	0	264	682	Variabile C	0	0	-2.6E2	0	0	0
265	592	Variabile C	0	0	-1.3E2	0	0	0	266	681	Variabile C	0	0	-2.6E2	0	0	0
267	591	Variabile C	0	0	-1.3E2	0	0	0	268	680	Variabile C	0	0	-2.6E2	0	0	0
269	590	Variabile C	0	0	-1.3E2	0	0	0	270	679	Variabile C	0	0	-2.6E2	0	0	0
271	589	Variabile C	0	0	-1.3E2	0	0	0	272	678	Variabile C	0	0	-2.6E2	0	0	0
273	588	Variabile C	0	0	-1.3E2	0	0	0	274	677	Variabile C	0	0	-2.6E2	0	0	0
275	587	Variabile C	0	0	-1.3E2	0	0	0	276	676	Variabile C	0	0	-2.6E2	0	0	0
277	586	Variabile C	0	0	-1.3E2	0	0	0	278	675	Variabile C	0	0	-2.6E2	0	0	0
279	585	Variabile C	0	0	-1.3E2	0	0	0	280	674	Variabile C	0	0	-2.6E2	0	0	0
281	584	Variabile C	0	0	-1.3E2	0	0	0	282	673	Variabile C	0	0	-2.6E2	0	0	0
283	583	Variabile C	0	0	-1.3E2	0	0	0	284	672	Variabile C	0	0	-1.3E2	0	0	0
285	582	Variabile C	0	0	-65.5	0	0	0	286	774	Variabile C	0	0	-1.3E2	0	0	0
287	773	Variabile C	0	0	-2.6E2	0	0	0	288	772	Variabile C	0	0	-2.6E2	0	0	0
289	771	Variabile C	0	0	-2.6E2	0	0	0	290	770	Variabile C	0	0	-2.6E2	0	0	0
291	769	Variabile C	0	0	-2.6E2	0	0	0	292	768	Variabile C	0	0	-2.6E2	0	0	0
293	767	Variabile C	0	0	-2.6E2	0	0	0	294	766	Variabile C	0	0	-2.6E2	0	0	0
295	765	Variabile C	0	0	-2.6E2	0	0	0	296	764	Variabile C	0	0	-2.6E2	0	0	0
297	763	Variabile C	0	0	-2.6E2	0	0	0	298	762	Variabile C	0	0	-1.3E2	0	0	0
299	862	Variabile C	0	0	-65.5	0	0	0	300	861	Variabile C	0	0	-1.3E2	0	0	0
301	860	Variabile C	0	0	-1.3E2	0	0	0	302	859	Variabile C	0	0	-1.3E2	0	0	0
303	858	Variabile C	0	0	-1.3E2	0	0	0	304	857	Variabile C	0	0	-1.3E2	0	0	0
305	856	Variabile C	0	0	-1.3E2	0	0	0	306	855	Variabile C	0	0	-1.3E2	0	0	0
307	854	Variabile C	0	0	-1.3E2	0	0	0	308	853	Variabile C	0	0	-1.3E2	0	0	0
309	852	Variabile C	0	0	-1.3E2	0	0	0	310	851	Variabile C	0	0	-1.3E2	0	0	0
311	850	Variabile C	0	0	-65.5	0	0	0	312	318	Variabile C	0	0	-65.5	0	0	0
313	319	Variabile C	0	0	-1.3E2	0	0	0	314	407	Variabile C	0	0	-2.6E2	0	0	0
315	406	Variabile C	0	0	-1.3E2	0	0	0	316	496	Variabile C	0	0	-2.6E2	0	0	0
317	495	Variabile C	0	0	-1.3E2	0	0	0	318	583	Variabile C	0	0	-1.3E2	0	0	0
319	582	Variabile C	0	0	-65.5	0	0	0	320	320	Variabile C	0	0	-1.3E2	0	0	0
321	408	Variabile C	0	0	-2.6E2	0	0	0	322	497	Variabile C	0	0	-2.6E2	0	0	0
323	584	Variabile C	0	0	-1.3E2	0	0	0	324	321	Variabile C	0	0	-1.3E2	0	0	0
325	409	Variabile C	0	0	-2.6E2	0	0	0	326	498	Variabile C	0	0	-2.6E2	0	0	0
327	585	Variabile C	0	0	-1.3E2	0	0	0	328	322	Variabile C	0	0	-1.3E2	0	0	0
329	410	Variabile C	0	0	-2.6E2	0	0	0	330	499	Variabile C	0	0	-2.6E2	0	0	0
331	586	Variabile C	0	0	-1.3E2	0	0	0	332	323	Variabile C	0	0	-1.3E2	0	0	0
333	411	Variabile C	0	0	-2.6E2	0	0	0	334	500	Variabile C	0	0	-2.6E2	0	0	0
335	587	Variabile C	0	0	-1.3E2	0	0	0	336	324	Variabile C	0	0	-1.3E2	0	0	0
337	412	Variabile C	0	0	-2.6E2	0	0	0	338	501	Variabile C	0	0	-2.6E2	0	0	0
339	588	Variabile C	0	0	-1.3E2	0	0	0	340	325	Variabile C	0	0	-1.3E2	0	0	0
341	413	Variabile C	0	0	-2.6E2	0	0	0	342	502	Variabile C	0	0	-2.6E2	0	0	0
343	589	Variabile C	0	0	-1.3E2	0	0	0	344	326	Variabile C	0	0	-1.3E2	0	0	0
345	414	Variabile C	0	0	-2.6E2	0	0	0	346	503	Variabile C	0	0	-2.6E2	0	0	0
347	590	Variabile C	0	0	-1.3E2	0	0	0	348	327	Variabile C	0	0	-1.3E2	0	0	0
349	415	Variabile C	0	0	-2.6E2	0	0	0	350	504	Variabile C	0	0	-2.6E2	0	0	0
351	591	Variabile C	0	0	-1.3E2	0	0	0	352	328	Variabile C	0	0	-1.3E2	0	0	0
353	416	Variabile C	0	0	-2.6E2	0	0	0	354	505	Variabile C	0	0	-2.6E2	0	0	0
355	592	Variabile C	0	0	-1.3E2	0	0	0	356	329	Variabile C	0	0	-1.3E2	0	0	0
357	417	Variabile C	0	0	-2.6E2	0	0	0	358	506	Variabile C	0	0	-2.6E2	0	0	0
359	593	Variabile C	0	0	-1.3E2	0	0	0	360	330	Variabile C	0	0	-65.5	0	0	0
361	418	Variabile C	0	0	-1.3E2	0	0	0	362	507	Variabile C	0	0	-1.3E2	0	0	0
363	594	Variabile C	0	0	-65.5	0	0	0	364	18	Pesi strutturali	0	0	2635	0	0	0
365	12	Pesi strutturali	0	0	2635	0	0	0	366	4	Pesi strutturali	0	0	2635	0	0	0
367	862	Variabile C	0	0	-54.9	0	0	0	368	863	Variabile C	0	0	-1.1E2	0	0	0
369	952	Variabile C	0	0	-2.2E2	0	0	0	370	951	Variabile C	0	0	-1.1E2	0	0	0
371	1049	Variabile C	0	0	-1.1E2	0	0	0	372	1048	Variabile C	0	0	-54.9	0	0	0
373	864	Variabile C	0	0	-1.1E2	0	0	0	374	953	Variabile C	0	0	-2.2E2	0	0	0
375	1050	Variabile C	0	0	-1.1E2	0	0	0	376	865	Variabile C	0	0	-1.1E2	0	0	0
377	954	Variabile C	0	0	-2.2E2	0	0	0	378	1051	Variabile C	0	0	-1.1E2	0	0	0
379	866	Variabile C	0	0	-1.1E2	0	0	0	380	955	Variabile C	0	0	-2.2E2	0	0	0
381	1052	Variabile C	0	0	-1.1E2	0	0	0	382	867	Variabile C	0	0	-1.1E2	0	0	0
383	956	Variabile C	0	0	-2.2E2	0	0	0	384	1053	Variabile C	0	0	-1.1E2	0	0	0
385	868	Variabile C	0	0	-1.1E2	0	0	0	386	957	Variabile C	0	0	-2.2E2	0	0	0
387	1054	Variabile C	0	0	-1.1E2	0	0	0	388	869	Variabile C	0	0	-1.1E2	0	0	0
389	958	Variabile C	0	0	-2.2E2	0	0	0	390	1055	Variabile C	0	0	-1.1E2	0	0	0
391	870	Variabile C	0	0	-1.1E2	0	0	0	392	959	Variabile C	0	0	-2.2E2	0	0	0
393	1056	Variabile C	0	0	-1.1E2	0	0	0	394	871	Variabile C	0	0	-1.1E2	0	0	0
395	960	Variabile C	0	0	-2.2E2	0	0	0	396	1057	Variabile C	0	0	-1.1E2	0	0	0
397	872	Variabile C	0	0	-1.1E2	0	0	0	398	961	Variabile C	0	0	-2.2E2	0	0	0
399	1058	Variabile C	0	0	-1.1E2	0	0	0	400	873	Variabile C	0	0	-1.1E2	0	0	0
401	962	Variabile C	0	0	-2.2E2	0	0	0	402	1059	Variabile C	0	0	-1.1E2	0	0	0
403	874	Variabile C	0	0	-54.9	0	0	0	404	963	Variabile C	0	0	-1.1E2	0	0	0
405	1060	Variabile C	0	0	-54.9	0	0	0	406	142	Variabile C	0	0	-55.4	0	0	0
407	143	Variabile C	0	0	-1.1E2	0	0	0	408	245	Variabile C	0	0	-2.2E2	0	0	0
409	244	Variabile C	0	0	-1.1E2	0	0	0	410	331	Variabile C	0	0	-1.1E2	0	0	0
411	330	Variabile C	0	0	-55.4	0	0	0	412	144	Variabile C	0	0	-1.1E2	0	0	0
413	246	Variabile C	0	0	-2.2E2	0	0	0	414	332	Variabile C	0	0	-1.1E2	0	0	0
415	145	Variabile C	0	0	-1.1E2	0	0	0	416	247	Variabile C	0	0	-2.2E2	0	0	0
417	333	Variabile C	0	0	-1.1E2	0	0	0	418	146	Variabile C	0	0	-1.1E2	0	0	0

Indice	Nodo	Condizione	Fx	Fy	Fz	Mx	My	Mz	Indice	Nodo	Condizione	Fx	Fy	Fz	Mx	My	Mz
419	248	Variabile C	0	0	-2.2E2	0	0	0	420	334	Variabile C	0	0	-1.1E2	0	0	0
421	147	Variabile C	0	0	-1.1E2	0	0	0	422	249	Variabile C	0	0	-2.2E2	0	0	0
423	335	Variabile C	0	0	-1.1E2	0	0	0	424	148	Variabile C	0	0	-1.1E2	0	0	0
425	250	Variabile C	0	0	-2.2E2	0	0	0	426	336	Variabile C	0	0	-1.1E2	0	0	0
427	149	Variabile C	0	0	-1.1E2	0	0	0	428	251	Variabile C	0	0	-2.2E2	0	0	0
429	337	Variabile C	0	0	-1.1E2	0	0	0	430	150	Variabile C	0	0	-1.1E2	0	0	0
431	252	Variabile C	0	0	-2.2E2	0	0	0	432	338	Variabile C	0	0	-1.1E2	0	0	0
433	151	Variabile C	0	0	-1.1E2	0	0	0	434	253	Variabile C	0	0	-2.2E2	0	0	0
435	339	Variabile C	0	0	-1.1E2	0	0	0	436	152	Variabile C	0	0	-1.1E2	0	0	0
437	254	Variabile C	0	0	-2.2E2	0	0	0	438	340	Variabile C	0	0	-1.1E2	0	0	0
439	153	Variabile C	0	0	-1.1E2	0	0	0	440	255	Variabile C	0	0	-2.2E2	0	0	0
441	341	Variabile C	0	0	-1.1E2	0	0	0	442	154	Variabile C	0	0	-55.4	0	0	0
443	256	Variabile C	0	0	-1.1E2	0	0	0	444	342	Variabile C	0	0	-55.4	0	0	0
445	606	Variabile C	0	0	-65.5	0	0	0	446	696	Variabile C	0	0	-1.3E2	0	0	0
447	695	Variabile C	0	0	-2.6E2	0	0	0	448	605	Variabile C	0	0	-1.3E2	0	0	0
449	694	Variabile C	0	0	-2.6E2	0	0	0	450	604	Variabile C	0	0	-1.3E2	0	0	0
451	693	Variabile C	0	0	-2.6E2	0	0	0	452	603	Variabile C	0	0	-1.3E2	0	0	0
453	692	Variabile C	0	0	-2.6E2	0	0	0	454	602	Variabile C	0	0	-1.3E2	0	0	0
455	691	Variabile C	0	0	-2.6E2	0	0	0	456	601	Variabile C	0	0	-1.3E2	0	0	0
457	690	Variabile C	0	0	-2.6E2	0	0	0	458	600	Variabile C	0	0	-1.3E2	0	0	0
459	689	Variabile C	0	0	-2.6E2	0	0	0	460	599	Variabile C	0	0	-1.3E2	0	0	0
461	688	Variabile C	0	0	-2.6E2	0	0	0	462	598	Variabile C	0	0	-1.3E2	0	0	0
463	687	Variabile C	0	0	-2.6E2	0	0	0	464	597	Variabile C	0	0	-1.3E2	0	0	0
465	686	Variabile C	0	0	-2.6E2	0	0	0	466	596	Variabile C	0	0	-1.3E2	0	0	0
467	685	Variabile C	0	0	-2.6E2	0	0	0	468	595	Variabile C	0	0	-1.3E2	0	0	0
469	684	Variabile C	0	0	-1.3E2	0	0	0	470	594	Variabile C	0	0	-65.5	0	0	0
471	786	Variabile C	0	0	-1.3E2	0	0	0	472	785	Variabile C	0	0	-2.6E2	0	0	0
473	784	Variabile C	0	0	-2.6E2	0	0	0	474	783	Variabile C	0	0	-2.6E2	0	0	0
475	782	Variabile C	0	0	-2.6E2	0	0	0	476	781	Variabile C	0	0	-2.6E2	0	0	0
477	780	Variabile C	0	0	-2.6E2	0	0	0	478	779	Variabile C	0	0	-2.6E2	0	0	0
479	778	Variabile C	0	0	-2.6E2	0	0	0	480	777	Variabile C	0	0	-2.6E2	0	0	0
481	776	Variabile C	0	0	-2.6E2	0	0	0	482	775	Variabile C	0	0	-2.6E2	0	0	0
483	774	Variabile C	0	0	-1.3E2	0	0	0	484	874	Variabile C	0	0	-65.5	0	0	0
485	873	Variabile C	0	0	-1.3E2	0	0	0	486	872	Variabile C	0	0	-1.3E2	0	0	0
487	871	Variabile C	0	0	-1.3E2	0	0	0	488	870	Variabile C	0	0	-1.3E2	0	0	0
489	869	Variabile C	0	0	-1.3E2	0	0	0	490	868	Variabile C	0	0	-1.3E2	0	0	0
491	867	Variabile C	0	0	-1.3E2	0	0	0	492	866	Variabile C	0	0	-1.3E2	0	0	0
493	865	Variabile C	0	0	-1.3E2	0	0	0	494	864	Variabile C	0	0	-1.3E2	0	0	0
495	863	Variabile C	0	0	-1.3E2	0	0	0	496	862	Variabile C	0	0	-65.5	0	0	0
497	330	Variabile C	0	0	-65.5	0	0	0	498	331	Variabile C	0	0	-1.3E2	0	0	0
499	419	Variabile C	0	0	-2.6E2	0	0	0	500	418	Variabile C	0	0	-1.3E2	0	0	0
501	508	Variabile C	0	0	-2.6E2	0	0	0	502	507	Variabile C	0	0	-1.3E2	0	0	0
503	595	Variabile C	0	0	-1.3E2	0	0	0	504	594	Variabile C	0	0	-65.5	0	0	0
505	332	Variabile C	0	0	-1.3E2	0	0	0	506	420	Variabile C	0	0	-2.6E2	0	0	0
507	509	Variabile C	0	0	-2.6E2	0	0	0	508	596	Variabile C	0	0	-1.3E2	0	0	0
509	333	Variabile C	0	0	-1.3E2	0	0	0	510	421	Variabile C	0	0	-2.6E2	0	0	0
511	510	Variabile C	0	0	-2.6E2	0	0	0	512	597	Variabile C	0	0	-1.3E2	0	0	0
513	334	Variabile C	0	0	-1.3E2	0	0	0	514	422	Variabile C	0	0	-2.6E2	0	0	0
515	511	Variabile C	0	0	-2.6E2	0	0	0	516	598	Variabile C	0	0	-1.3E2	0	0	0
517	335	Variabile C	0	0	-1.3E2	0	0	0	518	423	Variabile C	0	0	-2.6E2	0	0	0
519	512	Variabile C	0	0	-2.6E2	0	0	0	520	599	Variabile C	0	0	-1.3E2	0	0	0
521	336	Variabile C	0	0	-1.3E2	0	0	0	522	424	Variabile C	0	0	-2.6E2	0	0	0
523	513	Variabile C	0	0	-2.6E2	0	0	0	524	600	Variabile C	0	0	-1.3E2	0	0	0
525	337	Variabile C	0	0	-1.3E2	0	0	0	526	425	Variabile C	0	0	-2.6E2	0	0	0
527	514	Variabile C	0	0	-2.6E2	0	0	0	528	601	Variabile C	0	0	-1.3E2	0	0	0
529	338	Variabile C	0	0	-1.3E2	0	0	0	530	426	Variabile C	0	0	-2.6E2	0	0	0
531	515	Variabile C	0	0	-2.6E2	0	0	0	532	602	Variabile C	0	0	-1.3E2	0	0	0
533	339	Variabile C	0	0	-1.3E2	0	0	0	534	427	Variabile C	0	0	-2.6E2	0	0	0
535	516	Variabile C	0	0	-2.6E2	0	0	0	536	603	Variabile C	0	0	-1.3E2	0	0	0
537	340	Variabile C	0	0	-1.3E2	0	0	0	538	428	Variabile C	0	0	-2.6E2	0	0	0
539	517	Variabile C	0	0	-2.6E2	0	0	0	540	604	Variabile C	0	0	-1.3E2	0	0	0
541	341	Variabile C	0	0	-1.3E2	0	0	0	542	429	Variabile C	0	0	-2.6E2	0	0	0
543	518	Variabile C	0	0	-2.6E2	0	0	0	544	605	Variabile C	0	0	-1.3E2	0	0	0
545	342	Variabile C	0	0	-65.5	0	0	0	546	430	Variabile C	0	0	-1.3E2	0	0	0
547	519	Variabile C	0	0	-1.3E2	0	0	0	548	606	Variabile C	0	0	-65.5	0	0	0
549	19	Pesi strutturali	0	0	2635	0	0	0	550	13	Pesi strutturali	0	0	2635	0	0	0
551	5	Pesi strutturali	0	0	2635	0	0	0	552	874	Variabile C	0	0	-54.9	0	0	0
553	875	Variabile C	0	0	-1.1E2	0	0	0	554	964	Variabile C	0	0	-2.2E2	0	0	0
555	963	Variabile C	0	0	-1.1E2	0	0	0	556	1061	Variabile C	0	0	-1.1E2	0	0	0
557	1060	Variabile C	0	0	-54.9	0	0	0	558	876	Variabile C	0	0	-1.1E2	0	0	0
559	965	Variabile C	0	0	-2.2E2	0	0	0	560	1062	Variabile C	0	0	-1.1E2	0	0	0
561	877	Variabile C	0	0	-1.1E2	0	0	0	562	966	Variabile C	0	0	-2.2E2	0	0	0
563	1063	Variabile C	0	0	-1.1E2	0	0	0	564	878	Variabile C	0	0	-1.1E2	0	0	0
565	967	Variabile C	0	0	-2.2E2	0	0	0	566	1064	Variabile C	0	0	-1.1E2	0	0	0
567	879	Variabile C	0	0	-1.1E2	0	0	0	568	968	Variabile C	0	0	-2.2E2	0	0	0
569	1065	Variabile C	0	0	-1.1E2	0	0	0	570	880	Variabile C	0	0	-1.1E2	0	0	0
571	969	Variabile C	0	0	-2.2E2	0	0	0	572	1066	Variabile C	0	0	-1.1E2	0	0	0
573	881	Variabile C	0	0	-1.1E2	0	0	0	574	970	Variabile C	0	0	-2.2E2	0	0	0
575	1067	Variabile C	0	0	-1.1E2	0	0	0	576	882	Variabile C	0	0	-1.1E2	0	0	0
577	971	Variabile C	0	0	-2.2E2	0	0	0	578	1068	Variabile C	0	0	-1.1E2	0	0	0
579	883	Variabile C	0	0	-1.1E2	0	0	0	580	972	Variabile C	0	0	-2.2E2	0	0	0
581	1069	Variabile C	0	0	-1.1E2	0	0	0	582	884	Variabile C	0	0	-1.1E2	0	0	0
583	973	Variabile C	0	0	-2.2E2	0	0	0	584	1070	Variabile C	0	0	-1.1E2	0	0	0
585	885	Variabile C	0	0	-1.1E2	0	0	0	586	974	Variabile C	0	0	-2.2E2	0	0	0
587	1071	Variabile C	0	0	-1.1E2	0	0	0	588	886	Variabile C	0	0	-54.9	0	0	0
589	975	Variabile C	0	0	-1.1E2	0	0	0	590	1072	Variabile C	0	0	-54.9	0	0	0
591	154	Variabile C	0	0	-55.4	0	0	0	592	155	Variabile C	0	0	-1.1E2	0	0	0
593	257	Variabile C	0	0	-2.2E2	0	0	0	594	256	Variabile C	0	0	-1.1E2	0	0	0
595	343	Variabile C	0	0	-1.1E2	0	0	0	596	342	Variabile C	0	0	-55.4	0	0	0

Indice	Nodo	Condizione	Fx	Fy	Fz	Mx	My	Mz	Indice	Nodo	Condizione	Fx	Fy	Fz	Mx	My	Mz
597	156	Variabile C	0	0	-1.1E2	0	0	0	598	258	Variabile C	0	0	-2.2E2	0	0	0
599	344	Variabile C	0	0	-1.1E2	0	0	0	600	157	Variabile C	0	0	-1.1E2	0	0	0
601	259	Variabile C	0	0	-2.2E2	0	0	0	602	345	Variabile C	0	0	-1.1E2	0	0	0
603	158	Variabile C	0	0	-1.1E2	0	0	0	604	260	Variabile C	0	0	-2.2E2	0	0	0
605	346	Variabile C	0	0	-1.1E2	0	0	0	606	159	Variabile C	0	0	-1.1E2	0	0	0
607	261	Variabile C	0	0	-2.2E2	0	0	0	608	347	Variabile C	0	0	-1.1E2	0	0	0
609	160	Variabile C	0	0	-1.1E2	0	0	0	610	262	Variabile C	0	0	-2.2E2	0	0	0
611	348	Variabile C	0	0	-1.1E2	0	0	0	612	161	Variabile C	0	0	-1.1E2	0	0	0
613	263	Variabile C	0	0	-2.2E2	0	0	0	614	349	Variabile C	0	0	-1.1E2	0	0	0
615	162	Variabile C	0	0	-1.1E2	0	0	0	616	264	Variabile C	0	0	-2.2E2	0	0	0
617	350	Variabile C	0	0	-1.1E2	0	0	0	618	163	Variabile C	0	0	-1.1E2	0	0	0
619	265	Variabile C	0	0	-2.2E2	0	0	0	620	351	Variabile C	0	0	-1.1E2	0	0	0
621	164	Variabile C	0	0	-1.1E2	0	0	0	622	266	Variabile C	0	0	-2.2E2	0	0	0
623	352	Variabile C	0	0	-1.1E2	0	0	0	624	165	Variabile C	0	0	-1.1E2	0	0	0
625	267	Variabile C	0	0	-2.2E2	0	0	0	626	353	Variabile C	0	0	-1.1E2	0	0	0
627	166	Variabile C	0	0	-55.4	0	0	0	628	268	Variabile C	0	0	-1.1E2	0	0	0
629	354	Variabile C	0	0	-55.4	0	0	0	630	618	Variabile C	0	0	-65.5	0	0	0
631	708	Variabile C	0	0	-1.3E2	0	0	0	632	707	Variabile C	0	0	-2.6E2	0	0	0
633	617	Variabile C	0	0	-1.3E2	0	0	0	634	706	Variabile C	0	0	-2.6E2	0	0	0
635	616	Variabile C	0	0	-1.3E2	0	0	0	636	705	Variabile C	0	0	-2.6E2	0	0	0
637	615	Variabile C	0	0	-1.3E2	0	0	0	638	704	Variabile C	0	0	-2.6E2	0	0	0
639	614	Variabile C	0	0	-1.3E2	0	0	0	640	703	Variabile C	0	0	-2.6E2	0	0	0
641	613	Variabile C	0	0	-1.3E2	0	0	0	642	702	Variabile C	0	0	-2.6E2	0	0	0
643	612	Variabile C	0	0	-1.3E2	0	0	0	644	701	Variabile C	0	0	-2.6E2	0	0	0
645	611	Variabile C	0	0	-1.3E2	0	0	0	646	700	Variabile C	0	0	-2.6E2	0	0	0
647	610	Variabile C	0	0	-1.3E2	0	0	0	648	699	Variabile C	0	0	-2.6E2	0	0	0
649	609	Variabile C	0	0	-1.3E2	0	0	0	650	698	Variabile C	0	0	-2.6E2	0	0	0
651	608	Variabile C	0	0	-1.3E2	0	0	0	652	697	Variabile C	0	0	-2.6E2	0	0	0
653	607	Variabile C	0	0	-1.3E2	0	0	0	654	696	Variabile C	0	0	-1.3E2	0	0	0
655	606	Variabile C	0	0	-65.5	0	0	0	656	798	Variabile C	0	0	-1.3E2	0	0	0
657	797	Variabile C	0	0	-2.6E2	0	0	0	658	796	Variabile C	0	0	-2.6E2	0	0	0
659	795	Variabile C	0	0	-2.6E2	0	0	0	660	794	Variabile C	0	0	-2.6E2	0	0	0
661	793	Variabile C	0	0	-2.6E2	0	0	0	662	792	Variabile C	0	0	-2.6E2	0	0	0
663	791	Variabile C	0	0	-2.6E2	0	0	0	664	790	Variabile C	0	0	-2.6E2	0	0	0
665	789	Variabile C	0	0	-2.6E2	0	0	0	666	788	Variabile C	0	0	-2.6E2	0	0	0
667	787	Variabile C	0	0	-2.6E2	0	0	0	668	786	Variabile C	0	0	-1.3E2	0	0	0
669	886	Variabile C	0	0	-65.5	0	0	0	670	885	Variabile C	0	0	-1.3E2	0	0	0
671	884	Variabile C	0	0	-1.3E2	0	0	0	672	883	Variabile C	0	0	-1.3E2	0	0	0
673	882	Variabile C	0	0	-1.3E2	0	0	0	674	881	Variabile C	0	0	-1.3E2	0	0	0
675	880	Variabile C	0	0	-1.3E2	0	0	0	676	879	Variabile C	0	0	-1.3E2	0	0	0
677	878	Variabile C	0	0	-1.3E2	0	0	0	678	877	Variabile C	0	0	-1.3E2	0	0	0
679	876	Variabile C	0	0	-1.3E2	0	0	0	680	875	Variabile C	0	0	-1.3E2	0	0	0
681	874	Variabile C	0	0	-65.5	0	0	0	682	342	Variabile C	0	0	-65.5	0	0	0
683	343	Variabile C	0	0	-1.3E2	0	0	0	684	431	Variabile C	0	0	-2.6E2	0	0	0
685	430	Variabile C	0	0	-1.3E2	0	0	0	686	520	Variabile C	0	0	-2.6E2	0	0	0
687	519	Variabile C	0	0	-1.3E2	0	0	0	688	607	Variabile C	0	0	-1.3E2	0	0	0
689	606	Variabile C	0	0	-65.5	0	0	0	690	344	Variabile C	0	0	-1.3E2	0	0	0
691	432	Variabile C	0	0	-2.6E2	0	0	0	692	521	Variabile C	0	0	-2.6E2	0	0	0
693	608	Variabile C	0	0	-1.3E2	0	0	0	694	345	Variabile C	0	0	-1.3E2	0	0	0
695	433	Variabile C	0	0	-2.6E2	0	0	0	696	522	Variabile C	0	0	-2.6E2	0	0	0
697	609	Variabile C	0	0	-1.3E2	0	0	0	698	346	Variabile C	0	0	-1.3E2	0	0	0
699	434	Variabile C	0	0	-2.6E2	0	0	0	700	523	Variabile C	0	0	-2.6E2	0	0	0
701	610	Variabile C	0	0	-1.3E2	0	0	0	702	347	Variabile C	0	0	-1.3E2	0	0	0
703	435	Variabile C	0	0	-2.6E2	0	0	0	704	524	Variabile C	0	0	-2.6E2	0	0	0
705	611	Variabile C	0	0	-1.3E2	0	0	0	706	348	Variabile C	0	0	-1.3E2	0	0	0
707	436	Variabile C	0	0	-2.6E2	0	0	0	708	525	Variabile C	0	0	-2.6E2	0	0	0
709	612	Variabile C	0	0	-1.3E2	0	0	0	710	349	Variabile C	0	0	-1.3E2	0	0	0
711	437	Variabile C	0	0	-2.6E2	0	0	0	712	526	Variabile C	0	0	-2.6E2	0	0	0
713	613	Variabile C	0	0	-1.3E2	0	0	0	714	350	Variabile C	0	0	-1.3E2	0	0	0
715	438	Variabile C	0	0	-2.6E2	0	0	0	716	527	Variabile C	0	0	-2.6E2	0	0	0
717	614	Variabile C	0	0	-1.3E2	0	0	0	718	351	Variabile C	0	0	-1.3E2	0	0	0
719	439	Variabile C	0	0	-2.6E2	0	0	0	720	528	Variabile C	0	0	-2.6E2	0	0	0
721	615	Variabile C	0	0	-1.3E2	0	0	0	722	352	Variabile C	0	0	-1.3E2	0	0	0
723	440	Variabile C	0	0	-2.6E2	0	0	0	724	529	Variabile C	0	0	-2.6E2	0	0	0
725	616	Variabile C	0	0	-1.3E2	0	0	0	726	353	Variabile C	0	0	-1.3E2	0	0	0
727	441	Variabile C	0	0	-2.6E2	0	0	0	728	530	Variabile C	0	0	-2.6E2	0	0	0
729	617	Variabile C	0	0	-1.3E2	0	0	0	730	354	Variabile C	0	0	-65.5	0	0	0
731	442	Variabile C	0	0	-1.3E2	0	0	0	732	531	Variabile C	0	0	-1.3E2	0	0	0
733	618	Variabile C	0	0	-65.5	0	0	0	734	20	Pesi strutturali	0	0	2635	0	0	0
735	14	Pesi strutturali	0	0	2635	0	0	0	736	6	Pesi strutturali	0	0	2635	0	0	0
737	886	Variabile C	0	0	-55	0	0	0	738	887	Variabile C	0	0	-110	0	0	0
739	976	Variabile C	0	0	-2.2E2	0	0	0	740	975	Variabile C	0	0	-1.1E2	0	0	0
741	1073	Variabile C	0	0	-1.1E2	0	0	0	742	1072	Variabile C	0	0	-55.7	0	0	0
743	888	Variabile C	0	0	-110	0	0	0	744	977	Variabile C	0	0	-2.2E2	0	0	0
745	1074	Variabile C	0	0	-1.1E2	0	0	0	746	889	Variabile C	0	0	-110	0	0	0
747	978	Variabile C	0	0	-2.2E2	0	0	0	748	1075	Variabile C	0	0	-1.1E2	0	0	0
749	890	Variabile C	0	0	-110	0	0	0	750	979	Variabile C	0	0	-2.2E2	0	0	0
751	1076	Variabile C	0	0	-1.1E2	0	0	0	752	891	Variabile C	0	0	-110	0	0	0
753	980	Variabile C	0	0	-2.2E2	0	0	0	754	1077	Variabile C	0	0	-1.1E2	0	0	0
755	892	Variabile C	0	0	-110	0	0	0	756	981	Variabile C	0	0	-2.2E2	0	0	0
757	1078	Variabile C	0	0	-1.1E2	0	0	0	758	893	Variabile C	0	0	-110	0	0	0
759	982	Variabile C	0	0	-2.2E2	0	0	0	760	1079	Variabile C	0	0	-1.1E2	0	0	0
761	894	Variabile C	0	0	-1.1E2	0	0	0	762	983	Variabile C	0	0	-2.2E2	0	0	0
763	1080	Variabile C	0	0	-1.1E2	0	0	0	764	895	Variabile C	0	0	-1.1E2	0	0	0
765	984	Variabile C	0	0	-2.2E2	0	0	0	766	1081	Variabile C	0	0	-108	0	0	0
767	896	Variabile C	0	0	-1.1E2	0	0	0	768	985	Variabile C	0	0	-215	0	0	0
769	1082	Variabile C	0	0	-1.1E2	0	0	0	770	897	Variabile C	0	0	-1.1E2	0	0	0
771	986	Variabile C	0	0	-2.1E2	0	0	0	772	1083	Variabile C	0	0	-1.1E2	0	0	0
773	898	Variabile C	0	0	-54.6	0	0	0	774	987	Variabile C	0	0	-1.1E2	0	0	0

Indice	Nodo	Condizione	Fx	Fy	Fz	Mx	My	Mz	Indice	Nodo	Condizione	Fx	Fy	Fz	Mx	My	Mz
775	1084	Variabile C	0	0	-52.8	0	0	0	776	166	Variabile C	0	0	-55.4	0	0	0
777	167	Variabile C	0	0	-1.1E2	0	0	0	778	269	Variabile C	0	0	-2.2E2	0	0	0
779	268	Variabile C	0	0	-1.1E2	0	0	0	780	355	Variabile C	0	0	-1.1E2	0	0	0
781	354	Variabile C	0	0	-55.4	0	0	0	782	168	Variabile C	0	0	-1.1E2	0	0	0
783	270	Variabile C	0	0	-2.2E2	0	0	0	784	356	Variabile C	0	0	-1.1E2	0	0	0
785	169	Variabile C	0	0	-1.1E2	0	0	0	786	271	Variabile C	0	0	-2.2E2	0	0	0
787	357	Variabile C	0	0	-1.1E2	0	0	0	788	170	Variabile C	0	0	-1.1E2	0	0	0
789	272	Variabile C	0	0	-2.2E2	0	0	0	790	358	Variabile C	0	0	-1.1E2	0	0	0
791	171	Variabile C	0	0	-1.1E2	0	0	0	792	273	Variabile C	0	0	-2.2E2	0	0	0
793	359	Variabile C	0	0	-1.1E2	0	0	0	794	172	Variabile C	0	0	-1.1E2	0	0	0
795	274	Variabile C	0	0	-2.2E2	0	0	0	796	360	Variabile C	0	0	-1.1E2	0	0	0
797	173	Variabile C	0	0	-1.1E2	0	0	0	798	275	Variabile C	0	0	-2.2E2	0	0	0
799	361	Variabile C	0	0	-1.1E2	0	0	0	800	174	Variabile C	0	0	-1.1E2	0	0	0
801	276	Variabile C	0	0	-2.2E2	0	0	0	802	362	Variabile C	0	0	-1.1E2	0	0	0
803	175	Variabile C	0	0	-1.1E2	0	0	0	804	277	Variabile C	0	0	-2.2E2	0	0	0
805	363	Variabile C	0	0	-1.1E2	0	0	0	806	176	Variabile C	0	0	-1.1E2	0	0	0
807	278	Variabile C	0	0	-2.2E2	0	0	0	808	364	Variabile C	0	0	-1.1E2	0	0	0
809	177	Variabile C	0	0	-1.1E2	0	0	0	810	279	Variabile C	0	0	-2.2E2	0	0	0
811	365	Variabile C	0	0	-1.1E2	0	0	0	812	178	Variabile C	0	0	-55.4	0	0	0
813	280	Variabile C	0	0	-1.1E2	0	0	0	814	366	Variabile C	0	0	-55.4	0	0	0
815	630	Variabile C	0	0	-65.5	0	0	0	816	720	Variabile C	0	0	-1.3E2	0	0	0
817	719	Variabile C	0	0	-2.6E2	0	0	0	818	629	Variabile C	0	0	-1.3E2	0	0	0
819	718	Variabile C	0	0	-2.6E2	0	0	0	820	628	Variabile C	0	0	-1.3E2	0	0	0
821	717	Variabile C	0	0	-2.6E2	0	0	0	822	627	Variabile C	0	0	-1.3E2	0	0	0
823	716	Variabile C	0	0	-2.6E2	0	0	0	824	626	Variabile C	0	0	-1.3E2	0	0	0
825	715	Variabile C	0	0	-2.6E2	0	0	0	826	625	Variabile C	0	0	-1.3E2	0	0	0
827	714	Variabile C	0	0	-2.6E2	0	0	0	828	624	Variabile C	0	0	-1.3E2	0	0	0
829	713	Variabile C	0	0	-2.6E2	0	0	0	830	623	Variabile C	0	0	-1.3E2	0	0	0
831	712	Variabile C	0	0	-2.6E2	0	0	0	832	622	Variabile C	0	0	-1.3E2	0	0	0
833	711	Variabile C	0	0	-2.6E2	0	0	0	834	621	Variabile C	0	0	-1.3E2	0	0	0
835	710	Variabile C	0	0	-2.6E2	0	0	0	836	620	Variabile C	0	0	-1.3E2	0	0	0
837	709	Variabile C	0	0	-2.6E2	0	0	0	838	619	Variabile C	0	0	-1.3E2	0	0	0
839	708	Variabile C	0	0	-1.3E2	0	0	0	840	618	Variabile C	0	0	-65.5	0	0	0
841	810	Variabile C	0	0	-1.3E2	0	0	0	842	809	Variabile C	0	0	-2.6E2	0	0	0
843	808	Variabile C	0	0	-2.6E2	0	0	0	844	807	Variabile C	0	0	-2.6E2	0	0	0
845	806	Variabile C	0	0	-2.6E2	0	0	0	846	805	Variabile C	0	0	-2.6E2	0	0	0
847	804	Variabile C	0	0	-2.6E2	0	0	0	848	803	Variabile C	0	0	-2.6E2	0	0	0
849	802	Variabile C	0	0	-2.6E2	0	0	0	850	801	Variabile C	0	0	-2.6E2	0	0	0
851	800	Variabile C	0	0	-2.6E2	0	0	0	852	799	Variabile C	0	0	-2.6E2	0	0	0
853	798	Variabile C	0	0	-1.3E2	0	0	0	854	898	Variabile C	0	0	-65.5	0	0	0
855	897	Variabile C	0	0	-1.3E2	0	0	0	856	896	Variabile C	0	0	-1.3E2	0	0	0
857	895	Variabile C	0	0	-1.3E2	0	0	0	858	894	Variabile C	0	0	-1.3E2	0	0	0
859	893	Variabile C	0	0	-1.3E2	0	0	0	860	892	Variabile C	0	0	-1.3E2	0	0	0
861	891	Variabile C	0	0	-1.3E2	0	0	0	862	890	Variabile C	0	0	-1.3E2	0	0	0
863	889	Variabile C	0	0	-1.3E2	0	0	0	864	888	Variabile C	0	0	-1.3E2	0	0	0
865	887	Variabile C	0	0	-1.3E2	0	0	0	866	886	Variabile C	0	0	-65.5	0	0	0
867	354	Variabile C	0	0	-65.5	0	0	0	868	355	Variabile C	0	0	-1.3E2	0	0	0
869	443	Variabile C	0	0	-2.6E2	0	0	0	870	442	Variabile C	0	0	-1.3E2	0	0	0
871	532	Variabile C	0	0	-2.6E2	0	0	0	872	531	Variabile C	0	0	-1.3E2	0	0	0
873	619	Variabile C	0	0	-1.3E2	0	0	0	874	618	Variabile C	0	0	-65.5	0	0	0
875	356	Variabile C	0	0	-1.3E2	0	0	0	876	444	Variabile C	0	0	-2.6E2	0	0	0
877	533	Variabile C	0	0	-2.6E2	0	0	0	878	620	Variabile C	0	0	-1.3E2	0	0	0
879	357	Variabile C	0	0	-1.3E2	0	0	0	880	445	Variabile C	0	0	-2.6E2	0	0	0
881	534	Variabile C	0	0	-2.6E2	0	0	0	882	621	Variabile C	0	0	-1.3E2	0	0	0
883	358	Variabile C	0	0	-1.3E2	0	0	0	884	446	Variabile C	0	0	-2.6E2	0	0	0
885	535	Variabile C	0	0	-2.6E2	0	0	0	886	622	Variabile C	0	0	-1.3E2	0	0	0
887	359	Variabile C	0	0	-1.3E2	0	0	0	888	447	Variabile C	0	0	-2.6E2	0	0	0
889	536	Variabile C	0	0	-2.6E2	0	0	0	890	623	Variabile C	0	0	-1.3E2	0	0	0
891	360	Variabile C	0	0	-1.3E2	0	0	0	892	448	Variabile C	0	0	-2.6E2	0	0	0
893	537	Variabile C	0	0	-2.6E2	0	0	0	894	624	Variabile C	0	0	-1.3E2	0	0	0
895	361	Variabile C	0	0	-1.3E2	0	0	0	896	449	Variabile C	0	0	-2.6E2	0	0	0
897	538	Variabile C	0	0	-2.6E2	0	0	0	898	625	Variabile C	0	0	-1.3E2	0	0	0
899	362	Variabile C	0	0	-1.3E2	0	0	0	900	450	Variabile C	0	0	-2.6E2	0	0	0
901	539	Variabile C	0	0	-2.6E2	0	0	0	902	626	Variabile C	0	0	-1.3E2	0	0	0
903	363	Variabile C	0	0	-1.3E2	0	0	0	904	451	Variabile C	0	0	-2.6E2	0	0	0
905	540	Variabile C	0	0	-2.6E2	0	0	0	906	627	Variabile C	0	0	-1.3E2	0	0	0
907	364	Variabile C	0	0	-1.3E2	0	0	0	908	452	Variabile C	0	0	-2.6E2	0	0	0
909	541	Variabile C	0	0	-2.6E2	0	0	0	910	628	Variabile C	0	0	-1.3E2	0	0	0
911	365	Variabile C	0	0	-1.3E2	0	0	0	912	453	Variabile C	0	0	-2.6E2	0	0	0
913	542	Variabile C	0	0	-2.6E2	0	0	0	914	629	Variabile C	0	0	-1.3E2	0	0	0
915	366	Variabile C	0	0	-65.5	0	0	0	916	454	Variabile C	0	0	-1.3E2	0	0	0
917	543	Variabile C	0	0	-1.3E2	0	0	0	918	630	Variabile C	0	0	-65.5	0	0	0
919	21	Pesi strutturali	0	0	2635	0	0	0	920	15	Pesi strutturali	0	0	2635	0	0	0
921	7	Pesi strutturali	0	0	2635	0	0	0	922	898	Variabile C	0	0	-54.9	0	0	0
923	899	Variabile C	0	0	-1.1E2	0	0	0	924	988	Variabile C	0	0	-2.2E2	0	0	0
925	987	Variabile C	0	0	-1.1E2	0	0	0	926	1085	Variabile C	0	0	-1.1E2	0	0	0
927	1084	Variabile C	0	0	-54.9	0	0	0	928	900	Variabile C	0	0	-1.1E2	0	0	0
929	989	Variabile C	0	0	-2.2E2	0	0	0	930	1086	Variabile C	0	0	-1.1E2	0	0	0
931	901	Variabile C	0	0	-1.1E2	0	0	0	932	990	Variabile C	0	0	-2.2E2	0	0	0
933	1087	Variabile C	0	0	-1.1E2	0	0	0	934	902	Variabile C	0	0	-1.1E2	0	0	0
935	991	Variabile C	0	0	-2.2E2	0	0	0	936	1088	Variabile C	0	0	-1.1E2	0	0	0
937	903	Variabile C	0	0	-1.1E2	0	0	0	938	992	Variabile C	0	0	-2.2E2	0	0	0
939	1089	Variabile C	0	0	-1.1E2	0	0	0	940	904	Variabile C	0	0	-1.1E2	0	0	0
941	993	Variabile C	0	0	-2.2E2	0	0	0	942	1090	Variabile C	0	0	-1.1E2	0	0	0
943	905	Variabile C	0	0	-1.1E2	0	0	0	944	994	Variabile C	0	0	-2.2E2	0	0	0
945	1091	Variabile C	0	0	-1.1E2	0	0	0	946	906	Variabile C	0	0	-1.1E2	0	0	0
947	995	Variabile C	0	0	-2.2E2	0	0	0	948	1092	Variabile C	0	0	-1.1E2	0	0	0
949	907	Variabile C	0	0	-1.1E2	0	0	0	950	996	Variabile C	0	0	-2.2E2	0	0	0
951	1093	Variabile C	0	0	-1.1E2	0	0	0	952	908	Variabile C	0	0	-1.1E2	0	0	0

Indice	Nodo	Condizione	Fx	Fy	Fz	Mx	My	Mz	Indice	Nodo	Condizione	Fx	Fy	Fz	Mx	My	Mz
953	997	Variabile C	0	0	-2.2E2	0	0	0	954	1094	Variabile C	0	0	-1.1E2	0	0	0
955	909	Variabile C	0	0	-1.1E2	0	0	0	956	998	Variabile C	0	0	-2.2E2	0	0	0
957	1095	Variabile C	0	0	-1.1E2	0	0	0	958	910	Variabile C	0	0	-54.9	0	0	0
959	999	Variabile C	0	0	-1.1E2	0	0	0	960	1096	Variabile C	0	0	-54.9	0	0	0
961	178	Variabile C	0	0	-55.4	0	0	0	962	179	Variabile C	0	0	-1.1E2	0	0	0
963	281	Variabile C	0	0	-2.2E2	0	0	0	964	280	Variabile C	0	0	-1.1E2	0	0	0
965	367	Variabile C	0	0	-1.1E2	0	0	0	966	366	Variabile C	0	0	-55.4	0	0	0
967	180	Variabile C	0	0	-1.1E2	0	0	0	968	282	Variabile C	0	0	-2.2E2	0	0	0
969	368	Variabile C	0	0	-1.1E2	0	0	0	970	181	Variabile C	0	0	-1.1E2	0	0	0
971	283	Variabile C	0	0	-2.2E2	0	0	0	972	369	Variabile C	0	0	-1.1E2	0	0	0
973	182	Variabile C	0	0	-1.1E2	0	0	0	974	284	Variabile C	0	0	-2.2E2	0	0	0
975	370	Variabile C	0	0	-1.1E2	0	0	0	976	183	Variabile C	0	0	-1.1E2	0	0	0
977	285	Variabile C	0	0	-2.2E2	0	0	0	978	371	Variabile C	0	0	-1.1E2	0	0	0
979	184	Variabile C	0	0	-1.1E2	0	0	0	980	286	Variabile C	0	0	-2.2E2	0	0	0
981	372	Variabile C	0	0	-1.1E2	0	0	0	982	185	Variabile C	0	0	-1.1E2	0	0	0
983	287	Variabile C	0	0	-2.2E2	0	0	0	984	373	Variabile C	0	0	-1.1E2	0	0	0
985	186	Variabile C	0	0	-1.1E2	0	0	0	986	288	Variabile C	0	0	-2.2E2	0	0	0
987	374	Variabile C	0	0	-1.1E2	0	0	0	988	187	Variabile C	0	0	-1.1E2	0	0	0
989	289	Variabile C	0	0	-2.2E2	0	0	0	990	375	Variabile C	0	0	-1.1E2	0	0	0
991	188	Variabile C	0	0	-1.1E2	0	0	0	992	290	Variabile C	0	0	-2.2E2	0	0	0
993	376	Variabile C	0	0	-1.1E2	0	0	0	994	189	Variabile C	0	0	-1.1E2	0	0	0
995	291	Variabile C	0	0	-2.2E2	0	0	0	996	377	Variabile C	0	0	-1.1E2	0	0	0
997	190	Variabile C	0	0	-55.4	0	0	0	998	292	Variabile C	0	0	-1.1E2	0	0	0
999	378	Variabile C	0	0	-55.4	0	0	0	1000	642	Variabile C	0	0	-65.5	0	0	0
1001	732	Variabile C	0	0	-1.3E2	0	0	0	1002	731	Variabile C	0	0	-2.6E2	0	0	0
1003	641	Variabile C	0	0	-1.3E2	0	0	0	1004	730	Variabile C	0	0	-2.6E2	0	0	0
1005	640	Variabile C	0	0	-1.3E2	0	0	0	1006	729	Variabile C	0	0	-2.6E2	0	0	0
1007	639	Variabile C	0	0	-1.3E2	0	0	0	1008	728	Variabile C	0	0	-2.6E2	0	0	0
1009	638	Variabile C	0	0	-1.3E2	0	0	0	1010	727	Variabile C	0	0	-2.6E2	0	0	0
1011	637	Variabile C	0	0	-1.3E2	0	0	0	1012	726	Variabile C	0	0	-2.6E2	0	0	0
1013	636	Variabile C	0	0	-1.3E2	0	0	0	1014	725	Variabile C	0	0	-2.6E2	0	0	0
1015	635	Variabile C	0	0	-1.3E2	0	0	0	1016	724	Variabile C	0	0	-2.6E2	0	0	0
1017	634	Variabile C	0	0	-1.3E2	0	0	0	1018	723	Variabile C	0	0	-2.6E2	0	0	0
1019	633	Variabile C	0	0	-1.3E2	0	0	0	1020	722	Variabile C	0	0	-2.6E2	0	0	0
1021	632	Variabile C	0	0	-1.3E2	0	0	0	1022	721	Variabile C	0	0	-2.6E2	0	0	0
1023	631	Variabile C	0	0	-1.3E2	0	0	0	1024	720	Variabile C	0	0	-1.3E2	0	0	0
1025	630	Variabile C	0	0	-65.5	0	0	0	1026	822	Variabile C	0	0	-1.3E2	0	0	0
1027	821	Variabile C	0	0	-2.6E2	0	0	0	1028	820	Variabile C	0	0	-2.6E2	0	0	0
1029	819	Variabile C	0	0	-2.6E2	0	0	0	1030	818	Variabile C	0	0	-2.6E2	0	0	0
1031	817	Variabile C	0	0	-2.6E2	0	0	0	1032	816	Variabile C	0	0	-2.6E2	0	0	0
1033	815	Variabile C	0	0	-2.6E2	0	0	0	1034	814	Variabile C	0	0	-2.6E2	0	0	0
1035	813	Variabile C	0	0	-2.6E2	0	0	0	1036	812	Variabile C	0	0	-2.6E2	0	0	0
1037	811	Variabile C	0	0	-2.6E2	0	0	0	1038	810	Variabile C	0	0	-1.3E2	0	0	0
1039	910	Variabile C	0	0	-65.5	0	0	0	1040	909	Variabile C	0	0	-1.3E2	0	0	0
1041	908	Variabile C	0	0	-1.3E2	0	0	0	1042	907	Variabile C	0	0	-1.3E2	0	0	0
1043	906	Variabile C	0	0	-1.3E2	0	0	0	1044	905	Variabile C	0	0	-1.3E2	0	0	0
1045	904	Variabile C	0	0	-1.3E2	0	0	0	1046	903	Variabile C	0	0	-1.3E2	0	0	0
1047	902	Variabile C	0	0	-1.3E2	0	0	0	1048	901	Variabile C	0	0	-1.3E2	0	0	0
1049	900	Variabile C	0	0	-1.3E2	0	0	0	1050	899	Variabile C	0	0	-1.3E2	0	0	0
1051	898	Variabile C	0	0	-65.5	0	0	0	1052	366	Variabile C	0	0	-65.5	0	0	0
1053	367	Variabile C	0	0	-1.3E2	0	0	0	1054	455	Variabile C	0	0	-2.6E2	0	0	0
1055	454	Variabile C	0	0	-1.3E2	0	0	0	1056	544	Variabile C	0	0	-2.6E2	0	0	0
1057	543	Variabile C	0	0	-1.3E2	0	0	0	1058	631	Variabile C	0	0	-1.3E2	0	0	0
1059	630	Variabile C	0	0	-65.5	0	0	0	1060	368	Variabile C	0	0	-1.3E2	0	0	0
1061	456	Variabile C	0	0	-2.6E2	0	0	0	1062	545	Variabile C	0	0	-2.6E2	0	0	0
1063	632	Variabile C	0	0	-1.3E2	0	0	0	1064	369	Variabile C	0	0	-1.3E2	0	0	0
1065	457	Variabile C	0	0	-2.6E2	0	0	0	1066	546	Variabile C	0	0	-2.6E2	0	0	0
1067	633	Variabile C	0	0	-1.3E2	0	0	0	1068	370	Variabile C	0	0	-1.3E2	0	0	0
1069	458	Variabile C	0	0	-2.6E2	0	0	0	1070	547	Variabile C	0	0	-2.6E2	0	0	0
1071	634	Variabile C	0	0	-1.3E2	0	0	0	1072	371	Variabile C	0	0	-1.3E2	0	0	0
1073	459	Variabile C	0	0	-2.6E2	0	0	0	1074	548	Variabile C	0	0	-2.6E2	0	0	0
1075	635	Variabile C	0	0	-1.3E2	0	0	0	1076	372	Variabile C	0	0	-1.3E2	0	0	0
1077	460	Variabile C	0	0	-2.6E2	0	0	0	1078	549	Variabile C	0	0	-2.6E2	0	0	0
1079	636	Variabile C	0	0	-1.3E2	0	0	0	1080	373	Variabile C	0	0	-1.3E2	0	0	0
1081	461	Variabile C	0	0	-2.6E2	0	0	0	1082	550	Variabile C	0	0	-2.6E2	0	0	0
1083	637	Variabile C	0	0	-1.3E2	0	0	0	1084	374	Variabile C	0	0	-1.3E2	0	0	0
1085	462	Variabile C	0	0	-2.6E2	0	0	0	1086	551	Variabile C	0	0	-2.6E2	0	0	0
1087	638	Variabile C	0	0	-1.3E2	0	0	0	1088	375	Variabile C	0	0	-1.3E2	0	0	0
1089	463	Variabile C	0	0	-2.6E2	0	0	0	1090	552	Variabile C	0	0	-2.6E2	0	0	0
1091	639	Variabile C	0	0	-1.3E2	0	0	0	1092	376	Variabile C	0	0	-1.3E2	0	0	0
1093	464	Variabile C	0	0	-2.6E2	0	0	0	1094	553	Variabile C	0	0	-2.6E2	0	0	0
1095	640	Variabile C	0	0	-1.3E2	0	0	0	1096	377	Variabile C	0	0	-1.3E2	0	0	0
1097	465	Variabile C	0	0	-2.6E2	0	0	0	1098	554	Variabile C	0	0	-2.6E2	0	0	0
1099	641	Variabile C	0	0	-1.3E2	0	0	0	1100	378	Variabile C	0	0	-65.5	0	0	0
1101	466	Variabile C	0	0	-1.3E2	0	0	0	1102	555	Variabile C	0	0	-1.3E2	0	0	0
1103	642	Variabile C	0	0	-65.5	0	0	0	1104	22	Pesi strutturali	0	0	2635	0	0	0
1105	9	Pesi strutturali	0	0	2635	0	0	0	1106	8	Pesi strutturali	0	0	2635	0	0	0
1107	910	Variabile C	0	0	-54.9	0	0	0	1108	911	Variabile C	0	0	-1.1E2	0	0	0
1109	1000	Variabile C	0	0	-2.2E2	0	0	0	1110	999	Variabile C	0	0	-1.1E2	0	0	0
1111	1097	Variabile C	0	0	-1.1E2	0	0	0	1112	1096	Variabile C	0	0	-54.9	0	0	0
1113	912	Variabile C	0	0	-1.1E2	0	0	0	1114	1001	Variabile C	0	0	-2.2E2	0	0	0
1115	1098	Variabile C	0	0	-1.1E2	0	0	0	1116	913	Variabile C	0	0	-1.1E2	0	0	0
1117	1002	Variabile C	0	0	-2.2E2	0	0	0	1118	1099	Variabile C	0	0	-1.1E2	0	0	0
1119	914	Variabile C	0	0	-1.1E2	0	0	0	1120	1003	Variabile C	0	0	-2.2E2	0	0	0
1121	1100	Variabile C	0	0	-1.1E2	0	0	0	1122	915	Variabile C	0	0	-1.1E2	0	0	0
1123	1004	Variabile C	0	0	-2.2E2	0	0	0	1124	1101	Variabile C	0	0	-1.1E2	0	0	0
1125	916	Variabile C	0	0	-1.1E2	0	0	0	1126	1005	Variabile C	0	0	-2.2E2	0	0	0
1127	1102	Variabile C	0	0	-1.1E2	0	0	0	1128	917	Variabile C	0	0	-1.1E2	0	0	0
1129	1006	Variabile C	0	0	-2.2E2	0	0	0	1130	1103	Variabile C	0	0	-1.1E2	0	0	0

Indice	Nodo	Condizione	Fx	Fy	Fz	Mx	My	Mz	Indice	Nodo	Condizione	Fx	Fy	Fz	Mx	My	Mz
1131	918	Variabile C	0	0	-1.1E2	0	0	0	1132	1007	Variabile C	0	0	-2.2E2	0	0	0
1133	1104	Variabile C	0	0	-1.1E2	0	0	0	1134	919	Variabile C	0	0	-1.1E2	0	0	0
1135	1008	Variabile C	0	0	-2.2E2	0	0	0	1136	1105	Variabile C	0	0	-1.1E2	0	0	0
1137	920	Variabile C	0	0	-1.1E2	0	0	0	1138	1009	Variabile C	0	0	-2.2E2	0	0	0
1139	1106	Variabile C	0	0	-1.1E2	0	0	0	1140	921	Variabile C	0	0	-1.1E2	0	0	0
1141	1010	Variabile C	0	0	-2.2E2	0	0	0	1142	1107	Variabile C	0	0	-1.1E2	0	0	0
1143	922	Variabile C	0	0	-54.9	0	0	0	1144	1011	Variabile C	0	0	-1.1E2	0	0	0
1145	1108	Variabile C	0	0	-54.9	0	0	0	1146	190	Variabile C	0	0	-55.4	0	0	0
1147	191	Variabile C	0	0	-1.1E2	0	0	0	1148	293	Variabile C	0	0	-2.2E2	0	0	0
1149	292	Variabile C	0	0	-1.1E2	0	0	0	1150	379	Variabile C	0	0	-1.1E2	0	0	0
1151	378	Variabile C	0	0	-55.4	0	0	0	1152	192	Variabile C	0	0	-1.1E2	0	0	0
1153	294	Variabile C	0	0	-2.2E2	0	0	0	1154	380	Variabile C	0	0	-1.1E2	0	0	0
1155	193	Variabile C	0	0	-1.1E2	0	0	0	1156	295	Variabile C	0	0	-2.2E2	0	0	0
1157	381	Variabile C	0	0	-1.1E2	0	0	0	1158	194	Variabile C	0	0	-1.1E2	0	0	0
1159	296	Variabile C	0	0	-2.2E2	0	0	0	1160	382	Variabile C	0	0	-1.1E2	0	0	0
1161	195	Variabile C	0	0	-1.1E2	0	0	0	1162	297	Variabile C	0	0	-2.2E2	0	0	0
1163	383	Variabile C	0	0	-1.1E2	0	0	0	1164	196	Variabile C	0	0	-1.1E2	0	0	0
1165	298	Variabile C	0	0	-2.2E2	0	0	0	1166	384	Variabile C	0	0	-1.1E2	0	0	0
1167	197	Variabile C	0	0	-1.1E2	0	0	0	1168	299	Variabile C	0	0	-2.2E2	0	0	0
1169	385	Variabile C	0	0	-1.1E2	0	0	0	1170	198	Variabile C	0	0	-1.1E2	0	0	0
1171	300	Variabile C	0	0	-2.2E2	0	0	0	1172	386	Variabile C	0	0	-1.1E2	0	0	0
1173	199	Variabile C	0	0	-1.1E2	0	0	0	1174	301	Variabile C	0	0	-2.2E2	0	0	0
1175	387	Variabile C	0	0	-1.1E2	0	0	0	1176	200	Variabile C	0	0	-1.1E2	0	0	0
1177	302	Variabile C	0	0	-2.2E2	0	0	0	1178	388	Variabile C	0	0	-1.1E2	0	0	0
1179	201	Variabile C	0	0	-1.1E2	0	0	0	1180	303	Variabile C	0	0	-2.2E2	0	0	0
1181	389	Variabile C	0	0	-1.1E2	0	0	0	1182	202	Variabile C	0	0	-55.4	0	0	0
1183	304	Variabile C	0	0	-1.1E2	0	0	0	1184	390	Variabile C	0	0	-55.4	0	0	0
1185	581	Variabile C	0	0	-65.4	0	0	0	1186	671	Variabile C	0	0	-1.3E2	0	0	0
1187	743	Variabile C	0	0	-262	0	0	0	1188	653	Variabile C	0	0	-131	0	0	0
1189	742	Variabile C	0	0	-2.6E2	0	0	0	1190	652	Variabile C	0	0	-1.3E2	0	0	0
1191	741	Variabile C	0	0	-2.6E2	0	0	0	1192	651	Variabile C	0	0	-1.3E2	0	0	0
1193	740	Variabile C	0	0	-2.6E2	0	0	0	1194	650	Variabile C	0	0	-1.3E2	0	0	0
1195	739	Variabile C	0	0	-2.6E2	0	0	0	1196	649	Variabile C	0	0	-1.3E2	0	0	0
1197	738	Variabile C	0	0	-2.6E2	0	0	0	1198	648	Variabile C	0	0	-1.3E2	0	0	0
1199	737	Variabile C	0	0	-2.6E2	0	0	0	1200	647	Variabile C	0	0	-1.3E2	0	0	0
1201	736	Variabile C	0	0	-2.6E2	0	0	0	1202	646	Variabile C	0	0	-1.3E2	0	0	0
1203	735	Variabile C	0	0	-2.6E2	0	0	0	1204	645	Variabile C	0	0	-1.3E2	0	0	0
1205	734	Variabile C	0	0	-2.6E2	0	0	0	1206	644	Variabile C	0	0	-1.3E2	0	0	0
1207	733	Variabile C	0	0	-2.6E2	0	0	0	1208	643	Variabile C	0	0	-1.3E2	0	0	0
1209	732	Variabile C	0	0	-1.3E2	0	0	0	1210	642	Variabile C	0	0	-65.5	0	0	0
1211	761	Variabile C	0	0	-131	0	0	0	1212	833	Variabile C	0	0	-2.6E2	0	0	0
1213	832	Variabile C	0	0	-2.6E2	0	0	0	1214	831	Variabile C	0	0	-2.6E2	0	0	0
1215	830	Variabile C	0	0	-2.6E2	0	0	0	1216	829	Variabile C	0	0	-2.6E2	0	0	0
1217	828	Variabile C	0	0	-2.6E2	0	0	0	1218	827	Variabile C	0	0	-2.6E2	0	0	0
1219	826	Variabile C	0	0	-2.6E2	0	0	0	1220	825	Variabile C	0	0	-2.6E2	0	0	0
1221	824	Variabile C	0	0	-2.6E2	0	0	0	1222	823	Variabile C	0	0	-2.6E2	0	0	0
1223	822	Variabile C	0	0	-1.3E2	0	0	0	1224	922	Variabile C	0	0	-65.5	0	0	0
1225	921	Variabile C	0	0	-1.3E2	0	0	0	1226	920	Variabile C	0	0	-1.3E2	0	0	0
1227	919	Variabile C	0	0	-1.3E2	0	0	0	1228	918	Variabile C	0	0	-1.3E2	0	0	0
1229	917	Variabile C	0	0	-1.3E2	0	0	0	1230	916	Variabile C	0	0	-1.3E2	0	0	0
1231	915	Variabile C	0	0	-1.3E2	0	0	0	1232	914	Variabile C	0	0	-1.3E2	0	0	0
1233	913	Variabile C	0	0	-1.3E2	0	0	0	1234	912	Variabile C	0	0	-1.3E2	0	0	0
1235	911	Variabile C	0	0	-1.3E2	0	0	0	1236	910	Variabile C	0	0	-65.5	0	0	0
1237	378	Variabile C	0	0	-65.5	0	0	0	1238	379	Variabile C	0	0	-1.3E2	0	0	0
1239	467	Variabile C	0	0	-2.6E2	0	0	0	1240	466	Variabile C	0	0	-1.3E2	0	0	0
1241	556	Variabile C	0	0	-2.6E2	0	0	0	1242	555	Variabile C	0	0	-1.3E2	0	0	0
1243	643	Variabile C	0	0	-1.3E2	0	0	0	1244	642	Variabile C	0	0	-65.5	0	0	0
1245	380	Variabile C	0	0	-1.3E2	0	0	0	1246	468	Variabile C	0	0	-2.6E2	0	0	0
1247	557	Variabile C	0	0	-2.6E2	0	0	0	1248	644	Variabile C	0	0	-1.3E2	0	0	0
1249	381	Variabile C	0	0	-1.3E2	0	0	0	1250	469	Variabile C	0	0	-2.6E2	0	0	0
1251	558	Variabile C	0	0	-2.6E2	0	0	0	1252	645	Variabile C	0	0	-1.3E2	0	0	0
1253	382	Variabile C	0	0	-1.3E2	0	0	0	1254	470	Variabile C	0	0	-2.6E2	0	0	0
1255	559	Variabile C	0	0	-2.6E2	0	0	0	1256	646	Variabile C	0	0	-1.3E2	0	0	0
1257	383	Variabile C	0	0	-1.3E2	0	0	0	1258	471	Variabile C	0	0	-2.6E2	0	0	0
1259	560	Variabile C	0	0	-2.6E2	0	0	0	1260	647	Variabile C	0	0	-1.3E2	0	0	0
1261	384	Variabile C	0	0	-1.3E2	0	0	0	1262	472	Variabile C	0	0	-2.6E2	0	0	0
1263	561	Variabile C	0	0	-2.6E2	0	0	0	1264	648	Variabile C	0	0	-1.3E2	0	0	0
1265	385	Variabile C	0	0	-1.3E2	0	0	0	1266	473	Variabile C	0	0	-2.6E2	0	0	0
1267	562	Variabile C	0	0	-2.6E2	0	0	0	1268	649	Variabile C	0	0	-1.3E2	0	0	0
1269	386	Variabile C	0	0	-1.3E2	0	0	0	1270	474	Variabile C	0	0	-2.6E2	0	0	0
1271	563	Variabile C	0	0	-2.6E2	0	0	0	1272	650	Variabile C	0	0	-1.3E2	0	0	0
1273	387	Variabile C	0	0	-1.3E2	0	0	0	1274	475	Variabile C	0	0	-2.6E2	0	0	0
1275	564	Variabile C	0	0	-2.6E2	0	0	0	1276	651	Variabile C	0	0	-1.3E2	0	0	0
1277	388	Variabile C	0	0	-1.3E2	0	0	0	1278	476	Variabile C	0	0	-2.6E2	0	0	0
1279	565	Variabile C	0	0	-2.6E2	0	0	0	1280	652	Variabile C	0	0	-1.3E2	0	0	0
1281	389	Variabile C	0	0	-1.3E2	0	0	0	1282	477	Variabile C	0	0	-2.6E2	0	0	0
1283	566	Variabile C	0	0	-262	0	0	0	1284	653	Variabile C	0	0	-1.3E2	0	0	0
1285	390	Variabile C	0	0	-65.5	0	0	0	1286	405	Variabile C	0	0	-131	0	0	0
1287	494	Variabile C	0	0	-1.3E2	0	0	0	1288	581	Variabile C	0	0	-65.4	0	0	0
1289	928	Variabile C	0	0	-89.7	0	0	0	1290	930	Variabile C	0	0	-79.7	0	0	0
1291	1017	Variabile C	0	0	-1.6E2	0	0	0	1292	1016	Variabile C	0	0	-1.8E2	0	0	0
1293	935	Variabile C	0	0	-69.8	0	0	0	1294	1020	Variabile C	0	0	-1.4E2	0	0	0
1295	938	Variabile C	0	0	-59.8	0	0	0	1296	1021	Variabile C	0	0	-1.2E2	0	0	0
1297	1014	Variabile C	0	0	-49.8	0	0	0	1298	1024	Variabile C	0	0	-99.8	0	0	0
1299	1018	Variabile C	0	0	-39.9	0	0	0	1300	1027	Variabile C	0	0	-79.7	0	0	0
1301	1022	Variabile C	0	0	-29.9	0	0	0	1302	1029	Variabile C	0	0	-59.8	0	0	0
1303	1026	Variabile C	0	0	-19.7	0	0	0	1304	1031	Variabile C	0	0	-39.2	0	0	0
1305	1030	Variabile C	0	0	-12.3	0	0	0	1306	1032	Variabile C	0	0	-22.6	0	0	0
1307	1119	Variabile C	0	0	-7.9	0	0	0	1308	1118	Variabile C	0	0	-10.2	0	0	0
1309	1117	Variabile C	0	0	-19.7	0	0	0	1310	1116	Variabile C	0	0	-29.9	0	0	0
1311	1115	Variabile C	0	0	-39.8	0	0	0	1312	1114	Variabile C	0	0	-49.8	0	0	0

Indice	Nodo	Condizione	Fx	Fy	Fz	Mx	My	Mz	Indice	Nodo	Condizione	Fx	Fy	Fz	Mx	My	Mz
1313	1113	Variabile C	0	0	-59.8	0	0	0	1314	1112	Variabile C	0	0	-69.8	0	0	0
1315	1111	Variabile C	0	0	-79.7	0	0	0	1316	1110	Variabile C	0	0	-89.7	0	0	0
1317	1109	Variabile C	0	0	-99.6	0	0	0	1318	1013	Variabile C	0	0	-2.0E2	0	0	0
1319	1108	Variabile C	0	0	-53.5	0	0	0	1320	1011	Variabile C	0	0	-1.0E2	0	0	0
1321	922	Variabile C	0	0	-53.5	0	0	0	1322	926	Variabile C	0	0	-99.6	0	0	0
1323	204	Variabile C	0	0	-90.4	0	0	0	1324	205	Variabile C	0	0	-80.4	0	0	0
1325	227	Variabile C	0	0	-1.6E2	0	0	0	1326	228	Variabile C	0	0	-1.8E2	0	0	0
1327	206	Variabile C	0	0	-70.3	0	0	0	1328	225	Variabile C	0	0	-1.4E2	0	0	0
1329	207	Variabile C	0	0	-60.3	0	0	0	1330	224	Variabile C	0	0	-1.2E2	0	0	0
1331	208	Variabile C	0	0	-50.3	0	0	0	1332	222	Variabile C	0	0	-1.0E2	0	0	0
1333	209	Variabile C	0	0	-40.2	0	0	0	1334	218	Variabile C	0	0	-80.4	0	0	0
1335	210	Variabile C	0	0	-30.1	0	0	0	1336	217	Variabile C	0	0	-60.3	0	0	0
1337	211	Variabile C	0	0	-19.9	0	0	0	1338	215	Variabile C	0	0	-39.5	0	0	0
1339	212	Variabile C	0	0	-12.4	0	0	0	1340	214	Variabile C	0	0	-22.8	0	0	0
1341	213	Variabile C	0	0	-8	0	0	0	1342	216	Variabile C	0	0	-10.3	0	0	0
1343	219	Variabile C	0	0	-19.9	0	0	0	1344	223	Variabile C	0	0	-30.1	0	0	0
1345	226	Variabile C	0	0	-40.2	0	0	0	1346	230	Variabile C	0	0	-50.3	0	0	0
1347	306	Variabile C	0	0	-60.3	0	0	0	1348	309	Variabile C	0	0	-70.3	0	0	0
1349	311	Variabile C	0	0	-80.4	0	0	0	1350	313	Variabile C	0	0	-90.4	0	0	0
1351	315	Variabile C	0	0	-1.0E2	0	0	0	1352	231	Variabile C	0	0	-2.0E2	0	0	0
1353	390	Variabile C	0	0	-54	0	0	0	1354	304	Variabile C	0	0	-1.1E2	0	0	0
1355	202	Variabile C	0	0	-54	0	0	0	1356	203	Variabile C	0	0	-1.0E2	0	0	0
1357	128	Variabile C	0	420.6	0	0	0	0	1358	129	Variabile C	0	840.1	0	0	0	0
1359	130	Variabile C	0	419.5	0	0	0	0	1360	130	Variabile C	0	516.3	0	0	0	0
1361	131	Variabile C	0	1.0E3	0	0	0	0	1362	132	Variabile C	0	1.0E3	0	0	0	0
1363	133	Variabile C	0	1.0E3	0	0	0	0	1364	134	Variabile C	0	1.0E3	0	0	0	0
1365	135	Variabile C	0	1.0E3	0	0	0	0	1366	136	Variabile C	0	1.0E3	0	0	0	0
1367	137	Variabile C	0	1.0E3	0	0	0	0	1368	138	Variabile C	0	1.0E3	0	0	0	0
1369	139	Variabile C	0	1.0E3	0	0	0	0	1370	140	Variabile C	0	1.0E3	0	0	0	0
1371	141	Variabile C	0	1.0E3	0	0	0	0	1372	142	Variabile C	0	516.3	0	0	0	0
1373	142	Variabile C	0	516.3	0	0	0	0	1374	143	Variabile C	0	1.0E3	0	0	0	0
1375	144	Variabile C	0	1.0E3	0	0	0	0	1376	145	Variabile C	0	1.0E3	0	0	0	0
1377	146	Variabile C	0	1.0E3	0	0	0	0	1378	147	Variabile C	0	1.0E3	0	0	0	0
1379	148	Variabile C	0	1.0E3	0	0	0	0	1380	149	Variabile C	0	1.0E3	0	0	0	0
1381	150	Variabile C	0	1.0E3	0	0	0	0	1382	151	Variabile C	0	1.0E3	0	0	0	0
1383	152	Variabile C	0	1.0E3	0	0	0	0	1384	153	Variabile C	0	1.0E3	0	0	0	0
1385	154	Variabile C	0	516.3	0	0	0	0	1386	154	Variabile C	0	516.3	0	0	0	0
1387	155	Variabile C	0	1.0E3	0	0	0	0	1388	156	Variabile C	0	1.0E3	0	0	0	0
1389	157	Variabile C	0	1.0E3	0	0	0	0	1390	158	Variabile C	0	1.0E3	0	0	0	0
1391	159	Variabile C	0	1.0E3	0	0	0	0	1392	160	Variabile C	0	1.0E3	0	0	0	0
1393	161	Variabile C	0	1.0E3	0	0	0	0	1394	162	Variabile C	0	1.0E3	0	0	0	0
1395	163	Variabile C	0	1.0E3	0	0	0	0	1396	164	Variabile C	0	1.0E3	0	0	0	0
1397	165	Variabile C	0	1.0E3	0	0	0	0	1398	166	Variabile C	0	516.3	0	0	0	0
1399	166	Variabile C	0	516.3	0	0	0	0	1400	167	Variabile C	0	1.0E3	0	0	0	0
1401	168	Variabile C	0	1.0E3	0	0	0	0	1402	169	Variabile C	0	1.0E3	0	0	0	0
1403	170	Variabile C	0	1.0E3	0	0	0	0	1404	171	Variabile C	0	1.0E3	0	0	0	0
1405	172	Variabile C	0	1.0E3	0	0	0	0	1406	173	Variabile C	0	1.0E3	0	0	0	0
1407	174	Variabile C	0	1.0E3	0	0	0	0	1408	175	Variabile C	0	1.0E3	0	0	0	0
1409	176	Variabile C	0	1.0E3	0	0	0	0	1410	177	Variabile C	0	1.0E3	0	0	0	0
1411	178	Variabile C	0	516.3	0	0	0	0	1412	178	Variabile C	0	516.3	0	0	0	0
1413	179	Variabile C	0	1.0E3	0	0	0	0	1414	180	Variabile C	0	1.0E3	0	0	0	0
1415	181	Variabile C	0	1.0E3	0	0	0	0	1416	182	Variabile C	0	1.0E3	0	0	0	0
1417	183	Variabile C	0	1.0E3	0	0	0	0	1418	184	Variabile C	0	1.0E3	0	0	0	0
1419	185	Variabile C	0	1.0E3	0	0	0	0	1420	186	Variabile C	0	1.0E3	0	0	0	0
1421	187	Variabile C	0	1.0E3	0	0	0	0	1422	188	Variabile C	0	1.0E3	0	0	0	0
1423	189	Variabile C	0	1.0E3	0	0	0	0	1424	190	Variabile C	0	516.3	0	0	0	0
1425	190	Variabile C	0	516.3	0	0	0	0	1426	191	Variabile C	0	1.0E3	0	0	0	0
1427	192	Variabile C	0	1.0E3	0	0	0	0	1428	193	Variabile C	0	1.0E3	0	0	0	0
1429	194	Variabile C	0	1.0E3	0	0	0	0	1430	195	Variabile C	0	1.0E3	0	0	0	0
1431	196	Variabile C	0	1.0E3	0	0	0	0	1432	197	Variabile C	0	1.0E3	0	0	0	0
1433	198	Variabile C	0	1.0E3	0	0	0	0	1434	199	Variabile C	0	1.0E3	0	0	0	0
1435	200	Variabile C	0	1.0E3	0	0	0	0	1436	201	Variabile C	0	1.0E3	0	0	0	0
1437	202	Variabile C	0	516.3	0	0	0	0	1438	202	Variabile C	0	515.3	0	0	0	0
1439	203	Variabile C	0	1.0E3	0	0	0	0	1440	204	Variabile C	0	1.0E3	0	0	0	0
1441	205	Variabile C	0	1.0E3	0	0	0	0	1442	206	Variabile C	0	1.0E3	0	0	0	0
1443	207	Variabile C	0	1.0E3	0	0	0	0	1444	208	Variabile C	0	1.0E3	0	0	0	0
1445	209	Variabile C	0	1.0E3	0	0	0	0	1446	210	Variabile C	0	1.0E3	0	0	0	0
1447	211	Variabile C	0	1.0E3	0	0	0	0	1448	212	Variabile C	0	1.0E3	0	0	0	0
1449	213	Variabile C	0	515.3	0	0	0	0	1450	1036	Eccezionale	0	399.5	0	0	0	0
1451	1035	Eccezionale	0	799	0	0	0	0	1452	1034	Eccezionale	0	799	0	0	0	0
1453	1033	Eccezionale	0	399.5	0	0	0	0	1454	1048	Eccezionale	0	737.5	0	0	0	0
1455	1047	Eccezionale	0	1.5E3	0	0	0	0	1456	1046	Eccezionale	0	1.5E3	0	0	0	0
1457	1045	Eccezionale	0	1.5E3	0	0	0	0	1458	1044	Eccezionale	0	1.5E3	0	0	0	0
1459	1043	Eccezionale	0	1.5E3	0	0	0	0	1460	1042	Eccezionale	0	1.5E3	0	0	0	0
1461	1041	Eccezionale	0	1.5E3	0	0	0	0	1462	1040	Eccezionale	0	1.5E3	0	0	0	0
1463	1039	Eccezionale	0	1.5E3	0	0	0	0	1464	1038	Eccezionale	0	1.5E3	0	0	0	0
1465	1037	Eccezionale	0	1.5E3	0	0	0	0	1466	1036	Eccezionale	0	737.5	0	0	0	0
1467	1060	Eccezionale	0	737.5	0	0	0	0	1468	1059	Eccezionale	0	1.5E3	0	0	0	0
1469	1058	Eccezionale	0	1.5E3	0	0	0	0	1470	1057	Eccezionale	0	1.5E3	0	0	0	0
1471	1056	Eccezionale	0	1.5E3	0	0	0	0	1472	1055	Eccezionale	0	1.5E3	0	0	0	0
1473	1054	Eccezionale	0	1.5E3	0	0	0	0	1474	1053	Eccezionale	0	1.5E3	0	0	0	0
1475	1052	Eccezionale	0	1.5E3	0	0	0	0	1476	1051	Eccezionale	0	1.5E3	0	0	0	0
1477	1050	Eccezionale	0	1.5E3	0	0	0	0	1478	1049	Eccezionale	0	1.5E3	0	0	0	0
1479	1048	Eccezionale	0	737.5	0	0	0	0	1480	1072	Eccezionale	0	737.5	0	0	0	0
1481	1071	Eccezionale	0	1.5E3	0	0	0	0	1482	1070	Eccezionale	0	1.5E3	0	0	0	0
1483	1069	Eccezionale	0	1.5E3	0	0	0	0	1484	1068	Eccezionale	0	1.5E3	0	0	0	0
1485	1067	Eccezionale	0	1.5E3	0	0	0	0	1486	1066	Eccezionale	0	1.5E3	0	0	0	0
1487	1065	Eccezionale	0	1.5E3	0	0	0	0	1488	1064	Eccezionale	0	1.5E3	0	0	0	0
1489	1063	Eccezionale	0	1.5E3	0	0	0	0	1490	1062	Eccezionale	0	1.5E3	0	0	0	0
1491	1061	Eccezionale	0	1.5E3	0	0	0	0	1492	1060	Eccezionale	0	737.5	0	0	0	0
1493	1081	Eccezionale	0	750	0	0	0	0	1494	1080	Eccezionale	0	1.5E3	0	0	0	0

Indice	Nodo	Condizione	Fx	Fy	Fz	Mx	My	Mz
1495	1079	Eccezionale	0	1.5E3	0	0	0	0
1497	1077	Eccezionale	0	1.5E3	0	0	0	0
1499	1075	Eccezionale	0	1.5E3	0	0	0	0
1501	1073	Eccezionale	0	1.5E3	0	0	0	0
1503	1084	Eccezionale	0	1.4E3	0	0	0	0
1505	1082	Eccezionale	0	1.4E3	0	0	0	0
1507	1096	Eccezionale	0	737.5	0	0	0	0
1509	1094	Eccezionale	0	1.5E3	0	0	0	0
1511	1092	Eccezionale	0	1.5E3	0	0	0	0
1513	1090	Eccezionale	0	1.5E3	0	0	0	0
1515	1088	Eccezionale	0	1.5E3	0	0	0	0
1517	1086	Eccezionale	0	1.5E3	0	0	0	0
1519	1108	Eccezionale	0	737.5	0	0	0	0
1521	1106	Eccezionale	0	1.5E3	0	0	0	0
1523	1104	Eccezionale	0	1.5E3	0	0	0	0
1525	1102	Eccezionale	0	1.5E3	0	0	0	0
1527	1100	Eccezionale	0	1.5E3	0	0	0	0
1529	1098	Eccezionale	0	1.5E3	0	0	0	0
1531	1096	Eccezionale	0	737.5	0	0	0	0
1533	1118	Eccezionale	0	1.5E3	0	0	0	0
1535	1116	Eccezionale	0	1.5E3	0	0	0	0
1537	1114	Eccezionale	0	1.5E3	0	0	0	0
1539	1112	Eccezionale	0	1.5E3	0	0	0	0
1541	1110	Eccezionale	0	1.5E3	0	0	0	0
1543	1108	Eccezionale	0	736.2	0	0	0	0
1545	330	Eccezionale	0	3600	0	0	0	0
1547	354	Eccezionale	0	3600	0	0	0	0
1549	378	Eccezionale	0	3600	0	0	0	0
1551	622	Rig. Ux	1	0	0	0	0	0
1553	622	Rig. Rz	0	0	0	0	0	1

Indice	Nodo	Condizione	Fx	Fy	Fz	Mx	My	Mz
1496	1078	Eccezionale	0	1.5E3	0	0	0	0
1498	1076	Eccezionale	0	1.5E3	0	0	0	0
1500	1074	Eccezionale	0	1.5E3	0	0	0	0
1502	1072	Eccezionale	0	750	0	0	0	0
1504	1083	Eccezionale	0	1.4E3	0	0	0	0
1506	1081	Eccezionale	0	700	0	0	0	0
1508	1095	Eccezionale	0	1.5E3	0	0	0	0
1510	1093	Eccezionale	0	1.5E3	0	0	0	0
1512	1091	Eccezionale	0	1.5E3	0	0	0	0
1514	1089	Eccezionale	0	1.5E3	0	0	0	0
1516	1087	Eccezionale	0	1.5E3	0	0	0	0
1518	1085	Eccezionale	0	1.5E3	0	0	0	0
1520	1107	Eccezionale	0	1.5E3	0	0	0	0
1522	1105	Eccezionale	0	1.5E3	0	0	0	0
1524	1103	Eccezionale	0	1.5E3	0	0	0	0
1526	1101	Eccezionale	0	1.5E3	0	0	0	0
1528	1099	Eccezionale	0	1.5E3	0	0	0	0
1530	1097	Eccezionale	0	1.5E3	0	0	0	0
1532	1119	Eccezionale	0	736.2	0	0	0	0
1534	1117	Eccezionale	0	1.5E3	0	0	0	0
1536	1115	Eccezionale	0	1.5E3	0	0	0	0
1538	1113	Eccezionale	0	1.5E3	0	0	0	0
1540	1111	Eccezionale	0	1.5E3	0	0	0	0
1542	1109	Eccezionale	0	1.5E3	0	0	0	0
1544	318	Eccezionale	0	3600	0	0	0	0
1546	342	Eccezionale	0	3600	0	0	0	0
1548	366	Eccezionale	0	3600	0	0	0	0
1550	390	Eccezionale	0	3600	0	0	0	0
1552	622	Rig. Uy	0	1	0	0	0	0

7.3 Carichi concentrati sismici

***Indice**: numero dell'elemento nell'insieme che lo contiene.*
***Nodo**: nodo su cui agisce il carico.*
***Condizione**: condizione elementare mappata nella quale agisce il carico.*
***Fx**: componente della forza lungo l'asse X. [daN]*
***Fy**: componente della forza lungo l'asse Y. [daN]*
***Fz**: componente della forza lungo l'asse Z. [daN]*
***Mz**: componente del momento attorno all'asse Z. [daN*cm]*
***Peso**: peso sismico. [daN]*
***γ**: coefficiente γ. Il valore è adimensionale.*

Indice	Nodo	Condizione	Fx	Fy	Fz	Mz	Peso	γ
1554	128	Sisma X SLV	11.8	0	0	0	6.6E1	1
1556	128	Eccentricità Y per sisma X SLV	0	0	0	-295	6.6E1	1
1558	128	Sisma X SLD	5	0	0	0	6.6E1	1
1560	128	Eccentricità Y per sisma X SLD	0	0	0	-1.3E2	6.6E1	1
1562	129	Sisma X SLV	17.7	0	0	0	99.28	1
1564	129	Eccentricità Y per sisma X SLV	0	0	0	-4.4E2	99.28	1
1566	129	Sisma X SLD	7.6	0	0	0	99.28	1
1568	129	Eccentricità Y per sisma X SLD	0	0	0	-1.9E2	99.28	1
1570	130	Sisma X SLV	138.5	0	0	0	7.8E2	1
1572	130	Eccentricità Y per sisma X SLV	0	0	0	-3.5E3	7.8E2	1
1574	130	Sisma X SLD	59.1	0	0	0	7.8E2	1
1576	130	Eccentricità Y per sisma X SLD	0	0	0	-1.5E3	7.8E2	1
1578	131	Sisma X SLV	49.4	0	0	0	2.8E2	1
1580	131	Eccentricità Y per sisma X SLV	0	0	0	-1.2E3	2.8E2	1
1582	131	Sisma X SLD	21.1	0	0	0	2.8E2	1
1584	131	Eccentricità Y per sisma X SLD	0	0	0	-5.3E2	2.8E2	1
1586	132	Sisma X SLV	49.4	0	0	0	2.8E2	1
1588	132	Eccentricità Y per sisma X SLV	0	0	0	-1.2E3	2.8E2	1
1590	132	Sisma X SLD	21.1	0	0	0	2.8E2	1
1592	132	Eccentricità Y per sisma X SLD	0	0	0	-5.3E2	2.8E2	1
1594	133	Sisma X SLV	49.4	0	0	0	2.8E2	1

Indice	Nodo	Condizione	Fx	Fy	Fz	Mz	Peso	γ
1555	128	Sisma Y SLV	0	11.8	0	0	6.6E1	1
1557	128	Eccentricità X per sisma Y SLV	0	0	0	2458	6.6E1	1
1559	128	Sisma Y SLD	0	4.7	0	0	6.6E1	1
1561	128	Eccentricità X per sisma Y SLD	0	0	0	969.3	6.6E1	1
1563	129	Sisma Y SLV	0	17.7	0	0	99.28	1
1565	129	Eccentricità X per sisma Y SLV	0	0	0	3.7E3	99.28	1
1567	129	Sisma Y SLD	0	7	0	0	99.28	1
1569	129	Eccentricità X per sisma Y SLD	0	0	0	1.5E3	99.28	1
1571	130	Sisma Y SLV	0	138.5	0	0	7.8E2	1
1573	130	Eccentricità X per sisma Y SLV	0	0	0	2.9E4	7.8E2	1
1575	130	Sisma Y SLD	0	54.6	0	0	7.8E2	1
1577	130	Eccentricità X per sisma Y SLD	0	0	0	1.1E4	7.8E2	1
1579	131	Sisma Y SLV	0	49.4	0	0	2.8E2	1
1581	131	Eccentricità X per sisma Y SLV	0	0	0	1.0E4	2.8E2	1
1583	131	Sisma Y SLD	0	19.5	0	0	2.8E2	1
1585	131	Eccentricità X per sisma Y SLD	0	0	0	4.1E3	2.8E2	1
1587	132	Sisma Y SLV	0	49.4	0	0	2.8E2	1
1589	132	Eccentricità X per sisma Y SLV	0	0	0	1.0E4	2.8E2	1
1591	132	Sisma Y SLD	0	19.5	0	0	2.8E2	1
1593	132	Eccentricità X per sisma Y SLD	0	0	0	4.1E3	2.8E2	1
1595	133	Sisma Y SLV	0	49.4	0	0	2.8E2	1

Indice	Nodo	Condizione	Fx	Fy	Fz	Mz	Peso	γ	Indice	Nodo	Condizione	Fx	Fy	Fz	Mz	Peso	γ
1596	133	Eccentricità Y per sisma X SLV	0	0	0	-1.2E3	2.8E2	1	1597	133	Eccentricità X per sisma Y SLV	0	0	0	1.0E4	2.8E2	1
1598	133	Sisma X SLD	21.1	0	0	0	2.8E2	1	1599	133	Sisma Y SLD	0	19.5	0	0	2.8E2	1
1600	133	Eccentricità Y per sisma X SLD	0	0	0	-5.3E2	2.8E2	1	1601	133	Eccentricità X per sisma Y SLD	0	0	0	4.1E3	2.8E2	1
1602	134	Sisma X SLV	49.4	0	0	0	2.8E2	1	1603	134	Sisma Y SLV	0	49.4	0	0	2.8E2	1
1604	134	Eccentricità Y per sisma X SLV	0	0	0	-1.2E3	2.8E2	1	1605	134	Eccentricità X per sisma Y SLV	0	0	0	1.0E4	2.8E2	1
1606	134	Sisma X SLD	21.1	0	0	0	2.8E2	1	1607	134	Sisma Y SLD	0	19.5	0	0	2.8E2	1
1608	134	Eccentricità Y per sisma X SLD	0	0	0	-5.3E2	2.8E2	1	1609	134	Eccentricità X per sisma Y SLD	0	0	0	4.1E3	2.8E2	1
1610	135	Sisma X SLV	49.4	0	0	0	2.8E2	1	1611	135	Sisma Y SLV	0	49.4	0	0	2.8E2	1
1612	135	Eccentricità Y per sisma X SLV	0	0	0	-1.2E3	2.8E2	1	1613	135	Eccentricità X per sisma Y SLV	0	0	0	1.0E4	2.8E2	1
1614	135	Sisma X SLD	21.1	0	0	0	2.8E2	1	1615	135	Sisma Y SLD	0	19.5	0	0	2.8E2	1
1616	135	Eccentricità Y per sisma X SLD	0	0	0	-5.3E2	2.8E2	1	1617	135	Eccentricità X per sisma Y SLD	0	0	0	4.1E3	2.8E2	1
1618	136	Sisma X SLV	49.4	0	0	0	2.8E2	1	1619	136	Sisma Y SLV	0	49.4	0	0	2.8E2	1
1620	136	Eccentricità Y per sisma X SLV	0	0	0	-1.2E3	2.8E2	1	1621	136	Eccentricità X per sisma Y SLV	0	0	0	1.0E4	2.8E2	1
1622	136	Sisma X SLD	21.1	0	0	0	2.8E2	1	1623	136	Sisma Y SLD	0	19.5	0	0	2.8E2	1
1624	136	Eccentricità Y per sisma X SLD	0	0	0	-5.3E2	2.8E2	1	1625	136	Eccentricità X per sisma Y SLD	0	0	0	4.1E3	2.8E2	1
1626	137	Sisma X SLV	49.4	0	0	0	2.8E2	1	1627	137	Sisma Y SLV	0	49.4	0	0	2.8E2	1
1628	137	Eccentricità Y per sisma X SLV	0	0	0	-1.2E3	2.8E2	1	1629	137	Eccentricità X per sisma Y SLV	0	0	0	1.0E4	2.8E2	1
1630	137	Sisma X SLD	21.1	0	0	0	2.8E2	1	1631	137	Sisma Y SLD	0	19.5	0	0	2.8E2	1
1632	137	Eccentricità Y per sisma X SLD	0	0	0	-5.3E2	2.8E2	1	1633	137	Eccentricità X per sisma Y SLD	0	0	0	4.1E3	2.8E2	1
1634	138	Sisma X SLV	49.4	0	0	0	2.8E2	1	1635	138	Sisma Y SLV	0	49.4	0	0	2.8E2	1
1636	138	Eccentricità Y per sisma X SLV	0	0	0	-1.2E3	2.8E2	1	1637	138	Eccentricità X per sisma Y SLV	0	0	0	1.0E4	2.8E2	1
1638	138	Sisma X SLD	21.1	0	0	0	2.8E2	1	1639	138	Sisma Y SLD	0	19.5	0	0	2.8E2	1
1640	138	Eccentricità Y per sisma X SLD	0	0	0	-5.3E2	2.8E2	1	1641	138	Eccentricità X per sisma Y SLD	0	0	0	4.1E3	2.8E2	1
1642	139	Sisma X SLV	49.4	0	0	0	2.8E2	1	1643	139	Sisma Y SLV	0	49.4	0	0	2.8E2	1
1644	139	Eccentricità Y per sisma X SLV	0	0	0	-1.2E3	2.8E2	1	1645	139	Eccentricità X per sisma Y SLV	0	0	0	1.0E4	2.8E2	1
1646	139	Sisma X SLD	21.1	0	0	0	2.8E2	1	1647	139	Sisma Y SLD	0	19.5	0	0	2.8E2	1
1648	139	Eccentricità Y per sisma X SLD	0	0	0	-5.3E2	2.8E2	1	1649	139	Eccentricità X per sisma Y SLD	0	0	0	4.1E3	2.8E2	1
1650	140	Sisma X SLV	49.4	0	0	0	2.8E2	1	1651	140	Sisma Y SLV	0	49.4	0	0	2.8E2	1
1652	140	Eccentricità Y per sisma X SLV	0	0	0	-1.2E3	2.8E2	1	1653	140	Eccentricità X per sisma Y SLV	0	0	0	1.0E4	2.8E2	1
1654	140	Sisma X SLD	21.1	0	0	0	2.8E2	1	1655	140	Sisma Y SLD	0	19.5	0	0	2.8E2	1
1656	140	Eccentricità Y per sisma X SLD	0	0	0	-5.3E2	2.8E2	1	1657	140	Eccentricità X per sisma Y SLD	0	0	0	4.1E3	2.8E2	1
1658	141	Sisma X SLV	49.4	0	0	0	2.8E2	1	1659	141	Sisma Y SLV	0	49.4	0	0	2.8E2	1
1660	141	Eccentricità Y per sisma X SLV	0	0	0	-1.2E3	2.8E2	1	1661	141	Eccentricità X per sisma Y SLV	0	0	0	1.0E4	2.8E2	1
1662	141	Sisma X SLD	21.1	0	0	0	2.8E2	1	1663	141	Sisma Y SLD	0	19.5	0	0	2.8E2	1
1664	141	Eccentricità Y per sisma X SLD	0	0	0	-5.3E2	2.8E2	1	1665	141	Eccentricità X per sisma Y SLD	0	0	0	4.1E3	2.8E2	1
1666	142	Sisma X SLV	149.9	0	0	0	8.4E2	1	1667	142	Sisma Y SLV	0	149.9	0	0	8.4E2	1
1668	142	Eccentricità Y per sisma X SLV	0	0	0	-3.7E3	8.4E2	1	1669	142	Eccentricità X per sisma Y SLV	0	0	0	31171	8.4E2	1
1670	142	Sisma X SLD	63.9	0	0	0	8.4E2	1	1671	142	Sisma Y SLD	0	59.1	0	0	8.4E2	1
1672	142	Eccentricità Y per sisma X SLD	0	0	0	-1.6E3	8.4E2	1	1673	142	Eccentricità X per sisma Y SLD	0	0	0	1.2E4	8.4E2	1
1674	143	Sisma X SLV	49.4	0	0	0	2.8E2	1	1675	143	Sisma Y SLV	0	49.4	0	0	2.8E2	1
1676	143	Eccentricità Y per sisma X SLV	0	0	0	-1.2E3	2.8E2	1	1677	143	Eccentricità X per sisma Y SLV	0	0	0	1.0E4	2.8E2	1
1678	143	Sisma X SLD	21.1	0	0	0	2.8E2	1	1679	143	Sisma Y SLD	0	19.5	0	0	2.8E2	1
1680	143	Eccentricità Y per sisma X SLD	0	0	0	-5.3E2	2.8E2	1	1681	143	Eccentricità X per sisma Y SLD	0	0	0	4.1E3	2.8E2	1
1682	144	Sisma X SLV	49.4	0	0	0	2.8E2	1	1683	144	Sisma Y SLV	0	49.4	0	0	2.8E2	1
1684	144	Eccentricità Y per sisma X SLV	0	0	0	-1.2E3	2.8E2	1	1685	144	Eccentricità X per sisma Y SLV	0	0	0	1.0E4	2.8E2	1
1686	144	Sisma X SLD	21.1	0	0	0	2.8E2	1	1687	144	Sisma Y SLD	0	19.5	0	0	2.8E2	1

Indice	Nodo	Condizione	Fx	Fy	Fz	Mz	Peso	γ	Indice	Nodo	Condizione	Fx	Fy	Fz	Mz	Peso	γ
1688	144	Eccentricità Y per sisma X SLD	0	0	0	-5.3E2	2.8E2	1	1689	144	Eccentricità X per sisma Y SLD	0	0	0	4.1E3	2.8E2	1
1690	145	Sisma X SLV	49.4	0	0	0	2.8E2	1	1691	145	Sisma Y SLV	0	49.4	0	0	2.8E2	1
1692	145	Eccentricità Y per sisma X SLV	0	0	0	-1.2E3	2.8E2	1	1693	145	Eccentricità X per sisma Y SLV	0	0	0	1.0E4	2.8E2	1
1694	145	Sisma X SLD	21.1	0	0	0	2.8E2	1	1695	145	Sisma Y SLD	0	19.5	0	0	2.8E2	1
1696	145	Eccentricità Y per sisma X SLD	0	0	0	-5.3E2	2.8E2	1	1697	145	Eccentricità X per sisma Y SLD	0	0	0	4.1E3	2.8E2	1
1698	146	Sisma X SLV	49.4	0	0	0	2.8E2	1	1699	146	Sisma Y SLV	0	49.4	0	0	2.8E2	1
1700	146	Eccentricità Y per sisma X SLV	0	0	0	-1.2E3	2.8E2	1	1701	146	Eccentricità X per sisma Y SLV	0	0	0	1.0E4	2.8E2	1
1702	146	Sisma X SLD	21.1	0	0	0	2.8E2	1	1703	146	Sisma Y SLD	0	19.5	0	0	2.8E2	1
1704	146	Eccentricità Y per sisma X SLD	0	0	0	-5.3E2	2.8E2	1	1705	146	Eccentricità X per sisma Y SLD	0	0	0	4.1E3	2.8E2	1
1706	147	Sisma X SLV	49.4	0	0	0	2.8E2	1	1707	147	Sisma Y SLV	0	49.4	0	0	2.8E2	1
1708	147	Eccentricità Y per sisma X SLV	0	0	0	-1.2E3	2.8E2	1	1709	147	Eccentricità X per sisma Y SLV	0	0	0	1.0E4	2.8E2	1
1710	147	Sisma X SLD	21.1	0	0	0	2.8E2	1	1711	147	Sisma Y SLD	0	19.5	0	0	2.8E2	1
1712	147	Eccentricità Y per sisma X SLD	0	0	0	-5.3E2	2.8E2	1	1713	147	Eccentricità X per sisma Y SLD	0	0	0	4.1E3	2.8E2	1
1714	148	Sisma X SLV	49.4	0	0	0	2.8E2	1	1715	148	Sisma Y SLV	0	49.4	0	0	2.8E2	1
1716	148	Eccentricità Y per sisma X SLV	0	0	0	-1.2E3	2.8E2	1	1717	148	Eccentricità X per sisma Y SLV	0	0	0	1.0E4	2.8E2	1
1718	148	Sisma X SLD	21.1	0	0	0	2.8E2	1	1719	148	Sisma Y SLD	0	19.5	0	0	2.8E2	1
1720	148	Eccentricità Y per sisma X SLD	0	0	0	-5.3E2	2.8E2	1	1721	148	Eccentricità X per sisma Y SLD	0	0	0	4.1E3	2.8E2	1
1722	149	Sisma X SLV	49.4	0	0	0	2.8E2	1	1723	149	Sisma Y SLV	0	49.4	0	0	2.8E2	1
1724	149	Eccentricità Y per sisma X SLV	0	0	0	-1.2E3	2.8E2	1	1725	149	Eccentricità X per sisma Y SLV	0	0	0	1.0E4	2.8E2	1
1726	149	Sisma X SLD	21.1	0	0	0	2.8E2	1	1727	149	Sisma Y SLD	0	19.5	0	0	2.8E2	1
1728	149	Eccentricità Y per sisma X SLD	0	0	0	-5.3E2	2.8E2	1	1729	149	Eccentricità X per sisma Y SLD	0	0	0	4.1E3	2.8E2	1
1730	150	Sisma X SLV	49.4	0	0	0	2.8E2	1	1731	150	Sisma Y SLV	0	49.4	0	0	2.8E2	1
1732	150	Eccentricità Y per sisma X SLV	0	0	0	-1.2E3	2.8E2	1	1733	150	Eccentricità X per sisma Y SLV	0	0	0	1.0E4	2.8E2	1
1734	150	Sisma X SLD	21.1	0	0	0	2.8E2	1	1735	150	Sisma Y SLD	0	19.5	0	0	2.8E2	1
1736	150	Eccentricità Y per sisma X SLD	0	0	0	-5.3E2	2.8E2	1	1737	150	Eccentricità X per sisma Y SLD	0	0	0	4.1E3	2.8E2	1
1738	151	Sisma X SLV	49.4	0	0	0	2.8E2	1	1739	151	Sisma Y SLV	0	49.4	0	0	2.8E2	1
1740	151	Eccentricità Y per sisma X SLV	0	0	0	-1.2E3	2.8E2	1	1741	151	Eccentricità X per sisma Y SLV	0	0	0	1.0E4	2.8E2	1
1742	151	Sisma X SLD	21.1	0	0	0	2.8E2	1	1743	151	Sisma Y SLD	0	19.5	0	0	2.8E2	1
1744	151	Eccentricità Y per sisma X SLD	0	0	0	-5.3E2	2.8E2	1	1745	151	Eccentricità X per sisma Y SLD	0	0	0	4.1E3	2.8E2	1
1746	152	Sisma X SLV	49.4	0	0	0	2.8E2	1	1747	152	Sisma Y SLV	0	49.4	0	0	2.8E2	1
1748	152	Eccentricità Y per sisma X SLV	0	0	0	-1.2E3	2.8E2	1	1749	152	Eccentricità X per sisma Y SLV	0	0	0	1.0E4	2.8E2	1
1750	152	Sisma X SLD	21.1	0	0	0	2.8E2	1	1751	152	Sisma Y SLD	0	19.5	0	0	2.8E2	1
1752	152	Eccentricità Y per sisma X SLD	0	0	0	-5.3E2	2.8E2	1	1753	152	Eccentricità X per sisma Y SLD	0	0	0	4.1E3	2.8E2	1
1754	153	Sisma X SLV	49.4	0	0	0	2.8E2	1	1755	153	Sisma Y SLV	0	49.4	0	0	2.8E2	1
1756	153	Eccentricità Y per sisma X SLV	0	0	0	-1.2E3	2.8E2	1	1757	153	Eccentricità X per sisma Y SLV	0	0	0	1.0E4	2.8E2	1
1758	153	Sisma X SLD	21.1	0	0	0	2.8E2	1	1759	153	Sisma Y SLD	0	19.5	0	0	2.8E2	1
1760	153	Eccentricità Y per sisma X SLD	0	0	0	-5.3E2	2.8E2	1	1761	153	Eccentricità X per sisma Y SLD	0	0	0	4.1E3	2.8E2	1
1762	154	Sisma X SLV	149.9	0	0	0	8.4E2	1	1763	154	Sisma Y SLV	0	149.9	0	0	8.4E2	1
1764	154	Eccentricità Y per sisma X SLV	0	0	0	-3.7E3	8.4E2	1	1765	154	Eccentricità X per sisma Y SLV	0	0	0	31171	8.4E2	1
1766	154	Sisma X SLD	63.9	0	0	0	8.4E2	1	1767	154	Sisma Y SLD	0	59.1	0	0	8.4E2	1
1768	154	Eccentricità Y per sisma X SLD	0	0	0	-1.6E3	8.4E2	1	1769	154	Eccentricità X per sisma Y SLD	0	0	0	1.2E4	8.4E2	1
1770	155	Sisma X SLV	49.4	0	0	0	2.8E2	1	1771	155	Sisma Y SLV	0	49.4	0	0	2.8E2	1
1772	155	Eccentricità Y per sisma X SLV	0	0	0	-1.2E3	2.8E2	1	1773	155	Eccentricità X per sisma Y SLV	0	0	0	1.0E4	2.8E2	1
1774	155	Sisma X SLD	21.1	0	0	0	2.8E2	1	1775	155	Sisma Y SLD	0	19.5	0	0	2.8E2	1
1776	155	Eccentricità Y per sisma X SLD	0	0	0	-5.3E2	2.8E2	1	1777	155	Eccentricità X per sisma Y SLD	0	0	0	4.1E3	2.8E2	1
1778	156	Sisma X SLV	49.4	0	0	0	2.8E2	1	1779	156	Sisma Y SLV	0	49.4	0	0	2.8E2	1

Indice	Nodo	Condizione	Fx	Fy	Fz	Mz	Peso	γ	Indice	Nodo	Condizione	Fx	Fy	Fz	Mz	Peso	γ
1780	156	Eccentricità Y per sisma X SLV	0	0	0	-1.2E3	2.8E2	1	1781	156	Eccentricità X per sisma Y SLV	0	0	0	1.0E4	2.8E2	1
1782	156	Sisma X SLD	21.1	0	0	0	2.8E2	1	1783	156	Sisma Y SLD	0	19.5	0	0	2.8E2	1
1784	156	Eccentricità Y per sisma X SLD	0	0	0	-5.3E2	2.8E2	1	1785	156	Eccentricità X per sisma Y SLD	0	0	0	4.1E3	2.8E2	1
1786	157	Sisma X SLV	49.4	0	0	0	2.8E2	1	1787	157	Sisma Y SLV	0	49.4	0	0	2.8E2	1
1788	157	Eccentricità Y per sisma X SLV	0	0	0	-1.2E3	2.8E2	1	1789	157	Eccentricità X per sisma Y SLV	0	0	0	1.0E4	2.8E2	1
1790	157	Sisma X SLD	21.1	0	0	0	2.8E2	1	1791	157	Sisma Y SLD	0	19.5	0	0	2.8E2	1
1792	157	Eccentricità Y per sisma X SLD	0	0	0	-5.3E2	2.8E2	1	1793	157	Eccentricità X per sisma Y SLD	0	0	0	4.1E3	2.8E2	1
1794	158	Sisma X SLV	49.4	0	0	0	2.8E2	1	1795	158	Sisma Y SLV	0	49.4	0	0	2.8E2	1
1796	158	Eccentricità Y per sisma X SLV	0	0	0	-1.2E3	2.8E2	1	1797	158	Eccentricità X per sisma Y SLV	0	0	0	1.0E4	2.8E2	1
1798	158	Sisma X SLD	21.1	0	0	0	2.8E2	1	1799	158	Sisma Y SLD	0	19.5	0	0	2.8E2	1
1800	158	Eccentricità Y per sisma X SLD	0	0	0	-5.3E2	2.8E2	1	1801	158	Eccentricità X per sisma Y SLD	0	0	0	4.1E3	2.8E2	1
1802	159	Sisma X SLV	49.4	0	0	0	2.8E2	1	1803	159	Sisma Y SLV	0	49.4	0	0	2.8E2	1
1804	159	Eccentricità Y per sisma X SLV	0	0	0	-1.2E3	2.8E2	1	1805	159	Eccentricità X per sisma Y SLV	0	0	0	1.0E4	2.8E2	1
1806	159	Sisma X SLD	21.1	0	0	0	2.8E2	1	1807	159	Sisma Y SLD	0	19.5	0	0	2.8E2	1
1808	159	Eccentricità Y per sisma X SLD	0	0	0	-5.3E2	2.8E2	1	1809	159	Eccentricità X per sisma Y SLD	0	0	0	4.1E3	2.8E2	1
1810	160	Sisma X SLV	49.4	0	0	0	2.8E2	1	1811	160	Sisma Y SLV	0	49.4	0	0	2.8E2	1
1812	160	Eccentricità Y per sisma X SLV	0	0	0	-1.2E3	2.8E2	1	1813	160	Eccentricità X per sisma Y SLV	0	0	0	1.0E4	2.8E2	1
1814	160	Sisma X SLD	21.1	0	0	0	2.8E2	1	1815	160	Sisma Y SLD	0	19.5	0	0	2.8E2	1
1816	160	Eccentricità Y per sisma X SLD	0	0	0	-5.3E2	2.8E2	1	1817	160	Eccentricità X per sisma Y SLD	0	0	0	4.1E3	2.8E2	1
1818	161	Sisma X SLV	49.4	0	0	0	2.8E2	1	1819	161	Sisma Y SLV	0	49.4	0	0	2.8E2	1
1820	161	Eccentricità Y per sisma X SLV	0	0	0	-1.2E3	2.8E2	1	1821	161	Eccentricità X per sisma Y SLV	0	0	0	1.0E4	2.8E2	1
1822	161	Sisma X SLD	21.1	0	0	0	2.8E2	1	1823	161	Sisma Y SLD	0	19.5	0	0	2.8E2	1
1824	161	Eccentricità Y per sisma X SLD	0	0	0	-5.3E2	2.8E2	1	1825	161	Eccentricità X per sisma Y SLD	0	0	0	4.1E3	2.8E2	1
1826	162	Sisma X SLV	49.4	0	0	0	2.8E2	1	1827	162	Sisma Y SLV	0	49.4	0	0	2.8E2	1
1828	162	Eccentricità Y per sisma X SLV	0	0	0	-1.2E3	2.8E2	1	1829	162	Eccentricità X per sisma Y SLV	0	0	0	1.0E4	2.8E2	1
1830	162	Sisma X SLD	21.1	0	0	0	2.8E2	1	1831	162	Sisma Y SLD	0	19.5	0	0	2.8E2	1
1832	162	Eccentricità Y per sisma X SLD	0	0	0	-5.3E2	2.8E2	1	1833	162	Eccentricità X per sisma Y SLD	0	0	0	4.1E3	2.8E2	1
1834	163	Sisma X SLV	49.4	0	0	0	2.8E2	1	1835	163	Sisma Y SLV	0	49.4	0	0	2.8E2	1
1836	163	Eccentricità Y per sisma X SLV	0	0	0	-1.2E3	2.8E2	1	1837	163	Eccentricità X per sisma Y SLV	0	0	0	1.0E4	2.8E2	1
1838	163	Sisma X SLD	21.1	0	0	0	2.8E2	1	1839	163	Sisma Y SLD	0	19.5	0	0	2.8E2	1
1840	163	Eccentricità Y per sisma X SLD	0	0	0	-5.3E2	2.8E2	1	1841	163	Eccentricità X per sisma Y SLD	0	0	0	4.1E3	2.8E2	1
1842	164	Sisma X SLV	49.4	0	0	0	2.8E2	1	1843	164	Sisma Y SLV	0	49.4	0	0	2.8E2	1
1844	164	Eccentricità Y per sisma X SLV	0	0	0	-1.2E3	2.8E2	1	1845	164	Eccentricità X per sisma Y SLV	0	0	0	1.0E4	2.8E2	1
1846	164	Sisma X SLD	21.1	0	0	0	2.8E2	1	1847	164	Sisma Y SLD	0	19.5	0	0	2.8E2	1
1848	164	Eccentricità Y per sisma X SLD	0	0	0	-5.3E2	2.8E2	1	1849	164	Eccentricità X per sisma Y SLD	0	0	0	4.1E3	2.8E2	1
1850	165	Sisma X SLV	49.4	0	0	0	2.8E2	1	1851	165	Sisma Y SLV	0	49.4	0	0	2.8E2	1
1852	165	Eccentricità Y per sisma X SLV	0	0	0	-1.2E3	2.8E2	1	1853	165	Eccentricità X per sisma Y SLV	0	0	0	1.0E4	2.8E2	1
1854	165	Sisma X SLD	21.1	0	0	0	2.8E2	1	1855	165	Sisma Y SLD	0	19.5	0	0	2.8E2	1
1856	165	Eccentricità Y per sisma X SLD	0	0	0	-5.3E2	2.8E2	1	1857	165	Eccentricità X per sisma Y SLD	0	0	0	4.1E3	2.8E2	1
1858	166	Sisma X SLV	149.9	0	0	0	8.4E2	1	1859	166	Sisma Y SLV	0	149.9	0	0	8.4E2	1
1860	166	Eccentricità Y per sisma X SLV	0	0	0	-3.7E3	8.4E2	1	1861	166	Eccentricità X per sisma Y SLV	0	0	0	31171	8.4E2	1
1862	166	Sisma X SLD	63.9	0	0	0	8.4E2	1	1863	166	Sisma Y SLD	0	59.1	0	0	8.4E2	1
1864	166	Eccentricità Y per sisma X SLD	0	0	0	-1.6E3	8.4E2	1	1865	166	Eccentricità X per sisma Y SLD	0	0	0	1.2E4	8.4E2	1
1866	167	Sisma X SLV	49.4	0	0	0	2.8E2	1	1867	167	Sisma Y SLV	0	49.4	0	0	2.8E2	1
1868	167	Eccentricità Y per sisma X SLV	0	0	0	-1.2E3	2.8E2	1	1869	167	Eccentricità X per sisma Y SLV	0	0	0	1.0E4	2.8E2	1
1870	167	Sisma X SLD	21.1	0	0	0	2.8E2	1	1871	167	Sisma Y SLD	0	19.5	0	0	2.8E2	1

Indice	Nodo	Condizione	Fx	Fy	Fz	Mz	Peso	γ	Indice	Nodo	Condizione	Fx	Fy	Fz	Mz	Peso	γ
1872	167	Eccentricità Y per sisma X SLD	0	0	0	-5.3E2	2.8E2	1	1873	167	Eccentricità X per sisma Y SLD	0	0	0	4.1E3	2.8E2	1
1874	168	Sisma X SLV	49.4	0	0	0	2.8E2	1	1875	168	Sisma Y SLV	0	49.4	0	0	2.8E2	1
1876	168	Eccentricità Y per sisma X SLV	0	0	0	-1.2E3	2.8E2	1	1877	168	Eccentricità X per sisma Y SLV	0	0	0	1.0E4	2.8E2	1
1878	168	Sisma X SLD	21.1	0	0	0	2.8E2	1	1879	168	Sisma Y SLD	0	19.5	0	0	2.8E2	1
1880	168	Eccentricità Y per sisma X SLD	0	0	0	-5.3E2	2.8E2	1	1881	168	Eccentricità X per sisma Y SLD	0	0	0	4.1E3	2.8E2	1
1882	169	Sisma X SLV	49.4	0	0	0	2.8E2	1	1883	169	Sisma Y SLV	0	49.4	0	0	2.8E2	1
1884	169	Eccentricità Y per sisma X SLV	0	0	0	-1.2E3	2.8E2	1	1885	169	Eccentricità X per sisma Y SLV	0	0	0	1.0E4	2.8E2	1
1886	169	Sisma X SLD	21.1	0	0	0	2.8E2	1	1887	169	Sisma Y SLD	0	19.5	0	0	2.8E2	1
1888	169	Eccentricità Y per sisma X SLD	0	0	0	-5.3E2	2.8E2	1	1889	169	Eccentricità X per sisma Y SLD	0	0	0	4.1E3	2.8E2	1
1890	170	Sisma X SLV	49.4	0	0	0	2.8E2	1	1891	170	Sisma Y SLV	0	49.4	0	0	2.8E2	1
1892	170	Eccentricità Y per sisma X SLV	0	0	0	-1.2E3	2.8E2	1	1893	170	Eccentricità X per sisma Y SLV	0	0	0	1.0E4	2.8E2	1
1894	170	Sisma X SLD	21.1	0	0	0	2.8E2	1	1895	170	Sisma Y SLD	0	19.5	0	0	2.8E2	1
1896	170	Eccentricità Y per sisma X SLD	0	0	0	-5.3E2	2.8E2	1	1897	170	Eccentricità X per sisma Y SLD	0	0	0	4.1E3	2.8E2	1
1898	171	Sisma X SLV	49.4	0	0	0	2.8E2	1	1899	171	Sisma Y SLV	0	49.4	0	0	2.8E2	1
1900	171	Eccentricità Y per sisma X SLV	0	0	0	-1.2E3	2.8E2	1	1901	171	Eccentricità X per sisma Y SLV	0	0	0	1.0E4	2.8E2	1
1902	171	Sisma X SLD	21.1	0	0	0	2.8E2	1	1903	171	Sisma Y SLD	0	19.5	0	0	2.8E2	1
1904	171	Eccentricità Y per sisma X SLD	0	0	0	-5.3E2	2.8E2	1	1905	171	Eccentricità X per sisma Y SLD	0	0	0	4.1E3	2.8E2	1
1906	172	Sisma X SLV	49.4	0	0	0	2.8E2	1	1907	172	Sisma Y SLV	0	49.4	0	0	2.8E2	1
1908	172	Eccentricità Y per sisma X SLV	0	0	0	-1.2E3	2.8E2	1	1909	172	Eccentricità X per sisma Y SLV	0	0	0	1.0E4	2.8E2	1
1910	172	Sisma X SLD	21.1	0	0	0	2.8E2	1	1911	172	Sisma Y SLD	0	19.5	0	0	2.8E2	1
1912	172	Eccentricità Y per sisma X SLD	0	0	0	-5.3E2	2.8E2	1	1913	172	Eccentricità X per sisma Y SLD	0	0	0	4.1E3	2.8E2	1
1914	173	Sisma X SLV	49.4	0	0	0	2.8E2	1	1915	173	Sisma Y SLV	0	49.4	0	0	2.8E2	1
1916	173	Eccentricità Y per sisma X SLV	0	0	0	-1.2E3	2.8E2	1	1917	173	Eccentricità X per sisma Y SLV	0	0	0	1.0E4	2.8E2	1
1918	173	Sisma X SLD	21.1	0	0	0	2.8E2	1	1919	173	Sisma Y SLD	0	19.5	0	0	2.8E2	1
1920	173	Eccentricità Y per sisma X SLD	0	0	0	-5.3E2	2.8E2	1	1921	173	Eccentricità X per sisma Y SLD	0	0	0	4.1E3	2.8E2	1
1922	174	Sisma X SLV	49.4	0	0	0	2.8E2	1	1923	174	Sisma Y SLV	0	49.4	0	0	2.8E2	1
1924	174	Eccentricità Y per sisma X SLV	0	0	0	-1.2E3	2.8E2	1	1925	174	Eccentricità X per sisma Y SLV	0	0	0	1.0E4	2.8E2	1
1926	174	Sisma X SLD	21.1	0	0	0	2.8E2	1	1927	174	Sisma Y SLD	0	19.5	0	0	2.8E2	1
1928	174	Eccentricità Y per sisma X SLD	0	0	0	-5.3E2	2.8E2	1	1929	174	Eccentricità X per sisma Y SLD	0	0	0	4.1E3	2.8E2	1
1930	175	Sisma X SLV	49.4	0	0	0	2.8E2	1	1931	175	Sisma Y SLV	0	49.4	0	0	2.8E2	1
1932	175	Eccentricità Y per sisma X SLV	0	0	0	-1.2E3	2.8E2	1	1933	175	Eccentricità X per sisma Y SLV	0	0	0	1.0E4	2.8E2	1
1934	175	Sisma X SLD	21.1	0	0	0	2.8E2	1	1935	175	Sisma Y SLD	0	19.5	0	0	2.8E2	1
1936	175	Eccentricità Y per sisma X SLD	0	0	0	-5.3E2	2.8E2	1	1937	175	Eccentricità X per sisma Y SLD	0	0	0	4.1E3	2.8E2	1
1938	176	Sisma X SLV	49.4	0	0	0	2.8E2	1	1939	176	Sisma Y SLV	0	49.4	0	0	2.8E2	1
1940	176	Eccentricità Y per sisma X SLV	0	0	0	-1.2E3	2.8E2	1	1941	176	Eccentricità X per sisma Y SLV	0	0	0	1.0E4	2.8E2	1
1942	176	Sisma X SLD	21.1	0	0	0	2.8E2	1	1943	176	Sisma Y SLD	0	19.5	0	0	2.8E2	1
1944	176	Eccentricità Y per sisma X SLD	0	0	0	-5.3E2	2.8E2	1	1945	176	Eccentricità X per sisma Y SLD	0	0	0	4.1E3	2.8E2	1
1946	177	Sisma X SLV	49.4	0	0	0	2.8E2	1	1947	177	Sisma Y SLV	0	49.4	0	0	2.8E2	1
1948	177	Eccentricità Y per sisma X SLV	0	0	0	-1.2E3	2.8E2	1	1949	177	Eccentricità X per sisma Y SLV	0	0	0	1.0E4	2.8E2	1
1950	177	Sisma X SLD	21.1	0	0	0	2.8E2	1	1951	177	Sisma Y SLD	0	19.5	0	0	2.8E2	1
1952	177	Eccentricità Y per sisma X SLD	0	0	0	-5.3E2	2.8E2	1	1953	177	Eccentricità X per sisma Y SLD	0	0	0	4.1E3	2.8E2	1
1954	178	Sisma X SLV	149.9	0	0	0	8.4E2	1	1955	178	Sisma Y SLV	0	149.9	0	0	8.4E2	1
1956	178	Eccentricità Y per sisma X SLV	0	0	0	-3.7E3	8.4E2	1	1957	178	Eccentricità X per sisma Y SLV	0	0	0	31171	8.4E2	1
1958	178	Sisma X SLD	63.9	0	0	0	8.4E2	1	1959	178	Sisma Y SLD	0	59.1	0	0	8.4E2	1
1960	178	Eccentricità Y per sisma X SLD	0	0	0	-1.6E3	8.4E2	1	1961	178	Eccentricità X per sisma Y SLD	0	0	0	1.2E4	8.4E2	1
1962	179	Sisma X SLV	49.4	0	0	0	2.8E2	1	1963	179	Sisma Y SLV	0	49.4	0	0	2.8E2	1

Indice	Nodo	Condizione	Fx	Fy	Fz	Mz	Peso	γ	Indice	Nodo	Condizione	Fx	Fy	Fz	Mz	Peso	γ
1964	179	Eccentricità Y per sisma X SLV	0	0	0	-1.2E3	2.8E2	1	1965	179	Eccentricità X per sisma Y SLV	0	0	0	1.0E4	2.8E2	1
1966	179	Sisma X SLD	21.1	0	0	0	2.8E2	1	1967	179	Sisma Y SLD	0	19.5	0	0	2.8E2	1
1968	179	Eccentricità Y per sisma X SLD	0	0	0	-5.3E2	2.8E2	1	1969	179	Eccentricità X per sisma Y SLD	0	0	0	4.1E3	2.8E2	1
1970	180	Sisma X SLV	49.4	0	0	0	2.8E2	1	1971	180	Sisma Y SLV	0	49.4	0	0	2.8E2	1
1972	180	Eccentricità Y per sisma X SLV	0	0	0	-1.2E3	2.8E2	1	1973	180	Eccentricità X per sisma Y SLV	0	0	0	1.0E4	2.8E2	1
1974	180	Sisma X SLD	21.1	0	0	0	2.8E2	1	1975	180	Sisma Y SLD	0	19.5	0	0	2.8E2	1
1976	180	Eccentricità Y per sisma X SLD	0	0	0	-5.3E2	2.8E2	1	1977	180	Eccentricità X per sisma Y SLD	0	0	0	4.1E3	2.8E2	1
1978	181	Sisma X SLV	49.4	0	0	0	2.8E2	1	1979	181	Sisma Y SLV	0	49.4	0	0	2.8E2	1
1980	181	Eccentricità Y per sisma X SLV	0	0	0	-1.2E3	2.8E2	1	1981	181	Eccentricità X per sisma Y SLV	0	0	0	1.0E4	2.8E2	1
1982	181	Sisma X SLD	21.1	0	0	0	2.8E2	1	1983	181	Sisma Y SLD	0	19.5	0	0	2.8E2	1
1984	181	Eccentricità Y per sisma X SLD	0	0	0	-5.3E2	2.8E2	1	1985	181	Eccentricità X per sisma Y SLD	0	0	0	4.1E3	2.8E2	1
1986	182	Sisma X SLV	49.4	0	0	0	2.8E2	1	1987	182	Sisma Y SLV	0	49.4	0	0	2.8E2	1
1988	182	Eccentricità Y per sisma X SLV	0	0	0	-1.2E3	2.8E2	1	1989	182	Eccentricità X per sisma Y SLV	0	0	0	1.0E4	2.8E2	1
1990	182	Sisma X SLD	21.1	0	0	0	2.8E2	1	1991	182	Sisma Y SLD	0	19.5	0	0	2.8E2	1
1992	182	Eccentricità Y per sisma X SLD	0	0	0	-5.3E2	2.8E2	1	1993	182	Eccentricità X per sisma Y SLD	0	0	0	4.1E3	2.8E2	1
1994	183	Sisma X SLV	49.4	0	0	0	2.8E2	1	1995	183	Sisma Y SLV	0	49.4	0	0	2.8E2	1
1996	183	Eccentricità Y per sisma X SLV	0	0	0	-1.2E3	2.8E2	1	1997	183	Eccentricità X per sisma Y SLV	0	0	0	1.0E4	2.8E2	1
1998	183	Sisma X SLD	21.1	0	0	0	2.8E2	1	1999	183	Sisma Y SLD	0	19.5	0	0	2.8E2	1
2000	183	Eccentricità Y per sisma X SLD	0	0	0	-5.3E2	2.8E2	1	2001	183	Eccentricità X per sisma Y SLD	0	0	0	4.1E3	2.8E2	1
2002	184	Sisma X SLV	49.4	0	0	0	2.8E2	1	2003	184	Sisma Y SLV	0	49.4	0	0	2.8E2	1
2004	184	Eccentricità Y per sisma X SLV	0	0	0	-1.2E3	2.8E2	1	2005	184	Eccentricità X per sisma Y SLV	0	0	0	1.0E4	2.8E2	1
2006	184	Sisma X SLD	21.1	0	0	0	2.8E2	1	2007	184	Sisma Y SLD	0	19.5	0	0	2.8E2	1
2008	184	Eccentricità Y per sisma X SLD	0	0	0	-5.3E2	2.8E2	1	2009	184	Eccentricità X per sisma Y SLD	0	0	0	4.1E3	2.8E2	1
2010	185	Sisma X SLV	49.4	0	0	0	2.8E2	1	2011	185	Sisma Y SLV	0	49.4	0	0	2.8E2	1
2012	185	Eccentricità Y per sisma X SLV	0	0	0	-1.2E3	2.8E2	1	2013	185	Eccentricità X per sisma Y SLV	0	0	0	1.0E4	2.8E2	1
2014	185	Sisma X SLD	21.1	0	0	0	2.8E2	1	2015	185	Sisma Y SLD	0	19.5	0	0	2.8E2	1
2016	185	Eccentricità Y per sisma X SLD	0	0	0	-5.3E2	2.8E2	1	2017	185	Eccentricità X per sisma Y SLD	0	0	0	4.1E3	2.8E2	1
2018	186	Sisma X SLV	49.4	0	0	0	2.8E2	1	2019	186	Sisma Y SLV	0	49.4	0	0	2.8E2	1
2020	186	Eccentricità Y per sisma X SLV	0	0	0	-1.2E3	2.8E2	1	2021	186	Eccentricità X per sisma Y SLV	0	0	0	1.0E4	2.8E2	1
2022	186	Sisma X SLD	21.1	0	0	0	2.8E2	1	2023	186	Sisma Y SLD	0	19.5	0	0	2.8E2	1
2024	186	Eccentricità Y per sisma X SLD	0	0	0	-5.3E2	2.8E2	1	2025	186	Eccentricità X per sisma Y SLD	0	0	0	4.1E3	2.8E2	1
2026	187	Sisma X SLV	49.4	0	0	0	2.8E2	1	2027	187	Sisma Y SLV	0	49.4	0	0	2.8E2	1
2028	187	Eccentricità Y per sisma X SLV	0	0	0	-1.2E3	2.8E2	1	2029	187	Eccentricità X per sisma Y SLV	0	0	0	1.0E4	2.8E2	1
2030	187	Sisma X SLD	21.1	0	0	0	2.8E2	1	2031	187	Sisma Y SLD	0	19.5	0	0	2.8E2	1
2032	187	Eccentricità Y per sisma X SLD	0	0	0	-5.3E2	2.8E2	1	2033	187	Eccentricità X per sisma Y SLD	0	0	0	4.1E3	2.8E2	1
2034	188	Sisma X SLV	49.4	0	0	0	2.8E2	1	2035	188	Sisma Y SLV	0	49.4	0	0	2.8E2	1
2036	188	Eccentricità Y per sisma X SLV	0	0	0	-1.2E3	2.8E2	1	2037	188	Eccentricità X per sisma Y SLV	0	0	0	1.0E4	2.8E2	1
2038	188	Sisma X SLD	21.1	0	0	0	2.8E2	1	2039	188	Sisma Y SLD	0	19.5	0	0	2.8E2	1
2040	188	Eccentricità Y per sisma X SLD	0	0	0	-5.3E2	2.8E2	1	2041	188	Eccentricità X per sisma Y SLD	0	0	0	4.1E3	2.8E2	1
2042	189	Sisma X SLV	49.4	0	0	0	2.8E2	1	2043	189	Sisma Y SLV	0	49.4	0	0	2.8E2	1
2044	189	Eccentricità Y per sisma X SLV	0	0	0	-1.2E3	2.8E2	1	2045	189	Eccentricità X per sisma Y SLV	0	0	0	1.0E4	2.8E2	1
2046	189	Sisma X SLD	21.1	0	0	0	2.8E2	1	2047	189	Sisma Y SLD	0	19.5	0	0	2.8E2	1
2048	189	Eccentricità Y per sisma X SLD	0	0	0	-5.3E2	2.8E2	1	2049	189	Eccentricità X per sisma Y SLD	0	0	0	4.1E3	2.8E2	1
2050	190	Sisma X SLV	149.9	0	0	0	8.4E2	1	2051	190	Sisma Y SLV	0	149.9	0	0	8.4E2	1
2052	190	Eccentricità Y per sisma X SLV	0	0	0	-3.7E3	8.4E2	1	2053	190	Eccentricità X per sisma Y SLV	0	0	0	31171	8.4E2	1
2054	190	Sisma X SLD	63.9	0	0	0	8.4E2	1	2055	190	Sisma Y SLD	0	59.1	0	0	8.4E2	1

Indice	Nodo	Condizione	Fx	Fy	Fz	Mz	Peso	γ	Indice	Nodo	Condizione	Fx	Fy	Fz	Mz	Peso	γ
2056	190	Eccentricità Y per sisma X SLD	0	0	0	-1.6E3	8.4E2	1	2057	190	Eccentricità X per sisma Y SLD	0	0	0	1.2E4	8.4E2	1
2058	191	Sisma X SLV	49.4	0	0	0	2.8E2	1	2059	191	Sisma Y SLV	0	49.4	0	0	2.8E2	1
2060	191	Eccentricità Y per sisma X SLV	0	0	0	-1.2E3	2.8E2	1	2061	191	Eccentricità X per sisma Y SLV	0	0	0	1.0E4	2.8E2	1
2062	191	Sisma X SLD	21.1	0	0	0	2.8E2	1	2063	191	Sisma Y SLD	0	19.5	0	0	2.8E2	1
2064	191	Eccentricità Y per sisma X SLD	0	0	0	-5.3E2	2.8E2	1	2065	191	Eccentricità X per sisma Y SLD	0	0	0	4.1E3	2.8E2	1
2066	192	Sisma X SLV	49.4	0	0	0	2.8E2	1	2067	192	Sisma Y SLV	0	49.4	0	0	2.8E2	1
2068	192	Eccentricità Y per sisma X SLV	0	0	0	-1.2E3	2.8E2	1	2069	192	Eccentricità X per sisma Y SLV	0	0	0	1.0E4	2.8E2	1
2070	192	Sisma X SLD	21.1	0	0	0	2.8E2	1	2071	192	Sisma Y SLD	0	19.5	0	0	2.8E2	1
2072	192	Eccentricità Y per sisma X SLD	0	0	0	-5.3E2	2.8E2	1	2073	192	Eccentricità X per sisma Y SLD	0	0	0	4.1E3	2.8E2	1
2074	193	Sisma X SLV	49.4	0	0	0	2.8E2	1	2075	193	Sisma Y SLV	0	49.4	0	0	2.8E2	1
2076	193	Eccentricità Y per sisma X SLV	0	0	0	-1.2E3	2.8E2	1	2077	193	Eccentricità X per sisma Y SLV	0	0	0	1.0E4	2.8E2	1
2078	193	Sisma X SLD	21.1	0	0	0	2.8E2	1	2079	193	Sisma Y SLD	0	19.5	0	0	2.8E2	1
2080	193	Eccentricità Y per sisma X SLD	0	0	0	-5.3E2	2.8E2	1	2081	193	Eccentricità X per sisma Y SLD	0	0	0	4.1E3	2.8E2	1
2082	194	Sisma X SLV	49.4	0	0	0	2.8E2	1	2083	194	Sisma Y SLV	0	49.4	0	0	2.8E2	1
2084	194	Eccentricità Y per sisma X SLV	0	0	0	-1.2E3	2.8E2	1	2085	194	Eccentricità X per sisma Y SLV	0	0	0	1.0E4	2.8E2	1
2086	194	Sisma X SLD	21.1	0	0	0	2.8E2	1	2087	194	Sisma Y SLD	0	19.5	0	0	2.8E2	1
2088	194	Eccentricità Y per sisma X SLD	0	0	0	-5.3E2	2.8E2	1	2089	194	Eccentricità X per sisma Y SLD	0	0	0	4.1E3	2.8E2	1
2090	195	Sisma X SLV	49.4	0	0	0	2.8E2	1	2091	195	Sisma Y SLV	0	49.4	0	0	2.8E2	1
2092	195	Eccentricità Y per sisma X SLV	0	0	0	-1.2E3	2.8E2	1	2093	195	Eccentricità X per sisma Y SLV	0	0	0	1.0E4	2.8E2	1
2094	195	Sisma X SLD	21.1	0	0	0	2.8E2	1	2095	195	Sisma Y SLD	0	19.5	0	0	2.8E2	1
2096	195	Eccentricità Y per sisma X SLD	0	0	0	-5.3E2	2.8E2	1	2097	195	Eccentricità X per sisma Y SLD	0	0	0	4.1E3	2.8E2	1
2098	196	Sisma X SLV	49.4	0	0	0	2.8E2	1	2099	196	Sisma Y SLV	0	49.4	0	0	2.8E2	1
2100	196	Eccentricità Y per sisma X SLV	0	0	0	-1.2E3	2.8E2	1	2101	196	Eccentricità X per sisma Y SLV	0	0	0	1.0E4	2.8E2	1
2102	196	Sisma X SLD	21.1	0	0	0	2.8E2	1	2103	196	Sisma Y SLD	0	19.5	0	0	2.8E2	1
2104	196	Eccentricità Y per sisma X SLD	0	0	0	-5.3E2	2.8E2	1	2105	196	Eccentricità X per sisma Y SLD	0	0	0	4.1E3	2.8E2	1
2106	197	Sisma X SLV	49.4	0	0	0	2.8E2	1	2107	197	Sisma Y SLV	0	49.4	0	0	2.8E2	1
2108	197	Eccentricità Y per sisma X SLV	0	0	0	-1.2E3	2.8E2	1	2109	197	Eccentricità X per sisma Y SLV	0	0	0	1.0E4	2.8E2	1
2110	197	Sisma X SLD	21.1	0	0	0	2.8E2	1	2111	197	Sisma Y SLD	0	19.5	0	0	2.8E2	1
2112	197	Eccentricità Y per sisma X SLD	0	0	0	-5.3E2	2.8E2	1	2113	197	Eccentricità X per sisma Y SLD	0	0	0	4.1E3	2.8E2	1
2114	198	Sisma X SLV	49.4	0	0	0	2.8E2	1	2115	198	Sisma Y SLV	0	49.4	0	0	2.8E2	1
2116	198	Eccentricità Y per sisma X SLV	0	0	0	-1.2E3	2.8E2	1	2117	198	Eccentricità X per sisma Y SLV	0	0	0	1.0E4	2.8E2	1
2118	198	Sisma X SLD	21.1	0	0	0	2.8E2	1	2119	198	Sisma Y SLD	0	19.5	0	0	2.8E2	1
2120	198	Eccentricità Y per sisma X SLD	0	0	0	-5.3E2	2.8E2	1	2121	198	Eccentricità X per sisma Y SLD	0	0	0	4.1E3	2.8E2	1
2122	199	Sisma X SLV	49.4	0	0	0	2.8E2	1	2123	199	Sisma Y SLV	0	49.4	0	0	2.8E2	1
2124	199	Eccentricità Y per sisma X SLV	0	0	0	-1.2E3	2.8E2	1	2125	199	Eccentricità X per sisma Y SLV	0	0	0	1.0E4	2.8E2	1
2126	199	Sisma X SLD	21.1	0	0	0	2.8E2	1	2127	199	Sisma Y SLD	0	19.5	0	0	2.8E2	1
2128	199	Eccentricità Y per sisma X SLD	0	0	0	-5.3E2	2.8E2	1	2129	199	Eccentricità X per sisma Y SLD	0	0	0	4.1E3	2.8E2	1
2130	200	Sisma X SLV	49.4	0	0	0	2.8E2	1	2131	200	Sisma Y SLV	0	49.4	0	0	2.8E2	1
2132	200	Eccentricità Y per sisma X SLV	0	0	0	-1.2E3	2.8E2	1	2133	200	Eccentricità X per sisma Y SLV	0	0	0	1.0E4	2.8E2	1
2134	200	Sisma X SLD	21.1	0	0	0	2.8E2	1	2135	200	Sisma Y SLD	0	19.5	0	0	2.8E2	1
2136	200	Eccentricità Y per sisma X SLD	0	0	0	-5.3E2	2.8E2	1	2137	200	Eccentricità X per sisma Y SLD	0	0	0	4.1E3	2.8E2	1
2138	201	Sisma X SLV	49.4	0	0	0	2.8E2	1	2139	201	Sisma Y SLV	0	49.4	0	0	2.8E2	1
2140	201	Eccentricità Y per sisma X SLV	0	0	0	-1.2E3	2.8E2	1	2141	201	Eccentricità X per sisma Y SLV	0	0	0	1.0E4	2.8E2	1
2142	201	Sisma X SLD	21.1	0	0	0	2.8E2	1	2143	201	Sisma Y SLD	0	19.5	0	0	2.8E2	1
2144	201	Eccentricità Y per sisma X SLD	0	0	0	-5.3E2	2.8E2	1	2145	201	Eccentricità X per sisma Y SLD	0	0	0	4.1E3	2.8E2	1
2146	202	Sisma X SLV	149.2	0	0	0	8.4E2	1	2147	202	Sisma Y SLV	0	149.2	0	0	8.4E2	1

Indice	Nodo	Condizione	Fx	Fy	Fz	Mz	Peso	γ
2148	202	Eccentricità Y per sisma X SLV	0	0	0	-3.7E3	8.4E2	1
2150	202	Sisma X SLD	63.6	0	0	0	8.4E2	1
2152	202	Eccentricità Y per sisma X SLD	0	0	0	-1.6E3	8.4E2	1
2154	203	Sisma X SLV	44.8	0	0	0	2.5E2	1
2156	203	Eccentricità Y per sisma X SLV	0	0	0	-1.1E3	2.5E2	1
2158	203	Sisma X SLD	19.1	0	0	0	2.5E2	1
2160	203	Eccentricità Y per sisma X SLD	0	0	0	-4.8E2	2.5E2	1
2162	204	Sisma X SLV	40.3	0	0	0	2.3E2	1
2164	204	Eccentricità Y per sisma X SLV	0	0	0	-1.0E3	2.3E2	1
2166	204	Sisma X SLD	17.2	0	0	0	2.3E2	1
2168	204	Eccentricità Y per sisma X SLD	0	0	0	-4.3E2	2.3E2	1
2170	205	Sisma X SLV	35.9	0	0	0	2.0E2	1
2172	205	Eccentricità Y per sisma X SLV	0	0	0	-9.0E2	2.0E2	1
2174	205	Sisma X SLD	15.3	0	0	0	2.0E2	1
2176	205	Eccentricità Y per sisma X SLD	0	0	0	-3.8E2	2.0E2	1
2178	206	Sisma X SLV	31.4	0	0	0	1.8E2	1
2180	206	Eccentricità Y per sisma X SLV	0	0	0	-7.8E2	1.8E2	1
2182	206	Sisma X SLD	13.4	0	0	0	1.8E2	1
2184	206	Eccentricità Y per sisma X SLD	0	0	0	-334	1.8E2	1
2186	207	Sisma X SLV	26.9	0	0	0	1.5E2	1
2188	207	Eccentricità Y per sisma X SLV	0	0	0	-6.7E2	1.5E2	1
2190	207	Sisma X SLD	11.5	0	0	0	1.5E2	1
2192	207	Eccentricità Y per sisma X SLD	0	0	0	-2.9E2	1.5E2	1
2194	208	Sisma X SLV	22.4	0	0	0	1.3E2	1
2196	208	Eccentricità Y per sisma X SLV	0	0	0	-5.6E2	1.3E2	1
2198	208	Sisma X SLD	9.6	0	0	0	1.3E2	1
2200	208	Eccentricità Y per sisma X SLD	0	0	0	-2.4E2	1.3E2	1
2202	209	Sisma X SLV	17.9	0	0	0	1.0E2	1
2204	209	Eccentricità Y per sisma X SLV	0	0	0	-4.5E2	1.0E2	1
2206	209	Sisma X SLD	7.6	0	0	0	1.0E2	1
2208	209	Eccentricità Y per sisma X SLD	0	0	0	-1.9E2	1.0E2	1
2210	210	Sisma X SLV	13.4	0	0	0	7.5E1	1
2212	210	Eccentricità Y per sisma X SLV	0	0	0	-3.4E2	7.5E1	1
2214	210	Sisma X SLD	5.7	0	0	0	7.5E1	1
2216	210	Eccentricità Y per sisma X SLD	0	0	0	-1.4E2	7.5E1	1
2218	211	Sisma X SLV	8.9	0	0	0	5.0E1	1
2220	211	Eccentricità Y per sisma X SLV	0	0	0	-2.2E2	5.0E1	1
2222	211	Sisma X SLD	3.8	0	0	0	5.0E1	1
2224	211	Eccentricità Y per sisma X SLD	0	0	0	-94.3	5.0E1	1
2226	212	Sisma X SLV	5.5	0	0	0	3.1E1	1
2228	212	Eccentricità Y per sisma X SLV	0	0	0	-1.4E2	3.1E1	1
2230	212	Sisma X SLD	2.4	0	0	0	3.1E1	1
2232	212	Eccentricità Y per sisma X SLD	0	0	0	-58.8	3.1E1	1
2234	213	Sisma X SLV	30	0	0	0	1.7E2	1
2236	213	Eccentricità Y per sisma X SLV	0	0	0	-7.5E2	1.7E2	1
2238	213	Sisma X SLD	12.8	0	0	0	1.7E2	1

Indice	Nodo	Condizione	Fx	Fy	Fz	Mz	Peso	γ
2149	202	Eccentricità X per sisma Y SLV	0	0	0	3.1E4	8.4E2	1
2151	202	Sisma Y SLD	0	58.9	0	0	8.4E2	1
2153	202	Eccentricità X per sisma Y SLD	0	0	0	1.2E4	8.4E2	1
2155	203	Sisma Y SLV	0	44.8	0	0	2.5E2	1
2157	203	Eccentricità X per sisma Y SLV	0	0	0	9.3E3	2.5E2	1
2159	203	Sisma Y SLD	0	17.7	0	0	2.5E2	1
2161	203	Eccentricità X per sisma Y SLD	0	0	0	3.7E3	2.5E2	1
2163	204	Sisma Y SLV	0	40.3	0	0	2.3E2	1
2165	204	Eccentricità X per sisma Y SLV	0	0	0	8.4E3	2.3E2	1
2167	204	Sisma Y SLD	0	15.9	0	0	2.3E2	1
2169	204	Eccentricità X per sisma Y SLD	0	0	0	3.3E3	2.3E2	1
2171	205	Sisma Y SLV	0	35.9	0	0	2.0E2	1
2173	205	Eccentricità X per sisma Y SLV	0	0	0	7.5E3	2.0E2	1
2175	205	Sisma Y SLD	0	14.1	0	0	2.0E2	1
2177	205	Eccentricità X per sisma Y SLD	0	0	0	2.9E3	2.0E2	1
2179	206	Sisma Y SLV	0	31.4	0	0	1.8E2	1
2181	206	Eccentricità X per sisma Y SLV	0	0	0	6.5E3	1.8E2	1
2183	206	Sisma Y SLD	0	12.4	0	0	1.8E2	1
2185	206	Eccentricità X per sisma Y SLD	0	0	0	2574	1.8E2	1
2187	207	Sisma Y SLV	0	26.9	0	0	1.5E2	1
2189	207	Eccentricità X per sisma Y SLV	0	0	0	5598	1.5E2	1
2191	207	Sisma Y SLD	0	10.6	0	0	1.5E2	1
2193	207	Eccentricità X per sisma Y SLD	0	0	0	2.2E3	1.5E2	1
2195	208	Sisma Y SLV	0	22.4	0	0	1.3E2	1
2197	208	Eccentricità X per sisma Y SLV	0	0	0	4.7E3	1.3E2	1
2199	208	Sisma Y SLD	0	8.8	0	0	1.3E2	1
2201	208	Eccentricità X per sisma Y SLD	0	0	0	1.8E3	1.3E2	1
2203	209	Sisma Y SLV	0	17.9	0	0	1.0E2	1
2205	209	Eccentricità X per sisma Y SLV	0	0	0	3729	1.0E2	1
2207	209	Sisma Y SLD	0	7.1	0	0	1.0E2	1
2209	209	Eccentricità X per sisma Y SLD	0	0	0	1.5E3	1.0E2	1
2211	210	Sisma Y SLV	0	13.4	0	0	7.5E1	1
2213	210	Eccentricità X per sisma Y SLV	0	0	0	2.8E3	7.5E1	1
2215	210	Sisma Y SLD	0	5.3	0	0	7.5E1	1
2217	210	Eccentricità X per sisma Y SLD	0	0	0	1.1E3	7.5E1	1
2219	211	Sisma Y SLV	0	8.9	0	0	5.0E1	1
2221	211	Eccentricità X per sisma Y SLV	0	0	0	1.8E3	5.0E1	1
2223	211	Sisma Y SLD	0	3.5	0	0	5.0E1	1
2225	211	Eccentricità X per sisma Y SLD	0	0	0	726.8	5.0E1	1
2227	212	Sisma Y SLV	0	5.5	0	0	3.1E1	1
2229	212	Eccentricità X per sisma Y SLV	0	0	0	1.1E3	3.1E1	1
2231	212	Sisma Y SLD	0	2.2	0	0	3.1E1	1
2233	212	Eccentricità X per sisma Y SLD	0	0	0	452.9	3.1E1	1
2235	213	Sisma Y SLV	0	30	0	0	1.7E2	1
2237	213	Eccentricità X per sisma Y SLV	0	0	0	6.2E3	1.7E2	1
2239	213	Sisma Y SLD	0	11.8	0	0	1.7E2	1

Indice	Nodo	Condizione	Fx	Fy	Fz	Mz	Peso	γ	Indice	Nodo	Condizione	Fx	Fy	Fz	Mz	Peso	γ
2240	213	Eccentricità Y per sisma X SLD	0	0	0	-3.2E2	1.7E2	1	2241	213	Eccentricità X per sisma Y SLD	0	0	0	2.5E3	1.7E2	1
2242	214	Sisma X SLV	10.2	0	0	0	56.98	1	2243	214	Sisma Y SLV	0	10.2	0	0	56.98	1
2244	214	Eccentricità Y per sisma X SLV	0	0	0	-2.5E2	56.98	1	2245	214	Eccentricità X per sisma Y SLV	0	0	0	2.1E3	56.98	1
2246	214	Sisma X SLD	4.3	0	0	0	56.98	1	2247	214	Sisma Y SLD	0	4	0	0	56.98	1
2248	214	Eccentricità Y per sisma X SLD	0	0	0	-1.1E2	56.98	1	2249	214	Eccentricità X per sisma Y SLD	0	0	0	834.2	56.98	1
2250	215	Sisma X SLV	17.6	0	0	0	9.9E1	1	2251	215	Sisma Y SLV	0	17.6	0	0	9.9E1	1
2252	215	Eccentricità Y per sisma X SLV	0	0	0	-4.4E2	9.9E1	1	2253	215	Eccentricità X per sisma Y SLV	0	0	0	3.7E3	9.9E1	1
2254	215	Sisma X SLD	7.5	0	0	0	9.9E1	1	2255	215	Sisma Y SLD	0	7	0	0	9.9E1	1
2256	215	Eccentricità Y per sisma X SLD	0	0	0	-1.9E2	9.9E1	1	2257	215	Eccentricità X per sisma Y SLD	0	0	0	1.4E3	9.9E1	1
2258	216	Sisma X SLV	54.9	0	0	0	3.1E2	1	2259	216	Sisma Y SLV	0	54.9	0	0	3.1E2	1
2260	216	Eccentricità Y per sisma X SLV	0	0	0	-1.4E3	3.1E2	1	2261	216	Eccentricità X per sisma Y SLV	0	0	0	11410	3.1E2	1
2262	216	Sisma X SLD	23.4	0	0	0	3.1E2	1	2263	216	Sisma Y SLD	0	21.6	0	0	3.1E2	1
2264	216	Eccentricità Y per sisma X SLD	0	0	0	-5.8E2	3.1E2	1	2265	216	Eccentricità X per sisma Y SLD	0	0	0	4.5E3	3.1E2	1
2266	217	Sisma X SLV	26.9	0	0	0	1.5E2	1	2267	217	Sisma Y SLV	0	26.9	0	0	1.5E2	1
2268	217	Eccentricità Y per sisma X SLV	0	0	0	-6.7E2	1.5E2	1	2269	217	Eccentricità X per sisma Y SLV	0	0	0	5.6E3	1.5E2	1
2270	217	Sisma X SLD	11.5	0	0	0	1.5E2	1	2271	217	Sisma Y SLD	0	10.6	0	0	1.5E2	1
2272	217	Eccentricità Y per sisma X SLD	0	0	0	-2.9E2	1.5E2	1	2273	217	Eccentricità X per sisma Y SLD	0	0	0	2.2E3	1.5E2	1
2274	218	Sisma X SLV	35.9	0	0	0	2.0E2	1	2275	218	Sisma Y SLV	0	35.9	0	0	2.0E2	1
2276	218	Eccentricità Y per sisma X SLV	0	0	0	-9.0E2	2.0E2	1	2277	218	Eccentricità X per sisma Y SLV	0	0	0	7.5E3	2.0E2	1
2278	218	Sisma X SLD	15.3	0	0	0	2.0E2	1	2279	218	Sisma Y SLD	0	14.1	0	0	2.0E2	1
2280	218	Eccentricità Y per sisma X SLD	0	0	0	-3.8E2	2.0E2	1	2281	218	Eccentricità X per sisma Y SLD	0	0	0	2.9E3	2.0E2	1
2282	219	Sisma X SLV	58.4	0	0	0	3.3E2	1	2283	219	Sisma Y SLV	0	58.4	0	0	3.3E2	1
2284	219	Eccentricità Y per sisma X SLV	0	0	0	-1.5E3	3.3E2	1	2285	219	Eccentricità X per sisma Y SLV	0	0	0	1.2E4	3.3E2	1
2286	219	Sisma X SLD	24.9	0	0	0	3.3E2	1	2287	219	Sisma Y SLD	0	23	0	0	3.3E2	1
2288	219	Eccentricità Y per sisma X SLD	0	0	0	-6.2E2	3.3E2	1	2289	219	Eccentricità X per sisma Y SLD	0	0	0	4.8E3	3.3E2	1
2290	220	Sisma X SLV	29.5	0	0	0	1.7E2	1	2291	220	Sisma Y SLV	0	29.5	0	0	1.7E2	1
2292	220	Eccentricità Y per sisma X SLV	0	0	0	-7.4E2	1.7E2	1	2293	220	Eccentricità X per sisma Y SLV	0	0	0	6.1E3	1.7E2	1
2294	220	Sisma X SLD	12.6	0	0	0	1.7E2	1	2295	220	Sisma Y SLD	0	11.6	0	0	1.7E2	1
2296	220	Eccentricità Y per sisma X SLD	0	0	0	-3.1E2	1.7E2	1	2297	220	Eccentricità X per sisma Y SLD	0	0	0	2.4E3	1.7E2	1
2298	221	Sisma X SLV	32.7	0	0	0	1.8E2	1	2299	221	Sisma Y SLV	0	32.7	0	0	1.8E2	1
2300	221	Eccentricità Y per sisma X SLV	0	0	0	-8.2E2	1.8E2	1	2301	221	Eccentricità X per sisma Y SLV	0	0	0	6.8E3	1.8E2	1
2302	221	Sisma X SLD	13.9	0	0	0	1.8E2	1	2303	221	Sisma Y SLD	0	12.9	0	0	1.8E2	1
2304	221	Eccentricità Y per sisma X SLD	0	0	0	-3.5E2	1.8E2	1	2305	221	Eccentricità X per sisma Y SLD	0	0	0	2.7E3	1.8E2	1
2306	222	Sisma X SLV	44.9	0	0	0	2.5E2	1	2307	222	Sisma Y SLV	0	44.9	0	0	2.5E2	1
2308	222	Eccentricità Y per sisma X SLV	0	0	0	-1.1E3	2.5E2	1	2309	222	Eccentricità X per sisma Y SLV	0	0	0	9.3E3	2.5E2	1
2310	222	Sisma X SLD	19.1	0	0	0	2.5E2	1	2311	222	Sisma Y SLD	0	17.7	0	0	2.5E2	1
2312	222	Eccentricità Y per sisma X SLD	0	0	0	-4.8E2	2.5E2	1	2313	222	Eccentricità X per sisma Y SLD	0	0	0	3.7E3	2.5E2	1
2314	223	Sisma X SLV	62	0	0	0	3.5E2	1	2315	223	Sisma Y SLV	0	62	0	0	3.5E2	1
2316	223	Eccentricità Y per sisma X SLV	0	0	0	-1.5E3	3.5E2	1	2317	223	Eccentricità X per sisma Y SLV	0	0	0	1.3E4	3.5E2	1
2318	223	Sisma X SLD	26.4	0	0	0	3.5E2	1	2319	223	Sisma Y SLD	0	24.5	0	0	3.5E2	1
2320	223	Eccentricità Y per sisma X SLD	0	0	0	-6.6E2	3.5E2	1	2321	223	Eccentricità X per sisma Y SLD	0	0	0	5.1E3	3.5E2	1
2322	224	Sisma X SLV	53.8	0	0	0	3.0E2	1	2323	224	Sisma Y SLV	0	53.8	0	0	3.0E2	1
2324	224	Eccentricità Y per sisma X SLV	0	0	0	-1.3E3	3.0E2	1	2325	224	Eccentricità X per sisma Y SLV	0	0	0	1.1E4	3.0E2	1
2326	224	Sisma X SLD	23	0	0	0	3.0E2	1	2327	224	Sisma Y SLD	0	21.2	0	0	3.0E2	1
2328	224	Eccentricità Y per sisma X SLD	0	0	0	-573	3.0E2	1	2329	224	Eccentricità X per sisma Y SLD	0	0	0	4.4E3	3.0E2	1
2330	225	Sisma X SLV	62.7	0	0	0	3.5E2	1	2331	225	Sisma Y SLV	0	62.7	0	0	3.5E2	1

Indice	Nodo	Condizione	Fx	Fy	Fz	Mz	Peso	γ	Indice	Nodo	Condizione	Fx	Fy	Fz	Mz	Peso	γ
2332	225	Eccentricità Y per sisma X SLV	0	0	0	-1566	3.5E2	1	2333	225	Eccentricità X per sisma Y SLV	0	0	0	1.3E4	3.5E2	1
2334	225	Sisma X SLD	26.7	0	0	0	3.5E2	1	2335	225	Sisma Y SLD	0	24.7	0	0	3.5E2	1
2336	225	Eccentricità Y per sisma X SLD	0	0	0	-6.7E2	3.5E2	1	2337	225	Eccentricità X per sisma Y SLD	0	0	0	5.1E3	3.5E2	1
2338	226	Sisma X SLV	65.6	0	0	0	3.7E2	1	2339	226	Sisma Y SLV	0	65.6	0	0	3.7E2	1
2340	226	Eccentricità Y per sisma X SLV	0	0	0	-1.6E3	3.7E2	1	2341	226	Eccentricità X per sisma Y SLV	0	0	0	1.4E4	3.7E2	1
2342	226	Sisma X SLD	28	0	0	0	3.7E2	1	2343	226	Sisma Y SLD	0	25.9	0	0	3.7E2	1
2344	226	Eccentricità Y per sisma X SLD	0	0	0	-7.0E2	3.7E2	1	2345	226	Eccentricità X per sisma Y SLD	0	0	0	5.4E3	3.7E2	1
2346	227	Sisma X SLV	71.8	0	0	0	4.0E2	1	2347	227	Sisma Y SLV	0	71.8	0	0	4.0E2	1
2348	227	Eccentricità Y per sisma X SLV	0	0	0	-1.8E3	4.0E2	1	2349	227	Eccentricità X per sisma Y SLV	0	0	0	1.5E4	4.0E2	1
2350	227	Sisma X SLD	30.6	0	0	0	4.0E2	1	2351	227	Sisma Y SLD	0	28.3	0	0	4.0E2	1
2352	227	Eccentricità Y per sisma X SLD	0	0	0	-7.6E2	4.0E2	1	2353	227	Eccentricità X per sisma Y SLD	0	0	0	5886	4.0E2	1
2354	228	Sisma X SLV	80.7	0	0	0	4.5E2	1	2355	228	Sisma Y SLV	0	80.7	0	0	4.5E2	1
2356	228	Eccentricità Y per sisma X SLV	0	0	0	-2.0E3	4.5E2	1	2357	228	Eccentricità X per sisma Y SLV	0	0	0	1.7E4	4.5E2	1
2358	228	Sisma X SLD	34.4	0	0	0	4.5E2	1	2359	228	Sisma Y SLD	0	31.8	0	0	4.5E2	1
2360	228	Eccentricità Y per sisma X SLD	0	0	0	-8.6E2	4.5E2	1	2361	228	Eccentricità X per sisma Y SLD	0	0	0	6.6E3	4.5E2	1
2362	229	Sisma X SLV	69.4	0	0	0	3.9E2	1	2363	229	Sisma Y SLV	0	69.4	0	0	3.9E2	1
2364	229	Eccentricità Y per sisma X SLV	0	0	0	-1.7E3	3.9E2	1	2365	229	Eccentricità X per sisma Y SLV	0	0	0	1.4E4	3.9E2	1
2366	229	Sisma X SLD	29.6	0	0	0	3.9E2	1	2367	229	Sisma Y SLD	0	27.4	0	0	3.9E2	1
2368	229	Eccentricità Y per sisma X SLD	0	0	0	-7.4E2	3.9E2	1	2369	229	Eccentricità X per sisma Y SLD	0	0	0	5.7E3	3.9E2	1
2370	230	Sisma X SLV	68.8	0	0	0	3.9E2	1	2371	230	Sisma Y SLV	0	68.8	0	0	3.9E2	1
2372	230	Eccentricità Y per sisma X SLV	0	0	0	-1.7E3	3.9E2	1	2373	230	Eccentricità X per sisma Y SLV	0	0	0	1.4E4	3.9E2	1
2374	230	Sisma X SLD	29.3	0	0	0	3.9E2	1	2375	230	Sisma Y SLD	0	27.1	0	0	3.9E2	1
2376	230	Eccentricità Y per sisma X SLD	0	0	0	-7.3E2	3.9E2	1	2377	230	Eccentricità X per sisma Y SLD	0	0	0	5.6E3	3.9E2	1
2378	231	Sisma X SLV	89	0	0	0	5.0E2	1	2379	231	Sisma Y SLV	0	89	0	0	5.0E2	1
2380	231	Eccentricità Y per sisma X SLV	0	0	0	-2222	5.0E2	1	2381	231	Eccentricità X per sisma Y SLV	0	0	0	1.9E4	5.0E2	1
2382	231	Sisma X SLD	37.9	0	0	0	5.0E2	1	2383	231	Sisma Y SLD	0	35.1	0	0	5.0E2	1
2384	231	Eccentricità Y per sisma X SLD	0	0	0	-9.5E2	5.0E2	1	2385	231	Eccentricità X per sisma Y SLD	0	0	0	7.3E3	5.0E2	1
2386	232	Sisma X SLV	280.3	0	0	0	1.6E3	1	2387	232	Sisma Y SLV	0	280.3	0	0	1.6E3	1
2388	232	Eccentricità Y per sisma X SLV	0	0	0	-7.0E3	1.6E3	1	2389	232	Eccentricità X per sisma Y SLV	0	0	0	5.8E4	1.6E3	1
2390	232	Sisma X SLD	119.5	0	0	0	1.6E3	1	2391	232	Sisma Y SLD	0	110.5	0	0	1.6E3	1
2392	232	Eccentricità Y per sisma X SLD	0	0	0	-2983	1.6E3	1	2393	232	Eccentricità X per sisma Y SLD	0	0	0	2.3E4	1.6E3	1
2394	233	Sisma X SLV	98.8	0	0	0	5.5E2	1	2395	233	Sisma Y SLV	0	98.8	0	0	5.5E2	1
2396	233	Eccentricità Y per sisma X SLV	0	0	0	-2.5E3	5.5E2	1	2397	233	Eccentricità X per sisma Y SLV	0	0	0	20549	5.5E2	1
2398	233	Sisma X SLD	42.1	0	0	0	5.5E2	1	2399	233	Sisma Y SLD	0	39	0	0	5.5E2	1
2400	233	Eccentricità Y per sisma X SLD	0	0	0	-1.1E3	5.5E2	1	2401	233	Eccentricità X per sisma Y SLD	0	0	0	8.1E3	5.5E2	1
2402	234	Sisma X SLV	98.8	0	0	0	5.5E2	1	2403	234	Sisma Y SLV	0	98.8	0	0	5.5E2	1
2404	234	Eccentricità Y per sisma X SLV	0	0	0	-2.5E3	5.5E2	1	2405	234	Eccentricità X per sisma Y SLV	0	0	0	20549	5.5E2	1
2406	234	Sisma X SLD	42.1	0	0	0	5.5E2	1	2407	234	Sisma Y SLD	0	39	0	0	5.5E2	1
2408	234	Eccentricità Y per sisma X SLD	0	0	0	-1.1E3	5.5E2	1	2409	234	Eccentricità X per sisma Y SLD	0	0	0	8.1E3	5.5E2	1
2410	235	Sisma X SLV	98.8	0	0	0	5.5E2	1	2411	235	Sisma Y SLV	0	98.8	0	0	5.5E2	1
2412	235	Eccentricità Y per sisma X SLV	0	0	0	-2.5E3	5.5E2	1	2413	235	Eccentricità X per sisma Y SLV	0	0	0	20549	5.5E2	1
2414	235	Sisma X SLD	42.1	0	0	0	5.5E2	1	2415	235	Sisma Y SLD	0	39	0	0	5.5E2	1
2416	235	Eccentricità Y per sisma X SLD	0	0	0	-1.1E3	5.5E2	1	2417	235	Eccentricità X per sisma Y SLD	0	0	0	8.1E3	5.5E2	1
2418	236	Sisma X SLV	98.8	0	0	0	5.5E2	1	2419	236	Sisma Y SLV	0	98.8	0	0	5.5E2	1
2420	236	Eccentricità Y per sisma X SLV	0	0	0	-2.5E3	5.5E2	1	2421	236	Eccentricità X per sisma Y SLV	0	0	0	20549	5.5E2	1
2422	236	Sisma X SLD	42.1	0	0	0	5.5E2	1	2423	236	Sisma Y SLD	0	39	0	0	5.5E2	1

Indice	Nodo	Condizione	Fx	Fy	Fz	Mz	Peso	γ	Indice	Nodo	Condizione	Fx	Fy	Fz	Mz	Peso	γ
2424	236	Eccentricità Y per sisma X SLD	0	0	0	-1.1E3	5.5E2	1	2425	236	Eccentricità X per sisma Y SLD	0	0	0	8.1E3	5.5E2	1
2426	237	Sisma X SLV	98.8	0	0	0	5.5E2	1	2427	237	Sisma Y SLV	0	98.8	0	0	5.5E2	1
2428	237	Eccentricità Y per sisma X SLV	0	0	0	-2.5E3	5.5E2	1	2429	237	Eccentricità X per sisma Y SLV	0	0	0	20549	5.5E2	1
2430	237	Sisma X SLD	42.1	0	0	0	5.5E2	1	2431	237	Sisma Y SLD	0	39	0	0	5.5E2	1
2432	237	Eccentricità Y per sisma X SLD	0	0	0	-1.1E3	5.5E2	1	2433	237	Eccentricità X per sisma Y SLD	0	0	0	8.1E3	5.5E2	1
2434	238	Sisma X SLV	98.8	0	0	0	5.5E2	1	2435	238	Sisma Y SLV	0	98.8	0	0	5.5E2	1
2436	238	Eccentricità Y per sisma X SLV	0	0	0	-2.5E3	5.5E2	1	2437	238	Eccentricità X per sisma Y SLV	0	0	0	20549	5.5E2	1
2438	238	Sisma X SLD	42.1	0	0	0	5.5E2	1	2439	238	Sisma Y SLD	0	39	0	0	5.5E2	1
2440	238	Eccentricità Y per sisma X SLD	0	0	0	-1.1E3	5.5E2	1	2441	238	Eccentricità X per sisma Y SLD	0	0	0	8.1E3	5.5E2	1
2442	239	Sisma X SLV	98.8	0	0	0	5.5E2	1	2443	239	Sisma Y SLV	0	98.8	0	0	5.5E2	1
2444	239	Eccentricità Y per sisma X SLV	0	0	0	-2.5E3	5.5E2	1	2445	239	Eccentricità X per sisma Y SLV	0	0	0	20549	5.5E2	1
2446	239	Sisma X SLD	42.1	0	0	0	5.5E2	1	2447	239	Sisma Y SLD	0	39	0	0	5.5E2	1
2448	239	Eccentricità Y per sisma X SLD	0	0	0	-1.1E3	5.5E2	1	2449	239	Eccentricità X per sisma Y SLD	0	0	0	8.1E3	5.5E2	1
2450	240	Sisma X SLV	98.8	0	0	0	5.5E2	1	2451	240	Sisma Y SLV	0	98.8	0	0	5.5E2	1
2452	240	Eccentricità Y per sisma X SLV	0	0	0	-2.5E3	5.5E2	1	2453	240	Eccentricità X per sisma Y SLV	0	0	0	20549	5.5E2	1
2454	240	Sisma X SLD	42.1	0	0	0	5.5E2	1	2455	240	Sisma Y SLD	0	39	0	0	5.5E2	1
2456	240	Eccentricità Y per sisma X SLD	0	0	0	-1.1E3	5.5E2	1	2457	240	Eccentricità X per sisma Y SLD	0	0	0	8.1E3	5.5E2	1
2458	241	Sisma X SLV	98.8	0	0	0	5.5E2	1	2459	241	Sisma Y SLV	0	98.8	0	0	5.5E2	1
2460	241	Eccentricità Y per sisma X SLV	0	0	0	-2.5E3	5.5E2	1	2461	241	Eccentricità X per sisma Y SLV	0	0	0	20549	5.5E2	1
2462	241	Sisma X SLD	42.1	0	0	0	5.5E2	1	2463	241	Sisma Y SLD	0	39	0	0	5.5E2	1
2464	241	Eccentricità Y per sisma X SLD	0	0	0	-1.1E3	5.5E2	1	2465	241	Eccentricità X per sisma Y SLD	0	0	0	8.1E3	5.5E2	1
2466	242	Sisma X SLV	98.8	0	0	0	5.5E2	1	2467	242	Sisma Y SLV	0	98.8	0	0	5.5E2	1
2468	242	Eccentricità Y per sisma X SLV	0	0	0	-2.5E3	5.5E2	1	2469	242	Eccentricità X per sisma Y SLV	0	0	0	20549	5.5E2	1
2470	242	Sisma X SLD	42.1	0	0	0	5.5E2	1	2471	242	Sisma Y SLD	0	39	0	0	5.5E2	1
2472	242	Eccentricità Y per sisma X SLD	0	0	0	-1.1E3	5.5E2	1	2473	242	Eccentricità X per sisma Y SLD	0	0	0	8.1E3	5.5E2	1
2474	243	Sisma X SLV	98.8	0	0	0	5.5E2	1	2475	243	Sisma Y SLV	0	98.8	0	0	5.5E2	1
2476	243	Eccentricità Y per sisma X SLV	0	0	0	-2.5E3	5.5E2	1	2477	243	Eccentricità X per sisma Y SLV	0	0	0	20549	5.5E2	1
2478	243	Sisma X SLD	42.1	0	0	0	5.5E2	1	2479	243	Sisma Y SLD	0	39	0	0	5.5E2	1
2480	243	Eccentricità Y per sisma X SLD	0	0	0	-1.1E3	5.5E2	1	2481	243	Eccentricità X per sisma Y SLD	0	0	0	8.1E3	5.5E2	1
2482	244	Sisma X SLV	299.7	0	0	0	1.7E3	1	2483	244	Sisma Y SLV	0	299.7	0	0	1.7E3	1
2484	244	Eccentricità Y per sisma X SLV	0	0	0	-7.5E3	1.7E3	1	2485	244	Eccentricità X per sisma Y SLV	0	0	0	6.2E4	1.7E3	1
2486	244	Sisma X SLD	127.8	0	0	0	1.7E3	1	2487	244	Sisma Y SLD	0	118.2	0	0	1.7E3	1
2488	244	Eccentricità Y per sisma X SLD	0	0	0	-3.2E3	1.7E3	1	2489	244	Eccentricità X per sisma Y SLD	0	0	0	2.5E4	1.7E3	1
2490	245	Sisma X SLV	98.8	0	0	0	5.5E2	1	2491	245	Sisma Y SLV	0	98.8	0	0	5.5E2	1
2492	245	Eccentricità Y per sisma X SLV	0	0	0	-2.5E3	5.5E2	1	2493	245	Eccentricità X per sisma Y SLV	0	0	0	20549	5.5E2	1
2494	245	Sisma X SLD	42.1	0	0	0	5.5E2	1	2495	245	Sisma Y SLD	0	39	0	0	5.5E2	1
2496	245	Eccentricità Y per sisma X SLD	0	0	0	-1.1E3	5.5E2	1	2497	245	Eccentricità X per sisma Y SLD	0	0	0	8.1E3	5.5E2	1
2498	246	Sisma X SLV	98.8	0	0	0	5.5E2	1	2499	246	Sisma Y SLV	0	98.8	0	0	5.5E2	1
2500	246	Eccentricità Y per sisma X SLV	0	0	0	-2.5E3	5.5E2	1	2501	246	Eccentricità X per sisma Y SLV	0	0	0	20549	5.5E2	1
2502	246	Sisma X SLD	42.1	0	0	0	5.5E2	1	2503	246	Sisma Y SLD	0	39	0	0	5.5E2	1
2504	246	Eccentricità Y per sisma X SLD	0	0	0	-1.1E3	5.5E2	1	2505	246	Eccentricità X per sisma Y SLD	0	0	0	8.1E3	5.5E2	1
2506	247	Sisma X SLV	98.8	0	0	0	5.5E2	1	2507	247	Sisma Y SLV	0	98.8	0	0	5.5E2	1
2508	247	Eccentricità Y per sisma X SLV	0	0	0	-2.5E3	5.5E2	1	2509	247	Eccentricità X per sisma Y SLV	0	0	0	20549	5.5E2	1
2510	247	Sisma X SLD	42.1	0	0	0	5.5E2	1	2511	247	Sisma Y SLD	0	39	0	0	5.5E2	1
2512	247	Eccentricità Y per sisma X SLD	0	0	0	-1.1E3	5.5E2	1	2513	247	Eccentricità X per sisma Y SLD	0	0	0	8.1E3	5.5E2	1
2514	248	Sisma X SLV	98.8	0	0	0	5.5E2	1	2515	248	Sisma Y SLV	0	98.8	0	0	5.5E2	1

Indice	Nodo	Condizione	Fx	Fy	Fz	Mz	Peso	γ	Indice	Nodo	Condizione	Fx	Fy	Fz	Mz	Peso	γ
2516	248	Eccentricità Y per sisma X SLV	0	0	0	-2.5E3	5.5E2	1	2517	248	Eccentricità X per sisma Y SLV	0	0	0	20549	5.5E2	1
2518	248	Sisma X SLD	42.1	0	0	0	5.5E2	1	2519	248	Sisma Y SLD	0	39	0	0	5.5E2	1
2520	248	Eccentricità Y per sisma X SLD	0	0	0	-1.1E3	5.5E2	1	2521	248	Eccentricità X per sisma Y SLD	0	0	0	8.1E3	5.5E2	1
2522	249	Sisma X SLV	98.8	0	0	0	5.5E2	1	2523	249	Sisma Y SLV	0	98.8	0	0	5.5E2	1
2524	249	Eccentricità Y per sisma X SLV	0	0	0	-2.5E3	5.5E2	1	2525	249	Eccentricità X per sisma Y SLV	0	0	0	20549	5.5E2	1
2526	249	Sisma X SLD	42.1	0	0	0	5.5E2	1	2527	249	Sisma Y SLD	0	39	0	0	5.5E2	1
2528	249	Eccentricità Y per sisma X SLD	0	0	0	-1.1E3	5.5E2	1	2529	249	Eccentricità X per sisma Y SLD	0	0	0	8.1E3	5.5E2	1
2530	250	Sisma X SLV	98.8	0	0	0	5.5E2	1	2531	250	Sisma Y SLV	0	98.8	0	0	5.5E2	1
2532	250	Eccentricità Y per sisma X SLV	0	0	0	-2.5E3	5.5E2	1	2533	250	Eccentricità X per sisma Y SLV	0	0	0	20549	5.5E2	1
2534	250	Sisma X SLD	42.1	0	0	0	5.5E2	1	2535	250	Sisma Y SLD	0	39	0	0	5.5E2	1
2536	250	Eccentricità Y per sisma X SLD	0	0	0	-1.1E3	5.5E2	1	2537	250	Eccentricità X per sisma Y SLD	0	0	0	8.1E3	5.5E2	1
2538	251	Sisma X SLV	98.8	0	0	0	5.5E2	1	2539	251	Sisma Y SLV	0	98.8	0	0	5.5E2	1
2540	251	Eccentricità Y per sisma X SLV	0	0	0	-2.5E3	5.5E2	1	2541	251	Eccentricità X per sisma Y SLV	0	0	0	20549	5.5E2	1
2542	251	Sisma X SLD	42.1	0	0	0	5.5E2	1	2543	251	Sisma Y SLD	0	39	0	0	5.5E2	1
2544	251	Eccentricità Y per sisma X SLD	0	0	0	-1.1E3	5.5E2	1	2545	251	Eccentricità X per sisma Y SLD	0	0	0	8.1E3	5.5E2	1
2546	252	Sisma X SLV	98.8	0	0	0	5.5E2	1	2547	252	Sisma Y SLV	0	98.8	0	0	5.5E2	1
2548	252	Eccentricità Y per sisma X SLV	0	0	0	-2.5E3	5.5E2	1	2549	252	Eccentricità X per sisma Y SLV	0	0	0	20549	5.5E2	1
2550	252	Sisma X SLD	42.1	0	0	0	5.5E2	1	2551	252	Sisma Y SLD	0	39	0	0	5.5E2	1
2552	252	Eccentricità Y per sisma X SLD	0	0	0	-1.1E3	5.5E2	1	2553	252	Eccentricità X per sisma Y SLD	0	0	0	8.1E3	5.5E2	1
2554	253	Sisma X SLV	98.8	0	0	0	5.5E2	1	2555	253	Sisma Y SLV	0	98.8	0	0	5.5E2	1
2556	253	Eccentricità Y per sisma X SLV	0	0	0	-2.5E3	5.5E2	1	2557	253	Eccentricità X per sisma Y SLV	0	0	0	20549	5.5E2	1
2558	253	Sisma X SLD	42.1	0	0	0	5.5E2	1	2559	253	Sisma Y SLD	0	39	0	0	5.5E2	1
2560	253	Eccentricità Y per sisma X SLD	0	0	0	-1.1E3	5.5E2	1	2561	253	Eccentricità X per sisma Y SLD	0	0	0	8.1E3	5.5E2	1
2562	254	Sisma X SLV	98.8	0	0	0	5.5E2	1	2563	254	Sisma Y SLV	0	98.8	0	0	5.5E2	1
2564	254	Eccentricità Y per sisma X SLV	0	0	0	-2.5E3	5.5E2	1	2565	254	Eccentricità X per sisma Y SLV	0	0	0	20549	5.5E2	1
2566	254	Sisma X SLD	42.1	0	0	0	5.5E2	1	2567	254	Sisma Y SLD	0	39	0	0	5.5E2	1
2568	254	Eccentricità Y per sisma X SLD	0	0	0	-1.1E3	5.5E2	1	2569	254	Eccentricità X per sisma Y SLD	0	0	0	8.1E3	5.5E2	1
2570	255	Sisma X SLV	98.8	0	0	0	5.5E2	1	2571	255	Sisma Y SLV	0	98.8	0	0	5.5E2	1
2572	255	Eccentricità Y per sisma X SLV	0	0	0	-2.5E3	5.5E2	1	2573	255	Eccentricità X per sisma Y SLV	0	0	0	20549	5.5E2	1
2574	255	Sisma X SLD	42.1	0	0	0	5.5E2	1	2575	255	Sisma Y SLD	0	39	0	0	5.5E2	1
2576	255	Eccentricità Y per sisma X SLD	0	0	0	-1.1E3	5.5E2	1	2577	255	Eccentricità X per sisma Y SLD	0	0	0	8.1E3	5.5E2	1
2578	256	Sisma X SLV	299.7	0	0	0	1.7E3	1	2579	256	Sisma Y SLV	0	299.7	0	0	1.7E3	1
2580	256	Eccentricità Y per sisma X SLV	0	0	0	-7.5E3	1.7E3	1	2581	256	Eccentricità X per sisma Y SLV	0	0	0	6.2E4	1.7E3	1
2582	256	Sisma X SLD	127.8	0	0	0	1.7E3	1	2583	256	Sisma Y SLD	0	118.2	0	0	1.7E3	1
2584	256	Eccentricità Y per sisma X SLD	0	0	0	-3.2E3	1.7E3	1	2585	256	Eccentricità X per sisma Y SLD	0	0	0	2.5E4	1.7E3	1
2586	257	Sisma X SLV	98.8	0	0	0	5.5E2	1	2587	257	Sisma Y SLV	0	98.8	0	0	5.5E2	1
2588	257	Eccentricità Y per sisma X SLV	0	0	0	-2.5E3	5.5E2	1	2589	257	Eccentricità X per sisma Y SLV	0	0	0	20549	5.5E2	1
2590	257	Sisma X SLD	42.1	0	0	0	5.5E2	1	2591	257	Sisma Y SLD	0	39	0	0	5.5E2	1
2592	257	Eccentricità Y per sisma X SLD	0	0	0	-1.1E3	5.5E2	1	2593	257	Eccentricità X per sisma Y SLD	0	0	0	8.1E3	5.5E2	1
2594	258	Sisma X SLV	98.8	0	0	0	5.5E2	1	2595	258	Sisma Y SLV	0	98.8	0	0	5.5E2	1
2596	258	Eccentricità Y per sisma X SLV	0	0	0	-2.5E3	5.5E2	1	2597	258	Eccentricità X per sisma Y SLV	0	0	0	20549	5.5E2	1
2598	258	Sisma X SLD	42.1	0	0	0	5.5E2	1	2599	258	Sisma Y SLD	0	39	0	0	5.5E2	1
2600	258	Eccentricità Y per sisma X SLD	0	0	0	-1.1E3	5.5E2	1	2601	258	Eccentricità X per sisma Y SLD	0	0	0	8.1E3	5.5E2	1
2602	259	Sisma X SLV	98.8	0	0	0	5.5E2	1	2603	259	Sisma Y SLV	0	98.8	0	0	5.5E2	1
2604	259	Eccentricità Y per sisma X SLV	0	0	0	-2.5E3	5.5E2	1	2605	259	Eccentricità X per sisma Y SLV	0	0	0	20549	5.5E2	1
2606	259	Sisma X SLD	42.1	0	0	0	5.5E2	1	2607	259	Sisma Y SLD	0	39	0	0	5.5E2	1

Indice	Nodo	Condizione	Fx	Fy	Fz	Mz	Peso	γ	Indice	Nodo	Condizione	Fx	Fy	Fz	Mz	Peso	γ
2608	259	Eccentricità Y per sisma X SLD	0	0	0	-1.1E3	5.5E2	1	2609	259	Eccentricità X per sisma Y SLD	0	0	0	8.1E3	5.5E2	1
2610	260	Sisma X SLV	98.8	0	0	0	5.5E2	1	2611	260	Sisma Y SLV	0	98.8	0	0	5.5E2	1
2612	260	Eccentricità Y per sisma X SLV	0	0	0	-2.5E3	5.5E2	1	2613	260	Eccentricità X per sisma Y SLV	0	0	0	20549	5.5E2	1
2614	260	Sisma X SLD	42.1	0	0	0	5.5E2	1	2615	260	Sisma Y SLD	0	39	0	0	5.5E2	1
2616	260	Eccentricità Y per sisma X SLD	0	0	0	-1.1E3	5.5E2	1	2617	260	Eccentricità X per sisma Y SLD	0	0	0	8.1E3	5.5E2	1
2618	261	Sisma X SLV	98.8	0	0	0	5.5E2	1	2619	261	Sisma Y SLV	0	98.8	0	0	5.5E2	1
2620	261	Eccentricità Y per sisma X SLV	0	0	0	-2.5E3	5.5E2	1	2621	261	Eccentricità X per sisma Y SLV	0	0	0	20549	5.5E2	1
2622	261	Sisma X SLD	42.1	0	0	0	5.5E2	1	2623	261	Sisma Y SLD	0	39	0	0	5.5E2	1
2624	261	Eccentricità Y per sisma X SLD	0	0	0	-1.1E3	5.5E2	1	2625	261	Eccentricità X per sisma Y SLD	0	0	0	8.1E3	5.5E2	1
2626	262	Sisma X SLV	98.8	0	0	0	5.5E2	1	2627	262	Sisma Y SLV	0	98.8	0	0	5.5E2	1
2628	262	Eccentricità Y per sisma X SLV	0	0	0	-2.5E3	5.5E2	1	2629	262	Eccentricità X per sisma Y SLV	0	0	0	20549	5.5E2	1
2630	262	Sisma X SLD	42.1	0	0	0	5.5E2	1	2631	262	Sisma Y SLD	0	39	0	0	5.5E2	1
2632	262	Eccentricità Y per sisma X SLD	0	0	0	-1.1E3	5.5E2	1	2633	262	Eccentricità X per sisma Y SLD	0	0	0	8.1E3	5.5E2	1
2634	263	Sisma X SLV	98.8	0	0	0	5.5E2	1	2635	263	Sisma Y SLV	0	98.8	0	0	5.5E2	1
2636	263	Eccentricità Y per sisma X SLV	0	0	0	-2.5E3	5.5E2	1	2637	263	Eccentricità X per sisma Y SLV	0	0	0	20549	5.5E2	1
2638	263	Sisma X SLD	42.1	0	0	0	5.5E2	1	2639	263	Sisma Y SLD	0	39	0	0	5.5E2	1
2640	263	Eccentricità Y per sisma X SLD	0	0	0	-1.1E3	5.5E2	1	2641	263	Eccentricità X per sisma Y SLD	0	0	0	8.1E3	5.5E2	1
2642	264	Sisma X SLV	98.8	0	0	0	5.5E2	1	2643	264	Sisma Y SLV	0	98.8	0	0	5.5E2	1
2644	264	Eccentricità Y per sisma X SLV	0	0	0	-2.5E3	5.5E2	1	2645	264	Eccentricità X per sisma Y SLV	0	0	0	20549	5.5E2	1
2646	264	Sisma X SLD	42.1	0	0	0	5.5E2	1	2647	264	Sisma Y SLD	0	39	0	0	5.5E2	1
2648	264	Eccentricità Y per sisma X SLD	0	0	0	-1.1E3	5.5E2	1	2649	264	Eccentricità X per sisma Y SLD	0	0	0	8.1E3	5.5E2	1
2650	265	Sisma X SLV	98.8	0	0	0	5.5E2	1	2651	265	Sisma Y SLV	0	98.8	0	0	5.5E2	1
2652	265	Eccentricità Y per sisma X SLV	0	0	0	-2.5E3	5.5E2	1	2653	265	Eccentricità X per sisma Y SLV	0	0	0	20549	5.5E2	1
2654	265	Sisma X SLD	42.1	0	0	0	5.5E2	1	2655	265	Sisma Y SLD	0	39	0	0	5.5E2	1
2656	265	Eccentricità Y per sisma X SLD	0	0	0	-1.1E3	5.5E2	1	2657	265	Eccentricità X per sisma Y SLD	0	0	0	8.1E3	5.5E2	1
2658	266	Sisma X SLV	98.8	0	0	0	5.5E2	1	2659	266	Sisma Y SLV	0	98.8	0	0	5.5E2	1
2660	266	Eccentricità Y per sisma X SLV	0	0	0	-2.5E3	5.5E2	1	2661	266	Eccentricità X per sisma Y SLV	0	0	0	20549	5.5E2	1
2662	266	Sisma X SLD	42.1	0	0	0	5.5E2	1	2663	266	Sisma Y SLD	0	39	0	0	5.5E2	1
2664	266	Eccentricità Y per sisma X SLD	0	0	0	-1.1E3	5.5E2	1	2665	266	Eccentricità X per sisma Y SLD	0	0	0	8.1E3	5.5E2	1
2666	267	Sisma X SLV	98.8	0	0	0	5.5E2	1	2667	267	Sisma Y SLV	0	98.8	0	0	5.5E2	1
2668	267	Eccentricità Y per sisma X SLV	0	0	0	-2.5E3	5.5E2	1	2669	267	Eccentricità X per sisma Y SLV	0	0	0	20549	5.5E2	1
2670	267	Sisma X SLD	42.1	0	0	0	5.5E2	1	2671	267	Sisma Y SLD	0	39	0	0	5.5E2	1
2672	267	Eccentricità Y per sisma X SLD	0	0	0	-1.1E3	5.5E2	1	2673	267	Eccentricità X per sisma Y SLD	0	0	0	8.1E3	5.5E2	1
2674	268	Sisma X SLV	299.7	0	0	0	1.7E3	1	2675	268	Sisma Y SLV	0	299.7	0	0	1.7E3	1
2676	268	Eccentricità Y per sisma X SLV	0	0	0	-7.5E3	1.7E3	1	2677	268	Eccentricità X per sisma Y SLV	0	0	0	6.2E4	1.7E3	1
2678	268	Sisma X SLD	127.8	0	0	0	1.7E3	1	2679	268	Sisma Y SLD	0	118.2	0	0	1.7E3	1
2680	268	Eccentricità Y per sisma X SLD	0	0	0	-3.2E3	1.7E3	1	2681	268	Eccentricità X per sisma Y SLD	0	0	0	2.5E4	1.7E3	1
2682	269	Sisma X SLV	98.8	0	0	0	5.5E2	1	2683	269	Sisma Y SLV	0	98.8	0	0	5.5E2	1
2684	269	Eccentricità Y per sisma X SLV	0	0	0	-2.5E3	5.5E2	1	2685	269	Eccentricità X per sisma Y SLV	0	0	0	20549	5.5E2	1
2686	269	Sisma X SLD	42.1	0	0	0	5.5E2	1	2687	269	Sisma Y SLD	0	39	0	0	5.5E2	1
2688	269	Eccentricità Y per sisma X SLD	0	0	0	-1.1E3	5.5E2	1	2689	269	Eccentricità X per sisma Y SLD	0	0	0	8.1E3	5.5E2	1
2690	270	Sisma X SLV	98.8	0	0	0	5.5E2	1	2691	270	Sisma Y SLV	0	98.8	0	0	5.5E2	1
2692	270	Eccentricità Y per sisma X SLV	0	0	0	-2.5E3	5.5E2	1	2693	270	Eccentricità X per sisma Y SLV	0	0	0	20549	5.5E2	1
2694	270	Sisma X SLD	42.1	0	0	0	5.5E2	1	2695	270	Sisma Y SLD	0	39	0	0	5.5E2	1
2696	270	Eccentricità Y per sisma X SLD	0	0	0	-1.1E3	5.5E2	1	2697	270	Eccentricità X per sisma Y SLD	0	0	0	8.1E3	5.5E2	1
2698	271	Sisma X SLV	98.8	0	0	0	5.5E2	1	2699	271	Sisma Y SLV	0	98.8	0	0	5.5E2	1

Indice	Nodo	Condizione	Fx	Fy	Fz	Mz	Peso	γ	Indice	Nodo	Condizione	Fx	Fy	Fz	Mz	Peso	γ
2700	271	Eccentricità Y per sisma X SLV	0	0	0	-2.5E3	5.5E2	1	2701	271	Eccentricità X per sisma Y SLV	0	0	0	20549	5.5E2	1
2702	271	Sisma X SLD	42.1	0	0	0	5.5E2	1	2703	271	Sisma Y SLD	0	39	0	0	5.5E2	1
2704	271	Eccentricità Y per sisma X SLD	0	0	0	-1.1E3	5.5E2	1	2705	271	Eccentricità X per sisma Y SLD	0	0	0	8.1E3	5.5E2	1
2706	272	Sisma X SLV	98.8	0	0	0	5.5E2	1	2707	272	Sisma Y SLV	0	98.8	0	0	5.5E2	1
2708	272	Eccentricità Y per sisma X SLV	0	0	0	-2.5E3	5.5E2	1	2709	272	Eccentricità X per sisma Y SLV	0	0	0	20549	5.5E2	1
2710	272	Sisma X SLD	42.1	0	0	0	5.5E2	1	2711	272	Sisma Y SLD	0	39	0	0	5.5E2	1
2712	272	Eccentricità Y per sisma X SLD	0	0	0	-1.1E3	5.5E2	1	2713	272	Eccentricità X per sisma Y SLD	0	0	0	8.1E3	5.5E2	1
2714	273	Sisma X SLV	98.8	0	0	0	5.5E2	1	2715	273	Sisma Y SLV	0	98.8	0	0	5.5E2	1
2716	273	Eccentricità Y per sisma X SLV	0	0	0	-2.5E3	5.5E2	1	2717	273	Eccentricità X per sisma Y SLV	0	0	0	20549	5.5E2	1
2718	273	Sisma X SLD	42.1	0	0	0	5.5E2	1	2719	273	Sisma Y SLD	0	39	0	0	5.5E2	1
2720	273	Eccentricità Y per sisma X SLD	0	0	0	-1.1E3	5.5E2	1	2721	273	Eccentricità X per sisma Y SLD	0	0	0	8.1E3	5.5E2	1
2722	274	Sisma X SLV	98.8	0	0	0	5.5E2	1	2723	274	Sisma Y SLV	0	98.8	0	0	5.5E2	1
2724	274	Eccentricità Y per sisma X SLV	0	0	0	-2.5E3	5.5E2	1	2725	274	Eccentricità X per sisma Y SLV	0	0	0	20549	5.5E2	1
2726	274	Sisma X SLD	42.1	0	0	0	5.5E2	1	2727	274	Sisma Y SLD	0	39	0	0	5.5E2	1
2728	274	Eccentricità Y per sisma X SLD	0	0	0	-1.1E3	5.5E2	1	2729	274	Eccentricità X per sisma Y SLD	0	0	0	8.1E3	5.5E2	1
2730	275	Sisma X SLV	98.8	0	0	0	5.5E2	1	2731	275	Sisma Y SLV	0	98.8	0	0	5.5E2	1
2732	275	Eccentricità Y per sisma X SLV	0	0	0	-2.5E3	5.5E2	1	2733	275	Eccentricità X per sisma Y SLV	0	0	0	20549	5.5E2	1
2734	275	Sisma X SLD	42.1	0	0	0	5.5E2	1	2735	275	Sisma Y SLD	0	39	0	0	5.5E2	1
2736	275	Eccentricità Y per sisma X SLD	0	0	0	-1.1E3	5.5E2	1	2737	275	Eccentricità X per sisma Y SLD	0	0	0	8.1E3	5.5E2	1
2738	276	Sisma X SLV	98.8	0	0	0	5.5E2	1	2739	276	Sisma Y SLV	0	98.8	0	0	5.5E2	1
2740	276	Eccentricità Y per sisma X SLV	0	0	0	-2.5E3	5.5E2	1	2741	276	Eccentricità X per sisma Y SLV	0	0	0	20549	5.5E2	1
2742	276	Sisma X SLD	42.1	0	0	0	5.5E2	1	2743	276	Sisma Y SLD	0	39	0	0	5.5E2	1
2744	276	Eccentricità Y per sisma X SLD	0	0	0	-1.1E3	5.5E2	1	2745	276	Eccentricità X per sisma Y SLD	0	0	0	8.1E3	5.5E2	1
2746	277	Sisma X SLV	98.8	0	0	0	5.5E2	1	2747	277	Sisma Y SLV	0	98.8	0	0	5.5E2	1
2748	277	Eccentricità Y per sisma X SLV	0	0	0	-2.5E3	5.5E2	1	2749	277	Eccentricità X per sisma Y SLV	0	0	0	20549	5.5E2	1
2750	277	Sisma X SLD	42.1	0	0	0	5.5E2	1	2751	277	Sisma Y SLD	0	39	0	0	5.5E2	1
2752	277	Eccentricità Y per sisma X SLD	0	0	0	-1.1E3	5.5E2	1	2753	277	Eccentricità X per sisma Y SLD	0	0	0	8.1E3	5.5E2	1
2754	278	Sisma X SLV	98.8	0	0	0	5.5E2	1	2755	278	Sisma Y SLV	0	98.8	0	0	5.5E2	1
2756	278	Eccentricità Y per sisma X SLV	0	0	0	-2.5E3	5.5E2	1	2757	278	Eccentricità X per sisma Y SLV	0	0	0	20549	5.5E2	1
2758	278	Sisma X SLD	42.1	0	0	0	5.5E2	1	2759	278	Sisma Y SLD	0	39	0	0	5.5E2	1
2760	278	Eccentricità Y per sisma X SLD	0	0	0	-1.1E3	5.5E2	1	2761	278	Eccentricità X per sisma Y SLD	0	0	0	8.1E3	5.5E2	1
2762	279	Sisma X SLV	98.8	0	0	0	5.5E2	1	2763	279	Sisma Y SLV	0	98.8	0	0	5.5E2	1
2764	279	Eccentricità Y per sisma X SLV	0	0	0	-2.5E3	5.5E2	1	2765	279	Eccentricità X per sisma Y SLV	0	0	0	20549	5.5E2	1
2766	279	Sisma X SLD	42.1	0	0	0	5.5E2	1	2767	279	Sisma Y SLD	0	39	0	0	5.5E2	1
2768	279	Eccentricità Y per sisma X SLD	0	0	0	-1.1E3	5.5E2	1	2769	279	Eccentricità X per sisma Y SLD	0	0	0	8.1E3	5.5E2	1
2770	280	Sisma X SLV	299.7	0	0	0	1.7E3	1	2771	280	Sisma Y SLV	0	299.7	0	0	1.7E3	1
2772	280	Eccentricità Y per sisma X SLV	0	0	0	-7.5E3	1.7E3	1	2773	280	Eccentricità X per sisma Y SLV	0	0	0	6.2E4	1.7E3	1
2774	280	Sisma X SLD	127.8	0	0	0	1.7E3	1	2775	280	Sisma Y SLD	0	118.2	0	0	1.7E3	1
2776	280	Eccentricità Y per sisma X SLD	0	0	0	-3.2E3	1.7E3	1	2777	280	Eccentricità X per sisma Y SLD	0	0	0	2.5E4	1.7E3	1
2778	281	Sisma X SLV	98.8	0	0	0	5.5E2	1	2779	281	Sisma Y SLV	0	98.8	0	0	5.5E2	1
2780	281	Eccentricità Y per sisma X SLV	0	0	0	-2.5E3	5.5E2	1	2781	281	Eccentricità X per sisma Y SLV	0	0	0	20549	5.5E2	1
2782	281	Sisma X SLD	42.1	0	0	0	5.5E2	1	2783	281	Sisma Y SLD	0	39	0	0	5.5E2	1
2784	281	Eccentricità Y per sisma X SLD	0	0	0	-1.1E3	5.5E2	1	2785	281	Eccentricità X per sisma Y SLD	0	0	0	8.1E3	5.5E2	1
2786	282	Sisma X SLV	98.8	0	0	0	5.5E2	1	2787	282	Sisma Y SLV	0	98.8	0	0	5.5E2	1
2788	282	Eccentricità Y per sisma X SLV	0	0	0	-2.5E3	5.5E2	1	2789	282	Eccentricità X per sisma Y SLV	0	0	0	20549	5.5E2	1
2790	282	Sisma X SLD	42.1	0	0	0	5.5E2	1	2791	282	Sisma Y SLD	0	39	0	0	5.5E2	1

Indice	Nodo	Condizione	Fx	Fy	Fz	Mz	Peso	γ	Indice	Nodo	Condizione	Fx	Fy	Fz	Mz	Peso	γ
2792	282	Eccentricità Y per sisma X SLD	0	0	0	-1.1E3	5.5E2	1	2793	282	Eccentricità X per sisma Y SLD	0	0	0	8.1E3	5.5E2	1
2794	283	Sisma X SLV	98.8	0	0	0	5.5E2	1	2795	283	Sisma Y SLV	0	98.8	0	0	5.5E2	1
2796	283	Eccentricità Y per sisma X SLV	0	0	0	-2.5E3	5.5E2	1	2797	283	Eccentricità X per sisma Y SLV	0	0	0	20549	5.5E2	1
2798	283	Sisma X SLD	42.1	0	0	0	5.5E2	1	2799	283	Sisma Y SLD	0	39	0	0	5.5E2	1
2800	283	Eccentricità Y per sisma X SLD	0	0	0	-1.1E3	5.5E2	1	2801	283	Eccentricità X per sisma Y SLD	0	0	0	8.1E3	5.5E2	1
2802	284	Sisma X SLV	98.8	0	0	0	5.5E2	1	2803	284	Sisma Y SLV	0	98.8	0	0	5.5E2	1
2804	284	Eccentricità Y per sisma X SLV	0	0	0	-2.5E3	5.5E2	1	2805	284	Eccentricità X per sisma Y SLV	0	0	0	20549	5.5E2	1
2806	284	Sisma X SLD	42.1	0	0	0	5.5E2	1	2807	284	Sisma Y SLD	0	39	0	0	5.5E2	1
2808	284	Eccentricità Y per sisma X SLD	0	0	0	-1.1E3	5.5E2	1	2809	284	Eccentricità X per sisma Y SLD	0	0	0	8.1E3	5.5E2	1
2810	285	Sisma X SLV	98.8	0	0	0	5.5E2	1	2811	285	Sisma Y SLV	0	98.8	0	0	5.5E2	1
2812	285	Eccentricità Y per sisma X SLV	0	0	0	-2.5E3	5.5E2	1	2813	285	Eccentricità X per sisma Y SLV	0	0	0	20549	5.5E2	1
2814	285	Sisma X SLD	42.1	0	0	0	5.5E2	1	2815	285	Sisma Y SLD	0	39	0	0	5.5E2	1
2816	285	Eccentricità Y per sisma X SLD	0	0	0	-1.1E3	5.5E2	1	2817	285	Eccentricità X per sisma Y SLD	0	0	0	8.1E3	5.5E2	1
2818	286	Sisma X SLV	98.8	0	0	0	5.5E2	1	2819	286	Sisma Y SLV	0	98.8	0	0	5.5E2	1
2820	286	Eccentricità Y per sisma X SLV	0	0	0	-2.5E3	5.5E2	1	2821	286	Eccentricità X per sisma Y SLV	0	0	0	20549	5.5E2	1
2822	286	Sisma X SLD	42.1	0	0	0	5.5E2	1	2823	286	Sisma Y SLD	0	39	0	0	5.5E2	1
2824	286	Eccentricità Y per sisma X SLD	0	0	0	-1.1E3	5.5E2	1	2825	286	Eccentricità X per sisma Y SLD	0	0	0	8.1E3	5.5E2	1
2826	287	Sisma X SLV	98.8	0	0	0	5.5E2	1	2827	287	Sisma Y SLV	0	98.8	0	0	5.5E2	1
2828	287	Eccentricità Y per sisma X SLV	0	0	0	-2.5E3	5.5E2	1	2829	287	Eccentricità X per sisma Y SLV	0	0	0	20549	5.5E2	1
2830	287	Sisma X SLD	42.1	0	0	0	5.5E2	1	2831	287	Sisma Y SLD	0	39	0	0	5.5E2	1
2832	287	Eccentricità Y per sisma X SLD	0	0	0	-1.1E3	5.5E2	1	2833	287	Eccentricità X per sisma Y SLD	0	0	0	8.1E3	5.5E2	1
2834	288	Sisma X SLV	98.8	0	0	0	5.5E2	1	2835	288	Sisma Y SLV	0	98.8	0	0	5.5E2	1
2836	288	Eccentricità Y per sisma X SLV	0	0	0	-2.5E3	5.5E2	1	2837	288	Eccentricità X per sisma Y SLV	0	0	0	20549	5.5E2	1
2838	288	Sisma X SLD	42.1	0	0	0	5.5E2	1	2839	288	Sisma Y SLD	0	39	0	0	5.5E2	1
2840	288	Eccentricità Y per sisma X SLD	0	0	0	-1.1E3	5.5E2	1	2841	288	Eccentricità X per sisma Y SLD	0	0	0	8.1E3	5.5E2	1
2842	289	Sisma X SLV	98.8	0	0	0	5.5E2	1	2843	289	Sisma Y SLV	0	98.8	0	0	5.5E2	1
2844	289	Eccentricità Y per sisma X SLV	0	0	0	-2.5E3	5.5E2	1	2845	289	Eccentricità X per sisma Y SLV	0	0	0	20549	5.5E2	1
2846	289	Sisma X SLD	42.1	0	0	0	5.5E2	1	2847	289	Sisma Y SLD	0	39	0	0	5.5E2	1
2848	289	Eccentricità Y per sisma X SLD	0	0	0	-1.1E3	5.5E2	1	2849	289	Eccentricità X per sisma Y SLD	0	0	0	8.1E3	5.5E2	1
2850	290	Sisma X SLV	98.8	0	0	0	5.5E2	1	2851	290	Sisma Y SLV	0	98.8	0	0	5.5E2	1
2852	290	Eccentricità Y per sisma X SLV	0	0	0	-2.5E3	5.5E2	1	2853	290	Eccentricità X per sisma Y SLV	0	0	0	20549	5.5E2	1
2854	290	Sisma X SLD	42.1	0	0	0	5.5E2	1	2855	290	Sisma Y SLD	0	39	0	0	5.5E2	1
2856	290	Eccentricità Y per sisma X SLD	0	0	0	-1.1E3	5.5E2	1	2857	290	Eccentricità X per sisma Y SLD	0	0	0	8.1E3	5.5E2	1
2858	291	Sisma X SLV	98.8	0	0	0	5.5E2	1	2859	291	Sisma Y SLV	0	98.8	0	0	5.5E2	1
2860	291	Eccentricità Y per sisma X SLV	0	0	0	-2.5E3	5.5E2	1	2861	291	Eccentricità X per sisma Y SLV	0	0	0	20549	5.5E2	1
2862	291	Sisma X SLD	42.1	0	0	0	5.5E2	1	2863	291	Sisma Y SLD	0	39	0	0	5.5E2	1
2864	291	Eccentricità Y per sisma X SLD	0	0	0	-1.1E3	5.5E2	1	2865	291	Eccentricità X per sisma Y SLD	0	0	0	8.1E3	5.5E2	1
2866	292	Sisma X SLV	299.7	0	0	0	1.7E3	1	2867	292	Sisma Y SLV	0	299.7	0	0	1.7E3	1
2868	292	Eccentricità Y per sisma X SLV	0	0	0	-7.5E3	1.7E3	1	2869	292	Eccentricità X per sisma Y SLV	0	0	0	6.2E4	1.7E3	1
2870	292	Sisma X SLD	127.8	0	0	0	1.7E3	1	2871	292	Sisma Y SLD	0	118.2	0	0	1.7E3	1
2872	292	Eccentricità Y per sisma X SLD	0	0	0	-3.2E3	1.7E3	1	2873	292	Eccentricità X per sisma Y SLD	0	0	0	2.5E4	1.7E3	1
2874	293	Sisma X SLV	98.8	0	0	0	5.5E2	1	2875	293	Sisma Y SLV	0	98.8	0	0	5.5E2	1
2876	293	Eccentricità Y per sisma X SLV	0	0	0	-2.5E3	5.5E2	1	2877	293	Eccentricità X per sisma Y SLV	0	0	0	20549	5.5E2	1
2878	293	Sisma X SLD	42.1	0	0	0	5.5E2	1	2879	293	Sisma Y SLD	0	39	0	0	5.5E2	1
2880	293	Eccentricità Y per sisma X SLD	0	0	0	-1.1E3	5.5E2	1	2881	293	Eccentricità X per sisma Y SLD	0	0	0	8.1E3	5.5E2	1
2882	294	Sisma X SLV	98.8	0	0	0	5.5E2	1	2883	294	Sisma Y SLV	0	98.8	0	0	5.5E2	1

Indice	Nodo	Condizione	Fx	Fy	Fz	Mz	Peso	γ	Indice	Nodo	Condizione	Fx	Fy	Fz	Mz	Peso	γ
2884	294	Eccentricità Y per sisma X SLV	0	0	0	-2.5E3	5.5E2	1	2885	294	Eccentricità X per sisma Y SLV	0	0	0	20549	5.5E2	1
2886	294	Sisma X SLD	42.1	0	0	0	5.5E2	1	2887	294	Sisma Y SLD	0	39	0	0	5.5E2	1
2888	294	Eccentricità Y per sisma X SLD	0	0	0	-1.1E3	5.5E2	1	2889	294	Eccentricità X per sisma Y SLD	0	0	0	8.1E3	5.5E2	1
2890	295	Sisma X SLV	98.8	0	0	0	5.5E2	1	2891	295	Sisma Y SLV	0	98.8	0	0	5.5E2	1
2892	295	Eccentricità Y per sisma X SLV	0	0	0	-2.5E3	5.5E2	1	2893	295	Eccentricità X per sisma Y SLV	0	0	0	20549	5.5E2	1
2894	295	Sisma X SLD	42.1	0	0	0	5.5E2	1	2895	295	Sisma Y SLD	0	39	0	0	5.5E2	1
2896	295	Eccentricità Y per sisma X SLD	0	0	0	-1.1E3	5.5E2	1	2897	295	Eccentricità X per sisma Y SLD	0	0	0	8.1E3	5.5E2	1
2898	296	Sisma X SLV	98.8	0	0	0	5.5E2	1	2899	296	Sisma Y SLV	0	98.8	0	0	5.5E2	1
2900	296	Eccentricità Y per sisma X SLV	0	0	0	-2.5E3	5.5E2	1	2901	296	Eccentricità X per sisma Y SLV	0	0	0	20549	5.5E2	1
2902	296	Sisma X SLD	42.1	0	0	0	5.5E2	1	2903	296	Sisma Y SLD	0	39	0	0	5.5E2	1
2904	296	Eccentricità Y per sisma X SLD	0	0	0	-1.1E3	5.5E2	1	2905	296	Eccentricità X per sisma Y SLD	0	0	0	8.1E3	5.5E2	1
2906	297	Sisma X SLV	98.8	0	0	0	5.5E2	1	2907	297	Sisma Y SLV	0	98.8	0	0	5.5E2	1
2908	297	Eccentricità Y per sisma X SLV	0	0	0	-2.5E3	5.5E2	1	2909	297	Eccentricità X per sisma Y SLV	0	0	0	20549	5.5E2	1
2910	297	Sisma X SLD	42.1	0	0	0	5.5E2	1	2911	297	Sisma Y SLD	0	39	0	0	5.5E2	1
2912	297	Eccentricità Y per sisma X SLD	0	0	0	-1.1E3	5.5E2	1	2913	297	Eccentricità X per sisma Y SLD	0	0	0	8.1E3	5.5E2	1
2914	298	Sisma X SLV	98.8	0	0	0	5.5E2	1	2915	298	Sisma Y SLV	0	98.8	0	0	5.5E2	1
2916	298	Eccentricità Y per sisma X SLV	0	0	0	-2.5E3	5.5E2	1	2917	298	Eccentricità X per sisma Y SLV	0	0	0	20549	5.5E2	1
2918	298	Sisma X SLD	42.1	0	0	0	5.5E2	1	2919	298	Sisma Y SLD	0	39	0	0	5.5E2	1
2920	298	Eccentricità Y per sisma X SLD	0	0	0	-1.1E3	5.5E2	1	2921	298	Eccentricità X per sisma Y SLD	0	0	0	8.1E3	5.5E2	1
2922	299	Sisma X SLV	98.8	0	0	0	5.5E2	1	2923	299	Sisma Y SLV	0	98.8	0	0	5.5E2	1
2924	299	Eccentricità Y per sisma X SLV	0	0	0	-2.5E3	5.5E2	1	2925	299	Eccentricità X per sisma Y SLV	0	0	0	20549	5.5E2	1
2926	299	Sisma X SLD	42.1	0	0	0	5.5E2	1	2927	299	Sisma Y SLD	0	39	0	0	5.5E2	1
2928	299	Eccentricità Y per sisma X SLD	0	0	0	-1.1E3	5.5E2	1	2929	299	Eccentricità X per sisma Y SLD	0	0	0	8.1E3	5.5E2	1
2930	300	Sisma X SLV	98.8	0	0	0	5.5E2	1	2931	300	Sisma Y SLV	0	98.8	0	0	5.5E2	1
2932	300	Eccentricità Y per sisma X SLV	0	0	0	-2.5E3	5.5E2	1	2933	300	Eccentricità X per sisma Y SLV	0	0	0	20549	5.5E2	1
2934	300	Sisma X SLD	42.1	0	0	0	5.5E2	1	2935	300	Sisma Y SLD	0	39	0	0	5.5E2	1
2936	300	Eccentricità Y per sisma X SLD	0	0	0	-1.1E3	5.5E2	1	2937	300	Eccentricità X per sisma Y SLD	0	0	0	8.1E3	5.5E2	1
2938	301	Sisma X SLV	98.8	0	0	0	5.5E2	1	2939	301	Sisma Y SLV	0	98.8	0	0	5.5E2	1
2940	301	Eccentricità Y per sisma X SLV	0	0	0	-2.5E3	5.5E2	1	2941	301	Eccentricità X per sisma Y SLV	0	0	0	20549	5.5E2	1
2942	301	Sisma X SLD	42.1	0	0	0	5.5E2	1	2943	301	Sisma Y SLD	0	39	0	0	5.5E2	1
2944	301	Eccentricità Y per sisma X SLD	0	0	0	-1.1E3	5.5E2	1	2945	301	Eccentricità X per sisma Y SLD	0	0	0	8.1E3	5.5E2	1
2946	302	Sisma X SLV	98.8	0	0	0	5.5E2	1	2947	302	Sisma Y SLV	0	98.8	0	0	5.5E2	1
2948	302	Eccentricità Y per sisma X SLV	0	0	0	-2.5E3	5.5E2	1	2949	302	Eccentricità X per sisma Y SLV	0	0	0	20549	5.5E2	1
2950	302	Sisma X SLD	42.1	0	0	0	5.5E2	1	2951	302	Sisma Y SLD	0	39	0	0	5.5E2	1
2952	302	Eccentricità Y per sisma X SLD	0	0	0	-1.1E3	5.5E2	1	2953	302	Eccentricità X per sisma Y SLD	0	0	0	8.1E3	5.5E2	1
2954	303	Sisma X SLV	98.8	0	0	0	5.5E2	1	2955	303	Sisma Y SLV	0	98.8	0	0	5.5E2	1
2956	303	Eccentricità Y per sisma X SLV	0	0	0	-2.5E3	5.5E2	1	2957	303	Eccentricità X per sisma Y SLV	0	0	0	20549	5.5E2	1
2958	303	Sisma X SLD	42.1	0	0	0	5.5E2	1	2959	303	Sisma Y SLD	0	39	0	0	5.5E2	1
2960	303	Eccentricità Y per sisma X SLD	0	0	0	-1.1E3	5.5E2	1	2961	303	Eccentricità X per sisma Y SLD	0	0	0	8.1E3	5.5E2	1
2962	304	Sisma X SLV	297.4	0	0	0	1.7E3	1	2963	304	Sisma Y SLV	0	297.4	0	0	1.7E3	1
2964	304	Eccentricità Y per sisma X SLV	0	0	0	-7.4E3	1.7E3	1	2965	304	Eccentricità X per sisma Y SLV	0	0	0	6.2E4	1.7E3	1
2966	304	Sisma X SLD	126.8	0	0	0	1.7E3	1	2967	304	Sisma Y SLD	0	117.3	0	0	1.7E3	1
2968	304	Eccentricità Y per sisma X SLD	0	0	0	-3.2E3	1.7E3	1	2969	304	Eccentricità X per sisma Y SLD	0	0	0	2.4E4	1.7E3	1
2970	305	Sisma X SLV	31.9	0	0	0	1.8E2	1	2971	305	Sisma Y SLV	0	31.9	0	0	1.8E2	1
2972	305	Eccentricità Y per sisma X SLV	0	0	0	-8.0E2	1.8E2	1	2973	305	Eccentricità X per sisma Y SLV	0	0	0	6.6E3	1.8E2	1
2974	305	Sisma X SLD	13.6	0	0	0	1.8E2	1	2975	305	Sisma Y SLD	0	12.6	0	0	1.8E2	1

Indice	Nodo	Condizione	Fx	Fy	Fz	Mz	Peso	γ	Indice	Nodo	Condizione	Fx	Fy	Fz	Mz	Peso	γ
2976	305	Eccentricità Y per sisma X SLD	0	0	0	-3.4E2	1.8E2	1	2977	305	Eccentricità X per sisma Y SLD	0	0	0	2.6E3	1.8E2	1
2978	306	Sisma X SLV	72.4	0	0	0	4.1E2	1	2979	306	Sisma Y SLV	0	72.4	0	0	4.1E2	1
2980	306	Eccentricità Y per sisma X SLV	0	0	0	-1.8E3	4.1E2	1	2981	306	Eccentricità X per sisma Y SLV	0	0	0	1.5E4	4.1E2	1
2982	306	Sisma X SLD	30.9	0	0	0	4.1E2	1	2983	306	Sisma Y SLD	0	28.6	0	0	4.1E2	1
2984	306	Eccentricità Y per sisma X SLD	0	0	0	-771	4.1E2	1	2985	306	Eccentricità X per sisma Y SLD	0	0	0	5942	4.1E2	1
2986	307	Sisma X SLV	50	0	0	0	2.8E2	1	2987	307	Sisma Y SLV	0	50	0	0	2.8E2	1
2988	307	Eccentricità Y per sisma X SLV	0	0	0	-1.2E3	2.8E2	1	2989	307	Eccentricità X per sisma Y SLV	0	0	0	1.0E4	2.8E2	1
2990	307	Sisma X SLD	21.3	0	0	0	2.8E2	1	2991	307	Sisma Y SLD	0	19.7	0	0	2.8E2	1
2992	307	Eccentricità Y per sisma X SLD	0	0	0	-5.3E2	2.8E2	1	2993	307	Eccentricità X per sisma Y SLD	0	0	0	4.1E3	2.8E2	1
2994	308	Sisma X SLV	98.9	0	0	0	5.5E2	1	2995	308	Sisma Y SLV	0	98.9	0	0	5.5E2	1
2996	308	Eccentricità Y per sisma X SLV	0	0	0	-2.5E3	5.5E2	1	2997	308	Eccentricità X per sisma Y SLV	0	0	0	2.1E4	5.5E2	1
2998	308	Sisma X SLD	42.1	0	0	0	5.5E2	1	2999	308	Sisma Y SLD	0	39	0	0	5.5E2	1
3000	308	Eccentricità Y per sisma X SLD	0	0	0	-1.1E3	5.5E2	1	3001	308	Eccentricità X per sisma Y SLD	0	0	0	8.1E3	5.5E2	1
3002	309	Sisma X SLV	76.5	0	0	0	4.3E2	1	3003	309	Sisma Y SLV	0	76.5	0	0	4.3E2	1
3004	309	Eccentricità Y per sisma X SLV	0	0	0	-1.9E3	4.3E2	1	3005	309	Eccentricità X per sisma Y SLV	0	0	0	1.6E4	4.3E2	1
3006	309	Sisma X SLD	32.6	0	0	0	4.3E2	1	3007	309	Sisma Y SLD	0	30.2	0	0	4.3E2	1
3008	309	Eccentricità Y per sisma X SLD	0	0	0	-8.1E2	4.3E2	1	3009	309	Eccentricità X per sisma Y SLD	0	0	0	6.3E3	4.3E2	1
3010	310	Sisma X SLV	98.1	0	0	0	5.5E2	1	3011	310	Sisma Y SLV	0	98.1	0	0	5.5E2	1
3012	310	Eccentricità Y per sisma X SLV	0	0	0	-2.4E3	5.5E2	1	3013	310	Eccentricità X per sisma Y SLV	0	0	0	2.0E4	5.5E2	1
3014	310	Sisma X SLD	41.8	0	0	0	5.5E2	1	3015	310	Sisma Y SLD	0	38.7	0	0	5.5E2	1
3016	310	Eccentricità Y per sisma X SLD	0	0	0	-1.0E3	5.5E2	1	3017	310	Eccentricità X per sisma Y SLD	0	0	0	8.0E3	5.5E2	1
3018	311	Sisma X SLV	81.9	0	0	0	4.6E2	1	3019	311	Sisma Y SLV	0	81.9	0	0	4.6E2	1
3020	311	Eccentricità Y per sisma X SLV	0	0	0	-2.0E3	4.6E2	1	3021	311	Eccentricità X per sisma Y SLV	0	0	0	1.7E4	4.6E2	1
3022	311	Sisma X SLD	34.9	0	0	0	4.6E2	1	3023	311	Sisma Y SLD	0	32.3	0	0	4.6E2	1
3024	311	Eccentricità Y per sisma X SLD	0	0	0	-872	4.6E2	1	3025	311	Eccentricità X per sisma Y SLD	0	0	0	6.7E3	4.6E2	1
3026	312	Sisma X SLV	97.8	0	0	0	5.5E2	1	3027	312	Sisma Y SLV	0	97.8	0	0	5.5E2	1
3028	312	Eccentricità Y per sisma X SLV	0	0	0	-2.4E3	5.5E2	1	3029	312	Eccentricità X per sisma Y SLV	0	0	0	2.0E4	5.5E2	1
3030	312	Sisma X SLD	41.7	0	0	0	5.5E2	1	3031	312	Sisma Y SLD	0	38.6	0	0	5.5E2	1
3032	312	Eccentricità Y per sisma X SLD	0	0	0	-1.0E3	5.5E2	1	3033	312	Eccentricità X per sisma Y SLD	0	0	0	8.0E3	5.5E2	1
3034	313	Sisma X SLV	92.2	0	0	0	5.2E2	1	3035	313	Sisma Y SLV	0	92.2	0	0	5.2E2	1
3036	313	Eccentricità Y per sisma X SLV	0	0	0	-2.3E3	5.2E2	1	3037	313	Eccentricità X per sisma Y SLV	0	0	0	1.9E4	5.2E2	1
3038	313	Sisma X SLD	39.3	0	0	0	5.2E2	1	3039	313	Sisma Y SLD	0	36.4	0	0	5.2E2	1
3040	313	Eccentricità Y per sisma X SLD	0	0	0	-9.8E2	5.2E2	1	3041	313	Eccentricità X per sisma Y SLD	0	0	0	7.6E3	5.2E2	1
3042	314	Sisma X SLV	95.1	0	0	0	5.3E2	1	3043	314	Sisma Y SLV	0	95.1	0	0	5.3E2	1
3044	314	Eccentricità Y per sisma X SLV	0	0	0	-2.4E3	5.3E2	1	3045	314	Eccentricità X per sisma Y SLV	0	0	0	19778	5.3E2	1
3046	314	Sisma X SLD	40.5	0	0	0	5.3E2	1	3047	314	Sisma Y SLD	0	37.5	0	0	5.3E2	1
3048	314	Eccentricità Y per sisma X SLD	0	0	0	-1012	5.3E2	1	3049	314	Eccentricità X per sisma Y SLD	0	0	0	7.8E3	5.3E2	1
3050	315	Sisma X SLV	108.8	0	0	0	6.1E2	1	3051	315	Sisma Y SLV	0	108.8	0	0	6.1E2	1
3052	315	Eccentricità Y per sisma X SLV	0	0	0	-2716	6.1E2	1	3053	315	Eccentricità X per sisma Y SLV	0	0	0	2.3E4	6.1E2	1
3054	315	Sisma X SLD	46.4	0	0	0	6.1E2	1	3055	315	Sisma Y SLD	0	42.9	0	0	6.1E2	1
3056	315	Eccentricità Y per sisma X SLD	0	0	0	-1.2E3	6.1E2	1	3057	315	Eccentricità X per sisma Y SLD	0	0	0	8.9E3	6.1E2	1
3058	316	Sisma X SLV	92.7	0	0	0	5.2E2	1	3059	316	Sisma Y SLV	0	92.7	0	0	5.2E2	1
3060	316	Eccentricità Y per sisma X SLV	0	0	0	-2315	5.2E2	1	3061	316	Eccentricità X per sisma Y SLV	0	0	0	19287	5.2E2	1
3062	316	Sisma X SLD	39.5	0	0	0	5.2E2	1	3063	316	Sisma Y SLD	0	36.6	0	0	5.2E2	1
3064	316	Eccentricità Y per sisma X SLD	0	0	0	-9.9E2	5.2E2	1	3065	316	Eccentricità X per sisma Y SLD	0	0	0	7606	5.2E2	1
3066	317	Sisma X SLV	90.6	0	0	0	5.1E2	1	3067	317	Sisma Y SLV	0	90.6	0	0	5.1E2	1

Indice	Nodo	Condizione	Fx	Fy	Fz	Mz	Peso	γ
3068	317	Eccentricità Y per sisma X SLV	0	0	0	-2.3E3	5.1E2	1
3070	317	Sisma X SLD	38.6	0	0	0	5.1E2	1
3072	317	Eccentricità Y per sisma X SLD	0	0	0	-964	5.1E2	1
3074	318	Sisma X SLV	327.1	0	0	0	1.8E3	1
3076	318	Eccentricità Y per sisma X SLV	0	0	0	-8.2E3	1.8E3	1
3078	318	Sisma X SLD	139.4	0	0	0	1.8E3	1
3080	318	Eccentricità Y per sisma X SLD	0	0	0	-3.5E3	1.8E3	1
3082	319	Sisma X SLV	107.9	0	0	0	6.0E2	1
3084	319	Eccentricità Y per sisma X SLV	0	0	0	-2.7E3	6.0E2	1
3086	319	Sisma X SLD	46	0	0	0	6.0E2	1
3088	319	Eccentricità Y per sisma X SLD	0	0	0	-1.1E3	6.0E2	1
3090	320	Sisma X SLV	107.9	0	0	0	6.0E2	1
3092	320	Eccentricità Y per sisma X SLV	0	0	0	-2.7E3	6.0E2	1
3094	320	Sisma X SLD	46	0	0	0	6.0E2	1
3096	320	Eccentricità Y per sisma X SLD	0	0	0	-1.1E3	6.0E2	1
3098	321	Sisma X SLV	107.9	0	0	0	6.0E2	1
3100	321	Eccentricità Y per sisma X SLV	0	0	0	-2.7E3	6.0E2	1
3102	321	Sisma X SLD	46	0	0	0	6.0E2	1
3104	321	Eccentricità Y per sisma X SLD	0	0	0	-1.1E3	6.0E2	1
3106	322	Sisma X SLV	107.9	0	0	0	6.0E2	1
3108	322	Eccentricità Y per sisma X SLV	0	0	0	-2.7E3	6.0E2	1
3110	322	Sisma X SLD	46	0	0	0	6.0E2	1
3112	322	Eccentricità Y per sisma X SLD	0	0	0	-1.1E3	6.0E2	1
3114	323	Sisma X SLV	107.9	0	0	0	6.0E2	1
3116	323	Eccentricità Y per sisma X SLV	0	0	0	-2.7E3	6.0E2	1
3118	323	Sisma X SLD	46	0	0	0	6.0E2	1
3120	323	Eccentricità Y per sisma X SLD	0	0	0	-1.1E3	6.0E2	1
3122	324	Sisma X SLV	107.9	0	0	0	6.0E2	1
3124	324	Eccentricità Y per sisma X SLV	0	0	0	-2.7E3	6.0E2	1
3126	324	Sisma X SLD	46	0	0	0	6.0E2	1
3128	324	Eccentricità Y per sisma X SLD	0	0	0	-1.1E3	6.0E2	1
3130	325	Sisma X SLV	107.9	0	0	0	6.0E2	1
3132	325	Eccentricità Y per sisma X SLV	0	0	0	-2.7E3	6.0E2	1
3134	325	Sisma X SLD	46	0	0	0	6.0E2	1
3136	325	Eccentricità Y per sisma X SLD	0	0	0	-1.1E3	6.0E2	1
3138	326	Sisma X SLV	107.9	0	0	0	6.0E2	1
3140	326	Eccentricità Y per sisma X SLV	0	0	0	-2.7E3	6.0E2	1
3142	326	Sisma X SLD	46	0	0	0	6.0E2	1
3144	326	Eccentricità Y per sisma X SLD	0	0	0	-1.1E3	6.0E2	1
3146	327	Sisma X SLV	107.9	0	0	0	6.0E2	1
3148	327	Eccentricità Y per sisma X SLV	0	0	0	-2.7E3	6.0E2	1
3150	327	Sisma X SLD	46	0	0	0	6.0E2	1
3152	327	Eccentricità Y per sisma X SLD	0	0	0	-1.1E3	6.0E2	1
3154	328	Sisma X SLV	107.9	0	0	0	6.0E2	1
3156	328	Eccentricità Y per sisma X SLV	0	0	0	-2.7E3	6.0E2	1
3158	328	Sisma X SLD	46	0	0	0	6.0E2	1

Indice	Nodo	Condizione	Fx	Fy	Fz	Mz	Peso	γ
3069	317	Eccentricità X per sisma Y SLV	0	0	0	1.9E4	5.1E2	1
3071	317	Sisma Y SLD	0	35.7	0	0	5.1E2	1
3073	317	Eccentricità X per sisma Y SLD	0	0	0	7.4E3	5.1E2	1
3075	318	Sisma Y SLV	0	327.1	0	0	1.8E3	1
3077	318	Eccentricità X per sisma Y SLV	0	0	0	68041	1.8E3	1
3079	318	Sisma Y SLD	0	129	0	0	1.8E3	1
3081	318	Eccentricità X per sisma Y SLD	0	0	0	2.7E4	1.8E3	1
3083	319	Sisma Y SLV	0	107.9	0	0	6.0E2	1
3085	319	Eccentricità X per sisma Y SLV	0	0	0	2.2E4	6.0E2	1
3087	319	Sisma Y SLD	0	42.5	0	0	6.0E2	1
3089	319	Eccentricità X per sisma Y SLD	0	0	0	8.8E3	6.0E2	1
3091	320	Sisma Y SLV	0	107.9	0	0	6.0E2	1
3093	320	Eccentricità X per sisma Y SLV	0	0	0	2.2E4	6.0E2	1
3095	320	Sisma Y SLD	0	42.5	0	0	6.0E2	1
3097	320	Eccentricità X per sisma Y SLD	0	0	0	8.8E3	6.0E2	1
3099	321	Sisma Y SLV	0	107.9	0	0	6.0E2	1
3101	321	Eccentricità X per sisma Y SLV	0	0	0	2.2E4	6.0E2	1
3103	321	Sisma Y SLD	0	42.5	0	0	6.0E2	1
3105	321	Eccentricità X per sisma Y SLD	0	0	0	8.8E3	6.0E2	1
3107	322	Sisma Y SLV	0	107.9	0	0	6.0E2	1
3109	322	Eccentricità X per sisma Y SLV	0	0	0	2.2E4	6.0E2	1
3111	322	Sisma Y SLD	0	42.5	0	0	6.0E2	1
3113	322	Eccentricità X per sisma Y SLD	0	0	0	8.8E3	6.0E2	1
3115	323	Sisma Y SLV	0	107.9	0	0	6.0E2	1
3117	323	Eccentricità X per sisma Y SLV	0	0	0	2.2E4	6.0E2	1
3119	323	Sisma Y SLD	0	42.5	0	0	6.0E2	1
3121	323	Eccentricità X per sisma Y SLD	0	0	0	8.8E3	6.0E2	1
3123	324	Sisma Y SLV	0	107.9	0	0	6.0E2	1
3125	324	Eccentricità X per sisma Y SLV	0	0	0	2.2E4	6.0E2	1
3127	324	Sisma Y SLD	0	42.5	0	0	6.0E2	1
3129	324	Eccentricità X per sisma Y SLD	0	0	0	8.8E3	6.0E2	1
3131	325	Sisma Y SLV	0	107.9	0	0	6.0E2	1
3133	325	Eccentricità X per sisma Y SLV	0	0	0	2.2E4	6.0E2	1
3135	325	Sisma Y SLD	0	42.5	0	0	6.0E2	1
3137	325	Eccentricità X per sisma Y SLD	0	0	0	8.8E3	6.0E2	1
3139	326	Sisma Y SLV	0	107.9	0	0	6.0E2	1
3141	326	Eccentricità X per sisma Y SLV	0	0	0	2.2E4	6.0E2	1
3143	326	Sisma Y SLD	0	42.5	0	0	6.0E2	1
3145	326	Eccentricità X per sisma Y SLD	0	0	0	8.8E3	6.0E2	1
3147	327	Sisma Y SLV	0	107.9	0	0	6.0E2	1
3149	327	Eccentricità X per sisma Y SLV	0	0	0	2.2E4	6.0E2	1
3151	327	Sisma Y SLD	0	42.5	0	0	6.0E2	1
3153	327	Eccentricità X per sisma Y SLD	0	0	0	8.8E3	6.0E2	1
3155	328	Sisma Y SLV	0	107.9	0	0	6.0E2	1
3157	328	Eccentricità X per sisma Y SLV	0	0	0	2.2E4	6.0E2	1
3159	328	Sisma Y SLD	0	42.5	0	0	6.0E2	1

Indice	Nodo	Condizione	Fx	Fy	Fz	Mz	Peso	γ	Indice	Nodo	Condizione	Fx	Fy	Fz	Mz	Peso	γ
3160	328	Eccentricità Y per sisma X SLD	0	0	0	-1.1E3	6.0E2	1	3161	328	Eccentricità X per sisma Y SLD	0	0	0	8.8E3	6.0E2	1
3162	329	Sisma X SLV	107.9	0	0	0	6.0E2	1	3163	329	Sisma Y SLV	0	107.9	0	0	6.0E2	1
3164	329	Eccentricità Y per sisma X SLV	0	0	0	-2.7E3	6.0E2	1	3165	329	Eccentricità X per sisma Y SLV	0	0	0	2.2E4	6.0E2	1
3166	329	Sisma X SLD	46	0	0	0	6.0E2	1	3167	329	Sisma Y SLD	0	42.5	0	0	6.0E2	1
3168	329	Eccentricità Y per sisma X SLD	0	0	0	-1.1E3	6.0E2	1	3169	329	Eccentricità X per sisma Y SLD	0	0	0	8.8E3	6.0E2	1
3170	330	Sisma X SLV	327.3	0	0	0	1.8E3	1	3171	330	Sisma Y SLV	0	327.3	0	0	1.8E3	1
3172	330	Eccentricità Y per sisma X SLV	0	0	0	-8.2E3	1.8E3	1	3173	330	Eccentricità X per sisma Y SLV	0	0	0	6.8E4	1.8E3	1
3174	330	Sisma X SLD	139.5	0	0	0	1.8E3	1	3175	330	Sisma Y SLD	0	129.1	0	0	1.8E3	1
3176	330	Eccentricità Y per sisma X SLD	0	0	0	-3.5E3	1.8E3	1	3177	330	Eccentricità X per sisma Y SLD	0	0	0	2.7E4	1.8E3	1
3178	331	Sisma X SLV	107.9	0	0	0	6.0E2	1	3179	331	Sisma Y SLV	0	107.9	0	0	6.0E2	1
3180	331	Eccentricità Y per sisma X SLV	0	0	0	-2.7E3	6.0E2	1	3181	331	Eccentricità X per sisma Y SLV	0	0	0	2.2E4	6.0E2	1
3182	331	Sisma X SLD	46	0	0	0	6.0E2	1	3183	331	Sisma Y SLD	0	42.5	0	0	6.0E2	1
3184	331	Eccentricità Y per sisma X SLD	0	0	0	-1.1E3	6.0E2	1	3185	331	Eccentricità X per sisma Y SLD	0	0	0	8.8E3	6.0E2	1
3186	332	Sisma X SLV	107.9	0	0	0	6.0E2	1	3187	332	Sisma Y SLV	0	107.9	0	0	6.0E2	1
3188	332	Eccentricità Y per sisma X SLV	0	0	0	-2.7E3	6.0E2	1	3189	332	Eccentricità X per sisma Y SLV	0	0	0	2.2E4	6.0E2	1
3190	332	Sisma X SLD	46	0	0	0	6.0E2	1	3191	332	Sisma Y SLD	0	42.5	0	0	6.0E2	1
3192	332	Eccentricità Y per sisma X SLD	0	0	0	-1.1E3	6.0E2	1	3193	332	Eccentricità X per sisma Y SLD	0	0	0	8.8E3	6.0E2	1
3194	333	Sisma X SLV	107.9	0	0	0	6.0E2	1	3195	333	Sisma Y SLV	0	107.9	0	0	6.0E2	1
3196	333	Eccentricità Y per sisma X SLV	0	0	0	-2.7E3	6.0E2	1	3197	333	Eccentricità X per sisma Y SLV	0	0	0	2.2E4	6.0E2	1
3198	333	Sisma X SLD	46	0	0	0	6.0E2	1	3199	333	Sisma Y SLD	0	42.5	0	0	6.0E2	1
3200	333	Eccentricità Y per sisma X SLD	0	0	0	-1.1E3	6.0E2	1	3201	333	Eccentricità X per sisma Y SLD	0	0	0	8.8E3	6.0E2	1
3202	334	Sisma X SLV	107.9	0	0	0	6.0E2	1	3203	334	Sisma Y SLV	0	107.9	0	0	6.0E2	1
3204	334	Eccentricità Y per sisma X SLV	0	0	0	-2.7E3	6.0E2	1	3205	334	Eccentricità X per sisma Y SLV	0	0	0	2.2E4	6.0E2	1
3206	334	Sisma X SLD	46	0	0	0	6.0E2	1	3207	334	Sisma Y SLD	0	42.5	0	0	6.0E2	1
3208	334	Eccentricità Y per sisma X SLD	0	0	0	-1.1E3	6.0E2	1	3209	334	Eccentricità X per sisma Y SLD	0	0	0	8.8E3	6.0E2	1
3210	335	Sisma X SLV	107.9	0	0	0	6.0E2	1	3211	335	Sisma Y SLV	0	107.9	0	0	6.0E2	1
3212	335	Eccentricità Y per sisma X SLV	0	0	0	-2.7E3	6.0E2	1	3213	335	Eccentricità X per sisma Y SLV	0	0	0	2.2E4	6.0E2	1
3214	335	Sisma X SLD	46	0	0	0	6.0E2	1	3215	335	Sisma Y SLD	0	42.5	0	0	6.0E2	1
3216	335	Eccentricità Y per sisma X SLD	0	0	0	-1.1E3	6.0E2	1	3217	335	Eccentricità X per sisma Y SLD	0	0	0	8.8E3	6.0E2	1
3218	336	Sisma X SLV	107.9	0	0	0	6.0E2	1	3219	336	Sisma Y SLV	0	107.9	0	0	6.0E2	1
3220	336	Eccentricità Y per sisma X SLV	0	0	0	-2.7E3	6.0E2	1	3221	336	Eccentricità X per sisma Y SLV	0	0	0	2.2E4	6.0E2	1
3222	336	Sisma X SLD	46	0	0	0	6.0E2	1	3223	336	Sisma Y SLD	0	42.5	0	0	6.0E2	1
3224	336	Eccentricità Y per sisma X SLD	0	0	0	-1.1E3	6.0E2	1	3225	336	Eccentricità X per sisma Y SLD	0	0	0	8.8E3	6.0E2	1
3226	337	Sisma X SLV	107.9	0	0	0	6.0E2	1	3227	337	Sisma Y SLV	0	107.9	0	0	6.0E2	1
3228	337	Eccentricità Y per sisma X SLV	0	0	0	-2.7E3	6.0E2	1	3229	337	Eccentricità X per sisma Y SLV	0	0	0	2.2E4	6.0E2	1
3230	337	Sisma X SLD	46	0	0	0	6.0E2	1	3231	337	Sisma Y SLD	0	42.5	0	0	6.0E2	1
3232	337	Eccentricità Y per sisma X SLD	0	0	0	-1.1E3	6.0E2	1	3233	337	Eccentricità X per sisma Y SLD	0	0	0	8.8E3	6.0E2	1
3234	338	Sisma X SLV	107.9	0	0	0	6.0E2	1	3235	338	Sisma Y SLV	0	107.9	0	0	6.0E2	1
3236	338	Eccentricità Y per sisma X SLV	0	0	0	-2.7E3	6.0E2	1	3237	338	Eccentricità X per sisma Y SLV	0	0	0	2.2E4	6.0E2	1
3238	338	Sisma X SLD	46	0	0	0	6.0E2	1	3239	338	Sisma Y SLD	0	42.5	0	0	6.0E2	1
3240	338	Eccentricità Y per sisma X SLD	0	0	0	-1.1E3	6.0E2	1	3241	338	Eccentricità X per sisma Y SLD	0	0	0	8.8E3	6.0E2	1
3242	339	Sisma X SLV	107.9	0	0	0	6.0E2	1	3243	339	Sisma Y SLV	0	107.9	0	0	6.0E2	1
3244	339	Eccentricità Y per sisma X SLV	0	0	0	-2.7E3	6.0E2	1	3245	339	Eccentricità X per sisma Y SLV	0	0	0	2.2E4	6.0E2	1
3246	339	Sisma X SLD	46	0	0	0	6.0E2	1	3247	339	Sisma Y SLD	0	42.5	0	0	6.0E2	1
3248	339	Eccentricità Y per sisma X SLD	0	0	0	-1.1E3	6.0E2	1	3249	339	Eccentricità X per sisma Y SLD	0	0	0	8.8E3	6.0E2	1
3250	340	Sisma X SLV	107.9	0	0	0	6.0E2	1	3251	340	Sisma Y SLV	0	107.9	0	0	6.0E2	1

Indice	Nodo	Condizione	Fx	Fy	Fz	Mz	Peso	γ	Indice	Nodo	Condizione	Fx	Fy	Fz	Mz	Peso	γ
3252	340	Eccentricità Y per sisma X SLV	0	0	0	-2.7E3	6.0E2	1	3253	340	Eccentricità X per sisma Y SLV	0	0	0	2.2E4	6.0E2	1
3254	340	Sisma X SLD	46	0	0	0	6.0E2	1	3255	340	Sisma Y SLD	0	42.5	0	0	6.0E2	1
3256	340	Eccentricità Y per sisma X SLD	0	0	0	-1.1E3	6.0E2	1	3257	340	Eccentricità X per sisma Y SLD	0	0	0	8.8E3	6.0E2	1
3258	341	Sisma X SLV	107.9	0	0	0	6.0E2	1	3259	341	Sisma Y SLV	0	107.9	0	0	6.0E2	1
3260	341	Eccentricità Y per sisma X SLV	0	0	0	-2.7E3	6.0E2	1	3261	341	Eccentricità X per sisma Y SLV	0	0	0	2.2E4	6.0E2	1
3262	341	Sisma X SLD	46	0	0	0	6.0E2	1	3263	341	Sisma Y SLD	0	42.5	0	0	6.0E2	1
3264	341	Eccentricità Y per sisma X SLD	0	0	0	-1.1E3	6.0E2	1	3265	341	Eccentricità X per sisma Y SLD	0	0	0	8.8E3	6.0E2	1
3266	342	Sisma X SLV	327.3	0	0	0	1.8E3	1	3267	342	Sisma Y SLV	0	327.3	0	0	1.8E3	1
3268	342	Eccentricità Y per sisma X SLV	0	0	0	-8.2E3	1.8E3	1	3269	342	Eccentricità X per sisma Y SLV	0	0	0	6.8E4	1.8E3	1
3270	342	Sisma X SLD	139.5	0	0	0	1.8E3	1	3271	342	Sisma Y SLD	0	129.1	0	0	1.8E3	1
3272	342	Eccentricità Y per sisma X SLD	0	0	0	-3.5E3	1.8E3	1	3273	342	Eccentricità X per sisma Y SLD	0	0	0	2.7E4	1.8E3	1
3274	343	Sisma X SLV	107.9	0	0	0	6.0E2	1	3275	343	Sisma Y SLV	0	107.9	0	0	6.0E2	1
3276	343	Eccentricità Y per sisma X SLV	0	0	0	-2.7E3	6.0E2	1	3277	343	Eccentricità X per sisma Y SLV	0	0	0	2.2E4	6.0E2	1
3278	343	Sisma X SLD	46	0	0	0	6.0E2	1	3279	343	Sisma Y SLD	0	42.5	0	0	6.0E2	1
3280	343	Eccentricità Y per sisma X SLD	0	0	0	-1.1E3	6.0E2	1	3281	343	Eccentricità X per sisma Y SLD	0	0	0	8.8E3	6.0E2	1
3282	344	Sisma X SLV	107.9	0	0	0	6.0E2	1	3283	344	Sisma Y SLV	0	107.9	0	0	6.0E2	1
3284	344	Eccentricità Y per sisma X SLV	0	0	0	-2.7E3	6.0E2	1	3285	344	Eccentricità X per sisma Y SLV	0	0	0	2.2E4	6.0E2	1
3286	344	Sisma X SLD	46	0	0	0	6.0E2	1	3287	344	Sisma Y SLD	0	42.5	0	0	6.0E2	1
3288	344	Eccentricità Y per sisma X SLD	0	0	0	-1.1E3	6.0E2	1	3289	344	Eccentricità X per sisma Y SLD	0	0	0	8.8E3	6.0E2	1
3290	345	Sisma X SLV	107.9	0	0	0	6.0E2	1	3291	345	Sisma Y SLV	0	107.9	0	0	6.0E2	1
3292	345	Eccentricità Y per sisma X SLV	0	0	0	-2.7E3	6.0E2	1	3293	345	Eccentricità X per sisma Y SLV	0	0	0	2.2E4	6.0E2	1
3294	345	Sisma X SLD	46	0	0	0	6.0E2	1	3295	345	Sisma Y SLD	0	42.5	0	0	6.0E2	1
3296	345	Eccentricità Y per sisma X SLD	0	0	0	-1.1E3	6.0E2	1	3297	345	Eccentricità X per sisma Y SLD	0	0	0	8.8E3	6.0E2	1
3298	346	Sisma X SLV	107.9	0	0	0	6.0E2	1	3299	346	Sisma Y SLV	0	107.9	0	0	6.0E2	1
3300	346	Eccentricità Y per sisma X SLV	0	0	0	-2.7E3	6.0E2	1	3301	346	Eccentricità X per sisma Y SLV	0	0	0	2.2E4	6.0E2	1
3302	346	Sisma X SLD	46	0	0	0	6.0E2	1	3303	346	Sisma Y SLD	0	42.5	0	0	6.0E2	1
3304	346	Eccentricità Y per sisma X SLD	0	0	0	-1.1E3	6.0E2	1	3305	346	Eccentricità X per sisma Y SLD	0	0	0	8.8E3	6.0E2	1
3306	347	Sisma X SLV	107.9	0	0	0	6.0E2	1	3307	347	Sisma Y SLV	0	107.9	0	0	6.0E2	1
3308	347	Eccentricità Y per sisma X SLV	0	0	0	-2.7E3	6.0E2	1	3309	347	Eccentricità X per sisma Y SLV	0	0	0	2.2E4	6.0E2	1
3310	347	Sisma X SLD	46	0	0	0	6.0E2	1	3311	347	Sisma Y SLD	0	42.5	0	0	6.0E2	1
3312	347	Eccentricità Y per sisma X SLD	0	0	0	-1.1E3	6.0E2	1	3313	347	Eccentricità X per sisma Y SLD	0	0	0	8.8E3	6.0E2	1
3314	348	Sisma X SLV	107.9	0	0	0	6.0E2	1	3315	348	Sisma Y SLV	0	107.9	0	0	6.0E2	1
3316	348	Eccentricità Y per sisma X SLV	0	0	0	-2.7E3	6.0E2	1	3317	348	Eccentricità X per sisma Y SLV	0	0	0	2.2E4	6.0E2	1
3318	348	Sisma X SLD	46	0	0	0	6.0E2	1	3319	348	Sisma Y SLD	0	42.5	0	0	6.0E2	1
3320	348	Eccentricità Y per sisma X SLD	0	0	0	-1.1E3	6.0E2	1	3321	348	Eccentricità X per sisma Y SLD	0	0	0	8.8E3	6.0E2	1
3322	349	Sisma X SLV	107.9	0	0	0	6.0E2	1	3323	349	Sisma Y SLV	0	107.9	0	0	6.0E2	1
3324	349	Eccentricità Y per sisma X SLV	0	0	0	-2.7E3	6.0E2	1	3325	349	Eccentricità X per sisma Y SLV	0	0	0	2.2E4	6.0E2	1
3326	349	Sisma X SLD	46	0	0	0	6.0E2	1	3327	349	Sisma Y SLD	0	42.5	0	0	6.0E2	1
3328	349	Eccentricità Y per sisma X SLD	0	0	0	-1.1E3	6.0E2	1	3329	349	Eccentricità X per sisma Y SLD	0	0	0	8.8E3	6.0E2	1
3330	350	Sisma X SLV	107.9	0	0	0	6.0E2	1	3331	350	Sisma Y SLV	0	107.9	0	0	6.0E2	1
3332	350	Eccentricità Y per sisma X SLV	0	0	0	-2.7E3	6.0E2	1	3333	350	Eccentricità X per sisma Y SLV	0	0	0	2.2E4	6.0E2	1
3334	350	Sisma X SLD	46	0	0	0	6.0E2	1	3335	350	Sisma Y SLD	0	42.5	0	0	6.0E2	1
3336	350	Eccentricità Y per sisma X SLD	0	0	0	-1.1E3	6.0E2	1	3337	350	Eccentricità X per sisma Y SLD	0	0	0	8.8E3	6.0E2	1
3338	351	Sisma X SLV	107.9	0	0	0	6.0E2	1	3339	351	Sisma Y SLV	0	107.9	0	0	6.0E2	1
3340	351	Eccentricità Y per sisma X SLV	0	0	0	-2.7E3	6.0E2	1	3341	351	Eccentricità X per sisma Y SLV	0	0	0	2.2E4	6.0E2	1
3342	351	Sisma X SLD	46	0	0	0	6.0E2	1	3343	351	Sisma Y SLD	0	42.5	0	0	6.0E2	1

Indice	Nodo	Condizione	Fx	Fy	Fz	Mz	Peso	γ	Indice	Nodo	Condizione	Fx	Fy	Fz	Mz	Peso	γ
3344	351	Eccentricità Y per sisma X SLD	0	0	0	-1.1E3	6.0E2	1	3345	351	Eccentricità X per sisma Y SLD	0	0	0	8.8E3	6.0E2	1
3346	352	Sisma X SLV	107.9	0	0	0	6.0E2	1	3347	352	Sisma Y SLV	0	107.9	0	0	6.0E2	1
3348	352	Eccentricità Y per sisma X SLV	0	0	0	-2.7E3	6.0E2	1	3349	352	Eccentricità X per sisma Y SLV	0	0	0	2.2E4	6.0E2	1
3350	352	Sisma X SLD	46	0	0	0	6.0E2	1	3351	352	Sisma Y SLD	0	42.5	0	0	6.0E2	1
3352	352	Eccentricità Y per sisma X SLD	0	0	0	-1.1E3	6.0E2	1	3353	352	Eccentricità X per sisma Y SLD	0	0	0	8.8E3	6.0E2	1
3354	353	Sisma X SLV	107.9	0	0	0	6.0E2	1	3355	353	Sisma Y SLV	0	107.9	0	0	6.0E2	1
3356	353	Eccentricità Y per sisma X SLV	0	0	0	-2.7E3	6.0E2	1	3357	353	Eccentricità X per sisma Y SLV	0	0	0	2.2E4	6.0E2	1
3358	353	Sisma X SLD	46	0	0	0	6.0E2	1	3359	353	Sisma Y SLD	0	42.5	0	0	6.0E2	1
3360	353	Eccentricità Y per sisma X SLD	0	0	0	-1.1E3	6.0E2	1	3361	353	Eccentricità X per sisma Y SLD	0	0	0	8.8E3	6.0E2	1
3362	354	Sisma X SLV	327.3	0	0	0	1.8E3	1	3363	354	Sisma Y SLV	0	327.3	0	0	1.8E3	1
3364	354	Eccentricità Y per sisma X SLV	0	0	0	-8.2E3	1.8E3	1	3365	354	Eccentricità X per sisma Y SLV	0	0	0	6.8E4	1.8E3	1
3366	354	Sisma X SLD	139.5	0	0	0	1.8E3	1	3367	354	Sisma Y SLD	0	129.1	0	0	1.8E3	1
3368	354	Eccentricità Y per sisma X SLD	0	0	0	-3.5E3	1.8E3	1	3369	354	Eccentricità X per sisma Y SLD	0	0	0	2.7E4	1.8E3	1
3370	355	Sisma X SLV	107.9	0	0	0	6.0E2	1	3371	355	Sisma Y SLV	0	107.9	0	0	6.0E2	1
3372	355	Eccentricità Y per sisma X SLV	0	0	0	-2.7E3	6.0E2	1	3373	355	Eccentricità X per sisma Y SLV	0	0	0	2.2E4	6.0E2	1
3374	355	Sisma X SLD	46	0	0	0	6.0E2	1	3375	355	Sisma Y SLD	0	42.5	0	0	6.0E2	1
3376	355	Eccentricità Y per sisma X SLD	0	0	0	-1.1E3	6.0E2	1	3377	355	Eccentricità X per sisma Y SLD	0	0	0	8.8E3	6.0E2	1
3378	356	Sisma X SLV	107.9	0	0	0	6.0E2	1	3379	356	Sisma Y SLV	0	107.9	0	0	6.0E2	1
3380	356	Eccentricità Y per sisma X SLV	0	0	0	-2.7E3	6.0E2	1	3381	356	Eccentricità X per sisma Y SLV	0	0	0	2.2E4	6.0E2	1
3382	356	Sisma X SLD	46	0	0	0	6.0E2	1	3383	356	Sisma Y SLD	0	42.5	0	0	6.0E2	1
3384	356	Eccentricità Y per sisma X SLD	0	0	0	-1.1E3	6.0E2	1	3385	356	Eccentricità X per sisma Y SLD	0	0	0	8.8E3	6.0E2	1
3386	357	Sisma X SLV	107.9	0	0	0	6.0E2	1	3387	357	Sisma Y SLV	0	107.9	0	0	6.0E2	1
3388	357	Eccentricità Y per sisma X SLV	0	0	0	-2.7E3	6.0E2	1	3389	357	Eccentricità X per sisma Y SLV	0	0	0	2.2E4	6.0E2	1
3390	357	Sisma X SLD	46	0	0	0	6.0E2	1	3391	357	Sisma Y SLD	0	42.5	0	0	6.0E2	1
3392	357	Eccentricità Y per sisma X SLD	0	0	0	-1.1E3	6.0E2	1	3393	357	Eccentricità X per sisma Y SLD	0	0	0	8.8E3	6.0E2	1
3394	358	Sisma X SLV	107.9	0	0	0	6.0E2	1	3395	358	Sisma Y SLV	0	107.9	0	0	6.0E2	1
3396	358	Eccentricità Y per sisma X SLV	0	0	0	-2.7E3	6.0E2	1	3397	358	Eccentricità X per sisma Y SLV	0	0	0	2.2E4	6.0E2	1
3398	358	Sisma X SLD	46	0	0	0	6.0E2	1	3399	358	Sisma Y SLD	0	42.5	0	0	6.0E2	1
3400	358	Eccentricità Y per sisma X SLD	0	0	0	-1.1E3	6.0E2	1	3401	358	Eccentricità X per sisma Y SLD	0	0	0	8.8E3	6.0E2	1
3402	359	Sisma X SLV	107.9	0	0	0	6.0E2	1	3403	359	Sisma Y SLV	0	107.9	0	0	6.0E2	1
3404	359	Eccentricità Y per sisma X SLV	0	0	0	-2.7E3	6.0E2	1	3405	359	Eccentricità X per sisma Y SLV	0	0	0	2.2E4	6.0E2	1
3406	359	Sisma X SLD	46	0	0	0	6.0E2	1	3407	359	Sisma Y SLD	0	42.5	0	0	6.0E2	1
3408	359	Eccentricità Y per sisma X SLD	0	0	0	-1.1E3	6.0E2	1	3409	359	Eccentricità X per sisma Y SLD	0	0	0	8.8E3	6.0E2	1
3410	360	Sisma X SLV	107.9	0	0	0	6.0E2	1	3411	360	Sisma Y SLV	0	107.9	0	0	6.0E2	1
3412	360	Eccentricità Y per sisma X SLV	0	0	0	-2.7E3	6.0E2	1	3413	360	Eccentricità X per sisma Y SLV	0	0	0	2.2E4	6.0E2	1
3414	360	Sisma X SLD	46	0	0	0	6.0E2	1	3415	360	Sisma Y SLD	0	42.5	0	0	6.0E2	1
3416	360	Eccentricità Y per sisma X SLD	0	0	0	-1.1E3	6.0E2	1	3417	360	Eccentricità X per sisma Y SLD	0	0	0	8.8E3	6.0E2	1
3418	361	Sisma X SLV	107.9	0	0	0	6.0E2	1	3419	361	Sisma Y SLV	0	107.9	0	0	6.0E2	1
3420	361	Eccentricità Y per sisma X SLV	0	0	0	-2.7E3	6.0E2	1	3421	361	Eccentricità X per sisma Y SLV	0	0	0	2.2E4	6.0E2	1
3422	361	Sisma X SLD	46	0	0	0	6.0E2	1	3423	361	Sisma Y SLD	0	42.5	0	0	6.0E2	1
3424	361	Eccentricità Y per sisma X SLD	0	0	0	-1.1E3	6.0E2	1	3425	361	Eccentricità X per sisma Y SLD	0	0	0	8.8E3	6.0E2	1
3426	362	Sisma X SLV	107.9	0	0	0	6.0E2	1	3427	362	Sisma Y SLV	0	107.9	0	0	6.0E2	1
3428	362	Eccentricità Y per sisma X SLV	0	0	0	-2.7E3	6.0E2	1	3429	362	Eccentricità X per sisma Y SLV	0	0	0	2.2E4	6.0E2	1
3430	362	Sisma X SLD	46	0	0	0	6.0E2	1	3431	362	Sisma Y SLD	0	42.5	0	0	6.0E2	1
3432	362	Eccentricità Y per sisma X SLD	0	0	0	-1.1E3	6.0E2	1	3433	362	Eccentricità X per sisma Y SLD	0	0	0	8.8E3	6.0E2	1
3434	363	Sisma X SLV	107.9	0	0	0	6.0E2	1	3435	363	Sisma Y SLV	0	107.9	0	0	6.0E2	1

Indice	Nodo	Condizione	Fx	Fy	Fz	Mz	Peso	γ	Indice	Nodo	Condizione	Fx	Fy	Fz	Mz	Peso	γ
3436	363	Eccentricità Y per sisma X SLV	0	0	0	-2.7E3	6.0E2	1	3437	363	Eccentricità X per sisma Y SLV	0	0	0	2.2E4	6.0E2	1
3438	363	Sisma X SLD	46	0	0	0	6.0E2	1	3439	363	Sisma Y SLD	0	42.5	0	0	6.0E2	1
3440	363	Eccentricità Y per sisma X SLD	0	0	0	-1.1E3	6.0E2	1	3441	363	Eccentricità X per sisma Y SLD	0	0	0	8.8E3	6.0E2	1
3442	364	Sisma X SLV	107.9	0	0	0	6.0E2	1	3443	364	Sisma Y SLV	0	107.9	0	0	6.0E2	1
3444	364	Eccentricità Y per sisma X SLV	0	0	0	-2.7E3	6.0E2	1	3445	364	Eccentricità X per sisma Y SLV	0	0	0	2.2E4	6.0E2	1
3446	364	Sisma X SLD	46	0	0	0	6.0E2	1	3447	364	Sisma Y SLD	0	42.5	0	0	6.0E2	1
3448	364	Eccentricità Y per sisma X SLD	0	0	0	-1.1E3	6.0E2	1	3449	364	Eccentricità X per sisma Y SLD	0	0	0	8.8E3	6.0E2	1
3450	365	Sisma X SLV	107.9	0	0	0	6.0E2	1	3451	365	Sisma Y SLV	0	107.9	0	0	6.0E2	1
3452	365	Eccentricità Y per sisma X SLV	0	0	0	-2.7E3	6.0E2	1	3453	365	Eccentricità X per sisma Y SLV	0	0	0	2.2E4	6.0E2	1
3454	365	Sisma X SLD	46	0	0	0	6.0E2	1	3455	365	Sisma Y SLD	0	42.5	0	0	6.0E2	1
3456	365	Eccentricità Y per sisma X SLD	0	0	0	-1.1E3	6.0E2	1	3457	365	Eccentricità X per sisma Y SLD	0	0	0	8.8E3	6.0E2	1
3458	366	Sisma X SLV	327.3	0	0	0	1.8E3	1	3459	366	Sisma Y SLV	0	327.3	0	0	1.8E3	1
3460	366	Eccentricità Y per sisma X SLV	0	0	0	-8.2E3	1.8E3	1	3461	366	Eccentricità X per sisma Y SLV	0	0	0	6.8E4	1.8E3	1
3462	366	Sisma X SLD	139.5	0	0	0	1.8E3	1	3463	366	Sisma Y SLD	0	129.1	0	0	1.8E3	1
3464	366	Eccentricità Y per sisma X SLD	0	0	0	-3.5E3	1.8E3	1	3465	366	Eccentricità X per sisma Y SLD	0	0	0	2.7E4	1.8E3	1
3466	367	Sisma X SLV	107.9	0	0	0	6.0E2	1	3467	367	Sisma Y SLV	0	107.9	0	0	6.0E2	1
3468	367	Eccentricità Y per sisma X SLV	0	0	0	-2.7E3	6.0E2	1	3469	367	Eccentricità X per sisma Y SLV	0	0	0	2.2E4	6.0E2	1
3470	367	Sisma X SLD	46	0	0	0	6.0E2	1	3471	367	Sisma Y SLD	0	42.5	0	0	6.0E2	1
3472	367	Eccentricità Y per sisma X SLD	0	0	0	-1.1E3	6.0E2	1	3473	367	Eccentricità X per sisma Y SLD	0	0	0	8.8E3	6.0E2	1
3474	368	Sisma X SLV	107.9	0	0	0	6.0E2	1	3475	368	Sisma Y SLV	0	107.9	0	0	6.0E2	1
3476	368	Eccentricità Y per sisma X SLV	0	0	0	-2.7E3	6.0E2	1	3477	368	Eccentricità X per sisma Y SLV	0	0	0	2.2E4	6.0E2	1
3478	368	Sisma X SLD	46	0	0	0	6.0E2	1	3479	368	Sisma Y SLD	0	42.5	0	0	6.0E2	1
3480	368	Eccentricità Y per sisma X SLD	0	0	0	-1.1E3	6.0E2	1	3481	368	Eccentricità X per sisma Y SLD	0	0	0	8.8E3	6.0E2	1
3482	369	Sisma X SLV	107.9	0	0	0	6.0E2	1	3483	369	Sisma Y SLV	0	107.9	0	0	6.0E2	1
3484	369	Eccentricità Y per sisma X SLV	0	0	0	-2.7E3	6.0E2	1	3485	369	Eccentricità X per sisma Y SLV	0	0	0	2.2E4	6.0E2	1
3486	369	Sisma X SLD	46	0	0	0	6.0E2	1	3487	369	Sisma Y SLD	0	42.5	0	0	6.0E2	1
3488	369	Eccentricità Y per sisma X SLD	0	0	0	-1.1E3	6.0E2	1	3489	369	Eccentricità X per sisma Y SLD	0	0	0	8.8E3	6.0E2	1
3490	370	Sisma X SLV	107.9	0	0	0	6.0E2	1	3491	370	Sisma Y SLV	0	107.9	0	0	6.0E2	1
3492	370	Eccentricità Y per sisma X SLV	0	0	0	-2.7E3	6.0E2	1	3493	370	Eccentricità X per sisma Y SLV	0	0	0	2.2E4	6.0E2	1
3494	370	Sisma X SLD	46	0	0	0	6.0E2	1	3495	370	Sisma Y SLD	0	42.5	0	0	6.0E2	1
3496	370	Eccentricità Y per sisma X SLD	0	0	0	-1.1E3	6.0E2	1	3497	370	Eccentricità X per sisma Y SLD	0	0	0	8.8E3	6.0E2	1
3498	371	Sisma X SLV	107.9	0	0	0	6.0E2	1	3499	371	Sisma Y SLV	0	107.9	0	0	6.0E2	1
3500	371	Eccentricità Y per sisma X SLV	0	0	0	-2.7E3	6.0E2	1	3501	371	Eccentricità X per sisma Y SLV	0	0	0	2.2E4	6.0E2	1
3502	371	Sisma X SLD	46	0	0	0	6.0E2	1	3503	371	Sisma Y SLD	0	42.5	0	0	6.0E2	1
3504	371	Eccentricità Y per sisma X SLD	0	0	0	-1.1E3	6.0E2	1	3505	371	Eccentricità X per sisma Y SLD	0	0	0	8.8E3	6.0E2	1
3506	372	Sisma X SLV	107.9	0	0	0	6.0E2	1	3507	372	Sisma Y SLV	0	107.9	0	0	6.0E2	1
3508	372	Eccentricità Y per sisma X SLV	0	0	0	-2.7E3	6.0E2	1	3509	372	Eccentricità X per sisma Y SLV	0	0	0	2.2E4	6.0E2	1
3510	372	Sisma X SLD	46	0	0	0	6.0E2	1	3511	372	Sisma Y SLD	0	42.5	0	0	6.0E2	1
3512	372	Eccentricità Y per sisma X SLD	0	0	0	-1.1E3	6.0E2	1	3513	372	Eccentricità X per sisma Y SLD	0	0	0	8.8E3	6.0E2	1
3514	373	Sisma X SLV	107.9	0	0	0	6.0E2	1	3515	373	Sisma Y SLV	0	107.9	0	0	6.0E2	1
3516	373	Eccentricità Y per sisma X SLV	0	0	0	-2.7E3	6.0E2	1	3517	373	Eccentricità X per sisma Y SLV	0	0	0	2.2E4	6.0E2	1
3518	373	Sisma X SLD	46	0	0	0	6.0E2	1	3519	373	Sisma Y SLD	0	42.5	0	0	6.0E2	1
3520	373	Eccentricità Y per sisma X SLD	0	0	0	-1.1E3	6.0E2	1	3521	373	Eccentricità X per sisma Y SLD	0	0	0	8.8E3	6.0E2	1
3522	374	Sisma X SLV	107.9	0	0	0	6.0E2	1	3523	374	Sisma Y SLV	0	107.9	0	0	6.0E2	1
3524	374	Eccentricità Y per sisma X SLV	0	0	0	-2.7E3	6.0E2	1	3525	374	Eccentricità X per sisma Y SLV	0	0	0	2.2E4	6.0E2	1
3526	374	Sisma X SLD	46	0	0	0	6.0E2	1	3527	374	Sisma Y SLD	0	42.5	0	0	6.0E2	1

Indice	Nodo	Condizione	Fx	Fy	Fz	Mz	Peso	γ	Indice	Nodo	Condizione	Fx	Fy	Fz	Mz	Peso	γ
3528	374	Eccentricità Y per sisma X SLD	0	0	0	-1.1E3	6.0E2	1	3529	374	Eccentricità X per sisma Y SLD	0	0	0	8.8E3	6.0E2	1
3530	375	Sisma X SLV	107.9	0	0	0	6.0E2	1	3531	375	Sisma Y SLV	0	107.9	0	0	6.0E2	1
3532	375	Eccentricità Y per sisma X SLV	0	0	0	-2.7E3	6.0E2	1	3533	375	Eccentricità X per sisma Y SLV	0	0	0	2.2E4	6.0E2	1
3534	375	Sisma X SLD	46	0	0	0	6.0E2	1	3535	375	Sisma Y SLD	0	42.5	0	0	6.0E2	1
3536	375	Eccentricità Y per sisma X SLD	0	0	0	-1.1E3	6.0E2	1	3537	375	Eccentricità X per sisma Y SLD	0	0	0	8.8E3	6.0E2	1
3538	376	Sisma X SLV	107.9	0	0	0	6.0E2	1	3539	376	Sisma Y SLV	0	107.9	0	0	6.0E2	1
3540	376	Eccentricità Y per sisma X SLV	0	0	0	-2.7E3	6.0E2	1	3541	376	Eccentricità X per sisma Y SLV	0	0	0	2.2E4	6.0E2	1
3542	376	Sisma X SLD	46	0	0	0	6.0E2	1	3543	376	Sisma Y SLD	0	42.5	0	0	6.0E2	1
3544	376	Eccentricità Y per sisma X SLD	0	0	0	-1.1E3	6.0E2	1	3545	376	Eccentricità X per sisma Y SLD	0	0	0	8.8E3	6.0E2	1
3546	377	Sisma X SLV	107.9	0	0	0	6.0E2	1	3547	377	Sisma Y SLV	0	107.9	0	0	6.0E2	1
3548	377	Eccentricità Y per sisma X SLV	0	0	0	-2.7E3	6.0E2	1	3549	377	Eccentricità X per sisma Y SLV	0	0	0	2.2E4	6.0E2	1
3550	377	Sisma X SLD	46	0	0	0	6.0E2	1	3551	377	Sisma Y SLD	0	42.5	0	0	6.0E2	1
3552	377	Eccentricità Y per sisma X SLD	0	0	0	-1.1E3	6.0E2	1	3553	377	Eccentricità X per sisma Y SLD	0	0	0	8.8E3	6.0E2	1
3554	378	Sisma X SLV	327.3	0	0	0	1.8E3	1	3555	378	Sisma Y SLV	0	327.3	0	0	1.8E3	1
3556	378	Eccentricità Y per sisma X SLV	0	0	0	-8.2E3	1.8E3	1	3557	378	Eccentricità X per sisma Y SLV	0	0	0	6.8E4	1.8E3	1
3558	378	Sisma X SLD	139.5	0	0	0	1.8E3	1	3559	378	Sisma Y SLD	0	129.1	0	0	1.8E3	1
3560	378	Eccentricità Y per sisma X SLD	0	0	0	-3.5E3	1.8E3	1	3561	378	Eccentricità X per sisma Y SLD	0	0	0	2.7E4	1.8E3	1
3562	379	Sisma X SLV	107.9	0	0	0	6.0E2	1	3563	379	Sisma Y SLV	0	107.9	0	0	6.0E2	1
3564	379	Eccentricità Y per sisma X SLV	0	0	0	-2.7E3	6.0E2	1	3565	379	Eccentricità X per sisma Y SLV	0	0	0	2.2E4	6.0E2	1
3566	379	Sisma X SLD	46	0	0	0	6.0E2	1	3567	379	Sisma Y SLD	0	42.5	0	0	6.0E2	1
3568	379	Eccentricità Y per sisma X SLD	0	0	0	-1.1E3	6.0E2	1	3569	379	Eccentricità X per sisma Y SLD	0	0	0	8.8E3	6.0E2	1
3570	380	Sisma X SLV	107.9	0	0	0	6.0E2	1	3571	380	Sisma Y SLV	0	107.9	0	0	6.0E2	1
3572	380	Eccentricità Y per sisma X SLV	0	0	0	-2.7E3	6.0E2	1	3573	380	Eccentricità X per sisma Y SLV	0	0	0	2.2E4	6.0E2	1
3574	380	Sisma X SLD	46	0	0	0	6.0E2	1	3575	380	Sisma Y SLD	0	42.5	0	0	6.0E2	1
3576	380	Eccentricità Y per sisma X SLD	0	0	0	-1.1E3	6.0E2	1	3577	380	Eccentricità X per sisma Y SLD	0	0	0	8.8E3	6.0E2	1
3578	381	Sisma X SLV	107.9	0	0	0	6.0E2	1	3579	381	Sisma Y SLV	0	107.9	0	0	6.0E2	1
3580	381	Eccentricità Y per sisma X SLV	0	0	0	-2.7E3	6.0E2	1	3581	381	Eccentricità X per sisma Y SLV	0	0	0	2.2E4	6.0E2	1
3582	381	Sisma X SLD	46	0	0	0	6.0E2	1	3583	381	Sisma Y SLD	0	42.5	0	0	6.0E2	1
3584	381	Eccentricità Y per sisma X SLD	0	0	0	-1.1E3	6.0E2	1	3585	381	Eccentricità X per sisma Y SLD	0	0	0	8.8E3	6.0E2	1
3586	382	Sisma X SLV	107.9	0	0	0	6.0E2	1	3587	382	Sisma Y SLV	0	107.9	0	0	6.0E2	1
3588	382	Eccentricità Y per sisma X SLV	0	0	0	-2.7E3	6.0E2	1	3589	382	Eccentricità X per sisma Y SLV	0	0	0	2.2E4	6.0E2	1
3590	382	Sisma X SLD	46	0	0	0	6.0E2	1	3591	382	Sisma Y SLD	0	42.5	0	0	6.0E2	1
3592	382	Eccentricità Y per sisma X SLD	0	0	0	-1.1E3	6.0E2	1	3593	382	Eccentricità X per sisma Y SLD	0	0	0	8.8E3	6.0E2	1
3594	383	Sisma X SLV	107.9	0	0	0	6.0E2	1	3595	383	Sisma Y SLV	0	107.9	0	0	6.0E2	1
3596	383	Eccentricità Y per sisma X SLV	0	0	0	-2.7E3	6.0E2	1	3597	383	Eccentricità X per sisma Y SLV	0	0	0	2.2E4	6.0E2	1
3598	383	Sisma X SLD	46	0	0	0	6.0E2	1	3599	383	Sisma Y SLD	0	42.5	0	0	6.0E2	1
3600	383	Eccentricità Y per sisma X SLD	0	0	0	-1.1E3	6.0E2	1	3601	383	Eccentricità X per sisma Y SLD	0	0	0	8.8E3	6.0E2	1
3602	384	Sisma X SLV	107.9	0	0	0	6.0E2	1	3603	384	Sisma Y SLV	0	107.9	0	0	6.0E2	1
3604	384	Eccentricità Y per sisma X SLV	0	0	0	-2.7E3	6.0E2	1	3605	384	Eccentricità X per sisma Y SLV	0	0	0	2.2E4	6.0E2	1
3606	384	Sisma X SLD	46	0	0	0	6.0E2	1	3607	384	Sisma Y SLD	0	42.5	0	0	6.0E2	1
3608	384	Eccentricità Y per sisma X SLD	0	0	0	-1.1E3	6.0E2	1	3609	384	Eccentricità X per sisma Y SLD	0	0	0	8.8E3	6.0E2	1
3610	385	Sisma X SLV	107.9	0	0	0	6.0E2	1	3611	385	Sisma Y SLV	0	107.9	0	0	6.0E2	1
3612	385	Eccentricità Y per sisma X SLV	0	0	0	-2.7E3	6.0E2	1	3613	385	Eccentricità X per sisma Y SLV	0	0	0	2.2E4	6.0E2	1
3614	385	Sisma X SLD	46	0	0	0	6.0E2	1	3615	385	Sisma Y SLD	0	42.5	0	0	6.0E2	1
3616	385	Eccentricità Y per sisma X SLD	0	0	0	-1.1E3	6.0E2	1	3617	385	Eccentricità X per sisma Y SLD	0	0	0	8.8E3	6.0E2	1
3618	386	Sisma X SLV	107.9	0	0	0	6.0E2	1	3619	386	Sisma Y SLV	0	107.9	0	0	6.0E2	1

Indice	Nodo	Condizione	Fx	Fy	Fz	Mz	Peso	γ	Indice	Nodo	Condizione	Fx	Fy	Fz	Mz	Peso	γ
3620	386	Eccentricità Y per sisma X SLV	0	0	0	-2.7E3	6.0E2	1	3621	386	Eccentricità X per sisma Y SLV	0	0	0	2.2E4	6.0E2	1
3622	386	Sisma X SLD	46	0	0	0	6.0E2	1	3623	386	Sisma Y SLD	0	42.5	0	0	6.0E2	1
3624	386	Eccentricità Y per sisma X SLD	0	0	0	-1.1E3	6.0E2	1	3625	386	Eccentricità X per sisma Y SLD	0	0	0	8.8E3	6.0E2	1
3626	387	Sisma X SLV	107.9	0	0	0	6.0E2	1	3627	387	Sisma Y SLV	0	107.9	0	0	6.0E2	1
3628	387	Eccentricità Y per sisma X SLV	0	0	0	-2.7E3	6.0E2	1	3629	387	Eccentricità X per sisma Y SLV	0	0	0	2.2E4	6.0E2	1
3630	387	Sisma X SLD	46	0	0	0	6.0E2	1	3631	387	Sisma Y SLD	0	42.5	0	0	6.0E2	1
3632	387	Eccentricità Y per sisma X SLD	0	0	0	-1.1E3	6.0E2	1	3633	387	Eccentricità X per sisma Y SLD	0	0	0	8.8E3	6.0E2	1
3634	388	Sisma X SLV	107.9	0	0	0	6.0E2	1	3635	388	Sisma Y SLV	0	107.9	0	0	6.0E2	1
3636	388	Eccentricità Y per sisma X SLV	0	0	0	-2.7E3	6.0E2	1	3637	388	Eccentricità X per sisma Y SLV	0	0	0	2.2E4	6.0E2	1
3638	388	Sisma X SLD	46	0	0	0	6.0E2	1	3639	388	Sisma Y SLD	0	42.5	0	0	6.0E2	1
3640	388	Eccentricità Y per sisma X SLD	0	0	0	-1.1E3	6.0E2	1	3641	388	Eccentricità X per sisma Y SLD	0	0	0	8.8E3	6.0E2	1
3642	389	Sisma X SLV	107.9	0	0	0	6.0E2	1	3643	389	Sisma Y SLV	0	107.9	0	0	6.0E2	1
3644	389	Eccentricità Y per sisma X SLV	0	0	0	-2.7E3	6.0E2	1	3645	389	Eccentricità X per sisma Y SLV	0	0	0	2.2E4	6.0E2	1
3646	389	Sisma X SLD	46	0	0	0	6.0E2	1	3647	389	Sisma Y SLD	0	42.5	0	0	6.0E2	1
3648	389	Eccentricità Y per sisma X SLD	0	0	0	-1.1E3	6.0E2	1	3649	389	Eccentricità X per sisma Y SLD	0	0	0	8849	6.0E2	1
3650	390	Sisma X SLV	328.6	0	0	0	1.8E3	1	3651	390	Sisma Y SLV	0	328.6	0	0	1.8E3	1
3652	390	Eccentricità Y per sisma X SLV	0	0	0	-8.2E3	1.8E3	1	3653	390	Eccentricità X per sisma Y SLV	0	0	0	6.8E4	1.8E3	1
3654	390	Sisma X SLD	140.1	0	0	0	1.8E3	1	3655	390	Sisma Y SLD	0	129.6	0	0	1.8E3	1
3656	390	Eccentricità Y per sisma X SLD	0	0	0	-3497	1.8E3	1	3657	390	Eccentricità X per sisma Y SLD	0	0	0	2.7E4	1.8E3	1
3658	391	Sisma X SLV	83.8	0	0	0	4.7E2	1	3659	391	Sisma Y SLV	0	83.8	0	0	4.7E2	1
3660	391	Eccentricità Y per sisma X SLV	0	0	0	-2.1E3	4.7E2	1	3661	391	Eccentricità X per sisma Y SLV	0	0	0	1.7E4	4.7E2	1
3662	391	Sisma X SLD	35.7	0	0	0	4.7E2	1	3663	391	Sisma Y SLD	0	33.1	0	0	4.7E2	1
3664	391	Eccentricità Y per sisma X SLD	0	0	0	-8.9E2	4.7E2	1	3665	391	Eccentricità X per sisma Y SLD	0	0	0	6.9E3	4.7E2	1
3666	392	Sisma X SLV	42.7	0	0	0	2.4E2	1	3667	392	Sisma Y SLV	0	42.7	0	0	2.4E2	1
3668	392	Eccentricità Y per sisma X SLV	0	0	0	-1.1E3	2.4E2	1	3669	392	Eccentricità X per sisma Y SLV	0	0	0	8880	2.4E2	1
3670	392	Sisma X SLD	18.2	0	0	0	2.4E2	1	3671	392	Sisma Y SLD	0	16.8	0	0	2.4E2	1
3672	392	Eccentricità Y per sisma X SLD	0	0	0	-4.5E2	2.4E2	1	3673	392	Eccentricità X per sisma Y SLD	0	0	0	3.5E3	2.4E2	1
3674	393	Sisma X SLV	89	0	0	0	5.0E2	1	3675	393	Sisma Y SLV	0	89	0	0	5.0E2	1
3676	393	Eccentricità Y per sisma X SLV	0	0	0	-2.2E3	5.0E2	1	3677	393	Eccentricità X per sisma Y SLV	0	0	0	1.9E4	5.0E2	1
3678	393	Sisma X SLD	37.9	0	0	0	5.0E2	1	3679	393	Sisma Y SLD	0	35.1	0	0	5.0E2	1
3680	393	Eccentricità Y per sisma X SLD	0	0	0	-9.5E2	5.0E2	1	3681	393	Eccentricità X per sisma Y SLD	0	0	0	7.3E3	5.0E2	1
3682	394	Sisma X SLV	46.8	0	0	0	2.6E2	1	3683	394	Sisma Y SLV	0	46.8	0	0	2.6E2	1
3684	394	Eccentricità Y per sisma X SLV	0	0	0	-1.2E3	2.6E2	1	3685	394	Eccentricità X per sisma Y SLV	0	0	0	9.7E3	2.6E2	1
3686	394	Sisma X SLD	20	0	0	0	2.6E2	1	3687	394	Sisma Y SLD	0	18.5	0	0	2.6E2	1
3688	394	Eccentricità Y per sisma X SLD	0	0	0	-5.0E2	2.6E2	1	3689	394	Eccentricità X per sisma Y SLD	0	0	0	3.8E3	2.6E2	1
3690	395	Sisma X SLV	96.9	0	0	0	5.4E2	1	3691	395	Sisma Y SLV	0	96.9	0	0	5.4E2	1
3692	395	Eccentricità Y per sisma X SLV	0	0	0	-2418	5.4E2	1	3693	395	Eccentricità X per sisma Y SLV	0	0	0	2.0E4	5.4E2	1
3694	395	Sisma X SLD	41.3	0	0	0	5.4E2	1	3695	395	Sisma Y SLD	0	38.2	0	0	5.4E2	1
3696	395	Eccentricità Y per sisma X SLD	0	0	0	-1.0E3	5.4E2	1	3697	395	Eccentricità X per sisma Y SLD	0	0	0	7.9E3	5.4E2	1
3698	396	Sisma X SLV	87.7	0	0	0	4.9E2	1	3699	396	Sisma Y SLV	0	87.7	0	0	4.9E2	1
3700	396	Eccentricità Y per sisma X SLV	0	0	0	-2.2E3	4.9E2	1	3701	396	Eccentricità X per sisma Y SLV	0	0	0	1.8E4	4.9E2	1
3702	396	Sisma X SLD	37.4	0	0	0	4.9E2	1	3703	396	Sisma Y SLD	0	34.6	0	0	4.9E2	1
3704	396	Eccentricità Y per sisma X SLD	0	0	0	-9.3E2	4.9E2	1	3705	396	Eccentricità X per sisma Y SLD	0	0	0	7.2E3	4.9E2	1
3706	397	Sisma X SLV	99.7	0	0	0	5.6E2	1	3707	397	Sisma Y SLV	0	99.7	0	0	5.6E2	1
3708	397	Eccentricità Y per sisma X SLV	0	0	0	-2.5E3	5.6E2	1	3709	397	Eccentricità X per sisma Y SLV	0	0	0	20729	5.6E2	1
3710	397	Sisma X SLD	42.5	0	0	0	5.6E2	1	3711	397	Sisma Y SLD	0	39.3	0	0	5.6E2	1

Indice	Nodo	Condizione	Fx	Fy	Fz	Mz	Peso	γ	Indice	Nodo	Condizione	Fx	Fy	Fz	Mz	Peso	γ
3712	397	Eccentricità Y per sisma X SLD	0	0	0	-1.1E3	5.6E2	1	3713	397	Eccentricità X per sisma Y SLD	0	0	0	8.2E3	5.6E2	1
3714	398	Sisma X SLV	98.6	0	0	0	5.5E2	1	3715	398	Sisma Y SLV	0	98.6	0	0	5.5E2	1
3716	398	Eccentricità Y per sisma X SLV	0	0	0	-2.5E3	5.5E2	1	3717	398	Eccentricità X per sisma Y SLV	0	0	0	2.1E4	5.5E2	1
3718	398	Sisma X SLD	42	0	0	0	5.5E2	1	3719	398	Sisma Y SLD	0	38.9	0	0	5.5E2	1
3720	398	Eccentricità Y per sisma X SLD	0	0	0	-1.0E3	5.5E2	1	3721	398	Eccentricità X per sisma Y SLD	0	0	0	8.1E3	5.5E2	1
3722	399	Sisma X SLV	96.6	0	0	0	5.4E2	1	3723	399	Sisma Y SLV	0	96.6	0	0	5.4E2	1
3724	399	Eccentricità Y per sisma X SLV	0	0	0	-2.4E3	5.4E2	1	3725	399	Eccentricità X per sisma Y SLV	0	0	0	2.0E4	5.4E2	1
3726	399	Sisma X SLD	41.2	0	0	0	5.4E2	1	3727	399	Sisma Y SLD	0	38.1	0	0	5.4E2	1
3728	399	Eccentricità Y per sisma X SLD	0	0	0	-1.0E3	5.4E2	1	3729	399	Eccentricità X per sisma Y SLD	0	0	0	7.9E3	5.4E2	1
3730	400	Sisma X SLV	97.4	0	0	0	5.5E2	1	3731	400	Sisma Y SLV	0	97.4	0	0	5.5E2	1
3732	400	Eccentricità Y per sisma X SLV	0	0	0	-2.4E3	5.5E2	1	3733	400	Eccentricità X per sisma Y SLV	0	0	0	2.0E4	5.5E2	1
3734	400	Sisma X SLD	41.5	0	0	0	5.5E2	1	3735	400	Sisma Y SLD	0	38.4	0	0	5.5E2	1
3736	400	Eccentricità Y per sisma X SLD	0	0	0	-1.0E3	5.5E2	1	3737	400	Eccentricità X per sisma Y SLD	0	0	0	8.0E3	5.5E2	1
3738	401	Sisma X SLV	94.8	0	0	0	5.3E2	1	3739	401	Sisma Y SLV	0	94.8	0	0	5.3E2	1
3740	401	Eccentricità Y per sisma X SLV	0	0	0	-2.4E3	5.3E2	1	3741	401	Eccentricità X per sisma Y SLV	0	0	0	2.0E4	5.3E2	1
3742	401	Sisma X SLD	40.4	0	0	0	5.3E2	1	3743	401	Sisma Y SLD	0	37.4	0	0	5.3E2	1
3744	401	Eccentricità Y per sisma X SLD	0	0	0	-1.0E3	5.3E2	1	3745	401	Eccentricità X per sisma Y SLD	0	0	0	7.8E3	5.3E2	1
3746	402	Sisma X SLV	93.5	0	0	0	5.2E2	1	3747	402	Sisma Y SLV	0	93.5	0	0	5.2E2	1
3748	402	Eccentricità Y per sisma X SLV	0	0	0	-2.3E3	5.2E2	1	3749	402	Eccentricità X per sisma Y SLV	0	0	0	19443	5.2E2	1
3750	402	Sisma X SLD	39.8	0	0	0	5.2E2	1	3751	402	Sisma Y SLD	0	36.9	0	0	5.2E2	1
3752	402	Eccentricità Y per sisma X SLD	0	0	0	-9.9E2	5.2E2	1	3753	402	Eccentricità X per sisma Y SLD	0	0	0	7.7E3	5.2E2	1
3754	403	Sisma X SLV	92.3	0	0	0	5.2E2	1	3755	403	Sisma Y SLV	0	92.3	0	0	5.2E2	1
3756	403	Eccentricità Y per sisma X SLV	0	0	0	-2.3E3	5.2E2	1	3757	403	Eccentricità X per sisma Y SLV	0	0	0	1.9E4	5.2E2	1
3758	403	Sisma X SLD	39.3	0	0	0	5.2E2	1	3759	403	Sisma Y SLD	0	36.4	0	0	5.2E2	1
3760	403	Eccentricità Y per sisma X SLD	0	0	0	-9.8E2	5.2E2	1	3761	403	Eccentricità X per sisma Y SLD	0	0	0	7.6E3	5.2E2	1
3762	404	Sisma X SLV	120.3	0	0	0	6.7E2	1	3763	404	Sisma Y SLV	0	120.3	0	0	6.7E2	1
3764	404	Eccentricità Y per sisma X SLV	0	0	0	-3.0E3	6.7E2	1	3765	404	Eccentricità X per sisma Y SLV	0	0	0	2.5E4	6.7E2	1
3766	404	Sisma X SLD	51.3	0	0	0	6.7E2	1	3767	404	Sisma Y SLD	0	47.5	0	0	6.7E2	1
3768	404	Eccentricità Y per sisma X SLD	0	0	0	-1.3E3	6.7E2	1	3769	404	Eccentricità X per sisma Y SLD	0	0	0	9870	6.7E2	1
3770	405	Sisma X SLV	364.1	0	0	0	2.0E3	1	3771	405	Sisma Y SLV	0	364.1	0	0	2.0E3	1
3772	405	Eccentricità Y per sisma X SLV	0	0	0	-9090	2.0E3	1	3773	405	Eccentricità X per sisma Y SLV	0	0	0	7.6E4	2.0E3	1
3774	405	Sisma X SLD	155.2	0	0	0	2.0E3	1	3775	405	Sisma Y SLD	0	143.6	0	0	2.0E3	1
3776	405	Eccentricità Y per sisma X SLD	0	0	0	-3.9E3	2.0E3	1	3777	405	Eccentricità X per sisma Y SLD	0	0	0	3.0E4	2.0E3	1
3778	406	Sisma X SLV	344	0	0	0	1.9E3	1	3779	406	Sisma Y SLV	0	344	0	0	1.9E3	1
3780	406	Eccentricità Y per sisma X SLV	0	0	0	-8.6E3	1.9E3	1	3781	406	Eccentricità X per sisma Y SLV	0	0	0	7.2E4	1.9E3	1
3782	406	Sisma X SLD	146.6	0	0	0	1.9E3	1	3783	406	Sisma Y SLD	0	135.7	0	0	1.9E3	1
3784	406	Eccentricità Y per sisma X SLD	0	0	0	-3.7E3	1.9E3	1	3785	406	Eccentricità X per sisma Y SLD	0	0	0	2.8E4	1.9E3	1
3786	407	Sisma X SLV	117	0	0	0	6.6E2	1	3787	407	Sisma Y SLV	0	117	0	0	6.6E2	1
3788	407	Eccentricità Y per sisma X SLV	0	0	0	-2.9E3	6.6E2	1	3789	407	Eccentricità X per sisma Y SLV	0	0	0	24332	6.6E2	1
3790	407	Sisma X SLD	49.9	0	0	0	6.6E2	1	3791	407	Sisma Y SLD	0	46.1	0	0	6.6E2	1
3792	407	Eccentricità Y per sisma X SLD	0	0	0	-1245	6.6E2	1	3793	407	Eccentricità X per sisma Y SLD	0	0	0	9.6E3	6.6E2	1
3794	408	Sisma X SLV	117	0	0	0	6.6E2	1	3795	408	Sisma Y SLV	0	117	0	0	6.6E2	1
3796	408	Eccentricità Y per sisma X SLV	0	0	0	-2.9E3	6.6E2	1	3797	408	Eccentricità X per sisma Y SLV	0	0	0	24332	6.6E2	1
3798	408	Sisma X SLD	49.9	0	0	0	6.6E2	1	3799	408	Sisma Y SLD	0	46.1	0	0	6.6E2	1
3800	408	Eccentricità Y per sisma X SLD	0	0	0	-1245	6.6E2	1	3801	408	Eccentricità X per sisma Y SLD	0	0	0	9.6E3	6.6E2	1
3802	409	Sisma X SLV	117	0	0	0	6.6E2	1	3803	409	Sisma Y SLV	0	117	0	0	6.6E2	1

Indice	Nodo	Condizione	Fx	Fy	Fz	Mz	Peso	γ	Indice	Nodo	Condizione	Fx	Fy	Fz	Mz	Peso	γ
3804	409	Eccentricità Y per sisma X SLV	0	0	0	-2.9E3	6.6E2	1	3805	409	Eccentricità X per sisma Y SLV	0	0	0	24332	6.6E2	1
3806	409	Sisma X SLD	49.9	0	0	0	6.6E2	1	3807	409	Sisma Y SLD	0	46.1	0	0	6.6E2	1
3808	409	Eccentricità Y per sisma X SLD	0	0	0	-1245	6.6E2	1	3809	409	Eccentricità X per sisma Y SLD	0	0	0	9.6E3	6.6E2	1
3810	410	Sisma X SLV	117	0	0	0	6.6E2	1	3811	410	Sisma Y SLV	0	117	0	0	6.6E2	1
3812	410	Eccentricità Y per sisma X SLV	0	0	0	-2.9E3	6.6E2	1	3813	410	Eccentricità X per sisma Y SLV	0	0	0	24332	6.6E2	1
3814	410	Sisma X SLD	49.9	0	0	0	6.6E2	1	3815	410	Sisma Y SLD	0	46.1	0	0	6.6E2	1
3816	410	Eccentricità Y per sisma X SLD	0	0	0	-1245	6.6E2	1	3817	410	Eccentricità X per sisma Y SLD	0	0	0	9.6E3	6.6E2	1
3818	411	Sisma X SLV	117	0	0	0	6.6E2	1	3819	411	Sisma Y SLV	0	117	0	0	6.6E2	1
3820	411	Eccentricità Y per sisma X SLV	0	0	0	-2.9E3	6.6E2	1	3821	411	Eccentricità X per sisma Y SLV	0	0	0	24332	6.6E2	1
3822	411	Sisma X SLD	49.9	0	0	0	6.6E2	1	3823	411	Sisma Y SLD	0	46.1	0	0	6.6E2	1
3824	411	Eccentricità Y per sisma X SLD	0	0	0	-1245	6.6E2	1	3825	411	Eccentricità X per sisma Y SLD	0	0	0	9.6E3	6.6E2	1
3826	412	Sisma X SLV	117	0	0	0	6.6E2	1	3827	412	Sisma Y SLV	0	117	0	0	6.6E2	1
3828	412	Eccentricità Y per sisma X SLV	0	0	0	-2.9E3	6.6E2	1	3829	412	Eccentricità X per sisma Y SLV	0	0	0	24332	6.6E2	1
3830	412	Sisma X SLD	49.9	0	0	0	6.6E2	1	3831	412	Sisma Y SLD	0	46.1	0	0	6.6E2	1
3832	412	Eccentricità Y per sisma X SLD	0	0	0	-1245	6.6E2	1	3833	412	Eccentricità X per sisma Y SLD	0	0	0	9.6E3	6.6E2	1
3834	413	Sisma X SLV	117	0	0	0	6.6E2	1	3835	413	Sisma Y SLV	0	117	0	0	6.6E2	1
3836	413	Eccentricità Y per sisma X SLV	0	0	0	-2.9E3	6.6E2	1	3837	413	Eccentricità X per sisma Y SLV	0	0	0	24332	6.6E2	1
3838	413	Sisma X SLD	49.9	0	0	0	6.6E2	1	3839	413	Sisma Y SLD	0	46.1	0	0	6.6E2	1
3840	413	Eccentricità Y per sisma X SLD	0	0	0	-1245	6.6E2	1	3841	413	Eccentricità X per sisma Y SLD	0	0	0	9.6E3	6.6E2	1
3842	414	Sisma X SLV	117	0	0	0	6.6E2	1	3843	414	Sisma Y SLV	0	117	0	0	6.6E2	1
3844	414	Eccentricità Y per sisma X SLV	0	0	0	-2.9E3	6.6E2	1	3845	414	Eccentricità X per sisma Y SLV	0	0	0	24332	6.6E2	1
3846	414	Sisma X SLD	49.9	0	0	0	6.6E2	1	3847	414	Sisma Y SLD	0	46.1	0	0	6.6E2	1
3848	414	Eccentricità Y per sisma X SLD	0	0	0	-1245	6.6E2	1	3849	414	Eccentricità X per sisma Y SLD	0	0	0	9.6E3	6.6E2	1
3850	415	Sisma X SLV	117	0	0	0	6.6E2	1	3851	415	Sisma Y SLV	0	117	0	0	6.6E2	1
3852	415	Eccentricità Y per sisma X SLV	0	0	0	-2.9E3	6.6E2	1	3853	415	Eccentricità X per sisma Y SLV	0	0	0	24332	6.6E2	1
3854	415	Sisma X SLD	49.9	0	0	0	6.6E2	1	3855	415	Sisma Y SLD	0	46.1	0	0	6.6E2	1
3856	415	Eccentricità Y per sisma X SLD	0	0	0	-1245	6.6E2	1	3857	415	Eccentricità X per sisma Y SLD	0	0	0	9.6E3	6.6E2	1
3858	416	Sisma X SLV	117	0	0	0	6.6E2	1	3859	416	Sisma Y SLV	0	117	0	0	6.6E2	1
3860	416	Eccentricità Y per sisma X SLV	0	0	0	-2.9E3	6.6E2	1	3861	416	Eccentricità X per sisma Y SLV	0	0	0	24332	6.6E2	1
3862	416	Sisma X SLD	49.9	0	0	0	6.6E2	1	3863	416	Sisma Y SLD	0	46.1	0	0	6.6E2	1
3864	416	Eccentricità Y per sisma X SLD	0	0	0	-1245	6.6E2	1	3865	416	Eccentricità X per sisma Y SLD	0	0	0	9.6E3	6.6E2	1
3866	417	Sisma X SLV	117	0	0	0	6.6E2	1	3867	417	Sisma Y SLV	0	117	0	0	6.6E2	1
3868	417	Eccentricità Y per sisma X SLV	0	0	0	-2.9E3	6.6E2	1	3869	417	Eccentricità X per sisma Y SLV	0	0	0	24332	6.6E2	1
3870	417	Sisma X SLD	49.9	0	0	0	6.6E2	1	3871	417	Sisma Y SLD	0	46.1	0	0	6.6E2	1
3872	417	Eccentricità Y per sisma X SLD	0	0	0	-1245	6.6E2	1	3873	417	Eccentricità X per sisma Y SLD	0	0	0	9.6E3	6.6E2	1
3874	418	Sisma X SLV	354.9	0	0	0	2.0E3	1	3875	418	Sisma Y SLV	0	354.9	0	0	2.0E3	1
3876	418	Eccentricità Y per sisma X SLV	0	0	0	-8.9E3	2.0E3	1	3877	418	Eccentricità X per sisma Y SLV	0	0	0	73819	2.0E3	1
3878	418	Sisma X SLD	151.3	0	0	0	2.0E3	1	3879	418	Sisma Y SLD	0	140	0	0	2.0E3	1
3880	418	Eccentricità Y per sisma X SLD	0	0	0	-3.8E3	2.0E3	1	3881	418	Eccentricità X per sisma Y SLD	0	0	0	2.9E4	2.0E3	1
3882	419	Sisma X SLV	117	0	0	0	6.6E2	1	3883	419	Sisma Y SLV	0	117	0	0	6.6E2	1
3884	419	Eccentricità Y per sisma X SLV	0	0	0	-2.9E3	6.6E2	1	3885	419	Eccentricità X per sisma Y SLV	0	0	0	24332	6.6E2	1
3886	419	Sisma X SLD	49.9	0	0	0	6.6E2	1	3887	419	Sisma Y SLD	0	46.1	0	0	6.6E2	1
3888	419	Eccentricità Y per sisma X SLD	0	0	0	-1245	6.6E2	1	3889	419	Eccentricità X per sisma Y SLD	0	0	0	9.6E3	6.6E2	1
3890	420	Sisma X SLV	117	0	0	0	6.6E2	1	3891	420	Sisma Y SLV	0	117	0	0	6.6E2	1
3892	420	Eccentricità Y per sisma X SLV	0	0	0	-2.9E3	6.6E2	1	3893	420	Eccentricità X per sisma Y SLV	0	0	0	24332	6.6E2	1
3894	420	Sisma X SLD	49.9	0	0	0	6.6E2	1	3895	420	Sisma Y SLD	0	46.1	0	0	6.6E2	1

Indice	Nodo	Condizione	Fx	Fy	Fz	Mz	Peso	γ	Indice	Nodo	Condizione	Fx	Fy	Fz	Mz	Peso	γ
3896	420	Eccentricità Y per sisma X SLD	0	0	0	-1245	6.6E2	1	3897	420	Eccentricità X per sisma Y SLD	0	0	0	9.6E3	6.6E2	1
3898	421	Sisma X SLV	117	0	0	0	6.6E2	1	3899	421	Sisma Y SLV	0	117	0	0	6.6E2	1
3900	421	Eccentricità Y per sisma X SLV	0	0	0	-2.9E3	6.6E2	1	3901	421	Eccentricità X per sisma Y SLV	0	0	0	24332	6.6E2	1
3902	421	Sisma X SLD	49.9	0	0	0	6.6E2	1	3903	421	Sisma Y SLD	0	46.1	0	0	6.6E2	1
3904	421	Eccentricità Y per sisma X SLD	0	0	0	-1245	6.6E2	1	3905	421	Eccentricità X per sisma Y SLD	0	0	0	9.6E3	6.6E2	1
3906	422	Sisma X SLV	117	0	0	0	6.6E2	1	3907	422	Sisma Y SLV	0	117	0	0	6.6E2	1
3908	422	Eccentricità Y per sisma X SLV	0	0	0	-2.9E3	6.6E2	1	3909	422	Eccentricità X per sisma Y SLV	0	0	0	24332	6.6E2	1
3910	422	Sisma X SLD	49.9	0	0	0	6.6E2	1	3911	422	Sisma Y SLD	0	46.1	0	0	6.6E2	1
3912	422	Eccentricità Y per sisma X SLD	0	0	0	-1245	6.6E2	1	3913	422	Eccentricità X per sisma Y SLD	0	0	0	9.6E3	6.6E2	1
3914	423	Sisma X SLV	117	0	0	0	6.6E2	1	3915	423	Sisma Y SLV	0	117	0	0	6.6E2	1
3916	423	Eccentricità Y per sisma X SLV	0	0	0	-2.9E3	6.6E2	1	3917	423	Eccentricità X per sisma Y SLV	0	0	0	24332	6.6E2	1
3918	423	Sisma X SLD	49.9	0	0	0	6.6E2	1	3919	423	Sisma Y SLD	0	46.1	0	0	6.6E2	1
3920	423	Eccentricità Y per sisma X SLD	0	0	0	-1245	6.6E2	1	3921	423	Eccentricità X per sisma Y SLD	0	0	0	9.6E3	6.6E2	1
3922	424	Sisma X SLV	117	0	0	0	6.6E2	1	3923	424	Sisma Y SLV	0	117	0	0	6.6E2	1
3924	424	Eccentricità Y per sisma X SLV	0	0	0	-2.9E3	6.6E2	1	3925	424	Eccentricità X per sisma Y SLV	0	0	0	24332	6.6E2	1
3926	424	Sisma X SLD	49.9	0	0	0	6.6E2	1	3927	424	Sisma Y SLD	0	46.1	0	0	6.6E2	1
3928	424	Eccentricità Y per sisma X SLD	0	0	0	-1245	6.6E2	1	3929	424	Eccentricità X per sisma Y SLD	0	0	0	9.6E3	6.6E2	1
3930	425	Sisma X SLV	117	0	0	0	6.6E2	1	3931	425	Sisma Y SLV	0	117	0	0	6.6E2	1
3932	425	Eccentricità Y per sisma X SLV	0	0	0	-2.9E3	6.6E2	1	3933	425	Eccentricità X per sisma Y SLV	0	0	0	24332	6.6E2	1
3934	425	Sisma X SLD	49.9	0	0	0	6.6E2	1	3935	425	Sisma Y SLD	0	46.1	0	0	6.6E2	1
3936	425	Eccentricità Y per sisma X SLD	0	0	0	-1245	6.6E2	1	3937	425	Eccentricità X per sisma Y SLD	0	0	0	9.6E3	6.6E2	1
3938	426	Sisma X SLV	117	0	0	0	6.6E2	1	3939	426	Sisma Y SLV	0	117	0	0	6.6E2	1
3940	426	Eccentricità Y per sisma X SLV	0	0	0	-2.9E3	6.6E2	1	3941	426	Eccentricità X per sisma Y SLV	0	0	0	24332	6.6E2	1
3942	426	Sisma X SLD	49.9	0	0	0	6.6E2	1	3943	426	Sisma Y SLD	0	46.1	0	0	6.6E2	1
3944	426	Eccentricità Y per sisma X SLD	0	0	0	-1245	6.6E2	1	3945	426	Eccentricità X per sisma Y SLD	0	0	0	9.6E3	6.6E2	1
3946	427	Sisma X SLV	117	0	0	0	6.6E2	1	3947	427	Sisma Y SLV	0	117	0	0	6.6E2	1
3948	427	Eccentricità Y per sisma X SLV	0	0	0	-2.9E3	6.6E2	1	3949	427	Eccentricità X per sisma Y SLV	0	0	0	24332	6.6E2	1
3950	427	Sisma X SLD	49.9	0	0	0	6.6E2	1	3951	427	Sisma Y SLD	0	46.1	0	0	6.6E2	1
3952	427	Eccentricità Y per sisma X SLD	0	0	0	-1245	6.6E2	1	3953	427	Eccentricità X per sisma Y SLD	0	0	0	9.6E3	6.6E2	1
3954	428	Sisma X SLV	117	0	0	0	6.6E2	1	3955	428	Sisma Y SLV	0	117	0	0	6.6E2	1
3956	428	Eccentricità Y per sisma X SLV	0	0	0	-2.9E3	6.6E2	1	3957	428	Eccentricità X per sisma Y SLV	0	0	0	24332	6.6E2	1
3958	428	Sisma X SLD	49.9	0	0	0	6.6E2	1	3959	428	Sisma Y SLD	0	46.1	0	0	6.6E2	1
3960	428	Eccentricità Y per sisma X SLD	0	0	0	-1245	6.6E2	1	3961	428	Eccentricità X per sisma Y SLD	0	0	0	9.6E3	6.6E2	1
3962	429	Sisma X SLV	117	0	0	0	6.6E2	1	3963	429	Sisma Y SLV	0	117	0	0	6.6E2	1
3964	429	Eccentricità Y per sisma X SLV	0	0	0	-2.9E3	6.6E2	1	3965	429	Eccentricità X per sisma Y SLV	0	0	0	24332	6.6E2	1
3966	429	Sisma X SLD	49.9	0	0	0	6.6E2	1	3967	429	Sisma Y SLD	0	46.1	0	0	6.6E2	1
3968	429	Eccentricità Y per sisma X SLD	0	0	0	-1245	6.6E2	1	3969	429	Eccentricità X per sisma Y SLD	0	0	0	9.6E3	6.6E2	1
3970	430	Sisma X SLV	354.9	0	0	0	2.0E3	1	3971	430	Sisma Y SLV	0	354.9	0	0	2.0E3	1
3972	430	Eccentricità Y per sisma X SLV	0	0	0	-8.9E3	2.0E3	1	3973	430	Eccentricità X per sisma Y SLV	0	0	0	73819	2.0E3	1
3974	430	Sisma X SLD	151.3	0	0	0	2.0E3	1	3975	430	Sisma Y SLD	0	140	0	0	2.0E3	1
3976	430	Eccentricità Y per sisma X SLD	0	0	0	-3.8E3	2.0E3	1	3977	430	Eccentricità X per sisma Y SLD	0	0	0	2.9E4	2.0E3	1
3978	431	Sisma X SLV	117	0	0	0	6.6E2	1	3979	431	Sisma Y SLV	0	117	0	0	6.6E2	1
3980	431	Eccentricità Y per sisma X SLV	0	0	0	-2.9E3	6.6E2	1	3981	431	Eccentricità X per sisma Y SLV	0	0	0	24332	6.6E2	1
3982	431	Sisma X SLD	49.9	0	0	0	6.6E2	1	3983	431	Sisma Y SLD	0	46.1	0	0	6.6E2	1
3984	431	Eccentricità Y per sisma X SLD	0	0	0	-1245	6.6E2	1	3985	431	Eccentricità X per sisma Y SLD	0	0	0	9.6E3	6.6E2	1
3986	432	Sisma X SLV	117	0	0	0	6.6E2	1	3987	432	Sisma Y SLV	0	117	0	0	6.6E2	1

Indice	Nodo	Condizione	Fx	Fy	Fz	Mz	Peso	γ	Indice	Nodo	Condizione	Fx	Fy	Fz	Mz	Peso	γ
3988	432	Eccentricità Y per sisma X SLV	0	0	0	-2.9E3	6.6E2	1	3989	432	Eccentricità X per sisma Y SLV	0	0	0	24332	6.6E2	1
3990	432	Sisma X SLD	49.9	0	0	0	6.6E2	1	3991	432	Sisma Y SLD	0	46.1	0	0	6.6E2	1
3992	432	Eccentricità Y per sisma X SLD	0	0	0	-1245	6.6E2	1	3993	432	Eccentricità X per sisma Y SLD	0	0	0	9.6E3	6.6E2	1
3994	433	Sisma X SLV	117	0	0	0	6.6E2	1	3995	433	Sisma Y SLV	0	117	0	0	6.6E2	1
3996	433	Eccentricità Y per sisma X SLV	0	0	0	-2.9E3	6.6E2	1	3997	433	Eccentricità X per sisma Y SLV	0	0	0	24332	6.6E2	1
3998	433	Sisma X SLD	49.9	0	0	0	6.6E2	1	3999	433	Sisma Y SLD	0	46.1	0	0	6.6E2	1
4000	433	Eccentricità Y per sisma X SLD	0	0	0	-1245	6.6E2	1	4001	433	Eccentricità X per sisma Y SLD	0	0	0	9.6E3	6.6E2	1
4002	434	Sisma X SLV	117	0	0	0	6.6E2	1	4003	434	Sisma Y SLV	0	117	0	0	6.6E2	1
4004	434	Eccentricità Y per sisma X SLV	0	0	0	-2.9E3	6.6E2	1	4005	434	Eccentricità X per sisma Y SLV	0	0	0	24332	6.6E2	1
4006	434	Sisma X SLD	49.9	0	0	0	6.6E2	1	4007	434	Sisma Y SLD	0	46.1	0	0	6.6E2	1
4008	434	Eccentricità Y per sisma X SLD	0	0	0	-1245	6.6E2	1	4009	434	Eccentricità X per sisma Y SLD	0	0	0	9.6E3	6.6E2	1
4010	435	Sisma X SLV	117	0	0	0	6.6E2	1	4011	435	Sisma Y SLV	0	117	0	0	6.6E2	1
4012	435	Eccentricità Y per sisma X SLV	0	0	0	-2.9E3	6.6E2	1	4013	435	Eccentricità X per sisma Y SLV	0	0	0	24332	6.6E2	1
4014	435	Sisma X SLD	49.9	0	0	0	6.6E2	1	4015	435	Sisma Y SLD	0	46.1	0	0	6.6E2	1
4016	435	Eccentricità Y per sisma X SLD	0	0	0	-1245	6.6E2	1	4017	435	Eccentricità X per sisma Y SLD	0	0	0	9.6E3	6.6E2	1
4018	436	Sisma X SLV	117	0	0	0	6.6E2	1	4019	436	Sisma Y SLV	0	117	0	0	6.6E2	1
4020	436	Eccentricità Y per sisma X SLV	0	0	0	-2.9E3	6.6E2	1	4021	436	Eccentricità X per sisma Y SLV	0	0	0	24332	6.6E2	1
4022	436	Sisma X SLD	49.9	0	0	0	6.6E2	1	4023	436	Sisma Y SLD	0	46.1	0	0	6.6E2	1
4024	436	Eccentricità Y per sisma X SLD	0	0	0	-1245	6.6E2	1	4025	436	Eccentricità X per sisma Y SLD	0	0	0	9.6E3	6.6E2	1
4026	437	Sisma X SLV	117	0	0	0	6.6E2	1	4027	437	Sisma Y SLV	0	117	0	0	6.6E2	1
4028	437	Eccentricità Y per sisma X SLV	0	0	0	-2.9E3	6.6E2	1	4029	437	Eccentricità X per sisma Y SLV	0	0	0	24332	6.6E2	1
4030	437	Sisma X SLD	49.9	0	0	0	6.6E2	1	4031	437	Sisma Y SLD	0	46.1	0	0	6.6E2	1
4032	437	Eccentricità Y per sisma X SLD	0	0	0	-1245	6.6E2	1	4033	437	Eccentricità X per sisma Y SLD	0	0	0	9.6E3	6.6E2	1
4034	438	Sisma X SLV	117	0	0	0	6.6E2	1	4035	438	Sisma Y SLV	0	117	0	0	6.6E2	1
4036	438	Eccentricità Y per sisma X SLV	0	0	0	-2.9E3	6.6E2	1	4037	438	Eccentricità X per sisma Y SLV	0	0	0	24332	6.6E2	1
4038	438	Sisma X SLD	49.9	0	0	0	6.6E2	1	4039	438	Sisma Y SLD	0	46.1	0	0	6.6E2	1
4040	438	Eccentricità Y per sisma X SLD	0	0	0	-1245	6.6E2	1	4041	438	Eccentricità X per sisma Y SLD	0	0	0	9.6E3	6.6E2	1
4042	439	Sisma X SLV	117	0	0	0	6.6E2	1	4043	439	Sisma Y SLV	0	117	0	0	6.6E2	1
4044	439	Eccentricità Y per sisma X SLV	0	0	0	-2.9E3	6.6E2	1	4045	439	Eccentricità X per sisma Y SLV	0	0	0	24332	6.6E2	1
4046	439	Sisma X SLD	49.9	0	0	0	6.6E2	1	4047	439	Sisma Y SLD	0	46.1	0	0	6.6E2	1
4048	439	Eccentricità Y per sisma X SLD	0	0	0	-1245	6.6E2	1	4049	439	Eccentricità X per sisma Y SLD	0	0	0	9.6E3	6.6E2	1
4050	440	Sisma X SLV	117	0	0	0	6.6E2	1	4051	440	Sisma Y SLV	0	117	0	0	6.6E2	1
4052	440	Eccentricità Y per sisma X SLV	0	0	0	-2.9E3	6.6E2	1	4053	440	Eccentricità X per sisma Y SLV	0	0	0	24332	6.6E2	1
4054	440	Sisma X SLD	49.9	0	0	0	6.6E2	1	4055	440	Sisma Y SLD	0	46.1	0	0	6.6E2	1
4056	440	Eccentricità Y per sisma X SLD	0	0	0	-1245	6.6E2	1	4057	440	Eccentricità X per sisma Y SLD	0	0	0	9.6E3	6.6E2	1
4058	441	Sisma X SLV	117	0	0	0	6.6E2	1	4059	441	Sisma Y SLV	0	117	0	0	6.6E2	1
4060	441	Eccentricità Y per sisma X SLV	0	0	0	-2.9E3	6.6E2	1	4061	441	Eccentricità X per sisma Y SLV	0	0	0	24332	6.6E2	1
4062	441	Sisma X SLD	49.9	0	0	0	6.6E2	1	4063	441	Sisma Y SLD	0	46.1	0	0	6.6E2	1
4064	441	Eccentricità Y per sisma X SLD	0	0	0	-1245	6.6E2	1	4065	441	Eccentricità X per sisma Y SLD	0	0	0	9.6E3	6.6E2	1
4066	442	Sisma X SLV	354.9	0	0	0	2.0E3	1	4067	442	Sisma Y SLV	0	354.9	0	0	2.0E3	1
4068	442	Eccentricità Y per sisma X SLV	0	0	0	-8.9E3	2.0E3	1	4069	442	Eccentricità X per sisma Y SLV	0	0	0	73819	2.0E3	1
4070	442	Sisma X SLD	151.3	0	0	0	2.0E3	1	4071	442	Sisma Y SLD	0	140	0	0	2.0E3	1
4072	442	Eccentricità Y per sisma X SLD	0	0	0	-3.8E3	2.0E3	1	4073	442	Eccentricità X per sisma Y SLD	0	0	0	2.9E4	2.0E3	1
4074	443	Sisma X SLV	117	0	0	0	6.6E2	1	4075	443	Sisma Y SLV	0	117	0	0	6.6E2	1
4076	443	Eccentricità Y per sisma X SLV	0	0	0	-2.9E3	6.6E2	1	4077	443	Eccentricità X per sisma Y SLV	0	0	0	24332	6.6E2	1
4078	443	Sisma X SLD	49.9	0	0	0	6.6E2	1	4079	443	Sisma Y SLD	0	46.1	0	0	6.6E2	1

Indice	Nodo	Condizione	Fx	Fy	Fz	Mz	Peso	γ	Indice	Nodo	Condizione	Fx	Fy	Fz	Mz	Peso	γ
4080	443	Eccentricità Y per sisma X SLD	0	0	0	-1245	6.6E2	1	4081	443	Eccentricità X per sisma Y SLD	0	0	0	9.6E3	6.6E2	1
4082	444	Sisma X SLV	117	0	0	0	6.6E2	1	4083	444	Sisma Y SLV	0	117	0	0	6.6E2	1
4084	444	Eccentricità Y per sisma X SLV	0	0	0	-2.9E3	6.6E2	1	4085	444	Eccentricità X per sisma Y SLV	0	0	0	24332	6.6E2	1
4086	444	Sisma X SLD	49.9	0	0	0	6.6E2	1	4087	444	Sisma Y SLD	0	46.1	0	0	6.6E2	1
4088	444	Eccentricità Y per sisma X SLD	0	0	0	-1245	6.6E2	1	4089	444	Eccentricità X per sisma Y SLD	0	0	0	9.6E3	6.6E2	1
4090	445	Sisma X SLV	117	0	0	0	6.6E2	1	4091	445	Sisma Y SLV	0	117	0	0	6.6E2	1
4092	445	Eccentricità Y per sisma X SLV	0	0	0	-2.9E3	6.6E2	1	4093	445	Eccentricità X per sisma Y SLV	0	0	0	24332	6.6E2	1
4094	445	Sisma X SLD	49.9	0	0	0	6.6E2	1	4095	445	Sisma Y SLD	0	46.1	0	0	6.6E2	1
4096	445	Eccentricità Y per sisma X SLD	0	0	0	-1245	6.6E2	1	4097	445	Eccentricità X per sisma Y SLD	0	0	0	9.6E3	6.6E2	1
4098	446	Sisma X SLV	117	0	0	0	6.6E2	1	4099	446	Sisma Y SLV	0	117	0	0	6.6E2	1
4100	446	Eccentricità Y per sisma X SLV	0	0	0	-2.9E3	6.6E2	1	4101	446	Eccentricità X per sisma Y SLV	0	0	0	24332	6.6E2	1
4102	446	Sisma X SLD	49.9	0	0	0	6.6E2	1	4103	446	Sisma Y SLD	0	46.1	0	0	6.6E2	1
4104	446	Eccentricità Y per sisma X SLD	0	0	0	-1245	6.6E2	1	4105	446	Eccentricità X per sisma Y SLD	0	0	0	9.6E3	6.6E2	1
4106	447	Sisma X SLV	117	0	0	0	6.6E2	1	4107	447	Sisma Y SLV	0	117	0	0	6.6E2	1
4108	447	Eccentricità Y per sisma X SLV	0	0	0	-2.9E3	6.6E2	1	4109	447	Eccentricità X per sisma Y SLV	0	0	0	24332	6.6E2	1
4110	447	Sisma X SLD	49.9	0	0	0	6.6E2	1	4111	447	Sisma Y SLD	0	46.1	0	0	6.6E2	1
4112	447	Eccentricità Y per sisma X SLD	0	0	0	-1245	6.6E2	1	4113	447	Eccentricità X per sisma Y SLD	0	0	0	9.6E3	6.6E2	1
4114	448	Sisma X SLV	117	0	0	0	6.6E2	1	4115	448	Sisma Y SLV	0	117	0	0	6.6E2	1
4116	448	Eccentricità Y per sisma X SLV	0	0	0	-2.9E3	6.6E2	1	4117	448	Eccentricità X per sisma Y SLV	0	0	0	24332	6.6E2	1
4118	448	Sisma X SLD	49.9	0	0	0	6.6E2	1	4119	448	Sisma Y SLD	0	46.1	0	0	6.6E2	1
4120	448	Eccentricità Y per sisma X SLD	0	0	0	-1245	6.6E2	1	4121	448	Eccentricità X per sisma Y SLD	0	0	0	9.6E3	6.6E2	1
4122	449	Sisma X SLV	117	0	0	0	6.6E2	1	4123	449	Sisma Y SLV	0	117	0	0	6.6E2	1
4124	449	Eccentricità Y per sisma X SLV	0	0	0	-2.9E3	6.6E2	1	4125	449	Eccentricità X per sisma Y SLV	0	0	0	24332	6.6E2	1
4126	449	Sisma X SLD	49.9	0	0	0	6.6E2	1	4127	449	Sisma Y SLD	0	46.1	0	0	6.6E2	1
4128	449	Eccentricità Y per sisma X SLD	0	0	0	-1245	6.6E2	1	4129	449	Eccentricità X per sisma Y SLD	0	0	0	9.6E3	6.6E2	1
4130	450	Sisma X SLV	117	0	0	0	6.6E2	1	4131	450	Sisma Y SLV	0	117	0	0	6.6E2	1
4132	450	Eccentricità Y per sisma X SLV	0	0	0	-2.9E3	6.6E2	1	4133	450	Eccentricità X per sisma Y SLV	0	0	0	24332	6.6E2	1
4134	450	Sisma X SLD	49.9	0	0	0	6.6E2	1	4135	450	Sisma Y SLD	0	46.1	0	0	6.6E2	1
4136	450	Eccentricità Y per sisma X SLD	0	0	0	-1245	6.6E2	1	4137	450	Eccentricità X per sisma Y SLD	0	0	0	9.6E3	6.6E2	1
4138	451	Sisma X SLV	117	0	0	0	6.6E2	1	4139	451	Sisma Y SLV	0	117	0	0	6.6E2	1
4140	451	Eccentricità Y per sisma X SLV	0	0	0	-2.9E3	6.6E2	1	4141	451	Eccentricità X per sisma Y SLV	0	0	0	24332	6.6E2	1
4142	451	Sisma X SLD	49.9	0	0	0	6.6E2	1	4143	451	Sisma Y SLD	0	46.1	0	0	6.6E2	1
4144	451	Eccentricità Y per sisma X SLD	0	0	0	-1245	6.6E2	1	4145	451	Eccentricità X per sisma Y SLD	0	0	0	9.6E3	6.6E2	1
4146	452	Sisma X SLV	117	0	0	0	6.6E2	1	4147	452	Sisma Y SLV	0	117	0	0	6.6E2	1
4148	452	Eccentricità Y per sisma X SLV	0	0	0	-2.9E3	6.6E2	1	4149	452	Eccentricità X per sisma Y SLV	0	0	0	24332	6.6E2	1
4150	452	Sisma X SLD	49.9	0	0	0	6.6E2	1	4151	452	Sisma Y SLD	0	46.1	0	0	6.6E2	1
4152	452	Eccentricità Y per sisma X SLD	0	0	0	-1245	6.6E2	1	4153	452	Eccentricità X per sisma Y SLD	0	0	0	9.6E3	6.6E2	1
4154	453	Sisma X SLV	117	0	0	0	6.6E2	1	4155	453	Sisma Y SLV	0	117	0	0	6.6E2	1
4156	453	Eccentricità Y per sisma X SLV	0	0	0	-2.9E3	6.6E2	1	4157	453	Eccentricità X per sisma Y SLV	0	0	0	24332	6.6E2	1
4158	453	Sisma X SLD	49.9	0	0	0	6.6E2	1	4159	453	Sisma Y SLD	0	46.1	0	0	6.6E2	1
4160	453	Eccentricità Y per sisma X SLD	0	0	0	-1245	6.6E2	1	4161	453	Eccentricità X per sisma Y SLD	0	0	0	9.6E3	6.6E2	1
4162	454	Sisma X SLV	354.9	0	0	0	2.0E3	1	4163	454	Sisma Y SLV	0	354.9	0	0	2.0E3	1
4164	454	Eccentricità Y per sisma X SLV	0	0	0	-8.9E3	2.0E3	1	4165	454	Eccentricità X per sisma Y SLV	0	0	0	73819	2.0E3	1
4166	454	Sisma X SLD	151.3	0	0	0	2.0E3	1	4167	454	Sisma Y SLD	0	140	0	0	2.0E3	1
4168	454	Eccentricità Y per sisma X SLD	0	0	0	-3.8E3	2.0E3	1	4169	454	Eccentricità X per sisma Y SLD	0	0	0	2.9E4	2.0E3	1
4170	455	Sisma X SLV	117	0	0	0	6.6E2	1	4171	455	Sisma Y SLV	0	117	0	0	6.6E2	1

Indice	Nodo	Condizione	Fx	Fy	Fz	Mz	Peso	γ	Indice	Nodo	Condizione	Fx	Fy	Fz	Mz	Peso	γ
4172	455	Eccentricità Y per sisma X SLV	0	0	0	-2.9E3	6.6E2	1	4173	455	Eccentricità X per sisma Y SLV	0	0	0	24332	6.6E2	1
4174	455	Sisma X SLD	49.9	0	0	0	6.6E2	1	4175	455	Sisma Y SLD	0	46.1	0	0	6.6E2	1
4176	455	Eccentricità Y per sisma X SLD	0	0	0	-1245	6.6E2	1	4177	455	Eccentricità X per sisma Y SLD	0	0	0	9.6E3	6.6E2	1
4178	456	Sisma X SLV	117	0	0	0	6.6E2	1	4179	456	Sisma Y SLV	0	117	0	0	6.6E2	1
4180	456	Eccentricità Y per sisma X SLV	0	0	0	-2.9E3	6.6E2	1	4181	456	Eccentricità X per sisma Y SLV	0	0	0	24332	6.6E2	1
4182	456	Sisma X SLD	49.9	0	0	0	6.6E2	1	4183	456	Sisma Y SLD	0	46.1	0	0	6.6E2	1
4184	456	Eccentricità Y per sisma X SLD	0	0	0	-1245	6.6E2	1	4185	456	Eccentricità X per sisma Y SLD	0	0	0	9.6E3	6.6E2	1
4186	457	Sisma X SLV	117	0	0	0	6.6E2	1	4187	457	Sisma Y SLV	0	117	0	0	6.6E2	1
4188	457	Eccentricità Y per sisma X SLV	0	0	0	-2.9E3	6.6E2	1	4189	457	Eccentricità X per sisma Y SLV	0	0	0	24332	6.6E2	1
4190	457	Sisma X SLD	49.9	0	0	0	6.6E2	1	4191	457	Sisma Y SLD	0	46.1	0	0	6.6E2	1
4192	457	Eccentricità Y per sisma X SLD	0	0	0	-1245	6.6E2	1	4193	457	Eccentricità X per sisma Y SLD	0	0	0	9.6E3	6.6E2	1
4194	458	Sisma X SLV	117	0	0	0	6.6E2	1	4195	458	Sisma Y SLV	0	117	0	0	6.6E2	1
4196	458	Eccentricità Y per sisma X SLV	0	0	0	-2.9E3	6.6E2	1	4197	458	Eccentricità X per sisma Y SLV	0	0	0	24332	6.6E2	1
4198	458	Sisma X SLD	49.9	0	0	0	6.6E2	1	4199	458	Sisma Y SLD	0	46.1	0	0	6.6E2	1
4200	458	Eccentricità Y per sisma X SLD	0	0	0	-1245	6.6E2	1	4201	458	Eccentricità X per sisma Y SLD	0	0	0	9.6E3	6.6E2	1
4202	459	Sisma X SLV	117	0	0	0	6.6E2	1	4203	459	Sisma Y SLV	0	117	0	0	6.6E2	1
4204	459	Eccentricità Y per sisma X SLV	0	0	0	-2.9E3	6.6E2	1	4205	459	Eccentricità X per sisma Y SLV	0	0	0	24332	6.6E2	1
4206	459	Sisma X SLD	49.9	0	0	0	6.6E2	1	4207	459	Sisma Y SLD	0	46.1	0	0	6.6E2	1
4208	459	Eccentricità Y per sisma X SLD	0	0	0	-1245	6.6E2	1	4209	459	Eccentricità X per sisma Y SLD	0	0	0	9.6E3	6.6E2	1
4210	460	Sisma X SLV	117	0	0	0	6.6E2	1	4211	460	Sisma Y SLV	0	117	0	0	6.6E2	1
4212	460	Eccentricità Y per sisma X SLV	0	0	0	-2.9E3	6.6E2	1	4213	460	Eccentricità X per sisma Y SLV	0	0	0	24332	6.6E2	1
4214	460	Sisma X SLD	49.9	0	0	0	6.6E2	1	4215	460	Sisma Y SLD	0	46.1	0	0	6.6E2	1
4216	460	Eccentricità Y per sisma X SLD	0	0	0	-1245	6.6E2	1	4217	460	Eccentricità X per sisma Y SLD	0	0	0	9.6E3	6.6E2	1
4218	461	Sisma X SLV	117	0	0	0	6.6E2	1	4219	461	Sisma Y SLV	0	117	0	0	6.6E2	1
4220	461	Eccentricità Y per sisma X SLV	0	0	0	-2.9E3	6.6E2	1	4221	461	Eccentricità X per sisma Y SLV	0	0	0	24332	6.6E2	1
4222	461	Sisma X SLD	49.9	0	0	0	6.6E2	1	4223	461	Sisma Y SLD	0	46.1	0	0	6.6E2	1
4224	461	Eccentricità Y per sisma X SLD	0	0	0	-1245	6.6E2	1	4225	461	Eccentricità X per sisma Y SLD	0	0	0	9.6E3	6.6E2	1
4226	462	Sisma X SLV	117	0	0	0	6.6E2	1	4227	462	Sisma Y SLV	0	117	0	0	6.6E2	1
4228	462	Eccentricità Y per sisma X SLV	0	0	0	-2.9E3	6.6E2	1	4229	462	Eccentricità X per sisma Y SLV	0	0	0	24332	6.6E2	1
4230	462	Sisma X SLD	49.9	0	0	0	6.6E2	1	4231	462	Sisma Y SLD	0	46.1	0	0	6.6E2	1
4232	462	Eccentricità Y per sisma X SLD	0	0	0	-1245	6.6E2	1	4233	462	Eccentricità X per sisma Y SLD	0	0	0	9.6E3	6.6E2	1
4234	463	Sisma X SLV	117	0	0	0	6.6E2	1	4235	463	Sisma Y SLV	0	117	0	0	6.6E2	1
4236	463	Eccentricità Y per sisma X SLV	0	0	0	-2.9E3	6.6E2	1	4237	463	Eccentricità X per sisma Y SLV	0	0	0	24332	6.6E2	1
4238	463	Sisma X SLD	49.9	0	0	0	6.6E2	1	4239	463	Sisma Y SLD	0	46.1	0	0	6.6E2	1
4240	463	Eccentricità Y per sisma X SLD	0	0	0	-1245	6.6E2	1	4241	463	Eccentricità X per sisma Y SLD	0	0	0	9.6E3	6.6E2	1
4242	464	Sisma X SLV	117	0	0	0	6.6E2	1	4243	464	Sisma Y SLV	0	117	0	0	6.6E2	1
4244	464	Eccentricità Y per sisma X SLV	0	0	0	-2.9E3	6.6E2	1	4245	464	Eccentricità X per sisma Y SLV	0	0	0	24332	6.6E2	1
4246	464	Sisma X SLD	49.9	0	0	0	6.6E2	1	4247	464	Sisma Y SLD	0	46.1	0	0	6.6E2	1
4248	464	Eccentricità Y per sisma X SLD	0	0	0	-1245	6.6E2	1	4249	464	Eccentricità X per sisma Y SLD	0	0	0	9.6E3	6.6E2	1
4250	465	Sisma X SLV	117	0	0	0	6.6E2	1	4251	465	Sisma Y SLV	0	117	0	0	6.6E2	1
4252	465	Eccentricità Y per sisma X SLV	0	0	0	-2.9E3	6.6E2	1	4253	465	Eccentricità X per sisma Y SLV	0	0	0	24332	6.6E2	1
4254	465	Sisma X SLD	49.9	0	0	0	6.6E2	1	4255	465	Sisma Y SLD	0	46.1	0	0	6.6E2	1
4256	465	Eccentricità Y per sisma X SLD	0	0	0	-1245	6.6E2	1	4257	465	Eccentricità X per sisma Y SLD	0	0	0	9.6E3	6.6E2	1
4258	466	Sisma X SLV	354.9	0	0	0	2.0E3	1	4259	466	Sisma Y SLV	0	354.9	0	0	2.0E3	1
4260	466	Eccentricità Y per sisma X SLV	0	0	0	-8.9E3	2.0E3	1	4261	466	Eccentricità X per sisma Y SLV	0	0	0	73819	2.0E3	1
4262	466	Sisma X SLD	151.3	0	0	0	2.0E3	1	4263	466	Sisma Y SLD	0	140	0	0	2.0E3	1

Indice	Nodo	Condizione	Fx	Fy	Fz	Mz	Peso	γ	Indice	Nodo	Condizione	Fx	Fy	Fz	Mz	Peso	γ
4264	466	Eccentricità Y per sisma X SLD	0	0	0	-3.8E3	2.0E3	1	4265	466	Eccentricità X per sisma Y SLD	0	0	0	2.9E4	2.0E3	1
4266	467	Sisma X SLV	117	0	0	0	6.6E2	1	4267	467	Sisma Y SLV	0	117	0	0	6.6E2	1
4268	467	Eccentricità Y per sisma X SLV	0	0	0	-2.9E3	6.6E2	1	4269	467	Eccentricità X per sisma Y SLV	0	0	0	24332	6.6E2	1
4270	467	Sisma X SLD	49.9	0	0	0	6.6E2	1	4271	467	Sisma Y SLD	0	46.1	0	0	6.6E2	1
4272	467	Eccentricità Y per sisma X SLD	0	0	0	-1245	6.6E2	1	4273	467	Eccentricità X per sisma Y SLD	0	0	0	9.6E3	6.6E2	1
4274	468	Sisma X SLV	117	0	0	0	6.6E2	1	4275	468	Sisma Y SLV	0	117	0	0	6.6E2	1
4276	468	Eccentricità Y per sisma X SLV	0	0	0	-2.9E3	6.6E2	1	4277	468	Eccentricità X per sisma Y SLV	0	0	0	24332	6.6E2	1
4278	468	Sisma X SLD	49.9	0	0	0	6.6E2	1	4279	468	Sisma Y SLD	0	46.1	0	0	6.6E2	1
4280	468	Eccentricità Y per sisma X SLD	0	0	0	-1245	6.6E2	1	4281	468	Eccentricità X per sisma Y SLD	0	0	0	9.6E3	6.6E2	1
4282	469	Sisma X SLV	117	0	0	0	6.6E2	1	4283	469	Sisma Y SLV	0	117	0	0	6.6E2	1
4284	469	Eccentricità Y per sisma X SLV	0	0	0	-2.9E3	6.6E2	1	4285	469	Eccentricità X per sisma Y SLV	0	0	0	24332	6.6E2	1
4286	469	Sisma X SLD	49.9	0	0	0	6.6E2	1	4287	469	Sisma Y SLD	0	46.1	0	0	6.6E2	1
4288	469	Eccentricità Y per sisma X SLD	0	0	0	-1245	6.6E2	1	4289	469	Eccentricità X per sisma Y SLD	0	0	0	9.6E3	6.6E2	1
4290	470	Sisma X SLV	117	0	0	0	6.6E2	1	4291	470	Sisma Y SLV	0	117	0	0	6.6E2	1
4292	470	Eccentricità Y per sisma X SLV	0	0	0	-2.9E3	6.6E2	1	4293	470	Eccentricità X per sisma Y SLV	0	0	0	24332	6.6E2	1
4294	470	Sisma X SLD	49.9	0	0	0	6.6E2	1	4295	470	Sisma Y SLD	0	46.1	0	0	6.6E2	1
4296	470	Eccentricità Y per sisma X SLD	0	0	0	-1245	6.6E2	1	4297	470	Eccentricità X per sisma Y SLD	0	0	0	9.6E3	6.6E2	1
4298	471	Sisma X SLV	117	0	0	0	6.6E2	1	4299	471	Sisma Y SLV	0	117	0	0	6.6E2	1
4300	471	Eccentricità Y per sisma X SLV	0	0	0	-2.9E3	6.6E2	1	4301	471	Eccentricità X per sisma Y SLV	0	0	0	24332	6.6E2	1
4302	471	Sisma X SLD	49.9	0	0	0	6.6E2	1	4303	471	Sisma Y SLD	0	46.1	0	0	6.6E2	1
4304	471	Eccentricità Y per sisma X SLD	0	0	0	-1245	6.6E2	1	4305	471	Eccentricità X per sisma Y SLD	0	0	0	9.6E3	6.6E2	1
4306	472	Sisma X SLV	117	0	0	0	6.6E2	1	4307	472	Sisma Y SLV	0	117	0	0	6.6E2	1
4308	472	Eccentricità Y per sisma X SLV	0	0	0	-2.9E3	6.6E2	1	4309	472	Eccentricità X per sisma Y SLV	0	0	0	24332	6.6E2	1
4310	472	Sisma X SLD	49.9	0	0	0	6.6E2	1	4311	472	Sisma Y SLD	0	46.1	0	0	6.6E2	1
4312	472	Eccentricità Y per sisma X SLD	0	0	0	-1245	6.6E2	1	4313	472	Eccentricità X per sisma Y SLD	0	0	0	9.6E3	6.6E2	1
4314	473	Sisma X SLV	117	0	0	0	6.6E2	1	4315	473	Sisma Y SLV	0	117	0	0	6.6E2	1
4316	473	Eccentricità Y per sisma X SLV	0	0	0	-2.9E3	6.6E2	1	4317	473	Eccentricità X per sisma Y SLV	0	0	0	24332	6.6E2	1
4318	473	Sisma X SLD	49.9	0	0	0	6.6E2	1	4319	473	Sisma Y SLD	0	46.1	0	0	6.6E2	1
4320	473	Eccentricità Y per sisma X SLD	0	0	0	-1245	6.6E2	1	4321	473	Eccentricità X per sisma Y SLD	0	0	0	9.6E3	6.6E2	1
4322	474	Sisma X SLV	117	0	0	0	6.6E2	1	4323	474	Sisma Y SLV	0	117	0	0	6.6E2	1
4324	474	Eccentricità Y per sisma X SLV	0	0	0	-2.9E3	6.6E2	1	4325	474	Eccentricità X per sisma Y SLV	0	0	0	24332	6.6E2	1
4326	474	Sisma X SLD	49.9	0	0	0	6.6E2	1	4327	474	Sisma Y SLD	0	46.1	0	0	6.6E2	1
4328	474	Eccentricità Y per sisma X SLD	0	0	0	-1245	6.6E2	1	4329	474	Eccentricità X per sisma Y SLD	0	0	0	9.6E3	6.6E2	1
4330	475	Sisma X SLV	117	0	0	0	6.6E2	1	4331	475	Sisma Y SLV	0	117	0	0	6.6E2	1
4332	475	Eccentricità Y per sisma X SLV	0	0	0	-2.9E3	6.6E2	1	4333	475	Eccentricità X per sisma Y SLV	0	0	0	24332	6.6E2	1
4334	475	Sisma X SLD	49.9	0	0	0	6.6E2	1	4335	475	Sisma Y SLD	0	46.1	0	0	6.6E2	1
4336	475	Eccentricità Y per sisma X SLD	0	0	0	-1245	6.6E2	1	4337	475	Eccentricità X per sisma Y SLD	0	0	0	9.6E3	6.6E2	1
4338	476	Sisma X SLV	117	0	0	0	6.6E2	1	4339	476	Sisma Y SLV	0	117	0	0	6.6E2	1
4340	476	Eccentricità Y per sisma X SLV	0	0	0	-2.9E3	6.6E2	1	4341	476	Eccentricità X per sisma Y SLV	0	0	0	24332	6.6E2	1
4342	476	Sisma X SLD	49.9	0	0	0	6.6E2	1	4343	476	Sisma Y SLD	0	46.1	0	0	6.6E2	1
4344	476	Eccentricità Y per sisma X SLD	0	0	0	-1245	6.6E2	1	4345	476	Eccentricità X per sisma Y SLD	0	0	0	9.6E3	6.6E2	1
4346	477	Sisma X SLV	116.9	0	0	0	6.6E2	1	4347	477	Sisma Y SLV	0	116.9	0	0	6.6E2	1
4348	477	Eccentricità Y per sisma X SLV	0	0	0	-2.9E3	6.6E2	1	4349	477	Eccentricità X per sisma Y SLV	0	0	0	2.4E4	6.6E2	1
4350	477	Sisma X SLD	49.8	0	0	0	6.6E2	1	4351	477	Sisma Y SLD	0	46.1	0	0	6.6E2	1
4352	477	Eccentricità Y per sisma X SLD	0	0	0	-1.2E3	6.6E2	1	4353	477	Eccentricità X per sisma Y SLD	0	0	0	9.6E3	6.6E2	1
4354	478	Sisma X SLV	95.1	0	0	0	5.3E2	1	4355	478	Sisma Y SLV	0	95.1	0	0	5.3E2	1

Indice	Nodo	Condizione	Fx	Fy	Fz	Mz	Peso	γ	Indice	Nodo	Condizione	Fx	Fy	Fz	Mz	Peso	γ
4356	478	Eccentricità Y per sisma X SLV	0	0	0	-2.4E3	5.3E2	1	4357	478	Eccentricità X per sisma Y SLV	0	0	0	2.0E4	5.3E2	1
4358	478	Sisma X SLD	40.6	0	0	0	5.3E2	1	4359	478	Sisma Y SLD	0	37.5	0	0	5.3E2	1
4360	478	Eccentricità Y per sisma X SLD	0	0	0	-1.0E3	5.3E2	1	4361	478	Eccentricità X per sisma Y SLD	0	0	0	7.8E3	5.3E2	1
4362	479	Sisma X SLV	47.6	0	0	0	2.7E2	1	4363	479	Sisma Y SLV	0	47.6	0	0	2.7E2	1
4364	479	Eccentricità Y per sisma X SLV	0	0	0	-1.2E3	2.7E2	1	4365	479	Eccentricità X per sisma Y SLV	0	0	0	9.9E3	2.7E2	1
4366	479	Sisma X SLD	20.3	0	0	0	2.7E2	1	4367	479	Sisma Y SLD	0	18.8	0	0	2.7E2	1
4368	479	Eccentricità Y per sisma X SLD	0	0	0	-5.1E2	2.7E2	1	4369	479	Eccentricità X per sisma Y SLD	0	0	0	3.9E3	2.7E2	1
4370	480	Sisma X SLV	89.1	0	0	0	5.0E2	1	4371	480	Sisma Y SLV	0	89.1	0	0	5.0E2	1
4372	480	Eccentricità Y per sisma X SLV	0	0	0	-2.2E3	5.0E2	1	4373	480	Eccentricità X per sisma Y SLV	0	0	0	1.9E4	5.0E2	1
4374	480	Sisma X SLD	38	0	0	0	5.0E2	1	4375	480	Sisma Y SLD	0	35.1	0	0	5.0E2	1
4376	480	Eccentricità Y per sisma X SLD	0	0	0	-9.5E2	5.0E2	1	4377	480	Eccentricità X per sisma Y SLD	0	0	0	7308	5.0E2	1
4378	481	Sisma X SLV	44.6	0	0	0	2.5E2	1	4379	481	Sisma Y SLV	0	44.6	0	0	2.5E2	1
4380	481	Eccentricità Y per sisma X SLV	0	0	0	-1.1E3	2.5E2	1	4381	481	Eccentricità X per sisma Y SLV	0	0	0	9.3E3	2.5E2	1
4382	481	Sisma X SLD	19	0	0	0	2.5E2	1	4383	481	Sisma Y SLD	0	17.6	0	0	2.5E2	1
4384	481	Eccentricità Y per sisma X SLD	0	0	0	-4.8E2	2.5E2	1	4385	481	Eccentricità X per sisma Y SLD	0	0	0	3.7E3	2.5E2	1
4386	482	Sisma X SLV	94.4	0	0	0	5.3E2	1	4387	482	Sisma Y SLV	0	94.4	0	0	5.3E2	1
4388	482	Eccentricità Y per sisma X SLV	0	0	0	-2.4E3	5.3E2	1	4389	482	Eccentricità X per sisma Y SLV	0	0	0	2.0E4	5.3E2	1
4390	482	Sisma X SLD	40.2	0	0	0	5.3E2	1	4391	482	Sisma Y SLD	0	37.2	0	0	5.3E2	1
4392	482	Eccentricità Y per sisma X SLD	0	0	0	-1.0E3	5.3E2	1	4393	482	Eccentricità X per sisma Y SLD	0	0	0	7.7E3	5.3E2	1
4394	483	Sisma X SLV	74	0	0	0	4.1E2	1	4395	483	Sisma Y SLV	0	74	0	0	4.1E2	1
4396	483	Eccentricità Y per sisma X SLV	0	0	0	-1.8E3	4.1E2	1	4397	483	Eccentricità X per sisma Y SLV	0	0	0	1.5E4	4.1E2	1
4398	483	Sisma X SLD	31.5	0	0	0	4.1E2	1	4399	483	Sisma Y SLD	0	29.2	0	0	4.1E2	1
4400	483	Eccentricità Y per sisma X SLD	0	0	0	-7.9E2	4.1E2	1	4401	483	Eccentricità X per sisma Y SLD	0	0	0	6.1E3	4.1E2	1
4402	484	Sisma X SLV	100	0	0	0	5.6E2	1	4403	484	Sisma Y SLV	0	100	0	0	5.6E2	1
4404	484	Eccentricità Y per sisma X SLV	0	0	0	-2.5E3	5.6E2	1	4405	484	Eccentricità X per sisma Y SLV	0	0	0	2.1E4	5.6E2	1
4406	484	Sisma X SLD	42.6	0	0	0	5.6E2	1	4407	484	Sisma Y SLD	0	39.4	0	0	5.6E2	1
4408	484	Eccentricità Y per sisma X SLD	0	0	0	-1.1E3	5.6E2	1	4409	484	Eccentricità X per sisma Y SLD	0	0	0	8.2E3	5.6E2	1
4410	485	Sisma X SLV	100.4	0	0	0	5.6E2	1	4411	485	Sisma Y SLV	0	100.4	0	0	5.6E2	1
4412	485	Eccentricità Y per sisma X SLV	0	0	0	-2.5E3	5.6E2	1	4413	485	Eccentricità X per sisma Y SLV	0	0	0	20875	5.6E2	1
4414	485	Sisma X SLD	42.8	0	0	0	5.6E2	1	4415	485	Sisma Y SLD	0	39.6	0	0	5.6E2	1
4416	485	Eccentricità Y per sisma X SLD	0	0	0	-1.1E3	5.6E2	1	4417	485	Eccentricità X per sisma Y SLD	0	0	0	8.2E3	5.6E2	1
4418	486	Sisma X SLV	98.8	0	0	0	5.5E2	1	4419	486	Sisma Y SLV	0	98.8	0	0	5.5E2	1
4420	486	Eccentricità Y per sisma X SLV	0	0	0	-2.5E3	5.5E2	1	4421	486	Eccentricità X per sisma Y SLV	0	0	0	2.1E4	5.5E2	1
4422	486	Sisma X SLD	42.1	0	0	0	5.5E2	1	4423	486	Sisma Y SLD	0	39	0	0	5.5E2	1
4424	486	Eccentricità Y per sisma X SLD	0	0	0	-1.1E3	5.5E2	1	4425	486	Eccentricità X per sisma Y SLD	0	0	0	8.1E3	5.5E2	1
4426	487	Sisma X SLV	51.6	0	0	0	2.9E2	1	4427	487	Sisma Y SLV	0	51.6	0	0	2.9E2	1
4428	487	Eccentricità Y per sisma X SLV	0	0	0	-1.3E3	2.9E2	1	4429	487	Eccentricità X per sisma Y SLV	0	0	0	1.1E4	2.9E2	1
4430	487	Sisma X SLD	22	0	0	0	2.9E2	1	4431	487	Sisma Y SLD	0	20.4	0	0	2.9E2	1
4432	487	Eccentricità Y per sisma X SLD	0	0	0	-5.5E2	2.9E2	1	4433	487	Eccentricità X per sisma Y SLD	0	0	0	4.2E3	2.9E2	1
4434	488	Sisma X SLV	97.3	0	0	0	5.5E2	1	4435	488	Sisma Y SLV	0	97.3	0	0	5.5E2	1
4436	488	Eccentricità Y per sisma X SLV	0	0	0	-2.4E3	5.5E2	1	4437	488	Eccentricità X per sisma Y SLV	0	0	0	2.0E4	5.5E2	1
4438	488	Sisma X SLD	41.5	0	0	0	5.5E2	1	4439	488	Sisma Y SLD	0	38.4	0	0	5.5E2	1
4440	488	Eccentricità Y per sisma X SLD	0	0	0	-1.0E3	5.5E2	1	4441	488	Eccentricità X per sisma Y SLD	0	0	0	8.0E3	5.5E2	1
4442	489	Sisma X SLV	96.6	0	0	0	5.4E2	1	4443	489	Sisma Y SLV	0	96.6	0	0	5.4E2	1
4444	489	Eccentricità Y per sisma X SLV	0	0	0	-2.4E3	5.4E2	1	4445	489	Eccentricità X per sisma Y SLV	0	0	0	2.0E4	5.4E2	1
4446	489	Sisma X SLD	41.2	0	0	0	5.4E2	1	4447	489	Sisma Y SLD	0	38.1	0	0	5.4E2	1

Indice	Nodo	Condizione	Fx	Fy	Fz	Mz	Peso	γ	Indice	Nodo	Condizione	Fx	Fy	Fz	Mz	Peso	γ
4448	489	Eccentricità Y per sisma X SLD	0	0	0	-1.0E3	5.4E2	1	4449	489	Eccentricità X per sisma Y SLD	0	0	0	7.9E3	5.4E2	1
4450	490	Sisma X SLV	98.1	0	0	0	5.5E2	1	4451	490	Sisma Y SLV	0	98.1	0	0	5.5E2	1
4452	490	Eccentricità Y per sisma X SLV	0	0	0	-2.4E3	5.5E2	1	4453	490	Eccentricità X per sisma Y SLV	0	0	0	2.0E4	5.5E2	1
4454	490	Sisma X SLD	41.8	0	0	0	5.5E2	1	4455	490	Sisma Y SLD	0	38.7	0	0	5.5E2	1
4456	490	Eccentricità Y per sisma X SLD	0	0	0	-1.0E3	5.5E2	1	4457	490	Eccentricità X per sisma Y SLD	0	0	0	8.0E3	5.5E2	1
4458	491	Sisma X SLV	95.8	0	0	0	5.4E2	1	4459	491	Sisma Y SLV	0	95.8	0	0	5.4E2	1
4460	491	Eccentricità Y per sisma X SLV	0	0	0	-2.4E3	5.4E2	1	4461	491	Eccentricità X per sisma Y SLV	0	0	0	2.0E4	5.4E2	1
4462	491	Sisma X SLD	40.8	0	0	0	5.4E2	1	4463	491	Sisma Y SLD	0	37.8	0	0	5.4E2	1
4464	491	Eccentricità Y per sisma X SLD	0	0	0	-1.0E3	5.4E2	1	4465	491	Eccentricità X per sisma Y SLD	0	0	0	7.9E3	5.4E2	1
4466	492	Sisma X SLV	87.6	0	0	0	4.9E2	1	4467	492	Sisma Y SLV	0	87.6	0	0	4.9E2	1
4468	492	Eccentricità Y per sisma X SLV	0	0	0	-2.2E3	4.9E2	1	4469	492	Eccentricità X per sisma Y SLV	0	0	0	1.8E4	4.9E2	1
4470	492	Sisma X SLD	37.3	0	0	0	4.9E2	1	4471	492	Sisma Y SLD	0	34.5	0	0	4.9E2	1
4472	492	Eccentricità Y per sisma X SLD	0	0	0	-9.3E2	4.9E2	1	4473	492	Eccentricità X per sisma Y SLD	0	0	0	7.2E3	4.9E2	1
4474	493	Sisma X SLV	106.3	0	0	0	6.0E2	1	4475	493	Sisma Y SLV	0	106.3	0	0	6.0E2	1
4476	493	Eccentricità Y per sisma X SLV	0	0	0	-2.7E3	6.0E2	1	4477	493	Eccentricità X per sisma Y SLV	0	0	0	2.2E4	6.0E2	1
4478	493	Sisma X SLD	45.3	0	0	0	6.0E2	1	4479	493	Sisma Y SLD	0	41.9	0	0	6.0E2	1
4480	493	Eccentricità Y per sisma X SLD	0	0	0	-1.1E3	6.0E2	1	4481	493	Eccentricità X per sisma Y SLD	0	0	0	8.7E3	6.0E2	1
4482	494	Sisma X SLV	353	0	0	0	2.0E3	1	4483	494	Sisma Y SLV	0	353	0	0	2.0E3	1
4484	494	Eccentricità Y per sisma X SLV	0	0	0	-8.8E3	2.0E3	1	4485	494	Eccentricità X per sisma Y SLV	0	0	0	7.3E4	2.0E3	1
4486	494	Sisma X SLD	150.5	0	0	0	2.0E3	1	4487	494	Sisma Y SLD	0	139.2	0	0	2.0E3	1
4488	494	Eccentricità Y per sisma X SLD	0	0	0	-3.8E3	2.0E3	1	4489	494	Eccentricità X per sisma Y SLD	0	0	0	2.9E4	2.0E3	1
4490	495	Sisma X SLV	344	0	0	0	1.9E3	1	4491	495	Sisma Y SLV	0	344	0	0	1.9E3	1
4492	495	Eccentricità Y per sisma X SLV	0	0	0	-8.6E3	1.9E3	1	4493	495	Eccentricità X per sisma Y SLV	0	0	0	7.2E4	1.9E3	1
4494	495	Sisma X SLD	146.6	0	0	0	1.9E3	1	4495	495	Sisma Y SLD	0	135.6	0	0	1.9E3	1
4496	495	Eccentricità Y per sisma X SLD	0	0	0	-3.7E3	1.9E3	1	4497	495	Eccentricità X per sisma Y SLD	0	0	0	2.8E4	1.9E3	1
4498	496	Sisma X SLV	117	0	0	0	6.6E2	1	4499	496	Sisma Y SLV	0	117	0	0	6.6E2	1
4500	496	Eccentricità Y per sisma X SLV	0	0	0	-2.9E3	6.6E2	1	4501	496	Eccentricità X per sisma Y SLV	0	0	0	24332	6.6E2	1
4502	496	Sisma X SLD	49.9	0	0	0	6.6E2	1	4503	496	Sisma Y SLD	0	46.1	0	0	6.6E2	1
4504	496	Eccentricità Y per sisma X SLD	0	0	0	-1245	6.6E2	1	4505	496	Eccentricità X per sisma Y SLD	0	0	0	9.6E3	6.6E2	1
4506	497	Sisma X SLV	117	0	0	0	6.6E2	1	4507	497	Sisma Y SLV	0	117	0	0	6.6E2	1
4508	497	Eccentricità Y per sisma X SLV	0	0	0	-2.9E3	6.6E2	1	4509	497	Eccentricità X per sisma Y SLV	0	0	0	24332	6.6E2	1
4510	497	Sisma X SLD	49.9	0	0	0	6.6E2	1	4511	497	Sisma Y SLD	0	46.1	0	0	6.6E2	1
4512	497	Eccentricità Y per sisma X SLD	0	0	0	-1245	6.6E2	1	4513	497	Eccentricità X per sisma Y SLD	0	0	0	9.6E3	6.6E2	1
4514	498	Sisma X SLV	117	0	0	0	6.6E2	1	4515	498	Sisma Y SLV	0	117	0	0	6.6E2	1
4516	498	Eccentricità Y per sisma X SLV	0	0	0	-2.9E3	6.6E2	1	4517	498	Eccentricità X per sisma Y SLV	0	0	0	24332	6.6E2	1
4518	498	Sisma X SLD	49.9	0	0	0	6.6E2	1	4519	498	Sisma Y SLD	0	46.1	0	0	6.6E2	1
4520	498	Eccentricità Y per sisma X SLD	0	0	0	-1245	6.6E2	1	4521	498	Eccentricità X per sisma Y SLD	0	0	0	9.6E3	6.6E2	1
4522	499	Sisma X SLV	117	0	0	0	6.6E2	1	4523	499	Sisma Y SLV	0	117	0	0	6.6E2	1
4524	499	Eccentricità Y per sisma X SLV	0	0	0	-2.9E3	6.6E2	1	4525	499	Eccentricità X per sisma Y SLV	0	0	0	24332	6.6E2	1
4526	499	Sisma X SLD	49.9	0	0	0	6.6E2	1	4527	499	Sisma Y SLD	0	46.1	0	0	6.6E2	1
4528	499	Eccentricità Y per sisma X SLD	0	0	0	-1245	6.6E2	1	4529	499	Eccentricità X per sisma Y SLD	0	0	0	9.6E3	6.6E2	1
4530	500	Sisma X SLV	117	0	0	0	6.6E2	1	4531	500	Sisma Y SLV	0	117	0	0	6.6E2	1
4532	500	Eccentricità Y per sisma X SLV	0	0	0	-2.9E3	6.6E2	1	4533	500	Eccentricità X per sisma Y SLV	0	0	0	24332	6.6E2	1
4534	500	Sisma X SLD	49.9	0	0	0	6.6E2	1	4535	500	Sisma Y SLD	0	46.1	0	0	6.6E2	1
4536	500	Eccentricità Y per sisma X SLD	0	0	0	-1245	6.6E2	1	4537	500	Eccentricità X per sisma Y SLD	0	0	0	9.6E3	6.6E2	1
4538	501	Sisma X SLV	117	0	0	0	6.6E2	1	4539	501	Sisma Y SLV	0	117	0	0	6.6E2	1

Indice	Nodo	Condizione	Fx	Fy	Fz	Mz	Peso	γ	Indice	Nodo	Condizione	Fx	Fy	Fz	Mz	Peso	γ
4540	501	Eccentricità Y per sisma X SLV	0	0	0	-2.9E3	6.6E2	1	4541	501	Eccentricità X per sisma Y SLV	0	0	0	24332	6.6E2	1
4542	501	Sisma X SLD	49.9	0	0	0	6.6E2	1	4543	501	Sisma Y SLD	0	46.1	0	0	6.6E2	1
4544	501	Eccentricità Y per sisma X SLD	0	0	0	-1245	6.6E2	1	4545	501	Eccentricità X per sisma Y SLD	0	0	0	9.6E3	6.6E2	1
4546	502	Sisma X SLV	117	0	0	0	6.6E2	1	4547	502	Sisma Y SLV	0	117	0	0	6.6E2	1
4548	502	Eccentricità Y per sisma X SLV	0	0	0	-2.9E3	6.6E2	1	4549	502	Eccentricità X per sisma Y SLV	0	0	0	24332	6.6E2	1
4550	502	Sisma X SLD	49.9	0	0	0	6.6E2	1	4551	502	Sisma Y SLD	0	46.1	0	0	6.6E2	1
4552	502	Eccentricità Y per sisma X SLD	0	0	0	-1245	6.6E2	1	4553	502	Eccentricità X per sisma Y SLD	0	0	0	9.6E3	6.6E2	1
4554	503	Sisma X SLV	117	0	0	0	6.6E2	1	4555	503	Sisma Y SLV	0	117	0	0	6.6E2	1
4556	503	Eccentricità Y per sisma X SLV	0	0	0	-2.9E3	6.6E2	1	4557	503	Eccentricità X per sisma Y SLV	0	0	0	24332	6.6E2	1
4558	503	Sisma X SLD	49.9	0	0	0	6.6E2	1	4559	503	Sisma Y SLD	0	46.1	0	0	6.6E2	1
4560	503	Eccentricità Y per sisma X SLD	0	0	0	-1245	6.6E2	1	4561	503	Eccentricità X per sisma Y SLD	0	0	0	9.6E3	6.6E2	1
4562	504	Sisma X SLV	117	0	0	0	6.6E2	1	4563	504	Sisma Y SLV	0	117	0	0	6.6E2	1
4564	504	Eccentricità Y per sisma X SLV	0	0	0	-2.9E3	6.6E2	1	4565	504	Eccentricità X per sisma Y SLV	0	0	0	24332	6.6E2	1
4566	504	Sisma X SLD	49.9	0	0	0	6.6E2	1	4567	504	Sisma Y SLD	0	46.1	0	0	6.6E2	1
4568	504	Eccentricità Y per sisma X SLD	0	0	0	-1245	6.6E2	1	4569	504	Eccentricità X per sisma Y SLD	0	0	0	9.6E3	6.6E2	1
4570	505	Sisma X SLV	117	0	0	0	6.6E2	1	4571	505	Sisma Y SLV	0	117	0	0	6.6E2	1
4572	505	Eccentricità Y per sisma X SLV	0	0	0	-2.9E3	6.6E2	1	4573	505	Eccentricità X per sisma Y SLV	0	0	0	24332	6.6E2	1
4574	505	Sisma X SLD	49.9	0	0	0	6.6E2	1	4575	505	Sisma Y SLD	0	46.1	0	0	6.6E2	1
4576	505	Eccentricità Y per sisma X SLD	0	0	0	-1245	6.6E2	1	4577	505	Eccentricità X per sisma Y SLD	0	0	0	9.6E3	6.6E2	1
4578	506	Sisma X SLV	117	0	0	0	6.6E2	1	4579	506	Sisma Y SLV	0	117	0	0	6.6E2	1
4580	506	Eccentricità Y per sisma X SLV	0	0	0	-2.9E3	6.6E2	1	4581	506	Eccentricità X per sisma Y SLV	0	0	0	24332	6.6E2	1
4582	506	Sisma X SLD	49.9	0	0	0	6.6E2	1	4583	506	Sisma Y SLD	0	46.1	0	0	6.6E2	1
4584	506	Eccentricità Y per sisma X SLD	0	0	0	-1245	6.6E2	1	4585	506	Eccentricità X per sisma Y SLD	0	0	0	9.6E3	6.6E2	1
4586	507	Sisma X SLV	354.9	0	0	0	2.0E3	1	4587	507	Sisma Y SLV	0	354.9	0	0	2.0E3	1
4588	507	Eccentricità Y per sisma X SLV	0	0	0	-8.9E3	2.0E3	1	4589	507	Eccentricità X per sisma Y SLV	0	0	0	73819	2.0E3	1
4590	507	Sisma X SLD	151.3	0	0	0	2.0E3	1	4591	507	Sisma Y SLD	0	140	0	0	2.0E3	1
4592	507	Eccentricità Y per sisma X SLD	0	0	0	-3.8E3	2.0E3	1	4593	507	Eccentricità X per sisma Y SLD	0	0	0	2.9E4	2.0E3	1
4594	508	Sisma X SLV	117	0	0	0	6.6E2	1	4595	508	Sisma Y SLV	0	117	0	0	6.6E2	1
4596	508	Eccentricità Y per sisma X SLV	0	0	0	-2.9E3	6.6E2	1	4597	508	Eccentricità X per sisma Y SLV	0	0	0	24332	6.6E2	1
4598	508	Sisma X SLD	49.9	0	0	0	6.6E2	1	4599	508	Sisma Y SLD	0	46.1	0	0	6.6E2	1
4600	508	Eccentricità Y per sisma X SLD	0	0	0	-1245	6.6E2	1	4601	508	Eccentricità X per sisma Y SLD	0	0	0	9.6E3	6.6E2	1
4602	509	Sisma X SLV	117	0	0	0	6.6E2	1	4603	509	Sisma Y SLV	0	117	0	0	6.6E2	1
4604	509	Eccentricità Y per sisma X SLV	0	0	0	-2.9E3	6.6E2	1	4605	509	Eccentricità X per sisma Y SLV	0	0	0	24332	6.6E2	1
4606	509	Sisma X SLD	49.9	0	0	0	6.6E2	1	4607	509	Sisma Y SLD	0	46.1	0	0	6.6E2	1
4608	509	Eccentricità Y per sisma X SLD	0	0	0	-1245	6.6E2	1	4609	509	Eccentricità X per sisma Y SLD	0	0	0	9.6E3	6.6E2	1
4610	510	Sisma X SLV	117	0	0	0	6.6E2	1	4611	510	Sisma Y SLV	0	117	0	0	6.6E2	1
4612	510	Eccentricità Y per sisma X SLV	0	0	0	-2.9E3	6.6E2	1	4613	510	Eccentricità X per sisma Y SLV	0	0	0	24332	6.6E2	1
4614	510	Sisma X SLD	49.9	0	0	0	6.6E2	1	4615	510	Sisma Y SLD	0	46.1	0	0	6.6E2	1
4616	510	Eccentricità Y per sisma X SLD	0	0	0	-1245	6.6E2	1	4617	510	Eccentricità X per sisma Y SLD	0	0	0	9.6E3	6.6E2	1
4618	511	Sisma X SLV	117	0	0	0	6.6E2	1	4619	511	Sisma Y SLV	0	117	0	0	6.6E2	1
4620	511	Eccentricità Y per sisma X SLV	0	0	0	-2.9E3	6.6E2	1	4621	511	Eccentricità X per sisma Y SLV	0	0	0	24332	6.6E2	1
4622	511	Sisma X SLD	49.9	0	0	0	6.6E2	1	4623	511	Sisma Y SLD	0	46.1	0	0	6.6E2	1
4624	511	Eccentricità Y per sisma X SLD	0	0	0	-1245	6.6E2	1	4625	511	Eccentricità X per sisma Y SLD	0	0	0	9.6E3	6.6E2	1
4626	512	Sisma X SLV	117	0	0	0	6.6E2	1	4627	512	Sisma Y SLV	0	117	0	0	6.6E2	1
4628	512	Eccentricità Y per sisma X SLV	0	0	0	-2.9E3	6.6E2	1	4629	512	Eccentricità X per sisma Y SLV	0	0	0	24332	6.6E2	1
4630	512	Sisma X SLD	49.9	0	0	0	6.6E2	1	4631	512	Sisma Y SLD	0	46.1	0	0	6.6E2	1

Indice	Nodo	Condizione	Fx	Fy	Fz	Mz	Peso	γ	Indice	Nodo	Condizione	Fx	Fy	Fz	Mz	Peso	γ
4632	512	Eccentricità Y per sisma X SLD	0	0	0	-1245	6.6E2	1	4633	512	Eccentricità X per sisma Y SLD	0	0	0	9.6E3	6.6E2	1
4634	513	Sisma X SLV	117	0	0	0	6.6E2	1	4635	513	Sisma Y SLV	0	117	0	0	6.6E2	1
4636	513	Eccentricità Y per sisma X SLV	0	0	0	-2.9E3	6.6E2	1	4637	513	Eccentricità X per sisma Y SLV	0	0	0	24332	6.6E2	1
4638	513	Sisma X SLD	49.9	0	0	0	6.6E2	1	4639	513	Sisma Y SLD	0	46.1	0	0	6.6E2	1
4640	513	Eccentricità Y per sisma X SLD	0	0	0	-1245	6.6E2	1	4641	513	Eccentricità X per sisma Y SLD	0	0	0	9.6E3	6.6E2	1
4642	514	Sisma X SLV	117	0	0	0	6.6E2	1	4643	514	Sisma Y SLV	0	117	0	0	6.6E2	1
4644	514	Eccentricità Y per sisma X SLV	0	0	0	-2.9E3	6.6E2	1	4645	514	Eccentricità X per sisma Y SLV	0	0	0	24332	6.6E2	1
4646	514	Sisma X SLD	49.9	0	0	0	6.6E2	1	4647	514	Sisma Y SLD	0	46.1	0	0	6.6E2	1
4648	514	Eccentricità Y per sisma X SLD	0	0	0	-1245	6.6E2	1	4649	514	Eccentricità X per sisma Y SLD	0	0	0	9.6E3	6.6E2	1
4650	515	Sisma X SLV	117	0	0	0	6.6E2	1	4651	515	Sisma Y SLV	0	117	0	0	6.6E2	1
4652	515	Eccentricità Y per sisma X SLV	0	0	0	-2.9E3	6.6E2	1	4653	515	Eccentricità X per sisma Y SLV	0	0	0	24332	6.6E2	1
4654	515	Sisma X SLD	49.9	0	0	0	6.6E2	1	4655	515	Sisma Y SLD	0	46.1	0	0	6.6E2	1
4656	515	Eccentricità Y per sisma X SLD	0	0	0	-1245	6.6E2	1	4657	515	Eccentricità X per sisma Y SLD	0	0	0	9.6E3	6.6E2	1
4658	516	Sisma X SLV	117	0	0	0	6.6E2	1	4659	516	Sisma Y SLV	0	117	0	0	6.6E2	1
4660	516	Eccentricità Y per sisma X SLV	0	0	0	-2.9E3	6.6E2	1	4661	516	Eccentricità X per sisma Y SLV	0	0	0	24332	6.6E2	1
4662	516	Sisma X SLD	49.9	0	0	0	6.6E2	1	4663	516	Sisma Y SLD	0	46.1	0	0	6.6E2	1
4664	516	Eccentricità Y per sisma X SLD	0	0	0	-1245	6.6E2	1	4665	516	Eccentricità X per sisma Y SLD	0	0	0	9.6E3	6.6E2	1
4666	517	Sisma X SLV	117	0	0	0	6.6E2	1	4667	517	Sisma Y SLV	0	117	0	0	6.6E2	1
4668	517	Eccentricità Y per sisma X SLV	0	0	0	-2.9E3	6.6E2	1	4669	517	Eccentricità X per sisma Y SLV	0	0	0	24332	6.6E2	1
4670	517	Sisma X SLD	49.9	0	0	0	6.6E2	1	4671	517	Sisma Y SLD	0	46.1	0	0	6.6E2	1
4672	517	Eccentricità Y per sisma X SLD	0	0	0	-1245	6.6E2	1	4673	517	Eccentricità X per sisma Y SLD	0	0	0	9.6E3	6.6E2	1
4674	518	Sisma X SLV	117	0	0	0	6.6E2	1	4675	518	Sisma Y SLV	0	117	0	0	6.6E2	1
4676	518	Eccentricità Y per sisma X SLV	0	0	0	-2.9E3	6.6E2	1	4677	518	Eccentricità X per sisma Y SLV	0	0	0	24332	6.6E2	1
4678	518	Sisma X SLD	49.9	0	0	0	6.6E2	1	4679	518	Sisma Y SLD	0	46.1	0	0	6.6E2	1
4680	518	Eccentricità Y per sisma X SLD	0	0	0	-1245	6.6E2	1	4681	518	Eccentricità X per sisma Y SLD	0	0	0	9.6E3	6.6E2	1
4682	519	Sisma X SLV	354.9	0	0	0	2.0E3	1	4683	519	Sisma Y SLV	0	354.9	0	0	2.0E3	1
4684	519	Eccentricità Y per sisma X SLV	0	0	0	-8.9E3	2.0E3	1	4685	519	Eccentricità X per sisma Y SLV	0	0	0	73819	2.0E3	1
4686	519	Sisma X SLD	151.3	0	0	0	2.0E3	1	4687	519	Sisma Y SLD	0	140	0	0	2.0E3	1
4688	519	Eccentricità Y per sisma X SLD	0	0	0	-3.8E3	2.0E3	1	4689	519	Eccentricità X per sisma Y SLD	0	0	0	2.9E4	2.0E3	1
4690	520	Sisma X SLV	117	0	0	0	6.6E2	1	4691	520	Sisma Y SLV	0	117	0	0	6.6E2	1
4692	520	Eccentricità Y per sisma X SLV	0	0	0	-2.9E3	6.6E2	1	4693	520	Eccentricità X per sisma Y SLV	0	0	0	24332	6.6E2	1
4694	520	Sisma X SLD	49.9	0	0	0	6.6E2	1	4695	520	Sisma Y SLD	0	46.1	0	0	6.6E2	1
4696	520	Eccentricità Y per sisma X SLD	0	0	0	-1245	6.6E2	1	4697	520	Eccentricità X per sisma Y SLD	0	0	0	9.6E3	6.6E2	1
4698	521	Sisma X SLV	117	0	0	0	6.6E2	1	4699	521	Sisma Y SLV	0	117	0	0	6.6E2	1
4700	521	Eccentricità Y per sisma X SLV	0	0	0	-2.9E3	6.6E2	1	4701	521	Eccentricità X per sisma Y SLV	0	0	0	24332	6.6E2	1
4702	521	Sisma X SLD	49.9	0	0	0	6.6E2	1	4703	521	Sisma Y SLD	0	46.1	0	0	6.6E2	1
4704	521	Eccentricità Y per sisma X SLD	0	0	0	-1245	6.6E2	1	4705	521	Eccentricità X per sisma Y SLD	0	0	0	9.6E3	6.6E2	1
4706	522	Sisma X SLV	117	0	0	0	6.6E2	1	4707	522	Sisma Y SLV	0	117	0	0	6.6E2	1
4708	522	Eccentricità Y per sisma X SLV	0	0	0	-2.9E3	6.6E2	1	4709	522	Eccentricità X per sisma Y SLV	0	0	0	24332	6.6E2	1
4710	522	Sisma X SLD	49.9	0	0	0	6.6E2	1	4711	522	Sisma Y SLD	0	46.1	0	0	6.6E2	1
4712	522	Eccentricità Y per sisma X SLD	0	0	0	-1245	6.6E2	1	4713	522	Eccentricità X per sisma Y SLD	0	0	0	9.6E3	6.6E2	1
4714	523	Sisma X SLV	117	0	0	0	6.6E2	1	4715	523	Sisma Y SLV	0	117	0	0	6.6E2	1
4716	523	Eccentricità Y per sisma X SLV	0	0	0	-2.9E3	6.6E2	1	4717	523	Eccentricità X per sisma Y SLV	0	0	0	24332	6.6E2	1
4718	523	Sisma X SLD	49.9	0	0	0	6.6E2	1	4719	523	Sisma Y SLD	0	46.1	0	0	6.6E2	1
4720	523	Eccentricità Y per sisma X SLD	0	0	0	-1245	6.6E2	1	4721	523	Eccentricità X per sisma Y SLD	0	0	0	9.6E3	6.6E2	1
4722	524	Sisma X SLV	117	0	0	0	6.6E2	1	4723	524	Sisma Y SLV	0	117	0	0	6.6E2	1

Indice	Nodo	Condizione	Fx	Fy	Fz	Mz	Peso	γ	Indice	Nodo	Condizione	Fx	Fy	Fz	Mz	Peso	γ
4724	524	Eccentricità Y per sisma X SLV	0	0	0	-2.9E3	6.6E2	1	4725	524	Eccentricità X per sisma Y SLV	0	0	0	24332	6.6E2	1
4726	524	Sisma X SLD	49.9	0	0	0	6.6E2	1	4727	524	Sisma Y SLD	0	46.1	0	0	6.6E2	1
4728	524	Eccentricità Y per sisma X SLD	0	0	0	-1245	6.6E2	1	4729	524	Eccentricità X per sisma Y SLD	0	0	0	9.6E3	6.6E2	1
4730	525	Sisma X SLV	117	0	0	0	6.6E2	1	4731	525	Sisma Y SLV	0	117	0	0	6.6E2	1
4732	525	Eccentricità Y per sisma X SLV	0	0	0	-2.9E3	6.6E2	1	4733	525	Eccentricità X per sisma Y SLV	0	0	0	24332	6.6E2	1
4734	525	Sisma X SLD	49.9	0	0	0	6.6E2	1	4735	525	Sisma Y SLD	0	46.1	0	0	6.6E2	1
4736	525	Eccentricità Y per sisma X SLD	0	0	0	-1245	6.6E2	1	4737	525	Eccentricità X per sisma Y SLD	0	0	0	9.6E3	6.6E2	1
4738	526	Sisma X SLV	117	0	0	0	6.6E2	1	4739	526	Sisma Y SLV	0	117	0	0	6.6E2	1
4740	526	Eccentricità Y per sisma X SLV	0	0	0	-2.9E3	6.6E2	1	4741	526	Eccentricità X per sisma Y SLV	0	0	0	24332	6.6E2	1
4742	526	Sisma X SLD	49.9	0	0	0	6.6E2	1	4743	526	Sisma Y SLD	0	46.1	0	0	6.6E2	1
4744	526	Eccentricità Y per sisma X SLD	0	0	0	-1245	6.6E2	1	4745	526	Eccentricità X per sisma Y SLD	0	0	0	9.6E3	6.6E2	1
4746	527	Sisma X SLV	117	0	0	0	6.6E2	1	4747	527	Sisma Y SLV	0	117	0	0	6.6E2	1
4748	527	Eccentricità Y per sisma X SLV	0	0	0	-2.9E3	6.6E2	1	4749	527	Eccentricità X per sisma Y SLV	0	0	0	24332	6.6E2	1
4750	527	Sisma X SLD	49.9	0	0	0	6.6E2	1	4751	527	Sisma Y SLD	0	46.1	0	0	6.6E2	1
4752	527	Eccentricità Y per sisma X SLD	0	0	0	-1245	6.6E2	1	4753	527	Eccentricità X per sisma Y SLD	0	0	0	9.6E3	6.6E2	1
4754	528	Sisma X SLV	117	0	0	0	6.6E2	1	4755	528	Sisma Y SLV	0	117	0	0	6.6E2	1
4756	528	Eccentricità Y per sisma X SLV	0	0	0	-2.9E3	6.6E2	1	4757	528	Eccentricità X per sisma Y SLV	0	0	0	24332	6.6E2	1
4758	528	Sisma X SLD	49.9	0	0	0	6.6E2	1	4759	528	Sisma Y SLD	0	46.1	0	0	6.6E2	1
4760	528	Eccentricità Y per sisma X SLD	0	0	0	-1245	6.6E2	1	4761	528	Eccentricità X per sisma Y SLD	0	0	0	9.6E3	6.6E2	1
4762	529	Sisma X SLV	117	0	0	0	6.6E2	1	4763	529	Sisma Y SLV	0	117	0	0	6.6E2	1
4764	529	Eccentricità Y per sisma X SLV	0	0	0	-2.9E3	6.6E2	1	4765	529	Eccentricità X per sisma Y SLV	0	0	0	24332	6.6E2	1
4766	529	Sisma X SLD	49.9	0	0	0	6.6E2	1	4767	529	Sisma Y SLD	0	46.1	0	0	6.6E2	1
4768	529	Eccentricità Y per sisma X SLD	0	0	0	-1245	6.6E2	1	4769	529	Eccentricità X per sisma Y SLD	0	0	0	9.6E3	6.6E2	1
4770	530	Sisma X SLV	117	0	0	0	6.6E2	1	4771	530	Sisma Y SLV	0	117	0	0	6.6E2	1
4772	530	Eccentricità Y per sisma X SLV	0	0	0	-2.9E3	6.6E2	1	4773	530	Eccentricità X per sisma Y SLV	0	0	0	24332	6.6E2	1
4774	530	Sisma X SLD	49.9	0	0	0	6.6E2	1	4775	530	Sisma Y SLD	0	46.1	0	0	6.6E2	1
4776	530	Eccentricità Y per sisma X SLD	0	0	0	-1245	6.6E2	1	4777	530	Eccentricità X per sisma Y SLD	0	0	0	9.6E3	6.6E2	1
4778	531	Sisma X SLV	354.9	0	0	0	2.0E3	1	4779	531	Sisma Y SLV	0	354.9	0	0	2.0E3	1
4780	531	Eccentricità Y per sisma X SLV	0	0	0	-8.9E3	2.0E3	1	4781	531	Eccentricità X per sisma Y SLV	0	0	0	73819	2.0E3	1
4782	531	Sisma X SLD	151.3	0	0	0	2.0E3	1	4783	531	Sisma Y SLD	0	140	0	0	2.0E3	1
4784	531	Eccentricità Y per sisma X SLD	0	0	0	-3.8E3	2.0E3	1	4785	531	Eccentricità X per sisma Y SLD	0	0	0	2.9E4	2.0E3	1
4786	532	Sisma X SLV	117	0	0	0	6.6E2	1	4787	532	Sisma Y SLV	0	117	0	0	6.6E2	1
4788	532	Eccentricità Y per sisma X SLV	0	0	0	-2.9E3	6.6E2	1	4789	532	Eccentricità X per sisma Y SLV	0	0	0	24332	6.6E2	1
4790	532	Sisma X SLD	49.9	0	0	0	6.6E2	1	4791	532	Sisma Y SLD	0	46.1	0	0	6.6E2	1
4792	532	Eccentricità Y per sisma X SLD	0	0	0	-1245	6.6E2	1	4793	532	Eccentricità X per sisma Y SLD	0	0	0	9.6E3	6.6E2	1
4794	533	Sisma X SLV	117	0	0	0	6.6E2	1	4795	533	Sisma Y SLV	0	117	0	0	6.6E2	1
4796	533	Eccentricità Y per sisma X SLV	0	0	0	-2.9E3	6.6E2	1	4797	533	Eccentricità X per sisma Y SLV	0	0	0	24332	6.6E2	1
4798	533	Sisma X SLD	49.9	0	0	0	6.6E2	1	4799	533	Sisma Y SLD	0	46.1	0	0	6.6E2	1
4800	533	Eccentricità Y per sisma X SLD	0	0	0	-1245	6.6E2	1	4801	533	Eccentricità X per sisma Y SLD	0	0	0	9.6E3	6.6E2	1
4802	534	Sisma X SLV	117	0	0	0	6.6E2	1	4803	534	Sisma Y SLV	0	117	0	0	6.6E2	1
4804	534	Eccentricità Y per sisma X SLV	0	0	0	-2.9E3	6.6E2	1	4805	534	Eccentricità X per sisma Y SLV	0	0	0	24332	6.6E2	1
4806	534	Sisma X SLD	49.9	0	0	0	6.6E2	1	4807	534	Sisma Y SLD	0	46.1	0	0	6.6E2	1
4808	534	Eccentricità Y per sisma X SLD	0	0	0	-1245	6.6E2	1	4809	534	Eccentricità X per sisma Y SLD	0	0	0	9.6E3	6.6E2	1
4810	535	Sisma X SLV	117	0	0	0	6.6E2	1	4811	535	Sisma Y SLV	0	117	0	0	6.6E2	1
4812	535	Eccentricità Y per sisma X SLV	0	0	0	-2.9E3	6.6E2	1	4813	535	Eccentricità X per sisma Y SLV	0	0	0	24332	6.6E2	1
4814	535	Sisma X SLD	49.9	0	0	0	6.6E2	1	4815	535	Sisma Y SLD	0	46.1	0	0	6.6E2	1

Indice	Nodo	Condizione	Fx	Fy	Fz	Mz	Peso	γ	Indice	Nodo	Condizione	Fx	Fy	Fz	Mz	Peso	γ
4816	535	Eccentricità Y per sisma X SLD	0	0	0	-1245	6.6E2	1	4817	535	Eccentricità X per sisma Y SLD	0	0	0	9.6E3	6.6E2	1
4818	536	Sisma X SLV	117	0	0	0	6.6E2	1	4819	536	Sisma Y SLV	0	117	0	0	6.6E2	1
4820	536	Eccentricità Y per sisma X SLV	0	0	0	-2.9E3	6.6E2	1	4821	536	Eccentricità X per sisma Y SLV	0	0	0	24332	6.6E2	1
4822	536	Sisma X SLD	49.9	0	0	0	6.6E2	1	4823	536	Sisma Y SLD	0	46.1	0	0	6.6E2	1
4824	536	Eccentricità Y per sisma X SLD	0	0	0	-1245	6.6E2	1	4825	536	Eccentricità X per sisma Y SLD	0	0	0	9.6E3	6.6E2	1
4826	537	Sisma X SLV	117	0	0	0	6.6E2	1	4827	537	Sisma Y SLV	0	117	0	0	6.6E2	1
4828	537	Eccentricità Y per sisma X SLV	0	0	0	-2.9E3	6.6E2	1	4829	537	Eccentricità X per sisma Y SLV	0	0	0	24332	6.6E2	1
4830	537	Sisma X SLD	49.9	0	0	0	6.6E2	1	4831	537	Sisma Y SLD	0	46.1	0	0	6.6E2	1
4832	537	Eccentricità Y per sisma X SLD	0	0	0	-1245	6.6E2	1	4833	537	Eccentricità X per sisma Y SLD	0	0	0	9.6E3	6.6E2	1
4834	538	Sisma X SLV	117	0	0	0	6.6E2	1	4835	538	Sisma Y SLV	0	117	0	0	6.6E2	1
4836	538	Eccentricità Y per sisma X SLV	0	0	0	-2.9E3	6.6E2	1	4837	538	Eccentricità X per sisma Y SLV	0	0	0	24332	6.6E2	1
4838	538	Sisma X SLD	49.9	0	0	0	6.6E2	1	4839	538	Sisma Y SLD	0	46.1	0	0	6.6E2	1
4840	538	Eccentricità Y per sisma X SLD	0	0	0	-1245	6.6E2	1	4841	538	Eccentricità X per sisma Y SLD	0	0	0	9.6E3	6.6E2	1
4842	539	Sisma X SLV	117	0	0	0	6.6E2	1	4843	539	Sisma Y SLV	0	117	0	0	6.6E2	1
4844	539	Eccentricità Y per sisma X SLV	0	0	0	-2.9E3	6.6E2	1	4845	539	Eccentricità X per sisma Y SLV	0	0	0	24332	6.6E2	1
4846	539	Sisma X SLD	49.9	0	0	0	6.6E2	1	4847	539	Sisma Y SLD	0	46.1	0	0	6.6E2	1
4848	539	Eccentricità Y per sisma X SLD	0	0	0	-1245	6.6E2	1	4849	539	Eccentricità X per sisma Y SLD	0	0	0	9.6E3	6.6E2	1
4850	540	Sisma X SLV	117	0	0	0	6.6E2	1	4851	540	Sisma Y SLV	0	117	0	0	6.6E2	1
4852	540	Eccentricità Y per sisma X SLV	0	0	0	-2.9E3	6.6E2	1	4853	540	Eccentricità X per sisma Y SLV	0	0	0	24332	6.6E2	1
4854	540	Sisma X SLD	49.9	0	0	0	6.6E2	1	4855	540	Sisma Y SLD	0	46.1	0	0	6.6E2	1
4856	540	Eccentricità Y per sisma X SLD	0	0	0	-1245	6.6E2	1	4857	540	Eccentricità X per sisma Y SLD	0	0	0	9.6E3	6.6E2	1
4858	541	Sisma X SLV	117	0	0	0	6.6E2	1	4859	541	Sisma Y SLV	0	117	0	0	6.6E2	1
4860	541	Eccentricità Y per sisma X SLV	0	0	0	-2.9E3	6.6E2	1	4861	541	Eccentricità X per sisma Y SLV	0	0	0	24332	6.6E2	1
4862	541	Sisma X SLD	49.9	0	0	0	6.6E2	1	4863	541	Sisma Y SLD	0	46.1	0	0	6.6E2	1
4864	541	Eccentricità Y per sisma X SLD	0	0	0	-1245	6.6E2	1	4865	541	Eccentricità X per sisma Y SLD	0	0	0	9.6E3	6.6E2	1
4866	542	Sisma X SLV	117	0	0	0	6.6E2	1	4867	542	Sisma Y SLV	0	117	0	0	6.6E2	1
4868	542	Eccentricità Y per sisma X SLV	0	0	0	-2.9E3	6.6E2	1	4869	542	Eccentricità X per sisma Y SLV	0	0	0	24332	6.6E2	1
4870	542	Sisma X SLD	49.9	0	0	0	6.6E2	1	4871	542	Sisma Y SLD	0	46.1	0	0	6.6E2	1
4872	542	Eccentricità Y per sisma X SLD	0	0	0	-1245	6.6E2	1	4873	542	Eccentricità X per sisma Y SLD	0	0	0	9.6E3	6.6E2	1
4874	543	Sisma X SLV	354.9	0	0	0	2.0E3	1	4875	543	Sisma Y SLV	0	354.9	0	0	2.0E3	1
4876	543	Eccentricità Y per sisma X SLV	0	0	0	-8.9E3	2.0E3	1	4877	543	Eccentricità X per sisma Y SLV	0	0	0	73819	2.0E3	1
4878	543	Sisma X SLD	151.3	0	0	0	2.0E3	1	4879	543	Sisma Y SLD	0	140	0	0	2.0E3	1
4880	543	Eccentricità Y per sisma X SLD	0	0	0	-3.8E3	2.0E3	1	4881	543	Eccentricità X per sisma Y SLD	0	0	0	2.9E4	2.0E3	1
4882	544	Sisma X SLV	117	0	0	0	6.6E2	1	4883	544	Sisma Y SLV	0	117	0	0	6.6E2	1
4884	544	Eccentricità Y per sisma X SLV	0	0	0	-2.9E3	6.6E2	1	4885	544	Eccentricità X per sisma Y SLV	0	0	0	24332	6.6E2	1
4886	544	Sisma X SLD	49.9	0	0	0	6.6E2	1	4887	544	Sisma Y SLD	0	46.1	0	0	6.6E2	1
4888	544	Eccentricità Y per sisma X SLD	0	0	0	-1245	6.6E2	1	4889	544	Eccentricità X per sisma Y SLD	0	0	0	9.6E3	6.6E2	1
4890	545	Sisma X SLV	117	0	0	0	6.6E2	1	4891	545	Sisma Y SLV	0	117	0	0	6.6E2	1
4892	545	Eccentricità Y per sisma X SLV	0	0	0	-2.9E3	6.6E2	1	4893	545	Eccentricità X per sisma Y SLV	0	0	0	24332	6.6E2	1
4894	545	Sisma X SLD	49.9	0	0	0	6.6E2	1	4895	545	Sisma Y SLD	0	46.1	0	0	6.6E2	1
4896	545	Eccentricità Y per sisma X SLD	0	0	0	-1245	6.6E2	1	4897	545	Eccentricità X per sisma Y SLD	0	0	0	9.6E3	6.6E2	1
4898	546	Sisma X SLV	117	0	0	0	6.6E2	1	4899	546	Sisma Y SLV	0	117	0	0	6.6E2	1
4900	546	Eccentricità Y per sisma X SLV	0	0	0	-2.9E3	6.6E2	1	4901	546	Eccentricità X per sisma Y SLV	0	0	0	24332	6.6E2	1
4902	546	Sisma X SLD	49.9	0	0	0	6.6E2	1	4903	546	Sisma Y SLD	0	46.1	0	0	6.6E2	1
4904	546	Eccentricità Y per sisma X SLD	0	0	0	-1245	6.6E2	1	4905	546	Eccentricità X per sisma Y SLD	0	0	0	9.6E3	6.6E2	1
4906	547	Sisma X SLV	117	0	0	0	6.6E2	1	4907	547	Sisma Y SLV	0	117	0	0	6.6E2	1

Indice	Nodo	Condizione	Fx	Fy	Fz	Mz	Peso	γ	Indice	Nodo	Condizione	Fx	Fy	Fz	Mz	Peso	γ
4908	547	Eccentricità Y per sisma X SLV	0	0	0	-2.9E3	6.6E2	1	4909	547	Eccentricità X per sisma Y SLV	0	0	0	24332	6.6E2	1
4910	547	Sisma X SLD	49.9	0	0	0	6.6E2	1	4911	547	Sisma Y SLD	0	46.1	0	0	6.6E2	1
4912	547	Eccentricità Y per sisma X SLD	0	0	0	-1245	6.6E2	1	4913	547	Eccentricità X per sisma Y SLD	0	0	0	9.6E3	6.6E2	1
4914	548	Sisma X SLV	117	0	0	0	6.6E2	1	4915	548	Sisma Y SLV	0	117	0	0	6.6E2	1
4916	548	Eccentricità Y per sisma X SLV	0	0	0	-2.9E3	6.6E2	1	4917	548	Eccentricità X per sisma Y SLV	0	0	0	24332	6.6E2	1
4918	548	Sisma X SLD	49.9	0	0	0	6.6E2	1	4919	548	Sisma Y SLD	0	46.1	0	0	6.6E2	1
4920	548	Eccentricità Y per sisma X SLD	0	0	0	-1245	6.6E2	1	4921	548	Eccentricità X per sisma Y SLD	0	0	0	9.6E3	6.6E2	1
4922	549	Sisma X SLV	117	0	0	0	6.6E2	1	4923	549	Sisma Y SLV	0	117	0	0	6.6E2	1
4924	549	Eccentricità Y per sisma X SLV	0	0	0	-2.9E3	6.6E2	1	4925	549	Eccentricità X per sisma Y SLV	0	0	0	24332	6.6E2	1
4926	549	Sisma X SLD	49.9	0	0	0	6.6E2	1	4927	549	Sisma Y SLD	0	46.1	0	0	6.6E2	1
4928	549	Eccentricità Y per sisma X SLD	0	0	0	-1245	6.6E2	1	4929	549	Eccentricità X per sisma Y SLD	0	0	0	9.6E3	6.6E2	1
4930	550	Sisma X SLV	117	0	0	0	6.6E2	1	4931	550	Sisma Y SLV	0	117	0	0	6.6E2	1
4932	550	Eccentricità Y per sisma X SLV	0	0	0	-2.9E3	6.6E2	1	4933	550	Eccentricità X per sisma Y SLV	0	0	0	24332	6.6E2	1
4934	550	Sisma X SLD	49.9	0	0	0	6.6E2	1	4935	550	Sisma Y SLD	0	46.1	0	0	6.6E2	1
4936	550	Eccentricità Y per sisma X SLD	0	0	0	-1245	6.6E2	1	4937	550	Eccentricità X per sisma Y SLD	0	0	0	9.6E3	6.6E2	1
4938	551	Sisma X SLV	117	0	0	0	6.6E2	1	4939	551	Sisma Y SLV	0	117	0	0	6.6E2	1
4940	551	Eccentricità Y per sisma X SLV	0	0	0	-2.9E3	6.6E2	1	4941	551	Eccentricità X per sisma Y SLV	0	0	0	24332	6.6E2	1
4942	551	Sisma X SLD	49.9	0	0	0	6.6E2	1	4943	551	Sisma Y SLD	0	46.1	0	0	6.6E2	1
4944	551	Eccentricità Y per sisma X SLD	0	0	0	-1245	6.6E2	1	4945	551	Eccentricità X per sisma Y SLD	0	0	0	9.6E3	6.6E2	1
4946	552	Sisma X SLV	117	0	0	0	6.6E2	1	4947	552	Sisma Y SLV	0	117	0	0	6.6E2	1
4948	552	Eccentricità Y per sisma X SLV	0	0	0	-2.9E3	6.6E2	1	4949	552	Eccentricità X per sisma Y SLV	0	0	0	24332	6.6E2	1
4950	552	Sisma X SLD	49.9	0	0	0	6.6E2	1	4951	552	Sisma Y SLD	0	46.1	0	0	6.6E2	1
4952	552	Eccentricità Y per sisma X SLD	0	0	0	-1245	6.6E2	1	4953	552	Eccentricità X per sisma Y SLD	0	0	0	9.6E3	6.6E2	1
4954	553	Sisma X SLV	117	0	0	0	6.6E2	1	4955	553	Sisma Y SLV	0	117	0	0	6.6E2	1
4956	553	Eccentricità Y per sisma X SLV	0	0	0	-2.9E3	6.6E2	1	4957	553	Eccentricità X per sisma Y SLV	0	0	0	24332	6.6E2	1
4958	553	Sisma X SLD	49.9	0	0	0	6.6E2	1	4959	553	Sisma Y SLD	0	46.1	0	0	6.6E2	1
4960	553	Eccentricità Y per sisma X SLD	0	0	0	-1245	6.6E2	1	4961	553	Eccentricità X per sisma Y SLD	0	0	0	9.6E3	6.6E2	1
4962	554	Sisma X SLV	117	0	0	0	6.6E2	1	4963	554	Sisma Y SLV	0	117	0	0	6.6E2	1
4964	554	Eccentricità Y per sisma X SLV	0	0	0	-2.9E3	6.6E2	1	4965	554	Eccentricità X per sisma Y SLV	0	0	0	24332	6.6E2	1
4966	554	Sisma X SLD	49.9	0	0	0	6.6E2	1	4967	554	Sisma Y SLD	0	46.1	0	0	6.6E2	1
4968	554	Eccentricità Y per sisma X SLD	0	0	0	-1245	6.6E2	1	4969	554	Eccentricità X per sisma Y SLD	0	0	0	9.6E3	6.6E2	1
4970	555	Sisma X SLV	354.9	0	0	0	2.0E3	1	4971	555	Sisma Y SLV	0	354.9	0	0	2.0E3	1
4972	555	Eccentricità Y per sisma X SLV	0	0	0	-8.9E3	2.0E3	1	4973	555	Eccentricità X per sisma Y SLV	0	0	0	73819	2.0E3	1
4974	555	Sisma X SLD	151.3	0	0	0	2.0E3	1	4975	555	Sisma Y SLD	0	140	0	0	2.0E3	1
4976	555	Eccentricità Y per sisma X SLD	0	0	0	-3.8E3	2.0E3	1	4977	555	Eccentricità X per sisma Y SLD	0	0	0	2.9E4	2.0E3	1
4978	556	Sisma X SLV	117	0	0	0	6.6E2	1	4979	556	Sisma Y SLV	0	117	0	0	6.6E2	1
4980	556	Eccentricità Y per sisma X SLV	0	0	0	-2.9E3	6.6E2	1	4981	556	Eccentricità X per sisma Y SLV	0	0	0	24332	6.6E2	1
4982	556	Sisma X SLD	49.9	0	0	0	6.6E2	1	4983	556	Sisma Y SLD	0	46.1	0	0	6.6E2	1
4984	556	Eccentricità Y per sisma X SLD	0	0	0	-1245	6.6E2	1	4985	556	Eccentricità X per sisma Y SLD	0	0	0	9.6E3	6.6E2	1
4986	557	Sisma X SLV	117	0	0	0	6.6E2	1	4987	557	Sisma Y SLV	0	117	0	0	6.6E2	1
4988	557	Eccentricità Y per sisma X SLV	0	0	0	-2.9E3	6.6E2	1	4989	557	Eccentricità X per sisma Y SLV	0	0	0	24332	6.6E2	1
4990	557	Sisma X SLD	49.9	0	0	0	6.6E2	1	4991	557	Sisma Y SLD	0	46.1	0	0	6.6E2	1
4992	557	Eccentricità Y per sisma X SLD	0	0	0	-1245	6.6E2	1	4993	557	Eccentricità X per sisma Y SLD	0	0	0	9.6E3	6.6E2	1
4994	558	Sisma X SLV	117	0	0	0	6.6E2	1	4995	558	Sisma Y SLV	0	117	0	0	6.6E2	1
4996	558	Eccentricità Y per sisma X SLV	0	0	0	-2.9E3	6.6E2	1	4997	558	Eccentricità X per sisma Y SLV	0	0	0	24332	6.6E2	1
4998	558	Sisma X SLD	49.9	0	0	0	6.6E2	1	4999	558	Sisma Y SLD	0	46.1	0	0	6.6E2	1

Indice	Nodo	Condizione	Fx	Fy	Fz	Mz	Peso	γ
5000	558	Eccentricità Y per sisma X SLD	0	0	0	-1245	6.6E2	1
5001	558	Eccentricità X per sisma Y SLD	0	0	0	9.6E3	6.6E2	1
5002	559	Sisma X SLV	117	0	0	0	6.6E2	1
5003	559	Sisma Y SLV	0	117	0	0	6.6E2	1
5004	559	Eccentricità Y per sisma X SLV	0	0	0	-2.9E3	6.6E2	1
5005	559	Eccentricità X per sisma Y SLV	0	0	0	24332	6.6E2	1
5006	559	Sisma X SLD	49.9	0	0	0	6.6E2	1
5007	559	Sisma Y SLD	0	46.1	0	0	6.6E2	1
5008	559	Eccentricità Y per sisma X SLD	0	0	0	-1245	6.6E2	1
5009	559	Eccentricità X per sisma Y SLD	0	0	0	9.6E3	6.6E2	1
5010	560	Sisma X SLV	117	0	0	0	6.6E2	1
5011	560	Sisma Y SLV	0	117	0	0	6.6E2	1
5012	560	Eccentricità Y per sisma X SLV	0	0	0	-2.9E3	6.6E2	1
5013	560	Eccentricità X per sisma Y SLV	0	0	0	24332	6.6E2	1
5014	560	Sisma X SLD	49.9	0	0	0	6.6E2	1
5015	560	Sisma Y SLD	0	46.1	0	0	6.6E2	1
5016	560	Eccentricità Y per sisma X SLD	0	0	0	-1245	6.6E2	1
5017	560	Eccentricità X per sisma Y SLD	0	0	0	9.6E3	6.6E2	1
5018	561	Sisma X SLV	117	0	0	0	6.6E2	1
5019	561	Sisma Y SLV	0	117	0	0	6.6E2	1
5020	561	Eccentricità Y per sisma X SLV	0	0	0	-2.9E3	6.6E2	1
5021	561	Eccentricità X per sisma Y SLV	0	0	0	24332	6.6E2	1
5022	561	Sisma X SLD	49.9	0	0	0	6.6E2	1
5023	561	Sisma Y SLD	0	46.1	0	0	6.6E2	1
5024	561	Eccentricità Y per sisma X SLD	0	0	0	-1245	6.6E2	1
5025	561	Eccentricità X per sisma Y SLD	0	0	0	9.6E3	6.6E2	1
5026	562	Sisma X SLV	117	0	0	0	6.6E2	1
5027	562	Sisma Y SLV	0	117	0	0	6.6E2	1
5028	562	Eccentricità Y per sisma X SLV	0	0	0	-2.9E3	6.6E2	1
5029	562	Eccentricità X per sisma Y SLV	0	0	0	24332	6.6E2	1
5030	562	Sisma X SLD	49.9	0	0	0	6.6E2	1
5031	562	Sisma Y SLD	0	46.1	0	0	6.6E2	1
5032	562	Eccentricità Y per sisma X SLD	0	0	0	-1245	6.6E2	1
5033	562	Eccentricità X per sisma Y SLD	0	0	0	9.6E3	6.6E2	1
5034	563	Sisma X SLV	117	0	0	0	6.6E2	1
5035	563	Sisma Y SLV	0	117	0	0	6.6E2	1
5036	563	Eccentricità Y per sisma X SLV	0	0	0	-2.9E3	6.6E2	1
5037	563	Eccentricità X per sisma Y SLV	0	0	0	24332	6.6E2	1
5038	563	Sisma X SLD	49.9	0	0	0	6.6E2	1
5039	563	Sisma Y SLD	0	46.1	0	0	6.6E2	1
5040	563	Eccentricità Y per sisma X SLD	0	0	0	-1245	6.6E2	1
5041	563	Eccentricità X per sisma Y SLD	0	0	0	9.6E3	6.6E2	1
5042	564	Sisma X SLV	117	0	0	0	6.6E2	1
5043	564	Sisma Y SLV	0	117	0	0	6.6E2	1
5044	564	Eccentricità Y per sisma X SLV	0	0	0	-2.9E3	6.6E2	1
5045	564	Eccentricità X per sisma Y SLV	0	0	0	24332	6.6E2	1
5046	564	Sisma X SLD	49.9	0	0	0	6.6E2	1
5047	564	Sisma Y SLD	0	46.1	0	0	6.6E2	1
5048	564	Eccentricità Y per sisma X SLD	0	0	0	-1245	6.6E2	1
5049	564	Eccentricità X per sisma Y SLD	0	0	0	9.6E3	6.6E2	1
5050	565	Sisma X SLV	117	0	0	0	6.6E2	1
5051	565	Sisma Y SLV	0	117	0	0	6.6E2	1
5052	565	Eccentricità Y per sisma X SLV	0	0	0	-2.9E3	6.6E2	1
5053	565	Eccentricità X per sisma Y SLV	0	0	0	24332	6.6E2	1
5054	565	Sisma X SLD	49.9	0	0	0	6.6E2	1
5055	565	Sisma Y SLD	0	46.1	0	0	6.6E2	1
5056	565	Eccentricità Y per sisma X SLD	0	0	0	-1245	6.6E2	1
5057	565	Eccentricità X per sisma Y SLD	0	0	0	9.6E3	6.6E2	1
5058	566	Sisma X SLV	116.9	0	0	0	6.5E2	1
5059	566	Sisma Y SLV	0	116.9	0	0	6.5E2	1
5060	566	Eccentricità Y per sisma X SLV	0	0	0	-2.9E3	6.5E2	1
5061	566	Eccentricità X per sisma Y SLV	0	0	0	2.4E4	6.5E2	1
5062	566	Sisma X SLD	49.8	0	0	0	6.5E2	1
5063	566	Sisma Y SLD	0	46.1	0	0	6.5E2	1
5064	566	Eccentricità Y per sisma X SLD	0	0	0	-1244	6.5E2	1
5065	566	Eccentricità X per sisma Y SLD	0	0	0	9.6E3	6.5E2	1
5066	567	Sisma X SLV	95.1	0	0	0	5.3E2	1
5067	567	Sisma Y SLV	0	95.1	0	0	5.3E2	1
5068	567	Eccentricità Y per sisma X SLV	0	0	0	-2375	5.3E2	1
5069	567	Eccentricità X per sisma Y SLV	0	0	0	2.0E4	5.3E2	1
5070	567	Sisma X SLD	40.6	0	0	0	5.3E2	1
5071	567	Sisma Y SLD	0	37.5	0	0	5.3E2	1
5072	567	Eccentricità Y per sisma X SLD	0	0	0	-1.0E3	5.3E2	1
5073	567	Eccentricità X per sisma Y SLD	0	0	0	7.8E3	5.3E2	1
5074	568	Sisma X SLV	47.6	0	0	0	2.7E2	1
5075	568	Sisma Y SLV	0	47.6	0	0	2.7E2	1
5076	568	Eccentricità Y per sisma X SLV	0	0	0	-1.2E3	2.7E2	1
5077	568	Eccentricità X per sisma Y SLV	0	0	0	9.9E3	2.7E2	1
5078	568	Sisma X SLD	20.3	0	0	0	2.7E2	1
5079	568	Sisma Y SLD	0	18.8	0	0	2.7E2	1
5080	568	Eccentricità Y per sisma X SLD	0	0	0	-5.1E2	2.7E2	1
5081	568	Eccentricità X per sisma Y SLD	0	0	0	3.9E3	2.7E2	1
5082	569	Sisma X SLV	76.5	0	0	0	4.3E2	1
5083	569	Sisma Y SLV	0	76.5	0	0	4.3E2	1
5084	569	Eccentricità Y per sisma X SLV	0	0	0	-1.9E3	4.3E2	1
5085	569	Eccentricità X per sisma Y SLV	0	0	0	1.6E4	4.3E2	1
5086	569	Sisma X SLD	32.6	0	0	0	4.3E2	1
5087	569	Sisma Y SLD	0	30.2	0	0	4.3E2	1
5088	569	Eccentricità Y per sisma X SLD	0	0	0	-8.1E2	4.3E2	1
5089	569	Eccentricità X per sisma Y SLD	0	0	0	6.3E3	4.3E2	1
5090	570	Sisma X SLV	44.3	0	0	0	2.5E2	1
5091	570	Sisma Y SLV	0	44.3	0	0	2.5E2	1

Indice	Nodo	Condizione	Fx	Fy	Fz	Mz	Peso	γ	Indice	Nodo	Condizione	Fx	Fy	Fz	Mz	Peso	γ
5092	570	Eccentricità Y per sisma X SLV	0	0	0	-1.1E3	2.5E2	1	5093	570	Eccentricità X per sisma Y SLV	0	0	0	9.2E3	2.5E2	1
5094	570	Sisma X SLD	18.9	0	0	0	2.5E2	1	5095	570	Sisma Y SLD	0	17.5	0	0	2.5E2	1
5096	570	Eccentricità Y per sisma X SLD	0	0	0	-4.7E2	2.5E2	1	5097	570	Eccentricità X per sisma Y SLD	0	0	0	3.6E3	2.5E2	1
5098	571	Sisma X SLV	92.8	0	0	0	5.2E2	1	5099	571	Sisma Y SLV	0	92.8	0	0	5.2E2	1
5100	571	Eccentricità Y per sisma X SLV	0	0	0	-2.3E3	5.2E2	1	5101	571	Eccentricità X per sisma Y SLV	0	0	0	1.9E4	5.2E2	1
5102	571	Sisma X SLD	39.6	0	0	0	5.2E2	1	5103	571	Sisma Y SLD	0	36.6	0	0	5.2E2	1
5104	571	Eccentricità Y per sisma X SLD	0	0	0	-9.9E2	5.2E2	1	5105	571	Eccentricità X per sisma Y SLD	0	0	0	7.6E3	5.2E2	1
5106	572	Sisma X SLV	97.7	0	0	0	5.5E2	1	5107	572	Sisma Y SLV	0	97.7	0	0	5.5E2	1
5108	572	Eccentricità Y per sisma X SLV	0	0	0	-2.4E3	5.5E2	1	5109	572	Eccentricità X per sisma Y SLV	0	0	0	2.0E4	5.5E2	1
5110	572	Sisma X SLD	41.7	0	0	0	5.5E2	1	5111	572	Sisma Y SLD	0	38.5	0	0	5.5E2	1
5112	572	Eccentricità Y per sisma X SLD	0	0	0	-1.0E3	5.5E2	1	5113	572	Eccentricità X per sisma Y SLD	0	0	0	8.0E3	5.5E2	1
5114	573	Sisma X SLV	100.9	0	0	0	5.7E2	1	5115	573	Sisma Y SLV	0	100.9	0	0	5.7E2	1
5116	573	Eccentricità Y per sisma X SLV	0	0	0	-2.5E3	5.7E2	1	5117	573	Eccentricità X per sisma Y SLV	0	0	0	2.1E4	5.7E2	1
5118	573	Sisma X SLD	43	0	0	0	5.7E2	1	5119	573	Sisma Y SLD	0	39.8	0	0	5.7E2	1
5120	573	Eccentricità Y per sisma X SLD	0	0	0	-1.1E3	5.7E2	1	5121	573	Eccentricità X per sisma Y SLD	0	0	0	8274	5.7E2	1
5122	574	Sisma X SLV	98.4	0	0	0	5.5E2	1	5123	574	Sisma Y SLV	0	98.4	0	0	5.5E2	1
5124	574	Eccentricità Y per sisma X SLV	0	0	0	-2.5E3	5.5E2	1	5125	574	Eccentricità X per sisma Y SLV	0	0	0	2.0E4	5.5E2	1
5126	574	Sisma X SLD	41.9	0	0	0	5.5E2	1	5127	574	Sisma Y SLD	0	38.8	0	0	5.5E2	1
5128	574	Eccentricità Y per sisma X SLD	0	0	0	-1047	5.5E2	1	5129	574	Eccentricità X per sisma Y SLD	0	0	0	8.1E3	5.5E2	1
5130	575	Sisma X SLV	94.4	0	0	0	5.3E2	1	5131	575	Sisma Y SLV	0	94.4	0	0	5.3E2	1
5132	575	Eccentricità Y per sisma X SLV	0	0	0	-2.4E3	5.3E2	1	5133	575	Eccentricità X per sisma Y SLV	0	0	0	2.0E4	5.3E2	1
5134	575	Sisma X SLD	40.2	0	0	0	5.3E2	1	5135	575	Sisma Y SLD	0	37.2	0	0	5.3E2	1
5136	575	Eccentricità Y per sisma X SLD	0	0	0	-1.0E3	5.3E2	1	5137	575	Eccentricità X per sisma Y SLD	0	0	0	7.7E3	5.3E2	1
5138	576	Sisma X SLV	93.3	0	0	0	5.2E2	1	5139	576	Sisma Y SLV	0	93.3	0	0	5.2E2	1
5140	576	Eccentricità Y per sisma X SLV	0	0	0	-2.3E3	5.2E2	1	5141	576	Eccentricità X per sisma Y SLV	0	0	0	1.9E4	5.2E2	1
5142	576	Sisma X SLD	39.8	0	0	0	5.2E2	1	5143	576	Sisma Y SLD	0	36.8	0	0	5.2E2	1
5144	576	Eccentricità Y per sisma X SLD	0	0	0	-9.9E2	5.2E2	1	5145	576	Eccentricità X per sisma Y SLD	0	0	0	7.7E3	5.2E2	1
5146	577	Sisma X SLV	98.4	0	0	0	5.5E2	1	5147	577	Sisma Y SLV	0	98.4	0	0	5.5E2	1
5148	577	Eccentricità Y per sisma X SLV	0	0	0	-2.5E3	5.5E2	1	5149	577	Eccentricità X per sisma Y SLV	0	0	0	2.0E4	5.5E2	1
5150	577	Sisma X SLD	42	0	0	0	5.5E2	1	5151	577	Sisma Y SLD	0	38.8	0	0	5.5E2	1
5152	577	Eccentricità Y per sisma X SLD	0	0	0	-1.0E3	5.5E2	1	5153	577	Eccentricità X per sisma Y SLD	0	0	0	8.1E3	5.5E2	1
5154	578	Sisma X SLV	102.2	0	0	0	5.7E2	1	5155	578	Sisma Y SLV	0	102.2	0	0	5.7E2	1
5156	578	Eccentricità Y per sisma X SLV	0	0	0	-2.6E3	5.7E2	1	5157	578	Eccentricità X per sisma Y SLV	0	0	0	2.1E4	5.7E2	1
5158	578	Sisma X SLD	43.6	0	0	0	5.7E2	1	5159	578	Sisma Y SLD	0	40.3	0	0	5.7E2	1
5160	578	Eccentricità Y per sisma X SLD	0	0	0	-1.1E3	5.7E2	1	5161	578	Eccentricità X per sisma Y SLD	0	0	0	8.4E3	5.7E2	1
5162	579	Sisma X SLV	98.5	0	0	0	5.5E2	1	5163	579	Sisma Y SLV	0	98.5	0	0	5.5E2	1
5164	579	Eccentricità Y per sisma X SLV	0	0	0	-2.5E3	5.5E2	1	5165	579	Eccentricità X per sisma Y SLV	0	0	0	20497	5.5E2	1
5166	579	Sisma X SLD	42	0	0	0	5.5E2	1	5167	579	Sisma Y SLD	0	38.9	0	0	5.5E2	1
5168	579	Eccentricità Y per sisma X SLD	0	0	0	-1.0E3	5.5E2	1	5169	579	Eccentricità X per sisma Y SLD	0	0	0	8.1E3	5.5E2	1
5170	580	Sisma X SLV	44.2	0	0	0	2.5E2	1	5171	580	Sisma Y SLV	0	44.2	0	0	2.5E2	1
5172	580	Eccentricità Y per sisma X SLV	0	0	0	-1.1E3	2.5E2	1	5173	580	Eccentricità X per sisma Y SLV	0	0	0	9200	2.5E2	1
5174	580	Sisma X SLD	18.9	0	0	0	2.5E2	1	5175	580	Sisma Y SLD	0	17.4	0	0	2.5E2	1
5176	580	Eccentricità Y per sisma X SLD	0	0	0	-4.7E2	2.5E2	1	5177	580	Eccentricità X per sisma Y SLD	0	0	0	3.6E3	2.5E2	1
5178	581	Sisma X SLV	351.2	0	0	0	2.0E3	1	5179	581	Sisma Y SLV	0	351.2	0	0	2.0E3	1
5180	581	Eccentricità Y per sisma X SLV	0	0	0	-8.8E3	2.0E3	1	5181	581	Eccentricità X per sisma Y SLV	0	0	0	7.3E4	2.0E3	1
5182	581	Sisma X SLD	149.7	0	0	0	2.0E3	1	5183	581	Sisma Y SLD	0	138.5	0	0	2.0E3	1

Indice	Nodo	Condizione	Fx	Fy	Fz	Mz	Peso	γ	Indice	Nodo	Condizione	Fx	Fy	Fz	Mz	Peso	γ
5184	581	Eccentricità Y per sisma X SLD	0	0	0	-3.7E3	2.0E3	1	5185	581	Eccentricità X per sisma Y SLD	0	0	0	2.9E4	2.0E3	1
5186	582	Sisma X SLV	344	0	0	0	1.9E3	1	5187	582	Sisma Y SLV	0	344	0	0	1.9E3	1
5188	582	Eccentricità Y per sisma X SLV	0	0	0	-8.6E3	1.9E3	1	5189	582	Eccentricità X per sisma Y SLV	0	0	0	7.2E4	1.9E3	1
5190	582	Sisma X SLD	146.6	0	0	0	1.9E3	1	5191	582	Sisma Y SLD	0	135.6	0	0	1.9E3	1
5192	582	Eccentricità Y per sisma X SLD	0	0	0	-3.7E3	1.9E3	1	5193	582	Eccentricità X per sisma Y SLD	0	0	0	2.8E4	1.9E3	1
5194	583	Sisma X SLV	117	0	0	0	6.6E2	1	5195	583	Sisma Y SLV	0	117	0	0	6.6E2	1
5196	583	Eccentricità Y per sisma X SLV	0	0	0	-2.9E3	6.6E2	1	5197	583	Eccentricità X per sisma Y SLV	0	0	0	24332	6.6E2	1
5198	583	Sisma X SLD	49.9	0	0	0	6.6E2	1	5199	583	Sisma Y SLD	0	46.1	0	0	6.6E2	1
5200	583	Eccentricità Y per sisma X SLD	0	0	0	-1245	6.6E2	1	5201	583	Eccentricità X per sisma Y SLD	0	0	0	9.6E3	6.6E2	1
5202	584	Sisma X SLV	117	0	0	0	6.6E2	1	5203	584	Sisma Y SLV	0	117	0	0	6.6E2	1
5204	584	Eccentricità Y per sisma X SLV	0	0	0	-2.9E3	6.6E2	1	5205	584	Eccentricità X per sisma Y SLV	0	0	0	24332	6.6E2	1
5206	584	Sisma X SLD	49.9	0	0	0	6.6E2	1	5207	584	Sisma Y SLD	0	46.1	0	0	6.6E2	1
5208	584	Eccentricità Y per sisma X SLD	0	0	0	-1245	6.6E2	1	5209	584	Eccentricità X per sisma Y SLD	0	0	0	9.6E3	6.6E2	1
5210	585	Sisma X SLV	117	0	0	0	6.6E2	1	5211	585	Sisma Y SLV	0	117	0	0	6.6E2	1
5212	585	Eccentricità Y per sisma X SLV	0	0	0	-2.9E3	6.6E2	1	5213	585	Eccentricità X per sisma Y SLV	0	0	0	24332	6.6E2	1
5214	585	Sisma X SLD	49.9	0	0	0	6.6E2	1	5215	585	Sisma Y SLD	0	46.1	0	0	6.6E2	1
5216	585	Eccentricità Y per sisma X SLD	0	0	0	-1245	6.6E2	1	5217	585	Eccentricità X per sisma Y SLD	0	0	0	9.6E3	6.6E2	1
5218	586	Sisma X SLV	117	0	0	0	6.6E2	1	5219	586	Sisma Y SLV	0	117	0	0	6.6E2	1
5220	586	Eccentricità Y per sisma X SLV	0	0	0	-2.9E3	6.6E2	1	5221	586	Eccentricità X per sisma Y SLV	0	0	0	24332	6.6E2	1
5222	586	Sisma X SLD	49.9	0	0	0	6.6E2	1	5223	586	Sisma Y SLD	0	46.1	0	0	6.6E2	1
5224	586	Eccentricità Y per sisma X SLD	0	0	0	-1245	6.6E2	1	5225	586	Eccentricità X per sisma Y SLD	0	0	0	9.6E3	6.6E2	1
5226	587	Sisma X SLV	117	0	0	0	6.6E2	1	5227	587	Sisma Y SLV	0	117	0	0	6.6E2	1
5228	587	Eccentricità Y per sisma X SLV	0	0	0	-2.9E3	6.6E2	1	5229	587	Eccentricità X per sisma Y SLV	0	0	0	24332	6.6E2	1
5230	587	Sisma X SLD	49.9	0	0	0	6.6E2	1	5231	587	Sisma Y SLD	0	46.1	0	0	6.6E2	1
5232	587	Eccentricità Y per sisma X SLD	0	0	0	-1245	6.6E2	1	5233	587	Eccentricità X per sisma Y SLD	0	0	0	9.6E3	6.6E2	1
5234	588	Sisma X SLV	117	0	0	0	6.6E2	1	5235	588	Sisma Y SLV	0	117	0	0	6.6E2	1
5236	588	Eccentricità Y per sisma X SLV	0	0	0	-2.9E3	6.6E2	1	5237	588	Eccentricità X per sisma Y SLV	0	0	0	24332	6.6E2	1
5238	588	Sisma X SLD	49.9	0	0	0	6.6E2	1	5239	588	Sisma Y SLD	0	46.1	0	0	6.6E2	1
5240	588	Eccentricità Y per sisma X SLD	0	0	0	-1245	6.6E2	1	5241	588	Eccentricità X per sisma Y SLD	0	0	0	9.6E3	6.6E2	1
5242	589	Sisma X SLV	117	0	0	0	6.6E2	1	5243	589	Sisma Y SLV	0	117	0	0	6.6E2	1
5244	589	Eccentricità Y per sisma X SLV	0	0	0	-2.9E3	6.6E2	1	5245	589	Eccentricità X per sisma Y SLV	0	0	0	24332	6.6E2	1
5246	589	Sisma X SLD	49.9	0	0	0	6.6E2	1	5247	589	Sisma Y SLD	0	46.1	0	0	6.6E2	1
5248	589	Eccentricità Y per sisma X SLD	0	0	0	-1245	6.6E2	1	5249	589	Eccentricità X per sisma Y SLD	0	0	0	9.6E3	6.6E2	1
5250	590	Sisma X SLV	117	0	0	0	6.6E2	1	5251	590	Sisma Y SLV	0	117	0	0	6.6E2	1
5252	590	Eccentricità Y per sisma X SLV	0	0	0	-2.9E3	6.6E2	1	5253	590	Eccentricità X per sisma Y SLV	0	0	0	24332	6.6E2	1
5254	590	Sisma X SLD	49.9	0	0	0	6.6E2	1	5255	590	Sisma Y SLD	0	46.1	0	0	6.6E2	1
5256	590	Eccentricità Y per sisma X SLD	0	0	0	-1245	6.6E2	1	5257	590	Eccentricità X per sisma Y SLD	0	0	0	9.6E3	6.6E2	1
5258	591	Sisma X SLV	117	0	0	0	6.6E2	1	5259	591	Sisma Y SLV	0	117	0	0	6.6E2	1
5260	591	Eccentricità Y per sisma X SLV	0	0	0	-2.9E3	6.6E2	1	5261	591	Eccentricità X per sisma Y SLV	0	0	0	24332	6.6E2	1
5262	591	Sisma X SLD	49.9	0	0	0	6.6E2	1	5263	591	Sisma Y SLD	0	46.1	0	0	6.6E2	1
5264	591	Eccentricità Y per sisma X SLD	0	0	0	-1245	6.6E2	1	5265	591	Eccentricità X per sisma Y SLD	0	0	0	9.6E3	6.6E2	1
5266	592	Sisma X SLV	117	0	0	0	6.6E2	1	5267	592	Sisma Y SLV	0	117	0	0	6.6E2	1
5268	592	Eccentricità Y per sisma X SLV	0	0	0	-2.9E3	6.6E2	1	5269	592	Eccentricità X per sisma Y SLV	0	0	0	24332	6.6E2	1
5270	592	Sisma X SLD	49.9	0	0	0	6.6E2	1	5271	592	Sisma Y SLD	0	46.1	0	0	6.6E2	1
5272	592	Eccentricità Y per sisma X SLD	0	0	0	-1245	6.6E2	1	5273	592	Eccentricità X per sisma Y SLD	0	0	0	9.6E3	6.6E2	1
5274	593	Sisma X SLV	117	0	0	0	6.6E2	1	5275	593	Sisma Y SLV	0	117	0	0	6.6E2	1

Indice	Nodo	Condizione	Fx	Fy	Fz	Mz	Peso	γ	Indice	Nodo	Condizione	Fx	Fy	Fz	Mz	Peso	γ
5276	593	Eccentricità Y per sisma X SLV	0	0	0	-2.9E3	6.6E2	1	5277	593	Eccentricità X per sisma Y SLV	0	0	0	24332	6.6E2	1
5278	593	Sisma X SLD	49.9	0	0	0	6.6E2	1	5279	593	Sisma Y SLD	0	46.1	0	0	6.6E2	1
5280	593	Eccentricità Y per sisma X SLD	0	0	0	-1245	6.6E2	1	5281	593	Eccentricità X per sisma Y SLD	0	0	0	9.6E3	6.6E2	1
5282	594	Sisma X SLV	354.9	0	0	0	2.0E3	1	5283	594	Sisma Y SLV	0	354.9	0	0	2.0E3	1
5284	594	Eccentricità Y per sisma X SLV	0	0	0	-8.9E3	2.0E3	1	5285	594	Eccentricità X per sisma Y SLV	0	0	0	73819	2.0E3	1
5286	594	Sisma X SLD	151.3	0	0	0	2.0E3	1	5287	594	Sisma Y SLD	0	140	0	0	2.0E3	1
5288	594	Eccentricità Y per sisma X SLD	0	0	0	-3.8E3	2.0E3	1	5289	594	Eccentricità X per sisma Y SLD	0	0	0	2.9E4	2.0E3	1
5290	595	Sisma X SLV	117	0	0	0	6.6E2	1	5291	595	Sisma Y SLV	0	117	0	0	6.6E2	1
5292	595	Eccentricità Y per sisma X SLV	0	0	0	-2.9E3	6.6E2	1	5293	595	Eccentricità X per sisma Y SLV	0	0	0	24332	6.6E2	1
5294	595	Sisma X SLD	49.9	0	0	0	6.6E2	1	5295	595	Sisma Y SLD	0	46.1	0	0	6.6E2	1
5296	595	Eccentricità Y per sisma X SLD	0	0	0	-1245	6.6E2	1	5297	595	Eccentricità X per sisma Y SLD	0	0	0	9.6E3	6.6E2	1
5298	596	Sisma X SLV	117	0	0	0	6.6E2	1	5299	596	Sisma Y SLV	0	117	0	0	6.6E2	1
5300	596	Eccentricità Y per sisma X SLV	0	0	0	-2.9E3	6.6E2	1	5301	596	Eccentricità X per sisma Y SLV	0	0	0	24332	6.6E2	1
5302	596	Sisma X SLD	49.9	0	0	0	6.6E2	1	5303	596	Sisma Y SLD	0	46.1	0	0	6.6E2	1
5304	596	Eccentricità Y per sisma X SLD	0	0	0	-1245	6.6E2	1	5305	596	Eccentricità X per sisma Y SLD	0	0	0	9.6E3	6.6E2	1
5306	597	Sisma X SLV	117	0	0	0	6.6E2	1	5307	597	Sisma Y SLV	0	117	0	0	6.6E2	1
5308	597	Eccentricità Y per sisma X SLV	0	0	0	-2.9E3	6.6E2	1	5309	597	Eccentricità X per sisma Y SLV	0	0	0	24332	6.6E2	1
5310	597	Sisma X SLD	49.9	0	0	0	6.6E2	1	5311	597	Sisma Y SLD	0	46.1	0	0	6.6E2	1
5312	597	Eccentricità Y per sisma X SLD	0	0	0	-1245	6.6E2	1	5313	597	Eccentricità X per sisma Y SLD	0	0	0	9.6E3	6.6E2	1
5314	598	Sisma X SLV	117	0	0	0	6.6E2	1	5315	598	Sisma Y SLV	0	117	0	0	6.6E2	1
5316	598	Eccentricità Y per sisma X SLV	0	0	0	-2.9E3	6.6E2	1	5317	598	Eccentricità X per sisma Y SLV	0	0	0	24332	6.6E2	1
5318	598	Sisma X SLD	49.9	0	0	0	6.6E2	1	5319	598	Sisma Y SLD	0	46.1	0	0	6.6E2	1
5320	598	Eccentricità Y per sisma X SLD	0	0	0	-1245	6.6E2	1	5321	598	Eccentricità X per sisma Y SLD	0	0	0	9.6E3	6.6E2	1
5322	599	Sisma X SLV	117	0	0	0	6.6E2	1	5323	599	Sisma Y SLV	0	117	0	0	6.6E2	1
5324	599	Eccentricità Y per sisma X SLV	0	0	0	-2.9E3	6.6E2	1	5325	599	Eccentricità X per sisma Y SLV	0	0	0	24332	6.6E2	1
5326	599	Sisma X SLD	49.9	0	0	0	6.6E2	1	5327	599	Sisma Y SLD	0	46.1	0	0	6.6E2	1
5328	599	Eccentricità Y per sisma X SLD	0	0	0	-1245	6.6E2	1	5329	599	Eccentricità X per sisma Y SLD	0	0	0	9.6E3	6.6E2	1
5330	600	Sisma X SLV	117	0	0	0	6.6E2	1	5331	600	Sisma Y SLV	0	117	0	0	6.6E2	1
5332	600	Eccentricità Y per sisma X SLV	0	0	0	-2.9E3	6.6E2	1	5333	600	Eccentricità X per sisma Y SLV	0	0	0	24332	6.6E2	1
5334	600	Sisma X SLD	49.9	0	0	0	6.6E2	1	5335	600	Sisma Y SLD	0	46.1	0	0	6.6E2	1
5336	600	Eccentricità Y per sisma X SLD	0	0	0	-1245	6.6E2	1	5337	600	Eccentricità X per sisma Y SLD	0	0	0	9.6E3	6.6E2	1
5338	601	Sisma X SLV	117	0	0	0	6.6E2	1	5339	601	Sisma Y SLV	0	117	0	0	6.6E2	1
5340	601	Eccentricità Y per sisma X SLV	0	0	0	-2.9E3	6.6E2	1	5341	601	Eccentricità X per sisma Y SLV	0	0	0	24332	6.6E2	1
5342	601	Sisma X SLD	49.9	0	0	0	6.6E2	1	5343	601	Sisma Y SLD	0	46.1	0	0	6.6E2	1
5344	601	Eccentricità Y per sisma X SLD	0	0	0	-1245	6.6E2	1	5345	601	Eccentricità X per sisma Y SLD	0	0	0	9.6E3	6.6E2	1
5346	602	Sisma X SLV	117	0	0	0	6.6E2	1	5347	602	Sisma Y SLV	0	117	0	0	6.6E2	1
5348	602	Eccentricità Y per sisma X SLV	0	0	0	-2.9E3	6.6E2	1	5349	602	Eccentricità X per sisma Y SLV	0	0	0	24332	6.6E2	1
5350	602	Sisma X SLD	49.9	0	0	0	6.6E2	1	5351	602	Sisma Y SLD	0	46.1	0	0	6.6E2	1
5352	602	Eccentricità Y per sisma X SLD	0	0	0	-1245	6.6E2	1	5353	602	Eccentricità X per sisma Y SLD	0	0	0	9.6E3	6.6E2	1
5354	603	Sisma X SLV	117	0	0	0	6.6E2	1	5355	603	Sisma Y SLV	0	117	0	0	6.6E2	1
5356	603	Eccentricità Y per sisma X SLV	0	0	0	-2.9E3	6.6E2	1	5357	603	Eccentricità X per sisma Y SLV	0	0	0	24332	6.6E2	1
5358	603	Sisma X SLD	49.9	0	0	0	6.6E2	1	5359	603	Sisma Y SLD	0	46.1	0	0	6.6E2	1
5360	603	Eccentricità Y per sisma X SLD	0	0	0	-1245	6.6E2	1	5361	603	Eccentricità X per sisma Y SLD	0	0	0	9.6E3	6.6E2	1
5362	604	Sisma X SLV	117	0	0	0	6.6E2	1	5363	604	Sisma Y SLV	0	117	0	0	6.6E2	1
5364	604	Eccentricità Y per sisma X SLV	0	0	0	-2.9E3	6.6E2	1	5365	604	Eccentricità X per sisma Y SLV	0	0	0	24332	6.6E2	1
5366	604	Sisma X SLD	49.9	0	0	0	6.6E2	1	5367	604	Sisma Y SLD	0	46.1	0	0	6.6E2	1

Indice	Nodo	Condizione	Fx	Fy	Fz	Mz	Peso	γ	Indice	Nodo	Condizione	Fx	Fy	Fz	Mz	Peso	γ
5368	604	Eccentricità Y per sisma X SLD	0	0	0	-1245	6.6E2	1	5369	604	Eccentricità X per sisma Y SLD	0	0	0	9.6E3	6.6E2	1
5370	605	Sisma X SLV	117	0	0	0	6.6E2	1	5371	605	Sisma Y SLV	0	117	0	0	6.6E2	1
5372	605	Eccentricità Y per sisma X SLV	0	0	0	-2.9E3	6.6E2	1	5373	605	Eccentricità X per sisma Y SLV	0	0	0	24332	6.6E2	1
5374	605	Sisma X SLD	49.9	0	0	0	6.6E2	1	5375	605	Sisma Y SLD	0	46.1	0	0	6.6E2	1
5376	605	Eccentricità Y per sisma X SLD	0	0	0	-1245	6.6E2	1	5377	605	Eccentricità X per sisma Y SLD	0	0	0	9.6E3	6.6E2	1
5378	606	Sisma X SLV	354.9	0	0	0	2.0E3	1	5379	606	Sisma Y SLV	0	354.9	0	0	2.0E3	1
5380	606	Eccentricità Y per sisma X SLV	0	0	0	-8.9E3	2.0E3	1	5381	606	Eccentricità X per sisma Y SLV	0	0	0	73819	2.0E3	1
5382	606	Sisma X SLD	151.3	0	0	0	2.0E3	1	5383	606	Sisma Y SLD	0	140	0	0	2.0E3	1
5384	606	Eccentricità Y per sisma X SLD	0	0	0	-3.8E3	2.0E3	1	5385	606	Eccentricità X per sisma Y SLD	0	0	0	2.9E4	2.0E3	1
5386	607	Sisma X SLV	117	0	0	0	6.6E2	1	5387	607	Sisma Y SLV	0	117	0	0	6.6E2	1
5388	607	Eccentricità Y per sisma X SLV	0	0	0	-2.9E3	6.6E2	1	5389	607	Eccentricità X per sisma Y SLV	0	0	0	24332	6.6E2	1
5390	607	Sisma X SLD	49.9	0	0	0	6.6E2	1	5391	607	Sisma Y SLD	0	46.1	0	0	6.6E2	1
5392	607	Eccentricità Y per sisma X SLD	0	0	0	-1245	6.6E2	1	5393	607	Eccentricità X per sisma Y SLD	0	0	0	9.6E3	6.6E2	1
5394	608	Sisma X SLV	117	0	0	0	6.6E2	1	5395	608	Sisma Y SLV	0	117	0	0	6.6E2	1
5396	608	Eccentricità Y per sisma X SLV	0	0	0	-2.9E3	6.6E2	1	5397	608	Eccentricità X per sisma Y SLV	0	0	0	24332	6.6E2	1
5398	608	Sisma X SLD	49.9	0	0	0	6.6E2	1	5399	608	Sisma Y SLD	0	46.1	0	0	6.6E2	1
5400	608	Eccentricità Y per sisma X SLD	0	0	0	-1245	6.6E2	1	5401	608	Eccentricità X per sisma Y SLD	0	0	0	9.6E3	6.6E2	1
5402	609	Sisma X SLV	117	0	0	0	6.6E2	1	5403	609	Sisma Y SLV	0	117	0	0	6.6E2	1
5404	609	Eccentricità Y per sisma X SLV	0	0	0	-2.9E3	6.6E2	1	5405	609	Eccentricità X per sisma Y SLV	0	0	0	24332	6.6E2	1
5406	609	Sisma X SLD	49.9	0	0	0	6.6E2	1	5407	609	Sisma Y SLD	0	46.1	0	0	6.6E2	1
5408	609	Eccentricità Y per sisma X SLD	0	0	0	-1245	6.6E2	1	5409	609	Eccentricità X per sisma Y SLD	0	0	0	9.6E3	6.6E2	1
5410	610	Sisma X SLV	117	0	0	0	6.6E2	1	5411	610	Sisma Y SLV	0	117	0	0	6.6E2	1
5412	610	Eccentricità Y per sisma X SLV	0	0	0	-2.9E3	6.6E2	1	5413	610	Eccentricità X per sisma Y SLV	0	0	0	24332	6.6E2	1
5414	610	Sisma X SLD	49.9	0	0	0	6.6E2	1	5415	610	Sisma Y SLD	0	46.1	0	0	6.6E2	1
5416	610	Eccentricità Y per sisma X SLD	0	0	0	-1245	6.6E2	1	5417	610	Eccentricità X per sisma Y SLD	0	0	0	9.6E3	6.6E2	1
5418	611	Sisma X SLV	117	0	0	0	6.6E2	1	5419	611	Sisma Y SLV	0	117	0	0	6.6E2	1
5420	611	Eccentricità Y per sisma X SLV	0	0	0	-2.9E3	6.6E2	1	5421	611	Eccentricità X per sisma Y SLV	0	0	0	24332	6.6E2	1
5422	611	Sisma X SLD	49.9	0	0	0	6.6E2	1	5423	611	Sisma Y SLD	0	46.1	0	0	6.6E2	1
5424	611	Eccentricità Y per sisma X SLD	0	0	0	-1245	6.6E2	1	5425	611	Eccentricità X per sisma Y SLD	0	0	0	9.6E3	6.6E2	1
5426	612	Sisma X SLV	117	0	0	0	6.6E2	1	5427	612	Sisma Y SLV	0	117	0	0	6.6E2	1
5428	612	Eccentricità Y per sisma X SLV	0	0	0	-2.9E3	6.6E2	1	5429	612	Eccentricità X per sisma Y SLV	0	0	0	24332	6.6E2	1
5430	612	Sisma X SLD	49.9	0	0	0	6.6E2	1	5431	612	Sisma Y SLD	0	46.1	0	0	6.6E2	1
5432	612	Eccentricità Y per sisma X SLD	0	0	0	-1245	6.6E2	1	5433	612	Eccentricità X per sisma Y SLD	0	0	0	9.6E3	6.6E2	1
5434	613	Sisma X SLV	117	0	0	0	6.6E2	1	5435	613	Sisma Y SLV	0	117	0	0	6.6E2	1
5436	613	Eccentricità Y per sisma X SLV	0	0	0	-2.9E3	6.6E2	1	5437	613	Eccentricità X per sisma Y SLV	0	0	0	24332	6.6E2	1
5438	613	Sisma X SLD	49.9	0	0	0	6.6E2	1	5439	613	Sisma Y SLD	0	46.1	0	0	6.6E2	1
5440	613	Eccentricità Y per sisma X SLD	0	0	0	-1245	6.6E2	1	5441	613	Eccentricità X per sisma Y SLD	0	0	0	9.6E3	6.6E2	1
5442	614	Sisma X SLV	117	0	0	0	6.6E2	1	5443	614	Sisma Y SLV	0	117	0	0	6.6E2	1
5444	614	Eccentricità Y per sisma X SLV	0	0	0	-2.9E3	6.6E2	1	5445	614	Eccentricità X per sisma Y SLV	0	0	0	24332	6.6E2	1
5446	614	Sisma X SLD	49.9	0	0	0	6.6E2	1	5447	614	Sisma Y SLD	0	46.1	0	0	6.6E2	1
5448	614	Eccentricità Y per sisma X SLD	0	0	0	-1245	6.6E2	1	5449	614	Eccentricità X per sisma Y SLD	0	0	0	9.6E3	6.6E2	1
5450	615	Sisma X SLV	117	0	0	0	6.6E2	1	5451	615	Sisma Y SLV	0	117	0	0	6.6E2	1
5452	615	Eccentricità Y per sisma X SLV	0	0	0	-2.9E3	6.6E2	1	5453	615	Eccentricità X per sisma Y SLV	0	0	0	24332	6.6E2	1
5454	615	Sisma X SLD	49.9	0	0	0	6.6E2	1	5455	615	Sisma Y SLD	0	46.1	0	0	6.6E2	1
5456	615	Eccentricità Y per sisma X SLD	0	0	0	-1245	6.6E2	1	5457	615	Eccentricità X per sisma Y SLD	0	0	0	9.6E3	6.6E2	1
5458	616	Sisma X SLV	117	0	0	0	6.6E2	1	5459	616	Sisma Y SLV	0	117	0	0	6.6E2	1

Indice	Nodo	Condizione	Fx	Fy	Fz	Mz	Peso	γ	Indice	Nodo	Condizione	Fx	Fy	Fz	Mz	Peso	γ
5460	616	Eccentricità Y per sisma X SLV	0	0	0	-2.9E3	6.6E2	1	5461	616	Eccentricità X per sisma Y SLV	0	0	0	24332	6.6E2	1
5462	616	Sisma X SLD	49.9	0	0	0	6.6E2	1	5463	616	Sisma Y SLD	0	46.1	0	0	6.6E2	1
5464	616	Eccentricità Y per sisma X SLD	0	0	0	-1245	6.6E2	1	5465	616	Eccentricità X per sisma Y SLD	0	0	0	9.6E3	6.6E2	1
5466	617	Sisma X SLV	117	0	0	0	6.6E2	1	5467	617	Sisma Y SLV	0	117	0	0	6.6E2	1
5468	617	Eccentricità Y per sisma X SLV	0	0	0	-2.9E3	6.6E2	1	5469	617	Eccentricità X per sisma Y SLV	0	0	0	24332	6.6E2	1
5470	617	Sisma X SLD	49.9	0	0	0	6.6E2	1	5471	617	Sisma Y SLD	0	46.1	0	0	6.6E2	1
5472	617	Eccentricità Y per sisma X SLD	0	0	0	-1245	6.6E2	1	5473	617	Eccentricità X per sisma Y SLD	0	0	0	9.6E3	6.6E2	1
5474	618	Sisma X SLV	354.9	0	0	0	2.0E3	1	5475	618	Sisma Y SLV	0	354.9	0	0	2.0E3	1
5476	618	Eccentricità Y per sisma X SLV	0	0	0	-8.9E3	2.0E3	1	5477	618	Eccentricità X per sisma Y SLV	0	0	0	73819	2.0E3	1
5478	618	Sisma X SLD	151.3	0	0	0	2.0E3	1	5479	618	Sisma Y SLD	0	140	0	0	2.0E3	1
5480	618	Eccentricità Y per sisma X SLD	0	0	0	-3.8E3	2.0E3	1	5481	618	Eccentricità X per sisma Y SLD	0	0	0	2.9E4	2.0E3	1
5482	619	Sisma X SLV	117	0	0	0	6.6E2	1	5483	619	Sisma Y SLV	0	117	0	0	6.6E2	1
5484	619	Eccentricità Y per sisma X SLV	0	0	0	-2.9E3	6.6E2	1	5485	619	Eccentricità X per sisma Y SLV	0	0	0	24332	6.6E2	1
5486	619	Sisma X SLD	49.9	0	0	0	6.6E2	1	5487	619	Sisma Y SLD	0	46.1	0	0	6.6E2	1
5488	619	Eccentricità Y per sisma X SLD	0	0	0	-1245	6.6E2	1	5489	619	Eccentricità X per sisma Y SLD	0	0	0	9.6E3	6.6E2	1
5490	620	Sisma X SLV	117	0	0	0	6.6E2	1	5491	620	Sisma Y SLV	0	117	0	0	6.6E2	1
5492	620	Eccentricità Y per sisma X SLV	0	0	0	-2.9E3	6.6E2	1	5493	620	Eccentricità X per sisma Y SLV	0	0	0	24332	6.6E2	1
5494	620	Sisma X SLD	49.9	0	0	0	6.6E2	1	5495	620	Sisma Y SLD	0	46.1	0	0	6.6E2	1
5496	620	Eccentricità Y per sisma X SLD	0	0	0	-1245	6.6E2	1	5497	620	Eccentricità X per sisma Y SLD	0	0	0	9.6E3	6.6E2	1
5498	621	Sisma X SLV	117	0	0	0	6.6E2	1	5499	621	Sisma Y SLV	0	117	0	0	6.6E2	1
5500	621	Eccentricità Y per sisma X SLV	0	0	0	-2.9E3	6.6E2	1	5501	621	Eccentricità X per sisma Y SLV	0	0	0	24332	6.6E2	1
5502	621	Sisma X SLD	49.9	0	0	0	6.6E2	1	5503	621	Sisma Y SLD	0	46.1	0	0	6.6E2	1
5504	621	Eccentricità Y per sisma X SLD	0	0	0	-1245	6.6E2	1	5505	621	Eccentricità X per sisma Y SLD	0	0	0	9.6E3	6.6E2	1
5506	622	Sisma X SLV	117	0	0	0	6.6E2	1	5507	622	Sisma Y SLV	0	117	0	0	6.6E2	1
5508	622	Eccentricità Y per sisma X SLV	0	0	0	-2.9E3	6.6E2	1	5509	622	Eccentricità X per sisma Y SLV	0	0	0	24332	6.6E2	1
5510	622	Sisma X SLD	49.9	0	0	0	6.6E2	1	5511	622	Sisma Y SLD	0	46.1	0	0	6.6E2	1
5512	622	Eccentricità Y per sisma X SLD	0	0	0	-1245	6.6E2	1	5513	622	Eccentricità X per sisma Y SLD	0	0	0	9.6E3	6.6E2	1
5514	623	Sisma X SLV	117	0	0	0	6.6E2	1	5515	623	Sisma Y SLV	0	117	0	0	6.6E2	1
5516	623	Eccentricità Y per sisma X SLV	0	0	0	-2.9E3	6.6E2	1	5517	623	Eccentricità X per sisma Y SLV	0	0	0	24332	6.6E2	1
5518	623	Sisma X SLD	49.9	0	0	0	6.6E2	1	5519	623	Sisma Y SLD	0	46.1	0	0	6.6E2	1
5520	623	Eccentricità Y per sisma X SLD	0	0	0	-1245	6.6E2	1	5521	623	Eccentricità X per sisma Y SLD	0	0	0	9.6E3	6.6E2	1
5522	624	Sisma X SLV	117	0	0	0	6.6E2	1	5523	624	Sisma Y SLV	0	117	0	0	6.6E2	1
5524	624	Eccentricità Y per sisma X SLV	0	0	0	-2.9E3	6.6E2	1	5525	624	Eccentricità X per sisma Y SLV	0	0	0	24332	6.6E2	1
5526	624	Sisma X SLD	49.9	0	0	0	6.6E2	1	5527	624	Sisma Y SLD	0	46.1	0	0	6.6E2	1
5528	624	Eccentricità Y per sisma X SLD	0	0	0	-1245	6.6E2	1	5529	624	Eccentricità X per sisma Y SLD	0	0	0	9.6E3	6.6E2	1
5530	625	Sisma X SLV	117	0	0	0	6.6E2	1	5531	625	Sisma Y SLV	0	117	0	0	6.6E2	1
5532	625	Eccentricità Y per sisma X SLV	0	0	0	-2.9E3	6.6E2	1	5533	625	Eccentricità X per sisma Y SLV	0	0	0	24332	6.6E2	1
5534	625	Sisma X SLD	49.9	0	0	0	6.6E2	1	5535	625	Sisma Y SLD	0	46.1	0	0	6.6E2	1
5536	625	Eccentricità Y per sisma X SLD	0	0	0	-1245	6.6E2	1	5537	625	Eccentricità X per sisma Y SLD	0	0	0	9.6E3	6.6E2	1
5538	626	Sisma X SLV	117	0	0	0	6.6E2	1	5539	626	Sisma Y SLV	0	117	0	0	6.6E2	1
5540	626	Eccentricità Y per sisma X SLV	0	0	0	-2.9E3	6.6E2	1	5541	626	Eccentricità X per sisma Y SLV	0	0	0	24332	6.6E2	1
5542	626	Sisma X SLD	49.9	0	0	0	6.6E2	1	5543	626	Sisma Y SLD	0	46.1	0	0	6.6E2	1
5544	626	Eccentricità Y per sisma X SLD	0	0	0	-1245	6.6E2	1	5545	626	Eccentricità X per sisma Y SLD	0	0	0	9.6E3	6.6E2	1
5546	627	Sisma X SLV	117	0	0	0	6.6E2	1	5547	627	Sisma Y SLV	0	117	0	0	6.6E2	1
5548	627	Eccentricità Y per sisma X SLV	0	0	0	-2.9E3	6.6E2	1	5549	627	Eccentricità X per sisma Y SLV	0	0	0	24332	6.6E2	1
5550	627	Sisma X SLD	49.9	0	0	0	6.6E2	1	5551	627	Sisma Y SLD	0	46.1	0	0	6.6E2	1

Indice	Nodo	Condizione	Fx	Fy	Fz	Mz	Peso	γ	Indice	Nodo	Condizione	Fx	Fy	Fz	Mz	Peso	γ
5552	627	Eccentricità Y per sisma X SLD	0	0	0	-1245	6.6E2	1	5553	627	Eccentricità X per sisma Y SLD	0	0	0	9.6E3	6.6E2	1
5554	628	Sisma X SLV	117	0	0	0	6.6E2	1	5555	628	Sisma Y SLV	0	117	0	0	6.6E2	1
5556	628	Eccentricità Y per sisma X SLV	0	0	0	-2.9E3	6.6E2	1	5557	628	Eccentricità X per sisma Y SLV	0	0	0	24332	6.6E2	1
5558	628	Sisma X SLD	49.9	0	0	0	6.6E2	1	5559	628	Sisma Y SLD	0	46.1	0	0	6.6E2	1
5560	628	Eccentricità Y per sisma X SLD	0	0	0	-1245	6.6E2	1	5561	628	Eccentricità X per sisma Y SLD	0	0	0	9.6E3	6.6E2	1
5562	629	Sisma X SLV	117	0	0	0	6.6E2	1	5563	629	Sisma Y SLV	0	117	0	0	6.6E2	1
5564	629	Eccentricità Y per sisma X SLV	0	0	0	-2.9E3	6.6E2	1	5565	629	Eccentricità X per sisma Y SLV	0	0	0	24332	6.6E2	1
5566	629	Sisma X SLD	49.9	0	0	0	6.6E2	1	5567	629	Sisma Y SLD	0	46.1	0	0	6.6E2	1
5568	629	Eccentricità Y per sisma X SLD	0	0	0	-1245	6.6E2	1	5569	629	Eccentricità X per sisma Y SLD	0	0	0	9.6E3	6.6E2	1
5570	630	Sisma X SLV	354.9	0	0	0	2.0E3	1	5571	630	Sisma Y SLV	0	354.9	0	0	2.0E3	1
5572	630	Eccentricità Y per sisma X SLV	0	0	0	-8.9E3	2.0E3	1	5573	630	Eccentricità X per sisma Y SLV	0	0	0	73819	2.0E3	1
5574	630	Sisma X SLD	151.3	0	0	0	2.0E3	1	5575	630	Sisma Y SLD	0	140	0	0	2.0E3	1
5576	630	Eccentricità Y per sisma X SLD	0	0	0	-3.8E3	2.0E3	1	5577	630	Eccentricità X per sisma Y SLD	0	0	0	2.9E4	2.0E3	1
5578	631	Sisma X SLV	117	0	0	0	6.6E2	1	5579	631	Sisma Y SLV	0	117	0	0	6.6E2	1
5580	631	Eccentricità Y per sisma X SLV	0	0	0	-2.9E3	6.6E2	1	5581	631	Eccentricità X per sisma Y SLV	0	0	0	24332	6.6E2	1
5582	631	Sisma X SLD	49.9	0	0	0	6.6E2	1	5583	631	Sisma Y SLD	0	46.1	0	0	6.6E2	1
5584	631	Eccentricità Y per sisma X SLD	0	0	0	-1245	6.6E2	1	5585	631	Eccentricità X per sisma Y SLD	0	0	0	9.6E3	6.6E2	1
5586	632	Sisma X SLV	117	0	0	0	6.6E2	1	5587	632	Sisma Y SLV	0	117	0	0	6.6E2	1
5588	632	Eccentricità Y per sisma X SLV	0	0	0	-2.9E3	6.6E2	1	5589	632	Eccentricità X per sisma Y SLV	0	0	0	24332	6.6E2	1
5590	632	Sisma X SLD	49.9	0	0	0	6.6E2	1	5591	632	Sisma Y SLD	0	46.1	0	0	6.6E2	1
5592	632	Eccentricità Y per sisma X SLD	0	0	0	-1245	6.6E2	1	5593	632	Eccentricità X per sisma Y SLD	0	0	0	9.6E3	6.6E2	1
5594	633	Sisma X SLV	117	0	0	0	6.6E2	1	5595	633	Sisma Y SLV	0	117	0	0	6.6E2	1
5596	633	Eccentricità Y per sisma X SLV	0	0	0	-2.9E3	6.6E2	1	5597	633	Eccentricità X per sisma Y SLV	0	0	0	24332	6.6E2	1
5598	633	Sisma X SLD	49.9	0	0	0	6.6E2	1	5599	633	Sisma Y SLD	0	46.1	0	0	6.6E2	1
5600	633	Eccentricità Y per sisma X SLD	0	0	0	-1245	6.6E2	1	5601	633	Eccentricità X per sisma Y SLD	0	0	0	9.6E3	6.6E2	1
5602	634	Sisma X SLV	117	0	0	0	6.6E2	1	5603	634	Sisma Y SLV	0	117	0	0	6.6E2	1
5604	634	Eccentricità Y per sisma X SLV	0	0	0	-2.9E3	6.6E2	1	5605	634	Eccentricità X per sisma Y SLV	0	0	0	24332	6.6E2	1
5606	634	Sisma X SLD	49.9	0	0	0	6.6E2	1	5607	634	Sisma Y SLD	0	46.1	0	0	6.6E2	1
5608	634	Eccentricità Y per sisma X SLD	0	0	0	-1245	6.6E2	1	5609	634	Eccentricità X per sisma Y SLD	0	0	0	9.6E3	6.6E2	1
5610	635	Sisma X SLV	117	0	0	0	6.6E2	1	5611	635	Sisma Y SLV	0	117	0	0	6.6E2	1
5612	635	Eccentricità Y per sisma X SLV	0	0	0	-2.9E3	6.6E2	1	5613	635	Eccentricità X per sisma Y SLV	0	0	0	24332	6.6E2	1
5614	635	Sisma X SLD	49.9	0	0	0	6.6E2	1	5615	635	Sisma Y SLD	0	46.1	0	0	6.6E2	1
5616	635	Eccentricità Y per sisma X SLD	0	0	0	-1245	6.6E2	1	5617	635	Eccentricità X per sisma Y SLD	0	0	0	9.6E3	6.6E2	1
5618	636	Sisma X SLV	117	0	0	0	6.6E2	1	5619	636	Sisma Y SLV	0	117	0	0	6.6E2	1
5620	636	Eccentricità Y per sisma X SLV	0	0	0	-2.9E3	6.6E2	1	5621	636	Eccentricità X per sisma Y SLV	0	0	0	24332	6.6E2	1
5622	636	Sisma X SLD	49.9	0	0	0	6.6E2	1	5623	636	Sisma Y SLD	0	46.1	0	0	6.6E2	1
5624	636	Eccentricità Y per sisma X SLD	0	0	0	-1245	6.6E2	1	5625	636	Eccentricità X per sisma Y SLD	0	0	0	9.6E3	6.6E2	1
5626	637	Sisma X SLV	117	0	0	0	6.6E2	1	5627	637	Sisma Y SLV	0	117	0	0	6.6E2	1
5628	637	Eccentricità Y per sisma X SLV	0	0	0	-2.9E3	6.6E2	1	5629	637	Eccentricità X per sisma Y SLV	0	0	0	24332	6.6E2	1
5630	637	Sisma X SLD	49.9	0	0	0	6.6E2	1	5631	637	Sisma Y SLD	0	46.1	0	0	6.6E2	1
5632	637	Eccentricità Y per sisma X SLD	0	0	0	-1245	6.6E2	1	5633	637	Eccentricità X per sisma Y SLD	0	0	0	9.6E3	6.6E2	1
5634	638	Sisma X SLV	117	0	0	0	6.6E2	1	5635	638	Sisma Y SLV	0	117	0	0	6.6E2	1
5636	638	Eccentricità Y per sisma X SLV	0	0	0	-2.9E3	6.6E2	1	5637	638	Eccentricità X per sisma Y SLV	0	0	0	24332	6.6E2	1
5638	638	Sisma X SLD	49.9	0	0	0	6.6E2	1	5639	638	Sisma Y SLD	0	46.1	0	0	6.6E2	1
5640	638	Eccentricità Y per sisma X SLD	0	0	0	-1245	6.6E2	1	5641	638	Eccentricità X per sisma Y SLD	0	0	0	9.6E3	6.6E2	1
5642	639	Sisma X SLV	117	0	0	0	6.6E2	1	5643	639	Sisma Y SLV	0	117	0	0	6.6E2	1

Indice	Nodo	Condizione	Fx	Fy	Fz	Mz	Peso	γ	Indice	Nodo	Condizione	Fx	Fy	Fz	Mz	Peso	γ
5644	639	Eccentricità Y per sisma X SLV	0	0	0	-2.9E3	6.6E2	1	5645	639	Eccentricità X per sisma Y SLV	0	0	0	24332	6.6E2	1
5646	639	Sisma X SLD	49.9	0	0	0	6.6E2	1	5647	639	Sisma Y SLD	0	46.1	0	0	6.6E2	1
5648	639	Eccentricità Y per sisma X SLD	0	0	0	-1245	6.6E2	1	5649	639	Eccentricità X per sisma Y SLD	0	0	0	9.6E3	6.6E2	1
5650	640	Sisma X SLV	117	0	0	0	6.6E2	1	5651	640	Sisma Y SLV	0	117	0	0	6.6E2	1
5652	640	Eccentricità Y per sisma X SLV	0	0	0	-2.9E3	6.6E2	1	5653	640	Eccentricità X per sisma Y SLV	0	0	0	24332	6.6E2	1
5654	640	Sisma X SLD	49.9	0	0	0	6.6E2	1	5655	640	Sisma Y SLD	0	46.1	0	0	6.6E2	1
5656	640	Eccentricità Y per sisma X SLD	0	0	0	-1245	6.6E2	1	5657	640	Eccentricità X per sisma Y SLD	0	0	0	9.6E3	6.6E2	1
5658	641	Sisma X SLV	117	0	0	0	6.6E2	1	5659	641	Sisma Y SLV	0	117	0	0	6.6E2	1
5660	641	Eccentricità Y per sisma X SLV	0	0	0	-2.9E3	6.6E2	1	5661	641	Eccentricità X per sisma Y SLV	0	0	0	24332	6.6E2	1
5662	641	Sisma X SLD	49.9	0	0	0	6.6E2	1	5663	641	Sisma Y SLD	0	46.1	0	0	6.6E2	1
5664	641	Eccentricità Y per sisma X SLD	0	0	0	-1245	6.6E2	1	5665	641	Eccentricità X per sisma Y SLD	0	0	0	9.6E3	6.6E2	1
5666	642	Sisma X SLV	354.9	0	0	0	2.0E3	1	5667	642	Sisma Y SLV	0	354.9	0	0	2.0E3	1
5668	642	Eccentricità Y per sisma X SLV	0	0	0	-8.9E3	2.0E3	1	5669	642	Eccentricità X per sisma Y SLV	0	0	0	73819	2.0E3	1
5670	642	Sisma X SLD	151.3	0	0	0	2.0E3	1	5671	642	Sisma Y SLD	0	140	0	0	2.0E3	1
5672	642	Eccentricità Y per sisma X SLD	0	0	0	-3.8E3	2.0E3	1	5673	642	Eccentricità X per sisma Y SLD	0	0	0	2.9E4	2.0E3	1
5674	643	Sisma X SLV	117	0	0	0	6.6E2	1	5675	643	Sisma Y SLV	0	117	0	0	6.6E2	1
5676	643	Eccentricità Y per sisma X SLV	0	0	0	-2.9E3	6.6E2	1	5677	643	Eccentricità X per sisma Y SLV	0	0	0	24332	6.6E2	1
5678	643	Sisma X SLD	49.9	0	0	0	6.6E2	1	5679	643	Sisma Y SLD	0	46.1	0	0	6.6E2	1
5680	643	Eccentricità Y per sisma X SLD	0	0	0	-1245	6.6E2	1	5681	643	Eccentricità X per sisma Y SLD	0	0	0	9.6E3	6.6E2	1
5682	644	Sisma X SLV	117	0	0	0	6.6E2	1	5683	644	Sisma Y SLV	0	117	0	0	6.6E2	1
5684	644	Eccentricità Y per sisma X SLV	0	0	0	-2.9E3	6.6E2	1	5685	644	Eccentricità X per sisma Y SLV	0	0	0	24332	6.6E2	1
5686	644	Sisma X SLD	49.9	0	0	0	6.6E2	1	5687	644	Sisma Y SLD	0	46.1	0	0	6.6E2	1
5688	644	Eccentricità Y per sisma X SLD	0	0	0	-1245	6.6E2	1	5689	644	Eccentricità X per sisma Y SLD	0	0	0	9.6E3	6.6E2	1
5690	645	Sisma X SLV	117	0	0	0	6.6E2	1	5691	645	Sisma Y SLV	0	117	0	0	6.6E2	1
5692	645	Eccentricità Y per sisma X SLV	0	0	0	-2.9E3	6.6E2	1	5693	645	Eccentricità X per sisma Y SLV	0	0	0	24332	6.6E2	1
5694	645	Sisma X SLD	49.9	0	0	0	6.6E2	1	5695	645	Sisma Y SLD	0	46.1	0	0	6.6E2	1
5696	645	Eccentricità Y per sisma X SLD	0	0	0	-1245	6.6E2	1	5697	645	Eccentricità X per sisma Y SLD	0	0	0	9.6E3	6.6E2	1
5698	646	Sisma X SLV	117	0	0	0	6.6E2	1	5699	646	Sisma Y SLV	0	117	0	0	6.6E2	1
5700	646	Eccentricità Y per sisma X SLV	0	0	0	-2.9E3	6.6E2	1	5701	646	Eccentricità X per sisma Y SLV	0	0	0	24332	6.6E2	1
5702	646	Sisma X SLD	49.9	0	0	0	6.6E2	1	5703	646	Sisma Y SLD	0	46.1	0	0	6.6E2	1
5704	646	Eccentricità Y per sisma X SLD	0	0	0	-1245	6.6E2	1	5705	646	Eccentricità X per sisma Y SLD	0	0	0	9.6E3	6.6E2	1
5706	647	Sisma X SLV	117	0	0	0	6.6E2	1	5707	647	Sisma Y SLV	0	117	0	0	6.6E2	1
5708	647	Eccentricità Y per sisma X SLV	0	0	0	-2.9E3	6.6E2	1	5709	647	Eccentricità X per sisma Y SLV	0	0	0	24332	6.6E2	1
5710	647	Sisma X SLD	49.9	0	0	0	6.6E2	1	5711	647	Sisma Y SLD	0	46.1	0	0	6.6E2	1
5712	647	Eccentricità Y per sisma X SLD	0	0	0	-1245	6.6E2	1	5713	647	Eccentricità X per sisma Y SLD	0	0	0	9.6E3	6.6E2	1
5714	648	Sisma X SLV	117	0	0	0	6.6E2	1	5715	648	Sisma Y SLV	0	117	0	0	6.6E2	1
5716	648	Eccentricità Y per sisma X SLV	0	0	0	-2.9E3	6.6E2	1	5717	648	Eccentricità X per sisma Y SLV	0	0	0	24332	6.6E2	1
5718	648	Sisma X SLD	49.9	0	0	0	6.6E2	1	5719	648	Sisma Y SLD	0	46.1	0	0	6.6E2	1
5720	648	Eccentricità Y per sisma X SLD	0	0	0	-1245	6.6E2	1	5721	648	Eccentricità X per sisma Y SLD	0	0	0	9.6E3	6.6E2	1
5722	649	Sisma X SLV	117	0	0	0	6.6E2	1	5723	649	Sisma Y SLV	0	117	0	0	6.6E2	1
5724	649	Eccentricità Y per sisma X SLV	0	0	0	-2.9E3	6.6E2	1	5725	649	Eccentricità X per sisma Y SLV	0	0	0	24332	6.6E2	1
5726	649	Sisma X SLD	49.9	0	0	0	6.6E2	1	5727	649	Sisma Y SLD	0	46.1	0	0	6.6E2	1
5728	649	Eccentricità Y per sisma X SLD	0	0	0	-1245	6.6E2	1	5729	649	Eccentricità X per sisma Y SLD	0	0	0	9.6E3	6.6E2	1
5730	650	Sisma X SLV	117	0	0	0	6.6E2	1	5731	650	Sisma Y SLV	0	117	0	0	6.6E2	1
5732	650	Eccentricità Y per sisma X SLV	0	0	0	-2.9E3	6.6E2	1	5733	650	Eccentricità X per sisma Y SLV	0	0	0	24332	6.6E2	1
5734	650	Sisma X SLD	49.9	0	0	0	6.6E2	1	5735	650	Sisma Y SLD	0	46.1	0	0	6.6E2	1

Indice	Nodo	Condizione	Fx	Fy	Fz	Mz	Peso	γ
5736	650	Eccentricità Y per sisma X SLD	0	0	0	-1245	6.6E2	1
5738	651	Sisma X SLV	117	0	0	0	6.6E2	1
5740	651	Eccentricità Y per sisma X SLV	0	0	0	-2.9E3	6.6E2	1
5742	651	Sisma X SLD	49.9	0	0	0	6.6E2	1
5744	651	Eccentricità Y per sisma X SLD	0	0	0	-1245	6.6E2	1
5746	652	Sisma X SLV	117	0	0	0	6.6E2	1
5748	652	Eccentricità Y per sisma X SLV	0	0	0	-2.9E3	6.6E2	1
5750	652	Sisma X SLD	49.9	0	0	0	6.6E2	1
5752	652	Eccentricità Y per sisma X SLD	0	0	0	-1245	6.6E2	1
5754	653	Sisma X SLV	116.9	0	0	0	6.5E2	1
5756	653	Eccentricità Y per sisma X SLV	0	0	0	-2.9E3	6.5E2	1
5758	653	Sisma X SLD	49.8	0	0	0	6.5E2	1
5760	653	Eccentricità Y per sisma X SLD	0	0	0	-1.2E3	6.5E2	1
5762	654	Sisma X SLV	95.1	0	0	0	5.3E2	1
5764	654	Eccentricità Y per sisma X SLV	0	0	0	-2.4E3	5.3E2	1
5766	654	Sisma X SLD	40.5	0	0	0	5.3E2	1
5768	654	Eccentricità Y per sisma X SLD	0	0	0	-1.0E3	5.3E2	1
5770	655	Sisma X SLV	47.6	0	0	0	2.7E2	1
5772	655	Eccentricità Y per sisma X SLV	0	0	0	-1.2E3	2.7E2	1
5774	655	Sisma X SLD	20.3	0	0	0	2.7E2	1
5776	655	Eccentricità Y per sisma X SLD	0	0	0	-5.1E2	2.7E2	1
5778	656	Sisma X SLV	106.6	0	0	0	6.0E2	1
5780	656	Eccentricità Y per sisma X SLV	0	0	0	-2.7E3	6.0E2	1
5782	656	Sisma X SLD	45.4	0	0	0	6.0E2	1
5784	656	Eccentricità Y per sisma X SLD	0	0	0	-1.1E3	6.0E2	1
5786	657	Sisma X SLV	110.7	0	0	0	6.2E2	1
5788	657	Eccentricità Y per sisma X SLV	0	0	0	-2.8E3	6.2E2	1
5790	657	Sisma X SLD	47.2	0	0	0	6.2E2	1
5792	657	Eccentricità Y per sisma X SLD	0	0	0	-1.2E3	6.2E2	1
5794	658	Sisma X SLV	91.3	0	0	0	5.1E2	1
5796	658	Eccentricità Y per sisma X SLV	0	0	0	-2.3E3	5.1E2	1
5798	658	Sisma X SLD	38.9	0	0	0	5.1E2	1
5800	658	Eccentricità Y per sisma X SLD	0	0	0	-9.7E2	5.1E2	1
5802	659	Sisma X SLV	97.3	0	0	0	5.5E2	1
5804	659	Eccentricità Y per sisma X SLV	0	0	0	-2.4E3	5.5E2	1
5806	659	Sisma X SLD	41.5	0	0	0	5.5E2	1
5808	659	Eccentricità Y per sisma X SLD	0	0	0	-1.0E3	5.5E2	1
5810	660	Sisma X SLV	99.8	0	0	0	5.6E2	1
5812	660	Eccentricità Y per sisma X SLV	0	0	0	-2.5E3	5.6E2	1
5814	660	Sisma X SLD	42.5	0	0	0	5.6E2	1
5816	660	Eccentricità Y per sisma X SLD	0	0	0	-1.1E3	5.6E2	1
5818	661	Sisma X SLV	96.5	0	0	0	5.4E2	1
5820	661	Eccentricità Y per sisma X SLV	0	0	0	-2.4E3	5.4E2	1
5822	661	Sisma X SLD	41.1	0	0	0	5.4E2	1
5824	661	Eccentricità Y per sisma X SLD	0	0	0	-1027	5.4E2	1
5826	662	Sisma X SLV	86.4	0	0	0	4.8E2	1

Indice	Nodo	Condizione	Fx	Fy	Fz	Mz	Peso	γ
5737	650	Eccentricità X per sisma Y SLD	0	0	0	9.6E3	6.6E2	1
5739	651	Sisma Y SLV	0	117	0	0	6.6E2	1
5741	651	Eccentricità X per sisma Y SLV	0	0	0	24332	6.6E2	1
5743	651	Sisma Y SLD	0	46.1	0	0	6.6E2	1
5745	651	Eccentricità X per sisma Y SLD	0	0	0	9.6E3	6.6E2	1
5747	652	Sisma Y SLV	0	117	0	0	6.6E2	1
5749	652	Eccentricità X per sisma Y SLV	0	0	0	24332	6.6E2	1
5751	652	Sisma Y SLD	0	46.1	0	0	6.6E2	1
5753	652	Eccentricità X per sisma Y SLD	0	0	0	9.6E3	6.6E2	1
5755	653	Sisma Y SLV	0	116.9	0	0	6.5E2	1
5757	653	Eccentricità X per sisma Y SLV	0	0	0	2.4E4	6.5E2	1
5759	653	Sisma Y SLD	0	46.1	0	0	6.5E2	1
5761	653	Eccentricità X per sisma Y SLD	0	0	0	9.6E3	6.5E2	1
5763	654	Sisma Y SLV	0	95.1	0	0	5.3E2	1
5765	654	Eccentricità X per sisma Y SLV	0	0	0	2.0E4	5.3E2	1
5767	654	Sisma Y SLD	0	37.5	0	0	5.3E2	1
5769	654	Eccentricità X per sisma Y SLD	0	0	0	7.8E3	5.3E2	1
5771	655	Sisma Y SLV	0	47.6	0	0	2.7E2	1
5773	655	Eccentricità X per sisma Y SLV	0	0	0	9.9E3	2.7E2	1
5775	655	Sisma Y SLD	0	18.8	0	0	2.7E2	1
5777	655	Eccentricità X per sisma Y SLD	0	0	0	3.9E3	2.7E2	1
5779	656	Sisma Y SLV	0	106.6	0	0	6.0E2	1
5781	656	Eccentricità X per sisma Y SLV	0	0	0	2.2E4	6.0E2	1
5783	656	Sisma Y SLD	0	42	0	0	6.0E2	1
5785	656	Eccentricità X per sisma Y SLD	0	0	0	8742	6.0E2	1
5787	657	Sisma Y SLV	0	110.7	0	0	6.2E2	1
5789	657	Eccentricità X per sisma Y SLV	0	0	0	2.3E4	6.2E2	1
5791	657	Sisma Y SLD	0	43.7	0	0	6.2E2	1
5793	657	Eccentricità X per sisma Y SLD	0	0	0	9.1E3	6.2E2	1
5795	658	Sisma Y SLV	0	91.3	0	0	5.1E2	1
5797	658	Eccentricità X per sisma Y SLV	0	0	0	1.9E4	5.1E2	1
5799	658	Sisma Y SLD	0	36	0	0	5.1E2	1
5801	658	Eccentricità X per sisma Y SLD	0	0	0	7.5E3	5.1E2	1
5803	659	Sisma Y SLV	0	97.3	0	0	5.5E2	1
5805	659	Eccentricità X per sisma Y SLV	0	0	0	2.0E4	5.5E2	1
5807	659	Sisma Y SLD	0	38.4	0	0	5.5E2	1
5809	659	Eccentricità X per sisma Y SLD	0	0	0	8.0E3	5.5E2	1
5811	660	Sisma Y SLV	0	99.8	0	0	5.6E2	1
5813	660	Eccentricità X per sisma Y SLV	0	0	0	2.1E4	5.6E2	1
5815	660	Sisma Y SLD	0	39.3	0	0	5.6E2	1
5817	660	Eccentricità X per sisma Y SLD	0	0	0	8.2E3	5.6E2	1
5819	661	Sisma Y SLV	0	96.5	0	0	5.4E2	1
5821	661	Eccentricità X per sisma Y SLV	0	0	0	2.0E4	5.4E2	1
5823	661	Sisma Y SLD	0	38.1	0	0	5.4E2	1
5825	661	Eccentricità X per sisma Y SLD	0	0	0	7.9E3	5.4E2	1
5827	662	Sisma Y SLV	0	86.4	0	0	4.8E2	1

Indice	Nodo	Condizione	Fx	Fy	Fz	Mz	Peso	γ	Indice	Nodo	Condizione	Fx	Fy	Fz	Mz	Peso	γ
5828	662	Eccentricità Y per sisma X SLV	0	0	0	-2156	4.8E2	1	5829	662	Eccentricità X per sisma Y SLV	0	0	0	17962	4.8E2	1
5830	662	Sisma X SLD	36.8	0	0	0	4.8E2	1	5831	662	Sisma Y SLD	0	34.1	0	0	4.8E2	1
5832	662	Eccentricità Y per sisma X SLD	0	0	0	-9.2E2	4.8E2	1	5833	662	Eccentricità X per sisma Y SLD	0	0	0	7.1E3	4.8E2	1
5834	663	Sisma X SLV	78.6	0	0	0	4.4E2	1	5835	663	Sisma Y SLV	0	78.6	0	0	4.4E2	1
5836	663	Eccentricità Y per sisma X SLV	0	0	0	-2.0E3	4.4E2	1	5837	663	Eccentricità X per sisma Y SLV	0	0	0	1.6E4	4.4E2	1
5838	663	Sisma X SLD	33.5	0	0	0	4.4E2	1	5839	663	Sisma Y SLD	0	31	0	0	4.4E2	1
5840	663	Eccentricità Y per sisma X SLD	0	0	0	-837	4.4E2	1	5841	663	Eccentricità X per sisma Y SLD	0	0	0	6.5E3	4.4E2	1
5842	664	Sisma X SLV	99.3	0	0	0	5.6E2	1	5843	664	Sisma Y SLV	0	99.3	0	0	5.6E2	1
5844	664	Eccentricità Y per sisma X SLV	0	0	0	-2.5E3	5.6E2	1	5845	664	Eccentricità X per sisma Y SLV	0	0	0	2.1E4	5.6E2	1
5846	664	Sisma X SLD	42.3	0	0	0	5.6E2	1	5847	664	Sisma Y SLD	0	39.1	0	0	5.6E2	1
5848	664	Eccentricità Y per sisma X SLD	0	0	0	-1.1E3	5.6E2	1	5849	664	Eccentricità X per sisma Y SLD	0	0	0	8.1E3	5.6E2	1
5850	665	Sisma X SLV	101	0	0	0	5.7E2	1	5851	665	Sisma Y SLV	0	101	0	0	5.7E2	1
5852	665	Eccentricità Y per sisma X SLV	0	0	0	-2.5E3	5.7E2	1	5853	665	Eccentricità X per sisma Y SLV	0	0	0	2.1E4	5.7E2	1
5854	665	Sisma X SLD	43	0	0	0	5.7E2	1	5855	665	Sisma Y SLD	0	39.8	0	0	5.7E2	1
5856	665	Eccentricità Y per sisma X SLD	0	0	0	-1.1E3	5.7E2	1	5857	665	Eccentricità X per sisma Y SLD	0	0	0	8.3E3	5.7E2	1
5858	666	Sisma X SLV	93.3	0	0	0	5.2E2	1	5859	666	Sisma Y SLV	0	93.3	0	0	5.2E2	1
5860	666	Eccentricità Y per sisma X SLV	0	0	0	-2.3E3	5.2E2	1	5861	666	Eccentricità X per sisma Y SLV	0	0	0	1.9E4	5.2E2	1
5862	666	Sisma X SLD	39.8	0	0	0	5.2E2	1	5863	666	Sisma Y SLD	0	36.8	0	0	5.2E2	1
5864	666	Eccentricità Y per sisma X SLD	0	0	0	-9.9E2	5.2E2	1	5865	666	Eccentricità X per sisma Y SLD	0	0	0	7.7E3	5.2E2	1
5866	667	Sisma X SLV	54.1	0	0	0	3.0E2	1	5867	667	Sisma Y SLV	0	54.1	0	0	3.0E2	1
5868	667	Eccentricità Y per sisma X SLV	0	0	0	-1.3E3	3.0E2	1	5869	667	Eccentricità X per sisma Y SLV	0	0	0	1.1E4	3.0E2	1
5870	667	Sisma X SLD	23	0	0	0	3.0E2	1	5871	667	Sisma Y SLD	0	21.3	0	0	3.0E2	1
5872	667	Eccentricità Y per sisma X SLD	0	0	0	-5.8E2	3.0E2	1	5873	667	Eccentricità X per sisma Y SLD	0	0	0	4.4E3	3.0E2	1
5874	668	Sisma X SLV	43.4	0	0	0	2.4E2	1	5875	668	Sisma Y SLV	0	43.4	0	0	2.4E2	1
5876	668	Eccentricità Y per sisma X SLV	0	0	0	-1.1E3	2.4E2	1	5877	668	Eccentricità X per sisma Y SLV	0	0	0	9.0E3	2.4E2	1
5878	668	Sisma X SLD	18.5	0	0	0	2.4E2	1	5879	668	Sisma Y SLD	0	17.1	0	0	2.4E2	1
5880	668	Eccentricità Y per sisma X SLD	0	0	0	-4.6E2	2.4E2	1	5881	668	Eccentricità X per sisma Y SLD	0	0	0	3.6E3	2.4E2	1
5882	669	Sisma X SLV	74.5	0	0	0	4.2E2	1	5883	669	Sisma Y SLV	0	74.5	0	0	4.2E2	1
5884	669	Eccentricità Y per sisma X SLV	0	0	0	-1.9E3	4.2E2	1	5885	669	Eccentricità X per sisma Y SLV	0	0	0	1.6E4	4.2E2	1
5886	669	Sisma X SLD	31.8	0	0	0	4.2E2	1	5887	669	Sisma Y SLD	0	29.4	0	0	4.2E2	1
5888	669	Eccentricità Y per sisma X SLD	0	0	0	-7.9E2	4.2E2	1	5889	669	Eccentricità X per sisma Y SLD	0	0	0	6115	4.2E2	1
5890	670	Sisma X SLV	91.7	0	0	0	5.1E2	1	5891	670	Sisma Y SLV	0	91.7	0	0	5.1E2	1
5892	670	Eccentricità Y per sisma X SLV	0	0	0	-2289	5.1E2	1	5893	670	Eccentricità X per sisma Y SLV	0	0	0	1.9E4	5.1E2	1
5894	670	Sisma X SLD	39.1	0	0	0	5.1E2	1	5895	670	Sisma Y SLD	0	36.2	0	0	5.1E2	1
5896	670	Eccentricità Y per sisma X SLD	0	0	0	-9.8E2	5.1E2	1	5897	670	Eccentricità X per sisma Y SLD	0	0	0	7.5E3	5.1E2	1
5898	671	Sisma X SLV	354	0	0	0	2.0E3	1	5899	671	Sisma Y SLV	0	354	0	0	2.0E3	1
5900	671	Eccentricità Y per sisma X SLV	0	0	0	-8.8E3	2.0E3	1	5901	671	Eccentricità X per sisma Y SLV	0	0	0	7.4E4	2.0E3	1
5902	671	Sisma X SLD	150.9	0	0	0	2.0E3	1	5903	671	Sisma Y SLD	0	139.6	0	0	2.0E3	1
5904	671	Eccentricità Y per sisma X SLD	0	0	0	-3.8E3	2.0E3	1	5905	671	Eccentricità X per sisma Y SLD	0	0	0	2.9E4	2.0E3	1
5906	672	Sisma X SLV	344	0	0	0	1.9E3	1	5907	672	Sisma Y SLV	0	344	0	0	1.9E3	1
5908	672	Eccentricità Y per sisma X SLV	0	0	0	-8.6E3	1.9E3	1	5909	672	Eccentricità X per sisma Y SLV	0	0	0	7.2E4	1.9E3	1
5910	672	Sisma X SLD	146.6	0	0	0	1.9E3	1	5911	672	Sisma Y SLD	0	135.6	0	0	1.9E3	1
5912	672	Eccentricità Y per sisma X SLD	0	0	0	-3.7E3	1.9E3	1	5913	672	Eccentricità X per sisma Y SLD	0	0	0	2.8E4	1.9E3	1
5914	673	Sisma X SLV	117	0	0	0	6.6E2	1	5915	673	Sisma Y SLV	0	117	0	0	6.6E2	1
5916	673	Eccentricità Y per sisma X SLV	0	0	0	-2.9E3	6.6E2	1	5917	673	Eccentricità X per sisma Y SLV	0	0	0	24332	6.6E2	1
5918	673	Sisma X SLD	49.9	0	0	0	6.6E2	1	5919	673	Sisma Y SLD	0	46.1	0	0	6.6E2	1

Indice	Nodo	Condizione	Fx	Fy	Fz	Mz	Peso	γ	Indice	Nodo	Condizione	Fx	Fy	Fz	Mz	Peso	γ
5920	673	Eccentricità Y per sisma X SLD	0	0	0	-1245	6.6E2	1	5921	673	Eccentricità X per sisma Y SLD	0	0	0	9.6E3	6.6E2	1
5922	674	Sisma X SLV	117	0	0	0	6.6E2	1	5923	674	Sisma Y SLV	0	117	0	0	6.6E2	1
5924	674	Eccentricità Y per sisma X SLV	0	0	0	-2.9E3	6.6E2	1	5925	674	Eccentricità X per sisma Y SLV	0	0	0	24332	6.6E2	1
5926	674	Sisma X SLD	49.9	0	0	0	6.6E2	1	5927	674	Sisma Y SLD	0	46.1	0	0	6.6E2	1
5928	674	Eccentricità Y per sisma X SLD	0	0	0	-1245	6.6E2	1	5929	674	Eccentricità X per sisma Y SLD	0	0	0	9.6E3	6.6E2	1
5930	675	Sisma X SLV	117	0	0	0	6.6E2	1	5931	675	Sisma Y SLV	0	117	0	0	6.6E2	1
5932	675	Eccentricità Y per sisma X SLV	0	0	0	-2.9E3	6.6E2	1	5933	675	Eccentricità X per sisma Y SLV	0	0	0	24332	6.6E2	1
5934	675	Sisma X SLD	49.9	0	0	0	6.6E2	1	5935	675	Sisma Y SLD	0	46.1	0	0	6.6E2	1
5936	675	Eccentricità Y per sisma X SLD	0	0	0	-1245	6.6E2	1	5937	675	Eccentricità X per sisma Y SLD	0	0	0	9.6E3	6.6E2	1
5938	676	Sisma X SLV	117	0	0	0	6.6E2	1	5939	676	Sisma Y SLV	0	117	0	0	6.6E2	1
5940	676	Eccentricità Y per sisma X SLV	0	0	0	-2.9E3	6.6E2	1	5941	676	Eccentricità X per sisma Y SLV	0	0	0	24332	6.6E2	1
5942	676	Sisma X SLD	49.9	0	0	0	6.6E2	1	5943	676	Sisma Y SLD	0	46.1	0	0	6.6E2	1
5944	676	Eccentricità Y per sisma X SLD	0	0	0	-1245	6.6E2	1	5945	676	Eccentricità X per sisma Y SLD	0	0	0	9.6E3	6.6E2	1
5946	677	Sisma X SLV	117	0	0	0	6.6E2	1	5947	677	Sisma Y SLV	0	117	0	0	6.6E2	1
5948	677	Eccentricità Y per sisma X SLV	0	0	0	-2.9E3	6.6E2	1	5949	677	Eccentricità X per sisma Y SLV	0	0	0	24332	6.6E2	1
5950	677	Sisma X SLD	49.9	0	0	0	6.6E2	1	5951	677	Sisma Y SLD	0	46.1	0	0	6.6E2	1
5952	677	Eccentricità Y per sisma X SLD	0	0	0	-1245	6.6E2	1	5953	677	Eccentricità X per sisma Y SLD	0	0	0	9.6E3	6.6E2	1
5954	678	Sisma X SLV	117	0	0	0	6.6E2	1	5955	678	Sisma Y SLV	0	117	0	0	6.6E2	1
5956	678	Eccentricità Y per sisma X SLV	0	0	0	-2.9E3	6.6E2	1	5957	678	Eccentricità X per sisma Y SLV	0	0	0	24332	6.6E2	1
5958	678	Sisma X SLD	49.9	0	0	0	6.6E2	1	5959	678	Sisma Y SLD	0	46.1	0	0	6.6E2	1
5960	678	Eccentricità Y per sisma X SLD	0	0	0	-1245	6.6E2	1	5961	678	Eccentricità X per sisma Y SLD	0	0	0	9.6E3	6.6E2	1
5962	679	Sisma X SLV	117	0	0	0	6.6E2	1	5963	679	Sisma Y SLV	0	117	0	0	6.6E2	1
5964	679	Eccentricità Y per sisma X SLV	0	0	0	-2.9E3	6.6E2	1	5965	679	Eccentricità X per sisma Y SLV	0	0	0	24332	6.6E2	1
5966	679	Sisma X SLD	49.9	0	0	0	6.6E2	1	5967	679	Sisma Y SLD	0	46.1	0	0	6.6E2	1
5968	679	Eccentricità Y per sisma X SLD	0	0	0	-1245	6.6E2	1	5969	679	Eccentricità X per sisma Y SLD	0	0	0	9.6E3	6.6E2	1
5970	680	Sisma X SLV	117	0	0	0	6.6E2	1	5971	680	Sisma Y SLV	0	117	0	0	6.6E2	1
5972	680	Eccentricità Y per sisma X SLV	0	0	0	-2.9E3	6.6E2	1	5973	680	Eccentricità X per sisma Y SLV	0	0	0	24332	6.6E2	1
5974	680	Sisma X SLD	49.9	0	0	0	6.6E2	1	5975	680	Sisma Y SLD	0	46.1	0	0	6.6E2	1
5976	680	Eccentricità Y per sisma X SLD	0	0	0	-1245	6.6E2	1	5977	680	Eccentricità X per sisma Y SLD	0	0	0	9.6E3	6.6E2	1
5978	681	Sisma X SLV	117	0	0	0	6.6E2	1	5979	681	Sisma Y SLV	0	117	0	0	6.6E2	1
5980	681	Eccentricità Y per sisma X SLV	0	0	0	-2.9E3	6.6E2	1	5981	681	Eccentricità X per sisma Y SLV	0	0	0	24332	6.6E2	1
5982	681	Sisma X SLD	49.9	0	0	0	6.6E2	1	5983	681	Sisma Y SLD	0	46.1	0	0	6.6E2	1
5984	681	Eccentricità Y per sisma X SLD	0	0	0	-1245	6.6E2	1	5985	681	Eccentricità X per sisma Y SLD	0	0	0	9.6E3	6.6E2	1
5986	682	Sisma X SLV	117	0	0	0	6.6E2	1	5987	682	Sisma Y SLV	0	117	0	0	6.6E2	1
5988	682	Eccentricità Y per sisma X SLV	0	0	0	-2.9E3	6.6E2	1	5989	682	Eccentricità X per sisma Y SLV	0	0	0	24332	6.6E2	1
5990	682	Sisma X SLD	49.9	0	0	0	6.6E2	1	5991	682	Sisma Y SLD	0	46.1	0	0	6.6E2	1
5992	682	Eccentricità Y per sisma X SLD	0	0	0	-1245	6.6E2	1	5993	682	Eccentricità X per sisma Y SLD	0	0	0	9.6E3	6.6E2	1
5994	683	Sisma X SLV	117	0	0	0	6.6E2	1	5995	683	Sisma Y SLV	0	117	0	0	6.6E2	1
5996	683	Eccentricità Y per sisma X SLV	0	0	0	-2.9E3	6.6E2	1	5997	683	Eccentricità X per sisma Y SLV	0	0	0	24332	6.6E2	1
5998	683	Sisma X SLD	49.9	0	0	0	6.6E2	1	5999	683	Sisma Y SLD	0	46.1	0	0	6.6E2	1
6000	683	Eccentricità Y per sisma X SLD	0	0	0	-1245	6.6E2	1	6001	683	Eccentricità X per sisma Y SLD	0	0	0	9.6E3	6.6E2	1
6002	684	Sisma X SLV	354.9	0	0	0	2.0E3	1	6003	684	Sisma Y SLV	0	354.9	0	0	2.0E3	1
6004	684	Eccentricità Y per sisma X SLV	0	0	0	-8.9E3	2.0E3	1	6005	684	Eccentricità X per sisma Y SLV	0	0	0	73819	2.0E3	1
6006	684	Sisma X SLD	151.3	0	0	0	2.0E3	1	6007	684	Sisma Y SLD	0	140	0	0	2.0E3	1
6008	684	Eccentricità Y per sisma X SLD	0	0	0	-3.8E3	2.0E3	1	6009	684	Eccentricità X per sisma Y SLD	0	0	0	2.9E4	2.0E3	1
6010	685	Sisma X SLV	117	0	0	0	6.6E2	1	6011	685	Sisma Y SLV	0	117	0	0	6.6E2	1

Indice	Nodo	Condizione	Fx	Fy	Fz	Mz	Peso	γ	Indice	Nodo	Condizione	Fx	Fy	Fz	Mz	Peso	γ
6012	685	Eccentricità Y per sisma X SLV	0	0	0	-2.9E3	6.6E2	1	6013	685	Eccentricità X per sisma Y SLV	0	0	0	24332	6.6E2	1
6014	685	Sisma X SLD	49.9	0	0	0	6.6E2	1	6015	685	Sisma Y SLD	0	46.1	0	0	6.6E2	1
6016	685	Eccentricità Y per sisma X SLD	0	0	0	-1245	6.6E2	1	6017	685	Eccentricità X per sisma Y SLD	0	0	0	9.6E3	6.6E2	1
6018	686	Sisma X SLV	117	0	0	0	6.6E2	1	6019	686	Sisma Y SLV	0	117	0	0	6.6E2	1
6020	686	Eccentricità Y per sisma X SLV	0	0	0	-2.9E3	6.6E2	1	6021	686	Eccentricità X per sisma Y SLV	0	0	0	24332	6.6E2	1
6022	686	Sisma X SLD	49.9	0	0	0	6.6E2	1	6023	686	Sisma Y SLD	0	46.1	0	0	6.6E2	1
6024	686	Eccentricità Y per sisma X SLD	0	0	0	-1245	6.6E2	1	6025	686	Eccentricità X per sisma Y SLD	0	0	0	9.6E3	6.6E2	1
6026	687	Sisma X SLV	117	0	0	0	6.6E2	1	6027	687	Sisma Y SLV	0	117	0	0	6.6E2	1
6028	687	Eccentricità Y per sisma X SLV	0	0	0	-2.9E3	6.6E2	1	6029	687	Eccentricità X per sisma Y SLV	0	0	0	24332	6.6E2	1
6030	687	Sisma X SLD	49.9	0	0	0	6.6E2	1	6031	687	Sisma Y SLD	0	46.1	0	0	6.6E2	1
6032	687	Eccentricità Y per sisma X SLD	0	0	0	-1245	6.6E2	1	6033	687	Eccentricità X per sisma Y SLD	0	0	0	9.6E3	6.6E2	1
6034	688	Sisma X SLV	117	0	0	0	6.6E2	1	6035	688	Sisma Y SLV	0	117	0	0	6.6E2	1
6036	688	Eccentricità Y per sisma X SLV	0	0	0	-2.9E3	6.6E2	1	6037	688	Eccentricità X per sisma Y SLV	0	0	0	24332	6.6E2	1
6038	688	Sisma X SLD	49.9	0	0	0	6.6E2	1	6039	688	Sisma Y SLD	0	46.1	0	0	6.6E2	1
6040	688	Eccentricità Y per sisma X SLD	0	0	0	-1245	6.6E2	1	6041	688	Eccentricità X per sisma Y SLD	0	0	0	9.6E3	6.6E2	1
6042	689	Sisma X SLV	117	0	0	0	6.6E2	1	6043	689	Sisma Y SLV	0	117	0	0	6.6E2	1
6044	689	Eccentricità Y per sisma X SLV	0	0	0	-2.9E3	6.6E2	1	6045	689	Eccentricità X per sisma Y SLV	0	0	0	24332	6.6E2	1
6046	689	Sisma X SLD	49.9	0	0	0	6.6E2	1	6047	689	Sisma Y SLD	0	46.1	0	0	6.6E2	1
6048	689	Eccentricità Y per sisma X SLD	0	0	0	-1245	6.6E2	1	6049	689	Eccentricità X per sisma Y SLD	0	0	0	9.6E3	6.6E2	1
6050	690	Sisma X SLV	117	0	0	0	6.6E2	1	6051	690	Sisma Y SLV	0	117	0	0	6.6E2	1
6052	690	Eccentricità Y per sisma X SLV	0	0	0	-2.9E3	6.6E2	1	6053	690	Eccentricità X per sisma Y SLV	0	0	0	24332	6.6E2	1
6054	690	Sisma X SLD	49.9	0	0	0	6.6E2	1	6055	690	Sisma Y SLD	0	46.1	0	0	6.6E2	1
6056	690	Eccentricità Y per sisma X SLD	0	0	0	-1245	6.6E2	1	6057	690	Eccentricità X per sisma Y SLD	0	0	0	9.6E3	6.6E2	1
6058	691	Sisma X SLV	117	0	0	0	6.6E2	1	6059	691	Sisma Y SLV	0	117	0	0	6.6E2	1
6060	691	Eccentricità Y per sisma X SLV	0	0	0	-2.9E3	6.6E2	1	6061	691	Eccentricità X per sisma Y SLV	0	0	0	24332	6.6E2	1
6062	691	Sisma X SLD	49.9	0	0	0	6.6E2	1	6063	691	Sisma Y SLD	0	46.1	0	0	6.6E2	1
6064	691	Eccentricità Y per sisma X SLD	0	0	0	-1245	6.6E2	1	6065	691	Eccentricità X per sisma Y SLD	0	0	0	9.6E3	6.6E2	1
6066	692	Sisma X SLV	117	0	0	0	6.6E2	1	6067	692	Sisma Y SLV	0	117	0	0	6.6E2	1
6068	692	Eccentricità Y per sisma X SLV	0	0	0	-2.9E3	6.6E2	1	6069	692	Eccentricità X per sisma Y SLV	0	0	0	24332	6.6E2	1
6070	692	Sisma X SLD	49.9	0	0	0	6.6E2	1	6071	692	Sisma Y SLD	0	46.1	0	0	6.6E2	1
6072	692	Eccentricità Y per sisma X SLD	0	0	0	-1245	6.6E2	1	6073	692	Eccentricità X per sisma Y SLD	0	0	0	9.6E3	6.6E2	1
6074	693	Sisma X SLV	117	0	0	0	6.6E2	1	6075	693	Sisma Y SLV	0	117	0	0	6.6E2	1
6076	693	Eccentricità Y per sisma X SLV	0	0	0	-2.9E3	6.6E2	1	6077	693	Eccentricità X per sisma Y SLV	0	0	0	24332	6.6E2	1
6078	693	Sisma X SLD	49.9	0	0	0	6.6E2	1	6079	693	Sisma Y SLD	0	46.1	0	0	6.6E2	1
6080	693	Eccentricità Y per sisma X SLD	0	0	0	-1245	6.6E2	1	6081	693	Eccentricità X per sisma Y SLD	0	0	0	9.6E3	6.6E2	1
6082	694	Sisma X SLV	117	0	0	0	6.6E2	1	6083	694	Sisma Y SLV	0	117	0	0	6.6E2	1
6084	694	Eccentricità Y per sisma X SLV	0	0	0	-2.9E3	6.6E2	1	6085	694	Eccentricità X per sisma Y SLV	0	0	0	24332	6.6E2	1
6086	694	Sisma X SLD	49.9	0	0	0	6.6E2	1	6087	694	Sisma Y SLD	0	46.1	0	0	6.6E2	1
6088	694	Eccentricità Y per sisma X SLD	0	0	0	-1245	6.6E2	1	6089	694	Eccentricità X per sisma Y SLD	0	0	0	9.6E3	6.6E2	1
6090	695	Sisma X SLV	117	0	0	0	6.6E2	1	6091	695	Sisma Y SLV	0	117	0	0	6.6E2	1
6092	695	Eccentricità Y per sisma X SLV	0	0	0	-2.9E3	6.6E2	1	6093	695	Eccentricità X per sisma Y SLV	0	0	0	24332	6.6E2	1
6094	695	Sisma X SLD	49.9	0	0	0	6.6E2	1	6095	695	Sisma Y SLD	0	46.1	0	0	6.6E2	1
6096	695	Eccentricità Y per sisma X SLD	0	0	0	-1245	6.6E2	1	6097	695	Eccentricità X per sisma Y SLD	0	0	0	9.6E3	6.6E2	1
6098	696	Sisma X SLV	354.9	0	0	0	2.0E3	1	6099	696	Sisma Y SLV	0	354.9	0	0	2.0E3	1
6100	696	Eccentricità Y per sisma X SLV	0	0	0	-8.9E3	2.0E3	1	6101	696	Eccentricità X per sisma Y SLV	0	0	0	73819	2.0E3	1
6102	696	Sisma X SLD	151.3	0	0	0	2.0E3	1	6103	696	Sisma Y SLD	0	140	0	0	2.0E3	1

Indice	Nodo	Condizione	Fx	Fy	Fz	Mz	Peso	γ	Indice	Nodo	Condizione	Fx	Fy	Fz	Mz	Peso	γ
6104	696	Eccentricità Y per sisma X SLD	0	0	0	-3.8E3	2.0E3	1	6105	696	Eccentricità X per sisma Y SLD	0	0	0	2.9E4	2.0E3	1
6106	697	Sisma X SLV	117	0	0	0	6.6E2	1	6107	697	Sisma Y SLV	0	117	0	0	6.6E2	1
6108	697	Eccentricità Y per sisma X SLV	0	0	0	-2.9E3	6.6E2	1	6109	697	Eccentricità X per sisma Y SLV	0	0	0	24332	6.6E2	1
6110	697	Sisma X SLD	49.9	0	0	0	6.6E2	1	6111	697	Sisma Y SLD	0	46.1	0	0	6.6E2	1
6112	697	Eccentricità Y per sisma X SLD	0	0	0	-1245	6.6E2	1	6113	697	Eccentricità X per sisma Y SLD	0	0	0	9.6E3	6.6E2	1
6114	698	Sisma X SLV	117	0	0	0	6.6E2	1	6115	698	Sisma Y SLV	0	117	0	0	6.6E2	1
6116	698	Eccentricità Y per sisma X SLV	0	0	0	-2.9E3	6.6E2	1	6117	698	Eccentricità X per sisma Y SLV	0	0	0	24332	6.6E2	1
6118	698	Sisma X SLD	49.9	0	0	0	6.6E2	1	6119	698	Sisma Y SLD	0	46.1	0	0	6.6E2	1
6120	698	Eccentricità Y per sisma X SLD	0	0	0	-1245	6.6E2	1	6121	698	Eccentricità X per sisma Y SLD	0	0	0	9.6E3	6.6E2	1
6122	699	Sisma X SLV	117	0	0	0	6.6E2	1	6123	699	Sisma Y SLV	0	117	0	0	6.6E2	1
6124	699	Eccentricità Y per sisma X SLV	0	0	0	-2.9E3	6.6E2	1	6125	699	Eccentricità X per sisma Y SLV	0	0	0	24332	6.6E2	1
6126	699	Sisma X SLD	49.9	0	0	0	6.6E2	1	6127	699	Sisma Y SLD	0	46.1	0	0	6.6E2	1
6128	699	Eccentricità Y per sisma X SLD	0	0	0	-1245	6.6E2	1	6129	699	Eccentricità X per sisma Y SLD	0	0	0	9.6E3	6.6E2	1
6130	700	Sisma X SLV	117	0	0	0	6.6E2	1	6131	700	Sisma Y SLV	0	117	0	0	6.6E2	1
6132	700	Eccentricità Y per sisma X SLV	0	0	0	-2.9E3	6.6E2	1	6133	700	Eccentricità X per sisma Y SLV	0	0	0	24332	6.6E2	1
6134	700	Sisma X SLD	49.9	0	0	0	6.6E2	1	6135	700	Sisma Y SLD	0	46.1	0	0	6.6E2	1
6136	700	Eccentricità Y per sisma X SLD	0	0	0	-1245	6.6E2	1	6137	700	Eccentricità X per sisma Y SLD	0	0	0	9.6E3	6.6E2	1
6138	701	Sisma X SLV	117	0	0	0	6.6E2	1	6139	701	Sisma Y SLV	0	117	0	0	6.6E2	1
6140	701	Eccentricità Y per sisma X SLV	0	0	0	-2.9E3	6.6E2	1	6141	701	Eccentricità X per sisma Y SLV	0	0	0	24332	6.6E2	1
6142	701	Sisma X SLD	49.9	0	0	0	6.6E2	1	6143	701	Sisma Y SLD	0	46.1	0	0	6.6E2	1
6144	701	Eccentricità Y per sisma X SLD	0	0	0	-1245	6.6E2	1	6145	701	Eccentricità X per sisma Y SLD	0	0	0	9.6E3	6.6E2	1
6146	702	Sisma X SLV	117	0	0	0	6.6E2	1	6147	702	Sisma Y SLV	0	117	0	0	6.6E2	1
6148	702	Eccentricità Y per sisma X SLV	0	0	0	-2.9E3	6.6E2	1	6149	702	Eccentricità X per sisma Y SLV	0	0	0	24332	6.6E2	1
6150	702	Sisma X SLD	49.9	0	0	0	6.6E2	1	6151	702	Sisma Y SLD	0	46.1	0	0	6.6E2	1
6152	702	Eccentricità Y per sisma X SLD	0	0	0	-1245	6.6E2	1	6153	702	Eccentricità X per sisma Y SLD	0	0	0	9.6E3	6.6E2	1
6154	703	Sisma X SLV	117	0	0	0	6.6E2	1	6155	703	Sisma Y SLV	0	117	0	0	6.6E2	1
6156	703	Eccentricità Y per sisma X SLV	0	0	0	-2.9E3	6.6E2	1	6157	703	Eccentricità X per sisma Y SLV	0	0	0	24332	6.6E2	1
6158	703	Sisma X SLD	49.9	0	0	0	6.6E2	1	6159	703	Sisma Y SLD	0	46.1	0	0	6.6E2	1
6160	703	Eccentricità Y per sisma X SLD	0	0	0	-1245	6.6E2	1	6161	703	Eccentricità X per sisma Y SLD	0	0	0	9.6E3	6.6E2	1
6162	704	Sisma X SLV	117	0	0	0	6.6E2	1	6163	704	Sisma Y SLV	0	117	0	0	6.6E2	1
6164	704	Eccentricità Y per sisma X SLV	0	0	0	-2.9E3	6.6E2	1	6165	704	Eccentricità X per sisma Y SLV	0	0	0	24332	6.6E2	1
6166	704	Sisma X SLD	49.9	0	0	0	6.6E2	1	6167	704	Sisma Y SLD	0	46.1	0	0	6.6E2	1
6168	704	Eccentricità Y per sisma X SLD	0	0	0	-1245	6.6E2	1	6169	704	Eccentricità X per sisma Y SLD	0	0	0	9.6E3	6.6E2	1
6170	705	Sisma X SLV	117	0	0	0	6.6E2	1	6171	705	Sisma Y SLV	0	117	0	0	6.6E2	1
6172	705	Eccentricità Y per sisma X SLV	0	0	0	-2.9E3	6.6E2	1	6173	705	Eccentricità X per sisma Y SLV	0	0	0	24332	6.6E2	1
6174	705	Sisma X SLD	49.9	0	0	0	6.6E2	1	6175	705	Sisma Y SLD	0	46.1	0	0	6.6E2	1
6176	705	Eccentricità Y per sisma X SLD	0	0	0	-1245	6.6E2	1	6177	705	Eccentricità X per sisma Y SLD	0	0	0	9.6E3	6.6E2	1
6178	706	Sisma X SLV	117	0	0	0	6.6E2	1	6179	706	Sisma Y SLV	0	117	0	0	6.6E2	1
6180	706	Eccentricità Y per sisma X SLV	0	0	0	-2.9E3	6.6E2	1	6181	706	Eccentricità X per sisma Y SLV	0	0	0	24332	6.6E2	1
6182	706	Sisma X SLD	49.9	0	0	0	6.6E2	1	6183	706	Sisma Y SLD	0	46.1	0	0	6.6E2	1
6184	706	Eccentricità Y per sisma X SLD	0	0	0	-1245	6.6E2	1	6185	706	Eccentricità X per sisma Y SLD	0	0	0	9.6E3	6.6E2	1
6186	707	Sisma X SLV	117	0	0	0	6.6E2	1	6187	707	Sisma Y SLV	0	117	0	0	6.6E2	1
6188	707	Eccentricità Y per sisma X SLV	0	0	0	-2.9E3	6.6E2	1	6189	707	Eccentricità X per sisma Y SLV	0	0	0	24332	6.6E2	1
6190	707	Sisma X SLD	49.9	0	0	0	6.6E2	1	6191	707	Sisma Y SLD	0	46.1	0	0	6.6E2	1
6192	707	Eccentricità Y per sisma X SLD	0	0	0	-1245	6.6E2	1	6193	707	Eccentricità X per sisma Y SLD	0	0	0	9.6E3	6.6E2	1
6194	708	Sisma X SLV	354.9	0	0	0	2.0E3	1	6195	708	Sisma Y SLV	0	354.9	0	0	2.0E3	1

Indice	Nodo	Condizione	Fx	Fy	Fz	Mz	Peso	γ	Indice	Nodo	Condizione	Fx	Fy	Fz	Mz	Peso	γ
6196	708	Eccentricità Y per sisma X SLV	0	0	0	-8.9E3	2.0E3	1	6197	708	Eccentricità X per sisma Y SLV	0	0	0	73819	2.0E3	1
6198	708	Sisma X SLD	151.3	0	0	0	2.0E3	1	6199	708	Sisma Y SLD	0	140	0	0	2.0E3	1
6200	708	Eccentricità Y per sisma X SLD	0	0	0	-3.8E3	2.0E3	1	6201	708	Eccentricità X per sisma Y SLD	0	0	0	2.9E4	2.0E3	1
6202	709	Sisma X SLV	117	0	0	0	6.6E2	1	6203	709	Sisma Y SLV	0	117	0	0	6.6E2	1
6204	709	Eccentricità Y per sisma X SLV	0	0	0	-2.9E3	6.6E2	1	6205	709	Eccentricità X per sisma Y SLV	0	0	0	24332	6.6E2	1
6206	709	Sisma X SLD	49.9	0	0	0	6.6E2	1	6207	709	Sisma Y SLD	0	46.1	0	0	6.6E2	1
6208	709	Eccentricità Y per sisma X SLD	0	0	0	-1245	6.6E2	1	6209	709	Eccentricità X per sisma Y SLD	0	0	0	9.6E3	6.6E2	1
6210	710	Sisma X SLV	117	0	0	0	6.6E2	1	6211	710	Sisma Y SLV	0	117	0	0	6.6E2	1
6212	710	Eccentricità Y per sisma X SLV	0	0	0	-2.9E3	6.6E2	1	6213	710	Eccentricità X per sisma Y SLV	0	0	0	24332	6.6E2	1
6214	710	Sisma X SLD	49.9	0	0	0	6.6E2	1	6215	710	Sisma Y SLD	0	46.1	0	0	6.6E2	1
6216	710	Eccentricità Y per sisma X SLD	0	0	0	-1245	6.6E2	1	6217	710	Eccentricità X per sisma Y SLD	0	0	0	9.6E3	6.6E2	1
6218	711	Sisma X SLV	117	0	0	0	6.6E2	1	6219	711	Sisma Y SLV	0	117	0	0	6.6E2	1
6220	711	Eccentricità Y per sisma X SLV	0	0	0	-2.9E3	6.6E2	1	6221	711	Eccentricità X per sisma Y SLV	0	0	0	24332	6.6E2	1
6222	711	Sisma X SLD	49.9	0	0	0	6.6E2	1	6223	711	Sisma Y SLD	0	46.1	0	0	6.6E2	1
6224	711	Eccentricità Y per sisma X SLD	0	0	0	-1245	6.6E2	1	6225	711	Eccentricità X per sisma Y SLD	0	0	0	9.6E3	6.6E2	1
6226	712	Sisma X SLV	117	0	0	0	6.6E2	1	6227	712	Sisma Y SLV	0	117	0	0	6.6E2	1
6228	712	Eccentricità Y per sisma X SLV	0	0	0	-2.9E3	6.6E2	1	6229	712	Eccentricità X per sisma Y SLV	0	0	0	24332	6.6E2	1
6230	712	Sisma X SLD	49.9	0	0	0	6.6E2	1	6231	712	Sisma Y SLD	0	46.1	0	0	6.6E2	1
6232	712	Eccentricità Y per sisma X SLD	0	0	0	-1245	6.6E2	1	6233	712	Eccentricità X per sisma Y SLD	0	0	0	9.6E3	6.6E2	1
6234	713	Sisma X SLV	117	0	0	0	6.6E2	1	6235	713	Sisma Y SLV	0	117	0	0	6.6E2	1
6236	713	Eccentricità Y per sisma X SLV	0	0	0	-2.9E3	6.6E2	1	6237	713	Eccentricità X per sisma Y SLV	0	0	0	24332	6.6E2	1
6238	713	Sisma X SLD	49.9	0	0	0	6.6E2	1	6239	713	Sisma Y SLD	0	46.1	0	0	6.6E2	1
6240	713	Eccentricità Y per sisma X SLD	0	0	0	-1245	6.6E2	1	6241	713	Eccentricità X per sisma Y SLD	0	0	0	9.6E3	6.6E2	1
6242	714	Sisma X SLV	117	0	0	0	6.6E2	1	6243	714	Sisma Y SLV	0	117	0	0	6.6E2	1
6244	714	Eccentricità Y per sisma X SLV	0	0	0	-2.9E3	6.6E2	1	6245	714	Eccentricità X per sisma Y SLV	0	0	0	24332	6.6E2	1
6246	714	Sisma X SLD	49.9	0	0	0	6.6E2	1	6247	714	Sisma Y SLD	0	46.1	0	0	6.6E2	1
6248	714	Eccentricità Y per sisma X SLD	0	0	0	-1245	6.6E2	1	6249	714	Eccentricità X per sisma Y SLD	0	0	0	9.6E3	6.6E2	1
6250	715	Sisma X SLV	117	0	0	0	6.6E2	1	6251	715	Sisma Y SLV	0	117	0	0	6.6E2	1
6252	715	Eccentricità Y per sisma X SLV	0	0	0	-2.9E3	6.6E2	1	6253	715	Eccentricità X per sisma Y SLV	0	0	0	24332	6.6E2	1
6254	715	Sisma X SLD	49.9	0	0	0	6.6E2	1	6255	715	Sisma Y SLD	0	46.1	0	0	6.6E2	1
6256	715	Eccentricità Y per sisma X SLD	0	0	0	-1245	6.6E2	1	6257	715	Eccentricità X per sisma Y SLD	0	0	0	9.6E3	6.6E2	1
6258	716	Sisma X SLV	117	0	0	0	6.6E2	1	6259	716	Sisma Y SLV	0	117	0	0	6.6E2	1
6260	716	Eccentricità Y per sisma X SLV	0	0	0	-2.9E3	6.6E2	1	6261	716	Eccentricità X per sisma Y SLV	0	0	0	24332	6.6E2	1
6262	716	Sisma X SLD	49.9	0	0	0	6.6E2	1	6263	716	Sisma Y SLD	0	46.1	0	0	6.6E2	1
6264	716	Eccentricità Y per sisma X SLD	0	0	0	-1245	6.6E2	1	6265	716	Eccentricità X per sisma Y SLD	0	0	0	9.6E3	6.6E2	1
6266	717	Sisma X SLV	117	0	0	0	6.6E2	1	6267	717	Sisma Y SLV	0	117	0	0	6.6E2	1
6268	717	Eccentricità Y per sisma X SLV	0	0	0	-2.9E3	6.6E2	1	6269	717	Eccentricità X per sisma Y SLV	0	0	0	24332	6.6E2	1
6270	717	Sisma X SLD	49.9	0	0	0	6.6E2	1	6271	717	Sisma Y SLD	0	46.1	0	0	6.6E2	1
6272	717	Eccentricità Y per sisma X SLD	0	0	0	-1245	6.6E2	1	6273	717	Eccentricità X per sisma Y SLD	0	0	0	9.6E3	6.6E2	1
6274	718	Sisma X SLV	117	0	0	0	6.6E2	1	6275	718	Sisma Y SLV	0	117	0	0	6.6E2	1
6276	718	Eccentricità Y per sisma X SLV	0	0	0	-2.9E3	6.6E2	1	6277	718	Eccentricità X per sisma Y SLV	0	0	0	24332	6.6E2	1
6278	718	Sisma X SLD	49.9	0	0	0	6.6E2	1	6279	718	Sisma Y SLD	0	46.1	0	0	6.6E2	1
6280	718	Eccentricità Y per sisma X SLD	0	0	0	-1245	6.6E2	1	6281	718	Eccentricità X per sisma Y SLD	0	0	0	9.6E3	6.6E2	1
6282	719	Sisma X SLV	117	0	0	0	6.6E2	1	6283	719	Sisma Y SLV	0	117	0	0	6.6E2	1
6284	719	Eccentricità Y per sisma X SLV	0	0	0	-2.9E3	6.6E2	1	6285	719	Eccentricità X per sisma Y SLV	0	0	0	24332	6.6E2	1
6286	719	Sisma X SLD	49.9	0	0	0	6.6E2	1	6287	719	Sisma Y SLD	0	46.1	0	0	6.6E2	1

Indice	Nodo	Condizione	Fx	Fy	Fz	Mz	Peso	γ	Indice	Nodo	Condizione	Fx	Fy	Fz	Mz	Peso	γ
6288	719	Eccentricità Y per sisma X SLD	0	0	0	-1245	6.6E2	1	6289	719	Eccentricità X per sisma Y SLD	0	0	0	9.6E3	6.6E2	1
6290	720	Sisma X SLV	354.9	0	0	0	2.0E3	1	6291	720	Sisma Y SLV	0	354.9	0	0	2.0E3	1
6292	720	Eccentricità Y per sisma X SLV	0	0	0	-8.9E3	2.0E3	1	6293	720	Eccentricità X per sisma Y SLV	0	0	0	73819	2.0E3	1
6294	720	Sisma X SLD	151.3	0	0	0	2.0E3	1	6295	720	Sisma Y SLD	0	140	0	0	2.0E3	1
6296	720	Eccentricità Y per sisma X SLD	0	0	0	-3.8E3	2.0E3	1	6297	720	Eccentricità X per sisma Y SLD	0	0	0	2.9E4	2.0E3	1
6298	721	Sisma X SLV	117	0	0	0	6.6E2	1	6299	721	Sisma Y SLV	0	117	0	0	6.6E2	1
6300	721	Eccentricità Y per sisma X SLV	0	0	0	-2.9E3	6.6E2	1	6301	721	Eccentricità X per sisma Y SLV	0	0	0	24332	6.6E2	1
6302	721	Sisma X SLD	49.9	0	0	0	6.6E2	1	6303	721	Sisma Y SLD	0	46.1	0	0	6.6E2	1
6304	721	Eccentricità Y per sisma X SLD	0	0	0	-1245	6.6E2	1	6305	721	Eccentricità X per sisma Y SLD	0	0	0	9.6E3	6.6E2	1
6306	722	Sisma X SLV	117	0	0	0	6.6E2	1	6307	722	Sisma Y SLV	0	117	0	0	6.6E2	1
6308	722	Eccentricità Y per sisma X SLV	0	0	0	-2.9E3	6.6E2	1	6309	722	Eccentricità X per sisma Y SLV	0	0	0	24332	6.6E2	1
6310	722	Sisma X SLD	49.9	0	0	0	6.6E2	1	6311	722	Sisma Y SLD	0	46.1	0	0	6.6E2	1
6312	722	Eccentricità Y per sisma X SLD	0	0	0	-1245	6.6E2	1	6313	722	Eccentricità X per sisma Y SLD	0	0	0	9.6E3	6.6E2	1
6314	723	Sisma X SLV	117	0	0	0	6.6E2	1	6315	723	Sisma Y SLV	0	117	0	0	6.6E2	1
6316	723	Eccentricità Y per sisma X SLV	0	0	0	-2.9E3	6.6E2	1	6317	723	Eccentricità X per sisma Y SLV	0	0	0	24332	6.6E2	1
6318	723	Sisma X SLD	49.9	0	0	0	6.6E2	1	6319	723	Sisma Y SLD	0	46.1	0	0	6.6E2	1
6320	723	Eccentricità Y per sisma X SLD	0	0	0	-1245	6.6E2	1	6321	723	Eccentricità X per sisma Y SLD	0	0	0	9.6E3	6.6E2	1
6322	724	Sisma X SLV	117	0	0	0	6.6E2	1	6323	724	Sisma Y SLV	0	117	0	0	6.6E2	1
6324	724	Eccentricità Y per sisma X SLV	0	0	0	-2.9E3	6.6E2	1	6325	724	Eccentricità X per sisma Y SLV	0	0	0	24332	6.6E2	1
6326	724	Sisma X SLD	49.9	0	0	0	6.6E2	1	6327	724	Sisma Y SLD	0	46.1	0	0	6.6E2	1
6328	724	Eccentricità Y per sisma X SLD	0	0	0	-1245	6.6E2	1	6329	724	Eccentricità X per sisma Y SLD	0	0	0	9.6E3	6.6E2	1
6330	725	Sisma X SLV	117	0	0	0	6.6E2	1	6331	725	Sisma Y SLV	0	117	0	0	6.6E2	1
6332	725	Eccentricità Y per sisma X SLV	0	0	0	-2.9E3	6.6E2	1	6333	725	Eccentricità X per sisma Y SLV	0	0	0	24332	6.6E2	1
6334	725	Sisma X SLD	49.9	0	0	0	6.6E2	1	6335	725	Sisma Y SLD	0	46.1	0	0	6.6E2	1
6336	725	Eccentricità Y per sisma X SLD	0	0	0	-1245	6.6E2	1	6337	725	Eccentricità X per sisma Y SLD	0	0	0	9.6E3	6.6E2	1
6338	726	Sisma X SLV	117	0	0	0	6.6E2	1	6339	726	Sisma Y SLV	0	117	0	0	6.6E2	1
6340	726	Eccentricità Y per sisma X SLV	0	0	0	-2.9E3	6.6E2	1	6341	726	Eccentricità X per sisma Y SLV	0	0	0	24332	6.6E2	1
6342	726	Sisma X SLD	49.9	0	0	0	6.6E2	1	6343	726	Sisma Y SLD	0	46.1	0	0	6.6E2	1
6344	726	Eccentricità Y per sisma X SLD	0	0	0	-1245	6.6E2	1	6345	726	Eccentricità X per sisma Y SLD	0	0	0	9.6E3	6.6E2	1
6346	727	Sisma X SLV	117	0	0	0	6.6E2	1	6347	727	Sisma Y SLV	0	117	0	0	6.6E2	1
6348	727	Eccentricità Y per sisma X SLV	0	0	0	-2.9E3	6.6E2	1	6349	727	Eccentricità X per sisma Y SLV	0	0	0	24332	6.6E2	1
6350	727	Sisma X SLD	49.9	0	0	0	6.6E2	1	6351	727	Sisma Y SLD	0	46.1	0	0	6.6E2	1
6352	727	Eccentricità Y per sisma X SLD	0	0	0	-1245	6.6E2	1	6353	727	Eccentricità X per sisma Y SLD	0	0	0	9.6E3	6.6E2	1
6354	728	Sisma X SLV	117	0	0	0	6.6E2	1	6355	728	Sisma Y SLV	0	117	0	0	6.6E2	1
6356	728	Eccentricità Y per sisma X SLV	0	0	0	-2.9E3	6.6E2	1	6357	728	Eccentricità X per sisma Y SLV	0	0	0	24332	6.6E2	1
6358	728	Sisma X SLD	49.9	0	0	0	6.6E2	1	6359	728	Sisma Y SLD	0	46.1	0	0	6.6E2	1
6360	728	Eccentricità Y per sisma X SLD	0	0	0	-1245	6.6E2	1	6361	728	Eccentricità X per sisma Y SLD	0	0	0	9.6E3	6.6E2	1
6362	729	Sisma X SLV	117	0	0	0	6.6E2	1	6363	729	Sisma Y SLV	0	117	0	0	6.6E2	1
6364	729	Eccentricità Y per sisma X SLV	0	0	0	-2.9E3	6.6E2	1	6365	729	Eccentricità X per sisma Y SLV	0	0	0	24332	6.6E2	1
6366	729	Sisma X SLD	49.9	0	0	0	6.6E2	1	6367	729	Sisma Y SLD	0	46.1	0	0	6.6E2	1
6368	729	Eccentricità Y per sisma X SLD	0	0	0	-1245	6.6E2	1	6369	729	Eccentricità X per sisma Y SLD	0	0	0	9.6E3	6.6E2	1
6370	730	Sisma X SLV	117	0	0	0	6.6E2	1	6371	730	Sisma Y SLV	0	117	0	0	6.6E2	1
6372	730	Eccentricità Y per sisma X SLV	0	0	0	-2.9E3	6.6E2	1	6373	730	Eccentricità X per sisma Y SLV	0	0	0	24332	6.6E2	1
6374	730	Sisma X SLD	49.9	0	0	0	6.6E2	1	6375	730	Sisma Y SLD	0	46.1	0	0	6.6E2	1
6376	730	Eccentricità Y per sisma X SLD	0	0	0	-1245	6.6E2	1	6377	730	Eccentricità X per sisma Y SLD	0	0	0	9.6E3	6.6E2	1
6378	731	Sisma X SLV	117	0	0	0	6.6E2	1	6379	731	Sisma Y SLV	0	117	0	0	6.6E2	1

Indice	Nodo	Condizione	Fx	Fy	Fz	Mz	Peso	γ	Indice	Nodo	Condizione	Fx	Fy	Fz	Mz	Peso	γ
6380	731	Eccentricità Y per sisma X SLV	0	0	0	-2.9E3	6.6E2	1	6381	731	Eccentricità X per sisma Y SLV	0	0	0	24332	6.6E2	1
6382	731	Sisma X SLD	49.9	0	0	0	6.6E2	1	6383	731	Sisma Y SLD	0	46.1	0	0	6.6E2	1
6384	731	Eccentricità Y per sisma X SLD	0	0	0	-1245	6.6E2	1	6385	731	Eccentricità X per sisma Y SLD	0	0	0	9.6E3	6.6E2	1
6386	732	Sisma X SLV	354.9	0	0	0	2.0E3	1	6387	732	Sisma Y SLV	0	354.9	0	0	2.0E3	1
6388	732	Eccentricità Y per sisma X SLV	0	0	0	-8.9E3	2.0E3	1	6389	732	Eccentricità X per sisma Y SLV	0	0	0	73819	2.0E3	1
6390	732	Sisma X SLD	151.3	0	0	0	2.0E3	1	6391	732	Sisma Y SLD	0	140	0	0	2.0E3	1
6392	732	Eccentricità Y per sisma X SLD	0	0	0	-3.8E3	2.0E3	1	6393	732	Eccentricità X per sisma Y SLD	0	0	0	2.9E4	2.0E3	1
6394	733	Sisma X SLV	117	0	0	0	6.6E2	1	6395	733	Sisma Y SLV	0	117	0	0	6.6E2	1
6396	733	Eccentricità Y per sisma X SLV	0	0	0	-2.9E3	6.6E2	1	6397	733	Eccentricità X per sisma Y SLV	0	0	0	24332	6.6E2	1
6398	733	Sisma X SLD	49.9	0	0	0	6.6E2	1	6399	733	Sisma Y SLD	0	46.1	0	0	6.6E2	1
6400	733	Eccentricità Y per sisma X SLD	0	0	0	-1245	6.6E2	1	6401	733	Eccentricità X per sisma Y SLD	0	0	0	9.6E3	6.6E2	1
6402	734	Sisma X SLV	117	0	0	0	6.6E2	1	6403	734	Sisma Y SLV	0	117	0	0	6.6E2	1
6404	734	Eccentricità Y per sisma X SLV	0	0	0	-2.9E3	6.6E2	1	6405	734	Eccentricità X per sisma Y SLV	0	0	0	24332	6.6E2	1
6406	734	Sisma X SLD	49.9	0	0	0	6.6E2	1	6407	734	Sisma Y SLD	0	46.1	0	0	6.6E2	1
6408	734	Eccentricità Y per sisma X SLD	0	0	0	-1245	6.6E2	1	6409	734	Eccentricità X per sisma Y SLD	0	0	0	9.6E3	6.6E2	1
6410	735	Sisma X SLV	117	0	0	0	6.6E2	1	6411	735	Sisma Y SLV	0	117	0	0	6.6E2	1
6412	735	Eccentricità Y per sisma X SLV	0	0	0	-2.9E3	6.6E2	1	6413	735	Eccentricità X per sisma Y SLV	0	0	0	24332	6.6E2	1
6414	735	Sisma X SLD	49.9	0	0	0	6.6E2	1	6415	735	Sisma Y SLD	0	46.1	0	0	6.6E2	1
6416	735	Eccentricità Y per sisma X SLD	0	0	0	-1245	6.6E2	1	6417	735	Eccentricità X per sisma Y SLD	0	0	0	9.6E3	6.6E2	1
6418	736	Sisma X SLV	117	0	0	0	6.6E2	1	6419	736	Sisma Y SLV	0	117	0	0	6.6E2	1
6420	736	Eccentricità Y per sisma X SLV	0	0	0	-2.9E3	6.6E2	1	6421	736	Eccentricità X per sisma Y SLV	0	0	0	24332	6.6E2	1
6422	736	Sisma X SLD	49.9	0	0	0	6.6E2	1	6423	736	Sisma Y SLD	0	46.1	0	0	6.6E2	1
6424	736	Eccentricità Y per sisma X SLD	0	0	0	-1245	6.6E2	1	6425	736	Eccentricità X per sisma Y SLD	0	0	0	9.6E3	6.6E2	1
6426	737	Sisma X SLV	117	0	0	0	6.6E2	1	6427	737	Sisma Y SLV	0	117	0	0	6.6E2	1
6428	737	Eccentricità Y per sisma X SLV	0	0	0	-2.9E3	6.6E2	1	6429	737	Eccentricità X per sisma Y SLV	0	0	0	24332	6.6E2	1
6430	737	Sisma X SLD	49.9	0	0	0	6.6E2	1	6431	737	Sisma Y SLD	0	46.1	0	0	6.6E2	1
6432	737	Eccentricità Y per sisma X SLD	0	0	0	-1245	6.6E2	1	6433	737	Eccentricità X per sisma Y SLD	0	0	0	9.6E3	6.6E2	1
6434	738	Sisma X SLV	117	0	0	0	6.6E2	1	6435	738	Sisma Y SLV	0	117	0	0	6.6E2	1
6436	738	Eccentricità Y per sisma X SLV	0	0	0	-2.9E3	6.6E2	1	6437	738	Eccentricità X per sisma Y SLV	0	0	0	24332	6.6E2	1
6438	738	Sisma X SLD	49.9	0	0	0	6.6E2	1	6439	738	Sisma Y SLD	0	46.1	0	0	6.6E2	1
6440	738	Eccentricità Y per sisma X SLD	0	0	0	-1245	6.6E2	1	6441	738	Eccentricità X per sisma Y SLD	0	0	0	9.6E3	6.6E2	1
6442	739	Sisma X SLV	117	0	0	0	6.6E2	1	6443	739	Sisma Y SLV	0	117	0	0	6.6E2	1
6444	739	Eccentricità Y per sisma X SLV	0	0	0	-2.9E3	6.6E2	1	6445	739	Eccentricità X per sisma Y SLV	0	0	0	24332	6.6E2	1
6446	739	Sisma X SLD	49.9	0	0	0	6.6E2	1	6447	739	Sisma Y SLD	0	46.1	0	0	6.6E2	1
6448	739	Eccentricità Y per sisma X SLD	0	0	0	-1245	6.6E2	1	6449	739	Eccentricità X per sisma Y SLD	0	0	0	9.6E3	6.6E2	1
6450	740	Sisma X SLV	117	0	0	0	6.6E2	1	6451	740	Sisma Y SLV	0	117	0	0	6.6E2	1
6452	740	Eccentricità Y per sisma X SLV	0	0	0	-2.9E3	6.6E2	1	6453	740	Eccentricità X per sisma Y SLV	0	0	0	24332	6.6E2	1
6454	740	Sisma X SLD	49.9	0	0	0	6.6E2	1	6455	740	Sisma Y SLD	0	46.1	0	0	6.6E2	1
6456	740	Eccentricità Y per sisma X SLD	0	0	0	-1245	6.6E2	1	6457	740	Eccentricità X per sisma Y SLD	0	0	0	9.6E3	6.6E2	1
6458	741	Sisma X SLV	117	0	0	0	6.6E2	1	6459	741	Sisma Y SLV	0	117	0	0	6.6E2	1
6460	741	Eccentricità Y per sisma X SLV	0	0	0	-2.9E3	6.6E2	1	6461	741	Eccentricità X per sisma Y SLV	0	0	0	24332	6.6E2	1
6462	741	Sisma X SLD	49.9	0	0	0	6.6E2	1	6463	741	Sisma Y SLD	0	46.1	0	0	6.6E2	1
6464	741	Eccentricità Y per sisma X SLD	0	0	0	-1245	6.6E2	1	6465	741	Eccentricità X per sisma Y SLD	0	0	0	9.6E3	6.6E2	1
6466	742	Sisma X SLV	117	0	0	0	6.6E2	1	6467	742	Sisma Y SLV	0	117	0	0	6.6E2	1
6468	742	Eccentricità Y per sisma X SLV	0	0	0	-2.9E3	6.6E2	1	6469	742	Eccentricità X per sisma Y SLV	0	0	0	24332	6.6E2	1
6470	742	Sisma X SLD	49.9	0	0	0	6.6E2	1	6471	742	Sisma Y SLD	0	46.1	0	0	6.6E2	1

Indice	Nodo	Condizione	Fx	Fy	Fz	Mz	Peso	γ	Indice	Nodo	Condizione	Fx	Fy	Fz	Mz	Peso	γ
6472	742	Eccentricità Y per sisma X SLD	0	0	0	-1245	6.6E2	1	6473	742	Eccentricità X per sisma Y SLD	0	0	0	9.6E3	6.6E2	1
6474	743	Sisma X SLV	116.9	0	0	0	6.5E2	1	6475	743	Sisma Y SLV	0	116.9	0	0	6.5E2	1
6476	743	Eccentricità Y per sisma X SLV	0	0	0	-2.9E3	6.5E2	1	6477	743	Eccentricità X per sisma Y SLV	0	0	0	24315	6.5E2	1
6478	743	Sisma X SLD	49.8	0	0	0	6.5E2	1	6479	743	Sisma Y SLD	0	46.1	0	0	6.5E2	1
6480	743	Eccentricità Y per sisma X SLD	0	0	0	-1.2E3	6.5E2	1	6481	743	Eccentricità X per sisma Y SLD	0	0	0	9.6E3	6.5E2	1
6482	744	Sisma X SLV	95.1	0	0	0	5.3E2	1	6483	744	Sisma Y SLV	0	95.1	0	0	5.3E2	1
6484	744	Eccentricità Y per sisma X SLV	0	0	0	-2.4E3	5.3E2	1	6485	744	Eccentricità X per sisma Y SLV	0	0	0	2.0E4	5.3E2	1
6486	744	Sisma X SLD	40.5	0	0	0	5.3E2	1	6487	744	Sisma Y SLD	0	37.5	0	0	5.3E2	1
6488	744	Eccentricità Y per sisma X SLD	0	0	0	-1.0E3	5.3E2	1	6489	744	Eccentricità X per sisma Y SLD	0	0	0	7801	5.3E2	1
6490	745	Sisma X SLV	47.6	0	0	0	2.7E2	1	6491	745	Sisma Y SLV	0	47.6	0	0	2.7E2	1
6492	745	Eccentricità Y per sisma X SLV	0	0	0	-1.2E3	2.7E2	1	6493	745	Eccentricità X per sisma Y SLV	0	0	0	9.9E3	2.7E2	1
6494	745	Sisma X SLD	20.3	0	0	0	2.7E2	1	6495	745	Sisma Y SLD	0	18.8	0	0	2.7E2	1
6496	745	Eccentricità Y per sisma X SLD	0	0	0	-5.1E2	2.7E2	1	6497	745	Eccentricità X per sisma Y SLD	0	0	0	3.9E3	2.7E2	1
6498	746	Sisma X SLV	94.6	0	0	0	5.3E2	1	6499	746	Sisma Y SLV	0	94.6	0	0	5.3E2	1
6500	746	Eccentricità Y per sisma X SLV	0	0	0	-2.4E3	5.3E2	1	6501	746	Eccentricità X per sisma Y SLV	0	0	0	2.0E4	5.3E2	1
6502	746	Sisma X SLD	40.3	0	0	0	5.3E2	1	6503	746	Sisma Y SLD	0	37.3	0	0	5.3E2	1
6504	746	Eccentricità Y per sisma X SLD	0	0	0	-1.0E3	5.3E2	1	6505	746	Eccentricità X per sisma Y SLD	0	0	0	7.8E3	5.3E2	1
6506	747	Sisma X SLV	89.8	0	0	0	5.0E2	1	6507	747	Sisma Y SLV	0	89.8	0	0	5.0E2	1
6508	747	Eccentricità Y per sisma X SLV	0	0	0	-2242	5.0E2	1	6509	747	Eccentricità X per sisma Y SLV	0	0	0	1.9E4	5.0E2	1
6510	747	Sisma X SLD	38.3	0	0	0	5.0E2	1	6511	747	Sisma Y SLD	0	35.4	0	0	5.0E2	1
6512	747	Eccentricità Y per sisma X SLD	0	0	0	-9.6E2	5.0E2	1	6513	747	Eccentricità X per sisma Y SLD	0	0	0	7.4E3	5.0E2	1
6514	748	Sisma X SLV	94.9	0	0	0	5.3E2	1	6515	748	Sisma Y SLV	0	94.9	0	0	5.3E2	1
6516	748	Eccentricità Y per sisma X SLV	0	0	0	-2.4E3	5.3E2	1	6517	748	Eccentricità X per sisma Y SLV	0	0	0	19749	5.3E2	1
6518	748	Sisma X SLD	40.5	0	0	0	5.3E2	1	6519	748	Sisma Y SLD	0	37.4	0	0	5.3E2	1
6520	748	Eccentricità Y per sisma X SLD	0	0	0	-1.0E3	5.3E2	1	6521	748	Eccentricità X per sisma Y SLD	0	0	0	7.8E3	5.3E2	1
6522	749	Sisma X SLV	122.2	0	0	0	6.8E2	1	6523	749	Sisma Y SLV	0	122.2	0	0	6.8E2	1
6524	749	Eccentricità Y per sisma X SLV	0	0	0	-3.1E3	6.8E2	1	6525	749	Eccentricità X per sisma Y SLV	0	0	0	2.5E4	6.8E2	1
6526	749	Sisma X SLD	52.1	0	0	0	6.8E2	1	6527	749	Sisma Y SLD	0	48.2	0	0	6.8E2	1
6528	749	Eccentricità Y per sisma X SLD	0	0	0	-1.3E3	6.8E2	1	6529	749	Eccentricità X per sisma Y SLD	0	0	0	10023	6.8E2	1
6530	750	Sisma X SLV	123.6	0	0	0	6.9E2	1	6531	750	Sisma Y SLV	0	123.6	0	0	6.9E2	1
6532	750	Eccentricità Y per sisma X SLV	0	0	0	-3.1E3	6.9E2	1	6533	750	Eccentricità X per sisma Y SLV	0	0	0	2.6E4	6.9E2	1
6534	750	Sisma X SLD	52.7	0	0	0	6.9E2	1	6535	750	Sisma Y SLD	0	48.8	0	0	6.9E2	1
6536	750	Eccentricità Y per sisma X SLD	0	0	0	-1.3E3	6.9E2	1	6537	750	Eccentricità X per sisma Y SLD	0	0	0	1.0E4	6.9E2	1
6538	751	Sisma X SLV	117.6	0	0	0	6.6E2	1	6539	751	Sisma Y SLV	0	117.6	0	0	6.6E2	1
6540	751	Eccentricità Y per sisma X SLV	0	0	0	-2.9E3	6.6E2	1	6541	751	Eccentricità X per sisma Y SLV	0	0	0	2.4E4	6.6E2	1
6542	751	Sisma X SLD	50.1	0	0	0	6.6E2	1	6543	751	Sisma Y SLD	0	46.4	0	0	6.6E2	1
6544	751	Eccentricità Y per sisma X SLD	0	0	0	-1.3E3	6.6E2	1	6545	751	Eccentricità X per sisma Y SLD	0	0	0	9.6E3	6.6E2	1
6546	752	Sisma X SLV	96.9	0	0	0	5.4E2	1	6547	752	Sisma Y SLV	0	96.9	0	0	5.4E2	1
6548	752	Eccentricità Y per sisma X SLV	0	0	0	-2.4E3	5.4E2	1	6549	752	Eccentricità X per sisma Y SLV	0	0	0	20152	5.4E2	1
6550	752	Sisma X SLD	41.3	0	0	0	5.4E2	1	6551	752	Sisma Y SLD	0	38.2	0	0	5.4E2	1
6552	752	Eccentricità Y per sisma X SLD	0	0	0	-1.0E3	5.4E2	1	6553	752	Eccentricità X per sisma Y SLD	0	0	0	7.9E3	5.4E2	1
6554	753	Sisma X SLV	63.2	0	0	0	3.5E2	1	6555	753	Sisma Y SLV	0	63.2	0	0	3.5E2	1
6556	753	Eccentricità Y per sisma X SLV	0	0	0	-1.6E3	3.5E2	1	6557	753	Eccentricità X per sisma Y SLV	0	0	0	1.3E4	3.5E2	1
6558	753	Sisma X SLD	27	0	0	0	3.5E2	1	6559	753	Sisma Y SLD	0	24.9	0	0	3.5E2	1
6560	753	Eccentricità Y per sisma X SLD	0	0	0	-673	3.5E2	1	6561	753	Eccentricità X per sisma Y SLD	0	0	0	5.2E3	3.5E2	1
6562	754	Sisma X SLV	34.8	0	0	0	1.9E2	1	6563	754	Sisma Y SLV	0	34.8	0	0	1.9E2	1

Indice	Nodo	Condizione	Fx	Fy	Fz	Mz	Peso	γ	Indice	Nodo	Condizione	Fx	Fy	Fz	Mz	Peso	γ
6564	754	Eccentricità Y per sisma X SLV	0	0	0	-8.7E2	1.9E2	1	6565	754	Eccentricità X per sisma Y SLV	0	0	0	7.2E3	1.9E2	1
6566	754	Sisma X SLD	14.8	0	0	0	1.9E2	1	6567	754	Sisma Y SLD	0	13.7	0	0	1.9E2	1
6568	754	Eccentricità Y per sisma X SLD	0	0	0	-3.7E2	1.9E2	1	6569	754	Eccentricità X per sisma Y SLD	0	0	0	2.9E3	1.9E2	1
6570	755	Sisma X SLV	93.7	0	0	0	5.3E2	1	6571	755	Sisma Y SLV	0	93.7	0	0	5.3E2	1
6572	755	Eccentricità Y per sisma X SLV	0	0	0	-2.3E3	5.3E2	1	6573	755	Eccentricità X per sisma Y SLV	0	0	0	1.9E4	5.3E2	1
6574	755	Sisma X SLD	40	0	0	0	5.3E2	1	6575	755	Sisma Y SLD	0	37	0	0	5.3E2	1
6576	755	Eccentricità Y per sisma X SLD	0	0	0	-1.0E3	5.3E2	1	6577	755	Eccentricità X per sisma Y SLD	0	0	0	7.7E3	5.3E2	1
6578	756	Sisma X SLV	91.6	0	0	0	5.1E2	1	6579	756	Sisma Y SLV	0	91.6	0	0	5.1E2	1
6580	756	Eccentricità Y per sisma X SLV	0	0	0	-2288	5.1E2	1	6581	756	Eccentricità X per sisma Y SLV	0	0	0	1.9E4	5.1E2	1
6582	756	Sisma X SLD	39.1	0	0	0	5.1E2	1	6583	756	Sisma Y SLD	0	36.1	0	0	5.1E2	1
6584	756	Eccentricità Y per sisma X SLD	0	0	0	-9.8E2	5.1E2	1	6585	756	Eccentricità X per sisma Y SLD	0	0	0	7.5E3	5.1E2	1
6586	757	Sisma X SLV	94.2	0	0	0	5.3E2	1	6587	757	Sisma Y SLV	0	94.2	0	0	5.3E2	1
6588	757	Eccentricità Y per sisma X SLV	0	0	0	-2.4E3	5.3E2	1	6589	757	Eccentricità X per sisma Y SLV	0	0	0	2.0E4	5.3E2	1
6590	757	Sisma X SLD	40.2	0	0	0	5.3E2	1	6591	757	Sisma Y SLD	0	37.2	0	0	5.3E2	1
6592	757	Eccentricità Y per sisma X SLD	0	0	0	-1.0E3	5.3E2	1	6593	757	Eccentricità X per sisma Y SLD	0	0	0	7.7E3	5.3E2	1
6594	758	Sisma X SLV	46.2	0	0	0	2.6E2	1	6595	758	Sisma Y SLV	0	46.2	0	0	2.6E2	1
6596	758	Eccentricità Y per sisma X SLV	0	0	0	-1.2E3	2.6E2	1	6597	758	Eccentricità X per sisma Y SLV	0	0	0	9.6E3	2.6E2	1
6598	758	Sisma X SLD	19.7	0	0	0	2.6E2	1	6599	758	Sisma Y SLD	0	18.2	0	0	2.6E2	1
6600	758	Eccentricità Y per sisma X SLD	0	0	0	-4.9E2	2.6E2	1	6601	758	Eccentricità X per sisma Y SLD	0	0	0	3.8E3	2.6E2	1
6602	759	Sisma X SLV	94.6	0	0	0	5.3E2	1	6603	759	Sisma Y SLV	0	94.6	0	0	5.3E2	1
6604	759	Eccentricità Y per sisma X SLV	0	0	0	-2.4E3	5.3E2	1	6605	759	Eccentricità X per sisma Y SLV	0	0	0	2.0E4	5.3E2	1
6606	759	Sisma X SLD	40.3	0	0	0	5.3E2	1	6607	759	Sisma Y SLD	0	37.3	0	0	5.3E2	1
6608	759	Eccentricità Y per sisma X SLD	0	0	0	-1.0E3	5.3E2	1	6609	759	Eccentricità X per sisma Y SLD	0	0	0	7.8E3	5.3E2	1
6610	760	Sisma X SLV	92.2	0	0	0	5.2E2	1	6611	760	Sisma Y SLV	0	92.2	0	0	5.2E2	1
6612	760	Eccentricità Y per sisma X SLV	0	0	0	-2301	5.2E2	1	6613	760	Eccentricità X per sisma Y SLV	0	0	0	1.9E4	5.2E2	1
6614	760	Sisma X SLD	39.3	0	0	0	5.2E2	1	6615	760	Sisma Y SLD	0	36.3	0	0	5.2E2	1
6616	760	Eccentricità Y per sisma X SLD	0	0	0	-9.8E2	5.2E2	1	6617	760	Eccentricità X per sisma Y SLD	0	0	0	7.6E3	5.2E2	1
6618	761	Sisma X SLV	354.1	0	0	0	2.0E3	1	6619	761	Sisma Y SLV	0	354.1	0	0	2.0E3	1
6620	761	Eccentricità Y per sisma X SLV	0	0	0	-8.8E3	2.0E3	1	6621	761	Eccentricità X per sisma Y SLV	0	0	0	7.4E4	2.0E3	1
6622	761	Sisma X SLD	150.9	0	0	0	2.0E3	1	6623	761	Sisma Y SLD	0	139.6	0	0	2.0E3	1
6624	761	Eccentricità Y per sisma X SLD	0	0	0	-3768	2.0E3	1	6625	761	Eccentricità X per sisma Y SLD	0	0	0	2.9E4	2.0E3	1
6626	762	Sisma X SLV	344	0	0	0	1.9E3	1	6627	762	Sisma Y SLV	0	344	0	0	1.9E3	1
6628	762	Eccentricità Y per sisma X SLV	0	0	0	-8.6E3	1.9E3	1	6629	762	Eccentricità X per sisma Y SLV	0	0	0	7.2E4	1.9E3	1
6630	762	Sisma X SLD	146.6	0	0	0	1.9E3	1	6631	762	Sisma Y SLD	0	135.6	0	0	1.9E3	1
6632	762	Eccentricità Y per sisma X SLD	0	0	0	-3.7E3	1.9E3	1	6633	762	Eccentricità X per sisma Y SLD	0	0	0	2.8E4	1.9E3	1
6634	763	Sisma X SLV	117	0	0	0	6.6E2	1	6635	763	Sisma Y SLV	0	117	0	0	6.6E2	1
6636	763	Eccentricità Y per sisma X SLV	0	0	0	-2.9E3	6.6E2	1	6637	763	Eccentricità X per sisma Y SLV	0	0	0	24332	6.6E2	1
6638	763	Sisma X SLD	49.9	0	0	0	6.6E2	1	6639	763	Sisma Y SLD	0	46.1	0	0	6.6E2	1
6640	763	Eccentricità Y per sisma X SLD	0	0	0	-1245	6.6E2	1	6641	763	Eccentricità X per sisma Y SLD	0	0	0	9.6E3	6.6E2	1
6642	764	Sisma X SLV	117	0	0	0	6.6E2	1	6643	764	Sisma Y SLV	0	117	0	0	6.6E2	1
6644	764	Eccentricità Y per sisma X SLV	0	0	0	-2.9E3	6.6E2	1	6645	764	Eccentricità X per sisma Y SLV	0	0	0	24332	6.6E2	1
6646	764	Sisma X SLD	49.9	0	0	0	6.6E2	1	6647	764	Sisma Y SLD	0	46.1	0	0	6.6E2	1
6648	764	Eccentricità Y per sisma X SLD	0	0	0	-1245	6.6E2	1	6649	764	Eccentricità X per sisma Y SLD	0	0	0	9.6E3	6.6E2	1
6650	765	Sisma X SLV	117	0	0	0	6.6E2	1	6651	765	Sisma Y SLV	0	117	0	0	6.6E2	1
6652	765	Eccentricità Y per sisma X SLV	0	0	0	-2.9E3	6.6E2	1	6653	765	Eccentricità X per sisma Y SLV	0	0	0	24332	6.6E2	1
6654	765	Sisma X SLD	49.9	0	0	0	6.6E2	1	6655	765	Sisma Y SLD	0	46.1	0	0	6.6E2	1

Indice	Nodo	Condizione	Fx	Fy	Fz	Mz	Peso	γ	Indice	Nodo	Condizione	Fx	Fy	Fz	Mz	Peso	γ
6656	765	Eccentricità Y per sisma X SLD	0	0	0	-1245	6.6E2	1	6657	765	Eccentricità X per sisma Y SLD	0	0	0	9.6E3	6.6E2	1
6658	766	Sisma X SLV	117	0	0	0	6.6E2	1	6659	766	Sisma Y SLV	0	117	0	0	6.6E2	1
6660	766	Eccentricità Y per sisma X SLV	0	0	0	-2.9E3	6.6E2	1	6661	766	Eccentricità X per sisma Y SLV	0	0	0	24332	6.6E2	1
6662	766	Sisma X SLD	49.9	0	0	0	6.6E2	1	6663	766	Sisma Y SLD	0	46.1	0	0	6.6E2	1
6664	766	Eccentricità Y per sisma X SLD	0	0	0	-1245	6.6E2	1	6665	766	Eccentricità X per sisma Y SLD	0	0	0	9.6E3	6.6E2	1
6666	767	Sisma X SLV	117	0	0	0	6.6E2	1	6667	767	Sisma Y SLV	0	117	0	0	6.6E2	1
6668	767	Eccentricità Y per sisma X SLV	0	0	0	-2.9E3	6.6E2	1	6669	767	Eccentricità X per sisma Y SLV	0	0	0	24332	6.6E2	1
6670	767	Sisma X SLD	49.9	0	0	0	6.6E2	1	6671	767	Sisma Y SLD	0	46.1	0	0	6.6E2	1
6672	767	Eccentricità Y per sisma X SLD	0	0	0	-1245	6.6E2	1	6673	767	Eccentricità X per sisma Y SLD	0	0	0	9.6E3	6.6E2	1
6674	768	Sisma X SLV	117	0	0	0	6.6E2	1	6675	768	Sisma Y SLV	0	117	0	0	6.6E2	1
6676	768	Eccentricità Y per sisma X SLV	0	0	0	-2.9E3	6.6E2	1	6677	768	Eccentricità X per sisma Y SLV	0	0	0	24332	6.6E2	1
6678	768	Sisma X SLD	49.9	0	0	0	6.6E2	1	6679	768	Sisma Y SLD	0	46.1	0	0	6.6E2	1
6680	768	Eccentricità Y per sisma X SLD	0	0	0	-1245	6.6E2	1	6681	768	Eccentricità X per sisma Y SLD	0	0	0	9.6E3	6.6E2	1
6682	769	Sisma X SLV	117	0	0	0	6.6E2	1	6683	769	Sisma Y SLV	0	117	0	0	6.6E2	1
6684	769	Eccentricità Y per sisma X SLV	0	0	0	-2.9E3	6.6E2	1	6685	769	Eccentricità X per sisma Y SLV	0	0	0	24332	6.6E2	1
6686	769	Sisma X SLD	49.9	0	0	0	6.6E2	1	6687	769	Sisma Y SLD	0	46.1	0	0	6.6E2	1
6688	769	Eccentricità Y per sisma X SLD	0	0	0	-1245	6.6E2	1	6689	769	Eccentricità X per sisma Y SLD	0	0	0	9.6E3	6.6E2	1
6690	770	Sisma X SLV	117	0	0	0	6.6E2	1	6691	770	Sisma Y SLV	0	117	0	0	6.6E2	1
6692	770	Eccentricità Y per sisma X SLV	0	0	0	-2.9E3	6.6E2	1	6693	770	Eccentricità X per sisma Y SLV	0	0	0	24332	6.6E2	1
6694	770	Sisma X SLD	49.9	0	0	0	6.6E2	1	6695	770	Sisma Y SLD	0	46.1	0	0	6.6E2	1
6696	770	Eccentricità Y per sisma X SLD	0	0	0	-1245	6.6E2	1	6697	770	Eccentricità X per sisma Y SLD	0	0	0	9.6E3	6.6E2	1
6698	771	Sisma X SLV	117	0	0	0	6.6E2	1	6699	771	Sisma Y SLV	0	117	0	0	6.6E2	1
6700	771	Eccentricità Y per sisma X SLV	0	0	0	-2.9E3	6.6E2	1	6701	771	Eccentricità X per sisma Y SLV	0	0	0	24332	6.6E2	1
6702	771	Sisma X SLD	49.9	0	0	0	6.6E2	1	6703	771	Sisma Y SLD	0	46.1	0	0	6.6E2	1
6704	771	Eccentricità Y per sisma X SLD	0	0	0	-1245	6.6E2	1	6705	771	Eccentricità X per sisma Y SLD	0	0	0	9.6E3	6.6E2	1
6706	772	Sisma X SLV	117	0	0	0	6.6E2	1	6707	772	Sisma Y SLV	0	117	0	0	6.6E2	1
6708	772	Eccentricità Y per sisma X SLV	0	0	0	-2.9E3	6.6E2	1	6709	772	Eccentricità X per sisma Y SLV	0	0	0	24332	6.6E2	1
6710	772	Sisma X SLD	49.9	0	0	0	6.6E2	1	6711	772	Sisma Y SLD	0	46.1	0	0	6.6E2	1
6712	772	Eccentricità Y per sisma X SLD	0	0	0	-1245	6.6E2	1	6713	772	Eccentricità X per sisma Y SLD	0	0	0	9.6E3	6.6E2	1
6714	773	Sisma X SLV	117	0	0	0	6.6E2	1	6715	773	Sisma Y SLV	0	117	0	0	6.6E2	1
6716	773	Eccentricità Y per sisma X SLV	0	0	0	-2.9E3	6.6E2	1	6717	773	Eccentricità X per sisma Y SLV	0	0	0	24332	6.6E2	1
6718	773	Sisma X SLD	49.9	0	0	0	6.6E2	1	6719	773	Sisma Y SLD	0	46.1	0	0	6.6E2	1
6720	773	Eccentricità Y per sisma X SLD	0	0	0	-1245	6.6E2	1	6721	773	Eccentricità X per sisma Y SLD	0	0	0	9.6E3	6.6E2	1
6722	774	Sisma X SLV	354.9	0	0	0	2.0E3	1	6723	774	Sisma Y SLV	0	354.9	0	0	2.0E3	1
6724	774	Eccentricità Y per sisma X SLV	0	0	0	-8.9E3	2.0E3	1	6725	774	Eccentricità X per sisma Y SLV	0	0	0	73819	2.0E3	1
6726	774	Sisma X SLD	151.3	0	0	0	2.0E3	1	6727	774	Sisma Y SLD	0	140	0	0	2.0E3	1
6728	774	Eccentricità Y per sisma X SLD	0	0	0	-3.8E3	2.0E3	1	6729	774	Eccentricità X per sisma Y SLD	0	0	0	2.9E4	2.0E3	1
6730	775	Sisma X SLV	117	0	0	0	6.6E2	1	6731	775	Sisma Y SLV	0	117	0	0	6.6E2	1
6732	775	Eccentricità Y per sisma X SLV	0	0	0	-2.9E3	6.6E2	1	6733	775	Eccentricità X per sisma Y SLV	0	0	0	24332	6.6E2	1
6734	775	Sisma X SLD	49.9	0	0	0	6.6E2	1	6735	775	Sisma Y SLD	0	46.1	0	0	6.6E2	1
6736	775	Eccentricità Y per sisma X SLD	0	0	0	-1245	6.6E2	1	6737	775	Eccentricità X per sisma Y SLD	0	0	0	9.6E3	6.6E2	1
6738	776	Sisma X SLV	117	0	0	0	6.6E2	1	6739	776	Sisma Y SLV	0	117	0	0	6.6E2	1
6740	776	Eccentricità Y per sisma X SLV	0	0	0	-2.9E3	6.6E2	1	6741	776	Eccentricità X per sisma Y SLV	0	0	0	24332	6.6E2	1
6742	776	Sisma X SLD	49.9	0	0	0	6.6E2	1	6743	776	Sisma Y SLD	0	46.1	0	0	6.6E2	1
6744	776	Eccentricità Y per sisma X SLD	0	0	0	-1245	6.6E2	1	6745	776	Eccentricità X per sisma Y SLD	0	0	0	9.6E3	6.6E2	1
6746	777	Sisma X SLV	117	0	0	0	6.6E2	1	6747	777	Sisma Y SLV	0	117	0	0	6.6E2	1

Indice	Nodo	Condizione	Fx	Fy	Fz	Mz	Peso	γ	Indice	Nodo	Condizione	Fx	Fy	Fz	Mz	Peso	γ
6748	777	Eccentricità Y per sisma X SLV	0	0	0	-2.9E3	6.6E2	1	6749	777	Eccentricità X per sisma Y SLV	0	0	0	24332	6.6E2	1
6750	777	Sisma X SLD	49.9	0	0	0	6.6E2	1	6751	777	Sisma Y SLD	0	46.1	0	0	6.6E2	1
6752	777	Eccentricità Y per sisma X SLD	0	0	0	-1245	6.6E2	1	6753	777	Eccentricità X per sisma Y SLD	0	0	0	9.6E3	6.6E2	1
6754	778	Sisma X SLV	117	0	0	0	6.6E2	1	6755	778	Sisma Y SLV	0	117	0	0	6.6E2	1
6756	778	Eccentricità Y per sisma X SLV	0	0	0	-2.9E3	6.6E2	1	6757	778	Eccentricità X per sisma Y SLV	0	0	0	24332	6.6E2	1
6758	778	Sisma X SLD	49.9	0	0	0	6.6E2	1	6759	778	Sisma Y SLD	0	46.1	0	0	6.6E2	1
6760	778	Eccentricità Y per sisma X SLD	0	0	0	-1245	6.6E2	1	6761	778	Eccentricità X per sisma Y SLD	0	0	0	9.6E3	6.6E2	1
6762	779	Sisma X SLV	117	0	0	0	6.6E2	1	6763	779	Sisma Y SLV	0	117	0	0	6.6E2	1
6764	779	Eccentricità Y per sisma X SLV	0	0	0	-2.9E3	6.6E2	1	6765	779	Eccentricità X per sisma Y SLV	0	0	0	24332	6.6E2	1
6766	779	Sisma X SLD	49.9	0	0	0	6.6E2	1	6767	779	Sisma Y SLD	0	46.1	0	0	6.6E2	1
6768	779	Eccentricità Y per sisma X SLD	0	0	0	-1245	6.6E2	1	6769	779	Eccentricità X per sisma Y SLD	0	0	0	9.6E3	6.6E2	1
6770	780	Sisma X SLV	117	0	0	0	6.6E2	1	6771	780	Sisma Y SLV	0	117	0	0	6.6E2	1
6772	780	Eccentricità Y per sisma X SLV	0	0	0	-2.9E3	6.6E2	1	6773	780	Eccentricità X per sisma Y SLV	0	0	0	24332	6.6E2	1
6774	780	Sisma X SLD	49.9	0	0	0	6.6E2	1	6775	780	Sisma Y SLD	0	46.1	0	0	6.6E2	1
6776	780	Eccentricità Y per sisma X SLD	0	0	0	-1245	6.6E2	1	6777	780	Eccentricità X per sisma Y SLD	0	0	0	9.6E3	6.6E2	1
6778	781	Sisma X SLV	117	0	0	0	6.6E2	1	6779	781	Sisma Y SLV	0	117	0	0	6.6E2	1
6780	781	Eccentricità Y per sisma X SLV	0	0	0	-2.9E3	6.6E2	1	6781	781	Eccentricità X per sisma Y SLV	0	0	0	24332	6.6E2	1
6782	781	Sisma X SLD	49.9	0	0	0	6.6E2	1	6783	781	Sisma Y SLD	0	46.1	0	0	6.6E2	1
6784	781	Eccentricità Y per sisma X SLD	0	0	0	-1245	6.6E2	1	6785	781	Eccentricità X per sisma Y SLD	0	0	0	9.6E3	6.6E2	1
6786	782	Sisma X SLV	117	0	0	0	6.6E2	1	6787	782	Sisma Y SLV	0	117	0	0	6.6E2	1
6788	782	Eccentricità Y per sisma X SLV	0	0	0	-2.9E3	6.6E2	1	6789	782	Eccentricità X per sisma Y SLV	0	0	0	24332	6.6E2	1
6790	782	Sisma X SLD	49.9	0	0	0	6.6E2	1	6791	782	Sisma Y SLD	0	46.1	0	0	6.6E2	1
6792	782	Eccentricità Y per sisma X SLD	0	0	0	-1245	6.6E2	1	6793	782	Eccentricità X per sisma Y SLD	0	0	0	9.6E3	6.6E2	1
6794	783	Sisma X SLV	117	0	0	0	6.6E2	1	6795	783	Sisma Y SLV	0	117	0	0	6.6E2	1
6796	783	Eccentricità Y per sisma X SLV	0	0	0	-2.9E3	6.6E2	1	6797	783	Eccentricità X per sisma Y SLV	0	0	0	24332	6.6E2	1
6798	783	Sisma X SLD	49.9	0	0	0	6.6E2	1	6799	783	Sisma Y SLD	0	46.1	0	0	6.6E2	1
6800	783	Eccentricità Y per sisma X SLD	0	0	0	-1245	6.6E2	1	6801	783	Eccentricità X per sisma Y SLD	0	0	0	9.6E3	6.6E2	1
6802	784	Sisma X SLV	117	0	0	0	6.6E2	1	6803	784	Sisma Y SLV	0	117	0	0	6.6E2	1
6804	784	Eccentricità Y per sisma X SLV	0	0	0	-2.9E3	6.6E2	1	6805	784	Eccentricità X per sisma Y SLV	0	0	0	24332	6.6E2	1
6806	784	Sisma X SLD	49.9	0	0	0	6.6E2	1	6807	784	Sisma Y SLD	0	46.1	0	0	6.6E2	1
6808	784	Eccentricità Y per sisma X SLD	0	0	0	-1245	6.6E2	1	6809	784	Eccentricità X per sisma Y SLD	0	0	0	9.6E3	6.6E2	1
6810	785	Sisma X SLV	117	0	0	0	6.6E2	1	6811	785	Sisma Y SLV	0	117	0	0	6.6E2	1
6812	785	Eccentricità Y per sisma X SLV	0	0	0	-2.9E3	6.6E2	1	6813	785	Eccentricità X per sisma Y SLV	0	0	0	24332	6.6E2	1
6814	785	Sisma X SLD	49.9	0	0	0	6.6E2	1	6815	785	Sisma Y SLD	0	46.1	0	0	6.6E2	1
6816	785	Eccentricità Y per sisma X SLD	0	0	0	-1245	6.6E2	1	6817	785	Eccentricità X per sisma Y SLD	0	0	0	9.6E3	6.6E2	1
6818	786	Sisma X SLV	354.9	0	0	0	2.0E3	1	6819	786	Sisma Y SLV	0	354.9	0	0	2.0E3	1
6820	786	Eccentricità Y per sisma X SLV	0	0	0	-8.9E3	2.0E3	1	6821	786	Eccentricità X per sisma Y SLV	0	0	0	73819	2.0E3	1
6822	786	Sisma X SLD	151.3	0	0	0	2.0E3	1	6823	786	Sisma Y SLD	0	140	0	0	2.0E3	1
6824	786	Eccentricità Y per sisma X SLD	0	0	0	-3.8E3	2.0E3	1	6825	786	Eccentricità X per sisma Y SLD	0	0	0	2.9E4	2.0E3	1
6826	787	Sisma X SLV	117	0	0	0	6.6E2	1	6827	787	Sisma Y SLV	0	117	0	0	6.6E2	1
6828	787	Eccentricità Y per sisma X SLV	0	0	0	-2.9E3	6.6E2	1	6829	787	Eccentricità X per sisma Y SLV	0	0	0	24332	6.6E2	1
6830	787	Sisma X SLD	49.9	0	0	0	6.6E2	1	6831	787	Sisma Y SLD	0	46.1	0	0	6.6E2	1
6832	787	Eccentricità Y per sisma X SLD	0	0	0	-1245	6.6E2	1	6833	787	Eccentricità X per sisma Y SLD	0	0	0	9.6E3	6.6E2	1
6834	788	Sisma X SLV	117	0	0	0	6.6E2	1	6835	788	Sisma Y SLV	0	117	0	0	6.6E2	1
6836	788	Eccentricità Y per sisma X SLV	0	0	0	-2.9E3	6.6E2	1	6837	788	Eccentricità X per sisma Y SLV	0	0	0	24332	6.6E2	1
6838	788	Sisma X SLD	49.9	0	0	0	6.6E2	1	6839	788	Sisma Y SLD	0	46.1	0	0	6.6E2	1

Indice	Nodo	Condizione	Fx	Fy	Fz	Mz	Peso	γ	Indice	Nodo	Condizione	Fx	Fy	Fz	Mz	Peso	γ
6840	788	Eccentricità Y per sisma X SLD	0	0	0	-1245	6.6E2	1	6841	788	Eccentricità X per sisma Y SLD	0	0	0	9.6E3	6.6E2	1
6842	789	Sisma X SLV	117	0	0	0	6.6E2	1	6843	789	Sisma Y SLV	0	117	0	0	6.6E2	1
6844	789	Eccentricità Y per sisma X SLV	0	0	0	-2.9E3	6.6E2	1	6845	789	Eccentricità X per sisma Y SLV	0	0	0	24332	6.6E2	1
6846	789	Sisma X SLD	49.9	0	0	0	6.6E2	1	6847	789	Sisma Y SLD	0	46.1	0	0	6.6E2	1
6848	789	Eccentricità Y per sisma X SLD	0	0	0	-1245	6.6E2	1	6849	789	Eccentricità X per sisma Y SLD	0	0	0	9.6E3	6.6E2	1
6850	790	Sisma X SLV	117	0	0	0	6.6E2	1	6851	790	Sisma Y SLV	0	117	0	0	6.6E2	1
6852	790	Eccentricità Y per sisma X SLV	0	0	0	-2.9E3	6.6E2	1	6853	790	Eccentricità X per sisma Y SLV	0	0	0	24332	6.6E2	1
6854	790	Sisma X SLD	49.9	0	0	0	6.6E2	1	6855	790	Sisma Y SLD	0	46.1	0	0	6.6E2	1
6856	790	Eccentricità Y per sisma X SLD	0	0	0	-1245	6.6E2	1	6857	790	Eccentricità X per sisma Y SLD	0	0	0	9.6E3	6.6E2	1
6858	791	Sisma X SLV	117	0	0	0	6.6E2	1	6859	791	Sisma Y SLV	0	117	0	0	6.6E2	1
6860	791	Eccentricità Y per sisma X SLV	0	0	0	-2.9E3	6.6E2	1	6861	791	Eccentricità X per sisma Y SLV	0	0	0	24332	6.6E2	1
6862	791	Sisma X SLD	49.9	0	0	0	6.6E2	1	6863	791	Sisma Y SLD	0	46.1	0	0	6.6E2	1
6864	791	Eccentricità Y per sisma X SLD	0	0	0	-1245	6.6E2	1	6865	791	Eccentricità X per sisma Y SLD	0	0	0	9.6E3	6.6E2	1
6866	792	Sisma X SLV	117	0	0	0	6.6E2	1	6867	792	Sisma Y SLV	0	117	0	0	6.6E2	1
6868	792	Eccentricità Y per sisma X SLV	0	0	0	-2.9E3	6.6E2	1	6869	792	Eccentricità X per sisma Y SLV	0	0	0	24332	6.6E2	1
6870	792	Sisma X SLD	49.9	0	0	0	6.6E2	1	6871	792	Sisma Y SLD	0	46.1	0	0	6.6E2	1
6872	792	Eccentricità Y per sisma X SLD	0	0	0	-1245	6.6E2	1	6873	792	Eccentricità X per sisma Y SLD	0	0	0	9.6E3	6.6E2	1
6874	793	Sisma X SLV	117	0	0	0	6.6E2	1	6875	793	Sisma Y SLV	0	117	0	0	6.6E2	1
6876	793	Eccentricità Y per sisma X SLV	0	0	0	-2.9E3	6.6E2	1	6877	793	Eccentricità X per sisma Y SLV	0	0	0	24332	6.6E2	1
6878	793	Sisma X SLD	49.9	0	0	0	6.6E2	1	6879	793	Sisma Y SLD	0	46.1	0	0	6.6E2	1
6880	793	Eccentricità Y per sisma X SLD	0	0	0	-1245	6.6E2	1	6881	793	Eccentricità X per sisma Y SLD	0	0	0	9.6E3	6.6E2	1
6882	794	Sisma X SLV	117	0	0	0	6.6E2	1	6883	794	Sisma Y SLV	0	117	0	0	6.6E2	1
6884	794	Eccentricità Y per sisma X SLV	0	0	0	-2.9E3	6.6E2	1	6885	794	Eccentricità X per sisma Y SLV	0	0	0	24332	6.6E2	1
6886	794	Sisma X SLD	49.9	0	0	0	6.6E2	1	6887	794	Sisma Y SLD	0	46.1	0	0	6.6E2	1
6888	794	Eccentricità Y per sisma X SLD	0	0	0	-1245	6.6E2	1	6889	794	Eccentricità X per sisma Y SLD	0	0	0	9.6E3	6.6E2	1
6890	795	Sisma X SLV	117	0	0	0	6.6E2	1	6891	795	Sisma Y SLV	0	117	0	0	6.6E2	1
6892	795	Eccentricità Y per sisma X SLV	0	0	0	-2.9E3	6.6E2	1	6893	795	Eccentricità X per sisma Y SLV	0	0	0	24332	6.6E2	1
6894	795	Sisma X SLD	49.9	0	0	0	6.6E2	1	6895	795	Sisma Y SLD	0	46.1	0	0	6.6E2	1
6896	795	Eccentricità Y per sisma X SLD	0	0	0	-1245	6.6E2	1	6897	795	Eccentricità X per sisma Y SLD	0	0	0	9.6E3	6.6E2	1
6898	796	Sisma X SLV	117	0	0	0	6.6E2	1	6899	796	Sisma Y SLV	0	117	0	0	6.6E2	1
6900	796	Eccentricità Y per sisma X SLV	0	0	0	-2.9E3	6.6E2	1	6901	796	Eccentricità X per sisma Y SLV	0	0	0	24332	6.6E2	1
6902	796	Sisma X SLD	49.9	0	0	0	6.6E2	1	6903	796	Sisma Y SLD	0	46.1	0	0	6.6E2	1
6904	796	Eccentricità Y per sisma X SLD	0	0	0	-1245	6.6E2	1	6905	796	Eccentricità X per sisma Y SLD	0	0	0	9.6E3	6.6E2	1
6906	797	Sisma X SLV	117	0	0	0	6.6E2	1	6907	797	Sisma Y SLV	0	117	0	0	6.6E2	1
6908	797	Eccentricità Y per sisma X SLV	0	0	0	-2.9E3	6.6E2	1	6909	797	Eccentricità X per sisma Y SLV	0	0	0	24332	6.6E2	1
6910	797	Sisma X SLD	49.9	0	0	0	6.6E2	1	6911	797	Sisma Y SLD	0	46.1	0	0	6.6E2	1
6912	797	Eccentricità Y per sisma X SLD	0	0	0	-1245	6.6E2	1	6913	797	Eccentricità X per sisma Y SLD	0	0	0	9.6E3	6.6E2	1
6914	798	Sisma X SLV	354.9	0	0	0	2.0E3	1	6915	798	Sisma Y SLV	0	354.9	0	0	2.0E3	1
6916	798	Eccentricità Y per sisma X SLV	0	0	0	-8.9E3	2.0E3	1	6917	798	Eccentricità X per sisma Y SLV	0	0	0	73819	2.0E3	1
6918	798	Sisma X SLD	151.3	0	0	0	2.0E3	1	6919	798	Sisma Y SLD	0	140	0	0	2.0E3	1
6920	798	Eccentricità Y per sisma X SLD	0	0	0	-3.8E3	2.0E3	1	6921	798	Eccentricità X per sisma Y SLD	0	0	0	2.9E4	2.0E3	1
6922	799	Sisma X SLV	117	0	0	0	6.6E2	1	6923	799	Sisma Y SLV	0	117	0	0	6.6E2	1
6924	799	Eccentricità Y per sisma X SLV	0	0	0	-2.9E3	6.6E2	1	6925	799	Eccentricità X per sisma Y SLV	0	0	0	24332	6.6E2	1
6926	799	Sisma X SLD	49.9	0	0	0	6.6E2	1	6927	799	Sisma Y SLD	0	46.1	0	0	6.6E2	1
6928	799	Eccentricità Y per sisma X SLD	0	0	0	-1245	6.6E2	1	6929	799	Eccentricità X per sisma Y SLD	0	0	0	9.6E3	6.6E2	1
6930	800	Sisma X SLV	117	0	0	0	6.6E2	1	6931	800	Sisma Y SLV	0	117	0	0	6.6E2	1

Indice	Nodo	Condizione	Fx	Fy	Fz	Mz	Peso	γ	Indice	Nodo	Condizione	Fx	Fy	Fz	Mz	Peso	γ
6932	800	Eccentricità Y per sisma X SLV	0	0	0	-2.9E3	6.6E2	1	6933	800	Eccentricità X per sisma Y SLV	0	0	0	24332	6.6E2	1
6934	800	Sisma X SLD	49.9	0	0	0	6.6E2	1	6935	800	Sisma Y SLD	0	46.1	0	0	6.6E2	1
6936	800	Eccentricità Y per sisma X SLD	0	0	0	-1245	6.6E2	1	6937	800	Eccentricità X per sisma Y SLD	0	0	0	9.6E3	6.6E2	1
6938	801	Sisma X SLV	117	0	0	0	6.6E2	1	6939	801	Sisma Y SLV	0	117	0	0	6.6E2	1
6940	801	Eccentricità Y per sisma X SLV	0	0	0	-2.9E3	6.6E2	1	6941	801	Eccentricità X per sisma Y SLV	0	0	0	24332	6.6E2	1
6942	801	Sisma X SLD	49.9	0	0	0	6.6E2	1	6943	801	Sisma Y SLD	0	46.1	0	0	6.6E2	1
6944	801	Eccentricità Y per sisma X SLD	0	0	0	-1245	6.6E2	1	6945	801	Eccentricità X per sisma Y SLD	0	0	0	9.6E3	6.6E2	1
6946	802	Sisma X SLV	117	0	0	0	6.6E2	1	6947	802	Sisma Y SLV	0	117	0	0	6.6E2	1
6948	802	Eccentricità Y per sisma X SLV	0	0	0	-2.9E3	6.6E2	1	6949	802	Eccentricità X per sisma Y SLV	0	0	0	24332	6.6E2	1
6950	802	Sisma X SLD	49.9	0	0	0	6.6E2	1	6951	802	Sisma Y SLD	0	46.1	0	0	6.6E2	1
6952	802	Eccentricità Y per sisma X SLD	0	0	0	-1245	6.6E2	1	6953	802	Eccentricità X per sisma Y SLD	0	0	0	9.6E3	6.6E2	1
6954	803	Sisma X SLV	117	0	0	0	6.6E2	1	6955	803	Sisma Y SLV	0	117	0	0	6.6E2	1
6956	803	Eccentricità Y per sisma X SLV	0	0	0	-2.9E3	6.6E2	1	6957	803	Eccentricità X per sisma Y SLV	0	0	0	24332	6.6E2	1
6958	803	Sisma X SLD	49.9	0	0	0	6.6E2	1	6959	803	Sisma Y SLD	0	46.1	0	0	6.6E2	1
6960	803	Eccentricità Y per sisma X SLD	0	0	0	-1245	6.6E2	1	6961	803	Eccentricità X per sisma Y SLD	0	0	0	9.6E3	6.6E2	1
6962	804	Sisma X SLV	117	0	0	0	6.6E2	1	6963	804	Sisma Y SLV	0	117	0	0	6.6E2	1
6964	804	Eccentricità Y per sisma X SLV	0	0	0	-2.9E3	6.6E2	1	6965	804	Eccentricità X per sisma Y SLV	0	0	0	24332	6.6E2	1
6966	804	Sisma X SLD	49.9	0	0	0	6.6E2	1	6967	804	Sisma Y SLD	0	46.1	0	0	6.6E2	1
6968	804	Eccentricità Y per sisma X SLD	0	0	0	-1245	6.6E2	1	6969	804	Eccentricità X per sisma Y SLD	0	0	0	9.6E3	6.6E2	1
6970	805	Sisma X SLV	117	0	0	0	6.6E2	1	6971	805	Sisma Y SLV	0	117	0	0	6.6E2	1
6972	805	Eccentricità Y per sisma X SLV	0	0	0	-2.9E3	6.6E2	1	6973	805	Eccentricità X per sisma Y SLV	0	0	0	24332	6.6E2	1
6974	805	Sisma X SLD	49.9	0	0	0	6.6E2	1	6975	805	Sisma Y SLD	0	46.1	0	0	6.6E2	1
6976	805	Eccentricità Y per sisma X SLD	0	0	0	-1245	6.6E2	1	6977	805	Eccentricità X per sisma Y SLD	0	0	0	9.6E3	6.6E2	1
6978	806	Sisma X SLV	117	0	0	0	6.6E2	1	6979	806	Sisma Y SLV	0	117	0	0	6.6E2	1
6980	806	Eccentricità Y per sisma X SLV	0	0	0	-2.9E3	6.6E2	1	6981	806	Eccentricità X per sisma Y SLV	0	0	0	24332	6.6E2	1
6982	806	Sisma X SLD	49.9	0	0	0	6.6E2	1	6983	806	Sisma Y SLD	0	46.1	0	0	6.6E2	1
6984	806	Eccentricità Y per sisma X SLD	0	0	0	-1245	6.6E2	1	6985	806	Eccentricità X per sisma Y SLD	0	0	0	9.6E3	6.6E2	1
6986	807	Sisma X SLV	117	0	0	0	6.6E2	1	6987	807	Sisma Y SLV	0	117	0	0	6.6E2	1
6988	807	Eccentricità Y per sisma X SLV	0	0	0	-2.9E3	6.6E2	1	6989	807	Eccentricità X per sisma Y SLV	0	0	0	24332	6.6E2	1
6990	807	Sisma X SLD	49.9	0	0	0	6.6E2	1	6991	807	Sisma Y SLD	0	46.1	0	0	6.6E2	1
6992	807	Eccentricità Y per sisma X SLD	0	0	0	-1245	6.6E2	1	6993	807	Eccentricità X per sisma Y SLD	0	0	0	9.6E3	6.6E2	1
6994	808	Sisma X SLV	117	0	0	0	6.6E2	1	6995	808	Sisma Y SLV	0	117	0	0	6.6E2	1
6996	808	Eccentricità Y per sisma X SLV	0	0	0	-2.9E3	6.6E2	1	6997	808	Eccentricità X per sisma Y SLV	0	0	0	24332	6.6E2	1
6998	808	Sisma X SLD	49.9	0	0	0	6.6E2	1	6999	808	Sisma Y SLD	0	46.1	0	0	6.6E2	1
7000	808	Eccentricità Y per sisma X SLD	0	0	0	-1245	6.6E2	1	7001	808	Eccentricità X per sisma Y SLD	0	0	0	9.6E3	6.6E2	1
7002	809	Sisma X SLV	117	0	0	0	6.6E2	1	7003	809	Sisma Y SLV	0	117	0	0	6.6E2	1
7004	809	Eccentricità Y per sisma X SLV	0	0	0	-2.9E3	6.6E2	1	7005	809	Eccentricità X per sisma Y SLV	0	0	0	24332	6.6E2	1
7006	809	Sisma X SLD	49.9	0	0	0	6.6E2	1	7007	809	Sisma Y SLD	0	46.1	0	0	6.6E2	1
7008	809	Eccentricità Y per sisma X SLD	0	0	0	-1245	6.6E2	1	7009	809	Eccentricità X per sisma Y SLD	0	0	0	9.6E3	6.6E2	1
7010	810	Sisma X SLV	354.9	0	0	0	2.0E3	1	7011	810	Sisma Y SLV	0	354.9	0	0	2.0E3	1
7012	810	Eccentricità Y per sisma X SLV	0	0	0	-8.9E3	2.0E3	1	7013	810	Eccentricità X per sisma Y SLV	0	0	0	73819	2.0E3	1
7014	810	Sisma X SLD	151.3	0	0	0	2.0E3	1	7015	810	Sisma Y SLD	0	140	0	0	2.0E3	1
7016	810	Eccentricità Y per sisma X SLD	0	0	0	-3.8E3	2.0E3	1	7017	810	Eccentricità X per sisma Y SLD	0	0	0	2.9E4	2.0E3	1
7018	811	Sisma X SLV	117	0	0	0	6.6E2	1	7019	811	Sisma Y SLV	0	117	0	0	6.6E2	1
7020	811	Eccentricità Y per sisma X SLV	0	0	0	-2.9E3	6.6E2	1	7021	811	Eccentricità X per sisma Y SLV	0	0	0	24332	6.6E2	1
7022	811	Sisma X SLD	49.9	0	0	0	6.6E2	1	7023	811	Sisma Y SLD	0	46.1	0	0	6.6E2	1

Indice	Nodo	Condizione	Fx	Fy	Fz	Mz	Peso	γ	Indice	Nodo	Condizione	Fx	Fy	Fz	Mz	Peso	γ
7024	811	Eccentricità Y per sisma X SLD	0	0	0	-1245	6.6E2	1	7025	811	Eccentricità X per sisma Y SLD	0	0	0	9.6E3	6.6E2	1
7026	812	Sisma X SLV	117	0	0	0	6.6E2	1	7027	812	Sisma Y SLV	0	117	0	0	6.6E2	1
7028	812	Eccentricità Y per sisma X SLV	0	0	0	-2.9E3	6.6E2	1	7029	812	Eccentricità X per sisma Y SLV	0	0	0	24332	6.6E2	1
7030	812	Sisma X SLD	49.9	0	0	0	6.6E2	1	7031	812	Sisma Y SLD	0	46.1	0	0	6.6E2	1
7032	812	Eccentricità Y per sisma X SLD	0	0	0	-1245	6.6E2	1	7033	812	Eccentricità X per sisma Y SLD	0	0	0	9.6E3	6.6E2	1
7034	813	Sisma X SLV	117	0	0	0	6.6E2	1	7035	813	Sisma Y SLV	0	117	0	0	6.6E2	1
7036	813	Eccentricità Y per sisma X SLV	0	0	0	-2.9E3	6.6E2	1	7037	813	Eccentricità X per sisma Y SLV	0	0	0	24332	6.6E2	1
7038	813	Sisma X SLD	49.9	0	0	0	6.6E2	1	7039	813	Sisma Y SLD	0	46.1	0	0	6.6E2	1
7040	813	Eccentricità Y per sisma X SLD	0	0	0	-1245	6.6E2	1	7041	813	Eccentricità X per sisma Y SLD	0	0	0	9.6E3	6.6E2	1
7042	814	Sisma X SLV	117	0	0	0	6.6E2	1	7043	814	Sisma Y SLV	0	117	0	0	6.6E2	1
7044	814	Eccentricità Y per sisma X SLV	0	0	0	-2.9E3	6.6E2	1	7045	814	Eccentricità X per sisma Y SLV	0	0	0	24332	6.6E2	1
7046	814	Sisma X SLD	49.9	0	0	0	6.6E2	1	7047	814	Sisma Y SLD	0	46.1	0	0	6.6E2	1
7048	814	Eccentricità Y per sisma X SLD	0	0	0	-1245	6.6E2	1	7049	814	Eccentricità X per sisma Y SLD	0	0	0	9.6E3	6.6E2	1
7050	815	Sisma X SLV	117	0	0	0	6.6E2	1	7051	815	Sisma Y SLV	0	117	0	0	6.6E2	1
7052	815	Eccentricità Y per sisma X SLV	0	0	0	-2.9E3	6.6E2	1	7053	815	Eccentricità X per sisma Y SLV	0	0	0	24332	6.6E2	1
7054	815	Sisma X SLD	49.9	0	0	0	6.6E2	1	7055	815	Sisma Y SLD	0	46.1	0	0	6.6E2	1
7056	815	Eccentricità Y per sisma X SLD	0	0	0	-1245	6.6E2	1	7057	815	Eccentricità X per sisma Y SLD	0	0	0	9.6E3	6.6E2	1
7058	816	Sisma X SLV	117	0	0	0	6.6E2	1	7059	816	Sisma Y SLV	0	117	0	0	6.6E2	1
7060	816	Eccentricità Y per sisma X SLV	0	0	0	-2.9E3	6.6E2	1	7061	816	Eccentricità X per sisma Y SLV	0	0	0	24332	6.6E2	1
7062	816	Sisma X SLD	49.9	0	0	0	6.6E2	1	7063	816	Sisma Y SLD	0	46.1	0	0	6.6E2	1
7064	816	Eccentricità Y per sisma X SLD	0	0	0	-1245	6.6E2	1	7065	816	Eccentricità X per sisma Y SLD	0	0	0	9.6E3	6.6E2	1
7066	817	Sisma X SLV	117	0	0	0	6.6E2	1	7067	817	Sisma Y SLV	0	117	0	0	6.6E2	1
7068	817	Eccentricità Y per sisma X SLV	0	0	0	-2.9E3	6.6E2	1	7069	817	Eccentricità X per sisma Y SLV	0	0	0	24332	6.6E2	1
7070	817	Sisma X SLD	49.9	0	0	0	6.6E2	1	7071	817	Sisma Y SLD	0	46.1	0	0	6.6E2	1
7072	817	Eccentricità Y per sisma X SLD	0	0	0	-1245	6.6E2	1	7073	817	Eccentricità X per sisma Y SLD	0	0	0	9.6E3	6.6E2	1
7074	818	Sisma X SLV	117	0	0	0	6.6E2	1	7075	818	Sisma Y SLV	0	117	0	0	6.6E2	1
7076	818	Eccentricità Y per sisma X SLV	0	0	0	-2.9E3	6.6E2	1	7077	818	Eccentricità X per sisma Y SLV	0	0	0	24332	6.6E2	1
7078	818	Sisma X SLD	49.9	0	0	0	6.6E2	1	7079	818	Sisma Y SLD	0	46.1	0	0	6.6E2	1
7080	818	Eccentricità Y per sisma X SLD	0	0	0	-1245	6.6E2	1	7081	818	Eccentricità X per sisma Y SLD	0	0	0	9.6E3	6.6E2	1
7082	819	Sisma X SLV	117	0	0	0	6.6E2	1	7083	819	Sisma Y SLV	0	117	0	0	6.6E2	1
7084	819	Eccentricità Y per sisma X SLV	0	0	0	-2.9E3	6.6E2	1	7085	819	Eccentricità X per sisma Y SLV	0	0	0	24332	6.6E2	1
7086	819	Sisma X SLD	49.9	0	0	0	6.6E2	1	7087	819	Sisma Y SLD	0	46.1	0	0	6.6E2	1
7088	819	Eccentricità Y per sisma X SLD	0	0	0	-1245	6.6E2	1	7089	819	Eccentricità X per sisma Y SLD	0	0	0	9.6E3	6.6E2	1
7090	820	Sisma X SLV	117	0	0	0	6.6E2	1	7091	820	Sisma Y SLV	0	117	0	0	6.6E2	1
7092	820	Eccentricità Y per sisma X SLV	0	0	0	-2.9E3	6.6E2	1	7093	820	Eccentricità X per sisma Y SLV	0	0	0	24332	6.6E2	1
7094	820	Sisma X SLD	49.9	0	0	0	6.6E2	1	7095	820	Sisma Y SLD	0	46.1	0	0	6.6E2	1
7096	820	Eccentricità Y per sisma X SLD	0	0	0	-1245	6.6E2	1	7097	820	Eccentricità X per sisma Y SLD	0	0	0	9.6E3	6.6E2	1
7098	821	Sisma X SLV	117	0	0	0	6.6E2	1	7099	821	Sisma Y SLV	0	117	0	0	6.6E2	1
7100	821	Eccentricità Y per sisma X SLV	0	0	0	-2.9E3	6.6E2	1	7101	821	Eccentricità X per sisma Y SLV	0	0	0	24332	6.6E2	1
7102	821	Sisma X SLD	49.9	0	0	0	6.6E2	1	7103	821	Sisma Y SLD	0	46.1	0	0	6.6E2	1
7104	821	Eccentricità Y per sisma X SLD	0	0	0	-1245	6.6E2	1	7105	821	Eccentricità X per sisma Y SLD	0	0	0	9.6E3	6.6E2	1
7106	822	Sisma X SLV	354.9	0	0	0	2.0E3	1	7107	822	Sisma Y SLV	0	354.9	0	0	2.0E3	1
7108	822	Eccentricità Y per sisma X SLV	0	0	0	-8.9E3	2.0E3	1	7109	822	Eccentricità X per sisma Y SLV	0	0	0	73819	2.0E3	1
7110	822	Sisma X SLD	151.3	0	0	0	2.0E3	1	7111	822	Sisma Y SLD	0	140	0	0	2.0E3	1
7112	822	Eccentricità Y per sisma X SLD	0	0	0	-3.8E3	2.0E3	1	7113	822	Eccentricità X per sisma Y SLD	0	0	0	2.9E4	2.0E3	1
7114	823	Sisma X SLV	117	0	0	0	6.6E2	1	7115	823	Sisma Y SLV	0	117	0	0	6.6E2	1

Indice	Nodo	Condizione	Fx	Fy	Fz	Mz	Peso	γ	Indice	Nodo	Condizione	Fx	Fy	Fz	Mz	Peso	γ
7116	823	Eccentricità Y per sisma X SLV	0	0	0	-2.9E3	6.6E2	1	7117	823	Eccentricità X per sisma Y SLV	0	0	0	24332	6.6E2	1
7118	823	Sisma X SLD	49.9	0	0	0	6.6E2	1	7119	823	Sisma Y SLD	0	46.1	0	0	6.6E2	1
7120	823	Eccentricità Y per sisma X SLD	0	0	0	-1245	6.6E2	1	7121	823	Eccentricità X per sisma Y SLD	0	0	0	9.6E3	6.6E2	1
7122	824	Sisma X SLV	117	0	0	0	6.6E2	1	7123	824	Sisma Y SLV	0	117	0	0	6.6E2	1
7124	824	Eccentricità Y per sisma X SLV	0	0	0	-2.9E3	6.6E2	1	7125	824	Eccentricità X per sisma Y SLV	0	0	0	24332	6.6E2	1
7126	824	Sisma X SLD	49.9	0	0	0	6.6E2	1	7127	824	Sisma Y SLD	0	46.1	0	0	6.6E2	1
7128	824	Eccentricità Y per sisma X SLD	0	0	0	-1245	6.6E2	1	7129	824	Eccentricità X per sisma Y SLD	0	0	0	9.6E3	6.6E2	1
7130	825	Sisma X SLV	117	0	0	0	6.6E2	1	7131	825	Sisma Y SLV	0	117	0	0	6.6E2	1
7132	825	Eccentricità Y per sisma X SLV	0	0	0	-2.9E3	6.6E2	1	7133	825	Eccentricità X per sisma Y SLV	0	0	0	24332	6.6E2	1
7134	825	Sisma X SLD	49.9	0	0	0	6.6E2	1	7135	825	Sisma Y SLD	0	46.1	0	0	6.6E2	1
7136	825	Eccentricità Y per sisma X SLD	0	0	0	-1245	6.6E2	1	7137	825	Eccentricità X per sisma Y SLD	0	0	0	9.6E3	6.6E2	1
7138	826	Sisma X SLV	117	0	0	0	6.6E2	1	7139	826	Sisma Y SLV	0	117	0	0	6.6E2	1
7140	826	Eccentricità Y per sisma X SLV	0	0	0	-2.9E3	6.6E2	1	7141	826	Eccentricità X per sisma Y SLV	0	0	0	24332	6.6E2	1
7142	826	Sisma X SLD	49.9	0	0	0	6.6E2	1	7143	826	Sisma Y SLD	0	46.1	0	0	6.6E2	1
7144	826	Eccentricità Y per sisma X SLD	0	0	0	-1245	6.6E2	1	7145	826	Eccentricità X per sisma Y SLD	0	0	0	9.6E3	6.6E2	1
7146	827	Sisma X SLV	117	0	0	0	6.6E2	1	7147	827	Sisma Y SLV	0	117	0	0	6.6E2	1
7148	827	Eccentricità Y per sisma X SLV	0	0	0	-2.9E3	6.6E2	1	7149	827	Eccentricità X per sisma Y SLV	0	0	0	24332	6.6E2	1
7150	827	Sisma X SLD	49.9	0	0	0	6.6E2	1	7151	827	Sisma Y SLD	0	46.1	0	0	6.6E2	1
7152	827	Eccentricità Y per sisma X SLD	0	0	0	-1245	6.6E2	1	7153	827	Eccentricità X per sisma Y SLD	0	0	0	9.6E3	6.6E2	1
7154	828	Sisma X SLV	117	0	0	0	6.6E2	1	7155	828	Sisma Y SLV	0	117	0	0	6.6E2	1
7156	828	Eccentricità Y per sisma X SLV	0	0	0	-2.9E3	6.6E2	1	7157	828	Eccentricità X per sisma Y SLV	0	0	0	24332	6.6E2	1
7158	828	Sisma X SLD	49.9	0	0	0	6.6E2	1	7159	828	Sisma Y SLD	0	46.1	0	0	6.6E2	1
7160	828	Eccentricità Y per sisma X SLD	0	0	0	-1245	6.6E2	1	7161	828	Eccentricità X per sisma Y SLD	0	0	0	9.6E3	6.6E2	1
7162	829	Sisma X SLV	117	0	0	0	6.6E2	1	7163	829	Sisma Y SLV	0	117	0	0	6.6E2	1
7164	829	Eccentricità Y per sisma X SLV	0	0	0	-2.9E3	6.6E2	1	7165	829	Eccentricità X per sisma Y SLV	0	0	0	24332	6.6E2	1
7166	829	Sisma X SLD	49.9	0	0	0	6.6E2	1	7167	829	Sisma Y SLD	0	46.1	0	0	6.6E2	1
7168	829	Eccentricità Y per sisma X SLD	0	0	0	-1245	6.6E2	1	7169	829	Eccentricità X per sisma Y SLD	0	0	0	9.6E3	6.6E2	1
7170	830	Sisma X SLV	117	0	0	0	6.6E2	1	7171	830	Sisma Y SLV	0	117	0	0	6.6E2	1
7172	830	Eccentricità Y per sisma X SLV	0	0	0	-2.9E3	6.6E2	1	7173	830	Eccentricità X per sisma Y SLV	0	0	0	24332	6.6E2	1
7174	830	Sisma X SLD	49.9	0	0	0	6.6E2	1	7175	830	Sisma Y SLD	0	46.1	0	0	6.6E2	1
7176	830	Eccentricità Y per sisma X SLD	0	0	0	-1245	6.6E2	1	7177	830	Eccentricità X per sisma Y SLD	0	0	0	9.6E3	6.6E2	1
7178	831	Sisma X SLV	117	0	0	0	6.6E2	1	7179	831	Sisma Y SLV	0	117	0	0	6.6E2	1
7180	831	Eccentricità Y per sisma X SLV	0	0	0	-2.9E3	6.6E2	1	7181	831	Eccentricità X per sisma Y SLV	0	0	0	24332	6.6E2	1
7182	831	Sisma X SLD	49.9	0	0	0	6.6E2	1	7183	831	Sisma Y SLD	0	46.1	0	0	6.6E2	1
7184	831	Eccentricità Y per sisma X SLD	0	0	0	-1245	6.6E2	1	7185	831	Eccentricità X per sisma Y SLD	0	0	0	9.6E3	6.6E2	1
7186	832	Sisma X SLV	117	0	0	0	6.6E2	1	7187	832	Sisma Y SLV	0	117	0	0	6.6E2	1
7188	832	Eccentricità Y per sisma X SLV	0	0	0	-2.9E3	6.6E2	1	7189	832	Eccentricità X per sisma Y SLV	0	0	0	24332	6.6E2	1
7190	832	Sisma X SLD	49.9	0	0	0	6.6E2	1	7191	832	Sisma Y SLD	0	46.1	0	0	6.6E2	1
7192	832	Eccentricità Y per sisma X SLD	0	0	0	-1245	6.6E2	1	7193	832	Eccentricità X per sisma Y SLD	0	0	0	9.6E3	6.6E2	1
7194	833	Sisma X SLV	116.9	0	0	0	6.6E2	1	7195	833	Sisma Y SLV	0	116.9	0	0	6.6E2	1
7196	833	Eccentricità Y per sisma X SLV	0	0	0	-2.9E3	6.6E2	1	7197	833	Eccentricità X per sisma Y SLV	0	0	0	2.4E4	6.6E2	1
7198	833	Sisma X SLD	49.8	0	0	0	6.6E2	1	7199	833	Sisma Y SLD	0	46.1	0	0	6.6E2	1
7200	833	Eccentricità Y per sisma X SLD	0	0	0	-1.2E3	6.6E2	1	7201	833	Eccentricità X per sisma Y SLD	0	0	0	9.6E3	6.6E2	1
7202	834	Sisma X SLV	95.1	0	0	0	5.3E2	1	7203	834	Sisma Y SLV	0	95.1	0	0	5.3E2	1
7204	834	Eccentricità Y per sisma X SLV	0	0	0	-2374	5.3E2	1	7205	834	Eccentricità X per sisma Y SLV	0	0	0	2.0E4	5.3E2	1
7206	834	Sisma X SLD	40.5	0	0	0	5.3E2	1	7207	834	Sisma Y SLD	0	37.5	0	0	5.3E2	1

Indice	Nodo	Condizione	Fx	Fy	Fz	Mz	Peso	γ
7208	834	Eccentricità Y per sisma X SLD	0	0	0	-1012	5.3E2	1
7210	835	Sisma X SLV	47.5	0	0	0	2.7E2	1
7212	835	Eccentricità Y per sisma X SLV	0	0	0	-1187	2.7E2	1
7214	835	Sisma X SLD	20.3	0	0	0	2.7E2	1
7216	835	Eccentricità Y per sisma X SLD	0	0	0	-506	2.7E2	1
7218	836	Sisma X SLV	32.1	0	0	0	1.8E2	1
7220	836	Eccentricità Y per sisma X SLV	0	0	0	-801	1.8E2	1
7222	836	Sisma X SLD	13.7	0	0	0	1.8E2	1
7224	836	Eccentricità Y per sisma X SLD	0	0	0	-3.4E2	1.8E2	1
7226	837	Sisma X SLV	123.1	0	0	0	6.9E2	1
7228	837	Eccentricità Y per sisma X SLV	0	0	0	-3.1E3	6.9E2	1
7230	837	Sisma X SLD	52.5	0	0	0	6.9E2	1
7232	837	Eccentricità Y per sisma X SLD	0	0	0	-1.3E3	6.9E2	1
7234	838	Sisma X SLV	56.6	0	0	0	3.2E2	1
7236	838	Eccentricità Y per sisma X SLV	0	0	0	-1.4E3	3.2E2	1
7238	838	Sisma X SLD	24.1	0	0	0	3.2E2	1
7240	838	Eccentricità Y per sisma X SLD	0	0	0	-602	3.2E2	1
7242	839	Sisma X SLV	84.4	0	0	0	4.7E2	1
7244	839	Eccentricità Y per sisma X SLV	0	0	0	-2108	4.7E2	1
7246	839	Sisma X SLD	36	0	0	0	4.7E2	1
7248	839	Eccentricità Y per sisma X SLD	0	0	0	-9.0E2	4.7E2	1
7250	840	Sisma X SLV	99.3	0	0	0	5.6E2	1
7252	840	Eccentricità Y per sisma X SLV	0	0	0	-2.5E3	5.6E2	1
7254	840	Sisma X SLD	42.3	0	0	0	5.6E2	1
7256	840	Eccentricità Y per sisma X SLD	0	0	0	-1.1E3	5.6E2	1
7258	841	Sisma X SLV	110.9	0	0	0	6.2E2	1
7260	841	Eccentricità Y per sisma X SLV	0	0	0	-2.8E3	6.2E2	1
7262	841	Sisma X SLD	47.3	0	0	0	6.2E2	1
7264	841	Eccentricità Y per sisma X SLD	0	0	0	-1.2E3	6.2E2	1
7266	842	Sisma X SLV	96.8	0	0	0	5.4E2	1
7268	842	Eccentricità Y per sisma X SLV	0	0	0	-2.4E3	5.4E2	1
7270	842	Sisma X SLD	41.3	0	0	0	5.4E2	1
7272	842	Eccentricità Y per sisma X SLD	0	0	0	-1.0E3	5.4E2	1
7274	843	Sisma X SLV	95.6	0	0	0	5.4E2	1
7276	843	Eccentricità Y per sisma X SLV	0	0	0	-2.4E3	5.4E2	1
7278	843	Sisma X SLD	40.8	0	0	0	5.4E2	1
7280	843	Eccentricità Y per sisma X SLD	0	0	0	-1.0E3	5.4E2	1
7282	844	Sisma X SLV	94.9	0	0	0	5.3E2	1
7284	844	Eccentricità Y per sisma X SLV	0	0	0	-2.4E3	5.3E2	1
7286	844	Sisma X SLD	40.5	0	0	0	5.3E2	1
7288	844	Eccentricità Y per sisma X SLD	0	0	0	-1010	5.3E2	1
7290	845	Sisma X SLV	78.8	0	0	0	4.4E2	1
7292	845	Eccentricità Y per sisma X SLV	0	0	0	-2.0E3	4.4E2	1
7294	845	Sisma X SLD	33.6	0	0	0	4.4E2	1
7296	845	Eccentricità Y per sisma X SLD	0	0	0	-8.4E2	4.4E2	1
7298	846	Sisma X SLV	95.8	0	0	0	5.4E2	1

Indice	Nodo	Condizione	Fx	Fy	Fz	Mz	Peso	γ
7209	834	Eccentricità X per sisma Y SLD	0	0	0	7.8E3	5.3E2	1
7211	835	Sisma Y SLV	0	47.5	0	0	2.7E2	1
7213	835	Eccentricità X per sisma Y SLV	0	0	0	9.9E3	2.7E2	1
7215	835	Sisma Y SLD	0	18.8	0	0	2.7E2	1
7217	835	Eccentricità X per sisma Y SLD	0	0	0	3900	2.7E2	1
7219	836	Sisma Y SLV	0	32.1	0	0	1.8E2	1
7221	836	Eccentricità X per sisma Y SLV	0	0	0	6.7E3	1.8E2	1
7223	836	Sisma Y SLD	0	12.7	0	0	1.8E2	1
7225	836	Eccentricità X per sisma Y SLD	0	0	0	2.6E3	1.8E2	1
7227	837	Sisma Y SLV	0	123.1	0	0	6.9E2	1
7229	837	Eccentricità X per sisma Y SLV	0	0	0	2.6E4	6.9E2	1
7231	837	Sisma Y SLD	0	48.5	0	0	6.9E2	1
7233	837	Eccentricità X per sisma Y SLD	0	0	0	1.0E4	6.9E2	1
7235	838	Sisma Y SLV	0	56.6	0	0	3.2E2	1
7237	838	Eccentricità X per sisma Y SLV	0	0	0	1.2E4	3.2E2	1
7239	838	Sisma Y SLD	0	22.3	0	0	3.2E2	1
7241	838	Eccentricità X per sisma Y SLD	0	0	0	4.6E3	3.2E2	1
7243	839	Sisma Y SLV	0	84.4	0	0	4.7E2	1
7245	839	Eccentricità X per sisma Y SLV	0	0	0	1.8E4	4.7E2	1
7247	839	Sisma Y SLD	0	33.3	0	0	4.7E2	1
7249	839	Eccentricità X per sisma Y SLD	0	0	0	6.9E3	4.7E2	1
7251	840	Sisma Y SLV	0	99.3	0	0	5.6E2	1
7253	840	Eccentricità X per sisma Y SLV	0	0	0	20651	5.6E2	1
7255	840	Sisma Y SLD	0	39.2	0	0	5.6E2	1
7257	840	Eccentricità X per sisma Y SLD	0	0	0	8.1E3	5.6E2	1
7259	841	Sisma Y SLV	0	110.9	0	0	6.2E2	1
7261	841	Eccentricità X per sisma Y SLV	0	0	0	2.3E4	6.2E2	1
7263	841	Sisma Y SLD	0	43.7	0	0	6.2E2	1
7265	841	Eccentricità X per sisma Y SLD	0	0	0	9.1E3	6.2E2	1
7267	842	Sisma Y SLV	0	96.8	0	0	5.4E2	1
7269	842	Eccentricità X per sisma Y SLV	0	0	0	2.0E4	5.4E2	1
7271	842	Sisma Y SLD	0	38.2	0	0	5.4E2	1
7273	842	Eccentricità X per sisma Y SLD	0	0	0	7.9E3	5.4E2	1
7275	843	Sisma Y SLV	0	95.6	0	0	5.4E2	1
7277	843	Eccentricità X per sisma Y SLV	0	0	0	2.0E4	5.4E2	1
7279	843	Sisma Y SLD	0	37.7	0	0	5.4E2	1
7281	843	Eccentricità X per sisma Y SLD	0	0	0	7.8E3	5.4E2	1
7283	844	Sisma Y SLV	0	94.9	0	0	5.3E2	1
7285	844	Eccentricità X per sisma Y SLV	0	0	0	2.0E4	5.3E2	1
7287	844	Sisma Y SLD	0	37.4	0	0	5.3E2	1
7289	844	Eccentricità X per sisma Y SLD	0	0	0	7.8E3	5.3E2	1
7291	845	Sisma Y SLV	0	78.8	0	0	4.4E2	1
7293	845	Eccentricità X per sisma Y SLV	0	0	0	1.6E4	4.4E2	1
7295	845	Sisma Y SLD	0	31.1	0	0	4.4E2	1
7297	845	Eccentricità X per sisma Y SLD	0	0	0	6460	4.4E2	1
7299	846	Sisma Y SLV	0	95.8	0	0	5.4E2	1

Indice	Nodo	Condizione	Fx	Fy	Fz	Mz	Peso	γ
7300	846	Eccentricità Y per sisma X SLV	0	0	0	-2.4E3	5.4E2	1
7302	846	Sisma X SLD	40.9	0	0	0	5.4E2	1
7304	846	Eccentricità Y per sisma X SLD	0	0	0	-1.0E3	5.4E2	1
7306	847	Sisma X SLV	48.4	0	0	0	2.7E2	1
7308	847	Eccentricità Y per sisma X SLV	0	0	0	-1.2E3	2.7E2	1
7310	847	Sisma X SLD	20.6	0	0	0	2.7E2	1
7312	847	Eccentricità Y per sisma X SLD	0	0	0	-5.2E2	2.7E2	1
7314	848	Sisma X SLV	95.3	0	0	0	5.3E2	1
7316	848	Eccentricità Y per sisma X SLV	0	0	0	-2.4E3	5.3E2	1
7318	848	Sisma X SLD	40.6	0	0	0	5.3E2	1
7320	848	Eccentricità Y per sisma X SLD	0	0	0	-1.0E3	5.3E2	1
7322	849	Sisma X SLV	79.2	0	0	0	4.4E2	1
7324	849	Eccentricità Y per sisma X SLV	0	0	0	-2.0E3	4.4E2	1
7326	849	Sisma X SLD	33.8	0	0	0	4.4E2	1
7328	849	Eccentricità Y per sisma X SLD	0	0	0	-8.4E2	4.4E2	1
7330	850	Sisma X SLV	312.7	0	0	0	1.8E3	1
7332	850	Eccentricità Y per sisma X SLV	0	0	0	-7.8E3	1.8E3	1
7334	850	Sisma X SLD	133.3	0	0	0	1.8E3	1
7336	850	Eccentricità Y per sisma X SLD	0	0	0	-3.3E3	1.8E3	1
7338	851	Sisma X SLV	107.5	0	0	0	6.0E2	1
7340	851	Eccentricità Y per sisma X SLV	0	0	0	-2.7E3	6.0E2	1
7342	851	Sisma X SLD	45.8	0	0	0	6.0E2	1
7344	851	Eccentricità Y per sisma X SLD	0	0	0	-1.1E3	6.0E2	1
7346	852	Sisma X SLV	107.5	0	0	0	6.0E2	1
7348	852	Eccentricità Y per sisma X SLV	0	0	0	-2.7E3	6.0E2	1
7350	852	Sisma X SLD	45.8	0	0	0	6.0E2	1
7352	852	Eccentricità Y per sisma X SLD	0	0	0	-1.1E3	6.0E2	1
7354	853	Sisma X SLV	107.5	0	0	0	6.0E2	1
7356	853	Eccentricità Y per sisma X SLV	0	0	0	-2.7E3	6.0E2	1
7358	853	Sisma X SLD	45.8	0	0	0	6.0E2	1
7360	853	Eccentricità Y per sisma X SLD	0	0	0	-1.1E3	6.0E2	1
7362	854	Sisma X SLV	107.5	0	0	0	6.0E2	1
7364	854	Eccentricità Y per sisma X SLV	0	0	0	-2.7E3	6.0E2	1
7366	854	Sisma X SLD	45.8	0	0	0	6.0E2	1
7368	854	Eccentricità Y per sisma X SLD	0	0	0	-1.1E3	6.0E2	1
7370	855	Sisma X SLV	107.5	0	0	0	6.0E2	1
7372	855	Eccentricità Y per sisma X SLV	0	0	0	-2.7E3	6.0E2	1
7374	855	Sisma X SLD	45.8	0	0	0	6.0E2	1
7376	855	Eccentricità Y per sisma X SLD	0	0	0	-1.1E3	6.0E2	1
7378	856	Sisma X SLV	107.5	0	0	0	6.0E2	1
7380	856	Eccentricità Y per sisma X SLV	0	0	0	-2.7E3	6.0E2	1
7382	856	Sisma X SLD	45.8	0	0	0	6.0E2	1
7384	856	Eccentricità Y per sisma X SLD	0	0	0	-1.1E3	6.0E2	1
7386	857	Sisma X SLV	107.5	0	0	0	6.0E2	1
7388	857	Eccentricità Y per sisma X SLV	0	0	0	-2.7E3	6.0E2	1
7390	857	Sisma X SLD	45.8	0	0	0	6.0E2	1

Indice	Nodo	Condizione	Fx	Fy	Fz	Mz	Peso	γ
7301	846	Eccentricità X per sisma Y SLV	0	0	0	2.0E4	5.4E2	1
7303	846	Sisma Y SLD	0	37.8	0	0	5.4E2	1
7305	846	Eccentricità X per sisma Y SLD	0	0	0	7862	5.4E2	1
7307	847	Sisma Y SLV	0	48.4	0	0	2.7E2	1
7309	847	Eccentricità X per sisma Y SLV	0	0	0	1.0E4	2.7E2	1
7311	847	Sisma Y SLD	0	19.1	0	0	2.7E2	1
7313	847	Eccentricità X per sisma Y SLD	0	0	0	4.0E3	2.7E2	1
7315	848	Sisma Y SLV	0	95.3	0	0	5.3E2	1
7317	848	Eccentricità X per sisma Y SLV	0	0	0	2.0E4	5.3E2	1
7319	848	Sisma Y SLD	0	37.6	0	0	5.3E2	1
7321	848	Eccentricità X per sisma Y SLD	0	0	0	7.8E3	5.3E2	1
7323	849	Sisma Y SLV	0	79.2	0	0	4.4E2	1
7325	849	Eccentricità X per sisma Y SLV	0	0	0	1.6E4	4.4E2	1
7327	849	Sisma Y SLD	0	31.2	0	0	4.4E2	1
7329	849	Eccentricità X per sisma Y SLD	0	0	0	6496	4.4E2	1
7331	850	Sisma Y SLV	0	312.7	0	0	1.8E3	1
7333	850	Eccentricità X per sisma Y SLV	0	0	0	6.5E4	1.8E3	1
7335	850	Sisma Y SLD	0	123.3	0	0	1.8E3	1
7337	850	Eccentricità X per sisma Y SLD	0	0	0	25649	1.8E3	1
7339	851	Sisma Y SLV	0	107.5	0	0	6.0E2	1
7341	851	Eccentricità X per sisma Y SLV	0	0	0	22356	6.0E2	1
7343	851	Sisma Y SLD	0	42.4	0	0	6.0E2	1
7345	851	Eccentricità X per sisma Y SLD	0	0	0	8.8E3	6.0E2	1
7347	852	Sisma Y SLV	0	107.5	0	0	6.0E2	1
7349	852	Eccentricità X per sisma Y SLV	0	0	0	22356	6.0E2	1
7351	852	Sisma Y SLD	0	42.4	0	0	6.0E2	1
7353	852	Eccentricità X per sisma Y SLD	0	0	0	8.8E3	6.0E2	1
7355	853	Sisma Y SLV	0	107.5	0	0	6.0E2	1
7357	853	Eccentricità X per sisma Y SLV	0	0	0	22356	6.0E2	1
7359	853	Sisma Y SLD	0	42.4	0	0	6.0E2	1
7361	853	Eccentricità X per sisma Y SLD	0	0	0	8.8E3	6.0E2	1
7363	854	Sisma Y SLV	0	107.5	0	0	6.0E2	1
7365	854	Eccentricità X per sisma Y SLV	0	0	0	22356	6.0E2	1
7367	854	Sisma Y SLD	0	42.4	0	0	6.0E2	1
7369	854	Eccentricità X per sisma Y SLD	0	0	0	8.8E3	6.0E2	1
7371	855	Sisma Y SLV	0	107.5	0	0	6.0E2	1
7373	855	Eccentricità X per sisma Y SLV	0	0	0	22356	6.0E2	1
7375	855	Sisma Y SLD	0	42.4	0	0	6.0E2	1
7377	855	Eccentricità X per sisma Y SLD	0	0	0	8.8E3	6.0E2	1
7379	856	Sisma Y SLV	0	107.5	0	0	6.0E2	1
7381	856	Eccentricità X per sisma Y SLV	0	0	0	22356	6.0E2	1
7383	856	Sisma Y SLD	0	42.4	0	0	6.0E2	1
7385	856	Eccentricità X per sisma Y SLD	0	0	0	8.8E3	6.0E2	1
7387	857	Sisma Y SLV	0	107.5	0	0	6.0E2	1
7389	857	Eccentricità X per sisma Y SLV	0	0	0	22356	6.0E2	1
7391	857	Sisma Y SLD	0	42.4	0	0	6.0E2	1

Indice	Nodo	Condizione	Fx	Fy	Fz	Mz	Peso	γ	Indice	Nodo	Condizione	Fx	Fy	Fz	Mz	Peso	γ
7392	857	Eccentricità Y per sisma X SLD	0	0	0	-1.1E3	6.0E2	1	7393	857	Eccentricità X per sisma Y SLD	0	0	0	8.8E3	6.0E2	1
7394	858	Sisma X SLV	107.5	0	0	0	6.0E2	1	7395	858	Sisma Y SLV	0	107.5	0	0	6.0E2	1
7396	858	Eccentricità Y per sisma X SLV	0	0	0	-2.7E3	6.0E2	1	7397	858	Eccentricità X per sisma Y SLV	0	0	0	22356	6.0E2	1
7398	858	Sisma X SLD	45.8	0	0	0	6.0E2	1	7399	858	Sisma Y SLD	0	42.4	0	0	6.0E2	1
7400	858	Eccentricità Y per sisma X SLD	0	0	0	-1.1E3	6.0E2	1	7401	858	Eccentricità X per sisma Y SLD	0	0	0	8.8E3	6.0E2	1
7402	859	Sisma X SLV	107.5	0	0	0	6.0E2	1	7403	859	Sisma Y SLV	0	107.5	0	0	6.0E2	1
7404	859	Eccentricità Y per sisma X SLV	0	0	0	-2.7E3	6.0E2	1	7405	859	Eccentricità X per sisma Y SLV	0	0	0	22356	6.0E2	1
7406	859	Sisma X SLD	45.8	0	0	0	6.0E2	1	7407	859	Sisma Y SLD	0	42.4	0	0	6.0E2	1
7408	859	Eccentricità Y per sisma X SLD	0	0	0	-1.1E3	6.0E2	1	7409	859	Eccentricità X per sisma Y SLD	0	0	0	8.8E3	6.0E2	1
7410	860	Sisma X SLV	107.5	0	0	0	6.0E2	1	7411	860	Sisma Y SLV	0	107.5	0	0	6.0E2	1
7412	860	Eccentricità Y per sisma X SLV	0	0	0	-2.7E3	6.0E2	1	7413	860	Eccentricità X per sisma Y SLV	0	0	0	22356	6.0E2	1
7414	860	Sisma X SLD	45.8	0	0	0	6.0E2	1	7415	860	Sisma Y SLD	0	42.4	0	0	6.0E2	1
7416	860	Eccentricità Y per sisma X SLD	0	0	0	-1.1E3	6.0E2	1	7417	860	Eccentricità X per sisma Y SLD	0	0	0	8.8E3	6.0E2	1
7418	861	Sisma X SLV	107.5	0	0	0	6.0E2	1	7419	861	Sisma Y SLV	0	107.5	0	0	6.0E2	1
7420	861	Eccentricità Y per sisma X SLV	0	0	0	-2.7E3	6.0E2	1	7421	861	Eccentricità X per sisma Y SLV	0	0	0	22356	6.0E2	1
7422	861	Sisma X SLD	45.8	0	0	0	6.0E2	1	7423	861	Sisma Y SLD	0	42.4	0	0	6.0E2	1
7424	861	Eccentricità Y per sisma X SLD	0	0	0	-1.1E3	6.0E2	1	7425	861	Eccentricità X per sisma Y SLD	0	0	0	8.8E3	6.0E2	1
7426	862	Sisma X SLV	326.1	0	0	0	1.8E3	1	7427	862	Sisma Y SLV	0	326.1	0	0	1.8E3	1
7428	862	Eccentricità Y per sisma X SLV	0	0	0	-8.1E3	1.8E3	1	7429	862	Eccentricità X per sisma Y SLV	0	0	0	6.8E4	1.8E3	1
7430	862	Sisma X SLD	139	0	0	0	1.8E3	1	7431	862	Sisma Y SLD	0	128.6	0	0	1.8E3	1
7432	862	Eccentricità Y per sisma X SLD	0	0	0	-3.5E3	1.8E3	1	7433	862	Eccentricità X per sisma Y SLD	0	0	0	26747	1.8E3	1
7434	863	Sisma X SLV	107.5	0	0	0	6.0E2	1	7435	863	Sisma Y SLV	0	107.5	0	0	6.0E2	1
7436	863	Eccentricità Y per sisma X SLV	0	0	0	-2.7E3	6.0E2	1	7437	863	Eccentricità X per sisma Y SLV	0	0	0	22356	6.0E2	1
7438	863	Sisma X SLD	45.8	0	0	0	6.0E2	1	7439	863	Sisma Y SLD	0	42.4	0	0	6.0E2	1
7440	863	Eccentricità Y per sisma X SLD	0	0	0	-1.1E3	6.0E2	1	7441	863	Eccentricità X per sisma Y SLD	0	0	0	8.8E3	6.0E2	1
7442	864	Sisma X SLV	107.5	0	0	0	6.0E2	1	7443	864	Sisma Y SLV	0	107.5	0	0	6.0E2	1
7444	864	Eccentricità Y per sisma X SLV	0	0	0	-2.7E3	6.0E2	1	7445	864	Eccentricità X per sisma Y SLV	0	0	0	22356	6.0E2	1
7446	864	Sisma X SLD	45.8	0	0	0	6.0E2	1	7447	864	Sisma Y SLD	0	42.4	0	0	6.0E2	1
7448	864	Eccentricità Y per sisma X SLD	0	0	0	-1.1E3	6.0E2	1	7449	864	Eccentricità X per sisma Y SLD	0	0	0	8.8E3	6.0E2	1
7450	865	Sisma X SLV	107.5	0	0	0	6.0E2	1	7451	865	Sisma Y SLV	0	107.5	0	0	6.0E2	1
7452	865	Eccentricità Y per sisma X SLV	0	0	0	-2.7E3	6.0E2	1	7453	865	Eccentricità X per sisma Y SLV	0	0	0	22356	6.0E2	1
7454	865	Sisma X SLD	45.8	0	0	0	6.0E2	1	7455	865	Sisma Y SLD	0	42.4	0	0	6.0E2	1
7456	865	Eccentricità Y per sisma X SLD	0	0	0	-1.1E3	6.0E2	1	7457	865	Eccentricità X per sisma Y SLD	0	0	0	8.8E3	6.0E2	1
7458	866	Sisma X SLV	107.5	0	0	0	6.0E2	1	7459	866	Sisma Y SLV	0	107.5	0	0	6.0E2	1
7460	866	Eccentricità Y per sisma X SLV	0	0	0	-2.7E3	6.0E2	1	7461	866	Eccentricità X per sisma Y SLV	0	0	0	22356	6.0E2	1
7462	866	Sisma X SLD	45.8	0	0	0	6.0E2	1	7463	866	Sisma Y SLD	0	42.4	0	0	6.0E2	1
7464	866	Eccentricità Y per sisma X SLD	0	0	0	-1.1E3	6.0E2	1	7465	866	Eccentricità X per sisma Y SLD	0	0	0	8.8E3	6.0E2	1
7466	867	Sisma X SLV	107.5	0	0	0	6.0E2	1	7467	867	Sisma Y SLV	0	107.5	0	0	6.0E2	1
7468	867	Eccentricità Y per sisma X SLV	0	0	0	-2.7E3	6.0E2	1	7469	867	Eccentricità X per sisma Y SLV	0	0	0	22356	6.0E2	1
7470	867	Sisma X SLD	45.8	0	0	0	6.0E2	1	7471	867	Sisma Y SLD	0	42.4	0	0	6.0E2	1
7472	867	Eccentricità Y per sisma X SLD	0	0	0	-1.1E3	6.0E2	1	7473	867	Eccentricità X per sisma Y SLD	0	0	0	8.8E3	6.0E2	1
7474	868	Sisma X SLV	107.5	0	0	0	6.0E2	1	7475	868	Sisma Y SLV	0	107.5	0	0	6.0E2	1
7476	868	Eccentricità Y per sisma X SLV	0	0	0	-2.7E3	6.0E2	1	7477	868	Eccentricità X per sisma Y SLV	0	0	0	22356	6.0E2	1
7478	868	Sisma X SLD	45.8	0	0	0	6.0E2	1	7479	868	Sisma Y SLD	0	42.4	0	0	6.0E2	1
7480	868	Eccentricità Y per sisma X SLD	0	0	0	-1.1E3	6.0E2	1	7481	868	Eccentricità X per sisma Y SLD	0	0	0	8.8E3	6.0E2	1
7482	869	Sisma X SLV	107.5	0	0	0	6.0E2	1	7483	869	Sisma Y SLV	0	107.5	0	0	6.0E2	1

Indice	Nodo	Condizione	Fx	Fy	Fz	Mz	Peso	γ	Indice	Nodo	Condizione	Fx	Fy	Fz	Mz	Peso	γ
7484	869	Eccentricità Y per sisma X SLV	0	0	0	-2.7E3	6.0E2	1	7485	869	Eccentricità X per sisma Y SLV	0	0	0	22356	6.0E2	1
7486	869	Sisma X SLD	45.8	0	0	0	6.0E2	1	7487	869	Sisma Y SLD	0	42.4	0	0	6.0E2	1
7488	869	Eccentricità Y per sisma X SLD	0	0	0	-1.1E3	6.0E2	1	7489	869	Eccentricità X per sisma Y SLD	0	0	0	8.8E3	6.0E2	1
7490	870	Sisma X SLV	107.5	0	0	0	6.0E2	1	7491	870	Sisma Y SLV	0	107.5	0	0	6.0E2	1
7492	870	Eccentricità Y per sisma X SLV	0	0	0	-2.7E3	6.0E2	1	7493	870	Eccentricità X per sisma Y SLV	0	0	0	22356	6.0E2	1
7494	870	Sisma X SLD	45.8	0	0	0	6.0E2	1	7495	870	Sisma Y SLD	0	42.4	0	0	6.0E2	1
7496	870	Eccentricità Y per sisma X SLD	0	0	0	-1.1E3	6.0E2	1	7497	870	Eccentricità X per sisma Y SLD	0	0	0	8.8E3	6.0E2	1
7498	871	Sisma X SLV	107.5	0	0	0	6.0E2	1	7499	871	Sisma Y SLV	0	107.5	0	0	6.0E2	1
7500	871	Eccentricità Y per sisma X SLV	0	0	0	-2.7E3	6.0E2	1	7501	871	Eccentricità X per sisma Y SLV	0	0	0	22356	6.0E2	1
7502	871	Sisma X SLD	45.8	0	0	0	6.0E2	1	7503	871	Sisma Y SLD	0	42.4	0	0	6.0E2	1
7504	871	Eccentricità Y per sisma X SLD	0	0	0	-1.1E3	6.0E2	1	7505	871	Eccentricità X per sisma Y SLD	0	0	0	8.8E3	6.0E2	1
7506	872	Sisma X SLV	107.5	0	0	0	6.0E2	1	7507	872	Sisma Y SLV	0	107.5	0	0	6.0E2	1
7508	872	Eccentricità Y per sisma X SLV	0	0	0	-2.7E3	6.0E2	1	7509	872	Eccentricità X per sisma Y SLV	0	0	0	22356	6.0E2	1
7510	872	Sisma X SLD	45.8	0	0	0	6.0E2	1	7511	872	Sisma Y SLD	0	42.4	0	0	6.0E2	1
7512	872	Eccentricità Y per sisma X SLD	0	0	0	-1.1E3	6.0E2	1	7513	872	Eccentricità X per sisma Y SLD	0	0	0	8.8E3	6.0E2	1
7514	873	Sisma X SLV	107.5	0	0	0	6.0E2	1	7515	873	Sisma Y SLV	0	107.5	0	0	6.0E2	1
7516	873	Eccentricità Y per sisma X SLV	0	0	0	-2.7E3	6.0E2	1	7517	873	Eccentricità X per sisma Y SLV	0	0	0	22356	6.0E2	1
7518	873	Sisma X SLD	45.8	0	0	0	6.0E2	1	7519	873	Sisma Y SLD	0	42.4	0	0	6.0E2	1
7520	873	Eccentricità Y per sisma X SLD	0	0	0	-1.1E3	6.0E2	1	7521	873	Eccentricità X per sisma Y SLD	0	0	0	8.8E3	6.0E2	1
7522	874	Sisma X SLV	326.1	0	0	0	1.8E3	1	7523	874	Sisma Y SLV	0	326.1	0	0	1.8E3	1
7524	874	Eccentricità Y per sisma X SLV	0	0	0	-8.1E3	1.8E3	1	7525	874	Eccentricità X per sisma Y SLV	0	0	0	6.8E4	1.8E3	1
7526	874	Sisma X SLD	139	0	0	0	1.8E3	1	7527	874	Sisma Y SLD	0	128.6	0	0	1.8E3	1
7528	874	Eccentricità Y per sisma X SLD	0	0	0	-3.5E3	1.8E3	1	7529	874	Eccentricità X per sisma Y SLD	0	0	0	26747	1.8E3	1
7530	875	Sisma X SLV	107.5	0	0	0	6.0E2	1	7531	875	Sisma Y SLV	0	107.5	0	0	6.0E2	1
7532	875	Eccentricità Y per sisma X SLV	0	0	0	-2.7E3	6.0E2	1	7533	875	Eccentricità X per sisma Y SLV	0	0	0	22356	6.0E2	1
7534	875	Sisma X SLD	45.8	0	0	0	6.0E2	1	7535	875	Sisma Y SLD	0	42.4	0	0	6.0E2	1
7536	875	Eccentricità Y per sisma X SLD	0	0	0	-1.1E3	6.0E2	1	7537	875	Eccentricità X per sisma Y SLD	0	0	0	8.8E3	6.0E2	1
7538	876	Sisma X SLV	107.5	0	0	0	6.0E2	1	7539	876	Sisma Y SLV	0	107.5	0	0	6.0E2	1
7540	876	Eccentricità Y per sisma X SLV	0	0	0	-2.7E3	6.0E2	1	7541	876	Eccentricità X per sisma Y SLV	0	0	0	22356	6.0E2	1
7542	876	Sisma X SLD	45.8	0	0	0	6.0E2	1	7543	876	Sisma Y SLD	0	42.4	0	0	6.0E2	1
7544	876	Eccentricità Y per sisma X SLD	0	0	0	-1.1E3	6.0E2	1	7545	876	Eccentricità X per sisma Y SLD	0	0	0	8.8E3	6.0E2	1
7546	877	Sisma X SLV	107.5	0	0	0	6.0E2	1	7547	877	Sisma Y SLV	0	107.5	0	0	6.0E2	1
7548	877	Eccentricità Y per sisma X SLV	0	0	0	-2.7E3	6.0E2	1	7549	877	Eccentricità X per sisma Y SLV	0	0	0	22356	6.0E2	1
7550	877	Sisma X SLD	45.8	0	0	0	6.0E2	1	7551	877	Sisma Y SLD	0	42.4	0	0	6.0E2	1
7552	877	Eccentricità Y per sisma X SLD	0	0	0	-1.1E3	6.0E2	1	7553	877	Eccentricità X per sisma Y SLD	0	0	0	8.8E3	6.0E2	1
7554	878	Sisma X SLV	107.5	0	0	0	6.0E2	1	7555	878	Sisma Y SLV	0	107.5	0	0	6.0E2	1
7556	878	Eccentricità Y per sisma X SLV	0	0	0	-2.7E3	6.0E2	1	7557	878	Eccentricità X per sisma Y SLV	0	0	0	22356	6.0E2	1
7558	878	Sisma X SLD	45.8	0	0	0	6.0E2	1	7559	878	Sisma Y SLD	0	42.4	0	0	6.0E2	1
7560	878	Eccentricità Y per sisma X SLD	0	0	0	-1.1E3	6.0E2	1	7561	878	Eccentricità X per sisma Y SLD	0	0	0	8.8E3	6.0E2	1
7562	879	Sisma X SLV	107.5	0	0	0	6.0E2	1	7563	879	Sisma Y SLV	0	107.5	0	0	6.0E2	1
7564	879	Eccentricità Y per sisma X SLV	0	0	0	-2.7E3	6.0E2	1	7565	879	Eccentricità X per sisma Y SLV	0	0	0	22356	6.0E2	1
7566	879	Sisma X SLD	45.8	0	0	0	6.0E2	1	7567	879	Sisma Y SLD	0	42.4	0	0	6.0E2	1
7568	879	Eccentricità Y per sisma X SLD	0	0	0	-1.1E3	6.0E2	1	7569	879	Eccentricità X per sisma Y SLD	0	0	0	8.8E3	6.0E2	1
7570	880	Sisma X SLV	107.5	0	0	0	6.0E2	1	7571	880	Sisma Y SLV	0	107.5	0	0	6.0E2	1
7572	880	Eccentricità Y per sisma X SLV	0	0	0	-2.7E3	6.0E2	1	7573	880	Eccentricità X per sisma Y SLV	0	0	0	22356	6.0E2	1
7574	880	Sisma X SLD	45.8	0	0	0	6.0E2	1	7575	880	Sisma Y SLD	0	42.4	0	0	6.0E2	1

Indice	Nodo	Condizione	Fx	Fy	Fz	Mz	Peso	γ	Indice	Nodo	Condizione	Fx	Fy	Fz	Mz	Peso	γ
7576	880	Eccentricità Y per sisma X SLD	0	0	0	-1.1E3	6.0E2	1	7577	880	Eccentricità X per sisma Y SLD	0	0	0	8.8E3	6.0E2	1
7578	881	Sisma X SLV	107.5	0	0	0	6.0E2	1	7579	881	Sisma Y SLV	0	107.5	0	0	6.0E2	1
7580	881	Eccentricità Y per sisma X SLV	0	0	0	-2.7E3	6.0E2	1	7581	881	Eccentricità X per sisma Y SLV	0	0	0	22356	6.0E2	1
7582	881	Sisma X SLD	45.8	0	0	0	6.0E2	1	7583	881	Sisma Y SLD	0	42.4	0	0	6.0E2	1
7584	881	Eccentricità Y per sisma X SLD	0	0	0	-1.1E3	6.0E2	1	7585	881	Eccentricità X per sisma Y SLD	0	0	0	8.8E3	6.0E2	1
7586	882	Sisma X SLV	107.5	0	0	0	6.0E2	1	7587	882	Sisma Y SLV	0	107.5	0	0	6.0E2	1
7588	882	Eccentricità Y per sisma X SLV	0	0	0	-2.7E3	6.0E2	1	7589	882	Eccentricità X per sisma Y SLV	0	0	0	22356	6.0E2	1
7590	882	Sisma X SLD	45.8	0	0	0	6.0E2	1	7591	882	Sisma Y SLD	0	42.4	0	0	6.0E2	1
7592	882	Eccentricità Y per sisma X SLD	0	0	0	-1.1E3	6.0E2	1	7593	882	Eccentricità X per sisma Y SLD	0	0	0	8.8E3	6.0E2	1
7594	883	Sisma X SLV	107.5	0	0	0	6.0E2	1	7595	883	Sisma Y SLV	0	107.5	0	0	6.0E2	1
7596	883	Eccentricità Y per sisma X SLV	0	0	0	-2.7E3	6.0E2	1	7597	883	Eccentricità X per sisma Y SLV	0	0	0	22356	6.0E2	1
7598	883	Sisma X SLD	45.8	0	0	0	6.0E2	1	7599	883	Sisma Y SLD	0	42.4	0	0	6.0E2	1
7600	883	Eccentricità Y per sisma X SLD	0	0	0	-1.1E3	6.0E2	1	7601	883	Eccentricità X per sisma Y SLD	0	0	0	8.8E3	6.0E2	1
7602	884	Sisma X SLV	107.5	0	0	0	6.0E2	1	7603	884	Sisma Y SLV	0	107.5	0	0	6.0E2	1
7604	884	Eccentricità Y per sisma X SLV	0	0	0	-2.7E3	6.0E2	1	7605	884	Eccentricità X per sisma Y SLV	0	0	0	22356	6.0E2	1
7606	884	Sisma X SLD	45.8	0	0	0	6.0E2	1	7607	884	Sisma Y SLD	0	42.4	0	0	6.0E2	1
7608	884	Eccentricità Y per sisma X SLD	0	0	0	-1.1E3	6.0E2	1	7609	884	Eccentricità X per sisma Y SLD	0	0	0	8.8E3	6.0E2	1
7610	885	Sisma X SLV	107.5	0	0	0	6.0E2	1	7611	885	Sisma Y SLV	0	107.5	0	0	6.0E2	1
7612	885	Eccentricità Y per sisma X SLV	0	0	0	-2.7E3	6.0E2	1	7613	885	Eccentricità X per sisma Y SLV	0	0	0	22356	6.0E2	1
7614	885	Sisma X SLD	45.8	0	0	0	6.0E2	1	7615	885	Sisma Y SLD	0	42.4	0	0	6.0E2	1
7616	885	Eccentricità Y per sisma X SLD	0	0	0	-1.1E3	6.0E2	1	7617	885	Eccentricità X per sisma Y SLD	0	0	0	8.8E3	6.0E2	1
7618	886	Sisma X SLV	326.1	0	0	0	1.8E3	1	7619	886	Sisma Y SLV	0	326.1	0	0	1.8E3	1
7620	886	Eccentricità Y per sisma X SLV	0	0	0	-8.1E3	1.8E3	1	7621	886	Eccentricità X per sisma Y SLV	0	0	0	67835	1.8E3	1
7622	886	Sisma X SLD	139	0	0	0	1.8E3	1	7623	886	Sisma Y SLD	0	128.6	0	0	1.8E3	1
7624	886	Eccentricità Y per sisma X SLD	0	0	0	-3.5E3	1.8E3	1	7625	886	Eccentricità X per sisma Y SLD	0	0	0	2.7E4	1.8E3	1
7626	887	Sisma X SLV	107.6	0	0	0	6.0E2	1	7627	887	Sisma Y SLV	0	107.6	0	0	6.0E2	1
7628	887	Eccentricità Y per sisma X SLV	0	0	0	-2686	6.0E2	1	7629	887	Eccentricità X per sisma Y SLV	0	0	0	2.2E4	6.0E2	1
7630	887	Sisma X SLD	45.9	0	0	0	6.0E2	1	7631	887	Sisma Y SLD	0	42.4	0	0	6.0E2	1
7632	887	Eccentricità Y per sisma X SLD	0	0	0	-1145	6.0E2	1	7633	887	Eccentricità X per sisma Y SLD	0	0	0	8.8E3	6.0E2	1
7634	888	Sisma X SLV	107.6	0	0	0	6.0E2	1	7635	888	Sisma Y SLV	0	107.6	0	0	6.0E2	1
7636	888	Eccentricità Y per sisma X SLV	0	0	0	-2686	6.0E2	1	7637	888	Eccentricità X per sisma Y SLV	0	0	0	2.2E4	6.0E2	1
7638	888	Sisma X SLD	45.9	0	0	0	6.0E2	1	7639	888	Sisma Y SLD	0	42.4	0	0	6.0E2	1
7640	888	Eccentricità Y per sisma X SLD	0	0	0	-1145	6.0E2	1	7641	888	Eccentricità X per sisma Y SLD	0	0	0	8.8E3	6.0E2	1
7642	889	Sisma X SLV	107.6	0	0	0	6.0E2	1	7643	889	Sisma Y SLV	0	107.6	0	0	6.0E2	1
7644	889	Eccentricità Y per sisma X SLV	0	0	0	-2686	6.0E2	1	7645	889	Eccentricità X per sisma Y SLV	0	0	0	2.2E4	6.0E2	1
7646	889	Sisma X SLD	45.9	0	0	0	6.0E2	1	7647	889	Sisma Y SLD	0	42.4	0	0	6.0E2	1
7648	889	Eccentricità Y per sisma X SLD	0	0	0	-1145	6.0E2	1	7649	889	Eccentricità X per sisma Y SLD	0	0	0	8.8E3	6.0E2	1
7650	890	Sisma X SLV	107.6	0	0	0	6.0E2	1	7651	890	Sisma Y SLV	0	107.6	0	0	6.0E2	1
7652	890	Eccentricità Y per sisma X SLV	0	0	0	-2686	6.0E2	1	7653	890	Eccentricità X per sisma Y SLV	0	0	0	2.2E4	6.0E2	1
7654	890	Sisma X SLD	45.9	0	0	0	6.0E2	1	7655	890	Sisma Y SLD	0	42.4	0	0	6.0E2	1
7656	890	Eccentricità Y per sisma X SLD	0	0	0	-1145	6.0E2	1	7657	890	Eccentricità X per sisma Y SLD	0	0	0	8.8E3	6.0E2	1
7658	891	Sisma X SLV	107.6	0	0	0	6.0E2	1	7659	891	Sisma Y SLV	0	107.6	0	0	6.0E2	1
7660	891	Eccentricità Y per sisma X SLV	0	0	0	-2.7E3	6.0E2	1	7661	891	Eccentricità X per sisma Y SLV	0	0	0	2.2E4	6.0E2	1
7662	891	Sisma X SLD	45.9	0	0	0	6.0E2	1	7663	891	Sisma Y SLD	0	42.4	0	0	6.0E2	1
7664	891	Eccentricità Y per sisma X SLD	0	0	0	-1145	6.0E2	1	7665	891	Eccentricità X per sisma Y SLD	0	0	0	8.8E3	6.0E2	1
7666	892	Sisma X SLV	107.6	0	0	0	6.0E2	1	7667	892	Sisma Y SLV	0	107.6	0	0	6.0E2	1

Indice	Nodo	Condizione	Fx	Fy	Fz	Mz	Peso	γ	Indice	Nodo	Condizione	Fx	Fy	Fz	Mz	Peso	γ
7668	892	Eccentricità Y per sisma X SLV	0	0	0	-2.7E3	6.0E2	1	7669	892	Eccentricità X per sisma Y SLV	0	0	0	2.2E4	6.0E2	1
7670	892	Sisma X SLD	45.9	0	0	0	6.0E2	1	7671	892	Sisma Y SLD	0	42.4	0	0	6.0E2	1
7672	892	Eccentricità Y per sisma X SLD	0	0	0	-1.1E3	6.0E2	1	7673	892	Eccentricità X per sisma Y SLD	0	0	0	8.8E3	6.0E2	1
7674	893	Sisma X SLV	107.6	0	0	0	6.0E2	1	7675	893	Sisma Y SLV	0	107.6	0	0	6.0E2	1
7676	893	Eccentricità Y per sisma X SLV	0	0	0	-2.7E3	6.0E2	1	7677	893	Eccentricità X per sisma Y SLV	0	0	0	2.2E4	6.0E2	1
7678	893	Sisma X SLD	45.9	0	0	0	6.0E2	1	7679	893	Sisma Y SLD	0	42.4	0	0	6.0E2	1
7680	893	Eccentricità Y per sisma X SLD	0	0	0	-1.1E3	6.0E2	1	7681	893	Eccentricità X per sisma Y SLD	0	0	0	8.8E3	6.0E2	1
7682	894	Sisma X SLV	107.5	0	0	0	6.0E2	1	7683	894	Sisma Y SLV	0	107.5	0	0	6.0E2	1
7684	894	Eccentricità Y per sisma X SLV	0	0	0	-2.7E3	6.0E2	1	7685	894	Eccentricità X per sisma Y SLV	0	0	0	22366	6.0E2	1
7686	894	Sisma X SLD	45.8	0	0	0	6.0E2	1	7687	894	Sisma Y SLD	0	42.4	0	0	6.0E2	1
7688	894	Eccentricità Y per sisma X SLD	0	0	0	-1.1E3	6.0E2	1	7689	894	Eccentricità X per sisma Y SLD	0	0	0	8.8E3	6.0E2	1
7690	895	Sisma X SLV	107.4	0	0	0	6.0E2	1	7691	895	Sisma Y SLV	0	107.4	0	0	6.0E2	1
7692	895	Eccentricità Y per sisma X SLV	0	0	0	-2.7E3	6.0E2	1	7693	895	Eccentricità X per sisma Y SLV	0	0	0	2.2E4	6.0E2	1
7694	895	Sisma X SLD	45.8	0	0	0	6.0E2	1	7695	895	Sisma Y SLD	0	42.3	0	0	6.0E2	1
7696	895	Eccentricità Y per sisma X SLD	0	0	0	-1.1E3	6.0E2	1	7697	895	Eccentricità X per sisma Y SLD	0	0	0	8.8E3	6.0E2	1
7698	896	Sisma X SLV	107.2	0	0	0	6.0E2	1	7699	896	Sisma Y SLV	0	107.2	0	0	6.0E2	1
7700	896	Eccentricità Y per sisma X SLV	0	0	0	-2677	6.0E2	1	7701	896	Eccentricità X per sisma Y SLV	0	0	0	2.2E4	6.0E2	1
7702	896	Sisma X SLD	45.7	0	0	0	6.0E2	1	7703	896	Sisma Y SLD	0	42.3	0	0	6.0E2	1
7704	896	Eccentricità Y per sisma X SLD	0	0	0	-1.1E3	6.0E2	1	7705	896	Eccentricità X per sisma Y SLD	0	0	0	8.8E3	6.0E2	1
7706	897	Sisma X SLV	107.2	0	0	0	6.0E2	1	7707	897	Sisma Y SLV	0	107.2	0	0	6.0E2	1
7708	897	Eccentricità Y per sisma X SLV	0	0	0	-2676	6.0E2	1	7709	897	Eccentricità X per sisma Y SLV	0	0	0	2.2E4	6.0E2	1
7710	897	Sisma X SLD	45.7	0	0	0	6.0E2	1	7711	897	Sisma Y SLD	0	42.3	0	0	6.0E2	1
7712	897	Eccentricità Y per sisma X SLD	0	0	0	-1.1E3	6.0E2	1	7713	897	Eccentricità X per sisma Y SLD	0	0	0	8792	6.0E2	1
7714	898	Sisma X SLV	325.9	0	0	0	1.8E3	1	7715	898	Sisma Y SLV	0	325.9	0	0	1.8E3	1
7716	898	Eccentricità Y per sisma X SLV	0	0	0	-8.1E3	1.8E3	1	7717	898	Eccentricità X per sisma Y SLV	0	0	0	6.8E4	1.8E3	1
7718	898	Sisma X SLD	138.9	0	0	0	1.8E3	1	7719	898	Sisma Y SLD	0	128.5	0	0	1.8E3	1
7720	898	Eccentricità Y per sisma X SLD	0	0	0	-3.5E3	1.8E3	1	7721	898	Eccentricità X per sisma Y SLD	0	0	0	2.7E4	1.8E3	1
7722	899	Sisma X SLV	107.5	0	0	0	6.0E2	1	7723	899	Sisma Y SLV	0	107.5	0	0	6.0E2	1
7724	899	Eccentricità Y per sisma X SLV	0	0	0	-2.7E3	6.0E2	1	7725	899	Eccentricità X per sisma Y SLV	0	0	0	22356	6.0E2	1
7726	899	Sisma X SLD	45.8	0	0	0	6.0E2	1	7727	899	Sisma Y SLD	0	42.4	0	0	6.0E2	1
7728	899	Eccentricità Y per sisma X SLD	0	0	0	-1.1E3	6.0E2	1	7729	899	Eccentricità X per sisma Y SLD	0	0	0	8.8E3	6.0E2	1
7730	900	Sisma X SLV	107.5	0	0	0	6.0E2	1	7731	900	Sisma Y SLV	0	107.5	0	0	6.0E2	1
7732	900	Eccentricità Y per sisma X SLV	0	0	0	-2.7E3	6.0E2	1	7733	900	Eccentricità X per sisma Y SLV	0	0	0	22356	6.0E2	1
7734	900	Sisma X SLD	45.8	0	0	0	6.0E2	1	7735	900	Sisma Y SLD	0	42.4	0	0	6.0E2	1
7736	900	Eccentricità Y per sisma X SLD	0	0	0	-1.1E3	6.0E2	1	7737	900	Eccentricità X per sisma Y SLD	0	0	0	8.8E3	6.0E2	1
7738	901	Sisma X SLV	107.5	0	0	0	6.0E2	1	7739	901	Sisma Y SLV	0	107.5	0	0	6.0E2	1
7740	901	Eccentricità Y per sisma X SLV	0	0	0	-2.7E3	6.0E2	1	7741	901	Eccentricità X per sisma Y SLV	0	0	0	22356	6.0E2	1
7742	901	Sisma X SLD	45.8	0	0	0	6.0E2	1	7743	901	Sisma Y SLD	0	42.4	0	0	6.0E2	1
7744	901	Eccentricità Y per sisma X SLD	0	0	0	-1.1E3	6.0E2	1	7745	901	Eccentricità X per sisma Y SLD	0	0	0	8.8E3	6.0E2	1
7746	902	Sisma X SLV	107.5	0	0	0	6.0E2	1	7747	902	Sisma Y SLV	0	107.5	0	0	6.0E2	1
7748	902	Eccentricità Y per sisma X SLV	0	0	0	-2.7E3	6.0E2	1	7749	902	Eccentricità X per sisma Y SLV	0	0	0	22356	6.0E2	1
7750	902	Sisma X SLD	45.8	0	0	0	6.0E2	1	7751	902	Sisma Y SLD	0	42.4	0	0	6.0E2	1
7752	902	Eccentricità Y per sisma X SLD	0	0	0	-1.1E3	6.0E2	1	7753	902	Eccentricità X per sisma Y SLD	0	0	0	8.8E3	6.0E2	1
7754	903	Sisma X SLV	107.5	0	0	0	6.0E2	1	7755	903	Sisma Y SLV	0	107.5	0	0	6.0E2	1
7756	903	Eccentricità Y per sisma X SLV	0	0	0	-2.7E3	6.0E2	1	7757	903	Eccentricità X per sisma Y SLV	0	0	0	22356	6.0E2	1
7758	903	Sisma X SLD	45.8	0	0	0	6.0E2	1	7759	903	Sisma Y SLD	0	42.4	0	0	6.0E2	1

Indice	Nodo	Condizione	Fx	Fy	Fz	Mz	Peso	γ	Indice	Nodo	Condizione	Fx	Fy	Fz	Mz	Peso	γ
7760	903	Eccentricità Y per sisma X SLD	0	0	0	-1.1E3	6.0E2	1	7761	903	Eccentricità X per sisma Y SLD	0	0	0	8.8E3	6.0E2	1
7762	904	Sisma X SLV	107.5	0	0	0	6.0E2	1	7763	904	Sisma Y SLV	0	107.5	0	0	6.0E2	1
7764	904	Eccentricità Y per sisma X SLV	0	0	0	-2.7E3	6.0E2	1	7765	904	Eccentricità X per sisma Y SLV	0	0	0	22356	6.0E2	1
7766	904	Sisma X SLD	45.8	0	0	0	6.0E2	1	7767	904	Sisma Y SLD	0	42.4	0	0	6.0E2	1
7768	904	Eccentricità Y per sisma X SLD	0	0	0	-1.1E3	6.0E2	1	7769	904	Eccentricità X per sisma Y SLD	0	0	0	8.8E3	6.0E2	1
7770	905	Sisma X SLV	107.5	0	0	0	6.0E2	1	7771	905	Sisma Y SLV	0	107.5	0	0	6.0E2	1
7772	905	Eccentricità Y per sisma X SLV	0	0	0	-2.7E3	6.0E2	1	7773	905	Eccentricità X per sisma Y SLV	0	0	0	22356	6.0E2	1
7774	905	Sisma X SLD	45.8	0	0	0	6.0E2	1	7775	905	Sisma Y SLD	0	42.4	0	0	6.0E2	1
7776	905	Eccentricità Y per sisma X SLD	0	0	0	-1.1E3	6.0E2	1	7777	905	Eccentricità X per sisma Y SLD	0	0	0	8.8E3	6.0E2	1
7778	906	Sisma X SLV	107.5	0	0	0	6.0E2	1	7779	906	Sisma Y SLV	0	107.5	0	0	6.0E2	1
7780	906	Eccentricità Y per sisma X SLV	0	0	0	-2.7E3	6.0E2	1	7781	906	Eccentricità X per sisma Y SLV	0	0	0	22356	6.0E2	1
7782	906	Sisma X SLD	45.8	0	0	0	6.0E2	1	7783	906	Sisma Y SLD	0	42.4	0	0	6.0E2	1
7784	906	Eccentricità Y per sisma X SLD	0	0	0	-1.1E3	6.0E2	1	7785	906	Eccentricità X per sisma Y SLD	0	0	0	8.8E3	6.0E2	1
7786	907	Sisma X SLV	107.5	0	0	0	6.0E2	1	7787	907	Sisma Y SLV	0	107.5	0	0	6.0E2	1
7788	907	Eccentricità Y per sisma X SLV	0	0	0	-2.7E3	6.0E2	1	7789	907	Eccentricità X per sisma Y SLV	0	0	0	22356	6.0E2	1
7790	907	Sisma X SLD	45.8	0	0	0	6.0E2	1	7791	907	Sisma Y SLD	0	42.4	0	0	6.0E2	1
7792	907	Eccentricità Y per sisma X SLD	0	0	0	-1.1E3	6.0E2	1	7793	907	Eccentricità X per sisma Y SLD	0	0	0	8.8E3	6.0E2	1
7794	908	Sisma X SLV	107.5	0	0	0	6.0E2	1	7795	908	Sisma Y SLV	0	107.5	0	0	6.0E2	1
7796	908	Eccentricità Y per sisma X SLV	0	0	0	-2.7E3	6.0E2	1	7797	908	Eccentricità X per sisma Y SLV	0	0	0	22356	6.0E2	1
7798	908	Sisma X SLD	45.8	0	0	0	6.0E2	1	7799	908	Sisma Y SLD	0	42.4	0	0	6.0E2	1
7800	908	Eccentricità Y per sisma X SLD	0	0	0	-1.1E3	6.0E2	1	7801	908	Eccentricità X per sisma Y SLD	0	0	0	8.8E3	6.0E2	1
7802	909	Sisma X SLV	107.5	0	0	0	6.0E2	1	7803	909	Sisma Y SLV	0	107.5	0	0	6.0E2	1
7804	909	Eccentricità Y per sisma X SLV	0	0	0	-2.7E3	6.0E2	1	7805	909	Eccentricità X per sisma Y SLV	0	0	0	22356	6.0E2	1
7806	909	Sisma X SLD	45.8	0	0	0	6.0E2	1	7807	909	Sisma Y SLD	0	42.4	0	0	6.0E2	1
7808	909	Eccentricità Y per sisma X SLD	0	0	0	-1.1E3	6.0E2	1	7809	909	Eccentricità X per sisma Y SLD	0	0	0	8.8E3	6.0E2	1
7810	910	Sisma X SLV	326.1	0	0	0	1.8E3	1	7811	910	Sisma Y SLV	0	326.1	0	0	1.8E3	1
7812	910	Eccentricità Y per sisma X SLV	0	0	0	-8.1E3	1.8E3	1	7813	910	Eccentricità X per sisma Y SLV	0	0	0	6.8E4	1.8E3	1
7814	910	Sisma X SLD	139	0	0	0	1.8E3	1	7815	910	Sisma Y SLD	0	128.6	0	0	1.8E3	1
7816	910	Eccentricità Y per sisma X SLD	0	0	0	-3.5E3	1.8E3	1	7817	910	Eccentricità X per sisma Y SLD	0	0	0	26747	1.8E3	1
7818	911	Sisma X SLV	107.5	0	0	0	6.0E2	1	7819	911	Sisma Y SLV	0	107.5	0	0	6.0E2	1
7820	911	Eccentricità Y per sisma X SLV	0	0	0	-2.7E3	6.0E2	1	7821	911	Eccentricità X per sisma Y SLV	0	0	0	22356	6.0E2	1
7822	911	Sisma X SLD	45.8	0	0	0	6.0E2	1	7823	911	Sisma Y SLD	0	42.4	0	0	6.0E2	1
7824	911	Eccentricità Y per sisma X SLD	0	0	0	-1.1E3	6.0E2	1	7825	911	Eccentricità X per sisma Y SLD	0	0	0	8.8E3	6.0E2	1
7826	912	Sisma X SLV	107.5	0	0	0	6.0E2	1	7827	912	Sisma Y SLV	0	107.5	0	0	6.0E2	1
7828	912	Eccentricità Y per sisma X SLV	0	0	0	-2.7E3	6.0E2	1	7829	912	Eccentricità X per sisma Y SLV	0	0	0	22356	6.0E2	1
7830	912	Sisma X SLD	45.8	0	0	0	6.0E2	1	7831	912	Sisma Y SLD	0	42.4	0	0	6.0E2	1
7832	912	Eccentricità Y per sisma X SLD	0	0	0	-1.1E3	6.0E2	1	7833	912	Eccentricità X per sisma Y SLD	0	0	0	8.8E3	6.0E2	1
7834	913	Sisma X SLV	107.5	0	0	0	6.0E2	1	7835	913	Sisma Y SLV	0	107.5	0	0	6.0E2	1
7836	913	Eccentricità Y per sisma X SLV	0	0	0	-2.7E3	6.0E2	1	7837	913	Eccentricità X per sisma Y SLV	0	0	0	22356	6.0E2	1
7838	913	Sisma X SLD	45.8	0	0	0	6.0E2	1	7839	913	Sisma Y SLD	0	42.4	0	0	6.0E2	1
7840	913	Eccentricità Y per sisma X SLD	0	0	0	-1.1E3	6.0E2	1	7841	913	Eccentricità X per sisma Y SLD	0	0	0	8.8E3	6.0E2	1
7842	914	Sisma X SLV	107.5	0	0	0	6.0E2	1	7843	914	Sisma Y SLV	0	107.5	0	0	6.0E2	1
7844	914	Eccentricità Y per sisma X SLV	0	0	0	-2.7E3	6.0E2	1	7845	914	Eccentricità X per sisma Y SLV	0	0	0	22356	6.0E2	1
7846	914	Sisma X SLD	45.8	0	0	0	6.0E2	1	7847	914	Sisma Y SLD	0	42.4	0	0	6.0E2	1
7848	914	Eccentricità Y per sisma X SLD	0	0	0	-1.1E3	6.0E2	1	7849	914	Eccentricità X per sisma Y SLD	0	0	0	8.8E3	6.0E2	1
7850	915	Sisma X SLV	107.5	0	0	0	6.0E2	1	7851	915	Sisma Y SLV	0	107.5	0	0	6.0E2	1

Indice	Nodo	Condizione	Fx	Fy	Fz	Mz	Peso	γ	Indice	Nodo	Condizione	Fx	Fy	Fz	Mz	Peso	γ
7852	915	Eccentricità Y per sisma X SLV	0	0	0	-2.7E3	6.0E2	1	7853	915	Eccentricità X per sisma Y SLV	0	0	0	22356	6.0E2	1
7854	915	Sisma X SLD	45.8	0	0	0	6.0E2	1	7855	915	Sisma Y SLD	0	42.4	0	0	6.0E2	1
7856	915	Eccentricità Y per sisma X SLD	0	0	0	-1.1E3	6.0E2	1	7857	915	Eccentricità X per sisma Y SLD	0	0	0	8.8E3	6.0E2	1
7858	916	Sisma X SLV	107.5	0	0	0	6.0E2	1	7859	916	Sisma Y SLV	0	107.5	0	0	6.0E2	1
7860	916	Eccentricità Y per sisma X SLV	0	0	0	-2.7E3	6.0E2	1	7861	916	Eccentricità X per sisma Y SLV	0	0	0	22356	6.0E2	1
7862	916	Sisma X SLD	45.8	0	0	0	6.0E2	1	7863	916	Sisma Y SLD	0	42.4	0	0	6.0E2	1
7864	916	Eccentricità Y per sisma X SLD	0	0	0	-1.1E3	6.0E2	1	7865	916	Eccentricità X per sisma Y SLD	0	0	0	8.8E3	6.0E2	1
7866	917	Sisma X SLV	107.5	0	0	0	6.0E2	1	7867	917	Sisma Y SLV	0	107.5	0	0	6.0E2	1
7868	917	Eccentricità Y per sisma X SLV	0	0	0	-2.7E3	6.0E2	1	7869	917	Eccentricità X per sisma Y SLV	0	0	0	22356	6.0E2	1
7870	917	Sisma X SLD	45.8	0	0	0	6.0E2	1	7871	917	Sisma Y SLD	0	42.4	0	0	6.0E2	1
7872	917	Eccentricità Y per sisma X SLD	0	0	0	-1.1E3	6.0E2	1	7873	917	Eccentricità X per sisma Y SLD	0	0	0	8.8E3	6.0E2	1
7874	918	Sisma X SLV	107.5	0	0	0	6.0E2	1	7875	918	Sisma Y SLV	0	107.5	0	0	6.0E2	1
7876	918	Eccentricità Y per sisma X SLV	0	0	0	-2.7E3	6.0E2	1	7877	918	Eccentricità X per sisma Y SLV	0	0	0	22356	6.0E2	1
7878	918	Sisma X SLD	45.8	0	0	0	6.0E2	1	7879	918	Sisma Y SLD	0	42.4	0	0	6.0E2	1
7880	918	Eccentricità Y per sisma X SLD	0	0	0	-1.1E3	6.0E2	1	7881	918	Eccentricità X per sisma Y SLD	0	0	0	8.8E3	6.0E2	1
7882	919	Sisma X SLV	107.5	0	0	0	6.0E2	1	7883	919	Sisma Y SLV	0	107.5	0	0	6.0E2	1
7884	919	Eccentricità Y per sisma X SLV	0	0	0	-2.7E3	6.0E2	1	7885	919	Eccentricità X per sisma Y SLV	0	0	0	22356	6.0E2	1
7886	919	Sisma X SLD	45.8	0	0	0	6.0E2	1	7887	919	Sisma Y SLD	0	42.4	0	0	6.0E2	1
7888	919	Eccentricità Y per sisma X SLD	0	0	0	-1.1E3	6.0E2	1	7889	919	Eccentricità X per sisma Y SLD	0	0	0	8.8E3	6.0E2	1
7890	920	Sisma X SLV	107.5	0	0	0	6.0E2	1	7891	920	Sisma Y SLV	0	107.5	0	0	6.0E2	1
7892	920	Eccentricità Y per sisma X SLV	0	0	0	-2.7E3	6.0E2	1	7893	920	Eccentricità X per sisma Y SLV	0	0	0	22356	6.0E2	1
7894	920	Sisma X SLD	45.8	0	0	0	6.0E2	1	7895	920	Sisma Y SLD	0	42.4	0	0	6.0E2	1
7896	920	Eccentricità Y per sisma X SLD	0	0	0	-1.1E3	6.0E2	1	7897	920	Eccentricità X per sisma Y SLD	0	0	0	8.8E3	6.0E2	1
7898	921	Sisma X SLV	107.5	0	0	0	6.0E2	1	7899	921	Sisma Y SLV	0	107.5	0	0	6.0E2	1
7900	921	Eccentricità Y per sisma X SLV	0	0	0	-2683	6.0E2	1	7901	921	Eccentricità X per sisma Y SLV	0	0	0	2.2E4	6.0E2	1
7902	921	Sisma X SLD	45.8	0	0	0	6.0E2	1	7903	921	Sisma Y SLD	0	42.4	0	0	6.0E2	1
7904	921	Eccentricità Y per sisma X SLD	0	0	0	-1.1E3	6.0E2	1	7905	921	Eccentricità X per sisma Y SLD	0	0	0	8.8E3	6.0E2	1
7906	922	Sisma X SLV	325.4	0	0	0	1.8E3	1	7907	922	Sisma Y SLV	0	325.4	0	0	1.8E3	1
7908	922	Eccentricità Y per sisma X SLV	0	0	0	-8.1E3	1.8E3	1	7909	922	Eccentricità X per sisma Y SLV	0	0	0	6.8E4	1.8E3	1
7910	922	Sisma X SLD	138.7	0	0	0	1.8E3	1	7911	922	Sisma Y SLD	0	128.3	0	0	1.8E3	1
7912	922	Eccentricità Y per sisma X SLD	0	0	0	-3.5E3	1.8E3	1	7913	922	Eccentricità X per sisma Y SLD	0	0	0	26692	1.8E3	1
7914	923	Sisma X SLV	84.9	0	0	0	4.8E2	1	7915	923	Sisma Y SLV	0	84.9	0	0	4.8E2	1
7916	923	Eccentricità Y per sisma X SLV	0	0	0	-2.1E3	4.8E2	1	7917	923	Eccentricità X per sisma Y SLV	0	0	0	1.8E4	4.8E2	1
7918	923	Sisma X SLD	36.2	0	0	0	4.8E2	1	7919	923	Sisma Y SLD	0	33.5	0	0	4.8E2	1
7920	923	Eccentricità Y per sisma X SLD	0	0	0	-9.0E2	4.8E2	1	7921	923	Eccentricità X per sisma Y SLD	0	0	0	7.0E3	4.8E2	1
7922	924	Sisma X SLV	32.6	0	0	0	1.8E2	1	7923	924	Sisma Y SLV	0	32.6	0	0	1.8E2	1
7924	924	Eccentricità Y per sisma X SLV	0	0	0	-8.1E2	1.8E2	1	7925	924	Eccentricità X per sisma Y SLV	0	0	0	6.8E3	1.8E2	1
7926	924	Sisma X SLD	13.9	0	0	0	1.8E2	1	7927	924	Sisma Y SLD	0	12.9	0	0	1.8E2	1
7928	924	Eccentricità Y per sisma X SLD	0	0	0	-3.5E2	1.8E2	1	7929	924	Eccentricità X per sisma Y SLD	0	0	0	2.7E3	1.8E2	1
7930	925	Sisma X SLV	86.2	0	0	0	4.8E2	1	7931	925	Sisma Y SLV	0	86.2	0	0	4.8E2	1
7932	925	Eccentricità Y per sisma X SLV	0	0	0	-2.2E3	4.8E2	1	7933	925	Eccentricità X per sisma Y SLV	0	0	0	1.8E4	4.8E2	1
7934	925	Sisma X SLD	36.7	0	0	0	4.8E2	1	7935	925	Sisma Y SLD	0	34	0	0	4.8E2	1
7936	925	Eccentricità Y per sisma X SLD	0	0	0	-9.2E2	4.8E2	1	7937	925	Eccentricità X per sisma Y SLD	0	0	0	7.1E3	4.8E2	1
7938	926	Sisma X SLV	103.5	0	0	0	5.8E2	1	7939	926	Sisma Y SLV	0	103.5	0	0	5.8E2	1
7940	926	Eccentricità Y per sisma X SLV	0	0	0	-2.6E3	5.8E2	1	7941	926	Eccentricità X per sisma Y SLV	0	0	0	2.2E4	5.8E2	1
7942	926	Sisma X SLD	44.1	0	0	0	5.8E2	1	7943	926	Sisma Y SLD	0	40.8	0	0	5.8E2	1

Indice	Nodo	Condizione	Fx	Fy	Fz	Mz	Peso	γ	Indice	Nodo	Condizione	Fx	Fy	Fz	Mz	Peso	γ
7944	926	Eccentricità Y per sisma X SLD	0	0	0	-1.1E3	5.8E2	1	7945	926	Eccentricità X per sisma Y SLD	0	0	0	8.5E3	5.8E2	1
7946	927	Sisma X SLV	89.9	0	0	0	5.0E2	1	7947	927	Sisma Y SLV	0	89.9	0	0	5.0E2	1
7948	927	Eccentricità Y per sisma X SLV	0	0	0	-2.2E3	5.0E2	1	7949	927	Eccentricità X per sisma Y SLV	0	0	0	1.9E4	5.0E2	1
7950	927	Sisma X SLD	38.3	0	0	0	5.0E2	1	7951	927	Sisma Y SLD	0	35.5	0	0	5.0E2	1
7952	927	Eccentricità Y per sisma X SLD	0	0	0	-9.6E2	5.0E2	1	7953	927	Eccentricità X per sisma Y SLD	0	0	0	7.4E3	5.0E2	1
7954	928	Sisma X SLV	96.2	0	0	0	5.4E2	1	7955	928	Sisma Y SLV	0	96.2	0	0	5.4E2	1
7956	928	Eccentricità Y per sisma X SLV	0	0	0	-2.4E3	5.4E2	1	7957	928	Eccentricità X per sisma Y SLV	0	0	0	2.0E4	5.4E2	1
7958	928	Sisma X SLD	41	0	0	0	5.4E2	1	7959	928	Sisma Y SLD	0	37.9	0	0	5.4E2	1
7960	928	Eccentricità Y per sisma X SLD	0	0	0	-1024	5.4E2	1	7961	928	Eccentricità X per sisma Y SLD	0	0	0	7.9E3	5.4E2	1
7962	929	Sisma X SLV	90.2	0	0	0	5.1E2	1	7963	929	Sisma Y SLV	0	90.2	0	0	5.1E2	1
7964	929	Eccentricità Y per sisma X SLV	0	0	0	-2.3E3	5.1E2	1	7965	929	Eccentricità X per sisma Y SLV	0	0	0	1.9E4	5.1E2	1
7966	929	Sisma X SLD	38.4	0	0	0	5.1E2	1	7967	929	Sisma Y SLD	0	35.6	0	0	5.1E2	1
7968	929	Eccentricità Y per sisma X SLD	0	0	0	-9.6E2	5.1E2	1	7969	929	Eccentricità X per sisma Y SLD	0	0	0	7.4E3	5.1E2	1
7970	930	Sisma X SLV	79.5	0	0	0	4.5E2	1	7971	930	Sisma Y SLV	0	79.5	0	0	4.5E2	1
7972	930	Eccentricità Y per sisma X SLV	0	0	0	-2.0E3	4.5E2	1	7973	930	Eccentricità X per sisma Y SLV	0	0	0	1.7E4	4.5E2	1
7974	930	Sisma X SLD	33.9	0	0	0	4.5E2	1	7975	930	Sisma Y SLD	0	31.3	0	0	4.5E2	1
7976	930	Eccentricità Y per sisma X SLD	0	0	0	-8.5E2	4.5E2	1	7977	930	Eccentricità X per sisma Y SLD	0	0	0	6.5E3	4.5E2	1
7978	931	Sisma X SLV	26.9	0	0	0	1.5E2	1	7979	931	Sisma Y SLV	0	26.9	0	0	1.5E2	1
7980	931	Eccentricità Y per sisma X SLV	0	0	0	-6.7E2	1.5E2	1	7981	931	Eccentricità X per sisma Y SLV	0	0	0	5.6E3	1.5E2	1
7982	931	Sisma X SLD	11.4	0	0	0	1.5E2	1	7983	931	Sisma Y SLD	0	10.6	0	0	1.5E2	1
7984	931	Eccentricità Y per sisma X SLD	0	0	0	-2.9E2	1.5E2	1	7985	931	Eccentricità X per sisma Y SLD	0	0	0	2.2E3	1.5E2	1
7986	932	Sisma X SLV	91.5	0	0	0	5.1E2	1	7987	932	Sisma Y SLV	0	91.5	0	0	5.1E2	1
7988	932	Eccentricità Y per sisma X SLV	0	0	0	-2.3E3	5.1E2	1	7989	932	Eccentricità X per sisma Y SLV	0	0	0	1.9E4	5.1E2	1
7990	932	Sisma X SLD	39	0	0	0	5.1E2	1	7991	932	Sisma Y SLD	0	36.1	0	0	5.1E2	1
7992	932	Eccentricità Y per sisma X SLD	0	0	0	-9.7E2	5.1E2	1	7993	932	Eccentricità X per sisma Y SLD	0	0	0	7.5E3	5.1E2	1
7994	933	Sisma X SLV	30.5	0	0	0	1.7E2	1	7995	933	Sisma Y SLV	0	30.5	0	0	1.7E2	1
7996	933	Eccentricità Y per sisma X SLV	0	0	0	-7.6E2	1.7E2	1	7997	933	Eccentricità X per sisma Y SLV	0	0	0	6.3E3	1.7E2	1
7998	933	Sisma X SLD	13	0	0	0	1.7E2	1	7999	933	Sisma Y SLD	0	12	0	0	1.7E2	1
8000	933	Eccentricità Y per sisma X SLD	0	0	0	-3.2E2	1.7E2	1	8001	933	Eccentricità X per sisma Y SLD	0	0	0	2.5E3	1.7E2	1
8002	934	Sisma X SLV	93	0	0	0	5.2E2	1	8003	934	Sisma Y SLV	0	93	0	0	5.2E2	1
8004	934	Eccentricità Y per sisma X SLV	0	0	0	-2.3E3	5.2E2	1	8005	934	Eccentricità X per sisma Y SLV	0	0	0	1.9E4	5.2E2	1
8006	934	Sisma X SLD	39.7	0	0	0	5.2E2	1	8007	934	Sisma Y SLD	0	36.7	0	0	5.2E2	1
8008	934	Eccentricità Y per sisma X SLD	0	0	0	-9.9E2	5.2E2	1	8009	934	Eccentricità X per sisma Y SLD	0	0	0	7.6E3	5.2E2	1
8010	935	Sisma X SLV	72.3	0	0	0	4.0E2	1	8011	935	Sisma Y SLV	0	72.3	0	0	4.0E2	1
8012	935	Eccentricità Y per sisma X SLV	0	0	0	-1.8E3	4.0E2	1	8013	935	Eccentricità X per sisma Y SLV	0	0	0	1.5E4	4.0E2	1
8014	935	Sisma X SLD	30.8	0	0	0	4.0E2	1	8015	935	Sisma Y SLD	0	28.5	0	0	4.0E2	1
8016	935	Eccentricità Y per sisma X SLD	0	0	0	-7.7E2	4.0E2	1	8017	935	Eccentricità X per sisma Y SLD	0	0	0	5929	4.0E2	1
8018	936	Sisma X SLV	96.7	0	0	0	5.4E2	1	8019	936	Sisma Y SLV	0	96.7	0	0	5.4E2	1
8020	936	Eccentricità Y per sisma X SLV	0	0	0	-2.4E3	5.4E2	1	8021	936	Eccentricità X per sisma Y SLV	0	0	0	2.0E4	5.4E2	1
8022	936	Sisma X SLD	41.2	0	0	0	5.4E2	1	8023	936	Sisma Y SLD	0	38.1	0	0	5.4E2	1
8024	936	Eccentricità Y per sisma X SLD	0	0	0	-1.0E3	5.4E2	1	8025	936	Eccentricità X per sisma Y SLD	0	0	0	7.9E3	5.4E2	1
8026	937	Sisma X SLV	49.5	0	0	0	2.8E2	1	8027	937	Sisma Y SLV	0	49.5	0	0	2.8E2	1
8028	937	Eccentricità Y per sisma X SLV	0	0	0	-1237	2.8E2	1	8029	937	Eccentricità X per sisma Y SLV	0	0	0	1.0E4	2.8E2	1
8030	937	Sisma X SLD	21.1	0	0	0	2.8E2	1	8031	937	Sisma Y SLD	0	19.5	0	0	2.8E2	1
8032	937	Eccentricità Y per sisma X SLD	0	0	0	-5.3E2	2.8E2	1	8033	937	Eccentricità X per sisma Y SLD	0	0	0	4.1E3	2.8E2	1
8034	938	Sisma X SLV	69.3	0	0	0	3.9E2	1	8035	938	Sisma Y SLV	0	69.3	0	0	3.9E2	1

Indice	Nodo	Condizione	Fx	Fy	Fz	Mz	Peso	γ	Indice	Nodo	Condizione	Fx	Fy	Fz	Mz	Peso	γ
8036	938	Eccentricità Y per sisma X SLV	0	0	0	-1.7E3	3.9E2	1	8037	938	Eccentricità X per sisma Y SLV	0	0	0	1.4E4	3.9E2	1
8038	938	Sisma X SLD	29.5	0	0	0	3.9E2	1	8039	938	Sisma Y SLD	0	27.3	0	0	3.9E2	1
8040	938	Eccentricità Y per sisma X SLD	0	0	0	-7.4E2	3.9E2	1	8041	938	Eccentricità X per sisma Y SLD	0	0	0	5.7E3	3.9E2	1
8042	939	Sisma X SLV	258.9	0	0	0	1.5E3	1	8043	939	Sisma Y SLV	0	258.9	0	0	1.5E3	1
8044	939	Eccentricità Y per sisma X SLV	0	0	0	-6.5E3	1.5E3	1	8045	939	Eccentricità X per sisma Y SLV	0	0	0	5.4E4	1.5E3	1
8046	939	Sisma X SLD	110.3	0	0	0	1.5E3	1	8047	939	Sisma Y SLD	0	102.1	0	0	1.5E3	1
8048	939	Eccentricità Y per sisma X SLD	0	0	0	-2755	1.5E3	1	8049	939	Eccentricità X per sisma Y SLD	0	0	0	2.1E4	1.5E3	1
8050	940	Sisma X SLV	98	0	0	0	5.5E2	1	8051	940	Sisma Y SLV	0	98	0	0	5.5E2	1
8052	940	Eccentricità Y per sisma X SLV	0	0	0	-2.4E3	5.5E2	1	8053	940	Eccentricità X per sisma Y SLV	0	0	0	20380	5.5E2	1
8054	940	Sisma X SLD	41.8	0	0	0	5.5E2	1	8055	940	Sisma Y SLD	0	38.6	0	0	5.5E2	1
8056	940	Eccentricità Y per sisma X SLD	0	0	0	-1.0E3	5.5E2	1	8057	940	Eccentricità X per sisma Y SLD	0	0	0	8037	5.5E2	1
8058	941	Sisma X SLV	98	0	0	0	5.5E2	1	8059	941	Sisma Y SLV	0	98	0	0	5.5E2	1
8060	941	Eccentricità Y per sisma X SLV	0	0	0	-2.4E3	5.5E2	1	8061	941	Eccentricità X per sisma Y SLV	0	0	0	20380	5.5E2	1
8062	941	Sisma X SLD	41.8	0	0	0	5.5E2	1	8063	941	Sisma Y SLD	0	38.6	0	0	5.5E2	1
8064	941	Eccentricità Y per sisma X SLD	0	0	0	-1.0E3	5.5E2	1	8065	941	Eccentricità X per sisma Y SLD	0	0	0	8037	5.5E2	1
8066	942	Sisma X SLV	98	0	0	0	5.5E2	1	8067	942	Sisma Y SLV	0	98	0	0	5.5E2	1
8068	942	Eccentricità Y per sisma X SLV	0	0	0	-2.4E3	5.5E2	1	8069	942	Eccentricità X per sisma Y SLV	0	0	0	20380	5.5E2	1
8070	942	Sisma X SLD	41.8	0	0	0	5.5E2	1	8071	942	Sisma Y SLD	0	38.6	0	0	5.5E2	1
8072	942	Eccentricità Y per sisma X SLD	0	0	0	-1.0E3	5.5E2	1	8073	942	Eccentricità X per sisma Y SLD	0	0	0	8037	5.5E2	1
8074	943	Sisma X SLV	98	0	0	0	5.5E2	1	8075	943	Sisma Y SLV	0	98	0	0	5.5E2	1
8076	943	Eccentricità Y per sisma X SLV	0	0	0	-2.4E3	5.5E2	1	8077	943	Eccentricità X per sisma Y SLV	0	0	0	20380	5.5E2	1
8078	943	Sisma X SLD	41.8	0	0	0	5.5E2	1	8079	943	Sisma Y SLD	0	38.6	0	0	5.5E2	1
8080	943	Eccentricità Y per sisma X SLD	0	0	0	-1.0E3	5.5E2	1	8081	943	Eccentricità X per sisma Y SLD	0	0	0	8037	5.5E2	1
8082	944	Sisma X SLV	98	0	0	0	5.5E2	1	8083	944	Sisma Y SLV	0	98	0	0	5.5E2	1
8084	944	Eccentricità Y per sisma X SLV	0	0	0	-2.4E3	5.5E2	1	8085	944	Eccentricità X per sisma Y SLV	0	0	0	20380	5.5E2	1
8086	944	Sisma X SLD	41.8	0	0	0	5.5E2	1	8087	944	Sisma Y SLD	0	38.6	0	0	5.5E2	1
8088	944	Eccentricità Y per sisma X SLD	0	0	0	-1.0E3	5.5E2	1	8089	944	Eccentricità X per sisma Y SLD	0	0	0	8037	5.5E2	1
8090	945	Sisma X SLV	98	0	0	0	5.5E2	1	8091	945	Sisma Y SLV	0	98	0	0	5.5E2	1
8092	945	Eccentricità Y per sisma X SLV	0	0	0	-2.4E3	5.5E2	1	8093	945	Eccentricità X per sisma Y SLV	0	0	0	20380	5.5E2	1
8094	945	Sisma X SLD	41.8	0	0	0	5.5E2	1	8095	945	Sisma Y SLD	0	38.6	0	0	5.5E2	1
8096	945	Eccentricità Y per sisma X SLD	0	0	0	-1.0E3	5.5E2	1	8097	945	Eccentricità X per sisma Y SLD	0	0	0	8037	5.5E2	1
8098	946	Sisma X SLV	98	0	0	0	5.5E2	1	8099	946	Sisma Y SLV	0	98	0	0	5.5E2	1
8100	946	Eccentricità Y per sisma X SLV	0	0	0	-2.4E3	5.5E2	1	8101	946	Eccentricità X per sisma Y SLV	0	0	0	20380	5.5E2	1
8102	946	Sisma X SLD	41.8	0	0	0	5.5E2	1	8103	946	Sisma Y SLD	0	38.6	0	0	5.5E2	1
8104	946	Eccentricità Y per sisma X SLD	0	0	0	-1.0E3	5.5E2	1	8105	946	Eccentricità X per sisma Y SLD	0	0	0	8037	5.5E2	1
8106	947	Sisma X SLV	98	0	0	0	5.5E2	1	8107	947	Sisma Y SLV	0	98	0	0	5.5E2	1
8108	947	Eccentricità Y per sisma X SLV	0	0	0	-2.4E3	5.5E2	1	8109	947	Eccentricità X per sisma Y SLV	0	0	0	20380	5.5E2	1
8110	947	Sisma X SLD	41.8	0	0	0	5.5E2	1	8111	947	Sisma Y SLD	0	38.6	0	0	5.5E2	1
8112	947	Eccentricità Y per sisma X SLD	0	0	0	-1.0E3	5.5E2	1	8113	947	Eccentricità X per sisma Y SLD	0	0	0	8037	5.5E2	1
8114	948	Sisma X SLV	98	0	0	0	5.5E2	1	8115	948	Sisma Y SLV	0	98	0	0	5.5E2	1
8116	948	Eccentricità Y per sisma X SLV	0	0	0	-2.4E3	5.5E2	1	8117	948	Eccentricità X per sisma Y SLV	0	0	0	20380	5.5E2	1
8118	948	Sisma X SLD	41.8	0	0	0	5.5E2	1	8119	948	Sisma Y SLD	0	38.6	0	0	5.5E2	1
8120	948	Eccentricità Y per sisma X SLD	0	0	0	-1.0E3	5.5E2	1	8121	948	Eccentricità X per sisma Y SLD	0	0	0	8037	5.5E2	1
8122	949	Sisma X SLV	98	0	0	0	5.5E2	1	8123	949	Sisma Y SLV	0	98	0	0	5.5E2	1
8124	949	Eccentricità Y per sisma X SLV	0	0	0	-2.4E3	5.5E2	1	8125	949	Eccentricità X per sisma Y SLV	0	0	0	20380	5.5E2	1
8126	949	Sisma X SLD	41.8	0	0	0	5.5E2	1	8127	949	Sisma Y SLD	0	38.6	0	0	5.5E2	1

Indice	Nodo	Condizione	Fx	Fy	Fz	Mz	Peso	γ	Indice	Nodo	Condizione	Fx	Fy	Fz	Mz	Peso	γ
8128	949	Eccentricità Y per sisma X SLD	0	0	0	-1.0E3	5.5E2	1	8129	949	Eccentricità X per sisma Y SLD	0	0	0	8037	5.5E2	1
8130	950	Sisma X SLV	98	0	0	0	5.5E2	1	8131	950	Sisma Y SLV	0	98	0	0	5.5E2	1
8132	950	Eccentricità Y per sisma X SLV	0	0	0	-2.4E3	5.5E2	1	8133	950	Eccentricità X per sisma Y SLV	0	0	0	20380	5.5E2	1
8134	950	Sisma X SLD	41.8	0	0	0	5.5E2	1	8135	950	Sisma Y SLD	0	38.6	0	0	5.5E2	1
8136	950	Eccentricità Y per sisma X SLD	0	0	0	-1.0E3	5.5E2	1	8137	950	Eccentricità X per sisma Y SLD	0	0	0	8037	5.5E2	1
8138	951	Sisma X SLV	297.3	0	0	0	1.7E3	1	8139	951	Sisma Y SLV	0	297.3	0	0	1.7E3	1
8140	951	Eccentricità Y per sisma X SLV	0	0	0	-7.4E3	1.7E3	1	8141	951	Eccentricità X per sisma Y SLV	0	0	0	6.2E4	1.7E3	1
8142	951	Sisma X SLD	126.7	0	0	0	1.7E3	1	8143	951	Sisma Y SLD	0	117.2	0	0	1.7E3	1
8144	951	Eccentricità Y per sisma X SLD	0	0	0	-3.2E3	1.7E3	1	8145	951	Eccentricità X per sisma Y SLD	0	0	0	2.4E4	1.7E3	1
8146	952	Sisma X SLV	98	0	0	0	5.5E2	1	8147	952	Sisma Y SLV	0	98	0	0	5.5E2	1
8148	952	Eccentricità Y per sisma X SLV	0	0	0	-2.4E3	5.5E2	1	8149	952	Eccentricità X per sisma Y SLV	0	0	0	20380	5.5E2	1
8150	952	Sisma X SLD	41.8	0	0	0	5.5E2	1	8151	952	Sisma Y SLD	0	38.6	0	0	5.5E2	1
8152	952	Eccentricità Y per sisma X SLD	0	0	0	-1.0E3	5.5E2	1	8153	952	Eccentricità X per sisma Y SLD	0	0	0	8037	5.5E2	1
8154	953	Sisma X SLV	98	0	0	0	5.5E2	1	8155	953	Sisma Y SLV	0	98	0	0	5.5E2	1
8156	953	Eccentricità Y per sisma X SLV	0	0	0	-2.4E3	5.5E2	1	8157	953	Eccentricità X per sisma Y SLV	0	0	0	20380	5.5E2	1
8158	953	Sisma X SLD	41.8	0	0	0	5.5E2	1	8159	953	Sisma Y SLD	0	38.6	0	0	5.5E2	1
8160	953	Eccentricità Y per sisma X SLD	0	0	0	-1.0E3	5.5E2	1	8161	953	Eccentricità X per sisma Y SLD	0	0	0	8037	5.5E2	1
8162	954	Sisma X SLV	98	0	0	0	5.5E2	1	8163	954	Sisma Y SLV	0	98	0	0	5.5E2	1
8164	954	Eccentricità Y per sisma X SLV	0	0	0	-2.4E3	5.5E2	1	8165	954	Eccentricità X per sisma Y SLV	0	0	0	20380	5.5E2	1
8166	954	Sisma X SLD	41.8	0	0	0	5.5E2	1	8167	954	Sisma Y SLD	0	38.6	0	0	5.5E2	1
8168	954	Eccentricità Y per sisma X SLD	0	0	0	-1.0E3	5.5E2	1	8169	954	Eccentricità X per sisma Y SLD	0	0	0	8037	5.5E2	1
8170	955	Sisma X SLV	98	0	0	0	5.5E2	1	8171	955	Sisma Y SLV	0	98	0	0	5.5E2	1
8172	955	Eccentricità Y per sisma X SLV	0	0	0	-2.4E3	5.5E2	1	8173	955	Eccentricità X per sisma Y SLV	0	0	0	20380	5.5E2	1
8174	955	Sisma X SLD	41.8	0	0	0	5.5E2	1	8175	955	Sisma Y SLD	0	38.6	0	0	5.5E2	1
8176	955	Eccentricità Y per sisma X SLD	0	0	0	-1.0E3	5.5E2	1	8177	955	Eccentricità X per sisma Y SLD	0	0	0	8037	5.5E2	1
8178	956	Sisma X SLV	98	0	0	0	5.5E2	1	8179	956	Sisma Y SLV	0	98	0	0	5.5E2	1
8180	956	Eccentricità Y per sisma X SLV	0	0	0	-2.4E3	5.5E2	1	8181	956	Eccentricità X per sisma Y SLV	0	0	0	20380	5.5E2	1
8182	956	Sisma X SLD	41.8	0	0	0	5.5E2	1	8183	956	Sisma Y SLD	0	38.6	0	0	5.5E2	1
8184	956	Eccentricità Y per sisma X SLD	0	0	0	-1.0E3	5.5E2	1	8185	956	Eccentricità X per sisma Y SLD	0	0	0	8037	5.5E2	1
8186	957	Sisma X SLV	98	0	0	0	5.5E2	1	8187	957	Sisma Y SLV	0	98	0	0	5.5E2	1
8188	957	Eccentricità Y per sisma X SLV	0	0	0	-2.4E3	5.5E2	1	8189	957	Eccentricità X per sisma Y SLV	0	0	0	20380	5.5E2	1
8190	957	Sisma X SLD	41.8	0	0	0	5.5E2	1	8191	957	Sisma Y SLD	0	38.6	0	0	5.5E2	1
8192	957	Eccentricità Y per sisma X SLD	0	0	0	-1.0E3	5.5E2	1	8193	957	Eccentricità X per sisma Y SLD	0	0	0	8037	5.5E2	1
8194	958	Sisma X SLV	98	0	0	0	5.5E2	1	8195	958	Sisma Y SLV	0	98	0	0	5.5E2	1
8196	958	Eccentricità Y per sisma X SLV	0	0	0	-2.4E3	5.5E2	1	8197	958	Eccentricità X per sisma Y SLV	0	0	0	20380	5.5E2	1
8198	958	Sisma X SLD	41.8	0	0	0	5.5E2	1	8199	958	Sisma Y SLD	0	38.6	0	0	5.5E2	1
8200	958	Eccentricità Y per sisma X SLD	0	0	0	-1.0E3	5.5E2	1	8201	958	Eccentricità X per sisma Y SLD	0	0	0	8037	5.5E2	1
8202	959	Sisma X SLV	98	0	0	0	5.5E2	1	8203	959	Sisma Y SLV	0	98	0	0	5.5E2	1
8204	959	Eccentricità Y per sisma X SLV	0	0	0	-2.4E3	5.5E2	1	8205	959	Eccentricità X per sisma Y SLV	0	0	0	20380	5.5E2	1
8206	959	Sisma X SLD	41.8	0	0	0	5.5E2	1	8207	959	Sisma Y SLD	0	38.6	0	0	5.5E2	1
8208	959	Eccentricità Y per sisma X SLD	0	0	0	-1.0E3	5.5E2	1	8209	959	Eccentricità X per sisma Y SLD	0	0	0	8037	5.5E2	1
8210	960	Sisma X SLV	98	0	0	0	5.5E2	1	8211	960	Sisma Y SLV	0	98	0	0	5.5E2	1
8212	960	Eccentricità Y per sisma X SLV	0	0	0	-2.4E3	5.5E2	1	8213	960	Eccentricità X per sisma Y SLV	0	0	0	20380	5.5E2	1
8214	960	Sisma X SLD	41.8	0	0	0	5.5E2	1	8215	960	Sisma Y SLD	0	38.6	0	0	5.5E2	1
8216	960	Eccentricità Y per sisma X SLD	0	0	0	-1.0E3	5.5E2	1	8217	960	Eccentricità X per sisma Y SLD	0	0	0	8037	5.5E2	1
8218	961	Sisma X SLV	98	0	0	0	5.5E2	1	8219	961	Sisma Y SLV	0	98	0	0	5.5E2	1

Indice	Nodo	Condizione	Fx	Fy	Fz	Mz	Peso	γ	Indice	Nodo	Condizione	Fx	Fy	Fz	Mz	Peso	γ
8220	961	Eccentricità Y per sisma X SLV	0	0	0	-2.4E3	5.5E2	1	8221	961	Eccentricità X per sisma Y SLV	0	0	0	20380	5.5E2	1
8222	961	Sisma X SLD	41.8	0	0	0	5.5E2	1	8223	961	Sisma Y SLD	0	38.6	0	0	5.5E2	1
8224	961	Eccentricità Y per sisma X SLD	0	0	0	-1.0E3	5.5E2	1	8225	961	Eccentricità X per sisma Y SLD	0	0	0	8037	5.5E2	1
8226	962	Sisma X SLV	98	0	0	0	5.5E2	1	8227	962	Sisma Y SLV	0	98	0	0	5.5E2	1
8228	962	Eccentricità Y per sisma X SLV	0	0	0	-2.4E3	5.5E2	1	8229	962	Eccentricità X per sisma Y SLV	0	0	0	20380	5.5E2	1
8230	962	Sisma X SLD	41.8	0	0	0	5.5E2	1	8231	962	Sisma Y SLD	0	38.6	0	0	5.5E2	1
8232	962	Eccentricità Y per sisma X SLD	0	0	0	-1.0E3	5.5E2	1	8233	962	Eccentricità X per sisma Y SLD	0	0	0	8037	5.5E2	1
8234	963	Sisma X SLV	297.3	0	0	0	1.7E3	1	8235	963	Sisma Y SLV	0	297.3	0	0	1.7E3	1
8236	963	Eccentricità Y per sisma X SLV	0	0	0	-7.4E3	1.7E3	1	8237	963	Eccentricità X per sisma Y SLV	0	0	0	6.2E4	1.7E3	1
8238	963	Sisma X SLD	126.7	0	0	0	1.7E3	1	8239	963	Sisma Y SLD	0	117.2	0	0	1.7E3	1
8240	963	Eccentricità Y per sisma X SLD	0	0	0	-3.2E3	1.7E3	1	8241	963	Eccentricità X per sisma Y SLD	0	0	0	2.4E4	1.7E3	1
8242	964	Sisma X SLV	98	0	0	0	5.5E2	1	8243	964	Sisma Y SLV	0	98	0	0	5.5E2	1
8244	964	Eccentricità Y per sisma X SLV	0	0	0	-2.4E3	5.5E2	1	8245	964	Eccentricità X per sisma Y SLV	0	0	0	20380	5.5E2	1
8246	964	Sisma X SLD	41.8	0	0	0	5.5E2	1	8247	964	Sisma Y SLD	0	38.6	0	0	5.5E2	1
8248	964	Eccentricità Y per sisma X SLD	0	0	0	-1.0E3	5.5E2	1	8249	964	Eccentricità X per sisma Y SLD	0	0	0	8037	5.5E2	1
8250	965	Sisma X SLV	98	0	0	0	5.5E2	1	8251	965	Sisma Y SLV	0	98	0	0	5.5E2	1
8252	965	Eccentricità Y per sisma X SLV	0	0	0	-2.4E3	5.5E2	1	8253	965	Eccentricità X per sisma Y SLV	0	0	0	20380	5.5E2	1
8254	965	Sisma X SLD	41.8	0	0	0	5.5E2	1	8255	965	Sisma Y SLD	0	38.6	0	0	5.5E2	1
8256	965	Eccentricità Y per sisma X SLD	0	0	0	-1.0E3	5.5E2	1	8257	965	Eccentricità X per sisma Y SLD	0	0	0	8037	5.5E2	1
8258	966	Sisma X SLV	98	0	0	0	5.5E2	1	8259	966	Sisma Y SLV	0	98	0	0	5.5E2	1
8260	966	Eccentricità Y per sisma X SLV	0	0	0	-2.4E3	5.5E2	1	8261	966	Eccentricità X per sisma Y SLV	0	0	0	20380	5.5E2	1
8262	966	Sisma X SLD	41.8	0	0	0	5.5E2	1	8263	966	Sisma Y SLD	0	38.6	0	0	5.5E2	1
8264	966	Eccentricità Y per sisma X SLD	0	0	0	-1.0E3	5.5E2	1	8265	966	Eccentricità X per sisma Y SLD	0	0	0	8037	5.5E2	1
8266	967	Sisma X SLV	98	0	0	0	5.5E2	1	8267	967	Sisma Y SLV	0	98	0	0	5.5E2	1
8268	967	Eccentricità Y per sisma X SLV	0	0	0	-2.4E3	5.5E2	1	8269	967	Eccentricità X per sisma Y SLV	0	0	0	20380	5.5E2	1
8270	967	Sisma X SLD	41.8	0	0	0	5.5E2	1	8271	967	Sisma Y SLD	0	38.6	0	0	5.5E2	1
8272	967	Eccentricità Y per sisma X SLD	0	0	0	-1.0E3	5.5E2	1	8273	967	Eccentricità X per sisma Y SLD	0	0	0	8037	5.5E2	1
8274	968	Sisma X SLV	98	0	0	0	5.5E2	1	8275	968	Sisma Y SLV	0	98	0	0	5.5E2	1
8276	968	Eccentricità Y per sisma X SLV	0	0	0	-2.4E3	5.5E2	1	8277	968	Eccentricità X per sisma Y SLV	0	0	0	20380	5.5E2	1
8278	968	Sisma X SLD	41.8	0	0	0	5.5E2	1	8279	968	Sisma Y SLD	0	38.6	0	0	5.5E2	1
8280	968	Eccentricità Y per sisma X SLD	0	0	0	-1.0E3	5.5E2	1	8281	968	Eccentricità X per sisma Y SLD	0	0	0	8037	5.5E2	1
8282	969	Sisma X SLV	98	0	0	0	5.5E2	1	8283	969	Sisma Y SLV	0	98	0	0	5.5E2	1
8284	969	Eccentricità Y per sisma X SLV	0	0	0	-2.4E3	5.5E2	1	8285	969	Eccentricità X per sisma Y SLV	0	0	0	20380	5.5E2	1
8286	969	Sisma X SLD	41.8	0	0	0	5.5E2	1	8287	969	Sisma Y SLD	0	38.6	0	0	5.5E2	1
8288	969	Eccentricità Y per sisma X SLD	0	0	0	-1.0E3	5.5E2	1	8289	969	Eccentricità X per sisma Y SLD	0	0	0	8037	5.5E2	1
8290	970	Sisma X SLV	98	0	0	0	5.5E2	1	8291	970	Sisma Y SLV	0	98	0	0	5.5E2	1
8292	970	Eccentricità Y per sisma X SLV	0	0	0	-2.4E3	5.5E2	1	8293	970	Eccentricità X per sisma Y SLV	0	0	0	20380	5.5E2	1
8294	970	Sisma X SLD	41.8	0	0	0	5.5E2	1	8295	970	Sisma Y SLD	0	38.6	0	0	5.5E2	1
8296	970	Eccentricità Y per sisma X SLD	0	0	0	-1.0E3	5.5E2	1	8297	970	Eccentricità X per sisma Y SLD	0	0	0	8037	5.5E2	1
8298	971	Sisma X SLV	98	0	0	0	5.5E2	1	8299	971	Sisma Y SLV	0	98	0	0	5.5E2	1
8300	971	Eccentricità Y per sisma X SLV	0	0	0	-2.4E3	5.5E2	1	8301	971	Eccentricità X per sisma Y SLV	0	0	0	20380	5.5E2	1
8302	971	Sisma X SLD	41.8	0	0	0	5.5E2	1	8303	971	Sisma Y SLD	0	38.6	0	0	5.5E2	1
8304	971	Eccentricità Y per sisma X SLD	0	0	0	-1.0E3	5.5E2	1	8305	971	Eccentricità X per sisma Y SLD	0	0	0	8037	5.5E2	1
8306	972	Sisma X SLV	98	0	0	0	5.5E2	1	8307	972	Sisma Y SLV	0	98	0	0	5.5E2	1
8308	972	Eccentricità Y per sisma X SLV	0	0	0	-2.4E3	5.5E2	1	8309	972	Eccentricità X per sisma Y SLV	0	0	0	20380	5.5E2	1
8310	972	Sisma X SLD	41.8	0	0	0	5.5E2	1	8311	972	Sisma Y SLD	0	38.6	0	0	5.5E2	1

Indice	Nodo	Condizione	Fx	Fy	Fz	Mz	Peso	γ	Indice	Nodo	Condizione	Fx	Fy	Fz	Mz	Peso	γ
8312	972	Eccentricità Y per sisma X SLD	0	0	0	-1.0E3	5.5E2	1	8313	972	Eccentricità X per sisma Y SLD	0	0	0	8037	5.5E2	1
8314	973	Sisma X SLV	98	0	0	0	5.5E2	1	8315	973	Sisma Y SLV	0	98	0	0	5.5E2	1
8316	973	Eccentricità Y per sisma X SLV	0	0	0	-2.4E3	5.5E2	1	8317	973	Eccentricità X per sisma Y SLV	0	0	0	20380	5.5E2	1
8318	973	Sisma X SLD	41.8	0	0	0	5.5E2	1	8319	973	Sisma Y SLD	0	38.6	0	0	5.5E2	1
8320	973	Eccentricità Y per sisma X SLD	0	0	0	-1.0E3	5.5E2	1	8321	973	Eccentricità X per sisma Y SLD	0	0	0	8037	5.5E2	1
8322	974	Sisma X SLV	98	0	0	0	5.5E2	1	8323	974	Sisma Y SLV	0	98	0	0	5.5E2	1
8324	974	Eccentricità Y per sisma X SLV	0	0	0	-2.4E3	5.5E2	1	8325	974	Eccentricità X per sisma Y SLV	0	0	0	20380	5.5E2	1
8326	974	Sisma X SLD	41.8	0	0	0	5.5E2	1	8327	974	Sisma Y SLD	0	38.6	0	0	5.5E2	1
8328	974	Eccentricità Y per sisma X SLD	0	0	0	-1.0E3	5.5E2	1	8329	974	Eccentricità X per sisma Y SLD	0	0	0	8037	5.5E2	1
8330	975	Sisma X SLV	297.7	0	0	0	1.7E3	1	8331	975	Sisma Y SLV	0	297.7	0	0	1.7E3	1
8332	975	Eccentricità Y per sisma X SLV	0	0	0	-7.4E3	1.7E3	1	8333	975	Eccentricità X per sisma Y SLV	0	0	0	6.2E4	1.7E3	1
8334	975	Sisma X SLD	126.9	0	0	0	1.7E3	1	8335	975	Sisma Y SLD	0	117.4	0	0	1.7E3	1
8336	975	Eccentricità Y per sisma X SLD	0	0	0	-3168	1.7E3	1	8337	975	Eccentricità X per sisma Y SLD	0	0	0	24417	1.7E3	1
8338	976	Sisma X SLV	98.8	0	0	0	5.5E2	1	8339	976	Sisma Y SLV	0	98.8	0	0	5.5E2	1
8340	976	Eccentricità Y per sisma X SLV	0	0	0	-2.5E3	5.5E2	1	8341	976	Eccentricità X per sisma Y SLV	0	0	0	2.1E4	5.5E2	1
8342	976	Sisma X SLD	42.1	0	0	0	5.5E2	1	8343	976	Sisma Y SLD	0	38.9	0	0	5.5E2	1
8344	976	Eccentricità Y per sisma X SLD	0	0	0	-1.1E3	5.5E2	1	8345	976	Eccentricità X per sisma Y SLD	0	0	0	8101	5.5E2	1
8346	977	Sisma X SLV	98.8	0	0	0	5.5E2	1	8347	977	Sisma Y SLV	0	98.8	0	0	5.5E2	1
8348	977	Eccentricità Y per sisma X SLV	0	0	0	-2.5E3	5.5E2	1	8349	977	Eccentricità X per sisma Y SLV	0	0	0	2.1E4	5.5E2	1
8350	977	Sisma X SLD	42.1	0	0	0	5.5E2	1	8351	977	Sisma Y SLD	0	38.9	0	0	5.5E2	1
8352	977	Eccentricità Y per sisma X SLD	0	0	0	-1.1E3	5.5E2	1	8353	977	Eccentricità X per sisma Y SLD	0	0	0	8101	5.5E2	1
8354	978	Sisma X SLV	98.8	0	0	0	5.5E2	1	8355	978	Sisma Y SLV	0	98.8	0	0	5.5E2	1
8356	978	Eccentricità Y per sisma X SLV	0	0	0	-2.5E3	5.5E2	1	8357	978	Eccentricità X per sisma Y SLV	0	0	0	2.1E4	5.5E2	1
8358	978	Sisma X SLD	42.1	0	0	0	5.5E2	1	8359	978	Sisma Y SLD	0	38.9	0	0	5.5E2	1
8360	978	Eccentricità Y per sisma X SLD	0	0	0	-1.1E3	5.5E2	1	8361	978	Eccentricità X per sisma Y SLD	0	0	0	8.1E3	5.5E2	1
8362	979	Sisma X SLV	98.8	0	0	0	5.5E2	1	8363	979	Sisma Y SLV	0	98.8	0	0	5.5E2	1
8364	979	Eccentricità Y per sisma X SLV	0	0	0	-2.5E3	5.5E2	1	8365	979	Eccentricità X per sisma Y SLV	0	0	0	2.1E4	5.5E2	1
8366	979	Sisma X SLD	42.1	0	0	0	5.5E2	1	8367	979	Sisma Y SLD	0	38.9	0	0	5.5E2	1
8368	979	Eccentricità Y per sisma X SLD	0	0	0	-1.1E3	5.5E2	1	8369	979	Eccentricità X per sisma Y SLD	0	0	0	8.1E3	5.5E2	1
8370	980	Sisma X SLV	98.8	0	0	0	5.5E2	1	8371	980	Sisma Y SLV	0	98.8	0	0	5.5E2	1
8372	980	Eccentricità Y per sisma X SLV	0	0	0	-2.5E3	5.5E2	1	8373	980	Eccentricità X per sisma Y SLV	0	0	0	20541	5.5E2	1
8374	980	Sisma X SLD	42.1	0	0	0	5.5E2	1	8375	980	Sisma Y SLD	0	38.9	0	0	5.5E2	1
8376	980	Eccentricità Y per sisma X SLD	0	0	0	-1051	5.5E2	1	8377	980	Eccentricità X per sisma Y SLD	0	0	0	8.1E3	5.5E2	1
8378	981	Sisma X SLV	98.7	0	0	0	5.5E2	1	8379	981	Sisma Y SLV	0	98.7	0	0	5.5E2	1
8380	981	Eccentricità Y per sisma X SLV	0	0	0	-2.5E3	5.5E2	1	8381	981	Eccentricità X per sisma Y SLV	0	0	0	2.1E4	5.5E2	1
8382	981	Sisma X SLD	42.1	0	0	0	5.5E2	1	8383	981	Sisma Y SLD	0	38.9	0	0	5.5E2	1
8384	981	Eccentricità Y per sisma X SLD	0	0	0	-1.1E3	5.5E2	1	8385	981	Eccentricità X per sisma Y SLD	0	0	0	8.1E3	5.5E2	1
8386	982	Sisma X SLV	98.7	0	0	0	5.5E2	1	8387	982	Sisma Y SLV	0	98.7	0	0	5.5E2	1
8388	982	Eccentricità Y per sisma X SLV	0	0	0	-2.5E3	5.5E2	1	8389	982	Eccentricità X per sisma Y SLV	0	0	0	2.1E4	5.5E2	1
8390	982	Sisma X SLD	42.1	0	0	0	5.5E2	1	8391	982	Sisma Y SLD	0	38.9	0	0	5.5E2	1
8392	982	Eccentricità Y per sisma X SLD	0	0	0	-1.1E3	5.5E2	1	8393	982	Eccentricità X per sisma Y SLD	0	0	0	8.1E3	5.5E2	1
8394	983	Sisma X SLV	98.4	0	0	0	5.5E2	1	8395	983	Sisma Y SLV	0	98.4	0	0	5.5E2	1
8396	983	Eccentricità Y per sisma X SLV	0	0	0	-2.5E3	5.5E2	1	8397	983	Eccentricità X per sisma Y SLV	0	0	0	2.0E4	5.5E2	1
8398	983	Sisma X SLD	42	0	0	0	5.5E2	1	8399	983	Sisma Y SLD	0	38.8	0	0	5.5E2	1
8400	983	Eccentricità Y per sisma X SLD	0	0	0	-1.0E3	5.5E2	1	8401	983	Eccentricità X per sisma Y SLD	0	0	0	8.1E3	5.5E2	1
8402	984	Sisma X SLV	97.1	0	0	0	5.4E2	1	8403	984	Sisma Y SLV	0	97.1	0	0	5.4E2	1

Indice	Nodo	Condizione	Fx	Fy	Fz	Mz	Peso	γ
8404	984	Eccentricità Y per sisma X SLV	0	0	0	-2.4E3	5.4E2	1
8406	984	Sisma X SLD	41.4	0	0	0	5.4E2	1
8408	984	Eccentricità Y per sisma X SLD	0	0	0	-1.0E3	5.4E2	1
8410	985	Sisma X SLV	95.9	0	0	0	5.4E2	1
8412	985	Eccentricità Y per sisma X SLV	0	0	0	-2.4E3	5.4E2	1
8414	985	Sisma X SLD	40.9	0	0	0	5.4E2	1
8416	985	Eccentricità Y per sisma X SLD	0	0	0	-1021	5.4E2	1
8418	986	Sisma X SLV	95.7	0	0	0	5.4E2	1
8420	986	Eccentricità Y per sisma X SLV	0	0	0	-2.4E3	5.4E2	1
8422	986	Sisma X SLD	40.8	0	0	0	5.4E2	1
8424	986	Eccentricità Y per sisma X SLD	0	0	0	-1.0E3	5.4E2	1
8426	987	Sisma X SLV	296.2	0	0	0	1.7E3	1
8428	987	Eccentricità Y per sisma X SLV	0	0	0	-7.4E3	1.7E3	1
8430	987	Sisma X SLD	126.3	0	0	0	1.7E3	1
8432	987	Eccentricità Y per sisma X SLD	0	0	0	-3.2E3	1.7E3	1
8434	988	Sisma X SLV	98	0	0	0	5.5E2	1
8436	988	Eccentricità Y per sisma X SLV	0	0	0	-2.4E3	5.5E2	1
8438	988	Sisma X SLD	41.8	0	0	0	5.5E2	1
8440	988	Eccentricità Y per sisma X SLD	0	0	0	-1.0E3	5.5E2	1
8442	989	Sisma X SLV	98	0	0	0	5.5E2	1
8444	989	Eccentricità Y per sisma X SLV	0	0	0	-2.4E3	5.5E2	1
8446	989	Sisma X SLD	41.8	0	0	0	5.5E2	1
8448	989	Eccentricità Y per sisma X SLD	0	0	0	-1.0E3	5.5E2	1
8450	990	Sisma X SLV	98	0	0	0	5.5E2	1
8452	990	Eccentricità Y per sisma X SLV	0	0	0	-2.4E3	5.5E2	1
8454	990	Sisma X SLD	41.8	0	0	0	5.5E2	1
8456	990	Eccentricità Y per sisma X SLD	0	0	0	-1.0E3	5.5E2	1
8458	991	Sisma X SLV	98	0	0	0	5.5E2	1
8460	991	Eccentricità Y per sisma X SLV	0	0	0	-2.4E3	5.5E2	1
8462	991	Sisma X SLD	41.8	0	0	0	5.5E2	1
8464	991	Eccentricità Y per sisma X SLD	0	0	0	-1.0E3	5.5E2	1
8466	992	Sisma X SLV	98	0	0	0	5.5E2	1
8468	992	Eccentricità Y per sisma X SLV	0	0	0	-2.4E3	5.5E2	1
8470	992	Sisma X SLD	41.8	0	0	0	5.5E2	1
8472	992	Eccentricità Y per sisma X SLD	0	0	0	-1.0E3	5.5E2	1
8474	993	Sisma X SLV	98	0	0	0	5.5E2	1
8476	993	Eccentricità Y per sisma X SLV	0	0	0	-2.4E3	5.5E2	1
8478	993	Sisma X SLD	41.8	0	0	0	5.5E2	1
8480	993	Eccentricità Y per sisma X SLD	0	0	0	-1.0E3	5.5E2	1
8482	994	Sisma X SLV	98	0	0	0	5.5E2	1
8484	994	Eccentricità Y per sisma X SLV	0	0	0	-2.4E3	5.5E2	1
8486	994	Sisma X SLD	41.8	0	0	0	5.5E2	1
8488	994	Eccentricità Y per sisma X SLD	0	0	0	-1.0E3	5.5E2	1
8490	995	Sisma X SLV	98	0	0	0	5.5E2	1
8492	995	Eccentricità Y per sisma X SLV	0	0	0	-2.4E3	5.5E2	1
8494	995	Sisma X SLD	41.8	0	0	0	5.5E2	1

Indice	Nodo	Condizione	Fx	Fy	Fz	Mz	Peso	γ
8405	984	Eccentricità X per sisma Y SLV	0	0	0	2.0E4	5.4E2	1
8407	984	Sisma Y SLD	0	38.3	0	0	5.4E2	1
8409	984	Eccentricità X per sisma Y SLD	0	0	0	8.0E3	5.4E2	1
8411	985	Sisma Y SLV	0	95.9	0	0	5.4E2	1
8413	985	Eccentricità X per sisma Y SLV	0	0	0	19954	5.4E2	1
8415	985	Sisma Y SLD	0	37.8	0	0	5.4E2	1
8417	985	Eccentricità X per sisma Y SLD	0	0	0	7869	5.4E2	1
8419	986	Sisma Y SLV	0	95.7	0	0	5.4E2	1
8421	986	Eccentricità X per sisma Y SLV	0	0	0	2.0E4	5.4E2	1
8423	986	Sisma Y SLD	0	37.7	0	0	5.4E2	1
8425	986	Eccentricità X per sisma Y SLD	0	0	0	7.9E3	5.4E2	1
8427	987	Sisma Y SLV	0	296.2	0	0	1.7E3	1
8429	987	Eccentricità X per sisma Y SLV	0	0	0	6.2E4	1.7E3	1
8431	987	Sisma Y SLD	0	116.8	0	0	1.7E3	1
8433	987	Eccentricità X per sisma Y SLD	0	0	0	2.4E4	1.7E3	1
8435	988	Sisma Y SLV	0	98	0	0	5.5E2	1
8437	988	Eccentricità X per sisma Y SLV	0	0	0	20380	5.5E2	1
8439	988	Sisma Y SLD	0	38.6	0	0	5.5E2	1
8441	988	Eccentricità X per sisma Y SLD	0	0	0	8037	5.5E2	1
8443	989	Sisma Y SLV	0	98	0	0	5.5E2	1
8445	989	Eccentricità X per sisma Y SLV	0	0	0	20380	5.5E2	1
8447	989	Sisma Y SLD	0	38.6	0	0	5.5E2	1
8449	989	Eccentricità X per sisma Y SLD	0	0	0	8037	5.5E2	1
8451	990	Sisma Y SLV	0	98	0	0	5.5E2	1
8453	990	Eccentricità X per sisma Y SLV	0	0	0	20380	5.5E2	1
8455	990	Sisma Y SLD	0	38.6	0	0	5.5E2	1
8457	990	Eccentricità X per sisma Y SLD	0	0	0	8037	5.5E2	1
8459	991	Sisma Y SLV	0	98	0	0	5.5E2	1
8461	991	Eccentricità X per sisma Y SLV	0	0	0	20380	5.5E2	1
8463	991	Sisma Y SLD	0	38.6	0	0	5.5E2	1
8465	991	Eccentricità X per sisma Y SLD	0	0	0	8037	5.5E2	1
8467	992	Sisma Y SLV	0	98	0	0	5.5E2	1
8469	992	Eccentricità X per sisma Y SLV	0	0	0	20380	5.5E2	1
8471	992	Sisma Y SLD	0	38.6	0	0	5.5E2	1
8473	992	Eccentricità X per sisma Y SLD	0	0	0	8037	5.5E2	1
8475	993	Sisma Y SLV	0	98	0	0	5.5E2	1
8477	993	Eccentricità X per sisma Y SLV	0	0	0	20380	5.5E2	1
8479	993	Sisma Y SLD	0	38.6	0	0	5.5E2	1
8481	993	Eccentricità X per sisma Y SLD	0	0	0	8037	5.5E2	1
8483	994	Sisma Y SLV	0	98	0	0	5.5E2	1
8485	994	Eccentricità X per sisma Y SLV	0	0	0	20380	5.5E2	1
8487	994	Sisma Y SLD	0	38.6	0	0	5.5E2	1
8489	994	Eccentricità X per sisma Y SLD	0	0	0	8037	5.5E2	1
8491	995	Sisma Y SLV	0	98	0	0	5.5E2	1
8493	995	Eccentricità X per sisma Y SLV	0	0	0	20380	5.5E2	1
8495	995	Sisma Y SLD	0	38.6	0	0	5.5E2	1

Indice	Nodo	Condizione	Fx	Fy	Fz	Mz	Peso	γ	Indice	Nodo	Condizione	Fx	Fy	Fz	Mz	Peso	γ
8496	995	Eccentricità Y per sisma X SLD	0	0	0	-1.0E3	5.5E2	1	8497	995	Eccentricità X per sisma Y SLD	0	0	0	8037	5.5E2	1
8498	996	Sisma X SLV	98	0	0	0	5.5E2	1	8499	996	Sisma Y SLV	0	98	0	0	5.5E2	1
8500	996	Eccentricità Y per sisma X SLV	0	0	0	-2.4E3	5.5E2	1	8501	996	Eccentricità X per sisma Y SLV	0	0	0	20380	5.5E2	1
8502	996	Sisma X SLD	41.8	0	0	0	5.5E2	1	8503	996	Sisma Y SLD	0	38.6	0	0	5.5E2	1
8504	996	Eccentricità Y per sisma X SLD	0	0	0	-1.0E3	5.5E2	1	8505	996	Eccentricità X per sisma Y SLD	0	0	0	8037	5.5E2	1
8506	997	Sisma X SLV	98	0	0	0	5.5E2	1	8507	997	Sisma Y SLV	0	98	0	0	5.5E2	1
8508	997	Eccentricità Y per sisma X SLV	0	0	0	-2.4E3	5.5E2	1	8509	997	Eccentricità X per sisma Y SLV	0	0	0	20380	5.5E2	1
8510	997	Sisma X SLD	41.8	0	0	0	5.5E2	1	8511	997	Sisma Y SLD	0	38.6	0	0	5.5E2	1
8512	997	Eccentricità Y per sisma X SLD	0	0	0	-1.0E3	5.5E2	1	8513	997	Eccentricità X per sisma Y SLD	0	0	0	8037	5.5E2	1
8514	998	Sisma X SLV	98	0	0	0	5.5E2	1	8515	998	Sisma Y SLV	0	98	0	0	5.5E2	1
8516	998	Eccentricità Y per sisma X SLV	0	0	0	-2.4E3	5.5E2	1	8517	998	Eccentricità X per sisma Y SLV	0	0	0	20380	5.5E2	1
8518	998	Sisma X SLD	41.8	0	0	0	5.5E2	1	8519	998	Sisma Y SLD	0	38.6	0	0	5.5E2	1
8520	998	Eccentricità Y per sisma X SLD	0	0	0	-1.0E3	5.5E2	1	8521	998	Eccentricità X per sisma Y SLD	0	0	0	8037	5.5E2	1
8522	999	Sisma X SLV	297.3	0	0	0	1.7E3	1	8523	999	Sisma Y SLV	0	297.3	0	0	1.7E3	1
8524	999	Eccentricità Y per sisma X SLV	0	0	0	-7.4E3	1.7E3	1	8525	999	Eccentricità X per sisma Y SLV	0	0	0	6.2E4	1.7E3	1
8526	999	Sisma X SLD	126.7	0	0	0	1.7E3	1	8527	999	Sisma Y SLD	0	117.2	0	0	1.7E3	1
8528	999	Eccentricità Y per sisma X SLD	0	0	0	-3.2E3	1.7E3	1	8529	999	Eccentricità X per sisma Y SLD	0	0	0	2.4E4	1.7E3	1
8530	1000	Sisma X SLV	98	0	0	0	5.5E2	1	8531	1000	Sisma Y SLV	0	98	0	0	5.5E2	1
8532	1000	Eccentricità Y per sisma X SLV	0	0	0	-2.4E3	5.5E2	1	8533	1000	Eccentricità X per sisma Y SLV	0	0	0	20380	5.5E2	1
8534	1000	Sisma X SLD	41.8	0	0	0	5.5E2	1	8535	1000	Sisma Y SLD	0	38.6	0	0	5.5E2	1
8536	1000	Eccentricità Y per sisma X SLD	0	0	0	-1.0E3	5.5E2	1	8537	1000	Eccentricità X per sisma Y SLD	0	0	0	8037	5.5E2	1
8538	1001	Sisma X SLV	98	0	0	0	5.5E2	1	8539	1001	Sisma Y SLV	0	98	0	0	5.5E2	1
8540	1001	Eccentricità Y per sisma X SLV	0	0	0	-2.4E3	5.5E2	1	8541	1001	Eccentricità X per sisma Y SLV	0	0	0	20380	5.5E2	1
8542	1001	Sisma X SLD	41.8	0	0	0	5.5E2	1	8543	1001	Sisma Y SLD	0	38.6	0	0	5.5E2	1
8544	1001	Eccentricità Y per sisma X SLD	0	0	0	-1.0E3	5.5E2	1	8545	1001	Eccentricità X per sisma Y SLD	0	0	0	8037	5.5E2	1
8546	1002	Sisma X SLV	98	0	0	0	5.5E2	1	8547	1002	Sisma Y SLV	0	98	0	0	5.5E2	1
8548	1002	Eccentricità Y per sisma X SLV	0	0	0	-2.4E3	5.5E2	1	8549	1002	Eccentricità X per sisma Y SLV	0	0	0	20380	5.5E2	1
8550	1002	Sisma X SLD	41.8	0	0	0	5.5E2	1	8551	1002	Sisma Y SLD	0	38.6	0	0	5.5E2	1
8552	1002	Eccentricità Y per sisma X SLD	0	0	0	-1.0E3	5.5E2	1	8553	1002	Eccentricità X per sisma Y SLD	0	0	0	8037	5.5E2	1
8554	1003	Sisma X SLV	98	0	0	0	5.5E2	1	8555	1003	Sisma Y SLV	0	98	0	0	5.5E2	1
8556	1003	Eccentricità Y per sisma X SLV	0	0	0	-2.4E3	5.5E2	1	8557	1003	Eccentricità X per sisma Y SLV	0	0	0	20380	5.5E2	1
8558	1003	Sisma X SLD	41.8	0	0	0	5.5E2	1	8559	1003	Sisma Y SLD	0	38.6	0	0	5.5E2	1
8560	1003	Eccentricità Y per sisma X SLD	0	0	0	-1.0E3	5.5E2	1	8561	1003	Eccentricità X per sisma Y SLD	0	0	0	8037	5.5E2	1
8562	1004	Sisma X SLV	98	0	0	0	5.5E2	1	8563	1004	Sisma Y SLV	0	98	0	0	5.5E2	1
8564	1004	Eccentricità Y per sisma X SLV	0	0	0	-2.4E3	5.5E2	1	8565	1004	Eccentricità X per sisma Y SLV	0	0	0	20380	5.5E2	1
8566	1004	Sisma X SLD	41.8	0	0	0	5.5E2	1	8567	1004	Sisma Y SLD	0	38.6	0	0	5.5E2	1
8568	1004	Eccentricità Y per sisma X SLD	0	0	0	-1.0E3	5.5E2	1	8569	1004	Eccentricità X per sisma Y SLD	0	0	0	8037	5.5E2	1
8570	1005	Sisma X SLV	98	0	0	0	5.5E2	1	8571	1005	Sisma Y SLV	0	98	0	0	5.5E2	1
8572	1005	Eccentricità Y per sisma X SLV	0	0	0	-2.4E3	5.5E2	1	8573	1005	Eccentricità X per sisma Y SLV	0	0	0	20380	5.5E2	1
8574	1005	Sisma X SLD	41.8	0	0	0	5.5E2	1	8575	1005	Sisma Y SLD	0	38.6	0	0	5.5E2	1
8576	1005	Eccentricità Y per sisma X SLD	0	0	0	-1.0E3	5.5E2	1	8577	1005	Eccentricità X per sisma Y SLD	0	0	0	8037	5.5E2	1
8578	1006	Sisma X SLV	98	0	0	0	5.5E2	1	8579	1006	Sisma Y SLV	0	98	0	0	5.5E2	1
8580	1006	Eccentricità Y per sisma X SLV	0	0	0	-2.4E3	5.5E2	1	8581	1006	Eccentricità X per sisma Y SLV	0	0	0	20380	5.5E2	1
8582	1006	Sisma X SLD	41.8	0	0	0	5.5E2	1	8583	1006	Sisma Y SLD	0	38.6	0	0	5.5E2	1
8584	1006	Eccentricità Y per sisma X SLD	0	0	0	-1.0E3	5.5E2	1	8585	1006	Eccentricità X per sisma Y SLD	0	0	0	8037	5.5E2	1
8586	1007	Sisma X SLV	98	0	0	0	5.5E2	1	8587	1007	Sisma Y SLV	0	98	0	0	5.5E2	1

Indice	Nodo	Condizione	Fx	Fy	Fz	Mz	Peso	γ	Indice	Nodo	Condizione	Fx	Fy	Fz	Mz	Peso	γ
8588	1007	Eccentricità Y per sisma X SLV	0	0	0	-2.4E3	5.5E2	1	8589	1007	Eccentricità X per sisma Y SLV	0	0	0	20380	5.5E2	1
8590	1007	Sisma X SLD	41.8	0	0	0	5.5E2	1	8591	1007	Sisma Y SLD	0	38.6	0	0	5.5E2	1
8592	1007	Eccentricità Y per sisma X SLD	0	0	0	-1.0E3	5.5E2	1	8593	1007	Eccentricità X per sisma Y SLD	0	0	0	8037	5.5E2	1
8594	1008	Sisma X SLV	98	0	0	0	5.5E2	1	8595	1008	Sisma Y SLV	0	98	0	0	5.5E2	1
8596	1008	Eccentricità Y per sisma X SLV	0	0	0	-2.4E3	5.5E2	1	8597	1008	Eccentricità X per sisma Y SLV	0	0	0	20380	5.5E2	1
8598	1008	Sisma X SLD	41.8	0	0	0	5.5E2	1	8599	1008	Sisma Y SLD	0	38.6	0	0	5.5E2	1
8600	1008	Eccentricità Y per sisma X SLD	0	0	0	-1.0E3	5.5E2	1	8601	1008	Eccentricità X per sisma Y SLD	0	0	0	8037	5.5E2	1
8602	1009	Sisma X SLV	98	0	0	0	5.5E2	1	8603	1009	Sisma Y SLV	0	98	0	0	5.5E2	1
8604	1009	Eccentricità Y per sisma X SLV	0	0	0	-2.4E3	5.5E2	1	8605	1009	Eccentricità X per sisma Y SLV	0	0	0	20380	5.5E2	1
8606	1009	Sisma X SLD	41.8	0	0	0	5.5E2	1	8607	1009	Sisma Y SLD	0	38.6	0	0	5.5E2	1
8608	1009	Eccentricità Y per sisma X SLD	0	0	0	-1.0E3	5.5E2	1	8609	1009	Eccentricità X per sisma Y SLD	0	0	0	8037	5.5E2	1
8610	1010	Sisma X SLV	98	0	0	0	5.5E2	1	8611	1010	Sisma Y SLV	0	98	0	0	5.5E2	1
8612	1010	Eccentricità Y per sisma X SLV	0	0	0	-2.4E3	5.5E2	1	8613	1010	Eccentricità X per sisma Y SLV	0	0	0	20380	5.5E2	1
8614	1010	Sisma X SLD	41.8	0	0	0	5.5E2	1	8615	1010	Sisma Y SLD	0	38.6	0	0	5.5E2	1
8616	1010	Eccentricità Y per sisma X SLD	0	0	0	-1.0E3	5.5E2	1	8617	1010	Eccentricità X per sisma Y SLD	0	0	0	8037	5.5E2	1
8618	1011	Sisma X SLV	294.9	0	0	0	1.7E3	1	8619	1011	Sisma Y SLV	0	294.9	0	0	1.7E3	1
8620	1011	Eccentricità Y per sisma X SLV	0	0	0	-7.4E3	1.7E3	1	8621	1011	Eccentricità X per sisma Y SLV	0	0	0	6.1E4	1.7E3	1
8622	1011	Sisma X SLD	125.7	0	0	0	1.7E3	1	8623	1011	Sisma Y SLD	0	116.3	0	0	1.7E3	1
8624	1011	Eccentricità Y per sisma X SLD	0	0	0	-3.1E3	1.7E3	1	8625	1011	Eccentricità X per sisma Y SLD	0	0	0	2.4E4	1.7E3	1
8626	1012	Sisma X SLV	23.7	0	0	0	1.3E2	1	8627	1012	Sisma Y SLV	0	23.7	0	0	1.3E2	1
8628	1012	Eccentricità Y per sisma X SLV	0	0	0	-5.9E2	1.3E2	1	8629	1012	Eccentricità X per sisma Y SLV	0	0	0	4.9E3	1.3E2	1
8630	1012	Sisma X SLD	10.1	0	0	0	1.3E2	1	8631	1012	Sisma Y SLD	0	9.3	0	0	1.3E2	1
8632	1012	Eccentricità Y per sisma X SLD	0	0	0	-2.5E2	1.3E2	1	8633	1012	Eccentricità X per sisma Y SLD	0	0	0	1.9E3	1.3E2	1
8634	1013	Sisma X SLV	88.3	0	0	0	4.9E2	1	8635	1013	Sisma Y SLV	0	88.3	0	0	4.9E2	1
8636	1013	Eccentricità Y per sisma X SLV	0	0	0	-2.2E3	4.9E2	1	8637	1013	Eccentricità X per sisma Y SLV	0	0	0	1.8E4	4.9E2	1
8638	1013	Sisma X SLD	37.6	0	0	0	4.9E2	1	8639	1013	Sisma Y SLD	0	34.8	0	0	4.9E2	1
8640	1013	Eccentricità Y per sisma X SLD	0	0	0	-9.4E2	4.9E2	1	8641	1013	Eccentricità X per sisma Y SLD	0	0	0	7.2E3	4.9E2	1
8642	1014	Sisma X SLV	65.5	0	0	0	3.7E2	1	8643	1014	Sisma Y SLV	0	65.5	0	0	3.7E2	1
8644	1014	Eccentricità Y per sisma X SLV	0	0	0	-1.6E3	3.7E2	1	8645	1014	Eccentricità X per sisma Y SLV	0	0	0	1.4E4	3.7E2	1
8646	1014	Sisma X SLD	27.9	0	0	0	3.7E2	1	8647	1014	Sisma Y SLD	0	25.8	0	0	3.7E2	1
8648	1014	Eccentricità Y per sisma X SLD	0	0	0	-7.0E2	3.7E2	1	8649	1014	Eccentricità X per sisma Y SLD	0	0	0	5.4E3	3.7E2	1
8650	1015	Sisma X SLV	58	0	0	0	3.3E2	1	8651	1015	Sisma Y SLV	0	58	0	0	3.3E2	1
8652	1015	Eccentricità Y per sisma X SLV	0	0	0	-1.4E3	3.3E2	1	8653	1015	Eccentricità X per sisma Y SLV	0	0	0	1.2E4	3.3E2	1
8654	1015	Sisma X SLD	24.7	0	0	0	3.3E2	1	8655	1015	Sisma Y SLD	0	22.9	0	0	3.3E2	1
8656	1015	Eccentricità Y per sisma X SLD	0	0	0	-6.2E2	3.3E2	1	8657	1015	Eccentricità X per sisma Y SLD	0	0	0	4.8E3	3.3E2	1
8658	1016	Sisma X SLV	80	0	0	0	4.5E2	1	8659	1016	Sisma Y SLV	0	80	0	0	4.5E2	1
8660	1016	Eccentricità Y per sisma X SLV	0	0	0	-1997	4.5E2	1	8661	1016	Eccentricità X per sisma Y SLV	0	0	0	1.7E4	4.5E2	1
8662	1016	Sisma X SLD	34.1	0	0	0	4.5E2	1	8663	1016	Sisma Y SLD	0	31.5	0	0	4.5E2	1
8664	1016	Eccentricità Y per sisma X SLD	0	0	0	-8.5E2	4.5E2	1	8665	1016	Eccentricità X per sisma Y SLD	0	0	0	6.6E3	4.5E2	1
8666	1017	Sisma X SLV	71.2	0	0	0	4.0E2	1	8667	1017	Sisma Y SLV	0	71.2	0	0	4.0E2	1
8668	1017	Eccentricità Y per sisma X SLV	0	0	0	-1.8E3	4.0E2	1	8669	1017	Eccentricità X per sisma Y SLV	0	0	0	1.5E4	4.0E2	1
8670	1017	Sisma X SLD	30.3	0	0	0	4.0E2	1	8671	1017	Sisma Y SLD	0	28.1	0	0	4.0E2	1
8672	1017	Eccentricità Y per sisma X SLD	0	0	0	-7.6E2	4.0E2	1	8673	1017	Eccentricità X per sisma Y SLD	0	0	0	5.8E3	4.0E2	1
8674	1018	Sisma X SLV	61	0	0	0	3.4E2	1	8675	1018	Sisma Y SLV	0	61	0	0	3.4E2	1
8676	1018	Eccentricità Y per sisma X SLV	0	0	0	-1.5E3	3.4E2	1	8677	1018	Eccentricità X per sisma Y SLV	0	0	0	1.3E4	3.4E2	1
8678	1018	Sisma X SLD	26	0	0	0	3.4E2	1	8679	1018	Sisma Y SLD	0	24	0	0	3.4E2	1

Indice	Nodo	Condizione	Fx	Fy	Fz	Mz	Peso	γ	Indice	Nodo	Condizione	Fx	Fy	Fz	Mz	Peso	γ
8680	1018	Eccentricità Y per sisma X SLD	0	0	0	-649	3.4E2	1	8681	1018	Eccentricità X per sisma Y SLD	0	0	0	5.0E3	3.4E2	1
8682	1019	Sisma X SLV	15.7	0	0	0	8.8E1	1	8683	1019	Sisma Y SLV	0	15.7	0	0	8.8E1	1
8684	1019	Eccentricità Y per sisma X SLV	0	0	0	-3.9E2	8.8E1	1	8685	1019	Eccentricità X per sisma Y SLV	0	0	0	3.3E3	8.8E1	1
8686	1019	Sisma X SLD	6.7	0	0	0	8.8E1	1	8687	1019	Sisma Y SLD	0	6.2	0	0	8.8E1	1
8688	1019	Eccentricità Y per sisma X SLD	0	0	0	-1.7E2	8.8E1	1	8689	1019	Eccentricità X per sisma Y SLD	0	0	0	1.3E3	8.8E1	1
8690	1020	Sisma X SLV	62.2	0	0	0	3.5E2	1	8691	1020	Sisma Y SLV	0	62.2	0	0	3.5E2	1
8692	1020	Eccentricità Y per sisma X SLV	0	0	0	-1.6E3	3.5E2	1	8693	1020	Eccentricità X per sisma Y SLV	0	0	0	1.3E4	3.5E2	1
8694	1020	Sisma X SLD	26.5	0	0	0	3.5E2	1	8695	1020	Sisma Y SLD	0	24.5	0	0	3.5E2	1
8696	1020	Eccentricità Y per sisma X SLD	0	0	0	-6.6E2	3.5E2	1	8697	1020	Eccentricità X per sisma Y SLD	0	0	0	5.1E3	3.5E2	1
8698	1021	Sisma X SLV	53.4	0	0	0	3.0E2	1	8699	1021	Sisma Y SLV	0	53.4	0	0	3.0E2	1
8700	1021	Eccentricità Y per sisma X SLV	0	0	0	-1.3E3	3.0E2	1	8701	1021	Eccentricità X per sisma Y SLV	0	0	0	1.1E4	3.0E2	1
8702	1021	Sisma X SLD	22.8	0	0	0	3.0E2	1	8703	1021	Sisma Y SLD	0	21.1	0	0	3.0E2	1
8704	1021	Eccentricità Y per sisma X SLD	0	0	0	-5.7E2	3.0E2	1	8705	1021	Eccentricità X per sisma Y SLD	0	0	0	4.4E3	3.0E2	1
8706	1022	Sisma X SLV	56.3	0	0	0	3.2E2	1	8707	1022	Sisma Y SLV	0	56.3	0	0	3.2E2	1
8708	1022	Eccentricità Y per sisma X SLV	0	0	0	-1.4E3	3.2E2	1	8709	1022	Eccentricità X per sisma Y SLV	0	0	0	1.2E4	3.2E2	1
8710	1022	Sisma X SLD	24	0	0	0	3.2E2	1	8711	1022	Sisma Y SLD	0	22.2	0	0	3.2E2	1
8712	1022	Eccentricità Y per sisma X SLD	0	0	0	-6.0E2	3.2E2	1	8713	1022	Eccentricità X per sisma Y SLD	0	0	0	4.6E3	3.2E2	1
8714	1023	Sisma X SLV	21.6	0	0	0	1.2E2	1	8715	1023	Sisma Y SLV	0	21.6	0	0	1.2E2	1
8716	1023	Eccentricità Y per sisma X SLV	0	0	0	-5.4E2	1.2E2	1	8717	1023	Eccentricità X per sisma Y SLV	0	0	0	4.5E3	1.2E2	1
8718	1023	Sisma X SLD	9.2	0	0	0	1.2E2	1	8719	1023	Sisma Y SLD	0	8.5	0	0	1.2E2	1
8720	1023	Eccentricità Y per sisma X SLD	0	0	0	-2.3E2	1.2E2	1	8721	1023	Eccentricità X per sisma Y SLD	0	0	0	1.8E3	1.2E2	1
8722	1024	Sisma X SLV	44.5	0	0	0	2.5E2	1	8723	1024	Sisma Y SLV	0	44.5	0	0	2.5E2	1
8724	1024	Eccentricità Y per sisma X SLV	0	0	0	-1.1E3	2.5E2	1	8725	1024	Eccentricità X per sisma Y SLV	0	0	0	9.3E3	2.5E2	1
8726	1024	Sisma X SLD	19	0	0	0	2.5E2	1	8727	1024	Sisma Y SLD	0	17.6	0	0	2.5E2	1
8728	1024	Eccentricità Y per sisma X SLD	0	0	0	-4.7E2	2.5E2	1	8729	1024	Eccentricità X per sisma Y SLD	0	0	0	3.7E3	2.5E2	1
8730	1025	Sisma X SLV	14.1	0	0	0	7.9E1	1	8731	1025	Sisma Y SLV	0	14.1	0	0	7.9E1	1
8732	1025	Eccentricità Y per sisma X SLV	0	0	0	-353	7.9E1	1	8733	1025	Eccentricità X per sisma Y SLV	0	0	0	2.9E3	7.9E1	1
8734	1025	Sisma X SLD	6	0	0	0	7.9E1	1	8735	1025	Sisma Y SLD	0	5.6	0	0	7.9E1	1
8736	1025	Eccentricità Y per sisma X SLD	0	0	0	-1.5E2	7.9E1	1	8737	1025	Eccentricità X per sisma Y SLD	0	0	0	1.2E3	7.9E1	1
8738	1026	Sisma X SLV	54.8	0	0	0	3.1E2	1	8739	1026	Sisma Y SLV	0	54.8	0	0	3.1E2	1
8740	1026	Eccentricità Y per sisma X SLV	0	0	0	-1.4E3	3.1E2	1	8741	1026	Eccentricità X per sisma Y SLV	0	0	0	1.1E4	3.1E2	1
8742	1026	Sisma X SLD	23.4	0	0	0	3.1E2	1	8743	1026	Sisma Y SLD	0	21.6	0	0	3.1E2	1
8744	1026	Eccentricità Y per sisma X SLD	0	0	0	-5.8E2	3.1E2	1	8745	1026	Eccentricità X per sisma Y SLD	0	0	0	4.5E3	3.1E2	1
8746	1027	Sisma X SLV	35.6	0	0	0	2.0E2	1	8747	1027	Sisma Y SLV	0	35.6	0	0	2.0E2	1
8748	1027	Eccentricità Y per sisma X SLV	0	0	0	-8.9E2	2.0E2	1	8749	1027	Eccentricità X per sisma Y SLV	0	0	0	7.4E3	2.0E2	1
8750	1027	Sisma X SLD	15.2	0	0	0	2.0E2	1	8751	1027	Sisma Y SLD	0	14	0	0	2.0E2	1
8752	1027	Eccentricità Y per sisma X SLD	0	0	0	-3.8E2	2.0E2	1	8753	1027	Eccentricità X per sisma Y SLD	0	0	0	2.9E3	2.0E2	1
8754	1028	Sisma X SLV	10.8	0	0	0	6.1E1	1	8755	1028	Sisma Y SLV	0	10.8	0	0	6.1E1	1
8756	1028	Eccentricità Y per sisma X SLV	0	0	0	-2.7E2	6.1E1	1	8757	1028	Eccentricità X per sisma Y SLV	0	0	0	2.3E3	6.1E1	1
8758	1028	Sisma X SLD	4.6	0	0	0	6.1E1	1	8759	1028	Sisma Y SLD	0	4.3	0	0	6.1E1	1
8760	1028	Eccentricità Y per sisma X SLD	0	0	0	-1.2E2	6.1E1	1	8761	1028	Eccentricità X per sisma Y SLD	0	0	0	889.8	6.1E1	1
8762	1029	Sisma X SLV	26.7	0	0	0	1.5E2	1	8763	1029	Sisma Y SLV	0	26.7	0	0	1.5E2	1
8764	1029	Eccentricità Y per sisma X SLV	0	0	0	-6.7E2	1.5E2	1	8765	1029	Eccentricità X per sisma Y SLV	0	0	0	5.5E3	1.5E2	1
8766	1029	Sisma X SLD	11.4	0	0	0	1.5E2	1	8767	1029	Sisma Y SLD	0	10.5	0	0	1.5E2	1
8768	1029	Eccentricità Y per sisma X SLD	0	0	0	-2.8E2	1.5E2	1	8769	1029	Eccentricità X per sisma Y SLD	0	0	0	2.2E3	1.5E2	1
8770	1030	Sisma X SLV	54.9	0	0	0	3.1E2	1	8771	1030	Sisma Y SLV	0	54.9	0	0	3.1E2	1

Indice	Nodo	Condizione	Fx	Fy	Fz	Mz	Peso	γ	Indice	Nodo	Condizione	Fx	Fy	Fz	Mz	Peso	γ
8772	1030	Eccentricità Y per sisma X SLV	0	0	0	-1.4E3	3.1E2	1	8773	1030	Eccentricità X per sisma Y SLV	0	0	0	1.1E4	3.1E2	1
8774	1030	Sisma X SLD	23.4	0	0	0	3.1E2	1	8775	1030	Sisma Y SLD	0	21.7	0	0	3.1E2	1
8776	1030	Eccentricità Y per sisma X SLD	0	0	0	-5.8E2	3.1E2	1	8777	1030	Eccentricità X per sisma Y SLD	0	0	0	4.5E3	3.1E2	1
8778	1031	Sisma X SLV	17.5	0	0	0	9.8E1	1	8779	1031	Sisma Y SLV	0	17.5	0	0	9.8E1	1
8780	1031	Eccentricità Y per sisma X SLV	0	0	0	-4.4E2	9.8E1	1	8781	1031	Eccentricità X per sisma Y SLV	0	0	0	3.6E3	9.8E1	1
8782	1031	Sisma X SLD	7.5	0	0	0	9.8E1	1	8783	1031	Sisma Y SLD	0	6.9	0	0	9.8E1	1
8784	1031	Eccentricità Y per sisma X SLD	0	0	0	-1.9E2	9.8E1	1	8785	1031	Eccentricità X per sisma Y SLD	0	0	0	1.4E3	9.8E1	1
8786	1032	Sisma X SLV	10.1	0	0	0	5.6E1	1	8787	1032	Sisma Y SLV	0	10.1	0	0	5.6E1	1
8788	1032	Eccentricità Y per sisma X SLV	0	0	0	-2.5E2	5.6E1	1	8789	1032	Eccentricità X per sisma Y SLV	0	0	0	2.1E3	5.6E1	1
8790	1032	Sisma X SLD	4.3	0	0	0	5.6E1	1	8791	1032	Sisma Y SLD	0	4	0	0	5.6E1	1
8792	1032	Eccentricità Y per sisma X SLD	0	0	0	-1.1E2	5.6E1	1	8793	1032	Eccentricità X per sisma Y SLD	0	0	0	826.5	5.6E1	1
8794	1033	Sisma X SLV	17.5	0	0	0	9.8E1	1	8795	1033	Sisma Y SLV	0	17.5	0	0	9.8E1	1
8796	1033	Eccentricità Y per sisma X SLV	0	0	0	-4.4E2	9.8E1	1	8797	1033	Eccentricità X per sisma Y SLV	0	0	0	3.6E3	9.8E1	1
8798	1033	Sisma X SLD	7.4	0	0	0	9.8E1	1	8799	1033	Sisma Y SLD	0	6.9	0	0	9.8E1	1
8800	1033	Eccentricità Y per sisma X SLD	0	0	0	-1.9E2	9.8E1	1	8801	1033	Eccentricità X per sisma Y SLD	0	0	0	1.4E3	9.8E1	1
8802	1034	Sisma X SLV	8.9	0	0	0	5.0E1	1	8803	1034	Sisma Y SLV	0	8.9	0	0	5.0E1	1
8804	1034	Eccentricità Y per sisma X SLV	0	0	0	-2.2E2	5.0E1	1	8805	1034	Eccentricità X per sisma Y SLV	0	0	0	1.9E3	5.0E1	1
8806	1034	Sisma X SLD	3.8	0	0	0	5.0E1	1	8807	1034	Sisma Y SLD	0	3.5	0	0	5.0E1	1
8808	1034	Eccentricità Y per sisma X SLD	0	0	0	-94.9	5.0E1	1	8809	1034	Eccentricità X per sisma Y SLD	0	0	0	731.7	5.0E1	1
8810	1035	Sisma X SLV	7.2	0	0	0	4.0E1	1	8811	1035	Sisma Y SLV	0	7.2	0	0	4.0E1	1
8812	1035	Eccentricità Y per sisma X SLV	0	0	0	-1.8E2	4.0E1	1	8813	1035	Eccentricità X per sisma Y SLV	0	0	0	1.5E3	4.0E1	1
8814	1035	Sisma X SLD	3	0	0	0	4.0E1	1	8815	1035	Sisma Y SLD	0	2.8	0	0	4.0E1	1
8816	1035	Eccentricità Y per sisma X SLD	0	0	0	-76.1	4.0E1	1	8817	1035	Eccentricità X per sisma Y SLD	0	0	0	586.9	4.0E1	1
8818	1036	Sisma X SLV	139	0	0	0	7.8E2	1	8819	1036	Sisma Y SLV	0	139	0	0	7.8E2	1
8820	1036	Eccentricità Y per sisma X SLV	0	0	0	-3.5E3	7.8E2	1	8821	1036	Eccentricità X per sisma Y SLV	0	0	0	2.9E4	7.8E2	1
8822	1036	Sisma X SLD	59.2	0	0	0	7.8E2	1	8823	1036	Sisma Y SLD	0	54.8	0	0	7.8E2	1
8824	1036	Eccentricità Y per sisma X SLD	0	0	0	-1.5E3	7.8E2	1	8825	1036	Eccentricità X per sisma Y SLD	0	0	0	11401	7.8E2	1
8826	1037	Sisma X SLV	49	0	0	0	2.7E2	1	8827	1037	Sisma Y SLV	0	49	0	0	2.7E2	1
8828	1037	Eccentricità Y per sisma X SLV	0	0	0	-1.2E3	2.7E2	1	8829	1037	Eccentricità X per sisma Y SLV	0	0	0	10190	2.7E2	1
8830	1037	Sisma X SLD	20.9	0	0	0	2.7E2	1	8831	1037	Sisma Y SLD	0	19.3	0	0	2.7E2	1
8832	1037	Eccentricità Y per sisma X SLD	0	0	0	-5.2E2	2.7E2	1	8833	1037	Eccentricità X per sisma Y SLD	0	0	0	4.0E3	2.7E2	1
8834	1038	Sisma X SLV	49	0	0	0	2.7E2	1	8835	1038	Sisma Y SLV	0	49	0	0	2.7E2	1
8836	1038	Eccentricità Y per sisma X SLV	0	0	0	-1.2E3	2.7E2	1	8837	1038	Eccentricità X per sisma Y SLV	0	0	0	10190	2.7E2	1
8838	1038	Sisma X SLD	20.9	0	0	0	2.7E2	1	8839	1038	Sisma Y SLD	0	19.3	0	0	2.7E2	1
8840	1038	Eccentricità Y per sisma X SLD	0	0	0	-5.2E2	2.7E2	1	8841	1038	Eccentricità X per sisma Y SLD	0	0	0	4.0E3	2.7E2	1
8842	1039	Sisma X SLV	49	0	0	0	2.7E2	1	8843	1039	Sisma Y SLV	0	49	0	0	2.7E2	1
8844	1039	Eccentricità Y per sisma X SLV	0	0	0	-1.2E3	2.7E2	1	8845	1039	Eccentricità X per sisma Y SLV	0	0	0	10190	2.7E2	1
8846	1039	Sisma X SLD	20.9	0	0	0	2.7E2	1	8847	1039	Sisma Y SLD	0	19.3	0	0	2.7E2	1
8848	1039	Eccentricità Y per sisma X SLD	0	0	0	-5.2E2	2.7E2	1	8849	1039	Eccentricità X per sisma Y SLD	0	0	0	4.0E3	2.7E2	1
8850	1040	Sisma X SLV	49	0	0	0	2.7E2	1	8851	1040	Sisma Y SLV	0	49	0	0	2.7E2	1
8852	1040	Eccentricità Y per sisma X SLV	0	0	0	-1.2E3	2.7E2	1	8853	1040	Eccentricità X per sisma Y SLV	0	0	0	10190	2.7E2	1
8854	1040	Sisma X SLD	20.9	0	0	0	2.7E2	1	8855	1040	Sisma Y SLD	0	19.3	0	0	2.7E2	1
8856	1040	Eccentricità Y per sisma X SLD	0	0	0	-5.2E2	2.7E2	1	8857	1040	Eccentricità X per sisma Y SLD	0	0	0	4.0E3	2.7E2	1
8858	1041	Sisma X SLV	49	0	0	0	2.7E2	1	8859	1041	Sisma Y SLV	0	49	0	0	2.7E2	1
8860	1041	Eccentricità Y per sisma X SLV	0	0	0	-1.2E3	2.7E2	1	8861	1041	Eccentricità X per sisma Y SLV	0	0	0	10190	2.7E2	1
8862	1041	Sisma X SLD	20.9	0	0	0	2.7E2	1	8863	1041	Sisma Y SLD	0	19.3	0	0	2.7E2	1

Indice	Nodo	Condizione	Fx	Fy	Fz	Mz	Peso	γ	Indice	Nodo	Condizione	Fx	Fy	Fz	Mz	Peso	γ
8864	1041	Eccentricità Y per sisma X SLD	0	0	0	-5.2E2	2.7E2	1	8865	1041	Eccentricità X per sisma Y SLD	0	0	0	4.0E3	2.7E2	1
8866	1042	Sisma X SLV	49	0	0	0	2.7E2	1	8867	1042	Sisma Y SLV	0	49	0	0	2.7E2	1
8868	1042	Eccentricità Y per sisma X SLV	0	0	0	-1.2E3	2.7E2	1	8869	1042	Eccentricità X per sisma Y SLV	0	0	0	10190	2.7E2	1
8870	1042	Sisma X SLD	20.9	0	0	0	2.7E2	1	8871	1042	Sisma Y SLD	0	19.3	0	0	2.7E2	1
8872	1042	Eccentricità Y per sisma X SLD	0	0	0	-5.2E2	2.7E2	1	8873	1042	Eccentricità X per sisma Y SLD	0	0	0	4.0E3	2.7E2	1
8874	1043	Sisma X SLV	49	0	0	0	2.7E2	1	8875	1043	Sisma Y SLV	0	49	0	0	2.7E2	1
8876	1043	Eccentricità Y per sisma X SLV	0	0	0	-1.2E3	2.7E2	1	8877	1043	Eccentricità X per sisma Y SLV	0	0	0	10190	2.7E2	1
8878	1043	Sisma X SLD	20.9	0	0	0	2.7E2	1	8879	1043	Sisma Y SLD	0	19.3	0	0	2.7E2	1
8880	1043	Eccentricità Y per sisma X SLD	0	0	0	-5.2E2	2.7E2	1	8881	1043	Eccentricità X per sisma Y SLD	0	0	0	4.0E3	2.7E2	1
8882	1044	Sisma X SLV	49	0	0	0	2.7E2	1	8883	1044	Sisma Y SLV	0	49	0	0	2.7E2	1
8884	1044	Eccentricità Y per sisma X SLV	0	0	0	-1.2E3	2.7E2	1	8885	1044	Eccentricità X per sisma Y SLV	0	0	0	10190	2.7E2	1
8886	1044	Sisma X SLD	20.9	0	0	0	2.7E2	1	8887	1044	Sisma Y SLD	0	19.3	0	0	2.7E2	1
8888	1044	Eccentricità Y per sisma X SLD	0	0	0	-5.2E2	2.7E2	1	8889	1044	Eccentricità X per sisma Y SLD	0	0	0	4.0E3	2.7E2	1
8890	1045	Sisma X SLV	49	0	0	0	2.7E2	1	8891	1045	Sisma Y SLV	0	49	0	0	2.7E2	1
8892	1045	Eccentricità Y per sisma X SLV	0	0	0	-1.2E3	2.7E2	1	8893	1045	Eccentricità X per sisma Y SLV	0	0	0	10190	2.7E2	1
8894	1045	Sisma X SLD	20.9	0	0	0	2.7E2	1	8895	1045	Sisma Y SLD	0	19.3	0	0	2.7E2	1
8896	1045	Eccentricità Y per sisma X SLD	0	0	0	-5.2E2	2.7E2	1	8897	1045	Eccentricità X per sisma Y SLD	0	0	0	4.0E3	2.7E2	1
8898	1046	Sisma X SLV	49	0	0	0	2.7E2	1	8899	1046	Sisma Y SLV	0	49	0	0	2.7E2	1
8900	1046	Eccentricità Y per sisma X SLV	0	0	0	-1.2E3	2.7E2	1	8901	1046	Eccentricità X per sisma Y SLV	0	0	0	10190	2.7E2	1
8902	1046	Sisma X SLD	20.9	0	0	0	2.7E2	1	8903	1046	Sisma Y SLD	0	19.3	0	0	2.7E2	1
8904	1046	Eccentricità Y per sisma X SLD	0	0	0	-5.2E2	2.7E2	1	8905	1046	Eccentricità X per sisma Y SLD	0	0	0	4.0E3	2.7E2	1
8906	1047	Sisma X SLV	49	0	0	0	2.7E2	1	8907	1047	Sisma Y SLV	0	49	0	0	2.7E2	1
8908	1047	Eccentricità Y per sisma X SLV	0	0	0	-1.2E3	2.7E2	1	8909	1047	Eccentricità X per sisma Y SLV	0	0	0	10190	2.7E2	1
8910	1047	Sisma X SLD	20.9	0	0	0	2.7E2	1	8911	1047	Sisma Y SLD	0	19.3	0	0	2.7E2	1
8912	1047	Eccentricità Y per sisma X SLD	0	0	0	-5.2E2	2.7E2	1	8913	1047	Eccentricità X per sisma Y SLD	0	0	0	4.0E3	2.7E2	1
8914	1048	Sisma X SLV	148.6	0	0	0	8.3E2	1	8915	1048	Sisma Y SLV	0	148.6	0	0	8.3E2	1
8916	1048	Eccentricità Y per sisma X SLV	0	0	0	-3.7E3	8.3E2	1	8917	1048	Eccentricità X per sisma Y SLV	0	0	0	3.1E4	8.3E2	1
8918	1048	Sisma X SLD	63.4	0	0	0	8.3E2	1	8919	1048	Sisma Y SLD	0	58.6	0	0	8.3E2	1
8920	1048	Eccentricità Y per sisma X SLD	0	0	0	-1.6E3	8.3E2	1	8921	1048	Eccentricità X per sisma Y SLD	0	0	0	1.2E4	8.3E2	1
8922	1049	Sisma X SLV	49	0	0	0	2.7E2	1	8923	1049	Sisma Y SLV	0	49	0	0	2.7E2	1
8924	1049	Eccentricità Y per sisma X SLV	0	0	0	-1.2E3	2.7E2	1	8925	1049	Eccentricità X per sisma Y SLV	0	0	0	10190	2.7E2	1
8926	1049	Sisma X SLD	20.9	0	0	0	2.7E2	1	8927	1049	Sisma Y SLD	0	19.3	0	0	2.7E2	1
8928	1049	Eccentricità Y per sisma X SLD	0	0	0	-5.2E2	2.7E2	1	8929	1049	Eccentricità X per sisma Y SLD	0	0	0	4.0E3	2.7E2	1
8930	1050	Sisma X SLV	49	0	0	0	2.7E2	1	8931	1050	Sisma Y SLV	0	49	0	0	2.7E2	1
8932	1050	Eccentricità Y per sisma X SLV	0	0	0	-1.2E3	2.7E2	1	8933	1050	Eccentricità X per sisma Y SLV	0	0	0	10190	2.7E2	1
8934	1050	Sisma X SLD	20.9	0	0	0	2.7E2	1	8935	1050	Sisma Y SLD	0	19.3	0	0	2.7E2	1
8936	1050	Eccentricità Y per sisma X SLD	0	0	0	-5.2E2	2.7E2	1	8937	1050	Eccentricità X per sisma Y SLD	0	0	0	4.0E3	2.7E2	1
8938	1051	Sisma X SLV	49	0	0	0	2.7E2	1	8939	1051	Sisma Y SLV	0	49	0	0	2.7E2	1
8940	1051	Eccentricità Y per sisma X SLV	0	0	0	-1.2E3	2.7E2	1	8941	1051	Eccentricità X per sisma Y SLV	0	0	0	10190	2.7E2	1
8942	1051	Sisma X SLD	20.9	0	0	0	2.7E2	1	8943	1051	Sisma Y SLD	0	19.3	0	0	2.7E2	1
8944	1051	Eccentricità Y per sisma X SLD	0	0	0	-5.2E2	2.7E2	1	8945	1051	Eccentricità X per sisma Y SLD	0	0	0	4.0E3	2.7E2	1
8946	1052	Sisma X SLV	49	0	0	0	2.7E2	1	8947	1052	Sisma Y SLV	0	49	0	0	2.7E2	1
8948	1052	Eccentricità Y per sisma X SLV	0	0	0	-1.2E3	2.7E2	1	8949	1052	Eccentricità X per sisma Y SLV	0	0	0	10190	2.7E2	1
8950	1052	Sisma X SLD	20.9	0	0	0	2.7E2	1	8951	1052	Sisma Y SLD	0	19.3	0	0	2.7E2	1
8952	1052	Eccentricità Y per sisma X SLD	0	0	0	-5.2E2	2.7E2	1	8953	1052	Eccentricità X per sisma Y SLD	0	0	0	4.0E3	2.7E2	1
8954	1053	Sisma X SLV	49	0	0	0	2.7E2	1	8955	1053	Sisma Y SLV	0	49	0	0	2.7E2	1

Indice	Nodo	Condizione	Fx	Fy	Fz	Mz	Peso	γ	Indice	Nodo	Condizione	Fx	Fy	Fz	Mz	Peso	γ
8956	1053	Eccentricità Y per sisma X SLV	0	0	0	-1.2E3	2.7E2	1	8957	1053	Eccentricità X per sisma Y SLV	0	0	0	10190	2.7E2	1
8958	1053	Sisma X SLD	20.9	0	0	0	2.7E2	1	8959	1053	Sisma Y SLD	0	19.3	0	0	2.7E2	1
8960	1053	Eccentricità Y per sisma X SLD	0	0	0	-5.2E2	2.7E2	1	8961	1053	Eccentricità X per sisma Y SLD	0	0	0	4.0E3	2.7E2	1
8962	1054	Sisma X SLV	49	0	0	0	2.7E2	1	8963	1054	Sisma Y SLV	0	49	0	0	2.7E2	1
8964	1054	Eccentricità Y per sisma X SLV	0	0	0	-1.2E3	2.7E2	1	8965	1054	Eccentricità X per sisma Y SLV	0	0	0	10190	2.7E2	1
8966	1054	Sisma X SLD	20.9	0	0	0	2.7E2	1	8967	1054	Sisma Y SLD	0	19.3	0	0	2.7E2	1
8968	1054	Eccentricità Y per sisma X SLD	0	0	0	-5.2E2	2.7E2	1	8969	1054	Eccentricità X per sisma Y SLD	0	0	0	4.0E3	2.7E2	1
8970	1055	Sisma X SLV	49	0	0	0	2.7E2	1	8971	1055	Sisma Y SLV	0	49	0	0	2.7E2	1
8972	1055	Eccentricità Y per sisma X SLV	0	0	0	-1.2E3	2.7E2	1	8973	1055	Eccentricità X per sisma Y SLV	0	0	0	10190	2.7E2	1
8974	1055	Sisma X SLD	20.9	0	0	0	2.7E2	1	8975	1055	Sisma Y SLD	0	19.3	0	0	2.7E2	1
8976	1055	Eccentricità Y per sisma X SLD	0	0	0	-5.2E2	2.7E2	1	8977	1055	Eccentricità X per sisma Y SLD	0	0	0	4.0E3	2.7E2	1
8978	1056	Sisma X SLV	49	0	0	0	2.7E2	1	8979	1056	Sisma Y SLV	0	49	0	0	2.7E2	1
8980	1056	Eccentricità Y per sisma X SLV	0	0	0	-1.2E3	2.7E2	1	8981	1056	Eccentricità X per sisma Y SLV	0	0	0	10190	2.7E2	1
8982	1056	Sisma X SLD	20.9	0	0	0	2.7E2	1	8983	1056	Sisma Y SLD	0	19.3	0	0	2.7E2	1
8984	1056	Eccentricità Y per sisma X SLD	0	0	0	-5.2E2	2.7E2	1	8985	1056	Eccentricità X per sisma Y SLD	0	0	0	4.0E3	2.7E2	1
8986	1057	Sisma X SLV	49	0	0	0	2.7E2	1	8987	1057	Sisma Y SLV	0	49	0	0	2.7E2	1
8988	1057	Eccentricità Y per sisma X SLV	0	0	0	-1.2E3	2.7E2	1	8989	1057	Eccentricità X per sisma Y SLV	0	0	0	10190	2.7E2	1
8990	1057	Sisma X SLD	20.9	0	0	0	2.7E2	1	8991	1057	Sisma Y SLD	0	19.3	0	0	2.7E2	1
8992	1057	Eccentricità Y per sisma X SLD	0	0	0	-5.2E2	2.7E2	1	8993	1057	Eccentricità X per sisma Y SLD	0	0	0	4.0E3	2.7E2	1
8994	1058	Sisma X SLV	49	0	0	0	2.7E2	1	8995	1058	Sisma Y SLV	0	49	0	0	2.7E2	1
8996	1058	Eccentricità Y per sisma X SLV	0	0	0	-1.2E3	2.7E2	1	8997	1058	Eccentricità X per sisma Y SLV	0	0	0	10190	2.7E2	1
8998	1058	Sisma X SLD	20.9	0	0	0	2.7E2	1	8999	1058	Sisma Y SLD	0	19.3	0	0	2.7E2	1
9000	1058	Eccentricità Y per sisma X SLD	0	0	0	-5.2E2	2.7E2	1	9001	1058	Eccentricità X per sisma Y SLD	0	0	0	4.0E3	2.7E2	1
9002	1059	Sisma X SLV	49	0	0	0	2.7E2	1	9003	1059	Sisma Y SLV	0	49	0	0	2.7E2	1
9004	1059	Eccentricità Y per sisma X SLV	0	0	0	-1.2E3	2.7E2	1	9005	1059	Eccentricità X per sisma Y SLV	0	0	0	10190	2.7E2	1
9006	1059	Sisma X SLD	20.9	0	0	0	2.7E2	1	9007	1059	Sisma Y SLD	0	19.3	0	0	2.7E2	1
9008	1059	Eccentricità Y per sisma X SLD	0	0	0	-5.2E2	2.7E2	1	9009	1059	Eccentricità X per sisma Y SLD	0	0	0	4.0E3	2.7E2	1
9010	1060	Sisma X SLV	148.6	0	0	0	8.3E2	1	9011	1060	Sisma Y SLV	0	148.6	0	0	8.3E2	1
9012	1060	Eccentricità Y per sisma X SLV	0	0	0	-3.7E3	8.3E2	1	9013	1060	Eccentricità X per sisma Y SLV	0	0	0	3.1E4	8.3E2	1
9014	1060	Sisma X SLD	63.4	0	0	0	8.3E2	1	9015	1060	Sisma Y SLD	0	58.6	0	0	8.3E2	1
9016	1060	Eccentricità Y per sisma X SLD	0	0	0	-1.6E3	8.3E2	1	9017	1060	Eccentricità X per sisma Y SLD	0	0	0	1.2E4	8.3E2	1
9018	1061	Sisma X SLV	49	0	0	0	2.7E2	1	9019	1061	Sisma Y SLV	0	49	0	0	2.7E2	1
9020	1061	Eccentricità Y per sisma X SLV	0	0	0	-1.2E3	2.7E2	1	9021	1061	Eccentricità X per sisma Y SLV	0	0	0	10190	2.7E2	1
9022	1061	Sisma X SLD	20.9	0	0	0	2.7E2	1	9023	1061	Sisma Y SLD	0	19.3	0	0	2.7E2	1
9024	1061	Eccentricità Y per sisma X SLD	0	0	0	-5.2E2	2.7E2	1	9025	1061	Eccentricità X per sisma Y SLD	0	0	0	4.0E3	2.7E2	1
9026	1062	Sisma X SLV	49	0	0	0	2.7E2	1	9027	1062	Sisma Y SLV	0	49	0	0	2.7E2	1
9028	1062	Eccentricità Y per sisma X SLV	0	0	0	-1.2E3	2.7E2	1	9029	1062	Eccentricità X per sisma Y SLV	0	0	0	10190	2.7E2	1
9030	1062	Sisma X SLD	20.9	0	0	0	2.7E2	1	9031	1062	Sisma Y SLD	0	19.3	0	0	2.7E2	1
9032	1062	Eccentricità Y per sisma X SLD	0	0	0	-5.2E2	2.7E2	1	9033	1062	Eccentricità X per sisma Y SLD	0	0	0	4.0E3	2.7E2	1
9034	1063	Sisma X SLV	49	0	0	0	2.7E2	1	9035	1063	Sisma Y SLV	0	49	0	0	2.7E2	1
9036	1063	Eccentricità Y per sisma X SLV	0	0	0	-1.2E3	2.7E2	1	9037	1063	Eccentricità X per sisma Y SLV	0	0	0	10190	2.7E2	1
9038	1063	Sisma X SLD	20.9	0	0	0	2.7E2	1	9039	1063	Sisma Y SLD	0	19.3	0	0	2.7E2	1
9040	1063	Eccentricità Y per sisma X SLD	0	0	0	-5.2E2	2.7E2	1	9041	1063	Eccentricità X per sisma Y SLD	0	0	0	4.0E3	2.7E2	1
9042	1064	Sisma X SLV	49	0	0	0	2.7E2	1	9043	1064	Sisma Y SLV	0	49	0	0	2.7E2	1
9044	1064	Eccentricità Y per sisma X SLV	0	0	0	-1.2E3	2.7E2	1	9045	1064	Eccentricità X per sisma Y SLV	0	0	0	10190	2.7E2	1
9046	1064	Sisma X SLD	20.9	0	0	0	2.7E2	1	9047	1064	Sisma Y SLD	0	19.3	0	0	2.7E2	1

Indice	Nodo	Condizione	Fx	Fy	Fz	Mz	Peso	γ	Indice	Nodo	Condizione	Fx	Fy	Fz	Mz	Peso	γ
9048	1064	Eccentricità Y per sisma X SLD	0	0	0	-5.2E2	2.7E2	1	9049	1064	Eccentricità X per sisma Y SLD	0	0	0	4.0E3	2.7E2	1
9050	1065	Sisma X SLV	49	0	0	0	2.7E2	1	9051	1065	Sisma Y SLV	0	49	0	0	2.7E2	1
9052	1065	Eccentricità Y per sisma X SLV	0	0	0	-1.2E3	2.7E2	1	9053	1065	Eccentricità X per sisma Y SLV	0	0	0	10190	2.7E2	1
9054	1065	Sisma X SLD	20.9	0	0	0	2.7E2	1	9055	1065	Sisma Y SLD	0	19.3	0	0	2.7E2	1
9056	1065	Eccentricità Y per sisma X SLD	0	0	0	-5.2E2	2.7E2	1	9057	1065	Eccentricità X per sisma Y SLD	0	0	0	4.0E3	2.7E2	1
9058	1066	Sisma X SLV	49	0	0	0	2.7E2	1	9059	1066	Sisma Y SLV	0	49	0	0	2.7E2	1
9060	1066	Eccentricità Y per sisma X SLV	0	0	0	-1.2E3	2.7E2	1	9061	1066	Eccentricità X per sisma Y SLV	0	0	0	10190	2.7E2	1
9062	1066	Sisma X SLD	20.9	0	0	0	2.7E2	1	9063	1066	Sisma Y SLD	0	19.3	0	0	2.7E2	1
9064	1066	Eccentricità Y per sisma X SLD	0	0	0	-5.2E2	2.7E2	1	9065	1066	Eccentricità X per sisma Y SLD	0	0	0	4.0E3	2.7E2	1
9066	1067	Sisma X SLV	49	0	0	0	2.7E2	1	9067	1067	Sisma Y SLV	0	49	0	0	2.7E2	1
9068	1067	Eccentricità Y per sisma X SLV	0	0	0	-1.2E3	2.7E2	1	9069	1067	Eccentricità X per sisma Y SLV	0	0	0	10190	2.7E2	1
9070	1067	Sisma X SLD	20.9	0	0	0	2.7E2	1	9071	1067	Sisma Y SLD	0	19.3	0	0	2.7E2	1
9072	1067	Eccentricità Y per sisma X SLD	0	0	0	-5.2E2	2.7E2	1	9073	1067	Eccentricità X per sisma Y SLD	0	0	0	4.0E3	2.7E2	1
9074	1068	Sisma X SLV	49	0	0	0	2.7E2	1	9075	1068	Sisma Y SLV	0	49	0	0	2.7E2	1
9076	1068	Eccentricità Y per sisma X SLV	0	0	0	-1.2E3	2.7E2	1	9077	1068	Eccentricità X per sisma Y SLV	0	0	0	10190	2.7E2	1
9078	1068	Sisma X SLD	20.9	0	0	0	2.7E2	1	9079	1068	Sisma Y SLD	0	19.3	0	0	2.7E2	1
9080	1068	Eccentricità Y per sisma X SLD	0	0	0	-5.2E2	2.7E2	1	9081	1068	Eccentricità X per sisma Y SLD	0	0	0	4.0E3	2.7E2	1
9082	1069	Sisma X SLV	49	0	0	0	2.7E2	1	9083	1069	Sisma Y SLV	0	49	0	0	2.7E2	1
9084	1069	Eccentricità Y per sisma X SLV	0	0	0	-1.2E3	2.7E2	1	9085	1069	Eccentricità X per sisma Y SLV	0	0	0	10190	2.7E2	1
9086	1069	Sisma X SLD	20.9	0	0	0	2.7E2	1	9087	1069	Sisma Y SLD	0	19.3	0	0	2.7E2	1
9088	1069	Eccentricità Y per sisma X SLD	0	0	0	-5.2E2	2.7E2	1	9089	1069	Eccentricità X per sisma Y SLD	0	0	0	4.0E3	2.7E2	1
9090	1070	Sisma X SLV	49	0	0	0	2.7E2	1	9091	1070	Sisma Y SLV	0	49	0	0	2.7E2	1
9092	1070	Eccentricità Y per sisma X SLV	0	0	0	-1.2E3	2.7E2	1	9093	1070	Eccentricità X per sisma Y SLV	0	0	0	10190	2.7E2	1
9094	1070	Sisma X SLD	20.9	0	0	0	2.7E2	1	9095	1070	Sisma Y SLD	0	19.3	0	0	2.7E2	1
9096	1070	Eccentricità Y per sisma X SLD	0	0	0	-5.2E2	2.7E2	1	9097	1070	Eccentricità X per sisma Y SLD	0	0	0	4.0E3	2.7E2	1
9098	1071	Sisma X SLV	49	0	0	0	2.7E2	1	9099	1071	Sisma Y SLV	0	49	0	0	2.7E2	1
9100	1071	Eccentricità Y per sisma X SLV	0	0	0	-1.2E3	2.7E2	1	9101	1071	Eccentricità X per sisma Y SLV	0	0	0	10190	2.7E2	1
9102	1071	Sisma X SLD	20.9	0	0	0	2.7E2	1	9103	1071	Sisma Y SLD	0	19.3	0	0	2.7E2	1
9104	1071	Eccentricità Y per sisma X SLD	0	0	0	-5.2E2	2.7E2	1	9105	1071	Eccentricità X per sisma Y SLD	0	0	0	4.0E3	2.7E2	1
9106	1072	Sisma X SLV	149	0	0	0	8.3E2	1	9107	1072	Sisma Y SLV	0	149	0	0	8.3E2	1
9108	1072	Eccentricità Y per sisma X SLV	0	0	0	-3.7E3	8.3E2	1	9109	1072	Eccentricità X per sisma Y SLV	0	0	0	3.1E4	8.3E2	1
9110	1072	Sisma X SLD	63.5	0	0	0	8.3E2	1	9111	1072	Sisma Y SLD	0	58.8	0	0	8.3E2	1
9112	1072	Eccentricità Y per sisma X SLD	0	0	0	-1.6E3	8.3E2	1	9113	1072	Eccentricità X per sisma Y SLD	0	0	0	1.2E4	8.3E2	1
9114	1073	Sisma X SLV	49.7	0	0	0	2.8E2	1	9115	1073	Sisma Y SLV	0	49.7	0	0	2.8E2	1
9116	1073	Eccentricità Y per sisma X SLV	0	0	0	-1240	2.8E2	1	9117	1073	Eccentricità X per sisma Y SLV	0	0	0	1.0E4	2.8E2	1
9118	1073	Sisma X SLD	21.2	0	0	0	2.8E2	1	9119	1073	Sisma Y SLD	0	19.6	0	0	2.8E2	1
9120	1073	Eccentricità Y per sisma X SLD	0	0	0	-5.3E2	2.8E2	1	9121	1073	Eccentricità X per sisma Y SLD	0	0	0	4.1E3	2.8E2	1
9122	1074	Sisma X SLV	49.7	0	0	0	2.8E2	1	9123	1074	Sisma Y SLV	0	49.7	0	0	2.8E2	1
9124	1074	Eccentricità Y per sisma X SLV	0	0	0	-1240	2.8E2	1	9125	1074	Eccentricità X per sisma Y SLV	0	0	0	1.0E4	2.8E2	1
9126	1074	Sisma X SLD	21.2	0	0	0	2.8E2	1	9127	1074	Sisma Y SLD	0	19.6	0	0	2.8E2	1
9128	1074	Eccentricità Y per sisma X SLD	0	0	0	-5.3E2	2.8E2	1	9129	1074	Eccentricità X per sisma Y SLD	0	0	0	4.1E3	2.8E2	1
9130	1075	Sisma X SLV	49.7	0	0	0	2.8E2	1	9131	1075	Sisma Y SLV	0	49.7	0	0	2.8E2	1
9132	1075	Eccentricità Y per sisma X SLV	0	0	0	-1240	2.8E2	1	9133	1075	Eccentricità X per sisma Y SLV	0	0	0	1.0E4	2.8E2	1
9134	1075	Sisma X SLD	21.2	0	0	0	2.8E2	1	9135	1075	Sisma Y SLD	0	19.6	0	0	2.8E2	1
9136	1075	Eccentricità Y per sisma X SLD	0	0	0	-5.3E2	2.8E2	1	9137	1075	Eccentricità X per sisma Y SLD	0	0	0	4.1E3	2.8E2	1
9138	1076	Sisma X SLV	49.7	0	0	0	2.8E2	1	9139	1076	Sisma Y SLV	0	49.7	0	0	2.8E2	1

Indice	Nodo	Condizione	Fx	Fy	Fz	Mz	Peso	γ	Indice	Nodo	Condizione	Fx	Fy	Fz	Mz	Peso	γ
9140	1076	Eccentricità Y per sisma X SLV	0	0	0	-1240	2.8E2	1	9141	1076	Eccentricità X per sisma Y SLV	0	0	0	1.0E4	2.8E2	1
9142	1076	Sisma X SLD	21.2	0	0	0	2.8E2	1	9143	1076	Sisma Y SLD	0	19.6	0	0	2.8E2	1
9144	1076	Eccentricità Y per sisma X SLD	0	0	0	-5.3E2	2.8E2	1	9145	1076	Eccentricità X per sisma Y SLD	0	0	0	4.1E3	2.8E2	1
9146	1077	Sisma X SLV	49.7	0	0	0	2.8E2	1	9147	1077	Sisma Y SLV	0	49.7	0	0	2.8E2	1
9148	1077	Eccentricità Y per sisma X SLV	0	0	0	-1.2E3	2.8E2	1	9149	1077	Eccentricità X per sisma Y SLV	0	0	0	1.0E4	2.8E2	1
9150	1077	Sisma X SLD	21.2	0	0	0	2.8E2	1	9151	1077	Sisma Y SLD	0	19.6	0	0	2.8E2	1
9152	1077	Eccentricità Y per sisma X SLD	0	0	0	-5.3E2	2.8E2	1	9153	1077	Eccentricità X per sisma Y SLD	0	0	0	4.1E3	2.8E2	1
9154	1078	Sisma X SLV	49.7	0	0	0	2.8E2	1	9155	1078	Sisma Y SLV	0	49.7	0	0	2.8E2	1
9156	1078	Eccentricità Y per sisma X SLV	0	0	0	-1.2E3	2.8E2	1	9157	1078	Eccentricità X per sisma Y SLV	0	0	0	1.0E4	2.8E2	1
9158	1078	Sisma X SLD	21.2	0	0	0	2.8E2	1	9159	1078	Sisma Y SLD	0	19.6	0	0	2.8E2	1
9160	1078	Eccentricità Y per sisma X SLD	0	0	0	-5.3E2	2.8E2	1	9161	1078	Eccentricità X per sisma Y SLD	0	0	0	4.1E3	2.8E2	1
9162	1079	Sisma X SLV	49.6	0	0	0	2.8E2	1	9163	1079	Sisma Y SLV	0	49.6	0	0	2.8E2	1
9164	1079	Eccentricità Y per sisma X SLV	0	0	0	-1.2E3	2.8E2	1	9165	1079	Eccentricità X per sisma Y SLV	0	0	0	1.0E4	2.8E2	1
9166	1079	Sisma X SLD	21.2	0	0	0	2.8E2	1	9167	1079	Sisma Y SLD	0	19.6	0	0	2.8E2	1
9168	1079	Eccentricità Y per sisma X SLD	0	0	0	-5.3E2	2.8E2	1	9169	1079	Eccentricità X per sisma Y SLD	0	0	0	4.1E3	2.8E2	1
9170	1080	Sisma X SLV	49.6	0	0	0	2.8E2	1	9171	1080	Sisma Y SLV	0	49.6	0	0	2.8E2	1
9172	1080	Eccentricità Y per sisma X SLV	0	0	0	-1.2E3	2.8E2	1	9173	1080	Eccentricità X per sisma Y SLV	0	0	0	1.0E4	2.8E2	1
9174	1080	Sisma X SLD	21.1	0	0	0	2.8E2	1	9175	1080	Sisma Y SLD	0	19.6	0	0	2.8E2	1
9176	1080	Eccentricità Y per sisma X SLD	0	0	0	-5.3E2	2.8E2	1	9177	1080	Eccentricità X per sisma Y SLD	0	0	0	4.1E3	2.8E2	1
9178	1081	Sisma X SLV	48.2	0	0	0	2.7E2	1	9179	1081	Sisma Y SLV	0	48.2	0	0	2.7E2	1
9180	1081	Eccentricità Y per sisma X SLV	0	0	0	-1.2E3	2.7E2	1	9181	1081	Eccentricità X per sisma Y SLV	0	0	0	1.0E4	2.7E2	1
9182	1081	Sisma X SLD	20.5	0	0	0	2.7E2	1	9183	1081	Sisma Y SLD	0	19	0	0	2.7E2	1
9184	1081	Eccentricità Y per sisma X SLD	0	0	0	-5.1E2	2.7E2	1	9185	1081	Eccentricità X per sisma Y SLD	0	0	0	3951	2.7E2	1
9186	1082	Sisma X SLV	47.1	0	0	0	2.6E2	1	9187	1082	Sisma Y SLV	0	47.1	0	0	2.6E2	1
9188	1082	Eccentricità Y per sisma X SLV	0	0	0	-1175	2.6E2	1	9189	1082	Eccentricità X per sisma Y SLV	0	0	0	9.8E3	2.6E2	1
9190	1082	Sisma X SLD	20.1	0	0	0	2.6E2	1	9191	1082	Sisma Y SLD	0	18.6	0	0	2.6E2	1
9192	1082	Eccentricità Y per sisma X SLD	0	0	0	-5.0E2	2.6E2	1	9193	1082	Eccentricità X per sisma Y SLD	0	0	0	3.9E3	2.6E2	1
9194	1083	Sisma X SLV	47	0	0	0	2.6E2	1	9195	1083	Sisma Y SLV	0	47	0	0	2.6E2	1
9196	1083	Eccentricità Y per sisma X SLV	0	0	0	-1.2E3	2.6E2	1	9197	1083	Eccentricità X per sisma Y SLV	0	0	0	9.8E3	2.6E2	1
9198	1083	Sisma X SLD	20	0	0	0	2.6E2	1	9199	1083	Sisma Y SLD	0	18.5	0	0	2.6E2	1
9200	1083	Eccentricità Y per sisma X SLD	0	0	0	-5.0E2	2.6E2	1	9201	1083	Eccentricità X per sisma Y SLD	0	0	0	3.9E3	2.6E2	1
9202	1084	Sisma X SLV	147.7	0	0	0	8.3E2	1	9203	1084	Sisma Y SLV	0	147.7	0	0	8.3E2	1
9204	1084	Eccentricità Y per sisma X SLV	0	0	0	-3.7E3	8.3E2	1	9205	1084	Eccentricità X per sisma Y SLV	0	0	0	3.1E4	8.3E2	1
9206	1084	Sisma X SLD	63	0	0	0	8.3E2	1	9207	1084	Sisma Y SLD	0	58.2	0	0	8.3E2	1
9208	1084	Eccentricità Y per sisma X SLD	0	0	0	-1.6E3	8.3E2	1	9209	1084	Eccentricità X per sisma Y SLD	0	0	0	1.2E4	8.3E2	1
9210	1085	Sisma X SLV	49	0	0	0	2.7E2	1	9211	1085	Sisma Y SLV	0	49	0	0	2.7E2	1
9212	1085	Eccentricità Y per sisma X SLV	0	0	0	-1.2E3	2.7E2	1	9213	1085	Eccentricità X per sisma Y SLV	0	0	0	10190	2.7E2	1
9214	1085	Sisma X SLD	20.9	0	0	0	2.7E2	1	9215	1085	Sisma Y SLD	0	19.3	0	0	2.7E2	1
9216	1085	Eccentricità Y per sisma X SLD	0	0	0	-5.2E2	2.7E2	1	9217	1085	Eccentricità X per sisma Y SLD	0	0	0	4.0E3	2.7E2	1
9218	1086	Sisma X SLV	49	0	0	0	2.7E2	1	9219	1086	Sisma Y SLV	0	49	0	0	2.7E2	1
9220	1086	Eccentricità Y per sisma X SLV	0	0	0	-1.2E3	2.7E2	1	9221	1086	Eccentricità X per sisma Y SLV	0	0	0	10190	2.7E2	1
9222	1086	Sisma X SLD	20.9	0	0	0	2.7E2	1	9223	1086	Sisma Y SLD	0	19.3	0	0	2.7E2	1
9224	1086	Eccentricità Y per sisma X SLD	0	0	0	-5.2E2	2.7E2	1	9225	1086	Eccentricità X per sisma Y SLD	0	0	0	4.0E3	2.7E2	1
9226	1087	Sisma X SLV	49	0	0	0	2.7E2	1	9227	1087	Sisma Y SLV	0	49	0	0	2.7E2	1
9228	1087	Eccentricità Y per sisma X SLV	0	0	0	-1.2E3	2.7E2	1	9229	1087	Eccentricità X per sisma Y SLV	0	0	0	10190	2.7E2	1
9230	1087	Sisma X SLD	20.9	0	0	0	2.7E2	1	9231	1087	Sisma Y SLD	0	19.3	0	0	2.7E2	1

Indice	Nodo	Condizione	Fx	Fy	Fz	Mz	Peso	γ	Indice	Nodo	Condizione	Fx	Fy	Fz	Mz	Peso	γ
9232	1087	Eccentricità Y per sisma X SLD	0	0	0	-5.2E2	2.7E2	1	9233	1087	Eccentricità X per sisma Y SLD	0	0	0	4.0E3	2.7E2	1
9234	1088	Sisma X SLV	49	0	0	0	2.7E2	1	9235	1088	Sisma Y SLV	0	49	0	0	2.7E2	1
9236	1088	Eccentricità Y per sisma X SLV	0	0	0	-1.2E3	2.7E2	1	9237	1088	Eccentricità X per sisma Y SLV	0	0	0	10190	2.7E2	1
9238	1088	Sisma X SLD	20.9	0	0	0	2.7E2	1	9239	1088	Sisma Y SLD	0	19.3	0	0	2.7E2	1
9240	1088	Eccentricità Y per sisma X SLD	0	0	0	-5.2E2	2.7E2	1	9241	1088	Eccentricità X per sisma Y SLD	0	0	0	4.0E3	2.7E2	1
9242	1089	Sisma X SLV	49	0	0	0	2.7E2	1	9243	1089	Sisma Y SLV	0	49	0	0	2.7E2	1
9244	1089	Eccentricità Y per sisma X SLV	0	0	0	-1.2E3	2.7E2	1	9245	1089	Eccentricità X per sisma Y SLV	0	0	0	10190	2.7E2	1
9246	1089	Sisma X SLD	20.9	0	0	0	2.7E2	1	9247	1089	Sisma Y SLD	0	19.3	0	0	2.7E2	1
9248	1089	Eccentricità Y per sisma X SLD	0	0	0	-5.2E2	2.7E2	1	9249	1089	Eccentricità X per sisma Y SLD	0	0	0	4.0E3	2.7E2	1
9250	1090	Sisma X SLV	49	0	0	0	2.7E2	1	9251	1090	Sisma Y SLV	0	49	0	0	2.7E2	1
9252	1090	Eccentricità Y per sisma X SLV	0	0	0	-1.2E3	2.7E2	1	9253	1090	Eccentricità X per sisma Y SLV	0	0	0	10190	2.7E2	1
9254	1090	Sisma X SLD	20.9	0	0	0	2.7E2	1	9255	1090	Sisma Y SLD	0	19.3	0	0	2.7E2	1
9256	1090	Eccentricità Y per sisma X SLD	0	0	0	-5.2E2	2.7E2	1	9257	1090	Eccentricità X per sisma Y SLD	0	0	0	4.0E3	2.7E2	1
9258	1091	Sisma X SLV	49	0	0	0	2.7E2	1	9259	1091	Sisma Y SLV	0	49	0	0	2.7E2	1
9260	1091	Eccentricità Y per sisma X SLV	0	0	0	-1.2E3	2.7E2	1	9261	1091	Eccentricità X per sisma Y SLV	0	0	0	10190	2.7E2	1
9262	1091	Sisma X SLD	20.9	0	0	0	2.7E2	1	9263	1091	Sisma Y SLD	0	19.3	0	0	2.7E2	1
9264	1091	Eccentricità Y per sisma X SLD	0	0	0	-5.2E2	2.7E2	1	9265	1091	Eccentricità X per sisma Y SLD	0	0	0	4.0E3	2.7E2	1
9266	1092	Sisma X SLV	49	0	0	0	2.7E2	1	9267	1092	Sisma Y SLV	0	49	0	0	2.7E2	1
9268	1092	Eccentricità Y per sisma X SLV	0	0	0	-1.2E3	2.7E2	1	9269	1092	Eccentricità X per sisma Y SLV	0	0	0	10190	2.7E2	1
9270	1092	Sisma X SLD	20.9	0	0	0	2.7E2	1	9271	1092	Sisma Y SLD	0	19.3	0	0	2.7E2	1
9272	1092	Eccentricità Y per sisma X SLD	0	0	0	-5.2E2	2.7E2	1	9273	1092	Eccentricità X per sisma Y SLD	0	0	0	4.0E3	2.7E2	1
9274	1093	Sisma X SLV	49	0	0	0	2.7E2	1	9275	1093	Sisma Y SLV	0	49	0	0	2.7E2	1
9276	1093	Eccentricità Y per sisma X SLV	0	0	0	-1.2E3	2.7E2	1	9277	1093	Eccentricità X per sisma Y SLV	0	0	0	10190	2.7E2	1
9278	1093	Sisma X SLD	20.9	0	0	0	2.7E2	1	9279	1093	Sisma Y SLD	0	19.3	0	0	2.7E2	1
9280	1093	Eccentricità Y per sisma X SLD	0	0	0	-5.2E2	2.7E2	1	9281	1093	Eccentricità X per sisma Y SLD	0	0	0	4.0E3	2.7E2	1
9282	1094	Sisma X SLV	49	0	0	0	2.7E2	1	9283	1094	Sisma Y SLV	0	49	0	0	2.7E2	1
9284	1094	Eccentricità Y per sisma X SLV	0	0	0	-1.2E3	2.7E2	1	9285	1094	Eccentricità X per sisma Y SLV	0	0	0	10190	2.7E2	1
9286	1094	Sisma X SLD	20.9	0	0	0	2.7E2	1	9287	1094	Sisma Y SLD	0	19.3	0	0	2.7E2	1
9288	1094	Eccentricità Y per sisma X SLD	0	0	0	-5.2E2	2.7E2	1	9289	1094	Eccentricità X per sisma Y SLD	0	0	0	4.0E3	2.7E2	1
9290	1095	Sisma X SLV	49	0	0	0	2.7E2	1	9291	1095	Sisma Y SLV	0	49	0	0	2.7E2	1
9292	1095	Eccentricità Y per sisma X SLV	0	0	0	-1.2E3	2.7E2	1	9293	1095	Eccentricità X per sisma Y SLV	0	0	0	10190	2.7E2	1
9294	1095	Sisma X SLD	20.9	0	0	0	2.7E2	1	9295	1095	Sisma Y SLD	0	19.3	0	0	2.7E2	1
9296	1095	Eccentricità Y per sisma X SLD	0	0	0	-5.2E2	2.7E2	1	9297	1095	Eccentricità X per sisma Y SLD	0	0	0	4.0E3	2.7E2	1
9298	1096	Sisma X SLV	148.6	0	0	0	8.3E2	1	9299	1096	Sisma Y SLV	0	148.6	0	0	8.3E2	1
9300	1096	Eccentricità Y per sisma X SLV	0	0	0	-3.7E3	8.3E2	1	9301	1096	Eccentricità X per sisma Y SLV	0	0	0	3.1E4	8.3E2	1
9302	1096	Sisma X SLD	63.4	0	0	0	8.3E2	1	9303	1096	Sisma Y SLD	0	58.6	0	0	8.3E2	1
9304	1096	Eccentricità Y per sisma X SLD	0	0	0	-1.6E3	8.3E2	1	9305	1096	Eccentricità X per sisma Y SLD	0	0	0	1.2E4	8.3E2	1
9306	1097	Sisma X SLV	49	0	0	0	2.7E2	1	9307	1097	Sisma Y SLV	0	49	0	0	2.7E2	1
9308	1097	Eccentricità Y per sisma X SLV	0	0	0	-1.2E3	2.7E2	1	9309	1097	Eccentricità X per sisma Y SLV	0	0	0	10190	2.7E2	1
9310	1097	Sisma X SLD	20.9	0	0	0	2.7E2	1	9311	1097	Sisma Y SLD	0	19.3	0	0	2.7E2	1
9312	1097	Eccentricità Y per sisma X SLD	0	0	0	-5.2E2	2.7E2	1	9313	1097	Eccentricità X per sisma Y SLD	0	0	0	4.0E3	2.7E2	1
9314	1098	Sisma X SLV	49	0	0	0	2.7E2	1	9315	1098	Sisma Y SLV	0	49	0	0	2.7E2	1
9316	1098	Eccentricità Y per sisma X SLV	0	0	0	-1.2E3	2.7E2	1	9317	1098	Eccentricità X per sisma Y SLV	0	0	0	10190	2.7E2	1
9318	1098	Sisma X SLD	20.9	0	0	0	2.7E2	1	9319	1098	Sisma Y SLD	0	19.3	0	0	2.7E2	1
9320	1098	Eccentricità Y per sisma X SLD	0	0	0	-5.2E2	2.7E2	1	9321	1098	Eccentricità X per sisma Y SLD	0	0	0	4.0E3	2.7E2	1
9322	1099	Sisma X SLV	49	0	0	0	2.7E2	1	9323	1099	Sisma Y SLV	0	49	0	0	2.7E2	1

Indice	Nodo	Condizione	Fx	Fy	Fz	Mz	Peso	γ	Indice	Nodo	Condizione	Fx	Fy	Fz	Mz	Peso	γ
9324	1099	Eccentricità Y per sisma X SLV	0	0	0	-1.2E3	2.7E2	1	9325	1099	Eccentricità X per sisma Y SLV	0	0	0	10190	2.7E2	1
9326	1099	Sisma X SLD	20.9	0	0	0	2.7E2	1	9327	1099	Sisma Y SLD	0	19.3	0	0	2.7E2	1
9328	1099	Eccentricità Y per sisma X SLD	0	0	0	-5.2E2	2.7E2	1	9329	1099	Eccentricità X per sisma Y SLD	0	0	0	4.0E3	2.7E2	1
9330	1100	Sisma X SLV	49	0	0	0	2.7E2	1	9331	1100	Sisma Y SLV	0	49	0	0	2.7E2	1
9332	1100	Eccentricità Y per sisma X SLV	0	0	0	-1.2E3	2.7E2	1	9333	1100	Eccentricità X per sisma Y SLV	0	0	0	10190	2.7E2	1
9334	1100	Sisma X SLD	20.9	0	0	0	2.7E2	1	9335	1100	Sisma Y SLD	0	19.3	0	0	2.7E2	1
9336	1100	Eccentricità Y per sisma X SLD	0	0	0	-5.2E2	2.7E2	1	9337	1100	Eccentricità X per sisma Y SLD	0	0	0	4.0E3	2.7E2	1
9338	1101	Sisma X SLV	49	0	0	0	2.7E2	1	9339	1101	Sisma Y SLV	0	49	0	0	2.7E2	1
9340	1101	Eccentricità Y per sisma X SLV	0	0	0	-1.2E3	2.7E2	1	9341	1101	Eccentricità X per sisma Y SLV	0	0	0	10190	2.7E2	1
9342	1101	Sisma X SLD	20.9	0	0	0	2.7E2	1	9343	1101	Sisma Y SLD	0	19.3	0	0	2.7E2	1
9344	1101	Eccentricità Y per sisma X SLD	0	0	0	-5.2E2	2.7E2	1	9345	1101	Eccentricità X per sisma Y SLD	0	0	0	4.0E3	2.7E2	1
9346	1102	Sisma X SLV	49	0	0	0	2.7E2	1	9347	1102	Sisma Y SLV	0	49	0	0	2.7E2	1
9348	1102	Eccentricità Y per sisma X SLV	0	0	0	-1.2E3	2.7E2	1	9349	1102	Eccentricità X per sisma Y SLV	0	0	0	10190	2.7E2	1
9350	1102	Sisma X SLD	20.9	0	0	0	2.7E2	1	9351	1102	Sisma Y SLD	0	19.3	0	0	2.7E2	1
9352	1102	Eccentricità Y per sisma X SLD	0	0	0	-5.2E2	2.7E2	1	9353	1102	Eccentricità X per sisma Y SLD	0	0	0	4.0E3	2.7E2	1
9354	1103	Sisma X SLV	49	0	0	0	2.7E2	1	9355	1103	Sisma Y SLV	0	49	0	0	2.7E2	1
9356	1103	Eccentricità Y per sisma X SLV	0	0	0	-1.2E3	2.7E2	1	9357	1103	Eccentricità X per sisma Y SLV	0	0	0	10190	2.7E2	1
9358	1103	Sisma X SLD	20.9	0	0	0	2.7E2	1	9359	1103	Sisma Y SLD	0	19.3	0	0	2.7E2	1
9360	1103	Eccentricità Y per sisma X SLD	0	0	0	-5.2E2	2.7E2	1	9361	1103	Eccentricità X per sisma Y SLD	0	0	0	4.0E3	2.7E2	1
9362	1104	Sisma X SLV	49	0	0	0	2.7E2	1	9363	1104	Sisma Y SLV	0	49	0	0	2.7E2	1
9364	1104	Eccentricità Y per sisma X SLV	0	0	0	-1.2E3	2.7E2	1	9365	1104	Eccentricità X per sisma Y SLV	0	0	0	10190	2.7E2	1
9366	1104	Sisma X SLD	20.9	0	0	0	2.7E2	1	9367	1104	Sisma Y SLD	0	19.3	0	0	2.7E2	1
9368	1104	Eccentricità Y per sisma X SLD	0	0	0	-5.2E2	2.7E2	1	9369	1104	Eccentricità X per sisma Y SLD	0	0	0	4.0E3	2.7E2	1
9370	1105	Sisma X SLV	49	0	0	0	2.7E2	1	9371	1105	Sisma Y SLV	0	49	0	0	2.7E2	1
9372	1105	Eccentricità Y per sisma X SLV	0	0	0	-1.2E3	2.7E2	1	9373	1105	Eccentricità X per sisma Y SLV	0	0	0	10190	2.7E2	1
9374	1105	Sisma X SLD	20.9	0	0	0	2.7E2	1	9375	1105	Sisma Y SLD	0	19.3	0	0	2.7E2	1
9376	1105	Eccentricità Y per sisma X SLD	0	0	0	-5.2E2	2.7E2	1	9377	1105	Eccentricità X per sisma Y SLD	0	0	0	4.0E3	2.7E2	1
9378	1106	Sisma X SLV	49	0	0	0	2.7E2	1	9379	1106	Sisma Y SLV	0	49	0	0	2.7E2	1
9380	1106	Eccentricità Y per sisma X SLV	0	0	0	-1.2E3	2.7E2	1	9381	1106	Eccentricità X per sisma Y SLV	0	0	0	10190	2.7E2	1
9382	1106	Sisma X SLD	20.9	0	0	0	2.7E2	1	9383	1106	Sisma Y SLD	0	19.3	0	0	2.7E2	1
9384	1106	Eccentricità Y per sisma X SLD	0	0	0	-5.2E2	2.7E2	1	9385	1106	Eccentricità X per sisma Y SLD	0	0	0	4.0E3	2.7E2	1
9386	1107	Sisma X SLV	49	0	0	0	2.7E2	1	9387	1107	Sisma Y SLV	0	49	0	0	2.7E2	1
9388	1107	Eccentricità Y per sisma X SLV	0	0	0	-1.2E3	2.7E2	1	9389	1107	Eccentricità X per sisma Y SLV	0	0	0	10190	2.7E2	1
9390	1107	Sisma X SLD	20.9	0	0	0	2.7E2	1	9391	1107	Sisma Y SLD	0	19.3	0	0	2.7E2	1
9392	1107	Eccentricità Y per sisma X SLD	0	0	0	-5.2E2	2.7E2	1	9393	1107	Eccentricità X per sisma Y SLD	0	0	0	4.0E3	2.7E2	1
9394	1108	Sisma X SLV	148	0	0	0	8.3E2	1	9395	1108	Sisma Y SLV	0	148	0	0	8.3E2	1
9396	1108	Eccentricità Y per sisma X SLV	0	0	0	-3.7E3	8.3E2	1	9397	1108	Eccentricità X per sisma Y SLV	0	0	0	3.1E4	8.3E2	1
9398	1108	Sisma X SLD	63.1	0	0	0	8.3E2	1	9399	1108	Sisma Y SLD	0	58.4	0	0	8.3E2	1
9400	1108	Eccentricità Y per sisma X SLD	0	0	0	-1.6E3	8.3E2	1	9401	1108	Eccentricità X per sisma Y SLD	0	0	0	1.2E4	8.3E2	1
9402	1109	Sisma X SLV	44.4	0	0	0	248.9	1	9403	1109	Sisma Y SLV	0	44.4	0	0	248.9	1
9404	1109	Eccentricità Y per sisma X SLV	0	0	0	-1.1E3	248.9	1	9405	1109	Eccentricità X per sisma Y SLV	0	0	0	9.2E3	248.9	1
9406	1109	Sisma X SLD	18.9	0	0	0	248.9	1	9407	1109	Sisma Y SLD	0	17.5	0	0	248.9	1
9408	1109	Eccentricità Y per sisma X SLD	0	0	0	-4.7E2	248.9	1	9409	1109	Eccentricità X per sisma Y SLD	0	0	0	3.6E3	248.9	1
9410	1110	Sisma X SLV	40	0	0	0	2.2E2	1	9411	1110	Sisma Y SLV	0	40	0	0	2.2E2	1
9412	1110	Eccentricità Y per sisma X SLV	0	0	0	-999	2.2E2	1	9413	1110	Eccentricità X per sisma Y SLV	0	0	0	8.3E3	2.2E2	1
9414	1110	Sisma X SLD	17.1	0	0	0	2.2E2	1	9415	1110	Sisma Y SLD	0	15.8	0	0	2.2E2	1

Indice	Nodo	Condizione	Fx	Fy	Fz	Mz	Peso	γ
9416	1110	Eccentricità Y per sisma X SLD	0	0	0	-4.3E2	2.2E2	1
9418	1111	Sisma X SLV	35.6	0	0	0	2.0E2	1
9420	1111	Eccentricità Y per sisma X SLV	0	0	0	-8.9E2	2.0E2	1
9422	1111	Sisma X SLD	15.2	0	0	0	2.0E2	1
9424	1111	Eccentricità Y per sisma X SLD	0	0	0	-3.8E2	2.0E2	1
9426	1112	Sisma X SLV	31.1	0	0	0	1.7E2	1
9428	1112	Eccentricità Y per sisma X SLV	0	0	0	-777	1.7E2	1
9430	1112	Sisma X SLD	13.3	0	0	0	1.7E2	1
9432	1112	Eccentricità Y per sisma X SLD	0	0	0	-3.3E2	1.7E2	1
9434	1113	Sisma X SLV	26.7	0	0	0	1.5E2	1
9436	1113	Eccentricità Y per sisma X SLV	0	0	0	-6.7E2	1.5E2	1
9438	1113	Sisma X SLD	11.4	0	0	0	1.5E2	1
9440	1113	Eccentricità Y per sisma X SLD	0	0	0	-2.8E2	1.5E2	1
9442	1114	Sisma X SLV	22.2	0	0	0	1.2E2	1
9444	1114	Eccentricità Y per sisma X SLV	0	0	0	-5.6E2	1.2E2	1
9446	1114	Sisma X SLD	9.5	0	0	0	1.2E2	1
9448	1114	Eccentricità Y per sisma X SLD	0	0	0	-2.4E2	1.2E2	1
9450	1115	Sisma X SLV	17.8	0	0	0	1.0E2	1
9452	1115	Eccentricità Y per sisma X SLV	0	0	0	-4.4E2	1.0E2	1
9454	1115	Sisma X SLD	7.6	0	0	0	1.0E2	1
9456	1115	Eccentricità Y per sisma X SLD	0	0	0	-1.9E2	1.0E2	1
9458	1116	Sisma X SLV	13.3	0	0	0	7.5E1	1
9460	1116	Eccentricità Y per sisma X SLV	0	0	0	-3.3E2	7.5E1	1
9462	1116	Sisma X SLD	5.7	0	0	0	7.5E1	1
9464	1116	Eccentricità Y per sisma X SLD	0	0	0	-1.4E2	7.5E1	1
9466	1117	Sisma X SLV	8.8	0	0	0	4.9E1	1
9468	1117	Eccentricità Y per sisma X SLV	0	0	0	-2.2E2	4.9E1	1
9470	1117	Sisma X SLD	3.7	0	0	0	4.9E1	1
9472	1117	Eccentricità Y per sisma X SLD	0	0	0	-93.5	4.9E1	1
9474	1118	Sisma X SLV	4.6	0	0	0	2.6E1	1
9476	1118	Eccentricità Y per sisma X SLV	0	0	0	-114	2.6E1	1
9478	1118	Sisma X SLD	1.9	0	0	0	2.6E1	1
9480	1118	Eccentricità Y per sisma X SLD	0	0	0	-48.6	2.6E1	1
9482	1119	Sisma X SLV	29.9	0	0	0	1.7E2	1
9484	1119	Eccentricità Y per sisma X SLV	0	0	0	-7.5E2	1.7E2	1
9486	1119	Sisma X SLD	12.7	0	0	0	1.7E2	1
9488	1119	Eccentricità Y per sisma X SLD	0	0	0	-3.2E2	1.7E2	1

Indice	Nodo	Condizione	Fx	Fy	Fz	Mz	Peso	γ
9417	1110	Eccentricità X per sisma Y SLD	0	0	0	3.3E3	2.2E2	1
9419	1111	Sisma Y SLV	0	35.6	0	0	2.0E2	1
9421	1111	Eccentricità X per sisma Y SLV	0	0	0	7.4E3	2.0E2	1
9423	1111	Sisma Y SLD	0	14	0	0	2.0E2	1
9425	1111	Eccentricità X per sisma Y SLD	0	0	0	2.9E3	2.0E2	1
9427	1112	Sisma Y SLV	0	31.1	0	0	1.7E2	1
9429	1112	Eccentricità X per sisma Y SLV	0	0	0	6.5E3	1.7E2	1
9431	1112	Sisma Y SLD	0	12.3	0	0	1.7E2	1
9433	1112	Eccentricità X per sisma Y SLD	0	0	0	2.6E3	1.7E2	1
9435	1113	Sisma Y SLV	0	26.7	0	0	1.5E2	1
9437	1113	Eccentricità X per sisma Y SLV	0	0	0	5552	1.5E2	1
9439	1113	Sisma Y SLD	0	10.5	0	0	1.5E2	1
9441	1113	Eccentricità X per sisma Y SLD	0	0	0	2.2E3	1.5E2	1
9443	1114	Sisma Y SLV	0	22.2	0	0	1.2E2	1
9445	1114	Eccentricità X per sisma Y SLV	0	0	0	4.6E3	1.2E2	1
9447	1114	Sisma Y SLD	0	8.8	0	0	1.2E2	1
9449	1114	Eccentricità X per sisma Y SLD	0	0	0	1.8E3	1.2E2	1
9451	1115	Sisma Y SLV	0	17.8	0	0	1.0E2	1
9453	1115	Eccentricità X per sisma Y SLV	0	0	0	3.7E3	1.0E2	1
9455	1115	Sisma Y SLD	0	7	0	0	1.0E2	1
9457	1115	Eccentricità X per sisma Y SLD	0	0	0	1.5E3	1.0E2	1
9459	1116	Sisma Y SLV	0	13.3	0	0	7.5E1	1
9461	1116	Eccentricità X per sisma Y SLV	0	0	0	2.8E3	7.5E1	1
9463	1116	Sisma Y SLD	0	5.3	0	0	7.5E1	1
9465	1116	Eccentricità X per sisma Y SLD	0	0	0	1.1E3	7.5E1	1
9467	1117	Sisma Y SLV	0	8.8	0	0	4.9E1	1
9469	1117	Eccentricità X per sisma Y SLV	0	0	0	1828	4.9E1	1
9471	1117	Sisma Y SLD	0	3.5	0	0	4.9E1	1
9473	1117	Eccentricità X per sisma Y SLD	0	0	0	720.9	4.9E1	1
9475	1118	Sisma Y SLV	0	4.6	0	0	2.6E1	1
9477	1118	Eccentricità X per sisma Y SLV	0	0	0	949.8	2.6E1	1
9479	1118	Sisma Y SLD	0	1.8	0	0	2.6E1	1
9481	1118	Eccentricità X per sisma Y SLD	0	0	0	374.6	2.6E1	1
9483	1119	Sisma Y SLV	0	29.9	0	0	1.7E2	1
9485	1119	Eccentricità X per sisma Y SLV	0	0	0	6.2E3	1.7E2	1
9487	1119	Sisma Y SLD	0	11.8	0	0	1.7E2	1
9489	1119	Eccentricità X per sisma Y SLD	0	0	0	2.5E3	1.7E2	1

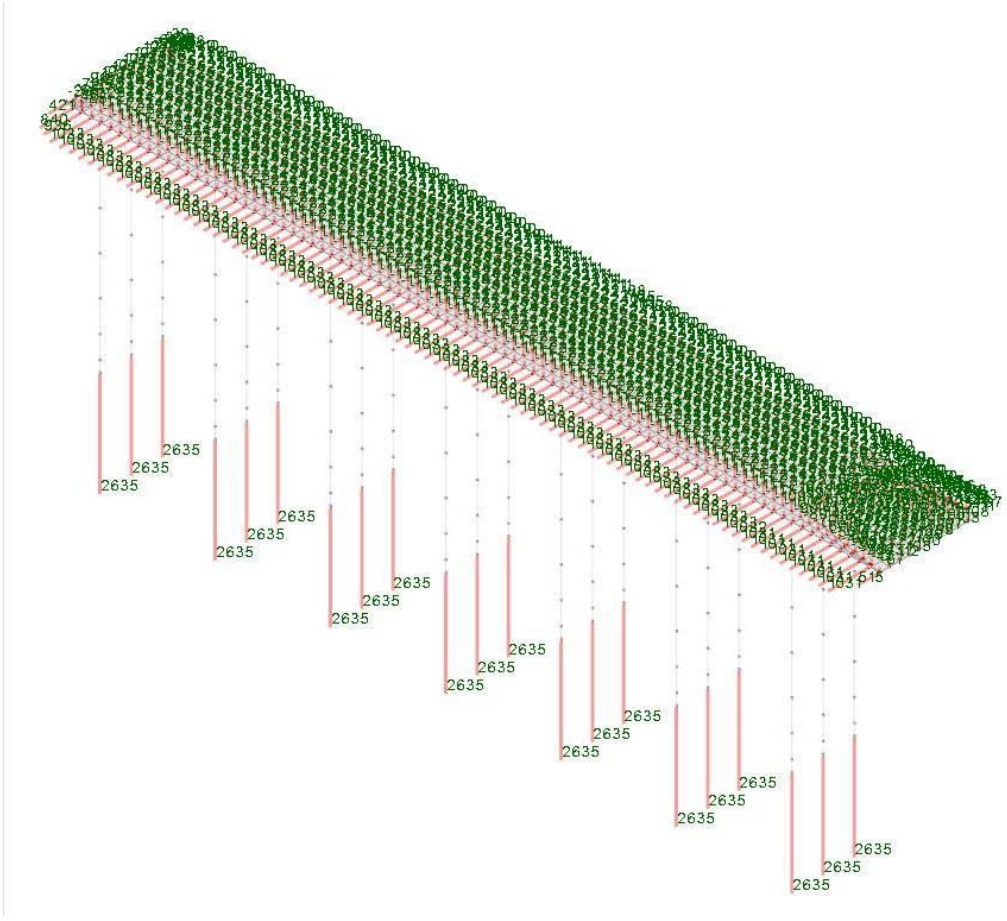


Fig.2: Carichi applicati in Combinazione SLE Rara 2

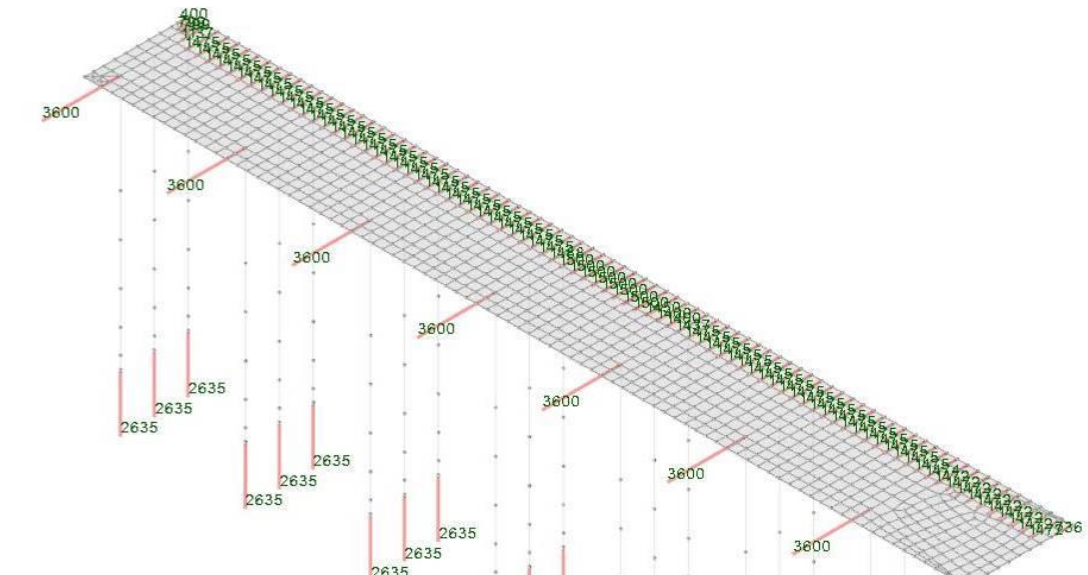


Fig.3: Carichi applicati in Combinazione SLU Eccezionale

7.4 Aste

7.4.1 Caratteristiche meccaniche aste

I seguenti dati si riferiscono alle caratteristiche meccaniche delle aste utilizzate dal solutore ad elementi finiti. Normalmente differiscono dalle caratteristiche inerziali delle sezioni definite nel database. Tengono conto dei moltiplicatori inerziali espressi nelle preferenze FEM e di indicazioni tratte dalla bibliografia (SAP 90 Volume I Figura X-8; Belluzzi Vol. 1).
***I.**: numero dell'elemento nell'insieme che lo contiene.*
***Area**: area della sezione trasversale. [cm²]*
***Area 2**: area di taglio per sforzo di taglio nella direzione 2. [cm²]*
***Area 3**: area di taglio per sforzo di taglio nella direzione 3. [cm²]*
***In.2**: momento d'inerzia attorno all'asse locale 2. [cm4]*
***In.3**: momento d'inerzia attorno all'asse locale 3. [cm4]*
***In.tors.**: momento d'inerzia torsionale corretto con il fattore di torsione. [cm4]*
***E**: modulo di elasticità longitudinale. [daN/cm²]*
***G**: modulo di elasticità tangenziale. [daN/cm²]*
***α**: coefficiente di dilatazione termica longitudinale. [°C-1]*
***P.unit.**: peso per unità di lunghezza dell'elemento. [daN/cm]*
***S.fibre**: caratteristiche della sezione a fibre.*
***Sez.corr.**: sezione degli elementi correlati.*
***Desc.**: descrizione o nome assegnato all'elemento.*
***Mat.corr.**: materiale degli elementi correlati.*
***Desc.**: descrizione o nome assegnato all'elemento.*

I.	Area	Area 2	Area 3	In.2	In.3	In.tors.	E	G	α	P.unit.	S.fibre	Sez.corr.	Mat.corr.
												Desc.	Desc.
1	2827	2545	2545	628044	628044	12397	346255	157389	0.00001	7.069			
2	10000	8333	8333	8333333	8333333	123333	346255	157389	0.00001	25		R 100x100	C35/45

7.4.2 Definizioni aste

***Indice**: numero dell'elemento nell'insieme che lo contiene.*
***Nodo I**: nodo iniziale.*
***Nodo J**: nodo finale.*
***Nodo K**: nodo che definisce l'asse locale 2.*
***Sezione**: caratteristiche inerziali-meccaniche della sezione.*
***Indice**: numero dell'elemento nell'insieme che lo contiene.*

Indice	Nodo I	Nodo J	Nodo K	Sezione	Indice	Nodo I	Nodo J	Nodo K	Sezione	Indice	Nodo I	Nodo J	Nodo K	Sezione	Indice	Nodo I	Nodo J	Nodo K	Sezione
				Indice					Indice					Indice					Indice
1	318	107	1123	1	2	107	86	1123	1	3	86	65	1123	1	4	65	44	1123	1
5	44	23	1123	1	6	23	2	1123	1	7	582	115	1131	1	8	115	94	1131	1
9	94	73	1131	1	10	73	52	1131	1	11	52	31	1131	1	12	31	10	1131	1
13	850	121	1137	1	14	121	100	1137	1	15	100	79	1137	1	16	79	58	1137	1
17	58	37	1137	1	18	37	16	1137	1	19	862	122	1138	1	20	122	101	1138	1

Indice	Nodo I	Nodo J	Nodo K	Sezione Indice	Indice	Nodo I	Nodo J	Nodo K	Sezione Indice	Indice	Nodo I	Nodo J	Nodo K	Sezione Indice	Indice	Nodo I	Nodo J	Nodo K	Sezione Indice
21	101	80	1138	1	22	80	59	1138	1	23	59	38	1138	1	24	38	17	1138	1
25	594	116	1132	1	26	116	95	1132	1	27	95	74	1132	1	28	74	53	1132	1
29	53	32	1132	1	30	32	11	1132	1	31	330	108	1124	1	32	108	87	1124	1
33	87	66	1124	1	34	66	45	1124	1	35	45	24	1124	1	36	24	3	1124	1
37	850	762	1122	2	38	762	672	1122	2	39	672	582	1122	2	40	582	495	1122	2
41	495	406	1122	2	42	406	318	1122	2	43	594	507	1122	2	44	507	418	1122	2
45	418	330	1122	2	46	862	774	1122	2	47	774	684	1122	2	48	684	594	1122	2
49	1048	951	1122	2	50	951	862	1122	2	51	330	244	1122	2	52	244	142	1122	2
53	1036	939	1122	2	54	939	850	1122	2	55	318	232	1122	2	56	232	130	1122	2
57	874	123	1139	1	58	123	102	1139	1	59	102	81	1139	1	60	81	60	1139	1
61	60	39	1139	1	62	39	18	1139	1	63	606	117	1133	1	64	117	96	1133	1
65	96	75	1133	1	66	75	54	1133	1	67	54	33	1133	1	68	33	12	1133	1
69	342	109	1125	1	70	109	88	1125	1	71	88	67	1125	1	72	67	46	1125	1
73	46	25	1125	1	74	25	4	1125	1	75	606	519	1122	2	76	519	430	1122	2
77	430	342	1122	2	78	874	786	1122	2	79	786	696	1122	2	80	696	606	1122	2
81	1060	963	1122	2	82	963	874	1122	2	83	342	256	1122	2	84	256	154	1122	2
85	886	124	1140	1	86	124	103	1140	1	87	103	82	1140	1	88	82	61	1140	1
89	61	40	1140	1	90	40	19	1140	1	91	618	118	1134	1	92	118	97	1134	1
93	97	76	1134	1	94	76	55	1134	1	95	55	34	1134	1	96	34	13	1134	1
97	354	110	1126	1	98	110	89	1126	1	99	89	68	1126	1	100	68	47	1126	1
101	47	26	1126	1	102	26	5	1126	1	103	618	531	1122	2	104	531	442	1122	2
105	442	354	1122	2	106	886	798	1122	2	107	798	708	1122	2	108	708	618	1122	2
109	1072	975	1122	2	110	975	886	1122	2	111	354	268	1122	2	112	268	166	1122	2
113	898	125	1141	1	114	125	104	1141	1	115	104	83	1141	1	116	83	62	1141	1
117	62	41	1141	1	118	41	20	1141	1	119	630	119	1135	1	120	119	98	1135	1
121	98	77	1135	1	122	77	56	1135	1	123	56	35	1135	1	124	35	14	1135	1
125	366	111	1127	1	126	111	90	1127	1	127	90	69	1127	1	128	69	48	1127	1
129	48	27	1127	1	130	27	6	1127	1	131	630	543	1122	2	132	543	454	1122	2
133	454	366	1122	2	134	898	810	1122	2	135	810	720	1122	2	136	720	630	1122	2
137	1084	987	1122	2	138	987	898	1122	2	139	366	280	1122	2	140	280	178	1122	2
141	910	126	1142	1	142	126	105	1142	1	143	105	84	1142	1	144	84	63	1142	1
145	63	42	1142	1	146	42	21	1142	1	147	642	120	1136	1	148	120	99	1136	1
149	99	78	1136	1	150	78	57	1136	1	151	57	36	1136	1	152	36	15	1136	1
153	378	112	1128	1	154	112	91	1128	1	155	91	70	1128	1	156	70	49	1128	1
157	49	28	1128	1	158	28	7	1128	1	159	642	555	1122	2	160	555	466	1122	2
161	466	378	1122	2	162	910	822	1122	2	163	822	732	1122	2	164	732	642	1122	2
165	1096	999	1122	2	166	999	910	1122	2	167	378	292	1122	2	168	292	190	1122	2
169	922	127	1143	1	170	127	106	1143	1	171	106	85	1143	1	172	85	64	1143	1
173	64	43	1143	1	174	43	22	1143	1	175	581	114	1130	1	176	114	93	1130	1
177	93	72	1130	1	178	72	51	1130	1	179	51	30	1130	1	180	30	9	1130	1
181	390	113	1129	1	182	113	92	1129	1	183	92	71	1129	1	184	71	50	1129	1
185	50	29	1129	1	186	29	8	1129	1	187	581	494	1122	2	188	494	405	1122	2
189	405	390	1122	2	190	922	761	1122	2	191	761	671	1122	2	192	671	581	1122	2
193	1108	1011	1122	2	194	1011	922	1122	2	195	390	304	1122	2	196	304	202	1122	2

7.5 Masse

***Nodo**: nodo su cui è applicata la massa.*
***Massa X**: massa per la componente di spostamento lungo l'asse X. [daN/(cm/s²)]*
***Massa Y**: massa per la componente di spostamento lungo l'asse Y. [daN/(cm/s²)]*
***Massa Z**: massa per la componente di spostamento lungo l'asse Z. [daN/(cm/s²)]*
***Momento Z**: massa momento d'inerzia per la componente di rotazione attorno all'asse Z. [[daN/(cm/s²)]*cm²]*

Nodo	Massa X	Massa Y	Massa Z	Momento Z	Nodo	Massa X	Massa Y	Massa Z	Momento Z
128	0.067	0.067	0	0	129	0.101	0.101	0	0
130	0.791	0.791	0	0	131	0.282	0.282	0	0
132	0.282	0.282	0	0	133	0.282	0.282	0	0
134	0.282	0.282	0	0	135	0.282	0.282	0	0
136	0.282	0.282	0	0	137	0.282	0.282	0	0
138	0.282	0.282	0	0	139	0.282	0.282	0	0
140	0.282	0.282	0	0	141	0.282	0.282	0	0
142	0.856	0.856	0	0	143	0.282	0.282	0	0
144	0.282	0.282	0	0	145	0.282	0.282	0	0
146	0.282	0.282	0	0	147	0.282	0.282	0	0
148	0.282	0.282	0	0	149	0.282	0.282	0	0
150	0.282	0.282	0	0	151	0.282	0.282	0	0
152	0.282	0.282	0	0	153	0.282	0.282	0	0
154	0.856	0.856	0	0	155	0.282	0.282	0	0
156	0.282	0.282	0	0	157	0.282	0.282	0	0
158	0.282	0.282	0	0	159	0.282	0.282	0	0
160	0.282	0.282	0	0	161	0.282	0.282	0	0
162	0.282	0.282	0	0	163	0.282	0.282	0	0
164	0.282	0.282	0	0	165	0.282	0.282	0	0
166	0.856	0.856	0	0	167	0.282	0.282	0	0
168	0.282	0.282	0	0	169	0.282	0.282	0	0
170	0.282	0.282	0	0	171	0.282	0.282	0	0
172	0.282	0.282	0	0	173	0.282	0.282	0	0
174	0.282	0.282	0	0	175	0.282	0.282	0	0
176	0.282	0.282	0	0	177	0.282	0.282	0	0
178	0.856	0.856	0	0	179	0.282	0.282	0	0
180	0.282	0.282	0	0	181	0.282	0.282	0	0
182	0.282	0.282	0	0	183	0.282	0.282	0	0
184	0.282	0.282	0	0	185	0.282	0.282	0	0
186	0.282	0.282	0	0	187	0.282	0.282	0	0

Nodo	Massa X	Massa Y	Massa Z	Momento Z	Nodo	Massa X	Massa Y	Massa Z	Momento Z
188	0.282	0.282	0	0	189	0.282	0.282	0	0
190	0.856	0.856	0	0	191	0.282	0.282	0	0
192	0.282	0.282	0	0	193	0.282	0.282	0	0
194	0.282	0.282	0	0	195	0.282	0.282	0	0
196	0.282	0.282	0	0	197	0.282	0.282	0	0
198	0.282	0.282	0	0	199	0.282	0.282	0	0
200	0.282	0.282	0	0	201	0.282	0.282	0	0
202	0.852	0.852	0	0	203	0.256	0.256	0	0
204	0.23	0.23	0	0	205	0.205	0.205	0	0
206	0.179	0.179	0	0	207	0.154	0.154	0	0
208	0.128	0.128	0	0	209	0.102	0.102	0	0
210	0.077	0.077	0	0	211	0.051	0.051	0	0
212	0.032	0.032	0	0	213	0.172	0.172	0	0
214	0.058	0.058	0	0	215	0.101	0.101	0	0
216	0.313	0.313	0	0	217	0.154	0.154	0	0
218	0.205	0.205	0	0	219	0.334	0.334	0	0
220	0.169	0.169	0	0	221	0.187	0.187	0	0
222	0.256	0.256	0	0	223	0.354	0.354	0	0
224	0.308	0.308	0	0	225	0.358	0.358	0	0
226	0.375	0.375	0	0	227	0.41	0.41	0	0
228	0.461	0.461	0	0	229	0.396	0.396	0	0
230	0.393	0.393	0	0	231	0.508	0.508	0	0
232	1.601	1.601	0	0	233	0.564	0.564	0	0
234	0.564	0.564	0	0	235	0.564	0.564	0	0
236	0.564	0.564	0	0	237	0.564	0.564	0	0
238	0.564	0.564	0	0	239	0.564	0.564	0	0
240	0.564	0.564	0	0	241	0.564	0.564	0	0
242	0.564	0.564	0	0	243	0.564	0.564	0	0
244	1.712	1.712	0	0	245	0.564	0.564	0	0
246	0.564	0.564	0	0	247	0.564	0.564	0	0
248	0.564	0.564	0	0	249	0.564	0.564	0	0
250	0.564	0.564	0	0	251	0.564	0.564	0	0
252	0.564	0.564	0	0	253	0.564	0.564	0	0
254	0.564	0.564	0	0	255	0.564	0.564	0	0
256	1.712	1.712	0	0	257	0.564	0.564	0	0
258	0.564	0.564	0	0	259	0.564	0.564	0	0
260	0.564	0.564	0	0	261	0.564	0.564	0	0
262	0.564	0.564	0	0	263	0.564	0.564	0	0
264	0.564	0.564	0	0	265	0.564	0.564	0	0
266	0.564	0.564	0	0	267	0.564	0.564	0	0
268	1.712	1.712	0	0	269	0.564	0.564	0	0
270	0.564	0.564	0	0	271	0.564	0.564	0	0
272	0.564	0.564	0	0	273	0.564	0.564	0	0
274	0.564	0.564	0	0	275	0.564	0.564	0	0
276	0.564	0.564	0	0	277	0.564	0.564	0	0
278	0.564	0.564	0	0	279	0.564	0.564	0	0
280	1.712	1.712	0	0	281	0.564	0.564	0	0
282	0.564	0.564	0	0	283	0.564	0.564	0	0
284	0.564	0.564	0	0	285	0.564	0.564	0	0
286	0.564	0.564	0	0	287	0.564	0.564	0	0
288	0.564	0.564	0	0	289	0.564	0.564	0	0
290	0.564	0.564	0	0	291	0.564	0.564	0	0
292	1.712	1.712	0	0	293	0.564	0.564	0	0
294	0.564	0.564	0	0	295	0.564	0.564	0	0
296	0.564	0.564	0	0	297	0.564	0.564	0	0
298	0.564	0.564	0	0	299	0.564	0.564	0	0
300	0.564	0.564	0	0	301	0.564	0.564	0	0
302	0.564	0.564	0	0	303	0.564	0.564	0	0
304	1.698	1.698	0	0	305	0.182	0.182	0	0
306	0.414	0.414	0	0	307	0.285	0.285	0	0
308	0.565	0.565	0	0	309	0.437	0.437	0	0
310	0.56	0.56	0	0	311	0.468	0.468	0	0
312	0.558	0.558	0	0	313	0.527	0.527	0	0
314	0.543	0.543	0	0	315	0.621	0.621	0	0
316	0.53	0.53	0	0	317	0.517	0.517	0	0
318	1.868	1.868	0	0	319	0.616	0.616	0	0
320	0.616	0.616	0	0	321	0.616	0.616	0	0
322	0.616	0.616	0	0	323	0.616	0.616	0	0
324	0.616	0.616	0	0	325	0.616	0.616	0	0
326	0.616	0.616	0	0	327	0.616	0.616	0	0
328	0.616	0.616	0	0	329	0.616	0.616	0	0
330	1.869	1.869	0	0	331	0.616	0.616	0	0
332	0.616	0.616	0	0	333	0.616	0.616	0	0
334	0.616	0.616	0	0	335	0.616	0.616	0	0
336	0.616	0.616	0	0	337	0.616	0.616	0	0
338	0.616	0.616	0	0	339	0.616	0.616	0	0
340	0.616	0.616	0	0	341	0.616	0.616	0	0
342	1.869	1.869	0	0	343	0.616	0.616	0	0
344	0.616	0.616	0	0	345	0.616	0.616	0	0
346	0.616	0.616	0	0	347	0.616	0.616	0	0
348	0.616	0.616	0	0	349	0.616	0.616	0	0
350	0.616	0.616	0	0	351	0.616	0.616	0	0
352	0.616	0.616	0	0	353	0.616	0.616	0	0
354	1.869	1.869	0	0	355	0.616	0.616	0	0
356	0.616	0.616	0	0	357	0.616	0.616	0	0
358	0.616	0.616	0	0	359	0.616	0.616	0	0
360	0.616	0.616	0	0	361	0.616	0.616	0	0
362	0.616	0.616	0	0	363	0.616	0.616	0	0
364	0.616	0.616	0	0	365	0.616	0.616	0	0
366	1.869	1.869	0	0	367	0.616	0.616	0	0
368	0.616	0.616	0	0	369	0.616	0.616	0	0

Nodo	Massa X	Massa Y	Massa Z	Momento Z	Nodo	Massa X	Massa Y	Massa Z	Momento Z
370	0.616	0.616	0	0	371	0.616	0.616	0	0
372	0.616	0.616	0	0	373	0.616	0.616	0	0
374	0.616	0.616	0	0	375	0.616	0.616	0	0
376	0.616	0.616	0	0	377	0.616	0.616	0	0
378	1.869	1.869	0	0	379	0.616	0.616	0	0
380	0.616	0.616	0	0	381	0.616	0.616	0	0
382	0.616	0.616	0	0	383	0.616	0.616	0	0
384	0.616	0.616	0	0	385	0.616	0.616	0	0
386	0.616	0.616	0	0	387	0.616	0.616	0	0
388	0.616	0.616	0	0	389	0.616	0.616	0	0
390	1.877	1.877	0	0	391	0.479	0.479	0	0
392	0.244	0.244	0	0	393	0.508	0.508	0	0
394	0.267	0.267	0	0	395	0.553	0.553	0	0
396	0.501	0.501	0	0	397	0.569	0.569	0	0
398	0.563	0.563	0	0	399	0.552	0.552	0	0
400	0.556	0.556	0	0	401	0.542	0.542	0	0
402	0.534	0.534	0	0	403	0.527	0.527	0	0
404	0.687	0.687	0	0	405	2.08	2.08	0	0
406	1.965	1.965	0	0	407	0.668	0.668	0	0
408	0.668	0.668	0	0	409	0.668	0.668	0	0
410	0.668	0.668	0	0	411	0.668	0.668	0	0
412	0.668	0.668	0	0	413	0.668	0.668	0	0
414	0.668	0.668	0	0	415	0.668	0.668	0	0
416	0.668	0.668	0	0	417	0.668	0.668	0	0
418	2.027	2.027	0	0	419	0.668	0.668	0	0
420	0.668	0.668	0	0	421	0.668	0.668	0	0
422	0.668	0.668	0	0	423	0.668	0.668	0	0
424	0.668	0.668	0	0	425	0.668	0.668	0	0
426	0.668	0.668	0	0	427	0.668	0.668	0	0
428	0.668	0.668	0	0	429	0.668	0.668	0	0
430	2.027	2.027	0	0	431	0.668	0.668	0	0
432	0.668	0.668	0	0	433	0.668	0.668	0	0
434	0.668	0.668	0	0	435	0.668	0.668	0	0
436	0.668	0.668	0	0	437	0.668	0.668	0	0
438	0.668	0.668	0	0	439	0.668	0.668	0	0
440	0.668	0.668	0	0	441	0.668	0.668	0	0
442	2.027	2.027	0	0	443	0.668	0.668	0	0
444	0.668	0.668	0	0	445	0.668	0.668	0	0
446	0.668	0.668	0	0	447	0.668	0.668	0	0
448	0.668	0.668	0	0	449	0.668	0.668	0	0
450	0.668	0.668	0	0	451	0.668	0.668	0	0
452	0.668	0.668	0	0	453	0.668	0.668	0	0
454	2.027	2.027	0	0	455	0.668	0.668	0	0
456	0.668	0.668	0	0	457	0.668	0.668	0	0
458	0.668	0.668	0	0	459	0.668	0.668	0	0
460	0.668	0.668	0	0	461	0.668	0.668	0	0
462	0.668	0.668	0	0	463	0.668	0.668	0	0
464	0.668	0.668	0	0	465	0.668	0.668	0	0
466	2.027	2.027	0	0	467	0.668	0.668	0	0
468	0.668	0.668	0	0	469	0.668	0.668	0	0
470	0.668	0.668	0	0	471	0.668	0.668	0	0
472	0.668	0.668	0	0	473	0.668	0.668	0	0
474	0.668	0.668	0	0	475	0.668	0.668	0	0
476	0.668	0.668	0	0	477	0.668	0.668	0	0
478	0.543	0.543	0	0	479	0.272	0.272	0	0
480	0.509	0.509	0	0	481	0.255	0.255	0	0
482	0.539	0.539	0	0	483	0.422	0.422	0	0
484	0.571	0.571	0	0	485	0.573	0.573	0	0
486	0.564	0.564	0	0	487	0.295	0.295	0	0
488	0.556	0.556	0	0	489	0.552	0.552	0	0
490	0.56	0.56	0	0	491	0.547	0.547	0	0
492	0.5	0.5	0	0	493	0.607	0.607	0	0
494	2.016	2.016	0	0	495	1.965	1.965	0	0
496	0.668	0.668	0	0	497	0.668	0.668	0	0
498	0.668	0.668	0	0	499	0.668	0.668	0	0
500	0.668	0.668	0	0	501	0.668	0.668	0	0
502	0.668	0.668	0	0	503	0.668	0.668	0	0
504	0.668	0.668	0	0	505	0.668	0.668	0	0
506	0.668	0.668	0	0	507	2.027	2.027	0	0
508	0.668	0.668	0	0	509	0.668	0.668	0	0
510	0.668	0.668	0	0	511	0.668	0.668	0	0
512	0.668	0.668	0	0	513	0.668	0.668	0	0
514	0.668	0.668	0	0	515	0.668	0.668	0	0
516	0.668	0.668	0	0	517	0.668	0.668	0	0
518	0.668	0.668	0	0	519	2.027	2.027	0	0
520	0.668	0.668	0	0	521	0.668	0.668	0	0
522	0.668	0.668	0	0	523	0.668	0.668	0	0
524	0.668	0.668	0	0	525	0.668	0.668	0	0
526	0.668	0.668	0	0	527	0.668	0.668	0	0
528	0.668	0.668	0	0	529	0.668	0.668	0	0
530	0.668	0.668	0	0	531	2.027	2.027	0	0
532	0.668	0.668	0	0	533	0.668	0.668	0	0
534	0.668	0.668	0	0	535	0.668	0.668	0	0
536	0.668	0.668	0	0	537	0.668	0.668	0	0
538	0.668	0.668	0	0	539	0.668	0.668	0	0
540	0.668	0.668	0	0	541	0.668	0.668	0	0
542	0.668	0.668	0	0	543	2.027	2.027	0	0
544	0.668	0.668	0	0	545	0.668	0.668	0	0
546	0.668	0.668	0	0	547	0.668	0.668	0	0
548	0.668	0.668	0	0	549	0.668	0.668	0	0
550	0.668	0.668	0	0	551	0.668	0.668	0	0

Nodo	Massa X	Massa Y	Massa Z	Momento Z	Nodo	Massa X	Massa Y	Massa Z	Momento Z
552	0.668	0.668	0	0	553	0.668	0.668	0	0
554	0.668	0.668	0	0	555	2.027	2.027	0	0
556	0.668	0.668	0	0	557	0.668	0.668	0	0
558	0.668	0.668	0	0	559	0.668	0.668	0	0
560	0.668	0.668	0	0	561	0.668	0.668	0	0
562	0.668	0.668	0	0	563	0.668	0.668	0	0
564	0.668	0.668	0	0	565	0.668	0.668	0	0
566	0.668	0.668	0	0	567	0.543	0.543	0	0
568	0.272	0.272	0	0	569	0.437	0.437	0	0
570	0.253	0.253	0	0	571	0.53	0.53	0	0
572	0.558	0.558	0	0	573	0.576	0.576	0	0
574	0.562	0.562	0	0	575	0.539	0.539	0	0
576	0.533	0.533	0	0	577	0.562	0.562	0	0
578	0.584	0.584	0	0	579	0.563	0.563	0	0
580	0.253	0.253	0	0	581	2.006	2.006	0	0
582	1.965	1.965	0	0	583	0.668	0.668	0	0
584	0.668	0.668	0	0	585	0.668	0.668	0	0
586	0.668	0.668	0	0	587	0.668	0.668	0	0
588	0.668	0.668	0	0	589	0.668	0.668	0	0
590	0.668	0.668	0	0	591	0.668	0.668	0	0
592	0.668	0.668	0	0	593	0.668	0.668	0	0
594	2.027	2.027	0	0	595	0.668	0.668	0	0
596	0.668	0.668	0	0	597	0.668	0.668	0	0
598	0.668	0.668	0	0	599	0.668	0.668	0	0
600	0.668	0.668	0	0	601	0.668	0.668	0	0
602	0.668	0.668	0	0	603	0.668	0.668	0	0
604	0.668	0.668	0	0	605	0.668	0.668	0	0
606	2.027	2.027	0	0	607	0.668	0.668	0	0
608	0.668	0.668	0	0	609	0.668	0.668	0	0
610	0.668	0.668	0	0	611	0.668	0.668	0	0
612	0.668	0.668	0	0	613	0.668	0.668	0	0
614	0.668	0.668	0	0	615	0.668	0.668	0	0
616	0.668	0.668	0	0	617	0.668	0.668	0	0
618	2.027	2.027	0	0	619	0.668	0.668	0	0
620	0.668	0.668	0	0	621	0.668	0.668	0	0
622	0.668	0.668	0	0	623	0.668	0.668	0	0
624	0.668	0.668	0	0	625	0.668	0.668	0	0
626	0.668	0.668	0	0	627	0.668	0.668	0	0
628	0.668	0.668	0	0	629	0.668	0.668	0	0
630	2.027	2.027	0	0	631	0.668	0.668	0	0
632	0.668	0.668	0	0	633	0.668	0.668	0	0
634	0.668	0.668	0	0	635	0.668	0.668	0	0
636	0.668	0.668	0	0	637	0.668	0.668	0	0
638	0.668	0.668	0	0	639	0.668	0.668	0	0
640	0.668	0.668	0	0	641	0.668	0.668	0	0
642	2.027	2.027	0	0	643	0.668	0.668	0	0
644	0.668	0.668	0	0	645	0.668	0.668	0	0
646	0.668	0.668	0	0	647	0.668	0.668	0	0
648	0.668	0.668	0	0	649	0.668	0.668	0	0
650	0.668	0.668	0	0	651	0.668	0.668	0	0
652	0.668	0.668	0	0	653	0.668	0.668	0	0
654	0.543	0.543	0	0	655	0.272	0.272	0	0
656	0.609	0.609	0	0	657	0.632	0.632	0	0
658	0.521	0.521	0	0	659	0.556	0.556	0	0
660	0.57	0.57	0	0	661	0.551	0.551	0	0
662	0.493	0.493	0	0	663	0.449	0.449	0	0
664	0.567	0.567	0	0	665	0.577	0.577	0	0
666	0.533	0.533	0	0	667	0.309	0.309	0	0
668	0.248	0.248	0	0	669	0.426	0.426	0	0
670	0.524	0.524	0	0	671	2.022	2.022	0	0
672	1.965	1.965	0	0	673	0.668	0.668	0	0
674	0.668	0.668	0	0	675	0.668	0.668	0	0
676	0.668	0.668	0	0	677	0.668	0.668	0	0
678	0.668	0.668	0	0	679	0.668	0.668	0	0
680	0.668	0.668	0	0	681	0.668	0.668	0	0
682	0.668	0.668	0	0	683	0.668	0.668	0	0
684	2.027	2.027	0	0	685	0.668	0.668	0	0
686	0.668	0.668	0	0	687	0.668	0.668	0	0
688	0.668	0.668	0	0	689	0.668	0.668	0	0
690	0.668	0.668	0	0	691	0.668	0.668	0	0
692	0.668	0.668	0	0	693	0.668	0.668	0	0
694	0.668	0.668	0	0	695	0.668	0.668	0	0
696	2.027	2.027	0	0	697	0.668	0.668	0	0
698	0.668	0.668	0	0	699	0.668	0.668	0	0
700	0.668	0.668	0	0	701	0.668	0.668	0	0
702	0.668	0.668	0	0	703	0.668	0.668	0	0
704	0.668	0.668	0	0	705	0.668	0.668	0	0
706	0.668	0.668	0	0	707	0.668	0.668	0	0
708	2.027	2.027	0	0	709	0.668	0.668	0	0
710	0.668	0.668	0	0	711	0.668	0.668	0	0
712	0.668	0.668	0	0	713	0.668	0.668	0	0
714	0.668	0.668	0	0	715	0.668	0.668	0	0
716	0.668	0.668	0	0	717	0.668	0.668	0	0
718	0.668	0.668	0	0	719	0.668	0.668	0	0
720	2.027	2.027	0	0	721	0.668	0.668	0	0
722	0.668	0.668	0	0	723	0.668	0.668	0	0
724	0.668	0.668	0	0	725	0.668	0.668	0	0
726	0.668	0.668	0	0	727	0.668	0.668	0	0
728	0.668	0.668	0	0	729	0.668	0.668	0	0
730	0.668	0.668	0	0	731	0.668	0.668	0	0
732	2.027	2.027	0	0	733	0.668	0.668	0	0

Nodo	Massa X	Massa Y	Massa Z	Momento Z	Nodo	Massa X	Massa Y	Massa Z	Momento Z
734	0.668	0.668	0	0	735	0.668	0.668	0	0
736	0.668	0.668	0	0	737	0.668	0.668	0	0
738	0.668	0.668	0	0	739	0.668	0.668	0	0
740	0.668	0.668	0	0	741	0.668	0.668	0	0
742	0.668	0.668	0	0	743	0.668	0.668	0	0
744	0.543	0.543	0	0	745	0.272	0.272	0	0
746	0.541	0.541	0	0	747	0.513	0.513	0	0
748	0.542	0.542	0	0	749	0.698	0.698	0	0
750	0.706	0.706	0	0	751	0.671	0.671	0	0
752	0.553	0.553	0	0	753	0.361	0.361	0	0
754	0.199	0.199	0	0	755	0.535	0.535	0	0
756	0.523	0.523	0	0	757	0.538	0.538	0	0
758	0.264	0.264	0	0	759	0.54	0.54	0	0
760	0.526	0.526	0	0	761	2.022	2.022	0	0
762	1.965	1.965	0	0	763	0.668	0.668	0	0
764	0.668	0.668	0	0	765	0.668	0.668	0	0
766	0.668	0.668	0	0	767	0.668	0.668	0	0
768	0.668	0.668	0	0	769	0.668	0.668	0	0
770	0.668	0.668	0	0	771	0.668	0.668	0	0
772	0.668	0.668	0	0	773	0.668	0.668	0	0
774	2.027	2.027	0	0	775	0.668	0.668	0	0
776	0.668	0.668	0	0	777	0.668	0.668	0	0
778	0.668	0.668	0	0	779	0.668	0.668	0	0
780	0.668	0.668	0	0	781	0.668	0.668	0	0
782	0.668	0.668	0	0	783	0.668	0.668	0	0
784	0.668	0.668	0	0	785	0.668	0.668	0	0
786	2.027	2.027	0	0	787	0.668	0.668	0	0
788	0.668	0.668	0	0	789	0.668	0.668	0	0
790	0.668	0.668	0	0	791	0.668	0.668	0	0
792	0.668	0.668	0	0	793	0.668	0.668	0	0
794	0.668	0.668	0	0	795	0.668	0.668	0	0
796	0.668	0.668	0	0	797	0.668	0.668	0	0
798	2.027	2.027	0	0	799	0.668	0.668	0	0
800	0.668	0.668	0	0	801	0.668	0.668	0	0
802	0.668	0.668	0	0	803	0.668	0.668	0	0
804	0.668	0.668	0	0	805	0.668	0.668	0	0
806	0.668	0.668	0	0	807	0.668	0.668	0	0
808	0.668	0.668	0	0	809	0.668	0.668	0	0
810	2.027	2.027	0	0	811	0.668	0.668	0	0
812	0.668	0.668	0	0	813	0.668	0.668	0	0
814	0.668	0.668	0	0	815	0.668	0.668	0	0
816	0.668	0.668	0	0	817	0.668	0.668	0	0
818	0.668	0.668	0	0	819	0.668	0.668	0	0
820	0.668	0.668	0	0	821	0.668	0.668	0	0
822	2.027	2.027	0	0	823	0.668	0.668	0	0
824	0.668	0.668	0	0	825	0.668	0.668	0	0
826	0.668	0.668	0	0	827	0.668	0.668	0	0
828	0.668	0.668	0	0	829	0.668	0.668	0	0
830	0.668	0.668	0	0	831	0.668	0.668	0	0
832	0.668	0.668	0	0	833	0.668	0.668	0	0
834	0.543	0.543	0	0	835	0.272	0.272	0	0
836	0.183	0.183	0	0	837	0.703	0.703	0	0
838	0.323	0.323	0	0	839	0.482	0.482	0	0
840	0.567	0.567	0	0	841	0.633	0.633	0	0
842	0.553	0.553	0	0	843	0.546	0.546	0	0
844	0.542	0.542	0	0	845	0.45	0.45	0	0
846	0.547	0.547	0	0	847	0.276	0.276	0	0
848	0.544	0.544	0	0	849	0.452	0.452	0	0
850	1.786	1.786	0	0	851	0.614	0.614	0	0
852	0.614	0.614	0	0	853	0.614	0.614	0	0
854	0.614	0.614	0	0	855	0.614	0.614	0	0
856	0.614	0.614	0	0	857	0.614	0.614	0	0
858	0.614	0.614	0	0	859	0.614	0.614	0	0
860	0.614	0.614	0	0	861	0.614	0.614	0	0
862	1.862	1.862	0	0	863	0.614	0.614	0	0
864	0.614	0.614	0	0	865	0.614	0.614	0	0
866	0.614	0.614	0	0	867	0.614	0.614	0	0
868	0.614	0.614	0	0	869	0.614	0.614	0	0
870	0.614	0.614	0	0	871	0.614	0.614	0	0
872	0.614	0.614	0	0	873	0.614	0.614	0	0
874	1.862	1.862	0	0	875	0.614	0.614	0	0
876	0.614	0.614	0	0	877	0.614	0.614	0	0
878	0.614	0.614	0	0	879	0.614	0.614	0	0
880	0.614	0.614	0	0	881	0.614	0.614	0	0
882	0.614	0.614	0	0	883	0.614	0.614	0	0
884	0.614	0.614	0	0	885	0.614	0.614	0	0
886	1.863	1.863	0	0	887	0.614	0.614	0	0
888	0.614	0.614	0	0	889	0.614	0.614	0	0
890	0.614	0.614	0	0	891	0.614	0.614	0	0
892	0.614	0.614	0	0	893	0.614	0.614	0	0
894	0.614	0.614	0	0	895	0.613	0.613	0	0
896	0.612	0.612	0	0	897	0.612	0.612	0	0
898	1.862	1.862	0	0	899	0.614	0.614	0	0
900	0.614	0.614	0	0	901	0.614	0.614	0	0
902	0.614	0.614	0	0	903	0.614	0.614	0	0
904	0.614	0.614	0	0	905	0.614	0.614	0	0
906	0.614	0.614	0	0	907	0.614	0.614	0	0
908	0.614	0.614	0	0	909	0.614	0.614	0	0
910	1.862	1.862	0	0	911	0.614	0.614	0	0
912	0.614	0.614	0	0	913	0.614	0.614	0	0
914	0.614	0.614	0	0	915	0.614	0.614	0	0

Nodo	Massa X	Massa Y	Massa Z	Momento Z	Nodo	Massa X	Massa Y	Massa Z	Momento Z
916	0.614	0.614	0	0	917	0.614	0.614	0	0
918	0.614	0.614	0	0	919	0.614	0.614	0	0
920	0.614	0.614	0	0	921	0.614	0.614	0	0
922	1.859	1.859	0	0	923	0.485	0.485	0	0
924	0.186	0.186	0	0	925	0.492	0.492	0	0
926	0.591	0.591	0	0	927	0.514	0.514	0	0
928	0.55	0.55	0	0	929	0.515	0.515	0	0
930	0.454	0.454	0	0	931	0.153	0.153	0	0
932	0.523	0.523	0	0	933	0.174	0.174	0	0
934	0.531	0.531	0	0	935	0.413	0.413	0	0
936	0.552	0.552	0	0	937	0.283	0.283	0	0
938	0.396	0.396	0	0	939	1.478	1.478	0	0
940	0.56	0.56	0	0	941	0.56	0.56	0	0
942	0.56	0.56	0	0	943	0.56	0.56	0	0
944	0.56	0.56	0	0	945	0.56	0.56	0	0
946	0.56	0.56	0	0	947	0.56	0.56	0	0
948	0.56	0.56	0	0	949	0.56	0.56	0	0
950	0.56	0.56	0	0	951	1.698	1.698	0	0
952	0.56	0.56	0	0	953	0.56	0.56	0	0
954	0.56	0.56	0	0	955	0.56	0.56	0	0
956	0.56	0.56	0	0	957	0.56	0.56	0	0
958	0.56	0.56	0	0	959	0.56	0.56	0	0
960	0.56	0.56	0	0	961	0.56	0.56	0	0
962	0.56	0.56	0	0	963	1.698	1.698	0	0
964	0.56	0.56	0	0	965	0.56	0.56	0	0
966	0.56	0.56	0	0	967	0.56	0.56	0	0
968	0.56	0.56	0	0	969	0.56	0.56	0	0
970	0.56	0.56	0	0	971	0.56	0.56	0	0
972	0.56	0.56	0	0	973	0.56	0.56	0	0
974	0.56	0.56	0	0	975	1.7	1.7	0	0
976	0.564	0.564	0	0	977	0.564	0.564	0	0
978	0.564	0.564	0	0	979	0.564	0.564	0	0
980	0.564	0.564	0	0	981	0.564	0.564	0	0
982	0.564	0.564	0	0	983	0.562	0.562	0	0
984	0.555	0.555	0	0	985	0.548	0.548	0	0
986	0.547	0.547	0	0	987	1.692	1.692	0	0
988	0.56	0.56	0	0	989	0.56	0.56	0	0
990	0.56	0.56	0	0	991	0.56	0.56	0	0
992	0.56	0.56	0	0	993	0.56	0.56	0	0
994	0.56	0.56	0	0	995	0.56	0.56	0	0
996	0.56	0.56	0	0	997	0.56	0.56	0	0
998	0.56	0.56	0	0	999	1.698	1.698	0	0
1000	0.56	0.56	0	0	1001	0.56	0.56	0	0
1002	0.56	0.56	0	0	1003	0.56	0.56	0	0
1004	0.56	0.56	0	0	1005	0.56	0.56	0	0
1006	0.56	0.56	0	0	1007	0.56	0.56	0	0
1008	0.56	0.56	0	0	1009	0.56	0.56	0	0
1010	0.56	0.56	0	0	1011	1.684	1.684	0	0
1012	0.135	0.135	0	0	1013	0.504	0.504	0	0
1014	0.374	0.374	0	0	1015	0.331	0.331	0	0
1016	0.457	0.457	0	0	1017	0.406	0.406	0	0
1018	0.348	0.348	0	0	1019	0.09	0.09	0	0
1020	0.355	0.355	0	0	1021	0.305	0.305	0	0
1022	0.322	0.322	0	0	1023	0.123	0.123	0	0
1024	0.254	0.254	0	0	1025	0.081	0.081	0	0
1026	0.313	0.313	0	0	1027	0.203	0.203	0	0
1028	0.062	0.062	0	0	1029	0.152	0.152	0	0
1030	0.314	0.314	0	0	1031	0.1	0.1	0	0
1032	0.058	0.058	0	0	1033	0.1	0.1	0	0
1034	0.051	0.051	0	0	1035	0.041	0.041	0	0
1036	0.794	0.794	0	0	1037	0.28	0.28	0	0
1038	0.28	0.28	0	0	1039	0.28	0.28	0	0
1040	0.28	0.28	0	0	1041	0.28	0.28	0	0
1042	0.28	0.28	0	0	1043	0.28	0.28	0	0
1044	0.28	0.28	0	0	1045	0.28	0.28	0	0
1046	0.28	0.28	0	0	1047	0.28	0.28	0	0
1048	0.849	0.849	0	0	1049	0.28	0.28	0	0
1050	0.28	0.28	0	0	1051	0.28	0.28	0	0
1052	0.28	0.28	0	0	1053	0.28	0.28	0	0
1054	0.28	0.28	0	0	1055	0.28	0.28	0	0
1056	0.28	0.28	0	0	1057	0.28	0.28	0	0
1058	0.28	0.28	0	0	1059	0.28	0.28	0	0
1060	0.849	0.849	0	0	1061	0.28	0.28	0	0
1062	0.28	0.28	0	0	1063	0.28	0.28	0	0
1064	0.28	0.28	0	0	1065	0.28	0.28	0	0
1066	0.28	0.28	0	0	1067	0.28	0.28	0	0
1068	0.28	0.28	0	0	1069	0.28	0.28	0	0
1070	0.28	0.28	0	0	1071	0.28	0.28	0	0
1072	0.851	0.851	0	0	1073	0.284	0.284	0	0
1074	0.284	0.284	0	0	1075	0.284	0.284	0	0
1076	0.284	0.284	0	0	1077	0.284	0.284	0	0
1078	0.284	0.284	0	0	1079	0.284	0.284	0	0
1080	0.283	0.283	0	0	1081	0.275	0.275	0	0
1082	0.269	0.269	0	0	1083	0.268	0.268	0	0
1084	0.844	0.844	0	0	1085	0.28	0.28	0	0
1086	0.28	0.28	0	0	1087	0.28	0.28	0	0
1088	0.28	0.28	0	0	1089	0.28	0.28	0	0
1090	0.28	0.28	0	0	1091	0.28	0.28	0	0
1092	0.28	0.28	0	0	1093	0.28	0.28	0	0
1094	0.28	0.28	0	0	1095	0.28	0.28	0	0
1096	0.849	0.849	0	0	1097	0.28	0.28	0	0

Nodo	Massa X	Massa Y	Massa Z	Momento Z	Nodo	Massa X	Massa Y	Massa Z	Momento Z
1098	0.28	0.28	0	0	1099	0.28	0.28	0	0
1100	0.28	0.28	0	0	1101	0.28	0.28	0	0
1102	0.28	0.28	0	0	1103	0.28	0.28	0	0
1104	0.28	0.28	0	0	1105	0.28	0.28	0	0
1106	0.28	0.28	0	0	1107	0.28	0.28	0	0
1108	0.845	0.845	0	0	1109	0.254	0.254	0	0
1110	0.229	0.229	0	0	1111	0.203	0.203	0	0
1112	0.178	0.178	0	0	1113	0.152	0.152	0	0
1114	0.127	0.127	0	0	1115	0.102	0.102	0	0
1116	0.076	0.076	0	0	1117	0.05	0.05	0	0
1118	0.026	0.026	0	0	1119	0.171	0.171	0	0

7.6 Masse di piano

***Quota**: quota, livello o falda, a cui compete la massa risultante.*
***Massa X**: massa per la componente di spostamento lungo l'asse X. [daN/(cm/s²)]*
***Massa Y**: massa per la componente di spostamento lungo l'asse Y. [daN/(cm/s²)]*

Quota	Massa X	Massa Y	Quota	Massa X	Massa Y
Molo	618.34	618.34			

7.7 Gusci

7.7.1 Caratteristiche meccaniche gusci

***Indice**: numero dell'elemento nell'insieme che lo contiene.*
***Comportamento**: comportamento del materiale.*
***E1**: modulo di elasticità longitudinale, lungo l'asse 1 del sistema di riferimento locale. [daN/cm²]*
***v**: modulo di Poisson. Il valore è adimensionale.*
***E2**: modulo di elasticità longitudinale, lungo l'asse 2 del sistema di riferimento locale. [daN/cm²]*
***G**: modulo di elasticità tangenziale. [daN/cm²]*
***α**: coefficiente di dilatazione termica longitudinale. [°C-1]*
***Peso unitario**: peso per unità di volume, riferito allo spessore membranale. [daN/cm³]*

Indice	Comportamento	E1	v	E2	G	α	Peso unitario
1	Isotropo	346255	0.1	0	0	0.00001	0.0025

7.7.2 Definizioni gusci

***In.**: numero dell'elemento nell'insieme che lo contiene.*
***Nodo I**: primo nodo di definizione dell'elemento.*
***Nodo J**: secondo nodo di definizione dell'elemento.*
***Nodo L**: terzo nodo di definizione dell'elemento; nel caso di elementi triangolari non è definito.*
***Nodo K**: ultimo nodo di definizione dell'elemento.*
***Sp.mem.**: spessore membranale dell'elemento. [cm]*
***Sp.fless.**: spessore flessionale dell'elemento. [cm]*
***Tm**: variazione termica nel piano medio dell'elemento. [°C]*
***Mat.**: caratteristiche meccaniche dell'elemento.*
***Ind.**: numero dell'elemento nell'insieme che lo contiene.*

In.	Nodo I	Nodo J	Nodo L	Nodo K	Sp.mem.	Sp.fless.	Tm	Mat. Ind.	In.	Nodo I	Nodo J	Nodo L	Nodo K	Sp.mem.	Sp.fless.	Tm	Mat. Ind.
1	313	311	396	399	76	76	0	1	2	311	309	393	396	76	76	0	1
3	309	306	317	393	76	76	0	1	4	306	230	316	317	76	76	0	1
5	230	226	314	316	76	76	0	1	6	226	223	312	314	76	76	0	1
7	223	219	310	312	76	76	0	1	8	219	216	308	310	76	76	0	1
9	213	307	308	216	76	76	0	1	10	307	394	395	308	76	76	0	1
11	394	481	482	395	76	76	0	1	12	481	570	571	482	76	76	0	1
13	570	580	658	571	76	76	0	1	14	580	668	670	658	76	76	0	1
15	668	758	760	670	76	76	0	1	16	758	847	848	760	76	76	0	1
17	847	937	936	848	76	76	0	1	18	1119	1030	936	937	76	76	0	1
19	1030	1026	934	936	76	76	0	1	20	1026	1022	932	934	76	76	0	1
21	1022	1018	929	932	76	76	0	1	22	1018	1014	927	929	76	76	0	1
23	1014	938	925	927	76	76	0	1	24	938	935	849	925	76	76	0	1
25	935	930	845	849	76	76	0	1	26	930	928	841	845	76	76	0	1
27	928	926	837	841	76	76	0	1	28	922	761	837	926	76	76	0	1
29	761	671	749	837	76	76	0	1	30	671	581	657	749	76	76	0	1
31	581	494	493	657	76	76	0	1	32	494	405	404	493	76	76	0	1
33	390	315	404	405	76	76	0	1	34	315	313	399	404	76	76	0	1
35	753	838	836	754	76	76	0	1	36	841	750	754	836	76	76	0	1
37	838	845	841	836	76	76	0	1	38	750	666	753	754	76	76	0	1
39	841	837	749	750	76	76	0	1	40	666	665	752	753	76	76	0	1
41	665	664	751	752	76	76	0	1	42	753	752	839	838	76	76	0	1
43	752	751	840	839	76	76	0	1	44	838	839	849	845	76	76	0	1
45	839	840	925	849	76	76	0	1	46	396	393	403	480	76	76	0	1

In.	Nodo I	Nodo J	Nodo L	Nodo K	Sp.mem.	Sp.fless.	Tm	Mat. Ind.
47	480	403	490	491	76	76	0	1
49	578	577	664	665	76	76	0	1
51	480	491	492	483	76	76	0	1
53	404	399	483	487	76	76	0	1
55	491	578	579	492	76	76	0	1
57	492	579	656	569	76	76	0	1
59	569	656	657	493	76	76	0	1
61	927	925	840	842	76	76	0	1
63	755	842	840	751	76	76	0	1
65	669	755	751	667	76	76	0	1
67	662	661	747	669	76	76	0	1
69	755	756	843	842	76	76	0	1
71	660	659	746	748	76	76	0	1
73	747	748	757	756	76	76	0	1
75	746	670	760	759	76	76	0	1
77	757	759	846	844	76	76	0	1
79	843	844	932	929	76	76	0	1
81	846	848	936	934	76	76	0	1
83	577	490	489	576	76	76	0	1
85	403	393	317	402	76	76	0	1
87	576	489	488	575	76	76	0	1
89	402	317	316	401	76	76	0	1
91	575	488	486	574	76	76	0	1
93	401	316	314	400	76	76	0	1
95	574	486	485	573	76	76	0	1
97	400	314	312	398	76	76	0	1
99	573	485	484	572	76	76	0	1
101	398	312	310	397	76	76	0	1
103	572	484	482	571	76	76	0	1
105	397	310	308	395	76	76	0	1
107	933	1015		1019	76	76	0	1
109	923	933		924	76	76	0	1
111	1015	923		931	76	76	0	1
113	305	128		220	76	76	0	1
115	582	672	744	654	76	76	0	1
117	672	762	834	744	76	76	0	1
119	762	850	923	834	76	76	0	1
121	655	568	567	654	76	76	0	1
123	568	479	478	567	76	76	0	1
125	479	392	391	478	76	76	0	1
127	229	391	392	305	76	76	0	1
129	931	850	939	1012	76	76	0	1
131	1033	1015	1025	1034	76	76	0	1
133	1023	1036	1035	1028	76	76	0	1
135	850	851	940	939	76	76	0	1
137	851	852	941	940	76	76	0	1
139	852	853	942	941	76	76	0	1
141	853	854	943	942	76	76	0	1
143	854	855	944	943	76	76	0	1
145	855	856	945	944	76	76	0	1
147	856	857	946	945	76	76	0	1
149	857	858	947	946	76	76	0	1
151	858	859	948	947	76	76	0	1
153	859	860	949	948	76	76	0	1
155	860	861	950	949	76	76	0	1
157	861	862	951	950	76	76	0	1
159	130	131	233	232	76	76	0	1
161	131	132	234	233	76	76	0	1
163	132	133	235	234	76	76	0	1
165	133	134	236	235	76	76	0	1
167	134	135	237	236	76	76	0	1
169	135	136	238	237	76	76	0	1
171	136	137	239	238	76	76	0	1
173	137	138	240	239	76	76	0	1
175	138	139	241	240	76	76	0	1
177	139	140	242	241	76	76	0	1
179	140	141	243	242	76	76	0	1
181	141	142	244	243	76	76	0	1
183	220	221		229	76	76	0	1
185	221	220		129	76	76	0	1
187	232	318		229	76	76	0	1
189	232	229		221	76	76	0	1
191	593	683	682	592	76	76	0	1
193	591	681	680	590	76	76	0	1
195	589	679	678	588	76	76	0	1
197	587	677	676	586	76	76	0	1
199	585	675	674	584	76	76	0	1
201	583	673	672	582	76	76	0	1
203	683	773	772	682	76	76	0	1
205	681	771	770	680	76	76	0	1
207	679	769	768	678	76	76	0	1
209	677	767	766	676	76	76	0	1
211	675	765	764	674	76	76	0	1
213	673	763	762	672	76	76	0	1
215	773	861	860	772	76	76	0	1
217	771	859	858	770	76	76	0	1
219	769	857	856	768	76	76	0	1
221	767	855	854	766	76	76	0	1
223	765	853	852	764	76	76	0	1

In.	Nodo I	Nodo J	Nodo L	Nodo K	Sp.mem.	Sp.fless.	Tm	Mat. Ind.
48	491	490	577	578	76	76	0	1
50	483	399	396	480	76	76	0	1
52	569	493	404	487	76	76	0	1
54	483	492	569	487	76	76	0	1
56	578	665	666	579	76	76	0	1
58	579	666	750	656	76	76	0	1
60	656	750	749	657	76	76	0	1
62	842	843	929	927	76	76	0	1
64	663	662	669	667	76	76	0	1
66	751	664	663	667	76	76	0	1
68	669	747	756	755	76	76	0	1
70	661	660	748	747	76	76	0	1
72	659	658	670	746	76	76	0	1
74	748	746	759	757	76	76	0	1
76	756	757	844	843	76	76	0	1
78	759	760	848	846	76	76	0	1
80	844	846	934	932	76	76	0	1
82	664	577	576	663	76	76	0	1
84	490	403	402	489	76	76	0	1
86	663	576	575	662	76	76	0	1
88	489	402	401	488	76	76	0	1
90	662	575	574	661	76	76	0	1
92	488	401	400	486	76	76	0	1
94	661	574	573	660	76	76	0	1
96	486	400	398	485	76	76	0	1
98	660	573	572	659	76	76	0	1
100	485	398	397	484	76	76	0	1
102	659	572	571	658	76	76	0	1
104	484	397	395	482	76	76	0	1
106	923	1015		933	76	76	0	1
108	1019	1015		1033	76	76	0	1
110	850	931		923	76	76	0	1
112	229	305		220	76	76	0	1
114	229	318		391	76	76	0	1
116	654	744	745	655	76	76	0	1
118	744	834	835	745	76	76	0	1
120	834	923	924	835	76	76	0	1
122	654	567	495	582	76	76	0	1
124	567	478	406	495	76	76	0	1
126	478	391	318	406	76	76	0	1
128	1023	1015	931	1012	76	76	0	1
130	1036	1023	1012	939	76	76	0	1
132	1015	1023	1028	1025	76	76	0	1
134	1025	1028	1035	1034	76	76	0	1
136	939	940	1037	1036	76	76	0	1
138	940	941	1038	1037	76	76	0	1
140	941	942	1039	1038	76	76	0	1
142	942	943	1040	1039	76	76	0	1
144	943	944	1041	1040	76	76	0	1
146	944	945	1042	1041	76	76	0	1
148	945	946	1043	1042	76	76	0	1
150	946	947	1044	1043	76	76	0	1
152	947	948	1045	1044	76	76	0	1
154	948	949	1046	1045	76	76	0	1
156	949	950	1047	1046	76	76	0	1
158	950	951	1048	1047	76	76	0	1
160	232	233	319	318	76	76	0	1
162	233	234	320	319	76	76	0	1
164	234	235	321	320	76	76	0	1
166	235	236	322	321	76	76	0	1
168	236	237	323	322	76	76	0	1
170	237	238	324	323	76	76	0	1
172	238	239	325	324	76	76	0	1
174	239	240	326	325	76	76	0	1
176	240	241	327	326	76	76	0	1
178	241	242	328	327	76	76	0	1
180	242	243	329	328	76	76	0	1
182	243	244	330	329	76	76	0	1
184	129	130		221	76	76	0	1
186	129	220		128	76	76	0	1
188	130	232		221	76	76	0	1
190	594	684	683	593	76	76	0	1
192	592	682	681	591	76	76	0	1
194	590	680	679	589	76	76	0	1
196	588	678	677	587	76	76	0	1
198	586	676	675	585	76	76	0	1
200	584	674	673	583	76	76	0	1
202	684	774	773	683	76	76	0	1
204	682	772	771	681	76	76	0	1
206	680	770	769	679	76	76	0	1
208	678	768	767	677	76	76	0	1
210	676	766	765	675	76	76	0	1
212	674	764	763	673	76	76	0	1
214	774	862	861	773	76	76	0	1
216	772	860	859	771	76	76	0	1
218	770	858	857	769	76	76	0	1
220	768	856	855	767	76	76	0	1
222	766	854	853	765	76	76	0	1
224	764	852	851	763	76	76	0	1

In.	Nodo I	Nodo J	Nodo L	Nodo K	Sp.mem.	Sp.fless.	Tm	Mat. Ind.
225	763	851	850	762	76	76	0	1
227	406	407	496	495	76	76	0	1
229	319	320	408	407	76	76	0	1
231	496	497	584	583	76	76	0	1
233	408	409	498	497	76	76	0	1
235	321	322	410	409	76	76	0	1
237	498	499	586	585	76	76	0	1
239	410	411	500	499	76	76	0	1
241	323	324	412	411	76	76	0	1
243	500	501	588	587	76	76	0	1
245	412	413	502	501	76	76	0	1
247	325	326	414	413	76	76	0	1
249	502	503	590	589	76	76	0	1
251	414	415	504	503	76	76	0	1
253	327	328	416	415	76	76	0	1
255	504	505	592	591	76	76	0	1
257	416	417	506	505	76	76	0	1
259	329	330	418	417	76	76	0	1
261	506	507	594	593	76	76	0	1
263	951	952	1049	1048	76	76	0	1
265	952	953	1050	1049	76	76	0	1
267	953	954	1051	1050	76	76	0	1
269	954	955	1052	1051	76	76	0	1
271	955	956	1053	1052	76	76	0	1
273	956	957	1054	1053	76	76	0	1
275	957	958	1055	1054	76	76	0	1
277	958	959	1056	1055	76	76	0	1
279	959	960	1057	1056	76	76	0	1
281	960	961	1058	1057	76	76	0	1
283	961	962	1059	1058	76	76	0	1
285	962	963	1060	1059	76	76	0	1
287	244	245	331	330	76	76	0	1
289	245	246	332	331	76	76	0	1
291	246	247	333	332	76	76	0	1
293	247	248	334	333	76	76	0	1
295	248	249	335	334	76	76	0	1
297	249	250	336	335	76	76	0	1
299	250	251	337	336	76	76	0	1
301	251	252	338	337	76	76	0	1
303	252	253	339	338	76	76	0	1
305	253	254	340	339	76	76	0	1
307	254	255	341	340	76	76	0	1
309	255	256	342	341	76	76	0	1
311	605	695	694	604	76	76	0	1
313	603	693	692	602	76	76	0	1
315	601	691	690	600	76	76	0	1
317	599	689	688	598	76	76	0	1
319	597	687	686	596	76	76	0	1
321	595	685	684	594	76	76	0	1
323	695	785	784	694	76	76	0	1
325	693	783	782	692	76	76	0	1
327	691	781	780	690	76	76	0	1
329	689	779	778	688	76	76	0	1
331	687	777	776	686	76	76	0	1
333	685	775	774	684	76	76	0	1
335	785	873	872	784	76	76	0	1
337	783	871	870	782	76	76	0	1
339	781	869	868	780	76	76	0	1
341	779	867	866	778	76	76	0	1
343	777	865	864	776	76	76	0	1
345	775	863	862	774	76	76	0	1
347	418	419	508	507	76	76	0	1
349	331	332	420	419	76	76	0	1
351	508	509	596	595	76	76	0	1
353	420	421	510	509	76	76	0	1
355	333	334	422	421	76	76	0	1
357	510	511	598	597	76	76	0	1
359	422	423	512	511	76	76	0	1
361	335	336	424	423	76	76	0	1
363	512	513	600	599	76	76	0	1
365	424	425	514	513	76	76	0	1
367	337	338	426	425	76	76	0	1
369	514	515	602	601	76	76	0	1
371	426	427	516	515	76	76	0	1
373	339	340	428	427	76	76	0	1
375	516	517	604	603	76	76	0	1
377	428	429	518	517	76	76	0	1
379	341	342	430	429	76	76	0	1
381	518	519	606	605	76	76	0	1
383	963	964	1061	1060	76	76	0	1
385	964	965	1062	1061	76	76	0	1
387	965	966	1063	1062	76	76	0	1
389	966	967	1064	1063	76	76	0	1
391	967	968	1065	1064	76	76	0	1
393	968	969	1066	1065	76	76	0	1
395	969	970	1067	1066	76	76	0	1
397	970	971	1068	1067	76	76	0	1
399	971	972	1069	1068	76	76	0	1
401	972	973	1070	1069	76	76	0	1

In.	Nodo I	Nodo J	Nodo L	Nodo K	Sp.mem.	Sp.fless.	Tm	Mat. Ind.
226	318	319	407	406	76	76	0	1
228	495	496	583	582	76	76	0	1
230	407	408	497	496	76	76	0	1
232	320	321	409	408	76	76	0	1
234	497	498	585	584	76	76	0	1
236	409	410	499	498	76	76	0	1
238	322	323	411	410	76	76	0	1
240	499	500	587	586	76	76	0	1
242	411	412	501	500	76	76	0	1
244	324	325	413	412	76	76	0	1
246	501	502	589	588	76	76	0	1
248	413	414	503	502	76	76	0	1
250	326	327	415	414	76	76	0	1
252	503	504	591	590	76	76	0	1
254	415	416	505	504	76	76	0	1
256	328	329	417	416	76	76	0	1
258	505	506	593	592	76	76	0	1
260	417	418	507	506	76	76	0	1
262	862	863	952	951	76	76	0	1
264	863	864	953	952	76	76	0	1
266	864	865	954	953	76	76	0	1
268	865	866	955	954	76	76	0	1
270	866	867	956	955	76	76	0	1
272	867	868	957	956	76	76	0	1
274	868	869	958	957	76	76	0	1
276	869	870	959	958	76	76	0	1
278	870	871	960	959	76	76	0	1
280	871	872	961	960	76	76	0	1
282	872	873	962	961	76	76	0	1
284	873	874	963	962	76	76	0	1
286	142	143	245	244	76	76	0	1
288	143	144	246	245	76	76	0	1
290	144	145	247	246	76	76	0	1
292	145	146	248	247	76	76	0	1
294	146	147	249	248	76	76	0	1
296	147	148	250	249	76	76	0	1
298	148	149	251	250	76	76	0	1
300	149	150	252	251	76	76	0	1
302	150	151	253	252	76	76	0	1
304	151	152	254	253	76	76	0	1
306	152	153	255	254	76	76	0	1
308	153	154	256	255	76	76	0	1
310	606	696	695	605	76	76	0	1
312	604	694	693	603	76	76	0	1
314	602	692	691	601	76	76	0	1
316	600	690	689	599	76	76	0	1
318	598	688	687	597	76	76	0	1
320	596	686	685	595	76	76	0	1
322	696	786	785	695	76	76	0	1
324	694	784	783	693	76	76	0	1
326	692	782	781	691	76	76	0	1
328	690	780	779	689	76	76	0	1
330	688	778	777	687	76	76	0	1
332	686	776	775	685	76	76	0	1
334	786	874	873	785	76	76	0	1
336	784	872	871	783	76	76	0	1
338	782	870	869	781	76	76	0	1
340	780	868	867	779	76	76	0	1
342	778	866	865	777	76	76	0	1
344	776	864	863	775	76	76	0	1
346	330	331	419	418	76	76	0	1
348	507	508	595	594	76	76	0	1
350	419	420	509	508	76	76	0	1
352	332	333	421	420	76	76	0	1
354	509	510	597	596	76	76	0	1
356	421	422	511	510	76	76	0	1
358	334	335	423	422	76	76	0	1
360	511	512	599	598	76	76	0	1
362	423	424	513	512	76	76	0	1
364	336	337	425	424	76	76	0	1
366	513	514	601	600	76	76	0	1
368	425	426	515	514	76	76	0	1
370	338	339	427	426	76	76	0	1
372	515	516	603	602	76	76	0	1
374	427	428	517	516	76	76	0	1
376	340	341	429	428	76	76	0	1
378	517	518	605	604	76	76	0	1
380	429	430	519	518	76	76	0	1
382	874	875	964	963	76	76	0	1
384	875	876	965	964	76	76	0	1
386	876	877	966	965	76	76	0	1
388	877	878	967	966	76	76	0	1
390	878	879	968	967	76	76	0	1
392	879	880	969	968	76	76	0	1
394	880	881	970	969	76	76	0	1
396	881	882	971	970	76	76	0	1
398	882	883	972	971	76	76	0	1
400	883	884	973	972	76	76	0	1
402	884	885	974	973	76	76	0	1

In.	Nodo I	Nodo J	Nodo L	Nodo K	Sp.mem.	Sp.fless.	Tm	Mat. Ind.
403	973	974	1071	1070	76	76	0	1
405	974	975	1072	1071	76	76	0	1
407	256	257	343	342	76	76	0	1
409	257	258	344	343	76	76	0	1
411	258	259	345	344	76	76	0	1
413	259	260	346	345	76	76	0	1
415	260	261	347	346	76	76	0	1
417	261	262	348	347	76	76	0	1
419	262	263	349	348	76	76	0	1
421	263	264	350	349	76	76	0	1
423	264	265	351	350	76	76	0	1
425	265	266	352	351	76	76	0	1
427	266	267	353	352	76	76	0	1
429	267	268	354	353	76	76	0	1
431	617	707	706	616	76	76	0	1
433	615	705	704	614	76	76	0	1
435	613	703	702	612	76	76	0	1
437	611	701	700	610	76	76	0	1
439	609	699	698	608	76	76	0	1
441	607	697	696	606	76	76	0	1
443	707	797	796	706	76	76	0	1
445	705	795	794	704	76	76	0	1
447	703	793	792	702	76	76	0	1
449	701	791	790	700	76	76	0	1
451	699	789	788	698	76	76	0	1
453	697	787	786	696	76	76	0	1
455	797	885	884	796	76	76	0	1
457	795	883	882	794	76	76	0	1
459	793	881	880	792	76	76	0	1
461	791	879	878	790	76	76	0	1
463	789	877	876	788	76	76	0	1
465	787	875	874	786	76	76	0	1
467	430	431	520	519	76	76	0	1
469	343	344	432	431	76	76	0	1
471	520	521	608	607	76	76	0	1
473	432	433	522	521	76	76	0	1
475	345	346	434	433	76	76	0	1
477	522	523	610	609	76	76	0	1
479	434	435	524	523	76	76	0	1
481	347	348	436	435	76	76	0	1
483	524	525	612	611	76	76	0	1
485	436	437	526	525	76	76	0	1
487	349	350	438	437	76	76	0	1
489	526	527	614	613	76	76	0	1
491	438	439	528	527	76	76	0	1
493	351	352	440	439	76	76	0	1
495	528	529	616	615	76	76	0	1
497	440	441	530	529	76	76	0	1
499	353	354	442	441	76	76	0	1
501	530	531	618	617	76	76	0	1
503	975	976	1073	1072	76	76	0	1
505	976	977	1074	1073	76	76	0	1
507	977	978	1075	1074	76	76	0	1
509	978	979	1076	1075	76	76	0	1
511	979	980	1077	1076	76	76	0	1
513	980	981	1078	1077	76	76	0	1
515	981	982	1079	1078	76	76	0	1
517	982	983	1080	1079	76	76	0	1
519	983	984	1081	1080	76	76	0	1
521	984	985	1082	1081	76	76	0	1
523	985	986	1083	1082	76	76	0	1
525	986	987	1084	1083	76	76	0	1
527	268	269	355	354	76	76	0	1
529	269	270	356	355	76	76	0	1
531	270	271	357	356	76	76	0	1
533	271	272	358	357	76	76	0	1
535	272	273	359	358	76	76	0	1
537	273	274	360	359	76	76	0	1
539	274	275	361	360	76	76	0	1
541	275	276	362	361	76	76	0	1
543	276	277	363	362	76	76	0	1
545	277	278	364	363	76	76	0	1
547	278	279	365	364	76	76	0	1
549	279	280	366	365	76	76	0	1
551	629	719	718	628	76	76	0	1
553	627	717	716	626	76	76	0	1
555	625	715	714	624	76	76	0	1
557	623	713	712	622	76	76	0	1
559	621	711	710	620	76	76	0	1
561	619	709	708	618	76	76	0	1
563	719	809	808	718	76	76	0	1
565	717	807	806	716	76	76	0	1
567	715	805	804	714	76	76	0	1
569	713	803	802	712	76	76	0	1
571	711	801	800	710	76	76	0	1
573	709	799	798	708	76	76	0	1
575	809	897	896	808	76	76	0	1
577	807	895	894	806	76	76	0	1
579	805	893	892	804	76	76	0	1

In.	Nodo I	Nodo J	Nodo L	Nodo K	Sp.mem.	Sp.fless.	Tm	Mat. Ind.
404	885	886	975	974	76	76	0	1
406	154	155	257	256	76	76	0	1
408	155	156	258	257	76	76	0	1
410	156	157	259	258	76	76	0	1
412	157	158	260	259	76	76	0	1
414	158	159	261	260	76	76	0	1
416	159	160	262	261	76	76	0	1
418	160	161	263	262	76	76	0	1
420	161	162	264	263	76	76	0	1
422	162	163	265	264	76	76	0	1
424	163	164	266	265	76	76	0	1
426	164	165	267	266	76	76	0	1
428	165	166	268	267	76	76	0	1
430	618	708	707	617	76	76	0	1
432	616	706	705	615	76	76	0	1
434	614	704	703	613	76	76	0	1
436	612	702	701	611	76	76	0	1
438	610	700	699	609	76	76	0	1
440	608	698	697	607	76	76	0	1
442	708	798	797	707	76	76	0	1
444	706	796	795	705	76	76	0	1
446	704	794	793	703	76	76	0	1
448	702	792	791	701	76	76	0	1
450	700	790	789	699	76	76	0	1
452	698	788	787	697	76	76	0	1
454	798	886	885	797	76	76	0	1
456	796	884	883	795	76	76	0	1
458	794	882	881	793	76	76	0	1
460	792	880	879	791	76	76	0	1
462	790	878	877	789	76	76	0	1
464	788	876	875	787	76	76	0	1
466	342	343	431	430	76	76	0	1
468	519	520	607	606	76	76	0	1
470	431	432	521	520	76	76	0	1
472	344	345	433	432	76	76	0	1
474	521	522	609	608	76	76	0	1
476	433	434	523	522	76	76	0	1
478	346	347	435	434	76	76	0	1
480	523	524	611	610	76	76	0	1
482	435	436	525	524	76	76	0	1
484	348	349	437	436	76	76	0	1
486	525	526	613	612	76	76	0	1
488	437	438	527	526	76	76	0	1
490	350	351	439	438	76	76	0	1
492	527	528	615	614	76	76	0	1
494	439	440	529	528	76	76	0	1
496	352	353	441	440	76	76	0	1
498	529	530	617	616	76	76	0	1
500	441	442	531	530	76	76	0	1
502	886	887	976	975	76	76	0	1
504	887	888	977	976	76	76	0	1
506	888	889	978	977	76	76	0	1
508	889	890	979	978	76	76	0	1
510	890	891	980	979	76	76	0	1
512	891	892	981	980	76	76	0	1
514	892	893	982	981	76	76	0	1
516	893	894	983	982	76	76	0	1
518	894	895	984	983	76	76	0	1
520	895	896	985	984	76	76	0	1
522	896	897	986	985	76	76	0	1
524	897	898	987	986	76	76	0	1
526	166	167	269	268	76	76	0	1
528	167	168	270	269	76	76	0	1
530	168	169	271	270	76	76	0	1
532	169	170	272	271	76	76	0	1
534	170	171	273	272	76	76	0	1
536	171	172	274	273	76	76	0	1
538	172	173	275	274	76	76	0	1
540	173	174	276	275	76	76	0	1
542	174	175	277	276	76	76	0	1
544	175	176	278	277	76	76	0	1
546	176	177	279	278	76	76	0	1
548	177	178	280	279	76	76	0	1
550	630	720	719	629	76	76	0	1
552	628	718	717	627	76	76	0	1
554	626	716	715	625	76	76	0	1
556	624	714	713	623	76	76	0	1
558	622	712	711	621	76	76	0	1
560	620	710	709	619	76	76	0	1
562	720	810	809	719	76	76	0	1
564	718	808	807	717	76	76	0	1
566	716	806	805	715	76	76	0	1
568	714	804	803	713	76	76	0	1
570	712	802	801	711	76	76	0	1
572	710	800	799	709	76	76	0	1
574	810	898	897	809	76	76	0	1
576	808	896	895	807	76	76	0	1
578	806	894	893	805	76	76	0	1
580	804	892	891	803	76	76	0	1

In.	Nodo I	Nodo J	Nodo L	Nodo K	Sp.mem.	Sp.fless.	Tm	Mat. Ind.
581	803	891	890	802	76	76	0	1
583	801	889	888	800	76	76	0	1
585	799	887	886	798	76	76	0	1
587	442	443	532	531	76	76	0	1
589	355	356	444	443	76	76	0	1
591	532	533	620	619	76	76	0	1
593	444	445	534	533	76	76	0	1
595	357	358	446	445	76	76	0	1
597	534	535	622	621	76	76	0	1
599	446	447	536	535	76	76	0	1
601	359	360	448	447	76	76	0	1
603	536	537	624	623	76	76	0	1
605	448	449	538	537	76	76	0	1
607	361	362	450	449	76	76	0	1
609	538	539	626	625	76	76	0	1
611	450	451	540	539	76	76	0	1
613	363	364	452	451	76	76	0	1
615	540	541	628	627	76	76	0	1
617	452	453	542	541	76	76	0	1
619	365	366	454	453	76	76	0	1
621	542	543	630	629	76	76	0	1
623	987	988	1085	1084	76	76	0	1
625	988	989	1086	1085	76	76	0	1
627	989	990	1087	1086	76	76	0	1
629	990	991	1088	1087	76	76	0	1
631	991	992	1089	1088	76	76	0	1
633	992	993	1090	1089	76	76	0	1
635	993	994	1091	1090	76	76	0	1
637	994	995	1092	1091	76	76	0	1
639	995	996	1093	1092	76	76	0	1
641	996	997	1094	1093	76	76	0	1
643	997	998	1095	1094	76	76	0	1
645	998	999	1096	1095	76	76	0	1
647	280	281	367	366	76	76	0	1
649	281	282	368	367	76	76	0	1
651	282	283	369	368	76	76	0	1
653	283	284	370	369	76	76	0	1
655	284	285	371	370	76	76	0	1
657	285	286	372	371	76	76	0	1
659	286	287	373	372	76	76	0	1
661	287	288	374	373	76	76	0	1
663	288	289	375	374	76	76	0	1
665	289	290	376	375	76	76	0	1
667	290	291	377	376	76	76	0	1
669	291	292	378	377	76	76	0	1
671	641	731	730	640	76	76	0	1
673	639	729	728	638	76	76	0	1
675	637	727	726	636	76	76	0	1
677	635	725	724	634	76	76	0	1
679	633	723	722	632	76	76	0	1
681	631	721	720	630	76	76	0	1
683	731	821	820	730	76	76	0	1
685	729	819	818	728	76	76	0	1
687	727	817	816	726	76	76	0	1
689	725	815	814	724	76	76	0	1
691	723	813	812	722	76	76	0	1
693	721	811	810	720	76	76	0	1
695	821	909	908	820	76	76	0	1
697	819	907	906	818	76	76	0	1
699	817	905	904	816	76	76	0	1
701	815	903	902	814	76	76	0	1
703	813	901	900	812	76	76	0	1
705	811	899	898	810	76	76	0	1
707	454	455	544	543	76	76	0	1
709	367	368	456	455	76	76	0	1
711	544	545	632	631	76	76	0	1
713	456	457	546	545	76	76	0	1
715	369	370	458	457	76	76	0	1
717	546	547	634	633	76	76	0	1
719	458	459	548	547	76	76	0	1
721	371	372	460	459	76	76	0	1
723	548	549	636	635	76	76	0	1
725	460	461	550	549	76	76	0	1
727	373	374	462	461	76	76	0	1
729	550	551	638	637	76	76	0	1
731	462	463	552	551	76	76	0	1
733	375	376	464	463	76	76	0	1
735	552	553	640	639	76	76	0	1
737	464	465	554	553	76	76	0	1
739	377	378	466	465	76	76	0	1
741	554	555	642	641	76	76	0	1
743	999	1000	1097	1096	76	76	0	1
745	1000	1001	1098	1097	76	76	0	1
747	1001	1002	1099	1098	76	76	0	1
749	1002	1003	1100	1099	76	76	0	1
751	1003	1004	1101	1100	76	76	0	1
753	1004	1005	1102	1101	76	76	0	1
755	1005	1006	1103	1102	76	76	0	1
757	1006	1007	1104	1103	76	76	0	1

In.	Nodo I	Nodo J	Nodo L	Nodo K	Sp.mem.	Sp.fless.	Tm	Mat. Ind.
582	802	890	889	801	76	76	0	1
584	800	888	887	799	76	76	0	1
586	354	355	443	442	76	76	0	1
588	531	532	619	618	76	76	0	1
590	443	444	533	532	76	76	0	1
592	356	357	445	444	76	76	0	1
594	533	534	621	620	76	76	0	1
596	445	446	535	534	76	76	0	1
598	358	359	447	446	76	76	0	1
600	535	536	623	622	76	76	0	1
602	447	448	537	536	76	76	0	1
604	360	361	449	448	76	76	0	1
606	537	538	625	624	76	76	0	1
608	449	450	539	538	76	76	0	1
610	362	363	451	450	76	76	0	1
612	539	540	627	626	76	76	0	1
614	451	452	541	540	76	76	0	1
616	364	365	453	452	76	76	0	1
618	541	542	629	628	76	76	0	1
620	453	454	543	542	76	76	0	1
622	898	899	988	987	76	76	0	1
624	899	900	989	988	76	76	0	1
626	900	901	990	989	76	76	0	1
628	901	902	991	990	76	76	0	1
630	902	903	992	991	76	76	0	1
632	903	904	993	992	76	76	0	1
634	904	905	994	993	76	76	0	1
636	905	906	995	994	76	76	0	1
638	906	907	996	995	76	76	0	1
640	907	908	997	996	76	76	0	1
642	908	909	998	997	76	76	0	1
644	909	910	999	998	76	76	0	1
646	178	179	281	280	76	76	0	1
648	179	180	282	281	76	76	0	1
650	180	181	283	282	76	76	0	1
652	181	182	284	283	76	76	0	1
654	182	183	285	284	76	76	0	1
656	183	184	286	285	76	76	0	1
658	184	185	287	286	76	76	0	1
660	185	186	288	287	76	76	0	1
662	186	187	289	288	76	76	0	1
664	187	188	290	289	76	76	0	1
666	188	189	291	290	76	76	0	1
668	189	190	292	291	76	76	0	1
670	642	732	731	641	76	76	0	1
672	640	730	729	639	76	76	0	1
674	638	728	727	637	76	76	0	1
676	636	726	725	635	76	76	0	1
678	634	724	723	633	76	76	0	1
680	632	722	721	631	76	76	0	1
682	732	822	821	731	76	76	0	1
684	730	820	819	729	76	76	0	1
686	728	818	817	727	76	76	0	1
688	726	816	815	725	76	76	0	1
690	724	814	813	723	76	76	0	1
692	722	812	811	721	76	76	0	1
694	822	910	909	821	76	76	0	1
696	820	908	907	819	76	76	0	1
698	818	906	905	817	76	76	0	1
700	816	904	903	815	76	76	0	1
702	814	902	901	813	76	76	0	1
704	812	900	899	811	76	76	0	1
706	366	367	455	454	76	76	0	1
708	543	544	631	630	76	76	0	1
710	455	456	545	544	76	76	0	1
712	368	369	457	456	76	76	0	1
714	545	546	633	632	76	76	0	1
716	457	458	547	546	76	76	0	1
718	370	371	459	458	76	76	0	1
720	547	548	635	634	76	76	0	1
722	459	460	549	548	76	76	0	1
724	372	373	461	460	76	76	0	1
726	549	550	637	636	76	76	0	1
728	461	462	551	550	76	76	0	1
730	374	375	463	462	76	76	0	1
732	551	552	639	638	76	76	0	1
734	463	464	553	552	76	76	0	1
736	376	377	465	464	76	76	0	1
738	553	554	641	640	76	76	0	1
740	465	466	555	554	76	76	0	1
742	910	911	1000	999	76	76	0	1
744	911	912	1001	1000	76	76	0	1
746	912	913	1002	1001	76	76	0	1
748	913	914	1003	1002	76	76	0	1
750	914	915	1004	1003	76	76	0	1
752	915	916	1005	1004	76	76	0	1
754	916	917	1006	1005	76	76	0	1
756	917	918	1007	1006	76	76	0	1
758	918	919	1008	1007	76	76	0	1

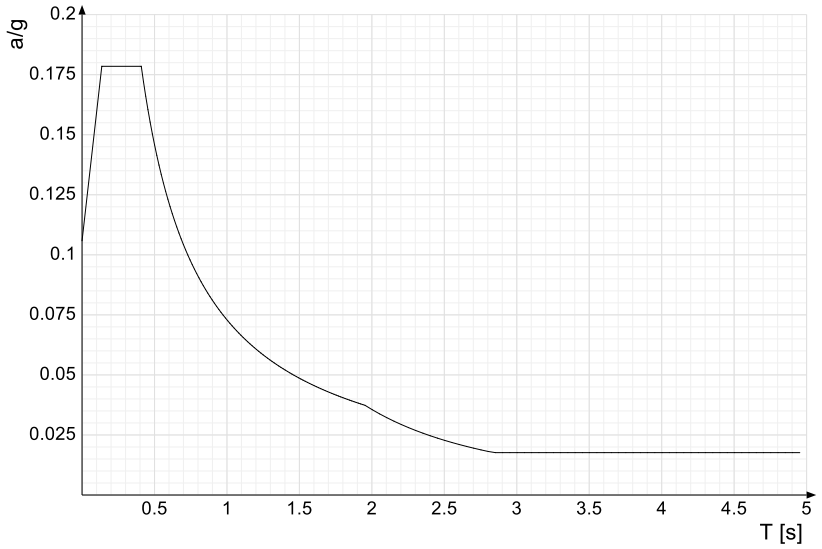
In.	Nodo I	Nodo J	Nodo L	Nodo K	Sp.mem.	Sp.fless.	Tm	Mat. Ind.
759	1007	1008	1105	1104	76	76	0	1
761	1008	1009	1106	1105	76	76	0	1
763	1009	1010	1107	1106	76	76	0	1
765	1010	1011	1108	1107	76	76	0	1
767	292	293	379	378	76	76	0	1
769	293	294	380	379	76	76	0	1
771	294	295	381	380	76	76	0	1
773	295	296	382	381	76	76	0	1
775	296	297	383	382	76	76	0	1
777	297	298	384	383	76	76	0	1
779	298	299	385	384	76	76	0	1
781	299	300	386	385	76	76	0	1
783	300	301	387	386	76	76	0	1
785	301	302	388	387	76	76	0	1
787	302	303	389	388	76	76	0	1
789	303	304	390	389	76	76	0	1
791	653	743	742	652	76	76	0	1
793	651	741	740	650	76	76	0	1
795	649	739	738	648	76	76	0	1
797	647	737	736	646	76	76	0	1
799	645	735	734	644	76	76	0	1
801	643	733	732	642	76	76	0	1
803	743	833	832	742	76	76	0	1
805	741	831	830	740	76	76	0	1
807	739	829	828	738	76	76	0	1
809	737	827	826	736	76	76	0	1
811	735	825	824	734	76	76	0	1
813	733	823	822	732	76	76	0	1
815	833	921	920	832	76	76	0	1
817	831	919	918	830	76	76	0	1
819	829	917	916	828	76	76	0	1
821	827	915	914	826	76	76	0	1
823	825	913	912	824	76	76	0	1
825	823	911	910	822	76	76	0	1
827	466	467	556	555	76	76	0	1
829	379	380	468	467	76	76	0	1
831	556	557	644	643	76	76	0	1
833	468	469	558	557	76	76	0	1
835	381	382	470	469	76	76	0	1
837	558	559	646	645	76	76	0	1
839	470	471	560	559	76	76	0	1
841	383	384	472	471	76	76	0	1
843	560	561	648	647	76	76	0	1
845	472	473	562	561	76	76	0	1
847	385	386	474	473	76	76	0	1
849	562	563	650	649	76	76	0	1
851	474	475	564	563	76	76	0	1
853	387	388	476	475	76	76	0	1
855	564	565	652	651	76	76	0	1
857	476	477	566	565	76	76	0	1
859	389	390	405	477	76	76	0	1
861	566	494	581	653	76	76	0	1
863	930	935	1020	1017	76	76	0	1
865	938	1014	1024	1021	76	76	0	1
867	1018	1022	1029	1027	76	76	0	1
869	1026	1030	1032	1031	76	76	0	1
871	1118	1117	1031	1032	76	76	0	1
873	1116	1115	1027	1029	76	76	0	1
875	1114	1113	1021	1024	76	76	0	1
877	1112	1111	1017	1020	76	76	0	1
879	1110	1109	1013	1016	76	76	0	1
881	922	926	1013	1011	76	76	0	1
883	204	205	227	228	76	76	0	1
885	206	207	224	225	76	76	0	1
887	208	209	218	222	76	76	0	1
889	210	211	215	217	76	76	0	1
891	212	213	216	214	76	76	0	1
893	219	223	217	215	76	76	0	1
895	226	230	222	218	76	76	0	1
897	306	309	225	224	76	76	0	1
899	311	313	228	227	76	76	0	1
901	390	304	231	315	76	76	0	1
903	203	204	228	231	76	76	0	1

In.	Nodo I	Nodo J	Nodo L	Nodo K	Sp.mem.	Sp.fless.	Tm	Mat. Ind.
760	919	920	1009	1008	76	76	0	1
762	920	921	1010	1009	76	76	0	1
764	921	922	1011	1010	76	76	0	1
766	190	191	293	292	76	76	0	1
768	191	192	294	293	76	76	0	1
770	192	193	295	294	76	76	0	1
772	193	194	296	295	76	76	0	1
774	194	195	297	296	76	76	0	1
776	195	196	298	297	76	76	0	1
778	196	197	299	298	76	76	0	1
780	197	198	300	299	76	76	0	1
782	198	199	301	300	76	76	0	1
784	199	200	302	301	76	76	0	1
786	200	201	303	302	76	76	0	1
788	201	202	304	303	76	76	0	1
790	581	671	743	653	76	76	0	1
792	652	742	741	651	76	76	0	1
794	650	740	739	649	76	76	0	1
796	648	738	737	647	76	76	0	1
798	646	736	735	645	76	76	0	1
800	644	734	733	643	76	76	0	1
802	671	761	833	743	76	76	0	1
804	742	832	831	741	76	76	0	1
806	740	830	829	739	76	76	0	1
808	738	828	827	737	76	76	0	1
810	736	826	825	735	76	76	0	1
812	734	824	823	733	76	76	0	1
814	761	922	921	833	76	76	0	1
816	832	920	919	831	76	76	0	1
818	830	918	917	829	76	76	0	1
820	828	916	915	827	76	76	0	1
822	826	914	913	825	76	76	0	1
824	824	912	911	823	76	76	0	1
826	378	379	467	466	76	76	0	1
828	555	556	643	642	76	76	0	1
830	467	468	557	556	76	76	0	1
832	380	381	469	468	76	76	0	1
834	557	558	645	644	76	76	0	1
836	469	470	559	558	76	76	0	1
838	382	383	471	470	76	76	0	1
840	559	560	647	646	76	76	0	1
842	471	472	561	560	76	76	0	1
844	384	385	473	472	76	76	0	1
846	561	562	649	648	76	76	0	1
848	473	474	563	562	76	76	0	1
850	386	387	475	474	76	76	0	1
852	563	564	651	650	76	76	0	1
854	475	476	565	564	76	76	0	1
856	388	389	477	476	76	76	0	1
858	565	566	653	652	76	76	0	1
860	477	405	494	566	76	76	0	1
862	928	930	1017	1016	76	76	0	1
864	935	938	1021	1020	76	76	0	1
866	1014	1018	1027	1024	76	76	0	1
868	1022	1026	1031	1029	76	76	0	1
870	1030	1119	1118	1032	76	76	0	1
872	1117	1116	1029	1031	76	76	0	1
874	1115	1114	1024	1027	76	76	0	1
876	1113	1112	1020	1021	76	76	0	1
878	1111	1110	1016	1017	76	76	0	1
880	1108	1011	1013	1109	76	76	0	1
882	926	928	1016	1013	76	76	0	1
884	205	206	225	227	76	76	0	1
886	207	208	222	224	76	76	0	1
888	209	210	217	218	76	76	0	1
890	211	212	214	215	76	76	0	1
892	216	219	215	214	76	76	0	1
894	223	226	218	217	76	76	0	1
896	230	306	224	222	76	76	0	1
898	309	311	227	225	76	76	0	1
900	313	315	231	228	76	76	0	1
902	202	203	231	304	76	76	0	1

7.8 Accelerazioni spettrali

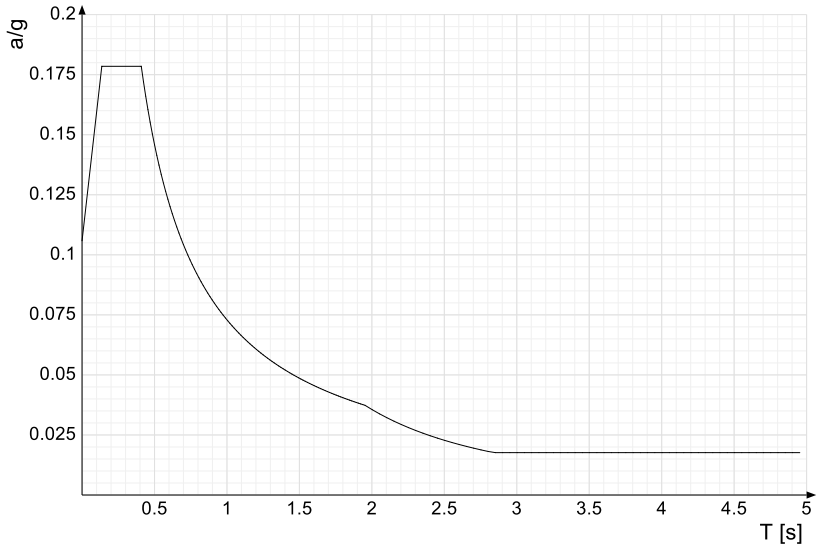
***Ind.vertice**: Indice del valore.*
***T**: Periodo di vibrazione. [s]*
***a/g**: Accelerazione spettrale normalizzata ottenuta dividendo l'accelerazione spettrale per l'accelerazione di gravità. Il valore è adimensionale.*

Sisma X SLV



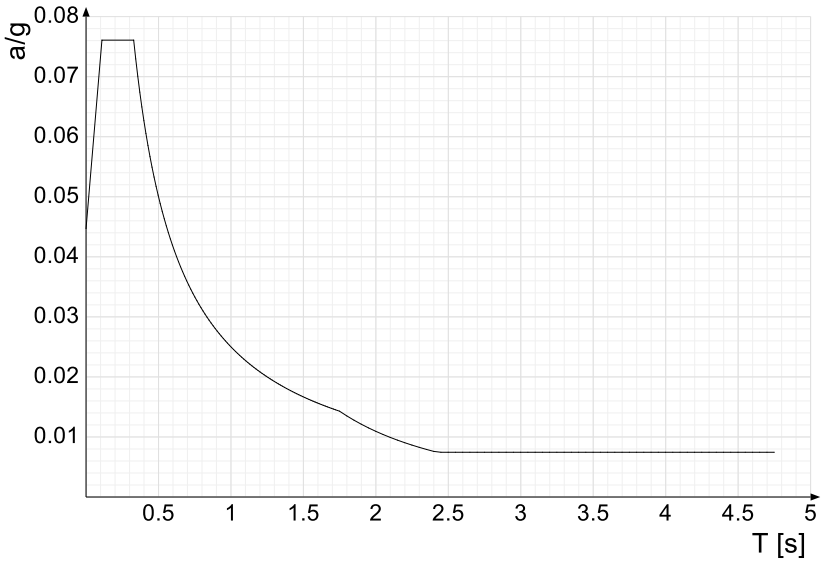
Ind.vertice	T	a/g	Ind.vertice	T	a/g	Ind.vertice	T	a/g	Ind.vertice	T	a/g
1	0	0.106	2	0.136	0.178	3	0.409	0.178	4	0.424	0.172
5	0.439	0.166	6	0.454	0.16	7	0.47	0.155	8	0.485	0.15
9	0.5	0.146	10	0.516	0.141	11	0.531	0.137	12	0.546	0.134
13	0.562	0.13	14	0.577	0.126	15	0.592	0.123	16	0.607	0.12
17	0.623	0.117	18	0.638	0.114	19	0.653	0.112	20	0.669	0.109
21	0.684	0.107	22	0.699	0.104	23	0.714	0.102	24	0.73	0.1
25	0.745	0.098	26	0.76	0.096	27	0.776	0.094	28	0.791	0.092
29	0.806	0.09	30	0.821	0.089	31	0.837	0.087	32	0.852	0.086
33	0.867	0.084	34	0.883	0.083	35	0.898	0.081	36	0.913	0.08
37	0.928	0.079	38	0.944	0.077	39	0.959	0.076	40	0.974	0.075
41	0.99	0.074	42	1.005	0.073	43	1.02	0.071	44	1.035	0.07
45	1.051	0.069	46	1.066	0.068	47	1.081	0.067	48	1.097	0.067
49	1.112	0.066	50	1.127	0.065	51	1.143	0.064	52	1.158	0.063
53	1.173	0.062	54	1.188	0.061	55	1.204	0.061	56	1.219	0.06
57	1.234	0.059	58	1.25	0.058	59	1.265	0.058	60	1.28	0.057
61	1.295	0.056	62	1.311	0.056	63	1.326	0.055	64	1.341	0.054
65	1.357	0.054	66	1.372	0.053	67	1.387	0.053	68	1.402	0.052
69	1.418	0.051	70	1.433	0.051	71	1.448	0.05	72	1.464	0.05
73	1.479	0.049	74	1.494	0.049	75	1.509	0.048	76	1.525	0.048
77	1.54	0.047	78	1.555	0.047	79	1.571	0.046	80	1.586	0.046
81	1.601	0.046	82	1.616	0.045	83	1.632	0.045	84	1.647	0.044
85	1.662	0.044	86	1.678	0.043	87	1.693	0.043	88	1.708	0.043
89	1.724	0.042	90	1.739	0.042	91	1.754	0.042	92	1.769	0.041
93	1.785	0.041	94	1.8	0.041	95	1.815	0.04	96	1.831	0.04
97	1.846	0.04	98	1.861	0.039	99	1.876	0.039	100	1.892	0.039
101	1.907	0.038	102	1.922	0.038	103	1.938	0.038	104	1.953	0.037
105	2.003	0.036	106	2.053	0.034	107	2.103	0.032	108	2.153	0.031
109	2.203	0.029	110	2.253	0.028	111	2.303	0.027	112	2.353	0.026
113	2.403	0.025	114	2.453	0.024	115	2.503	0.023	116	2.553	0.022
117	2.603	0.021	118	2.653	0.02	119	2.703	0.019	120	2.753	0.019
121	2.803	0.018	122	2.853	0.018	123	2.903	0.018	124	2.953	0.018
125	3.003	0.018	126	3.053	0.018	127	3.103	0.018	128	3.153	0.018
129	3.203	0.018	130	3.253	0.018	131	3.303	0.018	132	3.353	0.018
133	3.403	0.018	134	3.453	0.018	135	3.503	0.018	136	3.553	0.018
137	3.603	0.018	138	3.653	0.018	139	3.703	0.018	140	3.753	0.018
141	3.803	0.018	142	3.853	0.018	143	3.903	0.018	144	3.953	0.018
145	4.003	0.018	146	4.053	0.018	147	4.103	0.018	148	4.153	0.018
149	4.203	0.018	150	4.253	0.018	151	4.303	0.018	152	4.353	0.018
153	4.403	0.018	154	4.453	0.018	155	4.503	0.018	156	4.553	0.018
157	4.603	0.018	158	4.653	0.018	159	4.703	0.018	160	4.753	0.018
161	4.803	0.018	162	4.853	0.018	163	4.903	0.018	164	4.953	0.018

Sisma Y SLV



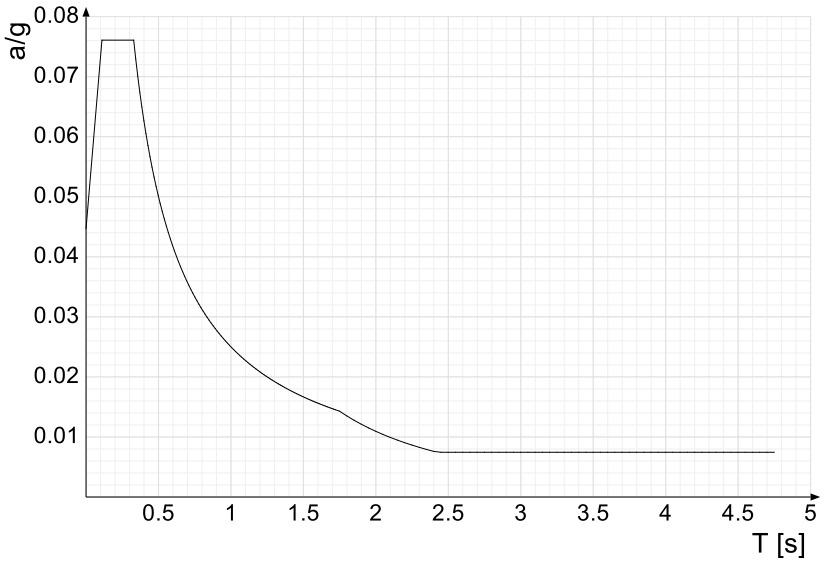
Ind.vertice	T	a/g	Ind.vertice	T	a/g	Ind.vertice	T	a/g	Ind.vertice	T	a/g
1	0	0.106	2	0.136	0.178	3	0.409	0.178	4	0.424	0.172
5	0.439	0.166	6	0.454	0.16	7	0.47	0.155	8	0.485	0.15
9	0.5	0.146	10	0.516	0.141	11	0.531	0.137	12	0.546	0.134
13	0.562	0.13	14	0.577	0.126	15	0.592	0.123	16	0.607	0.12
17	0.623	0.117	18	0.638	0.114	19	0.653	0.112	20	0.669	0.109
21	0.684	0.107	22	0.699	0.104	23	0.714	0.102	24	0.73	0.1
25	0.745	0.098	26	0.76	0.096	27	0.776	0.094	28	0.791	0.092
29	0.806	0.09	30	0.821	0.089	31	0.837	0.087	32	0.852	0.086
33	0.867	0.084	34	0.883	0.083	35	0.898	0.081	36	0.913	0.08
37	0.928	0.079	38	0.944	0.077	39	0.959	0.076	40	0.974	0.075
41	0.99	0.074	42	1.005	0.073	43	1.02	0.071	44	1.035	0.07
45	1.051	0.069	46	1.066	0.068	47	1.081	0.067	48	1.097	0.067
49	1.112	0.066	50	1.127	0.065	51	1.143	0.064	52	1.158	0.063
53	1.173	0.062	54	1.188	0.061	55	1.204	0.061	56	1.219	0.06
57	1.234	0.059	58	1.25	0.058	59	1.265	0.058	60	1.28	0.057
61	1.295	0.056	62	1.311	0.056	63	1.326	0.055	64	1.341	0.054
65	1.357	0.054	66	1.372	0.053	67	1.387	0.053	68	1.402	0.052
69	1.418	0.051	70	1.433	0.051	71	1.448	0.05	72	1.464	0.05
73	1.479	0.049	74	1.494	0.049	75	1.509	0.048	76	1.525	0.048
77	1.54	0.047	78	1.555	0.047	79	1.571	0.046	80	1.586	0.046
81	1.601	0.046	82	1.616	0.045	83	1.632	0.045	84	1.647	0.044
85	1.662	0.044	86	1.678	0.043	87	1.693	0.043	88	1.708	0.043
89	1.724	0.042	90	1.739	0.042	91	1.754	0.042	92	1.769	0.041
93	1.785	0.041	94	1.8	0.041	95	1.815	0.04	96	1.831	0.04
97	1.846	0.04	98	1.861	0.039	99	1.876	0.039	100	1.892	0.039
101	1.907	0.038	102	1.922	0.038	103	1.938	0.038	104	1.953	0.037
105	2.003	0.036	106	2.053	0.034	107	2.103	0.032	108	2.153	0.031
109	2.203	0.029	110	2.253	0.028	111	2.303	0.027	112	2.353	0.026
113	2.403	0.025	114	2.453	0.024	115	2.503	0.023	116	2.553	0.022
117	2.603	0.021	118	2.653	0.02	119	2.703	0.019	120	2.753	0.019
121	2.803	0.018	122	2.853	0.018	123	2.903	0.018	124	2.953	0.018
125	3.003	0.018	126	3.053	0.018	127	3.103	0.018	128	3.153	0.018
129	3.203	0.018	130	3.253	0.018	131	3.303	0.018	132	3.353	0.018
133	3.403	0.018	134	3.453	0.018	135	3.503	0.018	136	3.553	0.018
137	3.603	0.018	138	3.653	0.018	139	3.703	0.018	140	3.753	0.018
141	3.803	0.018	142	3.853	0.018	143	3.903	0.018	144	3.953	0.018
145	4.003	0.018	146	4.053	0.018	147	4.103	0.018	148	4.153	0.018
149	4.203	0.018	150	4.253	0.018	151	4.303	0.018	152	4.353	0.018
153	4.403	0.018	154	4.453	0.018	155	4.503	0.018	156	4.553	0.018
157	4.603	0.018	158	4.653	0.018	159	4.703	0.018	160	4.753	0.018
161	4.803	0.018	162	4.853	0.018	163	4.903	0.018	164	4.953	0.018

Sisma X SLD



Ind.vertice	T	a/g	Ind.vertice	T	a/g	Ind.vertice	T	a/g	Ind.vertice	T	a/g
1	0	0.045	2	0.11	0.076	3	0.329	0.076	4	0.343	0.073
5	0.357	0.07	6	0.371	0.067	7	0.385	0.065	8	0.399	0.063
9	0.413	0.061	10	0.427	0.059	11	0.441	0.057	12	0.455	0.055
13	0.469	0.053	14	0.483	0.052	15	0.497	0.05	16	0.511	0.049
17	0.526	0.048	18	0.54	0.046	19	0.554	0.045	20	0.568	0.044
21	0.582	0.043	22	0.596	0.042	23	0.61	0.041	24	0.624	0.04
25	0.638	0.039	26	0.652	0.038	27	0.666	0.038	28	0.68	0.037
29	0.694	0.036	30	0.708	0.035	31	0.722	0.035	32	0.736	0.034
33	0.751	0.033	34	0.765	0.033	35	0.779	0.032	36	0.793	0.032
37	0.807	0.031	38	0.821	0.03	39	0.835	0.03	40	0.849	0.029
41	0.863	0.029	42	0.877	0.029	43	0.891	0.028	44	0.905	0.028
45	0.919	0.027	46	0.933	0.027	47	0.947	0.026	48	0.962	0.026
49	0.976	0.026	50	0.99	0.025	51	1.004	0.025	52	1.018	0.025
53	1.032	0.024	54	1.046	0.024	55	1.06	0.024	56	1.074	0.023
57	1.088	0.023	58	1.102	0.023	59	1.116	0.022	60	1.13	0.022
61	1.144	0.022	62	1.158	0.022	63	1.172	0.021	64	1.187	0.021
65	1.201	0.021	66	1.215	0.021	67	1.229	0.02	68	1.243	0.02
69	1.257	0.02	70	1.271	0.02	71	1.285	0.019	72	1.299	0.019
73	1.313	0.019	74	1.327	0.019	75	1.341	0.019	76	1.355	0.018
77	1.369	0.018	78	1.383	0.018	79	1.397	0.018	80	1.412	0.018
81	1.426	0.018	82	1.44	0.017	83	1.454	0.017	84	1.468	0.017
85	1.482	0.017	86	1.496	0.017	87	1.51	0.017	88	1.524	0.016
89	1.538	0.016	90	1.552	0.016	91	1.566	0.016	92	1.58	0.016
93	1.594	0.016	94	1.608	0.016	95	1.622	0.015	96	1.637	0.015
97	1.651	0.015	98	1.665	0.015	99	1.679	0.015	100	1.693	0.015
101	1.707	0.015	102	1.721	0.015	103	1.735	0.014	104	1.749	0.014
105	1.799	0.014	106	1.849	0.013	107	1.899	0.012	108	1.949	0.012
109	1.999	0.011	110	2.049	0.01	111	2.099	0.01	112	2.149	0.009
113	2.199	0.009	114	2.249	0.009	115	2.299	0.008	116	2.349	0.008
117	2.399	0.008	118	2.449	0.007	119	2.499	0.007	120	2.549	0.007
121	2.599	0.007	122	2.649	0.007	123	2.699	0.007	124	2.749	0.007
125	2.799	0.007	126	2.849	0.007	127	2.899	0.007	128	2.949	0.007
129	2.999	0.007	130	3.049	0.007	131	3.099	0.007	132	3.149	0.007
133	3.199	0.007	134	3.249	0.007	135	3.299	0.007	136	3.349	0.007
137	3.399	0.007	138	3.449	0.007	139	3.499	0.007	140	3.549	0.007
141	3.599	0.007	142	3.649	0.007	143	3.699	0.007	144	3.749	0.007
145	3.799	0.007	146	3.849	0.007	147	3.899	0.007	148	3.949	0.007
149	3.999	0.007	150	4.049	0.007	151	4.099	0.007	152	4.149	0.007
153	4.199	0.007	154	4.249	0.007	155	4.299	0.007	156	4.349	0.007
157	4.399	0.007	158	4.449	0.007	159	4.499	0.007	160	4.549	0.007
161	4.599	0.007	162	4.649	0.007	163	4.699	0.007	164	4.749	0.007

Sisma Y SLD



Ind.vertice	T	a/g	Ind.vertice	T	a/g	Ind.vertice	T	a/g	Ind.vertice	T	a/g
1	0	0.045	2	0.11	0.076	3	0.329	0.076	4	0.343	0.073
5	0.357	0.07	6	0.371	0.067	7	0.385	0.065	8	0.399	0.063
9	0.413	0.061	10	0.427	0.059	11	0.441	0.057	12	0.455	0.055
13	0.469	0.053	14	0.483	0.052	15	0.497	0.05	16	0.511	0.049
17	0.526	0.048	18	0.54	0.046	19	0.554	0.045	20	0.568	0.044
21	0.582	0.043	22	0.596	0.042	23	0.61	0.041	24	0.624	0.04
25	0.638	0.039	26	0.652	0.038	27	0.666	0.038	28	0.68	0.037
29	0.694	0.036	30	0.708	0.035	31	0.722	0.035	32	0.736	0.034
33	0.751	0.033	34	0.765	0.033	35	0.779	0.032	36	0.793	0.032
37	0.807	0.031	38	0.821	0.03	39	0.835	0.03	40	0.849	0.029
41	0.863	0.029	42	0.877	0.029	43	0.891	0.028	44	0.905	0.028
45	0.919	0.027	46	0.933	0.027	47	0.947	0.026	48	0.962	0.026
49	0.976	0.026	50	0.99	0.025	51	1.004	0.025	52	1.018	0.025
53	1.032	0.024	54	1.046	0.024	55	1.06	0.024	56	1.074	0.023
57	1.088	0.023	58	1.102	0.023	59	1.116	0.022	60	1.13	0.022
61	1.144	0.022	62	1.158	0.022	63	1.172	0.021	64	1.187	0.021
65	1.201	0.021	66	1.215	0.021	67	1.229	0.02	68	1.243	0.02
69	1.257	0.02	70	1.271	0.02	71	1.285	0.019	72	1.299	0.019
73	1.313	0.019	74	1.327	0.019	75	1.341	0.019	76	1.355	0.018
77	1.369	0.018	78	1.383	0.018	79	1.397	0.018	80	1.412	0.018
81	1.426	0.018	82	1.44	0.017	83	1.454	0.017	84	1.468	0.017
85	1.482	0.017	86	1.496	0.017	87	1.51	0.017	88	1.524	0.016
89	1.538	0.016	90	1.552	0.016	91	1.566	0.016	92	1.58	0.016
93	1.594	0.016	94	1.608	0.016	95	1.622	0.015	96	1.637	0.015
97	1.651	0.015	98	1.665	0.015	99	1.679	0.015	100	1.693	0.015
101	1.707	0.015	102	1.721	0.015	103	1.735	0.014	104	1.749	0.014
105	1.799	0.014	106	1.849	0.013	107	1.899	0.012	108	1.949	0.012
109	1.999	0.011	110	2.049	0.01	111	2.099	0.01	112	2.149	0.009
113	2.199	0.009	114	2.249	0.009	115	2.299	0.008	116	2.349	0.008
117	2.399	0.008	118	2.449	0.007	119	2.499	0.007	120	2.549	0.007
121	2.599	0.007	122	2.649	0.007	123	2.699	0.007	124	2.749	0.007
125	2.799	0.007	126	2.849	0.007	127	2.899	0.007	128	2.949	0.007
129	2.999	0.007	130	3.049	0.007	131	3.099	0.007	132	3.149	0.007
133	3.199	0.007	134	3.249	0.007	135	3.299	0.007	136	3.349	0.007
137	3.399	0.007	138	3.449	0.007	139	3.499	0.007	140	3.549	0.007
141	3.599	0.007	142	3.649	0.007	143	3.699	0.007	144	3.749	0.007
145	3.799	0.007	146	3.849	0.007	147	3.899	0.007	148	3.949	0.007
149	3.999	0.007	150	4.049	0.007	151	4.099	0.007	152	4.149	0.007
153	4.199	0.007	154	4.249	0.007	155	4.299	0.007	156	4.349	0.007
157	4.399	0.007	158	4.449	0.007	159	4.499	0.007	160	4.549	0.007
161	4.599	0.007	162	4.649	0.007	163	4.699	0.007	164	4.749	0.007

8 Risultati numerici

8.1 Spostamenti nodali estremi

***Nodo**: nodo interessato dallo spostamento.*
***Ind.**: indice del nodo.*
***Cont.**: condizione o combinazione di carico a cui si riferisce lo spostamento.*
***N.br.**: nome breve della condizione o combinazione di carico.*
***Spostamento**: spostamento traslazionale del nodo.*
***ux**: componente X dello spostamento del nodo. [cm]*
***uy**: componente Y dello spostamento del nodo. [cm]*
***uz**: componente Z dello spostamento del nodo. [cm]*
***Rotazione**: spostamento rotazionale del nodo.*
***rx**: componente X della rotazione del nodo. [deg]*
***ry**: componente Y della rotazione del nodo. [deg]*
***rz**: componente Z della rotazione del nodo. [deg]*

Spostamenti nodali con componente Ux minima

Vengono mostrati i soli 5 nodi più sollecitati.

Nodo	Cont.	Spostamento			Rotazione		
Ind.	N.br.	ux	uy	uz	rx	ry	rz
1119	SLV 3	-0.4258	0.61361	0	0.0064	-0.0355	0.0078
1118	SLV 3	-0.4258	0.60752	-0.03021	0.0035	-0.035	0.0077
1117	SLV 3	-0.42578	0.60144	-0.05966	0.0008	-0.0337	0.0077
1116	SLV 3	-0.42575	0.59538	-0.08788	-0.0016	-0.0321	0.0077
1115	SLV 3	-0.42571	0.58933	-0.1146	-0.0038	-0.0302	0.0078

Spostamenti nodali con componente Ux massima

Vengono mostrati i soli 5 nodi più sollecitati.

Nodo	Cont.	Spostamento			Rotazione		
Ind.	N.br.	ux	uy	uz	rx	ry	rz
213	SLV 15	0.43035	0.61567	0	-0.0082	-0.027	0.0078
212	SLV 15	0.43034	0.60953	-0.02288	-0.0078	-0.0263	0.0078
211	SLV 15	0.43032	0.60341	-0.0448	-0.0076	-0.0247	0.0078
210	SLV 15	0.43029	0.5973	-0.06509	-0.0077	-0.0226	0.0078
209	SLV 15	0.43025	0.5912	-0.08335	-0.0082	-0.02	0.0078

Spostamenti nodali con componente Uy minima

Vengono mostrati i soli 5 nodi più sollecitati.

Nodo	Cont.	Spostamento			Rotazione		
Ind.	N.br.	ux	uy	uz	rx	ry	rz
1119	SLV 6	-0.04647	-0.63499	0	0.007	-0.0243	-0.0163
937	SLV 6	-0.06051	-0.63498	-0.00601	0.0066	-0.0238	-0.0161
847	SLV 6	-0.07451	-0.63494	-0.01124	0.0054	-0.0237	-0.0162
758	SLV 6	-0.08849	-0.63491	-0.01523	0.0038	-0.024	-0.016
307	SLV 6	-0.17227	-0.63488	-0.00604	-0.0066	-0.0334	-0.0161

Spostamenti nodali con componente Uy massima

Vengono mostrati i soli 5 nodi più sollecitati.

Nodo	Cont.	Spostamento			Rotazione		
Ind.	N.br.	ux	uy	uz	rx	ry	rz
213	SLV 11	0.2066	1.25998	0	-0.0076	-0.0179	0.0199
307	SLV 11	0.18938	1.25994	-0.00646	-0.0071	-0.0189	0.0197
394	SLV 11	0.17221	1.25988	-0.01208	-0.0058	-0.0203	0.0198
1119	SLV 11	0.03511	1.25986	0	0.0076	-0.0464	0.0199
937	SLV 11	0.05233	1.25984	-0.00652	0.0071	-0.0416	0.0197

Spostamenti nodali con componente Uz minima

Vengono mostrati i soli 5 nodi più sollecitati.

Nodo	Cont.	Spostamento			Rotazione		
Ind.	N.br.	ux	uy	uz	rx	ry	rz
1090	SLU 6	-0.01126	0.67748	-0.50623	-0.0339	0.0002	0.0036
1091	SLU 6	-0.01139	0.68058	-0.50582	-0.0336	-0.0011	0.0036
1089	SLU 6	-0.01114	0.67439	-0.50552	-0.0341	0.0015	0.0036
1054	SLU 6	-0.01008	0.57392	-0.5044	-0.0342	0.0007	0.0035
1092	SLU 6	-0.01153	0.68369	-0.50433	-0.0334	-0.0023	0.0036

Spostamenti nodali con componente Uz massima

Vengono mostrati i soli 5 nodi più sollecitati.

Nodo	Cont.	Spostamento			Rotazione		
Ind.	N.br.	ux	uy	uz	rx	ry	rz
166	Eccezionale	0.01221	0.71913	0.17617	-0.0409	0.0001	0.0028
165	Eccezionale	0.01216	0.71679	0.17607	-0.0407	-0.0002	0.0027
167	Eccezionale	0.01225	0.72154	0.17596	-0.0407	0.0003	0.0028
164	Eccezionale	0.01215	0.71446	0.17586	-0.0406	-0.0002	0.0027

Nodo	Cont.	Spostamento			Rotazione		
Ind.	N.br.	ux	uy	uz	rx	ry	rz
168	Eccezionale	0.01227	0.72397	0.17566	-0.0406	0.0003	0.0028

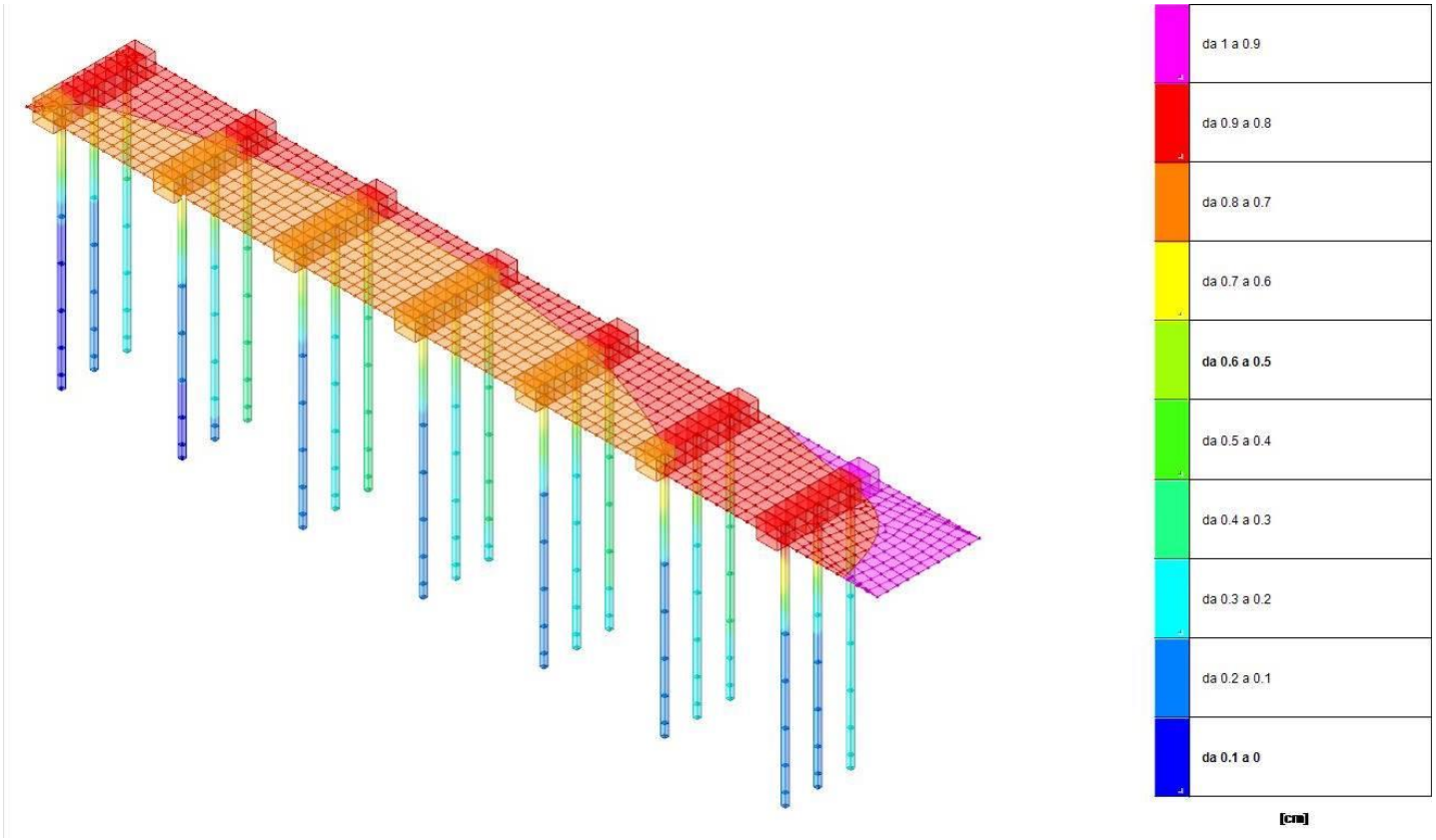


Fig.4: Massimi spostamenti orizzontali in Combinazione SLV 8

8.2 Reazioni nodali estreme

***Nodo**: Nodo sollecitato dalla reazione vincolare.*
***Ind.**: indice del nodo.*
***Cont.**: Contesto a cui si riferisce la reazione vincolare.*
***N.br.**: nome breve della condizione o combinazione di carico.*
***Reazione a traslazione**: reazione vincolare traslazionale del nodo.*
***x**: componente X della reazione vincolare del nodo. [daN]*
***y**: componente Y della reazione vincolare del nodo. [daN]*
***z**: componente Z della reazione vincolare del nodo. [daN]*
***Reazione a rotazione**: reazione vincolare rotazionale del nodo.*
***x**: componente X della reazione a rotazione del nodo. [daN*cm]*
***y**: componente Y della reazione a rotazione del nodo. [daN*cm]*
***z**: componente Z della reazione a rotazione del nodo. [daN*cm]*

Reazioni Fx minime

Vengono mostrati i soli 5 nodi più sollecitati.

Nodo	Cont.	Reazione a traslazione			Reazione a rotazione		
Ind.	N.br.	x	y	z	x	y	z
127	SLV 16	-8384	-7437	8674	0	0	-40
113	SLV 13	-8272	-2403	7036	0	0	1
114	SLV 16	-8077	-7482	7421	0	0	-41
109	SLV 15	-7710	-4918	6270	0	0	-71
110	SLV 15	-7662	-5511	5950	0	0	-72

Reazioni Fx massime

Vengono mostrati i soli 5 nodi più sollecitati.

Nodo	Cont.	Reazione a traslazione	Reazione a rotazione

Ind.	N.br.	x	y	z	x	y	z
121	SLV 3	7899	-4011	8432	0	0	-73
107	SLV 2	7743	-1704	5957	0	0	38
122	SLV 3	7676	-4397	9717	0	0	-71
125	SLV 3	7601	-6248	10295	0	0	-75
124	SLV 3	7548	-5450	10113	0	0	-72

Reazioni Fy minime

Vengono mostrati i soli 5 nodi più sollecitati.

Nodo	Cont.	Reazione a traslazione			Reazione a rotazione		
Ind.	N.br.	x	y	z	x	y	z
114	SLV 11	-3065	-18473	7211	0	0	-220
113	SLV 11	-2717	-18448	4413	0	0	-220
127	SLV 11	-3426	-18399	10033	0	0	-220
120	SLV 11	-2173	-14474	8409	0	0	-208
112	SLV 11	-3084	-14460	4518	0	0	-208

Reazioni Fy massime

Vengono mostrati i soli 5 nodi più sollecitati.

Nodo	Cont.	Reazione a traslazione			Reazione a rotazione		
Ind.	N.br.	x	y	z	x	y	z
127	SLV 6	1459	8632	5871	0	0	181
114	SLV 6	1242	8630	7032	0	0	180
113	SLV 6	973	8585	8214	0	0	181
126	SLV 6	1294	5969	6925	0	0	173
120	SLV 6	2157	5952	8387	0	0	173

Reazioni Fz minime

Vengono mostrati i soli 5 nodi più sollecitati.

Nodo	Cont.	Reazione a traslazione			Reazione a rotazione		
Ind.	N.br.	x	y	z	x	y	z
213	Eccezionale	0	0	-18779	0	0	0
110	Eccezionale	-142	-10274	-3946	0	0	-32
109	Eccezionale	-166	-9764	-3900	0	0	-33
111	Eccezionale	-102	-10899	-3858	0	0	-33
89	Eccezionale	7	959	-3845	0	0	-24

Reazioni Fz massime

Vengono mostrati i soli 5 nodi più sollecitati.

Nodo	Cont.	Reazione a traslazione			Reazione a rotazione		
Ind.	N.br.	x	y	z	x	y	z
1119	SLU 6	0	0	45004	0	0	0
213	SLV 10	0	0	28409	0	0	0
126	SLU 6	41	-10555	15723	0	0	-44
123	SLU 6	49	-8325	15602	0	0	-38
125	SLU 6	144	-9581	15588	0	0	-39

8.3 Tagli ai livelli

***Livello**: livello rispetto a cui è calcolato il taglio.*
***Nome**: nome completo del livello.*
***Cont.**: Contesto nel quale viene valutato il taglio.*
***N.br.**: nome breve della condizione o combinazione di carico.*
***Totale**: totale del taglio al livello.*
***F**: forza del taglio. [daN]*
***X**: componente lungo l'asse X globale. [daN]*
***Y**: componente lungo l'asse Y globale. [daN]*
***Z**: componente lungo l'asse Z globale. [daN]*
***Aste verticali**: contributo al taglio totale dato dalle aste verticali.*
***F**: forza del taglio. [daN]*
***X**: componente lungo l'asse X globale. [daN]*
***Y**: componente lungo l'asse Y globale. [daN]*
***Z**: componente lungo l'asse Z globale. [daN]*
***Pareti**: contributo al taglio totale dato dalle pareti e piastre generiche verticali.*
***F**: forza del taglio. [daN]*
***X**: componente lungo l'asse X globale. [daN]*
***Y**: componente lungo l'asse Y globale. [daN]*
***Z**: componente lungo l'asse Z globale. [daN]*

Livello	Cont.	Totale			Aste verticali			Pareti		
Nome	N.br.	F			F			F		
		X	Y	Z	X	Y	Z	X	Y	Z
Fondo mare	Pesi	0	0	-509804	0	0	0	0	0	0
Fondo mare	Variabile C	0	87360	-194316	0	0	0	0	0	0
Fondo mare	Eccezionale	0	149997	-4	0	0	0	0	0	0
Fondo mare	X SLV	108262	15	4494	0	0	0	0	0	0
Fondo mare	Y SLV	37	107742	-7	0	0	0	0	0	0
Fondo mare	EY SLV	0	0	0	0	0	0	0	0	0
Fondo mare	EX SLV	0	0	-1	0	0	0	0	0	0
Fondo mare	X SLD	46150	6	1916	0	0	0	0	0	0
Fondo mare	Y SLD	16	43599	-3	0	0	0	0	0	0
Fondo mare	EY SLD	0	0	0	0	0	0	0	0	0

Livello	Cont.	Totale			Aste verticali			Pareti		
Nome	N.br.	F			F			F		
		X	Y	Z	X	Y	Z	X	Y	Z
Fondo mare	EX SLD	0	0	0	0	0	0	0	0	0
Fondo mare	R Ux	1	0	0	0	0	0	0	0	0
Fondo mare	R Uy	0	1	0	0	0	0	0	0	0
Fondo mare	R Rz	0	0	0	0	0	0	0	0	0
Fondo mare	SLU 1	0	0	-509804	0	0	0	0	0	0
Fondo mare	SLU 2	0	131040	-801278	0	0	0	0	0	0
Fondo mare	SLU 3	0	0	-509804	0	0	0	0	0	0
Fondo mare	SLU 4	0	131040	-801278	0	0	0	0	0	0
Fondo mare	SLU 5	0	0	-662745	0	0	0	0	0	0
Fondo mare	SLU 6	0	131040	-954219	0	0	0	0	0	0
Fondo mare	SLU 7	0	0	-662745	0	0	0	0	0	0
Fondo mare	SLU 8	0	131040	-954219	0	0	0	0	0	0
Fondo mare	SLE RA 1	0	0	-509804	0	0	0	0	0	0
Fondo mare	SLE RA 2	0	87360	-704120	0	0	0	0	0	0
Fondo mare	SLE FR 1	0	0	-509804	0	0	0	0	0	0
Fondo mare	SLE FR 2	0	61152	-645825	0	0	0	0	0	0
Fondo mare	SLE QP 1	0	0	-509804	0	0	0	0	0	0
Fondo mare	SLE QP 2	0	52416	-626393	0	0	0	0	0	0
Fondo mare	SLU EX 1	0	149997	-509807	0	0	0	0	0	0
Fondo mare	SLD 1	-46155	39331	-628308	0	0	0	0	0	0
Fondo mare	SLD 2	-46155	39331	-628308	0	0	0	0	0	0
Fondo mare	SLD 3	-46146	65490	-628310	0	0	0	0	0	0
Fondo mare	SLD 4	-46146	65490	-628310	0	0	0	0	0	0
Fondo mare	SLD 5	-13861	8815	-626966	0	0	0	0	0	0
Fondo mare	SLD 6	-13861	8815	-626965	0	0	0	0	0	0
Fondo mare	SLD 7	-13830	96013	-626971	0	0	0	0	0	0
Fondo mare	SLD 8	-13830	96013	-626971	0	0	0	0	0	0
Fondo mare	SLD 9	13830	8819	-625816	0	0	0	0	0	0
Fondo mare	SLD 10	13830	8819	-625816	0	0	0	0	0	0
Fondo mare	SLD 11	13861	96017	-625822	0	0	0	0	0	0
Fondo mare	SLD 12	13861	96017	-625821	0	0	0	0	0	0
Fondo mare	SLD 13	46146	39342	-624477	0	0	0	0	0	0
Fondo mare	SLD 14	46146	39342	-624477	0	0	0	0	0	0
Fondo mare	SLD 15	46155	65501	-624479	0	0	0	0	0	0
Fondo mare	SLD 16	46155	65501	-624479	0	0	0	0	0	0
Fondo mare	SLV 1	-108273	20078	-630885	0	0	0	0	0	0
Fondo mare	SLV 2	-108273	20078	-630885	0	0	0	0	0	0
Fondo mare	SLV 3	-108251	84723	-630889	0	0	0	0	0	0
Fondo mare	SLV 4	-108251	84723	-630889	0	0	0	0	0	0
Fondo mare	SLV 5	-32515	-55330	-627736	0	0	0	0	0	0
Fondo mare	SLV 6	-32515	-55330	-627734	0	0	0	0	0	0
Fondo mare	SLV 7	-32442	160153	-627749	0	0	0	0	0	0
Fondo mare	SLV 8	-32442	160153	-627748	0	0	0	0	0	0
Fondo mare	SLV 9	32442	-55321	-625039	0	0	0	0	0	0
Fondo mare	SLV 10	32442	-55321	-625038	0	0	0	0	0	0
Fondo mare	SLV 11	32515	160162	-625053	0	0	0	0	0	0
Fondo mare	SLV 12	32515	160162	-625051	0	0	0	0	0	0
Fondo mare	SLV 13	108251	20109	-621898	0	0	0	0	0	0
Fondo mare	SLV 14	108251	20109	-621898	0	0	0	0	0	0
Fondo mare	SLV 15	108273	84754	-621902	0	0	0	0	0	0
Fondo mare	SLV 16	108273	84754	-621901	0	0	0	0	0	0
Fondo mare	CRTFP Ux+	1	0	0	0	0	0	0	0	0
Fondo mare	CRTFP Ux-	-1	0	0	0	0	0	0	0	0
Fondo mare	CRTFP Uy+	0	1	0	0	0	0	0	0	0
Fondo mare	CRTFP Uy-	0	-1	0	0	0	0	0	0	0
Fondo mare	CRTFP Rz+	0	0	0	0	0	0	0	0	0
Fondo mare	CRTFP Rz-	0	0	0	0	0	0	0	0	0

8.4 Risposta modale

***Modo**: identificativo del modo di vibrare.*
***Periodo**: periodo. [s]*
***Massa X**: massa partecipante in direzione globale X. Il valore è adimensionale.*
***Massa Y**: massa partecipante in direzione globale Y. Il valore è adimensionale.*
***Massa Z**: massa partecipante in direzione globale Z. Il valore è adimensionale.*
***Massa rot. X**: massa rotazionale partecipante attorno la direzione globale X. Il valore è adimensionale.*
***Massa rot. Y**: massa rotazionale partecipante attorno la direzione globale Y. Il valore è adimensionale.*
***Massa rot. Z**: massa rotazionale partecipante attorno la direzione globale Z. Il valore è adimensionale.*
***Massa sX**: massa partecipante in direzione Sisma X. Il valore è adimensionale.*
***Massa sY**: massa partecipante in direzione Sisma Y. Il valore è adimensionale.*

Totale masse partecipanti:

Traslazione X: 1
Traslazione Y: 1
Traslazione Z: 0
Rotazione X: 1
Rotazione Y: 1
Rotazione Z: 1

Modo	Periodo	Massa X	Massa Y	Massa Z	Massa rot. X	Massa rot. Y	Massa rot. Z	Massa sX	Massa sY
1	0.355253275	0.000000272	0.696970499	0	0.696970499	0.000000272	0.374291709	0.000000272	0.696970499

Modo	Periodo	Massa X	Massa Y	Massa Z	Massa rot. X	Massa rot. Y	Massa rot. Z	Massa sX	Massa sY
2	0.320021983	0.000002558	0.303017896	0	0.303017896	0.000002558	0.021373138	0.000002558	0.303017896
3	0.297960372	0.999996005	0.000000198	0	0.000000198	0.999996005	0.604271531	0.999996005	0.000000198
4	0.111094938	0	0.000000562	0	0.000000562	0	0.000058839	0	0.000000562
5	0.045824756	0	0.000010596	0	0.000010596	0	0.000003734	0	0.000010596
6	0.027839346	0.000001135	0	0	0	0.000001135	0.000000686	0.000001135	0
7	0.024934531	0	0.000000034	0	0.000000034	0	0.000000256	0	0.000000034
8	0.016364592	0	0.00000019	0	0.00000019	0	0.000000062	0	0.00000019
9	0.013615979	0.000000006	0	0	0	0.000000006	0.000000004	0.000000006	0
10	0.008387982	0.000000017	0	0	0	0.000000017	0.00000001	0.000000017	0

8.5 Equilibrio globale forze

***Contributo**: Nome attribuito al sistema risultante.*
***Fx**: Componente X di forza del sistema risultante. [daN]*
***Fy**: Componente Y di forza del sistema risultante. [daN]*
***Fz**: Componente Z di forza del sistema risultante. [daN]*
***Mx**: Componente di momento attorno l'asse X del sistema risultante. [daN*cm]*
***My**: Componente di momento attorno l'asse Y del sistema risultante. [daN*cm]*
***Mz**: Componente di momento attorno l'asse Z del sistema risultante. [daN*cm]*

Bilancio in condizione di carico: Pesi strutturali

Contributo	Fx	Fy	Fz	Mx	My	Mz
Forze applicate	0	0	-604831.994	-2630725678	1971809345	0
Reazioni	0	0	604831.994	2630725678	-1971809345	0
P-Delta	0	0	0	0	0	0
Totale	0	0	0	0	0	0

Bilancio in condizione di carico: Variabile C

Contributo	Fx	Fy	Fz	Mx	My	Mz
Forze applicate	0	87359.804	-207684.236	-898943177	693575698	291779571
Reazioni	0	-87359.804	207684.236	898943177	-693575698	-291779571
P-Delta	0	0	0	0	0	0
Totale	0	0	0	0	0	0

Bilancio in condizione di carico: Eccezionale

Contributo	Fx	Fy	Fz	Mx	My	Mz
Forze applicate	0	149996.555	0	7499828	0	495197284
Reazioni	0	-149996.555	0	-7499828	0	-495197284
P-Delta	0	0	0	0	0	0
Totale	0	0	0	0	0	0

Bilancio in condizione di carico: Sisma X SLV

Contributo	Fx	Fy	Fz	Mx	My	Mz
Forze applicate	108262.107	0	0	0	-5413105	-470880016
Reazioni	-108262.107	0	0	0	5413105	470880016
P-Delta	0	0	0	0	0	0
Totale	0	0	0	0	0	0

Bilancio in condizione di carico: Sisma Y SLV

Contributo	Fx	Fy	Fz	Mx	My	Mz
Forze applicate	0	108262.107	0	5413105	0	357969218
Reazioni	0	-108262.107	0	-5413105	0	-357969218
P-Delta	0	0	0	0	0	0
Totale	0	0	0	0	0	0

Bilancio in condizione di carico: Eccentricità Y per sisma X SLV

Contributo	Fx	Fy	Fz	Mx	My	Mz
Forze applicate	0	0	0	0	0	-2702881
Reazioni	0	0	0	0	0	2702881
P-Delta	0	0	0	0	0	0
Totale	0	0	0	0	0	0

Bilancio in condizione di carico: Eccentricità X per sisma Y SLV

Contributo	Fx	Fy	Fz	Mx	My	Mz
Forze applicate	0	0	0	0	0	22518468
Reazioni	0	0	0	0	0	-22518468
P-Delta	0	0	0	0	0	0
Totale	0	0	0	0	0	0

Bilancio in condizione di carico: Sisma X SLD

Contributo	Fx	Fy	Fz	Mx	My	Mz
Forze applicate	46150.318	0	0	0	-2307516	-200728245
Reazioni	-46150.318	0	0	0	2307516	200728245
P-Delta	0	0	0	0	0	0
Totale	0	0	0	0	0	0

Bilancio in condizione di carico: Sisma Y SLD

Contributo	Fx	Fy	Fz	Mx	My	Mz
Forze applicate	0	42694.081	0	2134704	0	141168201
Reazioni	0	-42694.081	0	-2134704	0	-141168201
P-Delta	0	0	0	0	0	0
Totale	0	0	0	0	0	0

Bilancio in condizione di carico: Eccentricità Y per sisma X SLD

Contributo	Fx	Fy	Fz	Mx	My	Mz
Forze applicate	0	0	0	0	0	-1152193
Reazioni	0	0	0	0	0	1152193
P-Delta	0	0	0	0	0	0
Totale	0	0	0	0	0	0

Bilancio in condizione di carico: Eccentricità X per sisma Y SLD

Contributo	Fx	Fy	Fz	Mx	My	Mz
Forze applicate	0	0	0	0	0	8880349
Reazioni	0	0	0	0	0	-8880349
P-Delta	0	0	0	0	0	0
Totale	0	0	0	0	0	0

Bilancio in condizione di carico: Rig. Ux

Contributo	Fx	Fy	Fz	Mx	My	Mz
Forze applicate	1	0	0	0	-50	-4350
Reazioni	-1	0	0	0	50	4350
P-Delta	0	0	0	0	0	0
Totale	0	0	0	0	0	0

Bilancio in condizione di carico: Rig. Uy

Contributo	Fx	Fy	Fz	Mx	My	Mz
Forze applicate	0	1	0	50	0	3307
Reazioni	0	-1	0	-50	0	-3307
P-Delta	0	0	0	0	0	0
Totale	0	0	0	0	0	0

Bilancio in condizione di carico: Rig. Rz

Contributo	Fx	Fy	Fz	Mx	My	Mz
Forze applicate	0	0	0	0	0	1
Reazioni	0	0	0	0	0	-1
P-Delta	0	0	0	0	0	0
Totale	0	0	0	0	0	0

8.6 Risposta di spettro

***Spettro**: condizione elementare corrispondente allo spettro.*
***N.b.**: nome breve della condizione elementare.*
***Fx**: componente della forza lungo l'asse X. [daN]*
***Fy**: componente della forza lungo l'asse Y. [daN]*
***Fz**: componente della forza lungo l'asse Z. [daN]*
***Mx**: componente della coppia attorno all'asse X. [daN*cm]*
***My**: componente della coppia attorno all'asse Y. [daN*cm]*
***Mz**: componente della coppia attorno all'asse Z. [daN*cm]*
***Max X**: massima reazione lungo l'asse X.*
***Valore**: valore massimo della reazione. [daN]*
***Angolo**: angolo d'ingresso del sisma che provoca il valore massimo della reazione. [deg]*
***Max Y**: massima reazione lungo l'asse Y.*
***Valore**: valore massimo della reazione. [daN]*
***Angolo**: angolo d'ingresso del sisma che provoca il valore massimo della reazione. [deg]*
***Max Z**: massima reazione lungo l'asse Z.*
***Valore**: valore massimo della reazione. [daN]*
***Angolo**: angolo d'ingresso del sisma che provoca il valore massimo della reazione. [deg]*

Spettro	Fx	Fy	Fz	Mx	My	Mz	Max X		Max Y		Max Z	
N.b.							Valore	Angolo	Valore	Angolo	Valore	Angolo
X SLV	108261.86	66.06	0	3303	5.413E06	4.710E08	108261.86	0	95567.91	90	0	0
Y SLV	66.06	95567.91	0	4.778E06	3303	3.354E08	108261.86	0	95567.91	90	0	0
X SLD	46150.22	27.9	0	1394.81	2.308E06	2.008E08	46150.22	0	38453.55	90	0	0
Y SLD	27.9	38453.55	0	1.923E06	1394.81	1.332E08	46150.22	0	38453.55	90	0	0

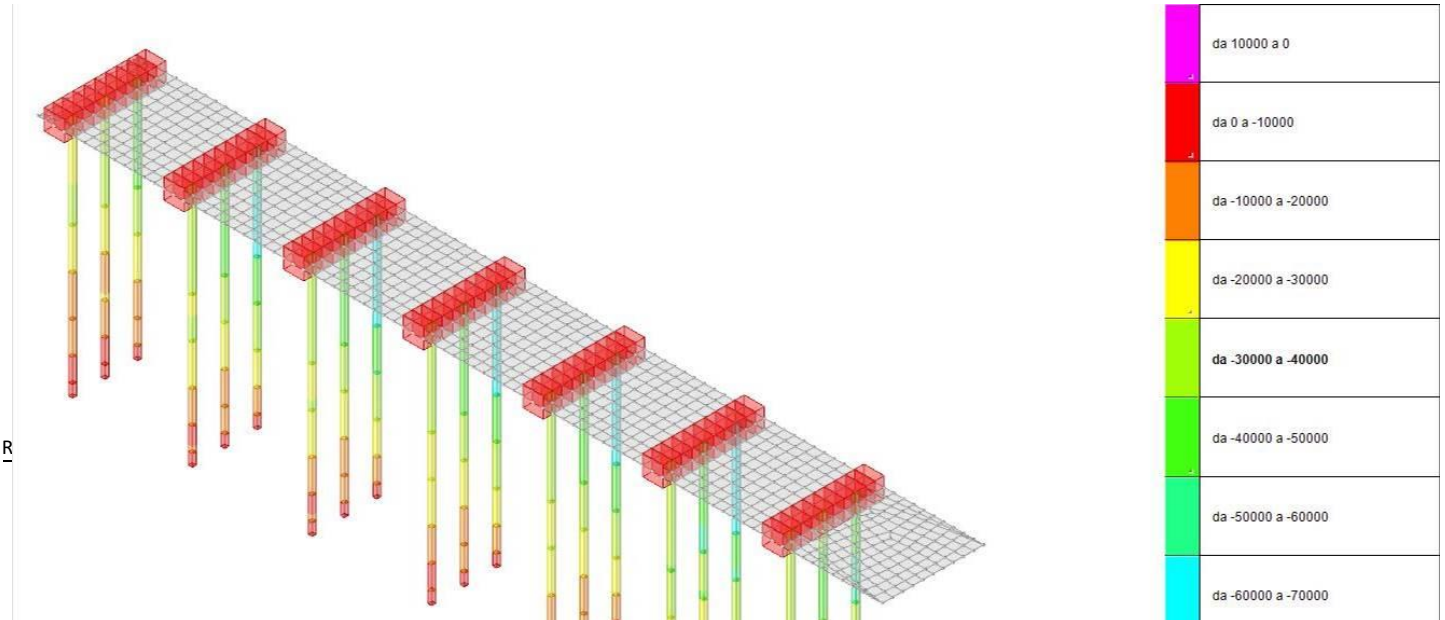


Fig.5: Massime sollecitazioni assiali F1(N) in Combinazione SLU ed SLV

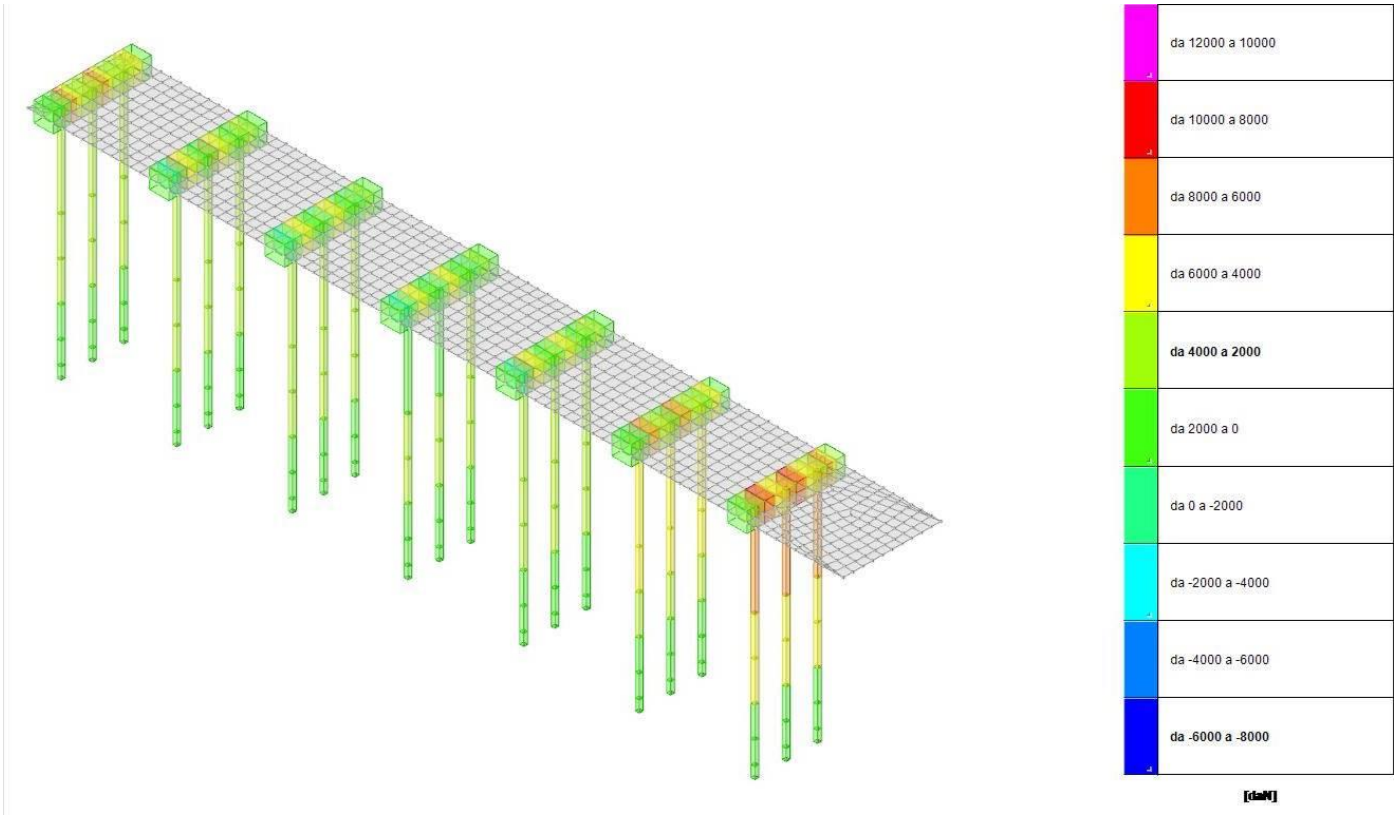


Fig.6a: Massime sollecitazioni taglianti F2 in Combinazione SLU ed SLV

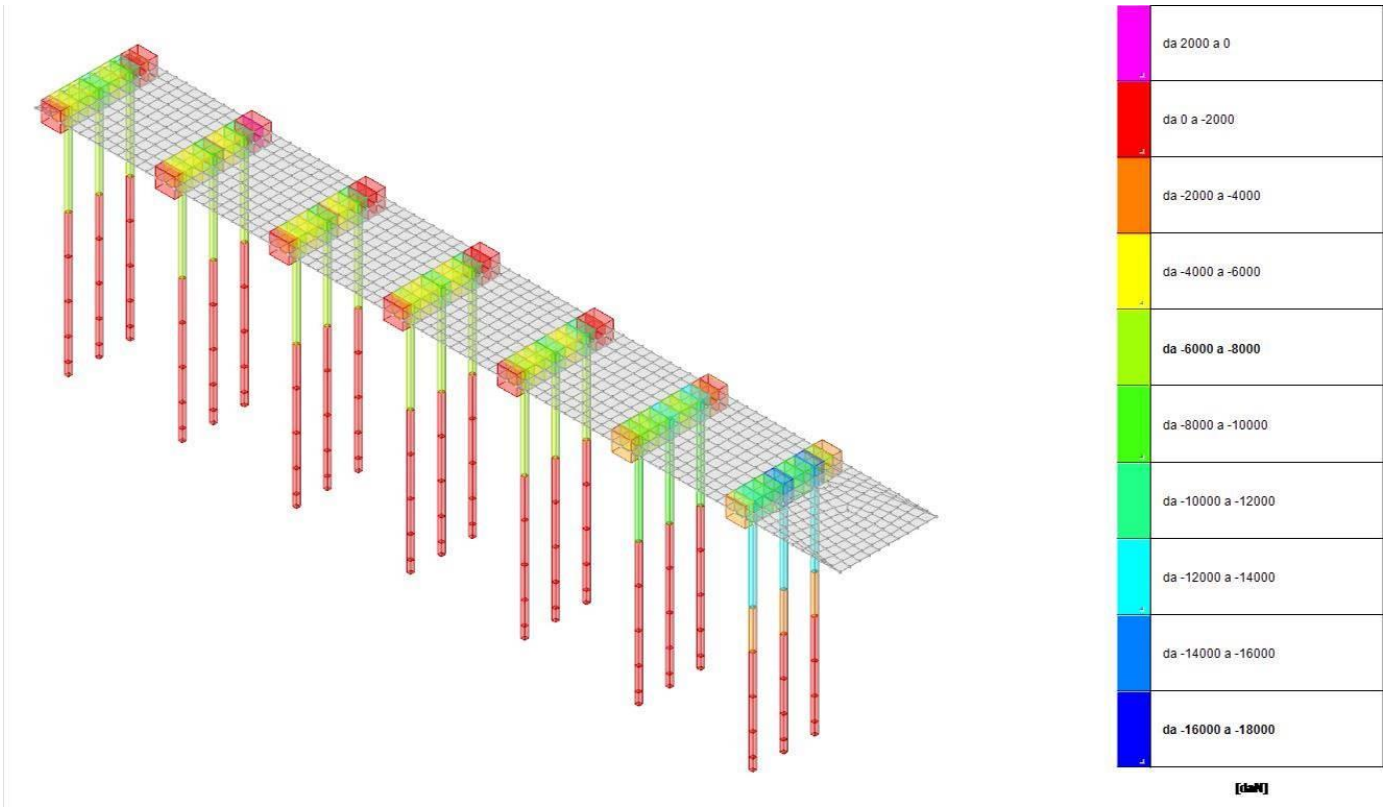


Fig.6b: Minime sollecitazioni taglianti F2 in Combinazione SLU ed SLV

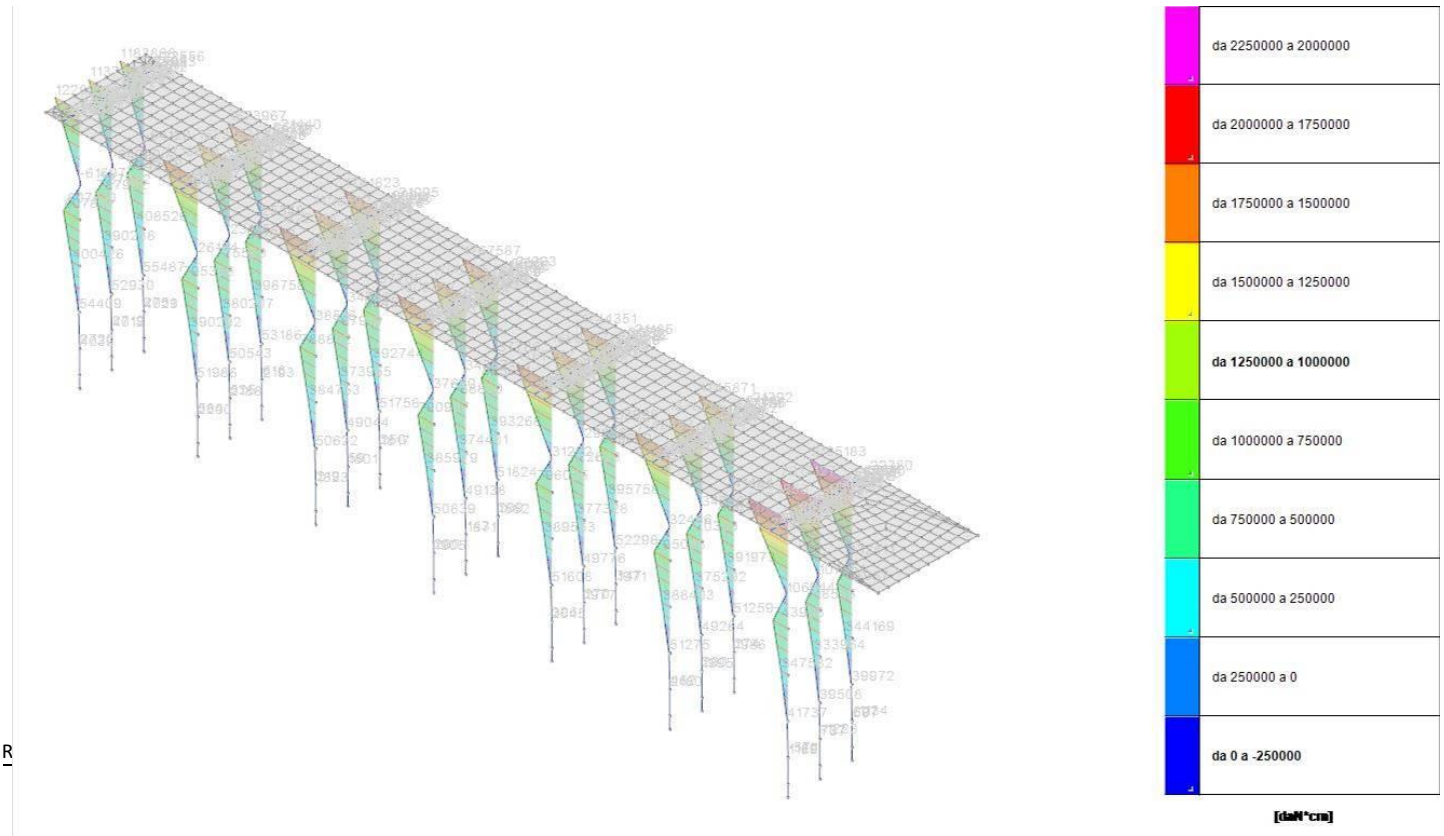


Fig.7a: Massime sollecitazioni flettenti M2 in Combinazione SLU ed SLV

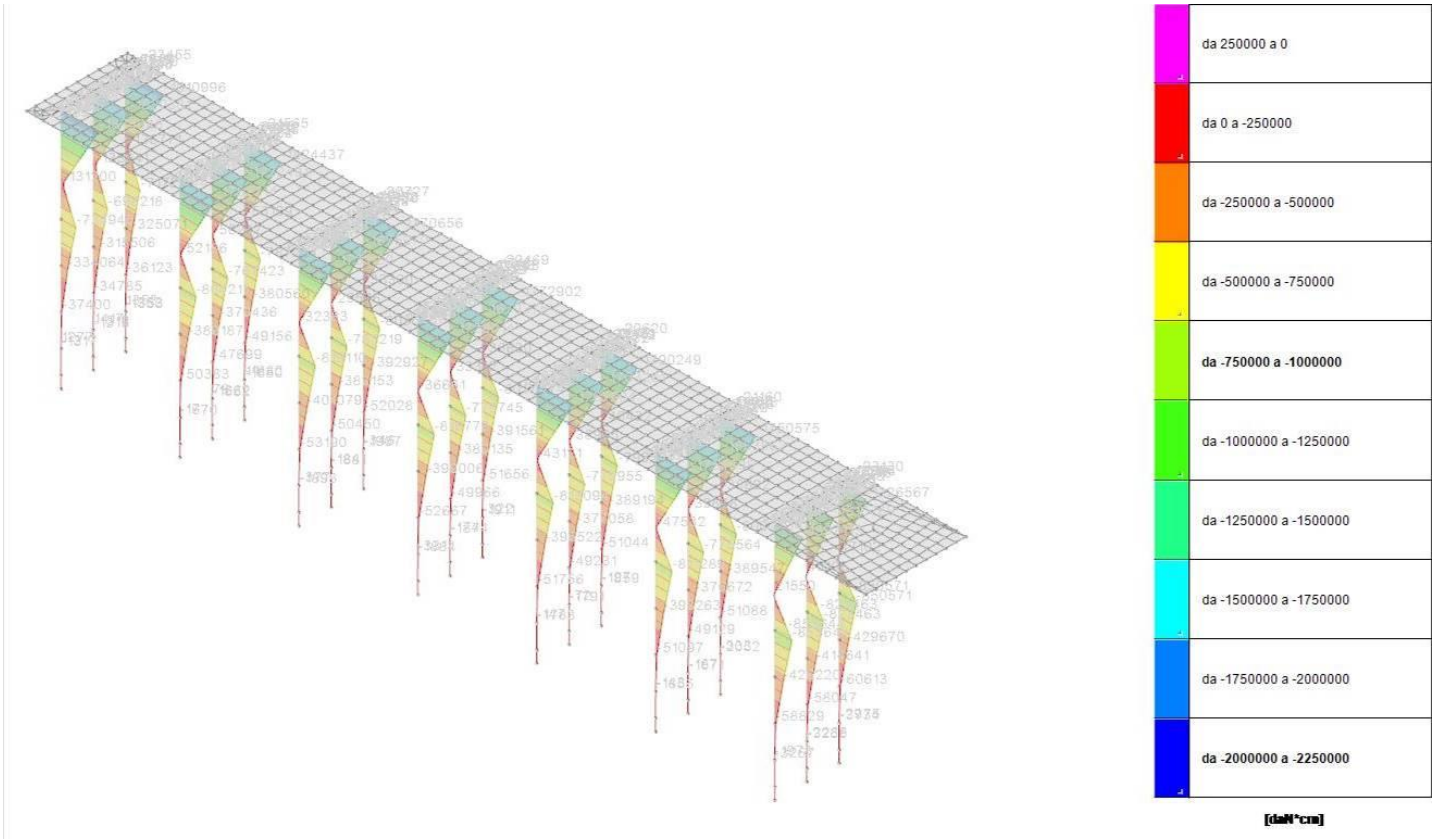


Fig.7b: Minime sollecitazioni flettenti M2 in Combinazione SLU ed SLV

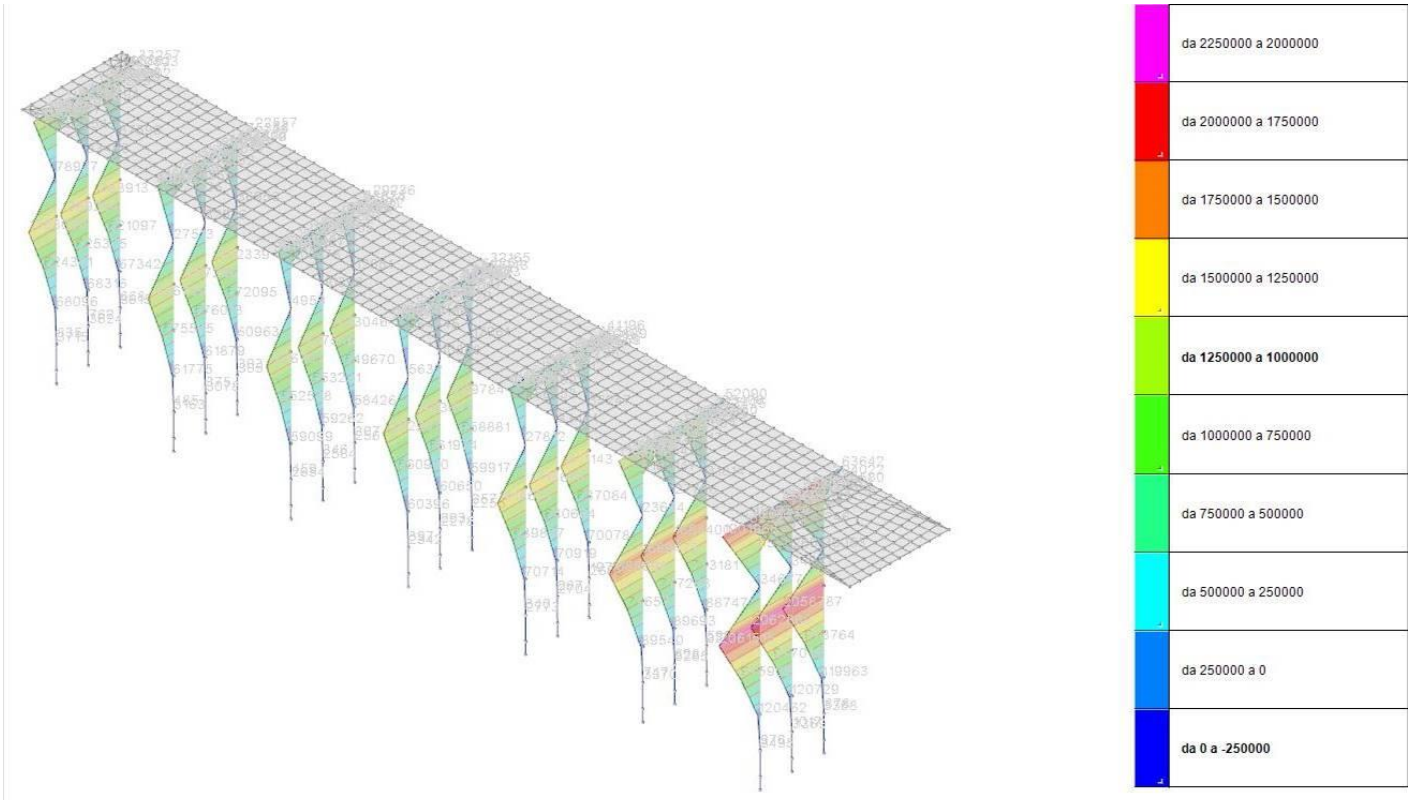


Fig.8a: Massime sollecitazioni flettenti M3 in Combinazione SLU ed SLV

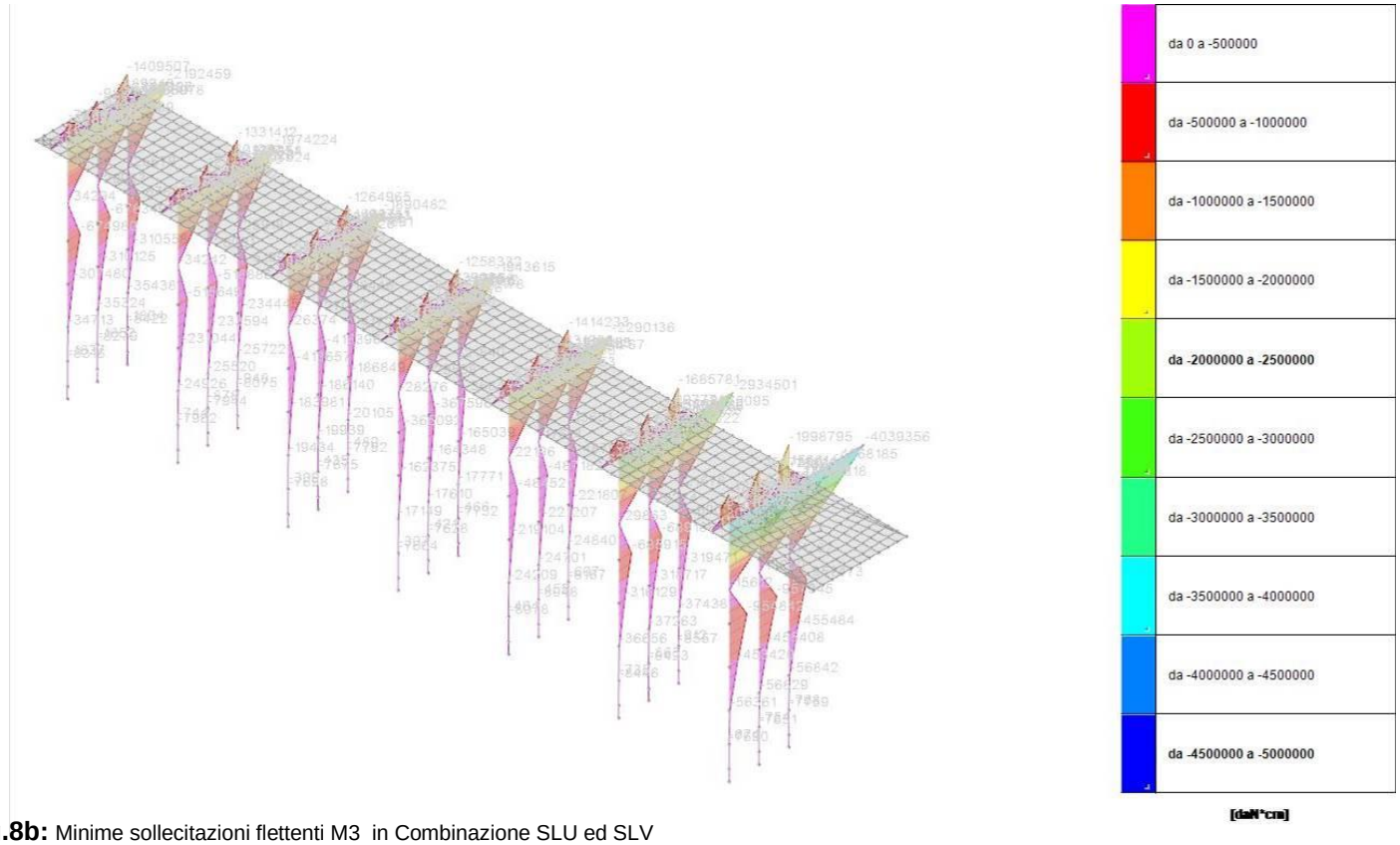


Fig.8b: Minime sollecitazioni flettenti M3 in Combinazione SLU ed SLV

9 Verifiche

9.1 Verifica risposta strutturale sismica

Le unità di misura elencate nel capitolo sono in [daN] ove non espressamente specificato.

Contesto*: contesto di verifica.*
Rapporto V (%)*: rapporto tra il modulo del taglio della struttura con fondazioni e quello della struttura incastrata con suolo A.*
Rapporto N (%)*: rapporto tra lo sforzo normale della struttura con fondazioni e quello della struttura incastrata con suolo A.*

***Verifica**: stato di verifica.*
***Struttura con fondazioni**: forza risultante trasmessa all'estradosso della fondazione.*
***Fx**: componente della forza lungo l'asse X globale. [daN]*
***Fy**: componente della forza lungo l'asse Y globale. [daN]*
***Fz**: componente della forza lungo l'asse Z globale. [daN]*
***Struttura incastrata con suolo A**: forza risultante trasmessa all'estradosso della fondazione.*

Verifica risposta strutturale sismica

Verifiche condotte secondo D.M. 17-01-18 (N.T.C.)

Verifiche § 7.2.6 b)

Contesto	Struttura con fondazioni			Struttura incastrata con suolo A			Rapporto V (%)	Rapporto N (%)	Verifica
	Fx	Fy	Fz	Fx	Fy	Fz			
SLD 1	-43125	39745	-604126	-18766	46961	-603478	116	100.1	Si
SLD 2	-43125	39745	-604126	-18766	46961	-603478	116	100.1	Si
SLD 3	-43133	64473	-602831	-18766	57323	-603478	128.6	99.9	Si
SLD 4	-43133	64473	-602831	-18766	57323	-603478	128.6	99.9	Si
SLD 7	-12954	93320	-601319	-5631	69388	-603478	135.3	99.6	Si
SLD 8	-12954	93320	-601319	-5631	69388	-603478	135.3	99.6	Si
SLD 11	12924	93319	-601319	5629	69367	-603478	135.4	99.6	Si
SLD 12	12924	93319	-601319	5629	69367	-603478	135.4	99.6	Si
SLD 13	43133	39741	-604126	18766	46890	-603478	116.1	100.1	Si
SLD 14	43133	39741	-604126	18766	46890	-603478	116.1	100.1	Si
SLD 15	43125	64469	-602830	18766	57253	-603478	128.7	99.9	Si
SLD 16	43125	64469	-602830	18766	57253	-603478	128.7	99.9	Si
SLV 1	-101165	21560	-605047	-43933	40106	-603478	173.9	100.3	Si
SLV 2	-101165	21560	-605047	-43933	40106	-603478	173.9	100.3	Si
SLV 3	-101184	82662	-601909	-43934	64274	-603478	167.8	99.7	Si
SLV 4	-101184	82662	-601909	-43934	64274	-603478	167.8	99.7	Si
SLV 5	-30322	-49728	-608708	-13179	11852	-603478	328.6	100.9	Si
SLV 6	-30322	-49728	-608708	-13179	11852	-603478	328.6	100.9	Si
SLV 7	-30383	153944	-598248	-13182	92411	-603478	168.1	99.1	Si
SLV 8	-30383	153944	-598248	-13182	92411	-603478	168.1	99.1	Si
SLV 9	30383	-49731	-608708	13182	11802	-603478	329.4	100.9	Si
SLV 10	30383	-49731	-608708	13182	11802	-603478	329.4	100.9	Si
SLV 11	30322	153942	-598248	13179	92361	-603478	168.2	99.1	Si
SLV 12	30322	153942	-598248	13179	92361	-603478	168.2	99.1	Si
SLV 13	101184	21552	-605047	43934	39940	-603478	174.2	100.3	Si
SLV 14	101184	21552	-605047	43934	39940	-603478	174.2	100.3	Si
SLV 15	101165	82654	-601909	43933	64107	-603478	168.1	99.7	Si
SLV 16	101165	82654	-601909	43933	64107	-603478	168.1	99.7	Si

9.2 Verifiche pali

Le unità di misura elencate nel capitolo sono in [cm, daN, deg] ove non espressamente specificato.

***Quota**: quota sezione. [cm]*
***Filo**: numero del filo (se assegnato).*
***Ind.**: indice del palo.*
***Xp**: coordinata x del palo che ha prodotto la verifica peggiore. [cm]*
***Yp**: coordinata y del palo che ha prodotto la verifica peggiore. [cm]*
***As**: area complessiva delle armature verticali. [cm²]*
***Cop.**: distanza baricentrica minima delle barre dal lembo esterno. [cm]*
***N**: sforzo normale. [daN]*
***|M|**: momento agente in valore assoluto. [daN*cm]*
***Mu**: momento ultimo. [daN*cm]*
***Dom.**: tipo di dominio utilizzato in questa sezione (P=plastico; SE=sostanzialmente elastico NTC18 §7.4.1).*
***SnmFcd**: tensione normale media su Fcd (minore di 0.45, NTC18 §7.2.5).*
***MultM**: fattore di sovraresistenza sul momento flettente (NTC18 §7.2.5).*
***Comb.**: combinazione peggiore.*
***C.S.**: coefficiente sicurezza minimo.*
***Verifica**: stato di verifica.*
***Mx**: momento Mx. [daN*cm]*
***My**: momento My. [daN*cm]*
***Sc,max**: tensione massima sul calcestruzzo. [daN/cm²]*
***Sf,max**: tensione massima sull'acciaio. [daN/cm²]*
***Fess**: sezione fessurata.*
***Wka,mm**: apertura delle fessure ammissibile, in [mm].*
***Wk,mm**: apertura delle fessure, in [mm].*
***Sm,cm**: distanza media fra le fessure, in [cm].*
***Tx**: taglio Tx. [daN]*
***Ty**: taglio Ty. [daN]*
***MultT**: fattore di sovraresistenza sul taglio.*
***Vrd,4.1.23**: resistenza calcestruzzo non staffato. [daN]*
***VRsd,4.1.27**: resistenza staffe. [daN]*

VRcd,4.1.28*: resistenza delle bielle compresse. [daN]*
Cotg*: cotagente delle bielle.*
γR laterale*: coefficiente parziale di sicurezza sulla resistenza laterale.*
γR punta*: coefficiente parziale di sicurezza sulla resistenza alla punta.*
Pl,d*: portanza laterale di progetto. [daN]*
Pp,d*: portanza di punta di progetto. [daN]*
Def.vol*: deformazione volumetrica (usata per formula portanza punta secondo Vesic).*
Cnd*: condizione peggiore a breve termine (BT) o lungo termine (LT).*
N*: sforzo normale in testa. [daN]*
Ed*: azione totale di progetto. [daN]*
Rd*: resistenza totale di progetto. [daN]*
C.S.*: coefficiente di sicurezza.*
γR trasversale*: coeff. parziale di sicurezza sulla resistenza trasversale.*
LRF*: fattore di riduzione per liquefazione.*
Cnd*: condizione di calcolo: D calcolo condotto per la condizione drenata e terreno incoerente, ND calcolo condotto per la condizione non drenata e terreno eminentemente coesivo.*
Rd*: resistenza trasversale di progetto. [daN]*
Ed (T)*: azione trasversale di progetto. [daN]*
C.S.*: coefficiente di sicurezza Rd/Ed.*
Tipo*: tipologia del palo o micropalo : TL a testa libera, TI testa incastrata.*
L.frs.*: larghezza del fronte di spinta. [cm]*
L.tr.lib.*: lunghezza del tratto libero. [cm]*
L.tr.inf.*: lunghezza del tratto infisso nel terreno. [cm]*
Coes.*: coesione non drenata di progetto. [daN/cm²]*
Fi*: angolo di attrito interno di progetto. [deg]*
P.spec*: peso specifico del terreno di progetto. [daN/cm³]*
T max*: sforzo trasversale massimo al collasso. [daN]*
Mecc.coll.*: meccanismo di collasso: PC palo corto (nessuna cerniera), PI palo intermedio (una cerniera), PL_L palo lungo libero (cerniera lungo il fusto), PL_V palo lungo vincolato (doppia cerniera).*
M.plast.sup.*: momento di plasticizzazione della cerniera plastica superiore o momento massimo lungo il fusto in caso di palo corto. [daN*cm]*
Quota sup.*: quota cerniera plastica superiore o quota del momento massimo lungo il fusto in caso di palo corto. [cm]*
N sup.*: sforzo normale di calcolo alla quota superiore. [daN]*
M.plast.inf.*: momento di plasticizzazione della cerniera plastica inferiore. [daN*cm]*
Quota inf.*: quota cerniera plastica inferiore. [cm]*
N inf.*: sforzo normale di calcolo alla quota inferiore. [daN]*

Trivellato D60 filo 4

Verifiche effettuate secondo D.M. 17-01-18, Circolare 7 21-01-19

Caratteristiche geometriche

Diametro 60
Lunghezza 1200

Caratteristiche dei materiali

Calcestruzzo C35/45 Rck 450
Acciaio B450C fyk,m: 4500

Verifiche a pressoflessione

Quota	Filo	Ind.	Xp	Yp	As	Cop.	N	|M|	Mu	Dom.	SnmFcd	MultM	Comb.	C.S.	Verifica
0	4	-	1339.99	4189.84	74.33	7.3	-11213	1391683	6201054	P			SLU 2	4.46	Si
0	4	-	1339.99	4189.84	74.33	7.3	374	1625872	5586592	P			SLU EX 1	3.44	Si
0	4	-	1339.99	4189.84	74.33	7.3	-8951	1332626	4482742	SE			SLD 8	3.36	Si
0	4	-	1339.99	4189.84	74.33	7.3	-2054	2319940	4108577	SE			SLV 8	1.77	Si
-123	4	-	1339.99	4189.84	112.03	7	-17042	827562	9162629	P			SLU 6	11.07	Si
-123	4	-	1339.99	4189.84	112.03	7	-497	920348	7993804	P			SLU EX 1	8.69	Si
-123	4	-	1339.99	4189.84	112.03	7	-9822	781130	6913790	SE			SLD 8	8.85	Si
-123	4	-	1339.99	4189.84	112.03	7	-2924	1349630	5979023	SE			SLV 8	4.43	Si
-246	4	-	1339.99	4189.84	37.7	7	-18174	267131	5165431	P			SLU 6	19.34	Si
-246	4	-	1339.99	4189.84	37.7	7	-1367	223887	3510075	P			SLU EX 1	15.68	Si
-246	4	-	1339.99	4189.84	37.7	7	-15478	287665	4322459	SE			SLD 4	15.03	Si
-246	4	-	1339.99	4189.84	37.7	7	-3795	393978	2661708	SE			SLV 8	6.76	Si
-369	4	-	1339.99	4189.84	37.7	7	-13824	419913	5172033	P			SLU 2	12.32	Si
-369	4	-	1339.99	4189.84	37.7	7	-2238	502707	3410904	P			SLU EX 1	6.79	Si
-369	4	-	1339.99	4189.84	37.7	7	-10613	363694	3959371	SE			SLD 12	10.89	Si
-369	4	-	1339.99	4189.84	37.7	7	-2437	631726	2394368	SE			SLV 12	3.79	Si
-493	4	-	1339.99	4189.84	37.7	7	-10739	835459	3981957	P			SLU 2	4.77	Si
-493	4	-	1339.99	4189.84	37.7	7	-1845	1008773	3264779	P			SLU EX 1	3.24	Si
-493	4	-	1339.99	4189.84	37.7	7	-8274	743509	2739358	SE			SLD 12	3.68	Si
-493	4	-	1339.99	4189.84	37.7	7	-1998	1318129	2296032	SE			SLV 12	1.74	Si
-677	4	-	1339.99	4189.84	37.7	7	-8176	383662	4527626	P			SLU 2	11.8	Si
-677	4	-	1339.99	4189.84	37.7	7	-1906	462019	3392054	P			SLU EX 1	7.34	Si
-677	4	-	1339.99	4189.84	37.7	7	-6438	343022	3192769	SE			SLD 12	9.31	Si
-677	4	-	1339.99	4189.84	37.7	7	-2014	610212	2370494	SE			SLV 12	3.88	Si
-801	4	-	1339.99	4189.84	37.7	7	-12482	166130	5021918	P			SLU 6	30.23	Si
-801	4	-	1339.99	4189.84	37.7	7	-2777	198740	4072689	P			SLU EX 1	20.49	Si
-801	4	-	1339.99	4189.84	37.7	7	-7823	151564	4326101	SE			SLD 8	28.54	Si
-801	4	-	1339.99	4189.84	37.7	7	-2885	263792	2729108	SE			SLV 12	10.35	Si
-924	4	-	1339.99	4189.84	37.7	7	-9793	6452	410971	P			SLU 5	63.7	Si

Quota	Filo	Ind.	Xp	Yp	As	Cop.	N	|M|	Mu	Dom.	SnmFcd	MultM	Comb.	C.S.	Verifica
-924	4	-	1339.99	4189.84	37.7	7	-2422	30841	4955799	P			SLU EX 1	160.69	Si
-924	4	-	1339.99	4189.84	37.7	7	-8841	10815	763150	SE			SLD 5	70.56	Si
-924	4	-	1339.99	4189.84	37.7	7	-11447	27018	1452123	SE			SLV 5	53.75	Si
-1047	4	-	1339.99	4189.84	37.7	7	-7380	1110	93796	P			SLU 5	84.53	Si
-1047	4	-	1339.99	4189.84	37.7	7	-2598	5915	1420574	P			SLU EX 1	240.16	Si
-1047	4	-	1339.99	4189.84	37.7	7	-6464	855	82525	SE			SLD 5	96.5	Si
-1047	4	-	1339.99	4189.84	37.7	7	-8035	3114	241804	SE			SLV 5	77.64	Si
-1170	4	-	1339.99	4189.84	0	0	-4986	0	0	P			SLU 5	95.53	Si
-1170	4	-	1339.99	4189.84	0	0	-2780	0	0	P			SLU EX 1	171.33	Si
-1170	4	-	1339.99	4189.84	0	0	-4105	0	0	SE			SLD 5	116.03	Si
-1170	4	-	1339.99	4189.84	0	0	-4643	0	0	SE			SLV 5	102.58	Si

Verifiche delle tensioni nella famiglia Rara

Tensione limite del calcestruzzo: 224.1
Tensione limite dell'acciaio: 3600
Coefficiente di omogeneizzazione impiegato: Es / Ec = 5.95

Quota	Filo	Ind.	Xp	Yp	Mx	My	N	Comb.	Sc,max	Mx	My	N	Comb.	Sf,max	Verifica
0	4	-	1339.99	4189.84	-890082	-362396	-12695	SLE RA 2	-73.3	-890082	-362396	-12695	SLE RA 2	658.3	Si
-123	4	-	1339.99	4189.84	-501211	-257703	-13565	SLE RA 2	-35.1	-501211	-257703	-13565	SLE RA 2	217	Si
-246	4	-	1339.99	4189.84	-112341	-153010	-14436	SLE RA 2	-13	-112341	-153010	-14436	SLE RA 2	9.4	Si
-369	4	-	1339.99	4189.84	276530	-48317	-15307	SLE RA 2	-17.3	276530	-48317	-15307	SLE RA 2	25.8	Si
-493	4	-	1339.99	4189.84	556546	37001	-11877	SLE RA 2	-54.6	556546	37001	-11877	SLE RA 2	544.5	Si
-677	4	-	1339.99	4189.84	254780	34959	-8978	SLE RA 2	-14.2	254780	34959	-8978	SLE RA 2	33.5	Si
-801	4	-	1339.99	4189.84	109548	18690	-9848	SLE RA 2	-8.1	109548	18690	-9848	SLE RA 2	2.8	Si
-924	4	-	1339.99	4189.84	16886	6811	-6588	SLE RA 2	-3	16886	6811	-6588	SLE RA 2	-9.3	Si
-1047	4	-	1339.99	4189.84	52	852	-5677	SLE RA 1	-1.9	-3223	1319	-5107	SLE RA 2	-9.3	Si
-1170	4	-	1339.99	4189.84	0	0	-3835	SLE RA 1	-1.4	0	0	0		0	Si

Verifiche delle tensioni nella famiglia Quasi permanenti

Tensione limite del calcestruzzo: 168.1
Coefficiente di omogeneizzazione impiegato: Es * (1 + φ) / Ec = 5.95
Coefficiente di viscosità: φ = 0

Quota	Filo	Ind.	Xp	Yp	Mx	My	N	Comb.	Sc,max	Verifica
0	4	-	1339.99	4189.84	-538648	-322906	-13881	SLE QP 2	-46.8	Si
-123	4	-	1339.99	4189.84	-304077	-228746	-14751	SLE QP 2	-18.5	Si
-246	4	-	1339.99	4189.84	-69507	-134586	-15622	SLE QP 2	-11.7	Si
-369	4	-	1339.99	4189.84	165064	-40425	-16492	SLE QP 2	-12.8	Si
-493	4	-	1339.99	4189.84	334113	36064	-12787	SLE QP 2	-18.8	Si
-677	4	-	1339.99	4189.84	153208	32272	-9619	SLE QP 2	-10	Si
-801	4	-	1339.99	4189.84	65927	17077	-10490	SLE QP 2	-6.4	Si
-924	4	-	1339.99	4189.84	10218	6070	-6966	SLE QP 2	-2.8	Si
-1047	4	-	1339.99	4189.84	52	852	-5677	SLE QP 1	-1.9	Si
-1170	4	-	1339.99	4189.84	0	0	-3835	SLE QP 1	-1.4	Si

Verifiche delle fessure nella famiglia Esercizio frequente

Valore limite di controllo: 0.2 mm
Coefficiente di omogeneizzazione impiegato: Es / Ec = 5.95

Quota	Filo	Ind.	Xp	Yp	Mx	My	N	Comb.	Fess	Wka,mm	Wk,mm	Sm,cm	Verifica
0	4	-	1339.99	4189.84	-626506	-332779	-13584	SLE FR 2	Si	0.2	0.04	32.1	Si
-123	4	-	1339.99	4189.84	-8376	-185310	-16530	SLE FR 1	No				Si
-246	4	-	1339.99	4189.84	-5255	-106948	-17400	SLE FR 1	No				Si
-369	4	-	1339.99	4189.84	-2135	-28587	-18271	SLE FR 1	No				Si
-493	4	-	1339.99	4189.84	464	34660	-14152	SLE FR 1	No				Si
-677	4	-	1339.99	4189.84	852	28243	-10582	SLE FR 1	No				Si
-801	4	-	1339.99	4189.84	496	14656	-11452	SLE FR 1	No				Si
-924	4	-	1339.99	4189.84	216	4958	-7533	SLE FR 1	No				Si
-1047	4	-	1339.99	4189.84	52	852	-5677	SLE FR 1	No				Si
-1170	4	-	1339.99	4189.84	0	0	-3835	SLE FR 1	No				Si

Verifiche delle fessure nella famiglia Esercizio quasi permanente

Valore limite di controllo: 0.2 mm
Coefficiente di omogeneizzazione impiegato: Es * (1 + φ) / Ec = 5.95
Coefficiente di viscosità: φ = 0

Quota	Filo	Ind.	Xp	Yp	Mx	My	N	Comb.	Fess	Wka,mm	Wk,mm	Sm,cm	Verifica
0	4	-	1339.99	4189.84	-538648	-322906	-13881	SLE QP 2	Si	0.2	0.032	31.7	Si
-123	4	-	1339.99	4189.84	-8376	-185310	-16530	SLE QP 1	No				Si
-246	4	-	1339.99	4189.84	-5255	-106948	-17400	SLE QP 1	No				Si
-369	4	-	1339.99	4189.84	-2135	-28587	-18271	SLE QP 1	No				Si
-493	4	-	1339.99	4189.84	464	34660	-14152	SLE QP 1	No				Si
-677	4	-	1339.99	4189.84	852	28243	-10582	SLE QP 1	No				Si
-801	4	-	1339.99	4189.84	496	14656	-11452	SLE QP 1	No				Si
-924	4	-	1339.99	4189.84	216	4958	-7533	SLE QP 1	No				Si
-1047	4	-	1339.99	4189.84	52	852	-5677	SLE QP 1	No				Si
-1170	4	-	1339.99	4189.84	0	0	-3835	SLE QP 1	No				Si

Verifiche a taglio

Quota	Filo	Ind.	Xp	Yp	Tx	Ty	N	MultT	Vrd,4.1.23	VRsd,4.1.27	VRcd,4.1.28	Cotg	Comb.	C.S.	Verifica
0	4	-	1339.99	4189.84	-1148	4731	-15910		13221	16918	119249	1	SLU 6	3.48	Si
0	4	-	1339.99	4189.84	-498	5718	374		11162	19456	174241	1	SLU EX 1	3.39	Si
0	4	-	1339.99	4189.84	-1264	4325	-8951		12320	16918	117898	1	SLD 8	3.75	Si
0	4	-	1339.99	4189.84	-1925	7664	-2054		11428	16918	116560	1	SLV 8	2.14	Si
-123	4	-	1339.99	4189.84	-1148	4731	-15910		13221	16918	119249	1	SLU 6	3.48	Si
-123	4	-	1339.99	4189.84	-498	5718	374		11162	19456	174241	1	SLU EX 1	3.39	Si
-123	4	-	1339.99	4189.84	-1264	4325	-8951		12320	16918	117898	1	SLD 8	3.75	Si
-123	4	-	1339.99	4189.84	-1925	7664	-2054		11428	16918	116560	1	SLV 8	2.14	Si
-246	4	-	1339.99	4189.84	-1148	4731	-15910		13286	17029	120029	1	SLU 6	3.5	Si
-246	4	-	1339.99	4189.84	-498	5718	374		11213	19583	175381	1	SLU EX 1	3.41	Si

Quota	Filo	Ind.	Xp	Yp	Tx	Ty	N	MultT	Vrd,4.1.23	VRsd,4.1.27	VRcd,4.1.28	Cotg	Comb.	C.S.	Verifica
-246	4	-	1339.99	4189.84	-1264	4325	-8951		12379	17029	118669	1	SLD 8	3.78	Si
-246	4	-	1339.99	4189.84	-1925	7664	-2054		11481	17029	117322	1	SLV 8	2.15	Si
-369	4	-	1339.99	4189.84	-1148	4731	-15910		13286	17029	120029	1	SLU 6	3.5	Si
-369	4	-	1339.99	4189.84	-498	5718	374		11213	19583	175381	1	SLU EX 1	3.41	Si
-369	4	-	1339.99	4189.84	-1264	4325	-8951		12379	17029	118669	1	SLD 8	3.78	Si
-369	4	-	1339.99	4189.84	-1925	7664	-2054		11481	17029	117322	1	SLV 8	2.15	Si
-493	4	-	1339.99	4189.84	-7	-2480	-10579		12591	17029	118987	1	SLU 2	6.87	Si
-493	4	-	1339.99	4189.84	-16	-2995	-1685		11433	19583	175710	1	SLU EX 1	6.54	Si
-493	4	-	1339.99	4189.84	-270	-2177	-8114		12270	17029	118506	1	SLD 12	7.76	Si
-493	4	-	1339.99	4189.84	-660	-3816	-1838		11453	17029	117280	1	SLV 12	4.4	Si
-677	4	-	1339.99	4189.84	176	-1768	-11283		12683	17029	119125	1	SLU 6	9.58	Si
-677	4	-	1339.99	4189.84	69	-2137	-1854		11455	19583	175743	1	SLU EX 1	9.16	Si
-677	4	-	1339.99	4189.84	289	-1578	-6900		12112	17029	118269	1	SLD 8	10.61	Si
-677	4	-	1339.99	4189.84	509	-2779	-3168		11626	17029	117539	1	SLV 8	6.03	Si
-801	4	-	1339.99	4189.84	176	-1768	-11283		12683	17029	119125	1	SLU 6	9.58	Si
-801	4	-	1339.99	4189.84	69	-2137	-1854		11455	19583	175743	1	SLU EX 1	9.16	Si
-801	4	-	1339.99	4189.84	289	-1578	-6900		12112	17029	118269	1	SLD 8	10.61	Si
-801	4	-	1339.99	4189.84	509	-2779	-3168		11626	17029	117539	1	SLV 8	6.03	Si
-924	4	-	1339.99	4189.84	68	-300	-7883		12240	17029	118461	1	SLU 6	55.42	Si
-924	4	-	1339.99	4189.84	29	-362	-2043		11479	19583	175780	1	SLU EX 1	53.89	Si
-924	4	-	1339.99	4189.84	77	-273	-5015		11867	17029	117900	1	SLD 8	60.02	Si
-924	4	-	1339.99	4189.84	118	-484	-2817		11580	17029	117471	1	SLV 8	34.2	Si
-1047	4	-	1339.99	4189.84	19	51	-6348		12040	17029	118161	1	SLU 6	315	Si
-1047	4	-	1339.99	4189.84	9	61	-2461		11534	19583	175862	1	SLU EX 1	316.69	Si
-1047	4	-	1339.99	4189.84	15	42	-4069		11743	17029	117716	1	SLD 12	383.13	Si
-1047	4	-	1339.99	4189.84	19	72	-2499		11539	17029	117409	1	SLV 12	227.91	Si
-1170	4	-	1339.99	4189.84	0	0	-3641		11633	16918	116868	1	SLU 1	100	Si
-1170	4	-	1339.99	4189.84	0	0	-2586		11497	19456	174743	1	SLU EX 1	100	Si
-1170	4	-	1339.99	4189.84	0	0	-3742		11646	16918	116887	1	SLD 1	100	Si
-1170	4	-	1339.99	4189.84	0	0	-4040		11685	16918	116945	1	SLV 1	100	Si

Verifica di capacità portante per la famiglia SLU

Verifica di capacità portante verticale riferita al palo singolo

Fattore di correlazione ψ scelto in base alla conoscenza del sito = 1.7
Peso del palo = 8482.3 * 1.3

Filo	Ind.	Xp	Yp	γR laterale	γR punta	Pl,d	Pp,d	Def.vol	Comb.	Cnd	N	Ed	Rd	C.S.	Verifica
4	-	1339.99	4189.84	1.15	1.35	378966	12320		SLU 5	lungo	-20357	-31384	391285	12.47	Si

Verifica di capacità portante trasversale riferita al palo singolo

Fattore di correlazione ψ scelto in base alla conoscenza del sito = 1.7

Filo	Ind.	Xp	Yp	γR trasversale	LRF	Comb.	Cnd	Rd	Ed (T)	C.S.	Verifica
4	-	1339.99	4189.84	1.3	1	SLU 6	D	18312.3	4868.4	3.76	Si

Parametri utilizzati nel calcolo

Filo	Ind.	Xp	Yp	Tipo	L.frs.	L.tr.lib.	L.tr.inf.	Coes.	Fi	P.spec	T max	Mecc.coll.	M.plast.sup.	Quota sup.	N sup.	M.plast.inf.	Quota inf.	N inf.
4	-	1339.99	4189.84	TI	60	0	830	0.94	35	0.001	40470	PLV	5822046	-50	-16186	3472297	-392.1	-19054

Verifica di capacità portante per la famiglia SLU EX

Verifica di capacità portante verticale riferita al palo singolo

Fattore di correlazione ψ scelto in base alla conoscenza del sito = 1.7
Peso del palo = 8482.3 * 1

Filo	Ind.	Xp	Yp	γR laterale	γR punta	Pl,d	Pp,d	Def.vol	Comb.	Cnd	N	Ed	Rd	C.S.	Verifica
4	-	1339.99	4189.84	1	1	435810	16632		SLU EX 1	lungo	374	-8108	452442	55.8	Si

Verifica di capacità portante trasversale riferita al palo singolo

Fattore di correlazione ψ scelto in base alla conoscenza del sito = 1.7

Filo	Ind.	Xp	Yp	γR trasversale	LRF	Comb.	Cnd	Rd	Ed (T)	C.S.	Verifica
4	-	1339.99	4189.84	1	1	SLU EX 1	D	23065.4	5740	4.02	Si

Parametri utilizzati nel calcolo

Filo	Ind.	Xp	Yp	Tipo	L.frs.	L.tr.lib.	L.tr.inf.	Coes.	Fi	P.spec	T max	Mecc.coll.	M.plast.sup.	Quota sup.	N sup.	M.plast.inf.	Quota inf.	N inf.
4	-	1339.99	4189.84	TI	60	0	830	0.94	35	0.001	39211	PLV	5603457	-50	162	3201879	-386.7	-2006

Verifica di capacità portante per la famiglia SLD

Verifica di capacità portante verticale riferita al palo singolo

Fattore di correlazione ψ scelto in base alla conoscenza del sito = 1.7
Peso del palo = 8482.3 * 1

Filo	Ind.	Xp	Yp	γR laterale	γR punta	Pl,d	Pp,d	Def.vol	Comb.	Cnd	N	Ed	Rd	C.S.	Verifica
4	-	1339.99	4189.84	1.15	1.35	378966	12320		SLD 5	lungo	-19760	-28242	391285	13.85	Si

Verifica di capacità portante per la famiglia SLV

Verifica di capacità portante verticale riferita al palo singolo

Fattore di correlazione ψ scelto in base alla conoscenza del sito = 1.7
Peso del palo = 8482.3 * 1

Filo	Ind.	Xp	Yp	γR laterale	γR punta	Pl,d	Pp,d	Def.vol	Comb.	Cnd	N	Ed	Rd	C.S.	Verifica
4	-	1339.99	4189.84	1.15	1.35	378966	12320		SLV 5	lungo	-27936	-36418	391285	10.74	Si

Verifica di capacità portante trasversale riferita al palo singolo

Fattore di correlazione ψ scelto in base alla conoscenza del sito = 1.7

Filo	Ind.	Xp	Yp	γR trasversale	LRF	Comb.	Cnd	Rd	Ed (T)	C.S.	Verifica
4	-	1339.99	4189.84	1.3	1	SLV 8	D	14326.8	7902.1	1.81	Si

Parametri utilizzati nel calcolo

Filo	Ind.	Xp	Yp	Tipo	L.frs.	L.tr.lib.	L.tr.inf.	Coes.	Fi	P.spec	T max	Mecc.coll.	M.plast.sup.	Quota sup.	N sup.	M.plast.inf.	Quota inf.	N inf.

Filo	Ind.	Xp	Yp	Tipo	L.frs.	L.tr.lib.	L.tr.inf.	Coes.	Fi	P.spec	T max	Mecc.coll.	M.plast.sup.	Quota sup.	N sup.	M.plast.inf.	Quota inf.	N inf.
4	-	1339.99	4189.84	TI	60	0	830	0.94	35	0.001	31662	PLV	4087841	-50	-2266	2308292	-352.6	-4193

Trivellato D60 filo 5

Verifiche effettuate secondo D.M. 17-01-18, Circolare 7 21-01-19

Caratteristiche geometriche

Diametro 60
Lunghezza 1200

Caratteristiche dei materiali

Calcestruzzo C35/45 Rck 450
Acciaio B450C fyk,m: 4500

Verifiche a pressoflessione

Quota	Filo	Ind.	Xp	Yp	As	Cop.	N	|M|	Mu	Dom.	SnmFcd	MultM	Comb.	C.S.	Verifica
0	5	-	1339.99	4349.81	74.33	7.3	-29160	1433594	6953708	P			SLU 6	4.85	Si
0	5	-	1339.99	4349.81	74.33	7.3	-15528	1641359	6310316	P			SLU EX 1	3.84	Si
0	5	-	1339.99	4349.81	74.33	7.3	-19597	1353437	5068096	SE			SLD 8	3.74	Si
0	5	-	1339.99	4349.81	74.33	7.3	-20242	2363328	4614437	SE			SLV 8	1.95	Si
-123	5	-	1339.99	4349.81	112.03	7	-30292	838048	8942469	P			SLU 6	10.67	Si
-123	5	-	1339.99	4349.81	112.03	7	-16399	931728	9107310	P			SLU EX 1	9.77	Si
-123	5	-	1339.99	4349.81	112.03	7	-20467	795931	6939412	SE			SLD 8	8.72	Si
-123	5	-	1339.99	4349.81	112.03	7	-21112	1379655	7126717	SE			SLV 8	5.17	Si
-246	5	-	1339.99	4349.81	37.7	7	-31424	275835	4202838	P			SLU 6	15.24	Si
-246	5	-	1339.99	4349.81	37.7	7	-17269	232195	5036915	P			SLU EX 1	21.69	Si
-246	5	-	1339.99	4349.81	37.7	7	-22453	292851	4167252	SE			SLD 4	14.23	Si
-246	5	-	1339.99	4349.81	37.7	7	-24598	480404	4325866	SE			SLV 4	9	Si
-369	5	-	1339.99	4349.81	37.7	7	-32555	420086	4975913	P			SLU 6	11.84	Si
-369	5	-	1339.99	4349.81	37.7	7	-18140	501449	5323315	P			SLU EX 1	10.62	Si
-369	5	-	1339.99	4349.81	37.7	7	-21252	362354	4308891	SE			SLD 12	11.89	Si
-369	5	-	1339.99	4349.81	37.7	7	-20610	628336	4253065	SE			SLV 12	6.77	Si
-493	5	-	1339.99	4349.81	37.7	7	-20940	836291	4780531	P			SLU 2	5.72	Si
-493	5	-	1339.99	4349.81	37.7	7	-14051	1010453	4067213	P			SLU EX 1	4.03	Si
-493	5	-	1339.99	4349.81	37.7	7	-17175	752225	3476739	SE			SLD 8	4.62	Si
-493	5	-	1339.99	4349.81	37.7	7	-15948	1312291	2795200	SE			SLV 12	2.13	Si
-677	5	-	1339.99	4349.81	37.7	7	-15367	384599	5379109	P			SLU 2	13.99	Si
-677	5	-	1339.99	4349.81	37.7	7	-10511	463463	4617307	P			SLU EX 1	9.96	Si
-677	5	-	1339.99	4349.81	37.7	7	-12712	351630	4285498	SE			SLD 8	12.19	Si
-677	5	-	1339.99	4349.81	37.7	7	-11848	607914	3239686	SE			SLV 12	5.33	Si
-801	5	-	1339.99	4349.81	37.7	7	-19652	166595	4122073	P			SLU 6	24.74	Si
-801	5	-	1339.99	4349.81	37.7	7	-11381	199505	5350998	P			SLU EX 1	26.82	Si
-801	5	-	1339.99	4349.81	37.7	7	-13583	152808	4009705	SE			SLD 8	26.24	Si
-801	5	-	1339.99	4349.81	37.7	7	-13932	269510	4325994	SE			SLV 8	16.05	Si
-924	5	-	1339.99	4349.81	37.7	7	-12600	27165	1344969	P			SLU 6	49.51	Si
-924	5	-	1339.99	4349.81	37.7	7	-7492	31131	2517289	P			SLU EX 1	80.86	Si
-924	5	-	1339.99	4349.81	37.7	7	-9144	23409	1552430	SE			SLD 4	66.32	Si
-924	5	-	1339.99	4349.81	37.7	7	-9828	40124	2231829	SE			SLV 4	55.62	Si
-1047	5	-	1339.99	4349.81	37.7	7	-9071	5176	355986	P			SLU 6	68.78	Si
-1047	5	-	1339.99	4349.81	37.7	7	-5652	5884	649491	P			SLU EX 1	110.38	Si
-1047	5	-	1339.99	4349.81	37.7	7	-6647	2610	244972	SE			SLD 4	93.85	Si
-1047	5	-	1339.99	4349.81	37.7	7	-7059	3698	326759	SE			SLV 4	88.37	Si
-1170	5	-	1339.99	4349.81	0	0	-5565	0	0	P			SLU 6	85.59	Si
-1170	5	-	1339.99	4349.81	0	0	-3827	0	0	P			SLU EX 1	124.47	Si
-1170	5	-	1339.99	4349.81	0	0	-4168	0	0	SE			SLD 4	114.28	Si
-1170	5	-	1339.99	4349.81	0	0	-4309	0	0	SE			SLV 4	110.54	Si

Verifiche delle tensioni nella famiglia Rara

Tensione limite del calcestruzzo: 224.1
Tensione limite dell'acciaio: 3600
Coefficiente di omogeneizzazione impiegato: Es / Ec = 5.95

Quota	Filo	Ind.	Xp	Yp	Mx	My	N	Comb.	Sc,max	Mx	My	N	Comb.	Sf,max	Verifica
0	5	-	1339.99	4349.81	-885215	-395497	-21511	SLE RA 2	-72.3	-885215	-395497	-21511	SLE RA 2	538.6	Si
-123	5	-	1339.99	4349.81	-497816	-278423	-22381	SLE RA 2	-27.7	-497816	-278423	-22381	SLE RA 2	58.9	Si
-246	5	-	1339.99	4349.81	-110417	-161349	-23252	SLE RA 2	-16.2	-110417	-161349	-23252	SLE RA 2	-6.7	Si
-369	5	-	1339.99	4349.81	276983	-44275	-24122	SLE RA 2	-20.2	276983	-44275	-24122	SLE RA 2	8.5	Si
-493	5	-	1339.99	4349.81	555818	50343	-18644	SLE RA 2	-50	555818	50343	-18644	SLE RA 2	365.7	Si
-677	5	-	1339.99	4349.81	254226	41766	-13748	SLE RA 2	-15.7	254226	41766	-13748	SLE RA 2	24.2	Si
-801	5	-	1339.99	4349.81	109265	21759	-14619	SLE RA 2	-9.7	109265	21759	-14619	SLE RA 2	-6.5	Si
-924	5	-	1339.99	4349.81	16795	7436	-9399	SLE RA 2	-3.9	8	4943	-7492	SLE RA 1	-13.7	Si
-1047	5	-	1339.99	4349.81	-3238	1301	-6801	SLE RA 2	-2.4	17	849	-5652	SLE RA 1	-10.9	Si
-1170	5	-	1339.99	4349.81	0	0	-4220	SLE RA 2	-1.5	0	0	0		0	Si

Verifiche delle tensioni nella famiglia Quasi permanenti

Tensione limite del calcestruzzo: 168.1
Coefficiente di omogeneizzazione impiegato: Es * (1 + φ) / Ec = 5.95
Coefficiente di viscosità: φ = 0

Quota	Filo	Ind.	Xp	Yp	Mx	My	N	Comb.	Sc,max	Verifica
0	5	-	1339.99	4349.81	-531311	-342454	-19118	SLE QP 2	-46	Si
-123	5	-	1339.99	4349.81	-298945	-240958	-19988	SLE QP 2	-20.1	Si
-246	5	-	1339.99	4349.81	-66579	-139461	-20859	SLE QP 2	-13.6	Si
-369	5	-	1339.99	4349.81	165786	-37964	-21729	SLE QP 2	-14.6	Si
-493	5	-	1339.99	4349.81	333063	44031	-16807	SLE QP 2	-20.2	Si

Quota	Filo	Ind.	Xp	Yp	Mx	My	N	Comb.	Sc,max	Verifica
-677	5	-	1339.99	4349.81	152392	36324	-12453	SLE QP 2	-10.9	Si
-801	5	-	1339.99	4349.81	65508	18901	-13324	SLE QP 2	-7.4	Si
-924	5	-	1339.99	4349.81	10080	6439	-8636	SLE QP 2	-3.4	Si
-1047	5	-	1339.99	4349.81	-1936	1120	-6341	SLE QP 2	-2.2	Si
-1170	5	-	1339.99	4349.81	0	0	-4063	SLE QP 2	-1.4	Si

Verifiche delle fessure nella famiglia Esercizio frequente

Valore limite di controllo: 0.2 mm
Coefficiente di omogeneizzazione impiegato: Es / Ec = 5.95

Quota	Filo	Ind.	Xp	Yp	Mx	My	N	Comb.	Fess	Wka,mm	Wk,mm	Sm,cm	Verifica
0	5	-	1339.99	4349.81	-619787	-355715	-19716	SLE FR 2	Si	0.2	0.031	31	Si
-123	5	-	1339.99	4349.81	-640	-184759	-16399	SLE FR 1	No				Si
-246	5	-	1339.99	4349.81	-824	-106628	-17269	SLE FR 1	No				Si
-369	5	-	1339.99	4349.81	-1008	-28497	-18140	SLE FR 1	No				Si
-493	5	-	1339.99	4349.81	-1069	34564	-14052	SLE FR 1	No				Si
-677	5	-	1339.99	4349.81	-361	28161	-10511	SLE FR 1	No				Si
-801	5	-	1339.99	4349.81	-129	14614	-11382	SLE FR 1	No				Si
-924	5	-	1339.99	4349.81	8	4943	-7492	SLE FR 1	No				Si
-1047	5	-	1339.99	4349.81	17	849	-5652	SLE FR 1	No				Si
-1170	5	-	1339.99	4349.81	0	0	-3827	SLE FR 1	No				Si

Verifiche delle fessure nella famiglia Esercizio quasi permanente

Valore limite di controllo: 0.2 mm
Coefficiente di omogeneizzazione impiegato: Es * (1 + φ) / Ec = 5.95
Coefficiente di viscosità: φ = 0

Quota	Filo	Ind.	Xp	Yp	Mx	My	N	Comb.	Fess	Wka,mm	Wk,mm	Sm,cm	Verifica
0	5	-	1339.99	4349.81	-531311	-342454	-19118	SLE QP 2	Si	0.2	0.025	30.6	Si
-123	5	-	1339.99	4349.81	-640	-184759	-16399	SLE QP 1	No				Si
-246	5	-	1339.99	4349.81	-824	-106628	-17269	SLE QP 1	No				Si
-369	5	-	1339.99	4349.81	-1008	-28497	-18140	SLE QP 1	No				Si
-493	5	-	1339.99	4349.81	-1069	34564	-14052	SLE QP 1	No				Si
-677	5	-	1339.99	4349.81	-361	28161	-10511	SLE QP 1	No				Si
-801	5	-	1339.99	4349.81	-129	14614	-11382	SLE QP 1	No				Si
-924	5	-	1339.99	4349.81	8	4943	-7492	SLE QP 1	No				Si
-1047	5	-	1339.99	4349.81	17	849	-5652	SLE QP 1	No				Si
-1170	5	-	1339.99	4349.81	0	0	-3827	SLE QP 1	No				Si

Verifiche a taglio

Quota	Filo	Ind.	Xp	Yp	Tx	Ty	N	MultT	Vrd,4.1.23	VRsd,4.1.27	VRcd,4.1.28	Cotg	Comb.	C.S.	Verifica
0	5	-	1339.99	4349.81	-1299	4719	-29160		14936	16918	121821	1	SLU 6	3.46	Si
0	5	-	1339.99	4349.81	-633	5740	-15528		13172	19456	177255	1	SLU EX 1	3.37	Si
0	5	-	1339.99	4349.81	-1428	4327	-19597		13698	16918	119965	1	SLD 8	3.71	Si
0	5	-	1339.99	4349.81	-2240	7694	-20242		13782	16918	120090	1	SLV 8	2.11	Si
-123	5	-	1339.99	4349.81	-1299	4719	-29160		14936	16918	121821	1	SLU 6	3.46	Si
-123	5	-	1339.99	4349.81	-633	5740	-15528		13172	19456	177255	1	SLU EX 1	3.37	Si
-123	5	-	1339.99	4349.81	-1428	4327	-19597		13698	16918	119965	1	SLD 8	3.71	Si
-123	5	-	1339.99	4349.81	-2240	7694	-20242		13782	16918	120090	1	SLV 8	2.11	Si
-246	5	-	1339.99	4349.81	-1299	4719	-29160		15012	17029	122618	1	SLU 6	3.48	Si
-246	5	-	1339.99	4349.81	-633	5740	-15528		13236	19583	178415	1	SLU EX 1	3.39	Si
-246	5	-	1339.99	4349.81	-1428	4327	-19597		13766	17029	120749	1	SLD 8	3.74	Si
-246	5	-	1339.99	4349.81	-2240	7694	-20242		13850	17029	120875	1	SLV 8	2.13	Si
-369	5	-	1339.99	4349.81	-1299	4719	-29160		15012	17029	122618	1	SLU 6	3.48	Si
-369	5	-	1339.99	4349.81	-633	5740	-15528		13236	19583	178415	1	SLU EX 1	3.39	Si
-369	5	-	1339.99	4349.81	-1428	4327	-19597		13766	17029	120749	1	SLD 8	3.74	Si
-369	5	-	1339.99	4349.81	-2240	7694	-20242		13850	17029	120875	1	SLV 8	2.13	Si
-493	5	-	1339.99	4349.81	47	-2479	-20780		13920	17029	120980	1	SLU 2	6.87	Si
-493	5	-	1339.99	4349.81	31	-2996	-13891		13023	19583	178095	1	SLU EX 1	6.53	Si
-493	5	-	1339.99	4349.81	287	-2178	-17015		13430	17029	120245	1	SLD 8	7.75	Si
-493	5	-	1339.99	4349.81	622	-3821	-17510		13494	17029	120342	1	SLV 8	4.4	Si
-677	5	-	1339.99	4349.81	222	-1766	-18452		13617	17029	120526	1	SLU 6	9.57	Si
-677	5	-	1339.99	4349.81	110	-2141	-10459		12576	19583	177424	1	SLU EX 1	9.14	Si
-677	5	-	1339.99	4349.81	339	-1579	-12660		12862	17029	119394	1	SLD 8	10.54	Si
-677	5	-	1339.99	4349.81	604	-2785	-13009		12908	17029	119462	1	SLV 8	5.97	Si
-801	5	-	1339.99	4349.81	222	-1766	-18452		13617	17029	120526	1	SLU 6	9.57	Si
-801	5	-	1339.99	4349.81	110	-2141	-10459		12576	19583	177424	1	SLU EX 1	9.14	Si
-801	5	-	1339.99	4349.81	339	-1579	-12660		12862	17029	119394	1	SLD 8	10.54	Si
-801	5	-	1339.99	4349.81	604	-2785	-13009		12908	17029	119462	1	SLV 8	5.97	Si
-924	5	-	1339.99	4349.81	77	-299	-12106		12790	17029	119286	1	SLU 6	55.15	Si
-924	5	-	1339.99	4349.81	38	-364	-7112		12140	19583	176770	1	SLU EX 1	53.59	Si
-924	5	-	1339.99	4349.81	87	-273	-8409		12309	17029	118564	1	SLD 8	59.38	Si
-924	5	-	1339.99	4349.81	137	-486	-8615		12335	17029	118604	1	SLV 8	33.74	Si
-1047	5	-	1339.99	4349.81	19	51	-8893		12372	17029	118658	1	SLU 6	314.7	Si
-1047	5	-	1339.99	4349.81	9	61	-5515		11932	19583	176458	1	SLU EX 1	318.36	Si
-1047	5	-	1339.99	4349.81	15	42	-6113		12010	17029	118115	1	SLD 12	383.77	Si
-1047	5	-	1339.99	4349.81	19	72	-5989		11993	17029	118091	1	SLV 12	229.15	Si
-1170	5	-	1339.99	4349.81	0	0	-3632		11632	16918	116866	1	SLU 1	100	Si
-1170	5	-	1339.99	4349.81	0	0	-3632		11632	19456	174946	1	SLU EX 1	100	Si
-1170	5	-	1339.99	4349.81	0	0	-3973		11676	16918	116932	1	SLD 1	100	Si
-1170	5	-	1339.99	4349.81	0	0	-4115		11695	16918	116960	1	SLV 1	100	Si

Verifica di capacità portante per la famiglia SLU

Verifica di capacità portante verticale riferita al palo singolo

Fattore di correlazione ψ scelto in base alla conoscenza del sito = 1.7
Peso del palo = 8482.3 * 1.3

Filo	Ind.	Xp	Yp	γR laterale	γR punta	Pl,d	Pp,d	Def.vol	Comb.	Cnd	N	Ed	Rd	C.S.	Verifica
5	-	1339.99	4349.81	1.15	1.35	378966	12320		SLU 6	lungo	-29160	-40187	391285	9.74	Si

Verifica di capacità portante trasversale riferita al palo singolo

Fattore di correlazione ψ scelto in base alla conoscenza del sito = 1.7

Filo	Ind.	Xp	Yp	γR trasversale	LRF	Comb.	Cnd	Rd	Ed (T)	C.S.	Verifica
5	-	1339.99	4349.81	1.3	1	SLU 6	D	18720.1	4894.2	3.82	Si

Parametri utilizzati nel calcolo

Filo	Ind.	Xp	Yp	Tipo	L.frs.	L.tr.lib.	L.tr.inf.	Coes.	Fi	P.spec	T max	Mecc.coll.	M.plast.sup.	Quota sup.	N sup.	M.plast.inf.	Quota inf.	N inf.
5	-	1339.99	4349.81	TI	60	0	830	0.94	35	0.001	41371	PLV	5970728	-50	-29436	3683023	-395.9	-32339

Verifica di capacità portante per la famiglia SLU EX

Verifica di capacità portante verticale riferita al palo singolo

Fattore di correlazione ψ scelto in base alla conoscenza del sito = 1.7
Peso del palo = 8482.3 * 1

Filo	Ind.	Xp	Yp	γR laterale	γR punta	Pl,d	Pp,d	Def.vol	Comb.	Cnd	N	Ed	Rd	C.S.	Verifica
5	-	1339.99	4349.81	1	1	435810	16632		SLU EX 1	lungo	-15528	-24010	452442	18.84	Si

Verifica di capacità portante trasversale riferita al palo singolo

Fattore di correlazione ψ scelto in base alla conoscenza del sito = 1.7

Filo	Ind.	Xp	Yp	γR trasversale	LRF	Comb.	Cnd	Rd	Ed (T)	C.S.	Verifica
5	-	1339.99	4349.81	1	1	SLU EX 1	D	23771.4	5775.1	4.12	Si

Parametri utilizzati nel calcolo

Filo	Ind.	Xp	Yp	Tipo	L.frs.	L.tr.lib.	L.tr.inf.	Coes.	Fi	P.spec	T max	Mecc.coll.	M.plast.sup.	Quota sup.	N sup.	M.plast.inf.	Quota inf.	N inf.
5	-	1339.99	4349.81	TI	60	0	830	0.94	35	0.001	40411	PLV	5817040	-50	-15740	3454694	-391.8	-17944

Verifica di capacità portante per la famiglia SLD

Verifica di capacità portante verticale riferita al palo singolo

Fattore di correlazione ψ scelto in base alla conoscenza del sito = 1.7
Peso del palo = 8482.3 * 1

Filo	Ind.	Xp	Yp	γR laterale	γR punta	Pl,d	Pp,d	Def.vol	Comb.	Cnd	N	Ed	Rd	C.S.	Verifica
5	-	1339.99	4349.81	1.15	1.35	378966	12320		SLD 4	lungo	-20712	-29194	391285	13.4	Si

Verifica di capacità portante per la famiglia SLV

Verifica di capacità portante verticale riferita al palo singolo

Fattore di correlazione ψ scelto in base alla conoscenza del sito = 1.7
Peso del palo = 8482.3 * 1

Filo	Ind.	Xp	Yp	γR laterale	γR punta	Pl,d	Pp,d	Def.vol	Comb.	Cnd	N	Ed	Rd	C.S.	Verifica
5	-	1339.99	4349.81	1.15	1.35	378966	12320		SLV 4	lungo	-22857	-31339	391285	12.49	Si

Verifica di capacità portante trasversale riferita al palo singolo

Fattore di correlazione ψ scelto in base alla conoscenza del sito = 1.7

Filo	Ind.	Xp	Yp	γR trasversale	LRF	Comb.	Cnd	Rd	Ed (T)	C.S.	Verifica
5	-	1339.99	4349.81	1.3	1	SLV 8	D	15056.3	8013	1.88	Si

Parametri utilizzati nel calcolo

Filo	Ind.	Xp	Yp	Tipo	L.frs.	L.tr.lib.	L.tr.inf.	Coes.	Fi	P.spec	T max	Mecc.coll.	M.plast.sup.	Quota sup.	N sup.	M.plast.inf.	Quota inf.	N inf.
5	-	1339.99	4349.81	TI	60	0	830	0.94	35	0.001	33275	PLV	4347632	-50	-20454	2610374	-360.2	-22434

Trivellato D60 filo 6

Verifiche effettuate secondo D.M. 17-01-18, Circolare 7 21-01-19

Caratteristiche geometriche

Diametro 60
Lunghezza 1200

Caratteristiche dei materiali

Calcestruzzo C35/45 Rck 450
Acciaio B450C fyk,m: 4500

Verifiche a pressoflessione

Quota	Filo	Ind.	Xp	Yp	As	Cop.	N	|M|	Mu	Dom.	SnmFcd	MultM	Comb.	C.S.	Verifica
0	6	-	1339.99	4509.78	74.33	7.3	-42692	1419401	7218853	P			SLU 6	5.09	Si
0	6	-	1339.99	4509.78	74.33	7.3	-31573	1619172	6916516	P			SLU EX 1	4.27	Si
0	6	-	1339.99	4509.78	74.33	7.3	-30416	1352143	5657323	SE			SLD 8	4.18	Si
0	6	-	1339.99	4509.78	74.33	7.3	-38592	2367575	5214325	SE			SLV 8	2.2	Si
-123	6	-	1339.99	4509.78	112.03	7	-43824	830289	8214084	P			SLU 6	9.89	Si
-123	6	-	1339.99	4509.78	112.03	7	-32444	916952	8976357	P			SLU EX 1	9.79	Si
-123	6	-	1339.99	4509.78	112.03	7	-31286	795906	6657610	SE			SLD 8	8.36	Si
-123	6	-	1339.99	4509.78	112.03	7	-39462	1383062	6879575	SE			SLV 8	4.97	Si
-246	6	-	1339.99	4509.78	37.7	7	-44956	278372	3388147	P			SLU 6	12.17	Si
-246	6	-	1339.99	4509.78	37.7	7	-33314	227355	3617740	P			SLU EX 1	15.91	Si
-246	6	-	1339.99	4509.78	37.7	7	-29583	297456	3853873	SE			SLD 4	12.96	Si
-246	6	-	1339.99	4509.78	37.7	7	-34111	488570	4239547	SE			SLV 4	8.68	Si
-369	6	-	1339.99	4509.78	37.7	7	-46088	423123	4307294	P			SLU 6	10.18	Si
-369	6	-	1339.99	4509.78	37.7	7	-34185	504368	5170764	P			SLU EX 1	10.25	Si
-369	6	-	1339.99	4509.78	37.7	7	-32080	364137	4020718	SE			SLD 12	11.04	Si
-369	6	-	1339.99	4509.78	37.7	7	-38981	630481	4296904	SE			SLV 12	6.82	Si
-493	6	-	1339.99	4509.78	37.7	7	-31324	833054	5344239	P			SLU 2	6.42	Si
-493	6	-	1339.99	4509.78	37.7	7	-26368	1006993	4858132	P			SLU EX 1	4.82	Si

Quota	Filo	Ind.	Xp	Yp	As	Cop.	N	|M|	Mu	Dom.	SnmFcd	MultM	Comb.	C.S.	Verifica
-493	6	-	1339.99	4509.78	37.7	7	-25479	752692	4272842	SE			SLD 8	5.68	Si
-493	6	-	1339.99	4509.78	37.7	7	-31755	1330809	3556196	SE			SLV 8	2.67	Si
-677	6	-	1339.99	4509.78	37.7	7	-25842	383188	5177803	P			SLU 6	13.51	Si
-677	6	-	1339.99	4509.78	37.7	7	-19193	460760	5404584	P			SLU EX 1	11.73	Si
-677	6	-	1339.99	4509.78	37.7	7	-18567	351473	4324511	SE			SLD 8	12.3	Si
-677	6	-	1339.99	4509.78	37.7	7	-22991	621714	4289026	SE			SLV 8	6.9	Si
-801	6	-	1339.99	4509.78	37.7	7	-26974	165385	3365283	P			SLU 6	20.35	Si
-801	6	-	1339.99	4509.78	37.7	7	-20063	198125	4465171	P			SLU EX 1	22.54	Si
-801	6	-	1339.99	4509.78	37.7	7	-19437	152686	3432628	SE			SLD 8	22.48	Si
-801	6	-	1339.99	4509.78	37.7	7	-23861	270000	4016877	SE			SLV 8	14.88	Si
-924	6	-	1339.99	4509.78	37.7	7	-16913	26896	992010	P			SLU 6	36.88	Si
-924	6	-	1339.99	4509.78	37.7	7	-12606	30713	1519863	P			SLU EX 1	49.49	Si
-924	6	-	1339.99	4509.78	37.7	7	-12237	25613	1305689	SE			SLD 8	50.98	Si
-924	6	-	1339.99	4509.78	37.7	7	-14844	44859	1773772	SE			SLV 8	39.54	Si
-1047	6	-	1339.99	4509.78	37.7	7	-11669	5282	282379	P			SLU 6	53.46	Si
-1047	6	-	1339.99	4509.78	37.7	7	-8733	5978	427028	P			SLU EX 1	71.43	Si
-1047	6	-	1339.99	4509.78	37.7	7	-8511	4171	305756	SE			SLD 8	73.3	Si
-1047	6	-	1339.99	4509.78	37.7	7	-10081	7008	433640	SE			SLV 8	61.88	Si
-1170	6	-	1339.99	4509.78	0	0	-6456	0	0	P			SLU 6	73.78	Si
-1170	6	-	1339.99	4509.78	0	0	-4883	0	0	P			SLU EX 1	97.55	Si
-1170	6	-	1339.99	4509.78	0	0	-4807	0	0	SE			SLD 8	99.1	Si
-1170	6	-	1339.99	4509.78	0	0	-5345	0	0	SE			SLV 8	89.12	Si

Verifiche delle tensioni nella famiglia Rara

Tensione limite del calcestruzzo: 224.1
Tensione limite dell'acciaio: 3600
Coefficiente di omogeneizzazione impiegato: Es / Ec = 5.95

Quota	Filo	Ind.	Xp	Yp	Mx	My	N	Comb.	Sc,max	Mx	My	N	Comb.	Sf,max	Verifica
0	6	-	1339.99	4509.78	-858258	-430620	-30534	SLE RA 2	-69.5	-858258	-430620	-30534	SLE RA 2	411.3	Si
-123	6	-	1339.99	4509.78	-478938	-300561	-31404	SLE RA 2	-30.1	-478938	-300561	-31404	SLE RA 2	42.7	Si
-246	6	-	1339.99	4509.78	-99617	-170503	-32275	SLE RA 2	-19.2	3480	-106654	-17282	SLE RA 1	-12.7	Si
-369	6	-	1339.99	4509.78	279703	-40444	-33145	SLE RA 2	-23.2	279703	-40444	-33145	SLE RA 2	-8.8	Si
-493	6	-	1339.99	4509.78	552036	63961	-25570	SLE RA 2	-45.1	552036	63961	-25570	SLE RA 2	219	Si
-677	6	-	1339.99	4509.78	251253	48793	-18630	SLE RA 2	-17.3	251253	48793	-18630	SLE RA 2	14.3	Si
-801	6	-	1339.99	4509.78	107734	24942	-19501	SLE RA 2	-11.2	107734	24942	-19501	SLE RA 2	-16.2	Si
-924	6	-	1339.99	4509.78	16288	8100	-12275	SLE RA 2	-4.8	-193	4945	-7496	SLE RA 1	-13.7	Si
-1047	6	-	1339.99	4509.78	-3321	1289	-8533	SLE RA 2	-3	-16	849	-5654	SLE RA 1	-10.9	Si
-1170	6	-	1339.99	4509.78	0	0	-4814	SLE RA 2	-1.7	0	0	0		0	Si

Verifiche delle tensioni nella famiglia Quasi permanenti

Tensione limite del calcestruzzo: 168.1
Coefficiente di omogeneizzazione impiegato: Es * (1 + φ) / Ec = 5.95
Coefficiente di viscosità: φ = 0

Quota	Filo	Ind.	Xp	Yp	Mx	My	N	Comb.	Sc,max	Verifica
0	6	-	1339.99	4509.78	-510849	-363564	-24537	SLE QP 2	-44.2	Si
-123	6	-	1339.99	4509.78	-284614	-254264	-25407	SLE QP 2	-21.6	Si
-246	6	-	1339.99	4509.78	-58378	-144963	-26278	SLE QP 2	-15.5	Si
-369	6	-	1339.99	4509.78	167857	-35663	-27148	SLE QP 2	-16.4	Si
-493	6	-	1339.99	4509.78	330199	52215	-20966	SLE QP 2	-21.5	Si
-677	6	-	1339.99	4509.78	150136	40547	-15385	SLE QP 2	-11.8	Si
-801	6	-	1339.99	4509.78	64346	20814	-16256	SLE QP 2	-8.3	Si
-924	6	-	1339.99	4509.78	9695	6838	-10363	SLE QP 2	-3.9	Si
-1047	6	-	1339.99	4509.78	-1999	1113	-7382	SLE QP 2	-2.5	Si
-1170	6	-	1339.99	4509.78	0	0	-4420	SLE QP 2	-1.6	Si

Verifiche delle fessure nella famiglia Esercizio frequente

Valore limite di controllo: 0.2 mm
Coefficiente di omogeneizzazione impiegato: Es / Ec = 5.95

Quota	Filo	Ind.	Xp	Yp	Mx	My	N	Comb.	Fess	Wka,mm	Wk,mm	Sm,cm	Verifica
0	6	-	1339.99	4509.78	-597701	-380328	-26036	SLE FR 2	Si	0.2	0.023	29.7	Si
-123	6	-	1339.99	4509.78	6872	-184817	-16411	SLE FR 1	No				Si
-246	6	-	1339.99	4509.78	3480	-106654	-17282	SLE FR 1	No				Si
-369	6	-	1339.99	4509.78	87	-28490	-18152	SLE FR 1	No				Si
-493	6	-	1339.99	4509.78	-2558	34595	-14061	SLE FR 1	No				Si
-677	6	-	1339.99	4509.78	-1538	28178	-10518	SLE FR 1	No				Si
-801	6	-	1339.99	4509.78	-736	14621	-11388	SLE FR 1	No				Si
-924	6	-	1339.99	4509.78	-193	4945	-7496	SLE FR 1	No				Si
-1047	6	-	1339.99	4509.78	-16	849	-5654	SLE FR 1	No				Si
-1170	6	-	1339.99	4509.78	0	0	-3828	SLE FR 1	No				Si

Verifiche delle fessure nella famiglia Esercizio quasi permanente

Valore limite di controllo: 0.2 mm
Coefficiente di omogeneizzazione impiegato: Es * (1 + φ) / Ec = 5.95
Coefficiente di viscosità: φ = 0

Quota	Filo	Ind.	Xp	Yp	Mx	My	N	Comb.	Fess	Wka,mm	Wk,mm	Sm,cm	Verifica
0	6	-	1339.99	4509.78	10265	-262981	-15541	SLE QP 1	No				Si
-123	6	-	1339.99	4509.78	6872	-184817	-16411	SLE QP 1	No				Si
-246	6	-	1339.99	4509.78	3480	-106654	-17282	SLE QP 1	No				Si
-369	6	-	1339.99	4509.78	87	-28490	-18152	SLE QP 1	No				Si
-493	6	-	1339.99	4509.78	-2558	34595	-14061	SLE QP 1	No				Si
-677	6	-	1339.99	4509.78	-1538	28178	-10518	SLE QP 1	No				Si
-801	6	-	1339.99	4509.78	-736	14621	-11388	SLE QP 1	No				Si
-924	6	-	1339.99	4509.78	-193	4945	-7496	SLE QP 1	No				Si
-1047	6	-	1339.99	4509.78	-16	849	-5654	SLE QP 1	No				Si
-1170	6	-	1339.99	4509.78	0	0	-3828	SLE QP 1	No				Si

Verifiche a taglio

Quota	Filo	Ind.	Xp	Yp	Tx	Ty	N	MultT	Vrd,4.1.23	VRsd,4.1.27	VRcd,4.1.28	Cotg	Comb.	C.S.	Verifica
0	6	-	1339.99	4509.78	-1457	4625	-42692		16687	16918	124448	1	SLU 6	3.49	Si
0	6	-	1339.99	4509.78	-772	5665	-31573		15248	19456	180370	1	SLU EX 1	3.4	Si
0	6	-	1339.99	4509.78	-1598	4260	-30416		15098	16918	122065	1	SLD 8	3.72	Si
0	6	-	1339.99	4509.78	-2565	7604	-38592		16156	16918	123652	1	SLV 8	2.11	Si
-123	6	-	1339.99	4509.78	-1457	4625	-42692		16687	16918	124448	1	SLU 6	3.49	Si
-123	6	-	1339.99	4509.78	-772	5665	-31573		15248	19456	180370	1	SLU EX 1	3.4	Si
-123	6	-	1339.99	4509.78	-1598	4260	-30416		15098	16918	122065	1	SLD 8	3.72	Si
-123	6	-	1339.99	4509.78	-2565	7604	-38592		16156	16918	123652	1	SLV 8	2.11	Si
-246	6	-	1339.99	4509.78	-1457	4625	-42692		16774	17029	125262	1	SLU 6	3.51	Si
-246	6	-	1339.99	4509.78	-772	5665	-31573		15326	19583	181550	1	SLU EX 1	3.42	Si
-246	6	-	1339.99	4509.78	-1598	4260	-30416		15175	17029	122863	1	SLD 8	3.74	Si
-246	6	-	1339.99	4509.78	-2565	7604	-38592		16240	17029	124461	1	SLV 8	2.12	Si
-369	6	-	1339.99	4509.78	-1457	4625	-42692		16774	17029	125262	1	SLU 6	3.51	Si
-369	6	-	1339.99	4509.78	-772	5665	-31573		15326	19583	181550	1	SLU EX 1	3.42	Si
-369	6	-	1339.99	4509.78	-1598	4260	-30416		15175	17029	122863	1	SLD 8	3.74	Si
-369	6	-	1339.99	4509.78	-2565	7604	-38592		16240	17029	124461	1	SLV 8	2.12	Si
-493	6	-	1339.99	4509.78	100	-2474	-31164		15273	17029	123009	1	SLU 2	6.88	Si
-493	6	-	1339.99	4509.78	78	-2992	-26208		14627	19583	180501	1	SLU EX 1	6.54	Si
-493	6	-	1339.99	4509.78	345	-2174	-25319		14511	17029	121867	1	SLD 8	7.74	Si
-493	6	-	1339.99	4509.78	733	-3815	-31595		15329	17029	123094	1	SLV 8	4.38	Si
-677	6	-	1339.99	4509.78	268	-1749	-25774		14571	17029	121956	1	SLU 6	9.62	Si
-677	6	-	1339.99	4509.78	151	-2127	-19141		13706	19583	179121	1	SLU EX 1	9.18	Si
-677	6	-	1339.99	4509.78	389	-1567	-18515		13625	17029	120538	1	SLD 8	10.55	Si
-677	6	-	1339.99	4509.78	701	-2769	-22939		14201	17029	121402	1	SLV 8	5.96	Si
-801	6	-	1339.99	4509.78	268	-1749	-25774		14571	17029	121956	1	SLU 6	9.62	Si
-801	6	-	1339.99	4509.78	151	-2127	-19141		13706	19583	179121	1	SLU EX 1	9.18	Si
-801	6	-	1339.99	4509.78	389	-1567	-18515		13625	17029	120538	1	SLD 8	10.55	Si
-801	6	-	1339.99	4509.78	701	-2769	-22939		14201	17029	121402	1	SLV 8	5.96	Si
-924	6	-	1339.99	4509.78	87	-293	-16420		13352	17029	120129	1	SLU 6	55.65	Si
-924	6	-	1339.99	4509.78	46	-359	-12227		12806	19583	177770	1	SLU EX 1	54.09	Si
-924	6	-	1339.99	4509.78	97	-269	-11858		12758	17029	119237	1	SLD 8	59.46	Si
-924	6	-	1339.99	4509.78	158	-480	-14464		13097	17029	119747	1	SLV 8	33.69	Si
-1047	6	-	1339.99	4509.78	18	52	-11492		12710	17029	119166	1	SLU 6	308.38	Si
-1047	6	-	1339.99	4509.78	9	62	-8596		12333	19583	177060	1	SLU EX 1	313.36	Si
-1047	6	-	1339.99	4509.78	14	43	-8192		12280	17029	118521	1	SLD 12	376.89	Si
-1047	6	-	1339.99	4509.78	18	73	-9518		12453	17029	118780	1	SLV 12	225.64	Si
-1170	6	-	1339.99	4509.78	0	0	-3633		11632	16918	116866	1	SLU 1	100	Si
-1170	6	-	1339.99	4509.78	0	0	-4688		11769	19456	175151	1	SLU EX 1	100	Si
-1170	6	-	1339.99	4509.78	0	0	-4216		11708	16918	116979	1	SLD 1	100	Si
-1170	6	-	1339.99	4509.78	0	0	-4197		11705	16918	116976	1	SLV 1	100	Si

Verifica di capacità portante per la famiglia SLU

Verifica di capacità portante verticale riferita al palo singolo

Fattore di correlazione ψ scelto in base alla conoscenza del sito = 1.7
Peso del palo = 8482.3 * 1.3

Filo	Ind.	Xp	Yp	γR laterale	γR punta	Pl,d	Pp,d	Def.vol	Comb.	Cnd	N	Ed	Rd	C.S.	Verifica
6	-	1339.99	4509.78	1.15	1.35	378966	12320		SLU 6	lungo	-42692	-53719	391285	7.28	Si

Verifica di capacità portante trasversale riferita al palo singolo

Fattore di correlazione ψ scelto in base alla conoscenza del sito = 1.7

Filo	Ind.	Xp	Yp	γR trasversale	LRF	Comb.	Cnd	Rd	Ed (T)	C.S.	Verifica
6	-	1339.99	4509.78	1.3	1	SLU 6	D	19132.1	4849.5	3.95	Si

Parametri utilizzati nel calcolo

Filo	Ind.	Xp	Yp	Tipo	L.frs.	L.tr.lib.	L.tr.inf.	Coes.	Fi	P.spec	T max	Mecc.coll.	M.plast.sup.	Quota sup.	N sup.	M.plast.inf.	Quota inf.	N inf.
6	-	1339.99	4509.78	TI	60	0	830	0.94	35	0.001	42282	PLV	6122578	-50	-42968	3898228	-399.7	-45906

Verifica di capacità portante per la famiglia SLU EX

Verifica di capacità portante verticale riferita al palo singolo

Fattore di correlazione ψ scelto in base alla conoscenza del sito = 1.7
Peso del palo = 8482.3 * 1

Filo	Ind.	Xp	Yp	γR laterale	γR punta	Pl,d	Pp,d	Def.vol	Comb.	Cnd	N	Ed	Rd	C.S.	Verifica
6	-	1339.99	4509.78	1	1	435810	16632		SLU EX 1	lungo	-31573	-40055	452442	11.3	Si

Verifica di capacità portante trasversale riferita al palo singolo

Fattore di correlazione ψ scelto in base alla conoscenza del sito = 1.7

Filo	Ind.	Xp	Yp	γR trasversale	LRF	Comb.	Cnd	Rd	Ed (T)	C.S.	Verifica
6	-	1339.99	4509.78	1	1	SLU EX 1	D	24413.2	5717.9	4.27	Si

Parametri utilizzati nel calcolo

Filo	Ind.	Xp	Yp	Tipo	L.frs.	L.tr.lib.	L.tr.inf.	Coes.	Fi	P.spec	T max	Mecc.coll.	M.plast.sup.	Quota sup.	N sup.	M.plast.inf.	Quota inf.	N inf.
6	-	1339.99	4509.78	TI	60	0	830	0.94	35	0.001	41502	PLV	5997089	-50	-31785	3709723	-396.4	-34022

Verifica di capacità portante per la famiglia SLD

Verifica di capacità portante verticale riferita al palo singolo

Fattore di correlazione ψ scelto in base alla conoscenza del sito = 1.7
Peso del palo = 8482.3 * 1

Filo	Ind.	Xp	Yp	γR laterale	γR punta	Pl,d	Pp,d	Def.vol	Comb.	Cnd	N	Ed	Rd	C.S.	Verifica
6	-	1339.99	4509.78	1.15	1.35	378966	12320		SLD 8	lungo	-30416	-38898	391285	10.06	Si

Verifica di capacità portante per la famiglia SLV

Verifica di capacità portante verticale riferita al palo singolo

Fattore di correlazione ψ scelto in base alla conoscenza del sito = 1.7

Peso del palo = 8482.3 * 1

Filo	Ind.	Xp	Yp	γR laterale	γR punta	Pl,d	Pp,d	Def.vol	Comb.	Cnd	N	Ed	Rd	C.S.	Verifica
6	-	1339.99	4509.78	1.15	1.35	378966	12320		SLV 8	lungo	-38592	-47074	391285	8.31	Si

Verifica di capacità portante trasversale riferita al palo singolo

Fattore di correlazione ψ scelto in base alla conoscenza del sito = 1.7

Filo	Ind.	Xp	Yp	γR trasversale	LRF	Comb.	Cnd	Rd	Ed (T)	C.S.	Verifica
6	-	1339.99	4509.78	1.3	1	SLV 8	D	15752.2	8025.1	1.96	Si

Parametri utilizzati nel calcolo

Filo	Ind.	Xp	Yp	Tipo	L.frs.	L.tr.lib.	L.tr.inf.	Coes.	Fi	P.spec	T max	Mecc.coll.	M.plast.sup.	Quota sup.	N sup.	M.plast.inf.	Quota inf.	N inf.
6	-	1339.99	4509.78	TI	60	0	830	0.94	35	0.001	34812	PLV	4604380	-50	-38804	2905202	-367.3	-40834

Trivellato D60 filo 9

Verifiche effettuate secondo D.M. 17-01-18, Circolare 7 21-01-19

Caratteristiche geometriche

Diametro 60
Lunghezza 1200

Caratteristiche dei materiali

Calcestruzzo C35/45 Rck 450
Acciaio B450C fyk,m: 4500

Verifiche a pressoflessione

Quota	Filo	Ind.	Xp	Yp	As	Cop.	N	|M|	Mu	Dom.	SnmFcd	MultM	Comb.	C.S.	Verifica
0	9	-	1930.01	4189.84	74.33	7.3	-23745	1474238	6770463	P			SLU 2	4.59	Si
0	9	-	1930.01	4189.84	74.33	7.3	-6505	1738264	5887670	P			SLU EX 1	3.39	Si
0	9	-	1930.01	4189.84	74.33	7.3	-18225	1206440	5117527	SE			SLD 12	4.24	Si
0	9	-	1930.01	4189.84	74.33	7.3	-11165	2084372	4390503	SE			SLV 12	2.11	Si
-123	9	-	1930.01	4189.84	112.03	7	-31746	838708	8867738	P			SLU 6	10.57	Si
-123	9	-	1930.01	4189.84	112.03	7	-7376	984151	8608159	P			SLU EX 1	8.75	Si
-123	9	-	1930.01	4189.84	112.03	7	-19096	688551	6896481	SE			SLD 12	10.02	Si
-123	9	-	1930.01	4189.84	112.03	7	-12036	1194698	6670798	SE			SLV 12	5.58	Si
-246	9	-	1930.01	4189.84	37.7	7	-32878	199951	3346540	P			SLU 6	16.74	Si
-246	9	-	1930.01	4189.84	37.7	7	-8246	230125	5311346	P			SLU EX 1	23.08	Si
-246	9	-	1930.01	4189.84	37.7	7	-25733	205522	3463752	SE			SLD 2	16.85	Si
-246	9	-	1930.01	4189.84	37.7	7	-26767	434502	4298157	SE			SLV 2	9.89	Si
-369	9	-	1930.01	4189.84	37.7	7	-34009	441412	4984620	P			SLU 6	11.29	Si
-369	9	-	1930.01	4189.84	37.7	7	-9117	524191	4289238	P			SLU EX 1	8.18	Si
-369	9	-	1930.01	4189.84	37.7	7	-20837	348204	4305571	SE			SLD 12	12.37	Si
-369	9	-	1930.01	4189.84	37.7	7	-13419	585851	3482293	SE			SLV 8	5.94	Si
-493	9	-	1930.01	4189.84	37.7	7	-20359	902648	4609037	P			SLU 2	5.11	Si
-493	9	-	1930.01	4189.84	37.7	7	-7126	1068166	3545194	P			SLU EX 1	3.32	Si
-493	9	-	1930.01	4189.84	37.7	7	-16122	722681	3437331	SE			SLD 12	4.76	Si
-493	9	-	1930.01	4189.84	37.7	7	-10702	1233697	2614295	SE			SLV 12	2.12	Si
-677	9	-	1930.01	4189.84	37.7	7	-14957	415012	5320871	P			SLU 2	12.82	Si
-677	9	-	1930.01	4189.84	37.7	7	-5629	490768	3875022	P			SLU EX 1	7.9	Si
-677	9	-	1930.01	4189.84	37.7	7	-11970	333795	4284251	SE			SLD 12	12.83	Si
-677	9	-	1930.01	4189.84	37.7	7	-8150	571111	2918167	SE			SLV 12	5.11	Si
-801	9	-	1930.01	4189.84	37.7	7	-20438	178975	4197260	P			SLU 6	23.45	Si
-801	9	-	1930.01	4189.84	37.7	7	-6499	211377	5070076	P			SLU EX 1	23.99	Si
-801	9	-	1930.01	4189.84	37.7	7	-12841	144127	4006877	SE			SLD 12	27.8	Si
-801	9	-	1930.01	4189.84	37.7	7	-9021	246871	4287147	SE			SLV 12	17.37	Si
-924	9	-	1930.01	4189.84	37.7	7	-13063	28037	1338927	P			SLU 6	47.76	Si
-924	9	-	1930.01	4189.84	37.7	7	-4615	32971	3727634	P			SLU EX 1	113.06	Si
-924	9	-	1930.01	4189.84	37.7	7	-11594	2656	142890	SE			SLD 9	53.8	Si
-924	9	-	1930.01	4189.84	37.7	7	-13910	16838	755106	SE			SLV 9	44.85	Si
-1047	9	-	1930.01	4189.84	37.7	7	-9350	5067	338107	P			SLU 6	66.72	Si
-1047	9	-	1930.01	4189.84	37.7	7	-3919	6036	960891	P			SLU EX 1	159.19	Si
-1047	9	-	1930.01	4189.84	37.7	7	-8123	430	33048	SE			SLD 9	76.79	Si
-1047	9	-	1930.01	4189.84	37.7	7	-9519	2722	178393	SE			SLV 9	65.54	Si
-1170	9	-	1930.01	4189.84	0	0	-5661	0	0	P			SLU 6	84.14	Si
-1170	9	-	1930.01	4189.84	0	0	-3233	0	0	P			SLU EX 1	147.34	Si
-1170	9	-	1930.01	4189.84	0	0	-4674	0	0	SE			SLD 9	101.91	Si
-1170	9	-	1930.01	4189.84	0	0	-5152	0	0	SE			SLV 9	92.45	Si

Verifiche delle tensioni nella famiglia Rara

Tensione limite del calcestruzzo: 224.1
Tensione limite dell'acciaio: 3600
Coefficiente di omogeneizzazione impiegato: Es / Ec = 5.95

Quota	Filo	Ind.	Xp	Yp	Mx	My	N	Comb.	Sc,max	Mx	My	N	Comb.	Sf,max	Verifica
0	9	-	1930.01	4189.84	-986975	-25966	-23462	SLE RA 2	-73.3	-986975	-25966	-23462	SLE RA 2	527	Si
-123	9	-	1930.01	4189.84	-560082	-21826	-24333	SLE RA 2	-27.9	-560082	-21826	-24333	SLE RA 2	53.9	Si
-246	9	-	1930.01	4189.84	-133189	-17687	-25203	SLE RA 2	-14.1	-133189	-17687	-25203	SLE RA 2	-22.7	Si
-369	9	-	1930.01	4189.84	293705	-13548	-26074	SLE RA 2	-21.4	293705	-13548	-26074	SLE RA 2	7.3	Si
-493	9	-	1930.01	4189.84	601898	-9233	-20142	SLE RA 2	-53.9	601898	-9233	-20142	SLE RA 2	393.7	Si
-677	9	-	1930.01	4189.84	276989	-1806	-14804	SLE RA 2	-16.9	276989	-1806	-14804	SLE RA 2	26	Si
-801	9	-	1930.01	4189.84	119391	-285	-15675	SLE RA 2	-10.4	119391	-285	-15675	SLE RA 2	-7	Si
-924	9	-	1930.01	4189.84	18719	484	-10021	SLE RA 2	-4.1	18719	484	-10021	SLE RA 2	-15.9	Si
-1047	9	-	1930.01	4189.84	-3363	259	-7175	SLE RA 2	-2.5	-3363	259	-7175	SLE RA 2	-13.4	Si
-1170	9	-	1930.01	4189.84	0	0	-4349	SLE RA 2	-1.5	0	0	0		0	Si

Verifiche delle tensioni nella famiglia Quasi permanenti

Tensione limite del calcestruzzo: 168.1
Coefficiente di omogeneizzazione impiegato: Es * (1 + φ) / Ec = 5.95
Coefficiente di viscosità: φ = 0

Quota	Filo	Ind.	Xp	Yp	Mx	My	N	Comb.	Sc,max	Verifica
0	9	-	1930.01	4189.84	-597245	-33040	-23235	SLE QP 2	-42.2	Si
-123	9	-	1930.01	4189.84	-339716	-25542	-24106	SLE QP 2	-19.7	Si
-246	9	-	1930.01	4189.84	-82188	-18045	-24977	SLE QP 2	-11.9	Si
-369	9	-	1930.01	4189.84	175341	-10547	-25847	SLE QP 2	-16.2	Si
-493	9	-	1930.01	4189.84	361411	-3864	-19968	SLE QP 2	-22.3	Si
-677	9	-	1930.01	4189.84	166593	562	-14681	SLE QP 2	-12.1	Si
-801	9	-	1930.01	4189.84	71862	715	-15552	SLE QP 2	-8.2	Si
-924	9	-	1930.01	4189.84	11327	619	-9949	SLE QP 2	-3.8	Si
-1047	9	-	1930.01	4189.84	-1996	221	-7132	SLE QP 2	-2.4	Si
-1170	9	-	1930.01	4189.84	0	0	-4334	SLE QP 2	-1.5	Si

Verifiche delle fessure nella famiglia Esercizio frequente

Valore limite di controllo: 0.2 mm
Coefficiente di omogeneizzazione impiegato: Es / Ec = 5.95

Quota	Filo	Ind.	Xp	Yp	Mx	My	N	Comb.	Fess	Wka,mm	Wk,mm	Sm,cm	Verifica
0	9	-	1930.01	4189.84	-694677	-31271	-23292	SLE FR 2	Si	0.2	0.025	30.2	Si
-123	9	-	1930.01	4189.84	-9168	-31116	-23766	SLE FR 1	No				Si
-246	9	-	1930.01	4189.84	-5687	-18581	-24637	SLE FR 1	No				Si
-369	9	-	1930.01	4189.84	-2206	-6046	-25507	SLE FR 1	No				Si
-493	9	-	1930.01	4189.84	680	4190	-19707	SLE FR 1	No				Si
-677	9	-	1930.01	4189.84	998	4114	-14497	SLE FR 1	No				Si
-801	9	-	1930.01	4189.84	569	2215	-15368	SLE FR 1	No				Si
-924	9	-	1930.01	4189.84	238	820	-9840	SLE FR 1	No				Si
-1047	9	-	1930.01	4189.84	55	163	-7067	SLE FR 1	No				Si
-1170	9	-	1930.01	4189.84	0	0	-4312	SLE FR 1	No				Si

Verifiche delle fessure nella famiglia Esercizio quasi permanente

Valore limite di controllo: 0.2 mm
Coefficiente di omogeneizzazione impiegato: Es * (1 + φ) / Ec = 5.95
Coefficiente di viscosità: φ = 0

Quota	Filo	Ind.	Xp	Yp	Mx	My	N	Comb.	Fess	Wka,mm	Wk,mm	Sm,cm	Verifica
0	9	-	1930.01	4189.84	-12649	-43651	-22895	SLE QP 1	No				Si
-123	9	-	1930.01	4189.84	-9168	-31116	-23766	SLE QP 1	No				Si
-246	9	-	1930.01	4189.84	-5687	-18581	-24637	SLE QP 1	No				Si
-369	9	-	1930.01	4189.84	-2206	-6046	-25507	SLE QP 1	No				Si
-493	9	-	1930.01	4189.84	680	4190	-19707	SLE QP 1	No				Si
-677	9	-	1930.01	4189.84	998	4114	-14497	SLE QP 1	No				Si
-801	9	-	1930.01	4189.84	569	2215	-15368	SLE QP 1	No				Si
-924	9	-	1930.01	4189.84	238	820	-9840	SLE QP 1	No				Si
-1047	9	-	1930.01	4189.84	55	163	-7067	SLE QP 1	No				Si
-1170	9	-	1930.01	4189.84	0	0	-4312	SLE QP 1	No				Si

Verifiche a taglio

Quota	Filo	Ind.	Xp	Yp	Tx	Ty	N	MultT	Vrd,4.1.23	VRsd,4.1.27	VRcd,4.1.28	Cotg	Comb.	C.S.	Verifica
0	9	-	1930.01	4189.84	-30	5194	-30614		15124	16918	122103	1	SLU 6	3.26	Si
0	9	-	1930.01	4189.84	34	6123	-6505		12004	19456	175504	1	SLU EX 1	3.18	Si
0	9	-	1930.01	4189.84	727	4143	-18225		13521	16918	119699	1	SLD 12	4.02	Si
0	9	-	1930.01	4189.84	1799	7002	-11165		12607	16918	118328	1	SLV 12	2.34	Si
-123	9	-	1930.01	4189.84	-30	5194	-30614		15124	16918	122103	1	SLU 6	3.26	Si
-123	9	-	1930.01	4189.84	34	6123	-6505		12004	19456	175504	1	SLU EX 1	3.18	Si
-123	9	-	1930.01	4189.84	727	4143	-18225		13521	16918	119699	1	SLD 12	4.02	Si
-123	9	-	1930.01	4189.84	1799	7002	-11165		12607	16918	118328	1	SLV 12	2.34	Si
-246	9	-	1930.01	4189.84	-30	5194	-30614		15201	17029	122902	1	SLU 6	3.28	Si
-246	9	-	1930.01	4189.84	34	6123	-6505		12061	19583	176652	1	SLU EX 1	3.2	Si
-246	9	-	1930.01	4189.84	727	4143	-18225		13587	17029	120481	1	SLD 12	4.05	Si
-246	9	-	1930.01	4189.84	1799	7002	-11165		12668	17029	119102	1	SLV 12	2.36	Si
-369	9	-	1930.01	4189.84	-30	5194	-30614		15201	17029	122902	1	SLU 6	3.28	Si
-369	9	-	1930.01	4189.84	34	6123	-6505		12061	19583	176652	1	SLU EX 1	3.2	Si
-369	9	-	1930.01	4189.84	727	4143	-18225		13587	17029	120481	1	SLD 12	4.05	Si
-369	9	-	1930.01	4189.84	1799	7002	-11165		12668	17029	119102	1	SLV 12	2.36	Si
-493	9	-	1930.01	4189.84	-62	-2669	-20199		13844	17029	120867	1	SLU 2	6.38	Si
-493	9	-	1930.01	4189.84	-45	-3161	-6966		12121	19583	176742	1	SLU EX 1	6.19	Si
-493	9	-	1930.01	4189.84	-317	-2104	-15962		13292	17029	120039	1	SLD 12	8	Si
-493	9	-	1930.01	4189.84	-714	-3554	-10542		12587	17029	118980	1	SLV 12	4.7	Si
-677	9	-	1930.01	4189.84	-22	-1919	-19239		13719	17029	120679	1	SLU 6	8.87	Si
-677	9	-	1930.01	4189.84	-24	-2268	-5577		11940	19583	176470	1	SLU EX 1	8.63	Si
-677	9	-	1930.01	4189.84	-245	-1520	-11918		12766	17029	119249	1	SLD 12	11.06	Si
-677	9	-	1930.01	4189.84	-576	-2569	-8098		12268	17029	118503	1	SLV 12	6.47	Si
-801	9	-	1930.01	4189.84	-22	-1919	-19239		13719	17029	120679	1	SLU 6	8.87	Si
-801	9	-	1930.01	4189.84	-24	-2268	-5577		11940	19583	176470	1	SLU EX 1	8.63	Si
-801	9	-	1930.01	4189.84	-245	-1520	-11918		12766	17029	119249	1	SLD 12	11.06	Si
-801	9	-	1930.01	4189.84	-576	-2569	-8098		12268	17029	118503	1	SLV 12	6.47	Si
-924	9	-	1930.01	4189.84	1	-329	-12570		12851	17029	119376	1	SLU 6	51.83	Si
-924	9	-	1930.01	4189.84	-2	-387	-4236		11765	19583	176208	1	SLU EX 1	50.54	Si
-924	9	-	1930.01	4189.84	-46	-262	-7972		12252	17029	118478	1	SLD 12	64.06	Si
-924	9	-	1930.01	4189.84	-112	-443	-5721		11959	17029	118038	1	SLV 12	37.3	Si
-1047	9	-	1930.01	4189.84	3	53	-7093		12137	17029	118306	1	SLU 2	320.62	Si
-1047	9	-	1930.01	4189.84	2	63	-3782		11706	19583	176120	1	SLU EX 1	310.35	Si
-1047	9	-	1930.01	4189.84	4	41	-6033		11999	17029	118099	1	SLD 12	413.29	Si
-1047	9	-	1930.01	4189.84	7	69	-4677		11823	17029	117834	1	SLV 12	244.76	Si
-1170	9	-	1930.01	4189.84	0	0	-4117		11695	16918	116960	1	SLU 1	100	Si
-1170	9	-	1930.01	4189.84	0	0	-3038		11555	19456	174831	1	SLU EX 1	100	Si
-1170	9	-	1930.01	4189.84	0	0	-4229		11709	16918	116982	1	SLD 1	100	Si
-1170	9	-	1930.01	4189.84	0	0	-4355		11726	16918	117006	1	SLV 1	100	Si

Verifica di capacità portante per la famiglia SLU

Verifica di capacità portante verticale riferita al palo singolo

Fattore di correlazione ψ scelto in base alla conoscenza del sito = 1.7
Peso del palo = 8482.3 * 1.3

Filo	Ind.	Xp	Yp	γR laterale	γR punta	Pl,d	Pp,d	Def.vol	Comb.	Cnd	N	Ed	Rd	C.S.	Verifica
9	-	1930.01	4189.84	1.15	1.35	378966	12320		SLU 6	lungo	-30614	-41641	391285	9.4	Si

Verifica di capacità portante trasversale riferita al palo singolo

Fattore di correlazione ψ scelto in base alla conoscenza del sito = 1.7

Filo	Ind.	Xp	Yp	γR trasversale	LRF	Comb.	Cnd	Rd	Ed (T)	C.S.	Verifica
9	-	1930.01	4189.84	1.3	1	SLU 2	D	18539.4	5185.2	3.58	Si

Parametri utilizzati nel calcolo

Filo	Ind.	Xp	Yp	Tipo	L.frs.	L.tr.lib.	L.tr.inf.	Coes.	Fi	P.spec	T max	Mecc.coll.	M.plast.sup.	Quota sup.	N sup.	M.plast.inf.	Quota inf.	N inf.
9	-	1930.01	4189.84	TI	60	0	830	0.94	35	0.001	40972	PLV	5909252	-50	-23957	3585309	-394.2	-26178

Verifica di capacità portante per la famiglia SLU EX

Verifica di capacità portante verticale riferita al palo singolo

Fattore di correlazione ψ scelto in base alla conoscenza del sito = 1.7
Peso del palo = 8482.3 * 1

Filo	Ind.	Xp	Yp	γR laterale	γR punta	Pl,d	Pp,d	Def.vol	Comb.	Cnd	N	Ed	Rd	C.S.	Verifica
9	-	1930.01	4189.84	1	1	435810	16632		SLU EX 1	lungo	-6505	-14988	452442	30.19	Si

Verifica di capacità portante trasversale riferita al palo singolo

Fattore di correlazione ψ scelto in base alla conoscenza del sito = 1.7

Filo	Ind.	Xp	Yp	γR trasversale	LRF	Comb.	Cnd	Rd	Ed (T)	C.S.	Verifica
9	-	1930.01	4189.84	1	1	SLU EX 1	D	23391.1	6123.3	3.82	Si

Parametri utilizzati nel calcolo

Filo	Ind.	Xp	Yp	Tipo	L.frs.	L.tr.lib.	L.tr.inf.	Coes.	Fi	P.spec	T max	Mecc.coll.	M.plast.sup.	Quota sup.	N sup.	M.plast.inf.	Quota inf.	N inf.
9	-	1930.01	4189.84	TI	60	0	830	0.94	35	0.001	39765	PLV	5706785	-50	-6717	3311265	-389.1	-8902

Verifica di capacità portante per la famiglia SLD

Verifica di capacità portante verticale riferita al palo singolo

Fattore di correlazione ψ scelto in base alla conoscenza del sito = 1.7
Peso del palo = 8482.3 * 1

Filo	Ind.	Xp	Yp	γR laterale	γR punta	Pl,d	Pp,d	Def.vol	Comb.	Cnd	N	Ed	Rd	C.S.	Verifica
9	-	1930.01	4189.84	1.15	1.35	378966	12320		SLD 9	lungo	-28399	-36881	391285	10.61	Si

Verifica di capacità portante per la famiglia SLV

Verifica di capacità portante verticale riferita al palo singolo

Fattore di correlazione ψ scelto in base alla conoscenza del sito = 1.7
Peso del palo = 8482.3 * 1

Filo	Ind.	Xp	Yp	γR laterale	γR punta	Pl,d	Pp,d	Def.vol	Comb.	Cnd	N	Ed	Rd	C.S.	Verifica
9	-	1930.01	4189.84	1.15	1.35	378966	12320		SLV 9	lungo	-35664	-44146	391285	8.86	Si

Verifica di capacità portante trasversale riferita al palo singolo

Fattore di correlazione ψ scelto in base alla conoscenza del sito = 1.7

Filo	Ind.	Xp	Yp	γR trasversale	LRF	Comb.	Cnd	Rd	Ed (T)	C.S.	Verifica
9	-	1930.01	4189.84	1.3	1	SLV 12	D	14703.3	7229.4	2.03	Si

Parametri utilizzati nel calcolo

Filo	Ind.	Xp	Yp	Tipo	L.frs.	L.tr.lib.	L.tr.inf.	Coes.	Fi	P.spec	T max	Mecc.coll.	M.plast.sup.	Quota sup.	N sup.	M.plast.inf.	Quota inf.	N inf.
9	-	1930.01	4189.84	TI	60	0	830	0.94	35	0.001	32494	PLV	4220630	-50	-11377	2464519	-356.5	-13332

Trivellato D60 filo 10

Verifiche effettuate secondo D.M. 17-01-18, Circolare 7 21-01-19

Caratteristiche geometriche

Diametro 60
Lunghezza 1200

Caratteristiche dei materiali

Calcestruzzo C35/45 Rck 450
Acciaio B450C fyk,m: 4500

Verifiche a pressoflessione

Quota	Filo	Ind.	Xp	Yp	As	Cop.	N	|M|	Mu	Dom.	SnmFcd	MultM	Comb.	C.S.	Verifica
0	10	-	1930.01	4349.81	74.33	7.3	-37437	1470457	7168196	P			SLU 2	4.87	Si
0	10	-	1930.01	4349.81	74.33	7.3	-22756	1744773	6607452	P			SLU EX 1	3.79	Si
0	10	-	1930.01	4349.81	74.33	7.3	-28553	1212129	5647410	SE			SLD 8	4.66	Si
0	10	-	1930.01	4349.81	74.33	7.3	-28452	2084395	5004108	SE			SLV 8	2.4	Si
-123	10	-	1930.01	4349.81	112.03	7	-45396	834273	8137656	P			SLU 6	9.75	Si
-123	10	-	1930.01	4349.81	112.03	7	-23627	988820	9176254	P			SLU EX 1	9.28	Si
-123	10	-	1930.01	4349.81	112.03	7	-29424	694427	6592970	SE			SLD 8	9.49	Si
-123	10	-	1930.01	4349.81	112.03	7	-28912	1228032	6986050	SE			SLV 4	5.69	Si
-246	10	-	1930.01	4349.81	37.7	7	-46528	198636	2571490	P			SLU 6	12.95	Si
-246	10	-	1930.01	4349.81	37.7	7	-24497	233178	4390011	P			SLU EX 1	18.83	Si

Quota	Filo	Ind.	Xp	Yp	As	Cop.	N	|M|	Mu	Dom.	SnmFcd	MultM	Comb.	C.S.	Verifica
-246	10	-	1930.01	4349.81	37.7	7	-30120	219308	3288774	SE			SLD 4	15	Si
-246	10	-	1930.01	4349.81	37.7	7	-29783	442213	4257578	SE			SLV 4	9.63	Si
-369	10	-	1930.01	4349.81	37.7	7	-47659	442061	4330945	P			SLU 6	9.8	Si
-369	10	-	1930.01	4349.81	37.7	7	-25368	523504	5469150	P			SLU EX 1	10.45	Si
-369	10	-	1930.01	4349.81	37.7	7	-31315	347829	3993911	SE			SLD 12	11.48	Si
-369	10	-	1930.01	4349.81	37.7	7	-31415	588340	4323610	SE			SLV 12	7.35	Si
-493	10	-	1930.01	4349.81	37.7	7	-30869	901691	5235560	P			SLU 2	5.81	Si
-493	10	-	1930.01	4349.81	37.7	7	-19600	1068916	4344333	P			SLU EX 1	4.06	Si
-493	10	-	1930.01	4349.81	37.7	7	-24050	719976	4264384	SE			SLD 8	5.92	Si
-493	10	-	1930.01	4349.81	37.7	7	-23972	1226997	3242846	SE			SLV 8	2.64	Si
-677	10	-	1930.01	4349.81	37.7	7	-26693	414336	5241318	P			SLU 6	12.65	Si
-677	10	-	1930.01	4349.81	37.7	7	-14422	491414	5006604	P			SLU EX 1	10.19	Si
-677	10	-	1930.01	4349.81	37.7	7	-17559	332958	4324628	SE			SLD 8	12.99	Si
-677	10	-	1930.01	4349.81	37.7	7	-17504	568517	4094981	SE			SLV 8	7.2	Si
-801	10	-	1930.01	4349.81	37.7	7	-27824	178501	3470830	P			SLU 6	19.44	Si
-801	10	-	1930.01	4349.81	37.7	7	-15293	211717	5079614	P			SLU EX 1	23.99	Si
-801	10	-	1930.01	4349.81	37.7	7	-18429	143865	3420876	SE			SLD 8	23.78	Si
-801	10	-	1930.01	4349.81	37.7	7	-18375	245865	4189218	SE			SLV 8	17.04	Si
-924	10	-	1930.01	4349.81	37.7	7	-17414	27909	999762	P			SLU 6	35.82	Si
-924	10	-	1930.01	4349.81	37.7	7	-9796	33094	2107548	P			SLU EX 1	63.68	Si
-924	10	-	1930.01	4349.81	37.7	7	-11747	14590	774756	SE			SLD 13	53.1	Si
-924	10	-	1930.01	4349.81	37.7	7	-11724	39003	1912160	SE			SLV 12	49.03	Si
-1047	10	-	1930.01	4349.81	37.7	7	-11971	5094	265435	P			SLU 6	52.11	Si
-1047	10	-	1930.01	4349.81	37.7	7	-7040	6017	533207	P			SLU EX 1	88.62	Si
-1047	10	-	1930.01	4349.81	37.7	7	-8216	1680	127528	SE			SLD 13	75.93	Si
-1047	10	-	1930.01	4349.81	37.7	7	-8280	1906	143587	SE			SLV 13	75.34	Si
-1170	10	-	1930.01	4349.81	0	0	-6559	0	0	P			SLU 6	72.61	Si
-1170	10	-	1930.01	4349.81	0	0	-4302	0	0	P			SLU EX 1	110.71	Si
-1170	10	-	1930.01	4349.81	0	0	-4705	0	0	SE			SLD 13	101.23	Si
-1170	10	-	1930.01	4349.81	0	0	-4728	0	0	SE			SLV 13	100.75	Si

Verifiche delle tensioni nella famiglia Rara

Tensione limite del calcestruzzo: 224.1
Tensione limite dell'acciaio: 3600
Coefficiente di omogeneizzazione impiegato: Es / Ec = 5.95

Quota	Filo	Ind.	Xp	Yp	Mx	My	N	Comb.	Sc,max	Mx	My	N	Comb.	Sf,max	Verifica
0	10	-	1930.01	4349.81	-979477	-61730	-32544	SLE RA 2	-70.7	-979477	-61730	-32544	SLE RA 2	403.9	Si
-123	10	-	1930.01	4349.81	-554842	-44522	-33414	SLE RA 2	-30.4	-554842	-44522	-33414	SLE RA 2	37.7	Si
-246	10	-	1930.01	4349.81	-130208	-27314	-34285	SLE RA 2	-17.1	-130208	-27314	-34285	SLE RA 2	-40.7	Si
-369	10	-	1930.01	4349.81	294427	-10106	-35155	SLE RA 2	-24.4	294427	-10106	-35155	SLE RA 2	-10.4	Si
-493	10	-	1930.01	4349.81	600805	4092	-27112	SLE RA 2	-49.1	600805	4092	-27112	SLE RA 2	246	Si
-677	10	-	1930.01	4349.81	276147	5153	-19718	SLE RA 2	-18.5	276147	5153	-19718	SLE RA 2	16.2	Si
-801	10	-	1930.01	4349.81	118960	2882	-20589	SLE RA 2	-12	118960	2882	-20589	SLE RA 2	-16.7	Si
-924	10	-	1930.01	4349.81	18578	1159	-12916	SLE RA 2	-5.1	17	828	-9796	SLE RA 1	-19	Si
-1047	10	-	1930.01	4349.81	-3385	255	-8919	SLE RA 2	-3.1	18	164	-7040	SLE RA 1	-13.8	Si
-1170	10	-	1930.01	4349.81	0	0	-4947	SLE RA 2	-1.8	0	0	0		0	Si

Verifiche delle tensioni nella famiglia Quasi permanenti

Tensione limite del calcestruzzo: 168.1
Coefficiente di omogeneizzazione impiegato: Es * (1 + φ) / Ec = 5.95
Coefficiente di viscosità: φ = 0

Quota	Filo	Ind.	Xp	Yp	Mx	My	N	Comb.	Sc,max	Verifica
0	10	-	1930.01	4349.81	-588047	-54664	-28629	SLE QP 2	-32.6	Si
-123	10	-	1930.01	4349.81	-333280	-39274	-29499	SLE QP 2	-21	Si
-246	10	-	1930.01	4349.81	-78513	-23884	-30370	SLE QP 2	-13.6	Si
-369	10	-	1930.01	4349.81	176254	-8494	-31240	SLE QP 2	-18	Si
-493	10	-	1930.01	4349.81	360103	4161	-24107	SLE QP 2	-23.6	Si
-677	10	-	1930.01	4349.81	165572	4758	-17600	SLE QP 2	-13	Si
-801	10	-	1930.01	4349.81	71337	2625	-18470	SLE QP 2	-9.2	Si
-924	10	-	1930.01	4349.81	11154	1027	-11668	SLE QP 2	-4.3	Si
-1047	10	-	1930.01	4349.81	-2024	219	-8168	SLE QP 2	-2.8	Si
-1170	10	-	1930.01	4349.81	0	0	-4689	SLE QP 2	-1.7	Si

Verifiche delle fessure nella famiglia Esercizio frequente

Valore limite di controllo: 0.2 mm
Coefficiente di omogeneizzazione impiegato: Es / Ec = 5.95

Quota	Filo	Ind.	Xp	Yp	Mx	My	N	Comb.	Fess	Wka,mm	Wk,mm	Sm,cm	Verifica
0	10	-	1930.01	4349.81	-903	-44065	-22756	SLE FR 1	No				Si
-123	10	-	1930.01	4349.81	-937	-31402	-23627	SLE FR 1	No				Si
-246	10	-	1930.01	4349.81	-971	-18738	-24497	SLE FR 1	No				Si
-369	10	-	1930.01	4349.81	-1005	-6075	-25368	SLE FR 1	No				Si
-493	10	-	1930.01	4349.81	-950	4264	-19600	SLE FR 1	No				Si
-677	10	-	1930.01	4349.81	-291	4165	-14422	SLE FR 1	No				Si
-801	10	-	1930.01	4349.81	-96	2240	-15293	SLE FR 1	No				Si
-924	10	-	1930.01	4349.81	17	828	-9796	SLE FR 1	No				Si
-1047	10	-	1930.01	4349.81	18	164	-7040	SLE FR 1	No				Si
-1170	10	-	1930.01	4349.81	0	0	-4302	SLE FR 1	No				Si

Verifiche delle fessure nella famiglia Esercizio quasi permanente

Valore limite di controllo: 0.2 mm
Coefficiente di omogeneizzazione impiegato: Es * (1 + φ) / Ec = 5.95
Coefficiente di viscosità: φ = 0

Quota	Filo	Ind.	Xp	Yp	Mx	My	N	Comb.	Fess	Wka,mm	Wk,mm	Sm,cm	Verifica
0	10	-	1930.01	4349.81	-903	-44065	-22756	SLE QP 1	No				Si
-123	10	-	1930.01	4349.81	-937	-31402	-23627	SLE QP 1	No				Si
-246	10	-	1930.01	4349.81	-971	-18738	-24497	SLE QP 1	No				Si
-369	10	-	1930.01	4349.81	-1005	-6075	-25368	SLE QP 1	No				Si

Quota	Filo	Ind.	Xp	Yp	Mx	My	N	Comb.	Fess	Wka,mm	Wk,mm	Sm,cm	Verifica
-493	10	-	1930.01	4349.81	-950	4264	-19600	SLE QP 1	No				Si
-677	10	-	1930.01	4349.81	-291	4165	-14422	SLE QP 1	No				Si
-801	10	-	1930.01	4349.81	-96	2240	-15293	SLE QP 1	No				Si
-924	10	-	1930.01	4349.81	17	828	-9796	SLE QP 1	No				Si
-1047	10	-	1930.01	4349.81	18	164	-7040	SLE QP 1	No				Si
-1170	10	-	1930.01	4349.81	0	0	-4302	SLE QP 1	No				Si

Verifiche a taglio

Quota	Filo	Ind.	Xp	Yp	Tx	Ty	N	MultT	Vrd,4.1.23	VRsd,4.1.27	VRcd,4.1.28	Cotg	Comb.	C.S.	Verifica
0	10	-	1930.01	4349.81	-189	5172	-44264		16890	16918	124753	1	SLU 6	3.27	Si
0	10	-	1930.01	4349.81	-102	6138	-22756		14107	19456	178659	1	SLU EX 1	3.17	Si
0	10	-	1930.01	4349.81	-790	4134	-28553		14857	16918	121703	1	SLD 8	4.02	Si
0	10	-	1930.01	4349.81	-1685	7011	-28452		14844	16918	121684	1	SLV 8	2.35	Si
-123	10	-	1930.01	4349.81	-189	5172	-44264		16890	16918	124753	1	SLU 6	3.27	Si
-123	10	-	1930.01	4349.81	-102	6138	-22756		14107	19456	178659	1	SLU EX 1	3.17	Si
-123	10	-	1930.01	4349.81	-790	4134	-28553		14857	16918	121703	1	SLD 8	4.02	Si
-123	10	-	1930.01	4349.81	-1685	7011	-28452		14844	16918	121684	1	SLV 8	2.35	Si
-246	10	-	1930.01	4349.81	-189	5172	-44264		16979	17029	125569	1	SLU 6	3.29	Si
-246	10	-	1930.01	4349.81	-102	6138	-22756		14177	19583	179827	1	SLU EX 1	3.19	Si
-246	10	-	1930.01	4349.81	-790	4134	-28553		14933	17029	122499	1	SLD 8	4.05	Si
-246	10	-	1930.01	4349.81	-1685	7011	-28452		14919	17029	122479	1	SLV 8	2.36	Si
-369	10	-	1930.01	4349.81	-189	5172	-44264		16979	17029	125569	1	SLU 6	3.29	Si
-369	10	-	1930.01	4349.81	-102	6138	-22756		14177	19583	179827	1	SLU EX 1	3.19	Si
-369	10	-	1930.01	4349.81	-790	4134	-28553		14933	17029	122499	1	SLD 8	4.05	Si
-369	10	-	1930.01	4349.81	-1685	7011	-28452		14919	17029	122479	1	SLV 8	2.36	Si
-493	10	-	1930.01	4349.81	-10	-2668	-30709		15213	17029	122920	1	SLU 2	6.38	Si
-493	10	-	1930.01	4349.81	0	-3162	-19440		13745	19583	179179	1	SLU EX 1	6.19	Si
-493	10	-	1930.01	4349.81	-258	-2103	-24005		14340	17029	121611	1	SLD 12	8.04	Si
-493	10	-	1930.01	4349.81	589	-3557	-23812		14315	17029	121573	1	SLV 8	4.72	Si
-677	10	-	1930.01	4349.81	20	-1915	-22314		14120	17029	121280	1	SLU 2	8.89	Si
-677	10	-	1930.01	4349.81	15	-2271	-14370		13085	19583	178188	1	SLU EX 1	8.62	Si
-677	10	-	1930.01	4349.81	225	-1519	-17507		13494	17029	120341	1	SLD 8	11.09	Si
-677	10	-	1930.01	4349.81	506	-2571	-17452		13487	17029	120330	1	SLV 8	6.5	Si
-801	10	-	1930.01	4349.81	20	-1915	-22314		14120	17029	121280	1	SLU 2	8.89	Si
-801	10	-	1930.01	4349.81	15	-2271	-14370		13085	19583	178188	1	SLU EX 1	8.62	Si
-801	10	-	1930.01	4349.81	225	-1519	-17507		13494	17029	120341	1	SLD 8	11.09	Si
-801	10	-	1930.01	4349.81	506	-2571	-17452		13487	17029	120330	1	SLV 8	6.5	Si
-924	10	-	1930.01	4349.81	11	-327	-16921		13417	17029	120227	1	SLU 6	52.01	Si
-924	10	-	1930.01	4349.81	6	-388	-9416		12440	19583	177221	1	SLU EX 1	50.42	Si
-924	10	-	1930.01	4349.81	49	-261	-11264		12681	17029	119121	1	SLD 8	64.06	Si
-924	10	-	1930.01	4349.81	104	-443	-11232		12676	17029	119115	1	SLV 8	37.4	Si
-1047	10	-	1930.01	4349.81	3	53	-9723		12480	17029	118820	1	SLU 2	319.66	Si
-1047	10	-	1930.01	4349.81	2	63	-6903		12112	19583	176730	1	SLU EX 1	311.32	Si
-1047	10	-	1930.01	4349.81	4	41	-8045		12261	17029	118492	1	SLD 12	412.2	Si
-1047	10	-	1930.01	4349.81	7	69	-8065		12264	17029	118496	1	SLV 12	245.28	Si
-1170	10	-	1930.01	4349.81	0	0	-4108		11694	16918	116958	1	SLU 1	100	Si
-1170	10	-	1930.01	4349.81	0	0	-4108		11694	19456	175039	1	SLU EX 1	100	Si
-1170	10	-	1930.01	4349.81	0	0	-4478		11742	16918	117030	1	SLD 1	100	Si
-1170	10	-	1930.01	4349.81	0	0	-4456		11739	16918	117026	1	SLV 1	100	Si

Verifica di capacità portante per la famiglia SLU

Verifica di capacità portante verticale riferita al palo singolo

Fattore di correlazione ψ scelto in base alla conoscenza del sito = 1.7
Peso del palo = 8482.3 * 1.3

Filo	Ind.	Xp	Yp	γR laterale	γR punta	Pl,d	Pp,d	Def.vol	Comb.	Cnd	N	Ed	Rd	C.S.	Verifica
10	-	1930.01	4349.81	1.15	1.35	378966	12320		SLU 6	lungo	-44264	-55291	391285	7.08	Si

Verifica di capacità portante trasversale riferita al palo singolo

Fattore di correlazione ψ scelto in base alla conoscenza del sito = 1.7

Filo	Ind.	Xp	Yp	γR trasversale	LRF	Comb.	Cnd	Rd	Ed (T)	C.S.	Verifica
10	-	1930.01	4349.81	1.3	1	SLU 2	D	18958.2	5174.4	3.66	Si

Parametri utilizzati nel calcolo

Filo	Ind.	Xp	Yp	Tipo	L.frs.	L.tr.lib.	L.tr.inf.	Coes.	Fi	P.spec	T max	Mecc.coll.	M.plast.sup.	Quota sup.	N sup.	M.plast.inf.	Quota inf.	N inf.
10	-	1930.01	4349.81	TI	60	0	830	0.94	35	0.001	41898	PLV	6062894	-50	-37649	3802927	-398.1	-39898

Verifica di capacità portante per la famiglia SLU EX

Verifica di capacità portante verticale riferita al palo singolo

Fattore di correlazione ψ scelto in base alla conoscenza del sito = 1.7
Peso del palo = 8482.3 * 1

Filo	Ind.	Xp	Yp	γR laterale	γR punta	Pl,d	Pp,d	Def.vol	Comb.	Cnd	N	Ed	Rd	C.S.	Verifica
10	-	1930.01	4349.81	1	1	435810	16632		SLU EX 1	lungo	-22756	-31238	452442	14.48	Si

Verifica di capacità portante trasversale riferita al palo singolo

Fattore di correlazione ψ scelto in base alla conoscenza del sito = 1.7

Filo	Ind.	Xp	Yp	γR trasversale	LRF	Comb.	Cnd	Rd	Ed (T)	C.S.	Verifica
10	-	1930.01	4349.81	1	1	SLU EX 1	D	24061.6	6138.5	3.92	Si

Parametri utilizzati nel calcolo

Filo	Ind.	Xp	Yp	Tipo	L.frs.	L.tr.lib.	L.tr.inf.	Coes.	Fi	P.spec	T max	Mecc.coll.	M.plast.sup.	Quota sup.	N sup.	M.plast.inf.	Quota inf.	N inf.
10	-	1930.01	4349.81	TI	60	0	830	0.94	35	0.001	40905	PLV	5898151	-50	-22968	3569585	-393.9	-25187

Verifica di capacità portante per la famiglia SLD

Verifica di capacità portante verticale riferita al palo singolo

Fattore di correlazione ψ scelto in base alla conoscenza del sito = 1.7
Peso del palo = 8482.3 * 1

Filo	Ind.	Xp	Yp	γR laterale	γR punta	Pl,d	Pp,d	Def.vol	Comb.	Cnd	N	Ed	Rd	C.S.	Verifica
10	-	1930.01	4349.81	1.15	1.35	378966	12320		SLD 13	lungo	-28879	-37361	391285	10.47	Si

Verifica di capacità portante per la famiglia SLV

Verifica di capacità portante verticale riferita al palo singolo

Fattore di correlazione ψ scelto in base alla conoscenza del sito = 1.7
Peso del palo = 8482.3 * 1

Filo	Ind.	Xp	Yp	γR laterale	γR punta	Pl,d	Pp,d	Def.vol	Comb.	Cnd	N	Ed	Rd	C.S.	Verifica
10	-	1930.01	4349.81	1.15	1.35	378966	12320		SLV 13	lungo	-29215	-37698	391285	10.38	Si

Verifica di capacità portante trasversale riferita al palo singolo

Fattore di correlazione ψ scelto in base alla conoscenza del sito = 1.7

Filo	Ind.	Xp	Yp	γR trasversale	LRF	Comb.	Cnd	Rd	Ed (T)	C.S.	Verifica
10	-	1930.01	4349.81	1.3	1	SLV 8	D	15369.6	7211.1	2.13	Si

Parametri utilizzati nel calcolo

Filo	Ind.	Xp	Yp	Tipo	L.frs.	L.tr.lib.	L.tr.inf.	Coes.	Fi	P.spec	T max	Mecc.coll.	M.plast.sup.	Quota sup.	N sup.	M.plast.inf.	Quota inf.	N inf.
10	-	1930.01	4349.81	TI	60	0	830	0.94	35	0.001	33967	PLV	4462507	-50	-28664	2742292	-363.4	-30667

Trivellato D60 filo 11

Verifiche effettuate secondo D.M. 17-01-18, Circolare 7 21-01-19

Caratteristiche geometriche

Diametro 60
Lunghezza 1200

Caratteristiche dei materiali

Calcestruzzo C35/45 Rck 450
Acciaio B450C fyk,m: 4500

Verifiche a pressoflessione

Quota	Filo	Ind.	Xp	Yp	As	Cop.	N	|M|	Mu	Dom.	SnmFcd	MultM	Comb.	C.S.	Verifica
0	11	-	1930.01	4509.78	74.33	7.3	-58224	1436817	7182810	P			SLU 6	5	Si
0	11	-	1930.01	4509.78	74.33	7.3	-39161	1717358	7064914	P			SLU EX 1	4.11	Si
0	11	-	1930.01	4509.78	74.33	7.3	-39229	1201668	5563811	SE			SLD 8	4.63	Si
0	11	-	1930.01	4509.78	74.33	7.3	-37483	2045673	5387027	SE			SLV 4	2.63	Si
-123	11	-	1930.01	4509.78	112.03	7	-59356	810411	7327619	P			SLU 6	9.04	Si
-123	11	-	1930.01	4509.78	112.03	7	-40031	969715	8721094	P			SLU EX 1	8.99	Si
-123	11	-	1930.01	4509.78	112.03	7	-40099	687363	6252056	SE			SLD 8	9.1	Si
-123	11	-	1930.01	4509.78	112.03	7	-38354	1243267	6830905	SE			SLV 4	5.49	Si
-246	11	-	1930.01	4509.78	37.7	7	-60487	186733	1925864	P			SLU 6	10.31	Si
-246	11	-	1930.01	4509.78	37.7	7	-40902	222798	3098004	P			SLU EX 1	13.9	Si
-246	11	-	1930.01	4509.78	37.7	7	-37311	222006	2901839	SE			SLD 4	13.07	Si
-246	11	-	1930.01	4509.78	37.7	7	-39224	449688	4032983	SE			SLV 4	8.97	Si
-369	11	-	1930.01	4509.78	37.7	7	-61619	445817	3757570	P			SLU 6	8.43	Si
-369	11	-	1930.01	4509.78	37.7	7	-41772	526492	4940595	P			SLU EX 1	9.38	Si
-369	11	-	1930.01	4509.78	37.7	7	-41995	350055	3540856	SE			SLD 12	10.12	Si
-369	11	-	1930.01	4509.78	37.7	7	-49260	590738	4087695	SE			SLV 12	6.92	Si
-493	11	-	1930.01	4509.78	37.7	7	-47464	896319	5406656	P			SLU 6	6.03	Si
-493	11	-	1930.01	4509.78	37.7	7	-32192	1065123	5046141	P			SLU EX 1	4.74	Si
-493	11	-	1930.01	4509.78	37.7	7	-32244	719736	4316644	SE			SLD 8	6	Si
-493	11	-	1930.01	4509.78	37.7	7	-37662	1231103	4077868	SE			SLV 8	3.31	Si
-677	11	-	1930.01	4509.78	37.7	7	-34246	410372	4855204	P			SLU 6	11.83	Si
-677	11	-	1930.01	4509.78	37.7	7	-23299	488386	5479750	P			SLU EX 1	11.22	Si
-677	11	-	1930.01	4509.78	37.7	7	-23335	332121	4236324	SE			SLD 8	12.76	Si
-677	11	-	1930.01	4509.78	37.7	7	-27155	569935	4320737	SE			SLV 8	7.58	Si
-801	11	-	1930.01	4509.78	37.7	7	-35378	176469	2900497	P			SLU 6	16.44	Si
-801	11	-	1930.01	4509.78	37.7	7	-24169	210155	4180842	P			SLU EX 1	19.89	Si
-801	11	-	1930.01	4509.78	37.7	7	-24206	143367	2893120	SE			SLD 8	20.18	Si
-801	11	-	1930.01	4509.78	37.7	7	-28025	246400	3635018	SE			SLV 8	14.75	Si
-924	11	-	1930.01	4509.78	37.7	7	-21865	27257	777702	P			SLU 6	28.53	Si
-924	11	-	1930.01	4509.78	37.7	7	-15025	32578	1352616	P			SLU EX 1	41.52	Si
-924	11	-	1930.01	4509.78	37.7	7	-15096	21981	908370	SE			SLD 12	41.32	Si
-924	11	-	1930.01	4509.78	37.7	7	-17297	39570	1414929	SE			SLV 8	35.76	Si
-1047	11	-	1930.01	4509.78	37.7	7	-14652	5213	221931	P			SLU 6	42.58	Si
-1047	11	-	1930.01	4509.78	37.7	7	-10190	6109	373964	P			SLU EX 1	61.22	Si
-1047	11	-	1930.01	4509.78	37.7	7	-10233	4036	246034	SE			SLD 12	60.96	Si
-1047	11	-	1930.01	4509.78	37.7	7	-11628	6752	362244	SE			SLV 12	53.65	Si
-1170	11	-	1930.01	4509.78	0	0	-7478	0	0	P			SLU 6	63.69	Si
-1170	11	-	1930.01	4509.78	0	0	-5382	0	0	P			SLU EX 1	88.5	Si
-1170	11	-	1930.01	4509.78	0	0	-5397	0	0	SE			SLD 12	88.26	Si
-1170	11	-	1930.01	4509.78	0	0	-5875	0	0	SE			SLV 12	81.07	Si

Verifiche delle tensioni nella famiglia Rara

Tensione limite del calcestruzzo: 224.1
Tensione limite dell'acciaio: 3600
Coefficiente di omogeneizzazione impiegato: Es / Ec = 5.95

Quota	Filo	Ind.	Xp	Yp	Mx	My	N	Comb.	Sc,max	Mx	My	N	Comb.	Sf,max	Verifica
0	11	-	1930.01	4509.78	-952171	-96282	-41852	SLE RA 2	-66.5	-952171	-96282	-41852	SLE RA 2	281.1	Si
-123	11	-	1930.01	4509.78	-535720	-66368	-42723	SLE RA 2	-32.4	-535720	-66368	-42723	SLE RA 2	18.9	Si
-246	11	-	1930.01	4509.78	-119270	-36454	-43593	SLE RA 2	-19.8	3688	-18569	-24512	SLE RA 1	-44.3	Si
-369	11	-	1930.01	4509.78	297180	-6541	-44464	SLE RA 2	-27.6	297180	-6541	-44464	SLE RA 2	-28.1	Si
-493	11	-	1930.01	4509.78	596971	17249	-34258	SLE RA 2	-37.3	596971	17249	-34258	SLE RA 2	51.5	Si

Quota	Filo	Ind.	Xp	Yp	Mx	My	N	Comb.	Sc,max	Mx	My	N	Comb.	Sf,max	Verifica
-677	11	-	1930.01	4509.78	273134	11979	-24755	SLE RA 2	-20.1	273134	11979	-24755	SLE RA 2	5.8	Si
-801	11	-	1930.01	4509.78	117409	5980	-25625	SLE RA 2	-13.6	117409	5980	-25625	SLE RA 2	-26.8	Si
-924	11	-	1930.01	4509.78	18065	1812	-15883	SLE RA 2	-6	-202	821	-9800	SLE RA 1	-19	Si
-1047	11	-	1930.01	4509.78	-3470	247	-10707	SLE RA 2	-3.7	-19	162	-7043	SLE RA 1	-13.8	Si
-1170	11	-	1930.01	4509.78	0	0	-5559	SLE RA 2	-2	0	0	0		0	Si

Verifiche delle tensioni nella famiglia Quasi permanenti

Tensione limite del calcestruzzo: 168.1
Coefficiente di omogeneizzazione impiegato: Es * (1 + φ) / Ec = 5.95
Coefficiente di viscosità: φ = 0

Quota	Filo	Ind.	Xp	Yp	Mx	My	N	Comb.	Sc,max	Verifica
0	11	-	1930.01	4509.78	-567022	-75235	-34219	SLE QP 2	-33.6	Si
-123	11	-	1930.01	4509.78	-318554	-52268	-35090	SLE QP 2	-22.1	Si
-246	11	-	1930.01	4509.78	-70087	-29300	-35961	SLE QP 2	-15.1	Si
-369	11	-	1930.01	4509.78	178380	-6333	-36831	SLE QP 2	-19.9	Si
-493	11	-	1930.01	4509.78	357159	12039	-28399	SLE QP 2	-24.9	Si
-677	11	-	1930.01	4509.78	163254	8838	-20625	SLE QP 2	-13.9	Si
-801	11	-	1930.01	4509.78	70144	4476	-21495	SLE QP 2	-10.1	Si
-924	11	-	1930.01	4509.78	10758	1415	-13450	SLE QP 2	-4.9	Si
-1047	11	-	1930.01	4509.78	-2090	213	-9241	SLE QP 2	-3.1	Si
-1170	11	-	1930.01	4509.78	0	0	-5057	SLE QP 2	-1.8	Si

Verifiche delle fessure nella famiglia Esercizio frequente

Valore limite di controllo: 0.2 mm
Coefficiente di omogeneizzazione impiegato: Es / Ec = 5.95

Quota	Filo	Ind.	Xp	Yp	Mx	My	N	Comb.	Fess	Wka,mm	Wk,mm	Sm,cm	Verifica
0	11	-	1930.01	4509.78	10701	-43665	-22771	SLE FR 1	No				Si
-123	11	-	1930.01	4509.78	7195	-31117	-23641	SLE FR 1	No				Si
-246	11	-	1930.01	4509.78	3688	-18569	-24512	SLE FR 1	No				Si
-369	11	-	1930.01	4509.78	181	-6020	-25382	SLE FR 1	No				Si
-493	11	-	1930.01	4509.78	-2560	4224	-19611	SLE FR 1	No				Si
-677	11	-	1930.01	4509.78	-1565	4127	-14430	SLE FR 1	No				Si
-801	11	-	1930.01	4509.78	-753	2220	-15300	SLE FR 1	No				Si
-924	11	-	1930.01	4509.78	-202	821	-9800	SLE FR 1	No				Si
-1047	11	-	1930.01	4509.78	-19	162	-7043	SLE FR 1	No				Si
-1170	11	-	1930.01	4509.78	0	0	-4303	SLE FR 1	No				Si

Verifiche delle fessure nella famiglia Esercizio quasi permanente

Valore limite di controllo: 0.2 mm
Coefficiente di omogeneizzazione impiegato: Es * (1 + φ) / Ec = 5.95
Coefficiente di viscosità: φ = 0

Quota	Filo	Ind.	Xp	Yp	Mx	My	N	Comb.	Fess	Wka,mm	Wk,mm	Sm,cm	Verifica
0	11	-	1930.01	4509.78	10701	-43665	-22771	SLE QP 1	No				Si
-123	11	-	1930.01	4509.78	7195	-31117	-23641	SLE QP 1	No				Si
-246	11	-	1930.01	4509.78	3688	-18569	-24512	SLE QP 1	No				Si
-369	11	-	1930.01	4509.78	181	-6020	-25382	SLE QP 1	No				Si
-493	11	-	1930.01	4509.78	-2560	4224	-19611	SLE QP 1	No				Si
-677	11	-	1930.01	4509.78	-1565	4127	-14430	SLE QP 1	No				Si
-801	11	-	1930.01	4509.78	-753	2220	-15300	SLE QP 1	No				Si
-924	11	-	1930.01	4509.78	-202	821	-9800	SLE QP 1	No				Si
-1047	11	-	1930.01	4509.78	-19	162	-7043	SLE QP 1	No				Si
-1170	11	-	1930.01	4509.78	0	0	-4303	SLE QP 1	No				Si

Verifiche a taglio

Quota	Filo	Ind.	Xp	Yp	Tx	Ty	N	MultT	Vrd,4.1.23	VRsd,4.1.27	VRcd,4.1.28	Cotg	Comb.	C.S.	Verifica
0	11	-	1930.01	4509.78	-313	5086	-51393		17813	16918	126137	1	SLU 2	3.5	Si
0	11	-	1930.01	4509.78	-236	6067	-39161		16230	19456	181843	1	SLU EX 1	3.2	Si
0	11	-	1930.01	4509.78	-973	4069	-39229		16239	16918	123776	1	SLD 8	4.04	Si
0	11	-	1930.01	4509.78	-2042	6928	-46287		17152	16918	125146	1	SLV 8	2.37	Si
-123	11	-	1930.01	4509.78	-313	5086	-51393		17813	16918	126137	1	SLU 2	3.5	Si
-123	11	-	1930.01	4509.78	-236	6067	-39161		16230	19456	181843	1	SLU EX 1	3.2	Si
-123	11	-	1930.01	4509.78	-973	4069	-39229		16239	16918	123776	1	SLD 8	4.04	Si
-123	11	-	1930.01	4509.78	-2042	6928	-46287		17152	16918	125146	1	SLV 8	2.37	Si
-246	11	-	1930.01	4509.78	-313	5086	-51393		17907	17029	126962	1	SLU 2	3.51	Si
-246	11	-	1930.01	4509.78	-236	6067	-39161		16314	19583	183032	1	SLU EX 1	3.23	Si
-246	11	-	1930.01	4509.78	-973	4069	-39229		16323	17029	124585	1	SLD 8	4.07	Si
-246	11	-	1930.01	4509.78	-2042	6928	-46287		17242	17029	125964	1	SLV 8	2.39	Si
-369	11	-	1930.01	4509.78	-313	5086	-51393		17907	17029	126962	1	SLU 2	3.51	Si
-369	11	-	1930.01	4509.78	-236	6067	-39161		16314	19583	183032	1	SLU EX 1	3.23	Si
-369	11	-	1930.01	4509.78	-973	4069	-39229		16323	17029	124585	1	SLD 8	4.07	Si
-369	11	-	1930.01	4509.78	-2042	6928	-46287		17242	17029	125964	1	SLV 8	2.39	Si
-493	11	-	1930.01	4509.78	42	-2663	-41421		16609	17029	125013	1	SLU 2	6.39	Si
-493	11	-	1930.01	4509.78	45	-3158	-32032		15386	19583	181639	1	SLU EX 1	6.2	Si
-493	11	-	1930.01	4509.78	308	-2100	-32084		15392	17029	123189	1	SLD 8	8.02	Si
-493	11	-	1930.01	4509.78	704	-3551	-37502		16098	17029	124248	1	SLV 8	4.7	Si
-677	11	-	1930.01	4509.78	65	-1900	-29865		15103	17029	122756	1	SLU 2	8.96	Si
-677	11	-	1930.01	4509.78	55	-2258	-23246		14241	19583	179923	1	SLU EX 1	8.67	Si
-677	11	-	1930.01	4509.78	278	-1507	-23283		14246	17029	121470	1	SLD 8	11.11	Si
-677	11	-	1930.01	4509.78	609	-2556	-27102		14744	17029	122216	1	SLV 8	6.48	Si
-801	11	-	1930.01	4509.78	65	-1900	-29865		15103	17029	122756	1	SLU 2	8.96	Si
-801	11	-	1930.01	4509.78	55	-2258	-23246		14241	19583	179923	1	SLU EX 1	8.67	Si
-801	11	-	1930.01	4509.78	278	-1507	-23283		14246	17029	121470	1	SLD 8	11.11	Si
-801	11	-	1930.01	4509.78	609	-2556	-27102		14744	17029	122216	1	SLV 8	6.48	Si
-924	11	-	1930.01	4509.78	19	-322	-18545		13629	17029	120544	1	SLU 2	52.77	Si
-924	11	-	1930.01	4509.78	14	-384	-14646		13121	19583	178242	1	SLU EX 1	50.95	Si
-924	11	-	1930.01	4509.78	60	-257	-14667		13124	17029	119786	1	SLD 8	64.41	Si
-924	11	-	1930.01	4509.78	126	-438	-16917		13417	17029	120226	1	SLV 8	37.34	Si
-1047	11	-	1930.01	4509.78	4	54	-14475		13099	17029	119749	1	SLU 6	312.5	Si

Quota	Filo	Ind.	Xp	Yp	Tx	Ty	N	MultT	Vrd,4.1.23	VRsd,4.1.27	VRcd,4.1.28	Cotg	Comb.	C.S.	Verifica
-1047	11	-	1930.01	4509.78	2	64	-10054		12523	19583	177345	1	SLU EX 1	306.65	Si
-1047	11	-	1930.01	4509.78	4	42	-10096		12528	17029	118893	1	SLD 12	403.62	Si
-1047	11	-	1930.01	4509.78	7	70	-11492		12710	17029	119166	1	SLV 12	241.24	Si
-1170	11	-	1930.01	4509.78	0	0	-4109		11694	16918	116959	1	SLU 1	100	Si
-1170	11	-	1930.01	4509.78	0	0	-5188		11833	19456	175248	1	SLU EX 1	100	Si
-1170	11	-	1930.01	4509.78	0	0	-4740		11776	16918	117081	1	SLD 1	100	Si
-1170	11	-	1930.01	4509.78	0	0	-4568		11753	16918	117048	1	SLV 1	100	Si

Verifica di capacità portante per la famiglia SLU

Verifica di capacità portante verticale riferita al palo singolo

Fattore di correlazione ψ scelto in base alla conoscenza del sito = 1.7
Peso del palo = 8482.3 * 1.3

Filo	Ind.	Xp	Yp	γR laterale	γR punta	Pl,d	Pp,d	Def.vol	Comb.	Cnd	N	Ed	Rd	C.S.	Verifica
11	-	1930.01	4509.78	1.15	1.35	378966	12320		SLU 6	lungo	-58224	-69251	391285	5.65	Si

Verifica di capacità portante trasversale riferita al palo singolo

Fattore di correlazione ψ scelto in base alla conoscenza del sito = 1.7

Filo	Ind.	Xp	Yp	γR trasversale	LRF	Comb.	Cnd	Rd	Ed (T)	C.S.	Verifica
11	-	1930.01	4509.78	1.3	1	SLU 2	D	19380.3	5096	3.8	Si

Parametri utilizzati nel calcolo

Filo	Ind.	Xp	Yp	Tipo	L.frs.	L.tr.lib.	L.tr.inf.	Coes.	Fi	P.spec	T max	Mecc.coll.	M.plast.sup.	Quota sup.	N sup.	M.plast.inf.	Quota inf.	N inf.
11	-	1930.01	4509.78	TI	60	0	830	0.94	35	0.001	42831	PLV	6219494	-50	-51605	4024727	-401.9	-53880

Verifica di capacità portante per la famiglia SLU EX

Verifica di capacità portante verticale riferita al palo singolo

Fattore di correlazione ψ scelto in base alla conoscenza del sito = 1.7
Peso del palo = 8482.3 * 1

Filo	Ind.	Xp	Yp	γR laterale	γR punta	Pl,d	Pp,d	Def.vol	Comb.	Cnd	N	Ed	Rd	C.S.	Verifica
11	-	1930.01	4509.78	1	1	435810	16632		SLU EX 1	lungo	-39161	-47643	452442	9.5	Si

Verifica di capacità portante trasversale riferita al palo singolo

Fattore di correlazione ψ scelto in base alla conoscenza del sito = 1.7

Filo	Ind.	Xp	Yp	γR trasversale	LRF	Comb.	Cnd	Rd	Ed (T)	C.S.	Verifica
11	-	1930.01	4509.78	1	1	SLU EX 1	D	24713.7	6071.5	4.07	Si

Parametri utilizzati nel calcolo

Filo	Ind.	Xp	Yp	Tipo	L.frs.	L.tr.lib.	L.tr.inf.	Coes.	Fi	P.spec	T max	Mecc.coll.	M.plast.sup.	Quota sup.	N sup.	M.plast.inf.	Quota inf.	N inf.
11	-	1930.01	4509.78	TI	60	0	830	0.94	35	0.001	42013	PLV	6082234	-50	-39373	3830320	-398.6	-41624

Verifica di capacità portante per la famiglia SLD

Verifica di capacità portante verticale riferita al palo singolo

Fattore di correlazione ψ scelto in base alla conoscenza del sito = 1.7
Peso del palo = 8482.3 * 1

Filo	Ind.	Xp	Yp	γR laterale	γR punta	Pl,d	Pp,d	Def.vol	Comb.	Cnd	N	Ed	Rd	C.S.	Verifica
11	-	1930.01	4509.78	1.15	1.35	378966	12320		SLD 12	lungo	-39383	-47865	391285	8.17	Si

Verifica di capacità portante per la famiglia SLV

Verifica di capacità portante verticale riferita al palo singolo

Fattore di correlazione ψ scelto in base alla conoscenza del sito = 1.7
Peso del palo = 8482.3 * 1

Filo	Ind.	Xp	Yp	γR laterale	γR punta	Pl,d	Pp,d	Def.vol	Comb.	Cnd	N	Ed	Rd	C.S.	Verifica
11	-	1930.01	4509.78	1.15	1.35	378966	12320		SLV 12	lungo	-46649	-55131	391285	7.1	Si

Verifica di capacità portante trasversale riferita al palo singolo

Fattore di correlazione ψ scelto in base alla conoscenza del sito = 1.7

Filo	Ind.	Xp	Yp	γR trasversale	LRF	Comb.	Cnd	Rd	Ed (T)	C.S.	Verifica
11	-	1930.01	4509.78	1.3	1	SLV 8	D	16039.4	7222.2	2.22	Si

Parametri utilizzati nel calcolo

Filo	Ind.	Xp	Yp	Tipo	L.frs.	L.tr.lib.	L.tr.inf.	Coes.	Fi	P.spec	T max	Mecc.coll.	M.plast.sup.	Quota sup.	N sup.	M.plast.inf.	Quota inf.	N inf.
11	-	1930.01	4509.78	TI	60	0	830	0.94	35	0.001	35447	PLV	4712051	-50	-46499	3026754	-370.2	-48550

Trivellato D60 filo 14

Verifiche effettuate secondo D.M. 17-01-18, Circolare 7 21-01-19

Caratteristiche geometriche

Diametro 60
Lunghezza 1200

Caratteristiche dei materiali

Calcestruzzo C35/45 Rck 450
Acciaio B450C fyk,m: 4500

Verifiche a pressoflessione

Quota	Filo	Ind.	Xp	Yp	As	Cop.	N	|M|	Mu	Dom.	SnmFcd	MultM	Comb.	C.S.	Verifica
0	14	-	2520.03	4189.84	74.33	7.3	-23978	1596048	6725092	P			SLU 2	4.21	Si

Quota	Filo	Ind.	Xp	Yp	As	Cop.	N	|M|	Mu	Dom.	SnmFcd	MultM	Comb.	C.S.	Verifica
0	14	-	2520.03	4189.84	74.33	7.3	-6519	1847105	5873000	P			SLU EX 1	3.18	Si
0	14	-	2520.03	4189.84	74.33	7.3	-18899	1207929	5160840	SE			SLD 12	4.27	Si
0	14	-	2520.03	4189.84	74.33	7.3	-12186	2028421	4434180	SE			SLV 12	2.19	Si
-123	14	-	2520.03	4189.84	112.03	7	-32099	911023	8982932	P			SLU 6	9.86	Si
-123	14	-	2520.03	4189.84	112.03	7	-7389	1049496	8575551	P			SLU EX 1	8.17	Si
-123	14	-	2520.03	4189.84	112.03	7	-19770	692555	6879282	SE			SLD 12	9.93	Si
-123	14	-	2520.03	4189.84	112.03	7	-22039	1249216	7116037	SE			SLV 15	5.7	Si
-246	14	-	2520.03	4189.84	37.7	7	-33231	222816	3575452	P			SLU 6	16.05	Si
-246	14	-	2520.03	4189.84	37.7	7	-8260	252021	5164997	P			SLU EX 1	20.49	Si
-246	14	-	2520.03	4189.84	37.7	7	-24323	221672	3697854	SE			SLD 15	16.68	Si
-246	14	-	2520.03	4189.84	37.7	7	-22909	456746	4324358	SE			SLV 15	9.47	Si
-369	14	-	2520.03	4189.84	37.7	7	-34363	466794	5051956	P			SLU 6	10.82	Si
-369	14	-	2520.03	4189.84	37.7	7	-9130	545909	4251108	P			SLU EX 1	7.79	Si
-369	14	-	2520.03	4189.84	37.7	7	-21511	342559	4291262	SE			SLD 12	12.53	Si
-369	14	-	2520.03	4189.84	37.7	7	-14798	568629	3717626	SE			SLV 12	6.54	Si
-493	14	-	2520.03	4189.84	37.7	7	-20537	964206	4526967	P			SLU 2	4.7	Si
-493	14	-	2520.03	4189.84	37.7	7	-7136	1121938	3525773	P			SLU EX 1	3.14	Si
-493	14	-	2520.03	4189.84	37.7	7	-16639	714647	3511434	SE			SLD 12	4.91	Si
-493	14	-	2520.03	4189.84	37.7	7	-11486	1190468	2662533	SE			SLV 12	2.24	Si
-677	14	-	2520.03	4189.84	37.7	7	-15083	444588	5220471	P			SLU 2	11.74	Si
-677	14	-	2520.03	4189.84	37.7	7	-5636	516738	3833227	P			SLU EX 1	7.42	Si
-677	14	-	2520.03	4189.84	37.7	7	-12335	330794	4290350	SE			SLD 12	12.97	Si
-677	14	-	2520.03	4189.84	37.7	7	-8703	551816	3008911	SE			SLV 12	5.45	Si
-801	14	-	2520.03	4189.84	37.7	7	-20630	191968	4338405	P			SLU 6	22.6	Si
-801	14	-	2520.03	4189.84	37.7	7	-6506	222819	5000009	P			SLU EX 1	22.44	Si
-801	14	-	2520.03	4189.84	37.7	7	-13206	142987	3962084	SE			SLD 12	27.71	Si
-801	14	-	2520.03	4189.84	37.7	7	-9573	238694	4302431	SE			SLV 12	18.02	Si
-924	14	-	2520.03	4189.84	37.7	7	-13176	30336	1436290	P			SLU 6	47.35	Si
-924	14	-	2520.03	4189.84	37.7	7	-4620	35031	3866140	P			SLU EX 1	110.36	Si
-924	14	-	2520.03	4189.84	37.7	7	-11568	4695	253180	SE			SLD 9	53.93	Si
-924	14	-	2520.03	4189.84	37.7	7	-13739	14550	660641	SE			SLV 9	45.41	Si
-1047	14	-	2520.03	4189.84	37.7	7	-9418	5303	351256	P			SLU 6	66.24	Si
-1047	14	-	2520.03	4189.84	37.7	7	-3921	6233	991569	P			SLU EX 1	159.09	Si
-1047	14	-	2520.03	4189.84	37.7	7	-8108	363	27935	SE			SLD 9	76.94	Si
-1047	14	-	2520.03	4189.84	37.7	7	-9416	2244	148689	SE			SLV 9	66.26	Si
-1170	14	-	2520.03	4189.84	0	0	-5684	0	0	P			SLU 6	83.79	Si
-1170	14	-	2520.03	4189.84	0	0	-3234	0	0	P			SLU EX 1	147.29	Si
-1170	14	-	2520.03	4189.84	0	0	-4668	0	0	SE			SLD 9	102.03	Si
-1170	14	-	2520.03	4189.84	0	0	-5117	0	0	SE			SLV 9	93.09	Si

Verifiche delle tensioni nella famiglia Rara

Tensione limite del calcestruzzo: 224.1
Tensione limite dell'acciaio: 3600
Coefficiente di omogeneizzazione impiegato: Es / Ec = 5.95

Quota	Filo	Ind.	Xp	Yp	Mx	My	N	Comb.	Sc,max	Mx	My	N	Comb.	Sf,max	Verifica
0	14	-	2520.03	4189.84	-1066073	64587	-23752	SLE RA 2	-79.6	-1066073	64587	-23752	SLE RA 2	592.5	Si
-123	14	-	2520.03	4189.84	-607079	41805	-24622	SLE RA 2	-37.2	-607079	41805	-24622	SLE RA 2	152.9	Si
-246	14	-	2520.03	4189.84	-148085	19024	-25493	SLE RA 2	-14.9	-148085	19024	-25493	SLE RA 2	-20.3	Si
-369	14	-	2520.03	4189.84	310908	-3758	-26364	SLE RA 2	-22.2	310908	-3758	-26364	SLE RA 2	10.1	Si
-493	14	-	2520.03	4189.84	642671	-21169	-20364	SLE RA 2	-58.4	642671	-21169	-20364	SLE RA 2	448.7	Si
-677	14	-	2520.03	4189.84	296480	-11517	-14961	SLE RA 2	-17.8	296480	-11517	-14961	SLE RA 2	29.6	Si
-801	14	-	2520.03	4189.84	127939	-5323	-15831	SLE RA 2	-10.8	127939	-5323	-15831	SLE RA 2	-5.6	Si
-924	14	-	2520.03	4189.84	20217	-1219	-10113	SLE RA 2	-4.2	20217	-1219	-10113	SLE RA 2	-15.8	Si
-1047	14	-	2520.03	4189.84	-3529	-33	-7231	SLE RA 2	-2.5	-3529	-33	-7231	SLE RA 2	-13.5	Si
-1170	14	-	2520.03	4189.84	0	0	-4368	SLE RA 2	-1.6	0	0	0		0	Si

Verifiche delle tensioni nella famiglia Quasi permanenti

Tensione limite del calcestruzzo: 168.1
Coefficiente di omogeneizzazione impiegato: Es * (1 + φ) / Ec = 5.95
Coefficiente di viscosità: φ = 0

Quota	Filo	Ind.	Xp	Yp	Mx	My	N	Comb.	Sc,max	Verifica
0	14	-	2520.03	4189.84	-644053	45534	-23571	SLE QP 2	-46	Si
-123	14	-	2520.03	4189.84	-367452	29637	-24442	SLE QP 2	-20.8	Si
-246	14	-	2520.03	4189.84	-90851	13739	-25313	SLE QP 2	-12.3	Si
-369	14	-	2520.03	4189.84	185750	-2158	-26183	SLE QP 2	-16.7	Si
-493	14	-	2520.03	4189.84	385808	-14345	-20225	SLE QP 2	-23.5	Si
-677	14	-	2520.03	4189.84	178225	-7910	-14863	SLE QP 2	-12.7	Si
-801	14	-	2520.03	4189.84	76958	-3674	-15734	SLE QP 2	-8.5	Si
-924	14	-	2520.03	4189.84	12213	-859	-10056	SLE QP 2	-3.8	Si
-1047	14	-	2520.03	4189.84	-2098	-31	-7196	SLE QP 2	-2.5	Si
-1170	14	-	2520.03	4189.84	0	0	-4356	SLE QP 2	-1.5	Si

Verifiche delle fessure nella famiglia Esercizio frequente

Valore limite di controllo: 0.2 mm
Coefficiente di omogeneizzazione impiegato: Es / Ec = 5.95

Quota	Filo	Ind.	Xp	Yp	Mx	My	N	Comb.	Fess	Wka,mm	Wk,mm	Sm,cm	Verifica
0	14	-	2520.03	4189.84	-749558	50297	-23617	SLE FR 2	Si	0.2	0.029	30.5	Si
-123	14	-	2520.03	4189.84	-8011	11384	-24171	SLE FR 1	No				Si
-246	14	-	2520.03	4189.84	-5000	5813	-25042	SLE FR 1	No				Si
-369	14	-	2520.03	4189.84	-1988	242	-25912	SLE FR 1	No				Si
-493	14	-	2520.03	4189.84	515	-4109	-20018	SLE FR 1	No				Si
-677	14	-	2520.03	4189.84	842	-2498	-14717	SLE FR 1	No				Si
-801	14	-	2520.03	4189.84	485	-1199	-15587	SLE FR 1	No				Si
-924	14	-	2520.03	4189.84	207	-319	-9969	SLE FR 1	No				Si
-1047	14	-	2520.03	4189.84	49	-29	-7144	SLE FR 1	No				Si
-1170	14	-	2520.03	4189.84	0	0	-4338	SLE FR 1	No				Si

Verifiche delle fessure nella famiglia Esercizio quasi permanente

Valore limite di controllo: 0.2 mm
Coefficiente di omogeneizzazione impiegato: Es * (1 + φ) / Ec = 5.95
Coefficiente di viscosità: φ = 0

Quota	Filo	Ind.	Xp	Yp	Mx	My	N	Comb.	Fess	Wka,mm	Wk,mm	Sm,cm	Verifica
0	14	-	2520.03	4189.84	-11023	16955	-23301	SLE QP 1	No				Si
-123	14	-	2520.03	4189.84	-8011	11384	-24171	SLE QP 1	No				Si
-246	14	-	2520.03	4189.84	-5000	5813	-25042	SLE QP 1	No				Si
-369	14	-	2520.03	4189.84	-1988	242	-25912	SLE QP 1	No				Si
-493	14	-	2520.03	4189.84	515	-4109	-20018	SLE QP 1	No				Si
-677	14	-	2520.03	4189.84	842	-2498	-14717	SLE QP 1	No				Si
-801	14	-	2520.03	4189.84	485	-1199	-15587	SLE QP 1	No				Si
-924	14	-	2520.03	4189.84	207	-319	-9969	SLE QP 1	No				Si
-1047	14	-	2520.03	4189.84	49	-29	-7144	SLE QP 1	No				Si
-1170	14	-	2520.03	4189.84	0	0	-4338	SLE QP 1	No				Si

Verifiche a taglio

Quota	Filo	Ind.	Xp	Yp	Tx	Ty	N	MultT	Vrd,4.1.23	VRsd,4.1.27	VRcd,4.1.28	Cotg	Comb.	C.S.	Verifica
0	14	-	2520.03	4189.84	268	5585	-30968		15170	16918	122172	1	SLU 6	3.03	Si
0	14	-	2520.03	4189.84	170	6474	-6519		12006	19456	175507	1	SLU EX 1	3	Si
0	14	-	2520.03	4189.84	936	4081	-18899		13608	16918	119829	1	SLD 12	4.04	Si
0	14	-	2520.03	4189.84	2035	6704	-12186		12739	16918	118526	1	SLV 12	2.41	Si
-123	14	-	2520.03	4189.84	268	5585	-30968		15170	16918	122172	1	SLU 6	3.03	Si
-123	14	-	2520.03	4189.84	170	6474	-6519		12006	19456	175507	1	SLU EX 1	3	Si
-123	14	-	2520.03	4189.84	936	4081	-18899		13608	16918	119829	1	SLD 12	4.04	Si
-123	14	-	2520.03	4189.84	2035	6704	-12186		12739	16918	118526	1	SLV 12	2.41	Si
-246	14	-	2520.03	4189.84	268	5585	-30968		15247	17029	122971	1	SLU 6	3.05	Si
-246	14	-	2520.03	4189.84	170	6474	-6519		12062	19583	176654	1	SLU EX 1	3.02	Si
-246	14	-	2520.03	4189.84	936	4081	-18899		13675	17029	120613	1	SLD 12	4.07	Si
-246	14	-	2520.03	4189.84	2035	6704	-12186		12801	17029	119302	1	SLV 12	2.43	Si
-369	14	-	2520.03	4189.84	268	5585	-30968		15247	17029	122971	1	SLU 6	3.05	Si
-369	14	-	2520.03	4189.84	170	6474	-6519		12062	19583	176654	1	SLU EX 1	3.02	Si
-369	14	-	2520.03	4189.84	936	4081	-18899		13675	17029	120613	1	SLD 12	4.07	Si
-369	14	-	2520.03	4189.84	2035	6704	-12186		12801	17029	119302	1	SLV 12	2.43	Si
-493	14	-	2520.03	4189.84	-74	-2843	-20377		13868	17029	120902	1	SLU 2	5.99	Si
-493	14	-	2520.03	4189.84	-51	-3313	-6976		12122	19583	176744	1	SLU EX 1	5.91	Si
-493	14	-	2520.03	4189.84	-330	-2075	-16479		13360	17029	120140	1	SLD 12	8.1	Si
-493	14	-	2520.03	4189.84	-732	-3419	-11326		12689	17029	119133	1	SLV 12	4.87	Si
-677	14	-	2520.03	4189.84	-73	-2052	-19430		13744	17029	120717	1	SLU 6	8.29	Si
-677	14	-	2520.03	4189.84	-47	-2386	-5584		11941	19583	176472	1	SLU EX 1	8.21	Si
-677	14	-	2520.03	4189.84	-282	-1499	-12283		12813	17029	119320	1	SLD 12	11.17	Si
-677	14	-	2520.03	4189.84	-619	-2466	-8651		12340	17029	118611	1	SLV 12	6.7	Si
-801	14	-	2520.03	4189.84	-73	-2052	-19430		13744	17029	120717	1	SLU 6	8.29	Si
-801	14	-	2520.03	4189.84	-47	-2386	-5584		11941	19583	176472	1	SLU EX 1	8.21	Si
-801	14	-	2520.03	4189.84	-282	-1499	-12283		12813	17029	119320	1	SLD 12	11.17	Si
-801	14	-	2520.03	4189.84	-619	-2466	-8651		12340	17029	118611	1	SLV 12	6.7	Si
-924	14	-	2520.03	4189.84	-16	-353	-12683		12865	17029	119398	1	SLU 6	48.17	Si
-924	14	-	2520.03	4189.84	-10	-409	-4240		11766	19583	176209	1	SLU EX 1	47.81	Si
-924	14	-	2520.03	4189.84	-58	-258	-8187		12280	17029	118520	1	SLD 12	64.39	Si
-924	14	-	2520.03	4189.84	-126	-424	-6047		12001	17029	118102	1	SLV 12	38.5	Si
-1047	14	-	2520.03	4189.84	0	56	-7138		12143	17029	118315	1	SLU 2	306.35	Si
-1047	14	-	2520.03	4189.84	0	65	-3785		11706	19583	176120	1	SLU EX 1	300.55	Si
-1047	14	-	2520.03	4189.84	-2	40	-6148		12014	17029	118122	1	SLD 8	420.65	Si
-1047	14	-	2520.03	4189.84	-5	67	-4840		11844	17029	117866	1	SLV 8	253.72	Si
-1170	14	-	2520.03	4189.84	0	0	-4144		11698	16918	116965	1	SLU 1	100	Si
-1170	14	-	2520.03	4189.84	0	0	-3039		11555	19456	174831	1	SLU EX 1	100	Si
-1170	14	-	2520.03	4189.84	0	0	-4250		11712	16918	116986	1	SLD 1	100	Si
-1170	14	-	2520.03	4189.84	0	0	-4377		11729	16918	117011	1	SLV 1	100	Si

Verifica di capacità portante per la famiglia SLU

Verifica di capacità portante verticale riferita al palo singolo

Fattore di correlazione ψ scelto in base alla conoscenza del sito = 1.7
Peso del palo = 8482.3 * 1.3

Filo	Ind.	Xp	Yp	γR laterale	γR punta	Pl,d	Pp,d	Def.vol	Comb.	Cnd	N	Ed	Rd	C.S.	Verifica
14	-	2520.03	4189.84	1.15	1.35	378966	12320		SLU 6	lungo	-30968	-41995	391285	9.32	Si

Verifica di capacità portante trasversale riferita al palo singolo

Fattore di correlazione ψ scelto in base alla conoscenza del sito = 1.7

Filo	Ind.	Xp	Yp	γR trasversale	LRF	Comb.	Cnd	Rd	Ed (T)	C.S.	Verifica
14	-	2520.03	4189.84	1.3	1	SLU 2	D	18546.5	5583.9	3.32	Si

Parametri utilizzati nel calcolo

Filo	Ind.	Xp	Yp	Tipo	L.frs.	L.tr.lib.	L.tr.inf.	Coes.	Fi	P.spec	T max	Mecc.coll.	M.plast.sup.	Quota sup.	N sup.	M.plast.inf.	Quota inf.	N inf.
14	-	2520.03	4189.84	TI	60	0	830	0.94	35	0.001	40988	PLV	5911856	-50	-24190	3588997	-394.3	-26411

Verifica di capacità portante per la famiglia SLU EX

Verifica di capacità portante verticale riferita al palo singolo

Fattore di correlazione ψ scelto in base alla conoscenza del sito = 1.7
Peso del palo = 8482.3 * 1

Filo	Ind.	Xp	Yp	γR laterale	γR punta	Pl,d	Pp,d	Def.vol	Comb.	Cnd	N	Ed	Rd	C.S.	Verifica
14	-	2520.03	4189.84	1	1	435810	16632		SLU EX 1	lungo	-6519	-15001	452442	30.16	Si

Verifica di capacità portante trasversale riferita al palo singolo

Fattore di correlazione ψ scelto in base alla conoscenza del sito = 1.7

Filo	Ind.	Xp	Yp	γR trasversale	LRF	Comb.	Cnd	Rd	Ed (T)	C.S.	Verifica
14	-	2520.03	4189.84	1	1	SLU EX 1	D	23391.8	6476.5	3.61	Si

Parametri utilizzati nel calcolo

Filo	Ind.	Xp	Yp	Tipo	L.frs.	L.tr.lib.	L.tr.inf.	Coes.	Fi	P.spec	T max	Mecc.coll.	M.plast.sup.	Quota sup.	N sup.	M.plast.inf.	Quota inf.	N inf.
14	-	2520.03	4189.84	TI	60	0	830	0.94	35	0.001	39766	PLV	5706987	-50	-6731	3311479	-389.1	-8916

Verifica di capacità portante per la famiglia SLD

Verifica di capacità portante verticale riferita al palo singolo

Fattore di correlazione ψ scelto in base alla conoscenza del sito = 1.7
Peso del palo = 8482.3 * 1

Filo	Ind.	Xp	Yp	γR laterale	γR punta	Pl,d	Pp,d	Def.vol	Comb.	Cnd	N	Ed	Rd	C.S.	Verifica
14	-	2520.03	4189.84	1.15	1.35	378966	12320		SLD 9	lungo	-28316	-36798	391285	10.63	Si

Verifica di capacità portante per la famiglia SLV

Verifica di capacità portante verticale riferita al palo singolo

Fattore di correlazione ψ scelto in base alla conoscenza del sito = 1.7
Peso del palo = 8482.3 * 1

Filo	Ind.	Xp	Yp	γR laterale	γR punta	Pl,d	Pp,d	Def.vol	Comb.	Cnd	N	Ed	Rd	C.S.	Verifica
14	-	2520.03	4189.84	1.15	1.35	378966	12320		SLV 9	lungo	-35126	-43609	391285	8.97	Si

Verifica di capacità portante trasversale riferita al palo singolo

Fattore di correlazione ψ scelto in base alla conoscenza del sito = 1.7

Filo	Ind.	Xp	Yp	γR trasversale	LRF	Comb.	Cnd	Rd	Ed (T)	C.S.	Verifica
14	-	2520.03	4189.84	1.3	1	SLV 12	D	14744.3	7005.8	2.1	Si

Parametri utilizzati nel calcolo

Filo	Ind.	Xp	Yp	Tipo	L.frs.	L.tr.lib.	L.tr.inf.	Coes.	Fi	P.spec	T max	Mecc.coll.	M.plast.sup.	Quota sup.	N sup.	M.plast.inf.	Quota inf.	N inf.
14	-	2520.03	4189.84	TI	60	0	830	0.94	35	0.001	32585	PLV	4234919	-50	-12398	2481037	-357	-14363

Trivellato D60 filo 15

Verifiche effettuate secondo D.M. 17-01-18, Circolare 7 21-01-19

Caratteristiche geometriche

Diametro 60
Lunghezza 1200

Caratteristiche dei materiali

Calcestruzzo C35/45 Rck 450
Acciaio B450C fyk,m: 4500

Verifiche a pressoflessione

Quota	Filo	Ind.	Xp	Yp	As	Cop.	N	|M|	Mu	Dom.	SnmFcd	MultM	Comb.	C.S.	Verifica
0	15	-	2520.03	4349.81	74.33	7.3	-38193	1592749	7119324	P			SLU 2	4.47	Si
0	15	-	2520.03	4349.81	74.33	7.3	-23173	1854682	6560201	P			SLU EX 1	3.54	Si
0	15	-	2520.03	4349.81	74.33	7.3	-29217	1191260	5638382	SE			SLD 12	4.73	Si
0	15	-	2520.03	4349.81	74.33	7.3	-29464	2013057	5080408	SE			SLV 16	2.52	Si
-123	15	-	2520.03	4349.81	112.03	7	-46277	906503	8296767	P			SLU 6	9.15	Si
-123	15	-	2520.03	4349.81	112.03	7	-24044	1054788	9171713	P			SLU EX 1	8.7	Si
-123	15	-	2520.03	4349.81	112.03	7	-30088	681011	6555012	SE			SLD 12	9.63	Si
-123	15	-	2520.03	4349.81	112.03	7	-30335	1220804	6957953	SE			SLV 16	5.7	Si
-246	15	-	2520.03	4349.81	37.7	7	-47409	219900	2743333	P			SLU 6	12.48	Si
-246	15	-	2520.03	4349.81	37.7	7	-24915	254914	4537477	P			SLU EX 1	17.8	Si
-246	15	-	2520.03	4349.81	37.7	7	-31043	211777	3164990	SE			SLD 16	14.94	Si
-246	15	-	2520.03	4349.81	37.7	7	-31206	436063	4224413	SE			SLV 16	9.69	Si
-369	15	-	2520.03	4349.81	37.7	7	-48541	467130	4412453	P			SLU 6	9.45	Si
-369	15	-	2520.03	4349.81	37.7	7	-25785	545028	5478873	P			SLU EX 1	10.05	Si
-369	15	-	2520.03	4349.81	37.7	7	-31829	342087	3952759	SE			SLD 12	11.55	Si
-369	15	-	2520.03	4349.81	37.7	7	-31708	566592	4316410	SE			SLV 8	7.62	Si
-493	15	-	2520.03	4349.81	37.7	7	-31449	963551	5158536	P			SLU 2	5.35	Si
-493	15	-	2520.03	4349.81	37.7	7	-19920	1122931	4309323	P			SLU EX 1	3.84	Si
-493	15	-	2520.03	4349.81	37.7	7	-24559	710718	4278693	SE			SLD 12	6.02	Si
-493	15	-	2520.03	4349.81	37.7	7	-24597	1181414	3330064	SE			SLV 12	2.82	Si
-677	15	-	2520.03	4349.81	37.7	7	-27169	444110	5295999	P			SLU 6	11.92	Si
-677	15	-	2520.03	4349.81	37.7	7	-14648	517556	4960162	P			SLU EX 1	9.58	Si
-677	15	-	2520.03	4349.81	37.7	7	-17918	328487	4320377	SE			SLD 12	13.15	Si
-677	15	-	2520.03	4349.81	37.7	7	-17945	546779	4253387	SE			SLV 12	7.78	Si
-801	15	-	2520.03	4349.81	37.7	7	-28301	191588	3598362	P			SLU 6	18.78	Si
-801	15	-	2520.03	4349.81	37.7	7	-15518	223243	5134853	P			SLU EX 1	23	Si
-801	15	-	2520.03	4349.81	37.7	7	-18789	141885	3357831	SE			SLD 12	23.67	Si
-801	15	-	2520.03	4349.81	37.7	7	-18815	236330	4134273	SE			SLV 12	17.49	Si
-924	15	-	2520.03	4349.81	37.7	7	-17695	30215	1065200	P			SLU 6	35.25	Si
-924	15	-	2520.03	4349.81	37.7	7	-9929	35174	2209478	P			SLU EX 1	62.82	Si
-924	15	-	2520.03	4349.81	37.7	7	-11882	16775	880717	SE			SLD 13	52.5	Si
-924	15	-	2520.03	4349.81	37.7	7	-11934	38088	1851400	SE			SLV 16	48.61	Si
-1047	15	-	2520.03	4349.81	37.7	7	-12141	5315	273108	P			SLU 6	51.38	Si
-1047	15	-	2520.03	4349.81	37.7	7	-7120	6206	543796	P			SLU EX 1	87.62	Si
-1047	15	-	2520.03	4349.81	37.7	7	-8297	1689	126989	SE			SLD 13	75.19	Si
-1047	15	-	2520.03	4349.81	37.7	7	-8328	1693	126804	SE			SLV 13	74.91	Si
-1170	15	-	2520.03	4349.81	0	0	-6618	0	0	P			SLU 6	71.98	Si
-1170	15	-	2520.03	4349.81	0	0	-4330	0	0	P			SLU EX 1	110	Si
-1170	15	-	2520.03	4349.81	0	0	-4733	0	0	SE			SLD 13	100.63	Si
-1170	15	-	2520.03	4349.81	0	0	-4744	0	0	SE			SLV 13	100.4	Si

Verifiche delle tensioni nella famiglia Rara

Tensione limite del calcestruzzo: 224.1
Tensione limite dell'acciaio: 3600
Coefficiente di omogeneizzazione impiegato: Es / Ec = 5.95

Quota	Filo	Ind.	Xp	Yp	Mx	My	N	Comb.	Sc,max	Mx	My	N	Comb.	Sf,max	Verifica
0	15	-	2520.03	4349.81	-1061919	31060	-33187	SLE RA 2	-77	-1061919	31060	-33187	SLE RA 2	462.5	Si
-123	15	-	2520.03	4349.81	-604183	20538	-34057	SLE RA 2	-32.4	-604183	20538	-34057	SLE RA 2	44.8	Si
-246	15	-	2520.03	4349.81	-146447	10017	-34928	SLE RA 2	-17.9	-146447	10017	-34928	SLE RA 2	-39.3	Si
-369	15	-	2520.03	4349.81	311288	-505	-35798	SLE RA 2	-25.3	311288	-505	-35798	SLE RA 2	-8.3	Si
-493	15	-	2520.03	4349.81	642042	-8645	-27606	SLE RA 2	-53.3	642042	-8645	-27606	SLE RA 2	287.9	Si
-677	15	-	2520.03	4349.81	296005	-4982	-20066	SLE RA 2	-19.5	296005	-4982	-20066	SLE RA 2	19.5	Si
-801	15	-	2520.03	4349.81	127697	-2350	-20937	SLE RA 2	-12.5	127697	-2350	-20937	SLE RA 2	-15.6	Si
-924	15	-	2520.03	4349.81	20139	-586	-13121	SLE RA 2	-5.2	22	-314	-9929	SLE RA 1	-19.4	Si
-1047	15	-	2520.03	4349.81	-3541	-37	-9043	SLE RA 2	-3.1	18	-28	-7120	SLE RA 1	-13.9	Si
-1170	15	-	2520.03	4349.81	0	0	-4989	SLE RA 2	-1.8	0	0	0		0	Si

Verifiche delle tensioni nella famiglia Quasi permanenti

Tensione limite del calcestruzzo: 168.1
Coefficiente di omogeneizzazione impiegato: Es * (1 + φ) / Ec = 5.95
Coefficiente di viscosità: φ = 0

Quota	Filo	Ind.	Xp	Yp	Mx	My	N	Comb.	Sc,max	Verifica
0	15	-	2520.03	4349.81	-637622	25311	-29181	SLE QP 2	-44.1	Si
-123	15	-	2520.03	4349.81	-362955	16803	-30052	SLE QP 2	-22.2	Si
-246	15	-	2520.03	4349.81	-88287	8296	-30922	SLE QP 2	-14	Si
-369	15	-	2520.03	4349.81	186381	-211	-31793	SLE QP 2	-18.6	Si
-493	15	-	2520.03	4349.81	384885	-6809	-24532	SLE QP 2	-24.8	Si
-677	15	-	2520.03	4349.81	177508	-3974	-17899	SLE QP 2	-13.6	Si
-801	15	-	2520.03	4349.81	76589	-1883	-18769	SLE QP 2	-9.5	Si
-924	15	-	2520.03	4349.81	12092	-477	-11844	SLE QP 2	-4.4	Si
-1047	15	-	2520.03	4349.81	-2117	-33	-8274	SLE QP 2	-2.8	Si
-1170	15	-	2520.03	4349.81	0	0	-4725	SLE QP 2	-1.7	Si

Verifiche delle fessure nella famiglia Esercizio frequente

Valore limite di controllo: 0.2 mm
Coefficiente di omogeneizzazione impiegato: Es / Ec = 5.95

Quota	Filo	Ind.	Xp	Yp	Mx	My	N	Comb.	Fess	Wka,mm	Wk,mm	Sm,cm	Verifica
0	15	-	2520.03	4349.81	-743696	26748	-30183	SLE FR 2	Si	0.2	0.021	29.1	Si
-123	15	-	2520.03	4349.81	-1112	11201	-24044	SLE FR 1	No				Si
-246	15	-	2520.03	4349.81	-1047	5716	-24914	SLE FR 1	No				Si
-369	15	-	2520.03	4349.81	-981	230	-25785	SLE FR 1	No				Si
-493	15	-	2520.03	4349.81	-851	-4054	-19920	SLE FR 1	No				Si
-677	15	-	2520.03	4349.81	-239	-2462	-14648	SLE FR 1	No				Si
-801	15	-	2520.03	4349.81	-72	-1182	-15518	SLE FR 1	No				Si
-924	15	-	2520.03	4349.81	22	-314	-9929	SLE FR 1	No				Si
-1047	15	-	2520.03	4349.81	18	-28	-7120	SLE FR 1	No				Si
-1170	15	-	2520.03	4349.81	0	0	-4330	SLE FR 1	No				Si

Verifiche delle fessure nella famiglia Esercizio quasi permanente

Valore limite di controllo: 0.2 mm
Coefficiente di omogeneizzazione impiegato: Es * (1 + φ) / Ec = 5.95
Coefficiente di viscosità: φ = 0

Quota	Filo	Ind.	Xp	Yp	Mx	My	N	Comb.	Fess	Wka,mm	Wk,mm	Sm,cm	Verifica
0	15	-	2520.03	4349.81	-1177	16687	-23173	SLE QP 1	No				Si
-123	15	-	2520.03	4349.81	-1112	11201	-24044	SLE QP 1	No				Si
-246	15	-	2520.03	4349.81	-1047	5716	-24914	SLE QP 1	No				Si
-369	15	-	2520.03	4349.81	-981	230	-25785	SLE QP 1	No				Si
-493	15	-	2520.03	4349.81	-851	-4054	-19920	SLE QP 1	No				Si
-677	15	-	2520.03	4349.81	-239	-2462	-14648	SLE QP 1	No				Si
-801	15	-	2520.03	4349.81	-72	-1182	-15518	SLE QP 1	No				Si
-924	15	-	2520.03	4349.81	22	-314	-9929	SLE QP 1	No				Si
-1047	15	-	2520.03	4349.81	18	-28	-7120	SLE QP 1	No				Si
-1170	15	-	2520.03	4349.81	0	0	-4330	SLE QP 1	No				Si

Verifiche a taglio

Quota	Filo	Ind.	Xp	Yp	Tx	Ty	N	MultT	Vrd,4.1.23	VRsd,4.1.27	VRcd,4.1.28	Cotg	Comb.	C.S.	Verifica
0	15	-	2520.03	4349.81	106	5575	-38193		16105	16918	123575	1	SLU 2	3.03	Si
0	15	-	2520.03	4349.81	45	6495	-23173		14161	19456	178740	1	SLU EX 1	3	Si
0	15	-	2520.03	4349.81	744	4078	-29217		14943	16918	121832	1	SLD 12	4.08	Si
0	15	-	2520.03	4349.81	1653	6719	-29266		14949	16918	121842	1	SLV 12	2.45	Si
-123	15	-	2520.03	4349.81	106	5575	-38193		16105	16918	123575	1	SLU 2	3.03	Si
-123	15	-	2520.03	4349.81	45	6495	-23173		14161	19456	178740	1	SLU EX 1	3	Si
-123	15	-	2520.03	4349.81	744	4078	-29217		14943	16918	121832	1	SLD 12	4.08	Si
-123	15	-	2520.03	4349.81	1653	6719	-29266		14949	16918	121842	1	SLV 12	2.45	Si
-246	15	-	2520.03	4349.81	106	5575	-38193		16188	17029	124383	1	SLU 2	3.05	Si
-246	15	-	2520.03	4349.81	45	6495	-23173		14232	19583	179908	1	SLU EX 1	3.02	Si
-246	15	-	2520.03	4349.81	744	4078	-29217		15019	17029	122629	1	SLD 12	4.11	Si
-246	15	-	2520.03	4349.81	1653	6719	-29266		15025	17029	122639	1	SLV 12	2.46	Si
-369	15	-	2520.03	4349.81	106	5575	-38193		16188	17029	124383	1	SLU 2	3.05	Si
-369	15	-	2520.03	4349.81	45	6495	-23173		14232	19583	179908	1	SLU EX 1	3.02	Si
-369	15	-	2520.03	4349.81	744	4078	-29217		15019	17029	122629	1	SLD 12	4.11	Si
-369	15	-	2520.03	4349.81	1653	6719	-29266		15025	17029	122639	1	SLV 12	2.46	Si
-493	15	-	2520.03	4349.81	-25	-2843	-31289		15289	17029	123034	1	SLU 2	5.99	Si
-493	15	-	2520.03	4349.81	-9	-3314	-19760		13787	19583	179242	1	SLU EX 1	5.91	Si
-493	15	-	2520.03	4349.81	-270	-2075	-24399		14391	17029	121688	1	SLD 12	8.14	Si
-493	15	-	2520.03	4349.81	-612	-3420	-24437		14396	17029	121695	1	SLV 12	4.9	Si
-677	15	-	2520.03	4349.81	-27	-2051	-22723		14173	17029	121360	1	SLU 2	8.3	Si
-677	15	-	2520.03	4349.81	-11	-2390	-14596		13114	19583	178233	1	SLU EX 1	8.19	Si

Quota	Filo	Ind.	Xp	Yp	Tx	Ty	N	MultT	Vrd,4.1.23	VRsd,4.1.27	VRcd,4.1.28	Cotg	Comb.	C.S.	Verifica
-677	15	-	2520.03	4349.81	-227	-1498	-17866		13540	17029	120411	1	SLD 12	11.24	Si
-677	15	-	2520.03	4349.81	-510	-2469	-17892		13544	17029	120416	1	SLV 12	6.76	Si
-801	15	-	2520.03	4349.81	-27	-2051	-22723		14173	17029	121360	1	SLU 2	8.3	Si
-801	15	-	2520.03	4349.81	-11	-2390	-14596		13114	19583	178233	1	SLU EX 1	8.19	Si
-801	15	-	2520.03	4349.81	-227	-1498	-17866		13540	17029	120411	1	SLD 12	11.24	Si
-801	15	-	2520.03	4349.81	-510	-2469	-17892		13544	17029	120416	1	SLV 12	6.76	Si
-924	15	-	2520.03	4349.81	-7	-352	-17202		13454	17029	120281	1	SLU 6	48.3	Si
-924	15	-	2520.03	4349.81	-3	-411	-9549		12457	19583	177247	1	SLU EX 1	47.68	Si
-924	15	-	2520.03	4349.81	-46	-258	-11476		12708	17029	119163	1	SLD 12	65.02	Si
-924	15	-	2520.03	4349.81	-103	-425	-11491		12710	17029	119166	1	SLV 12	38.97	Si
-1047	15	-	2520.03	4349.81	0	56	-9868		12499	17029	118849	1	SLU 2	306.17	Si
-1047	15	-	2520.03	4349.81	0	65	-6983		12123	19583	176745	1	SLU EX 1	301.82	Si
-1047	15	-	2520.03	4349.81	-2	40	-8130		12272	17029	118509	1	SLD 8	420.18	Si
-1047	15	-	2520.03	4349.81	-5	67	-8121		12271	17029	118507	1	SLV 8	254.41	Si
-1170	15	-	2520.03	4349.81	0	0	-4136		11697	16918	116964	1	SLU 1	100	Si
-1170	15	-	2520.03	4349.81	0	0	-4136		11697	19456	175044	1	SLU EX 1	100	Si
-1170	15	-	2520.03	4349.81	0	0	-4523		11747	16918	117039	1	SLD 1	100	Si
-1170	15	-	2520.03	4349.81	0	0	-4512		11746	16918	117037	1	SLV 1	100	Si

Verifica di capacità portante per la famiglia SLU

Verifica di capacità portante verticale riferita al palo singolo

Fattore di correlazione ψ scelto in base alla conoscenza del sito = 1.7
Peso del palo = 8482.3 * 1.3

Filo	Ind.	Xp	Yp	γR laterale	γR punta	Pl,d	Pp,d	Def.vol	Comb.	Cnd	N	Ed	Rd	C.S.	Verifica
15	-	2520.03	4349.81	1.15	1.35	378966	12320		SLU 6	lungo	-45145	-56172	391285	6.97	Si

Verifica di capacità portante trasversale riferita al palo singolo

Fattore di correlazione ψ scelto in base alla conoscenza del sito = 1.7

Filo	Ind.	Xp	Yp	γR trasversale	LRF	Comb.	Cnd	Rd	Ed (T)	C.S.	Verifica
15	-	2520.03	4349.81	1.3	1	SLU 2	D	18981.2	5575.7	3.4	Si

Parametri utilizzati nel calcolo

Filo	Ind.	Xp	Yp	Tipo	L.frs.	L.tr.lib.	L.tr.inf.	Coes.	Fi	P.spec	T max	Mecc.coll.	M.plast.sup.	Quota sup.	N sup.	M.plast.inf.	Quota inf.	N inf.
15	-	2520.03	4349.81	TI	60	0	830	0.94	35	0.001	41948	PLV	6071380	-50	-38405	3814947	-398.3	-40655

Verifica di capacità portante per la famiglia SLU EX

Verifica di capacità portante verticale riferita al palo singolo

Fattore di correlazione ψ scelto in base alla conoscenza del sito = 1.7
Peso del palo = 8482.3 * 1

Filo	Ind.	Xp	Yp	γR laterale	γR punta	Pl,d	Pp,d	Def.vol	Comb.	Cnd	N	Ed	Rd	C.S.	Verifica
15	-	2520.03	4349.81	1	1	435810	16632		SLU EX 1	lungo	-23173	-31656	452442	14.29	Si

Verifica di capacità portante trasversale riferita al palo singolo

Fattore di correlazione ψ scelto in base alla conoscenza del sito = 1.7

Filo	Ind.	Xp	Yp	γR trasversale	LRF	Comb.	Cnd	Rd	Ed (T)	C.S.	Verifica
15	-	2520.03	4349.81	1	1	SLU EX 1	D	24078.3	6494.9	3.71	Si

Parametri utilizzati nel calcolo

Filo	Ind.	Xp	Yp	Tipo	L.frs.	L.tr.lib.	L.tr.inf.	Coes.	Fi	P.spec	T max	Mecc.coll.	M.plast.sup.	Quota sup.	N sup.	M.plast.inf.	Quota inf.	N inf.
15	-	2520.03	4349.81	TI	60	0	830	0.94	35	0.001	40933	PLV	5902833	-50	-23385	3576217	-394	-25605

Verifica di capacità portante per la famiglia SLD

Verifica di capacità portante verticale riferita al palo singolo

Fattore di correlazione ψ scelto in base alla conoscenza del sito = 1.7
Peso del palo = 8482.3 * 1

Filo	Ind.	Xp	Yp	γR laterale	γR punta	Pl,d	Pp,d	Def.vol	Comb.	Cnd	N	Ed	Rd	C.S.	Verifica
15	-	2520.03	4349.81	1.15	1.35	378966	12320		SLD 13	lungo	-29302	-37784	391285	10.36	Si

Verifica di capacità portante per la famiglia SLV

Verifica di capacità portante verticale riferita al palo singolo

Fattore di correlazione ψ scelto in base alla conoscenza del sito = 1.7
Peso del palo = 8482.3 * 1

Filo	Ind.	Xp	Yp	γR laterale	γR punta	Pl,d	Pp,d	Def.vol	Comb.	Cnd	N	Ed	Rd	C.S.	Verifica
15	-	2520.03	4349.81	1.15	1.35	378966	12320		SLV 13	lungo	-29465	-37947	391285	10.31	Si

Verifica di capacità portante trasversale riferita al palo singolo

Fattore di correlazione ψ scelto in base alla conoscenza del sito = 1.7

Filo	Ind.	Xp	Yp	γR trasversale	LRF	Comb.	Cnd	Rd	Ed (T)	C.S.	Verifica
15	-	2520.03	4349.81	1.3	1	SLV 12	D	15400.5	6919	2.23	Si

Parametri utilizzati nel calcolo

Filo	Ind.	Xp	Yp	Tipo	L.frs.	L.tr.lib.	L.tr.inf.	Coes.	Fi	P.spec	T max	Mecc.coll.	M.plast.sup.	Quota sup.	N sup.	M.plast.inf.	Quota inf.	N inf.
15	-	2520.03	4349.81	TI	60	0	830	0.94	35	0.001	34035	PLV	4473898	-50	-29478	2755372	-363.7	-31484

Trivellato D60 filo 16

Verifiche effettuate secondo D.M. 17-01-18, Circolare 7 21-01-19

Caratteristiche geometriche

Diametro 60

Lunghezza 1200

Caratteristiche dei materiali

Calcestruzzo C35/45 Rck 450
Acciaio B450C fyk,m: 4500

Verifiche a pressoflessione

Quota	Filo	Ind.	Xp	Yp	As	Cop.	N	|M|	Mu	Dom.	SnmFcd	MultM	Comb.	C.S.	Verifica
0	16	-	2520.03	4509.78	74.33	7.3	-52629	1559841	7254698	P			SLU 2	4.65	Si
0	16	-	2520.03	4509.78	74.33	7.3	-39957	1826922	7022413	P			SLU EX 1	3.84	Si
0	16	-	2520.03	4509.78	74.33	7.3	-39628	1171084	5552494	SE			SLD 8	4.74	Si
0	16	-	2520.03	4509.78	74.33	7.3	-37356	1990720	5426271	SE			SLV 3	2.73	Si
-123	16	-	2520.03	4509.78	112.03	7	-60713	881268	7512624	P			SLU 6	8.52	Si
-123	16	-	2520.03	4509.78	112.03	7	-40827	1035305	8799412	P			SLU EX 1	8.5	Si
-123	16	-	2520.03	4509.78	112.03	7	-40498	666568	6199474	SE			SLD 8	9.3	Si
-123	16	-	2520.03	4509.78	112.03	7	-39094	1208626	6799815	SE			SLV 4	5.63	Si
-246	16	-	2520.03	4509.78	37.7	7	-61844	205287	2070762	P			SLU 6	10.09	Si
-246	16	-	2520.03	4509.78	37.7	7	-41698	243695	3255471	P			SLU EX 1	13.36	Si
-246	16	-	2520.03	4509.78	37.7	7	-38280	200124	2660708	SE			SLD 16	13.3	Si
-246	16	-	2520.03	4509.78	37.7	7	-39097	437649	4003544	SE			SLV 3	9.15	Si
-369	16	-	2520.03	4509.78	37.7	7	-62976	470710	3833279	P			SLU 6	8.14	Si
-369	16	-	2520.03	4509.78	37.7	7	-42568	547936	4972218	P			SLU EX 1	9.07	Si
-369	16	-	2520.03	4509.78	37.7	7	-42239	345142	3505617	SE			SLD 8	10.16	Si
-369	16	-	2520.03	4509.78	37.7	7	-48952	571315	4054806	SE			SLV 8	7.1	Si
-493	16	-	2520.03	4509.78	37.7	7	-48506	958278	5438952	P			SLU 6	5.68	Si
-493	16	-	2520.03	4509.78	37.7	7	-32803	1119170	5004898	P			SLU EX 1	4.47	Si
-493	16	-	2520.03	4509.78	37.7	7	-32550	709075	4318233	SE			SLD 8	6.09	Si
-493	16	-	2520.03	4509.78	37.7	7	-37703	1184332	4188261	SE			SLV 8	3.54	Si
-677	16	-	2520.03	4509.78	37.7	7	-34981	440154	4938073	P			SLU 6	11.22	Si
-677	16	-	2520.03	4509.78	37.7	7	-23729	514543	5472614	P			SLU EX 1	10.64	Si
-677	16	-	2520.03	4509.78	37.7	7	-23551	326689	4218742	SE			SLD 8	12.91	Si
-677	16	-	2520.03	4509.78	37.7	7	-27183	547320	4323649	SE			SLV 8	7.9	Si
-801	16	-	2520.03	4509.78	37.7	7	-36112	189551	3014195	P			SLU 6	15.9	Si
-801	16	-	2520.03	4509.78	37.7	7	-24600	221685	4263973	P			SLU EX 1	19.23	Si
-801	16	-	2520.03	4509.78	37.7	7	-24422	140899	2843542	SE			SLD 8	20.18	Si
-801	16	-	2520.03	4509.78	37.7	7	-28054	236410	3560100	SE			SLV 8	15.06	Si
-924	16	-	2520.03	4509.78	37.7	7	-22297	29539	826432	P			SLU 6	27.98	Si
-924	16	-	2520.03	4509.78	37.7	7	-15279	34652	1414827	P			SLU EX 1	40.83	Si
-924	16	-	2520.03	4509.78	37.7	7	-15197	21923	899911	SE			SLD 12	41.05	Si
-924	16	-	2520.03	4509.78	37.7	7	-17369	36649	1316348	SE			SLV 12	35.92	Si
-1047	16	-	2520.03	4509.78	37.7	7	-14913	5425	226936	P			SLU 6	41.83	Si
-1047	16	-	2520.03	4509.78	37.7	7	-10343	6294	379632	P			SLU EX 1	60.31	Si
-1047	16	-	2520.03	4509.78	37.7	7	-10294	3946	239137	SE			SLD 12	60.6	Si
-1047	16	-	2520.03	4509.78	37.7	7	-11602	6491	348993	SE			SLV 12	53.77	Si
-1170	16	-	2520.03	4509.78	0	0	-7568	0	0	P			SLU 6	62.94	Si
-1170	16	-	2520.03	4509.78	0	0	-5435	0	0	P			SLU EX 1	87.64	Si
-1170	16	-	2520.03	4509.78	0	0	-5418	0	0	SE			SLD 12	87.92	Si
-1170	16	-	2520.03	4509.78	0	0	-5866	0	0	SE			SLV 12	81.2	Si

Verifiche delle tensioni nella famiglia Rara

Tensione limite del calcestruzzo: 224.1
Tensione limite dell'acciaio: 3600
Coefficiente di omogeneizzazione impiegato: Es / Ec = 5.95

Quota	Filo	Ind.	Xp	Yp	Mx	My	N	Comb.	Sc,max	Mx	My	N	Comb.	Sf,max	Verifica
0	16	-	2520.03	4509.78	-1037024	-1896	-42811	SLE RA 2	-72.6	-1037024	-1896	-42811	SLE RA 2	330.7	Si
-123	16	-	2520.03	4509.78	-586751	-329	-43681	SLE RA 2	-34.5	-586751	-329	-43681	SLE RA 2	25.3	Si
-246	16	-	2520.03	4509.78	-136477	1239	-44552	SLE RA 2	-20.6	2849	5773	-24916	SLE RA 1	-47.5	Si
-369	16	-	2520.03	4509.78	313796	2806	-45422	SLE RA 2	-28.6	313796	2806	-45422	SLE RA 2	-26.7	Si
-493	16	-	2520.03	4509.78	638544	3798	-34993	SLE RA 2	-49	638544	3798	-34993	SLE RA 2	170.3	Si
-677	16	-	2520.03	4509.78	293257	1491	-25274	SLE RA 2	-21.1	293257	1491	-25274	SLE RA 2	8.7	Si
-801	16	-	2520.03	4509.78	126283	590	-26144	SLE RA 2	-14.1	126283	590	-26144	SLE RA 2	-26.1	Si
-924	16	-	2520.03	4509.78	19671	37	-16189	SLE RA 2	-6.2	-161	-317	-9929	SLE RA 1	-19.4	Si
-1047	16	-	2520.03	4509.78	-3618	-43	-10891	SLE RA 2	-3.7	-13	-29	-7120	SLE RA 1	-13.9	Si
-1170	16	-	2520.03	4509.78	0	0	-5622	SLE RA 2	-2	0	0	0		0	Si

Verifiche delle tensioni nella famiglia Quasi permanenti

Tensione limite del calcestruzzo: 168.1
Coefficiente di omogeneizzazione impiegato: Es * (1 + φ) / Ec = 5.95
Coefficiente di viscosità: φ = 0

Quota	Filo	Ind.	Xp	Yp	Mx	My	N	Comb.	Sc,max	Verifica
0	16	-	2520.03	4509.78	-618804	5584	-34956	SLE QP 2	-35.7	Si
-123	16	-	2520.03	4509.78	-349775	4318	-35827	SLE QP 2	-23.4	Si
-246	16	-	2520.03	4509.78	-80747	3052	-36697	SLE QP 2	-15.6	Si
-369	16	-	2520.03	4509.78	188282	1787	-37568	SLE QP 2	-20.6	Si
-493	16	-	2520.03	4509.78	382248	658	-28964	SLE QP 2	-26.2	Si
-677	16	-	2520.03	4509.78	175433	-93	-21023	SLE QP 2	-14.6	Si
-801	16	-	2520.03	4509.78	75521	-120	-21894	SLE QP 2	-10.5	Si
-924	16	-	2520.03	4509.78	11738	-105	-13685	SLE QP 2	-5	Si
-1047	16	-	2520.03	4509.78	-2176	-37	-9383	SLE QP 2	-3.2	Si
-1170	16	-	2520.03	4509.78	0	0	-5105	SLE QP 2	-1.8	Si

Verifiche delle fessure nella famiglia Esercizio frequente

Valore limite di controllo: 0.2 mm
Coefficiente di omogeneizzazione impiegato: Es / Ec = 5.95

Quota	Filo	Ind.	Xp	Yp	Mx	My	N	Comb.	Fess	Wka,mm	Wk,mm	Sm,cm	Verifica
0	16	-	2520.03	4509.78	8527	16804	-23174	SLE FR 1	No				Si
-123	16	-	2520.03	4509.78	5688	11289	-24045	SLE FR 1	No				Si
-246	16	-	2520.03	4509.78	2849	5773	-24916	SLE FR 1	No				Si

Quota	Filo	Ind.	Xp	Yp	Mx	My	N	Comb.	Fess	Wka,mm	Wk,mm	Sm,cm	Verifica
-369	16	-	2520.03	4509.78	11	257	-25786	SLE FR 1	No				Si
-493	16	-	2520.03	4509.78	-2197	-4053	-19921	SLE FR 1	No				Si
-677	16	-	2520.03	4509.78	-1304	-2469	-14648	SLE FR 1	No				Si
-801	16	-	2520.03	4509.78	-621	-1186	-15519	SLE FR 1	No				Si
-924	16	-	2520.03	4509.78	-161	-317	-9929	SLE FR 1	No				Si
-1047	16	-	2520.03	4509.78	-13	-29	-7120	SLE FR 1	No				Si
-1170	16	-	2520.03	4509.78	0	0	-4330	SLE FR 1	No				Si

Verifiche delle fessure nella famiglia Esercizio quasi permanente

Valore limite di controllo: 0.2 mm
Coefficiente di omogeneizzazione impiegato: Es * (1 + φ) / Ec = 5.95
Coefficiente di viscosità: φ = 0

Quota	Filo	Ind.	Xp	Yp	Mx	My	N	Comb.	Fess	Wka,mm	Wk,mm	Sm,cm	Verifica
0	16	-	2520.03	4509.78	8527	16804	-23174	SLE QP 1	No				Si
-123	16	-	2520.03	4509.78	5688	11289	-24045	SLE QP 1	No				Si
-246	16	-	2520.03	4509.78	2849	5773	-24916	SLE QP 1	No				Si
-369	16	-	2520.03	4509.78	11	257	-25786	SLE QP 1	No				Si
-493	16	-	2520.03	4509.78	-2197	-4053	-19921	SLE QP 1	No				Si
-677	16	-	2520.03	4509.78	-1304	-2469	-14648	SLE QP 1	No				Si
-801	16	-	2520.03	4509.78	-621	-1186	-15519	SLE QP 1	No				Si
-924	16	-	2520.03	4509.78	-161	-317	-9929	SLE QP 1	No				Si
-1047	16	-	2520.03	4509.78	-13	-29	-7120	SLE QP 1	No				Si
-1170	16	-	2520.03	4509.78	0	0	-4330	SLE QP 1	No				Si

Verifiche a taglio

Quota	Filo	Ind.	Xp	Yp	Tx	Ty	N	MultT	Vrd,4.1.23	VRsd,4.1.27	VRcd,4.1.28	Cotg	Comb.	C.S.	Verifica
0	16	-	2520.03	4509.78	-41	5496	-52629		17973	16918	126377	1	SLU 2	3.27	Si
0	16	-	2520.03	4509.78	-79	6427	-39957		16333	19456	181997	1	SLU EX 1	3.03	Si
0	16	-	2520.03	4509.78	-795	4021	-39628		16290	16918	123853	1	SLD 8	4.13	Si
0	16	-	2520.03	4509.78	-1890	6646	-46340		17159	16918	125156	1	SLV 8	2.48	Si
-123	16	-	2520.03	4509.78	-41	5496	-52629		17973	16918	126377	1	SLU 2	3.27	Si
-123	16	-	2520.03	4509.78	-79	6427	-39957		16333	19456	181997	1	SLU EX 1	3.03	Si
-123	16	-	2520.03	4509.78	-795	4021	-39628		16290	16918	123853	1	SLD 8	4.13	Si
-123	16	-	2520.03	4509.78	-1890	6646	-46340		17159	16918	125156	1	SLV 8	2.48	Si
-246	16	-	2520.03	4509.78	-41	5496	-52629		18068	17029	127203	1	SLU 2	3.29	Si
-246	16	-	2520.03	4509.78	-79	6427	-39957		16418	19583	183188	1	SLU EX 1	3.05	Si
-246	16	-	2520.03	4509.78	-795	4021	-39628		16375	17029	124663	1	SLD 8	4.15	Si
-246	16	-	2520.03	4509.78	-1890	6646	-46340		17249	17029	125974	1	SLV 8	2.5	Si
-369	16	-	2520.03	4509.78	-41	5496	-52629		18068	17029	127203	1	SLU 2	3.29	Si
-369	16	-	2520.03	4509.78	-79	6427	-39957		16418	19583	183188	1	SLU EX 1	3.05	Si
-369	16	-	2520.03	4509.78	-795	4021	-39628		16375	17029	124663	1	SLD 8	4.15	Si
-369	16	-	2520.03	4509.78	-1890	6646	-46340		17249	17029	125974	1	SLV 8	2.5	Si
-493	16	-	2520.03	4509.78	23	-2838	-42370		16732	17029	125199	1	SLU 2	6	Si
-493	16	-	2520.03	4509.78	33	-3310	-32643		15465	19583	181759	1	SLU EX 1	5.92	Si
-493	16	-	2520.03	4509.78	299	-2072	-32390		15432	17029	123249	1	SLD 8	8.13	Si
-493	16	-	2520.03	4509.78	700	-3417	-37543		16103	17029	124256	1	SLV 8	4.88	Si
-677	16	-	2520.03	4509.78	16	-2036	-30534		15190	17029	122886	1	SLU 2	8.36	Si
-677	16	-	2520.03	4509.78	26	-2378	-23677		14297	19583	180007	1	SLU EX 1	8.24	Si
-677	16	-	2520.03	4509.78	248	-1488	-23499		14274	17029	121512	1	SLD 8	11.29	Si
-677	16	-	2520.03	4509.78	584	-2456	-27131		14747	17029	122221	1	SLV 8	6.74	Si
-801	16	-	2520.03	4509.78	16	-2036	-30534		15190	17029	122886	1	SLU 2	8.36	Si
-801	16	-	2520.03	4509.78	26	-2378	-23677		14297	19583	180007	1	SLU EX 1	8.24	Si
-801	16	-	2520.03	4509.78	248	-1488	-23499		14274	17029	121512	1	SLD 8	11.29	Si
-801	16	-	2520.03	4509.78	584	-2456	-27131		14747	17029	122221	1	SLV 8	6.74	Si
-924	16	-	2520.03	4509.78	3	-348	-18939		13680	17029	120621	1	SLU 2	48.96	Si
-924	16	-	2520.03	4509.78	5	-407	-14899		13154	19583	178292	1	SLU EX 1	48.15	Si
-924	16	-	2520.03	4509.78	49	-254	-14795		13140	17029	119811	1	SLD 8	65.7	Si
-924	16	-	2520.03	4509.78	117	-420	-16934		13419	17029	120229	1	SLV 8	39.01	Si
-1047	16	-	2520.03	4509.78	-1	57	-14735		13133	17029	119800	1	SLU 6	300.26	Si
-1047	16	-	2520.03	4509.78	0	66	-10207		12543	19583	177375	1	SLU EX 1	297.61	Si
-1047	16	-	2520.03	4509.78	-3	41	-10143		12535	17029	118902	1	SLD 8	412.14	Si
-1047	16	-	2520.03	4509.78	-6	68	-11432		12702	17029	119154	1	SLV 8	250.47	Si
-1170	16	-	2520.03	4509.78	0	0	-4136		11697	16918	116964	1	SLU 1	100	Si
-1170	16	-	2520.03	4509.78	0	0	-5240		11840	19456	175259	1	SLU EX 1	100	Si
-1170	16	-	2520.03	4509.78	0	0	-4807		11784	16918	117094	1	SLD 1	100	Si
-1170	16	-	2520.03	4509.78	0	0	-4658		11765	16918	117065	1	SLV 1	100	Si

Verifica di capacità portante per la famiglia SLU

Verifica di capacità portante verticale riferita al palo singolo

Fattore di correlazione ψ scelto in base alla conoscenza del sito = 1.7
Peso del palo = 8482.3 * 1.3

Filo	Ind.	Xp	Yp	γR laterale	γR punta	Pl,d	Pp,d	Def.vol	Comb.	Cnd	N	Ed	Rd	C.S.	Verifica
16	-	2520.03	4509.78	1.15	1.35	378966	12320		SLU 6	lungo	-59581	-70608	391285	5.54	Si

Verifica di capacità portante trasversale riferita al palo singolo

Fattore di correlazione ψ scelto in base alla conoscenza del sito = 1.7

Filo	Ind.	Xp	Yp	γR trasversale	LRF	Comb.	Cnd	Rd	Ed (T)	C.S.	Verifica
16	-	2520.03	4509.78	1.3	1	SLU 2	D	19417.5	5495.8	3.53	Si

Parametri utilizzati nel calcolo

Filo	Ind.	Xp	Yp	Tipo	L.frs.	L.tr.lib.	L.tr.inf.	Coes.	Fi	P.spec	T max	Mecc.coll.	M.plast.sup.	Quota sup.	N sup.	M.plast.inf.	Quota inf.	N inf.
16	-	2520.03	4509.78	TI	60	0	830	0.94	35	0.001	42913	PLV	6233363	-50	-52841	4044370	-402.3	-55119

Verifica di capacità portante per la famiglia SLU EX

Verifica di capacità portante verticale riferita al palo singolo

Fattore di correlazione ψ scelto in base alla conoscenza del sito = 1.7
Peso del palo = 8482.3 * 1

Filo	Ind.	Xp	Yp	γR laterale	γR punta	Pl,d	Pp,d	Def.vol	Comb.	Cnd	N	Ed	Rd	C.S.	Verifica
16	-	2520.03	4509.78	1	1	435810	16632		SLU EX 1	lungo	-39957	-48439	452442	9.34	Si

Verifica di capacità portante trasversale riferita al palo singolo

Fattore di correlazione ψ scelto in base alla conoscenza del sito = 1.7

Filo	Ind.	Xp	Yp	γR trasversale	LRF	Comb.	Cnd	Rd	Ed (T)	C.S.	Verifica
16	-	2520.03	4509.78	1	1	SLU EX 1	D	24745.1	6427.7	3.85	Si

Parametri utilizzati nel calcolo

Filo	Ind.	Xp	Yp	Tipo	L.frs.	L.tr.lib.	L.tr.inf.	Coes.	Fi	P.spec	T max	Mecc.coll.	M.plast.sup.	Quota sup.	N sup.	M.plast.inf.	Quota inf.	N inf.
16	-	2520.03	4509.78	TI	60	0	830	0.94	35	0.001	42067	PLV	6091167	-50	-40169	3842972	-398.8	-42422

Verifica di capacità portante per la famiglia SLD

Verifica di capacità portante verticale riferita al palo singolo

Fattore di correlazione ψ scelto in base alla conoscenza del sito = 1.7
Peso del palo = 8482.3 * 1

Filo	Ind.	Xp	Yp	γR laterale	γR punta	Pl,d	Pp,d	Def.vol	Comb.	Cnd	N	Ed	Rd	C.S.	Verifica
16	-	2520.03	4509.78	1.15	1.35	378966	12320		SLD 12	lungo	-39701	-48183	391285	8.12	Si

Verifica di capacità portante per la famiglia SLV

Verifica di capacità portante verticale riferita al palo singolo

Fattore di correlazione ψ scelto in base alla conoscenza del sito = 1.7
Peso del palo = 8482.3 * 1

Filo	Ind.	Xp	Yp	γR laterale	γR punta	Pl,d	Pp,d	Def.vol	Comb.	Cnd	N	Ed	Rd	C.S.	Verifica
16	-	2520.03	4509.78	1.15	1.35	378966	12320		SLV 12	lungo	-46512	-54994	391285	7.12	Si

Verifica di capacità portante trasversale riferita al palo singolo

Fattore di correlazione ψ scelto in base alla conoscenza del sito = 1.7

Filo	Ind.	Xp	Yp	γR trasversale	LRF	Comb.	Cnd	Rd	Ed (T)	C.S.	Verifica
16	-	2520.03	4509.78	1.3	1	SLV 8	D	16041.4	6909.3	2.32	Si

Parametri utilizzati nel calcolo

Filo	Ind.	Xp	Yp	Tipo	L.frs.	L.tr.lib.	L.tr.inf.	Coes.	Fi	P.spec	T max	Mecc.coll.	M.plast.sup.	Quota sup.	N sup.	M.plast.inf.	Quota inf.	N inf.
16	-	2520.03	4509.78	TI	60	0	830	0.94	35	0.001	35451	PLV	4712794	-50	-46552	3027531	-370.2	-48603

Trivellato D60 filo 19

Verifiche effettuate secondo D.M. 17-01-18, Circolare 7 21-01-19

Caratteristiche geometriche

Diametro 60
Lunghezza 1200

Caratteristiche dei materiali

Calcestruzzo C35/45 Rck 450
Acciaio B450C fyk,m: 4500

Verifiche a pressoflessione

Quota	Filo	Ind.	Xp	Yp	As	Cop.	N	|M|	Mu	Dom.	SnmFcd	MultM	Comb.	C.S.	Verifica
0	19	-	3110.05	4189.84	74.33	7.3	-22929	1720114	6632525	P			SLU 2	3.86	Si
0	19	-	3110.05	4189.84	74.33	7.3	-5931	1962077	5838448	P			SLU EX 1	2.98	Si
0	19	-	3110.05	4189.84	74.33	7.3	-18497	1233188	5109002	SE			SLD 12	4.14	Si
0	19	-	3110.05	4189.84	74.33	7.3	-12483	2064856	4436748	SE			SLV 11	2.15	Si
-123	19	-	3110.05	4189.84	112.03	7	-30933	985601	9155694	P			SLU 6	9.29	Si
-123	19	-	3110.05	4189.84	112.03	7	-6801	1119763	8483720	P			SLU EX 1	7.58	Si
-123	19	-	3110.05	4189.84	112.03	7	-19564	711683	6901636	SE			SLD 11	9.7	Si
-123	19	-	3110.05	4189.84	112.03	7	-20663	1269328	7146501	SE			SLV 15	5.63	Si
-246	19	-	3110.05	4189.84	37.7	7	-32065	247975	3910854	P			SLU 6	15.77	Si
-246	19	-	3110.05	4189.84	37.7	7	-7672	277478	4931593	P			SLU EX 1	17.77	Si
-246	19	-	3110.05	4189.84	37.7	7	-23393	223692	3776317	SE			SLD 15	16.88	Si
-246	19	-	3110.05	4189.84	37.7	7	-21534	456077	4320119	SE			SLV 15	9.47	Si
-369	19	-	3110.05	4189.84	37.7	7	-33197	490043	5171490	P			SLU 6	10.55	Si
-369	19	-	3110.05	4189.84	37.7	7	-8542	564908	4158160	P			SLU EX 1	7.36	Si
-369	19	-	3110.05	4189.84	37.7	7	-21108	344243	4299764	SE			SLD 12	12.49	Si
-369	19	-	3110.05	4189.84	37.7	7	-14597	565555	3702362	SE			SLV 12	6.55	Si
-493	19	-	3110.05	4189.84	37.7	7	-19733	1023863	4400438	P			SLU 2	4.3	Si
-493	19	-	3110.05	4189.84	37.7	7	-6685	1174186	3484739	P			SLU EX 1	2.97	Si
-493	19	-	3110.05	4189.84	37.7	7	-16330	723692	3456565	SE			SLD 12	4.78	Si
-493	19	-	3110.05	4189.84	37.7	7	-11332	1192837	2655073	SE			SLV 12	2.23	Si
-677	19	-	3110.05	4189.84	37.7	7	-14516	473617	5065562	P			SLU 2	10.7	Si
-677	19	-	3110.05	4189.84	37.7	7	-5318	542530	3753668	P			SLU EX 1	6.92	Si
-677	19	-	3110.05	4189.84	37.7	7	-12117	335652	4285274	SE			SLD 12	12.77	Si
-677	19	-	3110.05	4189.84	37.7	7	-8594	553998	2993833	SE			SLV 12	5.4	Si
-801	19	-	3110.05	4189.84	37.7	7	-19999	204783	4539125	P			SLU 6	22.17	Si
-801	19	-	3110.05	4189.84	37.7	7	-6188	234288	4873244	P			SLU EX 1	20.8	Si
-801	19	-	3110.05	4189.84	37.7	7	-12988	145217	4002107	SE			SLD 12	27.56	Si
-801	19	-	3110.05	4189.84	37.7	7	-9465	239849	4299656	SE			SLV 12	17.93	Si
-924	19	-	3110.05	4189.84	37.7	7	-12804	32676	1592040	P			SLU 6	48.72	Si
-924	19	-	3110.05	4189.84	37.7	7	-4432	37206	4099373	P			SLU EX 1	110.18	Si
-924	19	-	3110.05	4189.84	37.7	7	-11256	5686	315154	SE			SLD 5	55.42	Si
-924	19	-	3110.05	4189.84	37.7	7	-13331	15337	717674	SE			SLV 5	46.79	Si
-1047	19	-	3110.05	4189.84	37.7	7	-9194	5500	373193	P			SLU 6	67.85	Si
-1047	19	-	3110.05	4189.84	37.7	7	-3808	6375	1044249	P			SLU EX 1	163.81	Si

Quota	Filo	Ind.	Xp	Yp	As	Cop.	N	|M|	Mu	Dom.	SnmFcd	MultM	Comb.	C.S.	Verifica
-1047	19	-	3110.05	4189.84	37.7	7	-7919	550	43329	SE			SLD 5	78.77	Si
-1047	19	-	3110.05	4189.84	37.7	7	-9170	2010	136770	SE			SLV 5	68.03	Si
-1170	19	-	3110.05	4189.84	0	0	-5608	0	0	P			SLU 6	84.94	Si
-1170	19	-	3110.05	4189.84	0	0	-3195	0	0	P			SLU EX 1	149.08	Si
-1170	19	-	3110.05	4189.84	0	0	-4604	0	0	SE			SLD 5	103.46	Si
-1170	19	-	3110.05	4189.84	0	0	-5032	0	0	SE			SLV 5	94.65	Si

Verifiche delle tensioni nella famiglia Rara

Tensione limite del calcestruzzo: 224.1
Tensione limite dell'acciaio: 3600
Coefficiente di omogeneizzazione impiegato: Es / Ec = 5.95

Quota	Filo	Ind.	Xp	Yp	Mx	My	N	Comb.	Sc,max	Mx	My	N	Comb.	Sf,max	Verifica
0	19	-	3110.05	4189.84	-1149355	47292	-22922	SLE RA 2	-86.3	-1149355	47292	-22922	SLE RA 2	675.6	Si
-123	19	-	3110.05	4189.84	-657435	29774	-23793	SLE RA 2	-40.5	-657435	29774	-23793	SLE RA 2	186.7	Si
-246	19	-	3110.05	4189.84	-165515	12256	-24663	SLE RA 2	-15.3	-165515	12256	-24663	SLE RA 2	-15.4	Si
-369	19	-	3110.05	4189.84	326405	-5262	-25534	SLE RA 2	-22.6	326405	-5262	-25534	SLE RA 2	14.8	Si
-493	19	-	3110.05	4189.84	682518	-18458	-19727	SLE RA 2	-63.3	682518	-18458	-19727	SLE RA 2	524.6	Si
-677	19	-	3110.05	4189.84	315884	-9506	-14512	SLE RA 2	-18.5	315884	-9506	-14512	SLE RA 2	34.3	Si
-801	19	-	3110.05	4189.84	136518	-4302	-15382	SLE RA 2	-11	136518	-4302	-15382	SLE RA 2	-3	Si
-924	19	-	3110.05	4189.84	21793	-893	-9849	SLE RA 2	-4.2	21793	-893	-9849	SLE RA 2	-15	Si
-1047	19	-	3110.05	4189.84	-3660	17	-7072	SLE RA 2	-2.5	-3660	17	-7072	SLE RA 2	-13.1	Si
-1170	19	-	3110.05	4189.84	0	0	-4313	SLE RA 2	-1.5	0	0	0		0	Si

Verifiche delle tensioni nella famiglia Quasi permanenti

Tensione limite del calcestruzzo: 168.1
Coefficiente di omogeneizzazione impiegato: Es * (1 + φ) / Ec = 5.95
Coefficiente di viscosità: φ = 0

Quota	Filo	Ind.	Xp	Yp	Mx	My	N	Comb.	Sc,max	Verifica
0	19	-	3110.05	4189.84	-693784	31707	-22916	SLE QP 2	-50	Si
-123	19	-	3110.05	4189.84	-397491	20013	-23787	SLE QP 2	-21.7	Si
-246	19	-	3110.05	4189.84	-101197	8320	-24657	SLE QP 2	-12.5	Si
-369	19	-	3110.05	4189.84	195096	-3373	-25528	SLE QP 2	-16.9	Si
-493	19	-	3110.05	4189.84	409711	-12193	-19723	SLE QP 2	-24.3	Si
-677	19	-	3110.05	4189.84	189851	-6307	-14509	SLE QP 2	-13	Si
-801	19	-	3110.05	4189.84	82095	-2859	-15379	SLE QP 2	-8.6	Si
-924	19	-	3110.05	4189.84	13154	-599	-9847	SLE QP 2	-3.8	Si
-1047	19	-	3110.05	4189.84	-2178	9	-7071	SLE QP 2	-2.4	Si
-1170	19	-	3110.05	4189.84	0	0	-4313	SLE QP 2	-1.5	Si

Verifiche delle fessure nella famiglia Esercizio frequente

Valore limite di controllo: 0.2 mm
Coefficiente di omogeneizzazione impiegato: Es / Ec = 5.95

Quota	Filo	Ind.	Xp	Yp	Mx	My	N	Comb.	Fess	Wka,mm	Wk,mm	Sm,cm	Verifica
0	19	-	3110.05	4189.84	-807677	35603	-22918	SLE FR 2	Si	0.2	0.034	30.9	Si
-123	19	-	3110.05	4189.84	-7575	5372	-23778	SLE FR 1	No				Si
-246	19	-	3110.05	4189.84	-4721	2416	-24649	SLE FR 1	No				Si
-369	19	-	3110.05	4189.84	-1868	-541	-25519	SLE FR 1	No				Si
-493	19	-	3110.05	4189.84	502	-2796	-19716	SLE FR 1	No				Si
-677	19	-	3110.05	4189.84	802	-1509	-14504	SLE FR 1	No				Si
-801	19	-	3110.05	4189.84	461	-695	-15375	SLE FR 1	No				Si
-924	19	-	3110.05	4189.84	196	-157	-9844	SLE FR 1	No				Si
-1047	19	-	3110.05	4189.84	46	-3	-7069	SLE FR 1	No				Si
-1170	19	-	3110.05	4189.84	0	0	-4312	SLE FR 1	No				Si

Verifiche delle fessure nella famiglia Esercizio quasi permanente

Valore limite di controllo: 0.2 mm
Coefficiente di omogeneizzazione impiegato: Es * (1 + φ) / Ec = 5.95
Coefficiente di viscosità: φ = 0

Quota	Filo	Ind.	Xp	Yp	Mx	My	N	Comb.	Fess	Wka,mm	Wk,mm	Sm,cm	Verifica
0	19	-	3110.05	4189.84	-693784	31707	-22916	SLE QP 2	Si	0.2	0.025	30.2	Si
-123	19	-	3110.05	4189.84	-7575	5372	-23778	SLE QP 1	No				Si
-246	19	-	3110.05	4189.84	-4721	2416	-24649	SLE QP 1	No				Si
-369	19	-	3110.05	4189.84	-1868	-541	-25519	SLE QP 1	No				Si
-493	19	-	3110.05	4189.84	502	-2796	-19716	SLE QP 1	No				Si
-677	19	-	3110.05	4189.84	802	-1509	-14504	SLE QP 1	No				Si
-801	19	-	3110.05	4189.84	461	-695	-15375	SLE QP 1	No				Si
-924	19	-	3110.05	4189.84	196	-157	-9844	SLE QP 1	No				Si
-1047	19	-	3110.05	4189.84	46	-3	-7069	SLE QP 1	No				Si
-1170	19	-	3110.05	4189.84	0	0	-4312	SLE QP 1	No				Si

Verifiche a taglio

Quota	Filo	Ind.	Xp	Yp	Tx	Ty	N	MultT	Vrd,4.1.23	VRsd,4.1.27	VRcd,4.1.28	Cotg	Comb.	C.S.	Verifica
0	19	-	3110.05	4189.84	209	5987	-29802		15019	16918	121946	1	SLU 6	2.82	Si
0	19	-	3110.05	4189.84	127	6838	-5931		11930	19456	175393	1	SLU EX 1	2.84	Si
0	19	-	3110.05	4189.84	906	4166	-18497		13556	16918	119751	1	SLD 12	3.97	Si
0	19	-	3110.05	4189.84	2381	6649	-12483		12778	16918	118584	1	SLV 11	2.4	Si
-123	19	-	3110.05	4189.84	209	5987	-29802		15019	16918	121946	1	SLU 6	2.82	Si
-123	19	-	3110.05	4189.84	127	6838	-5931		11930	19456	175393	1	SLU EX 1	2.84	Si
-123	19	-	3110.05	4189.84	906	4166	-18497		13556	16918	119751	1	SLD 12	3.97	Si
-123	19	-	3110.05	4189.84	2381	6649	-12483		12778	16918	118584	1	SLV 11	2.4	Si
-246	19	-	3110.05	4189.84	209	5987	-29802		15095	17029	122743	1	SLU 6	2.84	Si
-246	19	-	3110.05	4189.84	127	6838	-5931		11986	19583	176540	1	SLU EX 1	2.86	Si
-246	19	-	3110.05	4189.84	906	4166	-18497		13623	17029	120534	1	SLD 12	3.99	Si
-246	19	-	3110.05	4189.84	2381	6649	-12483		12839	17029	119360	1	SLV 11	2.41	Si
-369	19	-	3110.05	4189.84	209	5987	-29802		15095	17029	122743	1	SLU 6	2.84	Si
-369	19	-	3110.05	4189.84	127	6838	-5931		11986	19583	176540	1	SLU EX 1	2.86	Si
-369	19	-	3110.05	4189.84	906	4166	-18497		13623	17029	120534	1	SLD 12	3.99	Si

Quota	Filo	Ind.	Xp	Yp	Tx	Ty	N	MultT	Vrd,4.1.23	VRsd,4.1.27	VRcd,4.1.28	Cotg	Comb.	C.S.	Verifica
-369	19	-	3110.05	4189.84	2381	6649	-12483		12839	17029	119360	1	SLV 11	2.41	Si
-493	19	-	3110.05	4189.84	-70	-3011	-19573		13763	17029	120745	1	SLU 2	5.65	Si
-493	19	-	3110.05	4189.84	-46	-3457	-6525		12063	19583	176656	1	SLU EX 1	5.66	Si
-493	19	-	3110.05	4189.84	-330	-2098	-16170		13320	17029	120080	1	SLD 12	8.02	Si
-493	19	-	3110.05	4189.84	-735	-3419	-11172		12669	17029	119103	1	SLV 12	4.87	Si
-677	19	-	3110.05	4189.84	-62	-2184	-18799		13662	17029	120594	1	SLU 6	7.79	Si
-677	19	-	3110.05	4189.84	-39	-2503	-5266		11899	19583	176410	1	SLU EX 1	7.82	Si
-677	19	-	3110.05	4189.84	-278	-1521	-12065		12785	17029	119278	1	SLD 12	11.01	Si
-677	19	-	3110.05	4189.84	-617	-2475	-8542		12326	17029	118589	1	SLV 12	6.68	Si
-801	19	-	3110.05	4189.84	-62	-2184	-18799		13662	17029	120594	1	SLU 6	7.79	Si
-801	19	-	3110.05	4189.84	-39	-2503	-5266		11899	19583	176410	1	SLU EX 1	7.82	Si
-801	19	-	3110.05	4189.84	-278	-1521	-12065		12785	17029	119278	1	SLD 12	11.01	Si
-801	19	-	3110.05	4189.84	-617	-2475	-8542		12326	17029	118589	1	SLV 12	6.68	Si
-924	19	-	3110.05	4189.84	-13	-378	-12311		12817	17029	119326	1	SLU 6	45	Si
-924	19	-	3110.05	4189.84	-8	-432	-4053		11741	19583	176173	1	SLU EX 1	45.31	Si
-924	19	-	3110.05	4189.84	-56	-263	-8058		12263	17029	118495	1	SLD 12	63.27	Si
-924	19	-	3110.05	4189.84	-125	-427	-5983		11993	17029	118089	1	SLV 12	38.24	Si
-1047	19	-	3110.05	4189.84	0	58	-6936		12117	17029	118276	1	SLU 2	295.43	Si
-1047	19	-	3110.05	4189.84	0	67	-3672		11692	19583	176098	1	SLU EX 1	293.85	Si
-1047	19	-	3110.05	4189.84	2	40	-6085		12006	17029	118109	1	SLD 12	422.84	Si
-1047	19	-	3110.05	4189.84	5	66	-4835		11843	17029	117865	1	SLV 12	257.53	Si
-1170	19	-	3110.05	4189.84	0	0	-4118		11695	16918	116960	1	SLU 1	100	Si
-1170	19	-	3110.05	4189.84	0	0	-3001		11550	19456	174824	1	SLU EX 1	100	Si
-1170	19	-	3110.05	4189.84	0	0	-4207		11707	16918	116978	1	SLD 1	100	Si
-1170	19	-	3110.05	4189.84	0	0	-4338		11723	16918	117003	1	SLV 1	100	Si

Verifica di capacità portante per la famiglia SLU

Verifica di capacità portante verticale riferita al palo singolo

Fattore di correlazione ψ scelto in base alla conoscenza del sito = 1.7
Peso del palo = 8482.3 * 1.3

Filo	Ind.	Xp	Yp	γR laterale	γR punta	Pl,d	Pp,d	Def.vol	Comb.	Cnd	N	Ed	Rd	C.S.	Verifica
19	-	3110.05	4189.84	1.15	1.35	378966	12320		SLU 6	lungo	-29802	-40829	391285	9.58	Si

Verifica di capacità portante trasversale riferita al palo singolo

Fattore di correlazione ψ scelto in base alla conoscenza del sito = 1.7

Filo	Ind.	Xp	Yp	γR trasversale	LRF	Comb.	Cnd	Rd	Ed (T)	C.S.	Verifica
19	-	3110.05	4189.84	1.3	1	SLU 2	D	18514.3	5983.1	3.09	Si

Parametri utilizzati nel calcolo

Filo	Ind.	Xp	Yp	Tipo	L.frs.	L.tr.lib.	L.tr.inf.	Coes.	Fi	P.spec	T max	Mecc.coll.	M.plast.sup.	Quota sup.	N sup.	M.plast.inf.	Quota inf.	N inf.
19	-	3110.05	4189.84	TI	60	0	830	0.94	35	0.001	40916	PLV	5900093	-50	-23141	3572335	-394	-25361

Verifica di capacità portante per la famiglia SLU EX

Verifica di capacità portante verticale riferita al palo singolo

Fattore di correlazione ψ scelto in base alla conoscenza del sito = 1.7
Peso del palo = 8482.3 * 1

Filo	Ind.	Xp	Yp	γR laterale	γR punta	Pl,d	Pp,d	Def.vol	Comb.	Cnd	N	Ed	Rd	C.S.	Verifica
19	-	3110.05	4189.84	1	1	435810	16632		SLU EX 1	lungo	-5931	-14413	452442	31.39	Si

Verifica di capacità portante trasversale riferita al palo singolo

Fattore di correlazione ψ scelto in base alla conoscenza del sito = 1.7

Filo	Ind.	Xp	Yp	γR trasversale	LRF	Comb.	Cnd	Rd	Ed (T)	C.S.	Verifica
19	-	3110.05	4189.84	1	1	SLU EX 1	D	23364	6839.3	3.42	Si

Parametri utilizzati nel calcolo

Filo	Ind.	Xp	Yp	Tipo	L.frs.	L.tr.lib.	L.tr.inf.	Coes.	Fi	P.spec	T max	Mecc.coll.	M.plast.sup.	Quota sup.	N sup.	M.plast.inf.	Quota inf.	N inf.
19	-	3110.05	4189.84	TI	60	0	830	0.94	35	0.001	39719	PLV	5698155	-50	-6143	3302129	-388.9	-8326

Verifica di capacità portante per la famiglia SLD

Verifica di capacità portante verticale riferita al palo singolo

Fattore di correlazione ψ scelto in base alla conoscenza del sito = 1.7
Peso del palo = 8482.3 * 1

Filo	Ind.	Xp	Yp	γR laterale	γR punta	Pl,d	Pp,d	Def.vol	Comb.	Cnd	N	Ed	Rd	C.S.	Verifica
19	-	3110.05	4189.84	1.15	1.35	378966	12320		SLD 5	lungo	-27336	-35818	391285	10.92	Si

Verifica di capacità portante per la famiglia SLV

Verifica di capacità portante verticale riferita al palo singolo

Fattore di correlazione ψ scelto in base alla conoscenza del sito = 1.7
Peso del palo = 8482.3 * 1

Filo	Ind.	Xp	Yp	γR laterale	γR punta	Pl,d	Pp,d	Def.vol	Comb.	Cnd	N	Ed	Rd	C.S.	Verifica
19	-	3110.05	4189.84	1.15	1.35	378966	12320		SLV 5	lungo	-33847	-42329	391285	9.24	Si

Verifica di capacità portante trasversale riferita al palo singolo

Fattore di correlazione ψ scelto in base alla conoscenza del sito = 1.7

Filo	Ind.	Xp	Yp	γR trasversale	LRF	Comb.	Cnd	Rd	Ed (T)	C.S.	Verifica
19	-	3110.05	4189.84	1.3	1	SLV 12	D	14736.2	7056.9	2.09	Si

Parametri utilizzati nel calcolo

Filo	Ind.	Xp	Yp	Tipo	L.frs.	L.tr.lib.	L.tr.inf.	Coes.	Fi	P.spec	T max	Mecc.coll.	M.plast.sup.	Quota sup.	N sup.	M.plast.inf.	Quota inf.	N inf.
19	-	3110.05	4189.84	TI	60	0	830	0.94	35	0.001	32567	PLV	4232113	-50	-12198	2477709	-356.9	-14155

Trivellato D60 filo 20

Verifiche effettuate secondo D.M. 17-01-18, Circolare 7 21-01-19

Caratteristiche geometriche

Diametro 60
Lunghezza 1200

Caratteristiche dei materiali

Calcestruzzo C35/45 Rck 450
Acciaio B450C fyk,m: 4500

Verifiche a pressoflessione

Quota	Filo	Ind.	Xp	Yp	As	Cop.	N	|M|	Mu	Dom.	SnmFcd	MultM	Comb.	C.S.	Verifica
0	20	-	3110.05	4349.81	74.33	7.3	-37503	1719462	7019698	P			SLU 2	4.08	Si
0	20	-	3110.05	4349.81	74.33	7.3	-22787	1971195	6481151	P			SLU EX 1	3.29	Si
0	20	-	3110.05	4349.81	74.33	7.3	-28671	1219157	5647776	SE			SLD 12	4.63	Si
0	20	-	3110.05	4349.81	74.33	7.3	-28668	2017261	5047250	SE			SLV 12	2.5	Si
-123	20	-	3110.05	4349.81	112.03	7	-45471	983217	8517211	P			SLU 6	8.66	Si
-123	20	-	3110.05	4349.81	112.03	7	-23658	1126164	9164335	P			SLU EX 1	8.14	Si
-123	20	-	3110.05	4349.81	112.03	7	-29542	698848	6595070	SE			SLD 12	9.44	Si
-123	20	-	3110.05	4349.81	112.03	7	-29525	1220262	6971988	SE			SLV 16	5.71	Si
-246	20	-	3110.05	4349.81	37.7	7	-46603	246571	3032195	P			SLU 6	12.3	Si
-246	20	-	3110.05	4349.81	37.7	7	-24528	281136	4766908	P			SLU EX 1	16.96	Si
-246	20	-	3110.05	4349.81	37.7	7	-30406	212367	3210147	SE			SLD 16	15.12	Si
-246	20	-	3110.05	4349.81	37.7	7	-30395	432302	4235969	SE			SLV 16	9.8	Si
-369	20	-	3110.05	4349.81	37.7	7	-47735	490149	4544748	P			SLU 6	9.27	Si
-369	20	-	3110.05	4349.81	37.7	7	-25399	563900	5456052	P			SLU EX 1	9.68	Si
-369	20	-	3110.05	4349.81	37.7	7	-31283	343535	3979734	SE			SLD 12	11.58	Si
-369	20	-	3110.05	4349.81	37.7	7	-31279	562925	4317521	SE			SLV 12	7.67	Si
-493	20	-	3110.05	4349.81	37.7	7	-30920	1023548	5045450	P			SLU 2	4.93	Si
-493	20	-	3110.05	4349.81	37.7	7	-19623	1175379	4249422	P			SLU EX 1	3.62	Si
-493	20	-	3110.05	4349.81	37.7	7	-24140	719917	4266804	SE			SLD 12	5.93	Si
-493	20	-	3110.05	4349.81	37.7	7	-24137	1183600	3300548	SE			SLV 12	2.79	Si
-677	20	-	3110.05	4349.81	37.7	7	-26733	473414	5358794	P			SLU 6	11.32	Si
-677	20	-	3110.05	4349.81	37.7	7	-14439	543506	4883402	P			SLU EX 1	8.98	Si
-677	20	-	3110.05	4349.81	37.7	7	-17623	333502	4324491	SE			SLD 12	12.97	Si
-677	20	-	3110.05	4349.81	37.7	7	-17621	548950	4212543	SE			SLV 12	7.67	Si
-801	20	-	3110.05	4349.81	37.7	7	-27865	204559	3792050	P			SLU 6	18.54	Si
-801	20	-	3110.05	4349.81	37.7	7	-15309	234795	5224960	P			SLU EX 1	22.25	Si
-801	20	-	3110.05	4349.81	37.7	7	-18493	144201	3418789	SE			SLD 12	23.71	Si
-801	20	-	3110.05	4349.81	37.7	7	-18491	237497	4153862	SE			SLV 12	17.49	Si
-924	20	-	3110.05	4349.81	37.7	7	-17439	32611	1166618	P			SLU 6	35.77	Si
-924	20	-	3110.05	4349.81	37.7	7	-9806	37378	2348740	P			SLU EX 1	62.84	Si
-924	20	-	3110.05	4349.81	37.7	7	-11685	16845	899308	SE			SLD 2	53.39	Si
-924	20	-	3110.05	4349.81	37.7	7	-11680	38244	1888676	SE			SLV 12	49.39	Si
-1047	20	-	3110.05	4349.81	37.7	7	-11986	5506	286564	P			SLU 6	52.05	Si
-1047	20	-	3110.05	4349.81	37.7	7	-7046	6345	561784	P			SLU EX 1	88.54	Si
-1047	20	-	3110.05	4349.81	37.7	7	-8178	1847	140930	SE			SLD 2	76.28	Si
-1047	20	-	3110.05	4349.81	37.7	7	-8180	1869	142513	SE			SLV 2	76.26	Si
-1170	20	-	3110.05	4349.81	0	0	-6564	0	0	P			SLU 6	72.56	Si
-1170	20	-	3110.05	4349.81	0	0	-4305	0	0	P			SLU EX 1	110.65	Si
-1170	20	-	3110.05	4349.81	0	0	-4692	0	0	SE			SLD 2	101.51	Si
-1170	20	-	3110.05	4349.81	0	0	-4693	0	0	SE			SLV 2	101.49	Si

Verifiche delle tensioni nella famiglia Rara

Tensione limite del calcestruzzo: 224.1
Tensione limite dell'acciaio: 3600
Coefficiente di omogeneizzazione impiegato: Es / Ec = 5.95

Quota	Filo	Ind.	Xp	Yp	Mx	My	N	Comb.	Sc,max	Mx	My	N	Comb.	Sf,max	Verifica
0	20	-	3110.05	4349.81	-1146626	18710	-32598	SLE RA 2	-83.9	-1146626	18710	-32598	SLE RA 2	540.5	Si
-123	20	-	3110.05	4349.81	-655538	11926	-33469	SLE RA 2	-34.1	-655538	11926	-33469	SLE RA 2	54.5	Si
-246	20	-	3110.05	4349.81	-164450	5141	-34339	SLE RA 2	-18.5	-164450	5141	-34339	SLE RA 2	-34.6	Si
-369	20	-	3110.05	4349.81	326638	-1643	-35210	SLE RA 2	-25.8	326638	-1643	-35210	SLE RA 2	-4.1	Si
-493	20	-	3110.05	4349.81	682084	-6786	-27154	SLE RA 2	-58.1	682084	-6786	-27154	SLE RA 2	348.8	Si
-677	20	-	3110.05	4349.81	315564	-3574	-19747	SLE RA 2	-20.2	315564	-3574	-19747	SLE RA 2	24	Si
-801	20	-	3110.05	4349.81	136356	-1631	-20618	SLE RA 2	-12.7	136356	-1631	-20618	SLE RA 2	-13.3	Si
-924	20	-	3110.05	4349.81	21742	-353	-12933	SLE RA 2	-5.2	24	-154	-9806	SLE RA 1	-19.2	Si
-1047	20	-	3110.05	4349.81	-3668	0	-8930	SLE RA 2	-3.1	17	-3	-7046	SLE RA 1	-13.8	Si
-1170	20	-	3110.05	4349.81	0	0	-4950	SLE RA 2	-1.8	0	0	0		0	Si

Verifiche delle tensioni nella famiglia Quasi permanenti

Tensione limite del calcestruzzo: 168.1
Coefficiente di omogeneizzazione impiegato: Es * (1 + φ) / Ec = 5.95
Coefficiente di viscosità: φ = 0

Quota	Filo	Ind.	Xp	Yp	Mx	My	N	Comb.	Sc,max	Verifica
0	20	-	3110.05	4349.81	-688491	14495	-28674	SLE QP 2	-48.2	Si
-123	20	-	3110.05	4349.81	-393791	9263	-29544	SLE QP 2	-23.2	Si
-246	20	-	3110.05	4349.81	-99091	4031	-30415	SLE QP 2	-14.3	Si
-369	20	-	3110.05	4349.81	195609	-1202	-31285	SLE QP 2	-18.8	Si
-493	20	-	3110.05	4349.81	408944	-5173	-24142	SLE QP 2	-25.8	Si
-677	20	-	3110.05	4349.81	189258	-2738	-17624	SLE QP 2	-14	Si
-801	20	-	3110.05	4349.81	81791	-1252	-18495	SLE QP 2	-9.7	Si
-924	20	-	3110.05	4349.81	13055	-274	-11682	SLE QP 2	-4.4	Si
-1047	20	-	3110.05	4349.81	-2194	-1	-8176	SLE QP 2	-2.8	Si
-1170	20	-	3110.05	4349.81	0	0	-4692	SLE QP 2	-1.7	Si

Verifiche delle fessure nella famiglia Esercizio frequente

Valore limite di controllo: 0.2 mm
Coefficiente di omogeneizzazione impiegato: Es / Ec = 5.95

Quota	Filo	Ind.	Xp	Yp	Mx	My	N	Comb.	Fess	Wka,mm	Wk,mm	Sm,cm	Verifica
0	20	-	3110.05	4349.81	-803025	15549	-29655	SLE FR 2	Si	0.2	0.025	29.6	Si
-123	20	-	3110.05	4349.81	-1171	5268	-23658	SLE FR 1	No				Si
-246	20	-	3110.05	4349.81	-1052	2364	-24528	SLE FR 1	No				Si
-369	20	-	3110.05	4349.81	-934	-540	-25399	SLE FR 1	No				Si
-493	20	-	3110.05	4349.81	-766	-2754	-19623	SLE FR 1	No				Si
-677	20	-	3110.05	4349.81	-201	-1485	-14439	SLE FR 1	No				Si
-801	20	-	3110.05	4349.81	-56	-684	-15309	SLE FR 1	No				Si
-924	20	-	3110.05	4349.81	24	-154	-9806	SLE FR 1	No				Si
-1047	20	-	3110.05	4349.81	17	-3	-7046	SLE FR 1	No				Si
-1170	20	-	3110.05	4349.81	0	0	-4305	SLE FR 1	No				Si

Verifiche delle fessure nella famiglia Esercizio quasi permanente

Valore limite di controllo: 0.2 mm
Coefficiente di omogeneizzazione impiegato: Es * (1 + φ) / Ec = 5.95
Coefficiente di viscosità: φ = 0

Quota	Filo	Ind.	Xp	Yp	Mx	My	N	Comb.	Fess	Wka,mm	Wk,mm	Sm,cm	Verifica
0	20	-	3110.05	4349.81	-688491	14495	-28674	SLE QP 2	Si	0.2	0.018	28.9	Si
-123	20	-	3110.05	4349.81	-1171	5268	-23658	SLE QP 1	No				Si
-246	20	-	3110.05	4349.81	-1052	2364	-24528	SLE QP 1	No				Si
-369	20	-	3110.05	4349.81	-934	-540	-25399	SLE QP 1	No				Si
-493	20	-	3110.05	4349.81	-766	-2754	-19623	SLE QP 1	No				Si
-677	20	-	3110.05	4349.81	-201	-1485	-14439	SLE QP 1	No				Si
-801	20	-	3110.05	4349.81	-56	-684	-15309	SLE QP 1	No				Si
-924	20	-	3110.05	4349.81	24	-154	-9806	SLE QP 1	No				Si
-1047	20	-	3110.05	4349.81	17	-3	-7046	SLE QP 1	No				Si
-1170	20	-	3110.05	4349.81	0	0	-4305	SLE QP 1	No				Si

Verifiche a taglio

Quota	Filo	Ind.	Xp	Yp	Tx	Ty	N	MultT	Vrd,4.1.23	VRsd,4.1.27	VRcd,4.1.28	Cotg	Comb.	C.S.	Verifica
0	20	-	3110.05	4349.81	78	5981	-44340		16900	16918	124768	1	SLU 6	2.83	Si
0	20	-	3110.05	4349.81	24	6861	-22787		14111	19456	178665	1	SLU EX 1	2.84	Si
0	20	-	3110.05	4349.81	715	4165	-28671		14872	16918	121726	1	SLD 12	4	Si
0	20	-	3110.05	4349.81	1621	6781	-28668		14872	16918	121726	1	SLV 12	2.43	Si
-123	20	-	3110.05	4349.81	78	5981	-44340		16900	16918	124768	1	SLU 6	2.83	Si
-123	20	-	3110.05	4349.81	24	6861	-22787		14111	19456	178665	1	SLU EX 1	2.84	Si
-123	20	-	3110.05	4349.81	715	4165	-28671		14872	16918	121726	1	SLD 12	4	Si
-123	20	-	3110.05	4349.81	1621	6781	-28668		14872	16918	121726	1	SLV 12	2.43	Si
-246	20	-	3110.05	4349.81	78	5981	-44340		16989	17029	125584	1	SLU 6	2.85	Si
-246	20	-	3110.05	4349.81	24	6861	-22787		14181	19583	179833	1	SLU EX 1	2.85	Si
-246	20	-	3110.05	4349.81	715	4165	-28671		14948	17029	122522	1	SLD 12	4.03	Si
-246	20	-	3110.05	4349.81	1621	6781	-28668		14947	17029	122522	1	SLV 12	2.44	Si
-369	20	-	3110.05	4349.81	78	5981	-44340		16989	17029	125584	1	SLU 6	2.85	Si
-369	20	-	3110.05	4349.81	24	6861	-22787		14181	19583	179833	1	SLU EX 1	2.85	Si
-369	20	-	3110.05	4349.81	715	4165	-28671		14948	17029	122522	1	SLD 12	4.03	Si
-369	20	-	3110.05	4349.81	1621	6781	-28668		14947	17029	122522	1	SLV 12	2.44	Si
-493	20	-	3110.05	4349.81	-23	-3011	-30760		15220	17029	122930	1	SLU 2	5.66	Si
-493	20	-	3110.05	4349.81	-7	-3458	-19463		13749	19583	179184	1	SLU EX 1	5.66	Si
-493	20	-	3110.05	4349.81	-268	-2098	-23980		14337	17029	121606	1	SLD 12	8.05	Si
-493	20	-	3110.05	4349.81	-610	-3420	-23977		14336	17029	121605	1	SLV 12	4.9	Si
-677	20	-	3110.05	4349.81	-20	-2183	-22350		14124	17029	121287	1	SLU 2	7.8	Si
-677	20	-	3110.05	4349.81	-7	-2507	-14387		13087	19583	178192	1	SLU EX 1	7.81	Si
-677	20	-	3110.05	4349.81	-222	-1521	-17571		13502	17029	120353	1	SLD 12	11.08	Si
-677	20	-	3110.05	4349.81	-505	-2478	-17569		13502	17029	120353	1	SLV 12	6.73	Si
-801	20	-	3110.05	4349.81	-20	-2183	-22350		14124	17029	121287	1	SLU 2	7.8	Si
-801	20	-	3110.05	4349.81	-7	-2507	-14387		13087	19583	178192	1	SLU EX 1	7.81	Si
-801	20	-	3110.05	4349.81	-222	-1521	-17571		13502	17029	120353	1	SLD 12	11.08	Si
-801	20	-	3110.05	4349.81	-505	-2478	-17569		13502	17029	120353	1	SLV 12	6.73	Si
-924	20	-	3110.05	4349.81	-5	-378	-16945		13421	17029	120231	1	SLU 6	45.06	Si
-924	20	-	3110.05	4349.81	-1	-434	-9426		12441	19583	177222	1	SLU EX 1	45.17	Si
-924	20	-	3110.05	4349.81	-44	-263	-11302		12685	17029	119129	1	SLD 12	63.82	Si
-924	20	-	3110.05	4349.81	-101	-428	-11301		12685	17029	119128	1	SLV 12	38.69	Si
-1047	20	-	3110.05	4349.81	0	58	-9735		12481	17029	118823	1	SLU 2	295.58	Si
-1047	20	-	3110.05	4349.81	0	66	-6909		12113	19583	176731	1	SLU EX 1	295.24	Si
-1047	20	-	3110.05	4349.81	-2	40	-8040		12261	17029	118491	1	SLD 8	422.88	Si
-1047	20	-	3110.05	4349.81	-5	66	-8041		12261	17029	118492	1	SLV 8	258.55	Si
-1170	20	-	3110.05	4349.81	0	0	-4110		11694	16918	116959	1	SLU 1	100	Si
-1170	20	-	3110.05	4349.81	0	0	-4110		11694	19456	175039	1	SLU EX 1	100	Si
-1170	20	-	3110.05	4349.81	0	0	-4498		11744	16918	117034	1	SLD 1	100	Si
-1170	20	-	3110.05	4349.81	0	0	-4499		11744	16918	117034	1	SLV 1	100	Si

Verifica di capacità portante per la famiglia SLU

Verifica di capacità portante verticale riferita al palo singolo

Fattore di correlazione ψ scelto in base alla conoscenza del sito = 1.7
Peso del palo = 8482.3 * 1.3

Filo	Ind.	Xp	Yp	γR laterale	γR punta	Pl,d	Pp,d	Def.vol	Comb.	Cnd	N	Ed	Rd	C.S.	Verifica
20	-	3110.05	4349.81	1.15	1.35	378966	12320		SLU 6	lungo	-44340	-55367	391285	7.07	Si

Verifica di capacità portante trasversale riferita al palo singolo

Fattore di correlazione ψ scelto in base alla conoscenza del sito = 1.7

Filo	Ind.	Xp	Yp	γR trasversale	LRF	Comb.	Cnd	Rd	Ed (T)	C.S.	Verifica
20	-	3110.05	4349.81	1.3	1	SLU 2	D	18960.2	5981.1	3.17	Si

Parametri utilizzati nel calcolo

Filo	Ind.	Xp	Yp	Tipo	L.frs.	L.tr.lib.	L.tr.inf.	Coes.	Fi	P.spec	T max	Mecc.coll.	M.plast.sup.	Quota sup.	N sup.	M.plast.inf.	Quota inf.	N inf.

Filo	Ind.	Xp	Yp	Tipo	L.frs.	L.tr.lib.	L.tr.inf.	Coes.	Fi	P.spec	T max	Mecc.coll.	M.plast.sup.	Quota sup.	N sup.	M.plast.inf.	Quota inf.	N inf.
20	-	3110.05	4349.81	TI	60	0	830	0.94	35	0.001	41902	PLV	6063637	-50	-37715	3803980	-398.1	-39964

Verifica di capacità portante per la famiglia SLU EX

Verifica di capacità portante verticale riferita al palo singolo

Fattore di correlazione ψ scelto in base alla conoscenza del sito = 1.7
Peso del palo = 8482.3 * 1

Filo	Ind.	Xp	Yp	γR laterale	γR punta	Pl,d	Pp,d	Def.vol	Comb.	Cnd	N	Ed	Rd	C.S.	Verifica
20	-	3110.05	4349.81	1	1	435810	16632		SLU EX 1	lungo	-22787	-31269	452442	14.47	Si

Verifica di capacità portante trasversale riferita al palo singolo

Fattore di correlazione ψ scelto in base alla conoscenza del sito = 1.7

Filo	Ind.	Xp	Yp	γR trasversale	LRF	Comb.	Cnd	Rd	Ed (T)	C.S.	Verifica
20	-	3110.05	4349.81	1	1	SLU EX 1	D	24062.8	6861.4	3.51	Si

Parametri utilizzati nel calcolo

Filo	Ind.	Xp	Yp	Tipo	L.frs.	L.tr.lib.	L.tr.inf.	Coes.	Fi	P.spec	T max	Mecc.coll.	M.plast.sup.	Quota sup.	N sup.	M.plast.inf.	Quota inf.	N inf.
20	-	3110.05	4349.81	TI	60	0	830	0.94	35	0.001	40907	PLV	5898498	-50	-22999	3570076	-393.9	-25218

Verifica di capacità portante per la famiglia SLD

Verifica di capacità portante verticale riferita al palo singolo

Fattore di correlazione ψ scelto in base alla conoscenza del sito = 1.7
Peso del palo = 8482.3 * 1

Filo	Ind.	Xp	Yp	γR laterale	γR punta	Pl,d	Pp,d	Def.vol	Comb.	Cnd	N	Ed	Rd	C.S.	Verifica
20	-	3110.05	4349.81	1.15	1.35	378966	12320		SLD 2	lungo	-28682	-37164	391285	10.53	Si

Verifica di capacità portante per la famiglia SLV

Verifica di capacità portante verticale riferita al palo singolo

Fattore di correlazione ψ scelto in base alla conoscenza del sito = 1.7
Peso del palo = 8482.3 * 1

Filo	Ind.	Xp	Yp	γR laterale	γR punta	Pl,d	Pp,d	Def.vol	Comb.	Cnd	N	Ed	Rd	C.S.	Verifica
20	-	3110.05	4349.81	1.15	1.35	378966	12320		SLV 2	lungo	-28693	-37175	391285	10.53	Si

Verifica di capacità portante trasversale riferita al palo singolo

Fattore di correlazione ψ scelto in base alla conoscenza del sito = 1.7

Filo	Ind.	Xp	Yp	γR trasversale	LRF	Comb.	Cnd	Rd	Ed (T)	C.S.	Verifica
20	-	3110.05	4349.81	1.3	1	SLV 12	D	15377.8	6972	2.21	Si

Parametri utilizzati nel calcolo

Filo	Ind.	Xp	Yp	Tipo	L.frs.	L.tr.lib.	L.tr.inf.	Coes.	Fi	P.spec	T max	Mecc.coll.	M.plast.sup.	Quota sup.	N sup.	M.plast.inf.	Quota inf.	N inf.
20	-	3110.05	4349.81	TI	60	0	830	0.94	35	0.001	33985	PLV	4465525	-50	-28880	2745758	-363.5	-30884

Trivellato D60 filo 21

Verifiche effettuate secondo D.M. 17-01-18, Circolare 7 21-01-19

Caratteristiche geometriche

Diametro 60
Lunghezza 1200

Caratteristiche dei materiali

Calcestruzzo C35/45 Rck 450
Acciaio B450C fyk,m: 4500

Verifiche a pressoflessione

Quota	Filo	Ind.	Xp	Yp	As	Cop.	N	|M|	Mu	Dom.	SnmFcd	MultM	Comb.	C.S.	Verifica
0	21	-	3110.05	4509.78	74.33	7.3	-52280	1687567	7227649	P			SLU 2	4.28	Si
0	21	-	3110.05	4509.78	74.33	7.3	-39763	1943775	6958856	P			SLU EX 1	3.58	Si
0	21	-	3110.05	4509.78	74.33	7.3	-38806	1204251	5567667	SE			SLD 7	4.62	Si
0	21	-	3110.05	4509.78	74.33	7.3	-37707	2051933	5391705	SE			SLV 3	2.63	Si
-123	21	-	3110.05	4509.78	112.03	7	-60248	958943	7765156	P			SLU 6	8.1	Si
-123	21	-	3110.05	4509.78	112.03	7	-40633	1106927	8917687	P			SLU EX 1	8.06	Si
-123	21	-	3110.05	4509.78	112.03	7	-39676	690406	6270773	SE			SLD 7	9.08	Si
-123	21	-	3110.05	4509.78	112.03	7	-38577	1244922	6828017	SE			SLV 3	5.48	Si
-246	21	-	3110.05	4509.78	37.7	7	-61379	232661	2337831	P			SLU 6	10.05	Si
-246	21	-	3110.05	4509.78	37.7	7	-41504	270084	3504447	P			SLU EX 1	12.98	Si
-246	21	-	3110.05	4509.78	37.7	7	-40547	179290	2365295	SE			SLD 7	13.19	Si
-246	21	-	3110.05	4509.78	37.7	7	-39448	445216	4013689	SE			SLV 3	9.02	Si
-369	21	-	3110.05	4509.78	37.7	7	-62511	493630	3958624	P			SLU 6	8.02	Si
-369	21	-	3110.05	4509.78	37.7	7	-42374	566779	5029216	P			SLU EX 1	8.87	Si
-369	21	-	3110.05	4509.78	37.7	7	-41614	346304	3537885	SE			SLD 8	10.22	Si
-369	21	-	3110.05	4509.78	37.7	7	-48125	567482	4067316	SE			SLV 8	7.17	Si
-493	21	-	3110.05	4509.78	37.7	7	-42262	1019068	5401826	P			SLU 2	5.3	Si
-493	21	-	3110.05	4509.78	37.7	7	-32654	1171661	4941226	P			SLU EX 1	4.22	Si
-493	21	-	3110.05	4509.78	37.7	7	-32071	718843	4316377	SE			SLD 8	6	Si
-493	21	-	3110.05	4509.78	37.7	7	-37068	1187478	4132583	SE			SLV 8	3.48	Si
-677	21	-	3110.05	4509.78	37.7	7	-34729	469589	5045176	P			SLU 6	10.74	Si
-677	21	-	3110.05	4509.78	37.7	7	-23624	540528	5435641	P			SLU EX 1	10.06	Si
-677	21	-	3110.05	4509.78	37.7	7	-23213	332102	4238969	SE			SLD 8	12.76	Si
-677	21	-	3110.05	4509.78	37.7	7	-26736	550062	4322121	SE			SLV 8	7.86	Si

Quota	Filo	Ind.	Xp	Yp	As	Cop.	N	|M|	Mu	Dom.	SnmFcd	MultM	Comb.	C.S.	Verifica
-801	21	-	3110.05	4509.78	37.7	7	-35861	202591	3179002	P			SLU 6	15.69	Si
-801	21	-	3110.05	4509.78	37.7	7	-24495	233255	4390895	P			SLU EX 1	18.82	Si
-801	21	-	3110.05	4509.78	37.7	7	-24084	143432	2903585	SE			SLD 8	20.24	Si
-801	21	-	3110.05	4509.78	37.7	7	-27607	237884	3599461	SE			SLV 8	15.13	Si
-924	21	-	3110.05	4509.78	37.7	7	-22149	31960	900157	P			SLU 6	28.17	Si
-924	21	-	3110.05	4509.78	37.7	7	-15217	36862	1511179	P			SLU EX 1	41	Si
-924	21	-	3110.05	4509.78	37.7	7	-14975	22821	950696	SE			SLD 8	41.66	Si
-924	21	-	3110.05	4509.78	37.7	7	-17050	38229	1391387	SE			SLV 8	36.4	Si
-1047	21	-	3110.05	4509.78	37.7	7	-14824	5613	236219	P			SLU 6	42.08	Si
-1047	21	-	3110.05	4509.78	37.7	7	-10306	6432	389338	P			SLU EX 1	60.53	Si
-1047	21	-	3110.05	4509.78	37.7	7	-10160	3925	240996	SE			SLD 8	61.4	Si
-1047	21	-	3110.05	4509.78	37.7	7	-11410	6398	349791	SE			SLV 8	54.67	Si
-1170	21	-	3110.05	4509.78	0	0	-7537	0	0	P			SLU 6	63.2	Si
-1170	21	-	3110.05	4509.78	0	0	-5422	0	0	P			SLU EX 1	87.85	Si
-1170	21	-	3110.05	4509.78	0	0	-5372	0	0	SE			SLD 8	88.67	Si
-1170	21	-	3110.05	4509.78	0	0	-5800	0	0	SE			SLV 8	82.12	Si

Verifiche delle tensioni nella famiglia Rara

Tensione limite del calcestruzzo: 224.1
Tensione limite dell'acciaio: 3600
Coefficiente di omogeneizzazione impiegato: Es / Ec = 5.95

Quota	Filo	Ind.	Xp	Yp	Mx	My	N	Comb.	Sc,max	Mx	My	N	Comb.	Sf,max	Verifica
0	21	-	3110.05	4509.78	-1122405	-9809	-42449	SLE RA 2	-79.5	-1122405	-9809	-42449	SLE RA 2	400.5	Si
-123	21	-	3110.05	4509.78	-638577	-5879	-43319	SLE RA 2	-36.3	-638577	-5879	-43319	SLE RA 2	34.8	Si
-246	21	-	3110.05	4509.78	-154749	-1949	-44190	SLE RA 2	-21.3	2561	2335	-24526	SLE RA 1	-47.4	Si
-369	21	-	3110.05	4509.78	329079	1981	-45060	SLE RA 2	-29.2	329079	1981	-45060	SLE RA 2	-22.9	Si
-493	21	-	3110.05	4509.78	678682	4877	-34716	SLE RA 2	-53.2	678682	4877	-34716	SLE RA 2	213.3	Si
-677	21	-	3110.05	4509.78	312891	2352	-25078	SLE RA 2	-21.9	312891	2352	-25078	SLE RA 2	13	Si
-801	21	-	3110.05	4509.78	134980	1036	-25948	SLE RA 2	-14.4	134980	1036	-25948	SLE RA 2	-24	Si
-924	21	-	3110.05	4509.78	21286	186	-16073	SLE RA 2	-6.2	-145	-152	-9805	SLE RA 1	-19.2	Si
-1047	21	-	3110.05	4509.78	-3743	-18	-10822	SLE RA 2	-3.7	-11	-3	-7045	SLE RA 1	-13.8	Si
-1170	21	-	3110.05	4509.78	0	0	-5599	SLE RA 2	-2	0	0	0		0	Si

Verifiche delle tensioni nella famiglia Quasi permanenti

Tensione limite del calcestruzzo: 168.1
Coefficiente di omogeneizzazione impiegato: Es * (1 + φ) / Ec = 5.95
Coefficiente di viscosità: φ = 0

Quota	Filo	Ind.	Xp	Yp	Mx	My	N	Comb.	Sc,max	Verifica
0	21	-	3110.05	4509.78	-670358	-2657	-34583	SLE QP 2	-45.6	Si
-123	21	-	3110.05	4509.78	-381092	-1446	-35454	SLE QP 2	-24.4	Si
-246	21	-	3110.05	4509.78	-91825	-235	-36324	SLE QP 2	-16	Si
-369	21	-	3110.05	4509.78	197442	976	-37195	SLE QP 2	-20.8	Si
-493	21	-	3110.05	4509.78	406404	1838	-28678	SLE QP 2	-27.1	Si
-677	21	-	3110.05	4509.78	187259	825	-20822	SLE QP 2	-15	Si
-801	21	-	3110.05	4509.78	80762	351	-21692	SLE QP 2	-10.7	Si
-924	21	-	3110.05	4509.78	12714	50	-13566	SLE QP 2	-5	Si
-1047	21	-	3110.05	4509.78	-2250	-12	-9311	SLE QP 2	-3.2	Si
-1170	21	-	3110.05	4509.78	0	0	-5081	SLE QP 2	-1.8	Si

Verifiche delle fessure nella famiglia Esercizio frequente

Valore limite di controllo: 0.2 mm
Coefficiente di omogeneizzazione impiegato: Es / Ec = 5.95

Quota	Filo	Ind.	Xp	Yp	Mx	My	N	Comb.	Fess	Wka,mm	Wk,mm	Sm,cm	Verifica
0	21	-	3110.05	4509.78	-783370	-4445	-36550	SLE FR 2	Si	0.2	0.026	43.4	Si
-123	21	-	3110.05	4509.78	5136	5203	-23656	SLE FR 1	No				Si
-246	21	-	3110.05	4509.78	2561	2335	-24526	SLE FR 1	No				Si
-369	21	-	3110.05	4509.78	-14	-533	-25397	SLE FR 1	No				Si
-493	21	-	3110.05	4509.78	-2015	-2720	-19622	SLE FR 1	No				Si
-677	21	-	3110.05	4509.78	-1189	-1466	-14438	SLE FR 1	No				Si
-801	21	-	3110.05	4509.78	-565	-675	-15308	SLE FR 1	No				Si
-924	21	-	3110.05	4509.78	-145	-152	-9805	SLE FR 1	No				Si
-1047	21	-	3110.05	4509.78	-11	-3	-7045	SLE FR 1	No				Si
-1170	21	-	3110.05	4509.78	0	0	-4304	SLE FR 1	No				Si

Verifiche delle fessure nella famiglia Esercizio quasi permanente

Valore limite di controllo: 0.2 mm
Coefficiente di omogeneizzazione impiegato: Es * (1 + φ) / Ec = 5.95
Coefficiente di viscosità: φ = 0

Quota	Filo	Ind.	Xp	Yp	Mx	My	N	Comb.	Fess	Wka,mm	Wk,mm	Sm,cm	Verifica
0	21	-	3110.05	4509.78	7711	8071	-22785	SLE QP 1	No				Si
-123	21	-	3110.05	4509.78	5136	5203	-23656	SLE QP 1	No				Si
-246	21	-	3110.05	4509.78	2561	2335	-24526	SLE QP 1	No				Si
-369	21	-	3110.05	4509.78	-14	-533	-25397	SLE QP 1	No				Si
-493	21	-	3110.05	4509.78	-2015	-2720	-19622	SLE QP 1	No				Si
-677	21	-	3110.05	4509.78	-1189	-1466	-14438	SLE QP 1	No				Si
-801	21	-	3110.05	4509.78	-565	-675	-15308	SLE QP 1	No				Si
-924	21	-	3110.05	4509.78	-145	-152	-9805	SLE QP 1	No				Si
-1047	21	-	3110.05	4509.78	-11	-3	-7045	SLE QP 1	No				Si
-1170	21	-	3110.05	4509.78	0	0	-4304	SLE QP 1	No				Si

Verifiche a taglio

Quota	Filo	Ind.	Xp	Yp	Tx	Ty	N	MultT	Vrd,4.1.23	VRsd,4.1.27	VRcd,4.1.28	Cotg	Comb.	C.S.	Verifica
0	21	-	3110.05	4509.78	-60	5903	-52280		17928	16918	126309	1	SLU 2	3.04	Si
0	21	-	3110.05	4509.78	-80	6794	-39763		16308	19456	181960	1	SLU EX 1	2.86	Si
0	21	-	3110.05	4509.78	-819	4109	-39003		16209	16918	123732	1	SLD 8	4.04	Si
0	21	-	3110.05	4509.78	-2291	6592	-45016		16988	16918	124899	1	SLV 7	2.43	Si
-123	21	-	3110.05	4509.78	-60	5903	-52280		17928	16918	126309	1	SLU 2	3.04	Si

Quota	Filo	Ind.	Xp	Yp	Tx	Ty	N	MultT	Vrd,4.1.23	VRsd,4.1.27	VRcd,4.1.28	Cotg	Comb.	C.S.	Verifica
-123	21	-	3110.05	4509.78	-80	6794	-39763		16308	19456	181960	1	SLU EX 1	2.86	Si
-123	21	-	3110.05	4509.78	-819	4109	-39003		16209	16918	123732	1	SLD 8	4.04	Si
-123	21	-	3110.05	4509.78	-2291	6592	-45016		16988	16918	124899	1	SLV 7	2.43	Si
-246	21	-	3110.05	4509.78	-60	5903	-52280		18023	17029	127135	1	SLU 2	3.05	Si
-246	21	-	3110.05	4509.78	-80	6794	-39763		16393	19583	183150	1	SLU EX 1	2.88	Si
-246	21	-	3110.05	4509.78	-819	4109	-39003		16294	17029	124541	1	SLD 8	4.06	Si
-246	21	-	3110.05	4509.78	-2291	6592	-45016		17077	17029	125716	1	SLV 7	2.45	Si
-369	21	-	3110.05	4509.78	-60	5903	-52280		18023	17029	127135	1	SLU 2	3.05	Si
-369	21	-	3110.05	4509.78	-80	6794	-39763		16393	19583	183150	1	SLU EX 1	2.88	Si
-369	21	-	3110.05	4509.78	-819	4109	-39003		16294	17029	124541	1	SLD 8	4.06	Si
-369	21	-	3110.05	4509.78	-2291	6592	-45016		17077	17029	125716	1	SLV 7	2.45	Si
-493	21	-	3110.05	4509.78	24	-3006	-42102		16697	17029	125147	1	SLU 2	5.67	Si
-493	21	-	3110.05	4509.78	32	-3455	-32494		15446	19583	181729	1	SLU EX 1	5.67	Si
-493	21	-	3110.05	4509.78	303	-2095	-31911		15370	17029	123155	1	SLD 8	8.04	Si
-493	21	-	3110.05	4509.78	707	-3416	-36908		16021	17029	124132	1	SLV 8	4.88	Si
-677	21	-	3110.05	4509.78	19	-2169	-30346		15166	17029	122849	1	SLU 2	7.85	Si
-677	21	-	3110.05	4509.78	26	-2495	-23572		14284	19583	179986	1	SLU EX 1	7.85	Si
-677	21	-	3110.05	4509.78	253	-1511	-23161		14230	17029	121446	1	SLD 8	11.12	Si
-677	21	-	3110.05	4509.78	591	-2465	-26684		14689	17029	122134	1	SLV 8	6.72	Si
-801	21	-	3110.05	4509.78	19	-2169	-30346		15166	17029	122849	1	SLU 2	7.85	Si
-801	21	-	3110.05	4509.78	26	-2495	-23572		14284	19583	179986	1	SLU EX 1	7.85	Si
-801	21	-	3110.05	4509.78	253	-1511	-23161		14230	17029	121446	1	SLD 8	11.12	Si
-801	21	-	3110.05	4509.78	591	-2465	-26684		14689	17029	122134	1	SLV 8	6.72	Si
-924	21	-	3110.05	4509.78	4	-373	-18828		13666	17029	120599	1	SLU 2	45.62	Si
-924	21	-	3110.05	4509.78	5	-430	-14838		13146	19583	178280	1	SLU EX 1	45.59	Si
-924	21	-	3110.05	4509.78	51	-260	-14595		13114	17029	119772	1	SLD 8	64.33	Si
-924	21	-	3110.05	4509.78	119	-424	-16671		13385	17029	120178	1	SLV 8	38.66	Si
-1047	21	-	3110.05	4509.78	0	59	-14646		13121	17029	119782	1	SLU 6	290.2	Si
-1047	21	-	3110.05	4509.78	0	67	-10169		12538	19583	177368	1	SLU EX 1	291.24	Si
-1047	21	-	3110.05	4509.78	-2	41	-10023		12519	17029	118879	1	SLD 8	415.02	Si
-1047	21	-	3110.05	4509.78	-5	67	-11274		12682	17029	119123	1	SLV 8	254.6	Si
-1170	21	-	3110.05	4509.78	0	0	-4110		11694	16918	116959	1	SLU 1	100	Si
-1170	21	-	3110.05	4509.78	0	0	-5227		11839	19456	175256	1	SLU EX 1	100	Si
-1170	21	-	3110.05	4509.78	0	0	-4799		11783	16918	117092	1	SLD 1	100	Si
-1170	21	-	3110.05	4509.78	0	0	-4671		11767	16918	117067	1	SLV 1	100	Si

Verifica di capacità portante per la famiglia SLU

Verifica di capacità portante verticale riferita al palo singolo

Fattore di correlazione ψ scelto in base alla conoscenza del sito = 1.7

Peso del palo = 8482.3 * 1.3

Filo	Ind.	Xp	Yp	γR laterale	γR punta	Pl,d	Pp,d	Def.vol	Comb.	Cnd	N	Ed	Rd	C.S.	Verifica
21	-	3110.05	4509.78	1.15	1.35	378966	12320		SLU 6	lungo	-59116	-70143	391285	5.58	Si

Verifica di capacità portante trasversale riferita al palo singolo

Fattore di correlazione ψ scelto in base alla conoscenza del sito = 1.7

Filo	Ind.	Xp	Yp	γR trasversale	LRF	Comb.	Cnd	Rd	Ed (T)	C.S.	Verifica
21	-	3110.05	4509.78	1.3	1	SLU 2	D	19407	5903.5	3.29	Si

Parametri utilizzati nel calcolo

Filo	Ind.	Xp	Yp	Tipo	L.frs.	L.tr.lib.	L.tr.inf.	Coes.	Fi	P.spec	T max	Mecc.coll.	M.plast.sup.	Quota sup.	N sup.	M.plast.inf.	Quota inf.	N inf.
21	-	3110.05	4509.78	TI	60	0	830	0.94	35	0.001	42890	PLV	6229454	-50	-52492	4038834	-402.2	-54770

Verifica di capacità portante per la famiglia SLU EX

Verifica di capacità portante verticale riferita al palo singolo

Fattore di correlazione ψ scelto in base alla conoscenza del sito = 1.7

Peso del palo = 8482.3 * 1

Filo	Ind.	Xp	Yp	γR laterale	γR punta	Pl,d	Pp,d	Def.vol	Comb.	Cnd	N	Ed	Rd	C.S.	Verifica
21	-	3110.05	4509.78	1	1	435810	16632		SLU EX 1	lungo	-39763	-48245	452442	9.38	Si

Verifica di capacità portante trasversale riferita al palo singolo

Fattore di correlazione ψ scelto in base alla conoscenza del sito = 1.7

Filo	Ind.	Xp	Yp	γR trasversale	LRF	Comb.	Cnd	Rd	Ed (T)	C.S.	Verifica
21	-	3110.05	4509.78	1	1	SLU EX 1	D	24737.5	6794.9	3.64	Si

Parametri utilizzati nel calcolo

Filo	Ind.	Xp	Yp	Tipo	L.frs.	L.tr.lib.	L.tr.inf.	Coes.	Fi	P.spec	T max	Mecc.coll.	M.plast.sup.	Quota sup.	N sup.	M.plast.inf.	Quota inf.	N inf.
21	-	3110.05	4509.78	TI	60	0	830	0.94	35	0.001	42054	PLV	6088988	-50	-39975	3839886	-398.7	-42228

Verifica di capacità portante per la famiglia SLD

Verifica di capacità portante verticale riferita al palo singolo

Fattore di correlazione ψ scelto in base alla conoscenza del sito = 1.7

Peso del palo = 8482.3 * 1

Filo	Ind.	Xp	Yp	γR laterale	γR punta	Pl,d	Pp,d	Def.vol	Comb.	Cnd	N	Ed	Rd	C.S.	Verifica
21	-	3110.05	4509.78	1.15	1.35	378966	12320		SLD 8	lungo	-39003	-47485	391285	8.24	Si

Verifica di capacità portante per la famiglia SLV

Verifica di capacità portante verticale riferita al palo singolo

Fattore di correlazione ψ scelto in base alla conoscenza del sito = 1.7

Peso del palo = 8482.3 * 1

Filo	Ind.	Xp	Yp	γR laterale	γR punta	Pl,d	Pp,d	Def.vol	Comb.	Cnd	N	Ed	Rd	C.S.	Verifica
21	-	3110.05	4509.78	1.15	1.35	378966	12320		SLV 8	lungo	-45514	-53996	391285	7.25	Si

Verifica di capacità portante trasversale riferita al palo singolo

Fattore di correlazione ψ scelto in base alla conoscenza del sito = 1.7

Filo	Ind.	Xp	Yp	γR trasversale	LRF	Comb.	Cnd	Rd	Ed (T)	C.S.	Verifica

Filo	Ind.	Xp	Yp	γR trasversale	LRF	Comb.	Cnd	Rd	Ed (T)	C.S.	Verifica
21	-	3110.05	4509.78	1.3	1	SLV 7	D	15992.2	6978.5	2.29	Si

Parametri utilizzati nel calcolo

Filo	Ind.	Xp	Yp	Tipo	L.frs.	L.tr.lib.	L.tr.inf.	Coes.	Fi	P.spec	T max	Mecc.coll.	M.plast.sup.	Quota sup.	N sup.	M.plast.inf.	Quota inf.	N inf.
21	-	3110.05	4509.78	TI	60	0	830	0.94	35	0.001	35343	PLV	4694270	-50	-45228	3008157	-369.7	-47276

Trivellato D60 filo 24

Verifiche effettuate secondo D.M. 17-01-18, Circolare 7 21-01-19

Caratteristiche geometriche

Diametro 60
Lunghezza 1200

Caratteristiche dei materiali

Calcestruzzo C35/45 Rck 450
Acciaio B450C fyk,m: 4500

Verifiche a pressoflessione

Quota	Filo	Ind.	Xp	Yp	As	Cop.	N	|M|	Mu	Dom.	SnmFcd	MultM	Comb.	C.S.	Verifica
0	24	-	3700.07	4189.84	74.33	7.3	-23548	1886606	6559099	P			SLU 2	3.48	Si
0	24	-	3700.07	4189.84	74.33	7.3	-6628	2122732	5845221	P			SLU EX 1	2.75	Si
0	24	-	3700.07	4189.84	74.33	7.3	-18758	1411965	4976257	SE			SLD 11	3.52	Si
0	24	-	3700.07	4189.84	74.33	7.3	-11820	2431342	4357875	SE			SLV 11	1.79	Si
-123	24	-	3700.07	4189.84	112.03	7	-24419	1087781	9170280	P			SLU 2	8.43	Si
-123	24	-	3700.07	4189.84	112.03	7	-7499	1222060	8489569	P			SLU EX 1	6.95	Si
-123	24	-	3700.07	4189.84	112.03	7	-19629	818485	6976588	SE			SLD 11	8.52	Si
-123	24	-	3700.07	4189.84	112.03	7	-12691	1414936	6568727	SE			SLV 11	4.64	Si
-246	24	-	3700.07	4189.84	37.7	7	-32780	290433	4224520	P			SLU 6	14.55	Si
-246	24	-	3700.07	4189.84	37.7	7	-8369	321432	4848454	P			SLU EX 1	15.08	Si
-246	24	-	3700.07	4189.84	37.7	7	-23665	228478	3791253	SE			SLD 15	16.59	Si
-246	24	-	3700.07	4189.84	37.7	7	-21512	457883	4319783	SE			SLV 15	9.43	Si
-369	24	-	3700.07	4189.84	37.7	7	-33911	509410	5196046	P			SLU 6	10.2	Si
-369	24	-	3700.07	4189.84	37.7	7	-9240	579359	4206556	P			SLU EX 1	7.26	Si
-369	24	-	3700.07	4189.84	37.7	7	-21370	370596	4311648	SE			SLD 11	11.63	Si
-369	24	-	3700.07	4189.84	37.7	7	-14432	625893	3494024	SE			SLV 11	5.58	Si
-493	24	-	3700.07	4189.84	37.7	7	-20208	1089837	4356534	P			SLU 2	4	Si
-493	24	-	3700.07	4189.84	37.7	7	-7220	1232840	3494693	P			SLU EX 1	2.83	Si
-493	24	-	3700.07	4189.84	37.7	7	-16531	801662	3316238	SE			SLD 11	4.14	Si
-493	24	-	3700.07	4189.84	37.7	7	-11205	1363884	2592133	SE			SLV 11	1.9	Si
-677	24	-	3700.07	4189.84	37.7	7	-14850	507447	5002892	P			SLU 2	9.86	Si
-677	24	-	3700.07	4189.84	37.7	7	-5695	573352	3762943	P			SLU EX 1	6.56	Si
-677	24	-	3700.07	4189.84	37.7	7	-12259	374613	4251607	SE			SLD 11	11.35	Si
-677	24	-	3700.07	4189.84	37.7	7	-8504	638868	2861185	SE			SLV 11	4.48	Si
-801	24	-	3700.07	4189.84	37.7	7	-20385	220062	4646254	P			SLU 6	21.11	Si
-801	24	-	3700.07	4189.84	37.7	7	-6566	248347	4874847	P			SLU EX 1	19.63	Si
-801	24	-	3700.07	4189.84	37.7	7	-13129	162629	4121351	SE			SLD 11	25.34	Si
-801	24	-	3700.07	4189.84	37.7	7	-9375	277670	4271179	SE			SLV 11	15.38	Si
-924	24	-	3700.07	4189.84	37.7	7	-13032	35820	1714718	P			SLU 6	47.87	Si
-924	24	-	3700.07	4189.84	37.7	7	-4654	40240	4167550	P			SLU EX 1	103.57	Si
-924	24	-	3700.07	4189.84	37.7	7	-11452	6519	355114	SE			SLD 6	54.47	Si
-924	24	-	3700.07	4189.84	37.7	7	-13664	20593	940200	SE			SLV 6	45.66	Si
-1047	24	-	3700.07	4189.84	37.7	7	-9331	5573	372624	P			SLU 6	66.86	Si
-1047	24	-	3700.07	4189.84	37.7	7	-3942	6377	1009120	P			SLU EX 1	158.24	Si
-1047	24	-	3700.07	4189.84	37.7	7	-8038	426	33087	SE			SLD 6	77.61	Si
-1047	24	-	3700.07	4189.84	37.7	7	-9370	2345	156117	SE			SLV 6	66.58	Si
-1170	24	-	3700.07	4189.84	0	0	-5655	0	0	P			SLU 6	84.23	Si
-1170	24	-	3700.07	4189.84	0	0	-3241	0	0	P			SLU EX 1	146.97	Si
-1170	24	-	3700.07	4189.84	0	0	-4644	0	0	SE			SLD 6	102.55	Si
-1170	24	-	3700.07	4189.84	0	0	-5101	0	0	SE			SLV 6	93.37	Si

Verifiche delle tensioni nella famiglia Rara

Tensione limite del calcestruzzo: 224.1
Tensione limite dell'acciaio: 3600
Coefficiente di omogeneizzazione impiegato: Es / Ec = 5.95

Quota	Filo	Ind.	Xp	Yp	Mx	My	N	Comb.	Sc,max	Mx	My	N	Comb.	Sf,max	Verifica
0	24	-	3700.07	4189.84	-1261193	8635	-23441	SLE RA 2	-95	-1261193	8635	-23441	SLE RA 2	764.8	Si
-123	24	-	3700.07	4189.84	-727714	2617	-24312	SLE RA 2	-44.9	-727714	2617	-24312	SLE RA 2	222.3	Si
-246	24	-	3700.07	4189.84	-194235	-3402	-25182	SLE RA 2	-16.7	-194235	-3402	-25182	SLE RA 2	-10.7	Si
-369	24	-	3700.07	4189.84	339244	-9420	-26053	SLE RA 2	-23.4	339244	-9420	-26053	SLE RA 2	16.4	Si
-493	24	-	3700.07	4189.84	726634	-13338	-20125	SLE RA 2	-68	726634	-13338	-20125	SLE RA 2	581.4	Si
-677	24	-	3700.07	4189.84	338533	-5351	-14793	SLE RA 2	-19.6	338533	-5351	-14793	SLE RA 2	38.3	Si
-801	24	-	3700.07	4189.84	146755	-2148	-15663	SLE RA 2	-11.5	146755	-2148	-15663	SLE RA 2	-1.5	Si
-924	24	-	3700.07	4189.84	23906	-167	-10014	SLE RA 2	-4.3	23906	-167	-10014	SLE RA 2	-14.9	Si
-1047	24	-	3700.07	4189.84	-3707	141	-7171	SLE RA 2	-2.5	-3707	141	-7171	SLE RA 2	-13.3	Si
-1170	24	-	3700.07	4189.84	0	0	-4348	SLE RA 2	-1.5	0	0	0		0	Si

Verifiche delle tensioni nella famiglia Quasi permanenti

Tensione limite del calcestruzzo: 168.1
Coefficiente di omogeneizzazione impiegato: Es * (1 + φ) / Ec = 5.95
Coefficiente di viscosità: φ = 0

Quota	Filo	Ind.	Xp	Yp	Mx	My	N	Comb.	Sc,max	Verifica
0	24	-	3700.07	4189.84	-760941	82	-23355	SLE QP 2	-55.2	Si

Quota	Filo	Ind.	Xp	Yp	Mx	My	N	Comb.	Sc,max	Verifica
-123	24	-	3700.07	4189.84	-439687	-2176	-24226	SLE QP 2	-23.4	Si
-246	24	-	3700.07	4189.84	-118433	-4434	-25096	SLE QP 2	-13.4	Si
-369	24	-	3700.07	4189.84	202821	-6691	-25967	SLE QP 2	-17.4	Si
-493	24	-	3700.07	4189.84	436221	-7906	-20060	SLE QP 2	-25.6	Si
-677	24	-	3700.07	4189.84	203458	-2873	-14746	SLE QP 2	-13.7	Si
-801	24	-	3700.07	4189.84	88245	-1084	-15617	SLE QP 2	-9	Si
-924	24	-	3700.07	4189.84	14423	-4	-9987	SLE QP 2	-3.9	Si
-1047	24	-	3700.07	4189.84	-2206	109	-7155	SLE QP 2	-2.5	Si
-1170	24	-	3700.07	4189.84	0	0	-4342	SLE QP 2	-1.5	Si

Verifiche delle fessure nella famiglia Esercizio frequente

Valore limite di controllo: 0.2 mm
Coefficiente di omogeneizzazione impiegato: Es / Ec = 5.95

Quota	Filo	Ind.	Xp	Yp	Mx	My	N	Comb.	Fess	Wka,mm	Wk,mm	Sm,cm	Verifica
0	24	-	3700.07	4189.84	-886004	2220	-23377	SLE FR 2	Si	0.2	0.04	31.2	Si
-123	24	-	3700.07	4189.84	-7647	-9364	-24097	SLE FR 1	No				Si
-246	24	-	3700.07	4189.84	-4731	-5981	-24968	SLE FR 1	No				Si
-369	24	-	3700.07	4189.84	-1814	-2598	-25839	SLE FR 1	No				Si
-493	24	-	3700.07	4189.84	600	243	-19961	SLE FR 1	No				Si
-677	24	-	3700.07	4189.84	846	846	-14677	SLE FR 1	No				Si
-801	24	-	3700.07	4189.84	479	513	-15547	SLE FR 1	No				Si
-924	24	-	3700.07	4189.84	198	239	-9946	SLE FR 1	No				Si
-1047	24	-	3700.07	4189.84	45	61	-7130	SLE FR 1	No				Si
-1170	24	-	3700.07	4189.84	0	0	-4333	SLE FR 1	No				Si

Verifiche delle fessure nella famiglia Esercizio quasi permanente

Valore limite di controllo: 0.2 mm
Coefficiente di omogeneizzazione impiegato: Es * (1 + φ) / Ec = 5.95
Coefficiente di viscosità: φ = 0

Quota	Filo	Ind.	Xp	Yp	Mx	My	N	Comb.	Fess	Wka,mm	Wk,mm	Sm,cm	Verifica
0	24	-	3700.07	4189.84	-760941	82	-23355	SLE QP 2	Si	0.2	0.03	30.6	Si
-123	24	-	3700.07	4189.84	-7647	-9364	-24097	SLE QP 1	No				Si
-246	24	-	3700.07	4189.84	-4731	-5981	-24968	SLE QP 1	No				Si
-369	24	-	3700.07	4189.84	-1814	-2598	-25839	SLE QP 1	No				Si
-493	24	-	3700.07	4189.84	600	243	-19961	SLE QP 1	No				Si
-677	24	-	3700.07	4189.84	846	846	-14677	SLE QP 1	No				Si
-801	24	-	3700.07	4189.84	479	513	-15547	SLE QP 1	No				Si
-924	24	-	3700.07	4189.84	198	239	-9946	SLE QP 1	No				Si
-1047	24	-	3700.07	4189.84	45	61	-7130	SLE QP 1	No				Si
-1170	24	-	3700.07	4189.84	0	0	-4333	SLE QP 1	No				Si

Verifiche a taglio

Quota	Filo	Ind.	Xp	Yp	Tx	Ty	N	MultT	Vrd,4.1.23	VRsd,4.1.27	VRcd,4.1.28	Cotg	Comb.	C.S.	Verifica
0	24	-	3700.07	4189.84	79	6493	-30516		15111	16918	122084	1	SLU 6	2.61	Si
0	24	-	3700.07	4189.84	36	7313	-6628		12020	19456	175528	1	SLU EX 1	2.66	Si
0	24	-	3700.07	4189.84	975	4721	-18758		13590	16918	119802	1	SLD 11	3.51	Si
0	24	-	3700.07	4189.84	2299	7933	-11820		12692	16918	118455	1	SLV 11	2.05	Si
-123	24	-	3700.07	4189.84	79	6493	-30516		15111	16918	122084	1	SLU 6	2.61	Si
-123	24	-	3700.07	4189.84	36	7313	-6628		12020	19456	175528	1	SLU EX 1	2.66	Si
-123	24	-	3700.07	4189.84	975	4721	-18758		13590	16918	119802	1	SLD 11	3.51	Si
-123	24	-	3700.07	4189.84	2299	7933	-11820		12692	16918	118455	1	SLV 11	2.05	Si
-246	24	-	3700.07	4189.84	79	6493	-30516		15188	17029	122883	1	SLU 6	2.62	Si
-246	24	-	3700.07	4189.84	36	7313	-6628		12077	19583	176676	1	SLU EX 1	2.68	Si
-246	24	-	3700.07	4189.84	975	4721	-18758		13657	17029	120586	1	SLD 11	3.53	Si
-246	24	-	3700.07	4189.84	2299	7933	-11820		12753	17029	119230	1	SLV 11	2.06	Si
-369	24	-	3700.07	4189.84	79	6493	-30516		15188	17029	122883	1	SLU 6	2.62	Si
-369	24	-	3700.07	4189.84	36	7313	-6628		12077	19583	176676	1	SLU EX 1	2.68	Si
-369	24	-	3700.07	4189.84	975	4721	-18758		13657	17029	120586	1	SLD 11	3.53	Si
-369	24	-	3700.07	4189.84	2299	7933	-11820		12753	17029	119230	1	SLV 11	2.06	Si
-493	24	-	3700.07	4189.84	-64	-3186	-20048		13825	17029	120837	1	SLU 2	5.34	Si
-493	24	-	3700.07	4189.84	-42	-3608	-7060		12133	19583	176760	1	SLU EX 1	5.43	Si
-493	24	-	3700.07	4189.84	-375	-2306	-16371		13346	17029	120119	1	SLD 11	7.29	Si
-493	24	-	3700.07	4189.84	-854	-3874	-11045		12652	17029	119079	1	SLV 11	4.29	Si
-677	24	-	3700.07	4189.84	-40	-2335	-19186		13712	17029	120669	1	SLU 6	7.29	Si
-677	24	-	3700.07	4189.84	-23	-2639	-5643		11948	19583	176483	1	SLU EX 1	7.42	Si
-677	24	-	3700.07	4189.84	-307	-1694	-12207		12803	17029	119305	1	SLD 11	9.89	Si
-677	24	-	3700.07	4189.84	-711	-2845	-8452		12314	17029	118572	1	SLV 11	5.81	Si
-801	24	-	3700.07	4189.84	-40	-2335	-19186		13712	17029	120669	1	SLU 6	7.29	Si
-801	24	-	3700.07	4189.84	-23	-2639	-5643		11948	19583	176483	1	SLU EX 1	7.42	Si
-801	24	-	3700.07	4189.84	-307	-1694	-12207		12803	17029	119305	1	SLD 11	9.89	Si
-801	24	-	3700.07	4189.84	-711	-2845	-8452		12314	17029	118572	1	SLV 11	5.81	Si
-924	24	-	3700.07	4189.84	-5	-410	-12539		12847	17029	119370	1	SLU 6	41.58	Si
-924	24	-	3700.07	4189.84	-2	-461	-4275		11770	19583	176216	1	SLU EX 1	42.44	Si
-924	24	-	3700.07	4189.84	-61	-298	-8142		12274	17029	118511	1	SLD 11	56.05	Si
-924	24	-	3700.07	4189.84	-143	-500	-5930		11986	17029	118079	1	SLV 11	32.73	Si
-1047	24	-	3700.07	4189.84	2	58	-7055		12132	17029	118299	1	SLU 2	291.59	Si
-1047	24	-	3700.07	4189.84	2	67	-3806		11709	19583	176124	1	SLU EX 1	293.75	Si
-1047	24	-	3700.07	4189.84	3	42	-6135		12012	17029	118119	1	SLD 11	405.58	Si
-1047	24	-	3700.07	4189.84	7	70	-4803		11839	17029	117859	1	SLV 11	241.33	Si
-1170	24	-	3700.07	4189.84	0	0	-4139		11698	16918	116964	1	SLU 1	100	Si
-1170	24	-	3700.07	4189.84	0	0	-3047		11556	19456	174833	1	SLU EX 1	100	Si
-1170	24	-	3700.07	4189.84	0	0	-4230		11710	16918	116982	1	SLD 1	100	Si
-1170	24	-	3700.07	4189.84	0	0	-4355		11726	16918	117006	1	SLV 1	100	Si

Verifica di capacità portante per la famiglia SLU

Verifica di capacità portante verticale riferita al palo singolo

Fattore di correlazione ψ scelto in base alla conoscenza del sito = 1.7
Peso del palo = 8482.3 * 1.3

Filo	Ind.	Xp	Yp	γR laterale	γR punta	Pl,d	Pp,d	Def.vol	Comb.	Cnd	N	Ed	Rd	C.S.	Verifica
24	-	3700.07	4189.84	1.15	1.35	378966	12320		SLU 6	lungo	-30516	-41543	391285	9.42	Si

Verifica di capacità portante trasversale riferita al palo singolo

Fattore di correlazione ψ scelto in base alla conoscenza del sito = 1.7

Filo	Ind.	Xp	Yp	γR trasversale	LRF	Comb.	Cnd	Rd	Ed (T)	C.S.	Verifica
24	-	3700.07	4189.84	1.3	1	SLU 2	D	18533.3	6486.2	2.86	Si

Parametri utilizzati nel calcolo

Filo	Ind.	Xp	Yp	Tipo	L.frs.	L.tr.lib.	L.tr.inf.	Coes.	Fi	P.spec	T max	Mecc.coll.	M.plast.sup.	Quota sup.	N sup.	M.plast.inf.	Quota inf.	N inf.
24	-	3700.07	4189.84	TI	60	0	830	0.94	35	0.001	40959	PLV	5907037	-50	-23760	3582171	-394.1	-25981

Verifica di capacità portante per la famiglia SLU EX

Verifica di capacità portante verticale riferita al palo singolo

Fattore di correlazione ψ scelto in base alla conoscenza del sito = 1.7
Peso del palo = 8482.3 * 1

Filo	Ind.	Xp	Yp	γR laterale	γR punta	Pl,d	Pp,d	Def.vol	Comb.	Cnd	N	Ed	Rd	C.S.	Verifica
24	-	3700.07	4189.84	1	1	435810	16632		SLU EX 1	lungo	-6628	-15110	452442	29.94	Si

Verifica di capacità portante trasversale riferita al palo singolo

Fattore di correlazione ψ scelto in base alla conoscenza del sito = 1.7

Filo	Ind.	Xp	Yp	γR trasversale	LRF	Comb.	Cnd	Rd	Ed (T)	C.S.	Verifica
24	-	3700.07	4189.84	1	1	SLU EX 1	D	23396.9	7313.2	3.2	Si

Parametri utilizzati nel calcolo

Filo	Ind.	Xp	Yp	Tipo	L.frs.	L.tr.lib.	L.tr.inf.	Coes.	Fi	P.spec	T max	Mecc.coll.	M.plast.sup.	Quota sup.	N sup.	M.plast.inf.	Quota inf.	N inf.
24	-	3700.07	4189.84	TI	60	0	830	0.94	35	0.001	39775	PLV	5708629	-50	-6840	3313217	-389.1	-9025

Verifica di capacità portante per la famiglia SLD

Verifica di capacità portante verticale riferita al palo singolo

Fattore di correlazione ψ scelto in base alla conoscenza del sito = 1.7
Peso del palo = 8482.3 * 1

Filo	Ind.	Xp	Yp	γR laterale	γR punta	Pl,d	Pp,d	Def.vol	Comb.	Cnd	N	Ed	Rd	C.S.	Verifica
24	-	3700.07	4189.84	1.15	1.35	378966	12320		SLD 6	lungo	-27952	-36435	391285	10.74	Si

Verifica di capacità portante per la famiglia SLV

Verifica di capacità portante verticale riferita al palo singolo

Fattore di correlazione ψ scelto in base alla conoscenza del sito = 1.7
Peso del palo = 8482.3 * 1

Filo	Ind.	Xp	Yp	γR laterale	γR punta	Pl,d	Pp,d	Def.vol	Comb.	Cnd	N	Ed	Rd	C.S.	Verifica
24	-	3700.07	4189.84	1.15	1.35	378966	12320		SLV 6	lungo	-34891	-43373	391285	9.02	Si

Verifica di capacità portante trasversale riferita al palo singolo

Fattore di correlazione ψ scelto in base alla conoscenza del sito = 1.7

Filo	Ind.	Xp	Yp	γR trasversale	LRF	Comb.	Cnd	Rd	Ed (T)	C.S.	Verifica
24	-	3700.07	4189.84	1.3	1	SLV 11	D	14729.6	8259.5	1.78	Si

Parametri utilizzati nel calcolo

Filo	Ind.	Xp	Yp	Tipo	L.frs.	L.tr.lib.	L.tr.inf.	Coes.	Fi	P.spec	T max	Mecc.coll.	M.plast.sup.	Quota sup.	N sup.	M.plast.inf.	Quota inf.	N inf.
24	-	3700.07	4189.84	TI	60	0	830	0.94	35	0.001	32552	PLV	4229795	-50	-12032	2475046	-356.8	-13989

Trivellato D60 filo 25

Verifiche effettuate secondo D.M. 17-01-18, Circolare 7 21-01-19

Caratteristiche geometriche

Diametro 60
Lunghezza 1200

Caratteristiche dei materiali

Calcestruzzo C35/45 Rck 450
Acciaio B450C fyk,m: 4500

Verifiche a pressoflessione

Quota	Filo	Ind.	Xp	Yp	As	Cop.	N	|M|	Mu	Dom.	SnmFcd	MultM	Comb.	C.S.	Verifica
0	25	-	3700.07	4349.81	74.33	7.3	-37965	1886980	6943877	P			SLU 2	3.68	Si
0	25	-	3700.07	4349.81	74.33	7.3	-23109	2132156	6421386	P			SLU EX 1	3.01	Si
0	25	-	3700.07	4349.81	74.33	7.3	-29061	1395075	5609843	SE			SLD 7	4.02	Si
0	25	-	3700.07	4349.81	74.33	7.3	-29073	2378340	4896976	SE			SLV 7	2.06	Si
-123	25	-	3700.07	4349.81	112.03	7	-46029	1088480	8679012	P			SLU 6	7.97	Si
-123	25	-	3700.07	4349.81	112.03	7	-23979	1228678	9158192	P			SLU EX 1	7.45	Si
-123	25	-	3700.07	4349.81	112.03	7	-29931	807808	6703870	SE			SLD 7	8.3	Si
-123	25	-	3700.07	4349.81	112.03	7	-29944	1380252	7026266	SE			SLV 7	5.09	Si
-246	25	-	3700.07	4349.81	37.7	7	-47161	289640	3369153	P			SLU 6	11.63	Si
-246	25	-	3700.07	4349.81	37.7	7	-24850	325222	4996994	P			SLU EX 1	15.36	Si
-246	25	-	3700.07	4349.81	37.7	7	-30824	229346	3329699	SE			SLD 3	14.52	Si
-246	25	-	3700.07	4349.81	37.7	7	-30868	448912	4247253	SE			SLV 3	9.46	Si
-369	25	-	3700.07	4349.81	37.7	7	-48292	509432	4599525	P			SLU 6	9.03	Si
-369	25	-	3700.07	4349.81	37.7	7	-25720	578314	5447377	P			SLU EX 1	9.42	Si
-369	25	-	3700.07	4349.81	37.7	7	-31653	369223	4054144	SE			SLD 11	10.98	Si
-369	25	-	3700.07	4349.81	37.7	7	-31640	621308	4325465	SE			SLV 11	6.96	Si

Quota	Filo	Ind.	Xp	Yp	As	Cop.	N	|M|	Mu	Dom.	SnmFcd	MultM	Comb.	C.S.	Verifica
-493	25	-	3700.07	4349.81	37.7	7	-31274	1089634	4977779	P			SLU 2	4.57	Si
-493	25	-	3700.07	4349.81	37.7	7	-19870	1234069	4215653	P			SLU EX 1	3.42	Si
-493	25	-	3700.07	4349.81	37.7	7	-24424	795495	4087517	SE			SLD 11	5.14	Si
-493	25	-	3700.07	4349.81	37.7	7	-24414	1346166	3152669	SE			SLV 11	2.34	Si
-677	25	-	3700.07	4349.81	37.7	7	-27035	507343	5402082	P			SLU 6	10.65	Si
-677	25	-	3700.07	4349.81	37.7	7	-14613	574360	4809584	P			SLU EX 1	8.37	Si
-677	25	-	3700.07	4349.81	37.7	7	-17823	371246	4321261	SE			SLD 11	11.64	Si
-677	25	-	3700.07	4349.81	37.7	7	-17816	629289	3889674	SE			SLV 11	6.18	Si
-801	25	-	3700.07	4349.81	37.7	7	-28167	219893	3932405	P			SLU 6	17.88	Si
-801	25	-	3700.07	4349.81	37.7	7	-15483	248871	5282364	P			SLU EX 1	21.23	Si
-801	25	-	3700.07	4349.81	37.7	7	-18704	161091	3598597	SE			SLD 7	22.34	Si
-801	25	-	3700.07	4349.81	37.7	7	-18711	273225	4249293	SE			SLV 7	15.55	Si
-924	25	-	3700.07	4349.81	37.7	7	-17616	35776	1266912	P			SLU 6	35.41	Si
-924	25	-	3700.07	4349.81	37.7	7	-9908	40417	2480535	P			SLU EX 1	61.37	Si
-924	25	-	3700.07	4349.81	37.7	7	-11805	26440	1390105	SE			SLD 7	52.58	Si
-924	25	-	3700.07	4349.81	37.7	7	-11810	45072	2122919	SE			SLV 7	47.1	Si
-1047	25	-	3700.07	4349.81	37.7	7	-12093	5577	287715	P			SLU 6	51.59	Si
-1047	25	-	3700.07	4349.81	37.7	7	-7108	6346	557001	P			SLU EX 1	87.77	Si
-1047	25	-	3700.07	4349.81	37.7	7	-8255	1779	134411	SE			SLD 2	75.57	Si
-1047	25	-	3700.07	4349.81	37.7	7	-8263	1718	129681	SE			SLV 2	75.49	Si
-1170	25	-	3700.07	4349.81	0	0	-6601	0	0	P			SLU 6	72.16	Si
-1170	25	-	3700.07	4349.81	0	0	-4326	0	0	P			SLU EX 1	110.11	Si
-1170	25	-	3700.07	4349.81	0	0	-4719	0	0	SE			SLD 2	100.94	Si
-1170	25	-	3700.07	4349.81	0	0	-4722	0	0	SE			SLV 2	100.88	Si

Verifiche delle tensioni nella famiglia Rara

Tensione limite del calcestruzzo: 224.1
Tensione limite dell'acciaio: 3600
Coefficiente di omogeneizzazione impiegato: Es / Ec = 5.95

Quota	Filo	Ind.	Xp	Yp	Mx	My	N	Comb.	Sc,max	Mx	My	N	Comb.	Sf,max	Verifica
0	25	-	3700.07	4349.81	-1258396	-10263	-33013	SLE RA 2	-92.7	-1258396	-10263	-33013	SLE RA 2	629.6	Si
-123	25	-	3700.07	4349.81	-725770	-8337	-33883	SLE RA 2	-44.2	-725770	-8337	-33883	SLE RA 2	151.3	Si
-246	25	-	3700.07	4349.81	-193145	-6411	-34754	SLE RA 2	-19.9	-193145	-6411	-34754	SLE RA 2	-29.7	Si
-369	25	-	3700.07	4349.81	339481	-4485	-35624	SLE RA 2	-26.5	339481	-4485	-35624	SLE RA 2	-2.4	Si
-493	25	-	3700.07	4349.81	726188	-2625	-27473	SLE RA 2	-62.8	726188	-2625	-27473	SLE RA 2	401.9	Si
-677	25	-	3700.07	4349.81	338205	-342	-19972	SLE RA 2	-21.3	338205	-342	-19972	SLE RA 2	28	Si
-801	25	-	3700.07	4349.81	146589	27	-20842	SLE RA 2	-13.2	146589	27	-20842	SLE RA 2	-11.7	Si
-924	25	-	3700.07	4349.81	23853	192	-13065	SLE RA 2	-5.3	24	241	-9908	SLE RA 1	-19.4	Si
-1047	25	-	3700.07	4349.81	-3715	88	-9010	SLE RA 2	-3.1	16	61	-7108	SLE RA 1	-13.9	Si
-1170	25	-	3700.07	4349.81	0	0	-4978	SLE RA 2	-1.8	0	0	0		0	Si

Verifiche delle tensioni nella famiglia Quasi permanenti

Tensione limite del calcestruzzo: 168.1
Coefficiente di omogeneizzazione impiegato: Es * (1 + φ) / Ec = 5.95
Coefficiente di viscosità: φ = 0

Quota	Filo	Ind.	Xp	Yp	Mx	My	N	Comb.	Sc,max	Verifica
0	25	-	3700.07	4349.81	-755545	-11292	-29051	SLE QP 2	-53.4	Si
-123	25	-	3700.07	4349.81	-435916	-8770	-29922	SLE QP 2	-24.9	Si
-246	25	-	3700.07	4349.81	-116286	-6248	-30792	SLE QP 2	-15.2	Si
-369	25	-	3700.07	4349.81	203343	-3726	-31663	SLE QP 2	-19.3	Si
-493	25	-	3700.07	4349.81	435437	-1463	-24432	SLE QP 2	-27	Si
-677	25	-	3700.07	4349.81	202853	140	-17828	SLE QP 2	-14.7	Si
-801	25	-	3700.07	4349.81	87935	225	-18699	SLE QP 2	-10	Si
-924	25	-	3700.07	4349.81	14321	211	-11802	SLE QP 2	-4.5	Si
-1047	25	-	3700.07	4349.81	-2223	77	-8249	SLE QP 2	-2.8	Si
-1170	25	-	3700.07	4349.81	0	0	-4717	SLE QP 2	-1.7	Si

Verifiche delle fessure nella famiglia Esercizio frequente

Valore limite di controllo: 0.2 mm
Coefficiente di omogeneizzazione impiegato: Es / Ec = 5.95

Quota	Filo	Ind.	Xp	Yp	Mx	My	N	Comb.	Fess	Wka,mm	Wk,mm	Sm,cm	Verifica
0	25	-	3700.07	4349.81	-881258	-11035	-30042	SLE FR 2	Si	0.2	0.031	30.1	Si
-123	25	-	3700.07	4349.81	-1134	-9420	-23980	SLE FR 1	No				Si
-246	25	-	3700.07	4349.81	-999	-6004	-24850	SLE FR 1	No				Si
-369	25	-	3700.07	4349.81	-864	-2587	-25721	SLE FR 1	No				Si
-493	25	-	3700.07	4349.81	-689	278	-19871	SLE FR 1	No				Si
-677	25	-	3700.07	4349.81	-175	864	-14613	SLE FR 1	No				Si
-801	25	-	3700.07	4349.81	-46	521	-15483	SLE FR 1	No				Si
-924	25	-	3700.07	4349.81	24	241	-9908	SLE FR 1	No				Si
-1047	25	-	3700.07	4349.81	16	61	-7108	SLE FR 1	No				Si
-1170	25	-	3700.07	4349.81	0	0	-4326	SLE FR 1	No				Si

Verifiche delle fessure nella famiglia Esercizio quasi permanente

Valore limite di controllo: 0.2 mm
Coefficiente di omogeneizzazione impiegato: Es * (1 + φ) / Ec = 5.95
Coefficiente di viscosità: φ = 0

Quota	Filo	Ind.	Xp	Yp	Mx	My	N	Comb.	Fess	Wka,mm	Wk,mm	Sm,cm	Verifica
0	25	-	3700.07	4349.81	-755545	-11292	-29051	SLE QP 2	Si	0.2	0.023	29.4	Si
-123	25	-	3700.07	4349.81	-1134	-9420	-23980	SLE QP 1	No				Si
-246	25	-	3700.07	4349.81	-999	-6004	-24850	SLE QP 1	No				Si
-369	25	-	3700.07	4349.81	-864	-2587	-25721	SLE QP 1	No				Si
-493	25	-	3700.07	4349.81	-689	278	-19871	SLE QP 1	No				Si
-677	25	-	3700.07	4349.81	-175	864	-14613	SLE QP 1	No				Si
-801	25	-	3700.07	4349.81	-46	521	-15483	SLE QP 1	No				Si
-924	25	-	3700.07	4349.81	24	241	-9908	SLE QP 1	No				Si
-1047	25	-	3700.07	4349.81	16	61	-7108	SLE QP 1	No				Si
-1170	25	-	3700.07	4349.81	0	0	-4326	SLE QP 1	No				Si

Verifiche a taglio

Quota	Filo	Ind.	Xp	Yp	Tx	Ty	N	MultT	Vrd,4.1.23	VRsd,4.1.27	VRcd,4.1.28	Cotg	Comb.	C.S.	Verifica
0	25	-	3700.07	4349.81	-10	6487	-37965		16075	16918	123530	1	SLU 2	2.61	Si
0	25	-	3700.07	4349.81	-28	7336	-23109		14153	19456	178727	1	SLU EX 1	2.65	Si
0	25	-	3700.07	4349.81	-690	4720	-29061		14923	16918	121802	1	SLD 7	3.55	Si
0	25	-	3700.07	4349.81	-1591	7950	-29073		14924	16918	121804	1	SLV 7	2.09	Si
-123	25	-	3700.07	4349.81	-10	6487	-37965		16075	16918	123530	1	SLU 2	2.61	Si
-123	25	-	3700.07	4349.81	-28	7336	-23109		14153	19456	178727	1	SLU EX 1	2.65	Si
-123	25	-	3700.07	4349.81	-690	4720	-29061		14923	16918	121802	1	SLD 7	3.55	Si
-123	25	-	3700.07	4349.81	-1591	7950	-29073		14924	16918	121804	1	SLV 7	2.09	Si
-246	25	-	3700.07	4349.81	-10	6487	-37965		16158	17029	124338	1	SLU 2	2.63	Si
-246	25	-	3700.07	4349.81	-28	7336	-23109		14223	19583	179896	1	SLU EX 1	2.67	Si
-246	25	-	3700.07	4349.81	-690	4720	-29061		14999	17029	122598	1	SLD 7	3.57	Si
-246	25	-	3700.07	4349.81	-1591	7950	-29073		15000	17029	122601	1	SLV 7	2.1	Si
-369	25	-	3700.07	4349.81	-10	6487	-37965		16158	17029	124338	1	SLU 2	2.63	Si
-369	25	-	3700.07	4349.81	-28	7336	-23109		14223	19583	179896	1	SLU EX 1	2.67	Si
-369	25	-	3700.07	4349.81	-690	4720	-29061		14999	17029	122598	1	SLD 7	3.57	Si
-369	25	-	3700.07	4349.81	-1591	7950	-29073		15000	17029	122601	1	SLV 7	2.1	Si
-493	25	-	3700.07	4349.81	-17	-3186	-31114		15266	17029	123000	1	SLU 2	5.35	Si
-493	25	-	3700.07	4349.81	-3	-3610	-19710		13781	19583	179232	1	SLU EX 1	5.43	Si
-493	25	-	3700.07	4349.81	-263	-2306	-24264		14374	17029	121661	1	SLD 11	7.34	Si
-493	25	-	3700.07	4349.81	-606	-3875	-24254		14373	17029	121659	1	SLV 11	4.34	Si
-677	25	-	3700.07	4349.81	-6	-2334	-22599		14157	17029	121336	1	SLU 2	7.29	Si
-677	25	-	3700.07	4349.81	3	-2643	-14561		13110	19583	178226	1	SLU EX 1	7.41	Si
-677	25	-	3700.07	4349.81	-211	-1694	-17771		13528	17029	120393	1	SLD 11	9.98	Si
-677	25	-	3700.07	4349.81	-493	-2849	-17764		13527	17029	120391	1	SLV 11	5.89	Si
-801	25	-	3700.07	4349.81	-6	-2334	-22599		14157	17029	121336	1	SLU 2	7.29	Si
-801	25	-	3700.07	4349.81	3	-2643	-14561		13110	19583	178226	1	SLU EX 1	7.41	Si
-801	25	-	3700.07	4349.81	-211	-1694	-17771		13528	17029	120393	1	SLD 11	9.98	Si
-801	25	-	3700.07	4349.81	-493	-2849	-17764		13527	17029	120391	1	SLV 11	5.89	Si
-924	25	-	3700.07	4349.81	1	-409	-17123		13444	17029	120266	1	SLU 6	41.62	Si
-924	25	-	3700.07	4349.81	2	-463	-9529		12454	19583	177243	1	SLU EX 1	42.31	Si
-924	25	-	3700.07	4349.81	43	-298	-11426		12702	17029	119153	1	SLD 7	56.63	Si
-924	25	-	3700.07	4349.81	99	-501	-11430		12702	17029	119154	1	SLV 7	33.33	Si
-1047	25	-	3700.07	4349.81	1	58	-9824		12493	17029	118840	1	SLU 2	291.83	Si
-1047	25	-	3700.07	4349.81	1	66	-6971		12121	19583	176743	1	SLU EX 1	295.18	Si
-1047	25	-	3700.07	4349.81	3	42	-8110		12270	17029	118505	1	SLD 11	406.01	Si
-1047	25	-	3700.07	4349.81	6	70	-8108		12269	17029	118505	1	SLV 11	242.51	Si
-1170	25	-	3700.07	4349.81	0	0	-4131		11697	16918	116963	1	SLU 1	100	Si
-1170	25	-	3700.07	4349.81	0	0	-4131		11697	19456	175043	1	SLU EX 1	100	Si
-1170	25	-	3700.07	4349.81	0	0	-4525		11748	16918	117039	1	SLD 1	100	Si
-1170	25	-	3700.07	4349.81	0	0	-4527		11748	16918	117040	1	SLV 1	100	Si

Verifica di capacità portante per la famiglia SLU

Verifica di capacità portante verticale riferita al palo singolo

Fattore di correlazione ψ scelto in base alla conoscenza del sito = 1.7
Peso del palo = 8482.3 * 1.3

Filo	Ind.	Xp	Yp	γR laterale	γR punta	Pl,d	Pp,d	Def.vol	Comb.	Cnd	N	Ed	Rd	C.S.	Verifica
25	-	3700.07	4349.81	1.15	1.35	378966	12320		SLU 6	lungo	-44897	-55924	391285	7	Si

Verifica di capacità portante trasversale riferita al palo singolo

Fattore di correlazione ψ scelto in base alla conoscenza del sito = 1.7

Filo	Ind.	Xp	Yp	γR trasversale	LRF	Comb.	Cnd	Rd	Ed (T)	C.S.	Verifica
25	-	3700.07	4349.81	1.3	1	SLU 2	D	18974.2	6486.6	2.93	Si

Parametri utilizzati nel calcolo

Filo	Ind.	Xp	Yp	Tipo	L.frs.	L.tr.lib.	L.tr.inf.	Coes.	Fi	P.spec	T max	Mecc.coll.	M.plast.sup.	Quota sup.	N sup.	M.plast.inf.	Quota inf.	N inf.
25	-	3700.07	4349.81	TI	60	0	830	0.94	35	0.001	41933	PLV	6068811	-50	-38177	3811308	-398.2	-40426

Verifica di capacità portante per la famiglia SLU EX

Verifica di capacità portante verticale riferita al palo singolo

Fattore di correlazione ψ scelto in base alla conoscenza del sito = 1.7
Peso del palo = 8482.3 * 1

Filo	Ind.	Xp	Yp	γR laterale	γR punta	Pl,d	Pp,d	Def.vol	Comb.	Cnd	N	Ed	Rd	C.S.	Verifica
25	-	3700.07	4349.81	1	1	435810	16632		SLU EX 1	lungo	-23109	-31591	452442	14.32	Si

Verifica di capacità portante trasversale riferita al palo singolo

Fattore di correlazione ψ scelto in base alla conoscenza del sito = 1.7

Filo	Ind.	Xp	Yp	γR trasversale	LRF	Comb.	Cnd	Rd	Ed (T)	C.S.	Verifica
25	-	3700.07	4349.81	1	1	SLU EX 1	D	24075.7	7336	3.28	Si

Parametri utilizzati nel calcolo

Filo	Ind.	Xp	Yp	Tipo	L.frs.	L.tr.lib.	L.tr.inf.	Coes.	Fi	P.spec	T max	Mecc.coll.	M.plast.sup.	Quota sup.	N sup.	M.plast.inf.	Quota inf.	N inf.
25	-	3700.07	4349.81	TI	60	0	830	0.94	35	0.001	40929	PLV	5902108	-50	-23321	3575189	-394	-25541

Verifica di capacità portante per la famiglia SLD

Verifica di capacità portante verticale riferita al palo singolo

Fattore di correlazione ψ scelto in base alla conoscenza del sito = 1.7
Peso del palo = 8482.3 * 1

Filo	Ind.	Xp	Yp	γR laterale	γR punta	Pl,d	Pp,d	Def.vol	Comb.	Cnd	N	Ed	Rd	C.S.	Verifica
25	-	3700.07	4349.81	1.15	1.35	378966	12320		SLD 2	lungo	-29083	-37566	391285	10.42	Si

Verifica di capacità portante per la famiglia SLV

Verifica di capacità portante verticale riferita al palo singolo

Fattore di correlazione ψ scelto in base alla conoscenza del sito = 1.7

Peso del palo = 8482.3 * 1

Filo	Ind.	Xp	Yp	γR laterale	γR punta	Pl,d	Pp,d	Def.vol	Comb.	Cnd	N	Ed	Rd	C.S.	Verifica
25	-	3700.07	4349.81	1.15	1.35	378966	12320		SLV 2	lungo	-29127	-37609	391285	10.4	Si

Verifica di capacità portante trasversale riferita al palo singolo

Fattore di correlazione ψ scelto in base alla conoscenza del sito = 1.7

Filo	Ind.	Xp	Yp	γR trasversale	LRF	Comb.	Cnd	Rd	Ed (T)	C.S.	Verifica
25	-	3700.07	4349.81	1.3	1	SLV 7	D	15393.2	8107.8	1.9	Si

Parametri utilizzati nel calcolo

Filo	Ind.	Xp	Yp	Tipo	L.frs.	L.tr.lib.	L.tr.inf.	Coes.	Fi	P.spec	T max	Mecc.coll.	M.plast.sup.	Quota sup.	N sup.	M.plast.inf.	Quota inf.	N inf.
25	-	3700.07	4349.81	TI	60	0	830	0.94	35	0.001	34019	PLV	4471202	-50	-29285	2752277	-363.6	-31290

Trivellato D60 filo 26

Verifiche effettuate secondo D.M. 17-01-18, Circolare 7 21-01-19

Caratteristiche geometriche

Diametro 60
Lunghezza 1200

Caratteristiche dei materiali

Calcestruzzo C35/45 Rck 450
Acciaio B450C fyk,m: 4500

Verifiche a pressoflessione

Quota	Filo	Ind.	Xp	Yp	As	Cop.	N	|M|	Mu	Dom.	SnmFcd	MultM	Comb.	C.S.	Verifica
0	26	-	3700.07	4509.78	74.33	7.3	-52587	1855019	7202050	P			SLU 2	3.88	Si
0	26	-	3700.07	4509.78	74.33	7.3	-39711	2104558	6888902	P			SLU EX 1	3.27	Si
0	26	-	3700.07	4509.78	74.33	7.3	-39500	1393708	5603162	SE			SLD 7	4.02	Si
0	26	-	3700.07	4509.78	74.33	7.3	-46438	2414854	5468235	SE			SLV 7	2.26	Si
-123	26	-	3700.07	4509.78	112.03	7	-60653	1064219	8019731	P			SLU 6	7.54	Si
-123	26	-	3700.07	4509.78	112.03	7	-40582	1209306	9058341	P			SLU EX 1	7.49	Si
-123	26	-	3700.07	4509.78	112.03	7	-40370	806503	6433753	SE			SLD 7	7.98	Si
-123	26	-	3700.07	4509.78	112.03	7	-47309	1404521	6772275	SE			SLV 7	4.82	Si
-246	26	-	3700.07	4509.78	37.7	7	-61784	275780	2662753	P			SLU 6	9.66	Si
-246	26	-	3700.07	4509.78	37.7	7	-41452	314063	3864102	P			SLU EX 1	12.3	Si
-246	26	-	3700.07	4509.78	37.7	7	-41241	221602	2710986	SE			SLD 7	12.23	Si
-246	26	-	3700.07	4509.78	37.7	7	-40230	465411	4044049	SE			SLV 3	8.69	Si
-369	26	-	3700.07	4509.78	37.7	7	-62916	512931	4031884	P			SLU 6	7.86	Si
-369	26	-	3700.07	4509.78	37.7	7	-42323	581212	5067843	P			SLU EX 1	8.72	Si
-369	26	-	3700.07	4509.78	37.7	7	-42111	372028	3643485	SE			SLD 7	9.79	Si
-369	26	-	3700.07	4509.78	37.7	7	-49050	626908	4149585	SE			SLV 7	6.62	Si
-493	26	-	3700.07	4509.78	37.7	7	-42498	1085151	5367329	P			SLU 2	4.95	Si
-493	26	-	3700.07	4509.78	37.7	7	-32614	1230340	4879573	P			SLU EX 1	3.97	Si
-493	26	-	3700.07	4509.78	37.7	7	-32452	797703	4304906	SE			SLD 7	5.4	Si
-493	26	-	3700.07	4509.78	37.7	7	-37778	1359531	3848895	SE			SLV 7	2.83	Si
-677	26	-	3700.07	4509.78	37.7	7	-34948	503519	5137019	P			SLU 6	10.2	Si
-677	26	-	3700.07	4509.78	37.7	7	-23596	571369	5399218	P			SLU EX 1	9.45	Si
-677	26	-	3700.07	4509.78	37.7	7	-23482	372002	4288817	SE			SLD 7	11.53	Si
-677	26	-	3700.07	4509.78	37.7	7	-27236	636185	4313758	SE			SLV 7	6.78	Si
-801	26	-	3700.07	4509.78	37.7	7	-36080	217924	3330722	P			SLU 6	15.28	Si
-801	26	-	3700.07	4509.78	37.7	7	-24467	247324	4512835	P			SLU EX 1	18.25	Si
-801	26	-	3700.07	4509.78	37.7	7	-24353	161351	3108030	SE			SLD 7	19.26	Si
-801	26	-	3700.07	4509.78	37.7	7	-28107	276386	3819573	SE			SLV 7	13.82	Si
-924	26	-	3700.07	4509.78	37.7	7	-22278	35124	983560	P			SLU 6	28	Si
-924	26	-	3700.07	4509.78	37.7	7	-15201	39898	1637413	P			SLU EX 1	41.04	Si
-924	26	-	3700.07	4509.78	37.7	7	-15133	26415	1088910	SE			SLD 7	41.22	Si
-924	26	-	3700.07	4509.78	37.7	7	-17345	45761	1590914	SE			SLV 7	34.77	Si
-1047	26	-	3700.07	4509.78	37.7	7	-14901	5685	238002	P			SLU 6	41.86	Si
-1047	26	-	3700.07	4509.78	37.7	7	-10296	6434	389805	P			SLU EX 1	60.59	Si
-1047	26	-	3700.07	4509.78	37.7	7	-10255	4080	248196	SE			SLD 7	60.83	Si
-1047	26	-	3700.07	4509.78	37.7	7	-11588	6811	366645	SE			SLV 7	53.83	Si
-1170	26	-	3700.07	4509.78	0	0	-7564	0	0	P			SLU 6	62.97	Si
-1170	26	-	3700.07	4509.78	0	0	-5418	0	0	P			SLU EX 1	87.91	Si
-1170	26	-	3700.07	4509.78	0	0	-5404	0	0	SE			SLD 7	88.13	Si
-1170	26	-	3700.07	4509.78	0	0	-5861	0	0	SE			SLV 7	81.27	Si

Verifiche delle tensioni nella famiglia Rara

Tensione limite del calcestruzzo: 224.1
Tensione limite dell'acciaio: 3600
Coefficiente di omogeneizzazione impiegato: Es / Ec = 5.95

Quota	Filo	Ind.	Xp	Yp	Mx	My	N	Comb.	Sc,max	Mx	My	N	Comb.	Sf,max	Verifica
0	26	-	3700.07	4509.78	-1233791	-29479	-42762	SLE RA 2	-88.4	-1233791	-29479	-42762	SLE RA 2	485.8	Si
-123	26	-	3700.07	4509.78	-708540	-19514	-43633	SLE RA 2	-39	-708540	-19514	-43633	SLE RA 2	46.2	Si
-246	26	-	3700.07	4509.78	-183288	-9548	-44503	SLE RA 2	-22.6	2683	-6118	-24853	SLE RA 1	-47.4	Si
-369	26	-	3700.07	4509.78	341963	418	-45374	SLE RA 2	-29.8	341963	418	-45374	SLE RA 2	-21	Si
-493	26	-	3700.07	4509.78	722736	8133	-34956	SLE RA 2	-57.7	722736	8133	-34956	SLE RA 2	257.1	Si
-677	26	-	3700.07	4509.78	335490	4702	-25247	SLE RA 2	-22.9	335490	4702	-25247	SLE RA 2	17.2	Si
-801	26	-	3700.07	4509.78	145191	2221	-26118	SLE RA 2	-14.9	145191	2221	-26118	SLE RA 2	-22.3	Si
-924	26	-	3700.07	4509.78	23391	556	-16173	SLE RA 2	-6.3	-149	247	-9909	SLE RA 1	-19.4	Si
-1047	26	-	3700.07	4509.78	-3792	36	-10882	SLE RA 2	-3.7	-13	62	-7108	SLE RA 1	-13.9	Si
-1170	26	-	3700.07	4509.78	0	0	-5619	SLE RA 2	-2	0	0	0		0	Si

Verifiche delle tensioni nella famiglia Quasi permanenti

Tensione limite del calcestruzzo: 168.1
Coefficiente di omogeneizzazione impiegato: Es * (1 + φ) / Ec = 5.95
Coefficiente di viscosità: φ = 0

Quota	Filo	Ind.	Xp	Yp	Mx	My	N	Comb.	Sc,max	Verifica
0	26	-	3700.07	4509.78	-737115	-22949	-34902	SLE QP 2	-50.7	Si
-123	26	-	3700.07	4509.78	-423007	-15562	-35773	SLE QP 2	-26.1	Si
-246	26	-	3700.07	4509.78	-108900	-8176	-36643	SLE QP 2	-16.8	Si
-369	26	-	3700.07	4509.78	205207	-789	-37514	SLE QP 2	-21.3	Si
-493	26	-	3700.07	4509.78	432857	5018	-28923	SLE QP 2	-28.4	Si
-677	26	-	3700.07	4509.78	200822	3184	-20994	SLE QP 2	-15.7	Si
-801	26	-	3700.07	4509.78	86889	1549	-21865	SLE QP 2	-11	Si
-924	26	-	3700.07	4509.78	13975	432	-13668	SLE QP 2	-5.1	Si
-1047	26	-	3700.07	4509.78	-2280	46	-9372	SLE QP 2	-3.2	Si
-1170	26	-	3700.07	4509.78	0	0	-5102	SLE QP 2	-1.8	Si

Verifiche delle fessure nella famiglia Esercizio frequente

Valore limite di controllo: 0.2 mm
Coefficiente di omogeneizzazione impiegato: Es / Ec = 5.95

Quota	Filo	Ind.	Xp	Yp	Mx	My	N	Comb.	Fess	Wka,mm	Wk,mm	Sm,cm	Verifica
0	26	-	3700.07	4509.78	-861284	-24582	-36867	SLE FR 2	Si	0.2	0.022	28.7	Si
-123	26	-	3700.07	4509.78	5292	-9636	-23983	SLE FR 1	No				Si
-246	26	-	3700.07	4509.78	2683	-6118	-24853	SLE FR 1	No				Si
-369	26	-	3700.07	4509.78	74	-2600	-25724	SLE FR 1	No				Si
-493	26	-	3700.07	4509.78	-1961	346	-19873	SLE FR 1	No				Si
-677	26	-	3700.07	4509.78	-1181	907	-14615	SLE FR 1	No				Si
-801	26	-	3700.07	4509.78	-565	542	-15485	SLE FR 1	No				Si
-924	26	-	3700.07	4509.78	-149	247	-9909	SLE FR 1	No				Si
-1047	26	-	3700.07	4509.78	-13	62	-7108	SLE FR 1	No				Si
-1170	26	-	3700.07	4509.78	0	0	-4326	SLE FR 1	No				Si

Verifiche delle fessure nella famiglia Esercizio quasi permanente

Valore limite di controllo: 0.2 mm
Coefficiente di omogeneizzazione impiegato: Es * (1 + φ) / Ec = 5.95
Coefficiente di viscosità: φ = 0

Quota	Filo	Ind.	Xp	Yp	Mx	My	N	Comb.	Fess	Wka,mm	Wk,mm	Sm,cm	Verifica
0	26	-	3700.07	4509.78	-737115	-22949	-34902	SLE QP 2	Si	0.2	0.024	43.1	Si
-123	26	-	3700.07	4509.78	5292	-9636	-23983	SLE QP 1	No				Si
-246	26	-	3700.07	4509.78	2683	-6118	-24853	SLE QP 1	No				Si
-369	26	-	3700.07	4509.78	74	-2600	-25724	SLE QP 1	No				Si
-493	26	-	3700.07	4509.78	-1961	346	-19873	SLE QP 1	No				Si
-677	26	-	3700.07	4509.78	-1181	907	-14615	SLE QP 1	No				Si
-801	26	-	3700.07	4509.78	-565	542	-15485	SLE QP 1	No				Si
-924	26	-	3700.07	4509.78	-149	247	-9909	SLE QP 1	No				Si
-1047	26	-	3700.07	4509.78	-13	62	-7108	SLE QP 1	No				Si
-1170	26	-	3700.07	4509.78	0	0	-4326	SLE QP 1	No				Si

Verifiche a taglio

Quota	Filo	Ind.	Xp	Yp	Tx	Ty	N	MultT	Vrd,4.1.23	VRsd,4.1.27	VRcd,4.1.28	Cotg	Comb.	C.S.	Verifica
0	26	-	3700.07	4509.78	-107	6408	-52587		17967	16918	126369	1	SLU 2	2.8	Si
0	26	-	3700.07	4509.78	-92	7269	-39711		16301	19456	181950	1	SLU EX 1	2.68	Si
0	26	-	3700.07	4509.78	-1015	4662	-39500		16274	16918	123828	1	SLD 7	3.55	Si
0	26	-	3700.07	4509.78	-2336	7873	-46438		17172	16918	125175	1	SLV 7	2.09	Si
-123	26	-	3700.07	4509.78	-107	6408	-52587		17967	16918	126369	1	SLU 2	2.8	Si
-123	26	-	3700.07	4509.78	-92	7269	-39711		16301	19456	181950	1	SLU EX 1	2.68	Si
-123	26	-	3700.07	4509.78	-1015	4662	-39500		16274	16918	123828	1	SLD 7	3.55	Si
-123	26	-	3700.07	4509.78	-2336	7873	-46438		17172	16918	125175	1	SLV 7	2.09	Si
-246	26	-	3700.07	4509.78	-107	6408	-52587		18063	17029	127195	1	SLU 2	2.82	Si
-246	26	-	3700.07	4509.78	-92	7269	-39711		16386	19583	183140	1	SLU EX 1	2.69	Si
-246	26	-	3700.07	4509.78	-1015	4662	-39500		16358	17029	124638	1	SLD 7	3.57	Si
-246	26	-	3700.07	4509.78	-2336	7873	-46438		17262	17029	125994	1	SLV 7	2.1	Si
-369	26	-	3700.07	4509.78	-107	6408	-52587		18063	17029	127195	1	SLU 2	2.82	Si
-369	26	-	3700.07	4509.78	-92	7269	-39711		16386	19583	183140	1	SLU EX 1	2.69	Si
-369	26	-	3700.07	4509.78	-1015	4662	-39500		16358	17029	124638	1	SLD 7	3.57	Si
-369	26	-	3700.07	4509.78	-2336	7873	-46438		17262	17029	125994	1	SLV 7	2.1	Si
-493	26	-	3700.07	4509.78	29	-3181	-42338		16728	17029	125193	1	SLU 2	5.35	Si
-493	26	-	3700.07	4509.78	35	-3606	-32454		15441	19583	181722	1	SLU EX 1	5.43	Si
-493	26	-	3700.07	4509.78	356	-2302	-32292		15419	17029	123230	1	SLD 7	7.31	Si
-493	26	-	3700.07	4509.78	834	-3870	-37618		16113	17029	124270	1	SLV 7	4.3	Si
-677	26	-	3700.07	4509.78	29	-2320	-30512		15188	17029	122882	1	SLU 2	7.34	Si
-677	26	-	3700.07	4509.78	29	-2631	-23544		14280	19583	179981	1	SLU EX 1	7.44	Si
-677	26	-	3700.07	4509.78	305	-1683	-23430		14265	17029	121498	1	SLD 7	9.96	Si
-677	26	-	3700.07	4509.78	708	-2834	-27184		14754	17029	122232	1	SLV 7	5.83	Si
-801	26	-	3700.07	4509.78	29	-2320	-30512		15188	17029	122882	1	SLU 2	7.34	Si
-801	26	-	3700.07	4509.78	29	-2631	-23544		14280	19583	179981	1	SLU EX 1	7.44	Si
-801	26	-	3700.07	4509.78	305	-1683	-23430		14265	17029	121498	1	SLD 7	9.96	Si
-801	26	-	3700.07	4509.78	708	-2834	-27184		14754	17029	122232	1	SLV 7	5.83	Si
-924	26	-	3700.07	4509.78	7	-404	-18926		13678	17029	120618	1	SLU 2	42.1	Si
-924	26	-	3700.07	4509.78	6	-459	-14821		13144	19583	178277	1	SLU EX 1	42.68	Si
-924	26	-	3700.07	4509.78	63	-294	-14754		13135	17029	119803	1	SLD 7	56.61	Si
-924	26	-	3700.07	4509.78	145	-497	-16966		13423	17029	120235	1	SLV 7	32.92	Si
-1047	26	-	3700.07	4509.78	0	59	-14724		13131	17029	119797	1	SLU 6	286.52	Si
-1047	26	-	3700.07	4509.78	0	67	-10159		12537	19583	177366	1	SLU EX 1	291.17	Si
-1047	26	-	3700.07	4509.78	2	43	-10115		12531	17029	118897	1	SLD 11	399.07	Si
-1047	26	-	3700.07	4509.78	-5	71	-11451		12705	17029	119158	1	SLV 7	239.17	Si
-1170	26	-	3700.07	4509.78	0	0	-4132		11697	16918	116963	1	SLU 1	100	Si
-1170	26	-	3700.07	4509.78	0	0	-5224		11838	19456	175255	1	SLU EX 1	100	Si
-1170	26	-	3700.07	4509.78	0	0	-4829		11787	16918	117098	1	SLD 1	100	Si
-1170	26	-	3700.07	4509.78	0	0	-4710		11772	16918	117075	1	SLV 1	100	Si

Verifica di capacità portante per la famiglia SLU

Verifica di capacità portante verticale riferita al palo singolo

Fattore di correlazione ψ scelto in base alla conoscenza del sito = 1.7
Peso del palo = 8482.3 * 1.3

Filo	Ind.	Xp	Yp	γR laterale	γR punta	Pl,d	Pp,d	Def.vol	Comb.	Cnd	N	Ed	Rd	C.S.	Verifica
26	-	3700.07	4509.78	1.15	1.35	378966	12320		SLU 6	lungo	-59521	-70548	391285	5.55	Si

Verifica di capacità portante trasversale riferita al palo singolo

Fattore di correlazione ψ scelto in base alla conoscenza del sito = 1.7

Filo	Ind.	Xp	Yp	γR trasversale	LRF	Comb.	Cnd	Rd	Ed (T)	C.S.	Verifica
26	-	3700.07	4509.78	1.3	1	SLU 2	D	19416.2	6408.8	3.03	Si

Parametri utilizzati nel calcolo

Filo	Ind.	Xp	Yp	Tipo	L.frs.	L.tr.lib.	L.tr.inf.	Coes.	Fi	P.spec	T max	Mecc.coll.	M.plast.sup.	Quota sup.	N sup.	M.plast.inf.	Quota inf.	N inf.
26	-	3700.07	4509.78	TI	60	0	830	0.94	35	0.001	42910	PLV	6232898	-50	-52799	4043712	-402.3	-55077

Verifica di capacità portante per la famiglia SLU EX

Verifica di capacità portante verticale riferita al palo singolo

Fattore di correlazione ψ scelto in base alla conoscenza del sito = 1.7
Peso del palo = 8482.3 * 1

Filo	Ind.	Xp	Yp	γR laterale	γR punta	Pl,d	Pp,d	Def.vol	Comb.	Cnd	N	Ed	Rd	C.S.	Verifica
26	-	3700.07	4509.78	1	1	435810	16632		SLU EX 1	lungo	-39711	-48193	452442	9.39	Si

Verifica di capacità portante trasversale riferita al palo singolo

Fattore di correlazione ψ scelto in base alla conoscenza del sito = 1.7

Filo	Ind.	Xp	Yp	γR trasversale	LRF	Comb.	Cnd	Rd	Ed (T)	C.S.	Verifica
26	-	3700.07	4509.78	1	1	SLU EX 1	D	24735.5	7269.2	3.4	Si

Parametri utilizzati nel calcolo

Filo	Ind.	Xp	Yp	Tipo	L.frs.	L.tr.lib.	L.tr.inf.	Coes.	Fi	P.spec	T max	Mecc.coll.	M.plast.sup.	Quota sup.	N sup.	M.plast.inf.	Quota inf.	N inf.
26	-	3700.07	4509.78	TI	60	0	830	0.94	35	0.001	42050	PLV	6088410	-50	-39923	3839068	-398.7	-42176

Verifica di capacità portante per la famiglia SLD

Verifica di capacità portante verticale riferita al palo singolo

Fattore di correlazione ψ scelto in base alla conoscenza del sito = 1.7
Peso del palo = 8482.3 * 1

Filo	Ind.	Xp	Yp	γR laterale	γR punta	Pl,d	Pp,d	Def.vol	Comb.	Cnd	N	Ed	Rd	C.S.	Verifica
26	-	3700.07	4509.78	1.15	1.35	378966	12320		SLD 7	lungo	-39500	-47982	391285	8.15	Si

Verifica di capacità portante per la famiglia SLV

Verifica di capacità portante verticale riferita al palo singolo

Fattore di correlazione ψ scelto in base alla conoscenza del sito = 1.7
Peso del palo = 8482.3 * 1

Filo	Ind.	Xp	Yp	γR laterale	γR punta	Pl,d	Pp,d	Def.vol	Comb.	Cnd	N	Ed	Rd	C.S.	Verifica
26	-	3700.07	4509.78	1.15	1.35	378966	12320		SLV 7	lungo	-46438	-54920	391285	7.12	Si

Verifica di capacità portante trasversale riferita al palo singolo

Fattore di correlazione ψ scelto in base alla conoscenza del sito = 1.7

Filo	Ind.	Xp	Yp	γR trasversale	LRF	Comb.	Cnd	Rd	Ed (T)	C.S.	Verifica
26	-	3700.07	4509.78	1.3	1	SLV 7	D	16045.1	8212.5	1.95	Si

Parametri utilizzati nel calcolo

Filo	Ind.	Xp	Yp	Tipo	L.frs.	L.tr.lib.	L.tr.inf.	Coes.	Fi	P.spec	T max	Mecc.coll.	M.plast.sup.	Quota sup.	N sup.	M.plast.inf.	Quota inf.	N inf.
26	-	3700.07	4509.78	TI	60	0	830	0.94	35	0.001	35460	PLV	4714168	-50	-46650	3028968	-370.2	-48702

Trivellato D60 filo 29

Verifiche effettuate secondo D.M. 17-01-18, Circolare 7 21-01-19

Caratteristiche geometriche

Diametro 60
Lunghezza 1200

Caratteristiche dei materiali

Calcestruzzo C35/45 Rck 450
Acciaio B450C fyk,m: 4500

Verifiche a pressoflessione

Quota	Filo	Ind.	Xp	Yp	As	Cop.	N	|M|	Mu	Dom.	SnmFcd	MultM	Comb.	C.S.	Verifica
0	29	-	4290.09	4189.84	74.33	7.3	-26581	2167216	6540593	P			SLU 2	3.02	Si
0	29	-	4290.09	4189.84	74.33	7.3	-9423	2404161	5899912	P			SLU EX 1	2.45	Si
0	29	-	4290.09	4189.84	74.33	7.3	-20590	1716457	4880233	SE			SLD 7	2.84	Si
0	29	-	4290.09	4189.84	74.33	7.3	-13538	3024394	4332823	SE			SLV 7	1.43	Si
-123	29	-	4290.09	4189.84	112.03	7	-27451	1271271	9166753	P			SLU 2	7.21	Si
-123	29	-	4290.09	4189.84	112.03	7	-10294	1408115	8598538	P			SLU EX 1	6.11	Si
-123	29	-	4290.09	4189.84	112.03	7	-21461	1011594	7036775	SE			SLD 7	6.96	Si
-123	29	-	4290.09	4189.84	112.03	7	-14409	1784791	6488251	SE			SLV 7	3.64	Si
-246	29	-	4290.09	4189.84	37.7	7	-36127	377176	4578500	P			SLU 6	12.14	Si
-246	29	-	4290.09	4189.84	37.7	7	-11164	412264	4907030	P			SLU EX 1	11.9	Si

Quota	Filo	Ind.	Xp	Yp	As	Cop.	N	|M|	Mu	Dom.	SnmFcd	MultM	Comb.	C.S.	Verifica
-246	29	-	4290.09	4189.84	37.7	7	-22331	307618	4213353	SE			SLD 7	13.7	Si
-246	29	-	4290.09	4189.84	37.7	7	-15280	547073	3859881	SE			SLV 7	7.06	Si
-369	29	-	4290.09	4189.84	37.7	7	-37259	520412	5092429	P			SLU 6	9.79	Si
-369	29	-	4290.09	4189.84	37.7	7	-12035	584390	4482107	P			SLU EX 1	7.67	Si
-369	29	-	4290.09	4189.84	37.7	7	-23241	402148	4311287	SE			SLD 11	10.72	Si
-369	29	-	4290.09	4189.84	37.7	7	-16242	702585	3498664	SE			SLV 11	4.98	Si
-493	29	-	4290.09	4189.84	37.7	7	-22535	1175437	4394332	P			SLU 2	3.74	Si
-493	29	-	4290.09	4189.84	37.7	7	-9365	1311545	3574993	P			SLU EX 1	2.73	Si
-493	29	-	4290.09	4189.84	37.7	7	-17967	919850	3242582	SE			SLD 11	3.53	Si
-493	29	-	4290.09	4189.84	37.7	7	-12595	1616270	2572059	SE			SLV 11	1.59	Si
-677	29	-	4290.09	4189.84	37.7	7	-16491	555161	5022681	P			SLU 2	9.05	Si
-677	29	-	4290.09	4189.84	37.7	7	-7208	618612	3888757	P			SLU EX 1	6.29	Si
-677	29	-	4290.09	4189.84	37.7	7	-13271	435997	4064685	SE			SLD 11	9.32	Si
-677	29	-	4290.09	4189.84	37.7	7	-9484	767318	2806789	SE			SLV 11	3.66	Si
-801	29	-	4290.09	4189.84	37.7	7	-22197	242351	4669166	P			SLU 6	19.27	Si
-801	29	-	4290.09	4189.84	37.7	7	-8078	269683	5033904	P			SLU EX 1	18.67	Si
-801	29	-	4290.09	4189.84	37.7	7	-14142	190496	4194898	SE			SLD 11	22.02	Si
-801	29	-	4290.09	4189.84	37.7	7	-10355	335504	4101479	SE			SLV 11	12.22	Si
-924	29	-	4290.09	4189.84	37.7	7	-14099	41126	1819670	P			SLU 6	44.25	Si
-924	29	-	4290.09	4189.84	37.7	7	-5545	45546	4048931	P			SLU EX 1	88.9	Si
-924	29	-	4290.09	4189.84	37.7	7	-12044	4812	249254	SE			SLD 10	51.8	Si
-924	29	-	4290.09	4189.84	37.7	7	-14292	25582	1116672	SE			SLV 10	43.65	Si
-1047	29	-	4290.09	4189.84	37.7	7	-9974	5346	334363	P			SLU 6	62.55	Si
-1047	29	-	4290.09	4189.84	37.7	7	-4479	6052	842872	P			SLU EX 1	139.27	Si
-1047	29	-	4290.09	4189.84	37.7	7	-8394	313	23252	SE			SLD 10	74.32	Si
-1047	29	-	4290.09	4189.84	37.7	7	-9748	2832	181255	SE			SLV 10	63.99	Si
-1170	29	-	4290.09	4189.84	0	0	-5875	0	0	P			SLU 6	81.08	Si
-1170	29	-	4290.09	4189.84	0	0	-3425	0	0	P			SLU EX 1	139.07	Si
-1170	29	-	4290.09	4189.84	0	0	-4767	0	0	SE			SLD 10	99.93	Si
-1170	29	-	4290.09	4189.84	0	0	-5231	0	0	SE			SLV 10	91.06	Si

Verifiche delle tensioni nella famiglia Rara

Tensione limite del calcestruzzo: 224.1
Tensione limite dell'acciaio: 3600
Coefficiente di omogeneizzazione impiegato: Es / Ec = 5.95

Quota	Filo	Ind.	Xp	Yp	Mx	My	N	Comb.	Sc,max	Mx	My	N	Comb.	Sf,max	Verifica
0	29	-	4290.09	4189.84	-1449009	-6410	-25813	SLE RA 2	-109.4	-1449009	-6410	-25813	SLE RA 2	894.8	Si
-123	29	-	4290.09	4189.84	-850508	-8148	-26684	SLE RA 2	-52.6	-850508	-8148	-26684	SLE RA 2	274	Si
-246	29	-	4290.09	4189.84	-252006	-9887	-27554	SLE RA 2	-20.1	-252006	-9887	-27554	SLE RA 2	-3.9	Si
-369	29	-	4290.09	4189.84	346495	-11625	-28425	SLE RA 2	-24.5	346495	-11625	-28425	SLE RA 2	13.2	Si
-493	29	-	4290.09	4189.84	783860	-12037	-21946	SLE RA 2	-73.2	783860	-12037	-21946	SLE RA 2	620.8	Si
-677	29	-	4290.09	4189.84	370453	-3985	-16076	SLE RA 2	-21.4	370453	-3985	-16076	SLE RA 2	42.1	Si
-801	29	-	4290.09	4189.84	161642	-1404	-16947	SLE RA 2	-12.6	161642	-1404	-16947	SLE RA 2	-1.1	Si
-924	29	-	4290.09	4189.84	27449	116	-10770	SLE RA 2	-4.7	27449	116	-10770	SLE RA 2	-15.6	Si
-1047	29	-	4290.09	4189.84	-3552	199	-7627	SLE RA 2	-2.7	-3552	199	-7627	SLE RA 2	-14.2	Si
-1170	29	-	4290.09	4189.84	0	0	-4504	SLE RA 2	-1.6	0	0	0		0	Si

Verifiche delle tensioni nella famiglia Quasi permanenti

Tensione limite del calcestruzzo: 168.1
Coefficiente di omogeneizzazione impiegato: Es * (1 + φ) / Ec = 5.95
Coefficiente di viscosità: φ = 0

Quota	Filo	Ind.	Xp	Yp	Mx	My	N	Comb.	Sc,max	Verifica
0	29	-	4290.09	4189.84	-874453	-6207	-25199	SLE QP 2	-63.9	Si
-123	29	-	4290.09	4189.84	-513929	-6703	-26070	SLE QP 2	-26.7	Si
-246	29	-	4290.09	4189.84	-153406	-7200	-26940	SLE QP 2	-15.6	Si
-369	29	-	4290.09	4189.84	207118	-7696	-27811	SLE QP 2	-18.2	Si
-493	29	-	4290.09	4189.84	470706	-7459	-21475	SLE QP 2	-27.6	Si
-677	29	-	4290.09	4189.84	222713	-2337	-15744	SLE QP 2	-14.9	Si
-801	29	-	4290.09	4189.84	97228	-786	-16614	SLE QP 2	-9.7	Si
-924	29	-	4290.09	4189.84	16564	114	-10574	SLE QP 2	-4.2	Si
-1047	29	-	4290.09	4189.84	-2111	135	-7509	SLE QP 2	-2.6	Si
-1170	29	-	4290.09	4189.84	0	0	-4463	SLE QP 2	-1.6	Si

Verifiche delle fessure nella famiglia Esercizio frequente

Valore limite di controllo: 0.2 mm
Coefficiente di omogeneizzazione impiegato: Es / Ec = 5.95

Quota	Filo	Ind.	Xp	Yp	Mx	My	N	Comb.	Fess	Wka,mm	Wk,mm	Sm,cm	Verifica
0	29	-	4290.09	4189.84	-1018092	-6258	-25353	SLE FR 2	Si	0.2	0.048	31.4	Si
-123	29	-	4290.09	4189.84	-9061	-4536	-25149	SLE FR 1	No				Si
-246	29	-	4290.09	4189.84	-5504	-3169	-26019	SLE FR 1	No				Si
-369	29	-	4290.09	4189.84	-1948	-1801	-26890	SLE FR 1	No				Si
-493	29	-	4290.09	4189.84	975	-592	-20768	SLE FR 1	No				Si
-677	29	-	4290.09	4189.84	1104	136	-15245	SLE FR 1	No				Si
-801	29	-	4290.09	4189.84	608	141	-16116	SLE FR 1	No				Si
-924	29	-	4290.09	4189.84	237	111	-10281	SLE FR 1	No				Si
-1047	29	-	4290.09	4189.84	50	38	-7332	SLE FR 1	No				Si
-1170	29	-	4290.09	4189.84	0	0	-4403	SLE FR 1	No				Si

Verifiche delle fessure nella famiglia Esercizio quasi permanente

Valore limite di controllo: 0.2 mm
Coefficiente di omogeneizzazione impiegato: Es * (1 + φ) / Ec = 5.95
Coefficiente di viscosità: φ = 0

Quota	Filo	Ind.	Xp	Yp	Mx	My	N	Comb.	Fess	Wka,mm	Wk,mm	Sm,cm	Verifica
0	29	-	4290.09	4189.84	-874453	-6207	-25199	SLE QP 2	Si	0.2	0.037	30.8	Si
-123	29	-	4290.09	4189.84	-9061	-4536	-25149	SLE QP 1	No				Si
-246	29	-	4290.09	4189.84	-5504	-3169	-26019	SLE QP 1	No				Si
-369	29	-	4290.09	4189.84	-1948	-1801	-26890	SLE QP 1	No				Si

Quota	Filo	Ind.	Xp	Yp	Mx	My	N	Comb.	Fess	Wka,mm	Wk,mm	Sm,cm	Verifica
-493	29	-	4290.09	4189.84	975	-592	-20768	SLE QP 1	No				Si
-677	29	-	4290.09	4189.84	1104	136	-15245	SLE QP 1	No				Si
-801	29	-	4290.09	4189.84	608	141	-16116	SLE QP 1	No				Si
-924	29	-	4290.09	4189.84	237	111	-10281	SLE QP 1	No				Si
-1047	29	-	4290.09	4189.84	50	38	-7332	SLE QP 1	No				Si
-1170	29	-	4290.09	4189.84	0	0	-4403	SLE QP 1	No				Si

Verifiche a taglio

Quota	Filo	Ind.	Xp	Yp	Tx	Ty	N	MultT	Vrd,4.1.23	VRsd,4.1.27	VRcd,4.1.28	Cotg	Comb.	C.S.	Verifica
0	29	-	4290.09	4189.84	23	7284	-33864		15544	16918	122734	1	SLU 6	2.32	Si
0	29	-	4290.09	4189.84	-38	8088	-9423		12382	19456	176071	1	SLU EX 1	2.41	Si
0	29	-	4290.09	4189.84	-786	5670	-20590		13827	16918	120158	1	SLD 7	2.96	Si
0	29	-	4290.09	4189.84	-1852	9896	-13538		12914	16918	118789	1	SLV 7	1.68	Si
-123	29	-	4290.09	4189.84	23	7284	-33864		15544	16918	122734	1	SLU 6	2.32	Si
-123	29	-	4290.09	4189.84	-38	8088	-9423		12382	19456	176071	1	SLU EX 1	2.41	Si
-123	29	-	4290.09	4189.84	-786	5670	-20590		13827	16918	120158	1	SLD 7	2.96	Si
-123	29	-	4290.09	4189.84	-1852	9896	-13538		12914	16918	118789	1	SLV 7	1.68	Si
-246	29	-	4290.09	4189.84	23	7284	-33864		15624	17029	123537	1	SLU 6	2.34	Si
-246	29	-	4290.09	4189.84	-38	8088	-9423		12441	19583	177222	1	SLU EX 1	2.42	Si
-246	29	-	4290.09	4189.84	-786	5670	-20590		13895	17029	120943	1	SLD 7	2.97	Si
-246	29	-	4290.09	4189.84	-1852	9896	-13538		12977	17029	119566	1	SLV 7	1.69	Si
-369	29	-	4290.09	4189.84	23	7284	-33864		15624	17029	123537	1	SLU 6	2.34	Si
-369	29	-	4290.09	4189.84	-38	8088	-9423		12441	19583	177222	1	SLU EX 1	2.42	Si
-369	29	-	4290.09	4189.84	-786	5670	-20590		13895	17029	120943	1	SLD 7	2.97	Si
-369	29	-	4290.09	4189.84	-1852	9896	-13538		12977	17029	119566	1	SLV 7	1.69	Si
-493	29	-	4290.09	4189.84	-65	-3391	-22375		14128	17029	121292	1	SLU 2	5.02	Si
-493	29	-	4290.09	4189.84	-41	-3789	-9205		12412	19583	177179	1	SLU EX 1	5.17	Si
-493	29	-	4290.09	4189.84	-378	-2618	-17807		13533	17029	120400	1	SLD 11	6.44	Si
-493	29	-	4290.09	4189.84	-861	-4561	-12435		12833	17029	119350	1	SLV 11	3.67	Si
-677	29	-	4290.09	4189.84	-31	-2542	-20997		13948	17029	121023	1	SLU 6	6.7	Si
-677	29	-	4290.09	4189.84	-12	-2833	-7155		12145	19583	176779	1	SLU EX 1	6.91	Si
-677	29	-	4290.09	4189.84	-302	-1970	-13219		12935	17029	119503	1	SLD 11	8.54	Si
-677	29	-	4290.09	4189.84	-702	-3435	-9432		12442	17029	118763	1	SLV 11	4.86	Si
-801	29	-	4290.09	4189.84	-31	-2542	-20997		13948	17029	121023	1	SLU 6	6.7	Si
-801	29	-	4290.09	4189.84	-12	-2833	-7155		12145	19583	176779	1	SLU EX 1	6.91	Si
-801	29	-	4290.09	4189.84	-302	-1970	-13219		12935	17029	119503	1	SLD 11	8.54	Si
-801	29	-	4290.09	4189.84	-702	-3435	-9432		12442	17029	118763	1	SLV 11	4.86	Si
-924	29	-	4290.09	4189.84	-2	-458	-13606		12986	17029	119579	1	SLU 6	37.18	Si
-924	29	-	4290.09	4189.84	2	-509	-5166		11886	19583	176390	1	SLU EX 1	38.5	Si
-924	29	-	4290.09	4189.84	49	-356	-8726		12350	17029	118625	1	SLD 7	47.35	Si
-924	29	-	4290.09	4189.84	115	-622	-6478		12057	17029	118186	1	SLV 7	26.93	Si
-1047	29	-	4290.09	4189.84	3	56	-7638		12208	17029	118413	1	SLU 2	303.89	Si
-1047	29	-	4290.09	4189.84	3	63	-4342		11779	19583	176229	1	SLU EX 1	309.53	Si
-1047	29	-	4290.09	4189.84	4	42	-6495		12059	17029	118189	1	SLD 11	400.03	Si
-1047	29	-	4290.09	4189.84	9	73	-5150		11884	17029	117927	1	SLV 11	230.28	Si
-1170	29	-	4290.09	4189.84	0	0	-4208		11707	16918	116978	1	SLU 1	100	Si
-1170	29	-	4290.09	4189.84	0	0	-3231		11580	19456	174868	1	SLU EX 1	100	Si
-1170	29	-	4290.09	4189.84	0	0	-4335		11723	16918	117002	1	SLD 1	100	Si
-1170	29	-	4290.09	4189.84	0	0	-4438		11736	16918	117022	1	SLV 1	100	Si

Verifica di capacità portante per la famiglia SLU

Verifica di capacità portante verticale riferita al palo singolo

Fattore di correlazione ψ scelto in base alla conoscenza del sito = 1.7
Peso del palo = 8482.3 * 1.3

Filo	Ind.	Xp	Yp	γR laterale	γR punta	Pl,d	Pp,d	Def.vol	Comb.	Cnd	N	Ed	Rd	C.S.	Verifica
29	-	4290.09	4189.84	1.15	1.35	378966	12320		SLU 6	lungo	-33864	-44891	391285	8.72	Si

Verifica di capacità portante trasversale riferita al palo singolo

Fattore di correlazione ψ scelto in base alla conoscenza del sito = 1.7

Filo	Ind.	Xp	Yp	γR trasversale	LRF	Comb.	Cnd	Rd	Ed (T)	C.S.	Verifica
29	-	4290.09	4189.84	1.3	1	SLU 2	D	18626.5	7275.1	2.56	Si

Parametri utilizzati nel calcolo

Filo	Ind.	Xp	Yp	Tipo	L.frs.	L.tr.lib.	L.tr.inf.	Coes.	Fi	P.spec	T max	Mecc.coll.	M.plast.sup.	Quota sup.	N sup.	M.plast.inf.	Quota inf.	N inf.
29	-	4290.09	4189.84	TI	60	0	830	0.94	35	0.001	41165	PLV	5941067	-50	-26793	3630372	-395	-29019

Verifica di capacità portante per la famiglia SLU EX

Verifica di capacità portante verticale riferita al palo singolo

Fattore di correlazione ψ scelto in base alla conoscenza del sito = 1.7
Peso del palo = 8482.3 * 1

Filo	Ind.	Xp	Yp	γR laterale	γR punta	Pl,d	Pp,d	Def.vol	Comb.	Cnd	N	Ed	Rd	C.S.	Verifica
29	-	4290.09	4189.84	1	1	435810	16632		SLU EX 1	lungo	-9423	-17906	452442	25.27	Si

Verifica di capacità portante trasversale riferita al palo singolo

Fattore di correlazione ψ scelto in base alla conoscenza del sito = 1.7

Filo	Ind.	Xp	Yp	γR trasversale	LRF	Comb.	Cnd	Rd	Ed (T)	C.S.	Verifica
29	-	4290.09	4189.84	1	1	SLU EX 1	D	23525	8087.9	2.91	Si

Parametri utilizzati nel calcolo

Filo	Ind.	Xp	Yp	Tipo	L.frs.	L.tr.lib.	L.tr.inf.	Coes.	Fi	P.spec	T max	Mecc.coll.	M.plast.sup.	Quota sup.	N sup.	M.plast.inf.	Quota inf.	N inf.
29	-	4290.09	4189.84	TI	60	0	830	0.94	35	0.001	39993	PLV	5748537	-50	-9635	3357660	-390.1	-11827

Verifica di capacità portante per la famiglia SLD

Verifica di capacità portante verticale riferita al palo singolo

Fattore di correlazione ψ scelto in base alla conoscenza del sito = 1.7
Peso del palo = 8482.3 * 1

Filo	Ind.	Xp	Yp	γR laterale	γR punta	Pl,d	Pp,d	Def.vol	Comb.	Cnd	N	Ed	Rd	C.S.	Verifica
29	-	4290.09	4189.84	1.15	1.35	378966	12320		SLD 10	lungo	-29808	-38290	391285	10.22	Si

Verifica di capacità portante per la famiglia SLV

Verifica di capacità portante verticale riferita al palo singolo

Fattore di correlazione ψ scelto in base alla conoscenza del sito = 1.7
Peso del palo = 8482.3 * 1

Filo	Ind.	Xp	Yp	γR laterale	γR punta	Pl,d	Pp,d	Def.vol	Comb.	Cnd	N	Ed	Rd	C.S.	Verifica
29	-	4290.09	4189.84	1.15	1.35	378966	12320		SLV 10	lungo	-36860	-45342	391285	8.63	Si

Verifica di capacità portante trasversale riferita al palo singolo

Fattore di correlazione ψ scelto in base alla conoscenza del sito = 1.7

Filo	Ind.	Xp	Yp	γR trasversale	LRF	Comb.	Cnd	Rd	Ed (T)	C.S.	Verifica
29	-	4290.09	4189.84	1.3	1	SLV 7	D	14798.1	10068.1	1.47	Si

Parametri utilizzati nel calcolo

Filo	Ind.	Xp	Yp	Tipo	L.frs.	L.tr.lib.	L.tr.inf.	Coes.	Fi	P.spec	T max	Mecc.coll.	M.plast.sup.	Quota sup.	N sup.	M.plast.inf.	Quota inf.	N inf.
29	-	4290.09	4189.84	TI	60	0	830	0.94	35	0.001	32704	PLV	4253839	-50	-13750	2502703	-357.5	-15715

Trivellato D60 filo 30

Verifiche effettuate secondo D.M. 17-01-18, Circolare 7 21-01-19

Caratteristiche geometriche

Diametro 60
Lunghezza 1200

Caratteristiche dei materiali

Calcestruzzo C35/45 Rck 450
Acciaio B450C fyk,m: 4500

Verifiche a pressoflessione

Quota	Filo	Ind.	Xp	Yp	As	Cop.	N	|M|	Mu	Dom.	SnmFcd	MultM	Comb.	C.S.	Verifica
0	30	-	4290.09	4349.81	74.33	7.3	-39587	2163475	6864063	P			SLU 2	3.17	Si
0	30	-	4290.09	4349.81	74.33	7.3	-24153	2410087	6355092	P			SLU EX 1	2.64	Si
0	30	-	4290.09	4349.81	74.33	7.3	-30307	1707683	5336725	SE			SLD 7	3.13	Si
0	30	-	4290.09	4349.81	74.33	7.3	-30281	3012424	4726155	SE			SLV 7	1.57	Si
-123	30	-	4290.09	4349.81	112.03	7	-47964	1268904	8869959	P			SLU 6	6.99	Si
-123	30	-	4290.09	4349.81	112.03	7	-25024	1412197	9112791	P			SLU EX 1	6.45	Si
-123	30	-	4290.09	4349.81	112.03	7	-31177	1005410	6827555	SE			SLD 7	6.79	Si
-123	30	-	4290.09	4349.81	112.03	7	-31151	1776856	7118517	SE			SLV 7	4.01	Si
-246	30	-	4290.09	4349.81	37.7	7	-49096	374074	3876910	P			SLU 6	10.36	Si
-246	30	-	4290.09	4349.81	37.7	7	-25894	414310	5278629	P			SLU EX 1	12.74	Si
-246	30	-	4290.09	4349.81	37.7	7	-32048	303581	3761717	SE			SLD 7	12.39	Si
-246	30	-	4290.09	4349.81	37.7	7	-32022	542311	4307785	SE			SLV 7	7.94	Si
-369	30	-	4290.09	4349.81	37.7	7	-50228	520819	4564641	P			SLU 6	8.76	Si
-369	30	-	4290.09	4349.81	37.7	7	-26765	583595	5468673	P			SLU EX 1	9.37	Si
-369	30	-	4290.09	4349.81	37.7	7	-32958	400670	4103309	SE			SLD 11	10.24	Si
-369	30	-	4290.09	4349.81	37.7	7	-32984	697445	4320230	SE			SLV 11	6.19	Si
-493	30	-	4290.09	4349.81	37.7	7	-32519	1174706	4933071	P			SLU 2	4.2	Si
-493	30	-	4290.09	4349.81	37.7	7	-20672	1312343	4194960	P			SLU EX 1	3.2	Si
-493	30	-	4290.09	4349.81	37.7	7	-25426	914290	3850566	SE			SLD 11	4.21	Si
-493	30	-	4290.09	4349.81	37.7	7	-25446	1601589	3015799	SE			SLV 11	1.88	Si
-677	30	-	4290.09	4349.81	37.7	7	-23529	554689	5416107	P			SLU 2	9.76	Si
-677	30	-	4290.09	4349.81	37.7	7	-15178	619272	4742916	P			SLU EX 1	7.66	Si
-677	30	-	4290.09	4349.81	37.7	7	-18529	433078	4313717	SE			SLD 11	9.96	Si
-677	30	-	4290.09	4349.81	37.7	7	-18494	759421	3593747	SE			SLV 7	4.73	Si
-801	30	-	4290.09	4349.81	37.7	7	-29214	241920	4067870	P			SLU 6	16.81	Si
-801	30	-	4290.09	4349.81	37.7	7	-16048	270025	5319092	P			SLU EX 1	19.7	Si
-801	30	-	4290.09	4349.81	37.7	7	-19399	189164	3806584	SE			SLD 11	20.12	Si
-801	30	-	4290.09	4349.81	37.7	7	-19414	332158	4309459	SE			SLV 11	12.97	Si
-924	30	-	4290.09	4349.81	37.7	7	-18233	40989	1402417	P			SLU 6	34.21	Si
-924	30	-	4290.09	4349.81	37.7	7	-10241	45657	2660285	P			SLU EX 1	58.27	Si
-924	30	-	4290.09	4349.81	37.7	7	-12215	32334	1595186	SE			SLD 11	49.34	Si
-924	30	-	4290.09	4349.81	37.7	7	-12224	57043	2458164	SE			SLV 11	43.09	Si
-1047	30	-	4290.09	4349.81	37.7	7	-12465	5360	268257	P			SLU 6	50.05	Si
-1047	30	-	4290.09	4349.81	37.7	7	-7308	6027	514466	P			SLU EX 1	85.36	Si
-1047	30	-	4290.09	4349.81	37.7	7	-8506	2835	207888	SE			SLD 15	73.34	Si
-1047	30	-	4290.09	4349.81	37.7	7	-8523	4013	293704	SE			SLV 15	73.19	Si
-1170	30	-	4290.09	4349.81	0	0	-6729	0	0	P			SLU 6	70.79	Si
-1170	30	-	4290.09	4349.81	0	0	-4394	0	0	P			SLU EX 1	108.39	Si
-1170	30	-	4290.09	4349.81	0	0	-4805	0	0	SE			SLD 15	99.13	Si
-1170	30	-	4290.09	4349.81	0	0	-4811	0	0	SE			SLV 15	99.01	Si

Verifiche delle tensioni nella famiglia Rara

Tensione limite del calcestruzzo: 224.1
Tensione limite dell'acciaio: 3600
Coefficiente di omogeneizzazione impiegato: Es / Ec = 5.95

Quota	Filo	Ind.	Xp	Yp	Mx	My	N	Comb.	Sc,max	Mx	My	N	Comb.	Sf,max	Verifica
0	30	-	4290.09	4349.81	-1442621	-2154	-34442	SLE RA 2	-107.1	-1442621	-2154	-34442	SLE RA 2	767.8	Si
-123	30	-	4290.09	4349.81	-846048	-2616	-35313	SLE RA 2	-51.7	-846048	-2616	-35313	SLE RA 2	204.9	Si
-246	30	-	4290.09	4349.81	-249476	-3078	-36183	SLE RA 2	-22.8	-249476	-3078	-36183	SLE RA 2	-21.3	Si
-369	30	-	4290.09	4349.81	347097	-3539	-37054	SLE RA 2	-27.3	347097	-3539	-37054	SLE RA 2	-3.6	Si
-493	30	-	4290.09	4349.81	782913	-3612	-28570	SLE RA 2	-68.4	782913	-3612	-28570	SLE RA 2	456.5	Si

Quota	Filo	Ind.	Xp	Yp	Mx	My	N	Comb.	Sc,max	Mx	My	N	Comb.	Sf,max	Verifica
-677	30	-	4290.09	4349.81	369730	-1182	-20745	SLE RA 2	-22.9	369730	-1182	-20745	SLE RA 2	32.8	Si
-801	30	-	4290.09	4349.81	161272	-413	-21616	SLE RA 2	-14.1	161272	-413	-21616	SLE RA 2	-10.3	Si
-924	30	-	4290.09	4349.81	27329	39	-13521	SLE RA 2	-5.6	17	106	-10241	SLE RA 1	-20	Si
-1047	30	-	4290.09	4349.81	-3571	61	-9284	SLE RA 2	-3.2	14	37	-7308	SLE RA 1	-14.3	Si
-1170	30	-	4290.09	4349.81	0	0	-5072	SLE RA 2	-1.8	0	0	0		0	Si

Verifiche delle tensioni nella famiglia Quasi permanenti

Tensione limite del calcestruzzo: 168.1
Coefficiente di omogeneizzazione impiegato: Es * (1 + φ) / Ec = 5.95
Coefficiente di viscosità: φ = 0

Quota	Filo	Ind.	Xp	Yp	Mx	My	N	Comb.	Sc,max	Verifica
0	30	-	4290.09	4349.81	-865937	-3553	-30326	SLE QP 2	-61.9	Si
-123	30	-	4290.09	4349.81	-507972	-3310	-31197	SLE QP 2	-27.9	Si
-246	30	-	4290.09	4349.81	-150007	-3068	-32067	SLE QP 2	-17.1	Si
-369	30	-	4290.09	4349.81	207958	-2825	-32938	SLE QP 2	-19.9	Si
-493	30	-	4290.09	4349.81	469489	-2408	-25411	SLE QP 2	-28.8	Si
-677	30	-	4290.09	4349.81	221766	-662	-18518	SLE QP 2	-15.8	Si
-801	30	-	4290.09	4349.81	96742	-195	-19389	SLE QP 2	-10.6	Si
-924	30	-	4290.09	4349.81	16404	66	-12209	SLE QP 2	-4.7	Si
-1047	30	-	4290.09	4349.81	-2137	51	-8494	SLE QP 2	-2.9	Si
-1170	30	-	4290.09	4349.81	0	0	-4801	SLE QP 2	-1.7	Si

Verifiche delle fessure nella famiglia Esercizio frequente

Valore limite di controllo: 0.2 mm
Coefficiente di omogeneizzazione impiegato: Es / Ec = 5.95

Quota	Filo	Ind.	Xp	Yp	Mx	My	N	Comb.	Fess	Wka,mm	Wk,mm	Sm,cm	Verifica
0	30	-	4290.09	4349.81	-1010108	-3203	-31355	SLE FR 2	Si	0.2	0.039	30.5	Si
-123	30	-	4290.09	4349.81	-858	-4352	-25023	SLE FR 1	No				Si
-246	30	-	4290.09	4349.81	-805	-3053	-25894	SLE FR 1	No				Si
-369	30	-	4290.09	4349.81	-751	-1754	-26764	SLE FR 1	No				Si
-493	30	-	4290.09	4349.81	-649	-602	-20672	SLE FR 1	No				Si
-677	30	-	4290.09	4349.81	-181	117	-15178	SLE FR 1	No				Si
-801	30	-	4290.09	4349.81	-54	130	-16048	SLE FR 1	No				Si
-924	30	-	4290.09	4349.81	17	106	-10241	SLE FR 1	No				Si
-1047	30	-	4290.09	4349.81	14	37	-7308	SLE FR 1	No				Si
-1170	30	-	4290.09	4349.81	0	0	-4394	SLE FR 1	No				Si

Verifiche delle fessure nella famiglia Esercizio quasi permanente

Valore limite di controllo: 0.2 mm
Coefficiente di omogeneizzazione impiegato: Es * (1 + φ) / Ec = 5.95
Coefficiente di viscosità: φ = 0

Quota	Filo	Ind.	Xp	Yp	Mx	My	N	Comb.	Fess	Wka,mm	Wk,mm	Sm,cm	Verifica
0	30	-	4290.09	4349.81	-865937	-3553	-30326	SLE QP 2	Si	0.2	0.029	29.9	Si
-123	30	-	4290.09	4349.81	-858	-4352	-25023	SLE QP 1	No				Si
-246	30	-	4290.09	4349.81	-805	-3053	-25894	SLE QP 1	No				Si
-369	30	-	4290.09	4349.81	-751	-1754	-26764	SLE QP 1	No				Si
-493	30	-	4290.09	4349.81	-649	-602	-20672	SLE QP 1	No				Si
-677	30	-	4290.09	4349.81	-181	117	-15178	SLE QP 1	No				Si
-801	30	-	4290.09	4349.81	-54	130	-16048	SLE QP 1	No				Si
-924	30	-	4290.09	4349.81	17	106	-10241	SLE QP 1	No				Si
-1047	30	-	4290.09	4349.81	14	37	-7308	SLE QP 1	No				Si
-1170	30	-	4290.09	4349.81	0	0	-4394	SLE QP 1	No				Si

Verifiche a taglio

Quota	Filo	Ind.	Xp	Yp	Tx	Ty	N	MultT	Vrd,4.1.23	VRsd,4.1.27	VRcd,4.1.28	Cotg	Comb.	C.S.	Verifica
0	30	-	4290.09	4349.81	11	7266	-39587		16285	16918	123845	1	SLU 2	2.33	Si
0	30	-	4290.09	4349.81	-11	8103	-24153		14288	19456	178930	1	SLU EX 1	2.4	Si
0	30	-	4290.09	4349.81	667	5665	-30346		15089	16918	122051	1	SLD 11	2.97	Si
0	30	-	4290.09	4349.81	1567	9913	-30372		15093	16918	122056	1	SLV 11	1.69	Si
-123	30	-	4290.09	4349.81	11	7266	-39587		16285	16918	123845	1	SLU 2	2.33	Si
-123	30	-	4290.09	4349.81	-11	8103	-24153		14288	19456	178930	1	SLU EX 1	2.4	Si
-123	30	-	4290.09	4349.81	667	5665	-30346		15089	16918	122051	1	SLD 11	2.97	Si
-123	30	-	4290.09	4349.81	1567	9913	-30372		15093	16918	122056	1	SLV 11	1.69	Si
-246	30	-	4290.09	4349.81	11	7266	-39587		16370	17029	124655	1	SLU 2	2.34	Si
-246	30	-	4290.09	4349.81	-11	8103	-24153		14359	19583	180100	1	SLU EX 1	2.42	Si
-246	30	-	4290.09	4349.81	667	5665	-30346		15166	17029	122850	1	SLD 11	2.99	Si
-246	30	-	4290.09	4349.81	1567	9913	-30372		15169	17029	122855	1	SLV 11	1.7	Si
-369	30	-	4290.09	4349.81	11	7266	-39587		16370	17029	124655	1	SLU 2	2.34	Si
-369	30	-	4290.09	4349.81	-11	8103	-24153		14359	19583	180100	1	SLU EX 1	2.42	Si
-369	30	-	4290.09	4349.81	667	5665	-30346		15166	17029	122850	1	SLD 11	2.99	Si
-369	30	-	4290.09	4349.81	1567	9913	-30372		15169	17029	122855	1	SLV 11	1.7	Si
-493	30	-	4290.09	4349.81	-18	-3390	-32359		15428	17029	123243	1	SLU 2	5.02	Si
-493	30	-	4290.09	4349.81	-4	-3790	-20512		13885	19583	179388	1	SLU EX 1	5.17	Si
-493	30	-	4290.09	4349.81	-264	-2618	-25266		14504	17029	121857	1	SLD 11	6.47	Si
-493	30	-	4290.09	4349.81	-606	-4561	-25286		14507	17029	121861	1	SLV 11	3.7	Si
-677	30	-	4290.09	4349.81	-9	-2539	-23477		14271	17029	121507	1	SLU 2	6.71	Si
-677	30	-	4290.09	4349.81	0	-2836	-15126		13184	19583	178336	1	SLU EX 1	6.91	Si
-677	30	-	4290.09	4349.81	-213	-1969	-18477		13620	17029	120531	1	SLD 11	8.6	Si
-677	30	-	4290.09	4349.81	-495	-3438	-18491		13622	17029	120533	1	SLV 11	4.9	Si
-801	30	-	4290.09	4349.81	-9	-2539	-23477		14271	17029	121507	1	SLU 2	6.71	Si
-801	30	-	4290.09	4349.81	0	-2836	-15126		13184	19583	178336	1	SLU EX 1	6.91	Si
-801	30	-	4290.09	4349.81	-213	-1969	-18477		13620	17029	120531	1	SLD 11	8.6	Si
-801	30	-	4290.09	4349.81	-495	-3438	-18491		13622	17029	120533	1	SLV 11	4.9	Si
-924	30	-	4290.09	4349.81	-1	-457	-17740		13524	17029	120387	1	SLU 6	37.27	Si
-924	30	-	4290.09	4349.81	1	-510	-9862		12498	19583	177308	1	SLU EX 1	38.43	Si
-924	30	-	4290.09	4349.81	-42	-356	-11836		12755	17029	119233	1	SLD 11	47.51	Si
-924	30	-	4290.09	4349.81	-98	-623	-11844		12756	17029	119235	1	SLV 11	27.01	Si
-1047	30	-	4290.09	4349.81	1	56	-10135		12534	17029	118901	1	SLU 2	303.68	Si

Quota	Filo	Ind.	Xp	Yp	Tx	Ty	N	MultT	Vrd,4.1.23	VRsd,4.1.27	VRcd,4.1.28	Cotg	Comb.	C.S.	Verifica
-1047	30	-	4290.09	4349.81	0	63	-7171		12147	19583	176782	1	SLU EX 1	310.82	Si
-1047	30	-	4290.09	4349.81	3	42	-8361		12302	17029	118554	1	SLD 11	400.56	Si
-1047	30	-	4290.09	4349.81	6	73	-8366		12303	17029	118555	1	SLV 11	231.81	Si
-1170	30	-	4290.09	4349.81	0	0	-4200		11706	16918	116976	1	SLU 1	100	Si
-1170	30	-	4290.09	4349.81	0	0	-4200		11706	19456	175057	1	SLU EX 1	100	Si
-1170	30	-	4290.09	4349.81	0	0	-4602		11758	16918	117054	1	SLD 1	100	Si
-1170	30	-	4290.09	4349.81	0	0	-4596		11757	16918	117053	1	SLV 1	100	Si

Verifica di capacità portante per la famiglia SLU

Verifica di capacità portante verticale riferita al palo singolo

Fattore di correlazione ψ scelto in base alla conoscenza del sito = 1.7
Peso del palo = 8482.3 * 1.3

Filo	Ind.	Xp	Yp	γR laterale	γR punta	Pl,d	Pp,d	Def.vol	Comb.	Cnd	N	Ed	Rd	C.S.	Verifica
30	-	4290.09	4349.81	1.15	1.35	378966	12320		SLU 6	lungo	-46833	-57860	391285	6.76	Si

Verifica di capacità portante trasversale riferita al palo singolo

Fattore di correlazione ψ scelto in base alla conoscenza del sito = 1.7

Filo	Ind.	Xp	Yp	γR trasversale	LRF	Comb.	Cnd	Rd	Ed (T)	C.S.	Verifica
30	-	4290.09	4349.81	1.3	1	SLU 2	D	19023.5	7265.7	2.62	Si

Parametri utilizzati nel calcolo

Filo	Ind.	Xp	Yp	Tipo	L.frs.	L.tr.lib.	L.tr.inf.	Coes.	Fi	P.spec	T max	Mecc.coll.	M.plast.sup.	Quota sup.	N sup.	M.plast.inf.	Quota inf.	N inf.
30	-	4290.09	4349.81	TI	60	0	830	0.94	35	0.001	42042	PLV	6087014	-50	-39799	3837090	-398.7	-42051

Verifica di capacità portante per la famiglia SLU EX

Verifica di capacità portante verticale riferita al palo singolo

Fattore di correlazione ψ scelto in base alla conoscenza del sito = 1.7
Peso del palo = 8482.3 * 1

Filo	Ind.	Xp	Yp	γR laterale	γR punta	Pl,d	Pp,d	Def.vol	Comb.	Cnd	N	Ed	Rd	C.S.	Verifica
30	-	4290.09	4349.81	1	1	435810	16632		SLU EX 1	lungo	-24153	-32635	452442	13.86	Si

Verifica di capacità portante trasversale riferita al palo singolo

Fattore di correlazione ψ scelto in base alla conoscenza del sito = 1.7

Filo	Ind.	Xp	Yp	γR trasversale	LRF	Comb.	Cnd	Rd	Ed (T)	C.S.	Verifica
30	-	4290.09	4349.81	1	1	SLU EX 1	D	24117.5	8102.5	2.98	Si

Parametri utilizzati nel calcolo

Filo	Ind.	Xp	Yp	Tipo	L.frs.	L.tr.lib.	L.tr.inf.	Coes.	Fi	P.spec	T max	Mecc.coll.	M.plast.sup.	Quota sup.	N sup.	M.plast.inf.	Quota inf.	N inf.
30	-	4290.09	4349.81	TI	60	0	830	0.94	35	0.001	41000	PLV	5913826	-50	-24365	3591787	-394.3	-26587

Verifica di capacità portante per la famiglia SLD

Verifica di capacità portante verticale riferita al palo singolo

Fattore di correlazione ψ scelto in base alla conoscenza del sito = 1.7
Peso del palo = 8482.3 * 1

Filo	Ind.	Xp	Yp	γR laterale	γR punta	Pl,d	Pp,d	Def.vol	Comb.	Cnd	N	Ed	Rd	C.S.	Verifica
30	-	4290.09	4349.81	1.15	1.35	378966	12320		SLD 15	lungo	-30392	-38874	391285	10.07	Si

Verifica di capacità portante per la famiglia SLV

Verifica di capacità portante verticale riferita al palo singolo

Fattore di correlazione ψ scelto in base alla conoscenza del sito = 1.7
Peso del palo = 8482.3 * 1

Filo	Ind.	Xp	Yp	γR laterale	γR punta	Pl,d	Pp,d	Def.vol	Comb.	Cnd	N	Ed	Rd	C.S.	Verifica
30	-	4290.09	4349.81	1.15	1.35	378966	12320		SLV 15	lungo	-30479	-38961	391285	10.04	Si

Verifica di capacità portante trasversale riferita al palo singolo

Fattore di correlazione ψ scelto in base alla conoscenza del sito = 1.7

Filo	Ind.	Xp	Yp	γR trasversale	LRF	Comb.	Cnd	Rd	Ed (T)	C.S.	Verifica
30	-	4290.09	4349.81	1.3	1	SLV 11	D	15442.4	10036.5	1.54	Si

Parametri utilizzati nel calcolo

Filo	Ind.	Xp	Yp	Tipo	L.frs.	L.tr.lib.	L.tr.inf.	Coes.	Fi	P.spec	T max	Mecc.coll.	M.plast.sup.	Quota sup.	N sup.	M.plast.inf.	Quota inf.	N inf.
30	-	4290.09	4349.81	TI	60	0	830	0.94	35	0.001	34128	PLV	4489377	-50	-30584	2773146	-364.1	-32593

Trivellato D60 filo 31

Verifiche effettuate secondo D.M. 17-01-18, Circolare 7 21-01-19

Caratteristiche geometriche

Diametro 60
Lunghezza 1200

Caratteristiche dei materiali

Calcestruzzo C35/45 Rck 450
Acciaio B450C fyk,m: 4500

Verifiche a pressoflessione

Quota	Filo	Ind.	Xp	Yp	As	Cop.	N	|M|	Mu	Dom.	SnmFcd	MultM	Comb.	C.S.	Verifica
0	31	-	4290.09	4509.78	74.33	7.3	-52847	2128123	7151589	P			SLU 2	3.36	Si

Quota	Filo	Ind.	Xp	Yp	As	Cop.	N	|M|	Mu	Dom.	SnmFcd	MultM	Comb.	C.S.	Verifica
0	31	-	4290.09	4509.78	74.33	7.3	-39037	2380771	6782704	P			SLU EX 1	2.85	Si
0	31	-	4290.09	4509.78	74.33	7.3	-40256	1686106	5644441	SE			SLD 11	3.35	Si
0	31	-	4290.09	4509.78	74.33	7.3	-47307	2994105	5173347	SE			SLV 11	1.73	Si
-123	31	-	4290.09	4509.78	112.03	7	-61233	1241711	8380992	P			SLU 6	6.75	Si
-123	31	-	4290.09	4509.78	112.03	7	-39908	1391666	9196067	P			SLU EX 1	6.61	Si
-123	31	-	4290.09	4509.78	112.03	7	-41127	990020	6610530	SE			SLD 11	6.68	Si
-123	31	-	4290.09	4509.78	112.03	7	-48178	1763143	6905138	SE			SLV 11	3.92	Si
-246	31	-	4290.09	4509.78	37.7	7	-62365	358533	3218261	P			SLU 6	8.98	Si
-246	31	-	4290.09	4509.78	37.7	7	-40778	402652	4465010	P			SLU EX 1	11.09	Si
-246	31	-	4290.09	4509.78	37.7	7	-41997	294531	3217911	SE			SLD 11	10.93	Si
-246	31	-	4290.09	4509.78	37.7	7	-49049	533658	3968138	SE			SLV 11	7.44	Si
-369	31	-	4290.09	4509.78	37.7	7	-63497	524764	4063273	P			SLU 6	7.74	Si
-369	31	-	4290.09	4509.78	37.7	7	-41649	586732	5104804	P			SLU EX 1	8.7	Si
-369	31	-	4290.09	4509.78	37.7	7	-42830	404336	3756432	SE			SLD 7	9.29	Si
-369	31	-	4290.09	4509.78	37.7	7	-49830	704439	4232870	SE			SLV 7	6.01	Si
-493	31	-	4290.09	4509.78	37.7	7	-42697	1169759	5328090	P			SLU 2	4.55	Si
-493	31	-	4290.09	4509.78	37.7	7	-32097	1308354	4744545	P			SLU EX 1	3.63	Si
-493	31	-	4290.09	4509.78	37.7	7	-33003	914827	4285169	SE			SLD 7	4.68	Si
-493	31	-	4290.09	4509.78	37.7	7	-38377	1610709	3553527	SE			SLV 7	2.21	Si
-677	31	-	4290.09	4509.78	37.7	7	-35262	550355	5248316	P			SLU 6	9.54	Si
-677	31	-	4290.09	4509.78	37.7	7	-23232	616075	5345829	P			SLU EX 1	8.68	Si
-677	31	-	4290.09	4509.78	37.7	7	-23871	432472	4318558	SE			SLD 7	9.99	Si
-677	31	-	4290.09	4509.78	37.7	7	-27659	763585	4285792	SE			SLV 7	5.61	Si
-801	31	-	4290.09	4509.78	37.7	7	-36394	239716	3533088	P			SLU 6	14.74	Si
-801	31	-	4290.09	4509.78	37.7	7	-24102	268372	4708748	P			SLU EX 1	17.55	Si
-801	31	-	4290.09	4509.78	37.7	7	-24741	188734	3377041	SE			SLD 7	17.89	Si
-801	31	-	4290.09	4509.78	37.7	7	-28529	333662	4057351	SE			SLV 7	12.16	Si
-924	31	-	4290.09	4509.78	37.7	7	-22463	40259	1118056	P			SLU 6	27.77	Si
-924	31	-	4290.09	4509.78	37.7	7	-14986	45106	1877691	P			SLU EX 1	41.63	Si
-924	31	-	4290.09	4509.78	37.7	7	-15374	31940	1295997	SE			SLD 11	40.58	Si
-924	31	-	4290.09	4509.78	37.7	7	-17622	56711	1863467	SE			SLV 11	32.86	Si
-1047	31	-	4290.09	4509.78	37.7	7	-15013	5481	227764	P			SLU 6	41.55	Si
-1047	31	-	4290.09	4509.78	37.7	7	-10167	6122	375673	P			SLU EX 1	61.36	Si
-1047	31	-	4290.09	4509.78	37.7	7	-10401	4143	248471	SE			SLD 11	59.98	Si
-1047	31	-	4290.09	4509.78	37.7	7	-11755	7121	377883	SE			SLV 11	53.07	Si
-1170	31	-	4290.09	4509.78	0	0	-7602	0	0	P			SLU 6	62.66	Si
-1170	31	-	4290.09	4509.78	0	0	-5374	0	0	P			SLU EX 1	88.63	Si
-1170	31	-	4290.09	4509.78	0	0	-5454	0	0	SE			SLD 11	87.33	Si
-1170	31	-	4290.09	4509.78	0	0	-5918	0	0	SE			SLV 11	80.48	Si

Verifiche delle tensioni nella famiglia Rara

Tensione limite del calcestruzzo: 224.1
Tensione limite dell'acciaio: 3600
Coefficiente di omogeneizzazione impiegato: Es / Ec = 5.95

Quota	Filo	Ind.	Xp	Yp	Mx	My	N	Comb.	Sc,max	Mx	My	N	Comb.	Sf,max	Verifica
0	31	-	4290.09	4509.78	-1415189	492	-43292	SLE RA 2	-102.8	-1415189	492	-43292	SLE RA 2	627.7	Si
-123	31	-	4290.09	4509.78	-826836	1789	-44162	SLE RA 2	-50.2	-826836	1789	-44162	SLE RA 2	138.6	Si
-246	31	-	4290.09	4509.78	-238483	3085	-45033	SLE RA 2	-25.2	-238483	3085	-45033	SLE RA 2	-40.8	Si
-369	31	-	4290.09	4509.78	349870	4382	-45903	SLE RA 2	-30.3	349870	4382	-45903	SLE RA 2	-20.4	Si
-493	31	-	4290.09	4509.78	779070	5036	-35363	SLE RA 2	-63.5	779070	5036	-35363	SLE RA 2	315.4	Si
-677	31	-	4290.09	4509.78	366706	1797	-25534	SLE RA 2	-24.4	366706	1797	-25534	SLE RA 2	22.8	Si
-801	31	-	4290.09	4509.78	159715	670	-26404	SLE RA 2	-15.6	159715	670	-26404	SLE RA 2	-20	Si
-924	31	-	4290.09	4509.78	26813	-8	-16342	SLE RA 2	-6.5	-201	124	-10250	SLE RA 1	-20	Si
-1047	31	-	4290.09	4509.78	-3656	-72	-10984	SLE RA 2	-3.8	-23	40	-7313	SLE RA 1	-14.3	Si
-1170	31	-	4290.09	4509.78	0	0	-5654	SLE RA 2	-2	0	0	0		0	Si

Verifiche delle tensioni nella famiglia Quasi permanenti

Tensione limite del calcestruzzo: 168.1
Coefficiente di omogeneizzazione impiegato: Es * (1 + φ) / Ec = 5.95
Coefficiente di viscosità: φ = 0

Quota	Filo	Ind.	Xp	Yp	Mx	My	N	Comb.	Sc,max	Verifica
0	31	-	4290.09	4509.78	-844844	-2352	-35648	SLE QP 2	-59	Si
-123	31	-	4290.09	4509.78	-493198	-936	-36518	SLE QP 2	-28.9	Si
-246	31	-	4290.09	4509.78	-141551	480	-37389	SLE QP 2	-18.5	Si
-369	31	-	4290.09	4509.78	210095	1897	-38259	SLE QP 2	-21.7	Si
-493	31	-	4290.09	4509.78	466540	2844	-29495	SLE QP 2	-30	Si
-677	31	-	4290.09	4509.78	219442	1171	-21398	SLE QP 2	-16.6	Si
-801	31	-	4290.09	4509.78	95545	477	-22268	SLE QP 2	-11.5	Si
-924	31	-	4290.09	4509.78	16007	45	-13905	SLE QP 2	-5.3	Si
-1047	31	-	4290.09	4509.78	-2203	-28	-9516	SLE QP 2	-3.2	Si
-1170	31	-	4290.09	4509.78	0	0	-5151	SLE QP 2	-1.8	Si

Verifiche delle fessure nella famiglia Esercizio frequente

Valore limite di controllo: 0.2 mm
Coefficiente di omogeneizzazione impiegato: Es / Ec = 5.95

Quota	Filo	Ind.	Xp	Yp	Mx	My	N	Comb.	Fess	Wka,mm	Wk,mm	Sm,cm	Verifica
0	31	-	4290.09	4509.78	-987430	-1641	-37559	SLE FR 2	Si	0.2	0.03	29.5	Si
-123	31	-	4290.09	4509.78	7259	-5022	-25052	SLE FR 1	No				Si
-246	31	-	4290.09	4509.78	3846	-3427	-25922	SLE FR 1	No				Si
-369	31	-	4290.09	4509.78	433	-1832	-26793	SLE FR 1	No				Si
-493	31	-	4290.09	4509.78	-2256	-443	-20694	SLE FR 1	No				Si
-677	31	-	4290.09	4509.78	-1453	233	-15193	SLE FR 1	No				Si
-801	31	-	4290.09	4509.78	-710	188	-16064	SLE FR 1	No				Si
-924	31	-	4290.09	4509.78	-201	124	-10250	SLE FR 1	No				Si
-1047	31	-	4290.09	4509.78	-23	40	-7313	SLE FR 1	No				Si
-1170	31	-	4290.09	4509.78	0	0	-4396	SLE FR 1	No				Si

Verifiche delle fessure nella famiglia Esercizio quasi permanente

Valore limite di controllo: 0.2 mm
Coefficiente di omogeneizzazione impiegato: Es * (1 + φ) / Ec = 5.95
Coefficiente di viscosità: φ = 0

Quota	Filo	Ind.	Xp	Yp	Mx	My	N	Comb.	Fess	Wka,mm	Wk,mm	Sm,cm	Verifica
0	31	-	4290.09	4509.78	-844844	-2352	-35648	SLE QP 2	Si	0.2	0.022	28.8	Si
-123	31	-	4290.09	4509.78	7259	-5022	-25052	SLE QP 1	No				Si
-246	31	-	4290.09	4509.78	3846	-3427	-25922	SLE QP 1	No				Si
-369	31	-	4290.09	4509.78	433	-1832	-26793	SLE QP 1	No				Si
-493	31	-	4290.09	4509.78	-2256	-443	-20694	SLE QP 1	No				Si
-677	31	-	4290.09	4509.78	-1453	233	-15193	SLE QP 1	No				Si
-801	31	-	4290.09	4509.78	-710	188	-16064	SLE QP 1	No				Si
-924	31	-	4290.09	4509.78	-201	124	-10250	SLE QP 1	No				Si
-1047	31	-	4290.09	4509.78	-23	40	-7313	SLE QP 1	No				Si
-1170	31	-	4290.09	4509.78	0	0	-4396	SLE QP 1	No				Si

Verifiche a taglio

Quota	Filo	Ind.	Xp	Yp	Tx	Ty	N	MultT	Vrd,4.1.23	VRsd,4.1.27	VRcd,4.1.28	Cotg	Comb.	C.S.	Verifica
0	31	-	4290.09	4509.78	-9	7180	-52847		18001	16918	126419	1	SLU 2	2.51	Si
0	31	-	4290.09	4509.78	13	8031	-39037		16214	19456	181819	1	SLU EX 1	2.42	Si
0	31	-	4290.09	4509.78	777	5599	-40256		16372	16918	123975	1	SLD 11	2.99	Si
0	31	-	4290.09	4509.78	1839	9827	-47307		17284	16918	125344	1	SLV 11	1.73	Si
-123	31	-	4290.09	4509.78	-9	7180	-52847		18001	16918	126419	1	SLU 2	2.51	Si
-123	31	-	4290.09	4509.78	13	8031	-39037		16214	19456	181819	1	SLU EX 1	2.42	Si
-123	31	-	4290.09	4509.78	777	5599	-40256		16372	16918	123975	1	SLD 11	2.99	Si
-123	31	-	4290.09	4509.78	1839	9827	-47307		17284	16918	125344	1	SLV 11	1.73	Si
-246	31	-	4290.09	4509.78	-9	7180	-52847		18097	17029	127246	1	SLU 2	2.52	Si
-246	31	-	4290.09	4509.78	13	8031	-39037		16298	19583	183008	1	SLU EX 1	2.44	Si
-246	31	-	4290.09	4509.78	777	5599	-40256		16457	17029	124786	1	SLD 11	3.01	Si
-246	31	-	4290.09	4509.78	1839	9827	-47307		17375	17029	126163	1	SLV 11	1.74	Si
-369	31	-	4290.09	4509.78	-9	7180	-52847		18097	17029	127246	1	SLU 2	2.52	Si
-369	31	-	4290.09	4509.78	13	8031	-39037		16298	19583	183008	1	SLU EX 1	2.44	Si
-369	31	-	4290.09	4509.78	777	5599	-40256		16457	17029	124786	1	SLD 11	3.01	Si
-369	31	-	4290.09	4509.78	1839	9827	-47307		17375	17029	126163	1	SLV 11	1.74	Si
-493	31	-	4290.09	4509.78	29	-3385	-42537		16754	17029	125232	1	SLU 2	5.03	Si
-493	31	-	4290.09	4509.78	34	-3786	-31937		15373	19583	181621	1	SLU EX 1	5.17	Si
-493	31	-	4290.09	4509.78	358	-2613	-32843		15491	17029	123338	1	SLD 7	6.46	Si
-493	31	-	4290.09	4509.78	840	-4555	-38217		16191	17029	124387	1	SLV 7	3.68	Si
-677	31	-	4290.09	4509.78	14	-2524	-30652		15206	17029	122909	1	SLU 2	6.75	Si
-677	31	-	4290.09	4509.78	12	-2823	-23180		14233	19583	179910	1	SLU EX 1	6.94	Si
-677	31	-	4290.09	4509.78	295	-1957	-23819		14316	17029	121574	1	SLD 7	8.6	Si
-677	31	-	4290.09	4509.78	694	-3421	-27607		14809	17029	122314	1	SLV 7	4.88	Si
-801	31	-	4290.09	4509.78	14	-2524	-30652		15206	17029	122909	1	SLU 2	6.75	Si
-801	31	-	4290.09	4509.78	12	-2823	-23180		14233	19583	179910	1	SLU EX 1	6.94	Si
-801	31	-	4290.09	4509.78	295	-1957	-23819		14316	17029	121574	1	SLD 7	8.6	Si
-801	31	-	4290.09	4509.78	694	-3421	-27607		14809	17029	122314	1	SLV 7	4.88	Si
-924	31	-	4290.09	4509.78	1	-452	-19009		13689	17029	120634	1	SLU 2	37.69	Si
-924	31	-	4290.09	4509.78	-1	-505	-14606		13116	19583	178235	1	SLU EX 1	38.75	Si
-924	31	-	4290.09	4509.78	-48	-352	-14995		13166	17029	119850	1	SLD 11	47.91	Si
-924	31	-	4290.09	4509.78	-114	-618	-17243		13459	17029	120289	1	SLV 11	27.11	Si
-1047	31	-	4290.09	4509.78	-1	57	-14835		13146	17029	119819	1	SLU 6	297.18	Si
-1047	31	-	4290.09	4509.78	-2	64	-10030		12520	19583	177340	1	SLU EX 1	305.97	Si
-1047	31	-	4290.09	4509.78	-3	43	-10257		12549	17029	118925	1	SLD 7	392.12	Si
-1047	31	-	4290.09	4509.78	-7	74	-11601		12724	17029	119187	1	SLV 7	227.69	Si
-1170	31	-	4290.09	4509.78	0	0	-4202		11706	16918	116977	1	SLU 1	100	Si
-1170	31	-	4290.09	4509.78	0	0	-5180		11832	19456	175247	1	SLU EX 1	100	Si
-1170	31	-	4290.09	4509.78	0	0	-4882		11794	16918	117109	1	SLD 1	100	Si
-1170	31	-	4290.09	4509.78	0	0	-4768		11779	16918	117086	1	SLV 1	100	Si

Verifica di capacità portante per la famiglia SLU

Verifica di capacità portante verticale riferita al palo singolo

Fattore di correlazione ψ scelto in base alla conoscenza del sito = 1.7
Peso del palo = 8482.3 * 1.3

Filo	Ind.	Xp	Yp	γR laterale	γR punta	Pl,d	Pp,d	Def.vol	Comb.	Cnd	N	Ed	Rd	C.S.	Verifica
31	-	4290.09	4509.78	1.15	1.35	378966	12320		SLU 6	lungo	-60101	-71128	391285	5.5	Si

Verifica di capacità portante trasversale riferita al palo singolo

Fattore di correlazione ψ scelto in base alla conoscenza del sito = 1.7

Filo	Ind.	Xp	Yp	γR trasversale	LRF	Comb.	Cnd	Rd	Ed (T)	C.S.	Verifica
31	-	4290.09	4509.78	1.3	1	SLU 2	D	19424.1	7179.7	2.71	Si

Parametri utilizzati nel calcolo

Filo	Ind.	Xp	Yp	Tipo	L.frs.	L.tr.lib.	L.tr.inf.	Coes.	Fi	P.spec	T max	Mecc.coll.	M.plast.sup.	Quota sup.	N sup.	M.plast.inf.	Quota inf.	N inf.
31	-	4290.09	4509.78	TI	60	0	830	0.94	35	0.001	42927	PLV	6235815	-50	-53059	4047843	-402.3	-55338

Verifica di capacità portante per la famiglia SLU EX

Verifica di capacità portante verticale riferita al palo singolo

Fattore di correlazione ψ scelto in base alla conoscenza del sito = 1.7
Peso del palo = 8482.3 * 1

Filo	Ind.	Xp	Yp	γR laterale	γR punta	Pl,d	Pp,d	Def.vol	Comb.	Cnd	N	Ed	Rd	C.S.	Verifica
31	-	4290.09	4509.78	1	1	435810	16632		SLU EX 1	lungo	-39037	-47519	452442	9.52	Si

Verifica di capacità portante trasversale riferita al palo singolo

Fattore di correlazione ψ scelto in base alla conoscenza del sito = 1.7

Filo	Ind.	Xp	Yp	γR trasversale	LRF	Comb.	Cnd	Rd	Ed (T)	C.S.	Verifica
31	-	4290.09	4509.78	1	1	SLU EX 1	D	24708.8	8031.3	3.08	Si

Parametri utilizzati nel calcolo

Filo	Ind.	Xp	Yp	Tipo	L.frs.	L.tr.lib.	L.tr.inf.	Coes.	Fi	P.spec	T max	Mecc.coll.	M.plast.sup.	Quota sup.	N sup.	M.plast.inf.	Quota inf.	N inf.
31	-	4290.09	4509.78	TI	60	0	830	0.94	35	0.001	42005	PLV	6080848	-50	-39249	3828357	-398.5	-41501

Verifica di capacità portante per la famiglia SLD

Verifica di capacità portante verticale riferita al palo singolo

Fattore di correlazione ψ scelto in base alla conoscenza del sito = 1.7
Peso del palo = 8482.3 * 1

Filo	Ind.	Xp	Yp	γR laterale	γR punta	Pl,d	Pp,d	Def.vol	Comb.	Cnd	N	Ed	Rd	C.S.	Verifica
31	-	4290.09	4509.78	1.15	1.35	378966	12320		SLD 11	lungo	-40256	-48738	391285	8.03	Si

Verifica di capacità portante per la famiglia SLV

Verifica di capacità portante verticale riferita al palo singolo

Fattore di correlazione ψ scelto in base alla conoscenza del sito = 1.7
Peso del palo = 8482.3 * 1

Filo	Ind.	Xp	Yp	γR laterale	γR punta	Pl,d	Pp,d	Def.vol	Comb.	Cnd	N	Ed	Rd	C.S.	Verifica
31	-	4290.09	4509.78	1.15	1.35	378966	12320		SLV 11	lungo	-47307	-55790	391285	7.01	Si

Verifica di capacità portante trasversale riferita al palo singolo

Fattore di correlazione ψ scelto in base alla conoscenza del sito = 1.7

Filo	Ind.	Xp	Yp	γR trasversale	LRF	Comb.	Cnd	Rd	Ed (T)	C.S.	Verifica
31	-	4290.09	4509.78	1.3	1	SLV 11	D	16077.3	9997.6	1.61	Si

Parametri utilizzati nel calcolo

Filo	Ind.	Xp	Yp	Tipo	L.frs.	L.tr.lib.	L.tr.inf.	Coes.	Fi	P.spec	T max	Mecc.coll.	M.plast.sup.	Quota sup.	N sup.	M.plast.inf.	Quota inf.	N inf.
31	-	4290.09	4509.78	TI	60	0	830	0.94	35	0.001	35531	PLV	4726332	-50	-47520	3041690	-370.5	-49573

Trivellato D60 filo 34

Verifiche effettuate secondo D.M. 17-01-18, Circolare 7 21-01-19

Caratteristiche geometriche

Diametro 60
Lunghezza 1200

Caratteristiche dei materiali

Calcestruzzo C35/45 Rck 450
Acciaio B450C fyk,m: 4500

Verifiche a pressoflessione

Quota	Filo	Ind.	Xp	Yp	As	Cop.	N	|M|	Mu	Dom.	SnmFcd	MultM	Comb.	C.S.	Verifica
0	34	-	4880.11	4189.84	74.33	7.3	-24003	2707983	6263400	P			SLU 2	2.31	Si
0	34	-	4880.11	4189.84	74.33	7.3	-9665	2951902	5855541	P			SLU EX 1	1.98	Si
0	34	-	4880.11	4189.84	74.33	7.3	-18150	2303316	4564732	SE			SLD 11	1.98	Si
0	34	-	4880.11	4189.84	74.33	7.3	-13179	4125756	4251040	SE			SLV 11	1.03	Si
-123	34	-	4880.11	4189.84	112.03	7	-24874	1636929	8986768	P			SLU 2	5.49	Si
-123	34	-	4880.11	4189.84	112.03	7	-10535	1779262	8469385	P			SLU EX 1	4.76	Si
-123	34	-	4880.11	4189.84	112.03	7	-19021	1398815	7018523	SE			SLD 11	5.02	Si
-123	34	-	4880.11	4189.84	112.03	7	-14050	2501114	6277413	SE			SLV 11	2.51	Si
-246	34	-	4880.11	4189.84	37.7	7	-32144	578396	5370896	P			SLU 6	9.29	Si
-246	34	-	4880.11	4189.84	37.7	7	-11406	607107	4371156	P			SLU EX 1	7.2	Si
-246	34	-	4880.11	4189.84	37.7	7	-19891	496558	4302223	SE			SLD 11	8.66	Si
-246	34	-	4880.11	4189.84	37.7	7	-14920	877239	3083366	SE			SLV 11	3.51	Si
-369	34	-	4880.11	4189.84	37.7	7	-33276	513344	5233072	P			SLU 6	10.19	Si
-369	34	-	4880.11	4189.84	37.7	7	-12276	567574	4548232	P			SLU EX 1	8.01	Si
-369	34	-	4880.11	4189.84	37.7	7	-20432	421776	4321886	SE			SLD 7	10.25	Si
-369	34	-	4880.11	4189.84	37.7	7	-15017	754891	3266589	SE			SLV 7	4.33	Si
-493	34	-	4880.11	4189.84	37.7	7	-20557	1302094	4197052	P			SLU 2	3.22	Si
-493	34	-	4880.11	4189.84	37.7	7	-9551	1433024	3544801	P			SLU EX 1	2.47	Si
-493	34	-	4880.11	4189.84	37.7	7	-16064	1085542	2950517	SE			SLD 11	2.72	Si
-493	34	-	4880.11	4189.84	37.7	7	-11654	1948041	2489553	SE			SLV 7	1.28	Si
-677	34	-	4880.11	4189.84	37.7	7	-15097	632887	4697148	P			SLU 2	7.42	Si
-677	34	-	4880.11	4189.84	37.7	7	-7338	695178	3807592	P			SLU EX 1	5.48	Si
-677	34	-	4880.11	4189.84	37.7	7	-11930	530228	3451600	SE			SLD 11	6.51	Si
-677	34	-	4880.11	4189.84	37.7	7	-8821	947923	2645344	SE			SLV 7	2.79	Si
-801	34	-	4880.11	4189.84	37.7	7	-20041	280183	5093755	P			SLU 6	18.18	Si
-801	34	-	4880.11	4189.84	37.7	7	-8209	306864	4892840	P			SLU EX 1	15.94	Si
-801	34	-	4880.11	4189.84	37.7	7	-12800	234783	4320457	SE			SLD 11	18.4	Si
-801	34	-	4880.11	4189.84	37.7	7	-9692	419004	3499608	SE			SLV 7	8.35	Si
-924	34	-	4880.11	4189.84	37.7	7	-12829	51524	2449777	P			SLU 6	47.55	Si
-924	34	-	4880.11	4189.84	37.7	7	-5622	55862	4477699	P			SLU EX 1	80.16	Si
-924	34	-	4880.11	4189.84	37.7	7	-10477	10764	640918	SE			SLD 10	59.54	Si
-924	34	-	4880.11	4189.84	37.7	7	-12203	39678	1878467	SE			SLV 10	47.34	Si
-1047	34	-	4880.11	4189.84	37.7	7	-9209	4598	311449	P			SLU 6	67.74	Si
-1047	34	-	4880.11	4189.84	37.7	7	-4525	4994	688482	P			SLU EX 1	137.85	Si
-1047	34	-	4880.11	4189.84	37.7	7	-7450	877	73394	SE			SLD 10	83.73	Si
-1047	34	-	4880.11	4189.84	37.7	7	-8490	3000	220449	SE			SLV 10	73.48	Si
-1170	34	-	4880.11	4189.84	0	0	-5613	0	0	P			SLU 6	84.86	Si
-1170	34	-	4880.11	4189.84	0	0	-3441	0	0	P			SLU EX 1	138.43	Si
-1170	34	-	4880.11	4189.84	0	0	-4443	0	0	SE			SLD 10	107.2	Si
-1170	34	-	4880.11	4189.84	0	0	-4800	0	0	SE			SLV 10	99.24	Si

Verifiche delle tensioni nella famiglia Rara

Tensione limite del calcestruzzo: 224.1
Tensione limite dell'acciaio: 3600
Coefficiente di omogeneizzazione impiegato: Es / Ec = 5.95

Quota	Filo	Ind.	Xp	Yp	Mx	My	N	Comb.	Sc,max	Mx	My	N	Comb.	Sf,max	Verifica
0	34	-	4880.11	4189.84	-1791952	335704	-22533	SLE RA 2	-139.4	-1791952	335704	-22533	SLE RA 2	1271.9	Si
-123	34	-	4880.11	4189.84	-1080786	231285	-23403	SLE RA 2	-69	-1080786	231285	-23403	SLE RA 2	454.5	Si
-246	34	-	4880.11	4189.84	-369619	126866	-24274	SLE RA 2	-25	-369619	126866	-24274	SLE RA 2	30.1	Si
-369	34	-	4880.11	4189.84	341547	22447	-25145	SLE RA 2	-23.2	341547	22447	-25145	SLE RA 2	18.7	Si
-493	34	-	4880.11	4189.84	866921	-60565	-19428	SLE RA 2	-84.4	866921	-60565	-19428	SLE RA 2	822.2	Si
-677	34	-	4880.11	4189.84	420964	-41920	-14301	SLE RA 2	-23.1	420964	-41920	-14301	SLE RA 2	56	Si
-801	34	-	4880.11	4189.84	185895	-20907	-15172	SLE RA 2	-13.1	185895	-20907	-15172	SLE RA 2	7.4	Si
-924	34	-	4880.11	4189.84	33910	-6318	-9725	SLE RA 2	-4.7	33910	-6318	-9725	SLE RA 2	-12.2	Si
-1047	34	-	4880.11	4189.84	-2971	-857	-6997	SLE RA 2	-2.4	32	-896	-6432	SLE RA 1	-12.4	Si
-1170	34	-	4880.11	4189.84	0	0	-4288	SLE RA 2	-1.5	0	0	0		0	Si

Verifiche delle tensioni nella famiglia Quasi permanenti

Tensione limite del calcestruzzo: 168.1
Coefficiente di omogeneizzazione impiegato: Es * (1 + φ) / Ec = 5.95
Coefficiente di viscosità: φ = 0

Quota	Filo	Ind.	Xp	Yp	Mx	My	N	Comb.	Sc,max	Verifica
0	34	-	4880.11	4189.84	-1078075	318369	-21357	SLE QP 2	-84.6	Si
-123	34	-	4880.11	4189.84	-650583	220566	-22227	SLE QP 2	-42.4	Si
-246	34	-	4880.11	4189.84	-223091	122764	-23098	SLE QP 2	-18.7	Si
-369	34	-	4880.11	4189.84	204401	24962	-23969	SLE QP 2	-16.9	Si
-493	34	-	4880.11	4189.84	520284	-53109	-18526	SLE QP 2	-46.1	Si
-677	34	-	4880.11	4189.84	252798	-38185	-13665	SLE QP 2	-15.6	Si
-801	34	-	4880.11	4189.84	111664	-19235	-14535	SLE QP 2	-9.7	Si
-924	34	-	4880.11	4189.84	20401	-5991	-9350	SLE QP 2	-4	Si
-1047	34	-	4880.11	4189.84	-1770	-872	-6771	SLE QP 2	-2.3	Si
-1170	34	-	4880.11	4189.84	0	0	-4210	SLE QP 2	-1.5	Si

Verifiche delle fessure nella famiglia Esercizio frequente

Valore limite di controllo: 0.2 mm
Coefficiente di omogeneizzazione impiegato: Es / Ec = 5.95

Quota	Filo	Ind.	Xp	Yp	Mx	My	N	Comb.	Fess	Wka,mm	Wk,mm	Sm,cm	Verifica
0	34	-	4880.11	4189.84	-1256544	322702	-21651	SLE FR 2	Si	0.2	0.078	32.4	Si
-123	34	-	4880.11	4189.84	-758134	223246	-22521	SLE FR 2	Si	0.2	0.021	25.8	Si
-246	34	-	4880.11	4189.84	-3299	116611	-21334	SLE FR 1	No				Si
-369	34	-	4880.11	4189.84	-1319	28734	-22204	SLE FR 1	No				Si
-493	34	-	4880.11	4189.84	606943	-54973	-18751	SLE FR 2	Si	0.2	0.045	35.5	Si
-677	34	-	4880.11	4189.84	550	-32583	-12710	SLE FR 1	No				Si
-801	34	-	4880.11	4189.84	318	-16729	-13581	SLE FR 1	No				Si
-924	34	-	4880.11	4189.84	136	-5499	-8787	SLE FR 1	No				Si
-1047	34	-	4880.11	4189.84	32	-896	-6432	SLE FR 1	No				Si
-1170	34	-	4880.11	4189.84	0	0	-4094	SLE FR 1	No				Si

Verifiche delle fessure nella famiglia Esercizio quasi permanente

Valore limite di controllo: 0.2 mm
Coefficiente di omogeneizzazione impiegato: Es * (1 + φ) / Ec = 5.95
Coefficiente di viscosità: φ = 0

Quota	Filo	Ind.	Xp	Yp	Mx	My	N	Comb.	Fess	Wka,mm	Wk,mm	Sm,cm	Verifica
0	34	-	4880.11	4189.84	-1078075	318369	-21357	SLE QP 2	Si	0.2	0.063	32.1	Si
-123	34	-	4880.11	4189.84	-650583	220566	-22227	SLE QP 2	Si	0.2	0.016	25.5	Si
-246	34	-	4880.11	4189.84	-3299	116611	-21334	SLE QP 1	No				Si
-369	34	-	4880.11	4189.84	-1319	28734	-22204	SLE QP 1	No				Si
-493	34	-	4880.11	4189.84	328	-41924	-17172	SLE QP 1	No				Si
-677	34	-	4880.11	4189.84	550	-32583	-12710	SLE QP 1	No				Si
-801	34	-	4880.11	4189.84	318	-16729	-13581	SLE QP 1	No				Si
-924	34	-	4880.11	4189.84	136	-5499	-8787	SLE QP 1	No				Si
-1047	34	-	4880.11	4189.84	32	-896	-6432	SLE QP 1	No				Si
-1170	34	-	4880.11	4189.84	0	0	-4094	SLE QP 1	No				Si

Verifiche a taglio

Quota	Filo	Ind.	Xp	Yp	Tx	Ty	N	MultT	Vrd,4.1.23	VRsd,4.1.27	VRcd,4.1.28	Cotg	Comb.	C.S.	Verifica
0	34	-	4880.11	4189.84	1129	8658	-29881		15029	16918	121961	1	SLU 6	1.94	Si
0	34	-	4880.11	4189.84	463	9511	-9665		12413	19456	176117	1	SLU EX 1	2.04	Si
0	34	-	4880.11	4189.84	1360	7223	-18150		13511	16918	119684	1	SLD 11	2.3	Si
0	34	-	4880.11	4189.84	2131	13020	-13179		12868	16918	118719	1	SLV 11	1.28	Si
-123	34	-	4880.11	4189.84	1129	8658	-29881		15029	16918	121961	1	SLU 6	1.94	Si
-123	34	-	4880.11	4189.84	463	9511	-9665		12413	19456	176117	1	SLU EX 1	2.04	Si
-123	34	-	4880.11	4189.84	1360	7223	-18150		13511	16918	119684	1	SLD 11	2.3	Si
-123	34	-	4880.11	4189.84	2131	13020	-13179		12868	16918	118719	1	SLV 11	1.28	Si
-246	34	-	4880.11	4189.84	1129	8658	-29881		15105	17029	122759	1	SLU 6	1.95	Si
-246	34	-	4880.11	4189.84	463	9511	-9665		12472	19583	177269	1	SLU EX 1	2.06	Si
-246	34	-	4880.11	4189.84	1360	7223	-18150		13577	17029	120467	1	SLD 11	2.32	Si
-246	34	-	4880.11	4189.84	2131	13020	-13179		12930	17029	119495	1	SLV 11	1.29	Si
-369	34	-	4880.11	4189.84	1129	8658	-29881		15105	17029	122759	1	SLU 6	1.95	Si
-369	34	-	4880.11	4189.84	463	9511	-9665		12472	19583	177269	1	SLU EX 1	2.06	Si
-369	34	-	4880.11	4189.84	1360	7223	-18150		13577	17029	120467	1	SLD 11	2.32	Si
-369	34	-	4880.11	4189.84	2131	13020	-13179		12930	17029	119495	1	SLV 11	1.29	Si
-493	34	-	4880.11	4189.84	-138	-3653	-25500		14535	17029	121903	1	SLU 6	4.66	Si
-493	34	-	4880.11	4189.84	-76	-4029	-9391		12437	19583	177216	1	SLU EX 1	4.86	Si
-493	34	-	4880.11	4189.84	-427	-3019	-15904		13285	17029	120028	1	SLD 11	5.58	Si
-493	34	-	4880.11	4189.84	-908	-5428	-12088		12788	17029	119282	1	SLV 11	3.09	Si
-677	34	-	4880.11	4189.84	-230	-2863	-18842		13668	17029	120602	1	SLU 6	5.93	Si
-677	34	-	4880.11	4189.84	-103	-3151	-7286		12162	19583	176804	1	SLU EX 1	6.21	Si

Quota	Filo	Ind.	Xp	Yp	Tx	Ty	N	MultT	Vrd,4.1.23	VRsd,4.1.27	VRcd,4.1.28	Cotg	Comb.	C.S.	Verifica
-677	34	-	4880.11	4189.84	-331	-2376	-11878		12760	17029	119241	1	SLD 11	7.1	Si
-677	34	-	4880.11	4189.84	-570	-4277	-9188		12410	17029	118716	1	SLV 11	3.95	Si
-801	34	-	4880.11	4189.84	-230	-2863	-18842		13668	17029	120602	1	SLU 6	5.93	Si
-801	34	-	4880.11	4189.84	-103	-3151	-7286		12162	19583	176804	1	SLU EX 1	6.21	Si
-801	34	-	4880.11	4189.84	-331	-2376	-11878		12760	17029	119241	1	SLD 11	7.1	Si
-801	34	-	4880.11	4189.84	-570	-4277	-9188		12410	17029	118716	1	SLV 11	3.95	Si
-924	34	-	4880.11	4189.84	-68	-541	-12336		12820	17029	119331	1	SLU 6	31.21	Si
-924	34	-	4880.11	4189.84	-28	-595	-5243		11896	19583	176405	1	SLU EX 1	32.89	Si
-924	34	-	4880.11	4189.84	-83	-451	-7948		12249	17029	118473	1	SLD 11	37.11	Si
-924	34	-	4880.11	4189.84	-131	-814	-6363		12042	17029	118164	1	SLV 11	20.67	Si
-1047	34	-	4880.11	4189.84	-12	47	-9031		12390	17029	118685	1	SLU 6	354.3	Si
-1047	34	-	4880.11	4189.84	-4	52	-4389		11785	19583	176238	1	SLU EX 1	375.07	Si
-1047	34	-	4880.11	4189.84	-9	38	-5955		11989	17029	118084	1	SLD 7	441.24	Si
-1047	34	-	4880.11	4189.84	-9	67	-4915		11854	17029	117881	1	SLV 7	252.66	Si
-1170	34	-	4880.11	4189.84	0	0	-3900		11667	16918	116918	1	SLU 1	100	Si
-1170	34	-	4880.11	4189.84	0	0	-3246		11582	19456	174872	1	SLU EX 1	100	Si
-1170	34	-	4880.11	4189.84	0	0	-4027		11683	16918	116943	1	SLD 1	100	Si
-1170	34	-	4880.11	4189.84	0	0	-4051		11686	16918	116947	1	SLV 1	100	Si

Verifica di capacità portante per la famiglia SLU

Verifica di capacità portante verticale riferita al palo singolo

Fattore di correlazione ψ scelto in base alla conoscenza del sito = 1.7
Peso del palo = 8482.3 * 1.3

Filo	Ind.	Xp	Yp	γR laterale	γR punta	Pl,d	Pp,d	Def.vol	Comb.	Cnd	N	Ed	Rd	C.S.	Verifica
34	-	4880.11	4189.84	1.15	1.35	378966	12320		SLU 6	lungo	-29881	-40908	391285	9.57	Si

Verifica di capacità portante trasversale riferita al palo singolo

Fattore di correlazione ψ scelto in base alla conoscenza del sito = 1.7

Filo	Ind.	Xp	Yp	γR trasversale	LRF	Comb.	Cnd	Rd	Ed (T)	C.S.	Verifica
34	-	4880.11	4189.84	1.3	1	SLU 2	D	18547.3	8701.8	2.13	Si

Parametri utilizzati nel calcolo

Filo	Ind.	Xp	Yp	Tipo	L.frs.	L.tr.lib.	L.tr.inf.	Coes.	Fi	P.spec	T max	Mecc.coll.	M.plast.sup.	Quota sup.	N sup.	M.plast.inf.	Quota inf.	N inf.
34	-	4880.11	4189.84	TI	60	0	830	0.94	35	0.001	40990	PLV	5912142	-50	-24215	3589402	-394.3	-26437

Verifica di capacità portante per la famiglia SLU EX

Verifica di capacità portante verticale riferita al palo singolo

Fattore di correlazione ψ scelto in base alla conoscenza del sito = 1.7
Peso del palo = 8482.3 * 1

Filo	Ind.	Xp	Yp	γR laterale	γR punta	Pl,d	Pp,d	Def.vol	Comb.	Cnd	N	Ed	Rd	C.S.	Verifica
34	-	4880.11	4189.84	1	1	435810	16632		SLU EX 1	lungo	-9665	-18147	452442	24.93	Si

Verifica di capacità portante trasversale riferita al palo singolo

Fattore di correlazione ψ scelto in base alla conoscenza del sito = 1.7

Filo	Ind.	Xp	Yp	γR trasversale	LRF	Comb.	Cnd	Rd	Ed (T)	C.S.	Verifica
34	-	4880.11	4189.84	1	1	SLU EX 1	D	23534.8	9522.5	2.47	Si

Parametri utilizzati nel calcolo

Filo	Ind.	Xp	Yp	Tipo	L.frs.	L.tr.lib.	L.tr.inf.	Coes.	Fi	P.spec	T max	Mecc.coll.	M.plast.sup.	Quota sup.	N sup.	M.plast.inf.	Quota inf.	N inf.
34	-	4880.11	4189.84	TI	60	0	830	0.94	35	0.001	40009	PLV	5751244	-50	-9877	3361494	-390.1	-12069

Verifica di capacità portante per la famiglia SLD

Verifica di capacità portante verticale riferita al palo singolo

Fattore di correlazione ψ scelto in base alla conoscenza del sito = 1.7
Peso del palo = 8482.3 * 1

Filo	Ind.	Xp	Yp	γR laterale	γR punta	Pl,d	Pp,d	Def.vol	Comb.	Cnd	N	Ed	Rd	C.S.	Verifica
34	-	4880.11	4189.84	1.15	1.35	378966	12320		SLD 10	lungo	-24893	-33376	391285	11.72	Si

Verifica di capacità portante per la famiglia SLV

Verifica di capacità portante verticale riferita al palo singolo

Fattore di correlazione ψ scelto in base alla conoscenza del sito = 1.7
Peso del palo = 8482.3 * 1

Filo	Ind.	Xp	Yp	γR laterale	γR punta	Pl,d	Pp,d	Def.vol	Comb.	Cnd	N	Ed	Rd	C.S.	Verifica
34	-	4880.11	4189.84	1.15	1.35	378966	12320		SLV 10	lungo	-30308	-38791	391285	10.09	Si

Verifica di capacità portante trasversale riferita al palo singolo

Fattore di correlazione ψ scelto in base alla conoscenza del sito = 1.7

Filo	Ind.	Xp	Yp	γR trasversale	LRF	Comb.	Cnd	Rd	Ed (T)	C.S.	Verifica
34	-	4880.11	4189.84	1.3	1	SLV 11	D	14784.1	13193.4	1.12	Si

Parametri utilizzati nel calcolo

Filo	Ind.	Xp	Yp	Tipo	L.frs.	L.tr.lib.	L.tr.inf.	Coes.	Fi	P.spec	T max	Mecc.coll.	M.plast.sup.	Quota sup.	N sup.	M.plast.inf.	Quota inf.	N inf.
34	-	4880.11	4189.84	TI	60	0	830	0.94	35	0.001	32673	PLV	4248809	-50	-13391	2496944	-357.4	-15355

Trivellato D60 filo 35

Verifiche effettuate secondo D.M. 17-01-18, Circolare 7 21-01-19

Caratteristiche geometriche

Diametro 60

Lunghezza 1200

Caratteristiche dei materiali

Calcestruzzo C35/45 Rck 450
Acciaio B450C fyk,m: 4500

Verifiche a pressoflessione

Quota	Filo	Ind.	Xp	Yp	As	Cop.	N	|M|	Mu	Dom.	SnmFcd	MultM	Comb.	C.S.	Verifica
0	35	-	4880.01	4349.76	74.33	7.3	-32798	2721691	6522408	P			SLU 2	2.4	Si
0	35	-	4880.01	4349.76	74.33	7.3	-19523	2968000	6089920	P			SLU EX 1	2.05	Si
0	35	-	4880.01	4349.76	74.33	7.3	-24998	2319318	4782705	SE			SLD 11	2.06	Si
0	35	-	4880.01	4349.76	74.33	7.3	-25219	4155611	4438302	SE			SLV 11	1.07	Si
-123	35	-	4880.01	4349.76	112.03	7	-39787	1660719	9176518	P			SLU 6	5.53	Si
-123	35	-	4880.01	4349.76	112.03	7	-20393	1791755	8799156	P			SLU EX 1	4.91	Si
-123	35	-	4880.01	4349.76	112.03	7	-25868	1411036	7100572	SE			SLD 11	5.03	Si
-123	35	-	4880.01	4349.76	112.03	7	-26089	2522662	6696006	SE			SLV 11	2.65	Si
-246	35	-	4880.01	4349.76	37.7	7	-40919	591279	5141215	P			SLU 6	8.7	Si
-246	35	-	4880.01	4349.76	37.7	7	-21264	617561	5245253	P			SLU EX 1	8.49	Si
-246	35	-	4880.01	4349.76	37.7	7	-26739	506616	4324571	SE			SLD 11	8.54	Si
-246	35	-	4880.01	4349.76	37.7	7	-26960	892424	4045050	SE			SLV 11	4.53	Si
-369	35	-	4880.01	4349.76	37.7	7	-42050	514878	4896677	P			SLU 6	9.51	Si
-369	35	-	4880.01	4349.76	37.7	7	-22134	567459	5364996	P			SLU EX 1	9.45	Si
-369	35	-	4880.01	4349.76	37.7	7	-27280	424589	4280435	SE			SLD 7	10.08	Si
-369	35	-	4880.01	4349.76	37.7	7	-27058	759185	4283314	SE			SLV 7	5.64	Si
-493	35	-	4880.01	4349.76	37.7	7	-27308	1302045	4506089	P			SLU 2	3.46	Si
-493	35	-	4880.01	4349.76	37.7	7	-17118	1434105	3910442	P			SLU EX 1	2.73	Si
-493	35	-	4880.01	4349.76	37.7	7	-21320	1087317	3247579	SE			SLD 11	2.99	Si
-493	35	-	4880.01	4349.76	37.7	7	-21490	1958598	2731040	SE			SLV 11	1.39	Si
-677	35	-	4880.01	4349.76	37.7	7	-19856	633311	5098045	P			SLU 2	8.05	Si
-677	35	-	4880.01	4349.76	37.7	7	-12672	696291	4336286	P			SLU EX 1	6.23	Si
-677	35	-	4880.01	4349.76	37.7	7	-15635	531610	3978189	SE			SLD 11	7.48	Si
-677	35	-	4880.01	4349.76	37.7	7	-15754	956994	3050080	SE			SLV 11	3.19	Si
-801	35	-	4880.01	4349.76	37.7	7	-24789	280400	4740387	P			SLU 6	16.91	Si
-801	35	-	4880.01	4349.76	37.7	7	-13543	307490	5440785	P			SLU EX 1	17.69	Si
-801	35	-	4880.01	4349.76	37.7	7	-16506	235511	4237612	SE			SLD 11	17.99	Si
-801	35	-	4880.01	4349.76	37.7	7	-16625	423780	4298666	SE			SLV 11	10.14	Si
-924	35	-	4880.01	4349.76	37.7	7	-15626	51780	2067127	P			SLU 6	39.92	Si
-924	35	-	4880.01	4349.76	37.7	7	-8765	56164	3468089	P			SLU EX 1	61.75	Si
-924	35	-	4880.01	4349.76	37.7	7	-10510	43876	2268566	SE			SLD 11	51.7	Si
-924	35	-	4880.01	4349.76	37.7	7	-10581	78621	3327192	SE			SLV 11	42.32	Si
-1047	35	-	4880.01	4349.76	37.7	7	-10894	4729	270818	P			SLU 6	57.26	Si
-1047	35	-	4880.01	4349.76	37.7	7	-6419	5036	489395	P			SLU EX 1	97.19	Si
-1047	35	-	4880.01	4349.76	37.7	7	-7544	1260	104173	SE			SLD 14	82.69	Si
-1047	35	-	4880.01	4349.76	37.7	7	-7686	701	56908	SE			SLV 14	81.16	Si
-1170	35	-	4880.01	4349.76	0	0	-6190	0	0	P			SLU 6	76.94	Si
-1170	35	-	4880.01	4349.76	0	0	-4090	0	0	P			SLU EX 1	116.47	Si
-1170	35	-	4880.01	4349.76	0	0	-4475	0	0	SE			SLD 14	106.43	Si
-1170	35	-	4880.01	4349.76	0	0	-4524	0	0	SE			SLV 14	105.29	Si

Verifiche delle tensioni nella famiglia Rara

Tensione limite del calcestruzzo: 224.1
Tensione limite dell'acciaio: 3600
Coefficiente di omogeneizzazione impiegato: Es / Ec = 5.95

Quota	Filo	Ind.	Xp	Yp	Mx	My	N	Comb.	Sc,max	Mx	My	N	Comb.	Sf,max	Verifica
0	35	-	4880.01	4349.76	-1790672	388107	-28373	SLE RA 2	-139.1	-1790672	388107	-28373	SLE RA 2	1193.5	Si
-123	35	-	4880.01	4349.76	-1079907	270871	-29244	SLE RA 2	-69.2	-1079907	270871	-29244	SLE RA 2	407	Si
-246	35	-	4880.01	4349.76	-369142	153635	-30115	SLE RA 2	-27.3	-369142	153635	-30115	SLE RA 2	20.4	Si
-369	35	-	4880.01	4349.76	341623	36399	-30985	SLE RA 2	-25.2	341623	36399	-30985	SLE RA 2	7.5	Si
-493	35	-	4880.01	4349.76	866679	-57709	-23912	SLE RA 2	-81.4	866679	-57709	-23912	SLE RA 2	698.6	Si
-677	35	-	4880.01	4349.76	420800	-43998	-17462	SLE RA 2	-24.2	420800	-43998	-17462	SLE RA 2	49.8	Si
-801	35	-	4880.01	4349.76	185814	-22488	-18332	SLE RA 2	-14.2	185814	-22488	-18332	SLE RA 2	1.3	Si
-924	35	-	4880.01	4349.76	33886	-7300	-11586	SLE RA 2	-5.3	33886	-7300	-11586	SLE RA 2	-15.8	Si
-1047	35	-	4880.01	4349.76	-2974	-1161	-8119	SLE RA 2	-2.8	9	-880	-6419	SLE RA 1	-12.4	Si
-1170	35	-	4880.01	4349.76	0	0	-4672	SLE RA 2	-1.7	0	0	0		0	Si

Verifiche delle tensioni nella famiglia Quasi permanenti

Tensione limite del calcestruzzo: 168.1
Coefficiente di omogeneizzazione impiegato: Es * (1 + φ) / Ec = 5.95
Coefficiente di viscosità: φ = 0

Quota	Filo	Ind.	Xp	Yp	Mx	My	N	Comb.	Sc,max	Verifica
0	35	-	4880.01	4349.76	-1074320	347679	-24834	SLE QP 2	-84.3	Si
-123	35	-	4880.01	4349.76	-647963	242827	-25704	SLE QP 2	-42.5	Si
-246	35	-	4880.01	4349.76	-221606	137976	-26575	SLE QP 2	-20.1	Si
-369	35	-	4880.01	4349.76	204752	33125	-27446	SLE QP 2	-18.1	Si
-493	35	-	4880.01	4349.76	519724	-51088	-21195	SLE QP 2	-44.2	Si
-677	35	-	4880.01	4349.76	252372	-39194	-15546	SLE QP 2	-16.2	Si
-801	35	-	4880.01	4349.76	111447	-20062	-16417	SLE QP 2	-10.3	Si
-924	35	-	4880.01	4349.76	20330	-6540	-10458	SLE QP 2	-4.4	Si
-1047	35	-	4880.01	4349.76	-1781	-1049	-7439	SLE QP 2	-2.5	Si
-1170	35	-	4880.01	4349.76	0	0	-4439	SLE QP 2	-1.6	Si

Verifiche delle fessure nella famiglia Esercizio frequente

Valore limite di controllo: 0.2 mm
Coefficiente di omogeneizzazione impiegato: Es / Ec = 5.95

Quota	Filo	Ind.	Xp	Yp	Mx	My	N	Comb.	Fess	Wka,mm	Wk,mm	Sm,cm	Verifica
0	35	-	4880.01	4349.76	-1253408	357786	-25719	SLE FR 2	Si	0.2	0.072	32	Si
-123	35	-	4880.01	4349.76	-755949	249838	-26589	SLE FR 2	Si	0.2	0.018	25.4	Si
-246	35	-	4880.01	4349.76	-302	114488	-21266	SLE FR 1	No				Si

Quota	Filo	Ind.	Xp	Yp	Mx	My	N	Comb.	Fess	Wka,mm	Wk,mm	Sm,cm	Verifica
-369	35	-	4880.01	4349.76	-556	28213	-22136	SLE FR 1	No				Si
-493	35	-	4880.01	4349.76	606463	-52743	-21874	SLE FR 2	Si	0.2	0.036	34.3	Si
-677	35	-	4880.01	4349.76	-269	-31987	-12673	SLE FR 1	No				Si
-801	35	-	4880.01	4349.76	-105	-16423	-13544	SLE FR 1	No				Si
-924	35	-	4880.01	4349.76	-4	-5399	-8766	SLE FR 1	No				Si
-1047	35	-	4880.01	4349.76	9	-880	-6419	SLE FR 1	No				Si
-1170	35	-	4880.01	4349.76	0	0	-4090	SLE FR 1	No				Si

Verifiche delle fessure nella famiglia Esercizio quasi permanente

Valore limite di controllo: 0.2 mm
Coefficiente di omogeneizzazione impiegato: Es * (1 + φ) / Ec = 5.95
Coefficiente di viscosità: φ = 0

Quota	Filo	Ind.	Xp	Yp	Mx	My	N	Comb.	Fess	Wka,mm	Wk,mm	Sm,cm	Verifica
0	35	-	4880.01	4349.76	-1074320	347679	-24834	SLE QP 2	Si	0.2	0.058	31.7	Si
-123	35	-	4880.01	4349.76	-47	200762	-20395	SLE QP 1	No				Si
-246	35	-	4880.01	4349.76	-302	114488	-21266	SLE QP 1	No				Si
-369	35	-	4880.01	4349.76	-556	28213	-22136	SLE QP 1	No				Si
-493	35	-	4880.01	4349.76	-708	-41156	-17119	SLE QP 1	No				Si
-677	35	-	4880.01	4349.76	-269	-31987	-12673	SLE QP 1	No				Si
-801	35	-	4880.01	4349.76	-105	-16423	-13544	SLE QP 1	No				Si
-924	35	-	4880.01	4349.76	-4	-5399	-8766	SLE QP 1	No				Si
-1047	35	-	4880.01	4349.76	9	-880	-6419	SLE QP 1	No				Si
-1170	35	-	4880.01	4349.76	0	0	-4090	SLE QP 1	No				Si

Verifiche a taglio

Quota	Filo	Ind.	Xp	Yp	Tx	Ty	N	MultT	Vrd,4.1.23	VRsd,4.1.27	VRcd,4.1.28	Cotg	Comb.	C.S.	Verifica
0	35	-	4880.01	4349.76	1288	8657	-38655		16164	16918	123664	1	SLU 6	1.93	Si
0	35	-	4880.01	4349.76	700	9529	-19523		13689	19456	178031	1	SLU EX 1	2.04	Si
0	35	-	4880.01	4349.76	1515	7226	-24998		14397	16918	121013	1	SLD 11	2.29	Si
0	35	-	4880.01	4349.76	2409	13044	-25219		14426	16918	121056	1	SLV 11	1.28	Si
-123	35	-	4880.01	4349.76	1288	8657	-38655		16164	16918	123664	1	SLU 6	1.93	Si
-123	35	-	4880.01	4349.76	700	9529	-19523		13689	19456	178031	1	SLU EX 1	2.04	Si
-123	35	-	4880.01	4349.76	1515	7226	-24998		14397	16918	121013	1	SLD 11	2.29	Si
-123	35	-	4880.01	4349.76	2409	13044	-25219		14426	16918	121056	1	SLV 11	1.28	Si
-246	35	-	4880.01	4349.76	1288	8657	-38655		16248	17029	124473	1	SLU 6	1.95	Si
-246	35	-	4880.01	4349.76	700	9529	-19523		13756	19583	179195	1	SLU EX 1	2.05	Si
-246	35	-	4880.01	4349.76	1515	7226	-24998		14469	17029	121805	1	SLD 11	2.31	Si
-246	35	-	4880.01	4349.76	2409	13044	-25219		14498	17029	121848	1	SLV 11	1.28	Si
-369	35	-	4880.01	4349.76	1288	8657	-38655		16248	17029	124473	1	SLU 6	1.95	Si
-369	35	-	4880.01	4349.76	700	9529	-19523		13756	19583	179195	1	SLU EX 1	2.05	Si
-369	35	-	4880.01	4349.76	1515	7226	-24998		14469	17029	121805	1	SLD 11	2.31	Si
-369	35	-	4880.01	4349.76	2409	13044	-25219		14498	17029	121848	1	SLV 11	1.28	Si
-493	35	-	4880.01	4349.76	-82	-3653	-27148		14749	17029	122225	1	SLU 2	4.66	Si
-493	35	-	4880.01	4349.76	-46	-4030	-16958		13422	19583	178694	1	SLU EX 1	4.86	Si
-493	35	-	4880.01	4349.76	-315	-3019	-21160		13970	17029	121055	1	SLD 11	5.61	Si
-493	35	-	4880.01	4349.76	-657	-5429	-21330		13992	17029	121088	1	SLV 11	3.11	Si
-677	35	-	4880.01	4349.76	-237	-2862	-23590		14286	17029	121530	1	SLU 6	5.93	Si
-677	35	-	4880.01	4349.76	-126	-3155	-12620		12857	19583	177847	1	SLU EX 1	6.2	Si
-677	35	-	4880.01	4349.76	-364	-2377	-15583		13243	17029	119965	1	SLD 11	7.08	Si
-677	35	-	4880.01	4349.76	-645	-4281	-15702		13259	17029	119988	1	SLV 11	3.93	Si
-801	35	-	4880.01	4349.76	-237	-2862	-23590		14286	17029	121530	1	SLU 6	5.93	Si
-801	35	-	4880.01	4349.76	-126	-3155	-12620		12857	19583	177847	1	SLU EX 1	6.2	Si
-801	35	-	4880.01	4349.76	-364	-2377	-15583		13243	17029	119965	1	SLD 11	7.08	Si
-801	35	-	4880.01	4349.76	-645	-4281	-15702		13259	17029	119988	1	SLV 11	3.93	Si
-924	35	-	4880.01	4349.76	-77	-541	-15133		13184	17029	119877	1	SLU 6	31.15	Si
-924	35	-	4880.01	4349.76	-42	-596	-8385		12306	19583	177019	1	SLU EX 1	32.78	Si
-924	35	-	4880.01	4349.76	-92	-452	-10131		12533	17029	118900	1	SLD 11	36.95	Si
-924	35	-	4880.01	4349.76	-148	-815	-10201		12542	17029	118914	1	SLV 11	20.56	Si
-1047	35	-	4880.01	4349.76	-16	47	-10716		12609	17029	119014	1	SLU 6	344.43	Si
-1047	35	-	4880.01	4349.76	-9	52	-6282		12032	19583	176608	1	SLU EX 1	372.01	Si
-1047	35	-	4880.01	4349.76	-13	37	-7270		12160	17029	118341	1	SLD 7	428.99	Si
-1047	35	-	4880.01	4349.76	-16	67	-7228		12155	17029	118333	1	SLV 7	248.81	Si
-1170	35	-	4880.01	4349.76	0	0	-3895		11666	16918	116917	1	SLU 1	100	Si
-1170	35	-	4880.01	4349.76	0	0	-3895		11666	19456	174997	1	SLU EX 1	100	Si
-1170	35	-	4880.01	4349.76	0	0	-4209		11707	16918	116978	1	SLD 1	100	Si
-1170	35	-	4880.01	4349.76	0	0	-4160		11701	16918	116968	1	SLV 1	100	Si

Verifica di capacità portante per la famiglia SLU

Verifica di capacità portante verticale riferita al palo singolo

Fattore di correlazione ψ scelto in base alla conoscenza del sito = 1.7
Peso del palo = 8482.3 * 1.3

Filo	Ind.	Xp	Yp	γR laterale	γR punta	Pl,d	Pp,d	Def.vol	Comb.	Cnd	N	Ed	Rd	C.S.	Verifica
35	-	4880.01	4349.76	1.15	1.35	378966	12320		SLU 6	lungo	-38655	-49682	391285	7.88	Si

Verifica di capacità portante trasversale riferita al palo singolo

Fattore di correlazione ψ scelto in base alla conoscenza del sito = 1.7

Filo	Ind.	Xp	Yp	γR trasversale	LRF	Comb.	Cnd	Rd	Ed (T)	C.S.	Verifica
35	-	4880.01	4349.76	1.3	1	SLU 2	D	18816.8	8724.6	2.16	Si

Parametri utilizzati nel calcolo

Filo	Ind.	Xp	Yp	Tipo	L.frs.	L.tr.lib.	L.tr.inf.	Coes.	Fi	P.spec	T max	Mecc.coll.	M.plast.sup.	Quota sup.	N sup.	M.plast.inf.	Quota inf.	N inf.
35	-	4880.01	4349.76	TI	60	0	830	0.94	35	0.001	41585	PLV	6010835	-50	-33010	3729192	-396.8	-35249

Verifica di capacità portante per la famiglia SLU EX

Verifica di capacità portante verticale riferita al palo singolo

Fattore di correlazione ψ scelto in base alla conoscenza del sito = 1.7
Peso del palo = 8482.3 * 1

Filo	Ind.	Xp	Yp	γR laterale	γR punta	Pl,d	Pp,d	Def.vol	Comb.	Cnd	N	Ed	Rd	C.S.	Verifica
35	-	4880.01	4349.76	1	1	435810	16632		SLU EX 1	lungo	-19523	-28005	452442	16.16	Si

Verifica di capacità portante trasversale riferita al palo singolo

Fattore di correlazione ψ scelto in base alla conoscenza del sito = 1.7

Filo	Ind.	Xp	Yp	γR trasversale	LRF	Comb.	Cnd	Rd	Ed (T)	C.S.	Verifica
35	-	4880.01	4349.76	1	1	SLU EX 1	D	23932	9555.1	2.5	Si

Parametri utilizzati nel calcolo

Filo	Ind.	Xp	Yp	Tipo	L.frs.	L.tr.lib.	L.tr.inf.	Coes.	Fi	P.spec	T max	Mecc.coll.	M.plast.sup.	Quota sup.	N sup.	M.plast.inf.	Quota inf.	N inf.
35	-	4880.01	4349.76	TI	60	0	830	0.94	35	0.001	40684	PLV	5861866	-50	-19735	3518189	-393	-21947

Verifica di capacità portante per la famiglia SLD

Verifica di capacità portante verticale riferita al palo singolo

Fattore di correlazione ψ scelto in base alla conoscenza del sito = 1.7
Peso del palo = 8482.3 * 1

Filo	Ind.	Xp	Yp	γR laterale	γR punta	Pl,d	Pp,d	Def.vol	Comb.	Cnd	N	Ed	Rd	C.S.	Verifica
35	-	4880.01	4349.76	1.15	1.35	378966	12320		SLD 14	lungo	-25383	-33865	391285	11.55	Si

Verifica di capacità portante per la famiglia SLV

Verifica di capacità portante verticale riferita al palo singolo

Fattore di correlazione ψ scelto in base alla conoscenza del sito = 1.7
Peso del palo = 8482.3 * 1

Filo	Ind.	Xp	Yp	γR laterale	γR punta	Pl,d	Pp,d	Def.vol	Comb.	Cnd	N	Ed	Rd	C.S.	Verifica
35	-	4880.01	4349.76	1.15	1.35	378966	12320		SLV 14	lungo	-26121	-34604	391285	11.31	Si

Verifica di capacità portante trasversale riferita al palo singolo

Fattore di correlazione ψ scelto in base alla conoscenza del sito = 1.7

Filo	Ind.	Xp	Yp	γR trasversale	LRF	Comb.	Cnd	Rd	Ed (T)	C.S.	Verifica
35	-	4880.01	4349.76	1.3	1	SLV 11	D	15246.6	13265	1.15	Si

Parametri utilizzati nel calcolo

Filo	Ind.	Xp	Yp	Tipo	L.frs.	L.tr.lib.	L.tr.inf.	Coes.	Fi	P.spec	T max	Mecc.coll.	M.plast.sup.	Quota sup.	N sup.	M.plast.inf.	Quota inf.	N inf.
35	-	4880.01	4349.76	TI	60	0	830	0.94	35	0.001	33695	PLV	4417265	-50	-25431	2690339	-362.1	-27425

Trivellato D60 filo 36

Verifiche effettuate secondo D.M. 17-01-18, Circolare 7 21-01-19

Caratteristiche geometriche

Diametro 60
Lunghezza 1200

Caratteristiche dei materiali

Calcestruzzo C35/45 Rck 450
Acciaio B450C fyk,m: 4500

Verifiche a pressoflessione

Quota	Filo	Ind.	Xp	Yp	As	Cop.	N	|M|	Mu	Dom.	SnmFcd	MultM	Comb.	C.S.	Verifica
0	36	-	4880.11	4509.78	74.33	7.3	-41717	2714163	6739556	P			SLU 2	2.48	Si
0	36	-	4880.11	4509.78	74.33	7.3	-29466	2959534	6349858	P			SLU EX 1	2.15	Si
0	36	-	4880.11	4509.78	74.33	7.3	-31945	2318553	5013930	SE			SLD 11	2.16	Si
0	36	-	4880.11	4509.78	74.33	7.3	-37362	4151661	4646517	SE			SLV 11	1.12	Si
-123	36	-	4880.11	4509.78	112.03	7	-48709	1659781	9198851	P			SLU 6	5.54	Si
-123	36	-	4880.11	4509.78	112.03	7	-30337	1787989	9076687	P			SLU EX 1	5.08	Si
-123	36	-	4880.11	4509.78	112.03	7	-32815	1412023	6992624	SE			SLD 11	4.95	Si
-123	36	-	4880.11	4509.78	112.03	7	-38232	2520952	7123954	SE			SLV 11	2.83	Si
-246	36	-	4880.11	4509.78	37.7	7	-49841	599874	4863748	P			SLU 6	8.11	Si
-246	36	-	4880.11	4509.78	37.7	7	-31208	621401	5444469	P			SLU EX 1	8.76	Si
-246	36	-	4880.11	4509.78	37.7	7	-33686	511750	4268796	SE			SLD 11	8.34	Si
-246	36	-	4880.11	4509.78	37.7	7	-39103	895820	4314978	SE			SLV 11	4.82	Si
-369	36	-	4880.11	4509.78	37.7	7	-50972	520337	4532828	P			SLU 6	8.71	Si
-369	36	-	4880.11	4509.78	37.7	7	-32078	571448	5363315	P			SLU EX 1	9.39	Si
-369	36	-	4880.11	4509.78	37.7	7	-34228	431273	4137026	SE			SLD 7	9.59	Si
-369	36	-	4880.11	4509.78	37.7	7	-39204	770847	4325369	SE			SLV 7	5.61	Si
-493	36	-	4880.11	4509.78	37.7	7	-34154	1298384	4866097	P			SLU 2	3.75	Si
-493	36	-	4880.11	4509.78	37.7	7	-24751	1431142	4283580	P			SLU EX 1	2.99	Si
-493	36	-	4880.11	4509.78	37.7	7	-26653	1086411	3607785	SE			SLD 11	3.32	Si
-493	36	-	4880.11	4509.78	37.7	7	-30811	1959375	3006216	SE			SLV 11	1.53	Si
-677	36	-	4880.11	4509.78	37.7	7	-24682	630941	5366676	P			SLU 2	8.51	Si
-677	36	-	4880.11	4509.78	37.7	7	-18053	694274	4846189	P			SLU EX 1	6.98	Si
-677	36	-	4880.11	4509.78	37.7	7	-19394	530922	4287102	SE			SLD 11	8.07	Si
-677	36	-	4880.11	4509.78	37.7	7	-22325	956723	3515472	SE			SLV 11	3.67	Si
-801	36	-	4880.11	4509.78	37.7	7	-29617	279242	4368709	P			SLU 6	15.64	Si
-801	36	-	4880.11	4509.78	37.7	7	-18924	306529	5288660	P			SLU EX 1	17.25	Si
-801	36	-	4880.11	4509.78	37.7	7	-20265	235186	4047966	SE			SLD 11	17.21	Si
-801	36	-	4880.11	4509.78	37.7	7	-23196	423561	4319771	SE			SLV 11	10.2	Si
-924	36	-	4880.11	4509.78	37.7	7	-18471	51658	1744711	P			SLU 6	33.77	Si
-924	36	-	4880.11	4509.78	37.7	7	-11935	56002	2767940	P			SLU EX 1	49.43	Si
-924	36	-	4880.11	4509.78	37.7	7	-12725	43860	1965068	SE			SLD 11	44.8	Si
-924	36	-	4880.11	4509.78	37.7	7	-14452	78545	2732026	SE			SLV 11	34.78	Si
-1047	36	-	4880.11	4509.78	37.7	7	-12608	5004	247619	P			SLU 6	49.48	Si
-1047	36	-	4880.11	4509.78	37.7	7	-8329	5230	391768	P			SLU EX 1	74.9	Si

Quota	Filo	Ind.	Xp	Yp	As	Cop.	N	|M|	Mu	Dom.	SnmFcd	MultM	Comb.	C.S.	Verifica
-1047	36	-	4880.11	4509.78	37.7	7	-8805	3859	273456	SE			SLD 11	70.85	Si
-1047	36	-	4880.11	4509.78	37.7	7	-9845	6586	417359	SE			SLV 11	63.37	Si
-1170	36	-	4880.11	4509.78	0	0	-6778	0	0	P			SLU 6	70.28	Si
-1170	36	-	4880.11	4509.78	0	0	-4744	0	0	P			SLU EX 1	100.4	Si
-1170	36	-	4880.11	4509.78	0	0	-4907	0	0	SE			SLD 11	97.06	Si
-1170	36	-	4880.11	4509.78	0	0	-5264	0	0	SE			SLV 11	90.49	Si

Verifiche delle tensioni nella famiglia Rara

Tensione limite del calcestruzzo: 224.1
Tensione limite dell'acciaio: 3600
Coefficiente di omogeneizzazione impiegato: Es / Ec = 5.95

Quota	Filo	Ind.	Xp	Yp	Mx	My	N	Comb.	Sc,max	Mx	My	N	Comb.	Sf,max	Verifica
0	36	-	4880.11	4509.78	-1771202	454677	-34323	SLE RA 2	-137.7	-1771202	454677	-34323	SLE RA 2	1104.1	Si
-123	36	-	4880.11	4509.78	-1066273	320384	-35193	SLE RA 2	-68.8	-1066273	320384	-35193	SLE RA 2	356.5	Si
-246	36	-	4880.11	4509.78	-361344	186091	-36064	SLE RA 2	-29.6	-361344	186091	-36064	SLE RA 2	10.1	Si
-369	36	-	4880.11	4509.78	343585	51799	-36934	SLE RA 2	-27.3	343585	51799	-36934	SLE RA 2	-3.3	Si
-493	36	-	4880.11	4509.78	863944	-56818	-28478	SLE RA 2	-77.9	863944	-56818	-28478	SLE RA 2	578.1	Si
-677	36	-	4880.11	4509.78	418651	-47631	-20681	SLE RA 2	-25.2	418651	-47631	-20681	SLE RA 2	43.2	Si
-801	36	-	4880.11	4509.78	184708	-24870	-21551	SLE RA 2	-15.2	184708	-24870	-21551	SLE RA 2	-5.2	Si
-924	36	-	4880.11	4509.78	33520	-8549	-13483	SLE RA 2	-5.9	-144	-5478	-8768	SLE RA 1	-16.1	Si
-1047	36	-	4880.11	4509.78	-3034	-1510	-9261	SLE RA 2	-3.2	-15	-893	-6421	SLE RA 1	-12.4	Si
-1170	36	-	4880.11	4509.78	0	0	-5064	SLE RA 2	-1.8	0	0	0		0	Si

Verifiche delle tensioni nella famiglia Quasi permanenti

Tensione limite del calcestruzzo: 168.1
Coefficiente di omogeneizzazione impiegato: Es * (1 + φ) / Ec = 5.95
Coefficiente di viscosità: φ = 0

Quota	Filo	Ind.	Xp	Yp	Mx	My	N	Comb.	Sc,max	Verifica
0	36	-	4880.11	4509.78	-1059657	389308	-28407	SLE QP 2	-83.4	Si
-123	36	-	4880.11	4509.78	-637694	273721	-29278	SLE QP 2	-42.4	Si
-246	36	-	4880.11	4509.78	-215730	158133	-30148	SLE QP 2	-21.6	Si
-369	36	-	4880.11	4509.78	206234	42545	-31019	SLE QP 2	-19.4	Si
-493	36	-	4880.11	4509.78	517669	-50778	-23937	SLE QP 2	-30.5	Si
-677	36	-	4880.11	4509.78	250755	-41556	-17480	SLE QP 2	-16.8	Si
-801	36	-	4880.11	4509.78	110614	-21586	-18350	SLE QP 2	-10.9	Si
-924	36	-	4880.11	4509.78	20054	-7321	-11597	SLE QP 2	-4.7	Si
-1047	36	-	4880.11	4509.78	-1826	-1263	-8125	SLE QP 2	-2.8	Si
-1170	36	-	4880.11	4509.78	0	0	-4674	SLE QP 2	-1.7	Si

Verifiche delle fessure nella famiglia Esercizio frequente

Valore limite di controllo: 0.2 mm
Coefficiente di omogeneizzazione impiegato: Es / Ec = 5.95

Quota	Filo	Ind.	Xp	Yp	Mx	My	N	Comb.	Fess	Wka,mm	Wk,mm	Sm,cm	Verifica
0	36	-	4880.11	4509.78	-1237544	405650	-29886	SLE FR 2	Si	0.2	0.065	31.6	Si
-123	36	-	4880.11	4509.78	-744839	285386	-30757	SLE FR 2	Si	0.2	0.017	26.9	Si
-246	36	-	4880.11	4509.78	2691	116195	-21275	SLE FR 1	No				Si
-369	36	-	4880.11	4509.78	206	28665	-22145	SLE FR 1	No				Si
-493	36	-	4880.11	4509.78	-1743	-41717	-17126	SLE FR 1	No				Si
-677	36	-	4880.11	4509.78	-1087	-32442	-12678	SLE FR 1	No				Si
-801	36	-	4880.11	4509.78	-526	-16659	-13549	SLE FR 1	No				Si
-924	36	-	4880.11	4509.78	-144	-5478	-8768	SLE FR 1	No				Si
-1047	36	-	4880.11	4509.78	-15	-893	-6421	SLE FR 1	No				Si
-1170	36	-	4880.11	4509.78	0	0	-4090	SLE FR 1	No				Si

Verifiche delle fessure nella famiglia Esercizio quasi permanente

Valore limite di controllo: 0.2 mm
Coefficiente di omogeneizzazione impiegato: Es * (1 + φ) / Ec = 5.95
Coefficiente di viscosità: φ = 0

Quota	Filo	Ind.	Xp	Yp	Mx	My	N	Comb.	Fess	Wka,mm	Wk,mm	Sm,cm	Verifica
0	36	-	4880.11	4509.78	-1059657	389308	-28407	SLE QP 2	Si	0.2	0.053	31.3	Si
-123	36	-	4880.11	4509.78	5175	203726	-20404	SLE QP 1	No				Si
-246	36	-	4880.11	4509.78	2691	116195	-21275	SLE QP 1	No				Si
-369	36	-	4880.11	4509.78	206	28665	-22145	SLE QP 1	No				Si
-493	36	-	4880.11	4509.78	-1743	-41717	-17126	SLE QP 1	No				Si
-677	36	-	4880.11	4509.78	-1087	-32442	-12678	SLE QP 1	No				Si
-801	36	-	4880.11	4509.78	-526	-16659	-13549	SLE QP 1	No				Si
-924	36	-	4880.11	4509.78	-144	-5478	-8768	SLE QP 1	No				Si
-1047	36	-	4880.11	4509.78	-15	-893	-6421	SLE QP 1	No				Si
-1170	36	-	4880.11	4509.78	0	0	-4090	SLE QP 1	No				Si

Verifiche a taglio

Quota	Filo	Ind.	Xp	Yp	Tx	Ty	N	MultT	Vrd,4.1.23	VRsd,4.1.27	VRcd,4.1.28	Cotg	Comb.	C.S.	Verifica
0	36	-	4880.11	4509.78	1280	8596	-41717		16561	16918	124259	1	SLU 2	1.95	Si
0	36	-	4880.11	4509.78	959	9475	-29466		14975	19456	179961	1	SLU EX 1	2.04	Si
0	36	-	4880.11	4509.78	1694	7177	-31945		15296	16918	122362	1	SLD 11	2.29	Si
0	36	-	4880.11	4509.78	2702	12974	-37362		15997	16918	123413	1	SLV 11	1.28	Si
-123	36	-	4880.11	4509.78	1280	8596	-41717		16561	16918	124259	1	SLU 2	1.95	Si
-123	36	-	4880.11	4509.78	959	9475	-29466		14975	19456	179961	1	SLU EX 1	2.04	Si
-123	36	-	4880.11	4509.78	1694	7177	-31945		15296	16918	122362	1	SLD 11	2.29	Si
-123	36	-	4880.11	4509.78	2702	12974	-37362		15997	16918	123413	1	SLV 11	1.28	Si
-246	36	-	4880.11	4509.78	1280	8596	-41717		16647	17029	125071	1	SLU 2	1.96	Si
-246	36	-	4880.11	4509.78	959	9475	-29466		15051	19583	181138	1	SLU EX 1	2.06	Si
-246	36	-	4880.11	4509.78	1694	7177	-31945		15374	17029	123162	1	SLD 11	2.31	Si
-246	36	-	4880.11	4509.78	2702	12974	-37362		16080	17029	124220	1	SLV 11	1.28	Si
-369	36	-	4880.11	4509.78	1280	8596	-41717		16647	17029	125071	1	SLU 2	1.96	Si
-369	36	-	4880.11	4509.78	959	9475	-29466		15051	19583	181138	1	SLU EX 1	2.06	Si
-369	36	-	4880.11	4509.78	1694	7177	-31945		15374	17029	123162	1	SLD 11	2.31	Si

Quota	Filo	Ind.	Xp	Yp	Tx	Ty	N	MultT	Vrd,4.1.23	VRsd,4.1.27	VRcd,4.1.28	Cotg	Comb.	C.S.	Verifica
-369	36	-	4880.11	4509.78	2702	12974	-37362		16080	17029	124220	1	SLV 11	1.28	Si
-493	36	-	4880.11	4509.78	-43	-3649	-33994		15641	17029	123562	1	SLU 2	4.67	Si
-493	36	-	4880.11	4509.78	-17	-4026	-24591		14416	19583	180185	1	SLU EX 1	4.86	Si
-493	36	-	4880.11	4509.78	303	-3016	-26241		14631	17029	122048	1	SLD 7	5.62	Si
-493	36	-	4880.11	4509.78	784	-5423	-30060		15129	17029	122794	1	SLV 7	3.11	Si
-677	36	-	4880.11	4509.78	-252	-2850	-28418		14915	17029	122473	1	SLU 6	5.95	Si
-677	36	-	4880.11	4509.78	-153	-3145	-18001		13558	19583	178898	1	SLU EX 1	6.22	Si
-677	36	-	4880.11	4509.78	-400	-2368	-19342		13733	17029	120700	1	SLD 11	7.09	Si
-677	36	-	4880.11	4509.78	-720	-4269	-22273		14114	17029	121272	1	SLV 11	3.93	Si
-801	36	-	4880.11	4509.78	-252	-2850	-28418		14915	17029	122473	1	SLU 6	5.95	Si
-801	36	-	4880.11	4509.78	-153	-3145	-18001		13558	19583	178898	1	SLU EX 1	6.22	Si
-801	36	-	4880.11	4509.78	-400	-2368	-19342		13733	17029	120700	1	SLD 11	7.09	Si
-801	36	-	4880.11	4509.78	-720	-4269	-22273		14114	17029	121272	1	SLV 11	3.93	Si
-924	36	-	4880.11	4509.78	-89	-537	-17977		13555	17029	120433	1	SLU 6	31.27	Si
-924	36	-	4880.11	4509.78	-57	-593	-11555		12718	19583	177639	1	SLU EX 1	32.89	Si
-924	36	-	4880.11	4509.78	-103	-449	-12345		12821	17029	119333	1	SLD 11	36.99	Si
-924	36	-	4880.11	4509.78	-166	-811	-14072		13046	17029	119670	1	SLV 11	20.58	Si
-1047	36	-	4880.11	4509.78	-22	48	-12430		12832	17029	119349	1	SLU 6	325.5	Si
-1047	36	-	4880.11	4509.78	-15	53	-8192		12280	19583	176981	1	SLU EX 1	358.15	Si
-1047	36	-	4880.11	4509.78	-18	38	-8605		12334	17029	118602	1	SLD 7	405.33	Si
-1047	36	-	4880.11	4509.78	-24	67	-9560		12459	17029	118788	1	SLV 7	237.65	Si
-1170	36	-	4880.11	4509.78	0	0	-3896		11666	16918	116917	1	SLU 1	100	Si
-1170	36	-	4880.11	4509.78	0	0	-4550		11751	19456	175124	1	SLU EX 1	100	Si
-1170	36	-	4880.11	4509.78	0	0	-4397		11731	16918	117014	1	SLD 1	100	Si
-1170	36	-	4880.11	4509.78	0	0	-4276		11715	16918	116991	1	SLV 1	100	Si

Verifica di capacità portante per la famiglia SLU

Verifica di capacità portante verticale riferita al palo singolo

Fattore di correlazione ψ scelto in base alla conoscenza del sito = 1.7
Peso del palo = 8482.3 * 1.3

Filo	Ind.	Xp	Yp	γR laterale	γR punta	Pl,d	Pp,d	Def.vol	Comb.	Cnd	N	Ed	Rd	C.S.	Verifica
36	-	4880.11	4509.78	1.15	1.35	378966	12320		SLU 6	lungo	-47577	-58604	391285	6.68	Si

Verifica di capacità portante trasversale riferita al palo singolo

Fattore di correlazione ψ scelto in base alla conoscenza del sito = 1.7

Filo	Ind.	Xp	Yp	γR trasversale	LRF	Comb.	Cnd	Rd	Ed (T)	C.S.	Verifica
36	-	4880.11	4509.78	1.3	1	SLU 2	D	19088.1	8690.6	2.2	Si

Parametri utilizzati nel calcolo

Filo	Ind.	Xp	Yp	Tipo	L.frs.	L.tr.lib.	L.tr.inf.	Coes.	Fi	P.spec	T max	Mecc.coll.	M.plast.sup.	Quota sup.	N sup.	M.plast.inf.	Quota inf.	N inf.
36	-	4880.11	4509.78	TI	60	0	830	0.94	35	0.001	42185	PLV	6110921	-50	-41929	3870951	-399.3	-44186

Verifica di capacità portante per la famiglia SLU EX

Verifica di capacità portante verticale riferita al palo singolo

Fattore di correlazione ψ scelto in base alla conoscenza del sito = 1.7
Peso del palo = 8482.3 * 1

Filo	Ind.	Xp	Yp	γR laterale	γR punta	Pl,d	Pp,d	Def.vol	Comb.	Cnd	N	Ed	Rd	C.S.	Verifica
36	-	4880.11	4509.78	1	1	435810	16632		SLU EX 1	lungo	-29466	-37949	452442	11.92	Si

Verifica di capacità portante trasversale riferita al palo singolo

Fattore di correlazione ψ scelto in base alla conoscenza del sito = 1.7

Filo	Ind.	Xp	Yp	γR trasversale	LRF	Comb.	Cnd	Rd	Ed (T)	C.S.	Verifica
36	-	4880.11	4509.78	1	1	SLU EX 1	D	24329.4	9523.2	2.55	Si

Parametri utilizzati nel calcolo

Filo	Ind.	Xp	Yp	Tipo	L.frs.	L.tr.lib.	L.tr.inf.	Coes.	Fi	P.spec	T max	Mecc.coll.	M.plast.sup.	Quota sup.	N sup.	M.plast.inf.	Quota inf.	N inf.
36	-	4880.11	4509.78	TI	60	0	830	0.94	35	0.001	41360	PLV	5973451	-50	-29679	3676241	-395.8	-31911

Verifica di capacità portante per la famiglia SLD

Verifica di capacità portante verticale riferita al palo singolo

Fattore di correlazione ψ scelto in base alla conoscenza del sito = 1.7
Peso del palo = 8482.3 * 1

Filo	Ind.	Xp	Yp	γR laterale	γR punta	Pl,d	Pp,d	Def.vol	Comb.	Cnd	N	Ed	Rd	C.S.	Verifica
36	-	4880.11	4509.78	1.15	1.35	378966	12320		SLD 11	lungo	-31945	-40427	391285	9.68	Si

Verifica di capacità portante per la famiglia SLV

Verifica di capacità portante verticale riferita al palo singolo

Fattore di correlazione ψ scelto in base alla conoscenza del sito = 1.7
Peso del palo = 8482.3 * 1

Filo	Ind.	Xp	Yp	γR laterale	γR punta	Pl,d	Pp,d	Def.vol	Comb.	Cnd	N	Ed	Rd	C.S.	Verifica
36	-	4880.11	4509.78	1.15	1.35	378966	12320		SLV 11	lungo	-37362	-45844	391285	8.54	Si

Verifica di capacità portante trasversale riferita al palo singolo

Fattore di correlazione ψ scelto in base alla conoscenza del sito = 1.7

Filo	Ind.	Xp	Yp	γR trasversale	LRF	Comb.	Cnd	Rd	Ed (T)	C.S.	Verifica
36	-	4880.11	4509.78	1.3	1	SLV 11	D	15706	13252.7	1.19	Si

Parametri utilizzati nel calcolo

Filo	Ind.	Xp	Yp	Tipo	L.frs.	L.tr.lib.	L.tr.inf.	Coes.	Fi	P.spec	T max	Mecc.coll.	M.plast.sup.	Quota sup.	N sup.	M.plast.inf.	Quota inf.	N inf.
36	-	4880.11	4509.78	TI	60	0	830	0.94	35	0.001	34710	PLV	4587174	-50	-37574	2885445	-366.8	-39601